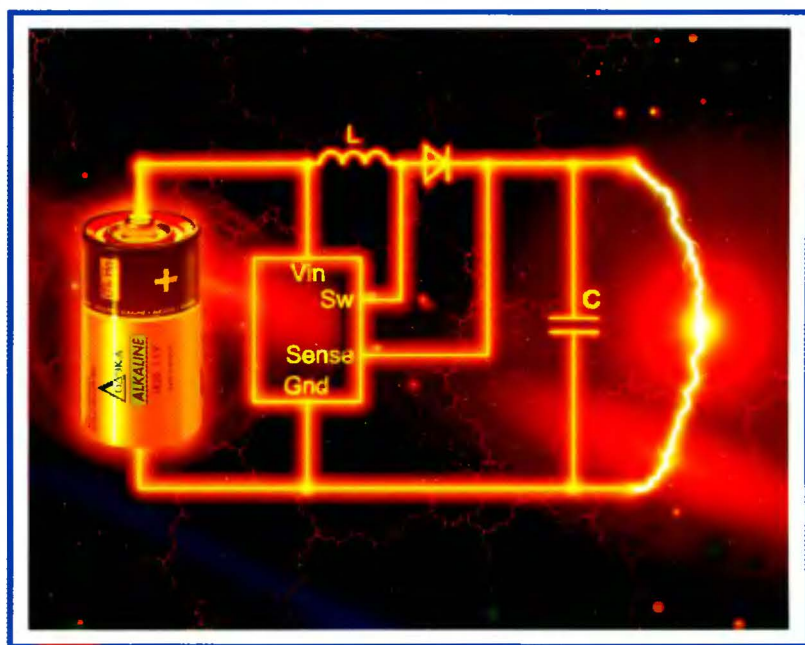


# ИНТЕГРАЛЬНЫЕ МИКРОСХЕМЫ

## МИКРОСХЕМЫ ДЛЯ ИМПУЛЬСНЫХ ИСТОЧНИКОВ ПИТАНИЯ И ИХ ПРИМЕНЕНИЕ



N 5-94120-038-2



СПРАВОЧНИК



# ИНТЕГРАЛЬНЫЕ МИКРОСХЕМЫ

## Микросхемы для импульсных источников питания и их применение

АС/DC-КОНВЕРТЕРЫ	1
DC/DC-КОНВЕРТЕРЫ	2
ОДНОТАКТНЫЕ ШИМ-КОНТРОЛЛЕРЫ	3
СПЕЦИАЛИЗИРОВАННЫЕ СХЕМЫ УПРАВЛЕНИЯ ИВП	4
КОРРЕКТОРЫ КОЭФФИЦИЕНТА МОЩНОСТИ	5
ДВУХТАКТНЫЕ ШИМ-КОНТРОЛЛЕРЫ	6
ПРОЧИЕ МИКРОСХЕМЫ	7
ОБЗОР ЗАРУБЕЖНЫХ МИКРОСХЕМ ДЛЯ ИМПУЛЬСНЫХ ИСТОЧНИКОВ ПИТАНИЯ	8
ПРИЛОЖЕНИЯ	9



Москва

Издательский дом «Додэка-XXI»  
2001

*PAVEL 49*

УДК 621.382:621.311.6(035)  
ББК 32.844.1я2  
М59

**М59      Микросхемы для импульсных источников питания  
и их применение.** 2-е изд., испр. и доп. — М.: Издательский дом  
«Додэка-XXI», 2001. — 608 с.

ISBN-94120-038-2

Эта книга является переработанным и дополненным изданием справочника "Микросхемы для импульсных источников питания и их применение" из серии "Интегральные микросхемы". Значительно увеличены разделы, посвященные отечественным микросхемам и их аналогам за счет последних разработок российских заводов-изготовителей. Справочник охватывает практически все зарегистрированные отечественные полупроводниковые микросхемы для импульсных источников питания.

Для более полного охвата данного раздела рынка приводится информация о продукции зарубежных производителей интегральных схем. По каждой фирме представлен полный перечень выпускаемых на сегодняшний день микросхем для импульсных источников питания с их краткими характеристиками. По отдельным приборам дается развернутая информация, включающая структурную схему, цоколевку и одну или несколько схем включения.

Справочник предназначен для специалистов в области проектирования, эксплуатации и ремонта изделий радиоэлектроники, а также широкого круга радиолюбителей и студентов технических вузов.

УДК 621.382:621.311.6(035)  
ББК 32.844.1я2

ISBN-94120-038-2

© Издательский дом «Додэка-XXI», 2001  
® Серия «Интегральные микросхемы»

Все права защищены. Никакая часть этого издания не может быть воспроизведена в любой форме или любыми средствами, электронными или механическими, включая фотографирование, ксерокопирование или иные средства копирования или сохранения информации, без письменного разрешения издательства.

Материалы подготовили *В. А. Казначеев, И. С. Кирюхин,  
А. В. Перебаскин, А. Н. Рабодзей, В. М. Халикеев*  
Ответственный редактор *В. М. Халикеев*  
Дизайн обложки *А. А. Бахметьев, О. В. Будко*  
Графика *А. Ю. Анненков, О. А. Алешина*  
Верстка *С. В. Шашков*  
Технический редактор *Е. Е. Граблеаская*

Издательский дом «Додэка-XXI»  
ИД № 02041 от 13.06.2000 г.  
105318 Москва, а/я 70  
Тел/факс: (095) 366-24-29, 366-81-45  
E-mail: books@dodeca.ru; icmarket@dodeca.ru

Подписано в печать 30.09.2001 г.  
Формат 84×108/16. Бумага газетная. Гарнитура «PragmaticaC».  
Печать офсетная. Объем 38 п. л. Усл. печ. л. — 63,84. Тираж 5000 экз. Заказ № 1030.  
Отпечатано с готовых диапозитивов в ОАО «Типография Новости».  
107005 Москва, ул. Ф. Энгельса, 46.





# ПЕРЕЧЕНЬ ПРИБОРОВ, ПОМЕЩЕННЫХ В СПРАВОЧНИКЕ

Прибор	Стр.	Прибор	Стр.	Прибор	Стр.	Прибор	Стр.
iC-WD341		KA3S1265R	308, 309	LAS6380	43	LMC7660	425
iC-WDS	341	KA3S1265RF	308, 309	LAS6381	43	LT1026	364
INT100	476	KA5H0165R	308	LM100	40	LT1054	364
INT20011	476	KA5H0165R	307	LM300	40	LT1070	364
INT20012	476	KA5H0165RN	307	LM828	425	LT1071	364
INT201	476	KA5H0265R	307	LM1575	425	LT1072	364
INT20211	476	KA5L0165R	307	LM1577	425	LT1073	364
INT20212	476	KA5L0165RN	307	LM2524	424	LT1073-12	364
KA1H0165R	307, 309	KA5L0265R	307	LM2574	398, 425, 447	LT1073-5	364
KA1H0165RN	307, 309	KA5L0380R	308	LM2575	398, 425, 447, 515	LT1074	366
KA1H0265R	307, 309	KA5M0165R	307	LM2576	398, 425, 447, 515	LT1082	365
KA1H0280R	308, 309	KA5M0165RN	307	LM2577	425	LT1103	367
KA1H0280RB	308, 309	KA5M0265R	308	LM2578A	424	LT1105	367
KA1H0365R	307, 309	KA5M0265R	307	LM2585	425	LT1106	365
KA1H0380R	308, 309	KA5M0765RC	308	LM2586	425	LT1107	365
KA1H0380RB	308, 309	KA5Q0680RF	308	LM2587	425	LT1107-12	365
KA1H0565R	307, 309	KA5Q0765RT	308	LM2588	425	LT1107-5	365
KA1L0365R	307, 309	KA5Q0880RF	308	LM2594	425	LT1108	365
KA1L0380	308, 309	KA5Q0965RF	308	LM2595	425	LT1108-12	365
KA1L0380RB	308, 309	KA5Q1265RF	308	LM2596	426	LT1108-5	365
KA1M0265R	307, 309	KA5S0765C	308	LM2597	426	LT1109	365
KA1M0280R	308, 309	KA5S0965	308	LM2598	426	LT1109-12	365
KA1M0280RB	308, 309	KA5S1265	308	LM2599	426	LT1109-5	365
KA1M0365R	307, 309	KA7500B	307, 313	LM2621	424	LT1110	365
KA1M0380	308, 309	KA7511	307	LM2630	424, 427	LT1110-12	365
KA1M0380R	308, 309	KA7515	307	LM2636	424	LT1110-5	365
KA1M0380RB	308, 309	KA7524B	307	LM2637	424	LT1111	365
KA1M0565R	307, 309	KA7525	307	LM2638	424	LT1111-12	365
KA1M0680B	308, 309	KA7525B	307	LM2639	424	LT1111-5	365
KA1M0680RB	308, 309	KA7526	307	LM2640	424	LT1170	365
KA1M0765R	307, 309	KA7552	307, 314	LM2641	424, 429	LT1171	365
KA1M0880	308, 309	KA7553	307, 314	LM2650	424	LT1172	365
KA1M0880B	308, 309	KA7577	307	LM2651	424	LT1173	365
KA1M0965R	307, 309	L296	133, 525	LM2653	424, 431	LT1173-12	365
KA2S0680	308, 309	L296P	133, 525	LM2660	425	LT1173-5	365
KA2S0680B	308, 309	L4960	525	LM2661	425	LT1176	366
KA2S0765	308, 309	L4962	525	LM2662	425	LT1176-5	366
KA2S0880	308, 309	L4963	25	LM2663	425	LT1241	366, 367
KA2S0880B	308, 309	L4964	525	LM2664	425	LT1242	366
KA2S0965	308, 309	L4970	25	LM2665	425	LT1243	366
KA2S09655	308, 309	L4970A	525	LM2670	426	LT1244	366
KA2S1265	308, 309	L4971	525, 527	LM2671	426	LT1245	366
KA3524	307	L4972A	525	LM2672	426	LT1246	367
KA3525A	307	L4973-3.3	525	LM2673	426	LT1247	367
KA3526B	307	L4973-5.1	525	LM2674	426	LT1248	367
KA3825	307	L4974A	525	LM2675	426	LT1249	367
KA3842	102	L4975A	525	LM2676	426	LT1268	365
KA3842B	307	L4976	525	LM2678	426, 433	LT1268B	365
KA3843B	307	L4977A	525	LM2678-3.3	433	LT1269	365
KA3844	102	L4978	525	LM2678-5.0	433	LT1270	365
KA3844B	307	L4981A	526	LM2678-12	433	LT1270A	365
KA3845B	307	L4981B	526	LM2679	426	LT1271	365
KA3846	307	L4990	526	LM2681	425	LT1300	365
KA3882	307	L4990A	526	LM2685	425	LT1301	365
KA3883	307	L4992	525	LM2825	424	LT1302	365
KA3884	307	L5991	26	LM3350	425	LT1302-5	365
KA3885	307	L5991A	526	LM3351	425	LT1303	365
KA34063A	307	L5993	26, 528	LM3352	425, 435	LT1303-5	365
KA3S0680RB	308, 309	L5993	528	LM3352-2.5	435	LT1304	365
KA3S0680RFB	308, 309	L6560	526	LM3352-3.0	435	LT1304-3.3	365
KA3S0765RF	308, 309	L6560A	526	LM3352-3.3	435	LT1304-5	365
KA3S0880RB	308, 309	L6561	526	LM3524	424	LT1305	365
KA3S0880RFB	308, 309	L9610C	526	LM3578A	424	LT1306	365
KA3S0965RF	308, 309	L9611C	526	LM78S40	424	LT1307	365



# ПЕРЕЧЕНЬ ПРИБОРОВ, ПОМЕЩЕННЫХ В СПРАВОЧНИКЕ

Прибор	Стр.	Прибор	Стр.	Прибор	Стр.	Прибор	Стр.
LT1307B	365	LTC1147-5	366	LTC1649	366	MAX638	386
LT1308	365	LTC1148	366	LTC1682	364	MAX639	386
LT1309	365	LTC1148-3.3	366	LTC1682-3.3	364	MAX640	386
LT1316	365	LTC1148-5	366	LTC1682-5	364	MAX641	91, 387
LT1317	365	LTC1149	366	LTC1702	367	MAX642	91, 387
LT1317B	365	LTC1149-3.3	366	LTC1703	367	MAX643	91, 387
LT1339	366	LTC1174-5	366	LTC1735	366	MAX653	386
LT1370	365	LTC1159	366	LTC1736	366	MAX660	386, 425
LT1371	365	LTC1159-3.3	366	LTC1753	366	MAX662A	386
LT1372	365	LTC1159-5	366	LTC1754-5	364	MAX665	386
LT1373	365	LTC1172	366	LTC1772	366	MAX668	387, 391
LT1374	366	LTC1174-3.3	366	LTC1929	366, 374	MAX669	387, 391
LT1375	366	LTC1174-5	366	LX1552	378	MAX679	386
LT1376	366	LTC1261	364	LX1553	378	MAX682	386
LT1377	365	LTC1262	364	LX1554	378	MAX683	386
LT1424-5	365	LTC1263	364	LX1555	378	MAX684	386
LT1424-9	365	LTC1265	366	LX1562	378, 379	MAX685	388
LT1425	365	LTC1265-3.3	366	LX1563	378, 379	MAX686	388
LT1431	367	LTC1265-5	366	LX1570	378, 381	MAX710	387
LT1432	367	LTC1266	366	LX1571	378, 381	MAX711	387
LT1500	365	LTC1266-3.3	366	LX1660	377	MAX724	387
LT1501	365	LTC1266-5	366	LX1661	377	MAX726	387
LT1506	366	LTC1267	367	LX1662	377	MAX727	387
LT1506-3.3	366	LTC1429	364	LX1662A	377	MAX728	387
LT1507	366	LTC1430	366	LX1663	377	MAX729	387
LT1507-3.3	366	LTC1433	366	LX1663A	377	MAX730A	387
LT1508	367	LTC1434	366	LX1664	377	MAX731	80, 387
LT1509	367	LTC1435	366	LX1664A	377	MAX732	387
LT1510	364	LTC1435A	366	LX1665	377	MAX733	387
LT1511	364	LTC1436	366	LX1668	377	MAX734	88, 387
LT1512	364	LTC1437	366	LX1669	377	MAX735	388
LT1524	366	LTC1438	367	LX1670	377	MAX736	388
LT1525A	366	LTC1439	367	LX1681	377, 383	MAX737	388
LT1526	366	LTC1474	366	LX1682	377, 383	MAX738A	387
LT1527A	366	LTC1475	366	M51995	416	MAX739	388
LT1533	367	LTC1502	364	M51996	416	MAX742	388
LT1534	365	LTC1503	364	M51997	416	MAX743	388
LT1572	365	LTC1504	366	M5291	416	MAX744A	387
LT1576	366, 370	LTC1504-3.3	366	M5293	416	MAX748A	387
LT1610	365	LTC1514	364	M62210	416	MAX749	388
LT1611	365	LTC1515	364, 373	M62211	416	MAX750A	387
LT1613	365	LTC1515-3	373	M62212	416	MAX752	80, 387
LT1614	365	LTC1515-3.3	373	M62213	416	MAX755	388
LT1615	365	LTC1515-5	373	M62216	416, 418	MAX756	387
LT1676	366	LTC1516	364	M62220	416, 419	MAX757	387
LT1680	365	LTC1517-3.3	364	M62221	416, 419	MAX758A	387
LT1776	366	LTC1517-5	364	M62222	416, 419	MAX759	388
LT1777	366, 371	LTC1522	364	M62261	416, 419	MAX761	387
LT1846	366	LTC1530	366	M62281	416, 421	MAX762	387
LT1847	366	LTC1538	366	M62290	416	MAX763A	387
LT1949	365	LTC1539	366	M62501	416	MAX764	388
LT3524	366	LTC1550	364	M62502	416	MAX765	388
LT3525A	366	LTC1550L	364	MAX606	387	MAX766	388
LT3527A	366	LTC1551L	364	MAX607	387	MAX767	387
LT3846	366	LTC1553	366	MAX608	387	MAX768	386
LT3847	366	LTC1574	366	MAX610	386, 389	MAX769	388
LTC660	364	LTC1574-3.3	366	MAX611	386, 389	MAX770	387
LTC1044	364	LTC1574-5	366	MAX612	386, 389	MAX771	387
LTC1044A	364	LTC1622	366	MAX619	386	MAX772	387
LTC1046	364	LTC1624	366	MAX624	388	MAX773	387
LTC1142	367	LTC1625	366	MAX629	388	MAX774	388
LTC1143	367	LTC1626	366	MAX630	387	MAX775	388
LTC1144	364	LTC1627	366	MAX631	387	MAX776	388
LTC1147	366	LTC1628	367	MAX632	387	MAX781	388
LTC1147-3.3	366	LTC1629	366	MAX633	387	MAX782	388

# ПЕРЕЧЕНЬ ПРИБОРОВ, ПОМЕЩЕННЫХ В СПРАВОЧНИКЕ

Прибор	Стр.	Прибор	Стр.	Прибор	Стр.	Прибор	Стр.
MAX783	388	MAX1672	387	MC34063A	68, 446, 525	ML4824-2	407
MAX786	388	MAX1673	386	MC34065	448	ML4825	407
MAX787	387	MAX1674	387	MC34066	447	ML4826-1	407
MAX788	387	MAX1675	387	MC34067	447	ML4826-2	407
MAX789	387	MAX1676	387	MC34129	445	ML4827-1	407
MAX796	387	MAX1677	388	MC34163	446	ML4827-2	407
MAX797	387	MAX1678	387, 393	MC34165	446	ML4828	407
MAX798	387	MAX1680	386	MC34166	446	ML4841	407
MAX799	387	MAX1681	386	MC34167	446	ML4850	408
MAX828	386	MAX1682	386	MC34261	448	ML4851	408
MAX829	386	MAX1683	386	MC34262	448	ML4861	408
MAX830	387	MAX1686	386	MC34270	448	ML4862	408
MAX831	387	MAX1700	387	MC34271	448	ML4863	408
MAX832	387	MAX1701	387	MC44602	445	ML4865	408
MAX833	387	MAX1703	387, 394	MC44603A	447	ML4866	408
MAX840	386	MAX1705	388	MC44604	447	ML4868	408
MAX843	386	MAX1706	388	MC44605	447	ML4870	408
MAX844	386	MAX1708	387	MC44608	447	ML4871	408
MAX847	388	MAX1709	387	MIC2171	398	ML4872	408
MAX848	387	MAX1710	387, 395	MIC2172	398	ML4873	408
MAX849	387	MAX1711	387	MIC2177	398, 399	ML4875	408
MAX850	386	MB3759	325	MIC2177-3.3	399	ML4880	408
MAX851	386	MB3759A	326	MIC2177-5.0	399	ML4890	408, 414
MAX852	386	MB3769A	325, 328	MIC2178	398	ML4890-3	414
MAX853	386	MB3776A	325, 331	MIC2179	398	ML4890-5	414
MAX856	387	MB3785A	325, 332	MIC2570	398	ML4894	408
MAX857	387	MC33023	445	MIC2571	398, 401	ML4895	408
MAX858	387	MC33025	447	MIC2571-1	401	ML4896	408
MAX859	387	MC33060A	445	MIC2571-2	401	ML4900	408
MAX860	386	MC33063A	68, 446	MIC3172	398	ML4901	408
MAX861	386	MC33065	448	MIC3832	398, 402	ML4902	408
MAX863	388	MC33066	447	MIC3833	398, 402	ML4903	408
MAX864	386	MC33067	447	MIC38C42	398	ML4950	408
MAX865	386	MC33129	445	MIC38C44	398	ML4951	408
MAX866	387	MC33163	446	MIC38HC43	398	ML4961	408
MAX867	387	MC33165	446	MIC38HC45	398	NE5560	466
MAX868	386	MC33166	446	MIC4574	398	NE5561	466
MAX870	386	MC33167	446	MIC4575	398	NE5562	466
MAX871	386	MC33260	448	MIC4576	398, 404	NE5568	466
MAX881R	386	MC33261	448	MIC4576-3.3	404	NE5580	466
MAX887	387	MC33262	448	MIC4576-5.0	404	NJM2352	437
MAX1044	386	MC33362	446	ML4751	408	NJM2355	437
MAX1623	387	MC33363	449	ML4761	408	NJM2360	437
MAX1624	387	MC33363A	446, 449	ML4769	408	NJM2360A	437, 438
MAX1625	387	MC33363B	446	ML4770	408, 409	NJM2362	437
MAX1626	386	MC33365	446	ML4771	408	NJM2368	437, 440
MAX1627	386	MC33368	448	ML4775	408	NJM2369	437, 440
MAX1630	388	MC33369	446	ML4790	408	NJM3524	437
MAX1631	388	MC33370	446	ML4800	407	NJU7261	437, 442
MAX1632	388	MC33371	446	ML4801	407	NJU7262	437
MAX1633	388	MC33372	446	ML4802	407	NJU7660	437
MAX1634	388	MC33373	446	ML4803-1	407, 410	NJU7662	437
MAX1635	388	MC33374	446	ML4803-2	407, 410	NJU7664	437
MAX1636	387	MC33463	447, 453	ML4805	407	RC5036	306
MAX1637	387	MC33463-30	453	ML4812	203, 407	RC5036	306
MAX1638	387	MC33463-33	453	ML4813	407	RC5037	306
MAX1639	387	MC33463-50	453	ML4815	407	RC5039	306
MAX1640	387	MC33466	447, 453	ML4816	407	RC5040	306
MAX1641	387	MC33466-30	453	ML4817	407	RC5041	306
MAX1642	387	MC33466-33	453	ML4818	407	RC5042	306
MAX1643	387	MC33466-50	453	ML4819	209, 407	RC5050	306
MAX1652	387	MC33470	448, 455	ML4821	407	RC5051	306
MAX1653	387	MC34023	445	ML4822	407, 412	RC5052	306
MAX1654	387	MC34025	447	ML4823	407	RC5053	306
MAX1655	387	MC34060A	445	ML4824-1	407	RC5054A	306



# ПЕРЕЧЕНЬ ПРИБОРОВ, ПОМЕЩЕННЫХ В СПРАВОЧНИКЕ

Прибор	Стр.	Прибор	Стр.	Прибор	Стр.	Прибор	Стр.
RC5055	306	SC1633	516	SI9140	566	STR-F6653	505, 512
RC5056	306	SC1650	516	SI9142	566	STR-F6654	505, 512
RC5057	306	SC1652	516	SI9143	566	STR-F6656	505, 512
RC5058	306	SC1660	516	SI9145	566	STR-F6672	505, 512
RC5059	306	SE5560	466	SI9150	566	STR-F6674	505, 512
RC5060	306	SE5561	466	SI9160	566	STR-F6676	505, 512
RC5061	306	SE5562	466	SI9161	566, 572	STR-S5703	505, 513
RC5062	306	SG1524	223, 366, 377, 526	SI9165	566	STR-S5707	505, 513
RC5102	306	SG1524B	377	SI9166	566	STR-S5708	505, 513
RC5230	306	SG1525A	377, 526	SI9167	566	STR-S6703	505, 513
RC5231	306	SG1526	377	SI9169	566	STR-S6704	505, 513
RH5RHxx1A	486, 487	SG1526B	377	SI-8033S	505, 511	STR-S6707	505, 513
RH5RHxx2B	486	SG1527A	377, 526	SI-8050S	505	STR-S6708	505, 513
RH5RHxx3B	486	SG1626	378	SI-8090S	505, 511	STR-S6709	505, 513
RH5Rlxx1B	98, 486	SG1644	378	SI-8120S	505, 511	TDA16831	344, 347
RH5Rlxx2B	98, 486	SG1842	378	SI-8150S	505, 511	TDA16832	344, 347
RH5Rlxx3B	98, 486	SG1843	378	SI-8201L	506	TDA16833	344, 347
RN5RKxx1A	486	SG1844	378	SI-8202L	506	TDA16834	344, 347
RN5RKxx1B	486	SG1845	378	SI-8203L	506	TDA16835	344, 347
RN5RKxx2A	486	SG1846	378	SI-8204L	506	TDA16836	344, 347
RN5RY1xx1	486	SG2524	223, 377, 526	SI-8211L	506	TDA16837	344, 347
RN5RY2xx1	486	SG2524B	377	SI-8213L	506	TDA16838	344, 347
RS5RJxxxxx	486	SG2525A	377, 526	SI-8221L	506	TDA16846	344, 349
RS5RMxxxxx	486	SG2526	377	SI-8301L	506	TDA16847	344
RV5VH1xx	486, 490	SG2526B	377	SI-8303L	506	TDA16888	344, 351
RV5VH2xx	486, 490	SG2527A	377, 526	SI-8401L	506	TDA4600	175
RV5VH3xx	486, 490	SG2626	378	SI-8402L	506	TDA4601	175
SAI01	505	SG2644	378	SI-8403L	506	TDA4605	185, 344, 526
SAI02	505	SG2842	378	SI-8405L	506	TDA4605-2	185
SAI03	505	SG2843	378	SI-8406L	506	TDA4605-3	185
SAI04	505	SG2844	378	SI-8501L	506	TDA4718A	344
SAI06	505	SG2845	378	SI-8502L	506	TDA4814A	345
SC1101	166, 515	SG2846	378	SI-8503L	506	TDA4817	345
SC1131	515	SG3524	223, 366, 377, 466, 526, 534	SI-8504L	506	TDA4862	345
SC1132	515	SG3524B	377	SI-8505L	506	TDA4916	345
SC1133	515	SG3525A	377, 447, 526	SI-8811L	506	TDA8380	124
SC1134	515	SG3526	377, 447	SI-8911L	506	TDA8380A	466
SC1142	515	SG3526B	377	SI-8921L	506	TDA8385	467
SC1144	515	SG3527A	377, 526	SI-8922L	506	TDA8385	466
SC1150	515	SG3626	378	SLA3002M	506	TEA1039	466
SC1151	515	SG3644	378	SLA3004M	506	TEA1204T	466, 469
SC1152	515	SG3842	378	SMP210	115	TEA1205AT	466
SC1154	515	SG3843	378	SMP211	476	TEA1206T	466, 470
SC1156	515	SG3844	378	SMP212	476	TEA1501	466
SC1157	515	SG3845	378	SMP220	476	TEA1504	466, 471
SC1158	515	SG3846	378	SMP402	476, 477	TEA1562	466
SC1158CS	517	SI786	566	ST662A	525	TEA1563	466
SC1158CSTR	517	SI7661	386	ST755	525	TEA1564	466
SC1162	515	SI9100	566	STR20005	505	TEA1565	466
SC1163	515	SI9102	566	STR2005	505	TEA1566	466
SC1164	515	SI9104	566	STR2012	505	TEA1569	466
SC1165	515	SI9105	566	STR2013	505	TEA2018A	526
SC1166	515	SI9108	566, 567	STR2015	505	TEA2261	526
SC1172	515	SI9110	566	STR2024	505	TEA2262	526
SC1173	515	SI9111	566	STR7001 — SI-8020	506	TEA5170	526
SC1182	515	SI9112	566	STR7002 — SI-8021	506	TK11806	543
SC1183	515	SI9114A	566	STR7002 — SI-8022	506	TK11811	543
SC1185	515, 518	SI9117	566	STR7003 — SI-8023	506	TK11812	543
SC1185A	515, 518	SI9118	566, 568	STR7101 — SI-8020	506	TK11816	543
SC1578	516	SI9119	566, 568	STR7102 — SI-8021	506	TK11817	543
SC1628	516, 520	SI9120	566	STR7102 — SI-8022	506	TK11818	543
SC1630	516	SI9130	566	STR7103 — SI-8023	506	TK11819	543
SC1631	516, 522	SI9135	566	STR-F6624	505, 512	TK11821	543, 544
SC1631-3	522	SI9136	566, 570	STR-F6626	505, 512	TK11822	543, 544
SC1631-5	522			STR-F6652	505, 512	TK11823	543, 545

# ПЕРЕЧЕНЬ ПРИБОРОВ, ПОМЕЩЕННЫХ В СПРАВОЧНИКЕ

Прибор	Стр.	Прибор	Стр.	Прибор	Стр.	Прибор	Стр.
TK11830	543	UC1524A	549	UC2526A	549	UC3525A	549
TK11835	543	UC1525A	549	UC2527A	549	UC3525B	549
TK65015	543	UC1525B	549	UC2527B	549	UC3526	549
TK65025	543	UC1526	549	UC2548	549	UC3526A	549
TK651xx	543	UC1526A	549	UC2572	549	UC3527A	549
TK70001	543	UC1527A	549	UC2573	549	UC3527B	549
TK70002	543	UC1527B	549	UC2577	553	UC3548	549
TK75001	543	UC1548	549	UC2578	549	UC3572	549
TK75003	543	UC1572	549	UC2584	550	UC3573	549
TK75020	543, 546	UC1573	549	UC2823	147, 550	UC3578	549
TK75050	543	UC1584	550	UC2823A	550	UC3584	550
TK83854	543	UC1823	147, 550	UC2823B	550	UC3823	147, 550
TL493	233	UC1823A	550	UC2824	550	UC3823A	550
TL494	233, 447, 534	UC1823B	550	UC2825	240, 550	UC3823B	550
TL495	233	UC1824	550	UC2825A	550	UC3824	550
TL497A	534	UC1825	240, 550	UC2825B	550	UC3825	240, 550
TL499A	534	UC1825A	550	UC2827	551	UC3825A	550
TL594	447, 534	UC1825B	550	UC2841	551	UC3825B	550
TL598	534	UC1827	551, 555	UC2842	103, 526, 551	UC3827	551
TL1451A	534	UC1841	551	UC2842A	378, 445, 551	UC3841	551
TL1453	534	UC1842	526, 551	UC2842B	445	UC3842	103, 466, 526, 534, 551
TL1454	534, 535	UC1842A	378, 551	UC2843	103, 534, 526, 551	UC3842A	103, 378, 445, 551
TL5001	534, 537	UC1843	103, 526, 551	UC2843A	378, 445, 551	UC3842B	445
TL5001A	534, 537	UC1843A	378, 551	UC2843B	445	UC3843	103, 526, 534, 551
TNY253	476, 479	UC1844	103, 526, 551	UC2844	103, 445, 526, 534, 551	UC3843A	378, 445, 551
TNY254	476, 479	UC1844A	378, 551	UC2844A	378, 551	UC3843B	445
TNY255	476, 479	UC1845	103, 526, 551	UC2844B	445	UC3844	103, 445, 526, 534, 551
TOP100	475	UC1845A	378, 551	UC2845	103, 445, 526, 534, 551	UC3844A	378, 551
TOP101	475	UC1846	378, 551	UC2845A	378, 551	UC3844B	445
TOP102	475	UC1847	551	UC2845B	445	UC3845	103, 445, 526, 534, 551
TOP103	475	UC1848	551	UC2846	551	UC3845A	378, 551
TOP104	475	UC1849	551	UC2847	551	UC3845B	445
TOP200	475, 481	UC1850	551	UC2848	551	UC3846	551
TOP201	475, 481	UC1851	551	UC2849	551	UC3847	551
TOP202	475, 481	UC1852	551, 554	UC2850	551	UC3848	551
TOP203	475, 481	UC1853	554	UC2851	551	UC3849	551
TOP204	475, 481	UC1854	554	UC2852	551, 554	UC3851	551
TOP209	475, 481	UC1854B	554	UC2853	554	UC3852	551, 554
TOP210	475, 481	UC1855	551, 554	UC2854	554	UC3853	554
TOP214	475, 481	UC1855A	554	UC2854B	554	UC3854	554
TOP221	476, 481	UC1855B	554	UC2855	551	UC3854B	554
TOP222	476, 481	UC1856	551	UC2855A	554	UC3855	551
TOP223	476, 481	UC1860	551	UC2855B	554	UC3855A	554
TOP224	476, 481	UC1861	551	UC2856	551	UC3855B	554
TOP225	476, 481	UC1862	551	UC2860	551	UC3856	551
TOP226	476, 481	UC1863	551	UC2861	551	UC3860	551
TOP227	476, 481	UC1864	552	UC2862	551	UC3861	551
TOP412	476, 483	UC1865	552	UC2863	551	UC3862	551
TOP414	476, 483	UC1866	552	UC2864	552	UC3863	551
TPS5210	534	UC1867	552	UC2865	552	UC3864	552
TPS5602	534, 538	UC1868	552	UC2866	552	UC3865	552
TPS56100	534	UC1870	553	UC2867	552	UC3866	552
TPS5615	534	UC1871	553	UC2868	552	UC3867	552
TPS5618	534	UC1872	553	UC2870	553	UC3868	552
TPS5625	534	UC1874	553	UC2871	553	UC3870	553
TPS5636	534	UC1875	248, 552	UC2872	553	UC3871	553
TPS60100	534	UC1876	248, 552	UC2874	553	UC3872	553
TPS60101	534	UC1877	248, 552	UC2875	248, 552	UC3874	553
TPS60110	534	UC1878	248, 552	UC2876	248, 552	UC3875	248, 552
TPS60111	534	UC1886	553	UC2877	248, 552	UC3876	248, 552
TPS6734	534	UC2524	549	UC2878	248, 552	UC3877	248, 552
TPS6735	534	UC2524A	549	UC2879	552	UC3878	248, 552
TPS6755	534, 540	UC2525A	549	UC2886	553	UC3879	552
UA01.4601	174	UC2525B	549	UC3524	549	UC3886	553
UC1524	549	UC2526	549	UC3524A	549	UCC1582	550, 557



# ПЕРЕЧЕНЬ ПРИБОРОВ, ПОМЕЩЕННЫХ В СПРАВОЧНИКЕ

Прибор	Стр.	Прибор	Стр.	Прибор	Стр.	Прибор	Стр.
UCC1583	550	UCC2857	554	UCC15701	549	1033EY9	114
UCC1800	550	UCC2858	554, 559	UCC1580	550	1033EY10	102
UCC1801	550	UCC2880	553	UCC1581	550	1033EY11	102
UCC1802	550	UCC2881	553	UCC1883	552	1033EY12	102
UCC1803	550	UCC2882	553, 563	UCC1884	552	1033EY13	102
UCC1804	550	UCC2888	552	UCC1885	552	1033EY14	102
UCC1805	550	UCC2889	552	UCC25701	549	1033EY15	102
UCC1806	550	UCC2890	552	UCC2580	550	1033EY16	102
UCC1807	550	UCC2895	552	UCC2581	550	1055EY4	193
UCC1808	550	UCC2930	553	UCC2883	552	1055EY5	195
UCC1809	550	UCC3305	553	UCC2884	552	1080EY1	122
UCC1810	550	UCC3582	550, 557	UCC2885	552	1087EY1	184
UCC1812	553	UCC3583	550	UCC3570	549	1114EY1	220
UCC1813-2	550	UCC3800	550	UCC35701	549	1114EY1A	220
UCC1813-3	550	UCC3801	550	UCC3580	550	1114EY1B	220
UCC1826	550	UCC3802	550	UCC3581	550	1114EY3	232
UCC1829	551	UCC3803	550	UCC3883	552	1114EY3-4	232
UCC1839	551	UCC3804	550	UCC3884	552	1114EY4	232
UCC1857	554	UCC3805	550	UCC3885	552	1114EY5	232
UCC1858	554, 559	UCC3806	550	VIPer20	525	1145EP2	38
UCC1881	553	UCC3807	550	VIPer20A	525	1155EY1	42
UCC1888	552	UCC3808	550	VIPer20B	525	1155EY2	132
UCC1889	552	UCC3809	550	VIPer31SP	525, 531	1156EY1	62
UCC1890	552	UCC3810	550	VIPer50	525	1156EY2	239
UCC1895	552	UCC3812	553	VIPer50A	525	1156EY3	146
UCC2305	553	UCC3813-0	550	VIPer100	525, 531	1156EY4	247
UCC2570	549	UCC3813-1	550	VIPer100A	525, 531	1156EY5	67
UCC2582	550, 557	UCC3813-2	550	VIPer100ASP	531	1168EP1	73
UCC2583	550	UCC3813-3	550	VIPer100B	531	1182ГГ2	266
UCC2800	550	UCC3813-4	550	VIPer100BSP	531	1182ГГ3	199
UCC2801	550	UCC3813-5	550	VIPer100SP	531	1182EM1	24
UCC2802	550	UCC3826	550	C-21	42	1182EM2	32
UCC2803	550	UCC3829	551	C-48	239	1182EM3	34
UCC2804	550	UCC3830	553	C-61	24	1184EY1	153
UCC2805	550	UCC3831	553	C-73	239	1184ПН1	67
UCC2806	550	UCC3839	551	C-74	42	1211EY1	269
UCC2807	550	UCC3857	554	C-75	146	142EP1	38
UCC2808	550	UCC3858	554, 559	C-77	32	142EP1A	38
UCC2809	550	UCC3880	553	C-101	34	142EP1Б	38
UCC2810	550	UCC3881	553	C-132	102	1446ПН1	79
UCC2812	553	UCC3882	553, 563	1021XA1A	173	1446ПН2	87
UCC2813-0	550	UCC3888	552	1021XA1Б	173	1446ПН3	90
UCC2813-1	550	UCC3889	552	1033EY1	174	1446ПН21-4	97
UCC2813-4	550	UCC3890	552	1033EY2	184	1446ПН21-5	97
UCC2813-5	550	UCC3895	552	1033EY3	184	1446ПН22-4	97
UCC2826	550	UCC3930	553	1033EY4	202	1446ПН22-5	97
UCC2829	551	UCC3941	553	1033EY5	184	1446ПН23-4	97
UCC2830	553	UCC3954	553	1033EY6	208	1446ПН23-5	97
UCC2839	551	UCC1570	549	1033EY8	202	174ГФ1	172

# ПЕРЕЧЕНЬ "ОТЕЧЕСТВЕННЫХ" МИКРОСХЕМ ДЛЯ ИВП

\* — информация опубликована в книге нашего издательства "Микросхемы для линейных источников питания"

Прибор	Функциональное назначение	Стр.	Прибор	Функциональное назначение	Стр.
2С120	Прецизионные интегральные стабилизаторы	*	1033ЕУ9	Мощный ШИМ-контроллер	114
2С483	Прецизионный интегральный стабилизатор с термостабилизацией	*	1033ЕУ10	Однотактные ШИМ-контроллеры	102
142ЕН1	Регулируемый стабилизатор напряжения	*	1033ЕУ11	Однотактные ШИМ-контроллеры	102
142ЕН2	Регулируемый стабилизатор напряжения	*	1033ЕУ12	Однотактные ШИМ-контроллеры	102
142ЕН3	Регулируемый стабилизатор положительного напряжения	*	1033ЕУ13	Однотактные ШИМ-контроллеры	102
142ЕН4	Регулируемый стабилизатор положительного напряжения	*	1033ЕУ14	Однотактные ШИМ-контроллеры	102
142ЕН5	Стабилизаторы положительного напряжения	*	1033ЕУ15	Однотактные ШИМ-контроллеры	102
142ЕН6	Двуполярный стабилизатор напряжения	*	1033ЕУ16	Однотактные ШИМ-контроллеры	102
142ЕН8	Стабилизаторы положительного напряжения	*	1055ЕП2	Трехканальный "LOW DROP" стабилизатор напряжения	*
142ЕН9	Стабилизаторы положительного напряжения	*	1055ЕУ4	ЧИМ-контроллер резонансного источника питания	193
142ЕН10	Регулируемый стабилизатор отрицательного напряжения	*	1055ЕУ5	ЧИМ-контроллер резонансного источника питания	195
142ЕН11	Регулируемый стабилизатор отрицательного напряжения	*	1055СП1	Стабилизатор фиксированного отрицательного напряжения	*
142ЕН12	Регулируемый стабилизатор положительного напряжения	*	1075ЕН1	Двухканальный стабилизатор напряжения	*
142ЕН14	Регулируемый стабилизатор напряжения	*	1080ЕУ1	Схема управления импульсным источником питания	122
142ЕН15	Двуполярный стабилизатор напряжения	*	1087ЕУ1	Схемы управления импульсным ИВП	184
142ЕН17	Серии "LOW DROP" стабилизаторов	*	1114ЕП1	Супервизор напряжения питания	*
142ЕН18	Регулируемый стабилизатор отрицательного напряжения	*	1114ЕУ1	Двухтактный ШИМ-контроллер	220
142ЕН19	Регулируемый источник опорного напряжения	*	1114ЕУ3	Двухтактные ШИМ-контроллеры	232
142ЕН20	Стабилизаторы положительного напряжения	*	1114ЕУ4	Двухтактные ШИМ-контроллеры	232
142ЕН21	Стабилизаторы положительного напряжения	*	1114ЕУ5	Двухтактные ШИМ-контроллеры	232
142ЕН22	"LOW DROP" регулируемый стабилизатор положительного напряжения	*	1114ЕУ6	Схема управления импульсным ИВП	*
142ЕН23	Стабилизаторы положительного напряжения	*	1114СП1	Монитор напряжений и токов	*
142ЕН24	"LOW DROP" стабилизатор положительного напряжения	*	1145ЕП2	Схема для построения импульсного стабилизатора	38
142ЕН25	"LOW DROP" стабилизатор положительного напряжения	*	1151ЕН1	Мощный регулируемый стабилизатор положительного напряжения	*
142ЕН26	"LOW DROP" стабилизатор положительного напряжения	*	1155ЕУ1	Мощный импульсный стабилизатор	42
142ЕП1	Схема для построения импульсного стабилизатора	38	1155ЕУ2	Мощный импульсный стабилизатор	132
157ХП2	Регулируемый стабилизатор напряжения	*	1156ЕН1	LOW DROP стабилизатор положительного напряжения	*
174ГФ1	Набор функциональных блоков для построения ИВП	172	1156ЕН2	LOW DROP регулируемый стабилизатор положительного напряжения	*
1009ЕН1	Источник опорного напряжения	*	1156ЕН4	LOW DROP регулируемый стабилизатор положительного напряжения	*
1009ЕН2	Программируемый источник опорного напряжения	*	1156ЕН5	LOW DROP стабилизатор положительного напряжения	*
1021ХА1	Схема управления однотактным импульсным ИВП	173	1156ЕУ1	Универсальный импульсный стабилизатор напряжения	62
1033ЕУ1	Схема управления импульсным ИВП	174	1156ЕУ2	Высокочастотный ШИМ-контроллер	239
1033ЕУ2	Схемы управления импульсным ИВП	184	1156ЕУ3	Однотактный высокочастотный ШИМ-контроллер	146
1033ЕУ3	Схемы управления импульсным ИВП	184	1156ЕУ4	Фазосдвигающий резонансный контроллер ИВП	247
1033ЕУ4	Корректор коэффициента мощности	202	1156ЕУ5	Схема управления DC/DC-преобразователем	67
1033ЕУ5	Схемы управления импульсным ИВП	184	1157ЕН1	Регулируемый стабилизатор положительного напряжения	*
1033ЕУ6	Комбинированный ШИМ-контроллер	208	1157ЕНхх	Стабилизаторы положительного напряжения	*
1033ЕУ7	Схема управления импульсным ИВП с МОП-транзистором	*	1158ЕНхх	Серия "LOW DROP" стабилизаторов	*
1033ЕУ8	Корректор коэффициента мощности	202	1162ЕНхх	Стабилизаторы отрицательного напряжения	*
			1168ЕН1	Регулируемый стабилизатор отрицательного напряжения	*
			1168ЕНхх	Стабилизаторы отрицательного напряжения	*
			1168ЕП1	Преобразователь напряжения	73
			1169ЕУ1	Двухтактный ШИМ-контроллер	263
			1169ЕУ2	Супервизор импульсного источника питания	*

## ПЕРЕЧЕНЬ "ОТЕЧЕСТВЕННЫХ" МИКРОСХЕМ ДЛЯ ИВП

Прибор	Функциональное назначение	Стр.	Прибор	Функциональное назначение	Стр.
1170ЕНхх	Серии "LOW DROP" стабилизаторов.....	*		вторичного электропитания .....	165
1171СПхх	Детектор понижения напряжения .....	*	1184ПН1	Схема управления DC/DC-преобразователем .....	67
1179ЕНхх	Стабилизаторы отрицательного напряжения .....	*	1185СПхх	Детектор повышения напряжения .....	*
1180ЕНхх	Стабилизаторы положительного напряжения .....	*	1188ЕНхх	Стабилизаторы положительного напряжения .....	*
1181ЕНхх	Стабилизаторы положительного напряжения .....	*	1189ЕНхх	Стабилизаторы отрицательного напряжения .....	*
1182ГГ2	Полумостовой автогенератор ЭПРА .....	266	1199ЕНхх	Стабилизаторы отрицательного напряжения .....	*
1182ГГ3	Полумостовой автогенератор ВИП. ....	193	1211ЕУ1	Двухтактный контроллер ЭПРА .....	269
1182ЕМ1	АС/DC-преобразователь .....	24	1446ПН1	DC/DC-преобразователь .....	79
1182ЕМ2	АС/DC-преобразователь .....	32	1446ПН2	DC/DC-преобразователь .....	87
1182ЕМ3	Мощный АС/DC-преобразователь .....	34	1446ПН3	DC/DC-преобразователь .....	90
1183ЕНхх	Стабилизаторы отрицательного напряжения .....	*	1446ПН21	Повышающий DC/DC-преобразователь с ЧИМ.....	97
1184ЕН1	Микромощный стабилизатор положительного напряжения .....	*	1446ПН22	Повышающий DC/DC-преобразователь с ЧИМ.....	97
1184ЕН2	Микромощный стабилизатор положительного напряжения .....	*	1446ПН23	Повышающий DC/DC-преобразователь с ЧИМ.....	
1184ЕУ1	Контроллер понижающего преобразователя с 5-разрядным ЦАП и синхронным выпрямлением .	153	1446СП1	Микропроцессорный супервизор .....	*
1184ЕУ2	Широтно-импульсная схема управления источником		UA01.4601	Схема управления импульсным ИВП .....	174
			ИС121	Прецизионные интегральные стабилизаторы .....	*
			С78Мхх	Семейство трехвыводных стабилизаторов положительного напряжения .....	*



## ЭТО ПОЛЕЗНО ПРОЧИТАТЬ

Данная книга является исправленным и дополненным изданием справочника "Микросхемы для импульсных источников питания и их применение" из серии "Интегральные микросхемы". Как и другие справочники этой серии, эта книга особое внимание уделяет вопросам практического применения описываемых микросхем, что и нашло отражение в названии справочника. В книге много новых для читателей микросхем, и акцент, сделанный на их применение, позволит сократить время, требуемое на разработку конечного оборудования. Представляется полезным раздел "Приложения", где приводятся три статьи, посвященные расчетам и выбору индуктивных компонентов источников питания. Особое место занимает раздел "Обзор зарубежных микросхем для импульсных источников питания." В нем приводится информация по зарубежным фирмам, по каждой из которых в табличном виде дается полный перечень выпускаемых микросхем для импульсных источников питания, а также несколько приборов рассматриваются более подробно — с приведением краткого описания, цоколевки, структурной схемы и схем включения.

Статьи в книгах построены блоками, где наиболее полной является последняя статья по первоисточнику, т.к. он является прототипом/аналогом других схем. Связь между статьями блока обозначена в начале каждой "производной" статьи, где указан аналог или прототип данного прибора. Например, в приборе 1114ЕУ4 указано: "Аналог: TL494" — это значит, что он является первоисточником и в данном случае полезно, применяя 1114ЕУ4, прочитать статью про TL494.

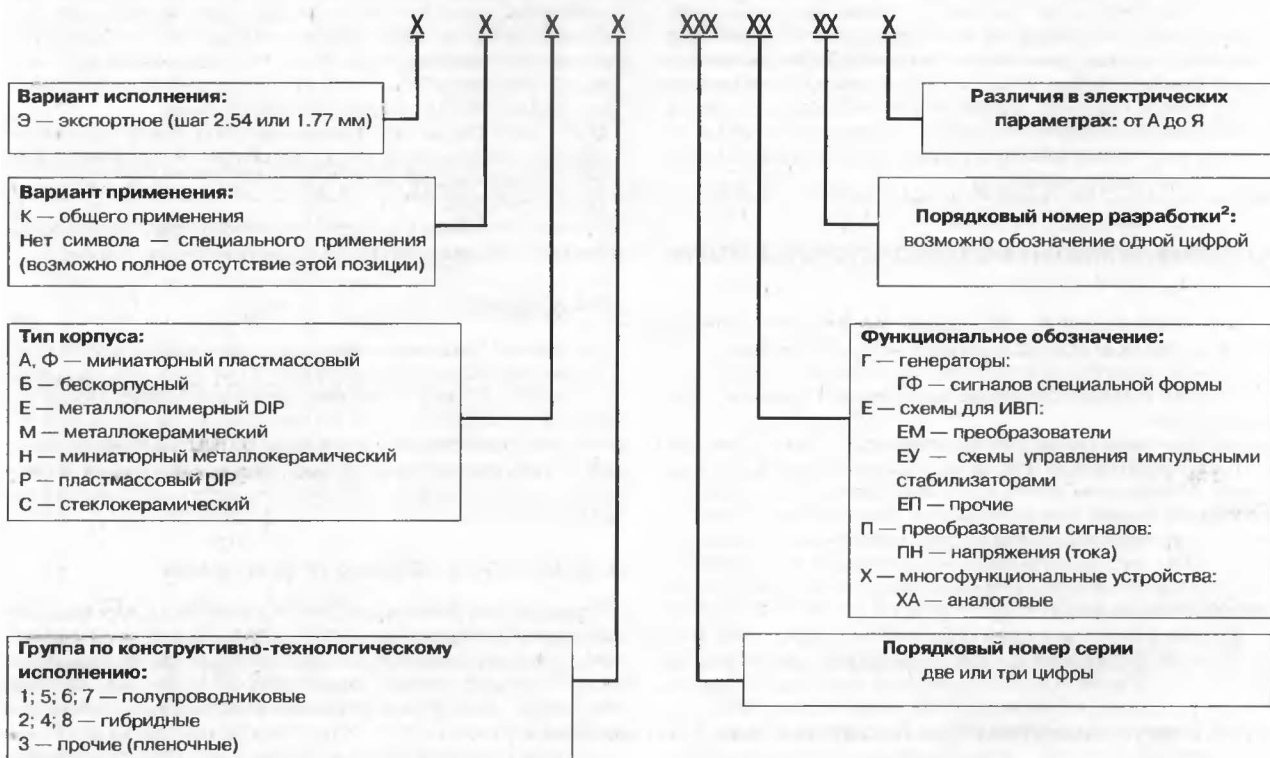
Так как в общем случае степень совпадения между прибором и его производной может быть самой различной, часто возникает вопрос, что считать аналогом, а что прототипом. Мы определили, что микросхемы являются аналогами, если: производная микросхема имеет схожие параметры с исходной и они заменяют друг друга по выводам; микросхемы нельзя заменить по выводам, но внутренняя схема у них одинаковая. Мы считаем исходную микросхему прототипом, если в процессе конструирования производной микросхемы добавлены, отсутствуют или изменены какие-либо блоки, выводы и т. п., но связь в схемотехнике между микросхемами все равно прослеживается. Предупреждаем, из этого правила тоже бывают исключения. Фирма "ДОДЭКА" не считает возможным брать на себя ответственность в случае окончательного установления степени соответствия и оставляет последнее слово за читателем, который сам, используя конкретные приборы, должен решить, можно ли применить данную микросхему в качестве аналога в данной схеме или нет. Для решения этой задачи мы и приводим справочные данные на зарубежные приборы. Хроническое отставание в терминологии заставляет применять "негостированные" и, зачастую, англоязычные термины, требующие дополнительных пояснений, т. к. они не имеют буквального перевода на русский язык. Пояснения по этому вопросу Вы сможете найти в разделе "Термины и определения".

К весне 2000 года фирма "ДОДЭКА" планирует выпустить справочник по операционным усилителям и компараторам из серии "Интегральные микросхемы", куда войдут все отечественные приборы и их аналоги, а также полный перечень зарубежных ОУ и компараторов (более 4000 приборов) с указанием параметров и цоколевки.

Также весной 2000 года выйдет очередной ежегодник "Сектор электронных компонентов. Россия — 2000". Данная книга органично связана с "Сектором — 99" и не дублирует его содержание. Подписавшиеся на серию "ИМ" будут получать уведомление о выходе всех книг по электронике, издаваемых фирмой, и, как и раньше, будут иметь в течение двух месяцев скидку до 30% при их покупке (но только за один экземпляр каждой книги на один абонемент). Напоминаем, что стать нашим подписчиком можно в любой момент (в том числе и по почте).

# ОБОЗНАЧЕНИЕ МИКРОСХЕМ ДЛЯ ИСТОЧНИКОВ ПИТАНИЯ

Большинство заводов-изготовителей<sup>1</sup> на территории бывшего СССР применяют следующую кодировку своих изделий:



Например: К1156ЕУЗ, КР142ЕП1А, 1145ЕП2 и т. д.

## Примечания:

1. В настоящее время ряд предприятий применяет свою систему обозначений: так на Украине выпускают ИМС с маркировкой типа UA01.4601
2. Иногда в данную позицию вводится дополнительная информация обозначаемая несколькими цифрами, например: 1114ЕУЗ и Б1114ЕУЗ-4

Источники питания за годы своего развития прошли путь от больших стоек, использующих электровакуумные лампы и опасные высокие напряжения, к сегодняшним компактным твердотельным блокам питания, выдающим более низкие и относительно безопасные постоянные напряжения. Так как источники питания и DC/DC-конвертеры очень широко используются в электронном оборудовании, то они составляют значительную долю мирового рынка электроники — более 8 миллиардов долларов ежегодно. Кроме того, эта доля возрастает вместе с общим увеличением мирового рынка электроники. Технология преобразователей вылилась не только в получение компактных твердотельных устройств, но в основном продвинулась от использования линейных источников питания к современным импульсным источникам питания, которые не только меньше и легче, но также намного эффективнее.

## СРАВНЕНИЕ ИМПУЛЬСНЫХ И ЛИНЕЙНЫХ ИСТОЧНИКОВ ПИТАНИЯ

Хотя линейные источники питания имеют много полезных свойств, таких как: простота, низкие выходные пульсации и шум, превосходные значения нестабильности по напряжению и току и быстрое время восстановления, главным их недостатком является невысокий КПД.

Импульсные источники питания становятся популярными из-за высокой эффективности и высокой удельной мощности. При сравнении линейных и импульсных источников питания можно сделать следующие выводы. Нестабильность по напряжению и току обычно лучше у линейных источников питания, иногда на порядок величины, но в импульсных источниках питания часто используются линейные выходные стабилизаторы, улучшающие стабильность выходного напряжения.

Пиковые значения выходных пульсаций импульсных источников питания находятся в диапазоне 25...100 мВ (p-p), что значительно больше, чем у линейных источников питания. Необходимо заметить, что для импульсных источников питания значения пульсаций выходного напряжения нормируются от пика до пика (p-p), в то время как для линейных источников — в среднеквадратичных значениях (rms) (см. Рис. 1).



Импульсные источники питания также имеют большую длительность переходных процессов, чем линейные, но имеют намного большее время удержания, что является очень важным в компьютерных приложениях.

Наконец, импульсные источники питания имеют более широкий диапазон входных напряжений. Диапазон входных напряжений линейных источников питания обычно не превышает  $\pm 10\%$  от номинального значения, что оказывает прямое влияние на КПД. У импульсных источников питания влияние диапазона входного напряжения на КПД очень незначительное или вообще отсутствует, и диапазон входных напряжений  $\pm 20\%$  и более дает возможность работать при сильных изменениях напряжения сети.

## КЛАССИФИКАЦИЯ ИМПУЛЬСНЫХ ПРЕОБРАЗОВАТЕЛЕЙ НАПРЯЖЕНИЯ

Все рассматриваемые преобразователи напряжения являются вторичными источниками питания (ВИП), тогда как к первичным источникам относится сеть переменного тока (50/60 Гц), различные гальванические элементы (аккумуляторы), солнечные батареи и т.п. Соответственно, по типу входного и выходного напряжений импульсные вторичные источники питания можно разделить на:

- AC/AC-конвертеры;
- AC/DC-конвертеры (сетевые источники питания);
- DC/DC-конвертеры (преобразователи постоянного напряжения батареи гальванических или др. элементов или напряжения вторичного источника питания);
- DC/AC-конвертеры.

Основные термины и определения, используемые в этой книге, приведены в разделе "Термины и определения" в конце выпуска.

### AC/AC-КОНВЕРТЕРЫ

В качестве AC/AC-конвертера может использоваться любой двухтактный импульсный преобразователь. К ним относятся, например, так называемые электронные трансформаторы, преобразующие напряжение сети 50/60 Гц в нестабилизированное низковольтное переменное напряжение для питания электролюминесцентных ламп. Как правило, они построены на базе недорогих двухтактных автогенераторных преобразователей напряжения без схемы (микросхемы) управления.

### AC/DC-КОНВЕРТЕРЫ (СЕТЕВЫЕ ИСТОЧНИКИ ПИТАНИЯ)

Традиционные сетевые источники питания используют обычный низкочастотный трансформатор на 50/60 Гц совместно с выпрямителем, фильтром и линейным стабилизатором. Эти, все еще широко используемые, источники имеют КПД приблизительно 40...55% (См. выпуск "Микросхемы для линейных источников питания и их применение").

В основе сетевых источников питания лежит DC/DC-конвертер. Однако импульсные источники питания выпрямляют и фильтруют напряжение сети переменного тока без использования первичного трансформатора на 50/60 Гц. Полученный в результате этого постоянный ток коммутируется мощным ключом, а затем преобразуется высокочастотным трансформатором, и, наконец, выпрямляется и фильтруется снова.

Из-за высокой частоты переключения, которая составляет от 20 кГц до 1 МГц, трансформатор и конденсаторы фильтров имеют намного меньшие размеры, чем их эквиваленты для частоты 50/60 Гц. КПД импульсных источников питания может достигать 98%.

### DC/DC-КОНВЕРТЕРЫ (ПРЕОБРАЗОВАТЕЛИ ПОСТОЯННЫЙ ТОК/ПОСТОЯННЫЙ ТОК)

DC/DC-конвертеры используют принцип действия импульсных источников питания, но применяются для того, чтобы преобразовать одно напряжение постоянного тока в другое, обычно хорошо стабилизированное. Эти устройства используются там, где электронное оборудование должно питаться от батареи или другого автономного источника постоянного тока.

Интегральные DC/DC-конвертеры широко используются для преобразования и распределения постоянного напряжения питания (См. далее "Локальная шина питания"). Это напряжение питания обычно поступает в систему от сетевого источника питания или батареи. Оно может иметь стандартное значение 5, 12, 24, 48 В или быть любого другого номинала и полярности. Это напряжение может быть нестабилизированным и иметь значительную шумовую компоненту. Другое распространенное применение для DC/DC-конвертеров — это преобразование напряжения батареи в напряжение другого но-

минала, необходимое для питания различных схем. Типичные значения напряжения батареи обычно равны 1.5, 3.0, 3.6, 4.5, 6.3, 9, 12, 24, 48 В (DC), причем каждое используется для определенных применений. Однако напряжение батареи может изменяться в широких пределах. Например, напряжение двенадцативольтовой аккумуляторной батареи транспортного средства может подниматься до 15 В и выше во время зарядки и опускаться до 6 В при пуске двигателя. В таком случае для питания электронных схем требуется DC/DC-конвертер, чтобы из изменяющегося входного напряжения произвести устойчивое, хорошо стабилизированное выходное напряжение.

## DC/AC-КОНВЕРТЕРЫ

Предназначены для получения переменного питающего напряжения из постоянного, в электротехнике называются инверторами (не путать с инвертирующими DC/DC-преобразователями, которые преобразуют положительное входное напряжение в отрицательное выходное или логическими инверторами).

В Табл. 1 приведена условная классификация импульсных преобразователей по схеме построения, которая должна в известной мере облегчить понимание изложенного в дальнейшем материала.

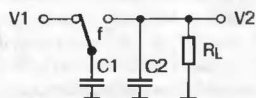
## Классификация импульсных преобразователей по схеме построения

Импульсные преобразователи								
Емкостные преобразователи	Индуктивные преобразователи							
	Без гальванической развязки			С гальванической развязкой				Резонансные
	Повышающие (Boost)	Понижающие (Buck)	Инвертирующие	Однотактные		Двухтактные		
				Прямоходовые (forward)	Обратноходовые (flyback)	Мостовые	Полумостовые	

## КОНДЕНСАТОРНЫЕ ПРЕОБРАЗОВАТЕЛИ НАПЯЖЕНИЯ

Принцип работы преобразователей на коммутируемых (переключаемых) конденсаторах можно понять из следующей схемы.

Рис. 2. Принцип работы конденсаторного преобразователя



Когда ключ находится в левом положении, конденсатор заряжается до напряжения  $V1$ . Общий заряд  $q1 = C1V1$ . В правом положении ключа конденсатор разряжается до напряжения  $V2$ , после чего заряд на конденсаторе равен  $q2 = C1V2$ . От источника  $V1$  на выход  $V2$  передан заряд

$$\Delta q = q1 - q2 = C1(V1 - V2).$$

При скорости переключения  $f$  раз в секунду передача заряда в единицу времени, т.е. ток, составит:

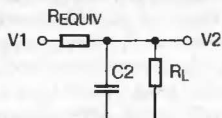
$$I = f \times \Delta q = f \times C1(V1 - V2) = \left( V1 - V2 \right) / \left( \frac{1}{fC1} \right) = \frac{(V1 - V2)}{R_{EQUIV}},$$

где

$$R_{EQUIV} = \frac{1}{fC1}.$$

Таким образом, эквивалентная схема конденсаторного преобразователя, как показано на Рис. 3:

Рис. 3. Эквивалентная схема конденсаторного преобразователя



Потери, и следовательно КПД, определяются выходным сопротивлением. С уменьшением частоты растет эквивалентное сопротивление, и КПД падает. При значительном увеличении частоты КПД также снижается, что вызвано потерями на переключение. Данные потери существуют в каждом цикле переключения, и, будучи умноженными на рабочую частоту, дают ток потерь. При значительном

увеличении частоты потери переключения становятся определяющими, и КПД снижается.

Для точного расчета схемы следует учитывать также конечное сопротивление ключа, пульсации выходного напряжения и т.д.

В реальных схемах ключевых элементов может быть несколько, что позволяет повышать, понижать и инвертировать напряжение. Преобразователи на переключаемых конденсаторах часто используются с последующим линейным стабилизатором, что позволяет существенно повысить стабильность выходного напряжения.

## ИНДУКТИВНЫЕ ПРЕОБРАЗОВАТЕЛИ НАПЯЖЕНИЯ

В индуктивных преобразователях напряжения в качестве энергонакопительного элемента используется индуктор (дроссель или трансформатор). Трансформаторный преобразователь может быть получен на основе любого генератора с выходным трансформатором. На практике для получения эффективного источника питания используются прямоходовые и обратноходовые преобразователи со схемой управления.

Использование дросселя позволяет получить недорогое и эффективное решение импульсного источника питания, но при этом исключается гальваническая развязка выходной и входной цепи.

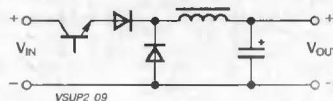
Кратко рассмотрим преобразователи напряжения с использованием дросселя. Для простоты на них не показаны выпрямитель и сглаживающий фильтр.

## ПРЕОБРАЗОВАТЕЛИ НАПЯЖЕНИЯ С ДРОССЕЛЕМ В КАЧЕСТВЕ ЭНЕРГОНАКОПИТЕЛЬНОГО ЭЛЕМЕНТА

### Понижающий преобразователь (buck)

Первая схема — это так называемый понижающий стабилизатор или стабилизатор понижающего типа.

Рис. 4. Упрощенная схема понижающего стабилизатора



Понижающий стабилизатор работает подобно прямоходовому (см. ниже) преобразователю за исключением того, что в нем не ис-



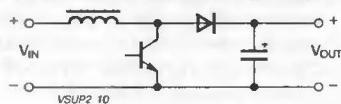
пользуется трансформатор и не имеется гальванической развязки входа и выхода схемы. Входное напряжение постоянного тока преобразуется в более низкое значение с помощью ключа, управляемого ШИМ-модулятором. Эта схема часто выступает в качестве высокоэффективного стабилизатора с тремя выводами.

В связи с бурным развитием микропроцессорной техники появились мощные понижающие стабилизаторы для питания быстродействующих процессоров типа Pentium Pro™, Pentium II™, Pentium III™ и др. При снижении выходного напряжения определяющую роль начинают играть потери на диоде Шоттки. Его замена на МОП-транзистор с малым сопротивлением открытого канала в режиме синхронного выпрямления позволила значительно повысить выходной ток при высоком уровне КПД. Такие схемы получили название синхронные выпрямители. В отличие от обычного двухтактного выходного каскада, для предотвращения сквозных токов в них предусмотрено так называемое время неперекрывания — время между открытым состоянием верхнего и нижнего ключевых транзисторов.

## Повышающий стабилизатор (boost)

Схема повышающего стабилизатора, показанная на Рис. 5, работает подобно схеме понижающего стабилизатора, за исключением того, что выходное напряжение выше, чем входное.

Рис. 5. Упрощенная схема повышающего преобразователя



Фактически выходное напряжение равно входному напряжению плюс напряжение, определяемое переключением транзистора.

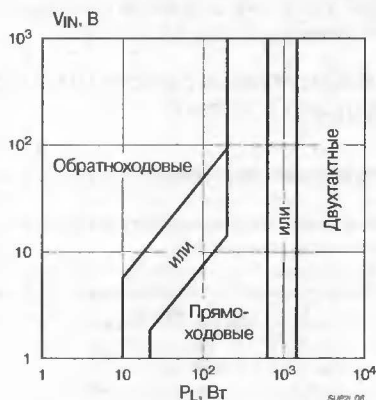
## Инвертирующий преобразователь (inverter)

Инвертирующий преобразователь можно получить из схемы понижающего преобразователя, при этом соответствующим образом должно быть преобразовано напряжение обратной связи.

## ТРАНСФОРМАТОРНЫЕ ПРЕОБРАЗОВАТЕЛИ НАПЯЖЕНИЯ

При выборе конкретной схемы преобразователя можно воспользоваться Рис. 6 [1].

Рис. 6. Выбор типа преобразователя в зависимости от входного напряжения и выходной мощности



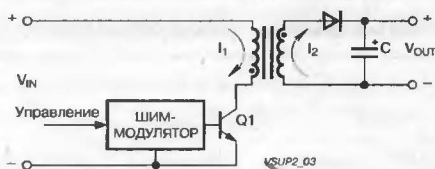
Как видно из рисунка, в области малых значений выходной мощности применяются обратноходовые преобразователи, причем с

ростом напряжения питания увеличивается и мощность, которую преобразователь может отдать в нагрузку. С ростом выходной мощности целесообразно перейти на прямоходовую схему построения преобразователя. Еще большие мощности могут обеспечить только двухтактные преобразователи напряжения.

## Обратноходовой преобразователь

Основная схема маломощного импульсного источника питания — это обратноходовой преобразователь, показанный на Рис. 7.

Рис. 7. Типовая схема обратноходового преобразователя

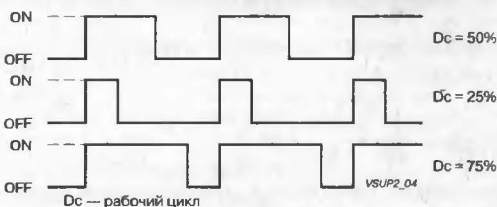


Эта схема преобразует одно постоянное напряжение в другое, регулируя выходное напряжение посредством либо широтно-импульсной модуляции (ШИМ), либо частотно-импульсной модуляции (ЧИМ). Модуляция ширины импульса — это метод управления основанный на изменении отношения длительности открытого состояния ключа к закрытому при постоянной частоте. В обратноходовом преобразователе длительность открытого состояния ключа больше длительности закрытого состояния для того, чтобы большее количество энергии было запасено в трансформаторе и передано в нагрузку. Обратноходовой преобразователь работает следующим образом. Ключевой транзистор Q1 управляется схемой ШИМ-модулятора. Когда Q1 открыт, ток в первичной обмотке трансформатора линейно увеличивается. Этот трансформатор фактически является дросселем со вторичной обмоткой и, в отличие от нормального трансформатора, накапливает в себе существенную энергию.

Когда транзистор Q1 закрывается, магнитный поток в сердечнике трансформатора начинает уменьшаться, и это вызывает ток  $I_2$ , текущий в цепи вторичной обмотки.

Ток  $I_2$  заряжает конденсатор C и также течет в нагрузку. На Рис. 8 показаны импульсы токов  $I_1$  и  $I_2$  во время открытого и закрытого состояния ключевого транзистора.

Рис. 8. Иллюстрация процесса ШИМ



Ток  $I_1$  течет во время открытого состояния, а ток  $I_2$  во время закрытого и поддерживает постоянное напряжение на конденсаторе C. Если выходная нагрузка увеличивается, необходимо только увеличить длительность открытого состояния транзистора Q1, во время которого ток  $I_1$  достигнет более высокого значения, что создаст в результате более высокий ток  $I_2$  во вторичной обмотке во время закрытого состояния ключа. И наоборот, при уменьшении нагрузки ток  $I_2$  уменьшает свое значение.

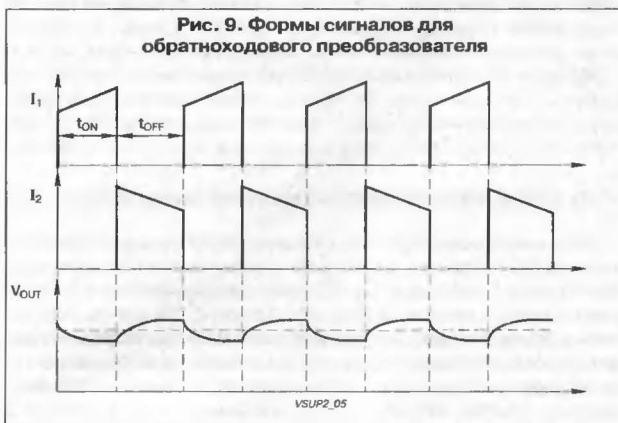
Если выходное напряжение сравнить с опорным напряжением и полученной разностью управлять ШИМ-модулятором, получается замкнутая петля обратной связи, а схема автоматически сохраняет постоянное значение выходного напряжения.

Идеальная схема обратноходового преобразователя не имеет потерь, так как в любое время переключающий элемент имеет или ну-

левое напряжение, или нулевой ток. На практике, однако, имеются некоторые потери переключения и проводимости в транзисторе Q1 и также потери в трансформаторе, диоде и конденсаторах. Но эти потери невелики по сравнению с потерями в схеме преобразователя.

## Обратноходовой преобразователь напряжения сети

Более полная схема обратноходового преобразователя, непосредственно подключенного к сети переменного тока, основанная на схеме типового обратноходового преобразователя, показана на Рис. 9.

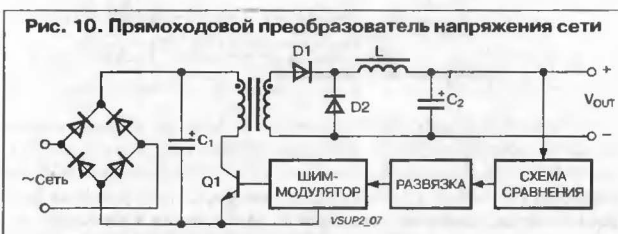


Необходимо обратить внимание на то, что преобразователь питается напряжением, полученным выпрямлением напряжения сети переменного тока без использования трансформатора.

На этой схеме также показана петля обратной связи, по которой сигнал с выхода подается назад на ключевой транзистор. Эта петля обратной связи должна иметь изоляцию для того, чтобы выходная линия постоянного тока была гальванически развязана от сети переменного тока, что обычно выполняется с помощью маленького трансформатора или оптопары.

## Прямоходовой преобразователь

Другая популярная конфигурация импульсного источника питания известна как схема прямоходового преобразователя и показана на Рис. 10.



Хотя эта схема очень напоминает обратноходовую схему, имеются и некоторые фундаментальные различия. Прямоходовой преобразователь накапливает энергию не в трансформаторе, а в выходной катушке индуктивности (дросселе). Точки, обозначающие начало обмоток на трансформаторе, показывают, что, когда ключевой транзистор открыт, во вторичной обмотке появляется напряжение, и ток течет через диод D1 в катушку индуктивности. У этой схемы большая продолжительность открытого состояния ключа относительно закрытого состояния, более высокое среднее напряжение во вторичной обмотке и более высокий выходной ток.

Когда транзистор Q1 закрывается, ток в катушке индуктивности не может измениться мгновенно и продолжает течь через диод D2. Таким образом, в отличие от обратноходовой схемы, ток от элемента, сохраняющего энергию, течет во время обеих половин цикла переключения. Поэтому прямоходовой конвертер имеет более низкое напряжение выходных пульсаций, чем обратноходовая схема при тех же самых выходных параметрах.

## Двухтактные преобразователи

Выходные каскады двухтактных преобразователей могут быть выполнены по схеме со средней точкой первичной обмотки трансформатора, мостовой и полумостовой схемам.

Преобразователи с выводом средней точки первичной обмотки трансформатора (Рис. 11), которые являются разновидностью прямоходового преобразователя, за исключением того, что оба ключа включены в цепь первичной обмотки трансформатора. В данной схеме к закрытому транзистору прикладывается удвоенное напряжение питания, что является существенным недостатком схемы. Такая схема преобразователя применяется при низком входном напряжении.

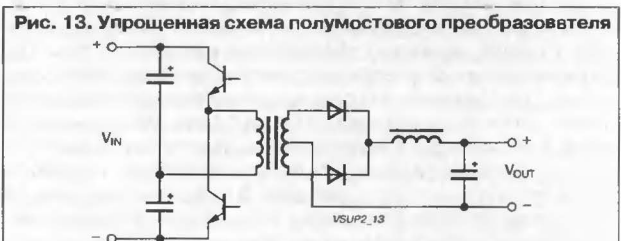


В преобразователе мостового типа (Рис. 12) напряжение на закрытом транзисторе равно напряжению источника питания.



В обеих описанных схемах для стабильной работы преобразователя необходимо обеспечить симметричность работы выходного каскада, иными словами, исключить токи подмагничивания трансформатора.

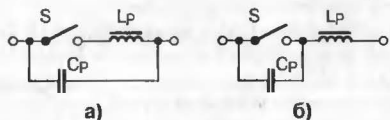
Полумостовая схема преобразователя содержит емкостной делитель, напряжение на конденсаторах равно половине напряжения питания. К закрытому транзистору прикладывается напряжение, равное напряжению питания. Ток коллектора ключевого транзистора при одинаковой мощности в нагрузке будет в два раза больше, чем в мостовой схеме и схеме со средней точкой. Достоинством полумостовой схемы является отсутствие подмагничивания трансформатора.



## РЕЗОНАНСНЫЕ ПРЕОБРАЗОВАТЕЛИ

Очевидное стремление уменьшить габаритные размеры источников питания путем увеличения рабочих частот преобразователей наталкивается на определенные трудности, связанные с увеличением потерь при переключении. Один из путей решения этой проблемы состоит в том, чтобы использовать один из вариантов схемотехники так называемого резонансного (квазирезонансного) преобразователя. Использование резонансной схемы, состоящей из конденсатора и индуктивности, делает напряжение на ключе или ток через ключ равными нулю прежде, чем ключ перейдет в состояние ОТКРЫТО или ЗАКРЫТО. Соответствующие схемы получили название ключей с переключением при нулевом токе (ZCS — Zero Current Switch) или нулевом напряжении (ZVS — Zero Voltage Switch).

**Рис. 14. Функциональные схемы силовых ключей для резонансных преобразователей**

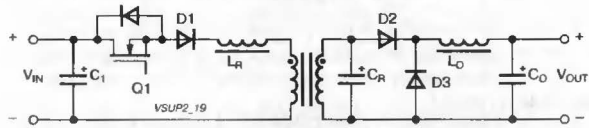


а) переключение при нулевом токе  
б) переключение при нулевом напряжении

Схемы ZVS и ZCS выпускаются в виде самостоятельных приборов, используемых, например, для управления тиристорами или симисторами, и используются как составные части резонансных преобразователей и корректоров мощности. Это устраняет большинство потерь переключения и может устранять потери, обусловленные емкостью ключа или потерями индуктивности рассеивания, описанными далее.

Упрощенное схемное решение резонансного конвертера, работающего при нулевом токе переключения, показано на Рис. 15. Эта схема является измененной версией прямоходового преобразователя, где простой транзисторный ключ заменен резонансным ключом, состоящим из компонентов Q1, D1,  $L_R$  и  $C_R$ . Заметим, что в качестве резонансной индуктивности может использоваться даже одна индуктивность рассеивания трансформатора.

**Рис. 15. Схема для иллюстрации работы резонансного преобразователя**



Первоначально транзистор закрыт. Выходной ток течет через диод D3 и выходной дроссель  $L_0$  в нагрузку. Энергия черпается от магнитного поля в дросселе  $L_0$ . В некоторый момент времени, определяемый схемой управления, ключ Q1 открывается. Ток в индуктивности  $L_R$  начинает увеличиваться и, так как этот ток вызывает ток во вторичной обмотке трансформатора, ток через диод D3 начинает сокращаться, а через диод D2 увеличиваться. Когда ток в дросселе  $L_0$  будет полностью определяться током через диод D2, напряжение на вторичной обмотке трансформатора начнет повышаться. Это повышение и последующее понижение происходят по синусоидальному закону, потому что  $L_R$  и  $C_R$  образуют резонансную схему. В это время ток в индуктивности  $L_R$  увеличивается до максимального значения и уменьшается до нуля, также по синусоидальному закону. В тот момент, когда ключ Q1 закрывается, диод D1 предотвращает обратный ток через Q1, который был бы иначе вызван продолжающимся резонансным процессом в  $L_R$  и  $C_R$ .

Когда ток в  $L_R$  становится равным нулю, выходной ток течет через дроссель  $L_0$ , диод D2 и емкость  $C_R$ . Емкость  $C_R$  быстро разряжается и тогда выходной ток снова начинает протекать через D3 и  $L_0$ . На этом один резонансный цикл заканчивается, и с открывания ключа Q1 начинается следующий цикл. Так как транзистор открывается при токе, равном нулю, потери на переключение снижаются. В связи с тем, что передача тока от диода D2 к D3 и наоборот замедлена присутствием индуктивности  $L_R$  и емкости  $C_R$ , снижение потерь переключения также наблюдается и в этих компонентах.

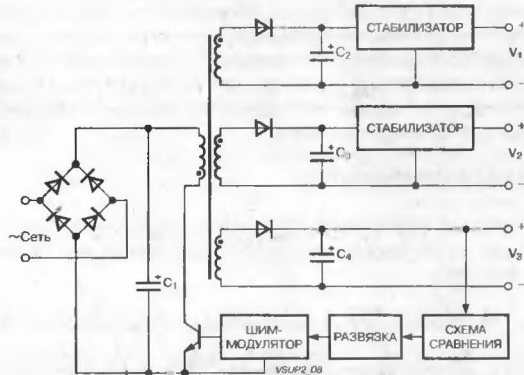
Однако, так как время от момента включения до момента выключения транзистора определяется собственной частотой резонансной схемы, выходное напряжение может управляться только изменением времени нахождения транзистора в закрытом состоянии и, следовательно, изменением частоты переключения схемы.

Наличие синусоидальных токов в системе означает увеличение пиковых значений токов, которые будут увеличивать потери проводимости относительно схемы эквивалентного источника питания с прямоугольными колебаниями.

## ИМПУЛЬСНЫЙ ПРЕОБРАЗОВАТЕЛЬ С НЕСКОЛЬКИМИ ВЫХОДАМИ

Большинство импульсных источников питания имеют больше одного выхода. Например, для большинства источников питания цифровых схем в дополнение к выходному напряжению +5 В могут иметься выходы на напряжения +12, -12, +24 и -5 В. Эти выходы используются в системах для питания всевозможных устройств типа формирователей сигналов для гибких и жестких дисков, принтеров, видеотерминалов, интерфейсов типа RS-232 и различных аналоговых схем. На Рис. 16 показан обратноходовой преобразователь с несколькими выходами.

**Рис. 16. Обратноходовой преобразователь с несколькими выходами**

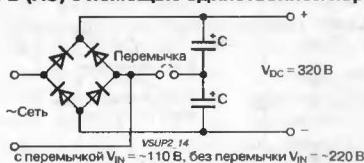


Напряжение обратной связи снимается с выхода +5 В и подается на ШИМ-модулятор, таким образом стабилизируя всю схему. Это означает, что вспомогательные выходы не стабилизируются в той же мере, как главный выход +5 В. В некоторых применениях типа двигателя дискового это не важно. В других, более критичных применениях, на вспомогательные выходы устанавливают линейные стабилизаторы, как показано на Рис. 16, чтобы обеспечить лучшую стабилизацию. Стандартные импульсные источники питания обычно имеют до пяти различных выходов.

## УСТАНОВКА ВХОДНОГО НАПЯЖЕНИЯ

Как правило, многие импульсные источники питания имеют выбираемые диапазоны напряжения сети переменного тока номиналом 110 или 220 В. На Рис. 17 показано, как просто это можно реализовать.

**Рис. 17. Переключение входного напряжения 115/220 В (АС) с помощью единственной перемычки**

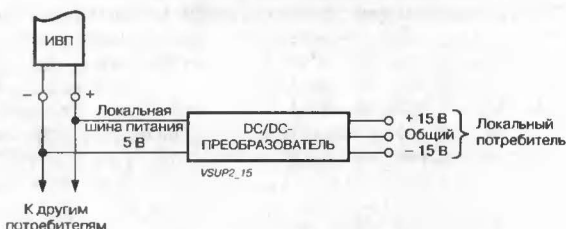


При работе от напряжения сети 220 В или в диапазоне 180...260 В перемычка удалена, и получается схема двухполупериодного выпрямителя с конденсаторным фильтром. Однако, при работе от напряжения 110 В или 90...130 В перемычка находится на месте, и оба конденсатора поочередно заряжаются во время каждого полупериода, образуя схему удвоителя напряжения. Очевидное преимущество этого типа схемы состоит в том, что она позволяет с помощью единственной перемычки выбрать американский или европейский диапазон входного напряжения сети.

## ЛОКАЛЬНАЯ ШИНА ПИТАНИЯ (РАСПРЕДЕЛЕННОЕ ПИТАНИЕ)

Использование DC/DC-конвертеров для распределения местного питания показано на **Рис. 18**. Здесь источник питания системы работает на стабилизированную шину питания напряжением 5 В, которая обычно подводится к ряду отдельных плат. Каждая плата системы, кроме питания логических схем, требует +12 В (DC), +15 В (DC) или других напряжений для питания операционных усилителей, АЦП, ЦАП, индикаторов и других схем. Поэтому каждая плата

**Рис. 18. Подключение потребителей к локальной шине питания**



системы может иметь один или больше DC/DC-конвертеров, использующих напряжение пятивольтовой шины питания как входное и производящих другие напряжения, необходимые для конкретных устройств на плате.

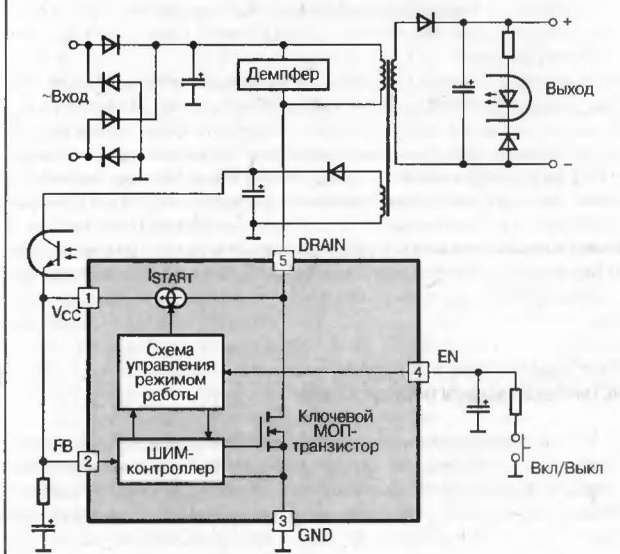
## ВЫСОКОВОЛЬТНЫЕ ИМПУЛЬСНЫЕ СТАБИЛИЗАТОРЫ

В последнее время на рынке полупроводниковых приборов появились микросхемы импульсных стабилизаторов со встроенным высоковольтным ключевым МОП-транзистором для использования в сетевых источниках питания. Это — сложные ШИМ-контроллеры с полным набором защитных функций, позволяющие реализовать однотактный прямоходовой или обратногоходовой преобразователь с гальванической развязкой выхода. Ниже приведена сравнительная таблица подобных приборов, выпускаемых разными фирмами.

**Табл. 2. Сравнительная таблица высоковольтных ШИМ-стабилизаторов**

Фирма	Серия	Частота, [кГц]	Рабочий цикл	Порог пониженного напряжения, [В]	Напряжение запуска, [В]	Нормированные параметры лавинного пробоя	Корпус
Fairchild	KA1Hxxx	Фикс. 100	67% (max)	10	15	нет	TO-220F-4
	KA1Lxxx	Фикс. 50	67% (max)	10	15	нет	TO-220F-4
	KA1Mxxx	Фикс. 70	67% (max)	10	15	нет	TO-220F-4
Infineon Technologies	TDA1683x	Фикс. 100	48% (max)	9	12	есть	DIP-8, DIP-14, DIP-20, DSO-20, TO-220-7
ON semiconductor	MC3337xx	Фикс. 100	1.7...67%	4.7	5.7	нет	DIP-8, TO-220-5
Power Integrations	TOPxxx	Фикс. 100	1.7...67%	4.7	5.7	нет	TO-220-3, DIP-8, SMD-8, DIP-8
ST Microelectronics	VIPerxxx	Задается RC-цепью	0...90%	8	11	есть	PowerSO-10, DIP-8, PENTAWATT

**Рис. 19. Типовая схема включения ШИМ-стабилизатора MC3337xx**



Каждая фирма выпускает целое семейство микросхем с выходной мощностью построенного на них источника питания до 200 Вт.

На **Рис. 19** приведена типовая схема включения микросхем серии MC3337xx фирмы ON Semiconductor.

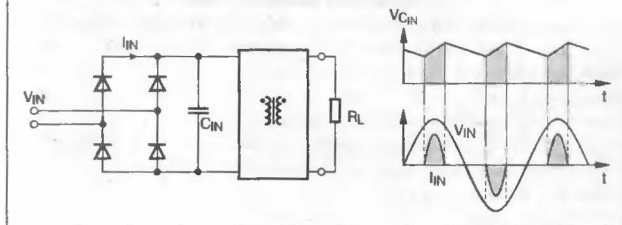
## КОНТРОЛЛЕРЫ КОЭФФИЦИЕНТА МОЩНОСТИ

В восьмидесятые годы за рубежом стало использоваться много микросхем так называемых контроллеров (или корректоров) коэффициента мощности (ККМ). Эти микросхемы используются в импульсных источниках питания и предназначены для решения проблем электромагнитной совместимости устройств с питанием от сети переменного тока. Стандарт МЭК IEC 1000-3-2 (более ранний IEC 555-2) предъявляет жесткие требования к потребителям энергии по коэффициенту мощности и гармоническому составу потребляемого тока. Государственные стандарты нашей страны постоянно приводятся в соответствие со стандартами МЭК, поэтому задача улучшения качества потребляемой мощности становится весьма актуальной и для отечественных источников питания.

Коэффициент мощности (отношение активной составляющей мощности к суммарной мощности) имеет низкое значение для схем с ярко выраженной реактивной нагрузкой: светильники с лампами дневного света и балластным дросселем, электродвигатели и т.д. Большинство источников питания и полупроводниковых балластов



Рис. 20. Процессы в традиционной схеме питания



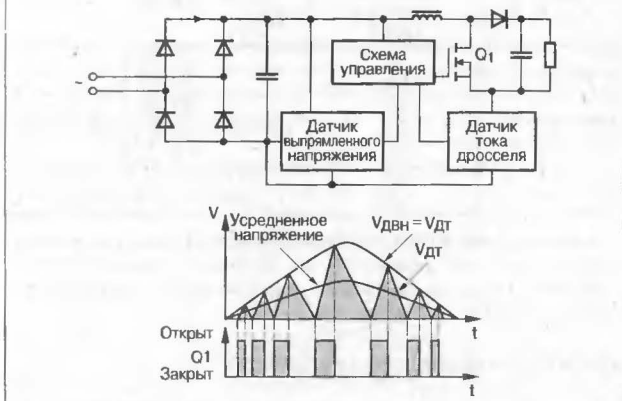
до последнего времени использовали на входе мостовой выпрямитель и фильтрующий конденсатор.

Потребляемый от сети ток в этом случае имеет импульсный (не синусоидальный) характер, что приводит к высокому проценту содержания высоких гармоник в токе и снижению коэффициента мощности, который составляет 0.5...0.7. [2]. Он может быть значительно увеличен с помощью дополнительных пассивных цепей с реактивными элементами и выпрямителями, работающими на сетевой частоте, однако для маломощных устройств этот способ нецелесообразен.

Возможность создания дешевого и экономичного корректора коэффициента мощности обеспечена высоким уровнем современного развития импульсных стабилизаторов.

Между сетевым выпрямителем и выходным преобразователем включается буферное устройство, формирующее синусоидальный входной ток и выполненное по схеме повышающего преобразователя (см. Рис. 21).

Рис. 21. Принцип работы активного корректора коэффициента мощности

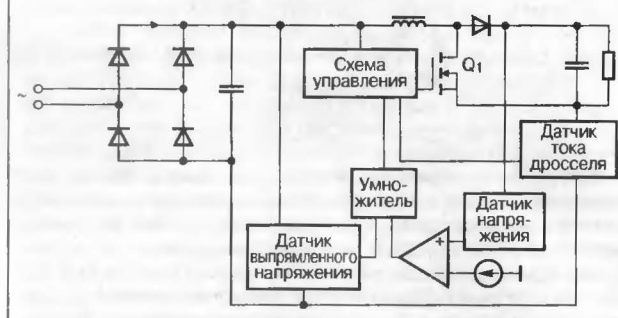


Формировать кривую входного тока можно с помощью двух датчиков: датчика тока дросселя и датчика выпрямленного напряжения. В приведенной схеме ключ открывается при нуле на входе датчика тока, а закрывается при равенстве выходного сигнала датчика тока (\$V\_{дт}\$) и датчика выпрямленного напряжения (\$V\_{двн}\$). В каждом цикле ток имеет треугольную форму, а его усредненное за период сетевого напряжения значение пропорционально среднему выпрямленному напряжению.

В реальных схемах используется более сложная структура (см. Рис. 22), которая устраняет зависимость выходного напряжения от тока нагрузки. При этом в схеме появляется блок умножителя сигналов, характерный только для ККМ.

Данная схема позволяет получать коэффициент мощности свыше 0.99 вплоть до мощностей 300 Вт. При больших мощностях используются дополнительные схемные решения.

Рис. 22. Структурная схема контроллера коэффициента мощности



Многие фирмы (Micro Linear, Infineon Technologies и др.) выпускают комбинированные микросхемы, объединяющие в одном корпусе ККМ и ШИМ-контроллер для получения законченного источника питания.

## ПОСЛЕДНИЕ ДОСТИЖЕНИЯ В ПОСТРОЕНИИ ИВП

Одной из главных тенденций развития источников питания является увеличение удельной мощности (выходная мощность единицы объема источника питания). Удельная мощность источников питания, выполненных на линейных компонентах достигает 30 Вт/дм<sup>3</sup>. К середине 80-х годов с помощью использования импульсных технологий это значение удалось поднять до 180 Вт/дм<sup>3</sup>, а удельная мощность недавних изделий достигает 1000 Вт/дм<sup>3</sup>. Удельная мощность изделий, выполненных по новейшим технологиям, достигает 2300 Вт/дм<sup>3</sup>. Эти впечатляющие достижения были достигнуты при помощи комбинации различных методов:

- Повышение частоты переключения, что позволяет уменьшить размеры элементов, сохраняющих энергию, типа катушек индуктивности и конденсаторов. Размеры трансформаторов и фильтров также уменьшаются с увеличением частоты переключения.
- Использование технологии поверхностного монтажа и современных материалов подложек типа толстых пленок, керамических гибридных материалов и IMS (изолированных металлических подложек). Компоненты, предназначенные для технологии поверхностного монтажа, значительно меньше по размерам, чем их варианты для монтажа в отверстия; использование новых типов подложек решает проблемы отвода тепла от источников высокой температуры.
- Улучшение качества компонентов, например, использование конденсаторов, имеющих лучшие значения удельной емкости, использование в качестве ключей полевых транзисторов вместо биполярных и использование новейших ферритовых материалов, подходящих для работы на высоких частотах. Использование более высоких частот переключения предполагает некоторые проблемы. Они связаны с паразитными элементами схемы и другими явлениями, которые становятся более заметными при увеличении частоты переключения. Некоторые из них, перечислены ниже.

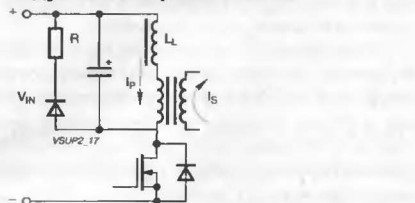
## ПОТЕРИ ПРИ ПЕРЕКЛЮЧЕНИИ

В импульсном источнике питания главный ключевой элемент — мощный полевой транзистор, который рассеивает некоторое количество энергии, переходя каждый раз из открытого состояния в закрытое и наоборот. Эти потери увеличиваются с увеличением частоты.

## ПОТЕРИ ЗА СЧЕТ ИНДУКТИВНОСТИ РАССЕИВАНИЯ

Энергия из первичной обмотки трансформатора никогда не может быть передана без потерь во вторичную обмотку. Это показано на **Рис. 23** в виде индуктивности рассеивания  $L_L$ , включенной последовательно с идеальным трансформатором. Когда транзистор закрыт, энергия, накопленная в этой индуктивности, должна быть рассеяна в специальной схеме подавителя, как показано на рисунке. Эта энергия нагревает резистор схемы подавителя и тратится впустую. Потери за счет индуктивности рассеивания также увеличиваются с увеличением частоты переключения. Дiode, показанный включенным параллельно с мощным полевым транзистором, является паразитным диодом этого транзистора.

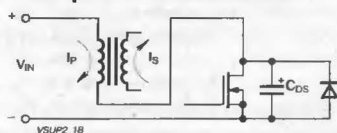
**Рис. 23. Схема, иллюстрирующая потери за счет индуктивности рассеивания**



## ПОТЕРИ ЗА СЧЕТ ЕМКОСТИ КЛЮЧА

Параллельно с транзистором на **Рис. 24** изображен конденсатор, представляющий паразитную емкость. Когда транзистор закрыт, эта емкость заряжена и содержит энергию. Когда транзистор открыт, эта энергия рассеивается на сопротивлении открытого ключа. Эти потери тоже увеличиваются с увеличением частоты.

**Рис. 24. Схема, иллюстрирующая потери за счет емкости ключа**



## МИКРОСХЕМЫ ДЛЯ ИМПУЛЬСНЫХ ИСТОЧНИКОВ ПИТАНИЯ

Микросхемы для импульсных источников питания (ИИП) развились на базе линейных стабилизаторов (см. LM100/300) и в настоящее время — это самостоятельное бурно развивающееся направление микроэлектроники. Сюда можно отнести и практически законченные 3-/4-выводные стабилизаторы напряжения с одним-двумя внешними элементами, и многовыводные контроллеры импульсных источников питания с несколькими выходными напряжениями, и микросхемы, включающие только отдельные блоки импульсного преобразователя: усилитель ошибки, усилитель-формирователь сигнала управления выходным транзистором (драйвер), различные датчики повышенного/пониженного напряжения и пр. В данной книге рассматриваются только полнофункциональные контроллеры и стабилизаторы напряжения. Отметим, что разница между понятиями стабилизатор и контроллер (схема управления) довольно условна. Стабилизатором мы будем называть контроллер фиксированного выходного напряжения с встроенной петлей обратной связи (хотя практически любой стабилизатор напряжения можно использовать для получения другого, как правило, более высокого выходного напряжения) и внутренним ключевым транзистором (последнее условие также не всегда выполняется).

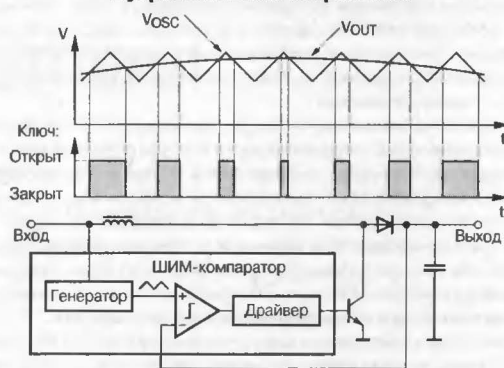
Микросхемы для ИИП часто привязаны к конкретной схемотехнике преобразователя. В большинстве случаев это означает, что они оптимизированы для данной схемы. Однако практически всегда эти

микросхемы могут быть использованы и в другом включении, иногда с помощью дополнительных внешних компонентов. Например, повышающий преобразователь с внутренним ключевым транзистором легко можно использовать в схеме понижающего конвертера, используя внутренний ключ в качестве драйвера внешнего ключевого транзистора.

Чем больше выводов имеет микросхема, тем больше возможностей у разработчика при ее использовании.

Рассмотрим структуру схемы управления на примере простейшего ШИМ-контроллера.

**Рис. 25. Структурная схема ШИМ-контроллера с управлением по напряжению**



Выходное напряжение сравнивается с сигналом на выходе генератора пилообразного напряжения (ГПН). Если выходное напряжение  $V_{OUT}$  превышает напряжение "пилы"  $V_{OSC}$ , ШИМ-компаратор вырабатывает сигнал управления выходным формирователем (драйвером), который открывает ключевой транзистор. Ключевой транзистор закрывается, когда выходное напряжение меньше пилообразного напряжения.

## МОДУЛЯТОР

В приведенном примере для управления ключевым транзистором использовалась широтно-импульсная модуляция — ШИМ (PWM — Pulse Width Modulation), при которой частота следования импульсов постоянна, а изменяется длительность импульса [3]. Это наиболее распространенный метод управления импульсными источниками питания, позволяющий эффективно фильтровать помехи, вызванные переключением. Простотой реализации отличается частотно-импульсная модуляция — ЧИМ (VFM — Variety Frequency Modulation), когда меняется частота следования импульсов, а постоянным остается длительность импульса или паузы, соответственно, открытого (On-Time) и закрытого (Off-Time) состояния ключа. Более сложный алгоритм управления получается при частотно-широтной модуляции — ЧШИМ (PFM — Pulse Frequency Modulation), когда изменяются все три параметра: частота, время импульса и время паузы. На последнем типу относится также наиболее простой тип — релейные преобразователи.

В последнее время все больше микросхем использует комбинированные режимы управления: при большой и средней нагрузке ШИМ, а на слабой нагрузке ЧШИМ. Многие фирмы называют этот режим прерывистым режимом или режимом с пропуском импульсов.

## КОНТУР ОБРАТНОЙ СВЯЗИ

Схемы управления различаются типом контура обратной связи. Например, в приведенной на **Рис. 25** схеме — это обратная связь по напряжению (voltage mode). Слежение может осуществляться за мгновенным значением выходного напряжения, и переключения происходят при достижении контролируемой величиной заданных

верхнего и нижнего уровней. Такой алгоритм реализует двухпозиционное или релейное управление. Можно следить лишь за одним уровнем, например верхним, а открывать ключ можно с фиксированной частотой от специального генератора, или использовать схему, приведенную на **Рис. 25**. При этом мы получим систему однопозиционного управления. С этим способом управления связано применение компараторов в цепи обратной связи. Такая схема управления обладает хорошим быстродействием, однако высокий уровень пульсаций не позволяет обеспечить высокую стабилизацию выходного напряжения. Значительно повысить точность стабилизации позволяют системы с компенсационным управлением, основанные на усилении сигнала рассогласования и следящие за усредненным значением выходного напряжения. При этом напряжение обратной связи подается на усилитель ошибки с большим коэффициентом усиления, требующий цепей частотной коррекции. Соответственно, ухудшаются быстродействие и динамические параметры схемы управления.

Для обеспечения высокого быстродействия требуется введение дополнительного быстродействующего контура обратной связи. Так, при токовом методе управления вводится дополнительная обратная связь по току (ДОСТ). При этом в качестве источника пилообразного напряжения используется ток через индуктивный элемент схемы (дроссель, трансформатор). Данная конструкция имеет встроенное ограничение тока ключа в каждом рабочем цикле, обладает быстрой реакцией на изменение входного напряжения, но по-прежнему имеет сравнительно низкое быстродействие по току нагрузки.

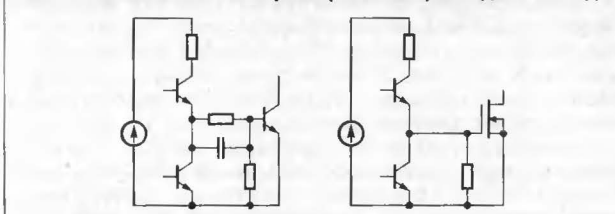
Фирма Cherry предложила свое решение, назвав его  $V^2$ -управление. В данном методе в качестве источника пилообразного напряжения используется выходное напряжение до его фильтрации, т.е. вводится второй быстродействующий контур обратной связи по напряжению.  $V^2$ -управление позволяет получить очень быстрый отклик на изменение как входного напряжения, так и тока нагрузки, и применяется в источниках питания современных микропроцессоров.

## ВЫХОДНОЙ КАСКАД

Схема построения выходного каскада во многом определяет применение микросхем для источников питания. Выходной каскад может служить как драйвером — формирователем сигнала управления внешним выходным транзистором, так и непосредственно ключевым элементом в составе импульсного источника питания. Количество внешних выводов выходного каскада определяет степень свободы разработчика при использовании конкретной микросхемы. Так схемы с одним драйвером позволяют управлять одноканальным однофазным преобразователем с изолированной или неизолированной нагрузкой.

Драйверы внешних ключей оптимизированы для управления внешним биполярным или полевым транзистором. Наиболее распространенные схемы управления приведены на **Рис. 26**.

**Рис. 26. Квазикомплементарные (тотемные) выходные каскады**



В них используются два транзистора, один из которых обеспечивает ток управления в открытом состоянии ключа, а второй создает низкоомную цепь сброса заряда при закрытии ключа. В зарубежной литературе такую квазикомплементарную схему называют тотемной (totem pole). Тотемный выходной каскад может использоваться в качестве ключевого элемента.

Токи выходных каскадов изменяются в зависимости от типа схемы в диапазоне от 10 мА до 7 А. Допустимое напряжение драйверов в большинстве микросхем не превосходит 40...60 В, но имеются и

высоковольтные схемы. Например, импульсные стабилизаторы семейства PWRtop фирмы Power Integration или SPS фирмы Fairchild имеют встроенный ключевой транзистор с допустимым напряжением стока до 700 В.

## ДОПОЛНИТЕЛЬНЫЕ БЛОКИ МИКРОСХЕМ

Современные микросхемы, за исключением простейших, содержат другие блоки, обеспечивающие надежную работу схемы управления. Кратко рассмотрим наиболее часто встречающиеся блоки.

Схема защиты от пониженного напряжения питания (UVLO — Under Voltage LockOut). При пониженном входном напряжении увеличивается среднее значение выходного тока, а соответственно, температура и потери в выходном транзисторе и трансформаторе.

Схема защиты от перенапряжения (OVP — Over Voltage Protection). Блок содержит пороговое устройство, которое определяет аварийное превышение напряжения.

Схема защиты от короткого замыкания по выходу (SCP — Short Circuit Protection). Короткое замыкание характеризуется большой крутизной нарастания тока и большими тепловыми потерями в полупроводниковых приборах. Схема защиты, как правило, делает несколько попыток перезапуска схемы через фиксированные интервалы, после чего микросхема отключается, и для ее включения требуется внешнее воздействие (снятие и подача питания).

Защита от перегрузки по току (OCP — Over Current Protection). Эта защита предполагает не слишком большие отклонения от рабочего диапазона тока. Схема защиты ограничивает ток ключа, уменьшая рабочий цикл, при этом воздействие может производиться на любой блок в цепи обратной связи: генератор, схему сравнения, ШИМ-компаратор и пр.

Защита от перегрева (TSD — Thermal ShutDown). Перегрев может возникнуть по разным причинам: от повышения температуры среды, увеличения потерь в элементах, ухудшении теплоотвода. Работа схемы блокируется до восстановления нормальной температуры. Датчик перегрева часто имеет характеристику с гистерезисом.

Мягкий запуск (SS — Soft Start). При включении питания выходная емкость схемы не заряжена, и импульсный стабилизатор практически работает на короткозамкнутую нагрузку. Для избежания нежелательных перегрузок выходное напряжение схемы должно повышаться постепенно, что и обеспечивает схема мягкого запуска. Постоянная времени мягкого запуска обычно устанавливается конденсатором мягкого запуска, включенным в цепь обратной связи.

Маскирование переднего фронта импульса тока (LEB — Leading Edge Blanking). Ключевой МОП-транзистор имеет большую входную емкость. При его включении через драйвер протекает большой импульсный ток длительностью до нескольких десятков наносекунд. На это время целесообразно выключать схему защиты от перегрузки по току, что и производит схема LEB.

## АС/DC-КОНВЕРТЕРЫ (ПРЕОБРАЗОВАТЕЛИ ПЕРЕМЕННОГО ТОКА/ПОСТОЯННОГО ТОКА)

Однокристальные АС/DC-конвертеры применяются обычно в недорогих системах, работающих от сети переменного тока, потребляющих небольшой ток (до 100 мА) и не предъявляющих высоких требований к качеству питающего напряжения. Основным недостатком подобных устройств — это отсутствие гальванической развязки выходного напряжения от напряжения сети. Как правило АС/DC-конвертеры обеспечивают одно, максимум два выходных напряжения, что иногда затрудняет их использование в источниках питания.

### Литература

1. Гореславцев А., Бахметьев А. "Импульсные источники питания", Chip News, 1996, № 8-9.
2. Иванов В., Панфилов Д. "Типовые схемы корректоров коэффициента мощности", Chip News, 1997, № 9-10.
3. Иванов В., Панфилов Д. "Микросхемы управления импульсными стабилизаторами фирмы Motorola", Chip News, 1998, № 1.

# АС/DC-КОНВЕРТЕРЫ

В данный раздел вошли полупроводниковые микросхемы маломощных преобразователей напряжения, которые допускают непосредственное, без выпрямительного моста, подключение на вход переменного сетевого напряжения.

## ОТЕЧЕСТВЕННАЯ МИКРОСХЕМА

Стр.

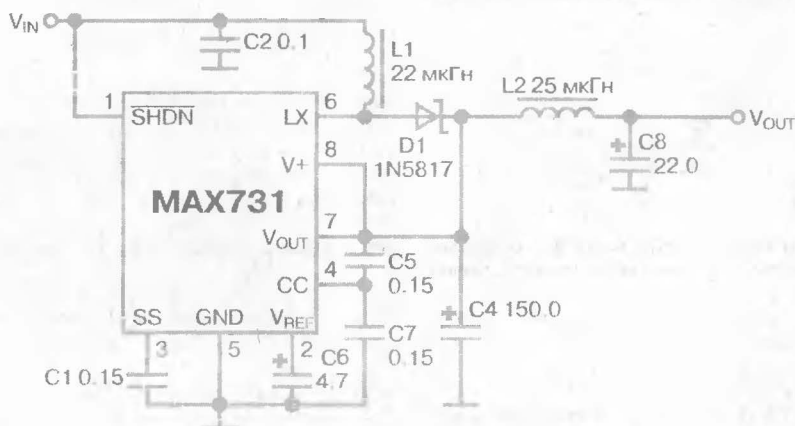
## ЗАРУБЕЖНЫЙ АНАЛОГ

Стр.

1

1182ЕМ1	АС/DC-преобразователь .....	24
1182ЕМ2	АС/DC-преобразователь .....	32
1182ЕМ3	Мощный АС/DC-преобразователь .....	34

HV-2405E	Однокристалльный источник питания .....	25
б/а		
б/а		





# АС/DC-ПРЕОБРАЗОВАТЕЛЬ 1182ЕМ1



## ОСОБЕННОСТИ

- ♦ Широкий диапазон входных напряжений ..... 18...264 В (rms)
- ♦ Широкий диапазон входных частот ..... 48...400 Гц
- ♦ Максимальный выходной ток ..... 50 мА
- ♦ Величина выходного напряжения ..... 5...24 В
- ♦ Нестабильность по току и напряжению ..... < 5%
- ♦ Встроенные схемы защиты от перенапряжения и КЗ
- ♦ Диапазон рабочих температур ..... 0...+70°C

## ТИПОНОМИНАЛЫ

КР1182ЕМ1  
С-61

## СТРУКТУРНАЯ СХЕМА

Не имеет отличий от структурной схемы HV-2405E, См. стр. 25.

## СХЕМЫ ВКЛЮЧЕНИЯ

Не имеют отличий от схем включения HV-2405E, См. стр. 30-31.

## ОБЩЕЕ ОПИСАНИЕ

Микросхема 1182ЕМ1 представляет из себя преобразователь напряжения сети переменного тока в постоянное напряжение от 5 до 24 В (так называемый АС/DC-преобразователь) и предназначена для использования в компактных источниках тока, высокоэффективных регуляторах для систем управления, системах резервного электропитания и вспомогательных источниках питания.

Прибор 1182ЕМ1 выпускается в пластмассовом корпусе типа 2101.8-1

## ЦОКОЛЕВКА КОРПУСОВ

Пластмассовый корпус типа 2101.8-1



### ОСОБЕННОСТИ

- Прямое преобразование переменного тока в постоянный
- Широкий диапазон входных напряжений ..... 18...264 В (rms)
- Возможно несколько выходных напряжений
- Гарантируемый выходной ток ..... 50 мА
- Различные значения выходного напряжения ..... 5...24 В
- Нестабильность по току и напряжению ..... < 2%
- Изделие сертифицировано организацией UL ..... файл #E130808

### ПРИМЕНЕНИЯ

- Компактный дешевый источник питания для неизолированных применений
- Контрольные приборы
- Зарядные устройства
- Источник питания для схем управления двигателями
- Вспомогательное питание для импульсных источников питания

**ПРЕДОСТЕРЕЖЕНИЕ:** Это изделие не обеспечивает гальваническую развязку от сети переменного тока!

### ТИПОНОМИНАЛЫ

HV3-2405E-5	0...75°C
HV3-2405E-9	-40...85°C

### ЦОКОЛЕВКА КОРПУСОВ



### СТРУКТУРНАЯ СХЕМА



### ОБЩЕЕ ОПИСАНИЕ

Микросхема HV-2405E — это однокристалльный источник питания, который может выдавать напряжение от 5 до 24 В при выходном токе до 50 мА. Для получения компактного, легкого, дешевого и эффективного источника питания необходимо только несколько недорогих внешних компонентов. Прибор HV-2405E заменяет собой трансформатор, выпрямитель и стабилизатор напряжения. Этот кристалл сделан при помощи нового процесса высоковольтной диэлектрической изоляции фирмы Harris. Изоляция кристалла, выполненная по этому процессу, имеет высокое напряжение пробоя (500 В), что позволяет подключать схему непосредственно к сети переменного тока.

Широкий диапазон входного напряжения делает микросхему HV-2405E превосходным выбором для использования в оборудовании, которое должно работать при напряжении сети от 120 до 240 В. В отличие от других AC/DC-конвертеров, прибор HV-2405E может использовать одни и те же внешние компоненты при работе с любым напряжением. Кроме того микросхема HV-2405E может быть подключена к линейному напряжению в трехфазной сети (208 В (rms)). **Внимание!** При использовании в этом режиме, выводы GND и ACN находятся под высоким напряжением относительно земли (нулевого провода). Эти свойства позволяют применять приборы одной и той же конструкции во всем мире.

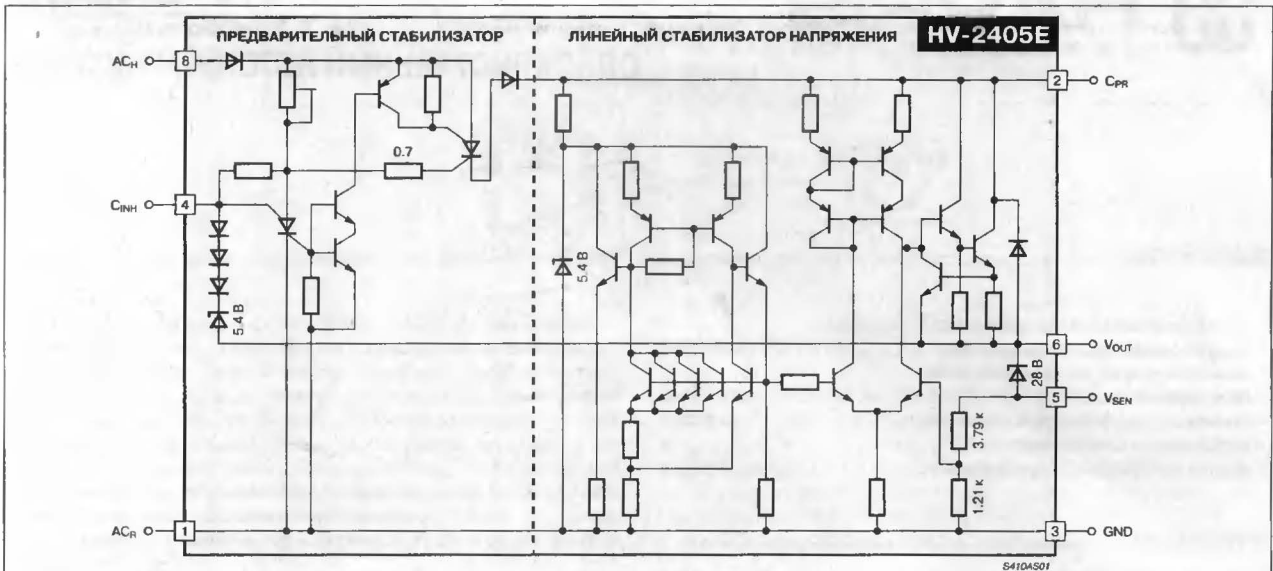
Микросхема HV-2405E полностью совместима по выводам с микросхемой HV-1205, но позволяет работать с вдвое большим входным напряжением. Добавим, что выход и вывод 5 связаны внутри через стабилитрон, чтобы ограничить выходное напряжение.

### МАКСИМАЛЬНЫЕ ЗНАЧЕНИЯ ПАРАМЕТРОВ И РЕЖИМОВ

Напряжение между выводами 1 и 8 (постоянное) ...	264 В (rms)
Напряжение между выводами 1 и 8 (пиковое) .....	500 В
Напряжение между выводами 2 и 6 .....	10 В
Входной ток (пиковый) .....	2.5 А
Выходной ток .....	Защищен от короткого замыкания
Выходное напряжение .....	30 В
Максимальная температура кристалла .....	+150°C
Диапазон рабочих температур:	
HV3-2405E-9 .....	-40...+85°C
HV3-2405E-5 .....	0...+75°C
Диапазон температуры хранения .....	-65...+175°C
Тепловое сопротивление(°C/Вт):	

$Q_{JA}$ .....	82°C/Вт
$Q_{JC}$ .....	16°C/Вт

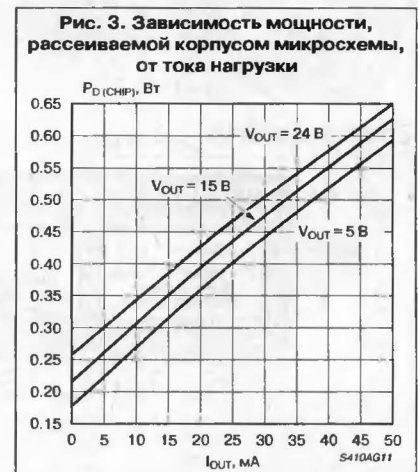
ПРИНЦИПИАЛЬНАЯ СХЕМА



ЭЛЕКТРИЧЕСКИЕ ХАРАКТЕРИСТИКИ

При  $V_{IN} = 264 \text{ В (rms)}$  (50 Гц),  $C1 = 0.05 \text{ мкФ}$ ,  $C2 = 470 \text{ мкФ}$ ,  $C3 = 150 \text{ пФ}$ ,  $V_{OUT} = 5 \text{ В}$ ,  $I_{OUT} = 50 \text{ мА}$ . Импеданс источника  $R1 = 150 \text{ Ом}$ . Параметры гарантируются при определенных значениях  $V_{IN}$  и частоты, если не указано иначе

Параметр	$V_{IN}$ [В]	Температура	Значения						Единицы измерения
			HV-2405E-9 при $T_A = -40...85^\circ\text{C}$			HV-2405E-5 при $T_A = 0...75^\circ\text{C}$			
			не менее	типичное	не более	не менее	типичное	не более	
Выходное напряжение ( $V_{OUT} = 5\text{ В}$ )	264	$+25^\circ\text{C}$	4.75	5.0	5.25	4.75	5.0	5.25	В
	264	полный диапазон	4.65	5.0	5.35	4.65	5.0	5.35	В
Температурный коэффициент выходного напряжения	264	полный диапазон	—	0.02	—	—	0.02	—	%/C
Пульсации выходного напряжения ( $C4 = 1\text{ мкФ}$ , $f = 50\text{ Гц}$ )		$+25^\circ\text{C}$	—	22	—	—	22	—	мВ (p-p)
		полный диапазон	—	24	—	—	24	—	мВ (p-p)
Нестабильность по напряжению	80...264 (rms)	$+25^\circ\text{C}$	—	10	15	—	10	20	мВ
		полный диапазон	—	15	30	—	15	40	мВ
Нестабильность по току ( $I_{OUT} = 5...50\text{ мА}$ )		$+25^\circ\text{C}$	—	—	15	—	—	20	мВ
		полный диапазон	—	—	30	—	—	40	мВ
Выходной ток		полный диапазон	0	—	50	0	—	50	мА
Ток короткого замыкания		полный диапазон	55	95	—	55	95	—	мА
Падение напряжения между выводами 2 и 6		$+25^\circ\text{C}$	—	2.2	—	—	2.2	—	В
Ток потребления линейного стабилизатора		$+25^\circ\text{C}$	—	2	—	—	2	—	мА



ТИПОВЫЕ РАБОЧИЕ ХАРАКТЕРИСТИКИ

Рис. 4. Зависимость максимального выходного тока от входного напряжения для различных значений C2 ( $V_{OUT} = 5\text{ В}$ ,  $R1 = 24\text{ Ом}$ )

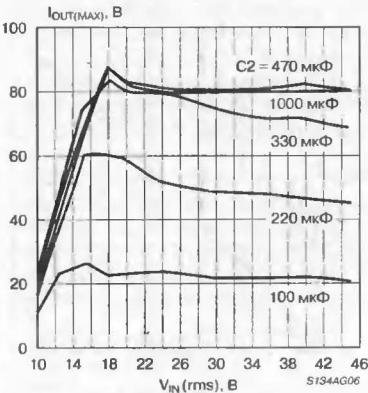


Рис. 5. Зависимость максимального выходного тока от входного напряжения для различных значений C2 ( $V_{OUT} = 24\text{ В}$ ,  $R1 = 24\text{ Ом}$ )

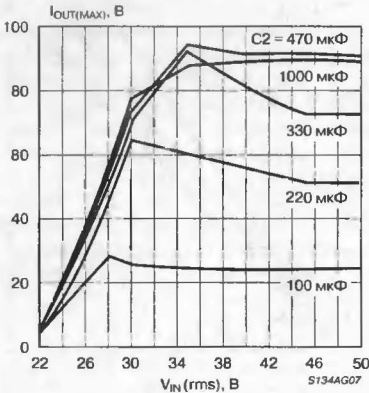


Рис. 6. Зависимость мощности рассеивания резистора R1 от тока нагрузки ( $V_{AC} = 120/240\text{ В}$ ,  $R1 = 150\text{ Ом}$ )

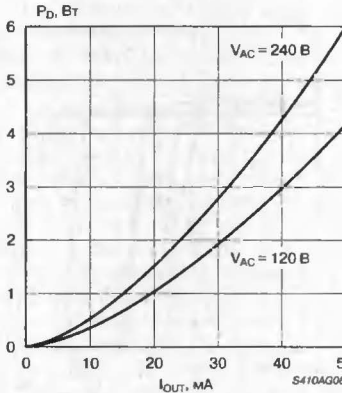


Рис. 7. Зависимость разности напряжений между выводами 2 и 6 от температуры

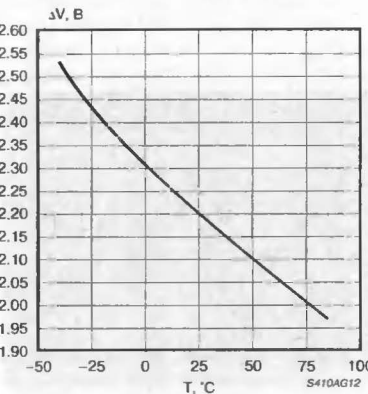


Рис. 8. Зависимость тока потребления от выходного напряжения ( $I_{OUT} = 5...50\text{ мА}$ ,  $T_A = 25^\circ\text{C}$ )

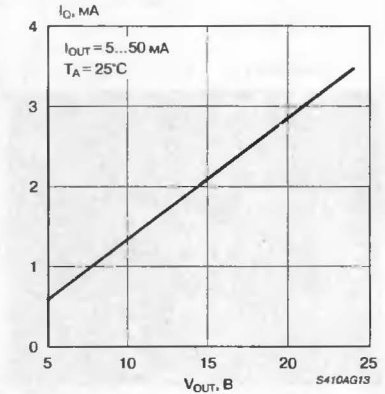


Рис. 9. Зависимость пульсаций выходного напряжения от температуры ( $C4 = 1\text{ мкФ}$ )

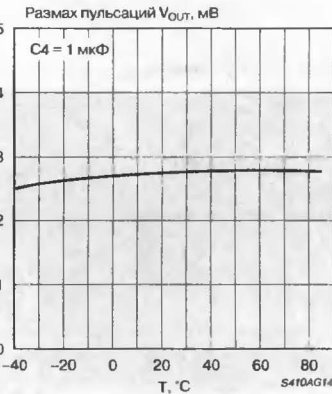


Рис. 10. Зависимость пульсаций выходного напряжения от тока нагрузки

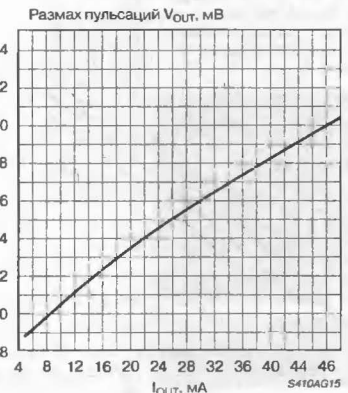


Рис. 11. Зависимость нормализованного тока потребления от температуры (для  $T_A = 25^\circ\text{C}$ , при  $V_{OUT} = 5\text{ В}$ ,  $I_O = 3.42\text{ мА}$ , при  $V_{OUT} = 24\text{ В}$ ,  $I_O = 0.41\text{ мА}$ )

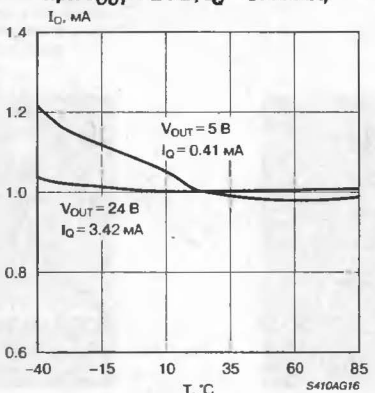
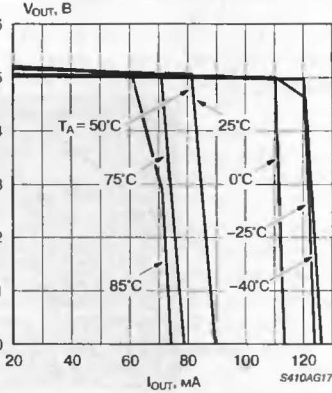


Рис. 12. Зависимость величины ограничения выходного тока от выходного тока ( $V_{OUT} = 5\text{ В}$ ,  $I_{OUT(max)} = 50\text{ мА}$ )





## ТИПОВЫЕ РАБОЧИЕ ХАРАКТЕРИСТИКИ

Рис. 13. Зависимость величины ограничения выходного напряжения от выходного тока  
( $V_{OUT} = 24 \text{ В}$ ,  $I_{OUT}(\text{max}) = 50 \text{ мА}$ )

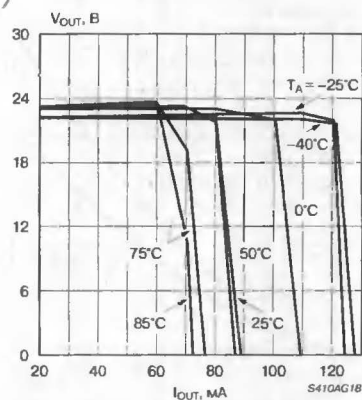


Рис. 14. Зависимость выходного напряжения от величины допуска резистора R2  
(Допуск встроенных резисторов 15%)

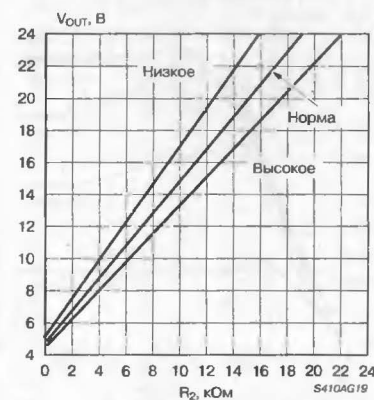


Рис. 15. Зависимость минимального рекомендуемого значения резистора R1 от номинального входного напряжения

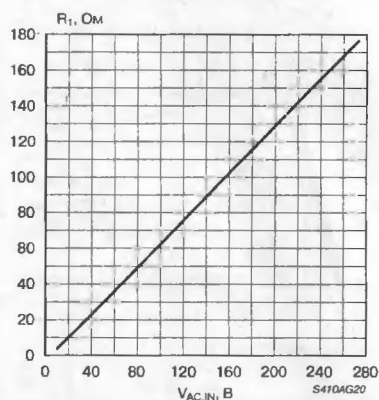


Рис. 16. Осциллограммы входного напряжения на выводе ⑧ (верхняя, 200 В/дел.) и тока через вывод ⑧ (нижняя, 0.5 А/дел.)

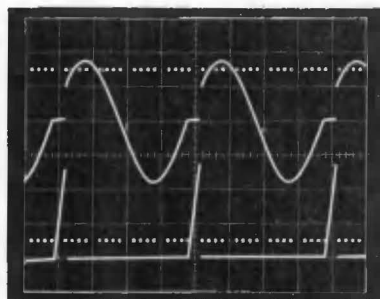


Рис. 17. Осциллограммы входного напряжения на выводе ⑧ (верхняя, 200 В/дел.) и напряжения на конденсаторе C2 (нижняя, 5 В/дел.)

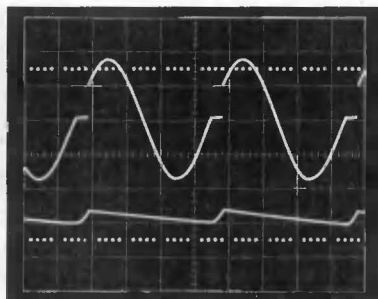


Рис. 18. Осциллограммы входного напряжения на выводе ⑧ (верхняя, 200 В/дел.) и напряжения на конденсаторе C3 (нижняя, 10 В/дел.)

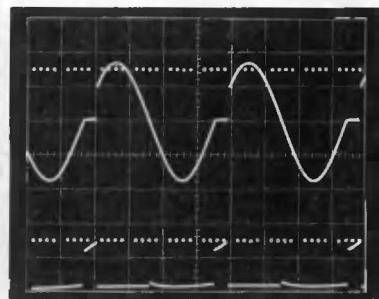


Рис. 19. Осциллограммы пошагового изменения тока нагрузки (верхняя, 50 мА/дел.) и выходного напряжения (нижняя, 20 мВ/дел.)

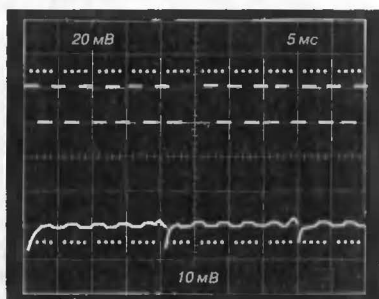
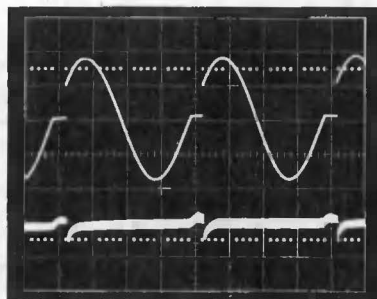


Рис. 20. Осциллограммы входного напряжения на выводе ⑧ (верхняя, 200 В/дел.) и выбросов выходного напряжения (нижняя, 50 мВ/дел.) при выходном напряжении 5 В и наихудших рабочих условиях (Максимальное входное напряжение, минимальное значение R1, максимальное значение  $I_{OUT}$ )



## ИНФОРМАЦИЯ ПО ПРИМЕНЕНИЮ

## КАК РАБОТАЕТ HV-2405E

Микросхема HV-2405E преобразует напряжение сети переменного тока в стабилизированное напряжение постоянного тока для питания маломощных низковольтных компонентов типа интегральных схем. Устройство состоит из двух основных частей, выполненных на одном кристалле. Первая часть — это предварительный стабилизатор, который заряжает большую емкость от сети переменного тока, пока она не зарядится выше заданного выходного напряжения на 6 В. Тогда предварительный стабилизатор переходит в режим блокирования и находится в этом режиме, пока не начнется следующий период сетевого напряжения. Большая емкость питает энергией линейный последовательный стабилизатор, который обеспечивает схему пользователя напряжением постоянного тока. Скорость разряда большой емкости зависит от тока нагрузки. Электролитический конденсатор (большая емкость) перезаряжается во время каждого периода сетевого напряжения.

## ВХОДНОЕ НАПРЯЖЕНИЕ

Микросхема HV-2405E работает в широком диапазоне входных напряжений. Большинство применений использует для питания напряжение сети переменного тока 240 В (rms) или 120 В (rms). Стандартная схема для таких применений показана на Рис. 22. В этой схеме могут использоваться и намного меньшие входные напряжения. Размеры используемых внешних компонентов будут определяться заданным выходным напряжением и током, а также используемым входным напряжением. В разделе "Типовые рабочие характеристики" приводятся несколько графиков, чтобы помочь выбрать значения компонентов для конкретного применения. Рубрика "Выбор компонентов" обсуждает компромиссы, связанные с этим вопросом.

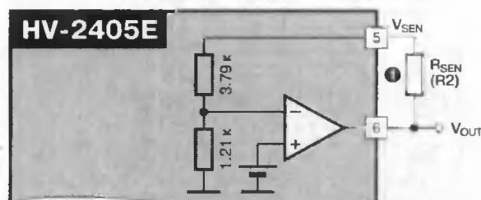
## ВХОДНАЯ ЧАСТОТА

Прибор HV-2405E разработан для работы на частоте от 48 до 380 Гц. Возможна и более высокая рабочая частота. Имейте в виду, что микросхема HV-2405E перезаряжает конденсатор C2 один раз за период частоты сетевого напряжения.

## УСТАНОВКА ВЫХОДНОГО НАПРЯЖЕНИЯ

Микросхема HV-2405E может обеспечить стабилизированное выходное напряжение примерно от 5 до 24 В постоянного тока. На Рис. 23 показаны несколько путей установки выходного напряжения.

Рис. 21. Эквивалентная схема иллюстрирующая установку выходного напряжения



1 R2 (RSEN) [kΩ] =  $V_{OUT} - 5V$ ,  
где  $V_{OUT}$  — желаемое выходное напряжение

Как видно на Рис. 21, выходное напряжение устанавливается с помощью обратной связи на вывод  $V_{SEN}$ . Выходное напряжение будет нарастать до напряжения, необходимого для сохранения 5 В на выводе  $V_{SEN}$ . Для получения выходного напряжения, равного 5 В,

выводы 5 и 6 закорачивают между собой. Имеются три способа сделать выходное напряжение выше 5 В. Самый простой метод состоит в том, чтобы увеличить сопротивление обратной связи, добавив внешний резистор между выводами 5 и 6. Неудобство этого метода в том, что внутренние резисторы схемы имеют допуск приблизительно  $\pm 15\%$ , который ограничивает точность установки выходного напряжения (См. графики). Также необходимо помнить, что внутренние тонкопленочные резисторы имеют низкие температурные коэффициенты.

Внешний делитель напряжения, как показано на Рис. 23 с, улучшает точность установки выходного напряжения, если только внешние резисторы имеют значения намного ниже, чем значения сопротивлений внутреннего делителя. Через вывод 5 течет ток приблизительно 1 мА.

Стабилитрон, включенный между выводами 5 и 6, как показано на Рис. 23 d, устанавливает величину выходного напряжения на 5 В больше, чем его напряжение стабилизации при токе 1 мА. Это напряжение имеет точность установки и допуска, как у стабилитрона. Добавочное преимущество заключается в том, что теперь есть два выходных напряжения, на выводе 5 равное 5 В и на выводе 6 равное  $V_Z + 5V$ . Весь ток от напряжения питания 5 В протекает через опорный диод. Сумма обоих выходных токов не должна превышать 50 мА.

Микросхема HV-2405E имеет встроенный стабилитрон, чтобы не допустить повышения выходного напряжения выше максимального значения 24 В.

## ВЫХОДНОЙ ТОК

Величина непрерывного выходного тока может достигать 50 мА. Мгновенное значение тока может быть больше. Необходимо удостовериться, что емкость C2 не разряжается ниже выходного напряжения плюс падение на стабилизаторе и что длительность рабочего цикла достаточно коротка, чтобы не повышать мощность, рассеиваемую корпусом. Выходной ток ограничивается, как показано на графиках, чтобы защитить микросхему от короткого замыкания в нагрузке.

## ВЫБОР КОМПОНЕНТОВ

Одна из главных особенностей микросхемы HV-2405E — это гибкость ее применения. Одна стандартная конфигурация позволяет иметь огромное число разновидностей входных напряжений и выходных токов, сохраняя стабилизированное выходное напряжение. Например, при  $R1 = 150 \Omega$ ,  $C2 = 470 \mu F$  и  $V_{OUT} = 5V$  прибор HV-2405E обеспечивает стабилизированный выходной ток, равный 50 мА, при входном напряжении переменного тока от 28 до 264 В. Таким образом, проектировщик может выбирать подходящие компоненты для экономии стоимости, места, рассеиваемой мощности и т.д.

Ниже приводится список внешних компонентов, их описание и рекомендуемые значения. Это — полный список возможных компонентов, не все из которых могут потребоваться для конкретного применения (См. "Типовые схемы включения").

**F1:** Плавкий предохранитель. При прямом подключении к сети переменного тока микросхема или конденсатор C2 могут выйти из строя. Рекомендуемое значение — 0.5 А, прибор типа 2AG фирмы Littlefuse 225.500@.

**MOV:** Подавитель выбросов. Чаще всего используется металлоокисный варистор для понижения напряжения до уровня, с которым может работать HV-2405E. Рекомендуемые типы: при работе с напряжением сети до 120 В это V130LA20 или эквивалентные, при работе с напряжением до 240 В используется газоразрядная лампа с напряжением пробоя меньше 500 В.

**R1:** Токоограничивающий резистор. Ограничивает импульсный ток микросхемы HV-2405E. Должен иметь достаточно большую величину, чтобы ограничить ток, когда C2 полностью разряжен. Максимальное значение импульсного тока  $V_{PEAK}/R1 = 2.5 \text{ A}$ . Рассеивание мощности резистором R1 показано на графиках. На резисторе R1 будет рассеиваться мощность:

$$P_D = 1.33 \sqrt{\pi R1 V_{PEAK} (I_{OUT})^3}$$

Небольшие величины средних выходных токов позволяют использовать токоограничивающие резисторы с более низкими значениями  $P_D$ . Точно также возможно уменьшение рассеиваемой мощности со снижением напряжения  $V_{AC}$  или уменьшением величины R1. Выбор величины резистора R1 должен производиться особо для каждого конкретного применения, исходя из конкретной величины максимального зарядного тока конденсатора C2. Перспективно для ограничения максимального зарядного тока использовать резистор с отрицательным ТКС. Рекомендованное значение — 150 Ом.

**C1:** Фильтрующий конденсатор. Компоненты R1 и C1 образуют фильтр низких частот, таким образом ограничивая скорость нарастания напряжения на входе HV-2405E. Рекомендованное значение  $C1 = 0.05 \text{ мкФ}$ .

**C2:** Накопительный конденсатор предварительного стабилизатора. Этот конденсатор заряжается один раз за период выходного напряжения. Оставшуюся часть периода емкость C2 питает линейный стабилизатор микросхемы HV-2405E. Величина емкости конденсатора C2 пропорциональна току

нагрузки. Обычно используется наименьшее значение емкости C2, которое обеспечивает необходимый ток нагрузки (См. графики). Использование большего значения емкости C2 обеспечит повышенные значения импульсного тока нагрузки или нормальный ток во время короткого замыкания нагрузки, а также уменьшит пульсации выходного напряжения. Для максимального тока рекомендуемое значение емкости равно 470 мкФ с рабочим напряжением приблизительно на 10 В выше чем выбранное выходное напряжение  $V_{OUT}$ .

**C3:** Конденсатор задержки. Предупреждает включение микросхемы HV-2405E во время переходных процессов на входе. Если емкость C3 слишком большая, прибор HV-2405E никогда не включится. Если емкость слишком маленькая, нет никакой защиты от переходных процессов. При работе на частоте 50 или 60 Гц рекомендуется значение 150 пФ с рабочим напряжением приблизительно на 10 В выше, чем выбранное выходное напряжение  $V_{OUT}$ .

**C4:** Выходной фильтрующий конденсатор. Для поддержания стабильности выходного напряжения требуется емкость по крайней мере 1 мкФ. Большие значения не будут уменьшать пульсации, но уменьшат выбросы напряжения, которые могут происходить на выходе во время вхождения в режим блокирования.

**R2:** Компонент обратной связи. Это резистор или стабилитрон, на котором происходит падение напряжения между выводами  $V_{OUT}$  и  $V_{SEN}$  и, таким образом, установка выходного напряжения. Смотрите схемы и график для определения приблизительного значения резистора. Через этот компонент протекает ток около 1 мА.

## ТИПОВЫЕ СХЕМЫ ВКЛЮЧЕНИЯ

Рис. 22. Типовая схема с выходным напряжением 5 В



Рис. 23. Варианты схемотехники для установки выходного напряжения

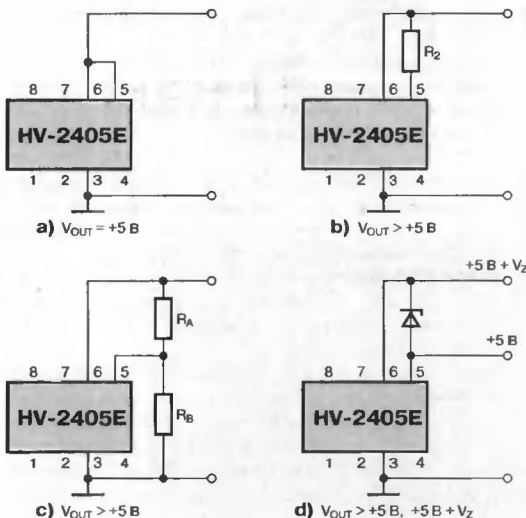


Таблица 1. Выбор компонентов для установки выходного напряжения

Вариант b		Вариант c		Вариант d	
R2	$V_{OUT}$	$R_A/R_B$	$V_{OUT}$	$V_Z^*$	$V_{OUT}$
0	5 В	0/Нет	5 В	—	5 В
1 кОм	6 В	160/1 кОм	6 В	1 В	6 В
3 кОм	8 В	510/1 кОм	8 В	3 В	8 В
5 кОм	10 В	820/1 кОм	10 В	5 В	10 В
7 кОм	12 В	1.2 кОм/1 кОм	12.2 В	7 В	12 В
9 кОм	14 В	1.5 кОм/1 кОм	14 В	9 В	14 В
11 кОм	16 В	1.8 кОм/1 кОм	15.8 В	11 В	16 В
13 кОм	18 В	2.2 кОм/1 кОм	18.2 В	13 В	18 В
15 кОм	20 В	2.4 кОм/1 кОм	19.4 В	15 В	20 В
17 кОм	22 В	3.0 кОм/1 кОм	23 В	17 В	22 В
19 кОм	24 В	3.17 кОм/1 кОм	24 В	19 В	24 В

Примечание:

Величина  $V_Z$  приводится для тока стабилитрона 1 мА

## ТИПОВЫЕ СХЕМЫ ВКЛЮЧЕНИЯ (Продолжение)

Рис. 24. Схема с использованием мостового выпрямителя

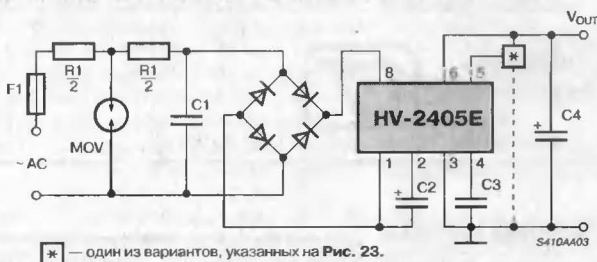


Рис. 25. Типовая схема с выходным напряжением больше 5 В

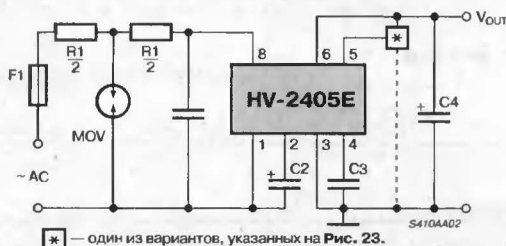


Рис. 26. Схема с применением газоразрядной лампы в качестве подавителя выбросов

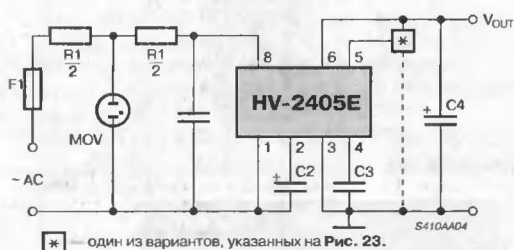


Рис. 27. Использование выключателя для включения/выключения выходного напряжения

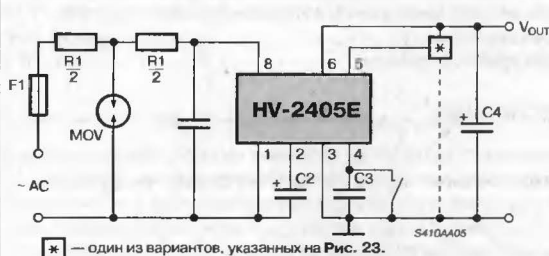


Рис. 28. Параллельное включение микросхем HV-2405E (Первый способ)

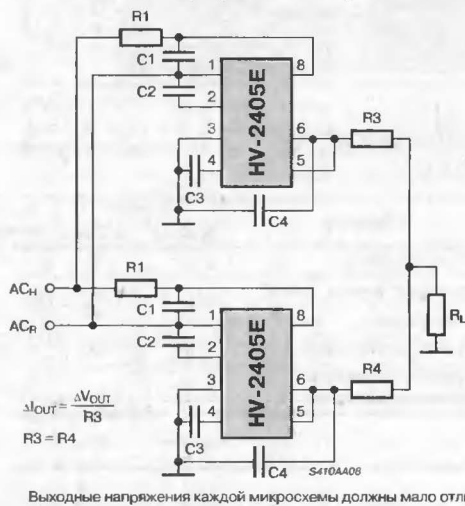


Рис. 29. Параллельное включение микросхем HV-2405E (Второй способ)

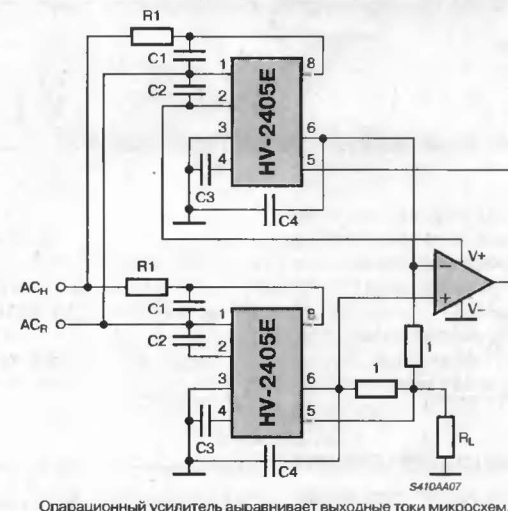
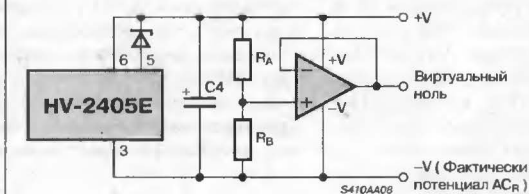


Рис. 30. Получение двухполярного напряжения с помощью "искусственной земли"





# АС/DC-ПРЕОБРАЗОВАТЕЛЬ 1182ЕМ2

Аналог — без аналога

Товарные знаки  
фирм изготовителей



## ОСОБЕННОСТИ

- Широкий диапазон входных напряжений ..... 67...264 В
- Широкий диапазон входных частот ..... 50...400 Гц
- Максимальный выходной постоянный ток ..... 60 мА
- Включение тиристорного ключа только при нулевом входном напряжении
- Выключение тиристорного ключа по достижении на выходе напряжения ... 60 В
- Выходное напряжение ..... 10...70 В
- Программируемое напряжение ..... 2.5...36 В

## ОБЩЕЕ ОПИСАНИЕ

Микросхема 1182ЕМ2 представляет из себя преобразователь напряжения сети переменного тока в постоянное напряжение от 10 до 70 В и предназначена для создания компактных источников питания радиоэлектронной аппаратуры малой потребляемой мощности или вспомогательных источников для мощных импульсных блоков питания.

## ТИПОНОМИНАЛЫ

КР1182ЕМ2  
С-77

## МАКСИМАЛЬНЫЕ ЗНАЧЕНИЯ ПАРАМЕТРОВ И РЕЖИМОВ

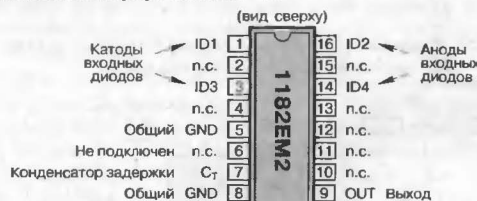
Напряжение входное импульсное .....	500 В
Напряжение входное переменное .....	18...264 В
Напряжение выходное .....	10...70 В
Ток входной импульсный .....	2.5 А
Ток выходной .....	100 мА
Мощность, рассеиваемая корпусом .....	0.8 Вт
Температура кристалла .....	-5...150°C
Диапазон рабочих температур .....	-40...85°C

## ФУНКЦИОНАЛЬНОЕ ОПИСАНИЕ

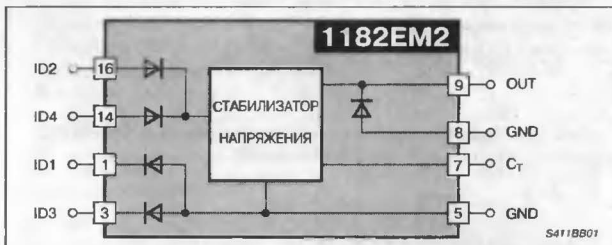
Основная функция микросхемы — это преобразование переменного напряжения в постоянное. Импульсный стабилизатор (см. Рис. 2) через внешний токоограничивающий резистор подключает внешний накопительный конденсатор С3 к сети переменного тока до тех пор, пока он не зарядится до напряжения, определяемого внешним стабилитроном с напряжением пробоя, меньшим 65 В, включенным между выводами [7] и [5] микросхемы. Если внешний стабилитрон не установлен, то это напряжение будет определяться внутренним стабилитроном и составит 65 В (типичное значение). Затем стабилизатор отключает емкость от сети до следующей полуволны сетевого напряжения. В оставшееся время цикла конденсатор С3 питает нагрузку. Следующий цикл включения импульсного стабилизатора происходит после перехода входного напряжения через 0 В и достижения напряжения на входе импуль-

## ЦОКОЛЕВКА КОРПУСОВ

Пластмассовый корпус типа: DIP-16



## СТРУКТУРНАЯ СХЕМА



## ЭЛЕКТРИЧЕСКИЕ ПАРАМЕТРЫ

При  $T_A = +25^\circ\text{C}$

Символ	Параметр	Значение		Единица измерения
		не менее	не более	
$V_{out(max)}$	Выходное напряжение	—	70	В
$V_{out} - V_{in}$	Падение напряжения вход-выход	—	6	В
$I_c$	Ток потребления	—	2	мА
$I_{лl}$	Ток утечки входных диодов	—	100	мкА
$V_z$	Напряжение стабилизации встроенного стабилитрона	60	—	В

сного регулятора примерно на 1.5 В больше, чем на накопительном конденсаторе. Поэтому частота включения стабилизатора и, следовательно, частота заряда конденсатора равны удвоенной частоте входного напряжения.

Данный принцип управления предварительным стабилизатором позволяет применять микросхему только при подключении к сети переменного тока и обеспечивает возможность нормального функционирования микросхемы при изменении входного напряжения от 18 до 264 В и частоты входного напряжения от 48 до 440 Гц. На выходе схемы получается постоянное напряжение, имеющее пульсацию с удвоенной частотой входного напряжения и величиной, прямо пропорциональной току нагрузки и обратно пропорциональной емкости С3.

ИНФОРМАЦИЯ ПО ПРИМЕНЕНИЮ

Типовая схема включения позволяет реализовать источники питания для большого диапазона входного напряжения и выходного тока.

Ниже приводится список внешних компонентов, описание их назначения и рекомендованные значения. Для каждого конкретного источника питания могут потребоваться не все из них.

**F1** Плавкий предохранитель. Нужен для защиты микросхемы и нагрузки в аварийной ситуации. Рекомендуются номинал предохранителя — 500 мА.

**R1** Ограничивающий резистор. Ограничивает ток импульсного регулятора и ток заряда емкости C3. Пиковое значение тока  $V_{I\text{ PEAK}}/R1$  не должно превышать 2.5 А. Рассеиваемая на R1 мощность при синусоидальном входном напряжении с амплитудой  $V_{I\text{ PEAK}}$  и при токе нагрузки  $I_{OUT}$  определяется по формуле:

$$P_D = 2.66 \sqrt{\pi R1 V_{I\text{ PEAK}} (I_{OUT})^3}.$$

Номинал и мощность R1 выбирается в соответствии с предполагаемой сферой применения, при условии неперевышения максимального тока заряда. Целесообразно использовать резистор с отрицательным температурным коэффициентом. Рекомендованное значение R1 = 150 Ом.

**C1** Фильтрующий конденсатор. R1 и C1 образуют фильтр, сглаживающий высокочастотные выбросы входного напряжения. Рекомендуется C1 = 0.05 мкФ.

**MON** Защита от перенапряжения. Возможно использование варистора для переменного напряжения до 120 В или газоразрядной лампы на 500 В для переменного напряжения до 240 В.

**C2** Конденсатор задержки. Подключение источника питания к сетевому напряжению, в общем случае, происходит не синхронизированно с ним. С большой вероятностью это может произойти в момент, когда входное напряжение близко к пиковому напряжению или даже при более высоких напряжениях, связанных с выбросами в сети. Так как накопительный конденсатор при этом полностью разряжен, то через микросхему потечет больший по сравнению с установившимся режимом ток. Для повышения надежности источника и без ущерба его характеристикам целесообразно заблокировать включение импульсного стабилизатора до следующей полуволны, что и гарантирует подключение конденсатора C2 на 150 нФ с рабочим напряжением на 10 В выше выходного.

**C3** Накопительный конденсатор. Этот конденсатор заряжается два раза за период входного напряжения, остальное время питает нагрузку. Емкость конденсатора выбирается пропорциональной требуемому максимальному току нагрузки. Увеличение емкости C3 уменьшает пульсации выходного напряжения. Для максимального тока нагрузки рекомендуется конденсатор 470 мкФ с рабочим напряжением на 10 В выше выходного.

**VD1** Стабилитрон. Он задает уровень выходного напряжения. При его отсутствии работает внутренний стабилитрон на 60 В.

Если необходимо включение и выключение постоянного выходного напряжения, не отключая входное сетевое, то предлагается

подключать к выводу 7 механический переключатель, оптопару или транзистор с открытым коллектором (См. Рис. 4).

Для гальванической развязки от сети переменного тока возможно применение разделяющего трансформатора.

РЕКОМЕНДАЦИИ ПО ПРИМЕНЕНИЮ

При проектировании печатных плат следует учесть следующие моменты. Проводники для подачи переменного напряжения к выводам 1, 3 и 14, 16 должны находится на достаточном расстоянии между собой вследствие наличия на них высокого напряжения. С целью повышения надежности (уменьшения выбросов напряжения на входе микросхемы при выключении импульсного стабилизатора) необходимо уменьшать паразитную индуктивность, в частности максимально укоротить связи между микросхемой и элементами R1, C1, C2.

СХЕМЫ ВКЛЮЧЕНИЯ

Рис. 2. Типовая схема включения

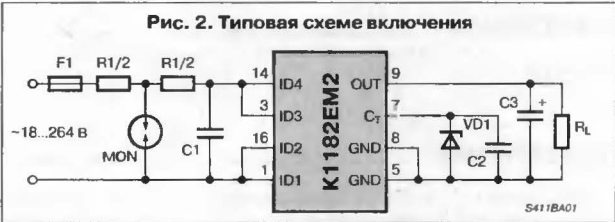


Рис. 3. Способы задания выходного напряжения

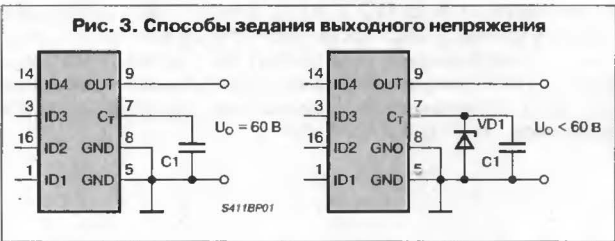


Рис. 4. Схеме включения с выходным выключателем

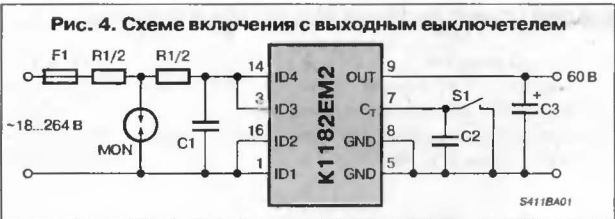
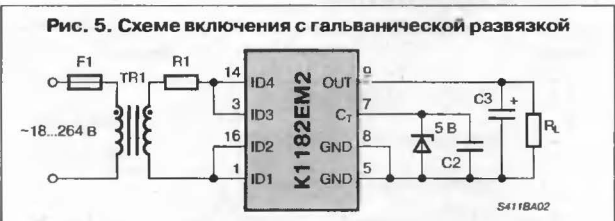


Рис. 5. Схеме включения с гальванической развязкой



ВНИМАНИЕ!

По сравнению с обычными блоками питания на трансформаторах, источник питания на основе микросхемы KP1182EM2 не имеет гальванической развязки от напряжения сети переменного тока. При разработке конструкции следует помнить о необходимости соответствующей изоляции. Любая подключаемая схема должна рассматриваться как неизолированная.



# МОЩНЫЙ АС/ДС-ПРЕОБРАЗОВАТЕЛЬ 1182ЕМ3

Аналог — без аналога

Товарные знаки  
фирм изготовителей



## ОСОБЕННОСТИ

- Входное напряжение переменного тока ..... 80...276 В
- Выходное напряжение ..... 5...( $V_{CC} - 10$ ) В
- Ток нагрузки .....  $\leq 1.7$  А
- Встроенная защита по току
- Встроенная тепловая защита
- Высокий выходной импеданс при отсутствии входного напряжения
- Выходное напряжение устанавливается стабилизатором

## ТИПОНОМИНАЛЫ

KP1182EM3

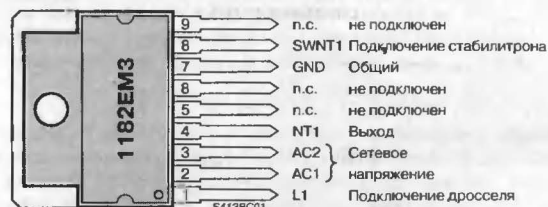
C-101

## ОБЩЕЕ ОПИСАНИЕ

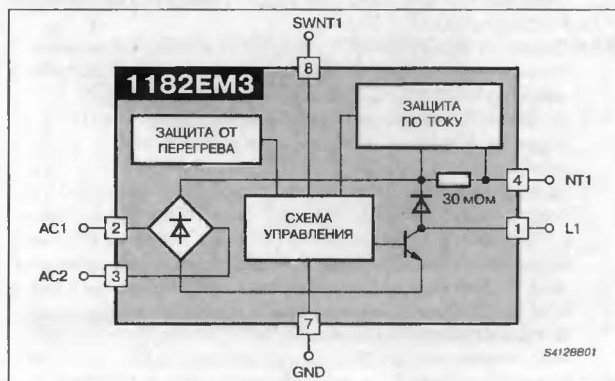
Микросхема 1182ЕМ3 представляет из себя мощный однокристалльный преобразователь переменного напряжения сети в постоянное от 5 до ( $V_{CC} - 10$ ) В. Прибор предназначен для создания мощных компактных сетевых источников питания как без, так и с гальванической развязкой от сети переменного тока. Диапазон входных напряжений микросхемы специально рассчитан на часто встречающиеся стандартные значения сетевого напряжения 110 В  $\pm 20\%$  и 220 В  $\pm 20\%$ .

## ЦОКОЛЕВКА КОРПУСОВ

Пластмассовый корпус типа MULTIWATT-9



## СТРУКТУРНАЯ СХЕМА



## МАКСИМАЛЬНЫЕ ЗНАЧЕНИЯ ПАРАМЕТРОВ И РЕЖИМОВ

Входное напряжение ..... 80...276 В  
Максимальный ток нагрузки ..... 1.7 А  
Максимальный статический потенциал ..... 2000 В  
Диапазон рабочих температур кристалла .....  $-40...+150^{\circ}\text{C}$   
Диапазон температур хранения .....  $-55...+150^{\circ}\text{C}$

Тепловое сопротивление:

кристалл/корпус .....  $4^{\circ}\text{C}/\text{Вт}$   
кристалл/окружающая среда .....  $50^{\circ}\text{C}/\text{Вт}$   
Температура срабатывания защиты ..... 135... 160 $^{\circ}\text{C}$

## ЭЛЕКТРИЧЕСКИЕ ПАРАМЕТРЫ

Символ	Параметр	Значения			Единица измерения
		не менее	типовое	не более	
$I_{CC}$	Собственный ток потребления	—	—	10	мА
$V_{NT1}$	Выходное напряжение (на выводе NT1)	при $V_{ST} = 48$ В	45.6	50.4	В
$V_{NT1}$		при $V_{ST} = 27$ В	25.65	28.35	В
	Пульсации выходного напряжения	—	1	—	В
$I_{NT1}$	Выходной ток	—	—	1.7	А
$I_{LK}$	Ток утечки выходного транзистора	—	—	1	мА
$V_{OL}$	Остаточное напряжение выходного транзистора	—	—	5	В
$I_{ST}$	Ток стабилизатора	—	—	0.5	мА
$t_1$	Время задержки включения транзистора	—	—	2	мкс
$t_2$	Время задержки выключения транзистора	—	—	2	мкс

## РЕКОМЕНДАЦИИ ПО ПРИМЕНЕНИЮ

Поскольку в микросхеме 1182EM3 используется принцип частотно-импульсной модуляции (ЧИМ), то для исключения появления гармоник в звуковом диапазоне частот необходимо учитывать следующие моменты:

1. Средний ток по выводу L равен 2 А с гистерезисом 0.2 А;

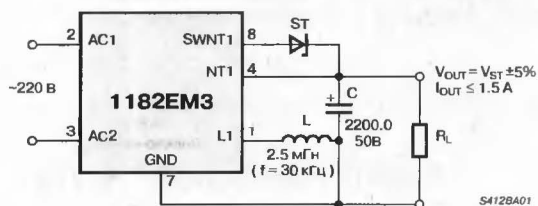
2. Гистерезис выходного напряжения равен 0.5 В;

3. Частота выходных импульсов находится в диапазоне 20...70 кГц (зависит от величины L)

4. Выходное напряжение определяется напряжением стабилитрона (ST), подключенного между выводами SWNT1 и NT1.

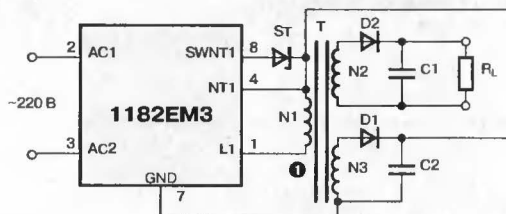
## СХЕМЫ ВКЛЮЧЕНИЯ

Рис. 1. Типовая схема подключения без гальванической развязки от сети



S412BA01

Рис. 2. Типовая схема подключения с гальванической развязки от сети



S412BA02

① Трансформатор не должен входить в режим насыщения



## ДЛЯ ЗАМЕТОК

# DC/DC-КОНВЕРТЕРЫ

Наиболее популярный вид преобразователей напряжения. В данный раздел включены микросхемы преобразователей напряжения на переключаемых (коммутируемых) конденсаторах, а также микросхемы для индуктивных DC/DC-преобразователей с частотно-импульсной или частотно-широтной модуляцией. ШИМ-преобразователи выделены в отдельный раздел. Впервые приводится информация по новейшим микросхемам: 1156ЕУ5 и 1184ПН1 (МС34063), 1446ПН21/22/23 (RH5RIxxxB).

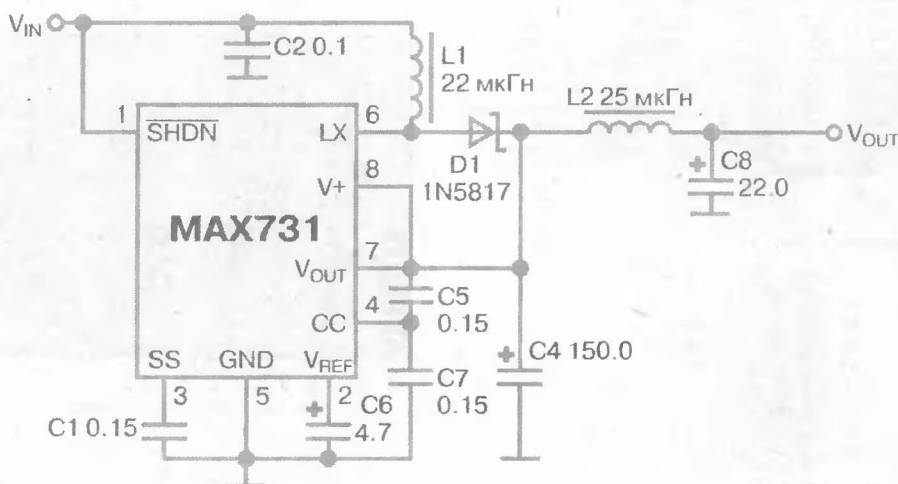
## ОТЕЧЕСТВЕННАЯ МИКРОСХЕМА

Стр.

## ЗАРУБЕЖНЫЙ АНАЛОГ

Стр.

<b>142ЕП1</b>	Схема для построения импульсного стабилизатора . . . . .	38	<b>LM110/300</b>	Стабилизатор напряжения. . . . .	40
<b>1155ЕУ1</b>	Мощный импульсный стабилизатор. . .	42	<b>LAS63xx</b>	Мощные импульсные стабилизаторы . . . . .	43
<b>1156ЕУ1</b>	Универсальный импульсный стабилизатор напряжения . . . . .	62	<b>μA78S40</b>	Универсальный импульсный стабилизатор. . .	63
<b>1156ЕУ5, 1184ПН1</b>	Схема управления DC/DC-преобразователем. . . . .	67	<b>МС33063А/34063А</b>	Схема управления DC/DC-преобразователем. . . . .	68
<b>1168ЕП1</b>	Преобразователь напряжения . . . . .	73	<b>ICL7660</b>	Интегральный конвертер напряжения . . . . .	74
<b>1446ПН1</b>	DC/DC-преобразователь . . . . .	79	<b>MAX731/752</b>	Повышающие DC/DC-преобразователи . . .	80
<b>1446ПН2</b>	DC/DC-преобразователь . . . . .	87	<b>MAX734</b>	DC/DC-конвертер для программирования ФЛЕШ-памяти . . . . .	88
<b>1446ПН3</b>	DC/DC-преобразователь . . . . .	90	<b>MAX641/2/3</b>	Повышающие импульсные DC/DC-конвертеры . . . . .	91
<b>1446ПН21/22/23</b>	Повышающий DC/DC-преобразователь с ЧИМ. . . . .	97	<b>RH5RIxxxB</b>	Повышающий DC/DC-преобразователь с ЧИМ. . . . .	98



# СХЕМА ДЛЯ ПОСТРОЕНИЯ ИМПУЛЬСНОГО СТАБИЛИЗАТОРА 142ЕП1

Прототип  
LM100



Товарные знаки  
фирм изготовителей



## ОСОБЕННОСТИ

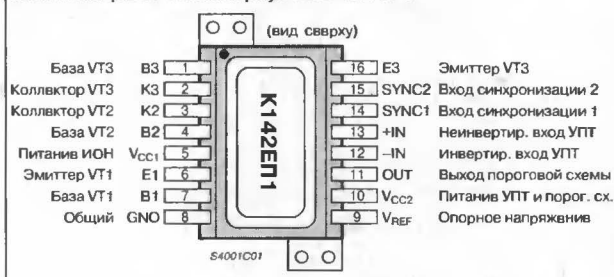
- Частота коммутации ..... 100 кГц
- Входное напряжение .....  $\leq 40$  В
- Выходной ток ..... 200 мА
- Опорное напряжение:  
для 142ЕП1А ..... 1.7...2.2 В  
для 142ЕП1Б ..... 1.65...2.3 В
- Напряжение питания:  
ИОН ( $V_{CC1}$ ) ..... 10...40 В  
УПТ и порогового устройства ( $V_{CC2}$ ) ..... 5...7 В
- Максимальная рассеиваемая мощность (в рабочем диапазоне  $T_A$ ):  
для корпуса 402.16-7 ..... 0.6 Вт  
для корпуса 2102.16-1 ..... 0.55 Вт
- Диапазон рабочих температур:  
для 142ЕП1, 1145ЕП2 ..... -60...+125°C  
для К142ЕП1 ..... -45...+85°C  
для КР142ЕП1 ..... -10...+70°C

## ТИПОНОМИНАЛЫ

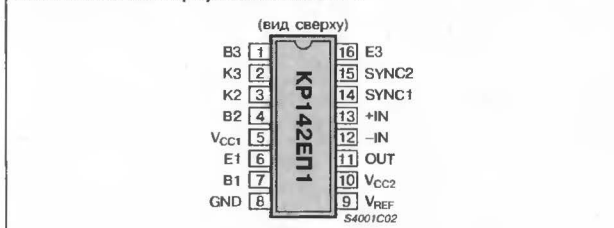
142ЕП1	6КО.347.098ТУ2
К142ЕП1	6КО.348.425-01ТУ
КР142ЕП1А	6КО.348.634-04ТУ
КР142ЕП1Б	6КО.348.634-04ТУ
1145ЕП2	

## ЦОКОЛЕВКА КОРПУСОВ

Металлокерамический корпус типа 402.16-7



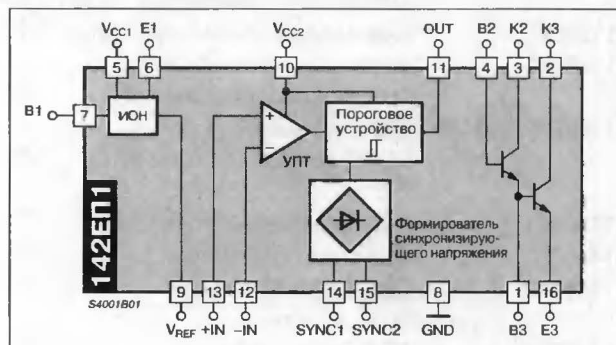
Пластмассовый корпус типа 2101.16-1



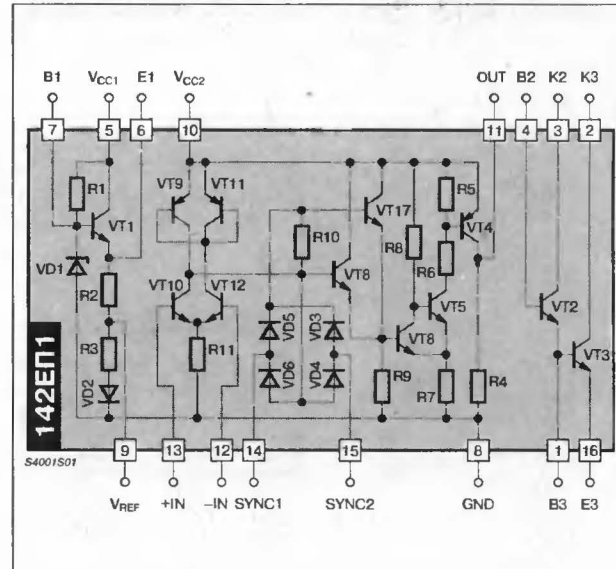
## ОБЩЕЕ ОПИСАНИЕ

Микросхема 142ЕП1 представляет из себя набор элементов, предназначенных для построения импульсного стабилизатора положительного напряжения. Варианты исполнения 142ЕП1, К142ЕП1 и 1145ЕП2 выполняются в металлокерамическом корпусе типа 402.16-7, а КР142ЕП1 — в пластмассовом корпусе типа 2102.16-1. Дополнительную информацию можно найти в издании "Микросхемы для бытовой аппаратуры". М., РиС, 1989, стр. 48...50.

## СТРУКТУРНАЯ СХЕМА



## ПРИНЦИПИАЛЬНАЯ СХЕМА



ЗАМЕЧАНИЯ ПО ПРИМЕНЕНИЮ

Импульсные стабилизаторы применяются в тех случаях, когда требуются повышенные значения КПД (при больших значениях выходного тока, больших значениях падения напряжения на регулирующем элементе). На Рис. 1 приведена структурная схема импульсного стабилизатора понижающего типа, рассчитанная на применение микросхемы 142ЕП1. Когда ключевой транзистор Т1 открыт, ток через катушку индуктивности L увеличивается и заряжает конденсатор С. Напряжение на конденсаторе С увеличивается до тех пор пока напряжение на инвертирующем входе УПТ не превысит опорное напряжение  $V_{REF}$ , в этот момент напряжение выхода УПТ переключает пороговое устройство, которое в свою очередь закрывает транзистор Т1. Энергия, запасенная в индуктивности L вызывает импульс напряжения отрицательной полярности, который поглощается диодом D1. Ток индуктивности I подается в нагрузку, после того, как ток в катушке L упадет ниже уровня тока нагрузки, емкость С начинает разряжаться и величина выходного напряжения уменьшается. Как только напряжение на инвертирующем входе превысит  $V_{REF}$ , транзистор Т1 откроется и цикл повторится.

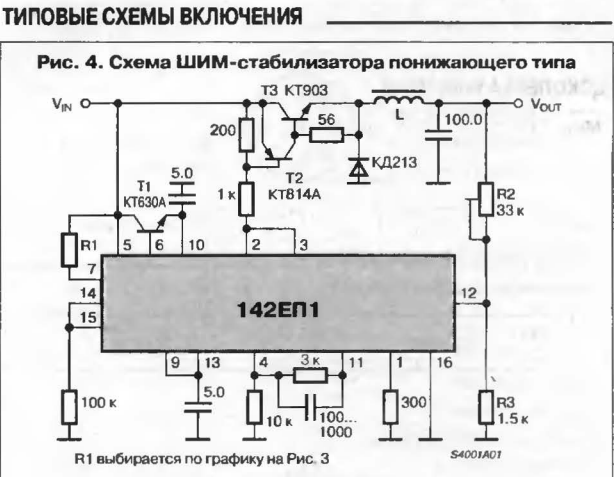
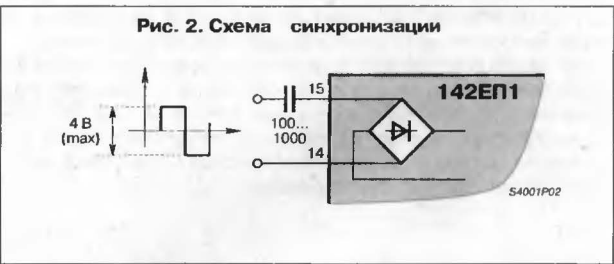
Выходное напряжение колеблется около величины  $V_{OUT} = V_{REF} (R2 + R1)/R1$  с амплитудой, определяемой чувствительностью усилителя и отношением резисторов R1 и R2. Величина индуктивности определяется при допущении, что  $I_{OUT(max)} = 1.3 I_L$  и находится по формуле:

$$L = \frac{1.3 (V_{IN} - V_{OUT})}{I_{OUT(max)} \times f} \times \left( \frac{V_{OUT}}{V_{IN}} \right),$$

где:  
 $f$  — частота коммутации;  
 $V_{IN}$  — входное напряжение;  
 $V_{OUT}$  — выходное напряжение;  
 $I_{OUT(max)}$  — максимальный ток нагрузки;  
 $I_L$  — ток в индуктивности L.

При отсутствии резистора, шунтирующего выводы [14] и [15] на землю (См. Рис. 4), частота коммутации меняется в пределах 25...100 кГц в зависимости от температуры. Возможна синхронизация от внешних устройств (См. Рис. 2) прямоугольными импульсами амплитудой 2...4 В. Номинал резистора R1, подключенного между выводами [5] и [7], зависит от величины напряжения питания  $V_{CC1}$  и определяется по графику на Рис. 3.

Питание УПТ и порогового устройства может осуществляться как через транзистор Т1, так и непосредственно через вывод [6] (для этого надо соединить выводы [6] и [10]). Выходное напряжение регулируется с помощью резистора R2. Ток делителя R2, R3 должен быть не менее 1.5 мА. Синфазное входное напряжение на выводах [12] и [13] не должно превышать 2.8 В.





### ОСОБЕННОСТИ

- Регулировка выходного напряжения ..... 2...30 В
- Нестабильность по напряжению .....  $\leq 1\%$
- Нестабильность по току ..... 1%
- Регулируемая схема защиты от КЗ
- Выходной ток при использовании внешнего транзистора .....  $> 5$  А
- Может работать как линейный и как импульсный стабилизатор

### ОБЩЕЕ ОПИСАНИЕ

Микросхема LM100 представляет из себя интегральный монолитный стабилизатор напряжения. Прибор был спроектирован для применения как в источниках питания цифровых устройств, так и для построения прецизионных стабилизаторов напряжения.

Микросхема LM100 может применяться как в качестве линейного стабилизатора, так и в качестве импульсного стабилизатора с высоким КПД. Она имеет прекрасные переходные и нагрузочные характеристики, малую величину рассеиваемой мощности в дежурном режиме и не склонна к генерации при работе как на резистивную, так и на активную нагрузку.

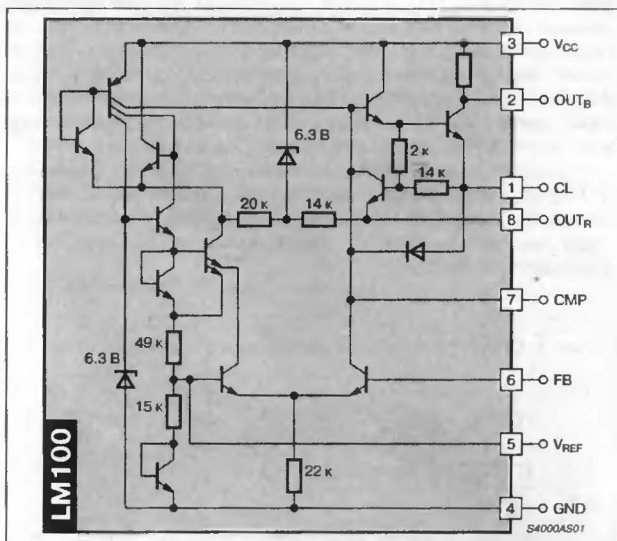
### ЦОКОЛЕВКА КОРПУСОВ

Металлостеклянный корпус типа TO-99

(вид снизу)



### ПРИНЦИПИАЛЬНАЯ СХЕМА



### МАКСИМАЛЬНЫЕ ЗНАЧЕНИЯ ПАРАМЕТРОВ И РЕЖИМОВ

Параметр	LM100	LM300	Единица измерения
Входное напряжение	40	35	В
Разность напряжений вход-выход	40	30	В
Мощность рассеивания	500	300	мВт
Рабочий диапазон температур кристалла	-55...+150	0...70	°C
Диапазон температур хранения	-65...+150	-55...+125	°C
Температура припоя (пайка 60 с)	300	260	°C

### ЭЛЕКТРИЧЕСКИЕ ПАРАМЕТРЫ

В рабочем диапазоне температур

Параметр	Условия	LM100			LM300			Единица измерения
		не менее	типичное	не более	не менее	типичное	не более	
Входное напряжение		8.5	—	40	8.0	—	30	В
Выходное напряжение		2.0	—	30	2.0	—	20	В
Разность напряжений вход-выход		3.0	—	30	3.0	—	20	В
Нестабильность по току	$R_{SC} = 0, I_O < 12$ мА	—	0.1	0.5	—	0.1	0.5	%
Нестабильность по напряжению	$V_{IN} - V_{OUT} \leq 5$ В	—	0.1	0.2	—	0.1	0.2	%/В
	$V_{IN} - V_{OUT} > 5$ В	—	0.05	0.2	—	0.05	0.1	%/В
Температурная стабильность	$-55 \leq T_A \leq +125$ °C	—	0.3	1.0	—	—	—	%
	$0 \leq T_A \leq 70$ °C	—	—	—	—	0.3	2.0	%
Напряжение обратной связи		—	1.8	—	—	1.8	—	В
Напряжение шума на выходе	$10$ Гц $\leq f \leq 10$ кГц	—	0.005	—	—	0.005	—	%
	$C_{REF} = 0.1$ мкФ	—	0.002	—	—	0.002	—	%

ЭЛЕКТРИЧЕСКИЕ ПАРАМЕТРЫ (Продолжение)

Параметр	Условия	LM100			LM300			Единица измерения
		не менее	типовое	не более	не менее	типовое	не более	
Долговременная стабильность		—	0.1	1.0	—	0.1	1.0	%/1000 ч
Ток потребления в дежурном режиме	$V_{IN} = 40\text{ В}$	—	1.0	3.0	—	—	—	мА
	$V_{IN} = 30\text{ В}$	—	—	—	—	1.0	3.0	мА
Минимальный ток нагрузки	$V_{IN} - V_{OUT} = 30\text{ В}$	—	1.5	3.0	—	—	—	мА
	$V_{IN} - V_{OUT} = 20\text{ В}$	—	—	—	—	1.5	3.0	мА

СХЕМЫ ПРИМЕНЕНИЯ

Рис. 1. Типовая схема включения

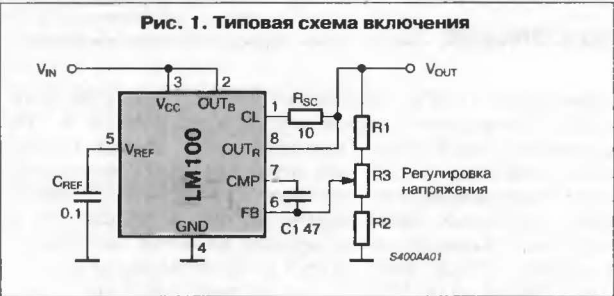


Рис. 2. Стабилизатор на ток 200 мА



Рис. 3. Стабилизатор на ток 2 А

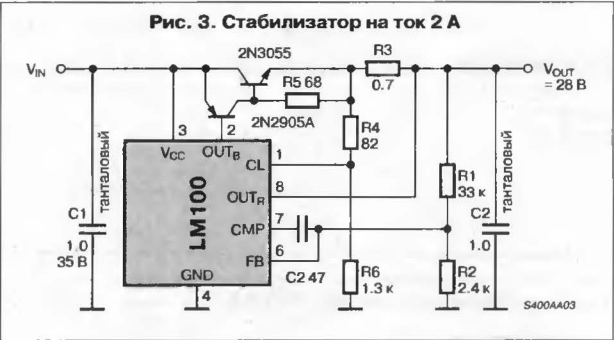
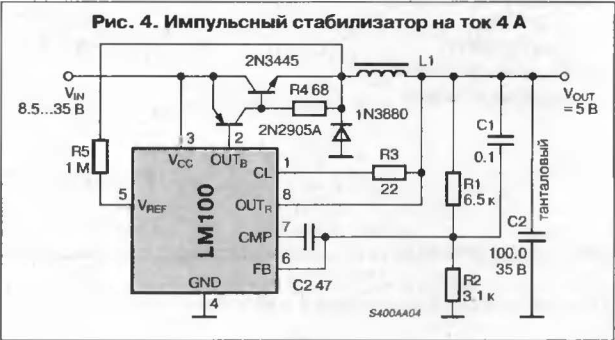


Рис. 4. Импульсный стабилизатор на ток 4 А



# МОЩНЫЙ ИМПУЛЬСНЫЙ СТАБИЛИЗАТОР 1155EY1



## ОСОБЕННОСТИ

- Коммутируемое напряжение ..... < 40 В
- Напряжение питания ..... 6...36 В
- Выходной ток:  
для 1155EY1 ..... 5 А  
для КР1155EY1 ..... 8 А
- Рабочая частота ..... < 200 кГц
- Рассеиваемая мощность ( $T_A = 25^\circ\text{C}$ ):  
для 1155EY1 ..... 20 Вт  
для КР1155EY1 ..... 8.5 Вт
- Диапазон рабочих температур:  
для 1155EY1 .....  $-60...+125^\circ\text{C}$   
для КР1155EY1 .....  $-45...+85^\circ\text{C}$
- Внутренняя тепловая защита
- Дистанционное управление

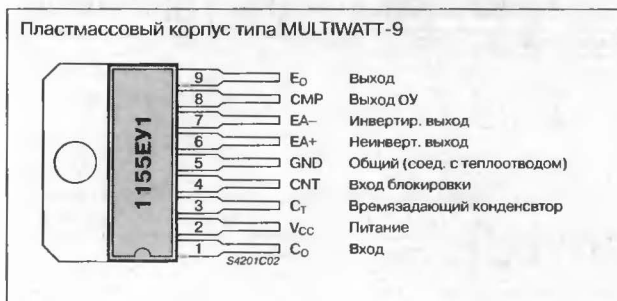
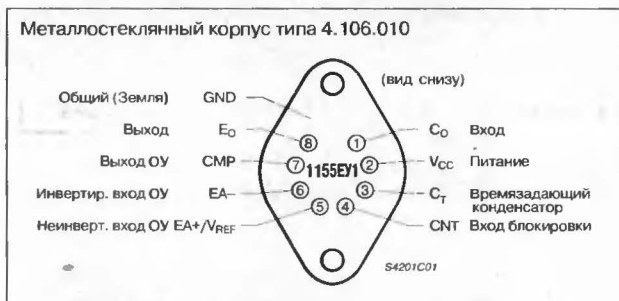
## ОБЩЕЕ ОПИСАНИЕ

Микросхема 1155EY1 представляет из себя схему управления мощным импульсным стабилизатором и предназначена для построения понижающих, повышающих и инвертирующих преобразователей постоянного тока с широтно-импульсной модуляцией и величиной коммутируемого тока до 5 А (8 А). Прибор имеет встроенные схемы защиты по току и температуре и специальный вывод для дистанционного включения/выключения. Микросхема 1155EY1 выпускается в металлостеклянном корпусе типа 4.106.010, а КР1155EY1 — в пластмассовом корпусе типа MULTIWATT-9.

## ТИПОНОМИНАЛЫ

1155EY1  
КР1155EY1  
С-21  
С-74

## ЦОКОЛЕВКА КОРПУСОВ



## СТРУКТУРНАЯ СХЕМА

Не имеет отличий от структурной схемы LAS6380, см. стр. 43.

## СХЕМЫ ВКЛЮЧЕНИЯ

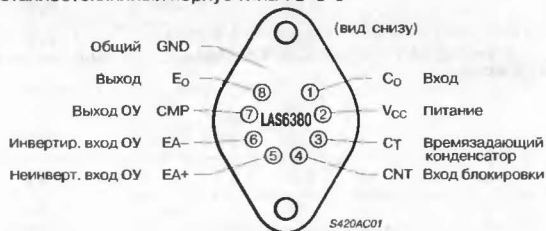
Не имеют отличий от схем включения LAS6380, см. стр. 45.

#### ОСОБЕННОСТИ

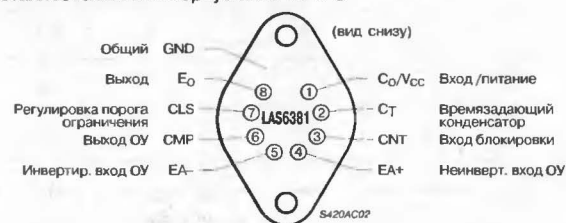
- Регулируемое выходное напряжение
- Ограничение тока в каждом периоде
- Внутренняя тепловая защита
- Выход управления включением/выключением
- Частота коммутации ..... 0...100 кГц

#### ЦОКОВКА КОРПУСОВ

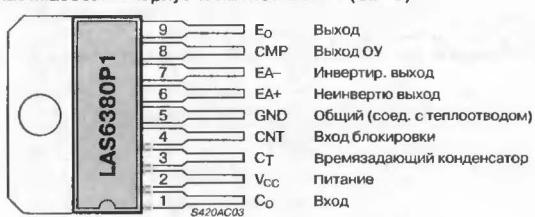
##### Металлостеклянный корпус типа TO-3-8



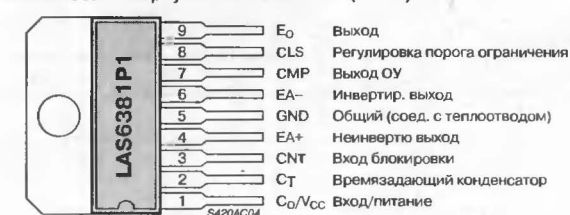
##### Металлостеклянный корпус типа TO-3-8



##### Пластмассовый корпус типа MULTIWATT (SIP-9)



##### Пластмассовый корпус типа MULTIWATT (SIP-9)



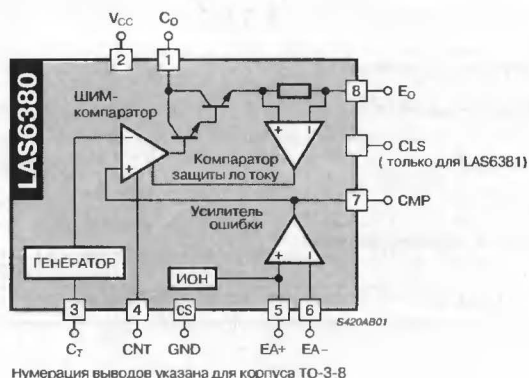
#### ОБЩЕЕ ОПИСАНИЕ

Семейство интегральных микросхем LAS63xx предназначено для построения импульсных ШИМ-преобразователей с фиксированной частотой: обратныхходовых, прямыхходовых, Кука, как понижающих, так и повышающих, DC/DC-конвертеров, а также схем управления электродвигателями. Микросхемы семейства LAS63xx состоят из температурно-компенсированного ИОН, генератора пилообразного напряжения со схемой изменения частоты при перегрузках по току, линейного широтно-импульсного модулятора с управлением по заднему фронту и логической схемой подавления двояных импульсов, усилителя ошибки и выходного составного транзистора Дарлингтона на 8 А со схемой защиты от перегрузки по току. Микросхемы LAS6380 и LAS6380P1 могут использоваться в понижающих и повышающих преобразователях. Микросхемы LAS6381 и LAS6381P1 предназначены для применения в понижающих преобразователях, где необходима регулировка порога ограничения выходного тока. Приборы серии LAS63xx выпускаются как в герметичных металлостеклянных корпусах TO-3-8, так и в пластмассовых корпусах типа SIP-9.

#### ТИПОНОМИНАЛЫ

Типономинал	Ограничение тока	Корпус
LAS6380	Фиксированное	TO-3-8
LAS6381	Регулируемое	TO-3-8
LAS6380P1	Фиксированное	SIP-9
LAS6381P1	Регулируемое	SIP-9

#### СТРУКТУРНАЯ СХЕМА





## МАКСИМАЛЬНЫЕ ЗНАЧЕНИЯ ПАРАМЕТРОВ И РЕЖИМОВ

Напряжение питания цепей управления	35 В
Коллекторное напряжение выходного транзистора	35 В
Рассеиваемая мощность	ограничена внутренне
Тепловое сопротивление кристалл-корпус:	
для LAS6380/81	1.5°С/Вт
для LAS6380P1/81P1	0.8°С/Вт
Диапазон рабочих температур кристалла	-25...+125°С
Диапазон температур хранения	-25...+125°С
Температура выводов:	
для корпуса TO-3-8 (пайка 60 с)	300°С
для корпуса SIP-9 (пайка 10 с)	260°С

## ЭЛЕКТРИЧЕСКИЕ ПАРАМЕТРЫ

При  $V_{CC} = 24$  В,  $V_O = 5$  В,  $I_O = 8$  А,  $C_T = 5600$  пФ,  $T_J = 25^\circ\text{C}$ , если не указано иначе

Параметр	Символ	Условия измерения	Значение			Единица измерения
			не менее	типичное	не более	
ИСТОЧНИК ОПОРНОГО НАПЯЖЕНИЯ						
Опорное напряжение	$V_{REF}$		2.137	2.25	2.363	В
Нестабильность по входному напряжению	$REG_{LINE}$	$V_{CC} = 12...30$ В	—	0.015	0.04	%/В
Температурный коэффициент	$T_C$	$T_J = 0...+125^{\circ}\text{C}$	—	0.01	0.02	%/°C
ГЕНЕРАТОР ПИЛООБРАЗНОГО НАПЯЖЕНИЯ						
Исходная погрешность частоты			-33	±10	+33	%
Нестабильность по входному напряжению	$REG_{LINE}$	$V_{CC} = 12...30$ В	—	0.1	0.15	%/В
Температурный коэффициент частоты	$T_C$	$T_J = 0...+125^{\circ}\text{C}$	—	0.05	—	%/°C
Рабочий цикл	$D_C$		—	85	—	%
УСИЛИТЕЛЬ ОШИБКИ						
Напряжение смещения нуля			—	±5	—	мВ
Коэффициент передачи			—	2.7	—	мА/В
Выходной втекающий/вытекающий ток			—	0.26	—	мА
Диапазон синфазных входных напряжений			1.5	—	3.0	В
Коэффициент усиления по напряжению при разомкнутой петле обратной связи			50	60	—	дБ
ВЫХОДНОЙ ТРАНЗИСТОР						
Предельный коммутируемый ток	$I_{CL}$		9	11	13	А
Напряжение насыщения	$V_{SAT}$	$C_O = V_{CC}, I_O = 4$ А	—	1.6	—	В
		$C_O = V_{CC}, I_O = 8$ А	—	2.1	2.5	В
		$E_O = GND, I_O = 4$ А	—	0.9	—	В
		$E_O = GND, I_O = 8$ А	—	1.4	1.8	В
Коэффициент полезного действия	$\eta$		70	75	—	%
Время нарастания тока	$t_R$	индуктивная нагрузка	—	50	100	нс
Время спада тока	$t_F$	индуктивная нагрузка	—	700	900	нс
ВЫВОД УПРАВЛЕНИЯ						
Пороговое напряжение выключения			0.64	0.75	1.06	В
ПОТРЕБЛЯЕМАЯ МОЩНОСТЬ						
Ток потребления	$I_O$	$V_O = 0$ В	—	18	30	мА

ТИПОВЫЕ РАБОЧИЕ ХАРАКТЕРИСТИКИ

Рис. 1. Область безопасной работы

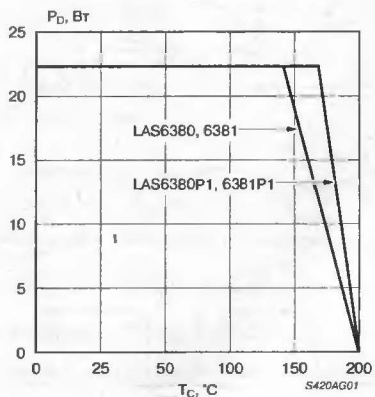


Рис. 2. Зависимость рассеиваемой мощности от входного напряжения

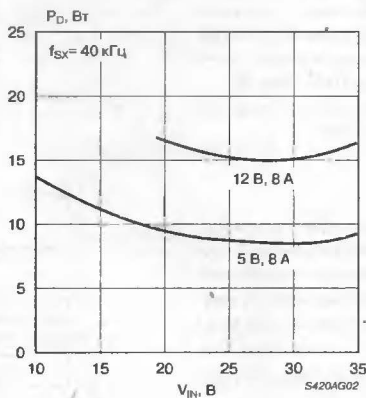


Рис. 3. Зависимость коэффициента полезного действия от входного напряжения

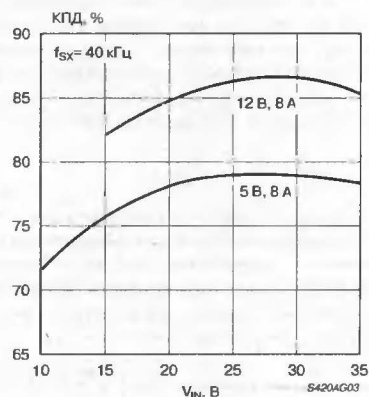


Рис. 4. Зависимость частоты преобразования от величины емкости времязадающего конденсатора

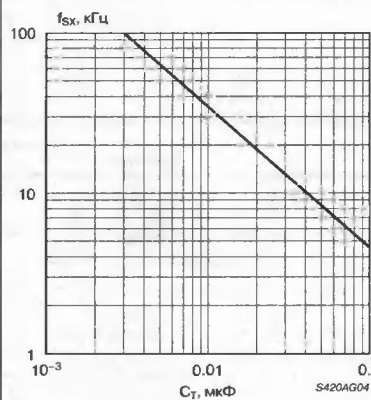
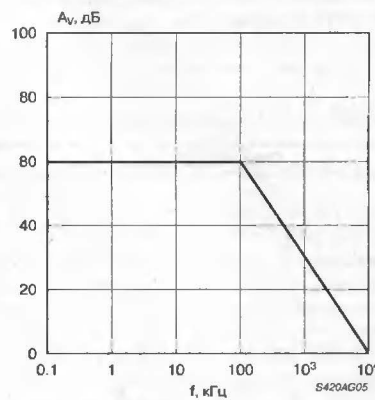


Рис. 5. АЧХ усилителя ошибки при разомкнутой петле обратной связи



ТИПОВЫЕ СХЕМЫ ВКЛЮЧЕНИЯ

Во всех приведенных схемах нумерация выводов для приборов серии LAS638x указана для корпуса TO-3-8, а для остальных приводится по первоисточнику. Также введены следующие условные обозначения:

Ⓥ — регулировка напряжения, ⓘ — регулировка тока, ⓘ — танталовый конденсатор, CS — корпус микросхемы.

Рис. 6. Понижающий преобразователь постоянного напряжения

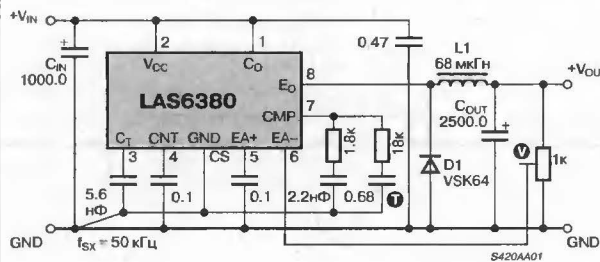
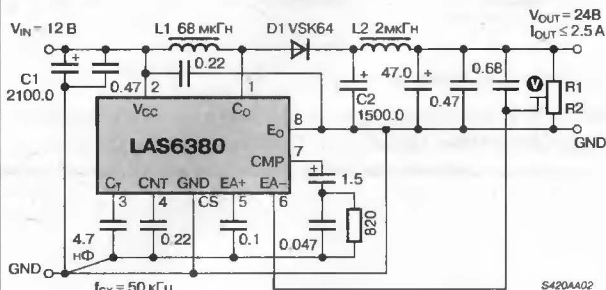


Рис. 7. Повышающий преобразователь постоянного напряжения



## ПОНИЖАЮЩИЕ ПРЕОБРАЗОВАТЕЛИ НАПЯЖЕНИЯ НА БАЗЕ LAS63xx

## ВВЕДЕНИЕ

Правильно рассчитанный понижающий преобразователь обеспечивает эффективное преобразование более высокого входного напряжения  $V_{IN}$  в пониженное выходное напряжение  $V_{OUT}$  путем коммутации напряжения  $V_{IN}$  транзисторным ключом и фильтрации полученного прямоугольного сигнала НЧ-фильтром (см. **Рис. 8**).

В идеальном случае, когда  $V_{SAT} = V_D = 0$  В, отношение между входом и выходом определяется простым соотношением:

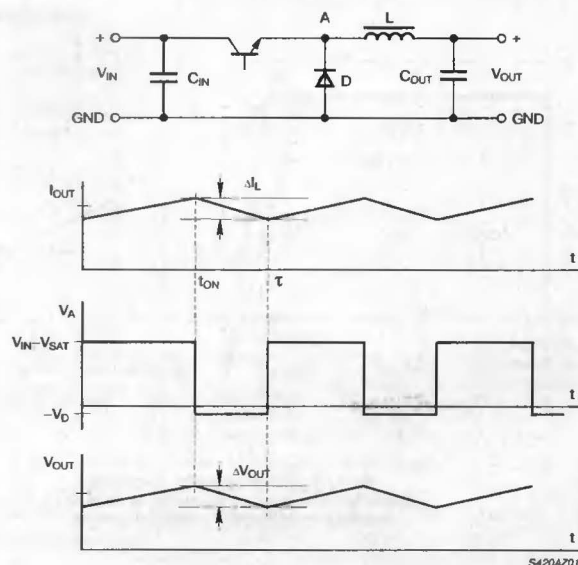
$$V_{OUT} = V_{IN} \left( \frac{t_{ON}}{\tau} \right),$$

где  $t_{ON}/\tau$  — величина рабочего цикла прямоугольного сигнала. Реальные условия требуют учета потерь на преобразование. Полученная с учетом этих реальных условий система уравнений позволяет выполнить все этапы расчета преобразователя. Приведенное выше выражение для  $V_{OUT}$ , с учетом влияния напряжений  $V_{SAT}$  и  $V_D$ , будет иметь вид:

$$V_{OUT} = (V_{IN} - V_{SAT} + V_D) \left( \frac{t_{ON}}{\tau} \right) - V_D.$$

Расчетные формулы, которые приведены ниже, позволяют инженеру-разработчику надежно, с учетом потерь на преобразование, рассчитать понижающий преобразователь на базе LAS63xx. Коммутационные потери и потери мощности, вызванные током потребления, также включены в расчетные соотношения КПД и рассеиваемой преобразователем мощности.

**Рис. 8. Временные диаграммы ключевого режима понижения напряжения**



## РАСЧЕТНЫЕ ФОРМУЛЫ

Параметр	Формула
Рабочий цикл	$\frac{t_{ON}}{\tau} = \frac{V_{OUT} + V_D}{V_{IN} - V_{SAT} + V_D}$
Минимальное входное напряжение	$V_{IN} (min) = 1.2 V_{OUT} + V_{SAT}$
Средний входной ток	$I_{IN} = I_{OUT} \frac{V_{OUT} + V_D}{V_{IN} - V_{SAT} + V_D}$
КПД, (с достоверностью 85%)	$\eta_0 = \frac{(V_{IN} - V_{SAT} + V_D) V_{OUT}}{V_{IN} (V_{OUT} + V_D)}$
КПД, (с достоверностью 97%)	$\eta = \eta_0 / \left\{ 1 + \eta_0 \left[ \frac{V_{IN}}{V_{OUT}} (0.2 \text{ мкс}) f_{SX} + \frac{0.02 V_{IN}}{V_{OUT} I_{OUT}} \right] \right\} \times 100\%$
Размах пульсаций тока в катушке индуктивности	$\Delta I_L = (V_{IN} - V_{SAT} - V_{OUT})(V_{OUT} + V_D) / (L \times f_{SX} (V_{IN} - V_{SAT} + V_D))$
Размах напряжения пульсаций на выходе	$\Delta V_{OUT} = \Delta I_L \sqrt{\left( \frac{1}{8 f_{SX} C_{OUT}} \right)^2 + (ESR)^2}$
Выходное напряжение	$V_{OUT} = \left( \frac{t_{ON}}{\tau} \right) (V_{IN} - V_{SAT} + V_D) - V_D$
Падение входного напряжения	$\Delta V_{IN} = I_{OUT} \sqrt{\left( \frac{1}{f_{SX} C_{IN}} \right)^2 + (ESR)^2}$
Мощность рассеиваемая LAS63xx	$P_D = I_{OUT} \left[ \frac{V_{SAT} (V_{OUT} + V_D)}{V_{IN} - V_{SAT} + V_D} + (0.2 \text{ мкс}) V_{IN} f_{SX} \right] + 0.02 V_{IN}$

ПРЕДЕЛЬНЫЕ ЗНАЧЕНИЯ ЭЛЕКТРИЧЕСКИХ ПАРАМЕТРОВ

Параметр	Формула
ТРАНЗИСТОР	
Импульсный ток	$I_{OUT} + \Delta I_L / 2$
Постоянный ток	$I_{IN}$
Запирающее напряжение	$V_{IN} + V_D$
ДИОД	
Импульсный ток	$I_{SC} + \Delta I_L / 2$
Постоянный ток	$I_{OUT} - I_{IN}$
Обратное напряжение	$V_{IN} - V_{SAT}$
ВХОДНОЙ КОНДЕНСАТОР	
Ток пульсаций (rms) при частоте $f_{SX}$	$I_{OUT} \sqrt{D_C} - I_{IN}$
Напряжение на конденсаторе	$V_{IN}$
ВЫХОДНОЙ КОНДЕНСАТОР	
Ток пульсаций (rms)	$\Delta I_L / 3$
Напряжение на конденсаторе	$V_{OUT}$

ОСНОВНЫЕ ПОЛОЖЕНИЯ РАЗРАБОТКИ ПРЕОБРАЗОВАТЕЛЯ

МИНИМАЛЬНО ДОПУСТИМОЕ ВХОДНОЕ НАПРЯЖЕНИЕ

Нормальная работа преобразователя требует, чтобы входное напряжение  $V_{IN}$  превышало выходное напряжение  $V_{OUT}$ , поэтому необходимо определить минимально допустимое значение входного напряжения  $V_{IN}$ , которое обозначим как  $V_{IN} (min)$ . Напряжение  $V_{IN} (min)$  зависит от потерь в схеме и от максимального значения рабочего цикла ( $\approx 0.85$  для микросхем серии LAS63xx):

$$V_{IN} (min) = \frac{1}{0.85} (V_{OUT} + V_D) + V_{SAT} - V_D$$

(1)

Если напряжение  $V_{IN}$  меньше, чем  $V_{IN} (min)$ , то процесс стабилизации срывается.

СРЕДНИЙ ВХОДНОЙ ТОК

Средний входной ток  $I_{IN}$  определяется по формуле:

$$I_{IN} = I_{OUT} \frac{V_{OUT} + V_D}{V_{IN} - V_{SAT} + V_D}$$

(2)

Если в разработке предусмотрен входной (сетевой) трансформатор на частоту 60 Гц, то номинальное значение тока вторичной обмотки должно превышать ток  $I_{IN}$ .

ВЫБОР ВХОДНОГО КОНДЕНСАТОРА

Входной конденсатор обеспечивает ток нагрузки при замкнутом транзисторном ключе. Максимально допустимое падение входного напряжения  $\Delta V_{IN}$  за время замкнутого состояния ключа определяется как значением емкости входного конденсатора, так и величиной его эквивалентного последовательного сопротивления (ESR), по формуле:

$$\Delta V_{IN} = \sqrt{I_{OUT} \left( \frac{1}{C_{IN} f_{SX}} \right)^2 + (ESR)^2}$$

(3)

Конденсатор  $C_{IN}$  должен иметь малое значение активного последовательного сопротивления в импульсном режиме при среднеквадратичном значении тока пульсаций, большем, чем ток  $I_{CIN}$ . Конденсатор  $C_{IN}$  следует монтировать как можно ближе к выводу коллектора транзистора для уменьшения паразитной индуктивности.

$$I_{CIN} \geq I_{OUT} \sqrt{\frac{V_{OUT} + V_D}{V_{IN} + V_{SAT} + V_D}} - I_{IN}$$

(4)

ВЫБОР КАТУШКИ ИНДУКТИВНОСТИ

Для уменьшения размеров и индуктивности катушки большое значение имеет обоснованный выбор размаха пульсаций тока  $\Delta I_L$ . Суммарное значение тока  $I_{OUT} (max) + \Delta I_L$  должно быть меньше минимального значения порога ограничения тока (CLT). Иначе, если произойдет ограничение тока частотным сдвигом, срыв стабилизации напряжения  $V_{OUT}$  может произойти даже при неполной нагрузке. Обеспечение устойчивой стабилизации при номинальном токе нагрузки требует выполнения следующего условия:

$$\Delta I_L \leq 2 (CLT - I_{OUT} (max)),$$

(5)

где CLT – минимальное значение порога ограничения тока (из справочных данных).

Ток  $\Delta I_L$  тем больше, чем меньше индуктивность, но при этом должно удовлетворяться неравенство (5). Большая индуктивность предпочтительнее в том отношении, что дает меньшие потери, связанные с напряжением ( $ESR \times \Delta I_L$ ), и, следовательно, снижение нагрузки фильтрующих конденсаторов схемы. Потери ( $ESR \times \Delta I_L$ ), вызываемые бросками тока через  $C_{OUT}$ , являются причиной нежелательных пульсаций напряжения  $V_{OUT}$ . Однако большей индуктивности соответствует худшая, по сравнению с номинальной, переходная характеристика нагрузки, что обуславливает большее значение минимального тока нагрузки схемы.

Если значение  $\Delta I_L$  велико по сравнению с минимальным током нагрузки, работа катушки индуктивности становится непродуктивной (ток катушки индуктивности прекращается до начала следующего цикла  $t_{ON}$ ). В результате процесс прерывается до начала следующего цикла  $t_{ON}$ , и напряжение пульсаций увеличивается, поскольку  $C_{OUT}$  поддерживает ток нагрузки во время отсутствия тока в катушке индуктивности. Для гарантии непрерывности процесса работы схемы, предельное значение тока  $I_{OUT} (min)$  должно удовлетворять условию:

$$I_{OUT} (min) \geq \frac{\Delta I_L}{2}$$

(6)

Выбор размаха пульсаций тока в пределах 10...40% от значения тока нагрузки является компромиссным между значением индуктивности и приемлемым напряжением пульсаций  $V_{OUT}$ .



Минимально допустимое значение индуктивности  $L$  ( $\min$ ) определяется по формуле:

$$L = \frac{1}{\Delta I_L f_{SX}} \times (V_{IN} - V_{SAT} - V_{OUT})(V_{OUT} + V_D)/(V_{IN} - V_{SAT} + V_D). (7)$$

где  $f_{SX}$  – частота коммутации (которая определяется емкостью времязадающего конденсатора  $C_T$ ). Зависимость частоты  $f_{SX}$  от емкости  $C_T$  приведена в справочных данных конкретной микросхемы серии LAS63xx.

При отсутствии постоянной составляющей тока индуктивность  $L$  возрастает на 25...40%, в зависимости от характеристик насыщения сердечника катушки. Более точное определение этой величины не существенно для расчета.

## ВЫБОР ВЫХОДНОГО КОНДЕНСАТОРА

Выходной конденсатор определяет значение напряжения выходных пульсаций  $\Delta V_{OUT}$ , которое зависит от емкости конденсатора и от номинального значения активного последовательного сопротивления  $ESR$ :

$$\Delta V_{OUT} = \Delta I_L \sqrt{\left(\frac{1}{8f_{SX} C_{OUT}}\right)^2 + (ESR)^2}. (8)$$

В качестве конденсатора  $C_{OUT}$  должен использоваться импульсный конденсатор с малым значением  $ESR$  с переменной составляющей тока более  $\Delta I_L/\sqrt{3}$ . Переходная характеристика выходного напряжения (то есть броски выходного напряжения при включении или изменении тока нагрузки) зависит от емкости выходного конденсатора. При выборе емкости конденсатора  $C_{OUT}$  не менее значений, приведенных в Табл. 1, максимальное значение такого броска ограничивается уровнем 0.5 В.

Табл. 1.

Типономинал	Рекомендуемое минимальное значение емкости конденсатора $C_{OUT}$ [мкФ]
LAS6380/6380P	2500
LAS63xx/6350P	1800
LAS6330/6330P	1500
LAS6320P	1000

## УЧЕТ ВЛИЯНИЯ ПЕРЕХОДНЫХ ПРОЦЕССОВ

Переходный процесс, вызванный ступенчатым изменением тока нагрузки, может привести к выбросу выходного напряжения  $V_{OUT}$  (как положительной, так и отрицательной полярности). Размах такого переходного процесса следует принимать во внимание при работе преобразователя с нагрузками различного типа. Переменные, которые влияют на подобного типа переходный процесс: эквивалентное последовательное сопротивление  $ESR$  конденсатора  $C_{OUT}$ , индуктивность катушки  $L$  и диапазон изменения тока нагрузки. Один из способов сглаживания такого переходного процесса – включение в схему внешнего нагрузочного резистора  $R$ , в качестве которого может служить эквивалентное последовательное сопротивление конденсатора. Для сглаживания выбросов перерегулирования значения активного сопротивления катушки индуктивности  $R_L$  или эквивалентного последовательного сопротивления  $ESR$  должны удовлетворять следующим условиям:

$$R_L < 0.5 \sqrt{\frac{L}{C}};$$

$$ESR > 2 \sqrt{\frac{L}{C}}.$$

При этом слишком большое значение  $ESR$  противоречит требованию обеспечения устойчивой работы схемы. Выбор значений  $L$  и  $C_{OUT}$  также позволяет уменьшить выбросы напряжения  $V_{OUT}$  при ступенчатом изменении тока нагрузки, причем без дополнительного рассеивания мощности на внешних резисторах.

$$+\Delta V_{OUT} = L (\Delta I_{OUT})^2 / C_{OUT} (V_{IN} - V_{OUT}),$$

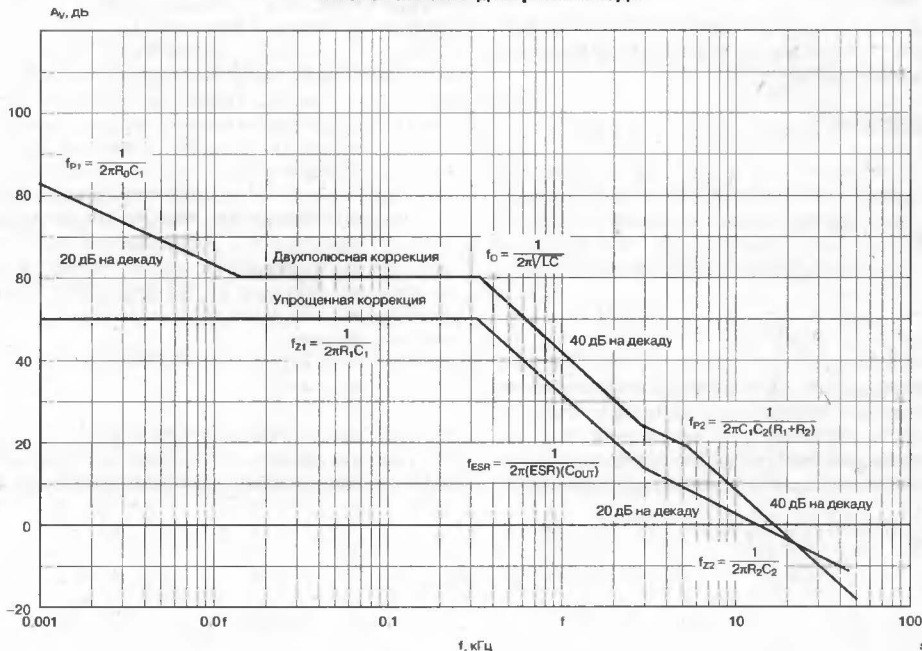
$$-\Delta V_{OUT} = L (\Delta I_{OUT})^2 / C_{OUT} V_{OUT},$$

где:

$+\Delta V_{OUT}$  – изменение выходного напряжения  $V_{OUT}$  в результате ступенчатого увеличения тока нагрузки  $I_{OUT}$ ;

$-\Delta V_{OUT}$  – изменение выходного напряжения  $V_{OUT}$  в результате ступенчатого уменьшения тока нагрузки  $I_{OUT}$ .

Рис. 9. Типовая диаграмма Боде



УСТОЙЧИВОСТЬ РАБОТЫ СХЕМЫ

Петлевое усиление есть сумма коэффициентов передачи четырех последовательно соединенных звеньев:

1. Коэффициент передачи ШИМ-модулятора:

G\_PWM = 20 log (0.85 / 0.70) V\_IN,

где

- 0.70 – размах пульсаций выходного напряжения на временной диаграмме LAS63xx,
- 0.85 – типовое максимальное значение рабочего цикла импульсов коммутации для этой микросхемы.

2. Коэффициент передачи цепи обратной связи:

G\_S = 20 log (V\_REF / V\_OUT),

где V\_REF = 2.25 В — опорное напряжение LAS63xx.

3. Коэффициент передачи усилителя сигнала ошибки:

G\_E/A ≈ 55 дБ (коррекция с двумя полюсами);

G\_E/A ≈ 30 дБ (упрощенная коррекция).

4. Коэффициент передачи НЧ-фильтра (состоящего из катушки L, конденсатора C\_OUT и эквивалентного последовательного сопротивления этого конденсатора ESR):

G\_F = 0 (по постоянному току).



Устойчивая работа микросхем серии LAS63xx обеспечивается любой из двух следующих цепей коррекции (См. Рис. 10):

1. Коррекция с двумя полюсами:

- R1 = 18 кОм,
- C1 = 0.68 мкФ,
- C2 = 0.0022 мкФ,
- R2 = 1.8 кОм;

2. Упрощенная коррекция:

- R\_X = 20 кОм,
- C\_X = 120 пФ.

Применение упрощенной коррекции позволяет уменьшить число дискретных компонентов схемы, но снижает коэффициент усиления по постоянному току. Например, при V\_IN = 30 В и V\_OUT = 5 В:

A\_V(DC) ≈ 80 дБ (коррекция с двумя полюсами);

A\_V(DC) ≈ 50 дБ (упрощенная коррекция).

На Рис. 9 приведена диаграмма Боде для двух этих вариантов коррекции.

РАССЕИВАЕМАЯ МОЩНОСТЬ

Мощность рассеивания стабилизатора на микросхемах семейства LAS63xx P\_D(63xx) вычисляется по следующей формуле:

P\_D(63xx) = I\_Q V\_IN + I\_OUT V\_SAT (V\_OUT + V\_D / (V\_IN - V\_SAT + V\_D)) + 1/2 (t\_R + t\_F) f\_SX V\_IN I\_OUT, (9)

где f\_SX – частота переключения, I\_Q – ток в дежурном режиме, t\_R и t\_F, соответственно, время нарастания и спада тока коллектора. В Табл. 2 приведены номинальные значения этих параметров для микросхем серии LAS63xx.

Табл. 2.

Типономинал	I_Q, [mA]	t_R, [нс]	t_F, [нс]
LAS6380/LAS6380P	30	200	700
LAS6350/LAS6350P	20	100	150
LAS6330/LAS6330P	20	100	150
LAS6320P/LAS6321P	20	200	200

Мощность, рассеиваемая диодом Шоттки, P\_D(SCHOTTKY):

P\_D(SCHOTTKY) = I\_OUT V\_D (V\_IN - V\_SAT - V\_OUT) / (V\_IN - V\_SAT + V\_D) + 1/6 (t\_R + t\_F) f\_SX (V\_IN - V\_SAT) I\_OUT. (10)

КПД ПРЕОБРАЗОВАНИЯ СИСТЕМЫ

КПД преобразования системы в целом определяется как отношение выходной мощности к входной мощности:

η = P\_OUT / P\_IN × 100%, (11)

где: P\_IN = P\_OUT + P\_D(63xx) + P\_D(SCHOTTKY),

η = P\_OUT / (P\_OUT + P\_D(63xx) + P\_D(SCHOTTKY)) × 100%. (12)

ВЫБОР РАДИАТОРА ОХЛАЖДЕНИЯ

Соответствующий радиатор выбирается исходя из значения теплового сопротивления радиатора-среды, θ\_SA:

θ\_SA = (T\_J - T\_A) / P\_D(63xx) - θ\_JC - θ\_CS, (13)

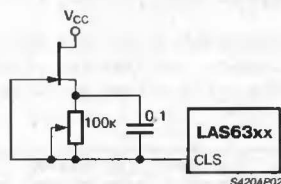
где T\_J — температура кристалла стабилизатора, T\_A — температура окружающей среды, θ\_JC — тепловое сопротивление кристалл-корпус, θ\_CS — тепловое сопротивление корпус-радиатор (≈ 0.1°С/Вт, при использовании теплопроводящего компаунда и при правильно подобранном моменте затяжки винтов крепления радиатора).

ОГРАНИЧЕНИЕ ПРЕДЕЛЬНОГО ЗНАЧЕНИЯ ТОКА

Если протекающий через транзисторный ключ пиковый ток превышает пороговое значение ограничения по току, то частота генератора сдвигается таким образом, чтобы уравнивать значение этого максимального тока и указанное пороговое значение. Ток измеряется на резисторе R\_S, подключенном последовательно с эмиттером ключевого транзистора. Падение напряжения на резисторе R\_S передается на вход компаратора с номинальным значением порогового напряжения 1.7 В. Величина тока контролируется в каждом цикле коммутации, поэтому стабилизатор восстанавливает свою работоспособность сразу после прекращения КЗ

(перегрузки). Осуществить подстройку порога ограничения предельного значения тока позволяют микросхемы: LAS6331, LAS6351, LAS6381, LAS6321P. Пороговое значение ограничения предельного тока можно уменьшить подачей постоянного тока смещения на вывод CLS. На **Рис. 11** приведена рекомендуемая схема.

**Рис. 11. Установка порогового значения тока ограничения**



### ОТКЛЮЧЕНИЕ ПО ПЕРЕГРЕВУ

В случае перегрева LAS63xx (типичное значение температуры кристалла  $T_J = +150^{\circ}\text{C}$ ) стабилизатор отключается. Для его повторного включения требуется кратковременно снять входное напряжение или воспользоваться управляющим выводом.

### УПРАВЛЯЮЩИЙ ВЫВОД

Управляющий вывод внутренне подключен ко входу триггера таким образом, что положительный импульс, проходящий на этот вывод через емкостную развязку, будет блокировать работу микросхемы до поступления отрицательного импульса, который снимает эту блокировку.

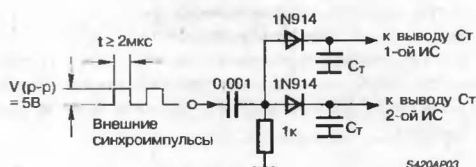
Напряжение на управляющем выводе CNT порядка 0.75 В и выше запрещает выдачу импульсов до тех пор, пока напряжение питания  $V_{CC}$  не опустится до значения около 4 В, или пока на выводе CNT не установится потенциал общего вывода.

Если между выводом CNT и землей подключить сопротивление не более 5 кОм, то возможность отключения микросхемы от перегрева будет блокирована. В связи с этим рекомендуется емкостная развязка. Когда управляющий вывод CNT не используется, между ним и землей следует подключить конденсатор емкостью 0.1 мкФ.

## ТАКТОВАЯ СИНХРОНИЗАЦИЯ

На **Рис. 12** приведена типовая схема синхронизации работы одного или нескольких устройств с тактовой частотой  $f_{SX}$ .

**Рис. 12. Типовая схема синхронизации**

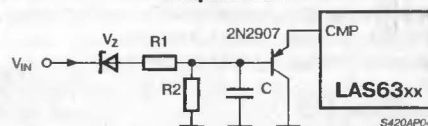


Внешняя тактовая частота выбирается по крайней мере на 35% выше частоты, задаваемой времязадающим конденсатором.

### СХЕМА ОТКЛЮЧЕНИЯ СТАБИЛИЗАТОРА ПРИ ПОНИЖЕНИИ ВХОДНОГО НАПРЯЖЕНИЯ С ПОСЛЕДУЮЩИМ "МЯГКИМ" ЗАПУСКОМ

Схема отключения стабилизатора при понижении входного напряжения с последующим "мягким" запуском (ULSS) уменьшает броски тока при включении микросхемы и, тем самым, сглаживает возникающие в связи с этим броски выходного напряжения. На **Рис. 13** приведена ULSS-схема.

**Рис. 13. Схема отключения при понижении входного напряжения**



Сразу после подъема напряжения  $V_{IN}$  до уровня 4.7 В при начальном включении питания логические схемы стабилизатора готовы к работе, но стабилизатор в целом с этого момента еще не готов к нормальному функционированию из-за влияния ULSS-схемы, которая закорачивает вывод CMP на землю. Когда напряжение  $V_{IN}$  превысит уровень напряжения  $V_Z$ , начинается процесс заряда конденсатора с постоянной времени, которая определяется значениями  $C$ ,  $R1$  и  $R2$ . По мере заряда конденсатора  $C$ , транзистор 2N2907 постепенно закрывается, и стабилизатор плавно выходит на рабочий режим. Время заряда конденсатора определяется по следующей формуле:

$$t_{ss} = \frac{R_1 R_2}{R_1 + R_2} \times C_{IN} \left[ 1 - \frac{1.4}{V_{IN} - V_Z} \left( \frac{R_1}{R_2} + 1 \right) \right].$$

Значения  $V_Z$ ,  $R_1$  и  $R_2$  должны выбираться с учетом того, чтобы не превышалось напряжение пробоя перехода база-эмиттер транзистора 2N2907 ( $\approx 5$  В).

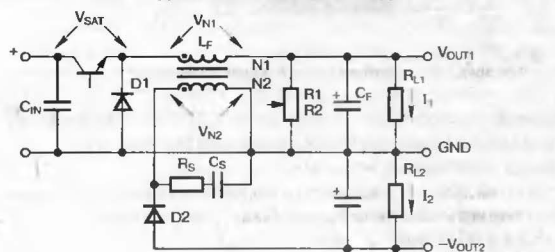
**Примечание:**

- Рекомендуется включать ULSS-схему в состав стабилизаторов всех типов, в том числе в повышающие стабилизаторы напряжения, преобразователи Кука, повышающие стабилизаторы инвертированного напряжения и обратноточные.

## МНОГОКАНАЛЬНЫЕ ИСТОЧНИКИ ПИТАНИЯ

Во многих случаях требуется применение двухполярного стабилизированного напряжения для питания логических и линейных схем. На **Рис. 14** показан простой способ формирования дополнительного отрицательного напряжения, совместно с понижающим ключевым стабилизатором на базе серии LА563хх.

**Рис. 14. Понижающий преобразователь с дополнительным выходом**



В катушку индуктивности фильтра схемы понижающего напряжения вводится дополнительная обмотка с тем, чтобы эта катушка выполняла функции как индуктивности, так и трансформатора. Эквивалентная схема такой катушки представляет собой параллельно соединенные индуктивность и идеальный трансформатор.

Условия работы в течение интервала  $t_{ON}$ :

$V_{N1}$  — напряжение на обмотке N1  $\cong V_{IN} - V_{OUT}$ .

$V_{N2}$  — напряжение на обмотке N2  $\cong N2/N1 (V_{IN} - V_{OUT})$ .

D2 — в режиме обратного смещения (отключен).

$R_S$  и  $C_S$  образуют цепь гашения колебательных процессов.

Условия работы в течение интервала  $t_{OFF}$ :

$V_{N1}$  — Напряжение на обмотке N1  $\cong -(V_{OUT1} + V_{D1})$ .

$V_{N2}$  — Напряжение на обмотке N2  $\cong -(N2/N1) (V_{OUT1} + V_{D1})$ ,

D2 работает в режиме прямого смещения (включен),

$$V_{OUT2} \cong V_{N2} + V_{D2},$$

$$I_{N1} = I_1 - \frac{N2}{N1} (I_2)$$

$$I_{N1} = I_1 + \frac{V_{IN} - V_{SAT} - V_1}{2 L_{N1}} t_{ON}$$

$$I_O = I_1 - \frac{V_{IN} - V_{SAT} - V_1}{2 L_{N1}} t_{ON}$$

$$t_{ON} = (V_1 - V_D) / (V_{IN} - V_{SAT} - V_D) f_{SX}$$

$$V_2 = \frac{N2}{N1} (V_1 - V_D) - V_D.$$

Для сохранения энергии, накопленной в обмотке N1 в течение интервала отключения  $t_{OFF}$ , должно выполняться условие:

$$\frac{N2}{N1} I_2 \leq I_1 - \left( \frac{V_{IN} - V_{SAT} - V_1}{2 L_{N1}} \right) \times \left( \frac{V_1 + V_D}{V_{IN} - V_{SAT} - V_D} \times \frac{1}{f_{SX}} \right),$$

или приблизительно:

$$\frac{N2}{N1} I_2 \leq I_1 - \left( \frac{(V_{IN} - V_1) V_1}{2 L_1 V_{IN} f_{SX}} \right),$$

где:

$L_{N1}$  — индуктивность первичной обмотки;

$L_{N2}$  — индуктивность вторичной обмотки;

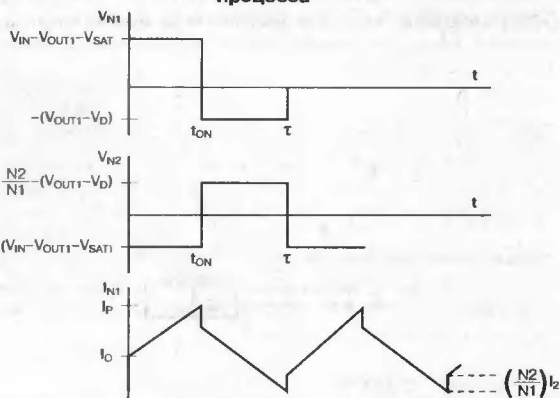
$V_D$  — падение напряжения на диоде;

$N2/N1$  — коэффициент трансформации (отношение числа витков вторичной и первичной обмоток),

$I_{N1}$  — ток через первичную обмотку N1,

$I_O$  — минимальный ток пульсаций в первичной обмотке N1 (без вторичной обмотки N2).

Рис. 15. Временные диаграммы коммутационного процесса

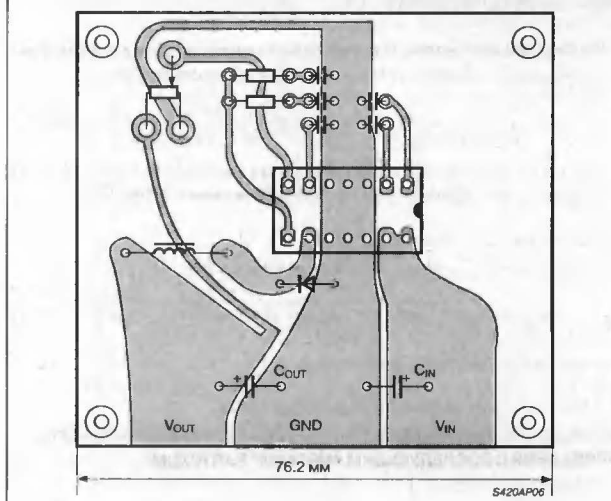


Регулировка выходного напряжения  $V_{OUT1}$  обеспечивается непосредственно микросхемой серии LAS63xx. Напряжение  $V_{OUT2}$  не регулируется, но оно отслеживает значение напряжения  $V_{OUT1}$  с учетом отношения числа витков вторичной и первичной обмоток  $N2/N1$ . При этом следует также учитывать падение напряжения на диоде. При отсутствии нагрузки вторичное напряжение ( $V_{OUT2}$ ) увеличивается, что вызвано процессом заряда емкости выходного фильтра до максимального напряжения. Большие нагрузки приводят к большим значениям напряжения пульсаций, из-за более глубокой степени разряда конденсатора выходного фильтра. Для надежной стабилизации выходного напряжения  $V_{OUT2}$  потребляемая с этого выхода мощность должна составлять 1...10% от мощности потребляемой с выхода  $V_{OUT1}$ . Емкость конденсатора выходного фильтра определяется по формуле:  $C_{F2} = 160 / (f_{SX} R_{L2})$ . Требуемое номинальное значение выходного напряжения устанавливается заданием соответствующего отношения числа витков вторичной и первичной обмоток  $N2/N1$ .

## РЕКОМЕНДАЦИИ ДЛЯ ОПТИМАЛЬНОГО ПРОЕКТИРОВАНИЯ СХЕМЫ

1. Используйте для монтажа печатную плату со сплошным фольгированием электротехнической медью верхнего заземленного слоя для минимизации паразитных индуктивностей и отсутствия земляных петель.
2. Обеспечьте предельно короткую длину выводов и соединительных проводников, либо используйте четырехпроводное подключение (подключение по Кельвину).
3. Конденсатор  $C_{IN}$  следует устанавливать как можно ближе к коллектору транзистора. В противном случае требуется шунтирование коллектора на землю керамическим дисковым конденсатором емкостью 0.22 мкФ с тем, чтобы снизить влияние индуктивности проводника между  $C_{IN}$  и коллектором.
4. Используйте только диоды Шоттки! В то время, когда транзистор закрыт, потенциал эмиттера оказывается ниже потенциала земли на величину падения напряжения на диоде. Это падение напряжения не должно превышать 0.6 В; в противном случае мощный транзисторный ключ микросхемы окажется прямо-смещенным, что может привести к ее повреждению. Номинальное значение тока диода Шоттки должно равняться предельному значению тока LAS63xx.
5. Для снижения паразитной индуктивности диод Шоттки следует разместить анодом рядом с точкой заземления  $C_{OUT}$ , а катодом — около эмиттера транзистора.
6. Рекомендуется емкостное шунтирование управляющего вывода и вывода опорного напряжения (керамическими дисковыми конденсаторами емкостью 0.1 мкФ).
7. Отдельные проводники мощных и слаботочных земель должны объединяться только в одной точке.
8. Увеличить, насколько это возможно, площадь сечения всех металлических проводников, по которым протекают большие токи.

Рис. 16. Типовая разводка печатной платы для LAS6320P (вид со стороны компонентов на просвет)



На Рис. 16 приведена типовая схема разводки печатной платы с учетом приведенных выше рекомендаций.





ПРИМЕР РАСЧЕТА №2

2.0 Исходные данные:

$15 < V_{IN} < 25 \text{ В}$ ,  
 $V_{OUT} = 5.0 \text{ В}$ ,  
 $I_{OUT} = 2.0 \text{ А}$ ,  
 $\Delta V_{IN} < 0.5 \text{ В (p-p)}$ ,  
 $\Delta V_{OUT} < 25 \text{ мВ (p-p)}$ ,  
 $f_{SX} = 50 \text{ кГц}$ ,  
 $T_A = 50^\circ\text{C}$ .

В этом примере использован графический способ расчета. Графики приведенных в этом примере зависимостей соответствуют LAS6320P.

2.1 Минимальное входное напряжение

Согласно **Рис. 20**, значение  $V_{IN}(\text{min}) = 8.2 \text{ В}$  при  $V_{OUT} = 5.0 \text{ В}$  и меньше заданного нижнего уровня входного напряжения  $15 \text{ В}$ .

2.2 Средний входной ток

Средний входной ток  $I_{IN}$  определяется по формуле:

$$I_{IN} = I_{OUT}(Dc) + 0.02 \text{ А};$$

где  $Dc$  — рабочий цикл импульсов управления транзисторным ключом, а  $0.02 \text{ А}$  — ток потребления LAS6320P. На **Рис. 21** показана зависимость рабочего цикла выходных импульсов от напряжений  $V_{IN}$ ,  $V_{OUT}$  и потеря в схеме.

Номинальный ток вторичной обмотки входного трансформатора на  $60 \text{ Гц}$  должен быть больше, чем ток  $I_{IN}$ .

Максимальный входной ток имеет место при минимальном напряжении  $V_{IN}$ , — в данном случае при  $V_{IN} = 15 \text{ В}$ . Рабочий цикл импульсов управления находим из кривых на **Рис. 21**:

$$Dc = 0.41.$$

В результате из приведенной выше формулы получаем:

$$I_{IN} = 0.41 \times 2 + 0.02 = 0.84 \text{ А}.$$

Трансформатор на  $60 \text{ Гц}$  с током  $0.9 \text{ А}$  (номинальное значение) полностью отвечает этим требованиям.

2.3 Выбор входного конденсатора

Значение  $\Delta V_{IN}$  вычисляется по формуле (3):

$$\Delta V_{IN} = \sqrt{0.2 / (50 \text{ [кГц]} \times 1000 \text{ [мкФ]})^2 + 0.64^2} = 0.283 \text{ В},$$

что меньше, чем требуемые  $0.5 \text{ В}$ .



2.4 Выбор катушки индуктивности

Ток пульсаций катушки индуктивности  $\Delta I_L$  влияет на выходное напряжение пульсаций, и поэтому его следует минимизировать. Значение индуктивности определяем по следующей формуле:

$$L = \frac{\alpha}{\Delta I_L f_{SX}},$$

где  $f_{SX}$  — частота коммутации (устанавливается соответствующим значением емкости времязадающего конденсатора  $C_T$ ), и коэффициент  $\alpha$  находим по графическим зависимостям, приведенным на **Рис. 22**, исходя из конкретных значений  $V_{IN}$ ,  $V_{OUT}$  и потерь в схеме.

**Примечание:** Максимальный ток переключения не должен превышать пороговый уровень ограничения тока ( $2.2 \text{ А}$  для LAS6320P). Это ограничивает максимальное значение тока  $\Delta I_L$ :

$$\Delta I_L < 2 (2.2 - I_{OUT})$$

при  $V_{IN} = 25 \text{ В}$ ,  $V_{OUT} = 5 \text{ В}$  при токе  $2 \text{ А}$ ,  $\alpha = 4.2 \text{ В}$  (См. **Рис. 22**). Следовательно:

$$\Delta I_L = 4.2 / (50 \text{ [кГц]} \times 290 \text{ [мкГн]}) = 0.29 \text{ А}.$$

Максимальное значение тока удовлетворяет условию  $\Delta I_L < 0.4 \text{ А}$ .

2.5 Выбор выходного конденсатора

Значение  $\Delta V_{OUT}$  вычисляется по формуле (8):

$$\Delta V_{OUT} = 0.3 \sqrt{1 / (8 \times 50 \text{ [кГц]} \times 1000 \text{ [мкФ]})^2 + 0.064^2} = 19.2 \text{ мВ}$$

меньше, чем требуемые  $25 \text{ мВ}$ . (Емкость конденсатора  $C_{OUT} = 1000 \text{ мкФ}$  была выбрана в соответствии с **Табл. 1**).

2.6 Мощность, рассеиваемая компонентами схемы

Стабилизатор LAS6320P.

Рассеиваемую мощность можно вычислить по следующей формуле:

$$P_{6320P} = 0.02 V_{IN} + 2.1 I_{OUT}(Dc) + 0.2 \times 10^{-3} I_{OUT} V_{IN} f_{SX},$$

где размерность  $f_{SX}$  — кГц, а величина рабочего цикла импульсов управления ( $Dc$ ) определяется по графическим зависимостям, приведенным на **Рис. 21**. Требуемые параметры радиатора можно определить по характеристикам рассеиваемой мощности, приведенным на **Рис. 23**.

Определяем величины мощности  $P_{6320P}$  для максимального и минимального значения  $V_{IN}$ .

Для  $V_{IN} = 15 \text{ В}$ ,

$$P_{6320P} = 0.02 (15) + 2.1 (2) (0.41) + 0.2 \times 10^{-3} (2) (15) (50) = 2.32 \text{ Вт},$$

Для  $V_{IN} = 25 \text{ В}$ ,

$$P_{6320P} = 0.02 (25) + 2.1 (2) (0.24) + 0.2 \times 10^{-3} (2) (25) (50) = 2.01 \text{ Вт}.$$

Выбираем радиатор исходя из рассеиваемой мощности  $2.5 \text{ Вт}$ . Согласно зависимостям **Рис. 23** для  $T_A = +50^\circ\text{C}$ , минимально допустимый теплообмен требует значения  $\theta_{SA}$  не более  $11^\circ\text{C/Вт}$ .

Рис. 20. Зависимость минимального входного напряжения от выходного напряжения

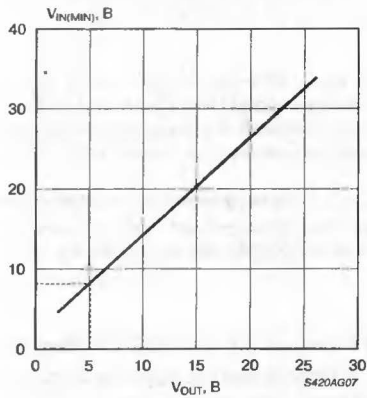


Рис. 21. Зависимость величины рабочего цикла от входного напряжения

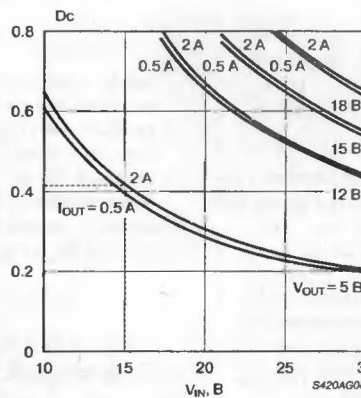


Рис. 22. Зависимость коэффициента α от входного напряжения

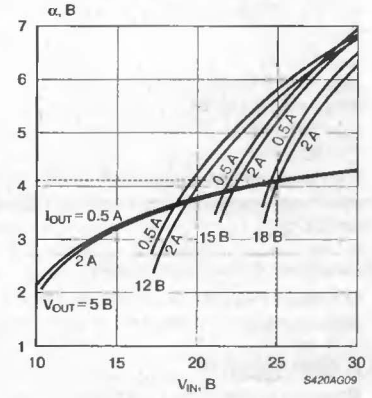


Рис. 23. Зависимость мощности рассеивания от температуры

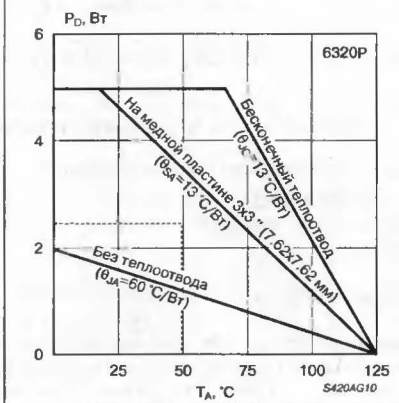
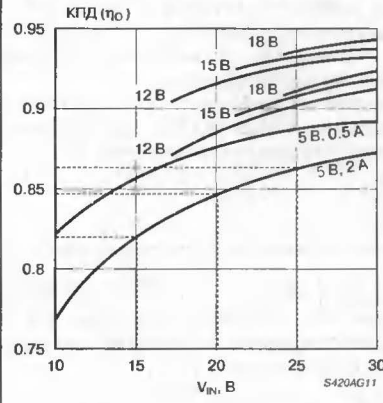


Рис. 24. Зависимость КПД от входного напряжения



## Диод Шоттки

Рассеиваемую на диоде Шоттки мощность находим по формуле:

$$P_{SD} = 0.4 (1 - Dc) I_{OUT} + (2/3) \times 10^{-4} (V_{IN} - 2.1) f_{SX} I_{OUT},$$

где  $f_{SX}$  задается в кГц.

Мощность  $P_{SD}$  вычисляется для максимального значения  $V_{IN}$ .

$$P_{SD} = 0.4 (1 - 0.24) (2) + \frac{2}{3} \times 10^{-4} \times (25 - 2.1) (50) (2) = 0.761 \text{ Вт.}$$

## 2.7 КПД преобразования

КПД преобразования по мощности ( $\eta$ ) определяется как отношение выходной мощности к входной и зависит от величин  $V_{IN}$ ,  $V_{OUT}$ ,  $I_{OUT}$  и  $f_{SX}$ . КПД вычисляется по формуле:

$$\eta = \eta_0 \times 100\% / \left\{ 1 + \left[ \frac{8}{3} \times 10^{-7} \times \frac{V_{IN} f_{SX}}{V_{OUT}} + 0.02 \frac{V_{IN}}{V_{OUT} I_{OUT}} \right] \right\} \eta_0,$$

где  $\eta_0$  определяется по графикам, приведенным на Рис. 24. Далее приводятся значения КПД для трех значений  $V_{IN}$ .

Табл. 3.

$V_{IN}$	$\eta_0$	$\eta$
15	0.822	77.5 %
20	0.847	78.5 %
25	0.863	78.4 %

## Примечание:

\* Корректирующая цепь предназначена для обеспечения устойчивой работы при частоте коммутации 20 кГц и выше, а также для уменьшения до уровня менее 0.5 В бросков выходного напряжения при включении стабилизатора и при перепадах тока нагрузки.

## Входной и выходной конденсаторы:

Выбраны конденсаторы для импульсного режима работы Sprague Type 511D, емкость 1000 мкФ, эффективное последовательное сопротивление 0.064 Ом на частоте 50 кГц, тип #511D 108M 035 EN 4F

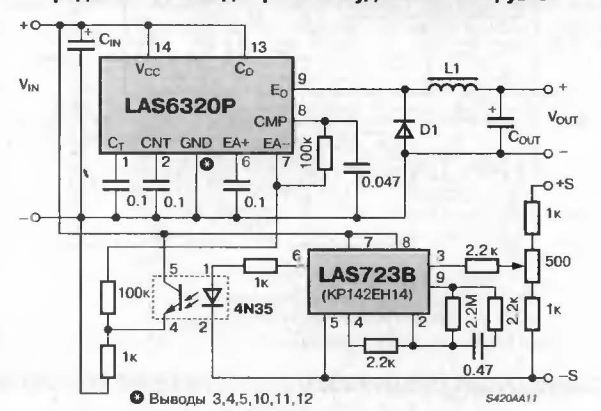
## Катушка индуктивности:

Выбрана Hurricane Labs # HL-20374; 290 мкГн при токе 2 А.

## Диод Шоттки:

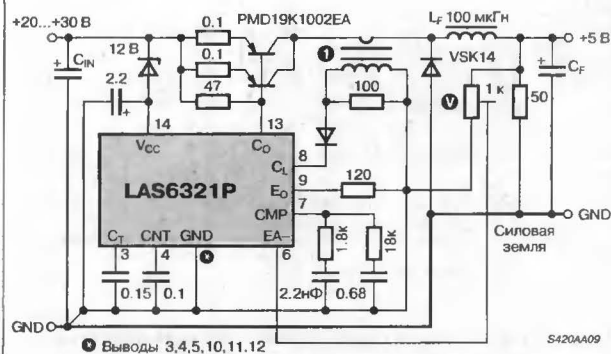
Выбран диод Шоттки на 3 А, 40 В — Varo VSK340.

**Рис. 25. Понижающий преобразователь на ток нагрузки 5 А с регулируемым выходным напряжением  $V_{OUT}$  и фиксированным ограничением тока**



## ТИПОВЫЕ СХЕМНЫЕ РЕШЕНИЯ (Продолжение)

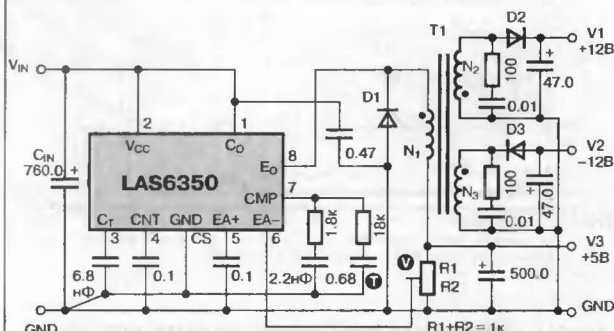
Рис. 31. Понижающий преобразователь с 30 В на 5 В на ток нагрузки 20 А



S420AA09

Выводы 3, 4, 5, 10, 11, 12

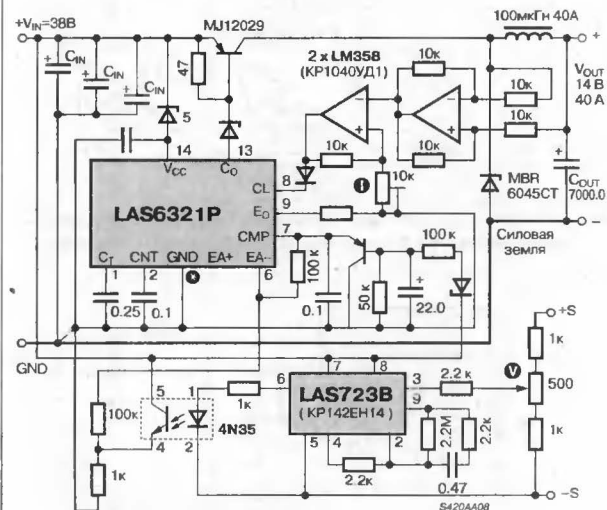
1 - Небольшое ферритовое кольцо,  $N_2=50$  витков  
 $C_{IN}$  - 1600 мкФ на 40 вар типа VPR162U040L2L (Mallory)  
 $C_F$  - 4000 мкФ на 7.5 вар типа VPR402U7R5J2C (Mallory)  
 $L_F$  - 40 витков двойным проводом #12 в параллель на сердечнике типа T300-26 (Micrometals)

Рис. 32. Источник питания на три номинала выходного напряжения (5 В на 5 А,  $\pm 12$  В по 125 мА)

S420AA13

D1 - диод Шоттки на 6 А типа VSK64 (Varo)  
D2, D3 - диод Шоттки на 1 А типа VSK140 (Varo)  
T1 -  $N_1$  - 39 витков пров. #18,  $N_2, N_3$  - 91 виток пров. #28 на сердечнике типа E137-26 (Micrometals)

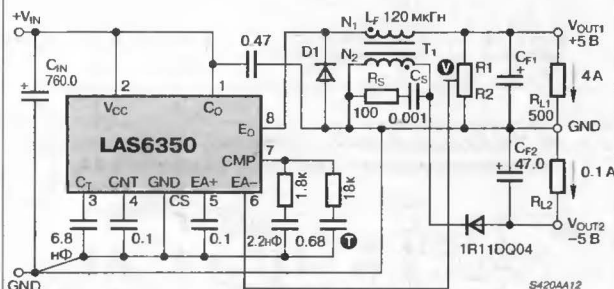
Рис. 33. Понижающий преобразователь с 38 В на 14 В на ток нагрузки 40 А



S420AA08

Выводы 3, 4, 5, 10, 11, 12

$C_{IN}$  - 3x1400 мкФ типа VPR142U050L3C (Mallory)  
 $C_{OUT}$  - 7000 мкФ типа VPR702U012L3C (Mallory)

Рис. 34. Двуполярный источник питания на  $\pm 5$  В

S420AA12

D1 - диод Шоттки на 6 А типа VSK64 (Varo)  
T1 -  $N_1$  - 40 витков пров. #18,  $N_2$  - 40 витков пров. #22 на сердечнике типа T106-26B (Micrometals)

## ПОВЫШАЮЩИЕ ПРЕОБРАЗОВАТЕЛИ НАПЯЖЕНИЯ НА БАЗЕ LAS63xx

## ВВЕДЕНИЕ

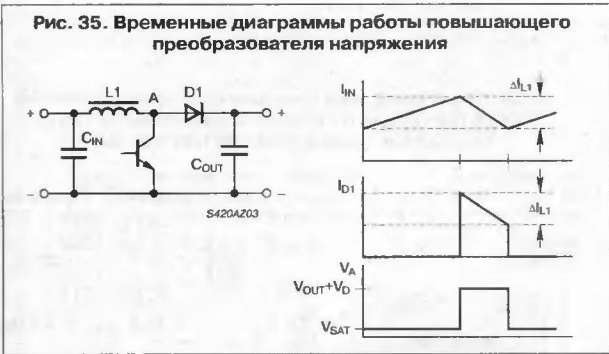
Повышающий преобразователь формирует выходное напряжение большей величины, чем входное напряжение. Такой преобразователь реализуется соединением катушки индуктивности, диода и управляемого ключа, отличным от конфигурации используемой для понижающего преобразователя. В рассматриваемом случае катушка индуктивности с включенным последовательно диодом подключены между входным источником

питания и нагрузкой, а микросхема обеспечивает коммутацию узла диод-катушка на землю при помощи низкоомного ключа. При размыкании ключа, потенциал узла диод-катушка нарастает до уровня  $V_{OUT} - V_D$ . На протяжении всего интервала времени разомкнутого состояния ключа происходит заряд конденсатора выходного фильтра. При замкнутом ключе диод диод обратном смещен и происходит разряд энергии, накопленной конденсатором выходного фильтра, на нагрузку.

Приведенные далее примеры схем иллюстрируют типовые применения LAS63xx в повышающих импульсных стабилизаторах. Расчетные формулы полезны для понимания теоретических основ и принципов работы повышающего преобразователя. Эти формулы необходимы также при модификации приведенных ниже схем с целью улучшения отдельных показателей ИВГП.

В повышающем преобразователе с регулируемым выходным напряжением  $V_{OUT}$  на ток нагрузки до 1.5 А (См. Рис. 36), несмотря на встроенную в прибор LAS6350 защиту от бросков тока, рекомендуется использовать предохранитель или схему автоматического выключения для защиты обмотки индуктивности, диода и входного источника от КЗ. Выходной П-образный фильтр используется для ослабления индуктивных выбросов напряжения и напряжения пульсаций до уровня, при котором исключается возбуждение схемы по входу усилителя ошибки. Для улучшения показателей схемы один слой фольгирования платы используется как земляной и земляные

проводники соединяются, как показано на схеме Рис. 36. Выбранная частота коммутации 70 кГц позволяет снизить потери на LAS6350 и диоде Шоттки до уровня, не превышающего 10% от суммарных (общих) потерь схемы. Повышающий преобразователь с двуполярным выходом (См. Рис. 37) работает от однополярного входного питания. Отсутствие трансформатора в схеме упрощает ее разработку, улучшает показатели стабилизируемого выходного напряжения. Диоды D2 и D3 компенсируют потери на диоде D4 и конденсаторе емкостью 10 мкФ, который уменьшает нестабильность по напряжению вторичного инвертированного выхода до уровня, не превышающего 5%. Если, согласно исходным требованиям к выходному напряжению, допустимо отклонение порядка 10%, то диод D3 не требуется. Трансформаторы в схемах на Рис. 38 и Рис. 39 выполнены на сердечниках с зазором, обмотки бифилярные многослойные с изолирующими слоями из фторопластовой ленты.



ПРЕДЕЛЬНЫЕ ЗНАЧЕНИЯ ЭЛЕКТРИЧЕСКИХ ПАРАМЕТРОВ

Параметр	Значение
ТРАНЗИСТОР	
Импульсный ток	$I_{IN} + \Delta I_L / 2$
Постоянный ток	$I_{IN} - I_{OUT}$
Залирающее напряжение	$V_{OUT} + V_D$
ДИОД	
Импульсный ток	$I_{IN} + \Delta I_L / 2$
Постоянный ток	$I_{OUT}$
Обратное напряжение	$V_{OUT} - V_{SAT}$
ВХОДНОЙ КОНДЕНСАТОР	
Ток пульсаций (p-p)	$\Delta I_L$
Напряжение на конденсаторе	$V_{IN}$
ВЫХОДНОЙ КОНДЕНСАТОР	
Ток пульсаций (p-p)	$I_{IN} + \Delta I_L / 2$
Напряжение на конденсаторе	$V_{OUT}$

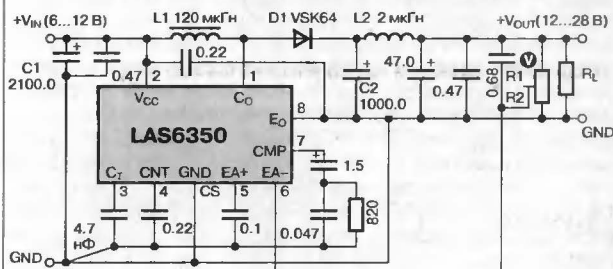
РАСЧЕТНЫЕ ФОРМУЛЫ

ПАРАМЕТР	ФОРМУЛА
Рабочий цикл импульсов управления	$\frac{t_{ON}}{\tau} = \frac{V_{OUT} + V_D - V_{IN}}{V_{OUT} + V_D - V_{SAT}}$
Минимальное входное напряжение	$V_{IN(min)} = \frac{V_{OUT} + V_D - V_{SAT}}{I_{SD(min)}} \times I_{OUT} + V_{SAT}$
Средний входной ток	$I_{IN} = I_{OUT} \frac{V_{OUT} + V_D - V_{SAT}}{V_{IN} - V_{SAT}}$
КПД, с достоверностью 85%	$\eta_0 = V_{OUT} (V_{IN} - V_{SAT}) / [V_{IN}(V_{OUT} + V_D - V_{SAT})]$
КПД, с достоверностью 97%	$\eta = \eta_0 \times 100\% / \left( 1 + \frac{V_{OUT}}{V_{IN}} \times 0.2 \text{ [мкС]} f_{SX} + \eta_0 \frac{0.02 V_{DN}}{V_{OUT} I_{OUT}} \right)$
Размах тока пульсаций в катушке индуктивности	$\Delta I_L = (V_{IN} - V_{SAT})(V_{OUT} + V_D - V_{IN}) / [L f_{SX} (V_{OUT} + V_D - V_{SAT})]$
Размах напряжения пульсаций на выходе	$\Delta V_{OUT} = I_{OUT} \frac{V_{OUT} + V_D - V_{SAT}}{V_{IN} - V_{SAT}} \sqrt{\left( \frac{1}{f_{SX} C_{OUT}} \right)^2 + (ESR)^2}$
Выходное напряжение	$V_{OUT} = \frac{V_{IN} - V_{SAT}}{1 - t_{ON} / \tau} - V_D + V_{SAT}$
Падение входного напряжения	$\Delta V_{IN} = \Delta I_L \sqrt{\left( \frac{1}{8 f_{SX} C_{IN}} \right)^2 + (ESR)^2}$
Мощность, рассеиваемая LAS63xx	$P_D = I_{OUT} \frac{V_{OUT} + V_D - V_{SAT}}{V_{IN} - V_{SAT}} \times \left[ 0.2 \text{ [мкС]} f_{SX} V_{OUT} + V_{SAT} \frac{V_{OUT} + V_D - V_{IN}}{V_{OUT} + V_D - V_{SAT}} \right] + 0.02 V_{IN}$



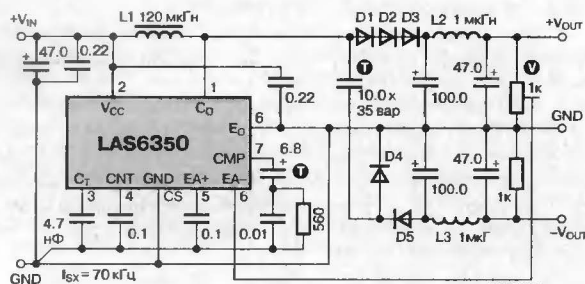
## ТИПОВЫЕ СХЕМНЫЕ РЕШЕНИЯ

Рис. 36. Повышающий преобразователь на ток нагрузки до 1.5 А с регулируемым выходным напряжением  $V_{OUT}$



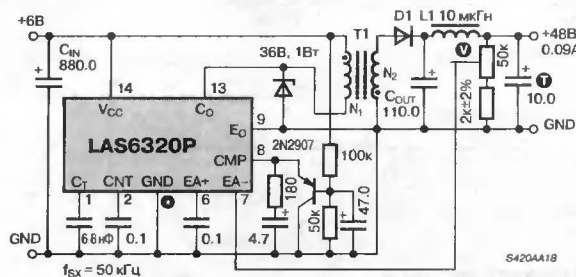
C1 - типа VPR212-025L2C, 10 вар (Mallory)  
C2 - типа VPR102-040N1L, 10 вар (Mallory)  
D1 - диод Шоттки типа VSK64 (Varo)  
L1 - типа HL-40184 (Hurricane)  
L2 - 10 витков пров. #18 на каркасе  $\varnothing$  6 мм без сердечника

Рис. 37. Бестрансформаторный преобразователь с двумя выходными напряжениями



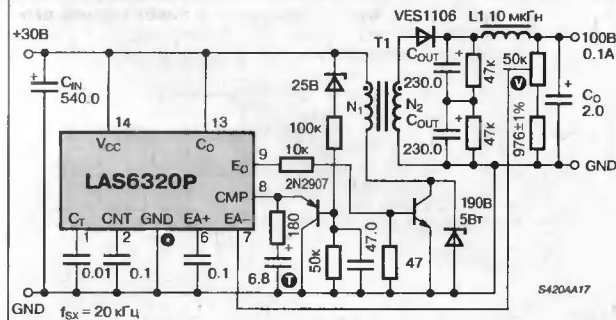
D1-D5 - диод Шоттки типа VSK140 (Varo)  
L1 - типа HL-40184 (Hurricane)  
L2, L3 - 10 витков пров. #18 на каркасе  $\varnothing$  6 мм без сердечника

Рис. 38. Повышающий преобразователь постоянного входного напряжения +6 В в постоянное выходное напряжения 48 В при токе 90 мА



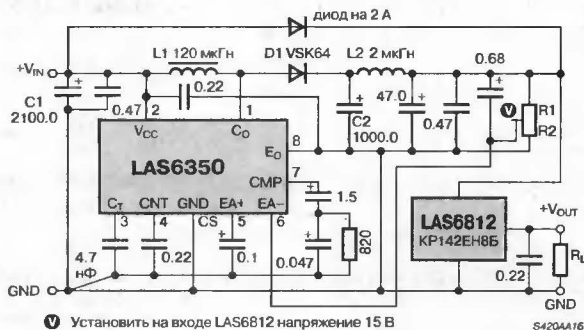
$f_{sx} = 50$  кГц  
● Выводы 3, 4, 5, 10, 11, 12  
C<sub>IN</sub> - на 6.3 вар типа VPR881U6R3E1A (Mallory)  
C<sub>OUT</sub> - на 50 вар типа VPR111U050E1A (Mallory)  
D1 - высокоскоростной диод на 1 А, 100 В типа UES1002 (Unitrode)  
L1 - типа HL-8121 (Hurricane)  
T1 - N1= 11 витков пров. #24, N2= 66 витков пров. #26 на ферритовом сердечнике типа 3019P-A1000-387

Рис. 39. Обратногоходовой повышающий преобразователь с +30 В постоянного входного напряжения на 100 В выходного напряжения при токе 100 мА



$f_{sx} = 20$  кГц  
● Выводы 3, 4, 5, 10, 11, 12  
C<sub>IN</sub> - на 40 вар типа VPR541U040J1L (Mallory)  
C<sub>O</sub> - на 200 вар типа VPR22 (Mallory)  
C<sub>OUT</sub> - на 75 вар типа VPR231U075J1 (Mallory)  
L1 - типа HL-8121 (Hurricane)  
T1 - N1= 22 витка пров. #26, N2= 68 витков пров. #26 на ферритовый сердечник типа 3019P-A1000-387

Рис. 40. Повышающе-понижающий преобразователь с 6...22 В постоянного входного напряжения на 12 В выходного стабилизированного напряжения



Установить на входе LAS6812 напряжение 15 В

## ИНВЕРТИРУЮЩИЕ ПРЕОБРАЗОВАТЕЛИ НАПЯЖЕНИЯ НА БАЗЕ LAS63xx

## ВВЕДЕНИЕ

Инвертирующий преобразователь формирует стабилизированное выходное напряжение с полярностью, обратной полярности входного напряжения. В зависимости от выбранной схемотехники могут быть реализованы инвертирующие преобразователи повышающего и понижающего типа, другими словами, инвертирующие повышающие преобразователи, преобразователи Кука и обратно-ходовые преобразователи (См. **Рис. 41**).

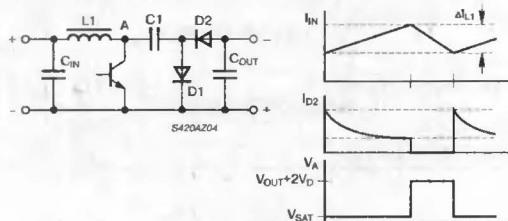
Далее приведены примеры типовых схем применения LAS63xx в импульсных инвертирующих преобразователях. Расчетные формулы полезны для понимания теоретических основ и принципов работы инвертирующего преобразователя. Эти формулы необходимы также при модификации приведенных ниже схем с целью улучшения отдельных показателей ИВП.

На **Рис. 43** показаны два типа схемотехники инвертирующего преобразователя, меняющие полярность выходного напряжения, относительно входного напряжения:

1. Преобразователь Кука, работающий как на повышение, так и на понижение напряжения (схема на **Рис. 43** работает как преобразователь Кука при подключении элемента L2),

2. Повышающий (бустерный) преобразователь, который работает только в режиме повышения напряжения (схема на **Рис. 43**

**Рис. 41. Временные диаграммы работы инвертирующего преобразователя повышающего типа**



работает как бустерный преобразователь при подключении элемента D2).

Бустерный преобразователь использует два направляющие ток диода, подключенные к конденсатору C1, обеспечивающему пере-

## ПРЕДЕЛЬНЫЕ ЗНАЧЕНИЯ ЭЛЕКТРИЧЕСКИХ ПАРАМЕТРОВ

Для инвертирующего преобразователя повышающего типа

Параметр	Значение
<b>ТРАНЗИСТОР</b>	
Импульсный ток	$I_{IN} + I_{OUT} + \Delta I_L / 2$
Постоянный ток	$I_{IN}$
Запирающее напряжение	$V_{OUT} + 2V_D$
<b>ДИОДЫ</b>	
Импульсный ток	(для D1) $I_{IN} + \Delta I_L / 2$ (для D2) $I_{OUT} / (1 - I_{OUT} / I_{IN})$
Постоянный ток	$I_{OUT}$
Обратное напряжение	$V_{OUT} + V_D$
<b>КОНДЕНСАТОР C1</b>	
Ток пульсаций (p-p)	$I_{IN} / (1 - I_{OUT} / I_{IN})$
Напряжение на конденсаторе	$V_{SAT} + V_D + V_{OUT}$
<b>ВХОДНОЙ КОНДЕНСАТОР C_IN</b>	
Ток пульсаций (p-p)	$\Delta I_L$
Напряжение на конденсаторе	$V_{IN}$
<b>ВЫХОДНОЙ КОНДЕНСАТОР C_OUT</b>	
Ток пульсаций (p-p)	$I_{OUT} / (I_{IN} / I_{OUT} - 1)$
Напряжение на конденсаторе	$V_{OUT}$

## РАСЧЕТНЫЕ ФОРМУЛЫ (Для инвертирующего преобразователя повышающего типа)

Параметр	Формула
Рабочий цикл импульсов управления	$\frac{t_{ON}}{\tau} = 1 - V_{IN} - V_{SAT} / V_{OUT} + 2V_D$
Минимальное входное напряжение	$V_{IN(min)} = (V_{OUT} + V_D) I_{OUT} / (I_{SD(min)} - I_{OUT}) + V_{SAT}$
Средний входной ток	$I_{IN} = I_{OUT} V_{OUT} + 2V_D / V_{IN} - V_{SAT}$
КПД, с достоверностью 85%	$\eta_0 = V_{OUT} (V_{IN} - V_{SAT}) / [V_{IN} (V_{OUT} + 2V_D)]$
КПД, с достоверностью 97%	$\eta = \eta_0 \times 100\% \left/ \left[ 1 + \frac{V_{IN} + V_{OUT}}{V_{IN}} \times \left( 1 + \frac{V_{IN} - V_{SAT}}{V_{OUT} + V_D} \right) \times 0.2 [\text{МКК}] f_{SX} + \eta_0 \frac{0.02 V_{IN}}{V_{OUT} I_{OUT}} \right] \right.$
Размах тока пульсаций в катушке индуктивности	$\Delta I_L = (V_{IN} - V_{SAT}) (V_{OUT} + 2V_D - V_{IN} + V_{SAT}) / [L f_{SX} (V_{OUT} + 2V_D)]$
Размах напряжения пульсаций на выходе	$\Delta V_{OUT} = I_{OUT} \sqrt{\left( \frac{1}{f_{SX} C_{OUT}} \right)^2 + (ESR)^2} \left/ \left( 1 - \frac{V_{IN} - V_{SAT}}{V_{OUT} + 2V_D} \right) \right.$
Выходное напряжение	$V_{OUT} = \frac{V_{IN} - V_{SAT}}{1 - t_{ON} / \tau} - 2V_D$
Падение входного напряжения	$\Delta V_{IN} = \Delta I_L \sqrt{\left( \frac{1}{8 f_{SX} C_{IN}} \right)^2 + (ESR)^2}$
Емкость конденсатора C1	$C1 > 20 I_{OUT} (V_{OUT} + V_D + V_{SAT}) \left( 1 - \frac{V_{IN} - V_{SAT}}{V_{OUT} + 2V_D} \right) / [f_{SX} (V_{OUT} + V_D + V_{SAT})^2]$
Мощность, рассеиваемая LAS63xx	$P_D = I_{OUT} \left( 1 + \frac{V_{OUT} + 2V_D}{V_{IN} - V_{SAT}} \right) \times \left[ 0.2 [\text{МКК}] f_{SX} V_{OUT} + V_{SAT} \left( 1 - \frac{V_{IN} - V_{SAT}}{V_{OUT} + 2V_D} \right) \right] + 0.02 V_{IN}$

качку заряда к выходному конденсатору C2 во время коммутации микросхемой узла катушка-конденсатор. Величина выходного напряжения этого преобразователя всегда больше входного напряжения питания, как это следует из формулы для выходного напряжения  $V_{OUT}$ .

Преобразователь Кука (См. Рис. 42) формирует инвертированное выходное напряжение, которое может быть как больше, так и меньше величины входного напряжения питания. Далее приведены расчетные формулы для определения выходного напряжения  $V_{OUT}$  и других основных показателей преобразователя Кука. Несмотря на то, что этот тип преобразователя требует дополнительной катушки индуктивности, он позволяет снизить уровень пульсаций выходного напряжения, поскольку второй дроссель обеспечивает большую часть тока нагрузки во время закрытого состояния транзисторного ключа. При разработке преобразователя Кука следует учитывать и особо контролировать то обстоятельство, что напряжение на мощном выходном транзисторе равно  $(V_{OUT} + V_{IN})$  и не должно превышать значения напряжения коллектор-эмиттер ( $V_{CEO}$ )

выходного транзистора микросхемы, которое для LAS6350 составляет 35 В. В схеме инвертирующего преобразователя другого типа — повышающего, это напряжение равно только значению  $V_{OUT}$ . Выходной П-образный фильтр используется для ослабления индуктивных выбросов напряжения и напряжения пульсаций до уровня, при котором исключается возбуждение схемы по входу усилителя ошибки. Выбранная частота коммутации — 70 кГц позволяет снизить потери на LAS6350 и диоде Шоттки до уровня, не превышающего 10% от суммарных (общих) потерь схемы.

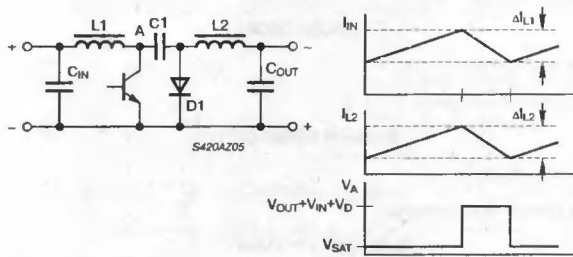
Для улучшения показателей схемы используется один слой фольгирования платы в качестве земли и соединение земляных проводников, как показано на схеме (Рис. 43).

#### ПРЕДЕЛЬНЫЕ ЗНАЧЕНИЯ ЭЛЕКТРИЧЕСКИХ ПАРАМЕТРОВ

Для преобразователя Кука (Рис. 42)

Параметр	Значение
<b>ТРАНЗИСТОР</b>	
Импульсный ток	$I_{IN} + I_{OUT} + (\Delta I_{L1} + \Delta I_{L2})/2$
Постоянный ток	$I_{IN}$
Запирающее напряжение	$V_{IN} + V_{OUT}$
<b>ДИОД</b>	
Импульсный ток	$I_{IN} + I_{OUT} + (\Delta I_{L1} + \Delta I_{L2})/2$
Постоянный ток	$I_{OUT}$
Обратное напряжение	$V_{IN} + V_{OUT}$
<b>КОНДЕНСАТОР C1</b>	
Ток пульсаций (p-p)	$I_{IN} + I_{OUT} + (\Delta I_{L1} + \Delta I_{L2})/2$
Напряжение на конденсаторе	$V_{IN} + V_{OUT} + V_D$
<b>ВХОДНОЙ КОНДЕНСАТОР C<sub>IN</sub></b>	
Ток пульсаций (p-p)	$\Delta I_{L1}$
Напряжение на конденсаторе	$V_{IN}$
<b>ВЫХОДНОЙ КОНДЕНСАТОР C<sub>OUT</sub></b>	
Ток пульсаций (p-p)	$\Delta I_{L2}$
Напряжение на конденсаторе	$V_{OUT}$

Рис. 42. Временные диаграммы работы преобразователя Кука



#### РАСЧЕТНЫЕ ФОРМУЛЫ (Для преобразователя Кука)

ПАРАМЕТР	ФОРМУЛА
Рабочий цикл импульсов управления	$\frac{t_{ON}}{\tau} = 1 / \left( 1 + \frac{V_{IN} - V_{SAT}}{V_{OUT} + V_D} \right)$
Минимальное входное напряжение	$V_{IN(min)} = (V_{OUT} + 2V_D) I_{OUT} / [I_{SD(min)} - I_{OUT}] + V_{SAT}$
Средний входной ток	$I_{IN} = I_{OUT} V_{OUT} + V_D / V_{IN} - V_{SAT}$
КПД, с достоверностью 85%	$\eta_0 = V_{OUT} (V_{IN} - V_{SAT}) / [V_{IN}(V_{OUT} + V_D)]$
КПД, с достоверностью 97%	$\eta = \eta_0 \times 100\% \left[ 1 + \frac{V_{OUT}}{V_{IN}} \times \left( 1 + \frac{V_{IN} - V_{SAT}}{V_{OUT} + 2V_D} \right) \times 0.2 [\text{мкс}] f_{SX} + \eta_0 \frac{0.02 V_{IN}}{V_{OUT} I_{OUT}} \right]$
Размах тока пульсаций в катушке индуктивности	$\Delta I_{L1} = (V_{IN} - V_{SAT}) \left[ L1 f_{SX} \left( 1 + \frac{V_{IN} - V_{SAT}}{V_{OUT} + V_D} \right) \right]$ $\Delta I_{L2} = (V_{OUT} + 2V_D) \left[ L2 f_{SX} \left( 1 + \frac{V_{OUT} + V_D}{V_{IN} - V_{SAT}} \right) \right]$
Размах напряжения пульсаций на выходе	$\Delta V_{OUT} = \Delta I_{L2} \sqrt{\left( \frac{1}{8f_{CX} C_{OUT}} \right)^2 + (ESR)^2}$
Выходное напряжение	$V_{OUT} = (V_{IN} - V_{SAT}) \frac{t_{ON}/\tau}{1 - t_{ON}/\tau} - V_D$
Падение входного напряжения	$\Delta V_{IN} = \Delta I_{L1} \sqrt{\left( \frac{1}{8f_{CX} C_{OUT}} \right)^2 + (ESR)^2}$
Емкость конденсатора C1	$C1 > 20 I_{OUT} V_{OUT} / \left[ f_{SX} (V_{OUT} + V_{IN})^2 \left( 1 + \frac{V_{IN} - V_{SAT}}{V_{OUT} + V_D} \right) \right]$
Мощность, рассеиваемая LAS63xx	$P_D = I_{OUT} \left( 1 + \frac{V_{OUT} + 2V_D}{V_{IN} - V_{SAT}} \right) \times \left[ 0.2 [\text{мкс}] f_{SX} (V_{OUT} + V_{IN}) + V_{SAT} \left( 1 - \frac{V_{IN} - V_{SAT}}{V_{OUT} + V_D} \right) \right] + 0.02 V_{IN}$

Выводы 3,4,5,10,11,12

C<sub>IN</sub> - типа VPR132U075N3L (Mallory)  
C<sub>1</sub> - типа VPR122-040L2C (Mallory)  
D1 - высокоскоростной диод типа VHE-1402 (Varo)  
L1 - типа HL-40754 (Hurricane)  
L2 - 10 витков пров. #18 на каркасе Ø 6 мм без сердечника

# УНИВЕРСАЛЬНЫЙ ИМПУЛЬСНЫЙ СТАБИЛИЗАТОР НАПРЯЖЕНИЯ 1156EY1

Аналог  
μA78S40

**FAIRCHILD**

Товарные знаки  
фирм изготовителей



## ОСОБЕННОСТИ

- ♦ Рассчитан для повышающих, понижающих и инвертирующих импульсных стабилизаторов
- ♦ Регулировка выходного напряжения ..... 1.25...40 В
- ♦ Выходной импульсный ток .....  $\leq 1.5$  А
- ♦ Входное напряжение ..... 2.5...40 В
- ♦ Рабочая частота ..... 0.1...100 кГц
- ♦ Отношение времени заряда/разряда ..... 10 : 1
- ♦ Диапазон рабочих температур:
  - для K1156EY1 ..... -60...+125°C
  - для KP1156EY1 ..... -10...+85°C

## ОБЩЕЕ ОПИСАНИЕ

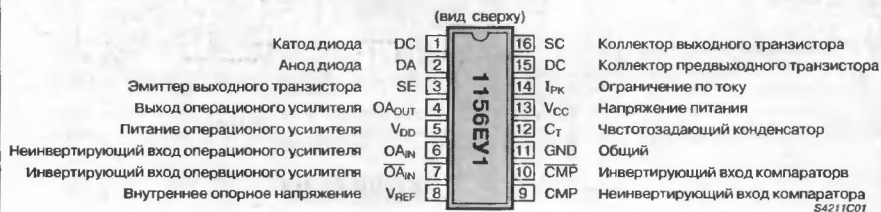
Микросхема 1156EY1 представляет из себя набор функциональных элементов, предназначенный для построения импульсного стабилизатора повышающего, понижающего или инвертирующего типа. Прибор K1156EY1 выпускается в металлокерамическом корпусе типа 4112.16-3, а KP1156EY1 — в пластмассовом корпусе типа 283.16-2

## ТИПОНОМИНАЛЫ

K1156EY1 ..... АЕЯР.431420.007-01 ТУ  
KP1156EY1 ..... АДБК.431400.074-01 ТУ

## ЦОКОЛЕВКА КОРПУСОВ

Пластмассовый корпус типа 238.16-2



Металлокерамический корпус  
типа 4112.16-3



## СТРУКТУРНАЯ СХЕМА

Не имеет отличий от структурной схемы μA78S40, См. стр. 63

## СХЕМЫ ВКЛЮЧЕНИЯ

Не имеют отличия от схем включения μA78S40, См. стр. 66



## УНИВЕРСАЛЬНЫЙ ИМПУЛЬСНЫЙ СТАБИЛИЗАТОР

### ОСОБЕННОСТИ

- Для повышающих, понижающих или инвертирующих импульсных стабилизаторов
- Регулировка выходного напряжения ..... 1.25...40 В
- Импульсный ток без внешних транзисторов ..... до 1.5 А
- Входное напряжение ..... 2.5...40 В
- Малое потребление в дежурном режиме
- Коэффициент стабилизации по напряжению и по току нагрузки ..... 80 дБ
- Независимый операционный усилитель с высоким коэффициентом усиления и большим выходным током
- Широко-импульсная модуляция с подавлением сдвоенных импульсов

### ТИПОМИНАЛЫ

Типоминал	Тип корпуса	Температурный диапазон
μA78S40DM	CERDIP-16	-55...+125°C
μA78S40DC	CERDIP-16	0...+70°C
μA78S40PC	DIP-16	0...+70°C

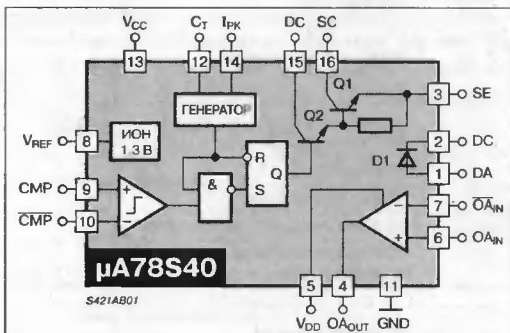
### ЦОКОЛЕВКА КОРПУСОВ

Корпус типа: DIP-16, CERDIP-16

		(вид сверху)		
Катод диода	DC	1	16	SC Коллектор выходного тран-ра
Анод диода	DA	2	15	DC Коллектор правых выходного тран-ра
Эмиттер выходного тран-ра	SE	3	14	IPK Ограничение по току
Выход ОУ	OA <sub>OUT</sub>	4	13	V <sub>CC</sub> Напряжение питания
"+" напряжения питания ОУ	V <sub>DD</sub>	5	12	CT Частотоподающий конденсатор
Неинвертирующий вход ОУ	OA <sub>IN</sub>	6	11	GND Общий
Инвертирующий вход ОУ	OA <sub>IN</sub>	7	10	CMP Инверт. вход компаратора
Выход опорного напряжения	V <sub>REF</sub>	8	9	CMP Неинверт. вход компаратора

S421AC01

### СТРУКТУРНАЯ СХЕМА



### МАКСИМАЛЬНЫЕ ЗНАЧЕНИЯ ПАРАМЕТРОВ И РЕЖИМОВ

- Диапазон температур хранения:
- для корпуса CERDIP-16 ..... -65...+175°C
  - для корпуса DIP-16 ..... -65...+150°C
- Диапазон рабочих температур:
- Военный (μA78S40M) ..... -55...+125°C
  - Коммерческий (μA78S40C) ..... 0...+70°C
- Температура выводов:
- для корпуса CERDIP-16 (пайка 60 с) ..... 300°C
  - для корпуса DIP-16 (пайка 10 с) ..... 265°C
- Внутренняя мощность рассеивания (Прим. 1, 2):
- для корпуса CERDIP-16 ..... 1.50 Вт
  - для корпуса DIP-16 ..... 1.04 Вт
- Входное напряжение между V<sub>CC</sub> и GND ..... 40 В
- Входное напряжение между V<sub>DD</sub> и GND ..... 40 В
- Диапазон синфазных входных напряжений (компаратор и операционный усилитель) ..... (-0.3...V+) В
- Дифференциальное входное напряжение (Прим. 3) ..... ±30 В
- Выходной ток источника опорного напряжения ..... 10 мА

- Длительность короткого замыкания на выходе операционного усилителя ..... Не ограничена
- Напряжение между коллектором ключевого транзистора и землей ..... 40 В
- Напряжение между эмиттером ключевого транзистора и землей ..... 40 В
- Напряжение коллектор-эмиттер ключевого транзистора ..... 40 В
- Напряжение между силовым диодом и землей ..... 40 В
- Обратное напряжение силового диода ..... 40 В
- Ток через силовой ключ ..... 1.5 А
- Ток через силовой диод ..... 1.5 А

#### Примечание:

1. T<sub>J</sub> (max) = 150°C для корпуса DIP-16, и 175°C для корпуса CERDIP-16.
2. Значения даны для температуры окружающего воздуха 25°C. Выше этой температуры значения уменьшаются для CERDIP-16 на 10 мВт/°C, а для DIP-16 на 8.3 мВт/°C.
3. При напряжении питания менее 30 В максимальное дифференциальное напряжение равно напряжению питания.

# ЭЛЕКТРИЧЕСКИЕ ХАРАКТЕРИСТИКИ

При  $T_A$  во всем диапазоне рабочих температур,  $V_{IN} = 5 \text{ В}$ ,  $V_{DO}$  (операционный усилитель) = 5.0 В, если не указано иначе

Символ	Параметр	Условие	Значения			Единица измерения
			не менее	типичное	не более	
ОБЩИЕ ХАРАКТЕРИСТИКИ						
$I_{CC}$	Ток потребления (ОУ не подключен)	$V_{IN} = 5.0 \text{ В}$	—	1.8	3.5	мВ
$I_{CC}$		$V_{IN} = 40.0 \text{ В}$	—	2.3	5.0	мВ
$I_{CC}$	Ток потребления (ОУ подключен)	$V_{IN} = 5.0 \text{ В}$	—	—	4.0	мВ
$I_{CC}$		$V_{IN} = 40.0 \text{ В}$	—	—	5.5	мВ
ИСТОЧНИК ОПОРНОГО НАПРЯЖЕНИЯ						
$V_{REF}$	Опорное напряжение	$I_{REF} = 1.0 \text{ мА}$ , $-55^{\circ}\text{C} < T_A < +125^{\circ}\text{C}$ ; $0 < T_A < +70^{\circ}\text{C}$ ;	1.180	1.245	1.310	В
$V_{RLINE}$	Коэффициент стабилизации по напряжению питания	$V_{IN} = 3.0...40 \text{ В}$ , $I_{REF} = 1.0 \text{ мА}$ , $T_A = 25^{\circ}\text{C}$	—	0.04	0.2	мВ/В
$V_{RLoad}$	Коэффициент стабилизации по току нагрузки	$I_{REF} = 1.0...10 \text{ мА}$ , $T_A = 25^{\circ}\text{C}$	—	0.2	0.5	мВ/мА
ГЕНЕРАТОР						
$I_{CHG}$	Ток заряда	$V_{IN} = 5.0 \text{ В}$ , $T_A = 25^{\circ}\text{C}$	20	—	50	мкА
		$V_{IN} = 40 \text{ В}$ , $T_A = 25^{\circ}\text{C}$	20	—	70	мкА
$I_{DISCHG}$	Ток разряда	$V_{IN} = 5.0 \text{ В}$ , $T_A = 25^{\circ}\text{C}$	150	—	250	мкА
		$V_{IN} = 40 \text{ В}$ , $T_A = 25^{\circ}\text{C}$	150	—	350	мкА
$V_{OSC}$	Размах выходного напряжения генератора	$V_{IN} = 5.0 \text{ В}$ , $T_A = 25^{\circ}\text{C}$	—	0.5	—	В
$t_{ON}/t_{OFF}$	Отношение времен заряда/разряда		—	8 : 1	—	мкс/мкс
СХЕМА ОГРАНИЧЕНИЯ ТОКА						
	Напряжение срабатывания схемы ограничения тока	$T_A = 25^{\circ}\text{C}$	250	—	350	мВ
ВЫХОДНОЙ КЛЮЧ						
	Напряжение насыщения 1	$I_{SW} = 1.0 \text{ А}$ (Рис. 1)	—	1.1	1.3	В
	Напряжение насыщения 2	$I_{SW} = 1.0 \text{ А}$ (Рис. 2)	—	0.45	0.7	В
	Коэффициент усиления по току	$I_C = 1.0 \text{ А}$ , $V_{CE} = 5.0 \text{ В}$ , $T_A = 25^{\circ}\text{C}$	—	70	—	
	Ток утечки	$V_O = 40 \text{ В}$ , $T_A = 25^{\circ}\text{C}$	—	10	—	нА
СИЛОВОЙ ДИОД						
	Прямое падение напряжения	$I_D = 1.0 \text{ А}$	—	1.25	1.5	В
	Ток утечки	$V_D = 40 \text{ В}$ , $T_A = 25^{\circ}\text{C}$	—	10	—	нА
КОМПАРАТОР						
	Напряжение смещения	$V_{CM} = V_{REF}$	—	1.5	15	мВ
	Входной ток	$V_{CM} = V_{REF}$	—	35	200	нА
	Разность входных токов	$V_{CM} = V_{REF}$	—	5.0	75	нА
	Диапазон синфазных входных сигналов	$T_A = 25^{\circ}\text{C}$	0	—	$V_{CC} - 2$	В
	Коэффициент подавления нестабильности источников питания	$V_{IN} = 5.0...40 \text{ В}$ , $T_A = 25^{\circ}\text{C}$	70	96	—	дБ
ОПЕРАЦИОННЫЙ УСИЛИТЕЛЬ						
	Напряжение смещения	$V_{CM} = 2.5 \text{ В}$	—	4.0	15	мВ
	Входной ток	$V_{CM} = 2.5 \text{ В}$	—	30	200	нА
	Разность входных токов	$V_{CM} = 2.5 \text{ В}$	—	5.0	75	нА
	Коэффициент усиления +	$R_L = 2 \text{ кОм}$ на землю; $V_O = 1.0...2.5 \text{ В}$ , $T_A = 25^{\circ}\text{C}$	25	250	—	В/мВ
	Коэффициент усиления -	$R_L = 2 \text{ кОм}$ на $V_+$ (ОУ); $V_O = 1.0...2.5 \text{ В}$ , $T_A = 25^{\circ}\text{C}$	25	250	—	В/мВ
	Диапазон синфазных входных сигналов	$T_A = 25^{\circ}\text{C}$	0	—	$V_{CC} - 2$	В
	Коэффициент ослабления синфазных входных сигналов	$V_{CM} = 0...3.0 \text{ В}$ , $T_A = 25^{\circ}\text{C}$	76	100	—	дБ
	Коэффициент подавления нестабильности источников питания	$V_{DD} = 3.0...40 \text{ В}$ , $T_A = 25^{\circ}\text{C}$	76	100	—	дБ
	Выходной вытекающий ток	$T_A = 25^{\circ}\text{C}$	75	150	—	мА
	Выходной втекающий ток	$T_A = 25^{\circ}\text{C}$	10	35	—	мА
	Скорость нарастания выходного напряжения	$T_A = 25^{\circ}\text{C}$	—	0.6	—	В/мкс
	Минимальное выходное напряжение	$I_L = -5.0 \text{ мА}$ , $T_A = 25^{\circ}\text{C}$	—	—	1.0	В
	Максимальное выходное напряжение	$I_L = 50 \text{ мА}$ , $T_A = 25^{\circ}\text{C}$	$V_{DD} - 3$	—	—	В

ФУНКЦИОНАЛЬНОЕ ОПИСАНИЕ

УПРАВЛЕНИЕ ЧАСТОТОЙ ПРЕОБРАЗОВАНИЯ

Микросхема μA78S40 является прибором с изменяемыми значениями частоты и рабочего цикла. Основная частота преобразования устанавливается с помощью частотозадающего конденсатора. Частота генератора устанавливается с помощью единственного внешнего конденсатора и может изменяться в диапазоне от 100 Гц до 100 кГц. Первоначальная величина рабочего цикла составляет 1:6. Начальная частота и рабочий цикл могут изменяться с помощью двух элементов — схемы ограничения тока и компаратора.

Компаратор изменяет длительность состояния ВЫКЛЮЧЕНО. Пока выходное напряжение ниже заданного уровня, выход компаратора выдает напряжение ВЫСОКОГО уровня и не оказывает влияния на работу схемы. Если выходное напряжение становится слишком высоким, то выход компаратора переходит в состояние НИЗКОГО уровня. В состоянии НИЗКОГО уровня компаратор запрещает включение выходного ключевого транзистора. До тех пор, пока компаратор находится в состоянии НИЗКОГО уровня система находится в состоянии ВЫКЛЮЧЕНО. С увеличением выходного тока длительность состояния ВЫКЛЮЧЕНО уменьшается. Когда выходной ток находится вблизи максимального значения, длительность нахождения в состоянии ВЫКЛЮЧЕНО приближается к минимальной величине. Компаратор может запретить несколько интервалов ВКЛЮЧЕНО, один интервал ВКЛЮЧЕНО или часть интервала ВКЛЮЧЕНО. Однако, если интервал ВКЛЮЧЕНО начался, то компаратор не может запретить его до начала следующего интервала ВКЛЮЧЕНО.

Схема ограничения тока изменяет длительность состояния ВКЛЮЧЕНО. Схема ограничения тока активизируется, когда между выводами [13] (V<sub>CC</sub>) и [14] (I<sub>PK</sub>) возникает разность потенциалов 300 мВ. Эта разность потенциалов вызвана протеканием тока ключевого транзистора через резистор R<sub>SC</sub>. Когда импульсный ток достигает максимального значения, включается схема ограничения тока. Схема ограничения тока обеспечивает быстрое завершение интервала ВКЛЮЧЕНО и непосредственный запуск интервала ВЫКЛЮЧЕНО.

Обычно генератор находится в автоколебательном режиме, но действие схемы ограничения тока приводит к срыву колебаний.

Увеличение нагрузки приводит к более раннему ограничению тока в состоянии ВКЛЮЧЕНО и к уменьшению длительности состояния ВЫКЛЮЧЕНО. Таким образом, частота с увеличением тока нагрузки преобразования увеличивается.

ИСПОЛЬЗОВАНИЕ ВНУТРЕННЕГО ИСТОЧНИКА ОПОРНОГО НАПРЯЖЕНИЯ, ДИОДА И КЛЮЧА

Внутренний источник опорного напряжения 1.245 В (вывод [8]) должен быть шунтирован конденсатором 0.1 мкФ непосредственно на общий вывод μA78S40 (вывод [11]) для обеспечения устойчивости.

Напряжение V<sub>FD</sub> есть прямое падение напряжения на внутреннем силовом диоде. Его типовая величина, согласно таблице, составляет 1.25 В и максимальная — 1.5 В. Если используется внешний диод, то в качестве V<sub>FD</sub> должно подставляться значение его прямого падения напряжения.

Напряжение V<sub>SAT</sub> является падением напряжения на ключевом элементе (выходные транзисторы Q1 и Q2) при замкнутом состоянии ключа. Оно названо в таблице "Электрические характеристики" напряжением насыщения выходного ключа.

"Напряжение насыщения 1" определяется как напряжение на ключевом элементе при соединении транзисторов Q1 и Q2 по схеме Дарлингтона (коллекторы объединены). Это относится к схеме понижающего преобразователя (Рис. 2).

"Напряжение насыщения 2" определяется как напряжение на ключевом элементе — только транзисторе Q1, используемом в качестве ключа. Это относится к схеме повышающего преобразователя (Рис. 3).

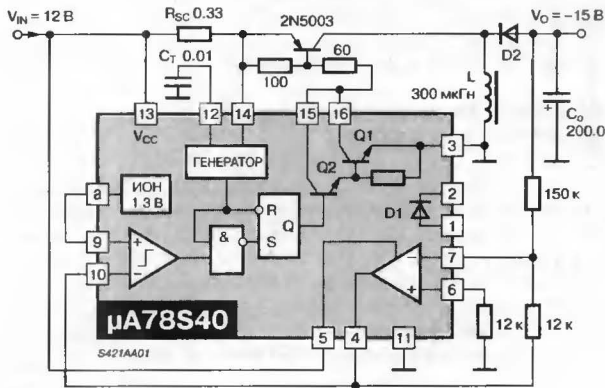
Для инвертирующего преобразователя (Рис. 1) в качестве V<sub>SAT</sub> должно подставляться напряжение насыщения внешнего транзистора.

ОСНОВНЫЕ ФОРМУЛЫ ДЛЯ КОНСТРУИРОВАНИЯ

Характеристика	Повышающий преобразователь	Понижающий преобразователь	Инвертирующий преобразователь	Единица измерения
$t_{ON}$	$\frac{V_O + V_D - V_I}{V_I - V_{SAT} - V_D}$	$\frac{V_O + V_D - V_I}{V_I - V_{SAT}}$	$\frac{ V_O  + V_D}{V_I - V_{SAT}}$	
$t_{OFF}$	$\frac{1}{f(min)}$	$\frac{1}{f(min)}$	$\frac{1}{f(min)}$	мкс
$t_{ON} + t_{OFF} (max)$	$\frac{1}{f(min)}$	$\frac{1}{f(min)}$	$\frac{1}{f(min)}$	мкс
C <sub>T</sub>	$4 \times 10^{-5} t_{ON}$	$4 \times 10^{-5} t_{ON}$	$4 \times 10^{-5} t_{ON}$	мкФ
I <sub>PK</sub>	$2I_O (max)^*$	$2I_O (max) \times \frac{t_{ON} + t_{OFF}}{t_{OFF}}$	$2I_O (max) \times \frac{t_{ON} + t_{OFF}}{t_{OFF}}$	А
L (min)	$\frac{V_I - V_{SAT} - V_D}{I_{PK}} t_{ON} (max)$	$\frac{V_I - V_{SAT}}{I_{PK}} t_{ON} (max)$	$\frac{V_I - V_{SAT}}{I_{PK}} t_{ON} (max)$	мкГн
R <sub>SC</sub>	$\frac{0.33}{I_{PK}}$	$\frac{0.33}{I_{PK}}$	$\frac{0.33}{I_{PK}}$	Ом
C <sub>O</sub>	$\frac{I_{PK} (t_{ON} + t_{OFF})}{8 V_{RIPPLE}}$	$\frac{I_O}{V_{RIPPLE}} \times t_{ON}$	$\frac{I_O}{V_{RIPPLE}} \times t_{ON}$	мкФ

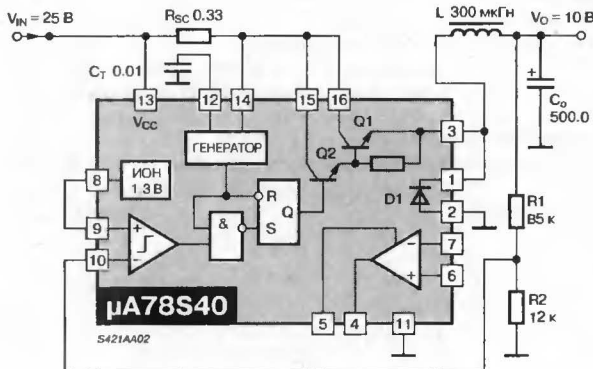
СХЕМЫ ВКЛЮЧЕНИЯ

Рис. 1. Типовая схема инвертирующего стабилизатора и его рабочие характеристики ( $T_A = 25^\circ\text{C}$ )



Характеристика	Условия	Типовое значение
Выходное напряжение	$I_O = 100 \text{ мА}$	-15 В
Нестабильность по входному напряжению	$8 \leq V_I \leq 18 \text{ В}$	5.0 мВ
Нестабильность по току нагрузки	$5.0 \leq I_O \leq 150 \text{ мА}$	3.0 мВ
Максимальный выходной ток	$V_O = 14.25 \text{ В}$	160 мА
Пульсации выходного напряжения	$I_O = 100 \text{ мА}$	20 мВ (p-p)
КПД	$I_O = 100 \text{ мА}$	70%
Ток покоя	$I_O = 100 \text{ мА}$	2.3 мА

Рис. 2. Типовая схема понижающего стабилизатора и его рабочие характеристики ( $T_A = 25^\circ\text{C}$ )

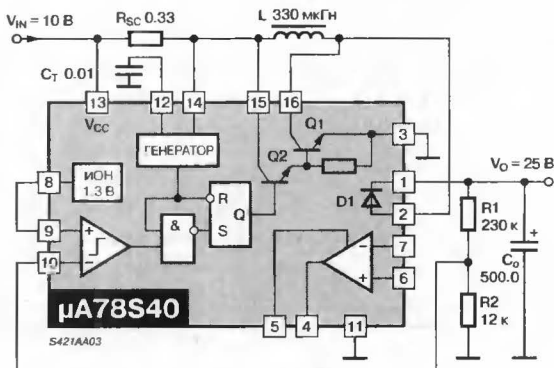


Характеристика	Условия	Типовое значение
Выходное напряжение	$I_O = 200 \text{ мА}$	10 В
Нестабильность по входному напряжению	$20 \leq V_I \leq 30 \text{ В}$	1.5 мВ
Нестабильность по току нагрузки	$5.0 \leq I_O \leq 300 \text{ мА}$	3.0 мВ
Максимальный выходной ток	$V_O = 9.5 \text{ В}$	500 мА
Пульсации выходного напряжения	$I_O = 200 \text{ мА}$	50 мВ (p-p)
КПД	$I_O = 200 \text{ мА}$	74%
Ток покоя	$I_O = 200 \text{ мА}$	2.8 мА

Примечание:

\* При выходном токе более 200 мА используйте внешний диод для уменьшения мощности, рассеиваемой микросхемой.

Рис. 3. Типовая схема повышающего стабилизатора и его рабочие характеристики ( $T_A = 25^\circ\text{C}$ )






Характеристика	Условия	Типовое значение
Выходное напряжение	$I_O = 50 \text{ мА}$	25 В
Нестабильность по входному напряжению	$5 \leq V_I \leq 15 \text{ В}$	4.0 мВ
Нестабильность по току нагрузки	$5.0 \leq I_O \leq 100 \text{ мА}$	2.0 мВ
Максимальный выходной ток	$V_O = 23.75 \text{ В}$	160 мА
Пульсации выходного напряжения	$I_O = 50 \text{ мА}$	30 мВ (p-p)
КПД	$I_O = 50 \text{ мА}$	79%
Ток покоя	$I_O = 50 \text{ мА}$	2.6 мА

# СХЕМА УПРАВЛЕНИЯ DC/DC-ПРЕОБРАЗОВАТЕЛЕМ 1156ЕУ5, 1184ПН1

Аналог  
МС34063А

  
ON Semiconductor  
Formerly a Division of Motorola



Товарные знаки  
фирм изготовителей



## ОСОБЕННОСТИ

- Входное напряжение ..... 3.0...40 В
- Низкий ток потребления в дежурном режиме
- Ограничение тока
- Выходной ток ключа ..... до 1.5 А
- Регулировка выходного напряжения
- Рабочая частота ..... до 100 кГц
- Точность источника опорного напряжения ..... 2%

## ТИПОНОМИНАЛЫ

Прибор	Корпус	Производитель	
КР1156ЕУ5	2101.8-1		НТЦ СИТ
КР1184ПН1	2101.8-1		Микрон

## ОБЩЕЕ ОПИСАНИЕ

Микросхемы 1156ЕУ5 и 1184ПН1 представляют собой схему управления DC/DC-преобразователем напряжения, предназначенную для применения в повышающих, понижающих и инвертирующих преобразователях с минимальным количеством внешних элементов. Микросхемы состоят из термокомпенсированного источника опорного напряжения (ИОН), компаратора, генератора с регулируемым рабочим циклом, схемы ограничения тока, выходного каскада и сильноточного ключа.

## СТРУКТУРНАЯ СХЕМА

Не имеет отличий от структурной схемы МС34063А, См. стр. 68.

## СХЕМА ПРИМЕНЕНИЯ

Не имеет отличий от схемы применения МС34063А, См. стр. 70.

## ЦОКОЛЕВКА КОРПУСОВ

2

Пластмассовый корпус типа DIP-8

КР1156ЕУ5  
КР1184ПН1



Коллектор ключа	C <sub>SW</sub>	1	8	C <sub>DRIVER</sub>	Питание выходного каскада
Эмиттер ключа	E <sub>SW</sub>	2	7	I <sub>SENSE</sub>	Токочувствительный вход
Ёмкость генератора	C <sub>T</sub>	3	6	V <sub>CC</sub>	Положительное напряжение питания
Земля	GND	4	5	COMP-	Инвертирующий вход компаратора





ON Semiconductor  
Formerly a Division of Motorola

# MC33063A/34063A

## СХЕМА УПРАВЛЕНИЯ DC/DC-ПРЕОБРАЗОВАТЕЛЕМ

### ОСОБЕННОСТИ

- ♦ Входное напряжение ..... 3.0...40 В
- ♦ Низкий ток потребления в дежурном режиме
- ♦ Ограничение тока
- ♦ Выходной ток ключа ..... до 1.5 А
- ♦ Регулировка выходного напряжения
- ♦ Рабочая частота ..... до 100 кГц
- ♦ Точность источника опорного напряжения ..... 2%

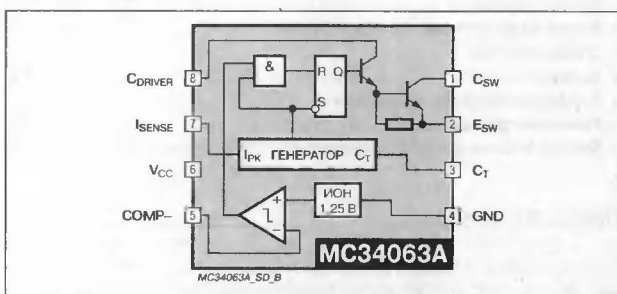
### ОБЩЕЕ ОПИСАНИЕ

Микросхема MC33063A/34063A представляет собой схему управления DC/DC-преобразователем. Она содержит термокомпенсированный источник опорного напряжения (ИОН), компаратор, генератор с регулируемым рабочим циклом, схему ограничения тока, выходной каскад и силовой ключ. Данная серия специально разработана для применения в повышающих, понижающих и инвертирующих преобразователях с минимальным количеством элементов.

### ТИПОНОМИНАЛЫ

Типономинал	Температура, °C	Корпус
MC33063AD	-40...+85	SOP-8
MC33063AP1	-40...+85	DIP-8
MC33063AVD	-40...+125	SOP-8
MC33063AVP	-40...+125	DIP-8
MC34063AD	0...+70	SOP-8
MC34063AP1	0...+70	DIP-8

### СТРУКТУРНАЯ СХЕМА



### ЦОКОЛЕВКА КОРПУСОВ

Пластмассовый корпус типа DIP-8

суффикс P, P1

Коллектор ключа	C <sub>SW</sub>	1	8	C <sub>DRIVER</sub>	Питание выходного каскада
Эмиттер ключа	E <sub>SW</sub>	2	7	I <sub>SENSE</sub>	Токочувствительный вход
Ёмкость генератора	C <sub>T</sub>	3	6	V <sub>CC</sub>	Положительное напряжение питания
Земля	GND	4	5	COMP-	Инвертирующий вход компаратора

Пластмассовый корпус типа SOP-8

суффикс D

C <sub>SW</sub>	1	8	C <sub>DRIVER</sub>
E <sub>SW</sub>	2	7	I <sub>SENSE</sub>
C <sub>T</sub>	3	6	V <sub>CC</sub>
GND	4	5	COMP-

### МАКСИМАЛЬНЫЕ ЗНАЧЕНИЯ ПАРАМЕТРОВ И РЕЖИМОВ

Параметр	Символ	Значение	Единица измерения
Напряжение питания	V <sub>CC</sub>	40	В (DC)
Входное напряжение компаратора	V <sub>IR</sub>	-0.3...+40	В (DC)
Напряжение на коллекторе ключа	V <sub>C(SW)</sub>	40	В (DC)
Напряжение на эмиттере ключа (V <sub>C(SW)</sub> = 40 В)	V <sub>E(SW)</sub>	40	В (DC)
Напряжение коллектор-эмиттер ключа	V <sub>CE(SW)</sub>	40	В (DC)
Напряжение на выводе C <sub>DRIVER</sub>	V <sub>C(DRIVER)</sub>	40	В (DC)
Ток через вывод C <sub>DRIVER</sub> <sup>(1)</sup>	I <sub>C(DRIVER)</sub>	100	мА
Ток ключа	I <sub>SW</sub>	1.5	А
Рассеиваемая мощность и тепловые характеристики корпусов	DIP	T <sub>A</sub> = 25°C	P <sub>D</sub>
		Тепловое сопротивление	R <sub>JA</sub>
	SOP	T <sub>A</sub> = 25°C	P <sub>D</sub>
		Тепловое сопротивление	R <sub>JA</sub>
Рабочая температура кристалла	T <sub>J</sub>	+150	°C
Рабочая температура среды	MC34063A	T <sub>A</sub>	0...+70
	MC33063AV	T <sub>A</sub>	-40...+125
	MC33063A	T <sub>A</sub>	-40...+85
Температура хранения	T <sub>STG</sub>	-65...+150	°C

Примечания: 1. Следует учесть максимальную рассеиваемую мощность корпуса  
2. Данные ESD по запросу

ЭЛЕКТРИЧЕСКИЕ ХАРАКТЕРИСТИКИ

Параметр	Условие	Символ	Значение			Единица измерения
			не менее	типовое	не более	
ГЕНЕРАТОР						
Частота	$V_{COMP} = 0\text{ В},$ $C_T = 1.0\text{ нФ}, T_A = 25^\circ\text{C}$	$f_{OSC}$	24	33	42	кГц
Ток заряда	$V_{CC} = 5...40\text{ В},$ $T_A = 25^\circ\text{C}$	$I_{CHG}$	24	35	42	мкА
Ток разряда	$V_{CC} = 5...40\text{ В},$ $T_A = 25^\circ\text{C}$	$I_{DISCHG}$	140	220	260	мкА
Отношение тока разряда и заряда	$V_{ISENSE} = V_{CC},$ $T_A = 25^\circ\text{C}$	$I_{DISCHG}/I_{CHG}$	5.2	6.5	7.5	—
Порог ограничителя тока	$I_{CHG} = I_{DISCHG},$ $T_A = 25^\circ\text{C}$	$V_{ISENSE}$	250	300	350	мВ
ВЫХОДНОЙ КЛЮЧ <sup>1)</sup>						
Напряжение насыщения, дарлингтонное включение <sup>2)</sup>	$I_{SW} = 1.0\text{ А},$ выводы 1 и 8 соединены	$V_{CE(SAT)}$	—	1.0	1.3	В
	$I_{SW} = 1.0\text{ А},$ $R_B = 82\text{ Ом}, V_{CC} = 20\text{ В}$	$V_{CE(SAT)}$	—	0.45	0.7	В
Усиление по постоянному току	$I_{SW} = 1.0\text{ А},$ $V_{CE} = 5.0\text{ В},$ $T_A = 25^\circ\text{C}$	$h_{FE}$	50	75	—	—
Ток утечки коллектора	$V_{CE} = 40\text{ В}$	$I_{C(OFF)}$	—	0.01	100	мкА
КОМПАРТОР						
Пороговое напряжение	$T_A = 25^\circ\text{C}$	$V_{TH}$	1.21	—	1.29	В
		$V_{TH}$	1.225	1.25	1.275	В
Нестабильность порогового напряжения по напряжению	МС33063А/34063А	$V_{CC} = 3...40\text{ В}$ $REG_{LINE}$	—	1.4	5.0	мВ
	МС33063АV		—	1.4	6.0	мВ
Входной ток смещения	$V_{IN} = 0\text{ В}$	$I_{IB}$	—	-20	-400	нА
ВСЬ ПРИБОР						
Напряжение питания	$V_{CC} = V_{ISENSE} = 5...40\text{ В},$ $C_T = 1\text{ нФ},$ $V_{COMP} > V_{TH},$ $V_{ESW} = V_{GND},$ остальные выводы открыты	$I_{CC}$	—	—	4.0	мА

Примечания:  
1. Для поддержания температуры среды как можно ближе к температуре кристалла используется импульсная техника с низким коэффициентом заполнения;  
2. Если выходной ключ находится в глубоком насыщении (недарлингтонное включение) при низком токе ключа ( $\leq 300\text{ мА}$ ) и высоком токе предвыходного транзистора, может потребоваться до 2 мкс для его выхода из насыщения. В этом случае сокращается время отключения на частотах свыше 30 кГц, что ещё более усиливается при высоких температурах. Данный эффект не имеет места при дарлингтонном включении, так как выходной ключ не достигнет насыщения. При использовании недарлингтонного включения рекомендуются следующие условия работы предвыходного транзистора:  
 $\beta = I_{CSW}/(I_{C(DRIVER)} - 7.0\text{ мА}) \geq 10$ , так как через резистор в эмиттерной цепи предвыходного транзистора должен протекать ток порядка 7 мА при открытом ключе.

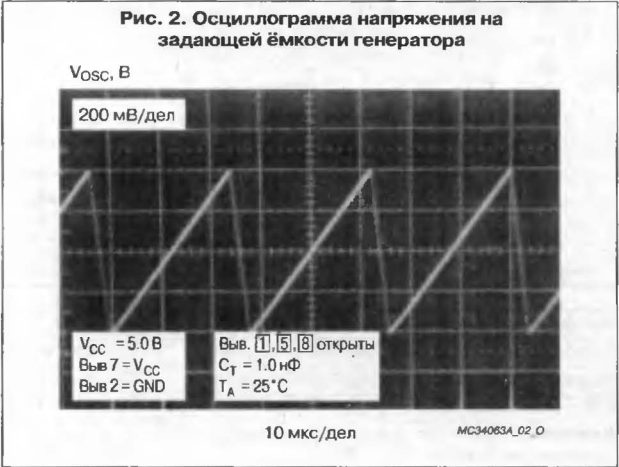
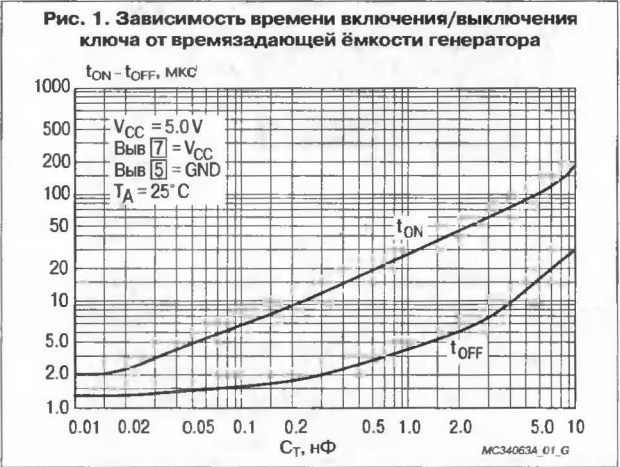


Рис. 3. Зависимость напряжения насыщения от тока эмиттера при включении эмиттерным повторителем

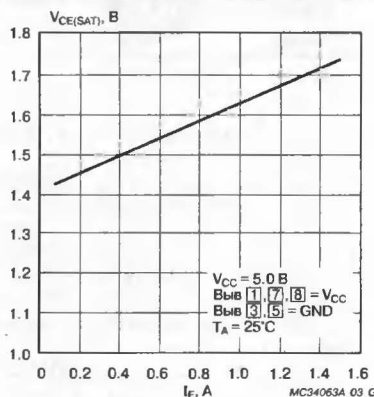


Рис. 4. Зависимость напряжения насыщения от тока эмиттера при включении с общим эмиттером

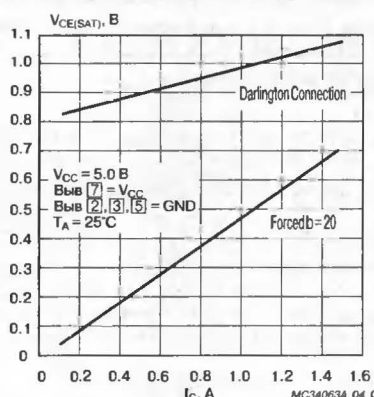


Рис. 5. Зависимость порогового напряжения ограничителя тока от температуры

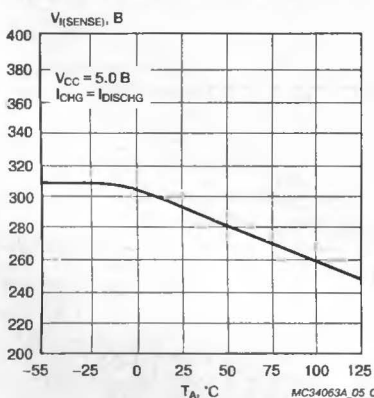
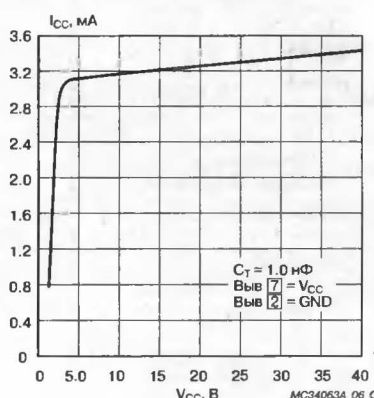


Рис. 6. Зависимость тока потребления в дежурном режиме от напряжения питания



## СХЕМЫ ПРИМЕНЕНИЯ

Рис. 7. Повышающий преобразователь

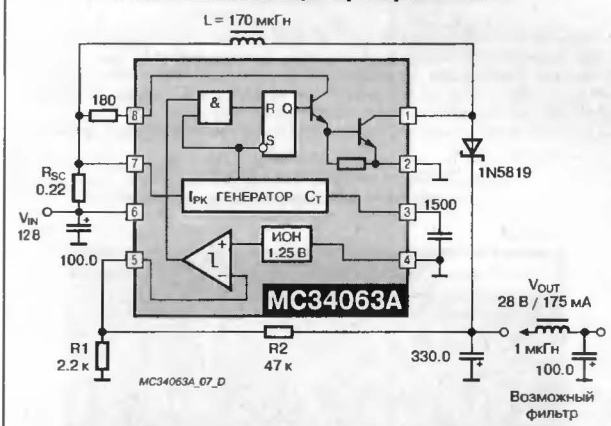
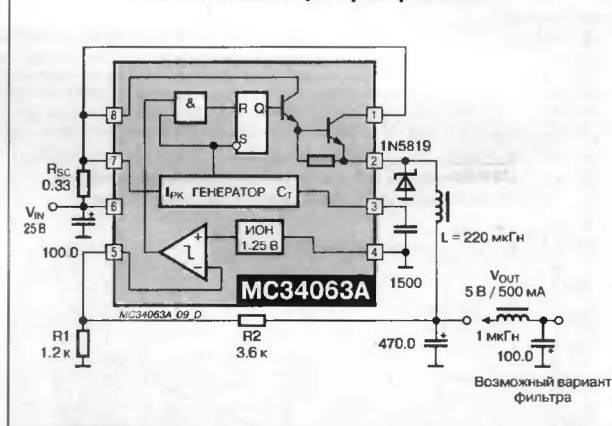


Рис. 8. Понижающий преобразователь



Тест	Условия	Результат
Нестабильность по напряжению	$V_{IN} = 8...16\text{ В}, I_O = 175\text{ мА}$	$30\text{ мВ} = \pm 0.05\%$
Нестабильность по току	$V_{IN} = 12\text{ В}, I_O = 75...175\text{ мА}$	$10\text{ мВ} = \pm 0.017\%$
Пulsации на выходе	$V_{IN} = 12\text{ В}, I_O = 175\text{ мА}$	$400\text{ мВ (p-p)}$
КПД	$V_{IN} = 12\text{ В}, I_O = 175\text{ мА}$	$87.7\%$
Пulsации на выходе с дополнительным фильтром	$V_{IN} = 12\text{ В}, I_O = 175\text{ мА}$	$40\text{ мВ (p-p)}$

Тест	Условия	Результат
Нестабильность по напряжению	$V_{IN} = 15...25\text{ В}, I_O = 500\text{ мА}$	$12\text{ мВ} = \pm 0.12\%$
Нестабильность по току	$V_{IN} = 25\text{ В}, I_O = 50...500\text{ мА}$	$3.0\text{ мВ} = \pm 0.03\%$
Пulsации на выходе	$V_{IN} = 25\text{ В}, I_O = 500\text{ мА}$	$120\text{ мВ (p-p)}$
Ток КЗ	$V_{IN} = 25\text{ В}, R_L = 0.1\text{ Ом}$	$1.1\text{ А}$
КПД	$V_{IN} = 25\text{ В}, I_O = 500\text{ мА}$	$83.7\%$

Рис. 9. Схемы повышающего преобразователя с внешним ключом на токи свыше 1.5 А  
в. Внешний *п-р-п*-ключ  
б. Внешний *п-р-п*-ключ с насыщением

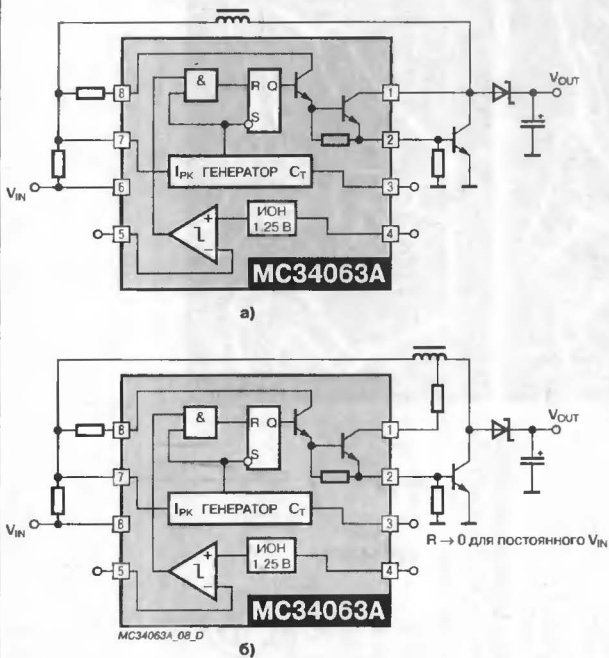


Рис. 10. Схемы понижающего преобразователя с внешним ключом на токи свыше 1.5 А  
а. Внешний *п-р-п*-ключ  
б. Внешний *п-р-п*-ключ с насыщением

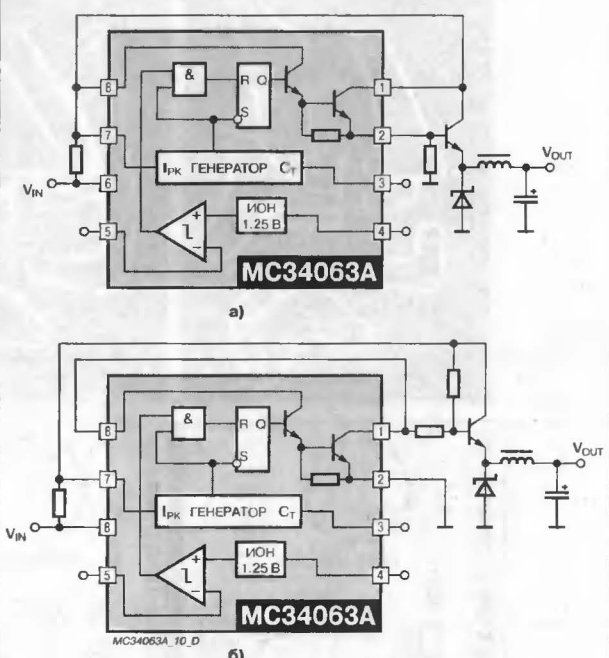


Рис. 11. Инвертирующий преобразователь напряжения

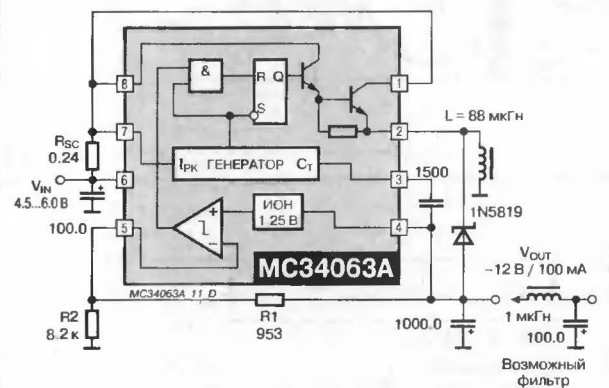
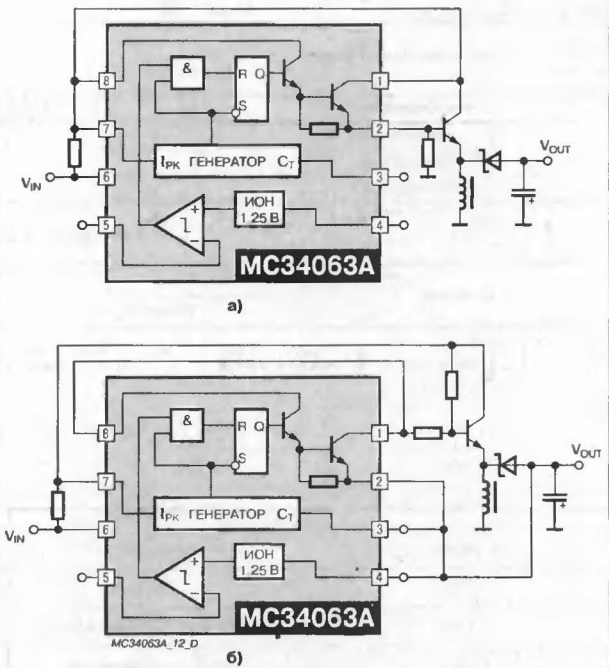
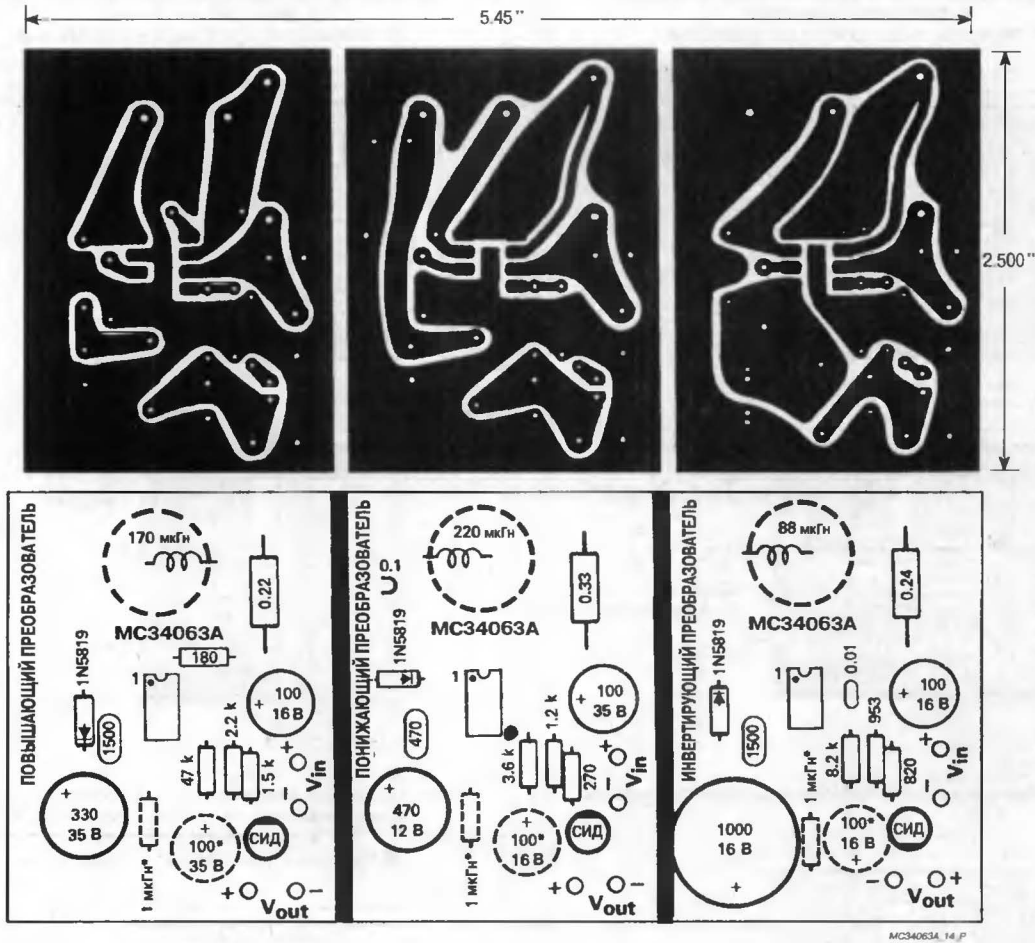


Рис. 12. Схемы инвертирующего преобразователя с внешним ключом на токи свыше 1.5 А  
а. Внешний *п-р-п*-ключ  
б. Внешний *п-р-п*-ключ с насыщением



Тест	Условия	Результат
Нестабильность по напряжению	$V_{IN} = 4.5 \dots 6.0 \text{ В}, I_O = 100 \text{ мА}$	$3.0 \text{ мВ} = \pm 0.012\%$
Нестабильность по току	$V_{IN} = 5.0 \text{ В}, I_O = 10 \dots 100 \text{ мА}$	$0.022 \text{ В} = \pm 0.09\%$
Пulseции на выходе	$V_{IN} = 5.0 \text{ В}, I_O = 100 \text{ мА}$	$500 \text{ мВ (p-p)}$
Ток КЗ	$V_{IN} = 5.0 \text{ В}, R_L = 0.1 \text{ Ом}$	$910 \text{ мА}$
КПД	$V_{IN} = 5.0 \text{ В}, I_O = 100 \text{ мА}$	$62.2\%$

Рис. 13. Печатные платы и компоновка элементов для схем, приведённых на рис. 7, 9, 11



\* дополнительный фильтр

МС34063А, 14, P

Преобразователь	Индуктивность, Гн	Витки/провод
Повышающий	170	38/#22 AWG
Понижающий	220	48/#22 AWG
Инвертирующий	88	28/#22 AWG

Табл. 1. Расчётные формулы

Величина	Преобразователь		
	Повышающий	Понижающий	Инвертирующий
$t_{ON/OFF}$	$(V_{OUT} + V_F - V_{IN(MIN)}) / (V_{IN(MIN)} - V_{SAT})$	$(V_{OUT} + V_F) / (V_{IN(MIN)} - V_{SAT} - V_{OUT})$	$( V_{OUT}  + V_F) / (V_{IN} - V_{SAT})$
$(t_{ON} + t_{OFF})$	$1/f$	$1/f$	$1/f$
$t_{OFF}$	$(t_{ON} + t_{OFF}) / (t_{ON} / t_{OFF} + 1)$	$(t_{ON} + t_{OFF}) / (t_{ON} / t_{OFF} + 1)$	$(t_{ON} + t_{OFF}) / (t_{ON} / t_{OFF} + 1)$
$t_{ON}$	$(t_{ON} + t_{OFF}) - t_{OFF}$	$(t_{ON} + t_{OFF}) - t_{OFF}$	$(t_{ON} + t_{OFF}) - t_{OFF}$
$C_T$	$4.0 \times 10^{-5} t_{ON}$	$4.0 \times 10^{-5} t_{ON}$	$4.0 \times 10^{-5} t_{ON}$
$I_{PK(SW)}$	$2I_{OUT(MAX)}(t_{ON} / t_{OFF} + 1)$	$2I_{OUT(MAX)}$	$2I_{OUT(MAX)}(t_{ON} / t_{OFF} + 1)$
$R_{SC}$	$0.3 / I_{PKSW}$	$0.3 / I_{PKSW}$	$0.3 / I_{PKSW}$
$L_{MIN}$	$((V_{IN(MIN)} - V_{SAT}) / I_{PKSW}) t_{ON(MAX)}$	$((V_{IN(MIN)} - V_{SAT} - V_{OUT}) / I_{PKSW}) t_{ON(MAX)}$	$((V_{IN(MIN)} - V_{SAT}) / I_{PKSW}) t_{ON(MAX)}$
$C_O$	$9I_{OUT} t_{ON} / V_{RIPPLE(P-P)}$	$I_{PKSW}(t_{ON} + t_{OFF}) / 8V_{RIPPLE(P-P)}$	$9I_{OUT} t_{ON} / V_{RIPPLE(P-P)}$



# ПРЕОБРАЗОВАТЕЛЬ НАПЯЖЕНИЯ 1168ЕП1

Аналог  
ICL7660

INTERSIL

Товарные знаки  
фирм изготовителей



## ОСОБЕННОСТИ

- ♦ Широкий диапазон входных напряжений ..... 3...10 В
- ♦ Высокий КПД преобразования ..... 97%
- ♦ Максимальная мощность рассеивания ..... ≤ 300 мВт
- ♦ Диапазон рабочих температур ..... -20...+70°C

## ТИПОНОМИНАЛЫ

КР1168ЕП1 ..... АДБК.431420.198-03ТУ

## ОБЩЕЕ ОПИСАНИЕ

Микросхема 1168ЕП1 представляет из себя емкостной преобразователь напряжения, преобразующий входное положительное напряжение в выходное отрицательное того же уровня. Так как прибор изготавливается по КМОП-технологии, необходимо соблюдать меры защиты от статического электричества. Микросхема выпускается в пластмассовом корпусе типа 2101.8-1.

## ЦОКОЛЕВКА КОРПУСОВ

Пластмассовый корпус типа 2101.8-1

(вид сверху)

не подключен	п.с.	1	8	V+	Питание
«+» конденсатора	CAP+	2	7	OSC	Выход генератора
Общий	GND	3	6	LV	Выход стабилизатора
«-» конденсатора	CAP-	4	5	V <sub>OUT</sub>	Выход

S422AC01

## СТРУКТУРНАЯ СХЕМА

Не имеет отличий от структурной схемы ICL7660, См. стр. 74.

## СХЕМЫ ВКЛЮЧЕНИЯ

Не имеют отличия от схем включения ICL7660, См. стр. 78.

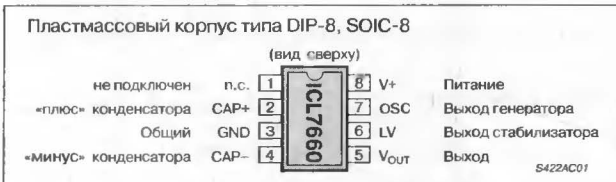
### **ОСОБЕННОСТИ**

- Высокий КПД по напряжению и мощности из-за отсутствия выпрямительных диодов
- Простое преобразование напряжения из +5 В в  $\pm 5$  В
- Типовой КПД ..... 98%
- Широкий диапазон напряжений питания ..... 1.5...10 В
- Интегральное маломощное КМОП-устройство

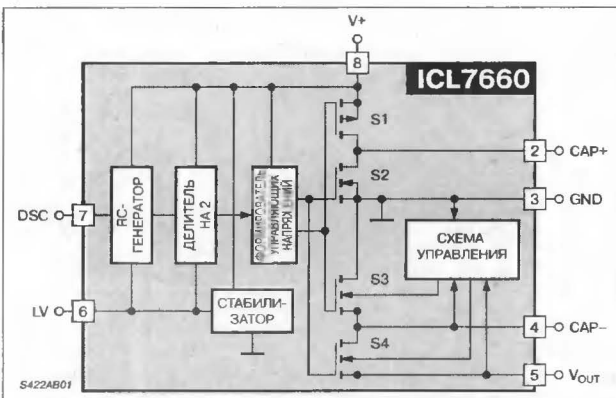
### **ПРИМЕНЕНИЯ**

- Щитовые приборы
- Портативные приборы
- Источник питания для RS-232
- Системы сбора данных
- Напряжения питания для операционных усилителей
- Преобразование положительного напряжения в отрицательное

### **ЦОКОЛЕВКА КОРПУСОВ**



### **СТРУКТУРНАЯ СХЕМА**



### **ОБЩЕЕ ОПИСАНИЕ**

Микросхема ICL7660 представляет из себя интегральный емкостной инвертор напряжения, преобразующий положительное напряжение в диапазоне +1.5...+10 В в отрицательное напряжение такого же уровня в диапазоне -1.5...-10 В. Прибор ICL7660 имеет встроенные генератор, схему управления и 4 мощных МОП-ключа и требует только два внешних компонента — дешевые электролитические конденсаторы.

Микросхема ICL7660 может использоваться везде, где требуется отрицательное напряжение в диапазоне -1.5...-10 В. Обычно необходимо получить питание -5 В для питания аналоговых схем, используя как источник питания стандартное питание логических схем +5 В. Другое популярное использование — преобразование напряжения батареи +9 В в -9 В, которое при необходимости может быть стабилизировано до -5 В при помощи ICL7660.

Микросхема ICL7660 может также использоваться для удвоения напряжения 1.5 В батареи, т.е. для получения от единственного гальванического элемента напряжения питания 3 В, либо, аналогичным образом, для получения напряжения питания 6 В от единственного литиевого элемента.

### **ТИПОНОМИНАЛЫ**

Прибор	Температурный диапазон	Корпус
ICL7660CPA	0...+70°C	DIP-8
ICL7660CBA	0...+70°C	SOIC-8
ICL7660CTV	0...+70°C	TO-99
ICL7660MTV	-55...+125°C	TO-99

### **МАКСИМАЛЬНЫЕ ЗНАЧЕНИЯ ПАРАМЕТРОВ И РЕЖИМОВ<sup>1</sup>**

- Напряжение питания (вывод LV не подключен) ..... +10.5 В
- Входное напряжение по выводам LV и OSC (Прим. 2):
- при  $(V+) < 5.5$  В ..... -0.3... $(V+) + 0.3$  В
  - при  $(V+) > 5.5$  В .....  $(V+) - 5.5$ ... $(V+) + 0.3$  В
- Ток по выводу LV при  $(V+) > 3.5$  В (Прим. 2) ..... 20 мкА
- Короткое замыкание выхода  $(V+) \leq +5.5$  В ..... Продолжительное
- Рассеиваемая мощность (Прим. 3):
- ICL7660CTV ..... 500 мВт
  - ICL7660CPA ..... 300 мВт
  - ICL7660MTV ..... 500 мВт
- Диапазон рабочих температур:
- ICL7660M ..... -55...+125°C
  - ICL7660C ..... 0...+70°C
- Диапазон температур хранения ..... -65...+150°C
- Температура выводов (пайка 10 с) ..... +300°C

#### **Примечания:**

1. Эксплуатация приборов при приведенных ниже значениях параметров может привести к разрушению прибора. Продолжительная работа прибора при предельных значениях влияет на надежность устройства.
2. Соединение любого входа с напряжением, большим V+ или меньшим GND, может привести к тиристорному эффекту и разрушению. Применять схемы умощнения выхода ICL7660, работающие от внешних источников питания, не рекомендуется.
3. При температуре выше 50°C уменьшается линейно на 5.5 мВт/°C.

ЭЛЕКТРИЧЕСКИЕ ХАРАКТЕРИСТИКИ

При  $V+ = +5\text{ В}$ ,  $T_A = +25^\circ\text{С}$  если не указано иначе

Символ	Параметр	Условия	Значения			Единица измерений
			не менее	типовое	не более	
$I+$	Ток потребления	$R_L = \infty$	—	170	500	мкА
$V_{H1}$	Верхний диапазон напряжений питания (D1 не используется) (См. Рис. 11)	$0^\circ\text{С} \leq T_A \leq 70^\circ\text{С}$ , $R_L = 10\text{ кОм}$ , LV — свободен	3.0	—	6.5	В
		$-55^\circ\text{С} \leq T_A \leq 125^\circ\text{С}$ , $R_L = 10\text{ кОм}$ , LV — свободен	3.0	—	5.0	В
$V_{L1}$	Нижний диапазон напряжений питания (D1 не используется)	$\min \leq T_A \leq \max$ , $R_L = 10\text{ кОм}$ , LV — заземлен	1.5	—	3.5	В
$V_{H2}$	Верхний диапазон напряжений питания (D1 используется)	$\min \leq T_A \leq \max$ , $R_L = 10\text{ кОм}$ , LV — свободен	3.0	—	10.0	В
$V_{L2}$	Нижний диапазон напряжений питания (D1 используется)	$\min \leq T_A \leq \max$ , $R_L = 10\text{ кОм}$ , LV — заземлен	1.5	—	3.5	В
$r_{OUT}$	Выходное сопротивление источника	$I_{OUT} = 2\text{ мА}$ , $T_A = 25^\circ\text{С}$	—	55	100	Ом
		$I_{OUT} = 2\text{ мА}$ , $-20^\circ\text{С} \leq T_A \leq +70^\circ\text{С}$	—	—	120	Ом
		$I_{OUT} = 2\text{ мА}$ , $-55^\circ\text{С} \leq T_A \leq +125^\circ\text{С}$	—	—	150	Ом
		$V+ = 2\text{ В}$ , $I_{OUT} = 3\text{ мА}$ , LV — заземлен $-20^\circ\text{С} \leq T_A \leq +70^\circ\text{С}$	—	—	300	Ом
		$V+ = 2\text{ В}$ , $I_{OUT} = 3\text{ мА}$ , LV — заземлен, $-55^\circ\text{С} \leq T_A \leq +125^\circ\text{С}$	—	—	400	Ом
$f_{OSC}$	Частота генератора		—	10	—	кГц
$P_{EFF}$	КПД по мощности	$R_L = 5\text{ кОм}$	95	98	—	%
$V_{OUT EFF}$	КПД по напряжению	$R_L = \infty$	97	99.9	—	%
$Z_{OSC}$	Импеданс генератора	$V+ = 2\text{ В}$	—	1.0	—	МОм
		$V+ = 5\text{ В}$	—	100	—	кОм

ТИПОВЫЕ РАБОЧИЕ ХАРАКТЕРИСТИКИ

Рис. 1. Зависимость диапазона напряжений питания от температуры

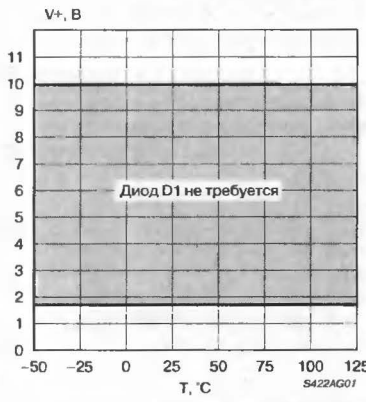


Рис. 2. Зависимость выходного сопротивления от температуры

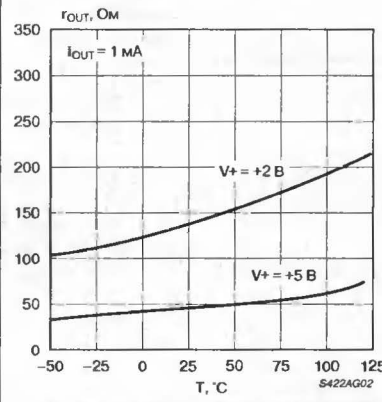


Рис. 3. Зависимость выходного сопротивления от напряжения питания

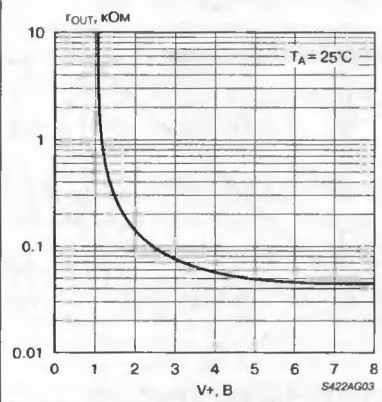


Рис. 4. Зависимость выходного напряжения от тока нагрузки

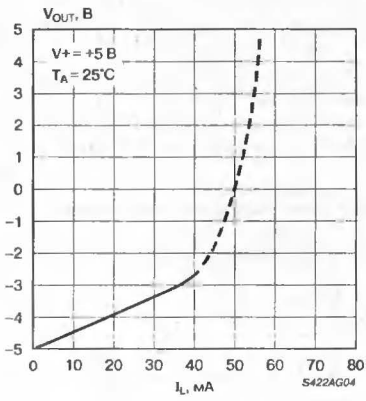


Рис. 5. Зависимость КПД по мощности от частоты генератора

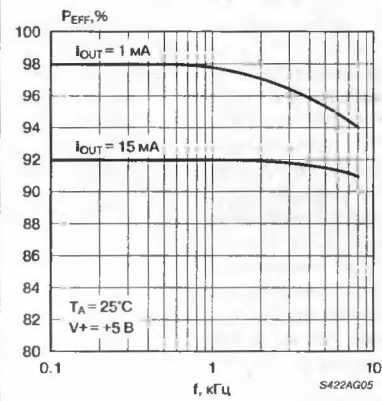


Рис. 6. Зависимость выходного напряжения от тока нагрузки

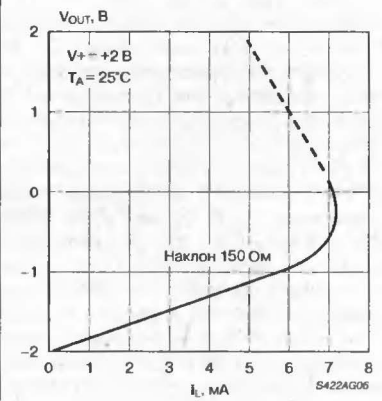


Рис. 7. Зависимость частоты генератора от емкости внешнего времязадающего конденсатора

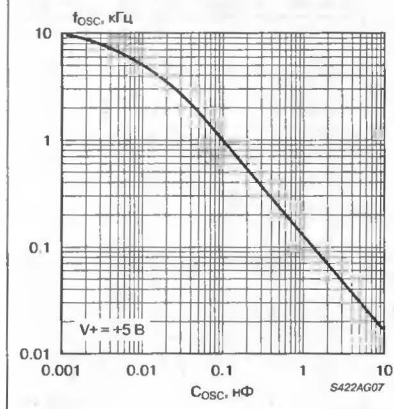


Рис. 8. Зависимость частоты генератора от температуры в отсутствие нагрузки

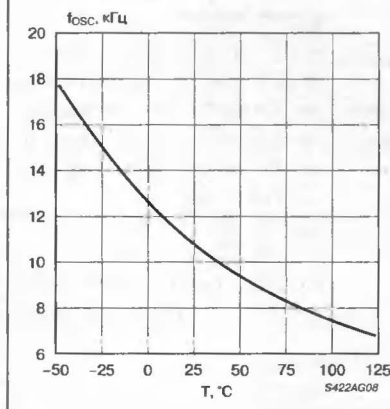


Рис. 9. Зависимость тока потребления и КПД по мощности от тока нагрузки

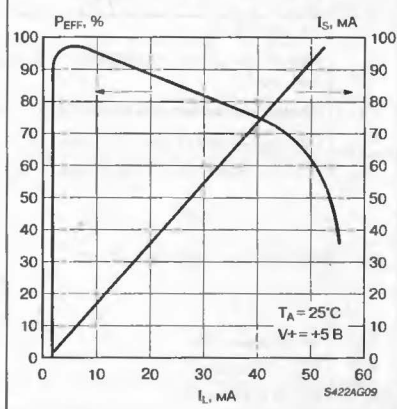
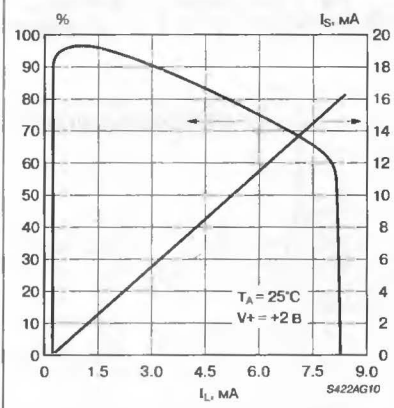


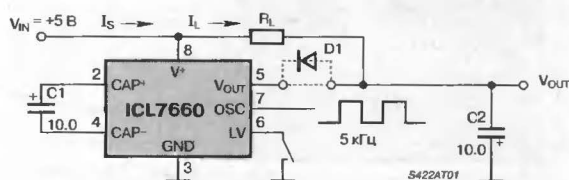
Рис. 10. Зависимость тока потребления и КПД по мощности от тока нагрузки



Кривые тока потребления, приведенные на Рис. 9, 10, включают в себя ток, который отдается непосредственно в нагрузку ( $R_L$ ) от  $V_+$  (См. Рис. 11). Ток от источника питания разделен поровну между положительной и отрицательной сторонами, замыкаясь через ICL7660 и нагрузку. В идеальном случае  $V_{OUT} \approx 2V_{IN}$ ,  $I_S \approx 2I_L$ , так что  $V_{IN} \times I_S \approx V_{OUT} \times I_L$ .

Считается, что микросхема питается напряжением верхнего диапазона, если вывод LV оставлен свободным. Если вывод LV замкнут на землю, то микросхема питается напряжением нижнего диапазона.

Рис. 11. Схема испытаний ICL7660 (C1 и C2 следует увеличить до 100 мкФ, если  $C_{osc}$  превышает 10 пФ)



## ФУНКЦИОНАЛЬНОЕ ОПИСАНИЕ

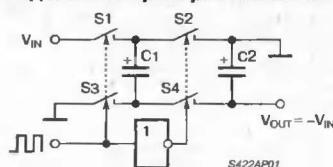
Микросхема ICL7660 имеет все необходимые узлы для построения схемы конвертера напряжения. Добавляются только два внешних конденсатора. Это могут быть недорогие полярные электролитические конденсаторы по 10 мкФ. На Рис. 12 иллюстрируется работа идеального преобразователя напряжения. В течение первой половины цикла ключи S1 и S3 замкнуты, а S2 и S4 разомкнуты, и конденсатор C1 заряжается до напряжения  $V_{IN}$ . В течение второй половины цикла замкнуты ключи S2 и S4, а S1 и S3 разомкнуты, и конденсатор C1 подвергается отрицательному сдвигу на напряжение равное  $V_{IN}$ . Предположим, что выключатели идеальны и нагрузка на накопительном конденсаторе C2 отсутствует, тогда заряд от C1 до C2 передается так, что напряжение на C2 точно равно  $-V_{IN}$ . Все четыре ключа (Рис. 12) являются мощными МОП-ключами. Ключ S1 — p-канальный, а ключи S2, S3, и S4 — n-канальные. Для улучшения работы на низких напряжениях вывод LV необходимо соединить с GND. Это рекомендуется для компенсации падения напряжения, присущего внутреннему стабилизатору напряжения ICL7660. Если напряжение питания превышает 3.5 В, для предотвращения тиристорного эффекта и повреждения устройства вывод LV должен быть оставлен свободным.

## КПД

Теоретически КПД преобразователя напряжения может приближаться к 100%. Микросхема ICL7660 приближается к условиям, приводимым ниже для отрицательного умножения напряжений, если используются большие значения емкостей C1 и C2.

- Чрезвычайно низкое сопротивление ключей в замкнутом состоянии — падение напряжения практически отсутствует.
- Минимальное потребление мощности схемой управления.
- Пренебрежимо малые импедансы реактивного и накопительного конденсаторов.

Рис. 12. Идеальный преобразователь напряжения



Потеря энергии в цикле перекачки заряда:

$$E = \frac{1}{2} C1 [(V_{IN})^2 - (V_{OUT})^2].$$

Напряжения  $V_{IN}$  и  $V_{OUT}$  будут существенно различаться, если импедансы  $C1$  и  $C2$  на частоте перекачки близко сопоставимы с сопротивлением нагрузки выхода  $R_L$ . Для снижения выходных пульсаций выбирайте  $C2$  большим как по номиналу, так и по размеру (объему). Увеличение значений как  $C1$ , так и  $C2$  будет улучшать КПД.

#### ОБЩИЕ МЕРЫ ПРЕДОСТОРОЖНОСТИ

1. Не превышать максимальное напряжение питания.
2. Не подключать вывод LV к земле при напряжении питания выше 3.5 В.
3. Использовать диод D1 (См. **Рис. 15**) при напряжении питания выше 6.5 В.
4. При использовании полярных конденсаторов положительный вывод  $C1$  должен быть подключен к выводу [2] микросхемы ICL7660, а положительный вывод  $C2$  — к земле.
5. Если источник питания, от которого питается ICL7660, имеет высокий выходной импеданс (25...30 Ом), может потребоваться шунтирование вывода [8] на землю конденсатором 2.2 мкФ для ограничения скорости нарастания выходного напряжения до 2 В/мкс.
6. Для предотвращения защелкивания необходимо убедиться, что потенциал на выходе (вывод [5]) не выше потенциала вывода GND (вывод [3]). Если отсутствует такая ситуация, рекомендуется подключение диода типа 1N914 параллельно конденсатору  $C2$  (анодом к выводу [5], катодом к выводу [3]).

#### ПРИМЕНЕНИЕ

##### ИЗМЕНЕНИЕ ЧАСТОТЫ ГЕНЕРАТОРА

Обычно вывод OSC ICL7660 оставляется неподключенным, и номинальная частота генератора составляет 10 кГц (частота перекачки заряда — 5 кГц). Частота генератора может быть понижена подключением внешнего конденсатора между выводами OSC и  $V+$ . График на **Рис. 7** показывает номинальную величину частоты генерации в зависимости от величины емкости конденсатора. Понижение частоты генератора будет улучшать КПД преобразования при очень низких уровнях выходного тока. Нежелательным результатом понижения частоты генератора является увеличение импеданса конденсаторов. Компенсировать это увеличение импеданса можно увеличением значений  $C1$  и  $C2$ .

В некоторых случаях, особенно в схемах питания звуковых усилителей, частота выходных пульсаций 5 кГц нежелательна. Частота генератора может быть увеличена подачей управляющих импульсов на вывод OSC от внешнего генератора. Пороговое напряжение входа генератора равно 2.5 В при  $V+ > 5$  В, и равно  $1/2 V+$  для  $V+ < 5$  В. Чтобы устранить возможность возникновения тиристорного эффекта, последовательно с входом OSC включите резистор 1 кОм. Если внешний генератор не обеспечивает размаха выходного сигнала до  $V+$ , используйте подтягивающий резистор 10 кОм. Частота перекачки и частота выходных пульсаций, соответственно, будут вдвое меньше частоты внешнего генератора. Функционирование прибора ICL7660 на более высоких частотах несколько увеличивает потребляемый ток, но позволяет использовать внешние конденсаторы меньшей емкости, при этом повышается частота пульсаций.

#### КАСКАДИРОВАНИЕ УСТРОЙСТВ

Чтобы обеспечить большую величину отрицательного напряжения, чем получаемую от одной микросхемы ICL7660, устройства ICL7660 можно каскадировать, выполняя умножение исходного напряжения питания, как показано на **Рис. 13**. Результирующее выходное сопротивление приблизительно равно весовой сумме индивидуальных значений  $R_{OUT}$  каждого прибора ICL7660. Практический предел каскадирования при малых токах нагрузки — 10 устройств. Выходное напряжение  $V_{OUT} = -n(V_{IN})$ , где  $n$  — число каскадируемых устройств.

#### КОНВЕРТЕР ОТРИЦАТЕЛЬНОГО НАПЯЖЕНИЯ

Обычно микросхему ICL7660 применяют как инвертор напряжения с перекачиванием заряда, преобразующий положительное напряжение в эквивалентное отрицательное. Простая схема на **Рис. 15** показывает, что необходимы только два внешних компонента —  $C1$  и  $C2$ . В большинстве применений  $C1$  и  $C2$  — это дешевые электролитические конденсаторы емкостью 10 мкФ. Прибор ICL7660 не является стабилизатором напряжения, и выходное сопротивление источника составляет приблизительно 70 Ом при входном напряжении +5 В. Это означает, что при напряжении питания +5 В, выходное напряжение будет составлять -5 В лишь при малой нагрузке, и уменьшится до -4.3 В при токе нагрузки 10 мА. Зависимости выходного сопротивления преобразователя от температуры и напряжения питания показаны на **Рис. 2** и **3**. Импеданс выхода схемы в целом есть сумма выходного сопротивления ICL7660 и импеданса конденсаторов на частоте перекачки.

Напряжение пульсаций на выходе может быть рассчитано, учитывая, что в течение половины цикла перекачки заряда выходной ток обеспечивается исключительно конденсатором  $C2$ . Напряжение пульсаций вычисляется следующим образом:

$$V_{RIPPLE} = \left[ \frac{1}{2 (f_{PUMP}) (C2)} + ESR_{C2} \right] I_{OUT}.$$

При номинальной частоте перекачки  $f_{PUMP} = 5$  кГц (половина частоты генератора — 10 кГц),  $C2 = 10$  мкФ, токе выхода — 10 мА, размах пульсаций будет приблизительно 100 мВ.

#### ПАРАЛЛЕЛЬНОЕ ВКЛЮЧЕНИЕ ПРИБОРОВ

Параллельное включение ICL7660 уменьшает выходное сопротивление. Как показано на **Рис. 14**, каждое устройство требует собственного реактивного конденсатора  $C1$ , однако накопительный конденсатор  $C2$  является общим для всех приборов. Уравнение для вычисления выходного сопротивления дано на **Рис 14**.

#### ОБЪЕДИНЕНИЕ ПОЛОЖИТЕЛЬНОГО УМНОЖИТЕЛЯ НАПЯЖЕНИЯ ПИТАНИЯ И КОНВЕРТЕРА ОТРИЦАТЕЛЬНОГО НАПЯЖЕНИЯ

Это схемное решение показано на **Рис. 16**. В этой схеме конденсаторы  $C1$  и  $C3$  исполняют, соответственно, функции реакторного и накопительного конденсаторов для генерации отрицательного напряжения. Конденсаторы  $C2$  и  $C4$  служат, соответственно, реакторным и накопительным конденсаторами для положительного умножителя напряжения. Однако такая конфигурация схемы приводит к увеличению выходных импедансов генерируемых напряжений. Это является следствием конечной величины импеданса у общего драйвера перекачки заряда.



# ИСТОЧНИК РАСЦЕПЛЕННОГО НАПЯЖЕНИЯ

На **Рис. 18** показан расцепленный источник питания на  $\pm 5$  В, работающий от одной батареи 9 В. Микросхема ICL7660 инвертирует входное напряжение  $+9$  В в  $-9$  В, от которого в свою очередь питается стабилизатор отрицательного напряжения  $-5$  В на микросхеме ICL7664. Стабилизатор положительного напряжения ICL7663 работает непосредственно от входного напряжения  $+9$  В, стабилизируя выходное напряжение  $+5$  В. Общий ток потребления ICL7660 и двух стабилизаторов меньше 100 мкА, в то время как нагрузочная способность выхода по току — 40 мА.

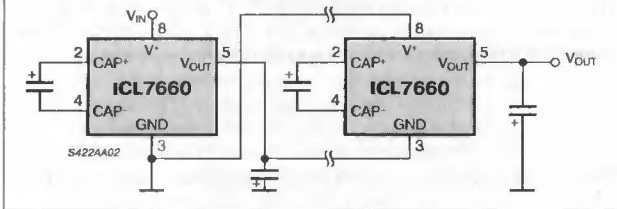
## РЕГУЛИРУЕМЫЙ ИСТОЧНИК ОТРИЦАТЕЛЬНОГО НАПЯЖЕНИЯ

В некоторых случаях выходной импеданс ICL7660 может представлять проблему, особенно при значительных изменениях

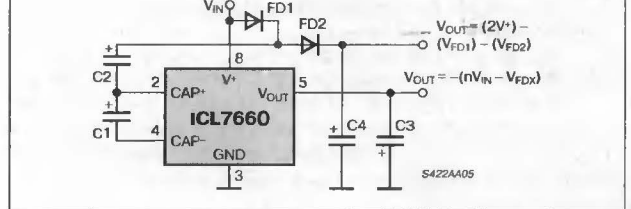
тока нагрузки. Схема, показанная на **Рис. 17**, позволяет преодолеть эту проблему с помощью управления входным напряжением, что реализовано на микроощном КМОП ОУ типа ICL7611, и, таким образом, как бы поддерживать приблизительно постоянное выходное напряжение. Непосредственная обратная связь нецелесообразна, так как изменения на выходе ICL7660 происходят не мгновенно после изменений на входе, а только после задержки переключения. Показанная схема имеет задержку, определяемую ICL7660, но достаточную для поддержания соответствующей обратной связи. Желательно увеличение емкости реакторного и накопительного конденсаторов. Значения, показанные на рисунке, обеспечивают выходной импеданс меньше, чем 5 Ом при токе нагрузки 10 мА.

## СХЕМЫ ВКЛЮЧЕНИЯ

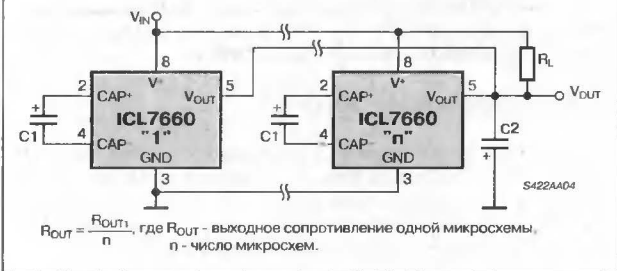
**Рис. 13. Каскадирование ICL7660 для увеличения выходного напряжения**



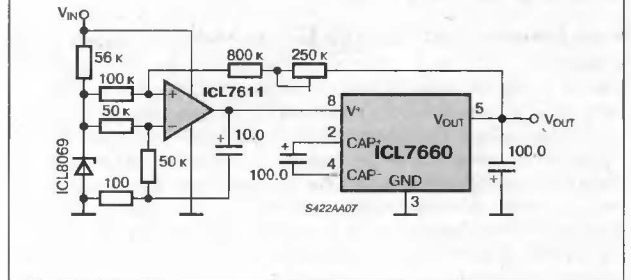
**Рис. 16. Объединение положительного умножителя и отрицательного конвертера**



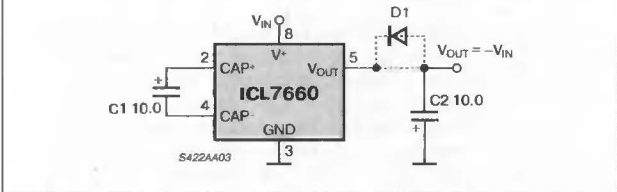
**Рис. 14. Параллельное включение ICL7660 для уменьшения выходного сопротивления**



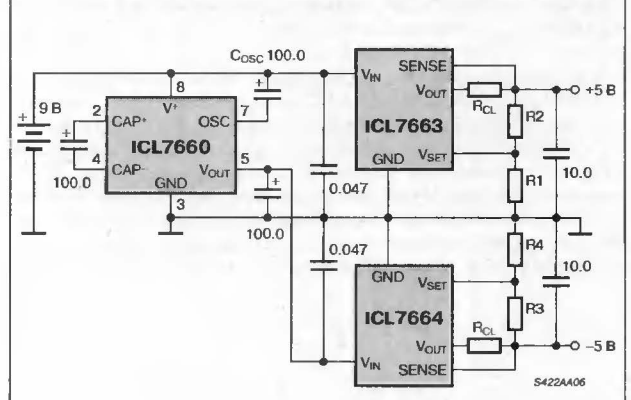
**Рис. 17. Регулировка выходного напряжения**



**Рис. 15. Конвертер отрицательного напряжения**



**Рис. 18. Расцепленный источник питания на  $\pm 5$  В**



# DC/DC-ПРЕОБРАЗОВАТЕЛЬ 1446ПН1

Аналог  
MAX731

MAXIM

Товарные знаки  
фирм изготовителей



## ОСОБЕННОСТИ

- Выходное напряжение ..... 5 В
- Диапазон входных напряжений ..... +2.5...+5.25 В
- Коэффициент полезного действия ..... 87...88% (typ)
- Ток нагрузки ..... ≤ 200 мА

## ТИПОНОМИНАЛЫ

КР1446ПН1

## ОБЩЕЕ ОПИСАНИЕ

Микросхема 1446ПН1 сконструирована для построения схемы преобразователя **постоянный ток-постоянный ток** (DC/DC-конвертер) с выходным напряжением +5 В и гарантированным током нагрузки 200 мА. Основное назначение прибора — использование в схеме преобразователя напряжения ряда 1.5, 2.5, 3.3, 3.6 В в напряжение +5 В. Микросхема 1446ПН1 имеет специальный вход для непосредственного включения/выключения выходного напряжения +5 В с помощью стандартных логических сигналов.

## ЦОКОЛЕВКА КОРПУСОВ

Пластмассовый корпус типа 2101.8-1

Вход блокировки SHDN	1	8	V+	Напряжение питания
Опорное напряжение V <sub>REF</sub>	2	7	V <sub>OUT</sub>	Вход следящей схемы для V <sub>OUT</sub>
Конденсатор запуска SS	3	6	LX	Выход (сток мощного MOSFET)
Конденсатор компенсации CC	4	5	GND	Общий

54241C01

## СТРУКТУРНАЯ СХЕМА

Не имеет отличий от структурной схемы MAX731. См. стр. 80.

## СХЕМЫ ВКЛЮЧЕНИЯ

Не имеют отличия от схем включения MAX731. См. стр. 86.

### ОСОБЕННОСТИ

- Ток нагрузки при отсутствии внешнего МОП-транзистора ..... 200 мА
- Напряжение запуска ..... 2.5 В
- Высокая частота ШИМ с обратной связью по току ..... 170 кГц
- Типовой КПД для максимальной нагрузки (MAX731) ..... 82...87%
- Типовой КПД для максимальной нагрузки (MAX752) ..... 85...95%
- Маленькая катушка индуктивности, не требующая конструкторского решения
- Ток потребления (MAX752) ..... 2 мА
- Защита от перегрузки по току и схема мягкого запуска
- Выпускается в корпусах DIP-8 и SOP-16
- Наличие входа блокировки

### ПРИМЕНЕНИЕ

- Питание 5-вольтовой логики в устройствах 3-вольтовым питанием
- Замена однотипных ИС в DC/DC-преобразователях
- Переносные приборы
- Портативные ЭВМ
- Распределенные мощные системы
- Питаемые от батареи устройства

### ТИПОНОМИНАЛЫ

Типономинал	T <sub>A</sub>	Тип корпуса	Типономинал	T <sub>A</sub>	Тип корпуса
MAX731CPA	0...+70°C	DIP-8	MAX752CPA	0...+70°C	DIP-8
MAX731CWE	0...+70°C	SOP-16	MAX752CWE	0...+70°C	SOP-16
MAX731C/D	0...+70°C	бескорпусной	MAX752C/D	0...+70°C	бескорпусной
MAX731EPA	-40...+85°C	DIP-8	MAX752EPA	-40...+85°C	DIP-8
MAX731EWE	-40...+85°C	SOP-8	MAX752EWA	-40...+85°C	SOP-16
MAX731MJA	-55...+125°C	CERDIP-8	MAX752MJA	-55...+125°C	CERDIP-8

#### Примечание:

1. Бескорпусной вариант проверен только при T<sub>A</sub> = +25°C.

### ЦОКОЛЕВКА КОРПУСОВ

Корпус типа: DIP-8, CERDIP-8

Вход блокировки SHDN	1	MAX731	8	V+	Напряжение питания
Опорное напряжение V <sub>REF</sub>	2	MAX752	7	V <sub>OUT</sub>	Вход следящей схемы для V <sub>OUT</sub>
Конденсатор запуска SS	3		6	LX	Выход (сток мощного MOSFET)
Конденсатор компенсации CC	4		5	GND	Общий

S424AC01

Пластмассовый корпус типа SOP-16

(вид сверху)

п.с.	1	MAX731	16	V+
SHDN	2	MAX752	15	п.с.
V <sub>REF</sub>	3		14	V <sub>OUT</sub>
п.с.	4		13	LX
SS	5		12	LX
CC	6		11	LX
GND	7		10	п.с.
GND (SW)	8		9	GND (SW)

S424AC02

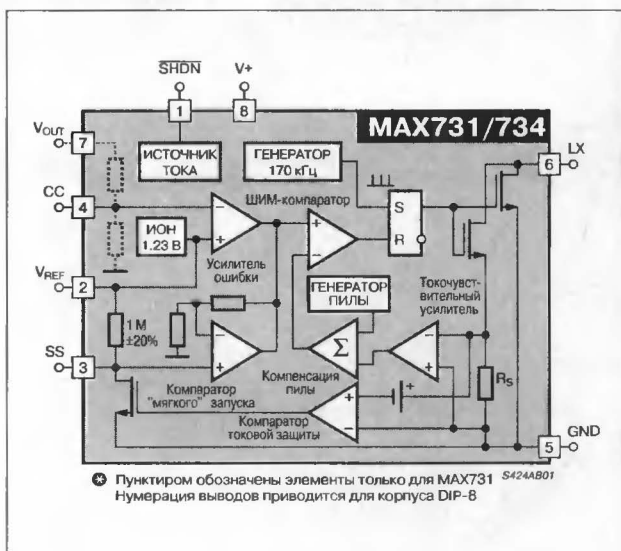
### ОБЩЕЕ ОПИСАНИЕ

Микросхемы MAX731 и MAX752 являются повышающими импульсными DC/DC-преобразователями, изготовленными с использованием КМОП-технологии, и имеющими фиксированный и регулируемый выходы, соответственно. MAX731 преобразовывает положительное входное напряжение в диапазоне +2.5...+5.25 В в фиксированное выходное напряжение +5 В с током до 200 мА во всем температурном диапазоне. Типовой КПД при полной нагрузке равен 82...87%. Необходимость использования только одного дросселя величиной 22 мкГн для всех режимов работы облегчает разработку схемы. Прибор MAX752 — регулируемый вариант, который преобразовывает входное напряжение начиная с +1.8 В в любое более высокое напряжение вплоть до +15 В при выходном токе до 200 мА. Типовой КПД при полной нагрузке составляет 85...95%. Для MAX752 также требуется только один дроссель индуктивностью 50 мкГн.

Микросхемы MAX731 и MAX752 используют управляющую схему с широтно-импульсной модуляцией с обратной связью по току, которая обеспечивает высокую стабильность выхода и низкий уровень субгармоник. Типовой ток потребления в режиме холостого хода равен 2 мА. Использование фиксированной частоты генератора 170 кГц упрощает фильтрацию пульсаций и шума и дает возможность использовать небольшие навесные элементы.

Кроме этого в MAX731/MAX752 предусмотрены поцикловое ограничение тока, защита от перегрузок по току, возможность внешнего выключения и программируемый мягкий запуск.

### СТРУКТУРНАЯ СХЕМА



## ЭЛЕКТРИЧЕСКИЕ ХАРАКТЕРИСТИКИ

## для MAX731

При  $V_{IN} = +3\text{ В}$ ,  $I_{LOAD} = 0\text{ мА}$ ,  $T_A = T_A(\min) \dots T_A(\max)$ , (См. Рис. 1а), типовые величины при  $T_A = +25^\circ\text{C}$ , если не указано иначе

Параметр	Условия	Значение			Единицы измерения
		не менее	типичное	не более	
Минимальное запускающее напряжение	$I_{LOAD} = 0\text{ мА}$	—	1.8	—	В
	$I_{LOAD} = 200\text{ мА}$	—	2.0	2.5	В
Минимальное рабочее напряжение	$I_{LOAD} = 100\text{ мА}$	—	1.4	—	В
	$I_{LOAD} = 200\text{ мА}$	—	2.0	—	В
Выходное напряжение	$V_{IN} = 2.7 \dots 4.65\text{ В}$ , $0 < I_{LOAD} < 200\text{ мА}$	4.75	5.00	5.25	В
Выходной ток		200	—	—	мА
Нестабильность по напряжению	$V_{IN} = 2.7 \dots 4.65\text{ В}$	—	0.20	—	%/В
Нестабильность по току	$I_{LOAD} = 0 \dots 100\text{ мА}$	—	0.005	—	%/мА
КПД	$V_{IN} = 3\text{ В}$ , $I_{LOAD} = 100\text{ мА}$	—	87	—	%
Ток потребления	Включает ток потребления полевого транзистора	—	2.0	4.0	мА
Ток потребления в дежурном режиме	$V_{SHDN} = 0$ , внутренняя схема	—	35	100	мкА
	$V_{SHDN} = 0$ , от $V^+$	—	6	—	мкА
Напряжение порога блокировки	ВЫСОКИЙ уровень	$(V^+) - 0.5$	—	—	В
	НИЗКИЙ уровень	—	—	0.25	В
Ток утечки входа блокировки		—	—	1.0	мкА
Ток короткого замыкания		—	1.5	—	А
Сопротивление выхода LX в открытом состоянии		—	0.5	—	Ом
Ток утечки через вывод LX	$V_{DS} = 5\text{ В}$	—	1.0	—	мкА
Опорное напряжение		1.15	1.23	1.30	В
Дрейф опорного напряжения	$T_A = T_A(\min) \dots T_A(\max)$	—	50	—	млн <sup>-1</sup> /°C
Частота генератора		125	170	215	кГц
Сопротивление входа компенсации		—	20	—	кОм

## для MAX752

Величины R1 и R2 соответствуют +12 В на выходе, (См. Рис. 1b)  $V^+ = 5\text{ В}$ ,  $I_{LOAD} = 0\text{ мА}$ ,  $T_A = T_A(\min) \dots T_A(\max)$ , типовые величины при  $T_A = +25^\circ\text{C}$ , если не указано иначе

Параметр	Условия	Значение			Единицы измерения
		не менее	типичное	не более	
Минимальное входное напряжение	$I_{LOAD} = 0\text{ мА}$	—	1.8	2.5	В
Выходное напряжение	MAX752C/E $V^+ = 4.5 \dots 11.0\text{ В}$ , $0 < I_{LOAD} < 125\text{ мА}$	11.46	12.0	12.54	В
	MAX752M $V^+ = 4.5 \dots 11.0\text{ В}$ , $0 < I_{LOAD} < 125\text{ мА}$	11.46	12.0	12.54	В
	MAX752C/E/M $V^+ = 6.0 \dots 11.0\text{ В}$ , $0 < I_{LOAD} < 200\text{ мА}$	11.46	12.0	12.54	В
Выходной ток	MAX752C/E	150	—	—	мА
	MAX752M	125	—	—	мА
	MAX752C/E/M	200	—	—	мА
Диапазон выходных напряжений	$V_{IN} \leq V_{OUT}$	2.7	—	15.75	В
Нестабильность по напряжению	$V^+ = 4.0 \dots 11.0\text{ В}$	—	0.20	—	%/В
Нестабильность по току	$I_{LOAD} = 0 \dots 100\text{ мА}$	—	0.0035	—	%/мА
КПД	$V^+ = 5.0\text{ В}$ , $I_{LOAD} = 100\text{ мА}$	—	88	—	%
Ток потребления	Включает ток потребления полевого транзистора	—	1.7	3.0	мА
Ток потребления в дежурном режиме	$V_{SHDN} = 0$ , внутренняя схема	—	70	100	мкА
	$V_{SHDN} = 0$ , от $V^+$	—	6	—	мкА
Напряжение порога блокировки	ВЫСОКИЙ уровень	$(V^+) - 0.5$	—	—	В
	НИЗКИЙ уровень	—	—	0.25	В
Ток утечки входа блокировки		—	—	1.0	мкА
Ток короткого замыкания		—	1.5	—	А
Сопротивление выхода LX в открытом состоянии		—	0.5	—	Ом
Ток утечки через вывод LX	$V_{DC} = +12\text{ В}$	—	1.0	—	мкА
Опорное напряжение		1.15	1.23	1.30	В
Дрейф опорного напряжения	$T_A = T_A(\min) \dots T_A(\max)$	—	50	—	млн <sup>-1</sup> /°C
Частота генератора		130	170	210	кГц

## МАКСИМАЛЬНЫЕ ЗНАЧЕНИЯ ПАРАМЕТРОВ И РЕЖИМОВ\*

Напряжение на выводах (относительно GND):

$V_{+}$ , LX ..... -0.3...+17 В

$V_{OUT}$  ..... +25 В

SS, CC, SHDN ..... -0.3...((V+) + 0.3 В)

Максимальное значение тока переключения ..... 1.5 А

Опорный ток ( $I_{REF}$ ) ..... 2.5 мА

Мощность рассеивания ( $T_A = +70^{\circ}\text{C}$ ):

DIP-8 (уменьшается на 9.09 мВт/°C выше +70°C) ..... 727 мВт

SOP-16 (уменьшается на 9.52 мВт/°C выше +70°C) ..... 762 мВт

CERDIP-8 (уменьшается на 8.00 мВт/°C выше +70°C) ..... 640 мВт

Температура хранения ..... -65...+160°C

Температура выводов (пайка 10 с) ..... +300°C

Диапазон рабочих температур

MAX731/752C ..... 0...+70°C

MAX731/752E ..... -40...+85°C

MAX731/752MJA ..... -55...+125°C

Температура кристалла:

MAX731/752C JE ..... +150°C

MAX731/752IVJA ..... +175°C

Пимечание:

\* Превышение указанных параметров может вызвать повреждение прибора. Эксплуатация при этих значениях параметров не подразумевается, а их длительное воздействие может уменьшить надежность прибора.

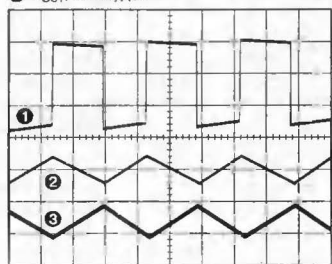
## ОПИСАНИЕ ВЫВОДОВ

Символ	Номер вывода		Функция
	DIP-8	SOP-16	
п.с.	-	1, 4, 10, 15	Не подключены
SHDN	1	2	Вход блокировки с низким активным уровнем. Соединяется с землей для перевода микросхемы в "дежурный режим" и с выводом $V_{+}$ для нормальной работы
$V_{REF}$	2	3	Вывод опорного напряжения (+1.23 В) с нагрузочной способностью до 100 мА
SS	3	5	Вывод схемы "мягкого запуска". При подключении внешнего конденсатора на землю обеспечивает "мягкий запуск" и защиту от короткого замыкания
CC	4	6	Вывод для подключения внешнего компенсирующего конденсатора контура ОС по напряжению
GND	5	7	Общий (земля)
GND (SW)	-	8, 9	Общий вывод мощных выходных ключей FET. Оба вывода должны быть соединены с землей, не имеют внутреннего соединения между собой
LX	6	11, 12, 13	Вывод стока мощного внутреннего $n$ -канального MOSFET
$V_{OUT}$	7	14	Вход схемы контроля выходного напряжения
$V_{+}$	8	16	Вход напряжения питания

## ТИПОВЫЕ РАБОЧИЕ ХАРАКТЕРИСТИКИ

Рис. 1. Осциллограмма работы MAX731 в режиме непрерывного тока ( $C_{OUT} = 150$  мкФ,  $V_{+} = 3$  В,  $I_{OUT} = 200$  мА)

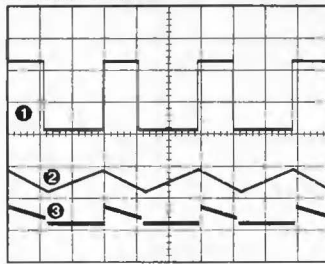
- 1  $V_{LX}$ , 2 В/дел, 0...5 В
- 2  $I_L$ , 500 мА/дел
- 3  $V_{OUT}$ , 50 мВ/дел



2 мкс/дел S424A001

Рис. 2. Осциллограмма работы MAX752 в режиме непрерывного тока ( $C_{OUT} = 300$  мкФ,  $V_{+} = 3$  В,  $I_{OUT} = 100$  мА)

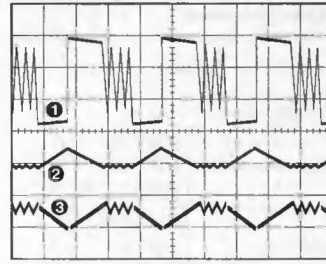
- 1  $V_{LX}$ , 5 В/дел, 0...12.4 В
- 2  $I_L$ , 500 мА/дел
- 3  $V_{OUT}$ , 50 мВ/дел



2 мкс/дел S424A002

Рис. 3. Осциллограмма работы MAX731 в режиме прерывистого тока ( $C_{OUT} = 150$  мкФ,  $V_{+} = 3$  В,  $I_{OUT} = 100$  мА)

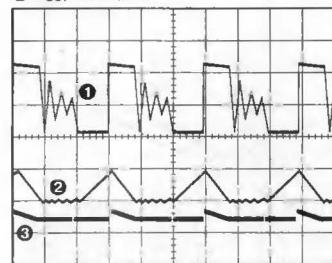
- 1  $V_{LX}$ , 2 В/дел, 0...5 В
- 2  $I_L$ , 500 мА/дел
- 3  $V_{OUT}$ , 50 мВ/дел



2 мкс/дел S424A003

Рис. 4. Осциллограмма работы MAX752 в режиме прерывистого тока ( $C_{OUT} = 300$  мкФ,  $V_{+} = 3$  В,  $I_{OUT} = 200$  мА)

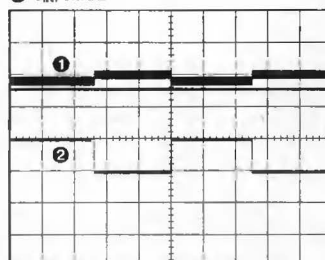
- 1  $V_{LX}$ , 5 В/дел, 0...12.4 В
- 2  $I_L$ , 500 мА/дел
- 3  $V_{OUT}$ , 50 мВ/дел



2 мкс/дел S424A004

Рис. 5. Переходная характеристика для MAX731 при изменении входного напряжения ( $I_{LOAD} = 200$  мА)

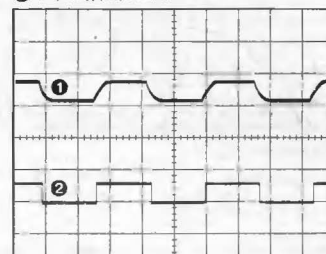
- 1  $V_{OUT}$ , 10 мВ/дел,
- 2  $V_{IN}$ , 0...2 В



10 мс/дел S424A005

Рис. 6. Переходная характеристика для MAX752 при изменении входного напряжения ( $I_{OUT} = 200$  мА,  $V_{OUT} = 12$  В)

- 1  $V_{OUT}$ , 50 мВ/дел, с постоянной состав.
- 2  $V_{+}$ , 5 В/дел, 6...9 В



100 мкс/дел S424A006



ТИПОВЫЕ РАБОЧИЕ ХАРАКТЕРИСТИКИ (Продолжение)

Рис. 7. Переходная характеристика для MAX752 при изменении входного напряжения ( $I_{OUT} = 200\text{ мА}$ ,  $V_{OUT} = 12\text{ В}$ )

1  $V_{OUT}$ , 50 мВ/дел, с постоянной составл.  
2  $V_{IN}$ , 5 В/дел, 6...12 В

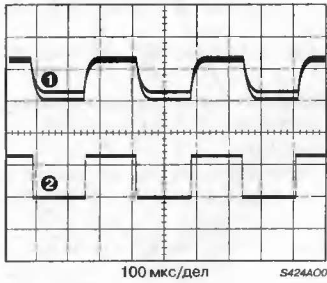


Рис. 8. Переходная характеристика для MAX731 при изменении тока нагрузки

1  $V_{OUT}$ , 100 мВ/дел,  
2  $I_{OUT}$ , 100 мА/дел

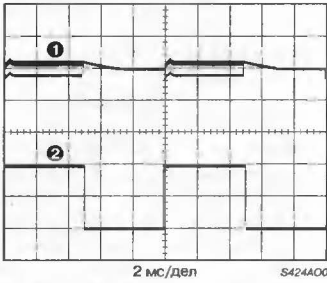


Рис. 9. Переходная характеристика для MAX731 при изменении тока нагрузки ( $V_{IN} = +6\text{ В}$ ,  $V_{OUT} = 12\text{ В}$ )

1  $V_{OUT}$ , 50 мВ/дел, с постоянной составл.  
2  $I_{OUT}$ , 100 мА/дел, 10...200 мА

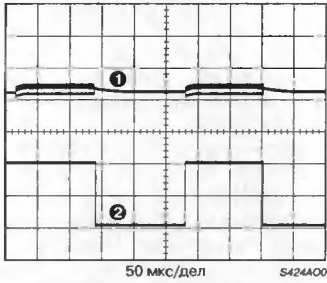


Рис. 10. Переходная характеристика для MAX731 при изменении тока нагрузки ( $V_{IN} = +6\text{ В}$ ,  $V_{OUT} = 15\text{ В}$ )

1  $V_{OUT}$ , 50 мВ/дел, с постоянной составл.  
2  $I_{OUT}$ , 50 мА/дел, 10...125 мА

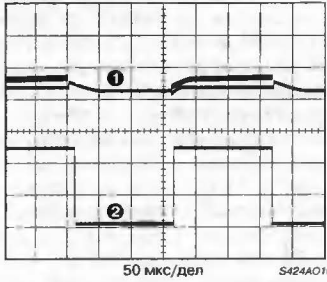


Рис. 11. Зависимость КПД от выходного тока для MAX731

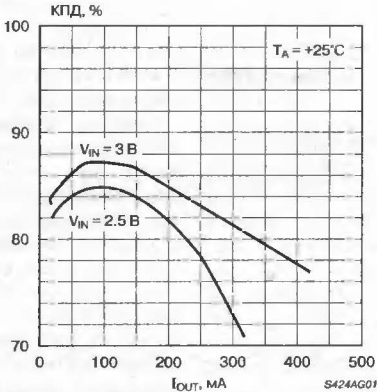


Рис. 12. Зависимость КПД от выходного тока для MAX752

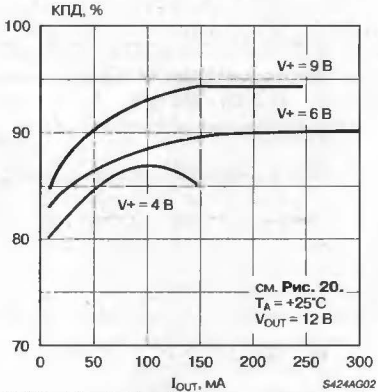


Рис. 13. Зависимость КПД от выходного тока для MAX752

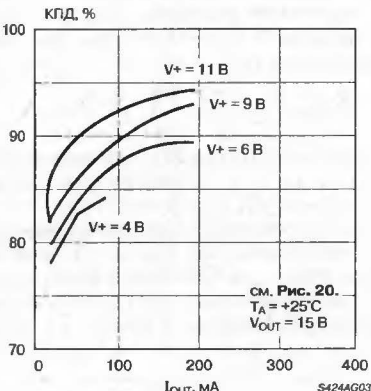


Рис. 14. Зависимость тока потребления от напряжения питания для MAX731

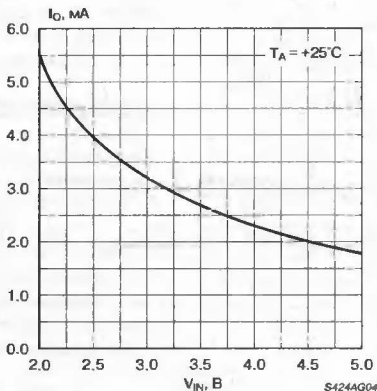
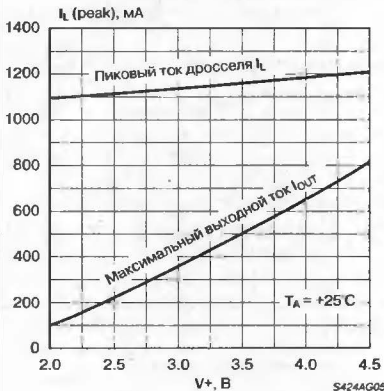


Рис. 15. Зависимость пикового тока через дроссель и максимального выходного тока от напряжения питания для MAX731



ТИПОВЫЕ РАБОЧИЕ ХАРАКТЕРИСТИКИ (Продолжение)

Рис. 16. Зависимость пикового тока через индуктивность от выходного тока для MAX752

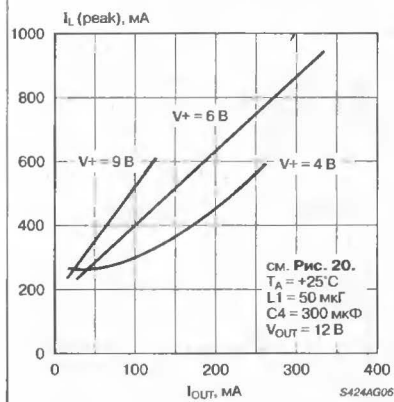


Рис. 17. Зависимость пикового тока через индуктивность от выходного тока для MAX752

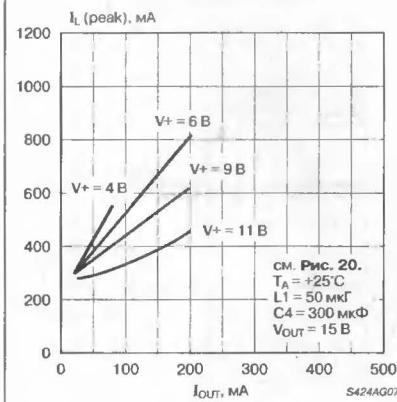


Рис. 18. Зависимость максимального выходного тока от напряжения питания для MAX752

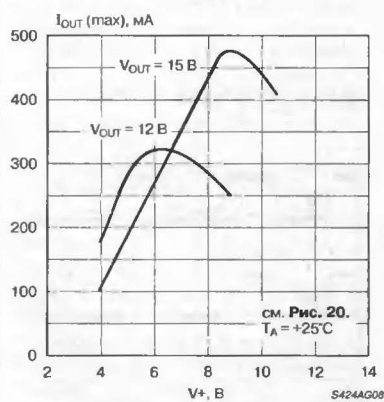


Табл. 1а. Типовая продолжительность "мягкого запуска" для MAX731 при  $V_{IN} = 3 \text{ В}$ ,  $C4 = 150 \text{ мкФ}$

C1 [мкФ]	Продолжительность [мс]	C1 [мкФ]	Продолжительность [мс]
0.1	10	1.0	100
0.2	20	2.0	160
0.5	50	5.0	170

Табл. 1б. Типовая продолжительность мягкого старта для MAX752 при  $V_{OUT} = +15 \text{ В}$ ,  $C4 = 300 \text{ мкФ}$

V+	I_OUT	Продолжительность [мс]		
		C1 = 0.1 мкФ	C1 = 0.47 мкФ	C1 = 1.0 мкФ
4.5	0	90	210	250
6.0	0	65	135	150
9.0	0	35	65	50
12.0	0	30	50	35
4.5	75	155	680	1380
6.0	75	105	425	880
9.0	75	45	160	305
12.0	75	30	50	35
4.5	125	235	1125	2260
6.0	125	135	595	1255
9.0	125	55	230	475
12.0	125	30	50	40

При  $V_{OUT} = +12 \text{ В}$ ,  $C4 = 300 \text{ мкФ}$

V+	I_OUT	Продолжительность [мс]		
		C1 = 0.1 мкФ	C1 = 0.47 мкФ	C1 = 1.0 мкФ
4.5	0	55	115	125
6.0	0	40	80	70
9.0	0	30	60	45
4.5	100	90	350	780
6.0	100	60	210	445
9.0	100	30	60	60
4.5	200	175	715	1690
6.0	200	85	340	760
9.0	200	30	75	125

Примечание:

\* Продолжительность "мягкого запуска"  $\pm 35\%$ . C1 - конденсатор на выводе SS, C4 - выходной конденсатор

ФУНКЦИОНАЛЬНОЕ ОПИСАНИЕ

Есть три важных значения входного напряжения: запускающее напряжение при отсутствии нагрузки, запускающее напряжение при полной нагрузке и минимальное рабочее напряжение. Запускающее напряжение при отсутствии нагрузки обычно меньше, чем 2.0 В, но наличие нагрузки не позволяет запуститься при этом напряжении. Небольшое повышение входного напряжения вызывает увеличение тока, что позволяет выходному напряжению увеличиться до регулируемого значения. Микросхема MAX731 запускается при напряжении на входе 2.5 В и обеспечивает стабилизацию выхода при токе нагрузки до 200 мА. Прибор MAX752 запускается и обеспечивает стабилизированное напряжение 12 В и ток до 150 мА при минимальном входном напряжении 4.5 В.

Микросхема MAX731 может питаться напряжением, которое она сама вырабатывает. Как только напряжение на выходе достигает 5 В, микросхема начинает питаться от этих 5 В и может выдавать ток до 200 мА, имея на входе удерживающее напряжение всего 2.0 В (1.4 В для тока нагрузки 100 мА). Величина удерживающего напряжения имеет большое значение при питании от батареи, так как определяет уровень, до которого может разрядиться батарея сохраняя стабилизированное выходное напряжение.

Входное напряжение вплоть до 16 В не вызывают поврждения прибора, но стабилизация выхода прекращается как только напряжение на входе превысит заданный выходной уровень. При этом схема контроля выходного напряжения удерживает ключ в закрытом состоянии, а ток в нагрузку течет через дроссель и диод (выходное напряжение на одно прямое падение напряжения на диоде (0.3...0.6 В) меньше входного). Ток может течь по этому пути даже при удалении микросхемы из платы.

ПРИНЦИП ДЕЙСТВИЯ

Импульсные преобразователи MAX731/MAX752 используют широтно-импульсную модуляцию (ШИМ) с обратной связью по току вместе с простой схмотехникой повышающего преобразователя с целью повышения постоянного нестабилизированного напряжения. Микросхема MAX731 преобразовывает входное напряжение 1.4...5.25 В до 5 В на выходе. Прибор MAX752 имеет регулируемый выход. Применение ШИМ с обратной связью по току обеспечивает поцикловое ограничение тока, превосходную нагрузочную и переходную характеристики.

Схема имеет две петли обратной связи: внутреннюю токовую петлю, которая контролирует ток выходного ключа с помощью токочувствительного резистора ( $R_S$ ) и усилителя, и внешнюю петлю по напряжению, которая контролирует выходное напряжение с помощью усилителя ошибки. Внутренняя петля осуществляет поцикловое ограничение тока, запирая транзистор выходного ключа, когда ток переключения достигает порога, определяемого внешней петлей по напряжению. Например, при падении выходного напряжения изменение в сигнале ошибки поднимает порог, позволяя схеме запасти и передать в нагрузку большее количество энергии в течение каждого цикла.

#### СХЕМА ПРОГРАММИРУЕМОГО "МЯГКОГО ЗАПУСКА"

Для обеспечения уверенного запуска микросхемы необходимо к выводу SS подключить конденсатор емкостью 0.1...5 мкФ. После включения напряжение на конденсаторе медленно нарастает, заставляя напряжение на выходе усилителя ошибки также медленно нарастать, что эквивалентно медленному увеличению порога ограничения по току, и устраняет бросок тока при включении питания. Скорость нарастания напряжения определяется величиной емкости конденсатора на выводе SS (типовое значение 0.1 мкФ). В Табл. 1 приведены временные характеристики для различных значений емкости конденсатора и параметров схемы.

Выходное напряжение уменьшается, если ток нагрузки начинает превышать максимальное значение. Компаратор перегрузки по току срабатывает, если ток нагрузки превышает 1.5 А. При этом конденсатор на выводе SS разряжается на землю через внутренний транзистор.

#### СХЕМА ЗАЩИТЫ ОТ ПЕРЕГРУЗОК ПО ТОКУ

Когда ток нагрузки превышает значение 1.5 А, выходной каскад выключается внутренней токовой петлей ОС, а компаратор перегрузки по току с помощью внутренней логики запускает процедуру "мягкого запуска". В каждом цикле выходной МОП-транзистор включается снова и остается открытым, пока ток не превысит порог поциклового ограничения тока и предел перегрузки по току. Величина конденсатора на выводе SS должна быть не меньше 0.01 мкФ для нормальной работы схемы защиты от перегрузки по току.

#### СХЕМА БЛОКИРОВКИ

Подключение вывода блокировки (SHDN) к земле переводит MAX731/MAX752 в дежурный режим. При этом выходной МОП-транзистор удерживается в выключенном состоянии, но остается внешний путь для тока от  $V_+$  к нагрузке через дроссель и диод и другой путь от  $V_+$  к GND через дроссель, диод и внешние резисторы обратной связи. Для MAX731 сопротивления резисторов обратной связи составляют приблизительно 80 кОм. Внутренний ИОН выключается, разряжая при этом конденсатор на выводе SS. Типовой ток, потребляемый в дежурном режиме, равен 35 мкА. Для возврата к нормальному функционированию надо подключить вывод SHDN к  $V_+$ , после чего запустится процесс "мягкого запуска" и MAX731 выйдет из дежурного режима.

"Bandgap" ИОН с напряжением +1.23 В обеспечивает ток до 100 мкА на выводе  $V_{REF}$ . Шунтирующий конденсатор подключается между выводами  $V_{REF}$  и GND и имеет величину 4.7 мкФ для MAX731 и 0.01 мкФ для MAX752.

#### РЕГУЛИРУЕМЫЙ ВЫХОД (ДЛЯ MAX752)

Выходное напряжение для MAX752 устанавливается двумя резисторами  $R_1$  и  $R_2$  (см. схему включения), которые образуют делитель напряжения между выходом и входом усилителя ошибки (вывод SS). Цепь ОС изменяет выходное напряжение таким обра-

зом, чтобы напряжение в средней точке делителя  $R_1$ ,  $R_2$  равнялось +1.23 В. Благодаря использованию КМОП-технологии входное сопротивление вывода SS имеет очень большую величину и почти не нагружает делитель напряжения. Значение  $R_2$  выбирается любым в диапазоне 10...30 кОм, а  $R_1$  рассчитывается по формуле:

$$R_1 = R_2 \frac{V_{OUT}}{1.23 [V] - 1}$$

Конденсаторы  $C_5$  и  $C_7$  служат для компенсации петли ОС. Величины, меньшие указанных на схеме, не рекомендуются, так как могут приводить к неустойчивой работе.

#### РЕЖИМЫ РАБОТЫ

##### Режим непрерывного тока

Это нормальный режим для MAX731/ MAX752 и означает, что ток в дросселе течет непрерывно. Схема управления изменяет длительность рабочего цикла с помощью схемы поциклового ограничения тока и формирует стабилизированный выход для токов, не превышающих предельные значения. Этот режим обеспечивает самую лучшую нагрузочную и переходную характеристику. Во время запуска и при малых нагрузках требуемая длительность рабочего цикла не обеспечивает непрерывного тока через дроссель, и схема переходит в режим прерываемого тока.

##### Режим прерываемого тока

В этом режиме в каждом цикле ток через дроссель увеличиваетсЯ от нулевого до максимального значения и затем снова спадает до нуля по пилообразному закону. Хотя КПД остается все еще хорошим, это приводит к увеличению пульсаций на выходе и появлению "звона" на резонансной частоте катушки индуктивности, что однако не вызывает никаких проблем.

##### Режим с пропуском импульсов

При очень маленьких токах нагрузки (в несколько миллиампер) даже в режиме прерываемого тока в нагрузку передается больше энергии, чем требуется, вследствие чего микросхема переходит в режим с пропуском импульсов, при котором стабилизация выхода достигается пропуском целых циклов. КПД частично уменьшается до 70...80% из-за того, что ток потребления MAX731/MAX752 становится соизмеримым с низким током нагрузки. Сигнал на выходе ключа становится неперiodичным, что приводит к появлению низкочастотной составляющей в выходной пульсации, которая может превышать 50 мВ. Для уменьшения пульсаций в этом случае надо использовать фильтрующий конденсатор большой емкости с низким последовательным сопротивлением (ESP).

Контроллер MAX731/MAX752 обычно функционирует в режиме непрерывного тока и переходит в режим прерывистого тока или режим с пропуском импульсов во время критических состояний. Работа в режиме непрерывного тока дает более сглаженный выход, чем прерывистый или режим с пропуском импульсов, потому что размах пульсаций минимизирован. Частота пульсаций зафиксирована на частоте генератора, упрощая фильтрацию выхода.

Возможно создание схемы на основе MAX731, которая будет использовать режим прерывистого тока как основной, удалив для этого компенсирующий конденсатор, указанный на типовой схеме включения. Тем не менее, этот режим обычно не рекомендуется по нескольким причинам. Во-первых, пиковые токи в ключе и дросселе становятся намного более высокими, уменьшая выходной ток. Во-вторых, величины индуктивности, сопротивления и номинального пикового тока дросселя становятся критическими, физический размер также увеличивается. В заключение, в выходном фильтре требуются компоненты с большим номиналом.

## УКАЗАНИЯ ПО ПРИМЕНЕНИЮ

Для фиксированных выходов на 12 или 15 В можно использовать MAX732 или MAX733. Эти микросхемы созданы для работы на этих напряжениях при выходных токах до 200 мА (125 мА для MAX733), не требуют внешних делителей напряжения и допускают входное напряжение выше 4 В.

Типовая схема включения для MAX731 показывает стандартную повышающую схему применения. Эта схема насыщения при напряжениях на входе 2.5...5.25 В. Выходной ток зависит от входного напряжения питания (см. **Рис. 15**).

## ВЫБОР ДРОССЕЛЯ

В большинстве случаев вместе с MAX731 можно использовать дроссель на 22 мкГн и на 50 мкГн для MAX752. Важная характеристика — номинальный возрастающий ток насыщения дросселя, который должен быть больше в 2.5 раза постоянной составляющей тока нагрузки (500 мА при токе нагрузки 200 мА). Для маломощных нагрузок могут использоваться меньшие величины индуктивности. В **Табл. 2** приведены рекомендуемые типы дросселей для различных применений. КПД перечисленных дросселей для поверхностного монтажа почти эквивалентен КПД больших дросселей для монтажа в отверстия.

## ВЫБОР КОНДЕНСАТОРА ВЫХОДНОГО ФИЛЬТРА

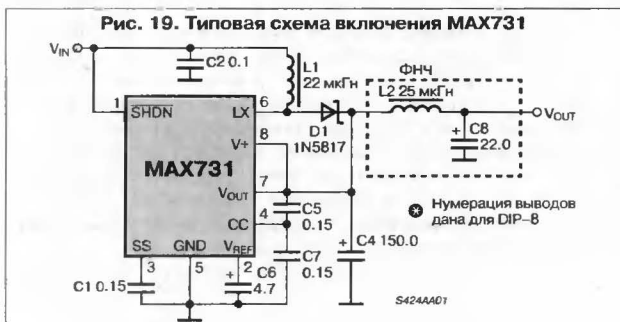
Основной критерий для выбора конденсатора выходного фильтра — низкое эквивалентное последовательное сопротивление (ESR). Производство изменения тока дросселя на ESR выходного конденсатора определяет амплитуду высокочастотных составляющих, накладываемых на выходное напряжение. ESR конденсатора должно быть меньше, чем 0.25 Ом, чтобы удерживать размах выходных пульсаций меньше 50 мВ во всем диапазоне токов (при использовании рекомендуемого дросселя). Кроме того, ESR конденсатора выходного фильтра должно быть минимизировано, чтобы поддерживать устойчивость по переменному току. Обратитесь к **Табл. 2** для выбора подходящего конденсатора.

В приведенной типовой схеме включения величина выходного конденсатора должна быть по крайней мере 300 мкФ, чтобы поддерживать устойчивость при предельных нагрузках (например 2 конденсатора MAXC001 на 150 мкФ, соединенных параллельно). При уменьшении нагрузки необходимая емкость конденсатора снижается пропорционально.

## ДРУГИЕ КОМПОНЕНТЫ

Для предельных нагрузок (200 мА) надо использовать диод Шоттки с номинальным током по крайней мере 500 мА (например 1N5817). Величины двух компенсирующих конденсаторов на входе СС выбраны такими, чтобы обеспечить наилучшую переходную характеристику.

## СХЕМЫ ВКЛЮЧЕНИЯ



## ФИЛЬТРАЦИЯ ВЫХОДНЫХ ПУЛЬСАЦИЙ

Необязательный низкочастотный П-образный фильтр может быть добавлен на выходе, чтобы уменьшить размах выходных пульсаций до 5 мВ. Частота среза приведенного на типовой схеме фильтра — 21 кГц. Так как катушка индуктивности фильтра включена последовательно с выходом схемы, ее сопротивление должно быть минимизировано, чтобы избежать излишнего падения напряжения. Заметьте, что делитель напряжения для обратной связи должен быть включен до, а не после фильтра.

## РАЗВОДКА ПЕЧАТНОЙ ПЛАТЫ

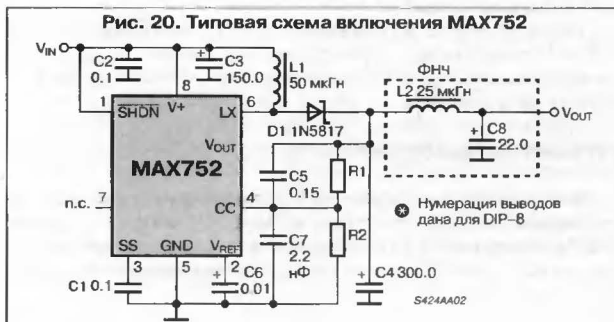
Расположение печатных проводников не критично, за исключением соображений минимизации шумов. Шунтирующие конденсаторы должны размещаться как можно ближе к микросхеме, чтобы предотвратить неустойчивость и шум на выходе. Вывод диода Шоттки должен также быть достаточно коротким, чтобы предотвратить быстро нарастающие импульсы на выходе. Рекомендуется использовать одну сторону печатной платы в виде земляной поверхности, но это необязательно.

## ШУНТИРОВАНИЕ ВЫВОДА V+

Для типовой схемы включения MAX752 при выходных напряжениях больше 13 В с током нагрузки больше 100 мА, конденсатор C2 должен быть размещен на расстоянии меньше, чем на 1/2" (12.7 мм) от выводов V+ и GND. Этот конденсатор гасит выбросы напряжения, создаваемые переходными процессами при больших нагрузках.

Табл. 2.

Способ монтажа	Дроссель		Конденсатор	
	тип	фирма	тип	фирма
Монтируемый на поверхность	CD54-220 (22 мкГн) для MAX731	Sumida	267-серия	Matsuo
	CD54-220 (22 мкГн), CD54-470 (47 мкГн) для MAX752			
	CTX 100-серия	Coiltronics		
Миниатюрные для монтажа в отверстия	RCH654-220 для MAX731	Sumida	OS-CON-серия, органический полупроводниковый с малым ESR	Sanyo OS-CON
	RCH654-470 для MAX752			
Недорогие для монтажа в отверстия	RL1284-22 для MAX731	Renco	MAXC001 150 мкФ электролитический с малым ESR	Maxim
	RL1284-47 для MAX752		PL-серия, электролитический с малым ESR	Nichicon
				LXF-серия



## DC/DC-ПРЕОБРАЗОВАТЕЛЬ 1446ПН2

Аналог  
MAX734

MAXIM

Товарные знаки  
фирм изготовителей



### ОСОБЕННОСТИ

- Выходное напряжение ..... 12 В  $\pm 5\%$
- Диапазон входных напряжений ..... 1.9...12 В
- Коэффициент полезного действия ..... 88% (тип)
- Ток нагрузки .....  $\leq 175$  мА

### ТИПОНОМИНАЛЫ

КР1446ПН2

### ОБЩЕЕ ОПИСАНИЕ

Микросхема 1446ПН2 сконструирована для построения схемы DC/DC-конвертора с выходным напряжением +12 В и гарантированным током нагрузки 120 мА. Основное назначение прибора — использование в схеме преобразователя напряжения +5 В в напряжение +12 В, предназначенного для создания напряжения программирования электрически программируемого ПЗУ (так называемой ФЛЭШ-памяти). Микросхема 1446ПН2 имеет специальный вход для непосредственного включения/выключения выходного напряжения +12 В с помощью стандартных логических сигналов.

### ЦОКОЛЕВКА КОРПУСОВ

Пластмассовый корпус типа 2101.8-1

вид сверху

Вход блокировки SHDN	1	8	V+	Напряжение питания
Опорное напряжение V <sub>REF</sub>	2	7	V <sub>OUT</sub>	Вход следящей схемы для V <sub>OUT</sub>
Конденсатор запуска SS	3	6	LX	Выход (сток мощного MOSFET)
Конденсатор компенсации CC	4	5	GND	Общий

S4251C01

### СХЕМЫ ВКЛЮЧЕНИЯ

Не имеют отличия от схем включения MAX734, См. стр. 89.

Прибор поставляется только по специальному заказу



## DC/DC-КОНВЕРТЕР ДЛЯ ПРОГРАММИРОВАНИЯ ФЛЭШ-ПАМЯТИ

### ОСОБЕННОСТИ

- Выходное напряжение .....  $+12\text{ В} \pm 5\%$
- Гарантируемый выходной ток .....  $120\text{ мА}$
- Ток потребления в дежурном режиме .....  $70\text{ мкА}$
- Типовой КПД .....  $88\%$
- Минимальное входное напряжение .....  $1.9\text{ В}$

### ПРИМЕНЕНИЯ

- Источники питания на  $+12\text{ В}$  для программирования ФЛЭШ-памяти
- Источники на  $+12\text{ В}$  для питания РСМСИА-шины
- Твердотельные "Дисководы"
- Портативные компьютеры
- Компактные источники на  $+12\text{ В}$  для питания ОУ

### ОБЩЕЕ ОПИСАНИЕ

Микросхема MAX734 представляет из себя повышающий импульсный преобразователь постоянного тока в постоянный ток с выходным напряжением  $+12\text{ В}$  и гарантированным током  $120\text{ мА}$  при входном напряжении  $4.75\text{ В}$ . Микросхема специально сконструирована для программирования ФЛЭШ-памяти. Для работы микросхемы из внешних элементов требуются только два конденсатора по  $33\text{ мкФ}$ , один диод и катушка индуктивности на  $18\text{ мкГн}$ . Вся схема умещается на площади меньше, чем  $0.3$  квадратных дюйма, если все элементы монтируются на поверхность. Прибор MAX734 также имеет управляемый логическими сигналами вход блокировки, позволяющий применять прямое управление от микропроцессора. Испытания, проводимые на разных этапах изготовления, гарантируют выходные характеристики во всем диапазоне нагрузок, входных напряжений и температур.

Микросхема обладает следующими свойствами, позволяющими экономить энергию батареи: КПД –  $88\%$ , ток потребления в рабочем режиме —  $1.1\text{ мА}$  и  $70\text{ мкА}$  в дежурном режиме. При использовании микропроцессора для управления выводом блокировки рабочий ток питания может быть уменьшен до величины, меньшей, чем  $500\text{ мкА}$ . Для запуска микросхемы необходимо входное напряжение более  $1.9\text{ В}$ .

В приборе MAX734 используется широтно-импульсная модуляция для управления током для обеспечения высокой стабильности выходного напряжения и низкого уровня субгармоник. Фиксированная частота генератора  $170\text{ кГц}$  облегчает фильтрацию пульсаций и позволяет использовать миниатюрные внешние конденсаторы.

### ТИПОНОМИНАЛЫ

Типономинал	$\Delta T_A$	Корпус
MAX734CPA	$0...+70^\circ\text{C}$	DIP-8
MAX734CSA	$0...+70^\circ\text{C}$	SOP-8
MAX734C/D	$0...+70^\circ\text{C}$	бескорпусной
MAX734EPA	$-40...+85^\circ\text{C}$	DIP-8
MAX734ESA	$-40...+85^\circ\text{C}$	SOP-8
MAX734MJA	$-55...+125^\circ\text{C}$	CERDIP-8

### ЦОКОЛЕВКА КОРПУСОВ

Платмассовый корпус типа: DIP-8, SOP-8, CERDIP-8



### МАКСИМАЛЬНЫЕ ЗНАЧЕНИЯ ПАРАМЕТРОВ И РЕЖИМОВ

Напряжение на выводах:

- V+, LX .....  $(-0.3...+17)\text{ В}$
- VOUT .....  $+25\text{ В}$
- SS, CC, SHDN .....  $-0.3...(V+) + 0.3\text{ В}$
- Пиковый ток переключения ( $I_{LX}$ ) .....  $1.5\text{ А}$
- Опорный ток ( $I_{REF}$ ) .....  $2.5\text{ мА}$
- Мощность рассеивания ( $T_A = +70^\circ\text{C}$ ):
  - DIP-8 (уменьшается на  $9.09\text{ мВт}/^\circ\text{C}$  выше  $+70^\circ\text{C}$ ) .....  $727\text{ мВт}$
  - SOP-8 (уменьшается на  $5.88\text{ мВт}/^\circ\text{C}$  выше  $+70^\circ\text{C}$ ) .....  $471\text{ мВт}$
  - CERDIP-8 (уменьшается на  $8.00\text{ мВт}/^\circ\text{C}$  выше  $+70^\circ\text{C}$ ) .....  $640\text{ мВт}$

Диапазон рабочих температур:

- MAX734C .....  $0...+70^\circ\text{C}$
- MAX734E .....  $-40...+85^\circ\text{C}$
- MAX734MJA .....  $-55...+125^\circ\text{C}$
- Температура кристалла:
  - MAX734C/E .....  $+150^\circ\text{C}$
  - MAX734MJA .....  $+175^\circ\text{C}$
- Диапазон температур хранения .....  $-65...+160^\circ\text{C}$
- Температура выводов (пайка  $10\text{ с}$ ) .....  $+300^\circ\text{C}$

Превышение указанных параметров может вызвать повреждение прибора. Эксплуатация при этих значениях параметров не подразумевается, а их длительное воздействие может уменьшить надежность прибора.

ЭЛЕКТРИЧЕСКИЕ ХАРАКТЕРИСТИКИ

Все значения приведены для схемы на Рис. 1 при  $V_+ = 5\text{ В}$ ,  $I_{LOAD} = 0\text{ мА}$ ,  $T_A = T_A(min) \dots T_A(max)$ , типовые величины при  $T_A = +25^\circ\text{C}$ , если не указано иначе

Параметр		Условия	Значения			Единицы измерения
			не менее	типичное	не более	
Выходное напряжение	для MAX734C/E	$V_+ = 4.75 \dots 12\text{ В}$ (Рис. 1) $0\text{ мА} < I_{LOAD} < 120\text{ мА}$	11.64	12.12	12.60	В
	для MAX734M	$V_+ = 2 \dots V_{OUT}\text{ В}$ (Рис. 2)	11.40	12.12	12.60	В
Ток нагрузки		$V_+ = 4.75\text{ В}$ (Рис. 1)	120	150	—	мА
		$V_+ = 4.75\text{ В}$ (Рис. 2)	—	175	—	мА
		$V_+ = 3.5\text{ В}$ (Рис. 2)	—	110	—	мА
		$V_+ = 2.7\text{ В}$ (Рис. 2)	—	75	—	мА
		$V_+ = 2.0\text{ В}$ (Рис. 2)	—	40	—	мА
Минимальное входное пусковое напряжение		Рис. 1.	—	3.5	—	В
		Рис. 2.	—	1.9	—	В
Максимальное входное напряжение			—	—	$V_{OUT}$	В
Нестабильность по входному напряжению		$V_+ = 5 \dots 12\text{ В}$	—	0.20	—	%/В
Нестабильность по току нагрузки		$I_{LOAD} = 0 \dots 100\text{ мА}$	—	0.0035	—	%/мА
КПД		$V_+ = 5 \dots 12\text{ В}$ , $I_{LOAD} = 0 \dots 100\text{ мА}$	—	88	—	%
Ток питания		Включая ток переключения (Прим. 1)	—	1.1	2.5	мА
		$SHDN = 0$ , вся схема	—	70	100	мкА
		$SHDN = 0$ , только через вход $V_+$	—	6	—	мкА
Пороговое напряжение на входе блокировки		$V_{IH}$ (Прим. 1)	2.0	—	—	В
		$V_{IL}$ (Прим. 1)	—	—	0.25	В
Ток утечки на входе блокировки			—	—	1.0	мкА
Сопротивление открытого ключа		$I_L = 500\text{ мА}$	—	0.5	—	Ом
Ток утечки закрытого ключа		$V_{DS} = 12\text{ В}$	—	1.0	—	мкА
Опорное напряжение			—	1.23	—	В
Дрейф опорного напряжения		$T_A = T(min) \dots T(max)$ (во всем рабочем диапазоне)	—	50	—	млн <sup>-1</sup> /°C
Частота генератора			—	170	—	кГц
Импеданс вывода коррекции			—	7500	—	Ом

Примечание:

1. Ток потребления может быть уменьшен до значения меньше 500 мкА подачей импульсов на вход  $SHDN$  при работе на небольшую нагрузку. См. "Общее описание".

ТИПОВЫЕ СХЕМЫ ВКЛЮЧЕНИЯ

Рис. 1. Стандартная схема включения

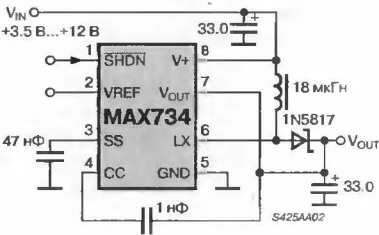


Рис. 2. Схема включения с питанием от выходного напряжения

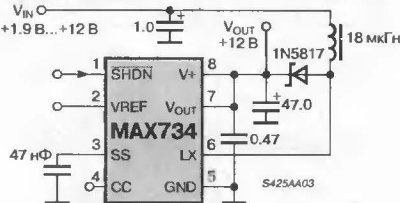
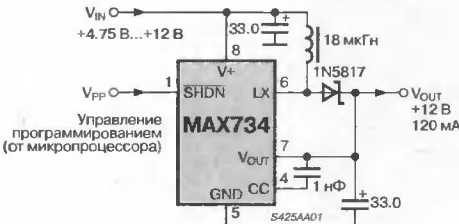


Рис. 3. Схема источника питания для программирования ФЛЭШ-памяти



## DC/DC-ПРЕОБРАЗОВАТЕЛЬ 1446ПНЗ



### ОСОБЕННОСТИ

- Регулировка выходного напряжения с помощью двух резисторов
- Фиксированное выходное напряжение ..... +5 В
- Диапазон входных напряжений ..... 1.9...12 В
- Коэффициент полезного действия ..... 80% (typ)
- Ток нагрузки (без внешнего транзистора) ..... ≤ 450 мА

### ТИПОНОМИНАЛЫ

КР1446 ПНЗ

### ЦОКОЛЕВКА КОРПУСОВ



### ОБЩЕЕ ОПИСАНИЕ

Микросхема 1446ПНЗ сконструирована для построения схемы повышающего преобразователя **постоянный ток—постоянный ток** (DC/DC-конвертер) с выходным напряжением +5 В и гарантированным током нагрузки 450 мА. Для работы с мощной нагрузкой возможно подключение внешнего транзистора. В состав микросхемы также включен монитор напряжения батареи. Микросхема 1446ПНЗ допускает регулировку выходного напряжения с помощью внешнего делителя.

### СТРУКТУРНАЯ СХЕМА

Не имеет отличий от структурной схемы MAX641, См. стр. 91.

### СХЕМЫ ВКЛЮЧЕНИЯ

Не имеют отличия от схем включения MAX641, См. стр. 92.

Прибор поставляется только по специальному заказу

## ПОВЫШАЮЩИЕ ИМПУЛЬСНЫЕ DC/DC-КОНВЕРТЕРЫ

### ОСОБЕННОСТИ

- ♦ Фиксированные выходные напряжения
  - для MAX641 ..... +5 В
  - для MAX642 ..... +12 В
  - для MAX643 ..... +15 В
- ♦ Регулировка выходного напряжения с помощью двух резисторов
- ♦ Встроенная схема управления мощным внешним МОП-транзистором
- ♦ Типовой рабочий ток ..... 135 мА
- ♦ Типовой КПД ..... 80%
- ♦ Выпускается в корпусах типа DIP-8 и SOP-8

### ПРИМЕНЕНИЯ

- ♦ Простые DC/DC-преобразователи с высоким КПД
- ♦ Мощные источники бесперебойного питания на уровне плат
- ♦ Источники питания, использующие батареи
- ♦ Переносные приборы и устройства связи

### ЦОКОЛЕВКА КОРПУСОВ

Корпус типа: DIP-8, SOP-8, CerDIP-8



### МАКСИМАЛЬНЫЕ ЗНАЧЕНИЯ ПАРАМЕТРОВ И РЕЖИМОВ

Выходное напряжение,  $V_{OUT}$  ..... +18 В  
 Выходное напряжение, LX и LBO ..... +18 В  
 Выходное напряжение:  
 выводы LBI, LBO,  $V_{FB}$ , COMP ..... -0.3...( $V_{OUT} + 0.3$ ) В  
 Выходной ток через LX ..... 450 мА (p-p)  
 Выходной ток через LBO ..... 50 мА  
 Рассеиваемая мощность:  
 DIP-8 (уменьшается на 8.33 мВт/°C выше +50°C) ..... 625 мВт  
 SOP-8 (уменьшается на 6 мВт/°C выше +50°C) ..... 450 мВт  
 CERDIP-8 (уменьшается на 8 мВт/°C выше +50°C) ..... 800 мВт  
 Диапазон рабочих температур:  
 MAX64xC ..... 0...+70°C  
 MAX64xE ..... -40...+85°C  
 MAX64xM ..... -55...+125°C  
 Температура хранения ..... -65...+160°C  
 Температура выводов (пайка 10 с) ..... +300°C

#### Примечание:

- Превышение указанных параметров может вызвать повреждение прибора. Эксплуатация при этих значениях параметров не подразумевается, а их длительное воздействие может уменьшить надежность прибора.

### ОБЩЕЕ ОПИСАНИЕ

Повышающие импульсные стабилизаторы MAX641/642/643 разработаны для создания DC/DC-преобразователей с выходной мощностью от 0.005 до 10 Вт при использовании минимального количества внешних элементов.

Для маломощных применений требуются только конденсатор выходного фильтра и небольшой дешевый дроссель. Для питания мощных нагрузок необходимо использование дополнительного биполярного или МОП-транзистора. В состав микросхемы также включен монитор напряжения батареи.

Приборы MAX641/642/643 имеют фиксированные выходные напряжения +5, +12 и +15 В, соответственно. Кроме того, выходное напряжение можно регулировать с помощью делителя из двух сопротивлений.

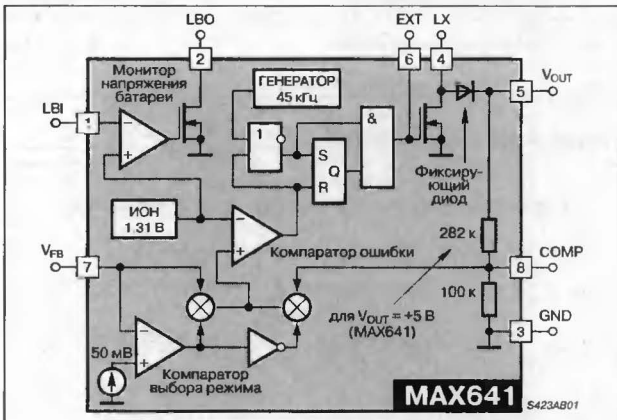
### ТИПОНОМИНАЛЫ

Типономинал	Температурный диапазон	Корпус	Типономинал	Температурный диапазон	Корпус
MAX641XCPA	0...70°C	DIP-8	MAX642XESA	-40...+85°C	SOP-8
MAX641XCSA	0...70°C	SOP-8	MAX642XEJA	-40...+85°C	CERDIP-8
MAX641XC/D	0...70°C	бескорпусной	MAX642XMJA	-55...+125°C	CERDIP-8
MAX641XEPA	-40...+85°C	DIP-8	MAX643XCPA	0...70°C	DIP-8
MAX641XESA	-40...+85°C	SOP-8	MAX643XCSA	0...70°C	SOP-8
MAX641XEJA	-40...+85°C	CERDIP-8	MAX643XC/D	0...70°C	бескорпусной
MAX641XMJA	-55...+125°C	CERDIP-8	MAX643XEPA	-40...+85°C	DIP-8
MAX642XCPA	0...70°C	DIP-8	MAX643XESA	-40...+85°C	SOP-8
MAX642XCSA	0...70°C	SOP-8	MAX643XEJA	-40...+85°C	CERDIP-8
MAX642XC/D	0...70°C	бескорпусной	MAX643XMJA	-55...+125°C	CERDIP-8
MAX642XEPA	-40...+85°C	DIP-8			

#### Примечание:

X = A с разбросом выходного напряжения 5%, X = B с разбросом выходного напряжения 10%.

### СТРУКТУРНАЯ СХЕМА

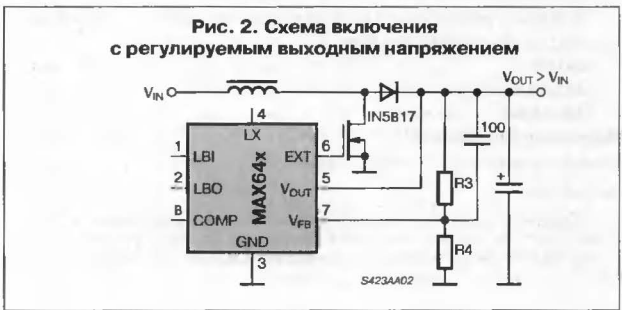


ЭЛЕКТРИЧЕСКИЕ ХАРАКТЕРИСТИКИ

T<sub>A</sub> = +25°C, если не указано иначе

Символ	Параметр	Условия	Значение			Единицы измерения
			не менее	типичное	не более	
+V <sub>IN</sub>	Рабочее напряжение	Напряжение на выводе V <sub>OUT</sub> , T <sub>A</sub> в полном рабочем диапазоне	2.0	—	16.5	В
	Запускающее напряжение	Напряжение на выводе V <sub>OUT</sub>				
		T <sub>A</sub> = +25°C	1.5	1.3	—	В
		T <sub>A</sub> в полном рабочем диапазоне	1.8	—	—	В
I <sub>S</sub>	Ток потребления	Выход LX не используется, T <sub>A</sub> в полном рабочем диапазоне				
		V <sub>OUT</sub> = +5 В	—	0.135	0.4	мА
		V <sub>OUT</sub> = +12 В	—	0.5	2.0	мА
		V <sub>OUT</sub> = +15 В	—	0.75	2.5	мА
V <sub>REF</sub>	Внутреннее опорное напряжение	T <sub>A</sub> = +25°C	1.24	1.31	1.38	В
		T <sub>A</sub> в полном рабочем диапазоне	1.20	—	1.42	В
V <sub>OUT</sub>	Выходное напряжение	Без нагрузки, вывод V <sub>FB</sub> соединен с GND, T <sub>A</sub> в полном рабочем диапазоне				
		Разброс выходного напряжения 5%				
		MAX641A	4.75	5.0	5.25	В
		MAX642A	11.4	12.0	12.6	В
		MAX643A	14.25	15.0	15.75	В
		Разброс выходного напряжения 10%				
		MAX641B	4.5	5.0	5.5	В
		MAX642B	10.8	12.0	13.2	В
		MAX643B	13.5	15	16.5	В
	КПД		—	80	—	%
	Нестабильность по напряжению	0.5 V <sub>OUT</sub> < +V <sub>IN</sub> < V <sub>OUT</sub>	—	0.08	—	%V <sub>OUT</sub>
	Нестабильность по току	+V <sub>S</sub> = 0.5 V <sub>OUT</sub> , P <sub>OUT</sub> = 0...150 мВт	—	0.2	—	%V <sub>OUT</sub>
f <sub>0</sub>	Частота генератора	V <sub>OUT</sub> = +5 В				
		MAX641A	40	45	50	кГц
		MAX641B	37.5	45	56.5	кГц
		V <sub>OUT</sub> = +12 В				
		MAX642A	45.5	50	56	кГц
		MAX642B	42	50	62.5	кГц
		V <sub>OUT</sub> = +15 В				
		MAX643A	45.5	50	56	кГц
		MAX643B	42	50	62.5	кГц
	ТК частоты генератора		—	-60	—	Гц/°C
	Длительность рабочего цикла	MAX641, V <sub>OUT</sub> = +5 В	40	50	60	%
		MAX642, V <sub>OUT</sub> = +12 В	40	50	60	%
		MAX643, V <sub>OUT</sub> = +15 В	40	50	60	%
	Сопротивление выхода EXT	V <sub>OUT</sub> = +5 В, I <sub>OUT</sub> = ±10 мА	—	140	—	Ом
		V <sub>OUT</sub> = +15 В, I <sub>OUT</sub> = ±30 мА	—	90	—	Ом
t <sub>ON</sub> , t <sub>OFF</sub>	Время переключения выхода EXT	C <sub>L</sub> = 330 пФ				
		V <sub>OUT</sub> = +5 В	—	160	—	нс
		V <sub>OUT</sub> = +15 В	—	125	—	нс
R <sub>ON</sub>	Сопротивление выхода LX в открытом состоянии	I <sub>X</sub> = 100 мА				
		V <sub>OUT</sub> = +5 В	—	6	12	Ом
		V <sub>OUT</sub> = +15 В	—	3.5	7	Ом
I <sub>XL</sub>	Ток утечки через вывод LX	V <sub>LX</sub> = +16 В,				
		T <sub>A</sub> = 25°C	—	0.01	1.0	мкА
		T <sub>A</sub> во всем диапазоне (C, E)	—	—	30	мкА
		T <sub>A</sub> во всем диапазоне (M)	—	—	100	мкА
V <sub>F</sub>	Прямое падение напряжения на диоде	I <sub>F</sub> = 100 мА	—	—	1.0	В
I <sub>FB</sub>	Входной ток через вывод V <sub>FB</sub>		—	0.01	10	нА
V <sub>LBI</sub>	Пороговое напряжение на входе LBI монитора батареи		—	1.31	—	В
I <sub>LBI</sub>	Входной ток монитора батареи		—	0.01	10	нА
I <sub>LBO</sub>	Выходной ток монитора батареи	V <sub>LBO</sub> = +0.4 В, V <sub>LBI</sub> = +1.1 В				
		T <sub>A</sub> = +25°C	—	1.0	—	мА
		T <sub>A</sub> во всем диапазоне	0.5	—	—	мА
I <sub>LBOI</sub>	Ток утечки на выходе монитора батареи	V <sub>LBO</sub> = +16.5 В, V <sub>LBI</sub> = +1.4 В	—	0.01	3.0	мкА

ТИПОВЫЕ СХЕМЫ ВКЛЮЧЕНИЯ

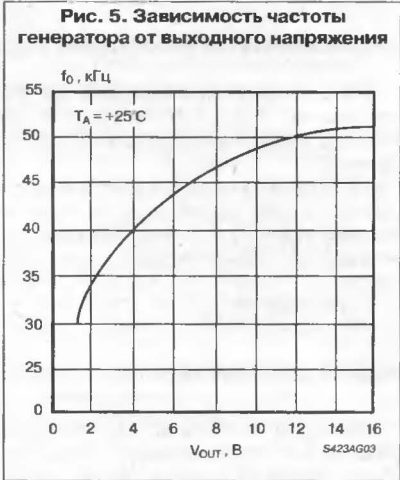
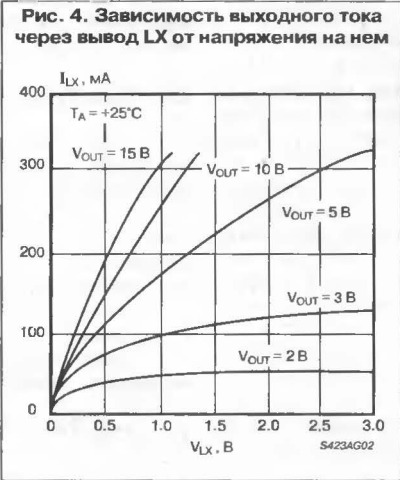
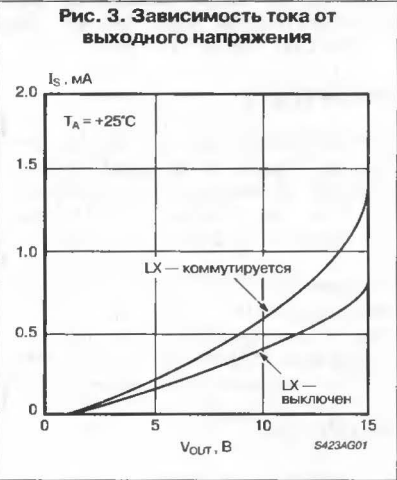




ОПИСАНИЕ ВЫВОДОВ

Символ	Номер вывода	Функция
LBI	1	Вход монитора батареи. Когда напряжение на выводе меньше порогового (+1.31 В), на выходе LBO монитора образуется вытекающий ток
LBO	2	Выход монитора батареи. Открытый сток <i>n</i> -канального МОП-транзистора, формирующий вытекающий ток, когда $V_{LBI} < +1.31$ В
GND	3	Земля
LX	4	В маломощных применениях вывод LX используется для управления внешним дросселем с помощью внутреннего мощного <i>n</i> -канального МОП-транзистора. Выход LX имеет типовое выходное сопротивление 6 Ом и номинальный пиковый ток 450 мА
V <sub>OUT</sub>	5	Регулируемый выход DC/DC-преобразователя при использовании внутреннего МОП-транзистора и фиксирующего диода. При использовании внешнего диода этот вывод служит для подачи напряжения питания и обычно соединяется с катодом внешнего диода
EXT	6	Выход схемы управления внешним мощным биполярным или МОП-транзистором. Напряжение на выводе EXT изменяется от 0 до V <sub>OUT</sub> , а полное сопротивление сток-исток составляет приблизительно 100 Ом. НИЗКИЙ уровень на выводе EXT соответствует открытому состоянию на выводе LX, а ВЫСОКИЙ уровень — закрытому
V <sub>FB</sub>	7	Выходное напряжение имеет фиксированную величину, когда вывод V <sub>FB</sub> соединен с землей. Этот вывод используется как вход обратной связи от внешнего делителя для регулировки выходного напряжения
COMP	8	Вход COMP соединен с внутренним делителем напряжения, который используется для установки фиксированного выходного напряжения. В некоторых ситуациях конденсатор компенсации опережения (величиной 100 пФ...10 нФ), включенный между выводами V <sub>OUT</sub> и COMP, уменьшает низкочастотную пульсацию и улучшает переходную характеристику. При использовании внешнего делителя напряжения на выводе V <sub>FB</sub> вывод COMP надо заземлить

ТИПОВЫЕ РАБОЧИЕ ХАРАКТЕРИСТИКИ



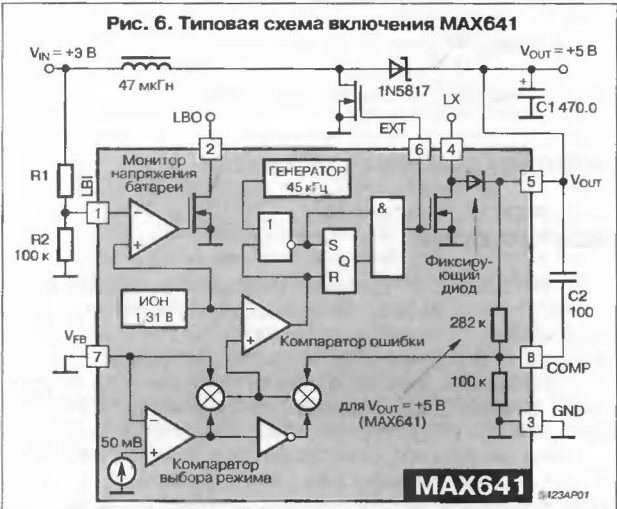
ФУНКЦИОНАЛЬНОЕ ОПИСАНИЕ

БАЗИСНОЕ ФУНКЦИОНИРОВАНИЕ

Работу микросхем MAX64х лучше всего понять, рассматривая контур стабилизации на **Рис. 6**. Когда напряжение на выходе падает ниже заданной величины, компаратор ошибки переключается на ВЫСОКИЙ уровень, подключая внутренний генератор с частотой 45 кГц к затвору внутреннего МОП-транзистора и к выводу EXT. Вывод EXT обычно соединяется с затвором внешнего мощного *n*-канального МОП-транзистора. При этом МОП-транзистор включается и выключается с частотой внутреннего генератора.

ВЫСОКИЙ уровень на выводе EXT переводит МОП-транзистор в открытое состояние. При этом ток через дроссель линейно увеличивается, запасая в нем энергию. Когда НИЗКИЙ уровень на выводе EXT закрывает МОП-транзистор, магнитное поле дросселя постепенно исчезает, а напряжение на нем изменяет полярность. Это напряжение открывает фиксирующий диод, и ток поступает в нагрузку. Когда выходное напряжение достигает заданного уровня, компаратор ошибки отключает генератор от вывода EXT, пока нагрузка не разрядит выходной конденсатор фильтра до величины меньше заданного уровня.

При маломощных нагрузках (до 250 мВт) прибор MAX641х может работать без внешнего ключа, в этом случае вывод LX используется для подключения дросселя, а из внешних компонентов требуются только внешний конденсатор и дроссель.



## РАБОТА С ПИТАНИЕМ ОТ ВЫХОДА

Микросхемы MAX641х не имеют вывода  $V_{IN}$ . Напряжение для запуска подается через внешний дроссель (и диод, если он используется) к выводу  $V_{OUT}$ . После запуска преобразователь продолжает питаться от своего собственного выходного напряжения. Такой способ обеспечивает максимальный диапазон управления затвором МОП-транзистора и, следовательно, минимальное сопротивление в открытом состоянии. Это также позволяет преобразователю запускаться при более низких входных напряжениях.

### ЕСЛИ $V_{IN}$ БОЛЬШЕ, ЧЕМ $V_{OUT}$

Если напряжение на входе стабилизатора превышает заданный уровень на величину, большую, чем одно прямое падение напряжения на диоде, выводы EXT и LX будут отключены и выходное напряжение перестанет регулироваться. При этом ток в нагрузку будет течь непосредственно через фиксирующий диод. До тех пор, пока входное напряжение будет на 0.6 В больше заданного выходного уровня, напряжение на выходе будет равно входному.

### ФИКСИРОВАННЫЙ ИЛИ РЕГУЛИРУЕМЫЙ ВЫХОД

Для использования микросхемы при фиксированном выходном напряжении (+5 В для MAX641, +12 В для MAX642 и +15 В для MAX643), вывод  $V_{FB}$  соединяется с GND, и не требуется внешний делитель.

Для получения выходных напряжений, отличных от фиксированных, необходимо использовать внешний делитель напряжения для подачи сигнала ОС на вход  $V_{FB}$ , как показано на Рис. 2. Значения R3 и R4 рассчитываются следующим образом:

$$R3 = R4 \frac{V_{OUT}}{1.31 [B]} - 1.$$

### МОНИТОР НАПЯЖЕНИЯ БАТАРЕИ

Монитор напряжения батареи сравнивает напряжение на своем входе (вывод LBI) с напряжением внутреннего ИОН (+1.31 В). На выходе монитора напряжения батареи (вывод LBO) устанавливается НИЗКИЙ уровень всякий раз, когда напряжение на выводе LBI падает ниже +1.31 В. Порог срабатывания монитора напряжения батареи устанавливается резисторами R1 и R2 (см. Рис. 6.). Сопротивление R2 выбирается любым в диапазоне от 10 кОм до 10 МОм, обычно 100 кОм, а значение R1 рассчитывается по формуле:

$$R1 = R2 \frac{V_{LB}}{1.31 [B]} - 1,$$

где  $V_{LB}$  — заданное напряжение разряда батареи.

## КАК ВЫБРАТЬ ВЕЛИЧИНУ ИНДУКТИВНОСТИ

### ОБЩИЕ РАССУЖДЕНИЯ

Работа описываемых преобразователей основана на накоплении энергии в катушке индуктивности (дросселе) от постоянного входного напряжения с последующим ее разрядом в нагрузку с целью получить выходное напряжение, превышающее входное.

Необходимое значение индуктивности определяется тремя условиями: требуемой выходной мощностью, величиной входного напряжения (или диапазоном его изменения), а также частотой и длительностью рабочего цикла генератора. Временные параметры генератора имеют важную роль: они определяют, как долго дроссель будет заряжаться в течение каждого цикла, и, наряду с ве-

личиной входного напряжения, определяют, сколько энергии будет запасено в катушке.

Дроссель должен удовлетворять четырем критериям:

1. Величина индуктивности должна быть достаточно низкой, чтобы успевать запасать необходимое количество энергии даже при малых входных напряжениях, и должна быть достаточно большой для предотвращения больших разрушающих токов при максимальном рабочем цикле и высоком входном напряжении.
2. Дроссель не должен входить в насыщение даже при максимальном значении рабочего тока.
3. Электромагнитные помехи от дросселя не должны влиять на работу преобразователя и близлежащих схем. Исходя из этих соображений для цифровых схем рекомендуется применять ферритовые стержни, а для чувствительных к помехам аналоговых схем — тороидальные и броневые сердечники.
4. Сопротивление обмотки постоянному току должно быть достаточно низким, чтобы не влиять на КПД и исключать самонагрев. Величина сопротивления меньше 0.5 Ом обычно вполне достаточна.

Другие параметры катушки индуктивности, такие как потери в сердечнике или резонансная частота, не имеют значения для частот, на которых работают MAX641х.

### ЕСЛИ ИНДУКТИВНОСТЬ СЛИШКОМ ВЕЛИКА

Проблема, наиболее часто возникающая на стадии производства или разработки, заключается в слишком большой величине индуктивности. В этом случае в нагрузку не поставляется достаточное количество тока, что приводит к ухудшению стабилизации. Наихудшая ситуация возникает в следующих случаях:

- максимальный ток нагрузки
- минимальное напряжение питания
- максимальная величина индуктивности, включая допуск
- максимальное сопротивление открытого ключа, так как это уменьшает напряжение, прикладываемое к катушке индуктивности.

### ЕСЛИ ИНДУКТИВНОСТЬ СЛИШКОМ МАЛА

Величина индуктивности должна быть достаточно высокой, чтобы пиковые токи не повредили транзистор и не вызвали насыщение сердечника катушки индуктивности. Большие токи также приводят к ухудшению КПД, использованию больших радиаторов, появлению писка в катушке и увеличению выходных пульсаций. Очень низкие величины индуктивности могут привести к выходу из строя мощных транзисторов.

Крутизна нарастания тока в катушке индуктивности, а, следовательно, и пиковое значение, которого он достигает за время активной фазы рабочего цикла, определяется напряжением питания и величиной индуктивности. Наихудшая ситуация возникает в следующих случаях:

- максимальное напряжение питания
- минимальная величина индуктивности, включая допуск
- минимальное значение сопротивления ключа в открытом состоянии
- низкая частота переключений (или максимальное время включенного состояния).

### ВЫБОР ИНДУКТИВНОСТИ

Уравнения для расчета индуктивности, приведенные ниже, должны быть вычислены для обеих наихудших ситуаций, описанных выше. Конечное значение выбирается между минимальной и максимальной рассчитанными величинами. Большее значение повышает нагрузочную способность, меньшее — уменьшает пульсации на выходе.

$$I_{PEAK} = \frac{V_{OUT} + V_{DIODE} - V_{IN}}{0.25 (V_{IN} - V_{SW})} (I_{OUT}), \quad (1)$$

$$L = \frac{V_{IN} - V_{SW}}{I_{PEAK}} (t_{ON}), \quad (2)$$

где  $V_{SW}$  — падение напряжения на открытом ключе. По самым скромным подсчетам, для наихудшего случая это падение равно 0.75 В (max), 0.25 В (min) при  $V_{IN} = +15$  В и 1.5 В (max), 0.5 В (min) при  $V_{IN} = +5$  В.

**Пример:**  $V_{IN} = +5$  В  $\pm 10\%$ ,  $V_{OUT} = 15$  В при токе 15 мА. Используются диод Шоттки (1N5817) и MAX643В.

Вычисляем максимальную разрешенную величину индуктивности:

$$I_{PEAK} = (15 \text{ В} + 0.4 \text{ В} - 4.5 \text{ В}) 15 \text{ мА} / 0.25 (4.5 \text{ В} - 0.75 \text{ В}) = 174 \text{ мА},$$

$$L = \frac{4.5 - 0.75}{174 \text{ мА}} 8 \text{ мкс} = 172 \text{ мкГн}.$$

Вычисляем минимальную разрешенную величину индуктивности:

$I_{PEAK} = 450$  мА (из раздела "Максимальные значения параметров и режимов"; для внешнего МОП-транзистора берется максимальное значение тока через него).

$$L = \frac{5.5 - 0.25}{450 \text{ мА}} 12 \text{ мкс} = 140 \text{ мкГн}.$$

Величина 160 мкГн будет хорошим выбором для этого случая. Приборы с суффиксом "А" с более низкой погрешностью частоты генератора позволяют иметь больший выходной ток в данном применении.

## ОСОБЕННОСТИ ПРИМЕНЕНИЯ

### ВНЕШНИЙ МОП-ТРАНЗИСТОР

Для управления током через дроссель при мощных нагрузках можно использовать внешний МОП или обычный биполярный транзистор. Паспортное значение максимального тока должно соответствовать пиковому току через дроссель. Единственное ограничение для внешнего ключа состоит в том, чтобы вывод EXT был способен управлять емкостью его затвора (или базы) на тактовой частоте (45 кГц). Для увеличения диапазона рабочего напряжения MAX64х также может использоваться внешний формирователь.

Таблица 2 содержит список некоторых МОП-транзисторов и их изготовителей. МОП-транзисторы, включаемые логическим уровнем, должны использоваться при напряжении питания меньше +5 В. На **Рис. 8** и **Рис. 9** изображены схемы, использующие внешние МОП-транзисторы.

### КОНДЕНСАТОР ВЫХОДНОГО ФИЛЬТРА

Пульсации на выходе MAX641х имеют две составляющие, сдвинутые по фазе на 90°. Одна составляющая вызвана изменением заряда на конденсаторе фильтра в течении каждого импульса на выходе LX. Другая является производением тока разряда и заряда конденсатора на эквивалентное последовательное сопротивление (ESR). При использовании дешевых алюминиевых электролитических конденсаторов составляющая пульсаций, обусловленная наличием ESR, часто превышает составляющую, вызванную изменением заряда. Следовательно, для минимизации выходной пульсации необходимо использовать высококачественные алюминиевые или танталовые конденсаторы, даже если они меньшей емкости. Наиболее оптимальным будет использование высокока-

чественного алюминиевого электролитического конденсатора на 100...500 мкФ параллельно с керамическим конденсатором 0.1 мкФ.

### ДИОДЫ

Вместе с внешним мощным МОП-транзистором может использоваться внутренний диод, если максимальный ток через диод не превышает номинальной величины (450 мА) и позволяет мощность, рассеиваемая корпусом. Для более мощных нагрузок используется внешний диод Шоттки типа 1N5817 (1 А) или 1N5821 (3 А), включаемый между выводами LX и  $V_{OUT}$  параллельно с внутренним диодом. Выпрямительные диоды типа 1N4001 и ему подобные, несмотря на большие значения номинального тока, не рекомендуется использовать из-за большого времени включения, что приводит к увеличению потерь и ухудшению КПД.

### ШУНТИРОВАНИЕ И КОМПЕНСАЦИЯ

Большие токи, возникающие в дросселе, вызывают протекание большого тока через земляной вывод микросхемы. Чтобы избежать возникновения нежелательной обратной связи, полное сопротивление контура заземления должно быть как можно меньше, и к выводу  $V_{OUT}$  должен быть подключен шунтирующий конденсатор (величиной 10 мкФ), независимо от наличия конденсаторов большой емкости в других местах схемы.

При использовании больших сопротивлений ( $> 50$  кОм) в делителе напряжения для ОС (R3 и R4 на **Рис. 2.**) наличие паразитной емкости на входе  $V_{FB}$  может приводить к "запаздыванию" сигнала обратной связи, срывая стабилизацию и вызывая броски в выходных импульсах. Для предотвращения этого необходимо минимизировать длину вывода  $V_{FB}$  и размер проводника печатной платы в точке  $V_{FB}$ . Нормальной работы с равномерно распределенными импульсами можно также добиться, подключая параллельно R3 компенсирующий "опережающий" конденсатор емкостью от 100 пФ до 10 нФ.

Вход COMP дает возможность подключать "опережающий" конденсатор к внутреннему делителю напряжения при работе в режиме фиксированного выходного напряжения, который включается выводами  $V_{OUT}$  и COMP.

### НАСЫЩЕНИЕ ДРОССЕЛЯ

Очень важно, чтобы сердечник дросселя не насыщался, особенно при мощных нагрузках, так как это ведет к появлению очень больших уровней тока через внешний импульсный транзистор, вызывая увеличение рассеиваемой мощности, ухудшению КПД и возможный выход из строя как дросселя, так и внешнего транзистора.

Поэтому необходимо убедиться в отсутствии насыщения, измеряя ток через дроссель с помощью токового пробника при максимальной нагрузке и максимальном входном напряжении. Нормальная форма тока через дроссель имеет вид линейного пилообразного сигнала. Насыщение вызывает нелинейные выбросы тока.

Чтобы ток через МОП-транзистор не превысил номинальный, необходимо, чтобы величина индуктивности, включая допуски изготовителя, всегда была больше значения, полученного из соответствующей формулы или указанного в Таблице 1. Кроме того, чтобы сердечник катушки не входил в насыщение, номинальный ток катушки должен быть больше, чем пиковое значение тока  $I(p-p)$ . Омическое сопротивление дросселя оказывает значительное влияние на выходной ток. Чтобы увеличить выходной ток и получить полный КПД, дроссель должен иметь сопротивление порядка нескольких десятков Ом.

## ВЕЛИЧИНЫ ИНДУКТИВНОСТИ

Величины индуктивности для часто встречаемых источников питания перечислены в Табл. 1. Данные в этой таблице относятся к схеме на Рис. 9.

Табл. 1. Величины индуктивности для часто встречающихся источников питания (см. Рис. 9)

Типоминал	$V_{IN}$	$V_{OUT}$	$I_{OUT}$	КПД	$I_{PEAK}$	Параметры индуктивности	
	[В]	[В]	[мА]	[%]	[А]	[мкГн]	[Ом]
MAX641	3	5	200	83	1.3	100	0.01
	3	5	300	80	2.0	47	0.05
MAX642	5	12	200	91	1.2	39	0.05
	5	12	350	89	2	18	0.03
	5	12	550	87	3.5	12	0.01
MAX643	5	15	100	92	1.2	39	0.05
	5	15	150	89	1.5	27	0.04
	5	15	225	89	2	18	0.03
	5	15	325	85	3.5	12	0.01

Табл. 2. Некоторые n-канальные мощные МОП-транзисторы

Типоминал	Корпус	$R_{ON}$ при $I_{DS}$	$V(max)$	Производитель
IRFD121	DIP-4	0.3 Ом (1.3 А, 10 В)	60 В	H/IR
BUZ71A	TO-220	1.2 Ом (6 А, 10 В)	50 В	MOT/SI/SM
BUZ21	TO-220	0.1 Ом (9 А, 10 В)	100 В	MOT/SI/SM
IRF513	TO-220	0.8 Ом (2 А, 10 В)	100 В	H/IR/MOT/SI
IRF530	TO-220	0.18 Ом (8 А, 10 В)	100 В	H/IR/MOT/SI
IRF540	TO-220	0.085 Ом (8 А, 10 В)	100 В	H/IR/MOT/SI
IRF620	TO-220	0.8 Ом (2.5 А, 10 В)	200 В	H/IR/MOT/SI
IRF640	TO-220	0.18 Ом (10 А, 10 В)	200 В	H/IR/MOT/SI
RFP25N06L	TO-220	0.085 Ом (12.5 А, 5 В)	50 В	H
RFP12N10L	TO-220	0.20 Ом (6 А, 5 В)	100 В	H
RFP15N06L	TO-220	0.14 Ом (7.5 А, 5 В)	50 В	H
IRL540	TO-220AB	0.11 Ом (24 А, 4 В)	100 В	IR
IRL734	TO-220AB	0.3 Ом (7.8 А, 4 В)	60 В	IR
IRZ14	TO-220AB	0.07 Ом (235 А, 4 В)	60 В	IR
MTM25N05L	TO-220AB	0.1 Ом (12.5 А, 5 В)	50 В	MOT
MTM15N05L	TO-220AB	0.15 Ом (7.5 А, 5 В)	50 В	MOT
MTM12N010L	TO-220AB	0.18 Ом (6 А, 5 В)	100 В	MOT

Код производителя: H = Harris, IR = International Rectifier, MOT = Motorola, SM = Siemens, SI = Siliconix.

## ТИПОВЫЕ ПРИМЕНЕНИЯ

### ОСНОВНОЕ ВКЛЮЧЕНИЕ ДЛЯ МОЩНОГО ИСТОЧНИКА ПИТАНИЯ

На Рис. 9 представлена стандартная схема повышающего DC/DC-преобразователя для фиксированного выходного напряжения. Выходная мощность определена номинальными токами внешнего МОП-транзистора и катушки индуктивности, а также емкостью затвора МОП-транзистора, влияющей на время переключения выхода EXT. Типовые времена переключения даны в таблице "Электрические характеристики".

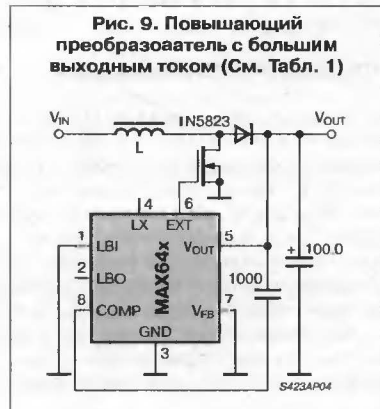
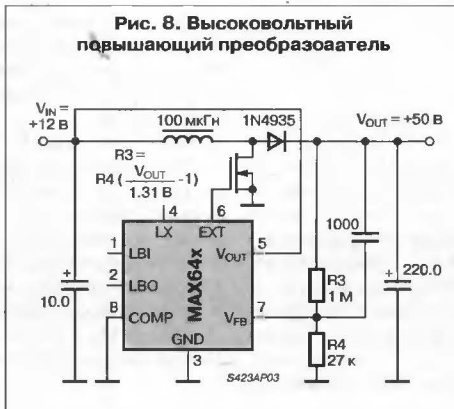
### МАЛОМОЩНЫЕ ПОВЫШАЮЩИЕ ПРЕОБРАЗОВАТЕЛИ

При небольших нагрузках вместо внешнего МОП-транзистора и диода может использоваться внутренний МОП-транзистор и диод, как показано на Рис. 7. Указанная схема может питать нагрузку мощностью до 250 мВт. См. Табл. 3 для правильного выбора дросселя.

Диапазон выходного напряжения для MAX64x может быть расширен (см схему на Рис. 8). Если внешний транзистор имеет достаточное номинальное рабочее напряжение, величина выходного напряжения устанавливается внешним делителем, подключенным ко входу  $V_{FB}$ , а к выводу  $V_{OUT}$  подводится входное напряжение.

Табл. 3. Параметры дросселя для источников питания общего назначения

$V_{IN}$	$V_{OUT}$	$I_{OUT}$	EFF	Параметры дросселя	
[В]	[В]	[мА]	[%]	[мкГн]	[Ом]
2	5	5	78	470	0.4
2	5	10	74	250	0.44
2	5	15	61	100	0.25
3	5	25	82	470	0.4
3	5	40	75	220	0.55
3	12	5	79	330	0.35
3	12	10	79	180	0.48
5	12	12	88	470	0.4
5	12	25	87	330	0.35
3	15	5	73	220	0.55
3	15	8	71	150	0.43
5	15	10	85	470	0.4
5	15	15	85	330	0.35
8	15	35	90	500	0.56



# ПОВЫШАЮЩИЙ DC/DC-ПРЕОБРАЗОВАТЕЛЬ С ЧАСТОТНО-ИМПУЛЬСНОЙ МОДУЛЯЦИЕЙ 1446ПН21/22/23



## ОСОБЕННОСТИ

- Для построения повышающего преобразователя требуются дроссель, диод и конденсатор
- Входной ток ..... 4 мА (тип)
- Выходное напряжение:
  - 1446ПН21 ..... 3 В
  - 1446ПН22 ..... 2.7 В
  - 1446ПН23 ..... 2.5 В
- Разброс выходного напряжения .....  $\pm 2.5\%$
- Низкий выходной шум
- Низкое напряжение запуска ..... 0.9 В (max)
- Высокий КПД ..... 80 % (тип)
- Низкий температурный коэффициент выходного напряжения
- Бескорпусное исполнение

## ПРИМЕНЕНИЕ

- Источники питания для оборудования с батарейным питанием

## ОБЩЕЕ ОПИСАНИЕ

Микросхемы семейства 1446ПН2х изготовлены по КМОП-технологии и представляют собой повышающие преобразователи постоянного напряжения с очень низким током потребления и выходным напряжением 2.5, 2.7 и 3.0 В.

Микросхемы состоят из генератора, схемы управления с частотно-импульсной модуляцией, выходного ключевого транзистора, источника опорного напряжения, усилителя ошибки, резистивного делителя в цепи обратной связи и схемы защиты. Микросхема включает также схему блокировки, которая позволяет перевести схему в дежурный режим с током потребления не более 0.5 мА.

## ТИПОНОМИНАЛЫ

Типономинал	Выходное напряжение, В	Корпус
КБ1446ПН21-4	3	пластина
КБ1446ПН21-5	3	кристалл
КБ1446ПН22-4	2.7	пластина
КБ1446ПН22-5	2.7	кристалл
КБ1446ПН23-4	2.5	пластина
КБ1446ПН23-5	2.5	кристалл

## СТРУКТУРНАЯ СХЕМА

Не имеет отличий от структурной схемы RH5Rlxx5B — см. стр. 98.

## СХЕМЫ ВКЛЮЧЕНИЯ

Не имеет отличий от схемы включения RH5Rlxx5B — см. стр. 100

Прибор поставляется только по специальному заказу



### ПОВЫШАЮЩИЙ DC/DC-ПРЕОБРАЗОВАТЕЛЬ С ЧАСТОТНО-ИМПУЛЬСНОЙ МОДУЛЯЦИЕЙ

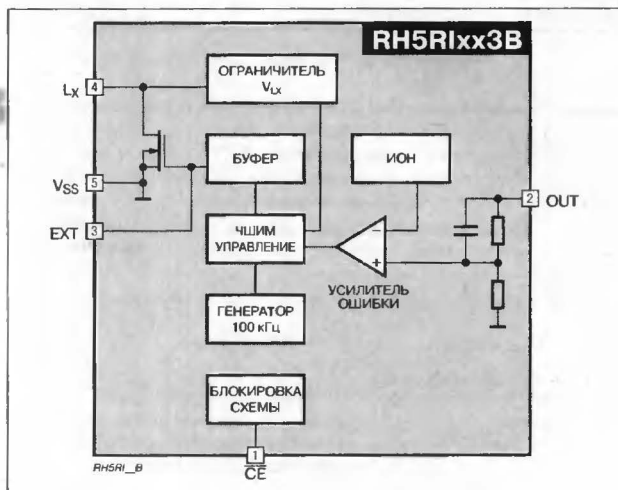
#### ОСОБЕННОСТИ

- ♦ Небольшое число внешних компонентов: дроссель, диод и конденсатор (RH5RIxx5B)
- ♦ Сверхнизкий входной ток,  
RH5RI301B/303B в отсутствие нагрузки, 1.5 В на входе ..... 4 мкА (тип)
- ♦ Высокая точность выходного напряжения .....  $\pm 2.5\%$
- ♦ Низкие пульсации и выходной шум
- ♦ Низкое напряжение запуска (при выходном токе 1 мА) ..... 0.9 В (max)
- ♦ Высокая производительность ..... 80 % (тип)
- ♦ Низкий температурный коэффициент выходного напряжения .....  $\pm 50$  ppm/°C
- ♦ Миниатюрный корпус  
RH5RIxx1B, RH5RIxx2B ..... SOT-89  
RH5RIxx3B ..... SOT89-5

#### ПРИМЕНЕНИЕ

- ♦ Источники питания для оборудования с батарейным питанием
- ♦ Источники питания для камер, камкодеров, видеоманитов, электронных органайзеров, переносного коммуникационного оборудования
- ♦ Источники питания для применений, требующих более высокого напряжения питания, чем обеспечивают батареи

#### СТРУКТУРНАЯ СХЕМА



#### ОБЩЕЕ ОПИСАНИЕ

Микросхемы семейства RH5RIxx1B/2B/3B представляют собой повышающие преобразователи постоянного тока с частотно-импульсной модуляцией (ЧИМ), изготовлены по КМОП-технологии и отличаются очень низким током потребления.

Приборы RH5RIxx1B включают генератор, ЧИМ-схему управления, выходной транзистор (ключ Lx), ИОН, усилитель ошибки, токочувствительные резисторы, схему защиты ключа Lx. Высокоэффективный повышающий DC/DC-преобразователь с низкими пульсациями может быть построен на микросхеме RH5RIxx5B с использованием только трёх внешних компонентов: дросселя, диода и конденсатора.

Схема RH5RIxx2B использует тот же кристалл, что и RH5RIxx1B, и вместо вывода Lx имеет вывод EXT для подключения внешнего мощного ключевого транзистора с низким напряжением насыщения. Микросхема RH5RIxx2B может быть рекомендована для применений с выходным током от нескольких десятков до нескольких сотен миллиампер.

Прибор RH5RIxx3B включает также схему блокировки, которая позволяет перевести схему в дежурный режим с током потребления 0.5 мкА (max).

Семейство преобразователей RH5RIxx1B/2B/3B предназначено для использования в источниках питания оборудования с батарейным питанием, имеющего низкий и сверхнизкий ток потребления.

#### ТИПОНОМИНАЛЫ

RH5RI xx xx - x  
тип ленты: T1 или T2 для корпуса SOT-89

Тип: 1B — внутренний транзистор Lx;  
2B — вывод EXT на внешний транзистор;  
3B — по выбору внешний/внутренний транзистор, функция блокировки схемы

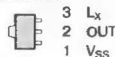
Выходное напряжение, возможные значения 2.5...7.5 В с шагом 0.1 В

Например: RH5RI502B-T1.

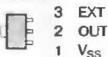
#### ЦОКОЛЕВКА КОРПУСОВ

Пластмассовый корпус  
типа SOT-89-3

RH5RIxx1B



RH5RIxx2B



Пластмассовый корпус  
типа SOT-89-5

RH5RIxx3B



Выход	xx1B	xx2B	xx3B	Символ	Описание
1	1	5		V <sub>SS</sub>	Земля
2	2	2		OUT	Выход, напряжение питания для самого прибора
3	—	4		Lx	Ключевой вывод (открытый сток n-канального транзистора)
—	3	3		EXT	Драйвер внешнего транзистора (КМОП-выход)
—	—	1		CE	Вывод блокировки схемы (активный НИЗКИЙ)

МАКСИМАЛЬНЫЕ ЗНАЧЕНИЯ ПАРАМЕТРОВ И РЕЖИМОВ

Параметр	Символ	Значение	Единица измерения	Примечание
Напряжение на выходе	$V_{OUT}$	12	B	
Напряжение на выводе Lx	$V_{LX}$	12	B	1
Напряжение на выводе EXT	$V_{EXT}$	$-0.3...V_{OUT} + 0.3$	B	2
Напряжение на выводе CE	$V_{CE}$	$-0.3...V_{OUT} + 0.3$	B	3
Ток вывода Lx	$I_{LX}$	250	мА	1
Ток вывода EXT	$I_{EXT}$	$\pm 50$	мА	2
Рассеиваемая мощность	$P_D$	500	мВт	
Диапазон рабочих температур	$T_A$	$-30...+80$	$^{\circ}\text{C}$	
Диапазон температур хранения	$T_{STG}$	$-40...+125$	$^{\circ}\text{C}$	
Температура пайки (10 с)	$T_{SOLDER}$	260	$^{\circ}\text{C}$	

Примечания:  
 1. Применимо к RH1RIxx5B и RH5RIxx3B;  
 2. Применимо к RH5RIxx2B и RH5RIxx3B;  
 3. Применимо к RH5RIxx3B.

Максимальные значения параметров и режимов не должны превышать ни при каких условиях. Более того, не допускается одновременное достижение предельных значений двух параметров. Работа при значениях параметров, превышающих указанные в таблице, может вызвать необратимые ухудшения в работе прибора.

ЭЛЕКТРИЧЕСКИЕ ХАРАКТЕРИСТИКИ

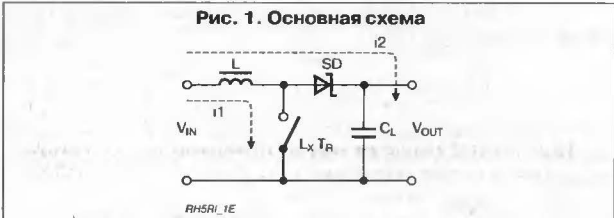
При  $T_A = +25^{\circ}\text{C}$ ;  $V_{IN} = 2\text{ В}$ ;  $V_{SS} = 0\text{ В}$ ;  $I_{OUT} = 10\text{ мА}$ , схема включения на Рис. 1.

Параметр	Символ	Условия	Значение			Единица измерения
			не менее	типовое	не более	
Выходное напряжение	$V_{OUT}$	*)	2.925	3.000	3.075	B
Входное напряжение	$V_{IN}$	—	—	—	8	B
Напряжение запуска	$V_{START}$	$I_{OUT} = 1\text{ мА}$ , $V_{IN}$ : 0 2 В	—	0.8	0.9	B
Напряжение удержания	$V_{HOLD}$	$I_{OUT} = 1\text{ мА}$ , $V_{IN}$ : 2 0 В	0.7	—	—	B
Входной ток 1	$I_{IN1}$	На входе $V_{IN}$ в отсутствие нагрузки	—	4	8	мкА
Входной ток 2	$I_{IN2}$	На входе $V_{IN}$ при $V_{IN} = 3.5\text{ В}$	—	2	5	мкА
Ток переключения Lx	$I_{LX}$	$V_{LX} = 0.4\text{ В}$	60	—	—	мА
Ток утечки Lx	$I_{LXLEAK}$	$V_{LX} = 6\text{ В}$ ; $V_{IN} = 5.5\text{ В}$	—	—	0.5	мкА
Максимальная частота генератора	$f_{OSC}$	—	60	100	120	кГц
Рабочий цикл	$DTY_{MAX}$	на стороне $V_{LX}$ "L"	65	75	85	%
КПД	$\eta$	—	70	80	—	%
Пороговое напряжение $V_{LX}$	$V_{LXLIM}$	Ключ Lx открыт *)	0.65	0.8	1.0	B

Примечание  
 \* — после включения ключа Lx ток  $I_{LX}$  постепенно увеличивается,  $V_{LX}$  также увеличивается; после того, как  $V_{LX}$  достигает порога  $V_{LXLIM}$ , схема защиты (через время порядка 3 мкс) выключает ключ Lx.

ОПИСАНИЕ ПОВЫШАЮЩЕГО DC/DC-ПРЕОБРАЗОВАТЕЛЯ

Повышающий DC/DC-преобразователь накапливает энергию в дросселе при открытом ключе Lx (LxTr) и во время закрытого ключа отдаёт избыток энергии (по отношению к входному источнику питания) на выход, таким образом достигается повышение напряжения. Работа схемы поясняется следующими рисунками:



Стадия 1:  
 Включается LxTr, и начинает протекать ток  $I_L (= i_1)$ , энергия запасается в L. Ток через дроссель за время включённого состояния ключа увеличивается от  $I_{L MIN}$  до  $I_{L MAX}$ .  
 Стадия 2:  
 Когда LxTr заперт, ток протекает через диод Шоттки (SD), при этом  $I_L = i_2$ .  
 Стадия 3:  
 $I_L (= i_2)$  постепенно уменьшается и через время  $t_{OPEN}$  достигает значения  $I_{L MIN} (= 0)$ , диод SD закрывается.  
 При ЧИМ-управлении стабилизация выходного напряжения достигается постоянным изменением частоты генерации ( $f_{OSC}$ ), тогда как время включённого состояния  $t_{ON}$  остаётся постоянным.  
 На приведённой выше диаграмме максимальное  $I_{L MAX}$  и минимальное  $I_{L MIN}$  значения тока через дроссель одинаковы для временных интервалов  $t_{ON}$  и  $t_{OFF}$ .  
 Разница  $\Delta I$  между  $I_{L MAX}$  и  $I_{L MIN}$ :

$$\Delta I = I_{L MAX} - I_{L MIN} = \frac{V_{IN} \times t_{ON}}{L} = (V_{OUT} - V_{IN}) \times \frac{t_{OPEN}}{L}, \quad (1)$$

где

$$T = \frac{1}{f_{OSC}} = t_{ON} + t_{OFF}$$

$$Duty(\%) = \frac{t_{ON}}{T} \times 100 = t_{ON} \times f_{OSC} \times 100$$

$$t_{OPEN} \leq t_{OFF}$$

В уравнении (1)  $\frac{V_{IN} \times t_{ON}}{L}$  и  $(V_{OUT} - V_{IN}) \times \frac{t_{OPEN}}{L}$  представляют собой изменения тока при открытом и закрытом ключе, соответственно.

При ЧИМ-управлении  $t_{OPEN} < t_{OFF}$ , энергия, запасённая в дросселе за время  $t_{ON}$ , полностью расходуется за время  $t_{OFF}$ , так что  $I_L$  становится равным нулю.

## ВЫБОР ПЕРИФЕРИЙНЫХ КОМПОНЕНТОВ

При включённом LxTr энергия  $P_{ON}$ , накопленная в дросселе определяется уравнением (2):

$$P_{ON} = \int_0^{t_{ON}} (V_{IN} \times I_L(t)) dt = \int_0^{t_{ON}} (V_{IN} \times \frac{t}{L}) dt = \frac{V_{IN}^2 \times t_{ON}^2}{2L} \quad (2)$$

В случае повышающего DC/DC-преобразователя энергия от входного источника питания отбирается также и во время закрытого ключа.

$$P_{OFF} = \int_0^{t_{OFF}} (V_{IN} \times I_L(t)) dt = \int_0^{t_{OFF}} (V_{IN} \times \frac{(V_{OUT} - V_{IN}) \times t}{L}) dt = \\ = V_{IN} \times (V_{OUT} - V_{IN}) \times \frac{t_{OFF}^2}{2L}$$

Здесь  $t_{OFF} = \frac{V_{IN} \times t_{ON}}{V_{OUT} - V_{IN}}$  из уравнения (1), после этой подстановки:

$$P_{OFF} = \frac{V_{IN}^3 \times t_{ON}^2}{2L(V_{OUT} - V_{IN})} \quad (3)$$

Входная мощность  $P_{IN}$  определяется выражением:

$$P_{IN} = \frac{(P_{ON} + P_{OFF})}{T} = V_{OUT} \times I_{OUT} = P_{OUT} \quad (4)$$

Уравнение для  $I_{OUT}$  может быть получено из уравнения (4) подстановкой в него уравнений (2) и (3):

$$I_{OUT} = V_{IN}^2 \times t_{ON}^2 / (2L \times T(V_{OUT} - V_{IN})) = \\ = V_{IN}^2 \times D T Y_{MAX}^2 / (20000 \times f_{OSC} \times L \times (V_{OUT} - V_{IN})) \quad (5)$$

Пиковый ток, текущий через L, LxTr, SD:

$$I_{LMAX} = \frac{V_{IN} \times t_{ON}}{L} \quad (6)$$

Следовательно, при установке входных/выходных условий и выборе периферийных компонентов необходимо учитывать  $I_{LMAX}$ .

Данные выкладки не учитывают потерь во внешних компонентах и ключе. В действительности максимальный выходной ток составляет 50...80% от величины, рассчитанной по приведённым выше формулам. В частности, при больших токах и малых входных напряжениях особое внимание следует обратить на падение напряжения на ключе. Следует учесть также падение напряжения на диоде Шоттки, которое составляет около 0.3 В.

Когда  $I_{LX}$  и  $V_{LX}$  превышают предельно допустимые значения, следует использовать приборы RH5R1xx2B и RH5R1xx3B совместно с внешним транзистором, имеющим низкую величину напряжения насыщения.

Рис. 3. Основная схема включения RH1R1xx1B

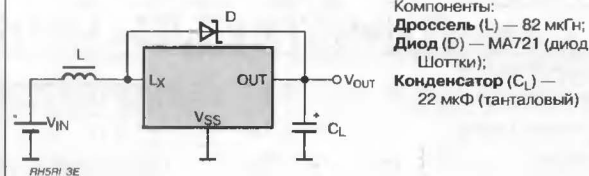
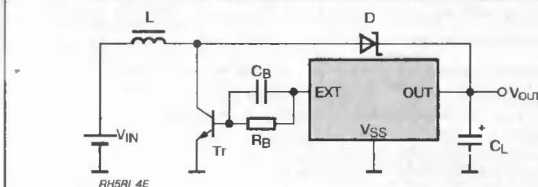


Рис. 4. Основная схема включения RH5R1xx2B



## РЕКОМЕНДАЦИИ К ПРИМЕНЕНИЮ

Устанавливайте компоненты как можно ближе к микросхеме и сократите до минимума соединения между компонентами и микросхемой. В частности, выходной конденсатор должен располагаться на минимальном расстоянии от вывода  $V_{OUT}$ .

Обратите внимание на землю. При переключении через вывод  $V_{SS}$  протекают большие токи. Если сопротивление проводника от вывода  $V_{SS}$  недостаточно мало, то потенциал микросхемы будет меняться при переключении, что может привести к нестабильной работе.

Используйте конденсаторы ёмкостью не менее 10 мкФ с хорошими частотными свойствами, например, танталовые. Мы рекомендуем использовать конденсаторы, допустимое напряжение которых не менее чем в три раза превышает выходное напряжение. Это необходимо, потому что при закрывании ключевого транзистора индуктивность может генерировать высоковольтные выбросы напряжения.

Тщательно выбирайте дроссель. Выбирайте дроссель с достаточно низким сопротивлением по постоянному току, большим допустимым током и отсутствием магнитного насыщения. Если индуктивность дросселя мала, ток  $I_{LX}$  может превысить предельно допустимое значение при максимальной нагрузке. Используйте дроссель с соответствующей индуктивностью.

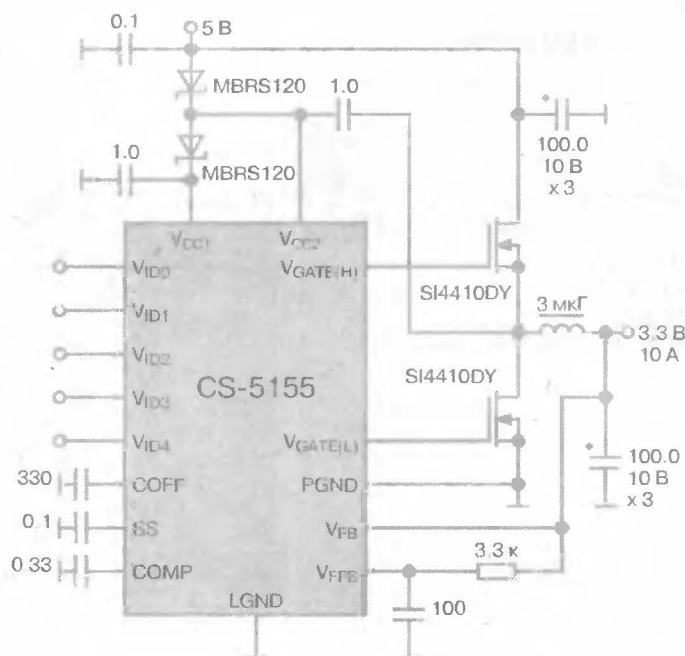
Используйте диод Шоттки с высокой скоростью переключения.

При выборе периферийных компонентов обращайте внимание на максимально допустимые значения напряжений, тока и мощности.

# ОДНОТАКТНЫЕ ШИМ-КОНТРОЛЛЕРЫ

В данном разделе представлены микросхемы, работающие по принципу широтно-импульсной модуляции и предназначенные для построения однотактного DC/DC-преобразователя или сетевого источника питания. Впервые приводится информация по новейшим микросхемам: 1033EY10/11/12/13/14/15/16 (UC384х), 1184EY1 (CS-5155), 1080EY1 (TDA8380) и 1155EY2 (L296)

ОТЕЧЕСТВЕННАЯ МИКРОСХЕМА	Стр.	ЗАРУБЕЖНЫЙ АНАЛОГ	Стр.
1033EY10/11/12/ 13/14/15/16	Однотактные ШИМ-контроллеры..... 102	UC184х/284х/384х	ШИМ-контроллеры с обратной связью по току ..... 103
1033EY9	Мощный ШИМ-контроллер ..... 114	PWR-SMP210	Мощный ШИМ-контроллер ..... 115
1080EY1	Схема управления импульсным источником питания ..... 122	TDA8380	Схема управления импульсным источником питания ..... 124
1155EY2	Мощный импульсный стабилизатор .... 132	L296/P	Мощный импульсный стабилизатор . 133
1156EY3	Однотактный высокочастотный ШИМ-контроллер ..... 146	UC1823/2823/3823	Высокочастотный ШИМ-контроллер 147
1184EY1	Контроллер понижающего преобразователя с 5-разрядным ЦАП и синхронным выпрямлением..... 153	CS-5155	Контроллер синхронного понижающего преобразователя с 5-разрядным ЦАП для питания ЦПУ..... 154
1184EY2	Широтно-импульсная схема управления источником вторичного электропитания ..... 165	SC1101	ШИМ-контроллер с управлением по напряжению ..... 166



# ОДНОТАКТНЫЕ ШИМ-КОНТРОЛЛЕРЫ 1033ЕУ10/11/12/13/14/15/16

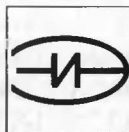
## Аналоги:

1033ЕУ10 – UC3842  
1033ЕУ11 – UC3844  
1033ЕУ12 – UC3843  
1033ЕУ13 – UC3845

1033ЕУ14 – UC3842A  
1033ЕУ15 – UC3842  
1033ЕУ16 – UC3844



## Товарные знаки фирм изготовителей



## ОСОБЕННОСТИ

- Максимальный ток выходного каскада .....  $\pm 1$  А (p-p)
- Рабочая частота переключения .....  $\leq 500$  кГц
- Напряжение питания .....  $\leq 30$  В
- Мощность рассеивания ..... 1 Вт
- Рабочий диапазон температур .....  $-10...+70^\circ\text{C}$

## ОБЩЕЕ ОПИСАНИЕ

Микросхемы 1033ЕУ10/11/12/13/14/15/16 представляют из себя одноканальные ШИМ-контроллеры и предназначены для построения сетевых источников вторичного питания и DC/DC-преобразователей с использованием в качестве ключевого элемента мощного МОП-транзистора.

Микросхема 1033ЕУ10/12/14/15 может работать с значениями рабочего цикла до 100%, а 1033ЕУ11/13/16 — до 50%.

Приборы упаковываются в пластмассовые корпуса типа 2101.8-1.

## ТИПОНОМИНАЛЫ

Типономинал	Фирма-производитель	Аналог
KP1033ЕУ10	Микрон	UC3842
KP1033ЕУ11	Микрон	UC3844
KP1033ЕУ12	Микрон	UC3843
KP1033ЕУ13	Микрон	UC3845
KP1033ЕУ14	Электроника	UC3842A
KP1033ЕУ15	СИТ	UC3842
KP1033ЕУ16	СИТ	UC3844
KA3842	Планета	UC3842

## СТРУКТУРНАЯ СХЕМА

Не имеет отличий от структурной схемы UC384x, См.стр. 103.

## СХЕМА ПРИМЕНЕНИЯ

Не имеет отличий от схемы включения UC384x, См.стр. 112-113.

## ЦОКОЛЕВКА КОРПУСОВ

Пластмассовый корпус типа 2101.8-1



S4301C01



### ОСОБЕННОСТИ

- Предназначены для сетевых источников питания и DC/DC-преобразователей
- Малый пусковой ток ..... 1 мА
- Автоматическая компенсация обратной связи по напряжению
- Токовое ограничение в каждом импульсе
- Улучшенные нагрузочные характеристики
- Схема защиты с гистерезисом для отключения при недопустимо низком входном напряжении
- Подавление двоянных импульсов
- Сильноточный квазикомплементарный выходной каскад
- Встроенный источник опорного напряжения с точной подгонкой
- Рабочая частота переключений ..... до 500 кГц
- Усилитель сигнала ошибки с мвлым значением  $R_o$

### ТИПОНОМИНАЛЫ

Типономинал	Температурный диапазон [°C]	Пороговые уровни при понижении входного напряжения [В]		Рабочий цикл [%]
		включено	выключено	
UC1842	-55...+125	16	10	до 100
UC2842	-40...+85			
UC3842	0...+70			
UC3842A	0...+70	8.4	7.6	до 100
UC1843	-55...+125			
UC2843	-40...+85			
UC3843	0...+70	16	10	0...50
UC1844	-55...+125			
UC2844	-40...+85			
UC3844	0...+70	8.4	7.6	0...50
UC1845	-55...+125			
UC2845	-40...+85			
UC3845	0...+70			

### СТРУКТУРНАЯ СХЕМА

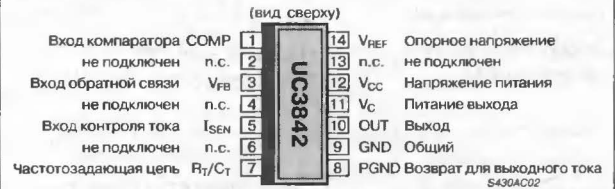


### ОБЩЕЕ ОПИСАНИЕ

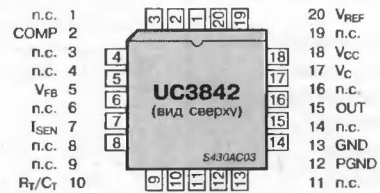
Микросхемы ШИМ-контроллеров серии UC384x имеют все необходимые функциональные возможности для создания схем управления сетевыми импульсными источниками питания или преобразователями **постоянный ток-постоянный ток** с обратной связью по току и постоянной частотой преобразования. Встроенные структурные элементы микросхемы обеспечивают ее отключение при недопустимо низком входном напряжении и пусковой ток менее 1 мА (0.5 мА для UCx842A). Прецизионный источник опорного напряжения тарирован для повышения точности на входе усилителя сигнала ошибки. ШИМ-компаратор контролирует также ограничение по току, а квазикомплементарный выходной каскад рассчитан на значительные броски тока (как втекающего, так и вытекающего). Выходной каскад обеспечивает работу на нагрузку типа  $p$ -канальный полевой транзистор с изолированным затвором и имеет НИЗКИЙ логический уровень напряжения в отключенном состоянии.

### ЦОКОЛЕВКА КОРПУСОВ

#### Пластмассовый корпус типа SOIC-14 (суффикс D)



#### Пластмассовый корпус типа PLCC-20 (суффикс Q)



#### Корпус типа: DIP-8 (суффикс N), SOIC-8 (суффикс D8), Cerdip-8 (суффикс J)



# МАКСИМАЛЬНЫЕ ЗНАЧЕНИЯ ПАРАМЕТРОВ И РЕЖИМОВ

Напряжение питания (низкоимпедансный источник) .....	30 В
Напряжение питания ( $I_{CC} < 30$ мА) .....	Самоограничение
Выходной ток .....	$\pm 1$ А
Выходная энергия (емкостная нагрузка) .....	5 мкДж
Аналоговые входы (выводы [2], [3]) .....	-0.3...+6.3 В
Выходной втекающий ток усилителя сигнала ошибки .....	10 мА
Мощность рассеивания при $T_A \leq 25^\circ\text{C}$ (DIP-8) .....	1 Вт
Мощность рассеивания при $T_A \leq 25^\circ\text{C}$ (SOIC-14) .....	725 мВт
Диапазон температур хранения .....	-65...+150°C
Температура выводов (пайка 10 с) .....	300°C

## Примечание:

Все значения напряжений приведены относительно потенциала заземления, вывод [5]. Втекающие через выводы токи положительны.

## ЭЛЕКТРИЧЕСКИЕ ПАРАМЕТРЫ

При  $T_A = -55...+125^\circ\text{C}$  для UC184x;  $T_A = -40...+85^\circ\text{C}$  для UC284x;  $T_A = 0...+70^\circ\text{C}$  для UC384x;  $V_{CC} = 15$  В (Прим. 4);  $R_T = 10$  кОм;  $C_T = 3.3$  нФ;  $T_A = T_J$ , если не указано иначе

Параметр	Условия	UC184х/284х			UC384х			Единица измерения
		не менее	типичное	не более	не менее	типичное	не более	
ИСТОЧНИК ОПОРНОГО НАПРЯЖЕНИЯ								
Выходное напряжение	$T_J = +25^{\circ}\text{C}$ , $I_O = 1\text{ мА}$	4.95	5.00	5.05	4.90	5.00	5.10	В
Нестабильность по напряжению	$12 \leq V_{IN} \leq 25\text{ В}$	—	6	20	—	6	20	мВ
Нестабильность по току нагрузки	$1 \leq I_O \leq 20\text{ мА}$	—	6	25	—	6	25	мВ
Температурная нестабильность	Прим. 1, Прим. 6	—	0.2	0.4	—	0.2	0.4	мВ/°C
Суммарное предельное отклонение выходного напряжения	С учетом отклонений входного напряжения, тока нагрузки и температуры (Прим. 1)	4.9	—	5.1	4.82	—	5.18	В
Выходное напряжение шумов	$10\text{ Гц} \leq f \leq 10\text{ кГц}$ , $T_J = +25^{\circ}\text{C}$ , (Прим. 1)	—	50	—	—	50	—	мкВ
Долговременная стабильность	$T_A = +125^{\circ}\text{C}$ , за 1000 ч (Прим. 1)	—	5	25	—	5	25	мВ
Выходной ток при КЗ		-30	-100	-180	-30	-100	-180	мА
ГЕНЕРАТОР								
Исходная точность	$T_J = +25^{\circ}\text{C}$ , (Прим. 5)	47	52	57	47	52	57	кГц
Стабильность напряжения	$12 \leq V_{CC} \leq 25\text{ В}$	—	0.2	1	—	0.2	1	%
Температурная нестабильность	$T(\text{min}) \leq T_A \leq T(\text{max})$ , (Прим. 1)	—	5	—	—	5	—	%
Амплитуда	$V_{PIN4}$ (Прим. 1)	—	1.7	—	—	1.7	—	В
УСИЛИТЕЛЬ ОШИБКИ								
Входное напряжение	$V_{PIN1} = 2.5\text{ В}$	2.45	2.50	2.55	2.42	2.50	2.58	В
Входной ток		—	-0.3	-1	—	-0.3	-2	мкА
Коэффициент усиления по напряжению	$2 \leq V_O \leq 4\text{ В}$	65	90	—	65	90	—	дБ
Частота единичного усиления	$T_J = +25^{\circ}\text{C}$ , (Прим. 1)	0.7	1	—	0.7	1	—	МГц
Коэффициент ослабления пульсаций напряжения питания (PSRR)	$12 \leq V_{CC} \leq 25\text{ В}$	60	70	—	60	70	—	дБ
Втекающий выходной ток	$V_{PIN2} = 2.7\text{ В}$ , $V_{PIN1} = 1.1\text{ В}$	2	6	—	2	6	—	мА
Вытекающий выходной ток	$V_{PIN2} = 2.3\text{ В}$ , $V_{PIN1} = 5\text{ В}$	-0.5	-0.8	—	-0.5	-0.8	—	мА
ВЫСОКИЙ логический уровень выходного напряжения $V_{OUT}$	$V_{PIN2} = 2.3\text{ В}$ , $R_L = 15\text{ кОм}$ относительно земли	5	6	—	5	6	—	В
НИЗКИЙ логический уровень выходного напряжения $V_{OUT}$	$V_{PIN2} = 2.7\text{ В}$ , $R_L = 15\text{ кОм}$ относительно вывода 8	—	0.7	1.1	—	0.7	1.1	В
КОМПАРАТОР КОНТРОЛЯ ТОКА								
Коэффициент усиления	Прим. 2, Прим. 3	2.85	3	3.15	2.85	3	3.15	В/В
Максимальный входной сигнал	$V_{PIN1} = 5\text{ В}$ (Прим. 2)	0.9	1	1.1	0.9	1	1.1	В
Коэффициент ослабления пульсаций напряжения питания	$12 \leq V_{CC} \leq 25\text{ В}$ (Прим. 1, Прим. 2)	—	70	—	—	70	—	дБ
Входной ток		—	-2	-10	—	-2	-10	мкА
Задержка выходного сигнала	$V_{PIN3} = 0...2\text{ В}$ (Прим. 1)	—	150	300	—	150	300	нс

ЭЛЕКТРИЧЕСКИЕ ПАРАМЕТРЫ (Продолжение)

Параметр	Условия	UC184х/284х			UC384х			Единица измерения
		не менее	типовое	не более	не менее	типовое	не более	
ВЫХОДНОЙ КАСКАД								
НИЗКИЙ логический уровень выходного напряжения	$I_{SINK} = 20\text{ мА}$	—	0.1	0.4	—	0.1	0.4	В
	$I_{SINK} = 200\text{ мА}$	—	1.5	2.2	—	1.5	2.2	В
ВЫСОКИЙ логический уровень выходного напряжения	$I_{SOURCE} = 20\text{ мА}$	13	13.5	—	13	13.5	—	В
	$I_{SOURCE} = 200\text{ мА}$	12	13.5	—	12	13.5	—	В
Время нарастания	$T_J = +25^{\circ}\text{C}$ , $C_L = 1\text{ нФ}$ , (Прим. 1)	—	50	150	—	50	150	нс
Время спада	$T_J = +25^{\circ}\text{C}$ , $C_L = 1\text{ нФ}$ , (Прим. 1)	—	50	150	—	50	150	нс
БЛОК ОТКЛЮЧЕНИЯ ПРИ ПОНИЖЕНИИ ВХОДНОГО НАПРЯЖЕНИЯ								
Пороговый уровень запуска	UCx842/4	15	16	17	14.5	16	17.5	В
	UCx843/5	7.8	8.4	9.0	7.8	8.4	9.0	В
Минимальный уровень рабочего напряжения после включения	UCx842/4	9	10	11	8.5	10	11.5	В
	UCx843/5	7.0	7.6	8.2	7.0	7.6	8.2	В
ШИМ-КОМПАРАТОР								
Максимальное значение рабочего цикла	UCx842/3	95	97	100	95	97	100	%
	UCx844/5	46	48	50	47	48	50	%
Минимальное значение рабочего цикла		—	—	0	—	—	0	%
ВЕСЬ ПРИБОР								
Пусковой ток	Прим. 7	—	0.5	1	—	0.5 (0.3)	1 (0.5)	мА
Рабочий ток от источника питания	$V_{PIN2} = V_{PIN3} = 0\text{ В}$	—	11	17	—	11	17	мА
Напряжение $V_{CC}$ туннельного пробоя р-п-перехода	$I_{CC} = 25\text{ мА}$	30	34	—	30	34	—	В

**Примечания:**

- Несмотря на гарантированность значений этих характеристик, их индивидуальные контрольные измерения после изготовления микросхемы не проводятся.
- Измерение проводится для зафиксированных значений сигнала при  $V_{PIN2} = 0$ .
- Коэффициент усиления вычисляется следующим образом:  
$$A_v = \frac{(\Delta V_{PIN1})}{(\Delta V_{PIN3})}, \text{ при } 0 \leq V_{PIN3} \leq 0.8\text{ В}.$$
- Напряжение  $V_{CC}$  предварительно устанавливается выше порога запуска и только затем настраивается на 15 В.
- Выходная частота равна частоте генератора для UC1842 и UC1843.  
Выходная частота равна половине частоты генератора для UC1844 и UC1845.
- Температурная нестабильность, которая иногда называется средним ТК, определяется по формуле:  
$$\text{Температурная нестабильность} = \{V_{REF}(\text{max}) - V_{REF}(\text{min})\} / [T_J(\text{max}) - T_J(\text{min})],$$
  
где:  
 $V_{REF}(\text{max})$  и  $V_{REF}(\text{min})$  – максимальное и минимальное значения опорного напряжения, замеренные в соответствующем температурном диапазоне. Следует отметить, что предельное значение напряжения не всегда имеет место при предельном значении температуры.
- В скобках приведены значения для UC3842A.



ТИПОВЫЕ ХАРАКТЕРИСТИКИ

Рис. 2. Зависимость напряжения питания от тока потребления

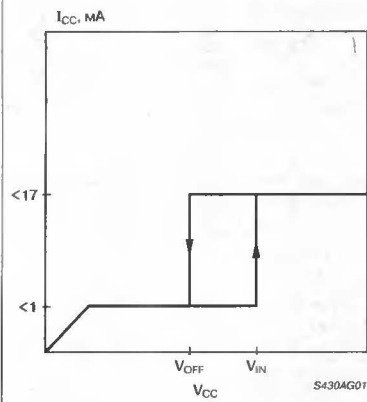


Рис. 3. Зависимость "мертвого" времени от емкости  $C_T$  ( $R_T > 5 \text{ кОм}$ )

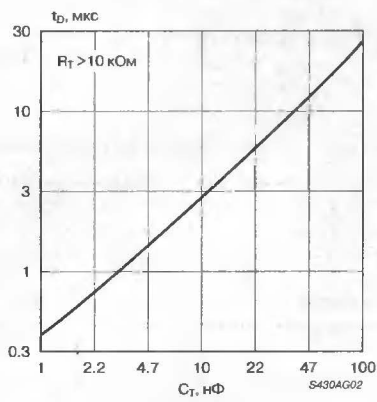


Рис. 4. Зависимость комбинации  $R_T/C_T$  от частоты

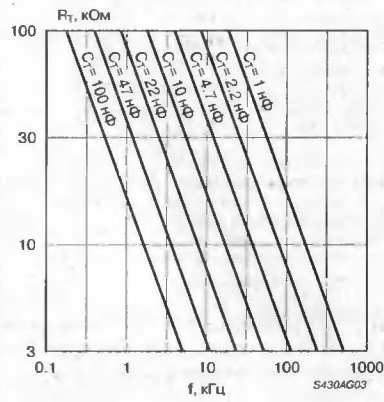


Рис. 5. Зависимость напряжения насыщения выходного каскада от выходного тока

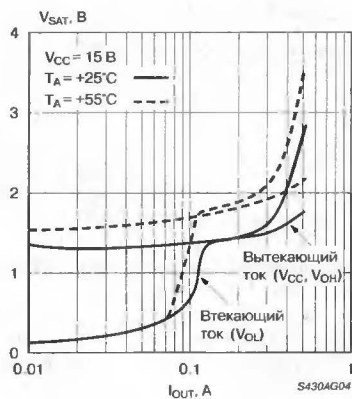


Рис. 6. Частотная характеристика усилителя ошибки при разомкнутой петле ОС

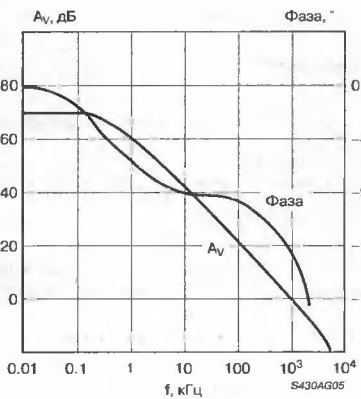
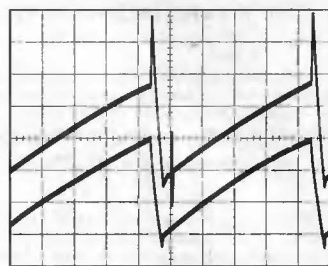


Рис. 7. Осциллограмма синхрипульсов на выходах  $C_T$  ведущей и ведомой схем (См. Рис. 27)

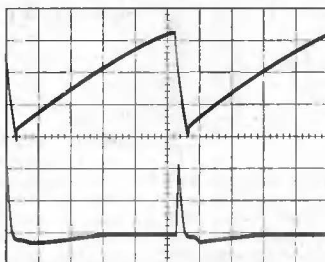
Вверху: напряжение на  $C_T$  ведомой ИМС  
Внизу: напряжение на  $C_T$  ведущей ИМС



0.5 В/дел по вертикали для обеих кривых  
0.5 мкс/дел по горизонтали

Рис. 8. Осциллограмма сигналов схемы на Рис. 27 при частоте 500 кГц

Вверху: напряжение на входе схемы  
Внизу: выходное напряжение на сопр. 24 Ома



0.5 В/дел по вертикали для обеих кривых  
0.5 мкс/дел по горизонтали

## ФУНКЦИОНАЛЬНОЕ ОПИСАНИЕ

## СХЕМА ОТКЛЮЧЕНИЯ ПРИ ПОНИЖЕНИИ ВХОДНОГО НАПЯЖЕНИЯ

Схема отключения при понижении входного напряжения или UVLO-схема (по-английски отключение при понижении напряжения — Under-Voltage LockOut сокращенно UVLO) гарантирует, что напряжение  $V_{CC}$  равно напряжению, делающему микросхему UC384x полностью работоспособной для включения выходного каскада. На **Рис. 9** показано, что UVLO-схема имеет пороговые напряжения включения и выключения, значения которых равны 16 и 10 В, соответственно. Гистерезис, равный 6 В, предотвращает беспорядочные включения и выключения напряжения во время подачи питания. На **Рис. 2** показана зависимость напряжения питания от тока питания. Для эффективного питания конвертера достаточно тока запуска в 1 мА, протекающего от сетевого выпрямителя, что иллюстрируется на **Рис. 10**. Во время нормальной работы схемы напряжение питания  $V_{CC}$  снимается с вспомогательной обмотки  $W_{AUX}$  с помощью диода D1 и конденсатора  $C_{IN}$ . При запуске, однако,  $C_{IN}$  должен быть заряжен до 16 В через резистор  $R_{IN}$ . При токе запуска в 1 мА, величина сопротивления  $R_{IN}$  может быть больше 100 кОм и этого будет достаточно для заряда емкости  $C_{IN}$  при  $V(AC) = 90$  В (rms) (низкое напряжение сети). Мощность, рассеиваемая на резисторе  $R_{IN}$ , будет меньше чем 350 мВт даже при  $V(AC) = 130$  В (rms) (высокое напряжение сети). При понижении входного напряжения выходной формирователь удерживает выход в низком состоянии. Это не совсем то низкое состояние, которое получается при нормальной работе, но и при нем может легко обеспечиваться втекающий ток 1 мА, достаточный для удержания МОП-транзистора в закрытом состоянии.

Рис. 9. Схема отключения при понижении входного напряжения

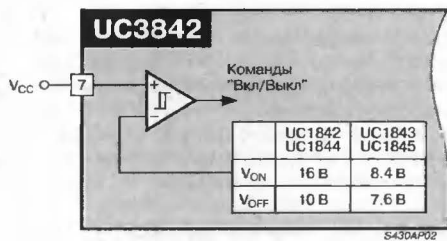
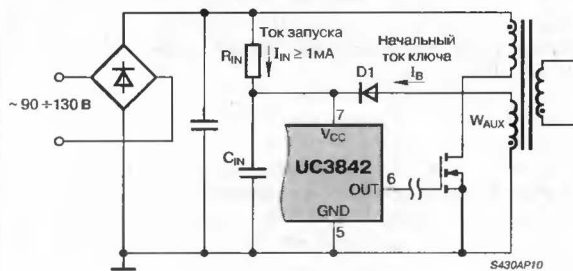


Рис. 10. Схема, иллюстрирующая протекание токов питания

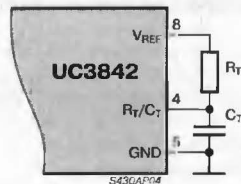


## ГЕНЕРАТОР

Установка параметров генератора показана на **Рис. 11**. Частотозадающий конденсатор  $C_T$  заряжается от  $V_{REF}$  (5 В) через частотозадающий резистор  $R_T$ , а разряжается внутренним источником тока.

Первым шагом при выборе компонентов генератора надо определить требуемую величину "мертвого" времени. На **Рис. 3**

Рис. 11. Установка частоты генератора



показана зависимость "мертвого" времени от близких к стандартным значениям емкости  $C_T$ . Следующим шагом, с помощью интерполирования, получают соответствующее значение  $R_T$ , используя в качестве параметров частоту генератора и емкость  $C_T$ . На **Рис. 4** показана зависимость комбинации  $R_T/C_T$  от частоты генератора. Величина частотозадающего резистора может быть рассчитана по следующей формуле:

$$f_{OSC} = \frac{1.72}{R_T [\text{кОм}] \times C_T [\text{мкФ}]}$$

Микросхемы UC3844 и UC3845 имеют встроенный счетный триггер, который служит для получения максимального рабочего цикла генератора, равного 50%. Поэтому генераторы этих микросхем нужно установить на частоту переключения вдвое выше желаемой. Генераторы микросхем UC3842 и UC3843 устанавливаются на желаемую частоту переключения. Максимальная рабочая частота генераторов семейства UC3842/3/4/5 может достигать 500 кГц.

## МАКСИМАЛЬНЫЙ РАБОЧИЙ ЦИКЛ

Микросхемы UC3842 и UC3843 имеют максимальную величину рабочего цикла, равную приблизительно 100%, а максимальная величина рабочего цикла микросхем UC3844 и UC3845 ограничена 50% с помощью встроенного счетного триггера. Эти значения рабочих циклов удобны для большинства обратных и прямых преобразователей. В оптимальном случае "мертвое" время не должно превышать 15% периода тактовой частоты генератора.

Во время разряда конденсатора или в "мертвое" время внутренний сигнал тактовой частоты переводит выход в низкое состояние. Это ограничивает максимальный рабочий цикл  $Dc(max)$ :

$$Dc(max) = 1 - \frac{t_{DEAD}}{t_{PERIOD}} \quad \text{для UC3842/3,}$$

$$Dc(max) = 1 - \frac{t_{DEAD}}{2 \times t_{PERIOD}} \quad \text{для UC3844/5,}$$

$$\text{где } t_{PERIOD} = \frac{1}{f_{OSC}}.$$

## СЧИТЫВАНИЕ И ОГРАНИЧЕНИЕ ТОКА

На **Рис. 12** показана схема считывания тока для UC3842. Преобразование ток-напряжение выполнено на внешнем резисторе  $R_S$ , связанном с землей. При нормальной работе пиковое напряжение на резисторе  $R_S$  преобразуется усилителем ошибки согласно следующему уравнению:

$$I_P = \frac{V_C - 1.4 [\text{В}]}{3 R_S},$$

где  $V_C$  — это управляющее напряжение, равное выходному напряжению усилителя ошибки  $E/A$ .

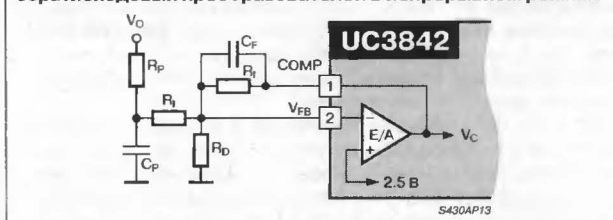




частота превышает 1 МГц, благодаря второму главному полюсу на частоте приблизительно 10 МГц и выше.

Ток индуктивности для повышающих и обратноходовых преобразователей, работающих в непрерывном режиме, определяет ноль их передаточных функций в правой полуплоскости. Дополнительный полюс необходим, чтобы уменьшить петлевое усиление на частоте меньшей, чем таковая для нуля в правой полуплоскости. Этот полюс обеспечивают компоненты  $R_p$  и  $C_p$ , показанные в схеме на **Рис. 16**.

Рис. 16. Схема компенсации для повышающих и обратных преобразователей в непрерывном режиме



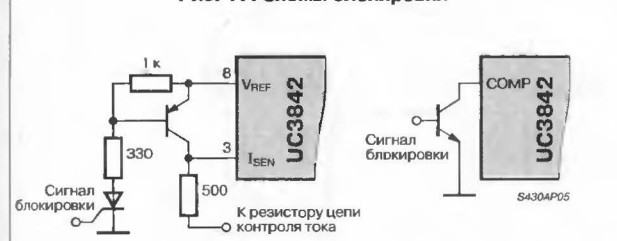
## СПОСОБЫ БЛОКИРОВКИ

Возможны два способа блокировки микросхемы UC3842: повышение напряжения на выводе **3** выше уровня 1 В, либо подтягивание напряжения на выводе **1** до уровня, не превышающего падение напряжения на двух диодах, относительно потенциала земли. Каждый из этих способов приводит к установке **ВЫСОКОГО** логического уровня напряжения на выходе ШИМ-компаратора (см. структурную схему). Поскольку основным (по умолчанию) состоянием ШИМ-фактора является состояние сброса, на выходе ШИМ-компаратора будет удерживаться **НИЗКИЙ** логический уровень напряжения до тех пор, пока не изменится состояние на выводах **1** и/или **3** в следующем тактовом периоде (периоде, который следует за рассматриваемым тактовым периодом, когда возникла ситуация, требующая блокировки микросхемы). Например, выявленное и зафиксированное за пределами микросхемы состояние, требующее отключения микросхемы, можно реализовать путем введения в схему кремниевого триодного тиристора (тринистора), который каждый период тактовой частоты будет сбрасывать напряжение  $V_{CC}$  ниже минимального порогового уровня  $UVLO$  (отключение при понижении входного напряжения). Отключение опорного напряжения в этот момент дает возможность тринистору осуществлять такое отключение напряжения  $V_{CC}$ .

### КОРРЕКЦИЯ КРУТИЗНЫ ПИЛООБРАЗНОГО НАПРЯЖЕНИЯ

Целесообразно суммировать фрагмент линейно изменяющегося напряжения генератора с управляющим токовым сигналом для коррекции крутизны сигналов преобразователя в том случае, если требуется режим работы со значением рабочего цикла порядка 50%. Конденсатор  $C_T$  вместе с резистором  $R_2$  образует фильтр, предназначенный для сглаживания выбросов переходных

**Рис. 17. Схемы блокировки**

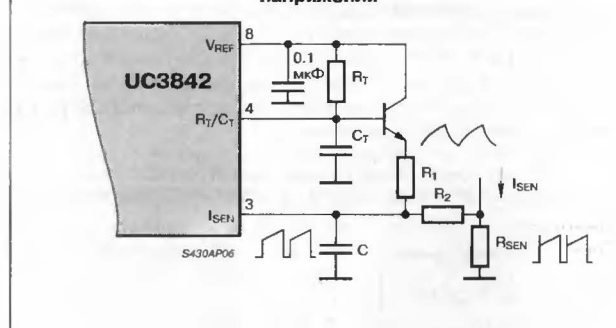


процессов ключевого режима работы, и, в первую очередь, во время фронта импульса.

### КВАЗИКОМПЛЕМЕНТАРНЫЙ ВЫХОДНОЙ КАСКАД

Микросхема UC3842 имеет единственный выход квазикомплекментарного каскада, который может выдавать пиковый ток для возбуждения МОП-транзистора, равный  $\pm 1$  А, и средний ток для возбуждения биполярного транзистора, равный  $\pm 200$  мА. Сквозной ток выходных транзисторов минимален, добавляя в среднем только 80 мВт дополнительной мощности рассеивания при  $V_{IN} = 30$  В и частоте 200 кГц.

**Рис. 18. Схеме коррекции крутизны пилообразного напряжения**



Ограничение выходного пикового тока выполняется помещением резистора между выходом квазикомплементарного каскада и затвором МОП-транзистора. Его величина определяется делением коллекторного напряжения выходного каскада  $V_C$  на пиковый ток этого каскада. Без этого резистора пиковый ток ограничивается только скоростью переключения квазикомплементарного каскада  $dV/dt$  и емкостью затвора МОП-транзистора.

Использование диода Шоттки, шунтирующего выход на землю, предотвращает выбросы выходного напряжения, порождаемые нестабильностями внутри микросхемы, ниже уровня земли. Чтобы быть эффективным, выбранный диод должен иметь прямое падение напряжения меньше 0.3 В при токе 200 мА. Большинство диодов Шоттки, рассчитанных на ток 1...3 А, имеет такие параметры при температуре выше комнатной. Размещение диода как можно ближе к микросхеме улучшит работу схемы. Конкретные схемные решения показаны на **Рис. 19 и 21**. Схема с трансформаторной развязкой также требует использования диодов Шоттки, чтобы предотвратить подобные явления на выходе ШИМ-контроллера. Выбросы выходного напряжения ниже уровня земли очень увеличиваются из-за индуктивности рассеивания трансформатора и паразитной емкости в сумме с индуктивностью намагничивания и емкостью затвора МОП-транзистора. Соображения по размещению диода подобны предыдущим.

**Рис. 19. Прямое управление МОП-транзистором**

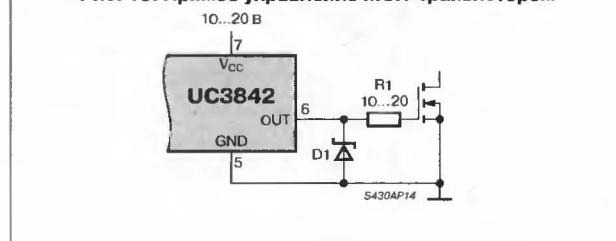
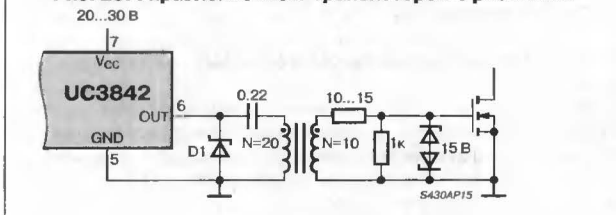
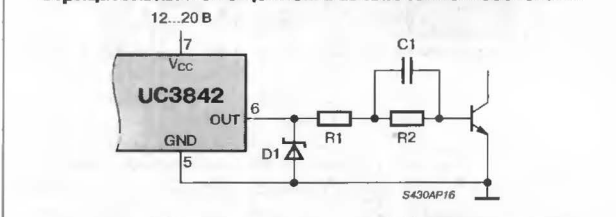


Рис. 20. Управление МОП-транзистором с развязкой



На Рис. 19, 20 и 21 показаны схемы возбуждения биполярных и МОП-транзисторов от выхода микросхемы UC3842. Простая схема, показанная на Рис. 19, используется, когда управляющая схема электрически не изолирована от МОП-транзистора и выдает при включении и выключении ток до  $\pm 1$  А. Она также обеспечивает демпфирование паразитного резонансного контура, сформированного емкостью затвора МОП-транзистора и последовательной индуктивностью монтажа. Диод Шоттки D1 предотвращает появление на выходе микросхемы выбросов выходного напряжения ниже уровня земли во время процесса выключения.

Рис. 21. Управление биполярным транзистором с отрицательным смещением в выключенном состоянии



На Рис. 20 показана изолированная схема возбуждения МОП-транзистора, которая применяется, когда сигнал формирователя должен быть сдвинут по уровню или гальванически развязан от мощного транзистора. Биполярные транзисторы можно эффективно возбуждать по схеме на Рис. 21. Резисторы R1 и R2 устанавливают ток базы во включенном состоянии, в то время как конденсатор C1 обеспечивает отрицательный импульс тока базы, для устранения запасенного заряда при выключении.

Так как микросхемы серии UC384x имеют только один выход, необходима специальная интерфейсная схема, чтобы управлять двухтактным, полумостовым или полномостовым преобразователем. Эту функцию может выполнять двухтактный выходной формирователь со встроенным счетным триггером типа UC3706. Схема на Рис. 32 показывает типовое совместное использование этих двух микросхем. Увеличить нагрузочную спо-

собность выходного формирователя UC384x для возбуждения нескольких МОП-транзисторов, включенных параллельно, или для других нагрузок можно, используя одну из микросхем семейства UC3705/6/7.

## ШУМ

Как было упомянуто ранее, шум сигналов обратной связи по току или сигналов управления может вызывать существенное дрожание ширины импульса, особенно при работе в режиме непрерывного тока дросселя. В то время как компенсация наклона пилообразного напряжения облегчают эту проблему, лучшее решение состоит все-таки в том, чтобы минимизировать шумовую составляющую. Вообще, шумовая устойчивость улучшается с уменьшением импедансов в критических точках схемы.

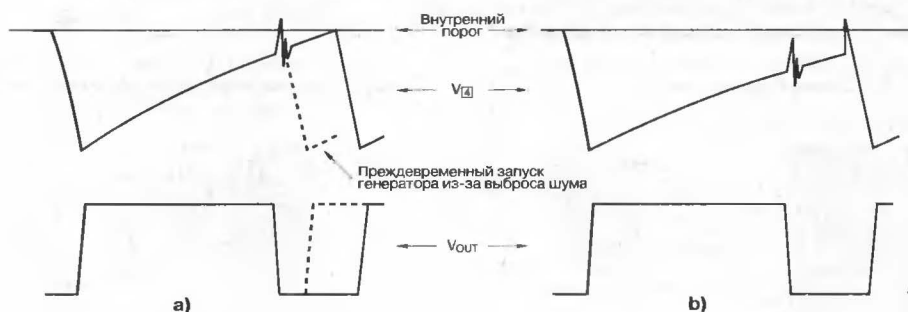
Одна из таких точек для импульсных источников питания — это земляная шина. Небольшая индуктивность проводов между различными точками земляной шины на печатной плате может поддерживать синфазный шум с достаточной амплитудой, чтобы помешать правильной работе ШИМ-модулятора. Сплошная медная заземленная поверхность на одной стороне печатной платы и отдельные возвратные шины для путей прохождения больших токов очень уменьшают синфазный шум. Заметьте, что микросхема UC3842 имеет единственный вывод заземления, поэтому большие протекающие выходные токи не могут быть возвращены отдельно.

Керамические конденсаторы (0.1 мкФ), шунтирующие выводы  $V_{CC}$  и  $V_{REF}$ , обеспечивают снижение импедансов для высокочастотных переходных процессов в этих точках. Вход усилителя сигнала ошибки, однако, является высокоимпедансной точкой, которая не может быть зашунтирована без воздействия на динамические характеристики источника питания. Поэтому, единственным способом предосторожности должно быть размещение цепей обратной связи таким образом, при котором проводники обратной связи максимально удаляются от источников шума, производимого компонентами типа мощного переключателя транзистора.

На Рис. 22 иллюстрируется другая порождаемая шумом проблема. Когда мощный переключатель транзистор выключается, шумовой выброс попадает на  $R_T/C_T$  вывод генератора. При больших значениях рабочего цикла напряжение на выводе  $R_T/C_T$  приближается к пороговому уровню ( $\sim 2.7$  В, определяемому внутренней схемой генератора) в момент попадания шумового выброса. Выброс достаточной амплитуды будет преждевременно запускать генератор, как показано на Рис. 22а пунктирными линиями. Чтобы минимизировать шумовой выброс, выберите величину емкости  $C_T$  как можно большей, помня, что "мертвое" время растет вместе с увеличением емкости  $C_T$ . Рекомендуется, чтобы емкость  $C_T$  никогда не была меньше 1000 пФ. Часто шум, ставящий эту проблему, вы-

Рис. 22. Иллюстрация положительного влияния внешней синхронизации

- (а) Шум на выводе [4] вызывает преждевременный запуск генератора  
(б) При внешней синхронизации напряжение шума не приближается к пороговому уровню



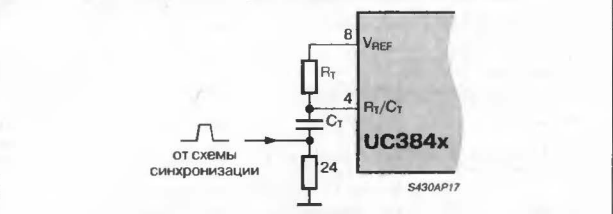
зывается выбросами выходного напряжения (на выводе [6]), порождаемыми нестабильностями внутри микросхемы, ниже уровня земли. Это особенно важно при работе с МОП-транзисторами. Шунтирование диодами Шоттки вывода [6] на землю предотвращает попадание такого шума на генератор. Если эти меры не помогают решить проблему, генератор может быть всегда синхронизирован внешней тактовой частотой. Формы сигналов на выводе  $R_T/C_T$  при использовании схемы на **Рис. 32** показаны на **Рис. 22б**. Здесь генератор имеет намного больший иммунитет к шуму, потому что пилообразное напряжение никогда близко не приближается к пороговому значению.

СИНХРОНИЗАЦИЯ

В самом простом методе вынужденной синхронизации частотоустанавливающий конденсатор ( $C_T$ ) используется в конфигурации, близкой к стандартной. Для ускорения разряда  $C_T$  последовательно с  $C_T$  к земле подключается небольшой резистор. Этот резистор служит входом для синхроимпульсов, которые поднимают напряжение на  $C_T$  выше верхнего порога генератора. ШИМ-контроллеру позволяет работать на частоте, определяемой  $R_T$  и  $C_T$ , до тех пор, пока не появится синхроимпульс. Эта схема имеет несколько преимуществ, включая наличие местного пилообразного напряжения, доступного для компенсации. Генератор UC384x нужно установить на более низкую частоту, чем частота синхроимпульсов, типовая разница частот равна 20% при импульсах амплитудой 0.5 В, приложенных к резистору.

Микросхема UC3842 также может быть синхронизирована внешней тактовой частотой через вывод  $R_T/C_T$  (вывод [4]), как показано на **Рис. 23**.

Рис. 23. Способ реализации синхронизации



При нормальной работе частотоустанавливающий конденсатор ( $C_T$ ) заряжается между двумя пределами: верхним и нижним пороговыми напряжениями компаратора. Как только  $C_T$  начинает свой зарядный цикл, выход ШИМ-контроллера переходит во включенное состояние. Частотоустанавливающий конденсатор продолжает заряжаться, пока напряжение на нем не достигнет верхнего порогового напряжения компаратора. После этого активизируется

Рис. 24. Синхронизация внешней тактовой частотой

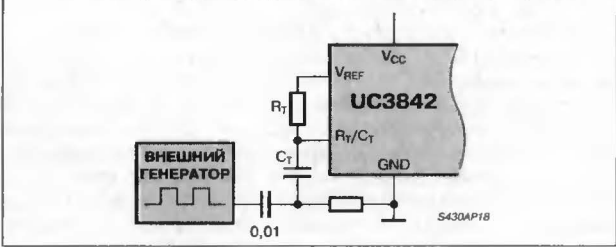
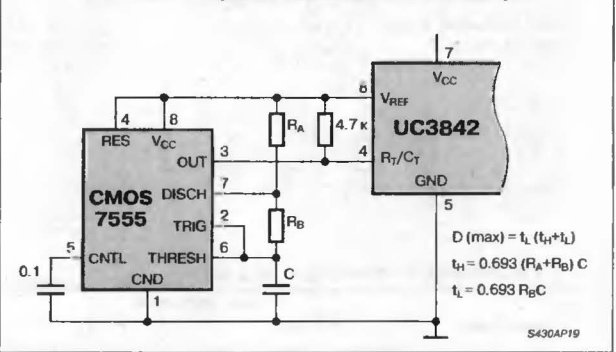


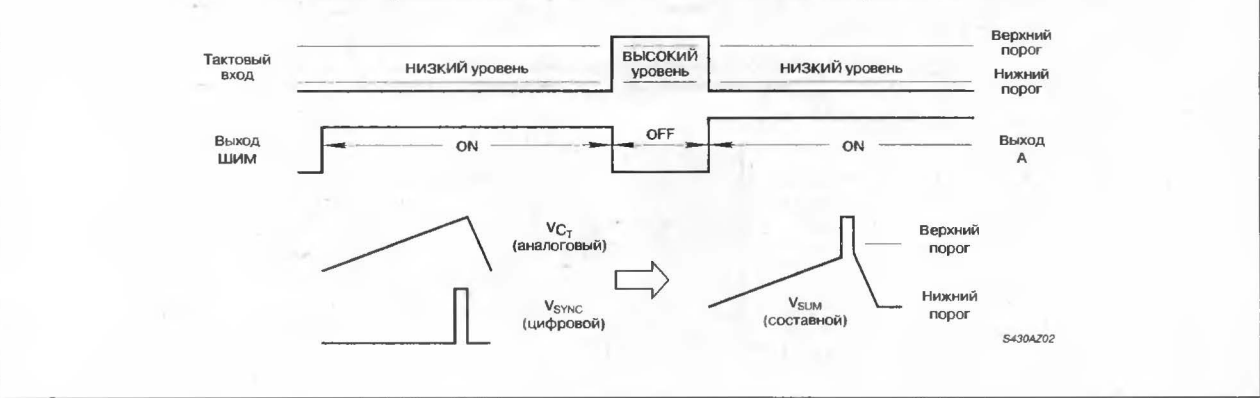
схема разрядки и разряжает  $C_T$  до тех пор, пока не будет достигнуто нижнее пороговое напряжение. В течение этого времени разрядки выход ШИМ-контроллера находится в выключенном состоянии, образуя, таким образом, "мертвое" время выхода.

Рис. 25. Синхронизация с помощью таймера



Цифровое представление состояний заряда/разряда генератора можно использовать для синхронизации вывода  $R_T/C_T$  (См. **Рис. 26**). В случаях, подобных этому, когда не имеется в наличии специального порта синхронизации, частотоустанавливающую схему можно запустить от цифрового логического элемента скорее, чем обычным аналоговым сигналом. Время включения, "мертвое" время, рабочий цикл и рабочая частота могут быть переданы в цифровом виде на вход микросхемы. НИЗКИЙ логический уровень на входе определяет максимальное время включения ШИМ-контроллера. Наоборот, ВЫСОКИЙ логический уровень на входе определяет время выключения или "мертвое" время. Критичные параметры частоты, рабочего цикла или "мертвого" времени могут быть точно смоделированы чем-нибудь вроде 555 таймера или сложного микропроцессора, управляемого по программе (см. **Рис. 25**).

Рис. 26. Временные соотношения сигналов внешней синхронизации



ГЕНЕРАТОР СИНХРОНИЗИРУЮЩИХ ИМПУЛЬСОВ

Генератор микросхемы UC384х может производить синхрои́мпульсы с использованием небольшого количества внешних компонентов. Эта простая схема, показанная на Рис. 27, включается спадающим фронтом сигнала на выводе  $C_T$  и производит синхрои́мпульсы, требуемые для предварительного упомянутой синхронизации. Переключаясь в течении "мертвого" времени ведущего устройства, эта схема может работать на частоте несколько сотен килогерц с минимумом задержек между ведущим и ведомым приборами. Осциллограммы сигналов, представляющих интерес, показаны на Рис. 7 и 8.

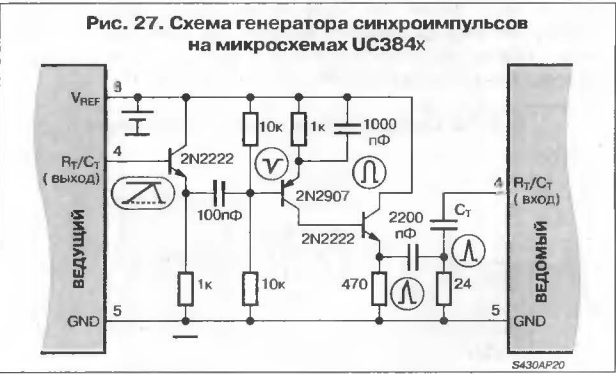


Табл. 1. Рекомендации по применению микросхем

Схемотехника	Входное напряжение	
	Высокое (сетевые источники питания)	Низкое (DC/DC-преобразователи)
Обратноходовая	UC3844	UC3845
Прямоходовая	UC3844/2	UC3845/3
Повышающая/Понижающая	UC3842/4	UC3843/5

ЗАМЕЧАНИЯ ПО ПРИМЕНЕНИЮ

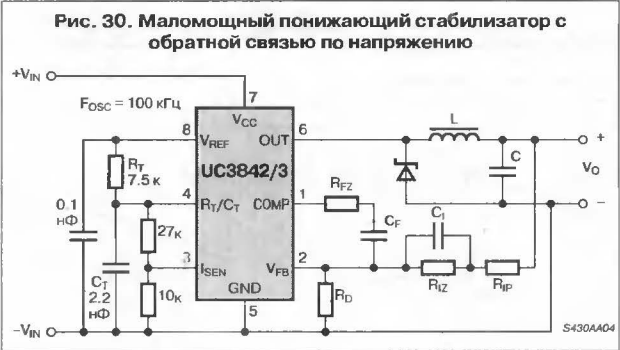
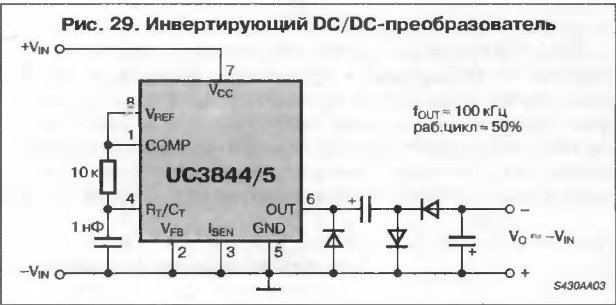
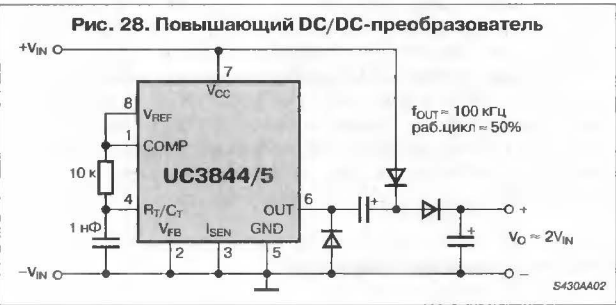
На Рис. 28...30 показаны схемы повышающего, понижающего и инвертирующего маломощных преобразователей **постоянный ток-постоянный ток**, работающих с перекачкой заряда. На Рис. 31 показана схема обратногоходового сетевого стабилизатора с выходной мощностью 25 Вт, построенного на микросхеме UC3844. Этот стабилизатор имеет невысокую стоимость, потому что в нем используются только два намоточных изделия, обратная связь, отслеживающая возмущающие воздействия входного напряжения, и недорогая схема управления. Характеристики ИВП, показанного на Рис. 31, приведены ниже:

- Входное напряжение сети ..... 95...130 В (50/60 Гц)
- Пробивное напряжение изоляции от сети ..... 3750 В
- Частота переключения ..... 40 кГц
- КПД при полной нагрузке ..... 70%
- Выходное напряжение:
  - при токе 1...4 А, пульсации 50 мВ (р-р) ..... +5 В ±5%
  - при токе 0.1...0.3 А, пульсации 100 мВ (р-р) ..... +12 В ±3%
  - при токе 0.1...0.3 А, пульсации 100 мВ (р-р) ..... -12 В ±3%

На Рис. 32 показана схема двухтактного DC/DC-преобразователя, рассчитанного на мощность 500 Вт и построенного на микросхемах UC3842, UC3706, и UC3901. Она работает от стандартной шины питания, принятой в телекоммуникационной технике, и производит на выходе напряжение 5 В при токе до 100 А. Характеристики ИВП, показанного на Рис. 32 приведены ниже:

- Входное напряжение ..... -48 В ±8 В
- Выходное напряжение ..... +5 В
- Выходной ток ..... 25...100 А
- Частота переключения ..... 200 кГц
- Нестабильность по напряжению ..... 0.1%
- Нестабильность по току нагрузки ..... 1%
- КПД при  $V_{IN} = 48 В$ :
  - для  $I_O = 25 А$  ..... 75%
  - для  $I_O = 50 А$  ..... 80%
- Выходное напряжение пульсаций ..... 200 мВ (р-р).

СХЕМЫ ПРИМЕНЕНИЯ





[illegible]

② 5-вольтовый дросель: сердечник Ferroxcube 204T250-3C8 (тороидальный), N = 4.

# МОЩНЫЙ ШИМ-КОНТРОЛЛЕР 1033ЕУ9

Аналог  
PWR-SMP210



Товарные знаки  
фирм изготовителей



## ОСОБЕННОСТИ

- Встроенный мощный МОП-транзистор
- Встроенный предстабилизатор для питания во время запуска
- Входное напряжение ..... 36...400 В (DC)
- Выходная мощность ..... до 10 Вт
- Рабочее напряжение переменного тока ..... 85...265 В (AC)

## ТИПОНОМИНАЛЫ

KP1033ЕУ9

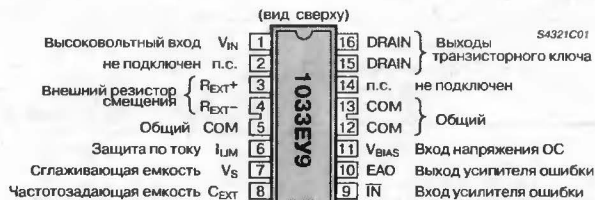
## ОБЩЕЕ ОПИСАНИЕ

Микросхема 1033ЕУ9 предназначена для построения компактных сетевых импульсных источников питания с трансформаторной развязкой выходного напряжения от напряжения сети. Прибор содержит предварительный стабилизатор на мощном МОП-транзисторе, собственно ШИМ-контроллер и мощный переключающий МОП-транзистор для непосредственного управления током первичной обмотки трансформатора.

Микросхема упаковывается в пластмассовый корпус DIP-16 со двоянными выводами для улучшения теплоотвода.

## ЦОКОЛЕВКА КОРПУСОВ

Пластмассовый корпус типа DIP-16



## СТРУКТУРНАЯ СХЕМА

Не имеет отличий от структурной схемы PWR-SMP210, См. стр. 115.

## СХЕМА ВКЛЮЧЕНИЯ

Не имеет отличий от схемы включения PWR-SMP210, См. стр. 120.

### ОСОБЕННОСТИ

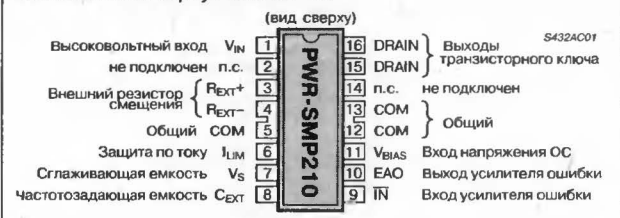
- Встроенный ШИМ-контроллер с обратной связью по напряжению
- Встроенный мощный МОП-ключ
- Диапазон входных напряжений ..... 36...400 В (DC)
- Минимальное число внешних компонентов
- Встроенная схема защиты
- Ограничение тока в каждом импульсе
- Выходная мощность:  
при работе от напряжения 220 В ..... до 10 Вт  
при работе от универсального сетевого входа (85...265 В) ..... до 5 Вт
- Блокировка при понижении входного напряжения
- Встроенная тепловая защита

### ТИПОНОМИНАЛЫ

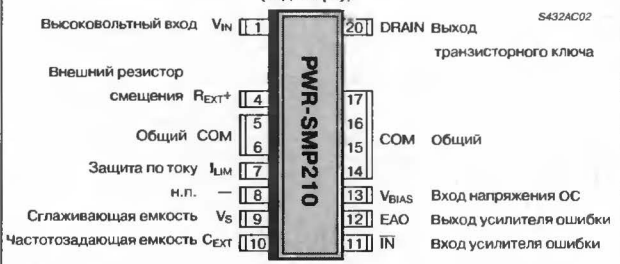
Типономинал	Корпус	Температурный диапазон
PWR-SMP210BNC	DIP-16	0...70°C
PWR-SMP210BNI	DIP-16	-40...85°C
PWR-SMP210SRI	SOIC-20	-40...85°C

### ЦОКОЛЕВКА КОРПУСОВ

#### Пластмассовый корпус типа DIP-16



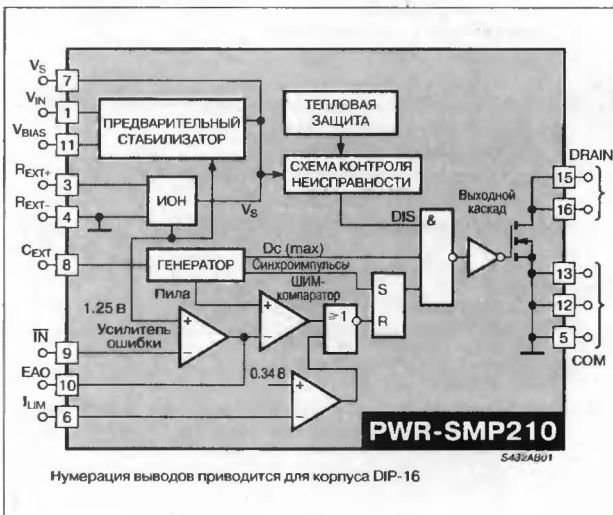
#### Пластмассовый корпус типа SOIC-20



### ОБЩЕЕ ОПИСАНИЕ

Микросхема PWR-SMP210 предназначена для построения изолированных источников питания, работающих от напряжения 220 В (или от универсального сетевого входа 85...265 В), и объединяет в одной интегральной схеме высоковольтный МОП-ключ и ШИМ-контроллер. Чтобы изготовить дешевый изолированный мощный источник питания требуются всего несколько внешних компонентов. Высокая рабочая частота уменьшает общий размер источника питания. Особенности встроенного мощного МОП-ключа являются: высокое рабочее напряжение, низкое сопротивление канала в открытом состоянии, низкая емкость и низкое пороговое напряжение. Комбинация низкой емкости и низкого порогового напряжения приводит к десятикратному снижению мощности в каскаде формирователя. Более низкие емкости также облегчают работу на более высокой частоте. Управляющая часть PWR-SMP210 содержит все необходимые блоки для формирования и управления мощным каскадом: встроенный предварительный стабилизатор, генератор, источник опорного напряжения, усилитель сигнала ошибки, формирователь и схему защиты. Эта схема ШИМ-управления с обратной связью по напряжению оптимизирована для обратногоходовой схемотехники, но может также использоваться с другой схемотехникой. Прибор PWR-SMP210 выполняется в пластмассовом корпусе типа DIP-16 со сдвоенными выводами для дополнительного теплоотвода или в корпусе SOIC-20 с расширенными выводами для дополнительного теплоотвода.

### СТРУКТУРНАЯ СХЕМА



## ОПИСАНИЕ ВЫВОДОВ

Номера выводов в круглых скобках — для корпуса SOIC-20

Номер вывода	Функция
1 (1)	Для подключения высокого напряжения $V_{IN}$ к предварительному стабилизатору напряжения, используемому для питания устройства в момент включения.
2	Не подключен для предотвращения утечки по поверхности между соседними рабочими выводами.
3 (4)	Резистор, помещенный между $R_{EXT+}$ и $R_{EXT-}$ , устанавливает внутренние токи смещения.
4 (5, 6)	Вывод $R_{EXT-}$ служит для возврата опорного тока. Не соединять с землей.
5, 12, 13 (14, 15, 16, 17)	Вывод COM — это общий вывод. Точка подключения земли или опорного напряжения.
6 (7)	Внешний резистивный делитель, подключенный к выводу $I_{LIMIT}$ , обеспечивает защиту выхода МОП-ключа от чрезмерно большого тока.
7 (9)	Для подключения фильтрующего конденсатора к напряжению внутреннего источника питания $V_S$ .
8 (10)	Вывод $C_{EXT}$ используется для установки частоты генератора. Подключение внешней емкости понижает частоту ШИМ.
9 (11)	Является инвертирующим входом усилителя ошибки для подключения внешней обратной связи и компенсирующих цепей.
10 (12)	Вывод EAO — это выход усилителя ошибки для подсоединения к внешней компенсирующей цепи.
11 (13)	Вывод $V_{BIAS}$ — это выход напряжения, которое используется для создания смещений в момент запуска.
14	Не подключен для предотвращения утечки по поверхности между соседними рабочими выводами.
15, 16 (20)	Открытый сток выхода МОП-транзистора. Эти выводы нужно обязательно соединить между собой.

МАКСИМАЛЬНЫЕ ЗНАЧЕНИЯ ПАРАМЕТРОВ И РЕЖИМОВ<sup>1</sup>

Напряжение стока	800 В
Напряжение $V_{IN}$	500 В
Напряжение $V_{BIAS}$	11 В
Ток стока <sup>2</sup>	800 мА
Входное напряжение <sup>3</sup>	-0.3...(V <sub>S</sub> + 0.3) В
Диапазон температур хранения	-65...+125°C
Диапазон температур окружающей среды:	
для приборов с суффиксом С	0...+70°C
для приборов с суффиксом I	-40...+85°C
Температура кристалла <sup>3</sup>	150°C
Температура выводов <sup>4</sup> (пайка 5 с)	260°C
Рассеиваемая мощность:	
для приборов с суффиксом BN:	
при T <sub>A</sub> = 25°C	2.1 Вт
при T <sub>A</sub> = 70°C	1.05 Вт
для приборов с суффиксом SR:	
при T <sub>A</sub> = 25°C	3.0 Вт
при T <sub>A</sub> = 70°C	1.5 Вт
Тепловое сопротивление кристалл-окружающая среда ( $\theta_{JA}$ ):	
для приборов с суффиксом BN	0...+70°C
для приборов с суффиксом SR	-40...+85°C
Тепловое сопротивление кристалл-корпус ( $\theta_{JC}$ ):	
для приборов с суффиксом BN	0...+70°C
для приборов с суффиксом SR	-40...+85°C

## Примечания:

1. Все напряжения указаны относительно вывода COM.
2. Прикладывается не к выводам  $V_{IN}$  или DRAIN.
3. Обычно ограничивается внутривыводной схемой.
4. На расстоянии 1/16" (1.59 мм) от корпуса.
5. Измерено на выводах [12], [13].

ЭЛЕКТРИЧЕСКИЕ ПАРАМЕТРЫ

При  $V_{IN} = 325\text{ В}$ ,  $V_{BIAS} = 8.6\text{ В}$ ,  $SOM = 0\text{ В}$ ,  $R_{EXT} = 20.5\text{ кОм}$ , в полном рабочем диапазоне  $T_A$  (Прим. 1), если не указано иначе

Символ	Параметр	Условия	Значение			Единица измерения	
			не менее	типовое	не более		
ГЕНЕРАТОР							
$f_{OSC}$	Выходная частота	$C_{EXT}$ = свободен	650	800	950	кГц	
ШИРОТНО ИМПУЛЬСНЫЙ МОДУЛЯТОР							
Dc	Рабочий цикл	$C_{EXT}$ = свободен	0...35	0...39	—	%	
		$f_{OSC}$ = 200 кГц	0...48	0...50	—	%	
СХЕМЫ ЗАЩИТЫ ИМС							
$t_{OFF}$	Пороговое напряжение токового ограничителя	См. Прим. 2	0	—	1	В	
	Уровень отключения в схеме защиты при понижении входного напряжения		0.31	0.34	0.37	В	
	Задержка отключения при входном напряжении за пределами допустимого диапазона	См. Рис. 15, 16	—	250	500	нс	
	Температура отключения по перегреву		115	135	—	°C	
	Гистерезис в схеме отключения по перегреву		—	45	—	°C	
УСИЛИТЕЛЬ СИГНАЛА ОШИБКИ							
$A_{VOL}$	Пороговое напряжение		1.21	1.25	1.29	В	
	ТК порогового напряжения		—	50	—	млн <sup>-1</sup> /°C	
	Произведение коэффициента усиления на ширину полосы пропускания		—	500	—	кГц	
$Z_{OUT}$	Кoeffициент усиления по напряжению		60	80	—	дБ	
	Выходной импеданс		—	1.5	—	кОм	
ВЫХОД							
$R_{DS(ON)}$	Сопротивление в состоянии "Включено"	$I_D$ = 100 мА	$T_J$ = 25°C	—	20	35	Ом
$R_{DS(ON)}$	Сопротивление в состоянии "Включено"		$T_J$ = 115°C	—	32	42	Ом
$I_{D(ON)}$	Ток в состоянии "Включено"	$V_{DS}$ = 10 В		200	380	—	мА
$I_{DSS}$	Ток в состоянии "Выключено"	$V_{DRAIN}$ = 96 В, $T_A$ = 115 °C		—	10	50	мкА
$BV_{DSS}$	Пробивное напряжение	$I_D$ = 100 мкА, $T_A$ = 25 °C		800	900	—	В
$C_{OSS}$	Выходная емкость	$V_{DRAIN}$ = 25 В, $f$ = 1 МГц		—	70	—	пФ
$E_{OSS}$	Энергия, запасанная на выходе	$V_{DRAIN}$ = 400 В		—	1000	—	нДж
$t_R$	Временной интервал подъема (длительность фронта)	См. Рис. 15, 16		—	70	150	нс
$t_F$	Временной интервал спада (длительность заднего фронта)	См. Рис. 15, 16		—	70	150	нс
ПИТАНИЕ							
$V_{IN}$	Напряжение предварительного стабилизатора			36	—	500	В
$V_{BIAS(CO)}$	Напряжение отключения предварительного стабилизатора			6.5	—	8.25	В
$I_{IN}$	Ток питания предварительного стабилизатора в отключенном состоянии	$V_{BIAS}$ не подключен, $C_{EXT}$ = свободен	C-суффикс	—	3	4.5	мА
			I-суффикс	—	3	5.0	мА
		$V_{BIAS} > 8.25$ В		—	—	0.1	мА
$V_{BIAS}$	Напряжение питания $V_{BIAS}$	$V_{BIAS}$ подается по внешней цепи ОС		8.25	—	9.0	В
$I_{BIAS}$	Ток питания $V_{BIAS}$	$V_{BIAS}$ подается по внешней цепи ОС	C-суффикс	—	3	4.5	мА
			I-суффикс	—	3	5.0	мА
$V_S$	Напряжение источника $V_S$			5.1	—	6.0	В
$I_S$	Ток источника $V_S$			—	—	400	мкА

- Примечания:
1. Эти спецификации имеют только одно ограничение применения по полному температурному диапазону для версий с суффиксом С (0...70°C), и суффиксом I (−40...85°C). Во всех других случаях температурный диапазон указывается особо.
  2. Прикладывание напряжения > 3.5 В к выводу  $I_{LIMIT}$  заставляет внутреннюю схему удерживать выходной ключ непрерывно включенным, если выход микросхемы PWR-SMP210 при этом подсоединен к высокому напряжению источника питания, может произойти частичное разрушение схемы.



## ТИПОВЫЕ РАБОЧИЕ ХАРАКТЕРИСТИКИ

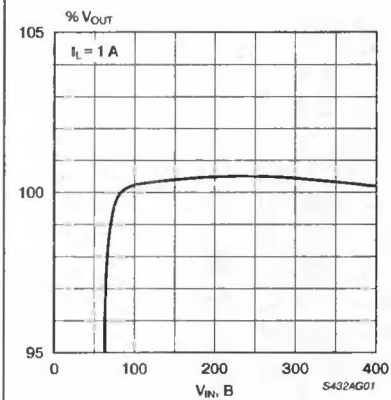
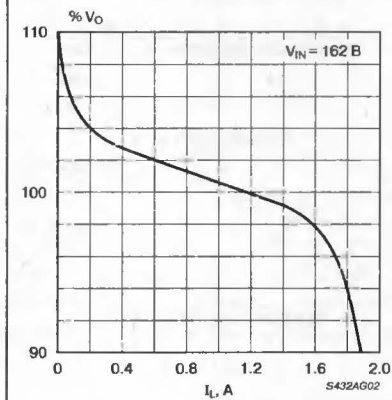
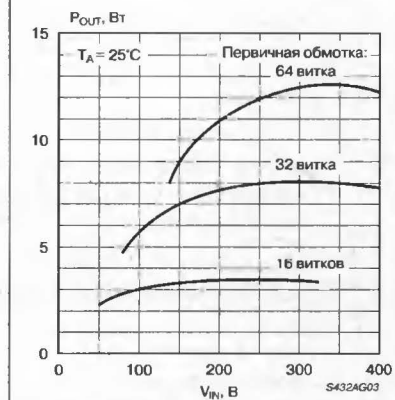
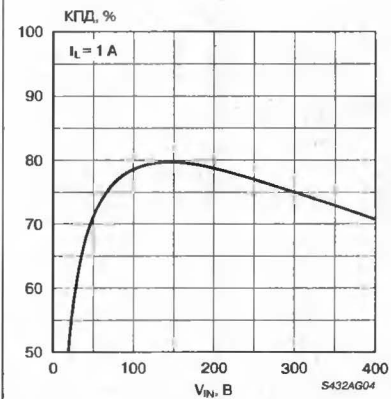
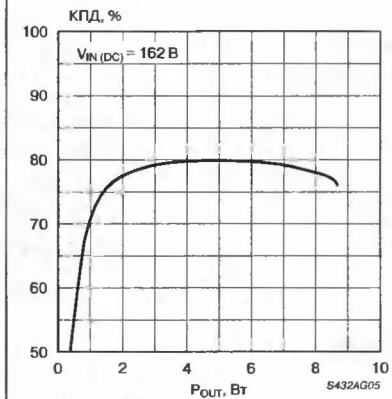
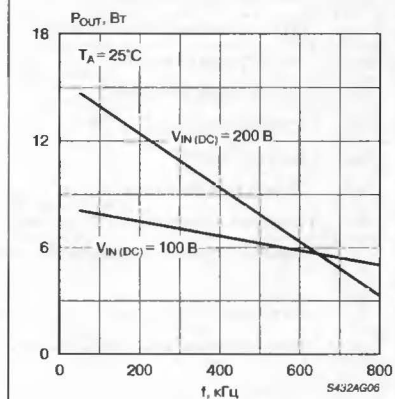
Рис. 1. Переходная характеристика  
(Для схемы на Рис. 18)Рис. 2. Нагрузочная характеристика  
(Для схемы на Рис. 18)Рис. 3. Максимальная выходная мощность  
(Для схемы на Рис. 18)Рис. 4. Зависимость КПД от величины входного напряжения  
(Для схемы на Рис. 18)Рис. 5. Зависимость КПД от величины выходной мощности  
(Для схемы на Рис. 18)Рис. 6. Зависимость выходной мощности от частоты  
(Для схемы на Рис. 18)

Рис. 7. Зависимость напряжения пробоя от температуры кристалла

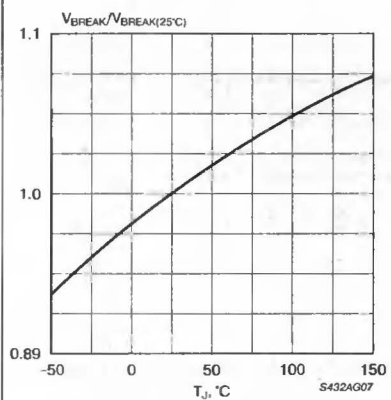


Рис. 8. Зависимость рабочей частоты от внешней емкости

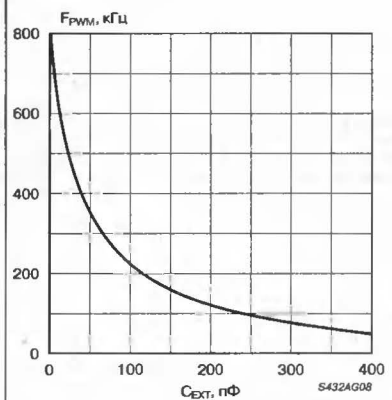
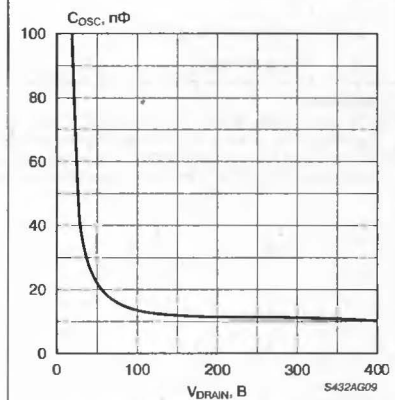


Рис. 9. Зависимость емкости стока от напряжения



ТИПОВЫЕ РАБОЧИЕ ХАРАКТЕРИСТИКИ (Продолжение)

Рис. 10. Зависимость заряда стока от напряжения

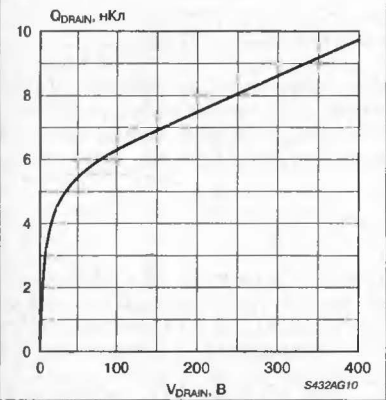


Рис. 11. Зависимость запасенной энергии от напряжения стока

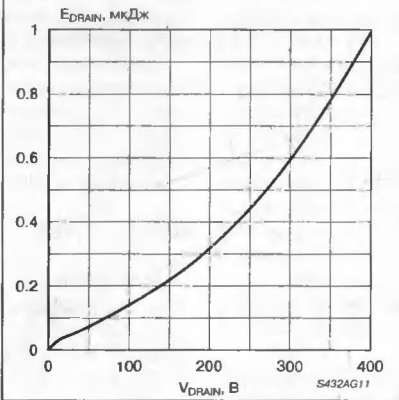


Рис. 12. Передаточные характеристики

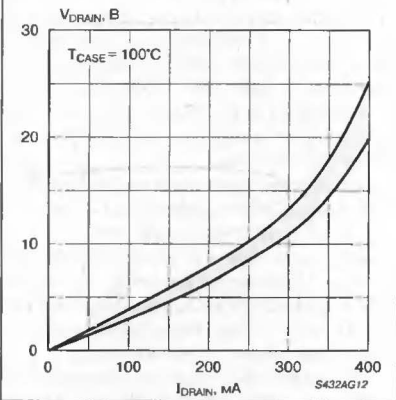


Рис. 13. Зависимость рассеиваемой мощности от температуры кристалла

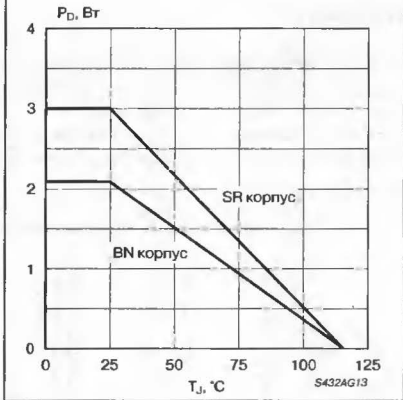
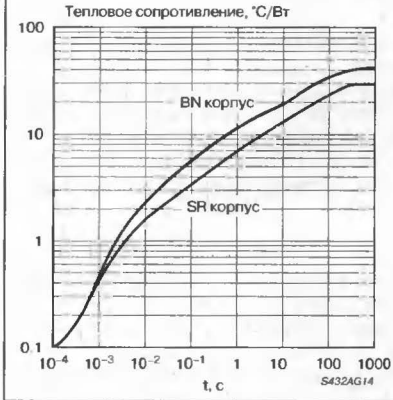


Рис. 14. Зависимость теплового сопротивления от времени



ВРЕМЕННЫЕ ХАРАКТЕРИСТИКИ

Рис. 15. Временные характеристики

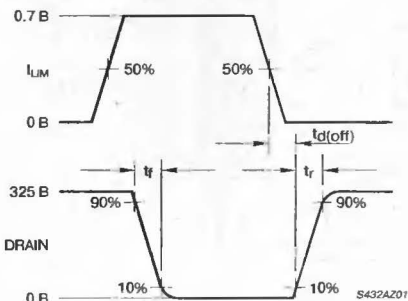
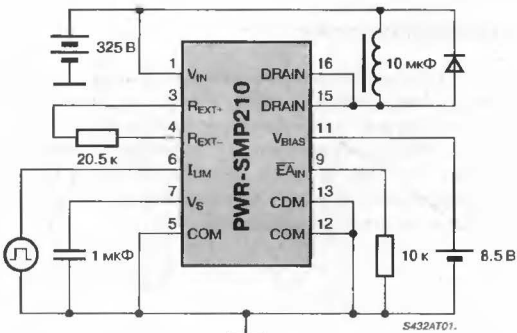


Рис. 16. Схема для снятия временных характеристик



Примечание: Длительность импульсов на входе  $I_{LIM}$  равна 10 мкс при рабочем цикле  $< 1\%$ .

## ФУНКЦИОНАЛЬНОЕ ОПИСАНИЕ

### ПРЕДВАРИТЕЛЬНЫЙ СТАБИЛИЗАТОР И ВНУТРЕННЕЕ НАПЯЖЕНИЕ ПИТАНИЯ

Предварительный стабилизатор обеспечивает ток смещения, необходимый ШИМ-контроллеру и схеме формирователя. Предварительный стабилизатор состоит из высоковольтного МОП-транзистора, источника тока смещения ( $V_{BIAS}$ ) и собственного усилителя ошибки. Этот усилитель ошибки обеспечивает величину внутреннего напряжения питания  $V_S$  на уровне приблизительно 5.6 В, управляя регулирующим МОП-транзистором предварительного стабилизатора.

При питании всей схемы от внутреннего источника тока смещения ( $V_{BIAS}$ ) МОП-транзистор предварительного стабилизатора рассеивает существенное количество мощности. Это рассеивание мощности уменьшается после того, как начинает работать обмотка обратной связи, и схема фильтра формирует напряжение более, чем 8.25 В на выводе  $V_{BIAS}$ . Тогда предварительный стабилизатор отключается, и смещение обеспечивается только цепью обратной связи, соединенной с выводом  $V_{BIAS}$ .

Напряжение  $V_S$  — это напряжение питания для схемы формирователя и контроллера. Внешний конденсатор, подключаемый к выводу  $V_S$ , требуется для фильтрации и понижения напряжения шумов. Включение внутренней схемы защиты от пропадания напряжения определяется величиной напряжения  $V_S$ . Схема защиты от пропадания напряжения включается всякий раз, когда напряжение  $V_S$  становится меньше 5 В.

### ИСТОЧНИК ОПОРНОГО НАПЯЖЕНИЯ

Напряжение  $V_{REF}$  — это опорное напряжение, равное 1.25 В и генерируемое температурно-компенсированным "bandgap" источником опорного напряжения. Это напряжение используется для установки порогов усилителя ошибки, схемы тепловой защиты и схемы защиты по току.

### ГЕНЕРАТОР

Генератор полностью независимый. Внутренний конденсатор периодически заряжается и разряжается переключаемыми источниками постоянного тока. Частота генератора может быть понижена подключением дополнительной емкости к выводу  $C_{EXT}$ .

Гистерезис ШИМ-компаратора устанавливается на этапе изготовления. Период колебаний генератора определяется величинами токов источников тока, от которых зависит крутизна фронтов и спадов пилообразного напряжения. Максимальный рабочий цикл равен отношению времени заряда конденсатора к периоду колебаний. Тактовый сигнал, а также сигналы блокировки с выхода компаратора подаются на модулятор.

### УСИЛИТЕЛЬ СИГНАЛА ОШИБКИ

Усилитель ошибки состоит из операционного усилителя, неинвертирующий вход которого подключен к внутреннему источнику опорного напряжения. Выход усилителя ошибки непосредственно определяет величину рабочего цикла управления мощным ключом. Чтобы внешняя нагрузка не влияла на выход усилителя ошибки, вывод ЕАО буферизован. Буфер имеет напряжение смещения около 2 В и выходное сопротивление около 1.5 кОм.

### ШИМ-МОДУЛЯТОР

ШИМ-модулятор с помощью обратной связи по напряжению генерирует цифровой сигнал формирователя для управления мощным ключом. Рабочий цикл сигнала формирователя будет изменяться как функция напряжения входа и нагрузки.

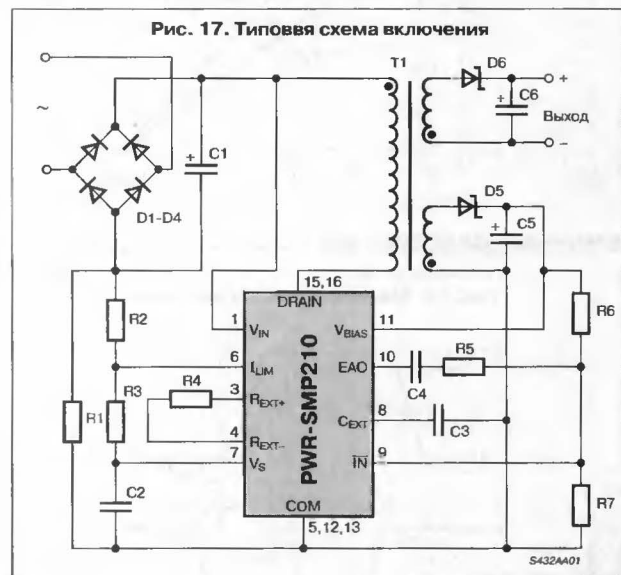
Увеличение рабочего цикла заставляет напряжение на выходе источника питания повышаться. Наоборот, уменьшение рабочего цикла заставляет напряжение на выходе понижаться. ШИМ-модулятор сравнивает напряжение управления (выход усилителя ошибки) с пилообразным напряжением генератора, чтобы получить требуемый рабочий цикл.

### ЗАЩИТА ПО ТОКУ

Когда напряжение на выводе  $I_{LIM}$  падает ниже установленного порога, мощный ключ закрывается. Ток стока создает падение напряжения на внешнем резисторе (R11). Это падение напряжения через делитель напряжения взаимодействует с напряжением  $V_S$  и делает сигнал на выводе  $I_{LIM}$  более положительным, чем установленный порог. Когда ток через резистор (R11) увеличивается, напряжение на выводе  $I_{LIM}$  будет уменьшаться. Если напряжение на выводе  $I_{LIM}$  удерживается ниже порога на время, более длительное, чем время задержки, то мощный ключ будет закрыт до тех пор, пока не начнется новый период тактовой частоты.

### ТЕПЛОВАЯ ЗАЩИТА

Тепловая защита обеспечивается прецизионной аналоговой схемой, которая закрывает мощный ключ, когда кристалл становится слишком горячим (типичная температура 135°C). Устройство будет автоматически сбрасываться и возвратится в исходное состояние, когда кристалл остынет до температуры ниже температуры срабатывания.



## ОПИСАНИЕ РАБОТЫ СХЕМЫ

Схема обратного источника питания, показанная на **Рис. 18**, с использованием стандартного трансформатора типа T1002 рассчитана на выходное напряжение 5 В и мощность 5 Вт и будет работать при напряжении сети от 85 до 265 В (rms). Выходное напряжение выбирается отношением витков выходной обмотки к виткам обмотки обратной связи. Микросхема PWR-SMP210 рассчитана на напряжение обратной связи 8,5 В (вывод [11]). Выходное напряжение может быть точно подстроено, если это необходимо, с помощью изменения количества диодов (D3) в цепи обмотки обратной связи. На регулирование величины выходного напряжения влияют три момента: поддержание постоянного напряжения обратной связи, величина связи между обмотками трансформатора и использование импульсного трансформатора с подавлением выбросов напряжения, обусловленных индуктивностью рассеивания.

Элементы L1, L2, L3, C7, C8, C9, C10 и C12 образуют EMI-фильтр. Элементы BR1 и C1 преобразовывают входное переменное напряжение в постоянное напряжение и обеспечивают его фильтрацию. Элементы D5, C6, и R10 формируют схему, подавляющую выбросы напряжения на стоке переключающего транзистора. Элементы C5 и R9 снижают величину выбросов, обусловленных индуктивностью рассеивания. Эта разгрузочная цепь улучшает регулирование выходного напряжения. Элементы R5 и R6 устанавливают величину напряжения обратной связи, равную 8,5 В. Элементы R4, R5, C14, C4 и T1 определяют АЧХ петли обратной связи. Резистор R3 необходим для установки внутренних источников микросхемы PWR-SMP210. Емкость C3 устанавливает рабочую частоту внутреннего генератора. Если к выводу [8] не подключена емкость, то частота внутреннего генератора будет приблизительно 850 кГц. Емкости C2 и C11 — это конденсаторы фильтра. Резисторы R2, R11 и R12 являются элементами схемы защиты по току. Они рассеивают максимальную мощность при работе схемы защиты во время короткого замыкания.

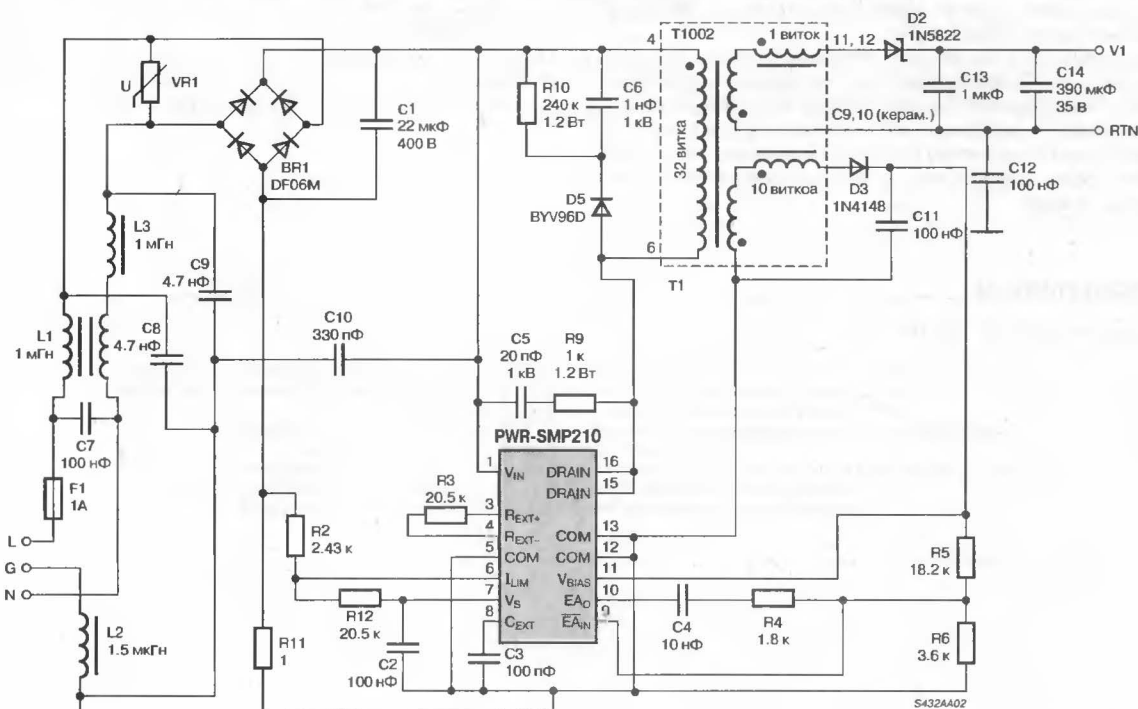
Для достижения полной выходной мощности и надежной работы микросхемы PWR-SMP210, оба вывода стока мощного ключа (вывод [15] и [16] DIP-корпуса) необходимо соединить вместе на печатной плате. Выводы [15] и [16] не соединяются в пределах корпуса микросхемы. Вторичная обмотка в схеме используется для контроля и регулировки выходного напряжения. Такая схемотехника может обеспечить регулирование и стабильность в пределах  $\pm 5\%$ . Если для конкретного применения требуется более точное регулирование, может быть использована обратная связь на оптроне.

Схема, показанная на **Рис. 18**, является принципиальной схемой отладочной платы PWR-EVAL5. Эту полностью собранную и проверенную плату можно заказать непосредственно у фирмы Power Integrations Inc. для отладки микросхем PWR-SMP210. В комплект входят полные спецификации, а также инструкции о том, как изменить выходное напряжение и частоту генератора.

Показанные на **Рис. 1...6** характеристики были измерены на плате PWR-EVAL5, работающей от источника постоянного тока. Измеренная частота переключения источника питания равна 250 кГц.

Кривые максимальной выходной мощности показывают способность отдачи мощности стандартного трансформатора T1002, выполненного с вдвое увеличенным и уменьшенным от нормального числом витков в первичной обмотке. Кривые зависимости выходной мощности от частоты характеризуют работу PWR-SMP210 на различных частотах. Для получения максимальной мощности в каждом случае использовались несколько различных трансформаторов, оптимизированных для каждой частоты. Кривые иллюстрируют выбор оптимального соотношения между потерями мощности при питании переменным и постоянным током в пределах устройства. Поскольку потери на переменном токе повышаются с частотой, потери на постоянном токе и выходная мощность должны быть уменьшены, чтобы сохранить ту же самую максимальную рассеиваемую мощность устройства.

**Рис. 18. Схема источника питания на 5 В, 5 Вт с использованием PWR-SMP210**



# СХЕМА УПРАВЛЕНИЯ ИМПУЛЬСНЫМ ИСТОЧНИКОМ ПИТАНИЯ 1080EY1

Аналоги:  
TDA8380



Товарные знаки  
фирм изготовителей



## ОСОБЕННОСТИ

- ♦ Двухуровневая система защиты от перегрузки по току
- ♦ Защита от низкого и высокого питающих напряжений за пределами допустимого рабочего диапазона
- ♦ Защита при коротком замыкании мощного ключа
- ♦ Защита от перенапряжений при холостом ходе
- ♦ Возможность плавного (или мягкого) запуска
- ♦ Работа на фиксированной частоте от 10 до 100 кГц с возможностью синхронизации
- ♦ Возможность реализации дистанционного включения и выключения
- ♦ Возможность коррекции работы источника по внешним цепям
- ♦ Возможность защиты по току первичной цепи
- ♦ Чувствительность к размагниченности сердечника трансформатора

## ОБЩЕЕ ОПИСАНИЕ

Микросхема 1080EY1 представляет собой схему управления импульсным источником питания бытовой радио и телевизионной аппаратуры. ИС управляет мощным МОП или биполярным транзисторами и выполняет все регулирующие и предохранительные функции, обеспечивающие надёжную работу импульсных источников питания с рабочими частотами от 10 до 100 кГц.

Микросхема предполагает многообразные варианты для реализации импульсных источников питания с различными возможностями. Существует возможность управления с помощью напряжения обратной связи, модулированного напряжением, пропорциональным току через мощный ключ. Возможна реализация безрелейного дежурного режима при дистанционном выключении импульсного источника питания.

## ЦОКОЛЕВКА КОРПУСОВ

Пластмассовый корпус типа DIP-16

Эмиттер прямого управляющего транзистора	1	16	Коллектор обратного управляющего транзистора
Коллектор прямого управляющего транзистора	2	15	Эмиттер обратного управляющего транзистора
Вход детектора размагниченности	3	14	Общий (Земля)
Вход управления низким уровнем напряжения отключения	4	13	Вход защиты от тока перегрузки
Напряжение питания	5	12	Вход плавного запуска
Подключение резистора установки основного источника тока	6	11	Вход внешней синхронизации
Вход считывания напряжения обратной связи	7	10	Вывод подключения ёмкости генератора
Выход стабилизации усилителя ошибки	8	9	Вход установки рабочего цикла

## ТИПОНОМИНАЛЫ

Типономинал	Корпус
KP1080EY1	DIP-16

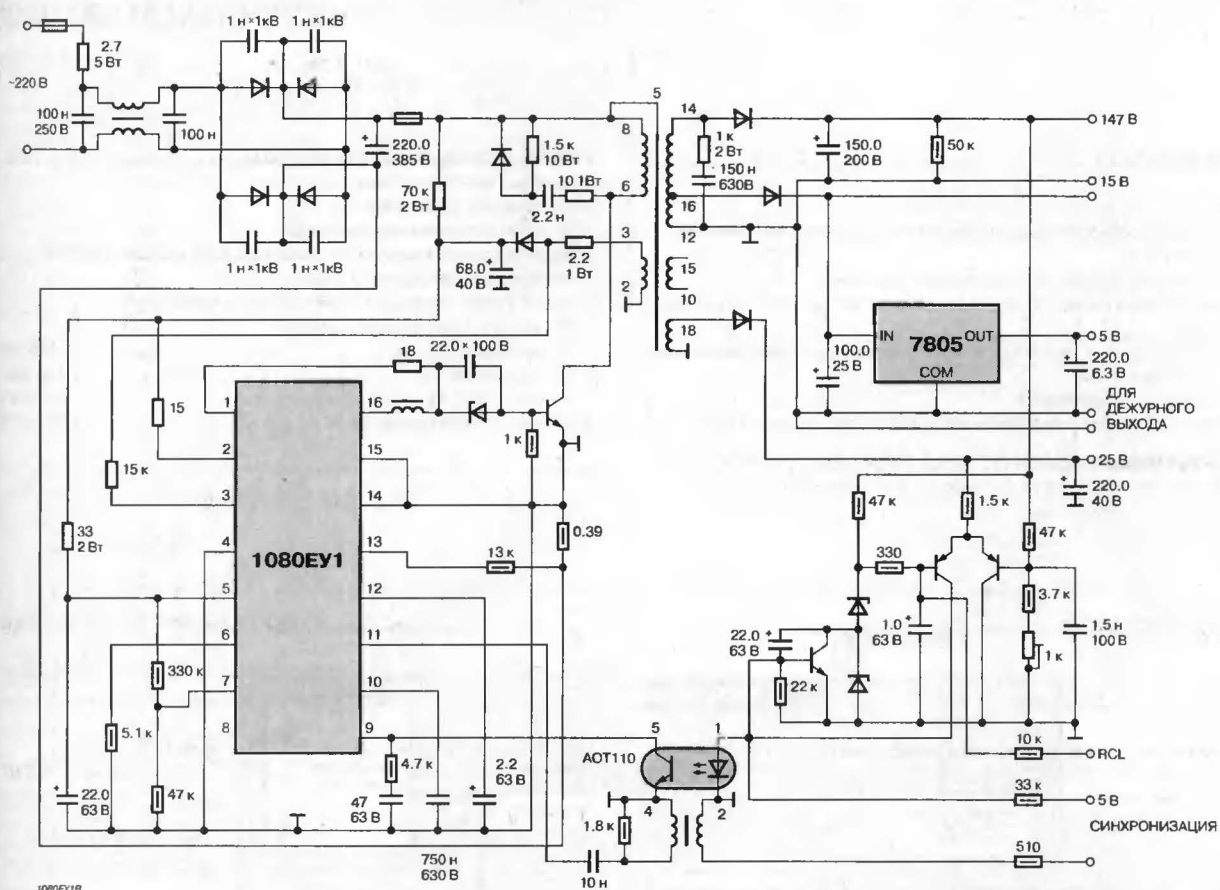
## СТРУКТУРНАЯ СХЕМА

Не имеет отличий от структурной схемы TDA8380 — см. стр. 124.

## ОСНОВНЫЕ ЭЛЕКТРИЧЕСКИЕ ПАРАМЕТРЫ

Напряжение питания	9...20 В
Напряжение первого уровня защиты по выводу [13]	0.19...0.21 В
Напряжение второго уровня защиты по выводу [13]	-0.01...+0.01 В
Порог усилителя ошибки при $V_{П} = 8.5...20 В$	2.4...2.6 В
Максимальный ток потребления:	
рабочий	15 мА
до выхода в рабочий режим	0.15 мА
Максимальный вытекающий выходной ток по выводу [1]	750 мА
Максимальный втекающий выходной ток по выводу [16]:	
пиковое значение	2500 мА
среднее значение	250 мА
Максимальный рабочий цикл	75...85%
Диапазон частот	10...100 кГц
Минимальная длительность импульса синхронизации	0.5 мкс







Philips Semiconductors

# TDA8380

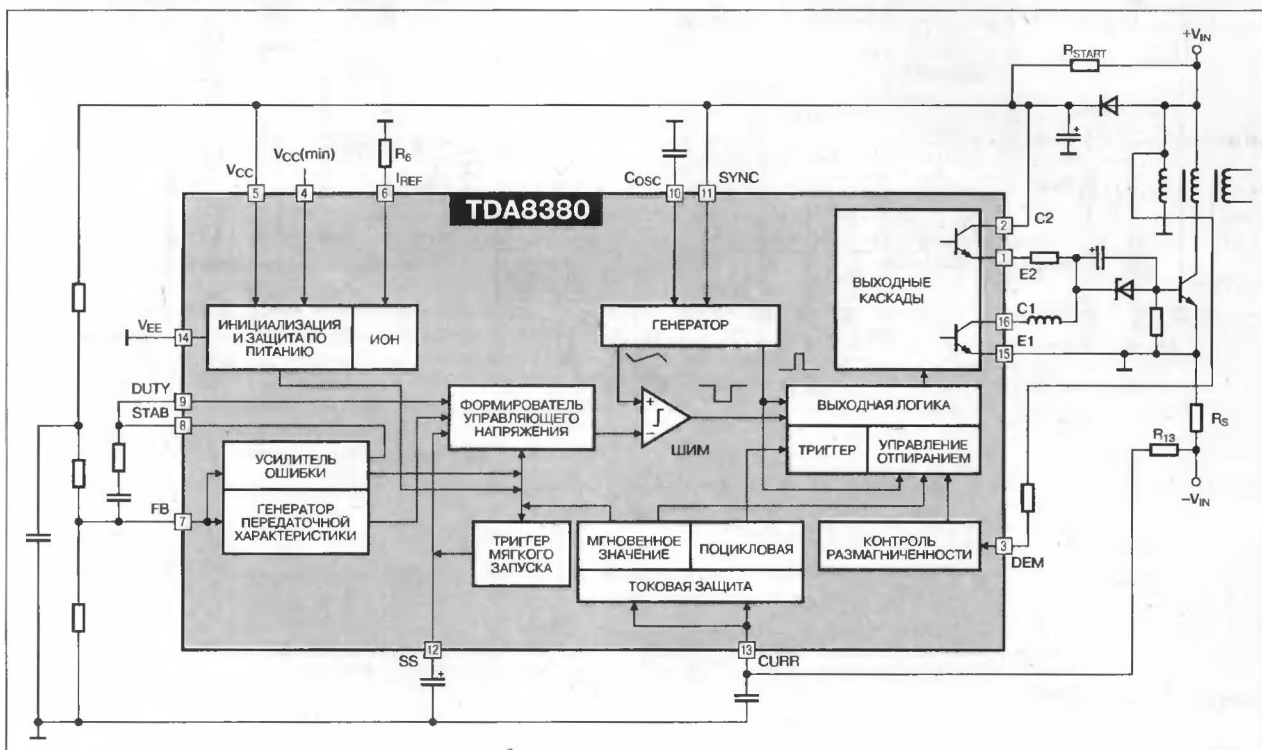
## СХЕМА УПРАВЛЕНИЯ ИМПУЛЬСНЫМ ИСТОЧНИКОМ ПИТАНИЯ

### ОСОБЕННОСТИ

- ◆ Схема инициализации с малым током (не более 150 мкА) и возможностью отключения
- ◆ Встроенный "bandgap" источник опорного напряжения
- ◆ Мягкий запуск в сочетании с точной установкой максимального рабочего цикла ( $D_{MAX}$ )
- ◆ Программируемая защита от пониженного напряжения с одним предустановленным значением
- ◆ Защита от перенапряжения
- ◆ Усилитель ошибки с генератором передаточной характеристики (ТГС)

- ◆ Защита от КЗ и обрыва петли обратной связи
- ◆ Защита от перегрузки по току
- ◆ Двухуровневое ограничение тока
- ◆ Защита от насыщения трансформатора
- ◆ Мощный выходной каскад (втекающий ток 2.5 А, вытекающий ток 0.75 А)
- ◆ Логика подавления сдвоенных импульсов
- ◆ Защита от разрушения при КЗ высоковольтного транзистора
- ◆ RC-генератор со входом синхронизации
- ◆ Напряжение питания,  $V_{CC}$  ..... 14 В (тип)
- ◆ Ток потребления,  $I_{CC}$  ..... 15 мА (max)
- ◆ Рабочая частота,  $f_0$  ..... 10...100 кГц
- ◆ Рабочий диапазон температур ..... -25...+70°C

### СТРУКТУРНАЯ СХЕМА И ТИПОВАЯ СХЕМА ВКЛЮЧЕНИЯ



### ЦОКОЛЕВКА КОРПУСОВ

Пластмассовый корпус типа DIP-16

Эмиттер выходного транзистора (втекающий ток)	E2	1	16	C1	Коллектор выходного транзистора (вытекающий ток)
Коллектор выходного транзистора (втекающий ток)	C2	2	15	E1	Эмиттер выходного транзистора (вытекающий ток)
Вход детектора размагниченности	DEM	3	14	VEE	Земля
Установка порогов минимального $V_{CC}$	$V_{CC}(min)$	4	13	CURR	Вход защиты от перегрузки по току
Плюс напряжения питания	$V_{CC}$	5	12	SS	Установка максимального коэффициента заполнения плюс мягкий запуск
Установка опорного тока	IREF	6	11	SYNC	Вход синхронизации
Вход обратной связи	FB	7	10	COSC	Конденсатор генератора
Усилитель выходной ошибки	STAB	8	9	DUTY	Вход широтно-импульсного модулятора

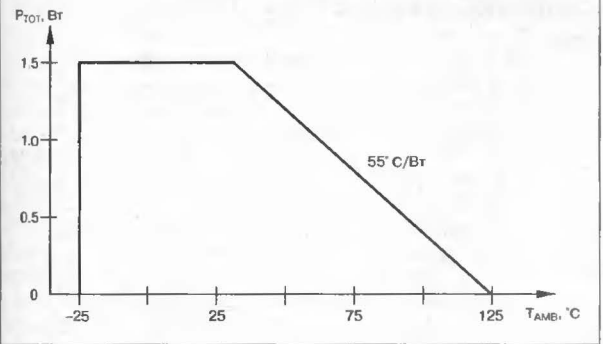
ОБЩЕЕ ОПИСАНИЕ

Микросхема TDA8380 предназначена для использования в качестве схемы управления недорогим импульсным источником питания телевизоров, мониторов и небольшого промышленного оборудования. В схеме используется управление рабочим циклом при фиксированной рабочей частоте.

ТИПОНОМИНАЛЫ

Прибор	Температура, °C	Корпус
TDA8380	-25...+70	DIP-16

Рис. 1. Зависимость предельно-допустимой рассеиваемой мощности от температуры среды



МАКСИМАЛЬНЫЕ ЗНАЧЕНИЯ ПАРАМЕТРОВ И РЕЖИМОВ

Параметр		Символ	Значение			Единица измерения
			не менее	типичное	не более	
Напряжение	выв. 5 (V <sub>CC</sub> )		-0.5	—	20	В
	выв. 1, 2, 4 и 16		-0.5	—	V <sub>CC</sub>	В
	выв. 3 и 13		-0.5	—	0.5	В
	выв. 7 и 9		-0.5	—	6.5	В
	выв. 11		0.6	—	V <sub>CC</sub>	В
Ток	выв. 5 (V <sub>CC</sub> )		0	—	20	мА
	выв. 1		-0.75	—	0	мА
	выв. 2		-0.75	—	0	мА
	выв. 3, 4, 6...8 и 10...12		-10	—	10	мА
	выв. 13		-200	—	10	мА
	выв. 15		-2.5	—	0	А
	выв. 16		0	—	2.5	А
	Общая рассеиваемая мощность		P <sub>TOT</sub>	См. Рис. 1		
Температура окружающей среды (при P <sub>TOT</sub> ≤ 1 Вт)		T <sub>AMB</sub>	-25	—	+70	°C
Температура хранения		T <sub>STG</sub>	-55	—	+150	°C
Тепловое сопротивление кристал-окр. среда		R <sub>THJA</sub> (max)	—	55	—	°C/Вт

ЭЛЕКТРИЧЕСКИЕ ХАРАКТЕРИСТИКИ

при V<sub>CC</sub> = 14 В, T<sub>A</sub> = 25°C, опорный резистор 5 кОм, если не оговорено иное

Параметр		Условия	Символ	Значение			Единица измерения
				не менее	типовое	не более	
ПИТАНИЕ							
Напряжение питания			$V_{CC}$	9	—	20	В
Уровень инициализации питания			$V_5$	15	17	18	В
Защита от повышенного напряжения			$V_5$	21	23	25	В
Фиксированный минимальный защитный уровень			$V_5$	7.9	8.4	8.9	В
Гистерезис			$dV_{CC}$	—	50	—	мВ
Ток потребления	рабочий		$I_{CC}$	—	—	15	мА
	до инициализации		$I_{CC}$	—	100	150	мкА
Опорный ток (выв. [4])		Прим. 1	$I_4$	$I_6/5.7$	$I_6/6$	$I_6/6.4$	мА
Установка порогового уровня $V_{CC}(\min)$			$V_5$	$3.6V_4$	$3.8V_4$	$4.2V_4$	В
Напряжение ограничителя		при 20 мА		21.5	23.5	25.5	В
ИОН							
Опорное напряжение			$V_{REF}$	2.4	2.5	2.6	В
Диапазон тока			$I_{REF}$	200	—	800	мкА
Изменение опорного напряжения от тока $I_6$		$I_6 = 200 \dots 800$ мкА	$dV_{REF}$	-20	—	+20	мВ
УСИЛИТЕЛЬ ОШИБКИ (УО)							
Пороговое напряжение		$V_{CC} = 8.5 \dots 20$ В	$V_T$	2.4	2.5	2.6	В
Входной ток			$I_T$	0	—	5	мкА
Втекающий выходной ток		при 1.2 В	$I_8$	1	—	—	мА
Вытекающий выходной ток		при 5.5 В	$I_8$	80	100	130	мкА
Коэффициент усиления			$A_0$	—	100	—	дБ
Полоса пропускания			$BW$	—	5	—	МГц
Входной ток DUTY (выв. [9])		Прим. 1	$I_9$	$I_6/5.7$	$I_6/6$	$I_6/6.3$	мА
Верхний порог защиты FB (выв. [7])			$V_T$	2.95	3.1	3.25	В
Температурный коэффициент порогового напряжения			$dV_T/dT$	—	100	—	$10^{-6}/K$

3

## ЭЛЕКТРИЧЕСКИЕ ХАРАКТЕРИСТИКИ (ПРОДОЛЖЕНИЕ)

Параметр		Условия	Символ	Значение			Единица измерения
				не менее	типичное	не более	
ФУНКЦИЯ TSG (Рис. 7)							
Передаточная характеристика			$dD/dV_1$	—	32	—	%/В
Минимальный коэффициент заполнения			$D_{MIN}$	—	12	—	%
Ширина плато			$V_1$	—	200	—	мВ
МЯГКИЙ ЗАПУСК							
Передаточная характеристика			$dD/dV_{12}$	—	23.8	—	%/В
Входной ток		Прим. 1	$I_{12}$	$I_6/5.7$	$I_6/6$	$I_6/6.3$	мА
Втекающий ток при неисправности		при 0.5 В	$I_{12}$	8	—	—	мА
Фиксированный максимальный коэффициент заполнения			$D_{MAX}$	75	80	85	%
Фиксированный ток		при 0.5 В	$I_{12}$	—	-2	—	мА
ВЫХОДНОЙ КАСКАД							
Транзистор втекающего тока	Падение напряжения по отношению к $V_{CC}$	при 0.75 А	$V_{CC} - V_1$	—	2	—	В
	Ток смещения	$V_{CC} - V_1 = 15$ В	$-I_1$	25	—	100	мкА
	Диапазон рабочего тока		$-I_1$	0	—	0.75	А
Транзистор втекающего тока (Рис. 10)	Напряжение насыщения	при 2.5 А	$V_{16} - V_{15}$	—	2	—	В
		при 1 А	$V_{16} - V_{15}$	—	1.5	—	В
		при 10 мА	$V_{16} - V_{15}$	—	0.3	—	В
	Ток утечки	$V_{16} - V_{15} = 20$ В	$I_{16}$	—	—	1	мкА
	Скорость спада	$dV_{16-15}$	$dV_{16-15}/dt$	—	0.2	—	В/нс
Диапазон рабочих токов	Пиковое значение		$I_{16}$	0	—	2.5	А
	Среднее значение		$I_{16}$	—	—	250	мА
ГЕНЕРАТОР							
Напряжение высокого уровня			$V_{10}$	—	5	—	В
Напряжение низкого уровня			$V_{10}$	—	1.4	—	В
Зарядный ток		Прим. 1	$I_{10}$	$I_6/5.7$	$I_6/6$	$I_6/6.3$	мА
Частотный диапазон			$f_0$	10	—	100	кГц
Частота		$R_6 = 5$ кОм, $C_{10} = 680$ пФ	$f_0$	27	28.3	30	кГц
Температурный коэффициент частоты			$df/dT$	—	100	—	$10^{-6}/K$
СИНХРОНИЗАЦИЯ							
Минимальная ширина синхрои́мпульса			$t_{11}$	—	—	0.5	мкс
Порог включения			$V_{11}$	0.7	0.85	0.9	В
Входной ток			$I_{11}$	2.5	5.0	7.5	мкА
Порог отключения			$V_{11}$	4.2	5.6	6.0	В
Входное напряжение		при -700 мкА	$V_{11}$	390	—	550	мВ
ВХОД ДЕТЕКТОРА РАЗМАГНИЧЕННОСТИ							
Напряжение на входе		при 0 А	$V_3$	—	690	—	мВ
Входной ток		при 0 В	$I_3$	-30	-40	-55	мкА
Токовый диапазон фиксирующих схем			$I_3$	-10	—	+10	мА
Положительный уровень фиксации		при 10 мА	$V_3$	—	950	—	мВ
Отрицательный уровень фиксации		при -10 мА	$V_3$	—	-800	—	мВ
ТОКОВАЯ ЗАЩИТА							
Входной ток		Прим. 1	$I_{13}$	$I_6/5.7$	$I_6/6$	$I_6/6.3$	мА
Первый порог			$V_{13}$	190	200	210	мВ
Второй порог			$V_{13}$	-10	0	10	мВ
Задержка переключения выхода от уровня 1		Импульс на выв. 13 от 300 мВ до 100 мВ; $I_0 = 500$ мА	—	—	350	—	нс
Задержка переключения выхода от уровня 2		Импульс на выв. 13 от 300 мВ до -200 мВ; $I_0 = 500$ мА	—	—	300	500	нс
Первый порог, включая $R_{13}$ (12 кОм)		$R_6 = 5$ кОм	—	—	-800	—	мВ
Порог определения обрыва вывода			$V_{13}$	—	3.5	—	В

## Примечание

1. Во всём диапазоне рабочего тока  $I_6$ : 200...800 мкА.

ФУНКЦИОНАЛЬНОЕ ОПИСАНИЕ

Микросхема TDA8380 представляет собой схему управления импульсным источником питания с внешним ключевым транзистором.

ПИТАНИЕ

Прибор предназначен для использования в первичной цепи (primary side) импульсного источника питания и может питаться от дополнительной обмотки трансформатора.

Для инициализации схемы используется высокоомный резистор, включённый между выпрямленным входным напряжением и выводом питания (выв. [5]), через него происходит медленный заряд подключённого к этому выводу конденсатора. Когда напряжение на конденсаторе превысит уровень инициализации (типичное значение 17 В), прибор запускается, при этом коэффициент заполнения постепенно увеличивается схемой мягкого запуска. Через короткий промежуток времени схема начинает питаться от дополнительной обмотки трансформатора. Значение резистора определяется требуемым временем заряда конденсатора. В большинстве случаев 1 с является вполне приемлемой задержкой между включением и запуском источника питания.

Напряжение питания должно составлять 9...20 В. Вывод питания защищён стабилитроном на 23 В. Схема защиты активируется, когда стабилитрон проводит ток. После инициализации начинается процедура мягкого запуска, при этом выход заблокирован. Ток потребления прибора в период инициализации не превышает 150 мкА.

Когда напряжение питания падает ниже минимального уровня, прибор отключается и повторяется процедура запуска. Порог минимального питающего напряжения ( $V_{CC(min)}$ ) может быть установлен в диапазоне от 8.4 В (предустановленное значение) до 17 В внешним резистором, включённым между выводом  $V_{CC(min)}$  (выв. [4]) и землёй (выв. [14]) (См. Рис. 2).

При выборе напряжения инициализации и минимального напряжения питания следует учесть следующее:

— разница между двумя напряжениями должна быть достаточно большой для компенсации снижения напряжения питания в процессе запуска;

— значение минимального напряжения питания должно быть достаточно большим, чтобы гарантировать корректное управление высоковольтным транзистором; высокий защитный уровень позволяет использовать резистор с большим сопротивлением последовательно с базой транзистора.

Для работы с батарейным питанием вывод  $V_{CC(min)}$  соединяется с  $V_{CC}$ , схема мягкого запуска блокируется, и прибор начинает работать, когда  $V_{CC}$  превышает защитный уровень 8.4 В (этот уровень имеет гистерезис величиной приблизительно 50 мВ). В этих условиях ток через прибор протекает постоянно.

БЛОК ИСТОЧНИКА ОПОРНОГО НАПЯЖЕНИЯ

Источник опорного напряжения (ИОН), построенный по принципу "bandgap", выдаёт стабильное напряжение 7 В для питания большинства внутренних схем, что позволяет уменьшить размер кристалла и увеличить его надёжность. Схемы, подключённые к  $V_{CC}$ :

- схема инициализации;
- выходные каскады;
- последовательный транзистор стабилизатора напряжения.

Резистор  $R_6$ , соединённый со входом  $I_{REF}$ , определяет величину опорного тока, который в свою очередь определяет шесть других приборных установок.

Часть опорного тока используется для заряда ёмкости генератора  $C_{10}$ , следовательно время заряда пропорционально  $R_6 \times C_{10}$ . Максимальный коэффициент заполнения  $D_{MAX}$  определяется отношением  $R_6/R_{12}$  и устанавливается резистором  $R_{12}$ , подключённым к выводу [12]. Минимальное напряжение питания (выв. [5]) устанавливается резистором  $R_4$  на входе  $V_{CC(min)}$  и определяется по формуле:

$$\frac{4}{6} \times V_6 \times \frac{R_4}{R_6}$$

ГЕНЕРАТОР

Конденсатор генератора заряжается и разряжается между нижним и верхним уровнями напряжения (типичное значение 1.4 В и 5 В), которые определяет ИОН. Ток заряда составляет 1/6 опорного тока, ток разряда равен опорному току. Период, следовательно, определяется выражением:  $10 \times R_6 \times C_{10}$ .

Пилообразное напряжение генератора преобразуется в бистабильный выходной сигнал, при этом ВЫСОКИЙ выходной уровень соответствует периоду нарастания напряжения на конденсаторе. Генератор может быть синхронизирован посредством вывода SYNC. Когда этот вывод подключён к  $V_{CC}$ , генератор находится в режиме свободной генерации. Если напряжение на выводе SYNC находится в пределах 0.85...5.6 В, генератор останавливается на уровне нижнего напряжения, прежде чем перейти к фазе нарастания напряжения.

3

Рис. 2. Установка минимального защитного уровня  $V_{CC}$

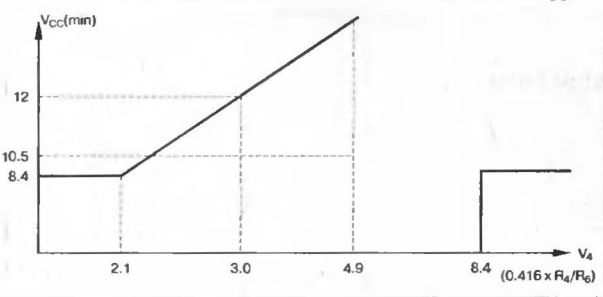
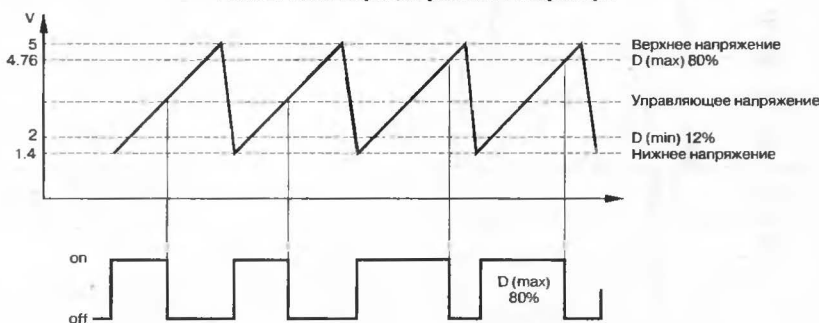


Рис. 3. Иллюстрация работы генератора





## СИНХРОНИЗАЦИЯ

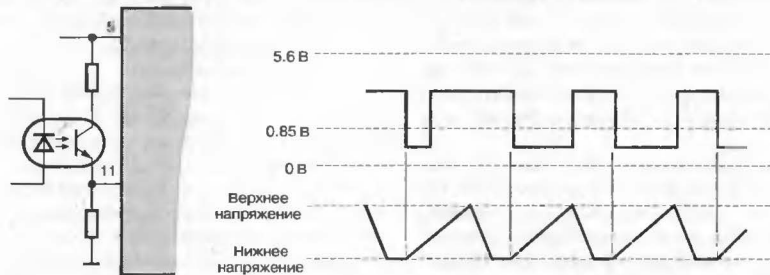
Вход синхронизации (выв. [11]) может управляться оптопарой или слабосвязанным импульсным трансформатором.

**Рис. 4а** иллюстрирует синхронизацию в условиях порога 0.85 В при подаче цифрового сигнала на вход SYNC (например, оптопара между выв. [11] и  $V_{CC}$ ); коэффициент заполнения импульса не очень важен. Генератор стартует с первым отрицательным фронтом синхросигнала после того, как достигнут нижний уровень напряжения. Частота синхронизации должна быть ниже частоты свободной генерации. Синхронизация не должна влиять на период, так как это нарушит установки максимального коэффициента заполнения.

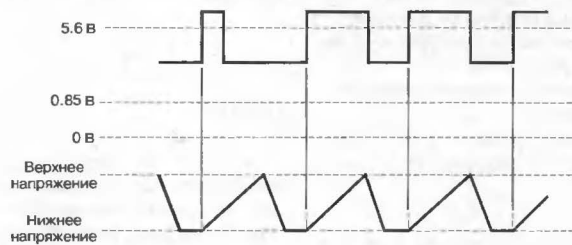
На **Рис. 4б** используется синхронизация с порогом запрета 5.6 В. В этом случае генератор стартует по положительному фронту импульса синхронизации.

**Рис. 5** иллюстрирует синхронизацию при использовании импульсного трансформатора. Внутренние схемы обеспечивают смещение по постоянному току, которое информирует прибор о наличии (выбросы относительно 0 В на выходе импульсного трансформатора) или отсутствии (0 В (DC) на выходе импульсного трансформатора) импульсов синхронизации. Когда синхронизация не используется, вывод SYNC должен быть соединён с  $V_{CC}$ , он не должен быть соединён непосредственно с землёй или оставлен открытым.

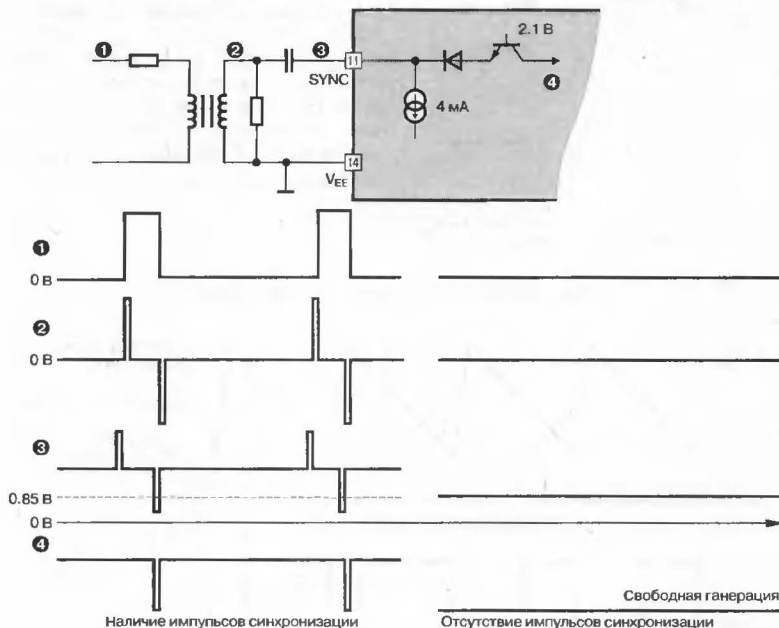
**Рис. 4а. Синхронизация при использовании оптопары и порогового уровня 0.85 В**



**Рис. 4б. Синхронизация при использовании оптопары и порогового уровня 5.6 В**



**Рис. 5. Синхронизация при использовании импульсного трансформатора**



УСИЛИТЕЛЬ ОШИБКИ

Усилитель ошибки сравнивает напряжение обратной связи (ОС) с опорным напряжением (2.5 В). Выход усилителя на выводе [8] допускает установку усиления. Усилитель стабилен при усилении свыше 20 дБ.

Выход усилителя ошибки не имеет внутренней связи с широтно-импульсным модулятором (ШИМ). Один вход ШИМ доступен как вывод DUTY через схему Формирователя Управляющего Напряжения (CSL — Control Slicing Level). Как правило, выводы STAB и DUTY соединены, но возможно также и прямое управление выводом [9] от вторичной цепи (secondary side) трансформатора через оптопару. Можно получить токовое управление смещением сигнала STAB с сигналом первичной цепи перед подачей его на вход DUTY.

Вход обратной связи FB (выв. [7]) используется как вход схемы Генератора Передаточной Характеристики (TCG — Transfer Characteristic Generator), которая обеспечивает заданный коэффициент заполнения при низких напряжениях на FB. На Рис. 6 коэффициент заполнения представлен как функция напряжений на входах FB, DUTY и SS. Определяющим является вход, который даёт наименьший коэффициент заполнения.

Левая кривая отражает процесс мягкого запуска (на выводе мягкого запуска, выв. [12]), когда коэффициент заполнения медленно линейно увеличивается по отношению к  $V_{12}$ . Правая кривая начинается при запуске. Напряжение FB медленно увеличивается от 0, при этом коэффициент заполнения увеличивается с 12% до максимального значения  $D_{MAX}$ . Через несколько сотен милливольт напряжение FB достигает начала кривой регулирования (приблизительно 2.5 В). Область плато между достижением  $D_{MAX}$  и началом кривой регулирования делают по возможности меньшей (типовое значение 200 мВ).

Благодаря характеристикам TCG и тому факту, что при открытом входе DB, на нём присутствует низкое напряжение, разомкнутая и коротко-замкнутая петля ОС приводит к низким коэффициентам заполнения. При использовании в усилителе ошибки обратной связи по постоянному току, при выборе значения резистора ОС следует учитывать нагрузочную способность усилителя ошибки.

Когда вход ШИМ (выв. [9]) управляется оптопарой, при подаче на вход FB грубого первичного напряжения можно использовать TCG. В этой ситуации разомкнутая петля ОС вызовет увеличение напряжения на FB, тогда как коэффициент заполнения достигает максимального значения. При превышении напряжением FB опорного уровня 0.7 В, включается мягкий запуск.

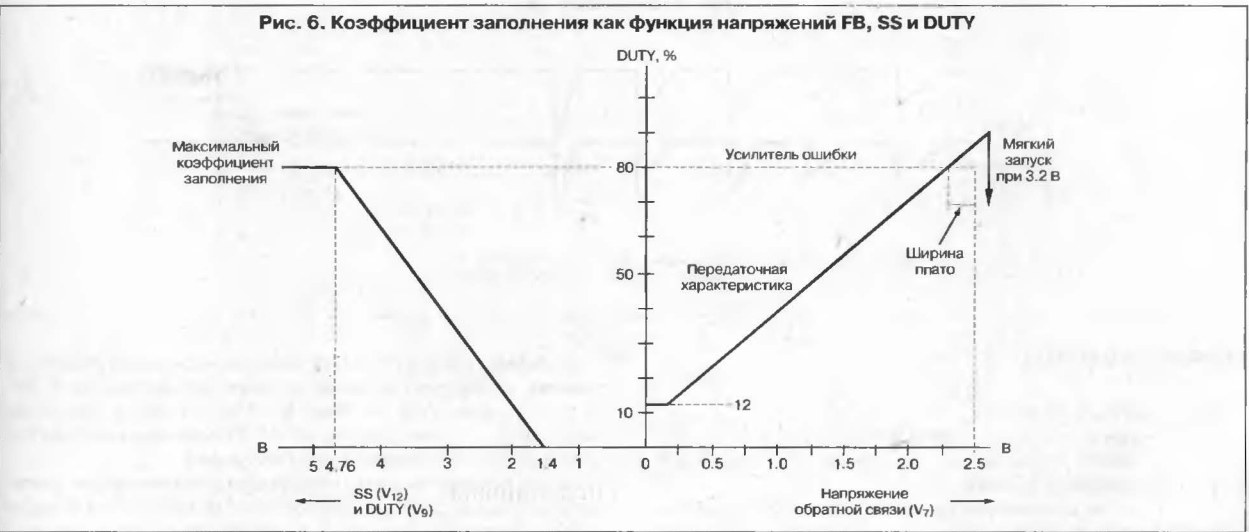


СХЕМА КОНТРОЛЯ РАЗМАГНИЧЕННОСТИ

Для того, чтобы источник питания работал в режиме прерывистого тока, имеется вход задержки включения высоковольтного транзистора до тех пор, пока ток трансформатора не упадет до нуля. Это эффективный путь избежать насыщения трансформатора.

Временные диаграммы на Рис. 7 иллюстрируют контроль размагниченности применительно к типовой схеме включения.

До тех пор, пока напряжение дополнительной обмотки (используемой также для питания) превышает 0.6 В ( $V_3$ ), переключение выхода блокируется.



## ЗАЩИТА ОТ ПЕРЕГРУЗКИ ПО ТОКУ

Схема защиты от перегрузки по току (выв. [13]) отслеживает напряжение на резисторе  $R_5$  (см. структурную схему), пропорциональное току первичной обмотки. Это генерируемое напряжение отрицательно при соединении эмиттера высоковольтного мощного транзистора с землёй (такое включение обеспечивает лучшую защиту от возможного короткого замыкания перехода коллектор-эмиттер мощного транзистора). Благодаря падению напряжения на резисторе  $R_{13}$ , происходит сдвиг уровня напряжения, и на выводе [13] сигнал имеет положительную величину. Это напряжение устанавливается опорным током на выводе [13] и определяется номиналом резистора  $R_6$  (выв. [6]):

$$\frac{1}{6} \times \frac{V_{REF}}{R_6}.$$

Следовательно,

$$V_{SHIFT}(V_{R13}) = \frac{V_{REF}}{6} \times \frac{R_{13}}{R_6} \text{ или } 0.416 \times \frac{R_{13}}{R_6} \text{ (В)}.$$

Напряжение контроля положительного тока на выв. [13] сравнивается с двумя уровнями напряжения: первый уровень = 0.2 В, а второй уровень = 0 В (см. Рис. 8).

Первый защитный уровень отключает высоковольтный транзистор на цикл и переводит источник питания в непрерывный режим с поцикловым ограничением тока.

Второй уровень защиты активизируется только тогда, когда происходит очень быстрое нарастание первичного тока, что может произойти при коротком замыкании на выходе. В этом режиме высоковольтный транзистор быстро отключается и активируется процедура мягкого запуска.

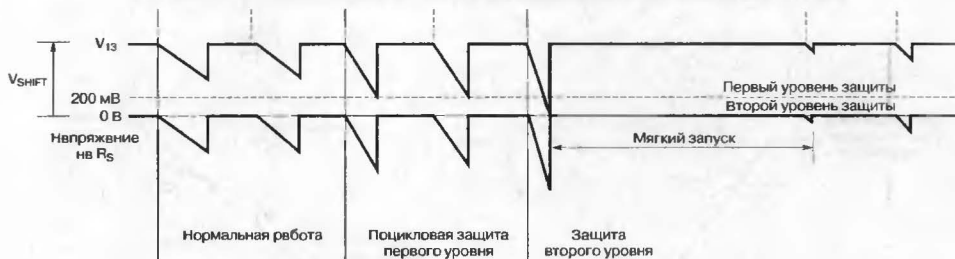
Разница между первым и вторым уровнями пикового тока первичной цепи устанавливается резистором  $R_5$ :

$$I_2 - I_1 = \frac{0.2}{R_5}.$$

Абсолютные пиковые значения устанавливаются резисторами  $R_6$  и  $R_{13}$ :

$$I_2 \times R_5 = 0.416 \times \frac{R_{13}}{R_6} \text{ или } I_1 \times R_5 = (0.416 \times \frac{R_{13}}{R_6}) - 0.2.$$

Рис. 8. Защита по току



## СХЕМА МЯГКОГО ЗАПУСКА

Мягкий запуск происходит:

- при включении источника питания;
- после срабатывания защиты по току, описанной в предыдущем разделе;
- после достижения  $V_{CC}$  верхнего или нижнего порога.

Конденсатор на входе SS разряжается, и когда напряжение на нём падает ниже 0.5 В, устанавливается триггер мягкого запуска, после чего схема готова для мягкого запуска. "Мёртвое" время (в течение которого ёмкость на входе SS заряжается до нижнего уровня пилообразного напряжения 1.4 В) до начала регулирования коэффициента заполнения минимально. Вход SS может также использоваться для установки  $D_{MAX}$ , для этого требуется подключение резистора между этим входом и землёй. Напряжение на этом резисторе ограничено величиной

$$\frac{1}{6} \times V_{REF} \times \frac{R_{12}}{R_6}.$$

## ВЫХОДНЫЕ КАСКАДЫ

Выходные каскады построены на двух составных  $n-p-n$ -транзисторах, их коллекторы и эмиттеры подключены к разным выводам (см. структурную схему). Верхний транзистор обеспечивает прямой вытекающий ток до 0.75 А для управления высоковольтным транзистором, тогда как нижний транзистор пропускает возвратный втекающий ток до 2.5 А.

Для малых токов до 10 мА напряжение насыщения нижнего составного транзистора аналогично напряжению насыщения простого  $n-p-n$ -транзистора (см. Рис. 9). При включении транзистора скорость нарастания напряжения  $dV/dt$  внутрисхемно ограничена для снижения интерференционных искажений.

При использовании схемы следует обратить внимание на подключение выходных выводов для избежания генерации или интерференции, вызванной паразитной индуктивностью и сопротивлением проводников.

При запуске от вывода  $V_{CC}$  к E2 течёт небольшой ток предварительного заряда последовательной ёмкости выхода (см. структурную схему).

Рис. 9. Кривая насыщения

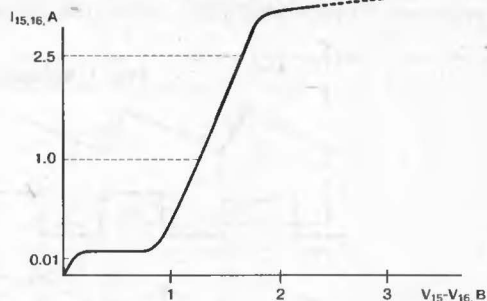
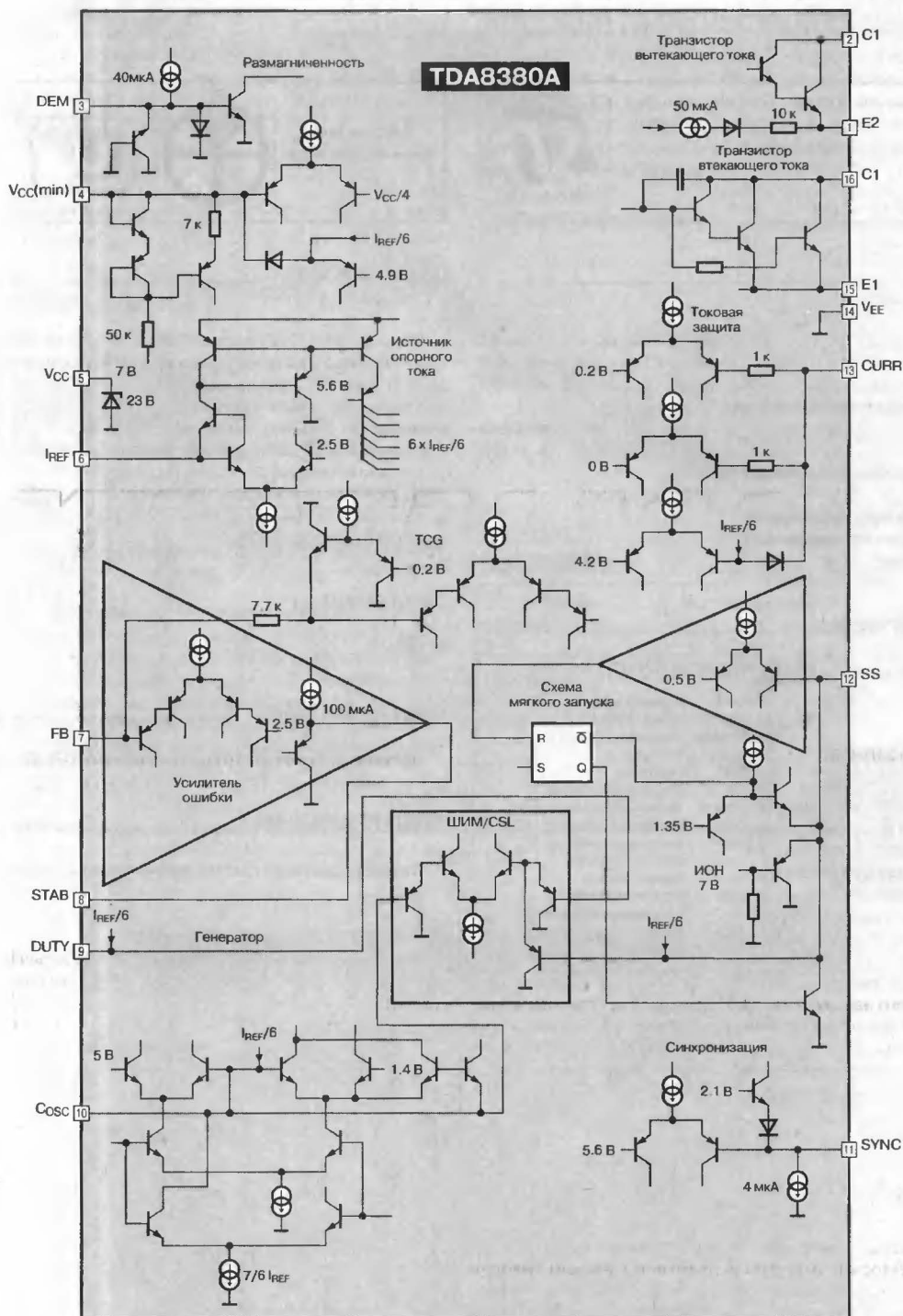


Рис. 10. Схемотехника входных и выходных цепей



SCL — Формирователь управляющего напряжения

# МОЩНЫЙ ИМПУЛЬСНЫЙ СТАБИЛИЗАТОР 1155EY2

Аналог  
L296



Товарные знаки  
фирм изготовителей

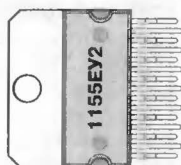


## ОСОБЕННОСТИ

- ♦ Выходной ток ..... 4 А
- ♦ Выходное напряжение ..... 5.1...40 В
- ♦ Рабочий цикл ..... 0...100%
- ♦ Встроенный источник опорного напряжения
- ♦ Рабочая частота ..... до 200 кГц
- ♦ Высокий КПД ..... до 90%
- ♦ Небольшое количество внешних компонентов
- ♦ Мягкий запуск
- ♦ Схема управления тиристорной защитой
- ♦ Входы блокировки и синхронизации ШИМ
- ♦ Защита от перегрева

## ЦОКОЛЕВКА КОРПУСОВ

Пластмассовый корпус типа MULTIWATT-15 (HZIP-15)



15	CBO	Выход защиты
14	RESETO	Выход сброса
13	RESETO	Задержка сброса
12	RESETI	Вход сброса
11	OSC	Генератор
10	FB	Вход обратной связи
9	FCOMP	Частотная коррекция
8	GND	Общий вывод, земля
7	SYNC	Вход синхронизации
6	INH1	Вход блокировки
5	SS	Мягкий запуск
4	I <sub>LM</sub>	Ограничение тока
3	V <sub>CC</sub>	Напряжение питания
2	OUT	Выход
1	CV1	Вход защиты

## ОБЩЕЕ ОПИСАНИЕ

Микросхема 1155EY2 представляет собой понижающий импульсный стабилизатор с выходным током до 4 А и выходным напряжением от 5.1 до 40 В. Прибор является аналогом стабилизатора L296. К особенностям схемы можно отнести: мягкий запуск, дистанционное выключение, защиту от перегрева, выход сброса и вход синхронизации компаратора ШИМ при многоканальном режиме работы.

Эффективная работа на частотах до 200 кГц позволяет уменьшить размеры и стоимость элементов фильтра. При перенапряжении на входе контроля напряжения специальный драйвер открывает внешний тиристор защиты.

## ТИПОНОМИНАЛЫ

KP1155EY2

## СТРУКТУРНАЯ СХЕМА

Не имеет отличий от структурной схемы L296. См. стр. 133.

## СХЕМА ПРИМЕНЕНИЯ

Не имеет отличий от схемы применения L296. См. стр. 141.



## МОЩНЫЙ ИМПУЛЬСНЫЙ СТАБИЛИЗАТОР

### ОСОБЕННОСТИ

- ♦ Выходной ток ..... 4 А
- ♦ Выходное напряжение ..... 5.1...40 В
- ♦ Рабочий цикл ..... 0...100%
- ♦ Встроенный ИОН с допуском .....  $\pm 2\%$
- ♦ Рабочая частота ..... до 200 кГц
- ♦ Очень высокий КПД ..... до 90%
- ♦ Небольшое количество внешних компонентов
- ♦ Мягкий запуск
- ♦ Выход сброса
- ♦ Внешняя установка порога ограничения тока (L296P)
- ♦ Схема управления тиристорной защитой (crowbar)
- ♦ Входы блокировки и синхронизации ШИМ
- ♦ Защита от перегрева

### ОБЩЕЕ ОПИСАНИЕ

Микросхемы L296 и L296P представляют собой понижающие импульсные стабилизаторы с выходным током до 4 А и выходным напряжением от 5.1 до 40 В.

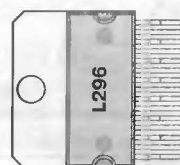
Характерными особенностями приборов являются: мягкий запуск, дистанционная блокировка, защита от перегрева, выход сброса микропроцессора и вход синхронизации компаратора ШИМ при многоканальном режиме работы. В схеме L296P предусмотрено внешнее программирование порогового значения тока.

Приборы L296/P поставляются в 15-выводных пластмассовых корпусах типа MULTIWATT и требуют небольшого количества внешних компонентов.

Эффективная работа на частотах до 200 кГц позволяет уменьшить размеры и стоимость элементов фильтра. При перенапряжении на входе контроля напряжения специальный драйвер открывает внешний тиристор защиты.

### ЦОКОЛЕВКА КОРПУСОВ

Пластмассовый корпус типа MULTIWATT-15 (HZIP-15)

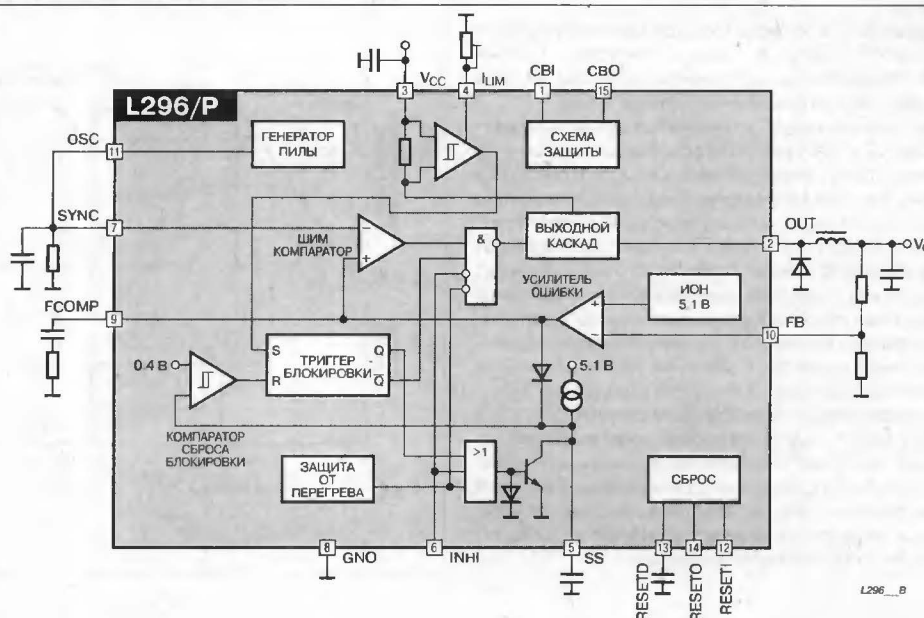


- 15 CBO
- 14 RESETO
- 13 RESETD
- 12 RESETI
- 11 OSC
- 10 FB
- 9 FCOMP
- 8 GND
- 7 SYNC
- 6 INHI
- 5 SS
- 4 I<sub>LM</sub>
- 3 V<sub>CC</sub>
- 2 OUT
- 1 CBI

### ТИПОНОМИНАЛЫ

Прибор	Расположение выводов	Корпус
L296	Вертикальное	HZIP-15
L296P	Вертикальное	HZIP-15
L296HT	Горизонтальное	HZIP-15
L296PHT	Горизонтальное	HZIP-15

### СТРУКТУРНАЯ СХЕМА



## ОПИСАНИЕ ВЫВОДОВ

Вывод	Символ	Описание
1	CBI	Вход контроля напряжения для защиты от перенапряжения. Обычно соединяется с входом обратной связи, включает тиристор, когда $V_{OUT}$ превышает номинальное значение на 20%. Может также контролировать вход, при этом для повышения порога может быть добавлен делитель напряжения. Если тиристор не используется, данный вывод соединяется с землёй
2	OUT	Выход импульсного стабилизатора
3	$V_{CC}$	Напряжение питания. Вход нестабилизированного напряжения. Питание внутренней логики через встроенный стабилизатор
4	$I_{LM}$	Порог ограничения тока, устанавливается резистором между этим выводом и землёй. Если этот вывод оставить неподключённым, порог имеет значение, установленное по умолчанию
5	SS	Мягкий запуск. Конденсатор, включённый между этим выводом и землёй, определяет постоянную времени мягкого запуска, а также средний выходной ток КЗ
6	INH1	Вход блокировки. Дистанционная блокировка с TTL-уровнем управления. Прибор блокируется высоким уровнем на этом выходе
7	SYNC	Вход синхронизации. Несколько микросхем L296 могут быть синхронизированы путём соединения их выводов SYNC вместе, при этом RC-цепь одна для всех микросхем
8	GND	Общий вывод, земля
9	FCOMP	Частотная компенсация. Последовательная RC-цепь, включённая между этим выводом и землёй, определяет частотную характеристику петли обратной связи
10	FB	Вход обратной связи. При работе от 5.1 В выход соединяется непосредственно с этим выводом, при работе с большими напряжениями используется делитель
11	OSC	Вход генератора. Параллельная RC-цепь, подключённая к этому выводу, определяет частоту переключения. Вывод может быть соединён с выводом [7], если используется внутренний генератор
12	RESET1	Вход схемы сброса с порогом около 5 В. Может подключаться к выводу обратной связи или через делитель к входу
13	RESETD	Задержка сброса. Конденсатор между этим выводом и землёй определяет время задержки сигнала сброса
14	RESETO	Выход сброса с открытым коллектором. Когда напряжение питания в норме, на выходе высокое сопротивление
15	CBO	Выход управления тиристором Crowbar-защиты

## РАБОТА СХЕМЫ (СМ. СТРУКТУРНУЮ СХЕМУ)

Микросхемы L296 и L296P представляют собой монолитные понижающие импульсные стабилизаторы с выходным напряжением 5.1...40 В при токе 4 А.

Контур стабилизации состоит из генератора пилообразного напряжения, усилителя ошибки, компаратора и выходного каскада. Сигнал рассогласования, полученный путем сравнения выходного напряжения с напряжением опорного источника 5.1 В  $\pm 2\%$ , сравнивается с пилообразным напряжением, в результате чего получаются импульсы с фиксированной частотой и модулированной длительностью для управления выходным каскадом. Усиление и частотная стабильность могут быть подстроены внешней RC-цепью, подключённой к выводу [9]. Прямое подключение даёт выходное напряжение 5.1 В, для получения большего напряжения следует использовать делитель напряжения.

Появление повышенного выходного тока при включении предотвращает схема мягкого запуска. Выход усилителя ошибки ограничен внешней ёмкостью  $C_{SS}$ , напряжение на выходе линейно увеличивается по мере заряда ёмкости постоянным током.

Защита от перегрузки по току обеспечивается путём ограничения выходного тока. Ток нагрузки контролируется внутренним металлическим резистором, подключённым к компаратору. Когда ток нагрузки превышает запрограммированный порог, компаратор устанавливает триггер, который отключает выходной каскад и разряжает ёмкость мягкого запуска. Второй компаратор сбрасывает триггер, когда напряжение на конденсаторе мягкого запуска падает до 0.4 В. Выходной каскад, таким образом, включается, и выходное напряжение повышается под управлением цепи мягкого запуска. Если условия перегрузки сохраняются, ограничитель снова срабатывает при превышении порогового значения тока. Средний ток короткого замыкания ограничивается на безопасном уровне "мёртвым" временем, определяемым схемой мягкого запуска.

Схема сброса генерирует выходной сигнал, когда выходное напряжение превышает порог, программируемый внешним делителем. Сигнал сброса генерируется с задержкой, определяемой внешней ёмкостью. Когда напряжение питания падает ниже порогового уровня, на выходе сброса немедленно появляется НИЗКИЙ уровень, так как выход представляет собой открытый коллектор.

Схема защиты от перенапряжения (crowbar) отслеживает выходное напряжение, при этом выход защиты может обеспечить ток до 100 мА для включения внешнего тиристора. Этот тиристор открывается, когда выходное напряжение превышает номинальное значение на 20%. Нет никакой внутренней связи между выходом и входом защиты, поэтому схема защиты может контролировать как выходное, так и входное напряжение.

Схема блокировки имеет TTL-вход и обеспечивает дистанционное включение/выключение прибора. Этот вход активируется ВЫСОКИМ логическим уровнем и блокирует работу схемы. После блокировки стабилизатор L296 перезапускается под управлением схемы мягкого запуска.

Защита от перегрева блокирует работу схемы, когда температура кристалла достигает примерно 150°C, и имеет гистерезис для предотвращения нестабильной работы.

Рис. 1. Временные диаграммы работы схемы сброса

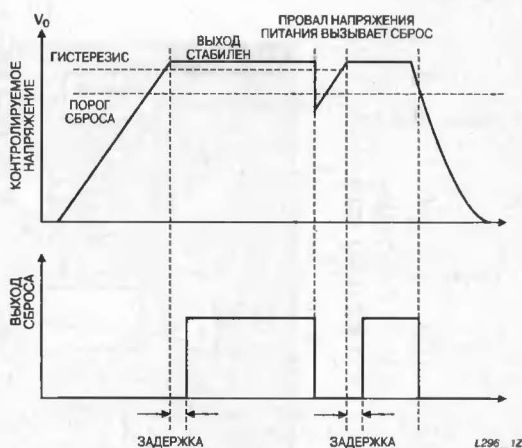
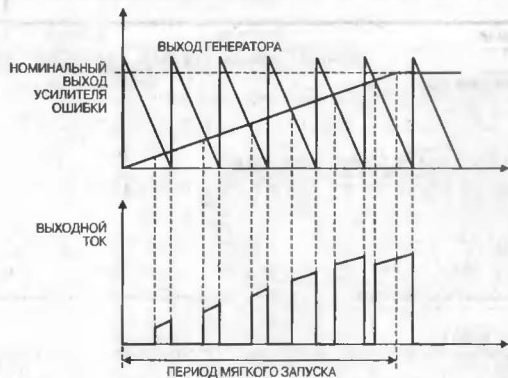


Рис. 2. Временные диаграммы работы схемы мягкого запуска



L296\_22

Рис. 3. Временные диаграммы работы схемы ограничения тока



L296\_32

## ПРЕДЕЛЬНО-ДОПУСТИМЫЕ ЗНАЧЕНИЯ ПАРАМЕТРОВ И РЕЖИМОВ

Параметр	Символ	Значение	Единица измерения
Входное напряжение (выв. [3])	$V_I$	50	В
Напряжение вход-выход	$V_I - V_2$	50	В
Постоянное выходное напряжение	$V_2$	-1	В
Импульсное выходное напряжение ( $t = 0.1$ мкс, $f = 200$ кГц)	$V_2$	-7	В
Напряжение на выв. [1] и [12]	$V_1, V_{12}$	10	В
Напряжение на выв. [15]	$V_{15}$	15	В
Напряжение на выв. [4], [5], [7], [9] и [13]	$V_4, V_5, V_7, V_9, V_{13}$	5.5	В
Напряжение на выв. [6] и [10]	$V_6, V_{10}$	7	В
Напряжение на выв. [14] ( $I_{14} \leq 1$ мА)	$V_{14}$	$V_I$	В

Параметр	Символ	Значение	Единица измерения
Ток через выв. [9]	$I_9$	1	мА
Ток из выв. [11]	$I_{11}$	20	мА
Ток через выв. [14] ( $V_{14} < 5$ В)	$I_{14}$	50	мА
Рассеиваемая мощность ( $T_{CASE} \leq 90^\circ\text{C}$ )	$P_{TOT}$	20	Вт
Температура кристалла	$T_J$	-40...+150	$^\circ\text{C}$
Температура хранения	$T_{STG}$	-40...+150	$^\circ\text{C}$
Тепловое сопротивление кристалл-корпус	$R_{THJ-CASE}$	3	$^\circ\text{C}/\text{Вт}$
Тепловое сопротивление кристалл-окружающая среда	$R_{THJ-AMB}$	35	$^\circ\text{C}/\text{Вт}$

## ЭЛЕКТРИЧЕСКИЕ ХАРАКТЕРИСТИКИ

При  $T_J = +25^\circ\text{C}$ ;  $V_I = 35$  В, схема включения на Рис. 4

Параметр	Символ	Условия	Значение			Единица измерения	Номер рисунка	
			не менее	типичное	не более			
ДИНАМИЧЕСКИЕ ХАРАКТЕРИСТИКИ (ВЫВ. [6] ЗАЗЕМЛЁН, ЕСЛИ НЕ ОГОВОРЕНО ИНОЕ)								
Выходное напряжение	$V_O$	$V_I = 46\text{ В}, I_O = 1\text{ А}$	$V_{REF}$	—	40	В	4	
Входное напряжение	$V_I$	$V_O = V_{REF}...36\text{ В}, I_O \leq 3\text{ А}$	9	—	46	В	4	
		$V_O = V_{REF}...36\text{ В}, I_O = 4\text{ А}, \text{ прим. 1}$	—	—	46	В	4	
Нестабильность по напряжению	$\Delta V_O$	$V_I = 10...40\text{ В}, V_O = V_{REF}, I_O = 2\text{ А}$	—	15	50	мВ	4	
Нестабильность по току	$\Delta V_O$	$V_O = V_{REF}, I_O = 2...4\text{ А}$	—	10	30	мВ	4	
		$V_O = V_{REF}, I_O = 0.5...4\text{ А}$	—	15	45	мВ	4	
Опорное напряжение (выв. [10])	$V_{REF}$	$V_I = 9\text{ В}, I_O = 2\text{ А}$	5.0	5.1	5.2	В	4	
Температурный коэффициент опорного напряжения	$\Delta V_{REF}/\Delta T$	$T_J = 0...+125^\circ\text{C}, I_O = 2\text{ А}$	—	0.4	—	мВ/°C	—	
Падение напряжения между выв. [2] и [3]	$V_D$	$I_O = 4\text{ А}$	—	2.0	3.2	В	4	
		$I_O = 2\text{ А}$	—	1.3	2.1	В	4	
Порог ограничения тока (выв. [2])	$I_{2L}$	L296: выв. [4] открыт, $V_I = 9...40\text{ В}, V_O = V_{REF}...36\text{ В}$	4.5	—	7.5	А	4	
		L296P: $V_I = 9...40\text{ В}, V_O = V_{REF}$	Выв. [4] открыт	5	—	7	А	4
			$R_{LIM} = 22\text{ кОм}$	2.5	—	4.5	А	4
Средний входной ток	$I_{SH}$	$V_I = 46\text{ В}, \text{ КЗ на выходе}$	—	60	100	мА	4	
КПД	$\eta$	$I_O = 3\text{ А}, V_O = V_{REF}$	—	75	—	%	4	
		$I_O = 3\text{ А}, V_O = 12\text{ В}$	—	85	—	%	4	
Коэффициент подавления пульсаций напряжения питания	$SVR$	$\Delta V_J = 2\text{ В (rms)}, f_{RIPPLE} = 100\text{ Гц}, V_O = V_{REF}, I_O = 2\text{ А}$	50	56	—	дБ	4	
Рабочая частота (переключений)	$f$		85	100	115	кГц	4	
Нестабильность рабочей частоты	$\Delta f/\Delta V_I$	$V_I = 9...46\text{ В}$	—	0.5	—	%	4	
Температурная нестабильность рабочей частоты	$\Delta f/\Delta T_J$	$T_J = 0...+125^\circ\text{C}$	—	1	—	%	4	
Максимальная рабочая частота	$f_{MAX}$	$V_O = V_{REF}, I_O = 1\text{ А}$	200	—	—	кГц	—	
Температура срабатывания защиты от перегрева	$T_{SD}$	Прим. 2	135	145	—	°C	—	

## ЭЛЕКТРИЧЕСКИЕ ХАРАКТЕРИСТИКИ ПРОДОЛЖЕНИЕ)

Параметр	Символ	Условия	Значение			Единица измерения	Номер рисунка
			не менее	типичное	не более		
ХАРАКТЕРИСТИКИ ПО ПОСТОЯННОМУ ТОКУ							
Постоянный ток стока	$I_{3Q}$	$V_I = 46 \text{ В}, V_7 = 0 \text{ В}, S1: \text{B}, S2: \text{B}$					
		$V_6 = 0 \text{ В}$	—	66	85	мА	—
		$V_6 = 3 \text{ В}$	—	30	40	мА	—
Выходной ток утечки	$-I_{2L}$	$V_I = 46 \text{ В}, V_6 = 3 \text{ В}, S1: \text{B}, S2: \text{A}, V_7 = 0 \text{ В}$	—	—	2	мА	—
МЯГКИЙ ЗАПУСК							
Вытекающий ток	$I_{SSO}$	$V_6 = 0 \text{ В}, V_5 = 3 \text{ В}$	80	130	150	мкА	6б
Втекающий ток	$I_{SSI}$	$V_6 = 3 \text{ В}, V_5 = 3 \text{ В}$	50	70	120	мкА	6б
БЛОКИРОВКА							
НИЗКИЙ уровень входного напряжения	$V_{6L}$	$V_I = 9...46 \text{ В}, V_7 = 0 \text{ В}, S1: \text{B}, S2: \text{B}$	-0.3	—	0.8	В	6а
ВЫСОКИЙ уровень входного напряжения	$V_{6H}$	$V_I = 9...46 \text{ В}, V_7 = 0 \text{ В}, S1: \text{B}, S2: \text{B}$	2	—	5.5	В	6а
Входной ток при НИЗКОМ напряжении на входе	$-I_{6L}$	$V_I = 9...46 \text{ В}, V_7 = 0 \text{ В}, S1: \text{B}, S2: \text{B}, V_6 = 0.8 \text{ В}$	—	—	10	мкА	6а
Входной ток при ВЫСОКОМ напряжении на входе	$-I_{6H}$	$V_I = 9...46 \text{ В}, V_7 = 0 \text{ В}, S1: \text{B}, S2: \text{B}, V_6 = 2.0 \text{ В}$	—	—	3	мкА	6а
УСИЛИТЕЛЬ ОШИБКИ							
Выходное напряжение высокого уровня	$V_{9H}$	$V_{10} = 4.7 \text{ В}, I_9 = 100 \text{ мкА}, S1: \text{A}, S2: \text{A}$	3.5	—	—	В	6в
Выходное напряжение низкого уровня	$V_{9L}$	$V_{10} = 5.3 \text{ В}, I_9 = -100 \text{ мкА}, S1: \text{A}, S2: \text{E}$	—	—	0.5	В	6в
Выходной втекающий ток	$I_{9SI}$	$V_{10} = 5.3 \text{ В}, S1: \text{A}, S2: \text{B}$	100	150	—	мкА	6в
Выходной вытекающий ток	$-I_{9SI}$	$V_{10} = 4.7 \text{ В}, S1: \text{A}, S2: \text{D}$	100	150	—	мкА	6в
Входной ток смещения	$I_{10}$	$V_{10} = 5.2 \text{ В}, S1: \text{B}$	—	2	10	мкА	6в
		$V_{10} = 6.4 \text{ В}, S1: \text{B}, L296P$	—	2	10	мкА	6в
Усиление по постоянному току	$G_V$	$V_9 = 1...3 \text{ В}, S1: \text{A}, S2: \text{C}$	46	55	—	дБ	6в
ГЕНЕРАТОР И ШИМ-КОМПАРАТОР							
Входной ток смещения ШИМ-компаратора	$-I_7$	$V_7 = 0.5...3.5 \text{ В}$	—	—	5	мкА	6а
Вытекающий ток генератора	$-I_{11}$	$V_{11} = 2 \text{ В}, S1: \text{A}, S2: \text{B}$	5	—	—	мА	—
СБРОС							
Пороговое напряжение нарастания	$V_{12R}$	$V_I = 9...46 \text{ В}, S1: \text{B}, S2: \text{B}$	$V_{REF} - 0.15$	$V_{REF} - 0.10$	$V_{REF} - 0.05$	В	6г
Пороговое напряжение спада	$V_{12F}$	$V_I = 9...46 \text{ В}, S1: \text{B}, S2: \text{B}$	4.75	$V_{REF} - 0.15$	$V_{REF} - 0.10$	В	6г
Пороговое напряжение задержки	$V_{12D}$	$V_{12} = 5.3 \text{ В}, S1: \text{A}, S2: \text{B}$	4.3	4.5	4.7	В	6г
Гистерезис порогового напряжения задержки	$V_{12H}$	$V_{12} = 5.3 \text{ В}, S1: \text{A}, S2: \text{B}$	—	100	—	мВ	6г
Напряжение насыщения на выходе	$V_{14S}$	$I_{14} = 16 \text{ мА}, V_{12} = 4.7 \text{ В}, S1: \text{B}, S2: \text{B}$	—	—	0.4	В	6г
Входной ток смещения	$I_{12}$	$V_{12} = 0...V_{REF}, S1: \text{B}, S2: \text{B}$	—	1	3	мкА	6г
Вытекающий ток схемы задержки	$-I_{13SO}$	$V_{13} = 3 \text{ В}, S1: \text{A}, S2: \text{B}, V_{12} = 5.3 \text{ В}$	70	110	140	мкА	6г
Втекающий ток схемы задержки	$-I_{13SI}$	$V_{13} = 3 \text{ В}, S1: \text{A}, S2: \text{B}, V_{12} = 4.7 \text{ В}$	10	—	—	мА	6г
Выходной ток утечки	$I_{14}$	$V_I = 46 \text{ В}, V_{12} = 5.3 \text{ В}, S1: \text{B}, S2: \text{A}$	—	—	100	мкА	6г
ЗАЩИТА							
Входное пороговое напряжение	$V_I$	$S1: \text{B}$	5.5	6	6.4	В	6б
Напряжение насыщения выхода	$V_{15}$	$V_I = 9...46 \text{ В}, V_1 = 5.4 \text{ В}, I_{15} = 5 \text{ мА}, S1: \text{A}$	—	0.2	0.4	В	6б
Входной ток смещения	$I_1$	$V_1 = 6 \text{ В}, S1: \text{B}$	—	—	10	мкА	6б
Выходной вытекающий ток	$-I_{15}$	$V_I = 9...46 \text{ В}, V_1 = 6.5 \text{ В}, V_{15} = 2 \text{ В}, S1: \text{B}$	70	100	—	мА	6б

## Примечания:

1. Использовать диод Шоттки с минимальным током 7 А; 2. Гарантируется конструкцией, выборочная проверка при производстве

Рис. 4. Схема измерения динамических характеристик

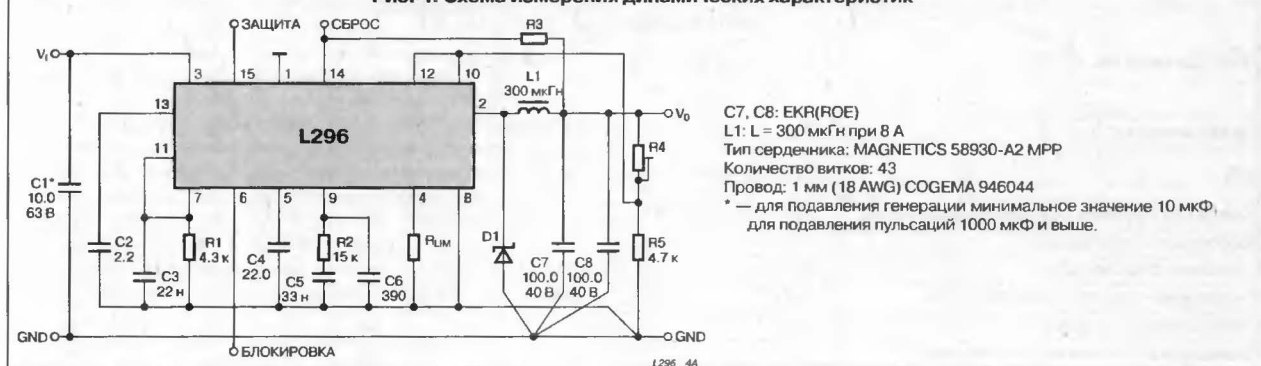


Рис. 5. Топология печатной платы и размещение компонентов для схемы на Рис. 4

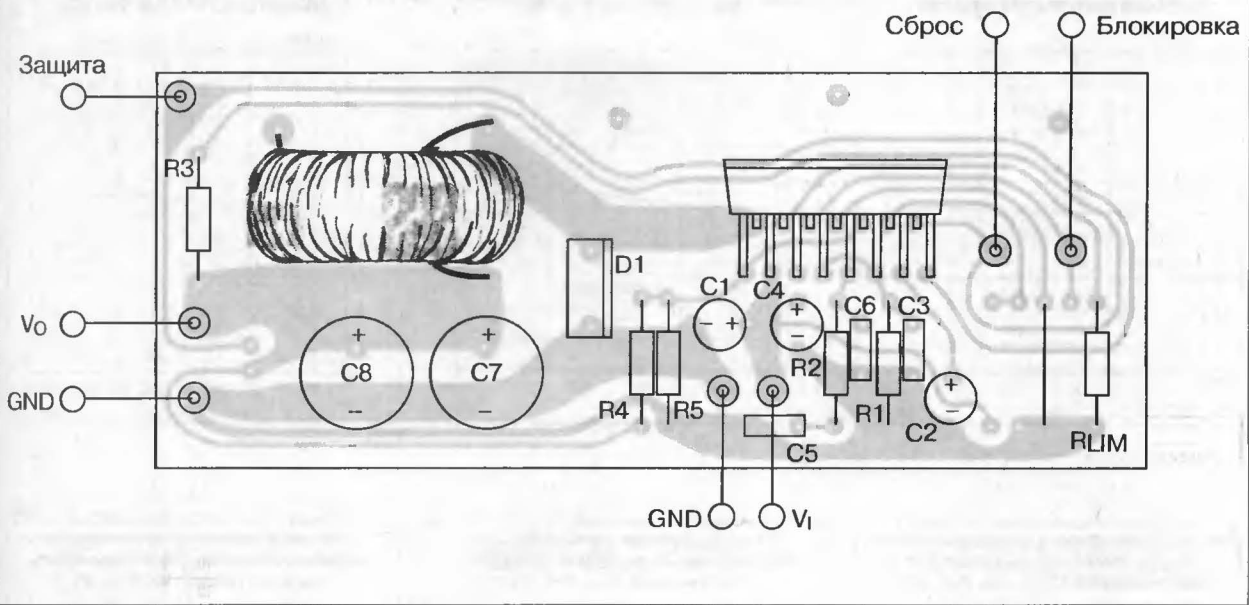
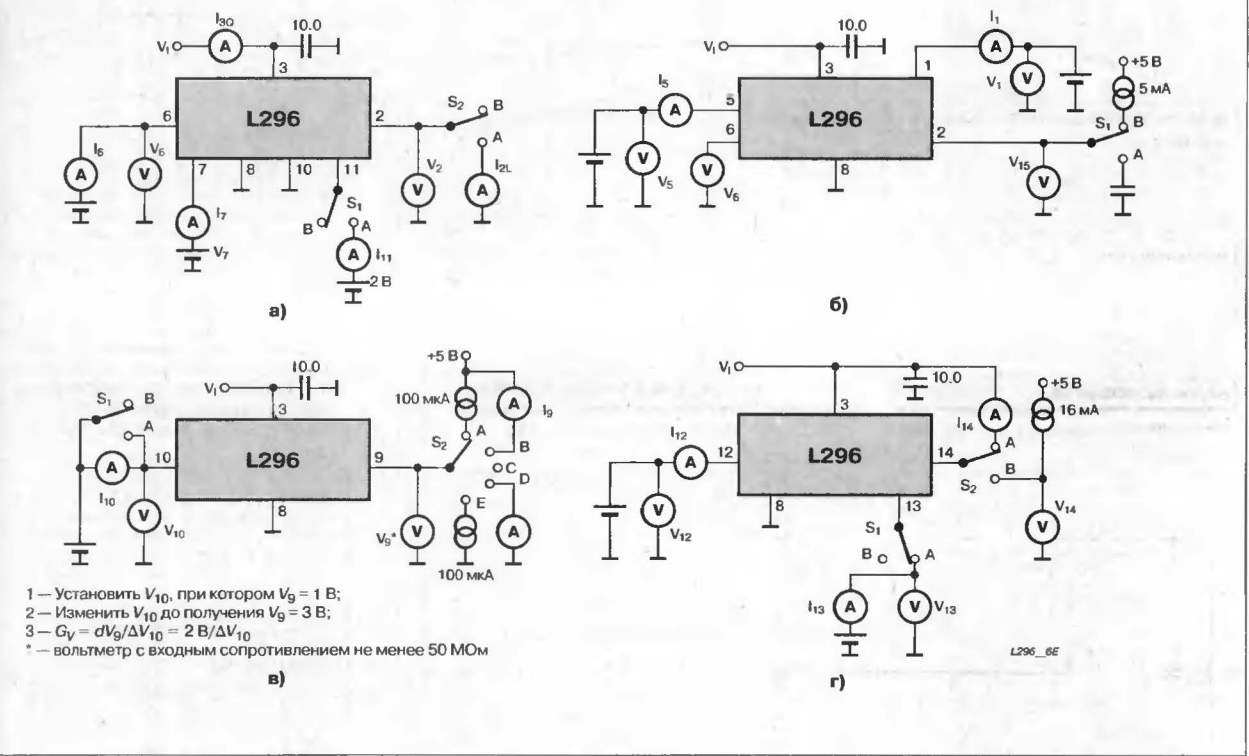


Рис. 6. Схемы измерений характеристик по постоянному току



3



Рис. 7. Зависимость постоянного тока стока от напряжения питания (рабочий цикл 0%, см. Рис. 6а)

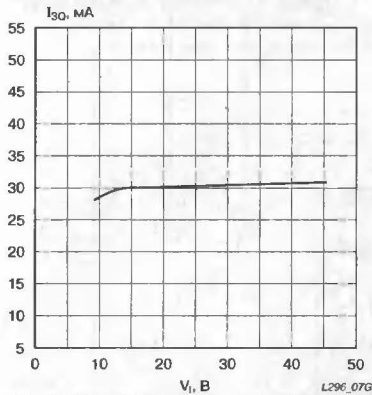


Рис. 8. Зависимость постоянного тока стоков от напряжения питания (рабочий цикл 100%, см. Рис. 6а)

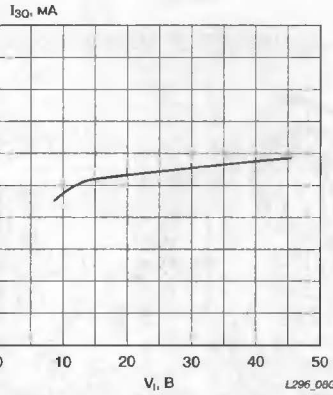


Рис. 9. Зависимость постоянного тока стока от температуры кристалла (рабочий цикл 0%, см. Рис. 6а)

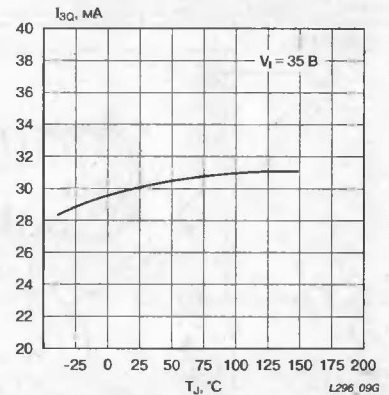


Рис. 10. Зависимость постоянного тока стока от температуры кристалла (рабочий цикл 100%, см. Рис. 6а)

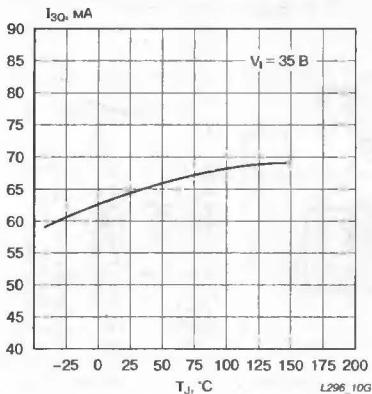


Рис. 11. Зависимость опорного напряжения (выв. [10]) от входного напряжения (см. Рис. 4)

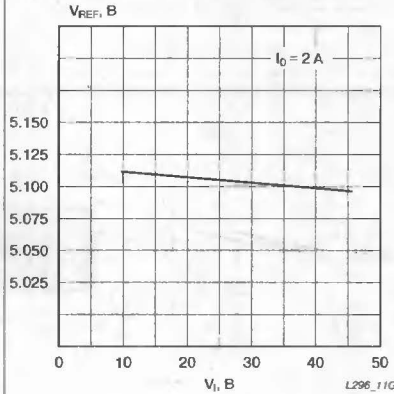


Рис. 12. Зависимость опорного напряжения (выв. [10]) от температуры кристалла (см. Рис. 4)

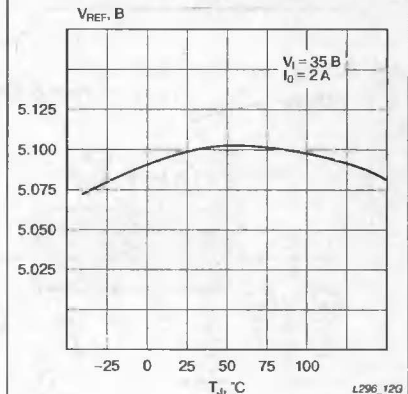


Рис. 13. Амплитудно-частотная и фазо-частотная характеристики усилителя ошибки (см. Рис. 6в)

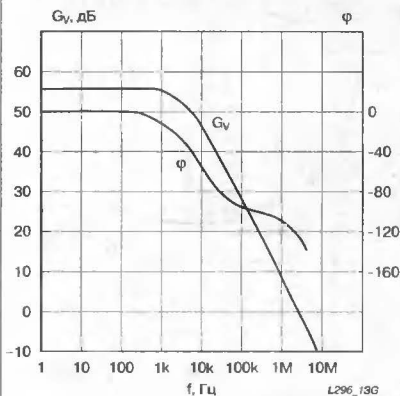


Рис. 14. Зависимость рабочей частоты переключений от входного напряжения (см. Рис. 4)

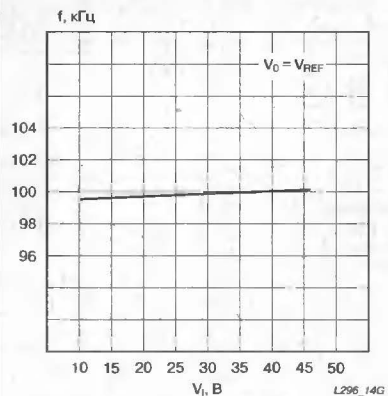


Рис. 15. Зависимость рабочей частоты переключений от температуры кристалла (см. Рис. 4)

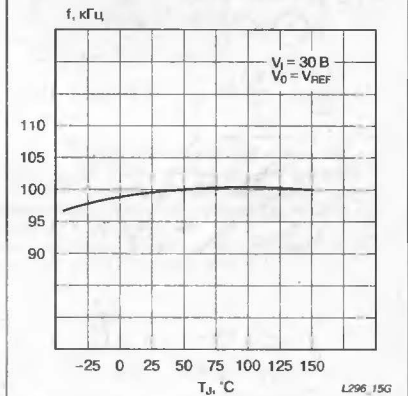


Рис. 16. Зависимость рабочей частоты переключений от сопротивления резистора R1 (см. Рис. 4)

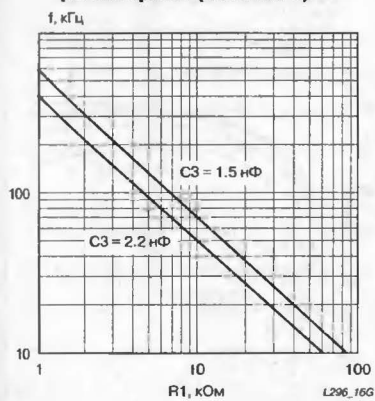


Рис. 17. Временная диаграмма выходного напряжения при изменении входного напряжения (см. Рис. 4)

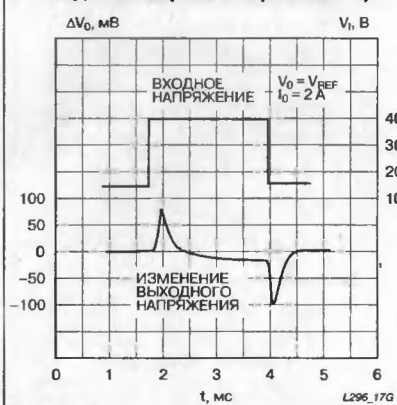


Рис. 18. Временная диаграмма выходного напряжения при изменении тока нагрузки (см. Рис. 4)

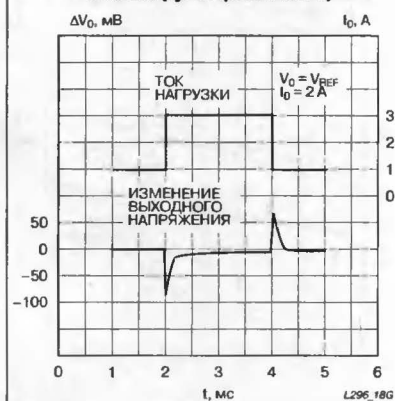


Рис. 19. Зависимость коэффициента подавления пульсаций напряжения питания от частоты (см. Рис. 4)

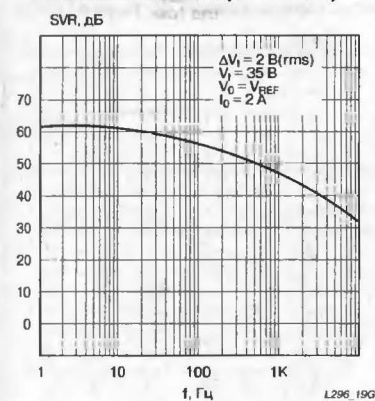


Рис. 20. Зависимость падения напряжения между выводами ③ и ② от тока вывода ②

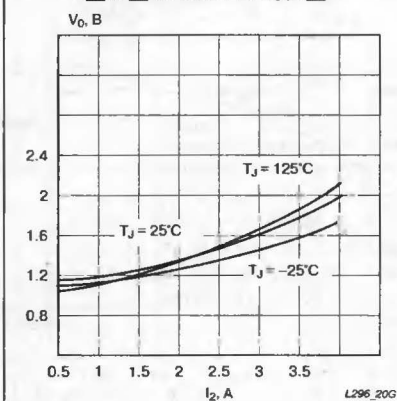


Рис. 21. Зависимость падения напряжения между выводами ③ и ② от температуры кристалла

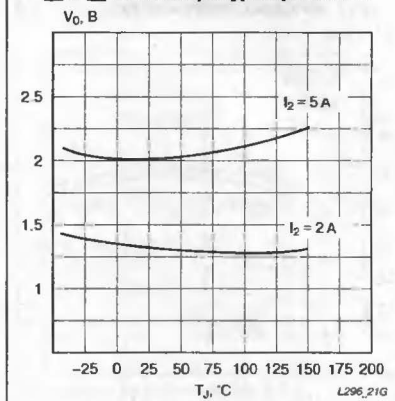


Рис. 22. Зависимость предельно-допустимой рассеиваемой мощности от температуры кристалла при различных значениях отвода тепла

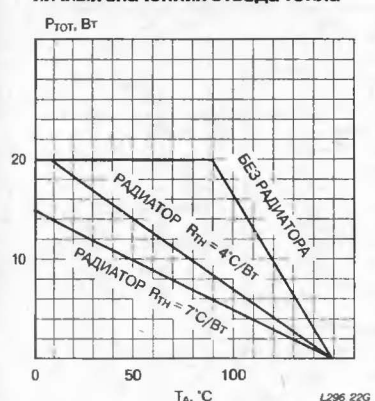


Рис. 23. Зависимость рассеиваемой мощности (прибора) от входного напряжения при частоте 100 кГц

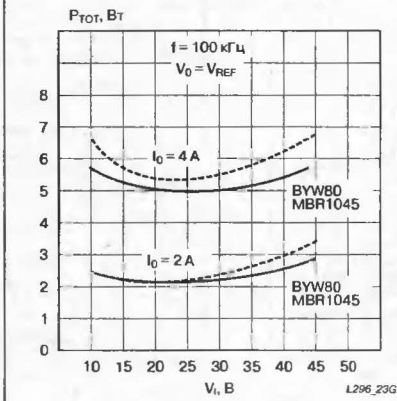


Рис. 24. Зависимость рассеиваемой мощности (прибора) от входного напряжения при частоте 50 кГц

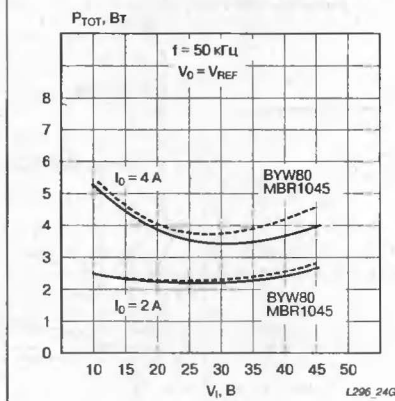


Рис. 25. Зависимость рассеиваемой мощности (прибора) от выходного напряжения (см. Рис. 4)

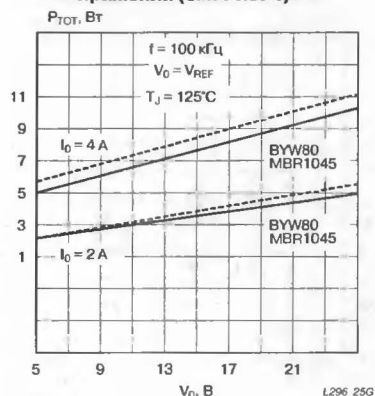


Рис. 26. Временная диаграмма напряжения и тока на выходе [2] (см. Рис. 4)

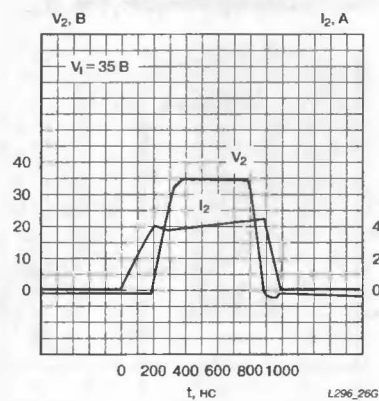


Рис. 27. Зависимость КПД от выходного тока при различных рабочих частотах

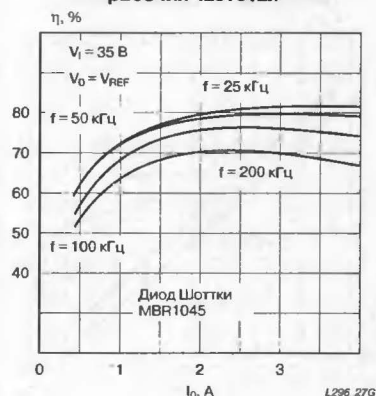


Рис. 28. Зависимость КПД от выходного тока при различных входных напряжениях

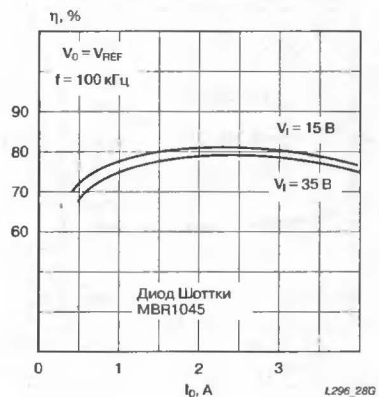


Рис. 29. Зависимость КПД от выходного напряжения

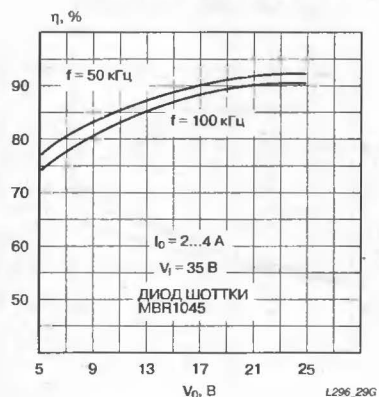


Рис. 30. Зависимость порога ограничения тока от сопротивления резистора на выходе [4] (только L296P)

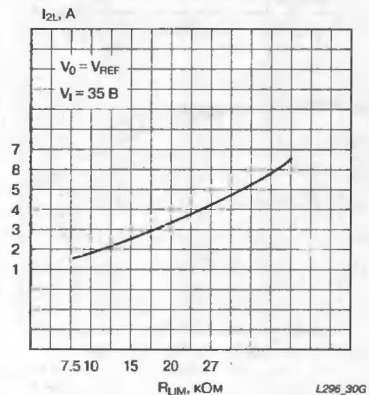


Рис. 31. Зависимость порога ограничения тока от температуры кристалла

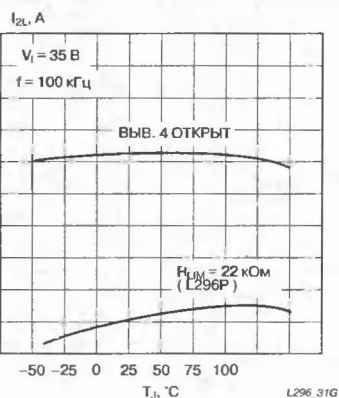
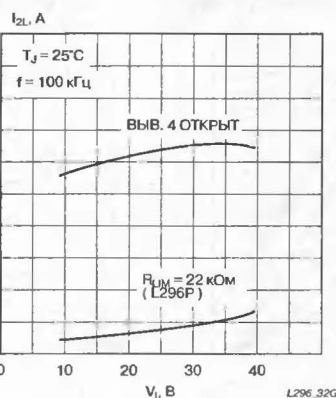
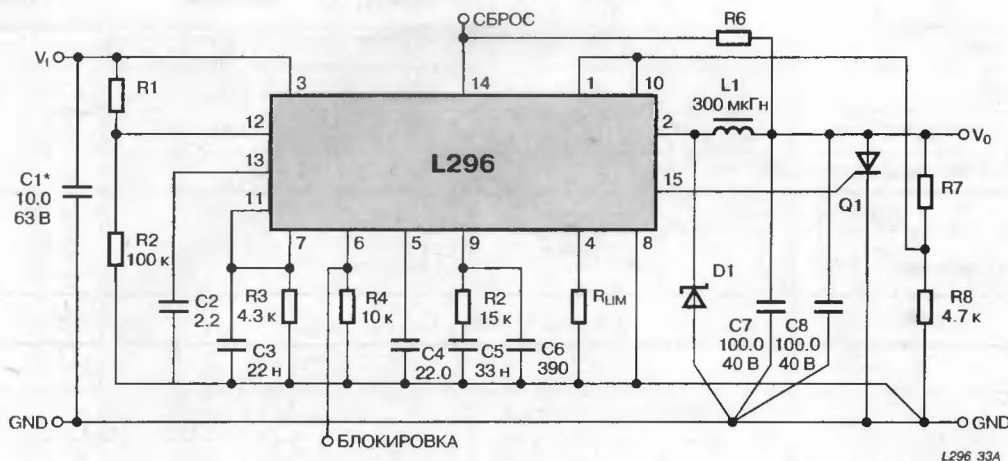


Рис. 32. Зависимость порога ограничения тока от напряжения питания



**Рис. 33. Типовая схема включения**



\* — минимальное значение для снятия генерации 10 мкФ, типовое значение для подавления пульсаций 1000 мкФ и выше

**Таблица выбора компонентов к схеме на Рис. 33**

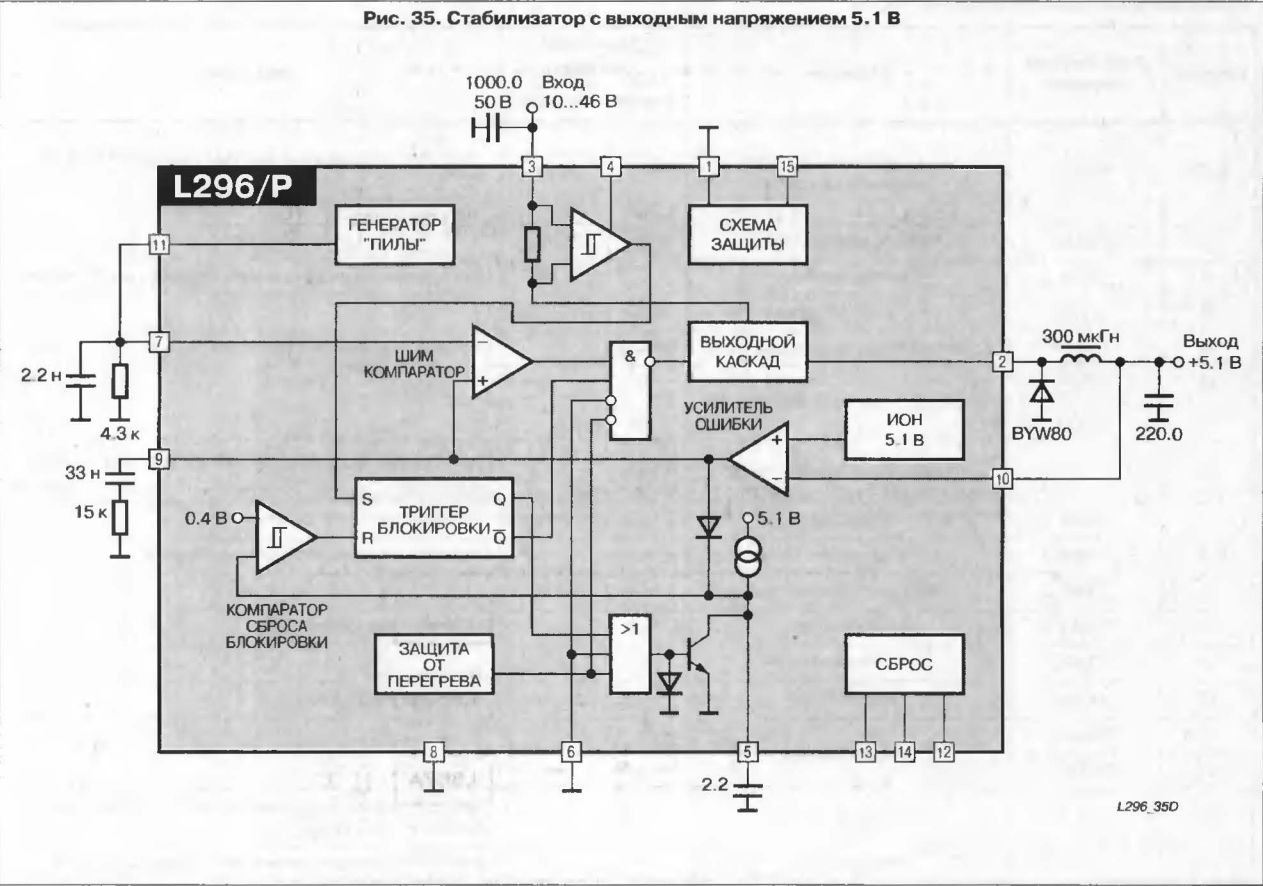
Компонент	Рекомендуемое значение	Назначение	Допустимый диапазон		Примечания
			не менее	не более	
R1, R2	100 кОм	Установка порога входного напряжения для сброса	—	220 кОм	$\frac{R1}{R2} \times \frac{V_{IMIN}}{5} - 1$ ; при контроле выходного напряжения R1 и R2 могут отсутствовать, а выв. [12] соединён с выв. [10]
R3	4.3 кОм	Установка рабочей частоты	1 кОм	100 кОм	—
R4	10 кОм	Резистор смещения	—	22 кОм	При отсутствии блокировки может быть исключён, а выв. [6] заземлён
R5	15 кОм	Частотная компенсация	10 кОм	—	—
R6	—	Коллекторная нагрузка для выхода сброса	$V_O/0.05 \text{ A}$	—	Отсутствует, если функция сброса не используется
R7	—	Делитель установки выходного напряжения	—	—	$\frac{R7}{R8} \cdot \frac{(V_O - V_{REF})}{V_{REF}}$
R8	4.7 кОм		1 кОм	—	
$R_{LIM}$	—	Установка уровня ограничения тока	7.5 кОм	—	При отсутствии $R_{LIM}$ и открытом выв. [4] порог тока определяется микросхемой
C1	10 мкФ	Стабильность	2.2 мкФ	—	—
C2	2.2 мкФ	Установка задержки сброса	—	—	Отсутствует, если функция сброса не используется
C3	2.2 нФ	Установка рабочей частоты	1 нФ	3.3 нФ	—
C4	2.2 мкФ	Мягкий запуск	1 мкФ	—	Определяет также средний ток КЗ
C5	33 нФ	Частотная компенсация	—	—	—
C6	390 пФ	ВЧ-компенсация	—	—	Не требуется для работы от 5 В
C7, C8	100 мкФ	Выходной фильтр	—	—	—
L1	300 мкГн		100 мкГн	—	
Q1	—	Защита	—	—	Тиристор должен выдерживать импульсный ток разряда выходного конденсатора и ток КЗ прибора
D1	—	Возвратный диод	—	—	Диод Шоттки (или диод с временем восстановления 35 нс) на ток 7 А

Выбор дросселя L1

Тип сердечника	Число витков	Диаметр провода [мм]	Воздушный зазор [мм]
MAGNETICS 58930-A2MPP	43	1.0	—
Thomson GUP 20x16x7	65	0.8	1
Siemens EC 35/17/10 (B6633&-G0500-X127)	40	2x0.8	—
Тороидальная катушка VOGT 250 мкГн, тип 5730501800			

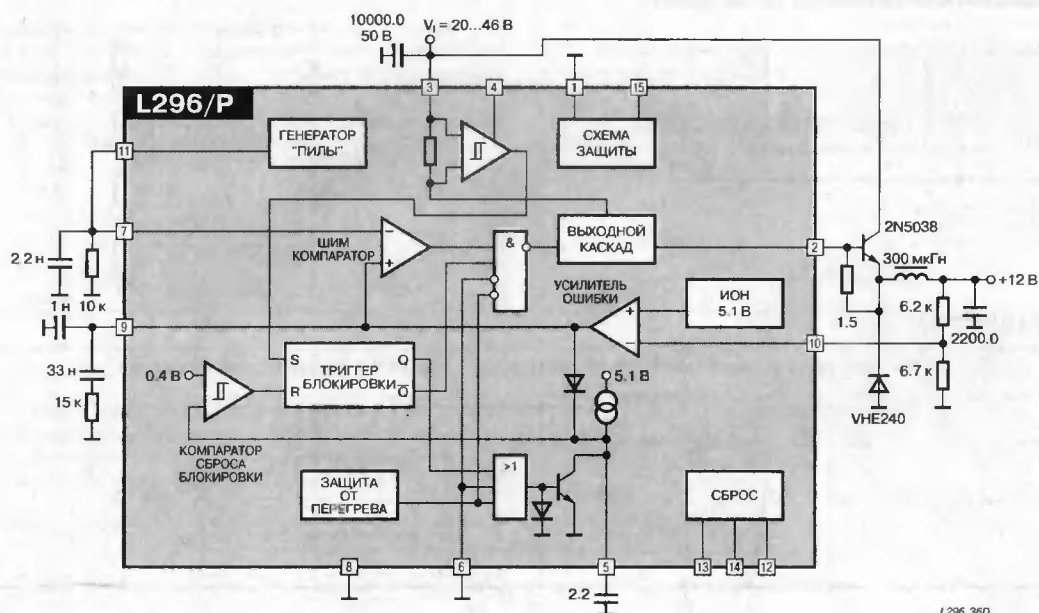
Таблица выбора резисторов

$V_O$ [В]	$R8$ [кОм]	$R7$ [кОм]
12	4.7	6.2
15	4.7	9.1
18	4.7	12
24	4.7	18

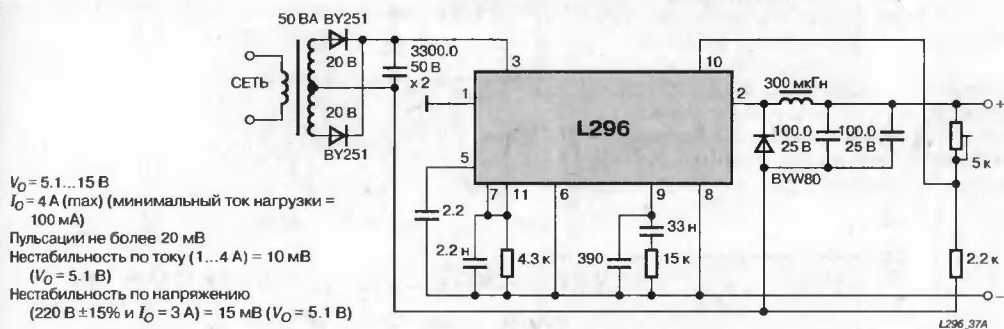




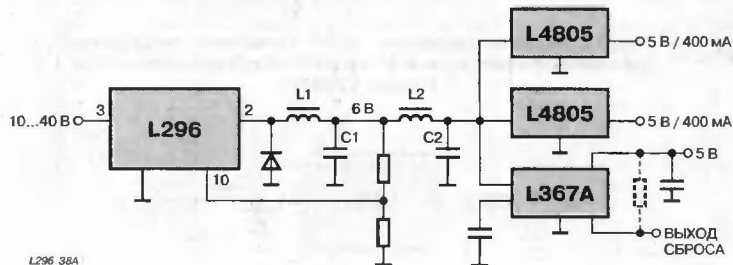
**Рис. 36. Источник питания 12 В/10 А**



**Рис. 37. Программируемый источник напряжения**

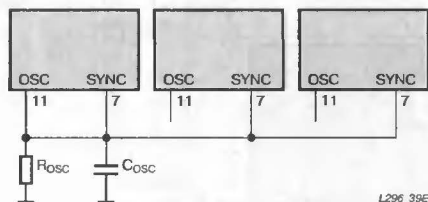


**Рис. 38. Предварительный стабилизатор локальной шины питания**

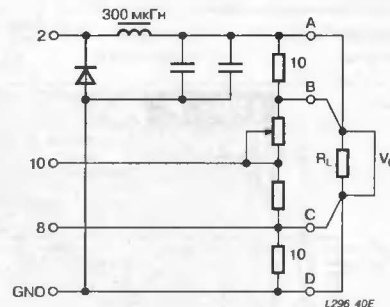


\* L2 и C2 необходимы для снижения пульсаций выходного напряжения

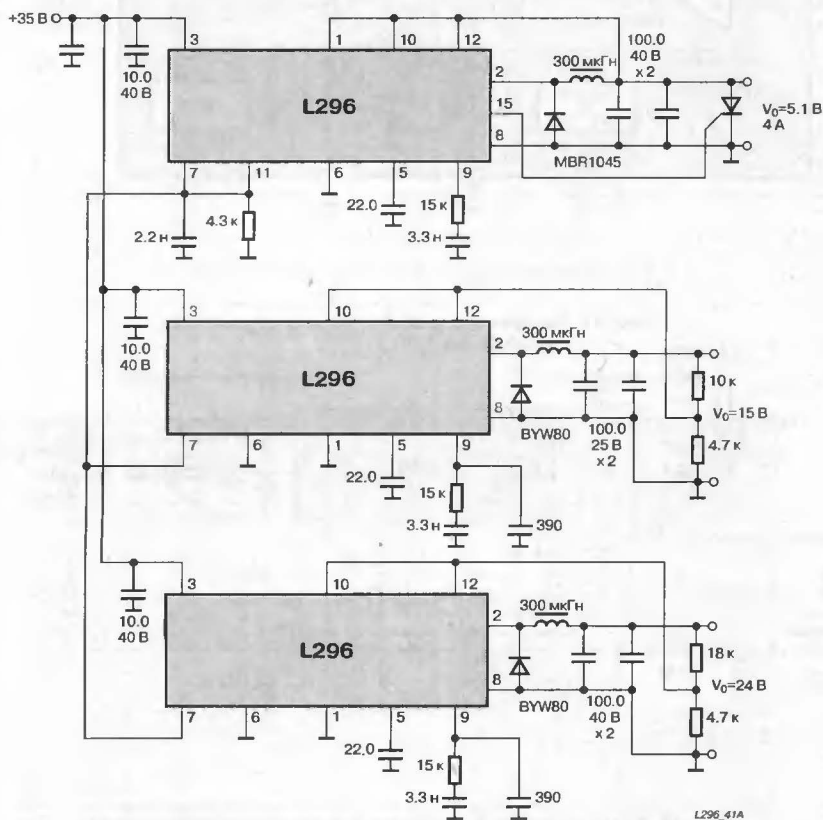
**Рис. 39. Синхронизация отдельных микросхем L296 при многоканальной конфигурации**



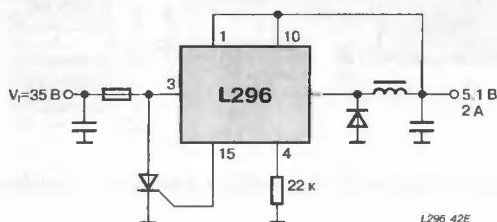
**Рис. 40. Схема соединений при удалённой нагрузке**



**Рис. 41. Многоканальный источник питания 5.1/15/24 В с общей синхронизацией**



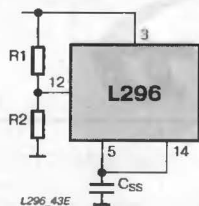
**Рис. 42. Источник питания 5.1 В/2 А с внешним токоограничивающим резистором и защитой по напряжению питания (только L296P)**



# МЯГКИЙ ЗАПУСК И ПОВТОРНОЕ ВКЛЮЧЕНИЕ

При повторном включении конденсатор мягкого запуска  $C_{SS}$  должен быть быстро разряжен для гарантированного "мягкого" запуска. Этого можно достигнуть, используя схему сброса, изображённую на **Рис. 43**.

Рис. 43. Мягкий запуск

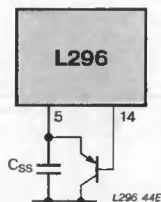


В этой схеме делитель  $R1$ ,  $R2$ , подключённый к выв. [12], определяет минимальное напряжение питания, ниже которого транзистор с открытым коллектором на выв. [14] быстро разряжает ёмкость  $C_{SS}$ . Приблизительное время разряда можно получить из следующей таблицы.

$C_{SS}$ [мкФ]	$t_{DIS}$ [мкс]
2.2	200
4.7	300
10	600

Если требуется получить более короткое время (до нескольких микросекунд), можно добавить дополнительный транзистор, как показано на **Рис. 44**.

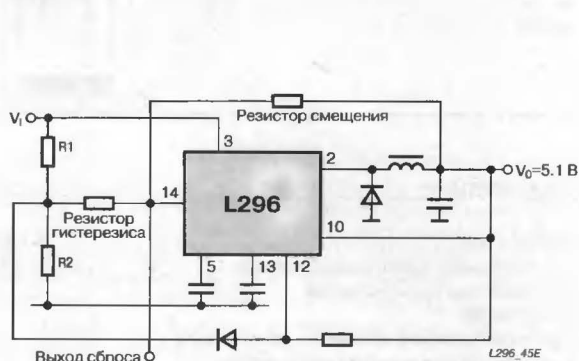
Рис. 44. Мягкий запуск с уменьшенной постоянной времени



# ФУНКЦИЯ СБРОСА И КОНТРОЛЬ ПИТАНИЯ

**Рис. 45** иллюстрирует, как введением в схему одного диода  $D$  и резистора  $R$  можно получить одновременно контроль напряжения питания и функцию сброса.

Рис. 45. Схема, совмещающая контроль питания и сброс



В этом случае время задержки сброса (выв. [13]) может начаться, только когда выходное напряжение  $V_O \leq V_{REF} - 100 \text{ мВ}$ , а напряжение на резисторе  $R2$  больше, чем 4.5 В.

Резистор гистерезиса позволяет задать гистерезис на выводе [12], чтобы увеличить помехоустойчивость к 100 кГц пульсациям питающего напряжения.

Кроме того, сброс питания и задержка сброса автоматически вызывают мягкий запуск. Таким образом, мягкий запуск и сброс являются последовательными функциями.

Сопротивление резистора гистерезиса должно составлять около 100 кОм, а сопротивление резистора смещения (pull-up) — 1...2.2 кОм.

# ОДНОТАКТНЫЙ ВЫСОКОЧАСТОТНЫЙ ШИМ-КОНТРОЛЛЕР 1156ЕУ3

Аналог  
UC1823



Товарные знаки  
фирм изготовителей



## ОСОБЕННОСТИ

- Рабочая частота .....  $\leq 1$  МГц
- Ток квазикомплементарного выходного каскада .....  $\leq 1.5$  А
- Широкополосный усилитель ошибки
- "Мягкий запуск"
- Ограничение максимальной величины рабочего цикла
- Блокировка при понижении напряжения питания
- Подстраиваемый источник опорного напряжения .....  $5.1 \text{ В} \pm 1\%$
- Максимальная рассеиваемая мощность ..... 1 Вт
- Напряжение питания .....  $\leq 30 \text{ В}$

## ОБЩЕЕ ОПИСАНИЕ

Микросхема 1156ЕУ3 представляет из себя одноканальный высокочастотный ШИМ-контроллер и предназначена для построения сетевых мощных импульсных источников вторичного питания с повышенными частотами преобразования. Прибор выпускается двух типонаминов: типонаминал К1156ЕУ3 рассчитан на промышленный диапазон рабочих температур  $-40...+85^\circ\text{C}$  и упаковывается в металлокерамическом корпусе типа 4112.16-2, а КР1156ЕУ3 рассчитан на коммерческий диапазон рабочих температур  $-10...+70^\circ\text{C}$  и упаковывается в пластмассовый корпус типа 238.16-2.

## ТИПОНОМИНАЛЫ

К1156ЕУ3 (С-75)  
КР1156ЕУ3

## ЦОКОЛЕВКА КОРПУСОВ

Пластмассовый корпус типа 238.16-2 и металлокерамический корпус типа 4112.16-2

		(вид сверху)	
Инвертирующий вход усилителя ошибки	EA <sub>IN</sub>	1	16
Неинвертирующий вход усилителя ошибки	EA <sub>IN</sub>	2	15
Выход усилителя ошибки	EA <sub>OUT</sub>	3	14
Вход/выход тактовой частоты	CLK	4	13
Частотозадающий резистор	R <sub>T</sub>	5	12
Частотозадающий конденсатор	C <sub>T</sub>	6	11
Вход пилообразного напряжения	RAMP	7	10
"Мягкий" запуск	SS	8	9
			16
			15
			14
			13
			12
			11
			10
			9

V<sub>REF</sub> Опорное напряжение +5.1 В  
V<sub>CC</sub> Напряжение питания  
OUT Выход  
V<sub>C</sub> Напряжение питания выхода  
PGND Общий вывод для выхода  
I<sub>LIM REF</sub> Ограничение по току  
GND Общий  
I<sub>LIM SD</sub> Блокировка по току  
S431C01

## СТРУКТУРНАЯ СХЕМА

Не имеет отличий от структурной схемы UC3823, См.стр. 147.

## СХЕМА ВКЛЮЧЕНИЯ

Не имеет отличий от схемы включения UC3823, См.стр. 152.

### ОСОБЕННОСТИ

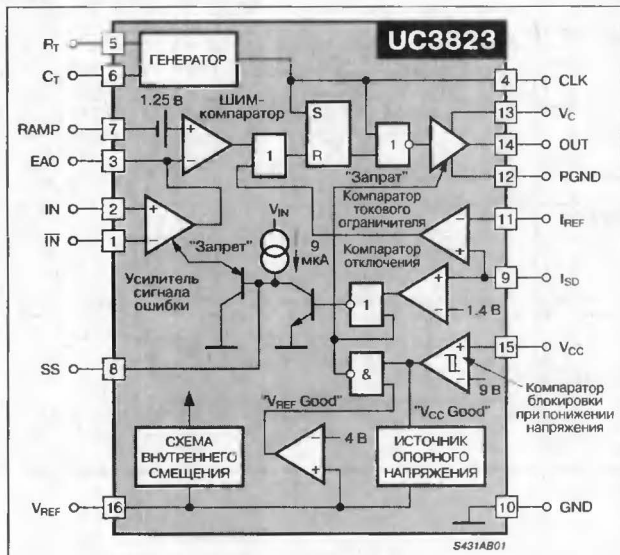
- Работает с обратной связью как по напряжению, так и по току
- Рабочая частота переключений ..... до 1.0 МГц
- Задержка распространения сигналов по всему тракту ..... 50 нс
- Ток квазикомплементарного выходного каскада ..... до 1.5 А
- Полоса усилителя сигнала ошибки ..... 5.5 МГц
- ШИМ-фиксатор со схемой подавления двоянных импульсов
- Ограничение по току в каждом импульсе
- Специальный вывод "мягкого" запуска
- Ограничение максимальной величины рабочего цикла
- Схема блокировки при недопустимо низком входном напряжении
- Малый пусковой ток ..... 1.1 мА
- Источник опорного напряжения с заводской подгонкой (калибровкой) ... 5.1 В  $\pm 1\%$

### ЦОКОЛЕВКА КОРПУСОВ

Корпус типа DIP-16 (суффикс N), CERDIP-16 (суффикс J), SOP-16 (суффикс DW)

		(вид сверху)		
Инверт. вход УС ошибки	IN	1	16	V <sub>REF</sub> Опорное напряжение +5.1 В
Неинверт. вход УС ошибки	IN	2	15	V <sub>CC</sub> Напряжение питания
Выход усилителя ошибки	EAO	3	14	OUT Выход
Вход/выход тактовой частоты	CLK	4	13	V <sub>C</sub> Напряжение питания выхода
Частотозадающий резистор	R <sub>T</sub>	5	12	PGND Общий вывод для выхода
Частотозад. конденсатор	C <sub>T</sub>	6	11	I <sub>REF</sub> Ограничение по току
Вход напряжения пилы	RAMP	7	10	GND Общий
"Мягкий" запуск	SS	8	9	I <sub>SD</sub> Блокировка по току

### СТРУКТУРНАЯ СХЕМА



### ОБЩЕЕ ОПИСАНИЕ

Микросхема ШИМ-контроллера UC3823 разработана специально для импульсных ИВП с высокой частотой переключения. Особое внимание при этом уделялось сокращению задержки распространения сигналов через компараторы и логические схемы, и, вместе с этим, расширению полосы частот усилителя сигнала ошибки и повышению крутизны фронтов его сигналов. Контроллер предназначен для систем, работающих с обратной связью по току или по напряжению с возможностью отслеживания возмущающих воздействий входного напряжения.

Схема защиты включает в себя компаратор токового ограничителя с пороговым напряжением, равным 1 В, ТТЛ-совместимый порт отключения (вывод [9]) и вход "мягкого" запуска (вывод [8]), который также позволяет обеспечивать фиксацию максимального значения рабочего цикла. Логическая схема включает в себя ШИМ-фиксатор для предотвращения неустойчивой синхронизации и дрожания импульсов, а также для исключения вероятности появления на выходе двоянных импульсов или импульсных пакетов. Схема блокировки микросхемы при недопустимо низком входном напряжении имеет гистерезис, равный 800 мВ, что обеспечивает низкий пусковой ток. В случае блокировки микросхемы при понижении входного напряжения выход переключается в высокоимпедансное состояние.

Микросхема ШИМ-контроллера UC3823 имеет квазикомплементарный выходной каскад, рассчитанный на значительные броски тока (как втекающего, так и вытекающего) при работе на емкостную нагрузку, например, такую, как мощный полевой транзистор с изолированным затвором. Включенному состоянию выхода соответствует ВЫСОКИЙ логический уровень напряжения.

### МАКСИМАЛЬНЫЕ ЗНАЧЕНИЯ ПАРАМЕТРОВ И РЕЖИМОВ

Напряжение питания (выводы [15], [13]) .....	30 В
Выходной ток, вытекающий и втекающий (вывод [14]):	
постоянный ток .....	0.5 А
импульс (длительность 0.5 мкс) .....	2.0 А
Анвловые входы (выводы [1], [2], [7], [8], [9]) .....	-0.3...6 В
Выходной ток тактирования (вывод [4]) .....	-5 мА
Выходной ток усилителя сигнала ошибки (вывод [3]) .....	5 мА
Втекающий ток схемы "мягкого" запуска (вывод [8]) .....	20 мА
Зарядный ток генератора (вывод [5]) .....	-5 мА
Рассеиваемая мощность при T <sub>A</sub> = 60°C .....	1 Вт
Диапазон температур хранения .....	-65...+150°C
Температура вывода (пайка 10 с) .....	300°C

#### Примечания:

- Все значения напряжений приведены относительно потенциала заземления (вывод [10]).
- Втекающие через вывод токи положительны.

### ТИПОНОМИНАЛЫ

Типономинал	Температурный диапазон, °C
UC1823	-55...+125
UC2823	-25...+85
UC3823	0...70



## ЭЛЕКТРИЧЕСКИЕ ХАРАКТЕРИСТИКИ

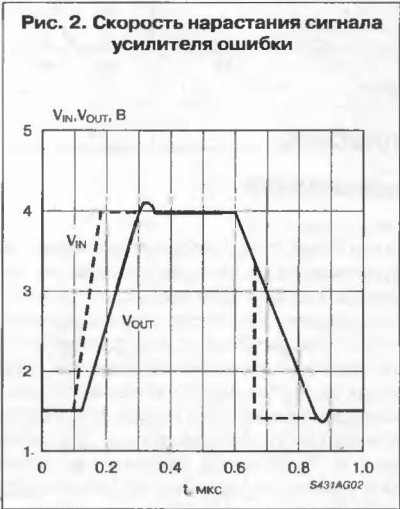
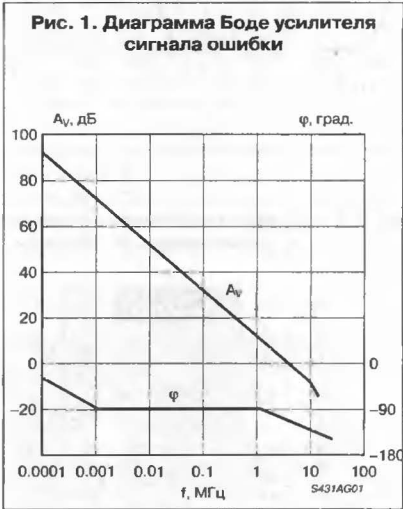
При  $R_T = 3.65 \text{ кОм}$ ;  $C_T = 1 \text{ нФ}$ ;  $V_{CC} = 15 \text{ В}$ ;  $T_A = 0 \dots +70^\circ\text{C}$  для UC3823;  $T_A = -25 \dots +85^\circ\text{C}$  для UC2823;  $T_A = -55 \dots +125^\circ\text{C}$  для UC1823;  $T_A = T_J$ , если не указано иначе

Параметр	Условия	Значение						Единица измерения
		UC1823/2823			UC3823			
		не менее	тип-овое	не более	не менее	тип-овое	не более	
ИСТОЧНИК ОПОРНОГО НАПЯЖЕНИЯ								
Выходное напряжение	$T_J = +25^{\circ}\text{C}$ , $I_O = 1\text{ мА}$	5.05	5.10	5.15	5.00	5.10	5.20	В
Нестабильность по напряжению	$10 < V_{CC} < 30\text{ В}$	—	2	20	—	2	20	мВ
Нестабильность по току нагрузки	$1 < I_O < 10\text{ мА}$	—	5	20	—	5	20	мВ
Температурная нестабильность	$T(\min) < T_A < T(\max)$	—	0.2	0.4	—	0.2	0.4	мВ/°C
Суммарное отклонение выходного напряжения	С учетом отклонений входного напряжения, тока нагрузки и температуры	5.00	—	5.20	4.95	—	5.25	кГц
Выходное напряжение шумов	$0.01 < f < 10\text{ кГц}$	—	50	—	—	50	—	мкВ
Долговременная стабильность	$T_J = +125^{\circ}\text{C}$ , за 1000 ч	—	5	25	—	5	25	мВ
Ток при КЗ	$V_{REF} = 0\text{ В}$	-15	-50	-100	-15	-50	-100	мА
ГЕНЕРАТОР								
Начальный разброс	$T_J = +25^{\circ}\text{C}$	360	400	440	360	400	440	кГц
Стабильность напряжения	$10 < V_{CC} < 30\text{ В}$	—	0.2	2	—	0.2	2	%
Температурная нестабильность	$T(\min) < T_A < T(\max)$	—	5	—	—	5	—	%
Суммарное отклонение частоты	С учетом отклонений входного напряжения и температуры	340	—	460	340	—	360	кГц
ВЫСОКИЙ логический уровень на выходе тактового сигнала		3.9	4.5	—	3.9	4.5	—	В
НИЗКИЙ логический уровень на выходе тактового сигнала		—	2.3	2.9	—	2.3	2.9	В
Максимальный уровень пилообразного напряжения		2.6	2.8	3.0	2.6	2.8	3.0	В
Минимальный уровень пилообразного напряжения		0.7	1.0	1.25	0.7	1.0	1.25	В
Размах пилообразного напряжения		1.6	1.8	2.0	1.6	1.8	2.0	В
УСИЛИТЕЛЬ СИГНАЛА ОШИБКИ								
Входное напряжение смещения нуля		—	—	10	—	—	15	мВ
Входной ток		—	0.6	3	—	0.6	3	мкА
Разность входных токов		—	0.1	1	—	0.1	1	мкА
Коэффициент усиления при разомкнутом контуре ОС	$1 < V_O < 4\text{ В}$	60	95	—	60	95	—	дБ
Коэффициент ослабления синфазного сигнала (CMRR)	$1.5 < V_{CM} < 5.5\text{ В}$	75	95	—	75	95	—	дБ
Коэффициент ослабления пульсаций напряжения (PSRR)	$10 < V_{CC} < 30\text{ В}$	85	110	—	85	110	—	дБ
Вытекающий выходной ток	$V_{PIN3} = 1\text{ В}$	1	2.5	—	1	2.5	—	мА
Вытекающий выходной ток	$V_{PIN3} = 4\text{ В}$	-0.5	-1.3	—	-0.5	-1.3	—	мА
ВЫСОКИЙ логический уровень напряжения $V_{OUT}$	$I_{PIN3} = -0.5\text{ мА}$	4.0	4.7	5.0	4.0	4.7	5.0	В
НИЗКИЙ логический уровень напряжения $V_{OUT}$	$I_{PIN3} = 1\text{ мА}$	0	0.5	1.0	0	0.5	1.0	В
Частота единичного усиления		3	5.5	—	3	5.5	—	МГц
Максимальная скорость нарастания выходного напряжения		6	12	—	6	12	—	В/мкс
ШИМ-КОМПАРАТОР								
Входной ток (вывод [7])	$V_{PIN7} = 0\text{ В}$	—	-1	-5	—	-1	-5	мкА
Диапазон изменения рабочего цикла		0	—	80	0	—	85	%
Пороговый уровень нуля по постоянному току (вывод [3])	$V_{PIN7} = 0\text{ В}$	1.1	1.25	—	1.1	1.25	—	В
Задержка выходного сигнала		—	50	80	—	50	80	нс
БЛОК "МЯГКОГО" ЗАПУСКА								
Ток заряда	$V_{PIN8} = 0.5\text{ В}$	3	9	20	3	9	20	мкА
Ток разряда	$V_{PIN8} = 1\text{ В}$	1	—	—	1	—	—	мА

ЭЛЕКТРИЧЕСКИЕ ХАРАКТЕРИСТИКИ (Продолжение)

Параметр	Условия	Значение						Единица измерения
		UC1823/2823			UC3823			
		не менее	типичное	не более	не менее	типичное	не более	
БЛОК ТОКОВОГО ОГРАНИЧЕНИЯ И ОТКЛЮЧЕНИЯ								
Входной ток (вывод 9)	$0 < V_{PIN9} < 4 \text{ В}$	—	—	$\pm 10$	—	—	$\pm 10$	мкА
Напряжение смещения для токового ограничителя	$V_{PIN11} = 1.1 \text{ В}$	—	—	15	—	—	15	мВ
Диапазон синфазных напряжений для токового ограничителя ( $V_{PIN11}$ )		1.0	—	1.25	1.0	—	1.25	В
Пороговый уровень напряжения отключения		1.25	1.40	1.55	1.25	1.40	1.55	В
Задержка выходного сигнала		—	50	80	—	50	80	нс
ВЫХОДНОЙ КАСКАД								
НИЗКИЙ логический уровень выходного напряжения	$I_{OUT} = 20 \text{ мА}$	—	0.25	0.40	—	0.25	0.40	В
	$I_{OUT} = 200 \text{ мА}$	—	1.2	2.2	—	1.2	2.2	В
ВЫСОКИЙ логический уровень выходного напряжения	$I_{OUT} = -20 \text{ мА}$	13.0	13.5	—	13.0	13.5	—	В
	$I_{OUT} = -200 \text{ мА}$	12.0	13.0	—	12.0	13.0	—	В
Ток утечки коллектора	$V_C = 30 \text{ В}$	—	100	500	—	100	500	мкА
Время нарастания/спада	$C_L = 1 \text{ нФ}$	—	30	60	—	30	60	нс
БЛОК БЛОКИРОВКИ МИКРОСХЕМЫ ПРИ НЕДОПУСТИМО НИЗКОМ ВХОДНОМ НАПРЯЖЕНИИ								
Пороговый уровень запуска		8.8	9.2	9.6	8.8	9.2	9.6	В
Гистерезис схвмы отключения при понижении входного напряжения		0.4	0.8	1.2	0.4	0.8	1.2	В
ТОК ОТ ИСТОЧНИКА ПИТАНИЯ								
Пусковой ток	$V_{CC} = 8 \text{ В}$	—	1.1	2.5	—	1.1	2.5	мА
Рабочий ток потребления $I_{CC}$	$V_{PIN1} = V_{PIN7} = V_{PIN9} = 0 \text{ В}, V_{PIN2} = 1 \text{ В}$	—	22	33	—	22	33	мА

ТИПОВЫЕ ХАРАКТЕРИСТИКИ



## ТИПОВЫЕ ХАРАКТЕРИСТИКИ (ПРОДОЛЖЕНИЕ)

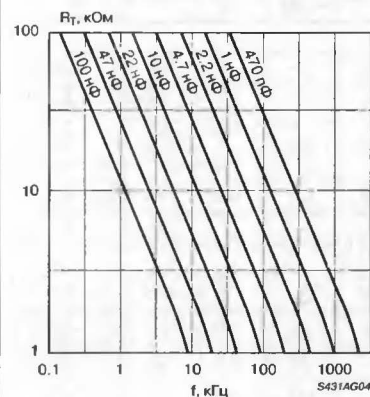
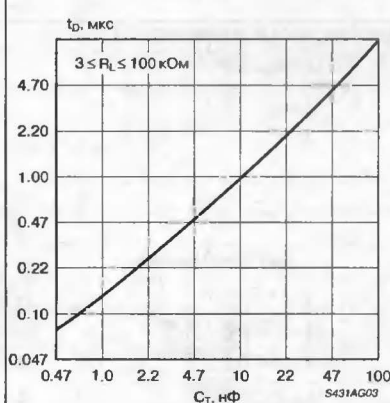
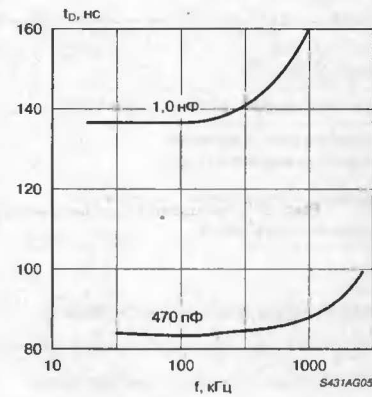
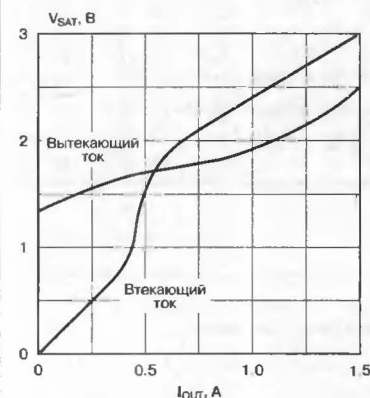
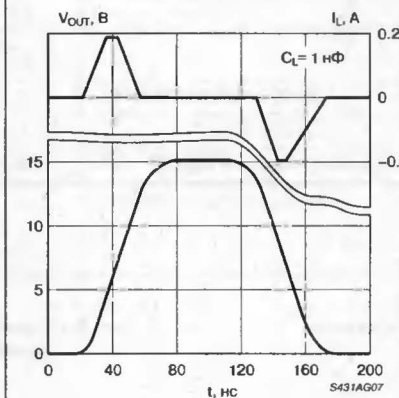
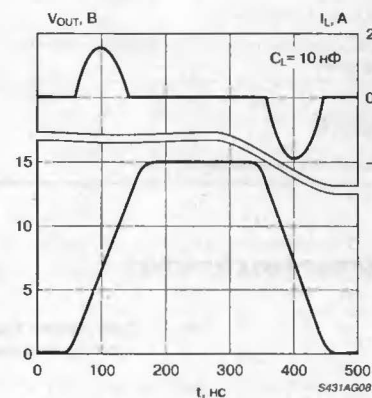
Рис. 3. Зависимость сопротивления  $R_T$  от частоты при различных значениях  $C_T$ Рис. 4. Зависимость "мертвого" времени от емкости конденсатора  $C_T$ Рис. 5. Зависимость "мертвого" времени от частоты и  $C_T$ 

Рис. 6. Зависимость напряжения насыщения от выходного тока

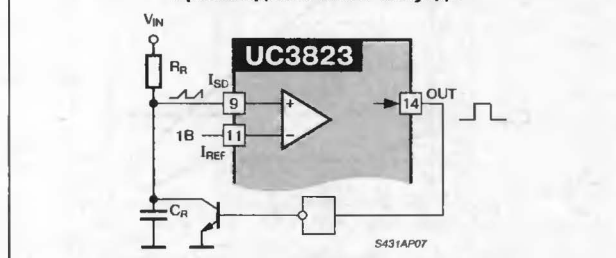
Рис. 7а. Формы выходного напряжения и тока при  $C_L = 1$  нФРис. 7б. Формы выходного напряжения и тока при  $C_L = 10$  нФ

## ФУНКЦИОНАЛЬНОЕ ОПИСАНИЕ

## ТОКОГРАНИЧИВАЮЩИЙ КОМПАРАТОР

На Рис. 8 изображена схема, позволяющая ограничивать величину произведения длительности выходных импульсов на их амплитуду (вольт-секунда) на некотором постоянном уровне. Так как это произведение определяет количество энергии, запасаемой катушкой индуктивности в каждом цикле, то ее ограничение предотвращает насыщение сердечника во время переходных процессов в нагрузке. Приведенная схема формирует на неинвертирующем входе токоограничивающего компаратора (вывод [9]) пилообразное напряжение. На инвертирующий вход (вывод [11]) подается опорное напряжение 1 В. Когда выход находится в состоянии ВКЛЮЧЕНО (ВЫСОКИЙ уровень напряжения), конденсатор  $C_R$  заряжается от напряжения  $V_{IN}$  через резистор  $R_R$ . При нормальной работе схемы выход переходит в состояние ВЫКЛЮЧЕНО и вызывает разряд конденсатора до того, как напряжение на нем достигнет величины 1 В. Если же конденсатор успевает зарядиться до 1 В, токоограничивающий компаратор тут же переводит выход в состояние ВЫКЛЮЧЕНО. Так как скорость заряда конденсатора пропорциональна напряжению  $V_{IN}$  (предполагается, что  $V_{IN}$  много

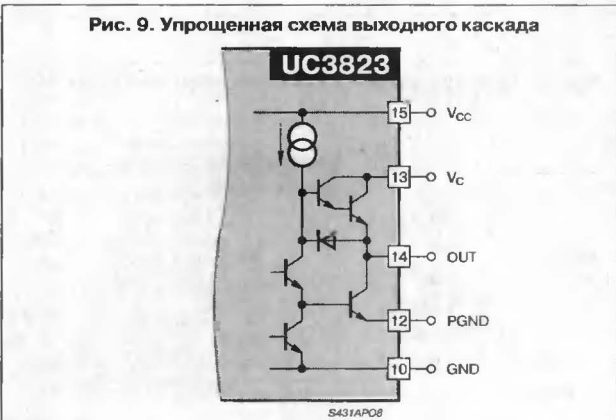
Рис. 8. Схема поддержания постоянного значения произведения вольт-секунда



больше чем 1 В), то тем самым достигается ограничение произведения вольт-секунда на уровне  $R_R C_R \times 1$  В. Задержка распространения сигнала с выхода через инвертор на базу разряжающего транзистора должна быть достаточно малой, чтобы конденсатор  $C_R$  успевал разрядиться даже при минимальной длительности выключенного состояния на выходе.

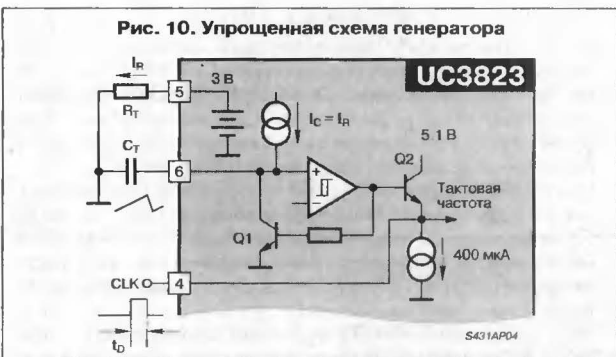
## ВЫХОДНОЙ КАСКАД

Выходной каскад рассчитан на управление мощным полевым транзистором, имеющим входную емкость до 1000 пФ, и обеспечивает его коммутацию с частотой до 1 МГц (См. Рис. 9). Наличие отдельных выводов  $V_C$  и PGND для питания выходного каскада позволяет развязать по питанию остальную часть схемы от импульсных помех, возникающих в этом каскаде. На Рис. 6 приведена зависимость напряжения насыщения от величины выходного тока, а на Рис. 7а и 7б показаны элюры нарастания и спада выходных импульсов для различных значений емкости нагрузки выходного каскада.



## ГЕНЕРАТОР

На первый взгляд схема RC-генератора (См. Рис. 10) не представляет из себя ничего необычного. Также как и ШИМ-компаратор, компаратор RC-генератора имеет верхнее и нижнее пороговые напряжения, равные 2.8 и 1 В, соответственно. Зарядный ток частото задающего конденсатора  $C_T$  является зеркальным току через частото задающего резистора  $R_T$ . Вывод для подключения частото задающего резистора имеет постоянное температурно-стабилизированное смещение, равное 3 В. Температурная стабильность генератора достигается, таким образом, обеспечением стабильности пороговых напряжений компаратора RC-генератора. Когда конденсатор  $C_T$  заряжается до верхнего порогового напряжения, транзистор Q1 открывается управляющим током, равным приблизительно 10 мА. Затем  $C_T$  разряжается до напряжения нижнего порогового уровня компаратора RC-генератора, после чего процесс повторяется. Это предотвращает насыщение транзистора Q1, уменьшает задержки и, в конечном итоге, позволяет работать на высоких частотах. Суммарная нестабильность частоты внутреннего



генератора 10% при рабочем значении 400 кГц (температурная нестабильность лучше 5%, а нестабильность, вызванная изменениями напряжения питания, равна 0.2%). Графики на Рис. 3 позволяют определить требуемое значение сопротивления  $R_T$  при заданном значении  $C_T$  для получения желаемой частоты генератора. На Рис. 4 и 5 приведена зависимость "мертвого" времени от частоты и емкости конденсатора  $C_T$ .

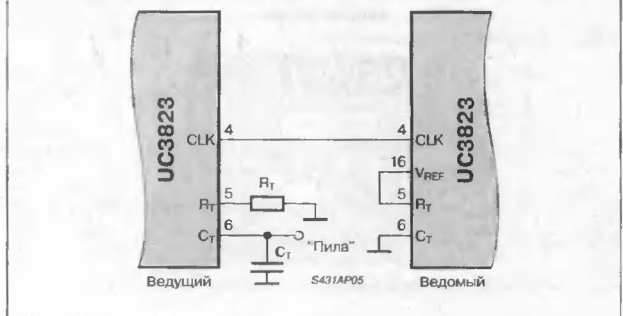
## СИНХРОНИЗАЦИЯ

Генератор допускает внешнюю синхронизацию от любого источника стабильной частоты. При необходимости можно синхронизировать две микросхемы UC3823 (См. Рис. 11), для чего генератор одной из них надо выключить, подав на вывод 5 опорное напряжение. Возможна синхронизация множества ведомых микросхем UC3823 от одной ведущей (См. Рис. 12) или от внешнего источника тактовой частоты. Для этого генераторы ведомых микросхем настраивают на частоту несколько ниже частоты ведущего генератора. Ведущий генератор вызывает заряд и разряд частото задающих емкостей ведомых генераторов, таким образом, синхронизируя их работу.

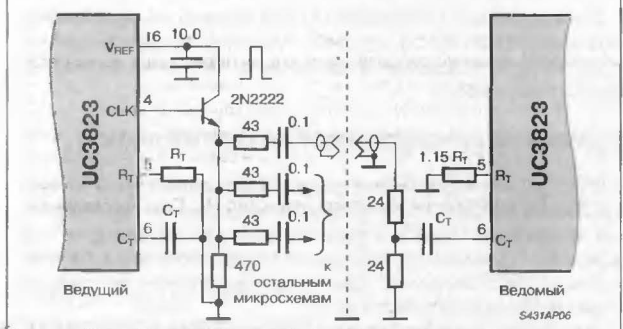
## УСИЛИТЕЛЬ СИГНАЛА ОШИБКИ

Усилитель сигнала ошибки представляет из себя усилитель напряжения, имеющий прекрасные значения полосы пропускания и скорости нарастания сигнала. На Рис. 13 показана упрощенная схемотехника усилителя сигнала ошибки. Передаточная характеристика усилителя имеет два нуля, расположенные до частоты единичного усиления на расширенной фазовой диаграмме. Один создается емкостью, включенной между подавляющими

**Рис. 11. Схема синхронизации двух близкорасположенных микросхем**



**Рис. 12. Схема синхронизации нескольких микросхем**



генерацию резисторами в первом каскаде, а второй образован резистором, включенным последовательно с конденсатором, определяющим доминирующий полюс. Подавляющие генерацию эмиттерные резисторы позволяют повысить уровень тока смещения первого каскада, что обеспечивает типовое значение скорости нарастания 12 В/мкс. Высокая скорость нарастания желательна для получения хорошей передаточной характеристики, но не является гарантией для получения минимального значения постоянной времени. Даже усилитель, имеющий высокую скорость нарастания, может обладать большой постоянной времени из-за насыщения транзисторов. Для решения этой проблемы все критические узлы усилителя сигнала ошибки зафиксированы диодами Шоттки. На Рис. 1 и 2 приведены частотные и временные характеристики.

Рис. 13. Упрощенная схема усилителя сигнала ошибки

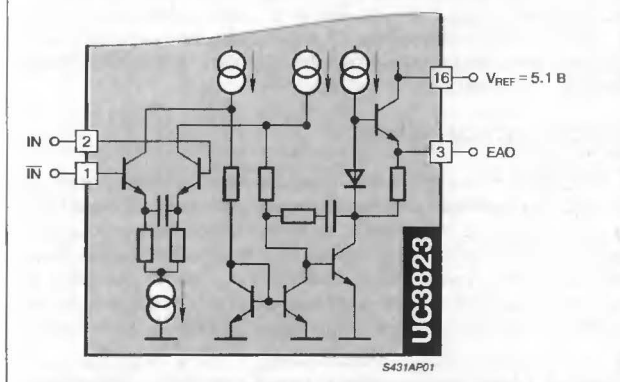
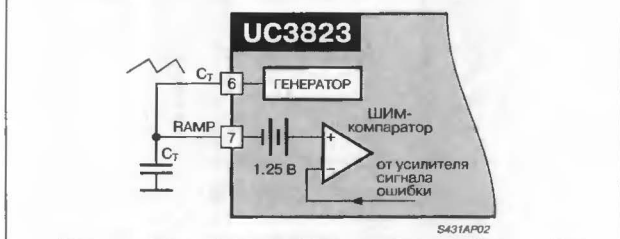


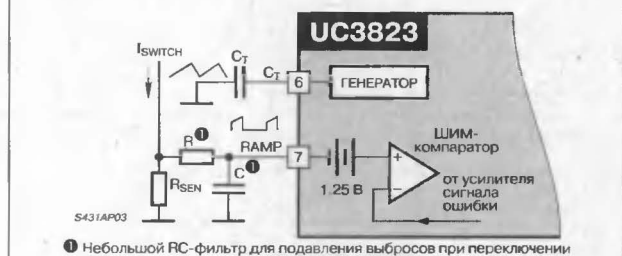
Рис. 14. Организация обычной обратной связи по напряжению



## ОБРАТНАЯ СВЯЗЬ

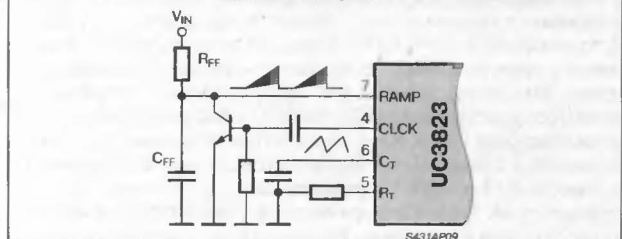
Строго говоря, обратная связь по напряжению должна присутствовать в схеме любого ШИМ-контроллера. Используемое в статье выражение "обратная связь по напряжению" означает только отсутствие обратной связи по току, т.е. дополнительной, второй петли обратной связи. Тогда выражение "обратная связь по току" означает наличие такой петли. Поэтому организация обратной связи по напряжению не требует никаких дополнительных схемотехнических усилий, кроме подачи пилообразного напряжения на вход ШИМ-компаратора (См. Рис. 14). Организация дополнительной петли обратной связи по току показана на Рис. 15.

Рис. 15. Организация дополнительной обратной связи по току



● Небольшой RC-фильтр для подавления выбросов при переключении

Рис. 16. Организация обратной связи с возможностью отслеживания возмущающих воздействий входного напряжения



## СХЕМА ВКЛЮЧЕНИЯ

Схема включения микросхемы UC3823 подобна схеме включения микросхемы UC3825 (См. стр. 246) с учетом отдельных моментов, изложенных в предыдущем разделе, и того, что UC3823 — однотактный прибор.

## РЕКОМЕНДАЦИИ ПО РАЗВОДКЕ И МОНТАЖУ ПЕЧАТНОЙ ПЛАТЫ

Обеспечение высокого быстродействия работы схемы требует повышенного внимания к топологии разводки монтажных соединений на печатной плате и к рациональному размещению на ней дискретных компонентов. Гарантированное обеспечение характеристик UC3823 возможно только при выполнении следующих правил монтажа печатной платы:

- Использование одной стороны печатной платы в качестве заземления.

- Демпфирование и ограничение выбросов, вызванных наличием паразитной индуктивности затвора внешнего МОП-транзистора. При этом напряжение на выходных выводах не должно опускаться ниже нуля. Для этой цели рекомендуется использование либо последовательно соединенного с затвором резистора, либо шунтирующего диода Шоттки на 1 А.
- Шунтирование выводов  $V_{CC}$ ,  $V_C$  и  $V_{REF}$ . Для этой цели рекомендуется применение керамических конденсаторов емкостью 0.1 мкФ с малым значением эквивалентной последовательной индуктивности. Допустимая суммарная длина выводов каждого конденсатора от шунтируемого вывода до поверхности заземления — не более 1 см.
- Тип и особенности монтажа задающего конденсатора  $C_T$  определяются приведенными выше требованиями к шунтирующим конденсаторам.



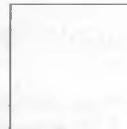
# КОНТРОЛЛЕР ПОНИЖАЮЩЕГО ПРЕОБРАЗОВАТЕЛЯ С 5-РАЗРЯДНЫМ ЦАП И СИНХРОННЫМ ВЫПРЯМЛЕНИЕМ 1184ЕУ1

Аналог  
CS-5155



**Cherry  
Semiconductor**

Товарные знаки  
фирм изготовителей



- ОСОБЕННОСТИ**
- Синхронный преобразователь на л-канальных транзисторах
  - Максимальная рабочая частота ..... выше 1 МГц
  - Переходная характеристика ..... 100 нс
  - 5-разрядный ЦАП
  - Время нарастания/спада напряжения на затворе ..... 30 нс
  - Работа от 5 и 12 В
  - Вход удапённого считывания
  - Программируемый мягкий запуск
  - Защита от короткого замыкания
  - Монитор напряжения питания
  - Время неперекрывтия ..... 25 нс
  - Дополнительная установка напряжения
  - Защита от перенапряжения

## ОБЩЕЕ ОПИСАНИЕ

Микросхема 1184ЕУ1 представляет собой синхронный контроллер понижающего преобразователя напряжения с 5-разрядным ЦАП установки выходного напряжения и является полным аналогом CS-5155. Схема отличается высоким быстродействием и предназначена для питания современных микропроцессоров. В приборе используется запатентованный фирмой "Cherry" метод  $V^2$ -управления, позволяющий получить время отклика на изменение нагрузки 100 нс. Микросхема допускает работу в диапазоне 4.5...20 В ( $V_{CC}$ ) и имеет следующие особенности: 5-разрядный ЦАП, защита от короткого замыкания, разброс выходного напряжения 1%, встроенный драйвер с выходным током до 1.5 А (peak), монитор  $V_{CC}$ , программируемый мягкий запуск.

## ЦОКОЛЕВКА КОРПУСОВ

### Пластмассовый корпус типа DIP-16

Вход задания напряжения ЦАП	$V_{ID0}$	1	16	$V_{FB}$	Вход ОС усилителя ошибки
Вход задания напряжения ЦАП	$V_{ID1}$	2	15	COMP	Вывод компенсации усилителя ошибки
Вход задания напряжения ЦАП	$V_{ID2}$	3	14	LGnd	Сигнальная земля
Вход задания напряжения ЦАП	$V_{ID3}$	4	13	$V_{CC1}$	Напряжение питания
Мягкий запуск	SS	5	12	$V_{GATE(L)}$	Вывод драйвера нижнего FET
Вход задания напряжения ЦАП	$V_{ID4}$	6	11	PGnd	Силовая земля
Конденсатор однократного запуска	$C_{OFF}$	7	10	$V_{GATE(H)}$	Вывод драйвера верхнего FET
Быстрая обратная связь	$V_{FFB}$	8	9	$V_{CC2}$	Напряжение питания драйвера транзистора верхнего плеча

### Пластмассовый корпус типа SOP-16

$V_{ID0}$	1	16	$V_{FB}$
$V_{ID1}$	2	15	COMP
$V_{ID2}$	3	14	LGnd
$V_{ID3}$	4	13	$V_{CC1}$
SS	5	12	$V_{GATE(L)}$
$V_{ID4}$	6	11	PGnd
$C_{OFF}$	7	10	$V_{GATE(H)}$
$V_{FFB}$	8	9	$V_{CC2}$

## СТРУКТУРНАЯ СХЕМА

Не имеет отличий от структурной схемы CS-5155, См. стр. 154.

## СХЕМА ПРИМЕНЕНИЯ

Не имеет отличий от схемы применения CS-5155, См. стр. 163-164.

## ТИПОНОМИНАЛЫ

Прибор	Корпус
КР1184ЕУ1	DIP-16
КФ1184ЕУ1	SOP-16



## КОНТРОЛЛЕР СИНХРОННОГО ПОНИЖАЮЩЕГО ПРЕОБРАЗОВАТЕЛЯ С 5-РАЗРЯДНЫМ ЦАП ДЛЯ ПИТАНИЯ ЦПУ

### ОСОБЕННОСТИ

- ♦ Синхронный преобразователь на двух *n*-канальных транзисторах
- ♦ Работа на частоте свыше 1 МГц
- ♦ Переходная характеристика ..... 100 нс
- ♦ Пятиразрядный ЦАП
- ♦ Совместимость сверху вниз с 4-разрядными CS-5150/5151 и регулируемые CS-5120/5121
- ♦ Время нарастания/спада напряжения на затворе ..... 30 нс
- ♦ Точность ЦАП ..... 1%
- ♦ Работа от 5 и 12 В
- ♦ Вход удалённого считывания
- ♦ Программируемый мягкий запуск
- ♦ Защита от короткого замыкания
- ♦ Монитор напряжения питания
- ♦ Время неперекрывтия ..... 25 нс
- ♦ Дополнительная установка напряжения
- ♦ Разделение токов
- ♦ Защита от перенапряжения

### ОБЩЕЕ ОПИСАНИЕ

Микросхема CS-5155 представляет собой 5-разрядный синхронный контроллер понижающего преобразователя напряжения на двух *n*-канальных полевых транзисторах. Он обеспечивает беспрецедентную переходную характеристику для современной высокоинтегрированной быстродействующей логики. В стабилизаторе используется запатентованный метод управления, позволяющий получить время отклика на изменение нагрузки 100 нс. Микросхема допускает работу в диапазоне 4.5...20 В ( $V_{CC}$ ) с номинальным напряжением питания схемы 12 В и основной шиной питания 5 или 12 В. Прибор разработан специально для питания процессоров Pentium® II и другой высокопроизводительной логики. Он обладает следующими особенностями: 5-разрядный ЦАП, защита от короткого замыкания, разброс выходного напряжения 1%, встроенный драйвер с выходным током до 1.5 А (peak), монитор  $V_{CC}$ , программируемый мягкий запуск. Контроллер CS-5155 совместим сверху вниз с 4-разрядным контроллером CS-5150 без каких-либо изменений конструкции печатной платы. Прибор выпускается в 16-выводном корпусе для поверхностного монтажа или корпусе типа DIP.

### ЦОКОЛЕВКА КОРПУСОВ

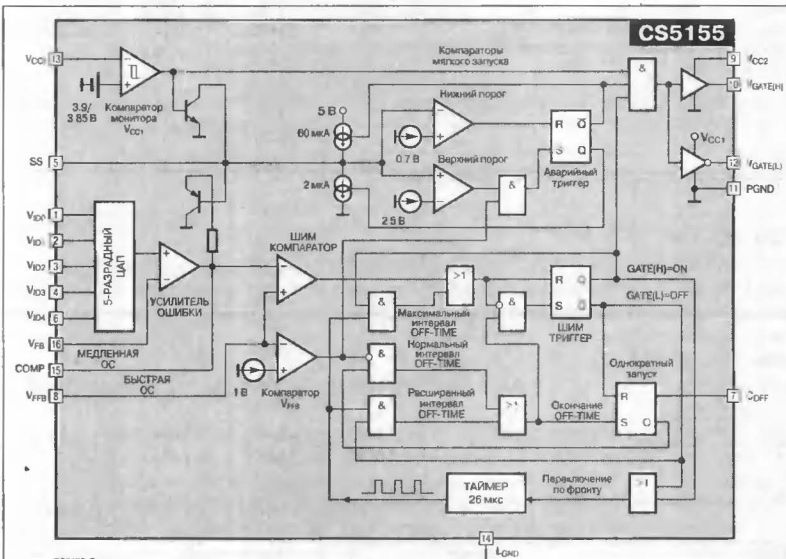
#### Пластмассовый корпус типа DIP-16

Вход задания напряжения ЦАП	$V_{ID0}$	1	16	$V_{FB}$	Вход ОС усилителя ошибки
Вход задания напряжения ЦАП	$V_{ID1}$	2	15	COMP	Вывод компенсации усилителя ошибки
Вход задания напряжения ЦАП	$V_{ID2}$	3	14	LGnd	Сигнальная земля
Вход задания напряжения ЦАП	$V_{ID3}$	4	13	$V_{CC1}$	Напряжение питания
Мягкий запуск	SS	5	12	$V_{GATE(L)}$	Вывод драйвера нижнего FET
Вход задания напряжения ЦАП	$V_{ID4}$	6	11	PGnd	Силовая земля
Конденсатор однократного запуска	C <sub>OFF</sub>	7	10	$V_{GATE(H)}$	Вывод драйвера верхнего FET
Быстрая обратная связь	$V_{FFB}$	8	9	$V_{CC2}$	Напряжение питания драйвера транзистора верхнего плеча

#### Пластмассовый корпус типа SO-16

$V_{ID0}$	1	16	$V_{FB}$
$V_{ID1}$	2	15	COMP
$V_{ID2}$	3	14	LGnd
$V_{ID3}$	4	13	$V_{CC1}$
SS	5	12	$V_{GATE(L)}$
$V_{ID4}$	6	11	PGnd
C <sub>OFF</sub>	7	10	$V_{GATE(H)}$
$V_{FFB}$	8	9	$V_{CC2}$

### СТРУКТУРНАЯ СХЕМА



CS5155\_B

Примечание: OFF-TIME — длительность закрытого состояния выходного ключа

### ТИПОНОМИНАЛЫ

Прибор	Корпус
CS-5155D16	SO-16N (9.9 мм)
CS-5155N16	DIP-16
CS-5155DR16	SO-16N, Tape & Reel

### МАКСИМАЛЬНЫЕ ЗНАЧЕНИЯ ПАРАМЕТРОВ И РЕЖИМОВ

Вывод	Напряжение, В	Ток, мА (DC)
$V_{CC1}$	-0.3...14	25
$V_{CC2}$	-0.3...20	20
SS	-0.3...6	-0.1
CDMP	-0.3...6	0.2
$V_{FB}$	-0.3...6	-0.2 мкА
C <sub>OFF</sub>	-0.3...6	-0.2 мкА
$V_{FFB}$	-0.3...6	-0.2 мкА
$V_{ID0}...V_{ID4}$	-0.3...6	-0.05
$V_{GATE(H)}$	-0.3...20	100
$V_{GATE(L)}$	-0.3...14	100
LGnd	0	25
PGnd	0	100
Температура пайки выводов:	пайка волной (монтаж в отверстия) оплавление поллуды	10 с (max), 260°C (peak) 60 с (max) свыше 183°C, 230°C (peak)

# ЭЛЕКТРИЧЕСКИЕ ХАРАКТЕРИСТИКИ

При  $0 < T_A < +70^\circ\text{C}$ ;  $0 < T_J < +85^\circ\text{C}$ ;  $8 < V_{CC1} < 14\text{ В}$ ;  $5 < V_{CC2} < 20\text{ В}$ ; ЦАП:  $V_{ID4} = V_{ID2} = V_{ID1} = V_{ID0} = 1$ ;  $V_{ID3} = 0$ ;  $CV_{GATE(L)} = CV_{GATE(H)} = 1\text{ нФ}$ ;  $C_{OFF} = 330\text{ пФ}$ ;  $C_{SS} = 0.1\text{ мкФ}$ , если не оговорено иное

Параметр	Условия	Значение			Единица измерения			
		не менее	типичное	не более				
УСИЛИТЕЛЬ ОШИБКИ								
Ток смещения $V_{FB}$	$V_{FB} = 0\text{ В}$	—	0.3	1.0	мкА			
Усиление при разомкнутой петле ОС	$1.25 < V_{COMP} < 4\text{ В}$ , прим. 1	50	60	—	дБ			
Полоса пропускания	Прим. 1	500	3000	—	кГц			
Втекающий ток COMP	$V_{COMP} = 1.5\text{ В}$ ; $V_{FB} = 3\text{ В}$ ; $V_{SS} > 2\text{ В}$	0.4	2.5	8.0	мА			
Вытекающий ток COMP	$V_{COMP} = 1.2\text{ В}$ ; $V_{FB} = 2.7\text{ В}$ ; $V_{SS} = 5\text{ В}$	30	50	70	мкА			
Ток фиксации COMP	$V_{COMP} = 0\text{ В}$ ; $V_{FB} = 2.7\text{ В}$	0.4	1.0	1.6	мА			
Высокий уровень COMP	$V_{FB} = 2.7\text{ В}$ ; $V_{SS} = 5\text{ В}$	4.0	4.3	5.0	В			
Низкий уровень COMP	$V_{FB} = 3\text{ В}$	—	160	300	В			
Коэффициент подавления пульсаций напряжения питания	$8 < V_{CC1} < 14\text{ В}$ @ 1 кГц; прим. 1	60	85	—	дБ			
МОНИТОР $V_{CC1}$								
Порог запуска	Переключение на выходе	3.75	3.90	4.05	В			
Порог останова	Отсутствие переключения на выходе	3.70	3.85	4.00	В			
Гистерезис	Запуск-останов	—	50	—	мВ			
ЦАП								
Входное пороговое напряжение	$V_{ID0}, V_{ID1}, V_{ID2}, V_{ID3}, V_{ID4}$	1.00	1.25	2.40	В			
Входное нагрузочное сопротивление (на питании)	$V_{ID0}, V_{ID1}, V_{ID2}, V_{ID3}, V_{ID4}$	25	50	100	кОм			
Напряжение открытого входа	—	4.85	5.00	5.15	В			
Разброс выходного напряжения ЦАП	Измер.: $V_{FB} = V_{COMP}$ , $25 \leq T_J \leq 85^\circ\text{C}$	—	—	1.0	%			
$V_{ID4}$	$V_{ID3}$	$V_{ID2}$	$V_{ID1}$	$V_{ID0}$				
0	1	1	1	1	1.3266	1.3400	1.3534	В
0	1	1	1	0	1.3761	1.3900	1.4039	В
0	1	1	0	1	1.4256	1.4400	1.4544	В
0	1	1	0	0	1.4751	1.4900	1.5049	В
0	1	0	1	1	1.5246	1.5400	1.5554	В
0	1	0	1	0	1.5741	1.5900	1.6059	В
0	1	0	0	1	1.6236	1.6400	1.6564	В
0	1	0	0	0	1.6731	1.6900	1.7069	В
0	0	1	1	1	1.7226	1.7400	1.7574	В
0	0	1	1	0	1.7721	1.7900	1.8079	В
0	0	1	0	1	1.8216	1.8400	1.8584	В
0	0	1	0	0	1.8711	1.8900	1.9089	В
0	0	0	1	1	1.9206	1.9400	1.9594	В
0	0	0	1	0	1.9701	1.9900	2.0099	В
0	0	0	0	1	2.0196	2.0400	2.0604	В
0	0	0	0	0	2.0691	2.0900	2.1109	В
1	1	1	1	1	1.2315	1.2440	1.2564	В
1	1	1	1	0	2.1186	2.1400	2.1614	В
1	1	1	0	1	2.2176	2.2400	2.2624	В
1	1	1	0	0	2.3166	2.3400	2.3634	В
1	1	0	1	1	2.4156	2.4400	2.4644	В
1	1	0	1	0	2.5146	2.5400	2.5654	В
1	1	0	0	1	2.6136	2.6400	2.6664	В
1	1	0	0	0	2.7126	2.7400	2.7674	В
1	0	1	1	1	2.8116	2.8400	2.8684	В
1	0	1	1	0	2.9106	2.9400	2.9694	В
1	0	1	0	1	3.0096	3.0400	3.0704	В
1	0	1	0	0	3.1086	3.1400	3.1714	В
1	0	0	1	1	3.2076	3.2400	3.2724	В
1	0	0	1	0	3.3066	3.3400	3.3734	В
1	0	0	0	1	3.4056	3.4400	3.4744	В
1	0	0	0	0	3.5046	3.5400	3.5754	В

## ЭЛЕКТРИЧЕСКИЕ ХАРАКТЕРИСТИКИ (ПРОДОЛЖЕНИЕ)

Параметр	Условия	Значение			Единица измерения
		не менее	типовое	не более	
V <sub>GATE(H)</sub> И V <sub>GATE(L)</sub>					
Напряжение насыщения при вытекающем токе 100 мА	Измер.: V <sub>CC1</sub> - V <sub>GATE(L)</sub> ; V <sub>CC2</sub> - V <sub>GATE(H)</sub>	—	1.2	2.0	В
Напряжение насыщения при втекающем токе 100 мА	Измер.: V <sub>GATE(H)</sub> - V <sub>PGnd</sub> ; V <sub>GATE(L)</sub> - V <sub>PGnd</sub>	—	1.0	1.5	В
Время нарастания	1 < V <sub>GATE(H)</sub> < 9 В; 1 < V <sub>GATE(L)</sub> < 9 В; V <sub>CC1</sub> = V <sub>CC2</sub> = 12 В	—	30	50	нс
Время спада	9 > V <sub>GATE(H)</sub> > 1 В; 9 > V <sub>GATE(L)</sub> > 1 В; V <sub>CC1</sub> = V <sub>CC2</sub> = 12 В	—	30	50	нс
Сквозной ток	Прим. 1	—	—	50	мА
Задержка V <sub>GATE(H)</sub> к V <sub>GATE(L)</sub>	Спад V <sub>GATE(H)</sub> до 2 В; V <sub>CC1</sub> = V <sub>CC2</sub> = 8 В; нарастание V <sub>GATE(L)</sub> до 2 В	—	25	50	нс
Задержка V <sub>GATE(L)</sub> к V <sub>GATE(H)</sub>	Спад V <sub>GATE(L)</sub> до 2 В; V <sub>CC1</sub> = V <sub>CC2</sub> = 8 В; нарастание V <sub>GATE(H)</sub> до 2 В	—	25	50	нс
Сопротивление V <sub>GATE(H)</sub> , V <sub>GATE(L)</sub>	Резистор на LGnd	20	50	100	кОм
Диод Шоттки V <sub>GATE(H)</sub> , V <sub>GATE(L)</sub>	LGnd к V <sub>GATE(H)</sub> @ 10 мА; LGnd к V <sub>GATE(L)</sub> @ 10 мА	—	600	800	мВ
МЯГКИЙ ЗАПУСК (SS)					
Время заряда	—	1.6	3.3	5.0	мс
Период следования импульсов	—	25	100	200	мс
Рабочий цикл	(Время заряда/Период) x 100	1.0	3.3	6.0	%
Напряжение фиксации COMP	V <sub>FB</sub> = 0 В; V <sub>SS</sub> = 0	0.50	0.95	1.10	В
Аварийный запрет SS V <sub>FFB</sub>	V <sub>GATE(H)</sub> = НИЗКИЙ; V <sub>GATE(L)</sub> = НИЗКИЙ	0.9	1.0	1.1	В
Верхний порог	—	—	2.5	3.0	В
ШИМ-КОМПАРАТОР					
Переходная характеристика	V <sub>FFB</sub> = 0 к 5 В; V <sub>GATE(H)</sub> = 9 к 1 В; V <sub>CC1</sub> = V <sub>CC2</sub> = 12 В	—	100	125	нс
Ток смещения V <sub>FFB</sub>	V <sub>FFB</sub> = 0 В	—	0.3	—	мкА
ТОК ПОТРЕБЛЕНИЯ					
I <sub>CC1</sub>	Отсутствие переключений	—	8.5	13.5	мА
I <sub>CC2</sub>	Отсутствие переключений	—	1.6	3.0	мА
Рабочий I <sub>CC1</sub>	V <sub>FB</sub> = V <sub>COMP</sub> = V <sub>FFB</sub>	—	8	13	мА
Рабочий I <sub>CC2</sub>	V <sub>FB</sub> = V <sub>COMP</sub> = V <sub>FFB</sub>	—	2	5	мА
C <sub>OFF</sub>					
Нормальное время заряда	V <sub>FFB</sub> = 1.5 В; V <sub>SS</sub> = 5 В	1.0	1.6	2.2	мкс
Расширенное время заряда	V <sub>SS</sub> = V <sub>FFB</sub> = 0 В	5.0	8.0	11.0	мкс
Время разряда	C <sub>OFF</sub> до 5 В; V <sub>FB</sub> > 1 В	5.0	—	—	мА
ТАЙМ-АУТ-ТАЙМЕР					
Время отключения	V <sub>FB</sub> = V <sub>COMP</sub> ; большая длительность импульса записи V <sub>GATE(H)</sub>	10	30	50	мкс
Рабочий цикл в аварийном режиме	V <sub>FFB</sub> = 0 В	35	50	65	%

## Примечание

1. Гарантируется конструкцией, выборочный контроль при производстве

## ОПИСАНИЕ ВЫВОДОВ

Вывод	Обозначение	Описание
1, 2, 3, 4, 6	$V_{ID0} \dots V_{ID4}$	Входы задания напряжения ЦАП. Эти выводы имеют внутренние резисторы на плюс питания. $V_{ID4}$ определяет рабочий диапазон ЦАП. Когда $V_{ID4} = \text{ВЫСОКИЙ}$ (логическая "1"), ЦАП работает в диапазоне 2.14...3.54 В с дискретностью 100 мВ, а когда $V_{ID4} = \text{НИЗКИЙ}$ (логический "0"), диапазон ЦАП составляет 1.34...2.09 В с дискретностью 50 мВ. Входы $V_{ID0} \dots V_{ID4}$ определяют выходное напряжение ЦАП в соответствии с таблицей электрических параметров. Если все пять входов открыты, выходное напряжение ЦАП равно 1.244 В и допускает регулировку обычным резистивным делителем
5	SS	Мягкий запуск. Конденсатор между этим выводом и землей в сочетании с внутренним источником тока 60 мкА обеспечивают функцию мягкого запуска контроллера. Этот вывод блокирует аварийное детектирование в процессе мягкого запуска. При аварийной ситуации ёмкость мягкого запуска медленно разряжается внутренним источником 2 мкА, определяющим паузу до перезапуска ИС. Отношение тока заряда к току разряда, равное 30, задаёт рабочий цикл микросхемы при коротком замыкании выхода стабилизатора
7	$C_{OFF}$	Конденсатор между этим выводом и землей устанавливает время однократного запуска, когда используется архитектура с постоянным отключением
8	$V_{FFB}$	Быстрая обратная связь к ШИМ-компаратору. Этот вывод подключён к выходу стабилизатора. Внутренняя петля обратной связи временно размыкается
9	$V_{CC2}$	Повышенное питание драйвера ключевого транзистора верхнего плеча
10	$V_{GATE(H)}$	Выход драйвера верхнего FET с нагрузочной способностью до 1.5 А (peak). Внутренние схемы предотвращают одновременное включение $V_{GATE(H)}$ и $V_{GATE(L)}$
11	PGnd	Силовая земля микросхемы. MOSFET-драйверы работают относительно этого вывода. Земля входной ёмкости и исток нижнего FET должны быть соединены с PGnd
12	$V_{GATE(L)}$	Выход драйвера нижнего FET с нагрузочной способностью до 1.5 А (peak)
13	$V_{CC1}$	Вход питания микросхемы и драйвера ключевого транзистора нижнего плеча
14	LGnd	Сигнальная земля микросхемы. Все управляющие схемы работают относительно этого вывода
15	COMP	Вывод компенсации усилителя ошибки. Подключение внешней ёмкости на землю для частотной коррекции усилителя
16	$V_{FB}$	Вход обратной связи по постоянному току усилителя ошибки. Это основная обратная связь по напряжению, определяющая выходное напряжение стабилизатора. Данный вывод может быть соединён с выходом непосредственно или через удалённую следующую связь (удалённое считывание)



## ФУНКЦИОНАЛЬНОЕ ОПИСАНИЕ

МЕТОД УПРАВЛЕНИЯ V<sup>2</sup>

V<sup>2</sup>-метод управления использует пилообразный сигнал, который генерируется на эквивалентном последовательном сопротивлении (ESR) выходных емкостей. Эта "пила" пропорциональна переменному току, текущему через основной дроссель, и имеет постоянное смещение, равное постоянной составляющей выходного напряжения. Данная схема управления компенсирует любые изменения питания или нагрузки, так как пилообразный сигнал генерируется непосредственно из выходного напряжения. V<sup>2</sup>-управление отличается от традиционной техники управления, такой как управление по напряжению, при котором генерируется искусственная "пила", или управление по току (дополнительная обратная связь по току), когда "пила" генерируется из тока дросселя.

Рис. 1. Диаграмма V<sup>2</sup>-управления

V<sup>2</sup>-метод управления иллюстрирует **Рис. 1**. Выходное напряжение используется для генерации как сигнала ошибки, так и пилообразного сигнала. Так как "пила" — это просто выходное напряжение, на неё влияет любое изменение на выходе, независимо от источника изменений. Пилообразный сигнал содержит также постоянную составляющую выходного напряжения, что позволяет схеме управления изменять рабочий цикл выходного ключа от 0 до 100%.

Изменение линейного напряжения приводит к изменению нарастания тока в дросселе, что изменяет пилообразный сигнал, который в свою очередь приводит к компенсации коэффициента заполнения схемой V<sup>2</sup>-управления. Изменение тока дросселя изменяет пилообразный сигнал, как и при токовом управлении, поэтому схема V<sup>2</sup>-управления обладает теми же преимуществами при стабилизации по напряжению питания.

Изменение тока нагрузки влияет на выходное напряжение, что также отражается на пилообразном сигнале и приводит к немедленному изменению состояния выхода компаратора, который управляет главным ключом. Отклик на изменение нагрузки определяется только временем отклика компаратора и быстродействием главного ключа. Время реакции на приращение нагрузки не зависит от граничной частоты контура сигнала ошибки, как в традиционных методах управления.

Контур сигнала ошибки может иметь низкую граничную частоту, так как переходная характеристика схемы определяется контуром пилообразного сигнала. Основное назначение этой "медленной" обратной связи — обеспечить точность по постоянному току. Помехоустойчивость данной схемы значительно выше, так как полоса пропускания усилителя ошибки ограничена низкой частотой. Большая помехоустойчивость позволяет улучшить удалённое считывание выходного напряжения, так как шум, вызванный длинной линией обратной связи, может быть эффективно отфильтрован.

Значительно улучшена стабилизация по напряжению и току, что связано с наличием двух независимых контуров обратной связи. Управление по напряжению основывается на изменении сигнала ошибки для компенсации изменений линейного и нагрузочного напряжения. Это изменение сигнала ошибки приводит к изменению выходного напряжения в соответствии с коэффициентом усиления усилителя ошибки, что и определяется как стабилизация по напряжению и току. Контроллер с управлением по току поддерживает фиксированную величину сигнала ошибки при изменении линейного напряжения, так как при этом изменяется наклон пилообразного напряжения, но при изменении нагрузки стабилизация по-прежнему основывается на изменении сигнала ошибки. V<sup>2</sup>-метод управления поддерживает фиксированную величину сигнала ошибки как для изменений линейного напряжения, так и тока нагрузки, потому что и то и другое изменение воздействуют на пилообразный сигнал.

## ПОСТОЯННОЕ ВРЕМЯ ВЫКЛЮЧЕННОГО СОСТОЯНИЯ (OFF TIME)

Для максимизации переходной характеристики в CS-5155 используется метод постоянного времени выключенного состояния, который позволяет управлять скоростью следования выходных импульсов. При нормальной работе время непроводящего состояния ключа верхнего плеча прерывается после фиксированного периода, определяемого ёмкостью C<sub>OFF</sub>. Чтобы поддерживать стабилизацию, контур V<sup>2</sup>-управления изменяет время включённого состояния. ШИМ-компаратор следит за нарастанием выходного напряжения и закрывает выходной ключ.

Постоянное время выключенного состояния имеет ряд преимуществ. Рабочий цикл ключа может изменяться в пределах 0...100% при переходных процессах напряжения питания или нагрузки, причём могут поддерживаться длительное время значения как 0, так и 100%. Появляется возможность избежать компенсации наклона ШИМ для предотвращения субгармонической генерации при больших коэффициентах заполнения.

Время включённого состояния ограничено внутренним таймером на 25 мкс, что минимизирует нагрузку на силовые компоненты.

## ПРОГРАММИРУЕМЫЙ ВЫХОД

Микросхема CS-5155 обеспечивает два метода программирования выходного напряжения источника питания. 5-разрядный цифро-аналоговый преобразователь обеспечивает два диапазона выходного напряжения: 2.14...3.54 В с приращением 100 мВ и 1.34...2.09 В с приращением 50 мВ, в зависимости от цифрового кода. Если все битовые входы оставить открытыми (или подать на них логические "1"), то микросхема переходит в режим аналоговой подстройки, в котором пользователь может получить любое выходное напряжение подбором резистивного делителя на выводах V<sub>FB</sub> и V<sub>FB</sub>, как в традиционных стабилизаторах напряжения. Микросхема CS-5155 прямо заменяет контроллер CS-5150, имеющий 4-разрядный ЦАП.

## ЗАПУСК

До тех пор, пока напряжение питания V<sub>CC1</sub> не превышает порог монитора 3.9 В, выводы мягкого запуска и затворов имеют низкий потенциал. Аварийный (FAULT) триггер сброшен. Выход усилителя ошибки (COMP) поддерживается на уровне 1 В защёлкой компаратора. Как только V<sub>CC1</sub> превысит порог 3.9 В, активируется выход GATE(H), и начинается заряд ёмкости мягкого запуска. Выход GATE(H) открывает n-FET-ключ и остаётся включённым, пока его не отключит ШИМ-компаратор или таймер времени включённого состояния (ON-TIME).

Если таймер ON-TIME срабатывает прежде, чем выходное напряжение стабилизатора достигает 1 В, импульс прерывается. Выход GATE(H) становится НИЗКИМ, а выход GATE(L) — ВЫСОКИМ для получения расширенного времени OFF-TIME, приблизительно равного

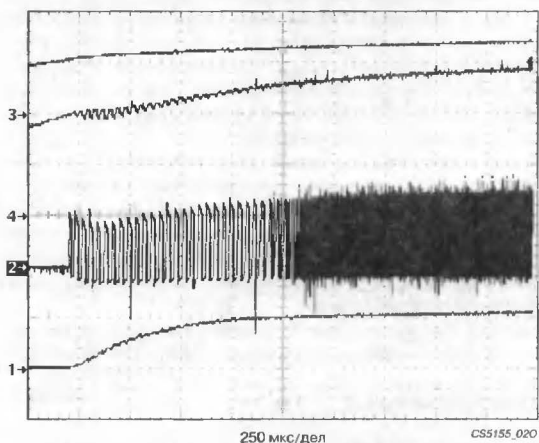


максимальному времени ON-TIME, что приводит к рабочему циклу порядка 50%. Затем выход GATE(L) становится НИЗКИМ, а GATE(H) – ВЫСОКИМ, и цикл повторяется.

Когда выходное напряжение стабилизатора достигает 1 В, начинается режим стабилизации и обеспечивается нормальное время ON-TIME. ШИМ-компаратор ограничивает время включённого состояния ON-TIME, при этом время OFF-TIME устанавливается ёмкостью  $C_{OFF}$ . Контур  $V^2$ -управления подстраивает коэффициент заполнения так, чтобы выходное напряжение отслеживало выход усилителя ошибки.

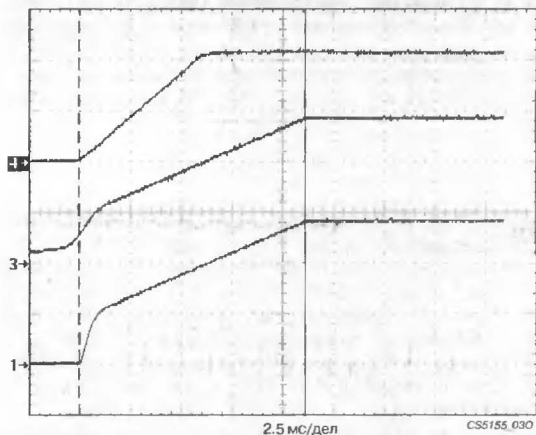
Конденсаторы мягкого запуска и COMP будут заряжаться до максимального значения, обеспечивая контролируемое включение выхода стабилизатора. Время включённого состояния стабилизатора определяется зарядом ёмкости COMP до её финального значения, которое ограничено напряжением на выводе мягкого запуска (См. Рис. 2 и 3).

**Рис. 2. Запуск CS-5155 при подаче питания 12 и 5 В. За расширенным временем OFF-TIME следует работа с нормальным временем OFF-TIME, когда начинается стабилизация выходного напряжения**



- 1 — Выходное напряжение стабилизатора (1 В/дел.), 1.04 В (High)
- 2 — Узел подключения дросселя (2 В/дел.), 2.88 В (High)
- 3 — Вход 12 В ( $V_{CC1}$  и  $V_{CC2}$ ) (5 В/дел.), 6.6 В (High)
- 4 — Вход 5 В (1 В/дел.), 2.8 В (High)

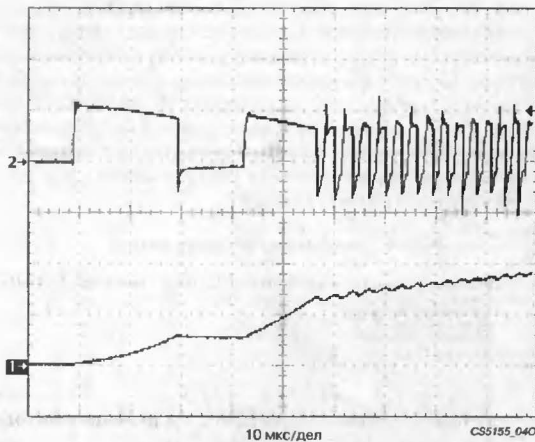
**Рис. 3. Осциллограммы запуска микросхемы CS-5155**



- 1 — Выходное напряжение стабилизатора (1 В/дел.), 2.84 В (High)
  - 2 — Вывод COMP (выход усилителя ошибки) (1 В/дел.)
  - 3 — Вывод мягкого запуска (2 В/дел.)
- Δ: 11.10 мс, @: 10.15 В

Если быстро растёт входное напряжение, или происходит внешнее разблокирование выхода стабилизатора, то рост выходного напряжения до уровня, установленного усилителем ошибки, происходит быстрее, обычно за пару циклов (См. Рис. 4).

**Рис. 4. Осциллограмма запуска при внешнем сигнале разрешения**

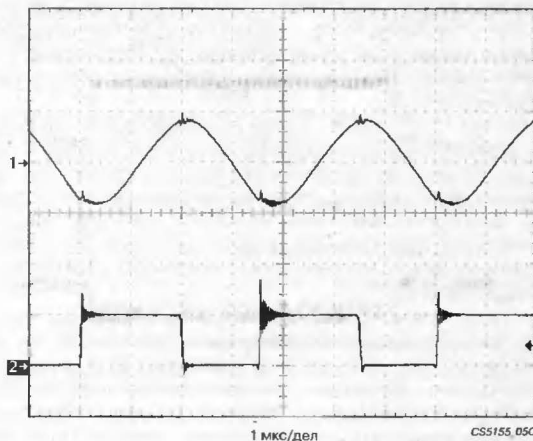


- 1 — Выходное напряжение стабилизатора (5 В/дел.), 840 мВ (High)
- 2 — Узел подключения дросселя (5 В/дел.)

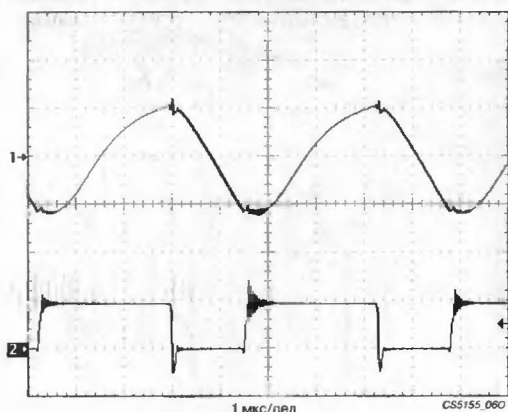
#### НОРМАЛЬНАЯ РАБОТА

При нормальной работе время отключённого состояния OFF-TIME постоянно и определяется ёмкостью конденсатора  $C_{OFF}$ . Время ON-TIME регулируется контуром  $V^2$ -управления для поддержания стабилизации. Это приводит к изменению частоты переключений, коэффициента заполнения и к выходным пульсациям в ответ на изменение нагрузки или напряжения питания. Пульсации выходного напряжения определяются пульсациями тока дросселя и ЭПС (ESR) выходных емкостей (См. Рис. 5 и 6).

**Рис. 5. Иллюстрация пульсаций при  $V_{OUT} = 2.8$  В и  $I_{OUT} = 0.5$  А (малая нагрузка)**



**Рис. 6. Иллюстрация пульсаций при  $V_{OUT} = 2.8 \text{ В}$  и  $I_{OUT} = 0.5 \text{ А}$  (большая нагрузка)**



1 — Выходное напряжение стабилизатора (5 В/дел.), амплитуда 20.4 мВ  
2 — Узел подключения дросселя (5 В/дел.),  $f = 233.152 \text{ кГц}$ , Duty = 64.4%

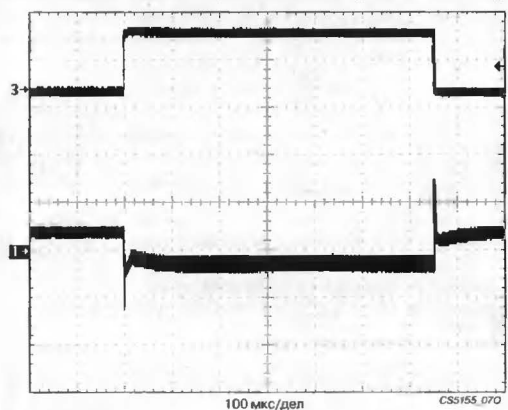
### ПЕРЕХОДНАЯ ХАРАКТЕРИСТИКА

$V^2$ -управление позволяет достичь беспрецедентной переходной характеристики при изменении входного напряжения и выходного тока. Подцикловая регулировка коэффициента заполнения приводит к быстрому росту тока дросселя до требуемого уровня. Так как ток дросселя не может изменяться мгновенно, в течение времени, необходимого на его изменение, стабилизация поддерживается выходной ёмкостью(ями).

Также улучшен отклик на перегрузку по току посредством "адаптивной установки напряжения". Эта техника заранее смещает напряжение на выходной ёмкости для снижения отклонения выходного напряжения при изменении нагрузки.

Разброс в 1% позволяет поднять напряжение опорного источника усилителя ошибки на +40 мВ без потери точности по постоянно-му току. "Понижающий резистор", расположенный на печатной плате, связывает вывод усилителя ошибки ( $V_{FB}$ ) с выходной ёмкостью и нагрузкой так, чтобы через него протекал выходной ток. В отсутствие нагрузки постоянное падение напряжения на резисторе отсутствует, выходное напряжение отслеживает напряжение на усилителе ошибки, включая смещение +40 мВ. При полной нагрузке падение напряжения на резисторе составляет порядка 80 мВ. Это приводит к смещению выходного напряжения -40 мВ.

**Рис. 7. Переходная характеристика при импульсе выходного тока от 0.5 до 13 А (выходное напряжение 2.8 В)**

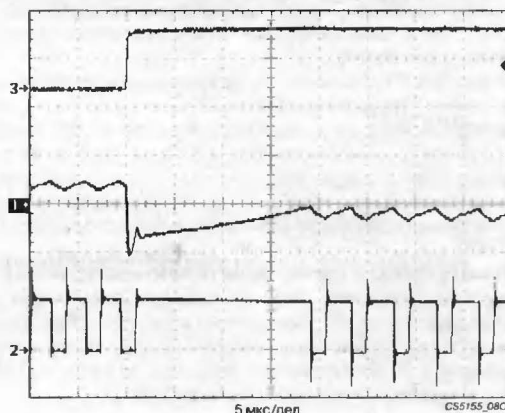


1 — Выходное напряжение стабилизатора (1 В/дел.), 2.948 В (max), 2.672 В (min), 276 мВ (p-p)  
3 — Выходной ток стабилизатора (20 В/дел.)

В результате адаптивной установки напряжения появляется дополнительный запас переходной характеристики до выхода за установленные пределы. Когда нагрузочный ток внезапно увеличивается от минимального значения, выходная ёмкость смещена на +40 мВ. И наоборот, когда выходной ток внезапно снижается от максимального уровня, выходная ёмкость смещена на -40 мВ (См. Рис. 7, 8 и 9). Для улучшения переходной характеристики обычно используется комбинация двух (и больше) выходных конденсаторов: небольшого высокочастотного и низкочастотного большой ёмкости.

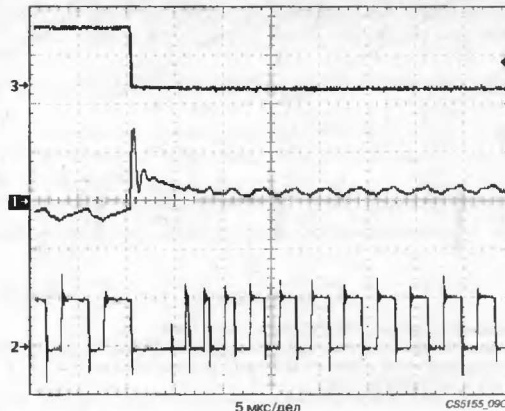
Если при внезапном увеличении нагрузочного тока происходит превышение максимального времени включённого состояния, то наступает нормальное время OFF-TIME для предотвращения насыщения выходного дросселя.

**Рис. 8. Переходная характеристика при подключении нагрузки 13 А (выходное напряжение 2.8 В). По достижении нормального времени OFF-TIME контур  $V^2$ -управления немедленно подключает дроссель к входному напряжению, обеспечивая рабочий цикл 100%. Стабилизация достигается менее чем за 20 мкс.**



1 — Выходное напряжение стабилизатора (1 В/дел.), 2.848 В (max), 2.692 В (min), 156 мВ (p-p)  
2 — Точка подключения дросселя (5 В/дел.)  
3 — Выходной ток (от 0.5 до 13 А) (20 В/дел.)

**Рис. 9. Переходная характеристика при отключении нагрузки 13 А (выходное напряжение 2.8 В).  $V^2$ -управление немедленно подключает дроссель к земле, обеспечивая коэффициент заполнения 0%. Стабилизация достигается менее чем за 10 мкс**



1 — Выходное напряжение стабилизатора (1 В/дел.)  
2 — Точка подключения дросселя (5 В/дел.), 2.948 В (max), 2.756 В (min), 192 мВ (p-p)  
3 — Выходной ток (от 13 до 0.5 А) (20 В/дел.)

## ОСОБЕННОСТИ ЗАЩИТЫ И МОНИТОРИНГА

### МОНИТОР $V_{CC1}$

Монитор  $V_{CC1}$  используется для предотвращения работы при питании менее 3.75 В с целью поддержания предсказуемых характеристик запуска и отключения. Компаратор монитора  $V_{CC1}$  обеспечивает гистерезис и гарантирует минимальный порог отключения 3.70 В.

### ЗАЩИТА ОТ КОРОТКОГО ЗАМЫКАНИЯ

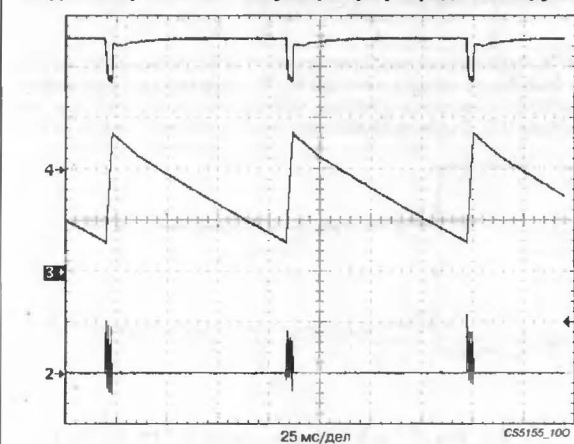
Для работы пульсирующей схемы защиты от короткого замыкания требуется только один конденсатор мягкого запуска. В условиях короткого замыкания ( $V_{FFB} < 1$  В) компаратор пониженного  $V_{FFB}$  устанавливает аварийный (FAULT) триггер. Это приводит к запертию верхнего MOSFET и отключению дросселя от входного напряжения. Конденсатор мягкого запуска медленно разряжается током 2 мкА до нижнего порога 0.7 В. Затем стабилизатор пытается произвести нормальный перезапуск в режиме расширенного времени OFF-TIME и при рабочем цикле 50%, при этом конденсатор заряжается током 60 мкА.

Если условия КЗ сохраняются, то выход стабилизатора не достигнет нижнего порога компаратора  $V_{FFB}$  в 1 В за время заряда конденсатора мягкого запуска до верхнего порога 2.5 В. Цикл повторяется до тех пор, пока не исчезнет КЗ. Отношение токов заряда и разряда конденсатора мягкого запуска определяет рабочий цикл импульсов (2 мкА/60 мкА = 3.3%), тогда как реальный рабочий цикл в два раза меньше благодаря режиму расширенного времени OFF-TIME (1.65%).

Эта защита приводит к меньшим нагрузкам на компоненты стабилизатора, входной источник питания и печатную плату, которые неизбежны при защите с постоянным уровнем тока КЗ (См. Рис. 10 и 11).

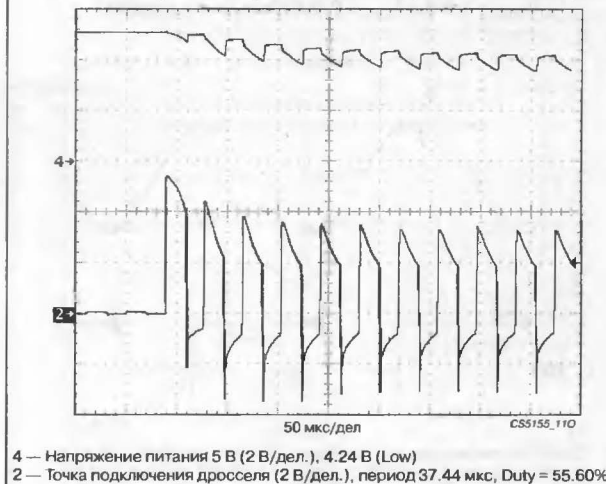
Если условия КЗ устранены, выходное напряжение поднимается выше порога 1 В, предотвращая установку аварийного (FAULT) триггера, и возобновляется нормальная работа.

Рис. 10. Пульсирующий режим защиты от короткого замыкания. Импульсы на затвор поступают только при заряде конденсатора мягкого запуска, а при разряде блокируются



- 4 — Напряжение питания 5 В (2 В/дел.), 3.52 В (Low)
- 3 — Времязадающий конденсатор мягкого запуска (1 В/дел.)
- 2 — Точка подключения дросселя (2 В/дел.), период 88.64 мс, 2.74 В (max), 560 мВ (min)

Рис. 11. Запуск с закороченным выходом стабилизатора



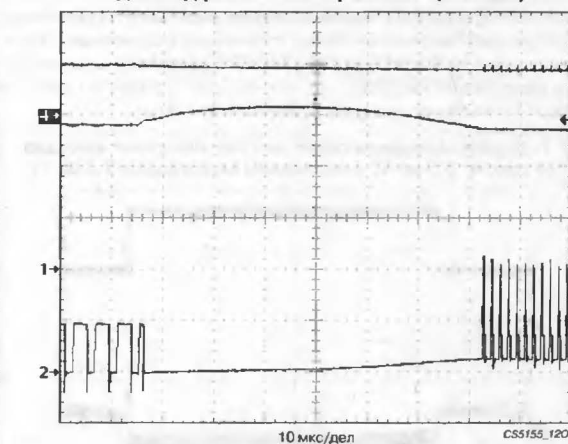
- 4 — Напряжение питания 5 В (2 В/дел.), 4.24 В (Low)
- 2 — Точка подключения дросселя (2 В/дел.), период 37.44 мкс, Duty = 55.60%

### ЗАЩИТА ОТ ПЕРЕНАПРЯЖЕНИЯ

Защита от перенапряжения (OVP) обеспечивается нормальной работой метода управления  $V^2$  и не требует дополнительных внешних компонентов. Управляющий контур реагирует на условие повышенного напряжения в пределах 100 нс, вызывая запирающее верхнего MOSFET, отключая тем самым стабилизатор от входного напряжения. Затем активируется нижний MOSFET, что приводит к шунтирующему действию для фиксации выходного напряжения и предотвращения повреждений в нагрузке (См. Рис. 12 и 13). Стабилизатор остается в этом состоянии до тех пор, пока не исчезнет перегрузка или до отключения напряжения питания.

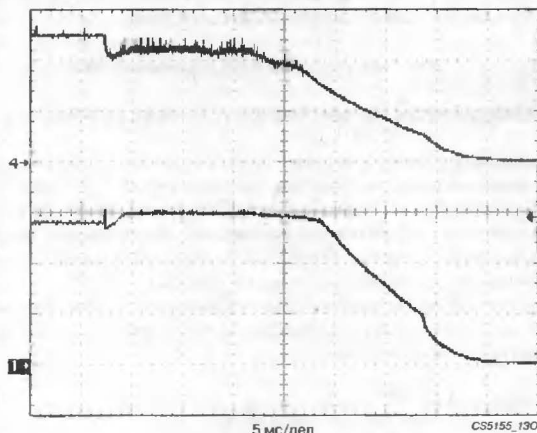
Для правильного использования OVP необходим правильный выбор нижнего FET и топологии печатной платы.

Рис. 12. Защита от перенапряжения при коротком замыкании вход-выход (обеспечение рабочего цикла 0%)



- 4 — Питание 5 В (% В/дел.), 5.1 В (max), 4.2 В (min)
- 1 — Выходное напряжение стабилизатора (1 В/дел.), 3.14 В (max), 2.68 В (min)
- 2 — Точка подключения дросселя (5 В/дел.)

Рис. 13. Защита от перенапряжения при коротком замыкании вход-выход шунтированием входного напряжения на землю

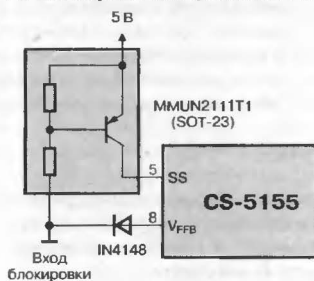


4 — Питание 5 В (% В/дел.)  
1 — Выходное напряжение стабилизатора (1 В/дел.), 3.08 В (max)

### ВНЕШНЯЯ СХЕМА БЛОКИРОВКИ ВЫХОДА

Управление включением/выключением стабилизатора можно осуществить посредством введения двух дискретных компонентов (См. Рис. 14). Эта схема подаёт ВЫСОКИЙ уровень на вход мягкого запуска и НИЗКИЙ уровень на вход  $V_{FFB}$ , эмулируя тем самым условия КЗ.

Рис. 14. Блокировка микросхемы CS-5155



### ВНЕШНЯЯ СХЕМА КОНТРОЛЯ НОРМАЛЬНОГО ПИТАНИЯ (POWER GOOD)

Введение четырёх дополнительных внешних компонентов позволяет генерировать сигнал "Power Good" (См. Рис. 15). Пороговое напряжение для данного сигнала регулируется в соответствии со следующим уравнением:

$$V_{\text{POWER GOOD}} = 0.65 \text{ [В]} \times \frac{(R1 + R2)}{2}$$

Эта схема обеспечивает выход с открытым коллектором, который при напряжении стабилизатора, меньшем, чем  $V_{\text{POWER GOOD}}$ , переводит выход "Power Good" в низкопотенциальное состояние.

Рис. 15. Получение сигнала "Power Good" для микросхемы CS-5155

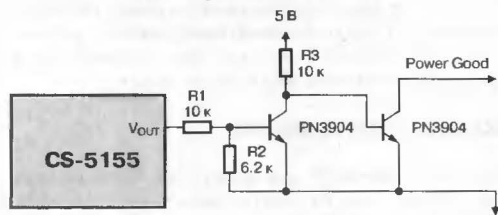
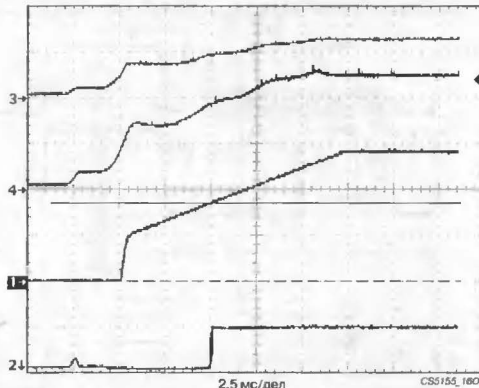


Рис. 16. Демонстрация сигнала Power Good при включении, сигнал PG активируется при выходном напряжении 1.70 В



3 — Вход 12 В ( $V_{CC1}$  и  $V_{CC2}$ ) (10 В/дел.), 12.8 В (High)  
4 — Вход 5 В (2 В/дел.), 4.96 В (High)  
1 — Выходное напряжение стабилизатора (1 В/дел.), 2.84 В (High)  
2 — Сигнал "Power Good" (2 В/дел.)  
Δ: 1.70 В, @: 1.70 В

### ВЫБОР ВНЕШНИХ КОМПОНЕНТОВ

Микросхема CS-5155 может использоваться с различными внешними компонентами в зависимости от требований по стоимости и производительности конструкции. Следующая информация может оказаться полезной при выборе компонентов.

### СИЛОВЫЕ n-FET-ТРАНЗИСТОРЫ

Могут использоваться стандартные приборы и MOSFET с логическим управлением. Схемы формирует сигналы управления из напряжения 12 В, которое позволяет управлять MOSFET с логическим входом и присутствует в большинстве компьютерных систем. Или можно применить технику вольтодобавки (charge pump) для использования стандартных MOSFET и питания от систем только с одним питанием 5 или 12 В (20 В (max)). Для снижения потерь и улучшения эффективности можно использовать параллельное включение MOSFET.

Напряжение на затворе MOSFET зависит от схемы применения. Как верхний, так и нижний драйверы должны обеспечивать управление в пределах 1.5 В от земли в НИЗКОМ состоянии и в пределах 2 В от напряжения питания в ВЫСОКОМ состоянии. На практике затворы FET-транзисторов управляются с размахом "rail-to-rail", благодаря выбросам, вызванным емкостной нагрузкой. Для типового применения, когда  $V_{CC1} = V_{CC2} = 12$  В и 5 В в качестве источника выходного тока стабилизатора, получаются следующие величины:

$$V_{\text{GATE(H)}} = 12 \text{ В} - 5 \text{ В} = 7 \text{ В}, V_{\text{GATE(L)}} = 12 \text{ В (См. Рис. 17)}.$$

Наиболее важный аспект производительности MOSFET представляет величина  $R_{DS(ON)}$ , от которой зависит также тепловыделение стабилизатора.

Рассеиваемую мощность MOSFET можно оценить следующим образом:  
ключевой MOSFET

$$P_D = I_{\text{LOAD}}^2 \times R_{DS(ON)} \times \text{рабочий цикл};$$

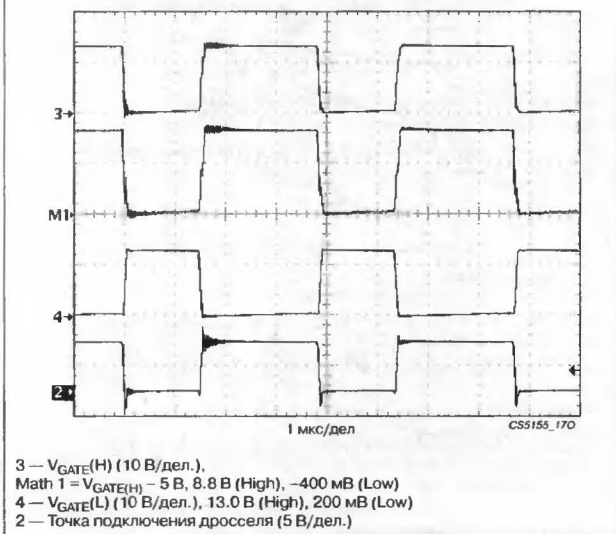
синхронный MOSFET

$$P_D = I_{\text{LOAD}}^2 \times R_{DS(ON)} \times (1 - \text{рабочий цикл});$$

$$\text{Рабочий цикл} = \frac{V_{\text{OUT}} + I_{\text{LOAD}} \times R_{DS(ON) \text{ SYNC}}}{V_{\text{IN}} + I_{\text{LOAD}} \times R_{DS(ON) \text{ SYNC}} - I_{\text{LOAD}} \times R_{DS(ON) \text{ SW}}}$$



Рис. 17. Осциллограммы напряжения на выходах управления затворами.



### ЁМКОСТЬ ОТКЛЮЧЁННОГО СОСТОЯНИЯ ( $C_{OFF}$ )

Времязадающий конденсатор  $C_{OFF}$  устанавливает время отключённого состояния (OFF-TIME):

$$T_{OFF} = C_{OFF} \times 4848.5.$$

Когда напряжение  $V_{FFB}$  меньше 1 В, ток заряда ёмкости  $C_{OFF}$  уменьшается. Расширенное время отключённого состояния определяется по формуле:

$$T_{OFF} = C_{OFF} \times 24242.5.$$

Время отключённого состояния определяется временем  $T_{OFF}$  или тайм-аут-таймером, в зависимости от того, какое время больше.

Приведённое выше уравнение для рабочего цикла можно использовать для определения частоты переключения стабилизатора и выбора  $C_{OFF}$ :

$$C_{OFF} = \text{Период} \times \frac{1 - \text{рабочий цикл}}{4848.5},$$

где

$$\text{Период} = \frac{1}{\text{частота переключения}}.$$

### ДИОД ШОТКИ ДЛЯ СИНХРОННОГО MOSFET

Для улучшения эффективности преобразования параллельно с синхронным MOSFET может включаться диод Шоттки. В преобразователе на базе CS-5155 роль этого диода может играть паразитный диод синхронного MOSFET, что снижает стоимость конструкции. При рабочих частотах порядка 200 кГц малое время перекрытия (pop-overlap time) в сочетании с прямым временем восстановления диода Шоттки позволяют получить результаты не хуже, чем при использовании внешнего диода (См. Рис. 6, канал 2). Мощность, рассеиваемая синхронным MOSFET с внутренним диодом, можно оценить из выражения:

$$P_D = V_{BD} \times I_{LOAD} \times \text{время проводимости} \times \text{частота переключения},$$

где  $V_{BO}$  — прямое падение на объёмном диоде MOSFET.

Для демонстрационной платы для CS-5155, как показано на Рис. 6

$$P_D = 1.6 \text{ В} \times 13 \text{ А} \times 100 \text{ нс} \times 233 \text{ кГц} = 0.48 \text{ Вт}.$$

Это только 1.3% от мощности 36.4 Вт, отдаваемой в нагрузку.

### ПОНИЖАЮЩИЙ РЕЗИСТОР АДАПТИВНОЙ УСТАНОВКИ НАПЯЖЕНИЯ

Адаптивная установка напряжения используется для уменьшения отклонения выходного напряжения при резких изменениях нагрузки. Выходное напряжение стабилизатора смещено на +40 мВ в отсутствие нагрузки и на -40 мВ при полной нагрузке. Это приводит к расширению границ допустимых переходных напряжений и, как следствие, к снижению ёмкости выходных конденсаторов (См. Рис. 7).

Для использования адаптивной установки напряжения между выходом дросселя и выходной ёмкостью и нагрузкой должен быть включён понижающий резистор:

$$R_{DROOP} = \frac{80 \text{ мВ}}{I_{MAX}}.$$

Для улучшения стабилизации по постоянному току адаптивную установку напряжения можно отключить, соединив вывод  $V_{FB}$  непосредственно с нагрузкой, используя для этого отдельный проводник.

### ВХОДНАЯ И ВЫХОДНАЯ ЁМКОСТИ

Для оптимального результата необходим тщательный выбор и правильное размещение этих компонентов. Конденсаторы должны обеспечивать приемлемый уровень пульсаций на входе и выходе. Ключевой характеристикой входного конденсатора является диапазон пульсаций, тогда как для выходного конденсатора определяющим является эквивалентное последовательное сопротивление (ESR). Для лучшей переходной характеристики требуется комбинация высокочастотного конденсатора малой ёмкости и конденсатора большой ёмкости (но с худшими параметрами), при этом они должны быть расположены как можно ближе к нагрузке.

### ВЫХОДНОЙ ДРОССЕЛЬ

Дроссель выбирается, исходя из его индуктивности, предельно допустимого тока и сопротивления по постоянному току. Увеличение индуктивности ведёт к снижению выходных пульсаций, но ухудшает переходную характеристику.

### ТЕПЛОВЫДЕЛЕНИЕ

#### НАГРЕВ СИЛОВЫХ MOSFET-ТРАНЗИСТОРОВ И ДИОДОВ

Для надёжной работы схемы требуется, чтобы полупроводниковые компоненты работали при температуре не выше +125°C. Данное условие требует знания теплового сопротивления, которое вычисляется по формуле:

$$\text{Тепловое сопротивление} = \frac{T_{\text{КРИСТАЛЛА (MAX)}} - T_A}{\text{Мощность}},$$

где  $T_A$  — температура окружающей среды.

Для снижения теплового сопротивления может использоваться дополнительный радиатор. Для этой цели, особенно для компонентов в корпусе для поверхностного монтажа, применяются расширенные участки медной фольги на печатной плате.

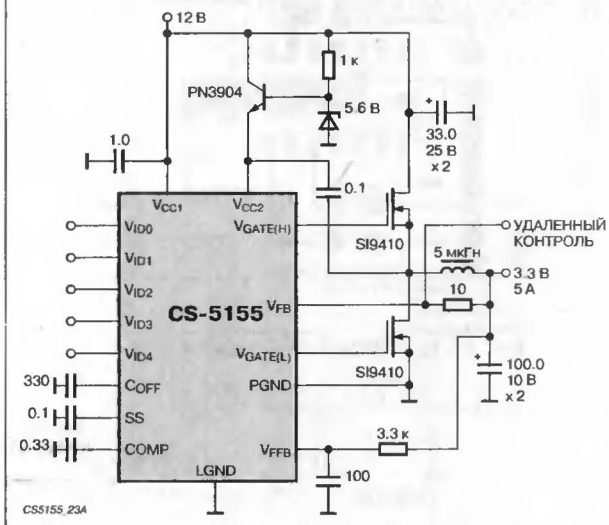
### ЭЛЕКТРОМАГНИТНОЕ ИЗЛУЧЕНИЕ (EMI)

Вследствие высокочастотной коммутации больших токов, импульсные стабилизаторы излучают повышенный уровень EMI. Для снижения шумов могут понадобиться дополнительные компоненты,

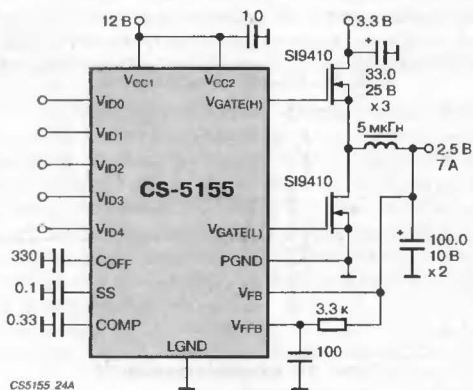




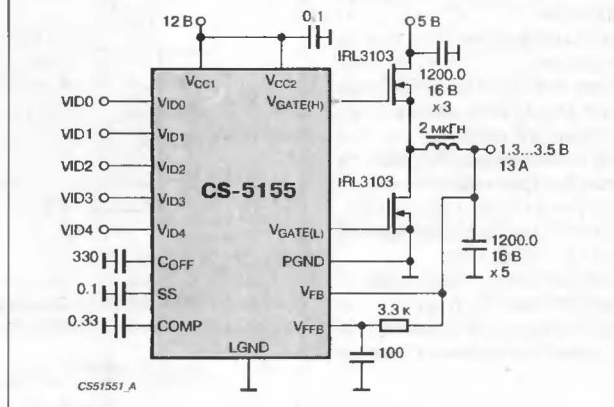
**Рис. 23. Преобразователь 12 В в 3.3 В/5 А с удалённым считыванием**



**Рис. 24. Преобразователь 3.3 В в 2.5 В/7 А со смещением 12 В**



**Рис. 25. Импульсный источник питания для процессора Pentium II**



# ШИРОТНО-ИМПУЛЬСНАЯ СХЕМА УПРАВЛЕНИЯ ИСТОЧНИКОМ ВТОРИЧНОГО ЭЛЕКТРОПИТАНИЯ 1184EY2

Аналог  
SC1101



Товарные знаки  
фирм изготовителей



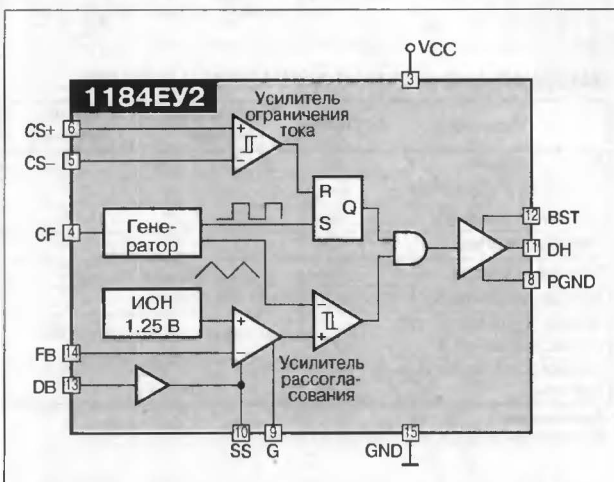
## ОСОБЕННОСТИ

- ♦ Широтно-импульсное преобразование с частотой до 300 кГц
- ♦ Внутренний источник опорного напряжения
- ♦ Управление внешним ключевым транзистором
- ♦ Защита от короткого замыкания по выходу
- ♦ Плавный пуск (мягкий запуск)
- ♦ Отсутствие навесных компонентов при не использовании плавного пуска
- ♦ Ограничение предельного рабочего цикла ..... 95% или 47%
- ♦ Дистанционное включение-выключение
- ♦ Малый ток потребления в режиме холостого хода

## ТИПОМИНАЛЫ

KN1184EY1

## СТРУКТУРНАЯ СХЕМА

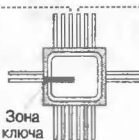


## ЦОКОЛЕВКА КОРПУСОВ

Корпус типа HO4.16.2B

KN1184EY2

Дистанционное включение/выключение DB 13  
Инвертирующий вход усилителя рассогласования FB 14  
Малосигнальная земля GND 15  
Не используется п.с. 16  
Не используется п.с. 1  
Не используется п.с. 2  
Питание VCC 3  
Конденсатор понижения частоты преобразования CF 4



12 BST Питание драйвера верхнего плеча  
11 DH Выход драйвера верхнего плеча  
10 SS Конденсатор плавного пуска  
9 G Управление максимальным рабочим циклом  
8 PGND Силовая земля  
7 п.с. Не используется  
6 CS+ Неинвертирующий вход усилителя защиты  
5 CS- Инвертирующий вход усилителя защиты

## ОСНОВНЫЕ ПАРАМЕТРЫ

Параметр	Условия	Значение		Единица измерения	
		не менее	не более		
ИСТОЧНИК ОПОРНОГО НАПРЯЖЕНИЯ (ИОН)					
Опорное напряжение	$I_H = 2 \text{ мА}$	1.2	1.3	В	
Температурный коэффициент опорного напряжения	$I_H = 2 \text{ мА}$	—	$1 \times 10^{-4}$	$1/^\circ\text{C}$	
Коэффициент влияния питающего напряжения	$I_H = 2 \text{ мА}$	—	0.02	%/В	
УСИЛИТЕЛЬ РАССОГЛАСОВАНИЯ					
Коэффициент усиления		70	—	дБ	
Напряжение смещения		-3	3	мВ	
Входной ток		—	100	нА	
Частота единичного усиления	$C_H = 12 \text{ пФ}$	3	—	МГц	
УСИЛИТЕЛЬ ОГРАНИЧЕНИЯ ТОКА					
Коэффициент усиления		70	—	дБ	
Пороговое напряжение		65	75	мВ	
Время срабатывания		—	100	нс	
ДРАЙВЕР (ФОРМИРОВАТЕЛЬ ВЫХОДНЫХ ИМПУЛЬСОВ)					
Частота преобразования	$C_H = 1000 \text{ пФ}$	180	220	кГц	
Передний (задний) фронт выходного импульса	$C_H = 1000 \text{ пФ}$	—	50	нс	
Максимальный выходной ток	постоянный	$C_H = 1000 \text{ пФ}$	100	—	мА
	импульсный	$C_H = 1000 \text{ пФ}$	1000	—	мА
Уровень выходного напряжения импульсов	низкий	$C_H = 1000 \text{ пФ}$	—	0.5	В
	высокий	$C_H = 1000 \text{ пФ}$	$V_{CC} - 0.5$	—	В
Задержка распространения	$C_H = 1000 \text{ пФ}$	—	150	нс	
Ток потребления в режиме холостого хода	$C_H = 1000 \text{ пФ}$	—	6	мА	

3

## ШИМ-КОНТРОЛЛЕР С УПРАВЛЕНИЕМ ПО НАПРЯЖЕНИЮ

### ОСОБЕННОСТИ

- ♦ Низкая стоимость/небольшие размеры
- ♦ Эффективность (КПД) ..... 90%
- ♦ Точность источника опорного напряжения ..... 1%
- ♦ Защита от перегрузки по току
- ♦ Выходной каскад ..... 500 мА
- ♦ Корпус типа SO-8

### ПРИМЕНЕНИЕ

- ♦ Питание процессора Pentium P55
- ♦ Недорогое микропроцессорное питание
- ♦ Питание периферийных карт
- ♦ Промышленные источники питания
- ♦ DC/DC-преобразователи с высокой плотностью упаковки

### ОБЩЕЕ ОПИСАНИЕ

Микросхема SC1101 представляет собой многофункциональный недорогой ШИМ-контроллер с управлением по напряжению, используемый в DC/DC-преобразователях с несимметричным выходом. Простейший понижающий преобразователь с фиксированным выходным напряжением может быть построен на контроллере SC1101 при минимальном количестве внешних компонентов. Внутренняя схема сдвига уровня и выходной каскад позволяют обойтись без дорогого р-канального ключевого транзистора верхнего плеча. Миниатюрный корпус обеспечивает минимизацию печатной платы.

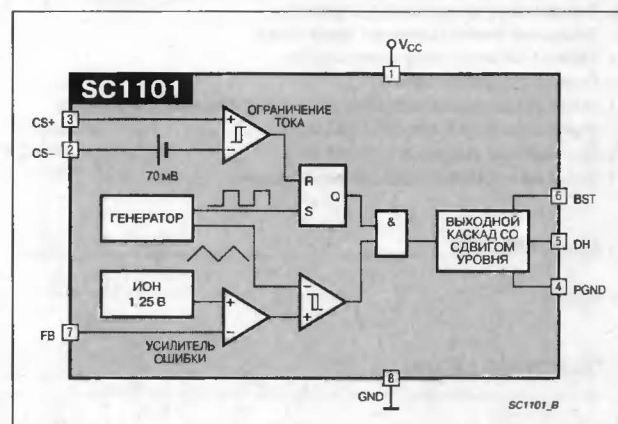
Особенности микросхемы SC1101 включают: температурно-компенсированный ИОН, генератор пилообразного напряжения, компаратор токоограничения, защиту от перегрузки по току с частотным сдвигом и усилитель ошибки с внутренней компенсацией. Цикловое ограничение тока использует внешний токочувствительный резистор или соответствующим образом подобранный отрезок проводника на печатной плате.

Контроллер SC1101 работает на фиксированной частоте 200 кГц, обеспечивая оптимальный компромисс между эффективностью, размерами внешних компонентов и стоимостью.

### ТИПОНОМИНАЛЫ

Прибор	Корпус	Температурный диапазон, °C
SC1101CS	SO-8	0...+125
SC1101CSTR	SO-8, лента и бобина	0...+125

### СТРУКТУРНАЯ СХЕМА



### МАКСИМАЛЬНЫЕ ЗНАЧЕНИЯ ПАРАМЕТРОВ И РЕЖИМОВ

Параметр	Символ	Максимальное значение	Единица измерения
Входное напряжение	$V_{CC}$	-0.3...+7	В
Напряжение на выводе PGND	$V_{PGND}$	±1	В
Напряжение на входе BST	$V_{BST}$	-0.3...+15	В
Рабочая температура	$T_A$	0...+70	°C
Температура хранения	$T_{STG}$	-45...+125	°C
Температура пайки (10 с)	$T_L$	300	°C
Тепловое сопротивление кристалл-окружающая среда	$\theta_{JA}$	165	°C/Вт
Тепловое сопротивление кристалл-корпус	$\theta_{JC}$	40	°C/Вт

#### Примечание.

Все напряжения даны по отношению к выводу GND.

### ЦОКОЛЕВКА КОРПУСОВ

Пластмассовый корпус типа SO-8

Входное напряжение  $V_{CC}$  1  
Токочувствительный вход (отрицательный)  $CS-$  2  
Токочувствительный вход (положительный)  $CS+$  3  
Силовая земля PGND 4

SC1101



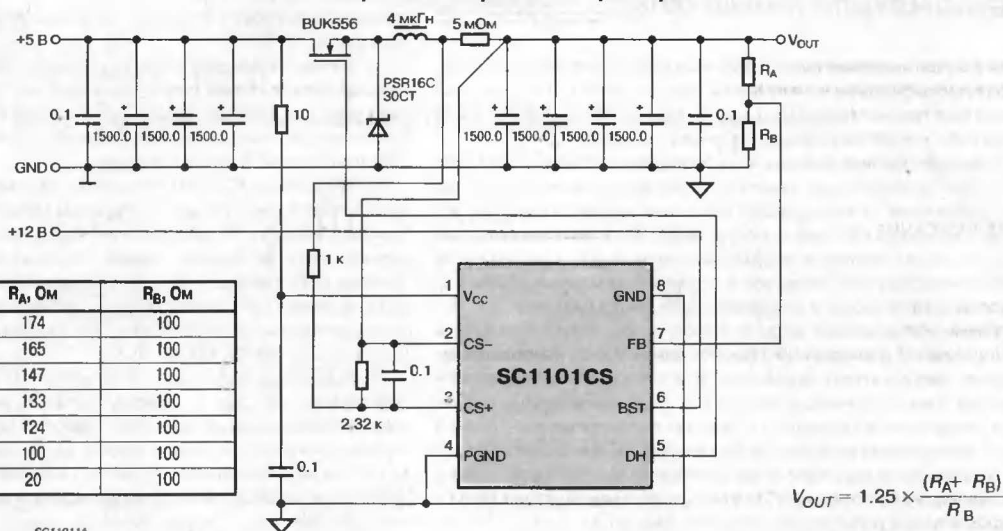
8 GND Малосигнальная земля  
7 FB Инвертирующий вход усилителя ошибки  
6 BST Питание драйвера верхнего плеча  
5 DH Выход драйвера верхнего плеча

## ЭЛЕКТРИЧЕСКИЕ ХАРАКТЕРИСТИКИ

При  $V_{CC} = 4.75 \dots 5.25 \text{ В}$ ;  $V_{GND} = V_{PGND} = 0 \text{ В}$ ;  $V_O = 3.3 \text{ В}$ ;  $T_A = +25^\circ \text{C}$ ;  $V_{BST} = 12 \text{ В}$ ;  $I_O = 2 \text{ А}$  (см. схему измерений на Рис. 1), если не оговорено иное

Параметр	Символ	Условия	Значение			Единица и измерения
			не менее	типов	не более	
Опорное напряжение	$V_{REF}$	$T_A = 0 \dots +70^\circ \text{C}$	1.238	1.250	1.263	В
			1.225	1.250	1.275	В
Ток смещения обратной связи	$I_{FB}$		—	2.0	8.0	мкА
Ток потребления	$I_Q$	Ток через вывод $V_{CC}$	—	5.0	8.0	мА
Нестабильность по току	$REG_{LOAD}$	$I_O = 1 \dots 12 \text{ А}$	—	0.5	1.0	%
Нестабильность по напряжению	$REG_{LINE}$		—	—	0.5	%
Пороговое напряжение ограничителя по току	$CLT$	$CS(+)\dots CS(-)$	60	70	80	мВ
Частота генератора	$f_{OSC}$		180	200	220	кГц
Сдвиг частоты генератора	$f_{OFS}$		—	33	—	кГц
Максимальный рабочий цикл	$DC$		90	95	—	%
Ток драйвера верхнего плеча	$I_O$	$V_{BST} - V_{CC} = 4.5 \text{ В}$ ( $V_{DH} - V_{PGND} = 2 \text{ В}$ )	$\pm 500$	—	—	мА

Рис. 1. Схема измерений электрических параметров



3

Рис. 2. Амплитудно-частотная и фазо-частотная характеристики усилителя ошибки

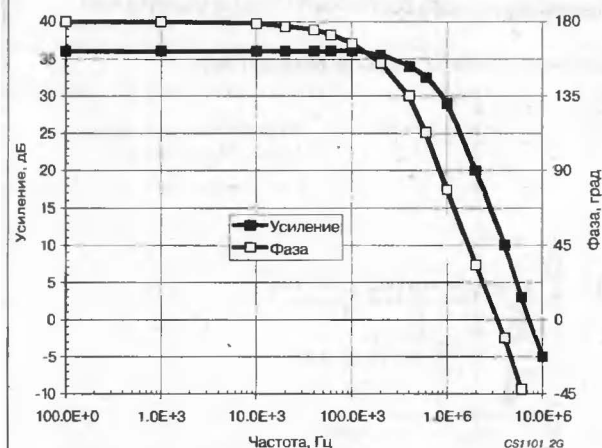


Рис. 3. Выходная характеристика

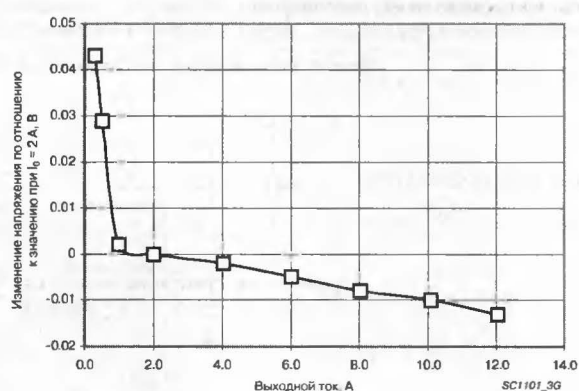




Рис. 4. Пульсации выходного напряжения при  $V_O = 2.90$  В,  $I_O = 10$  А

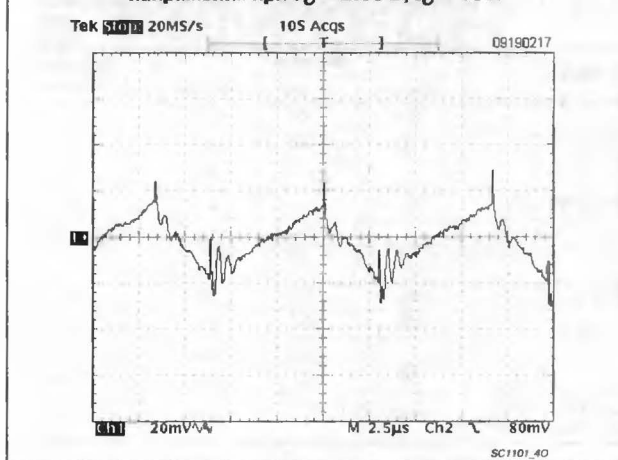
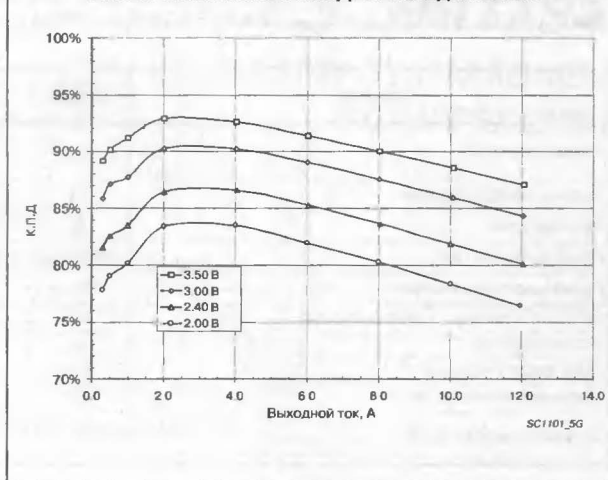


Рис. 5. Зависимость К.П.Д. от выходного тока



## СОВЕТЫ ПО РАЗРАБОТКЕ ПЕЧАТНОЙ ПЛАТЫ

Для успешного применения ШИМ-контроллера необходима тщательная проработка печатной платы. Необходимо понять эффект воздействия переключения больших токов с частотой 200 кГц и минимизировать влияние разницы потенциалов земли.

1. В первую очередь должны быть разведены силовые части схемы. Следует использовать земляную плоскость (шину), при этом местоположение и количество её разрывов является компромиссом по отношению к её целостности. Могут быть целенаправленно введены изолированные и полуизолированные области земляной шины для ограничения областей растекания земляных токов, например входная ёмкость и земляной вывод диода Шоттки.

2. Петля, образованная входной ёмкостью  $C_{IN}$ , верхним полевым транзистором Q1 и диодом Шоттки D1, должна быть настолько небольшой, насколько это возможно. Все переходные процессы и ключевые токи заключены в этой петле. Для минимизации индуктивности петли все проводники должны быть как можно шире и короче. Уменьшение площади, занимаемой элементами петли, снижает электромагнитное излучение (ЭМИ), понижает выбросы тока в земляную шину, что "очищает" землю для остальной части схемы и приводит к более устойчивой работе системы в целом.

3. Соединительный проводник между Q1, D1 и выходным дросселем должен иметь достаточную ширину или представлять собой просто участок медной фольги, при этом длина его должна быть минимально возможной. Это снижает ЭМИ. Паразитное сопротивление проводника между дросселем и токоувствительным резистором снижает эффективность схемы, поэтому он должен иметь

минимальное сопротивление, т.е. большую ширину при минимальной длине.

4. Выходной конденсатор  $C_{OUT}$  следует располагать ближе к нагрузке. Так как только он обеспечивает все переходные процессы в нагрузке, соединения между  $C_{OUT}$  и нагрузкой должны быть короткими широкими полосками медной фольги с минимальными индуктивностью и сопротивлением.

5. Микросхему SC1101 лучше всего размещать над изолированной заземлённой областью. Выводы GND и PGND должны иметь соединение с этой землёй. Эта изолированная земля должна соединяться с основной землёй проводником, который идёт от вывода GND к земле выходного конденсатора(ов). Если это невозможно, вывод GND может быть соединён с земляной шиной между выходной ёмкостью и петлёй  $C_{IN}$ , Q1, D1 или иметь выход непосредственно в петлю  $C_{IN}$ , Q1, D1.

6. Вывод  $V_{CC}$  подводится к питанию 5 В через резистор сопротивлением 10 Ом, с вывода питания на GND подключается керамический конденсатор ёмкостью 0.1 мкФ, при этом длина соединительных проводников должна быть минимальной.

7. Токоувствительный резистор и делитель напряжения на его базе должны образовывать минимально возможную петлю, причём возвратные проводники к  $CS+$  и  $CS-$  микросхемы должны идти как можно ближе параллельно друг другу. Ёмкость 0.1 мкФ следует располагать по возможности ближе к выводам  $CS+$  и  $CS-$ .

8. Для минимизации шума на выводе FB, резисторы обратной связи следует располагать ближе к микросхеме SC1101, при этом нижний резистор  $R_B$  подключается к земле у вывода GND.

Рис. 6. Поясняющая диаграмма для разводки печатной платы схемы на базе SC1101

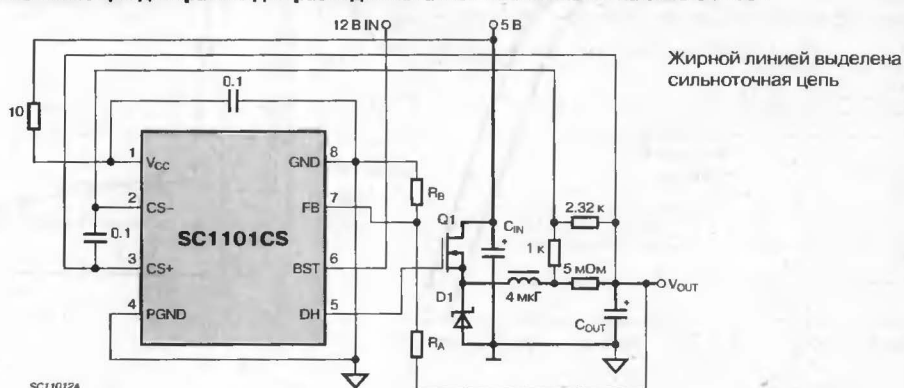
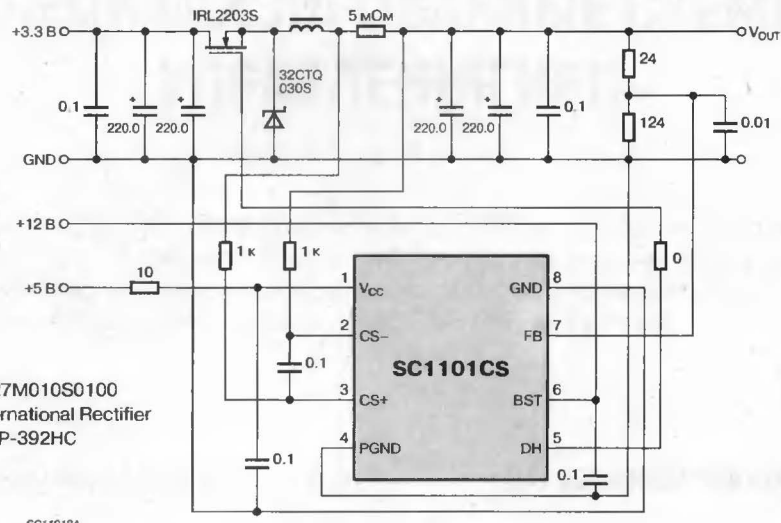


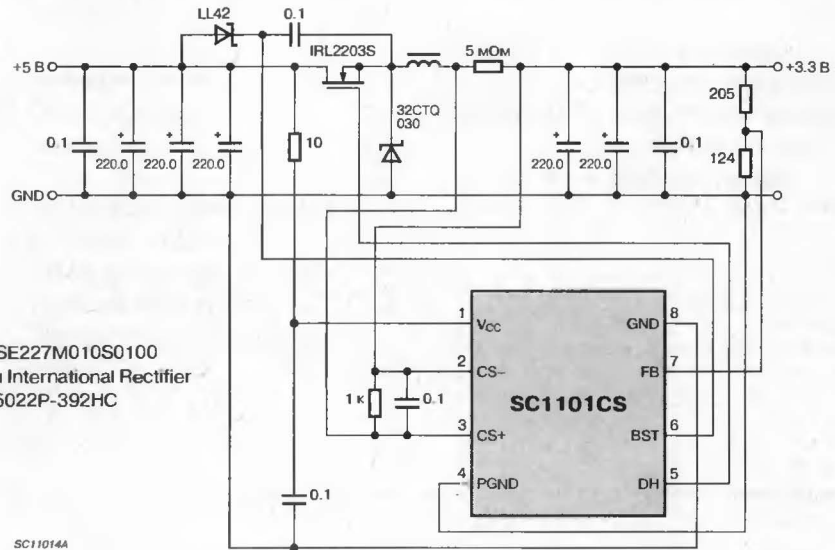
Рис. 7. Типовая схема преобразователя напряжения 3.3 В в 1.5 В/В А



C2...C7 — AVX: TPSE227M010S0100  
Q1, D1 — приборы International Rectifier  
L1 — Coilcraft: DO5022P-392HC

SC11013A

Рис. В. Преобразователь напряжения 5 В в 3.3 В/В А с конденсатором вольтодобавки



C2...C7 — AVX: TPSE227M010S0100  
Q1, D1 — приборы International Rectifier  
L1 — Coilcraft: DO5022P-392HC

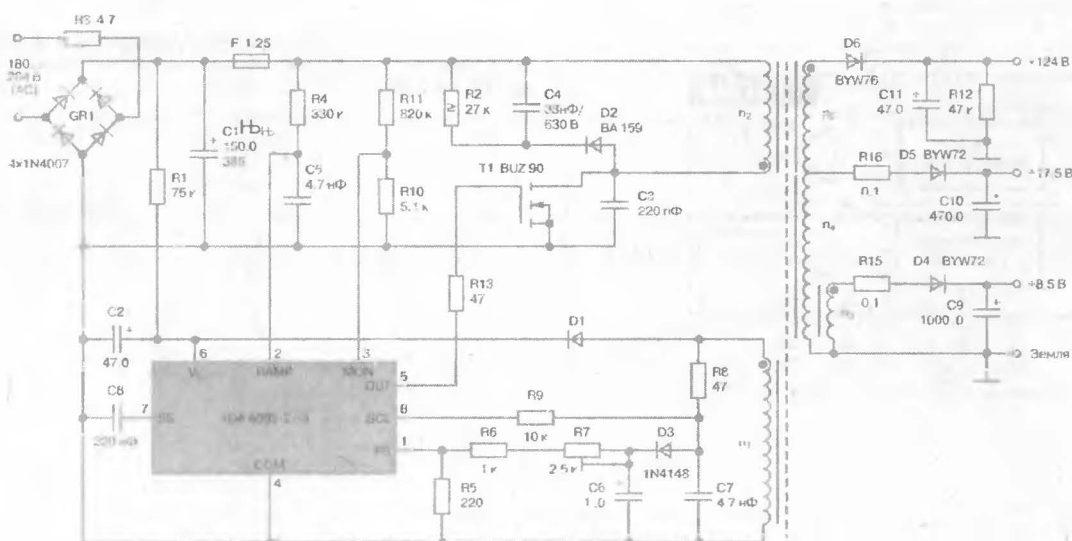
SC11014A

## ДЛЯ ЗАМЕТОК

# СПЕЦИАЛИЗИРОВАННЫЕ СХЕМЫ УПРАВЛЕНИЯ ИВП

В данном разделе представлены микросхемы, предназначенные для построения сетевого импульсного источника питания, но не использующие широтно-импульсную модуляцию. Впервые приводится информация по новейшим микросхемам: 1055ЕУ4, 1055ЕУ5 и 1182ГГЗ.

ОТЕЧЕСТВЕННАЯ МИКРОСХЕМА	Стр.	ЗАРУБЕЖНЫЙ АНАЛОГ	Стр.
174ГФ1	Набор функциональных блоков для построения ИВП ..... 172	—	
1021ХА1	Схема управления одноктактным импульсным ИВП ..... 173	—	
1033ЕУ1, UA01.4601	Схема управления импульсным ИВП ..... 174	TDA4600/01	Схема управления импульсным источником вторичного питания ..... 175
1033ЕУ2/3/5, 1087ЕУ1	Схемы управления импульсным ИВП ..... 184	TDA4605/-2/-3	Схемы управления импульсным источником вторичного питания на МОП-транзисторе ..... 185
1055ЕУ4	ЧИМ-контроллер резонансного источника питания ..... 193	—	
1055ЕУ5	ЧИМ-контроллер резонансного источника питания ..... 195	—	
1182ГГЗ	Полумостовой автогенератор ВИП ..... 199	—	



## НАБОР ФУНКЦИОНАЛЬНЫХ БЛОКОВ ДЛЯ ПОСТРОЕНИЯ ИВП 174ГФ1



**Без аналога**

Товарные знаки  
фирм изготовителей



## ОСОБЕННОСТИ

- Напряжение питания ..... 9...13 В
- Ток потребления ..... 22 мА
- Частота генерации ..... 14060...17190 Гц
- Диапазон рабочих температур ..... -10...+70°С

## ТИПОНОМИНАЛЫ

K174ГФ1

## ОБЩЕЕ ОПИСАНИЕ

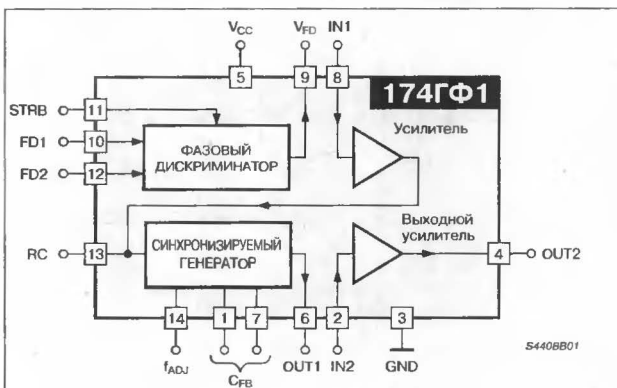
Микросхема 174ГФ1 представляет из себя задающий генератор, схему фазового дискриминатора и выходной усилитель, объединенные в одном корпусе и имеющие общие цепи питания. Этот набор компонентов предназначен для построения задающего генератора строчной развертки телевизионного приемника или схемы импульсного источника питания. Дополнительную информацию можно получить в издании "Микросхемы для бытовой радиоаппаратуры", дополнение первое, Новаченко И.В. и др., М., РиС, 1990 г., стр. 12...17.

## ЦОКОЛЕВКА КОРПУСОВ

Пластмассовый корпус типа 201.14-1

		(вид сверху)			
Конденсатор ОС	IF2	1	14	$f_{AD}$	Регулировка частоты синхронизатора
Вход выходного усилителя	INB	2	13	AC	AC-фильтр
Общий	GND	3	12	FD2	2-ой вход фазового дискриминатора
Выход выходного усилителя	OUT2	4	11	STRB	Стробирование фазового дискриминатора
Напряжение питания	V <sub>CC</sub>	5	10	FD1	1-ый вход фазового дискриминатора
Выход усилителя формирователя	OUT1	6	9	V <sub>FD</sub>	Выход фазового дискриминатора
Конденсатор ОС	CFB	7	8	IN1	Вход усилителя-формирователя

### СТРУКТУРНАЯ СХЕМА



## СХЕМЫ ВКЛЮЧЕНИЯ

Схемы включения опубликованы в издании "Микросхемы для бытовой радиоаппаратуры", дополнение первое, Новаченко И.В. и др., М., РиС, 1990 г., стр. 12...17.



# СХЕМА УПРАВЛЕНИЯ ОДНОТАКТНЫМ ИМПУЛЬСНЫМ ИВП 1021ХА1



Аналог  
TDA2582



Товарные знаки  
фирм изготовителей



## ОСОБЕННОСТИ

- Возможность синхронизации с частотой строчной развертки телевизионного приемника
- Напряжение питания ..... 10...14 В
- Мощность рассеивания ..... 0.7 Вт
- Собственная частота генерации:
  - для 1021ХА1А ..... 14844...16094 Гц
  - для 1021ХА1Б ..... 12500...18750 Гц
- Ток нагрузки по выводу 11 ..... 40 мА

## ОБЩЕЕ ОПИСАНИЕ

Микросхема 1021ХА1 представляет из себя схему управления однотоковым импульсным источником питания с возможностью синхронизации частотой развертки телевизионного приемника.

В силу вышеизложенного, основным назначением прибора является работа в источниках питания телевизионных приемников цветного и черно-белого изображения. Дополнительную информацию можно получить в издании "Микросхемы для бытовой аппаратуры", дополнение второе, Новаченко И.В. и др., М, РиС, 1992 г., стр. 101...106.

## ТИПОНОМИНАЛЫ

КР1021ХА1А  
КР1021ХА1Б

## ЦОКОЛЕВКА КОРПУСОВ

Пластмассовый корпус типа 238.16-2

(вид сверху)

Выход фазового детектора	PDO	1	16	GND	Общий вывод
Вход импульсов обратного входа	FPI	2	15	FA	Вход управления генератором
Вход опорной частоты	RFI	3	14	FREF	Выход опорного напряжения генератора
Вход блокировки/перезапуска	BLK/RES	4	13	PC	Подключение времязадающей цепи
Управление режимом запуска	SS	5	12	MDA	Ограничение рабочего цикла
Вход токовой защиты	OCP	6	11	OUT	Выход
Вход защиты от перенапряжения	OVP	7	10	REF	Вход опорного напряжения
Вход обратной связи	FB	8	9	VCC	Напряжение питания

S4411C01

## ПРИНЦИПИАЛЬНАЯ СХЕМА

Опубликована в издании "Микросхемы для бытовой аппаратуры", дополнение второе, Новаченко И.В. и др., М, РиС, 1992 г., стр. 101...106.

## СХЕМА ВКЛЮЧЕНИЯ

Опубликована в издании "Микросхемы для бытовой аппаратуры", дополнение второе, Новаченко И.В. и др., М, РиС, 1992 г., стр. 101...106.

# СХЕМА УПРАВЛЕНИЯ ИМПУЛЬСНЫМ ИВП 1033EY1, UA01.4601

Аналоги:  
1033EY1 — TDA4600  
UA01.4601 — TDA4601

Товарные знаки  
фирм изготовителей

## ОСОБЕННОСТИ

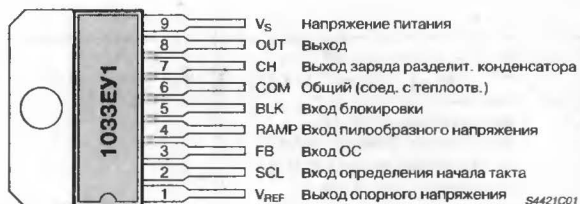
- Непосредственное управление мощным переключающим транзистором
- Малый пусковой ток
- Обратная характеристика перегрузки (с ограничением выходной мощности)
- Формирование тока базы, пропорционального току коллектора
- Встроенная схема обработки нештатных режимов
- Частота переключения ..... до 90 кГц

## ОБЩЕЕ ОПИСАНИЕ

Микросхемы 1033EY1 и UA01.4601 предназначены для возбуждения, управления, контроля и защиты переключающего транзистора импульсного ИВП, построенного по схеме одноконтурного обратного преобразователя, а также для защиты ИВП в целом. Подобные источники вторичного питания используются в основном в телевизионных приемниках черно-белого и цветного изображения. Микросхема выполнена в пластмассовом корпусе типа 1102.9-5.

## ЦОКОЛЕВКА КОРПУСОВ

Пластмассовый корпус типа 1102.9-5



## ТИПОНОМИНАЛЫ

Типономинал	Производитель		Мощность ИВП
KP1033EY1	Ⓐ	Тор	до 100 Вт
	Ⓜ	МЭЛЗ	
UA01.4601	Ⓐ	Квасар	до 350 Вт

## СТРУКТУРНАЯ СХЕМА

Не имеет отличий от структурной схемы TDA4600/1, См. стр. 175.

## СХЕМЫ ВКЛЮЧЕНИЯ

Не имеют отличий от схем включения TDA4600/1, См. стр. 180...181.

### СХЕМА УПРАВЛЕНИЯ ИМПУЛЬСНЫМ ИСТОЧНИКОМ ВТОРИЧНОГО ПИТАНИЯ

## ОСОБЕННОСТИ

- Непосредственное управление мощным переключающим транзистором
- Малый пусковой ток
- Обратная характеристика перегрузки (с ограничением выходной мощности)
- Формирование тока базы, пропорционального току коллектора
- Встроенная схема обработки нештатных режимов
- Частота переключения ..... до 90 кГц

## ТИПОНОМИНАЛЫ

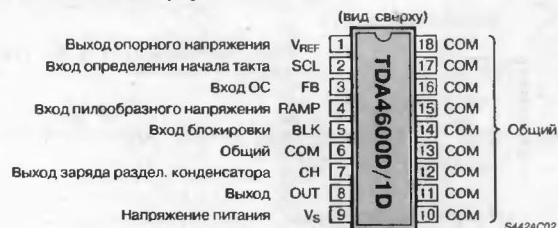
Типономинал	Корпус	Выходная мощность ИВП
TDA4600	SIP-9	40...100 Вт
TDA4600D	DIP-18	40...100 Вт
TDA4601	SIP-9	до 350 Вт
TDA4601D	DIP-18	до 120 Вт

### ЦОКОЛЕВКА КОРПУСОВ

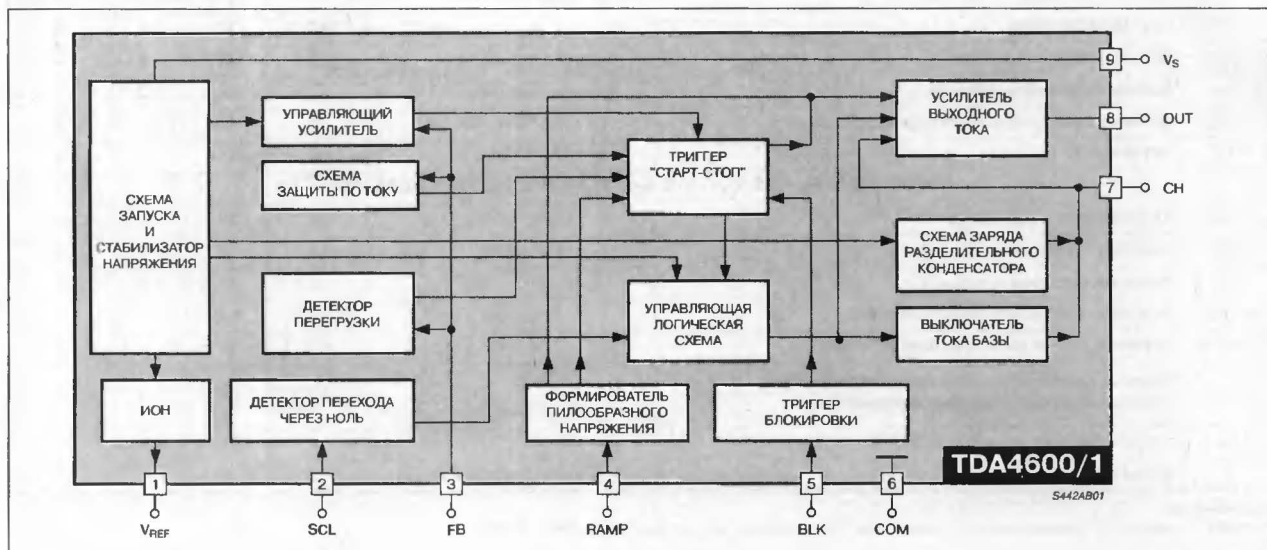
Пластмассовый корпус типа SIP-9



Пластмассовый корпус типа DIP-18



### СТРУКТУРНАЯ СХЕМА



МАКСИМАЛЬНЫЕ ЗНАЧЕНИЯ ПАРАМЕТРОВ И РЕЖИМОВ

Напряжение питания (вывод [9])	20 В	Входной ток по входу блокировки (вывод [5])	5 мА
Рабочий диапазон напряжения питания	7.8...18 В	Уровень отсечки тока базы (вывод [7])	-1...1.5 А
Выходное опорное напряжение (вывод [1])	6 В	Выходной ток (вывод [8])	-1.5 А
Зона опознавания нуля (вывод [2])	-0.6...0.6 В	Температура кристалла	125 °С
Напряжение ОС (вывод [3])	3 В	Диапазон температур хранения	-40...125 °С
Напряжение на выводе [4]	8 В	Диапазон рабочих температур	0...70 °С
Напряжение на входе блокировки (вывод [5])	8 В	Тепловое сопротивление для TDA4600/1:	
Напряжение на выводе [7]	V <sub>9</sub> В	кристалл-окружающая среда	70 К/Вт
Выходное напряжение (вывод [8])	V <sub>9</sub> В	кристалл-корпус	15 К/Вт
Входной ток по выводу [2]	-5...5 мА	Тепловое сопротивление для TDA4600D/1D:	
Входной ток цепи ОС (вывод [3])	-3...3 мА	кристалл-окружающая среда <sup>1</sup>	60 К/Вт
Входной ток по выводу [4]	5 мА	кристалл-корпус <sup>2</sup>	44 К/Вт

Примечания:  
1. Без использования теплоотвода.  
2. Распайка корпуса на печатной плате с медным слоем толщиной 35 мкм, охлаждающая поверхность 25 см<sup>2</sup>.

ЭЛЕКТРИЧЕСКИЕ ПАРАМЕТРЫ

При T<sub>A</sub> = 25 °С; в соответствии со схемой измерения (Рис. 8) и временной диаграммой, если не указано иначе

Символ	Параметр	Условия	Значение			Единица измерения
			не менее	типовое	не более	
РЕЖИМ ЗАПУСКА						
I <sub>9</sub>	Ток потребления (до включения напряжения V <sub>I</sub> )	V <sub>9</sub> = 2 В	—	—	0.5	мА
		V <sub>9</sub> = 5 В	—	1.5	2.0	мА
		V <sub>9</sub> = 10 В	—	2.4	3.2	мА
V <sub>9</sub>	Напряжение включения V <sub>I</sub>		11.0	11.8	12.3	В
РАБОЧИЙ РЕЖИМ (V <sub>9</sub> = 10 В, V <sub>FB</sub> = -10 В, V <sub>SCL</sub> = ±0.5 В, f = 20 кГц, Рабочий цикл = 1:2)						
I <sub>9</sub>	Ток потребления	V <sub>FB</sub> = -10 В	110	135	160	мА
		V <sub>FB</sub> = 0 В	50	75	100	мА
V <sub>I</sub>	Опорное напряжение	I <sub>I</sub> ≤ 0.1 мА	4.0	4.2	4.5	В
		I <sub>I</sub> ≤ 5 мА	4.0	4.2	4.5	В
TC <sub>1</sub>	ТК опорного напряжения		—	10 <sup>-3</sup>	—	1/К
V <sub>3</sub>	Управляющее напряжение ОС	V <sub>FB</sub> = 0 В	2.3	2.6	2.9	В
V <sub>4</sub>	Амплитуда пилообразного напряжения	V <sub>FB</sub> = 0 В	1.8	2.2	2.5	В
ΔV <sub>4</sub>	Изменения амплитуды пилообразного напряжения	V <sub>FB</sub> = 0В/-10В	0.3	0.4	0.5	В
V <sub>5</sub>	Напряжение блокировки		6.0	7.0	8.0	В
V <sub>07</sub>	Выходное напряжение на выводе [7]	V <sub>FB</sub> = 0 В	2.7	3.3	4.0	В
V <sub>08</sub>	Выходное напряжение на выводе [8]	V <sub>FB</sub> = 0 В	2.7	3.4	4.0	В
ΔV <sub>08</sub>	Изменения выходного напряжения на выводе [8]	V <sub>FB</sub> = 0В/-10В	1.6	2.0	2.4	В
V <sub>2</sub>	Напряжение ОС	V <sub>FB</sub> = 0В/-10В	—	0.2	—	В
РЕЖИМ ЗАЩИТЫ (V <sub>9</sub> = 10 В, V <sub>FB</sub> = -10 В, V <sub>SCL</sub> = ±0.5 В, f = 20 кГц, Рабочий цикл = 1:2)						
I <sub>9</sub>	Ток потребления	V <sub>S</sub> ≤ 1.9 В	14	22	28	мА
V <sub>07</sub>	Напряжение отключения на выводе [7]	V <sub>S</sub> ≤ 1.9 В	1.3	1.5	1.8	В
V <sub>4</sub>	напряжение отключения на выводе [4]		1.8	2.1	2.5	В
V <sub>5</sub>	Напряжение срабатывания триггера блокировки	V <sub>FB</sub> = 0 В	V <sub>I</sub> /2 - 0.1	V <sub>I</sub> /2	—	В
V <sub>9</sub>	Напряжение питания, при котором блокируется выход	V <sub>FB</sub> = 0 В	6.7	7.4	7.8	В
ΔV <sub>9</sub>	Изменение напряжения питания, вызывающее отключение V <sub>I</sub> (с последующим снижением уровня напряжения V <sub>9</sub> )		0.3	0.6	1.0	В
t <sub>ON</sub>	Время переключения напряжения на вторичной обмотке		—	350	450	мс
f	Частота колебаний	Мощность нагрузки 3 Вт	70	75	—	кГц

Примечания:  
Условия охлаждения оптимизированы в соответствии с предельными значениями (T<sub>A</sub>; T<sub>J</sub>; R<sub>thJC</sub>; R<sub>thSA</sub>).

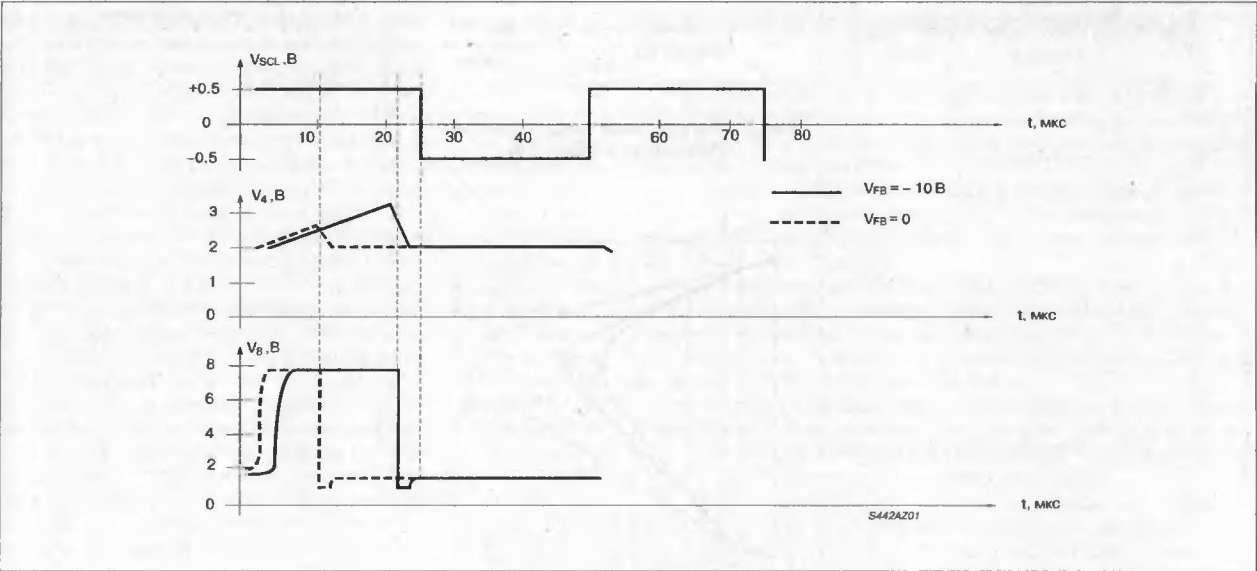
ОПИСАНИЕ ВЫВОДОВ

Номер вывода	Символ	Функция
1	$V_{REF}$	Выход опорного напряжения $V_{REF}$
2	SCL	Вход определения начала такта (опознавание перехода через нуль)
3	FB	Вход управления режимом (напряжение обратной связи)
4	RAMP	Вход пилообразного напряжения (имитация тока коллектора)
5	BLK	Вход блокировки
6	COM	Общий выход, земля (должен быть обязательно заземлен)
7	CH	Выход для заряда разделительного конденсатора (по цепи постоянного тока)
8	OUT	Выход запускающих импульсов переключающего транзистора
9	$V_S$	Вход напряжения питания

Рис. 8. Схема для измерения характеристик



ВРЕМЕННЫЕ ДИАГРАММЫ





## ТИПОВЫЕ РАБОЧИЕ ХАРАКТЕРИСТИКИ

Рис. 1. Зависимость частоты от выходной мощности

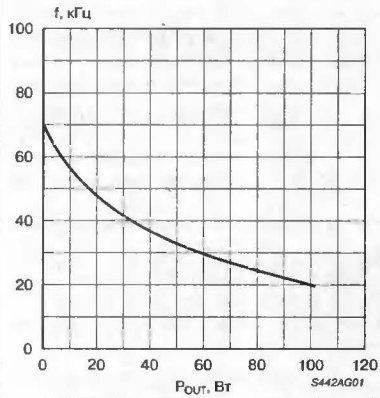


Рис. 2. Зависимость КПД от выходной мощности

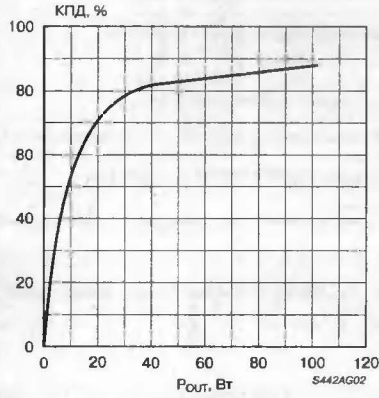


Рис. 3. Нагрузочная характеристика

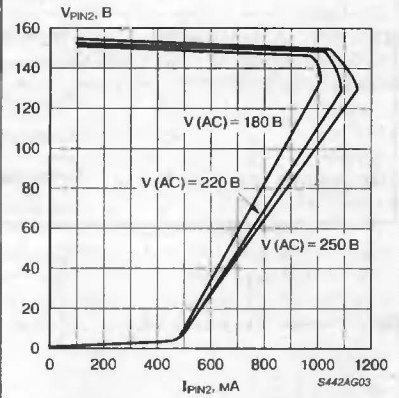


Рис. 4. Зависимость выходного напряжения от входного напряжения

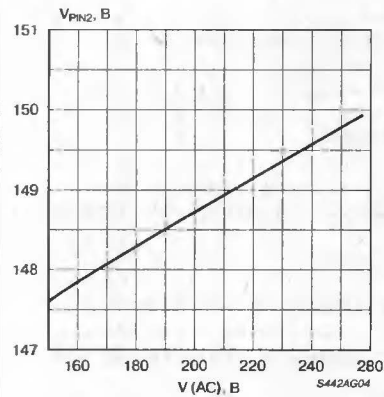


Рис. 5. Зависимость приведенного теплового сопротивления от длины стороны квадратной теплоотводящей поверхности на плате

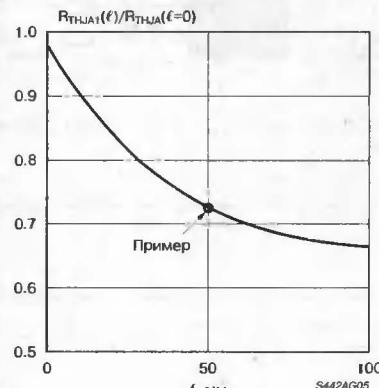


Рис. 6. Нагрузочная характеристика (Для схемы на Рис. 14)

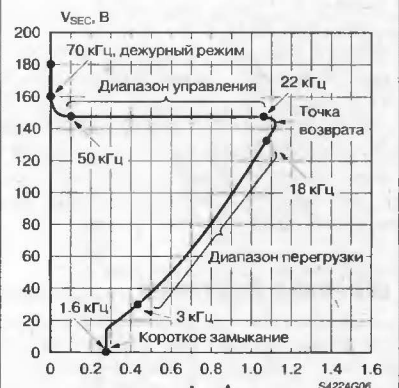
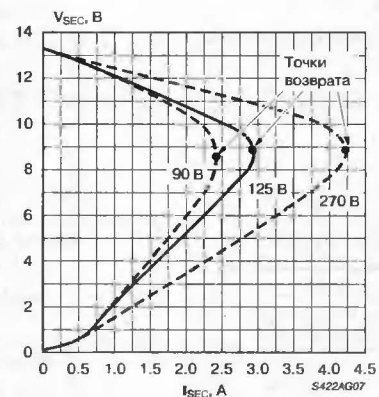


Рис. 7. Нагрузочная характеристика (Для схемы на Рис. 14)



## ФУНКЦИОНАЛЬНОЕ ОПИСАНИЕ

Микросхема TDA4600/1 предназначена для возбуждения, управления, контроля и защиты переключающего транзистора импульсного ИВП, построенного по схеме одноконтурного обратного преобразователя, в процессе пуска, в нормальном режиме работы и в режиме перегрузки, а также при возникновении неисправности. В последнем случае включение переключающего транзистора блокируется, и предотвращается резкое увеличение выходного напряжения (на вторичной обмотке).

## ЗАПУСК

Процедура запуска содержит следующие три последовательно выполняемых этапа:

**Установка внутреннего напряжения питания.** Внутреннее напряжение питания питает все элементы микросхемы и влияет на процесс заряда разделительного электролитического конденсатора, который соединен с базой переключающего транзистора. Потребление тока в этой фазе остается в пределах 3,2 мА при напряжении питания  $V_9$ , не достигающем 12 В.

**Разрешение использования внутреннего напряжения питания.** Как только напряжение  $V_9$  достигает значения порядка 12 В, внутреннее напряжение питания становится доступным для всех компонентов микросхемы, за исключением управляющей логической схемы, и на выводе [1] появляется опорное напряжение  $V_1 = 4$  В, при этом начинают работать схемы тепловой защиты, защиты от перегрузки и токовой защиты.

**Разблокирование управляющей логической схемы.** По мере формирования опорного напряжения дополнительная схема стабилизации вырабатывает ток питания управляющей логической схемы. После завершения этого этапа микросхема полностью готова к работе.

Первый из перечисленных выше этапов необходим для гарантии успешного выполнения процесса заряда разделительного электролитического конденсатора, который осуществляет пуск ключевого транзистора. Только после этого возможен надежный, правильный ввод транзистора в рабочий режим.

## РАБОЧИЙ И УПРАВЛЯЮЩИЙ РЕЖИМЫ

При поступлении на вывод [2] сигнала о моменте прохождения переменным напряжением с обмотки ОС нулевого уровня, этот сигнал, после фиксации, подается на управляющую логическую схему. На вывод [3] (вход управления режимом) поступает сигнал после выпрямления напряжения с обмотки ОС. Управляющий усилитель работает при входном напряжении около 2 В и токе порядка 1,4 мА. Рабочий диапазон управляющего усилителя определяется внутренним напряжением питания, данными опознавания перегрузки по току и данными имитатора коллекторного тока. Имитация коллекторного тока обеспечивается внешней RC-цепью, подключенной к выводу [4] и значениями пороговых напряжений, установленными внутри микросхемы. Предельно допустимый коллекторный ток для переключающего транзистора (точка перегиба характеристики) растет пропорционально увеличению емкости RC-цепи (10 нФ). Таким образом, обеспечивается требуемый рабочий диапазон управляющего усилителя. Диапазон управления — от фиксированного постоянного напряжения +2 В до текущего значения пилообразного напряжения (на выводе [4]), которое нарастает до максимального значения 4 В (опорное напряжение). С уменьшением нагрузки в цепи вторичной обмотки трансформатора до уровня порядка 20 Вт, частота переключения возрастает (около 50 кГц) при практически неизменном значении рабочего цикла (1:3). Уменьшение нагрузки до 1 Вт приводит к повышению частоты переключения (до значения порядка 70 кГц) и уменьшению значения рабочего

цикла (1:11). При этом предельное значение тока коллектора становится меньше 1 А.

Уровни выходного сигнала с управляющего усилителя, данные схемы опознавания перегрузки и данные имитатора коллекторного тока сравниваются схемой триггера "старт-стоп", и результат передается на схему управляющей логики. Вывод [5] дает возможность блокировать извне работу микросхемы. Выходной сигнал на выводе [6] должен блокироваться, когда напряжение на выводе [5] не превышает значения  $(V_{REF}/2) - 0.1$ . Состояние триггеров в схеме управляющей логики определяется сигналом от схемы запуска, данными детектора перехода через нуль и наличием разрешающего сигнала от триггера "старт-стоп". Состояние этих элементов определяет режим работы усилителя выходного тока и блокировку этого тока. Усилитель выходного тока передает пилообразное напряжение  $V_4$  на выход (вывод [8]). ОС по току между выводами [8] и [7] действует через внешний навесной резистор ( $R = 0.68$  Ом). Конкретное значение сопротивления резистора определяет максимальную амплитуду пускового тока базы для переключающего транзистора.

## РЕЖИМ БЛОКИРОВКИ

При блокировке выходного тока схемой управляющей логики на выводе [7] устанавливается фиксированный уровень выходного напряжения 1,6 В, в результате чего блокируется запуск переключающего транзистора. Такой способ защиты разрешен только в том случае, если питающее напряжение на выводе [9] достигло значения  $\leq 6.7$  В или, если к выводу [5] приложено напряжение, не превышающее величины  $(V_{REF}/2) - 0.1$ . В случае КЗ в цепях вторичных обмоток импульсного ИВП микросхема непрерывно контролирует аварийную ситуацию (устранена или нет возникшая неисправность). При полном отсутствии нагрузки на выходе ИВП, устанавливается малое значение рабочего цикла выходных импульсов; в результате общее потребление мощности ИВП удерживается в пределах 6...10 Вт в обоих рабочих режимах. В случае, если после блокировки выхода микросхемы в результате падения напряжения питания ниже 6,7 В происходит дальнейшее понижение уровня напряжения (на  $\Delta V_9 = 0.6$  В), отключается опорное напряжение (4 В).

## РЕЖИМ БЛОКИРОВКИ С НЕПРЕРЫВНЫМ КОНТРОЛЕМ АВАРИЙНОЙ СИТУАЦИИ

Этот режим используется при возникновении таких ситуаций, как низкое входное напряжение и/или перенапряжение на выходе импульсного ИВП (например, в результате изменения параметров отдельных компонентов ИВП).

В тех случаях, когда выход (вывод [8]) блокируется в результате падения напряжения на выводе [5] ниже порогового уровня блокировки (номинальное значение  $V_1/2$ ), снижается потребление тока ( $I_9 \leq 14$  мА при  $V_9 = 10$  В).

При соответствующем высокоомном пусковом резисторе напряжение питания  $V_9$  будет снижаться ниже того минимального уровня, при котором отключается опорное напряжение  $V_1$  (5,7 В). Отключение напряжения  $V_1$  приводит к дальнейшему снижению тока потребления до  $I_9 \leq 3.2$  мА при  $V_9 \leq 10$  В.

Эти снижения тока потребления могут вызвать повторное повышение напряжения питания до порогового уровня включения  $V_9 \geq 12.3$  В. Как только напряжение на выводе [5] станет выше порогового уровня блокировки, ИВП снова готов к работе.

В случае непрерывного повторения аварийной ситуации ( $V_5 \geq V_1/2 - 0.1$  В), режим включения периодически прерывается режимом блокировки так, как это было рассмотрено выше, т. е. блокировка выхода (вывод [8]), падение напряжения  $V_9$ , и т. д.

## ТЕПЛОВОЕ СОПРОТИВЛЕНИЕ TDA4601D

Для микросхемы TDA4601D в корпусе DIP-18 величина теплового сопротивления кристалл-окружающая среда зависит от площади тепловода, выполненного из медного покрытия печатной платы и связанного с выводами [10]...[18]. На Рис. 5 показана зависимость приведенного теплового сопротивления кристалл-окружающая среда от длины стороны квадратного тепловода, выполненного из медного покрытия печатной платы (толщина покрытия 35 мкм). Тепловое сопротивление  $R_{THJA1} = 60 \text{ K/Вт}$  при длине  $\ell = 0$ ,  $T_A = 70^\circ\text{C}$ ,  $P_D = 1 \text{ Вт}$ , печатная плата находится в вертикальном положении при естественном воздушном охлаждении.

## ИСПОЛЬЗОВАНИЕ ПОЗИСТОРА

Фирмой Siemens был разработан терморезистор с положительным ТКС (позистор) типа Q63100-P2462-J29 специально для применения в импульсных ИВП, а также в других электронных схемах, питающихся непосредственно от сетевого выпрямителя, особенно, если требуется иметь нарастающее значение тока при запуске. Эффективность такого терморезистора в одноконтных обратноходовых ИВП телевизионных приемников была проверена в многочисленных вариантах применения. Результаты подобных испытаний нового терморезистора с положительным ТКС в качестве вспомогательного компонента схемы показали, что он позволяет уменьшить потребление мощности по крайней мере на 2 Вт. Повышение КПД работы схемы с таким терморезистором наиболее очевидно проявляется в дежурном режиме работы телевизионного приемника.

## ЗАМЕЧАНИЯ ПО ПРИМЕНЕНИЮ

## ПЕРВЫЙ ВАРИАНТ СХЕМЫ ИВП С РАСШИРЕННЫМ ДИАПАЗОНОМ ВХОДНОГО НАПЯЖЕНИЯ

Схема одноконтного обратноходового преобразователя (см. Рис. 9) со свободной частотой колебаний, разработанная для расширенного диапазона входного переменного напряжения (универсальный сетевой вход), требует, чтобы выходная мощность не зависела от напряжения питания микросхемы, получаемого из выпрямленного напряжения сети. Из этого следует, что величина напряжения с обмотки 11-13 будет определяться величиной нагрузки в цепи вторичной обмотки трансформатора. Запуск в этом случае не является таким "гладким", как при питании от обмотки 11-13, поскольку микросхема TDA4600/1 должна питаться от схемы запуска до тех пор, пока не закончится процесс заряда емкостей в цепях вторичной обмотки. Это удлиняет время включения, особенно при пониженном напряжении сети.

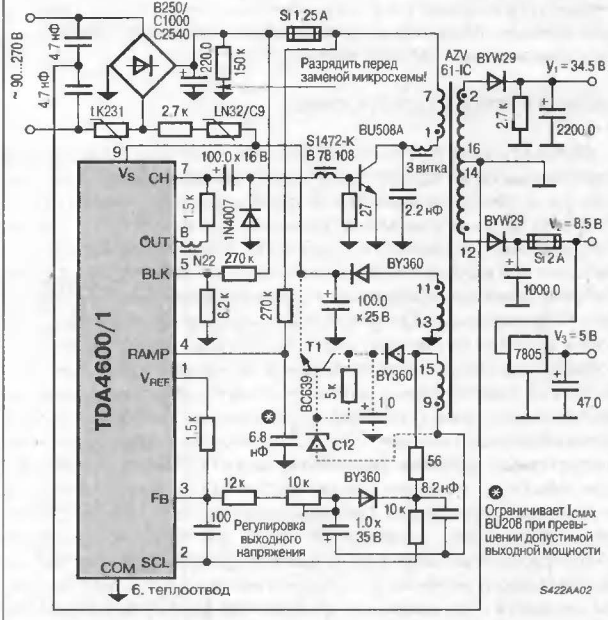
Временной интервал включения можно сократить путем использованием специальной пусковой схемы (показана пунктирной линией). Напряжение неконтролируемой фазы запуска с обмотки ОС 15-9 в данном случае используется для питания микросхемы. Как только на обмотке 11-13 формируется ток для питания TDA4600/1, блокируется транзистор T1. Поэтому схема управления не оказывает влияние на дальнейшую работу пусковой схемы.

Ток включения необходим только на время 6...8 с, до тех пор, пока не будет достигнута рабочая температура позистора. Малое значение теплоемкости позистора допускает повторное включение схемы уже через 2 с. Другим положительным результатом его применения является улучшение режима КЗ схемы. Контакты-фиксаторы позволяют практически неограниченно выдерживать импульсный режим работы, гарантируя таким образом высокую надежность схемы. Следует также отметить огнестойкость и малогабаритность пластмассового корпуса указанного выше позистора.

## Технические данные позистора

Параметр	Значение	Единица измерения
Пробивное напряжение при $T_A = 60^\circ\text{C}$	350	В
Сопротивление при $T_A = 25^\circ\text{C}$	5	кОм
Допуск на значение сопротивления	25	%
Пропускаемый ток	20	мА (nom)
Остаточный ток при $V_A$ (max)	2	мА
Предельное падение напряжения	265	В
Спорная температура	190	$^\circ\text{C}$ (nom)
ТК	26	%/K (nom)
Предельно допустимый рабочий ток	0.1	А
Диапазон температур хранения	-25...125	$^\circ\text{C}$

Рис. 9. Типовая схема источника питания с универсальным входом



**ВТОРОЙ ВАРИАНТ СХЕМЫ ИВП С РАСШИРЕННЫМ ДИАПАЗОНОМ ВХОДНОГО НАПРЯЖЕНИЯ**

В схеме на **Рис. 10** емкость конденсатора фильтра на выходе выпрямителя требуется увеличить до 470 мкФ с тем, чтобы обеспечить устойчивое и свободное от фона переменного тока напряжение в режиме, когда работа ведется на нижнем предельном уровне входного напряжения ( $V_{LINE} = 80$  В). Для питания микросхемы в режиме стабилизации используется обмотка 9-11, а для улучшения условий запуска импульсного ИВП при пониженном входном напряжении используется также вспомогательный стабилизатор на транзисторе BD139, питающийся напряжением с обмотки 13-15, снимаемым во время неуправляемой фазы запуска. Этот стабилизатор отключается стабилитроном C12 сразу после запуска.

По сравнению со стандартной схемой, питающейся от напряжения 220 В, необходимо включить диод типа BY231 между коллектором и эмиттером транзистора BU208 для того, чтобы предотвратить обратные выбросы при работе транзистора в расширенном диапазоне напряжения сети (80...270 В).

По сравнению с прибором TDA4600, микросхема TDA4601 существенно лучше отрабатывает процедуру блокировки при понижении напряжения на выводе [5]. Кроме того, микросхема TDA4601 обеспечивает более точную блокировку выхода (вывод [8]), благодаря гистерезису дифференциального усилителя на входе блокировки (вывод [5]). В импульсных ИВП с универсальным входом рекомендуется использование микросхемы TDA4601 (вместо микросхемы TDA4600). При адекватности требований к качеству работы и к эксплуатационному обеспечению стандартной схемы импульсного ИВП на нагрузку мощностью 120 Вт, модернизация его для работы в расширенном диапазоне напряжения сети (80...270 В) сводится только к некоторым затратам времени.

**СХЕМА С УЛУЧШЕННОЙ СТАБИЛИЗАЦИЕЙ И ХАРАКТЕРИСТИКАМИ ПРИ КОРОТКОМ ЗАМЫКАНИИ**

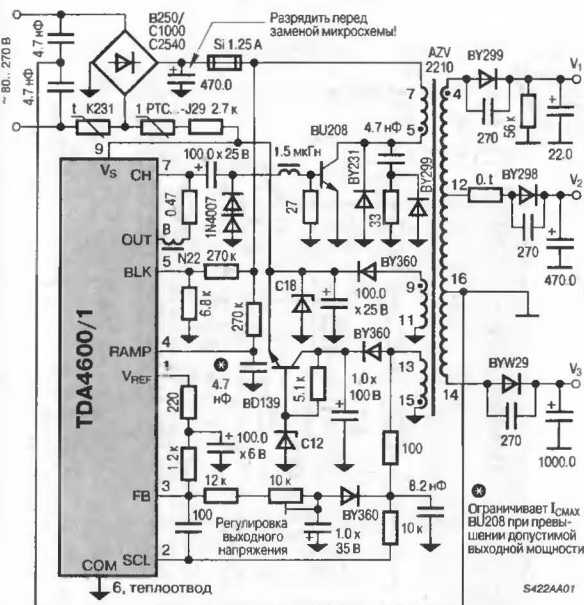
Процедура включения схемы на **Рис. 11** полностью совпадает с рассмотренной для схемы на **Рис. 10**. Ключевой транзистор BU508A выбран для снижения себестоимости, а для оптимальной работы в дежурном режиме емкость конденсатора между выводами [2] и [3] увеличена до 100 нФ. Стабилитрон C6.2 передает управляющее напряжение  $\Delta V_{CONT}$  прямо на вывод [3], что в итоге улучшает стабилизацию.

Особенности изготовления и индуктивная связь в обратных-ходовых трансформаторах в отдельных случаях порождают различного рода выбросы напряжения и тока, которые проходят через обмотку ОС 9-15, через ослабляющую помехи RC-цепь (33 Ом  $\times$  22 нФ) и резистор с сопротивлением 10 кОм и проникают на вход обнаружения перехода через ноль (вывод [2]); в результате этих выбросов в микросхеме порождаются двойные импульсы либо целые пакеты импульсов. Эти паразитные импульсные пакеты приводят к насыщению магнитного материала обратного-ходового трансформатора, и, тем самым, повышают опасность повреждения импульсного ИВП.

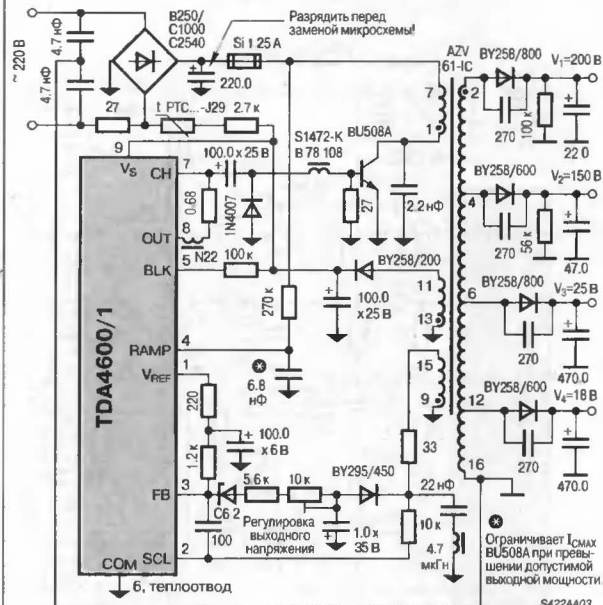
По мере повышения мощности импульсного ИВП растет вероятность образования подобных выбросов напряжения и тока. В окрестности точки переключения также возможны подобные паразитные процессы. Однако импульсный ИВП позволяет минимизировать потребляемую им мощность во всех случаях перегрузки и КЗ. Для этого образуется последовательный резонансный контур, как сочетание индуктивности 4.7 мкГн и емкости 22 нФ, резонансная частота которого соответствует частоте автоколебаний трансформатора. Выбросы напряжения этого резонансного контура при КЗ замыкаются через резистор сопротивлением 33 Ом. Частота колебаний резонансного контура:

$$f = \frac{1}{2\pi\sqrt{LC}} = 500 \text{ кГц.}$$

**Рис. 10. Альтернативная схема источника питания с универсальным входом**



**Рис. 11. Схема источника питания с улучшенной стабилизацией и характеристиками при КЗ**





## СХЕМА С ПОВЫШЕННОЙ СТАБИЛЬНОСТЬЮ ВЫХОДНОГО НАПРЯЖЕНИЯ

ИВП общего назначения должны обеспечивать стабильность низковольтного напряжения при большом токе нагрузки. При использовании обратноходовых преобразователей это возможно, но только путем строго соблюдения ряда условий, и в то же время оправдано из экономических соображений. Обратоходовой преобразователь с электрической развязкой входных и выходных цепей и повышенной стабильностью выходного напряжения должен иметь возможность получения управляющей информации от выходного напряжения преобразователя, т.е. цепи вторичной обмотки трансформатора. Имеются только два пути достижения этой цели: использование трансформаторной связи с надежной защитой от наводок электромагнитных полей преобразователя, либо использование устройства оптронной развязки. Такое устройство на базе оптрона CNY17 (См. Рис. 12) позволяет обеспечить электрическую развязку выходных и входных цепей обратноходового преобразователя при повышенной надежности и долговременной стабильности работы.

Микросхема TDA4601D является аналогом и результатом дальнейшей модернизации микросхемы TDA4600D. Они полностью совместимы по всем рабочим операциям, функциональным возможностям и по возможностям управления преобразователем. Вывод ③ является входом отмеченной выше управляющей информации; здесь происходит сравнение опорного напряжения с вывода ① и данных от устройства оптронной развязки; затем результаты сравнения преобразуются в сигналы управления ЧИМ/ШИМ.

Используемые ранее ОС и управляющая обмотка теперь не требуются. Информация ОС (выявление перехода через нуль) поступает с обмотки 3-4 (питающей обмотки). Фильтрующая цепь 330 Ом/3.3 нФ и 330 Ом/2.2 нФ дополнена последовательно подключенной индуктивностью 150 мкГн для предотвращения нежелательных влияний на вывод ②. Эта LC-цепь формирует последовательный резонансный контур в случае выбросов напряжения и КЗ.

## СХЕМА СЕТЕВОГО АДАПТЕРА С РАСШИРЕННЫМ ДИАПАЗОНОМ ВХОДНОГО НАПРЯЖЕНИЯ

Сетевой адаптер (импульсный ИВП, встроенный в сетевую вилку), благодаря своим массогабаритным показателям, работает в режиме, настолько далеком от предельных значений входного напряжения и выходной мощности, что затрачивает на преобразование не более 6 Вт.

Представленный на Рис. 13 обратноходовой преобразователь с гальванической развязкой от сетевого напряжения питания, с универсальным входом (90...260 В) поддерживает нагрузку мощностью 30 Вт. Компактность конструкции вилки при массе 400 г сочетается с точностью стабилизации выходного напряжения  $\pm 1.5\%$ . Изменение тока нагрузки от 0.1 А до 2 А вызывает изменение выходного напряжения только на 5%. Выход устройства имеет защиту от перегрузки, КЗ и случайного размыкания цепи ОС.

## СХЕМА ИВП С ИЗМЕНЯЕМОЙ ВЕЛИЧИНОЙ ПРЕДЕЛЬНОГО ЗНАЧЕНИЯ ТОКА КОЛЛЕКТОРА

Допустимый диапазон входного напряжения импульсного ИВП, показанного на Рис. 14, — от 90 В до 260 В напряжения переменного тока. Разность между максимальным коллекторным током  $I_{C\ BU208}(\max)$  и предельно допустимым коллекторным током  $I_{C\ BU208}(\text{limit})$ , порождающими насыщение магнитного материала обратноходового трансформатора и протекающими через первичную обмотку 5-7, определяется при напряжении  $V(AC)(\min)$  в виде следующего неравенства:

$$I_{C\ BU208}(\text{limit}) \geq 1.2 \times I_{C\ BU208}(\max).$$

Из этого соотношения определяется мощность, передаваемая обратноходовым трансформатором, и ее значение при  $V(AC)(\max)$ . В типовой схеме коллекторный ток  $I_{C\ BU208}(\max)$  практически постоянен в точке перегиба характеристики и не зависит от напряжения сети. Однако передаваемая на вторичную обмотку мощность увели-

Рис. 12. Схема источника питания с повышенной стабильностью выходного напряжения

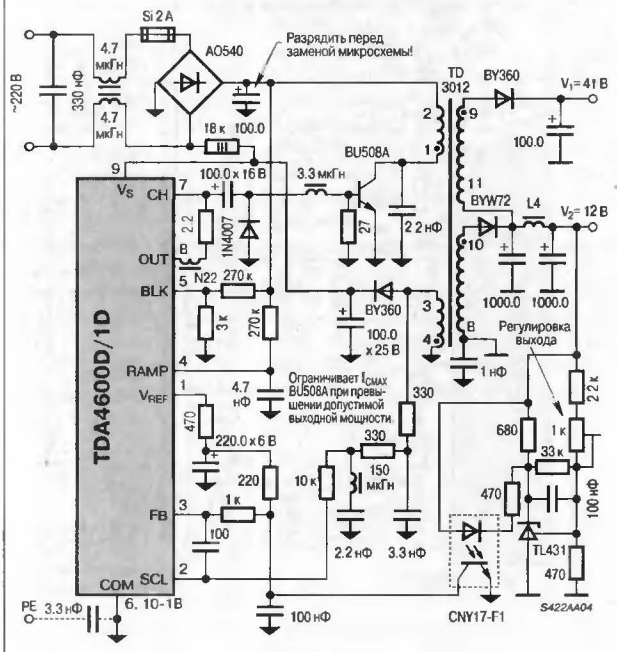
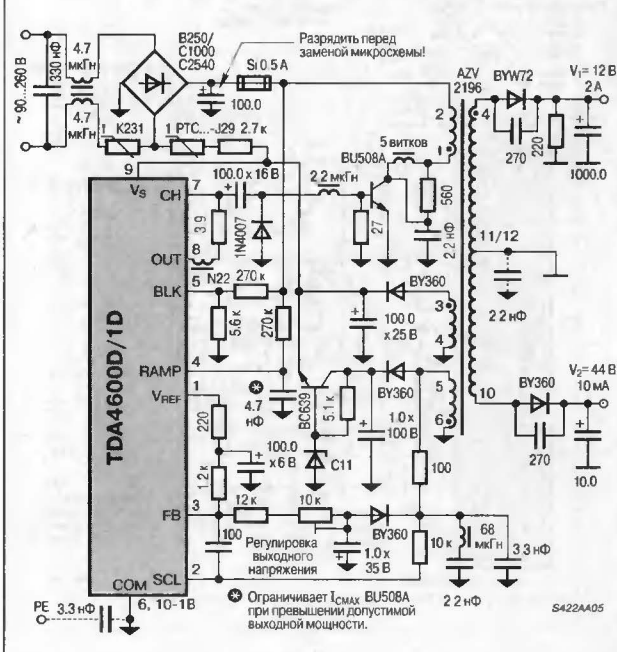


Рис. 13. Схема сетевого адаптера с расширенным диапазоном входного напряжения





чивается в этой точке пропорционально росту напряжения, полученного после выпрямителя (Рис. 6 и Рис. 7).

В импульсном ИВП с расширенным диапазоном входного напряжения отношение предельных значений этого напряжения равно  $270/90 = 3/1$ , что может привести к удвоению мощности на вторичной обмотке, другими словами, требуется значительно увеличивать габариты обратного трансформатора при таком диапазоне входного напряжения.

Точка перегиба, которая обеспечивает защиту импульсного ИВП от перегрузок и КЗ, определяется, исходя из постоянной времени цепочки, подключенной к выводу 4:

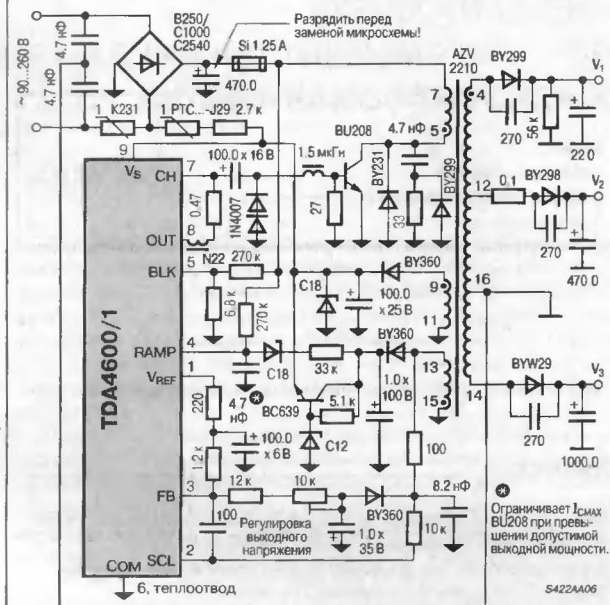
$$\tau_4 = 270 \text{ кОм} \times 4.7 \text{ нФ}.$$

Это позволяет вычислить предельно допустимую ширину импульса.

Включение в схему резистора с сопротивлением 33 кОм уменьшает значение этой постоянной времени в функциональной зависимости от управляющего напряжения, которое прикладывается к обмотке 13-15, после выпрямления на диоде ВУ360 и фильтрации конденсатором емкостью 1 мкФ, что и приводит к снижению значения постоянной времени; это означает сокращение длительности импульса. Благодаря стабилитрону С18 можно определить уровень напряжения сети, для которого становится существенным влияние коррекции постоянной времени. Изменение значения выпрямленного напряжения на обмотке 13-15 пропорционально изменению выпрямленного напряжения сети.

Предельное значение коллекторного тока  $I_{C \text{ ВУ208}}$  в точке перегиба снижается под влиянием указанных выше величин от значения 5.2 А при напряжении сети 90 В до значения 3.3 А при напряжении сети 270 В. Мощность, передаваемая в точке перегиба, остается неизменной в диапазоне изменения напряжения сети от 125 В до 270 В, благодаря коррекции точки перегиба (непрерывная кривая на Рис. 7).

Рис. 14. Схема источника питания с изменяемой величиной предельного значения тока коллектора



# СХЕМЫ УПРАВЛЕНИЯ ИМПУЛЬСНЫМ ИВП 1033EY2/3/5, 1087EY1

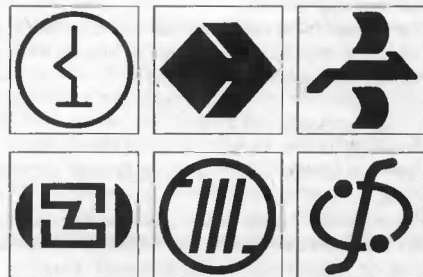
## Аналоги:

1033EY2/5 – TDA4605

1033EY3/1087EY1 – TDA4605-2

SIEMENS

Товарные знаки  
фирм изготовителей



## ОСОБЕННОСТИ

- Непосредственное управление мощным переключающим МОП-транзистором
- Встроенная схема подавления импульсных пакетов при КЗ
- Обратная характеристика для защиты внешних компонентов от перегрузки
- Блокировка при недопустимых значениях напряжения сети
- Защита от разрывов и замыканий в контуре ОС
- Встроенная схема подавления паразитных колебательных процессов, инициируемых трансформатором

## ОБЩЕЕ ОПИСАНИЕ

Микросхемы 1033EY2/3/5, 1087EY1 предназначены для возбуждения, управления, контроля и защиты переключающего МОП-транзистора импульсного ИВП, построенного по схеме одноконтурного обратного преобразователя со свободной частотой колебаний, а также для защиты ИВП в целом.

Микросхемы выполняются в пластмассовом корпусе типа 2101.8-1.

## ЦОКОЛЕВКА КОРПУСОВ

Пластмассовый корпус типа 2101.8-1



## ТИПОНОМИНАЛЫ

Типономинал	Изготовитель	
KP1033EY2	①	ТОР
	◆	Электроника
	↑	Гамма
	φ	Электронприбор
KP1033EY3	Ⓢ	Родон
KP1033EY5	◆	Электроника
KP1087EY1	Ⓢ	Интеграл

## СТРУКТУРНАЯ СХЕМА

Не имеет отличий от структурной схемы TDA4605/-2/-3, См. стр. 185.

## СХЕМА ВКЛЮЧЕНИЯ

Не имеет отличий от схемы включения TDA4605/-2/-3, См. стр. 191...192.

## СХЕМЫ УПРАВЛЕНИЯ ИМПУЛЬСНЫМ ИСТОЧНИКОМ ВТОРИЧНОГО ПИТАНИЯ НА МОП-ТРАНЗИСТОРЕ

### ОСОБЕННОСТИ

- Непосредственное управление мощным переключающим МОП-транзистором
- Встроенная схема подавления импульсных пакетов при КЗ
- Обратная характеристика для защиты внешних компонентов от перегрузки
- Блокировка при недопустимых значениях напряжения сети
- Защита от разрывов и замыканий в контуре ОС
- Встроенная схема подавления паразитных колебательных процессов, инициируемых трансформатором

### ТИПОНОМИНАЛЫ

Типономинал	Частота переключения	Выходная мощность ИВП
TDA4605	до 165 кГц	до 250 Вт
TDA4605-2	до 180 кГц	до 150 Вт
TDA4605-3	до 250 кГц	до 350 Вт

### ЦОКОЛЕВКА КОРПУСОВ



### РЕКОМЕНДУЕМЫЕ ЗНАЧЕНИЯ ПАРАМЕТРОВ И РЕЖИМОВ

При  $T_A = 25^\circ\text{C}$

Напряжение питания (в состоянии "включено"):

для TDA4605 ..... 8...14 В

для TDA4605-2/-3 ..... 7.5...15.5 В

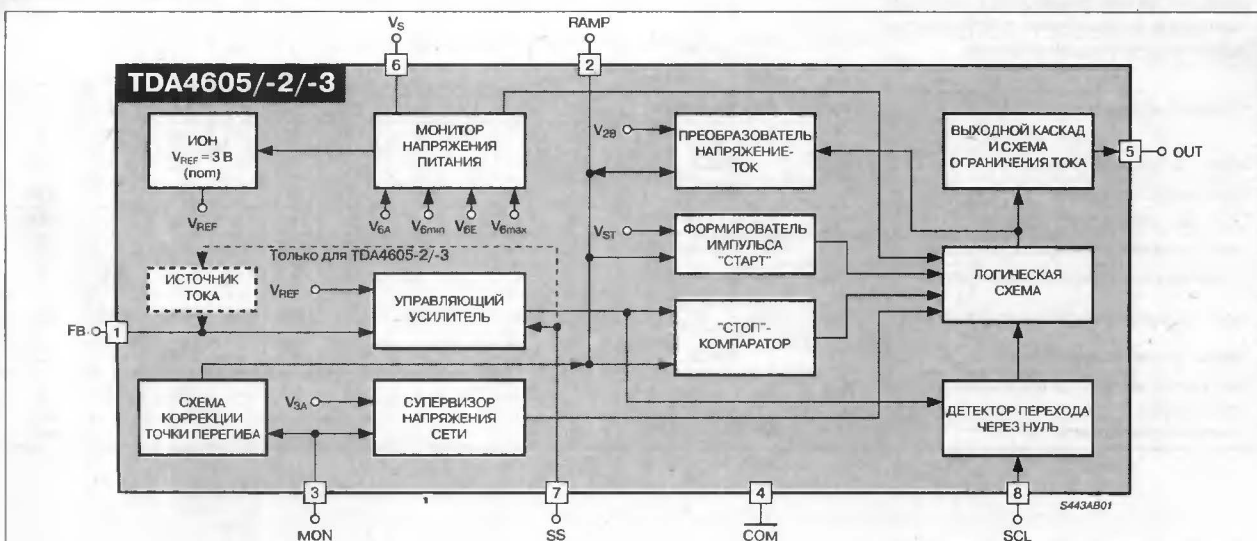
Температура окружающей среды .....  $-20...+85^\circ\text{C}$

Тепловое сопротивление:

кристл-окружающая среда ..... 100 К/Вт

кристалл-корпус (измерено на выводе 4) ..... 70 К/Вт

### СТРУКТУРНАЯ СХЕМА



## ПРЕДЕЛЬНО ДОПУСТИМЫЕ ЗНАЧЕНИЯ ПАРАМЕТРОВ И РЕЖИМОВ

При  $T_A = 25^\circ\text{C}$ 

Напряжение:

на выводе ①	−0.3...3 В
на выводе ②	−0.3 В (min)
на выводе ③	−0.3 В (min)
на выводе ⑤	−0.3...6 В
на выводе ⑥ (напряжение питания)	−0.3...20 В
на выводе ⑦	−0.3...6 В
Температура кристалла	+125°C
Диапазон температур хранения	−40...+125°C

Ток:

на выводе ①	3 мА (max)
на выводе ②	3 мА (max)
на выводе ③	3 мА (max)
на выводе ④ (при $t_p < 50$ мкс; $v < 0.1$ )	−1.5 А (min)
на выводе ⑤ (при $t_p < 50$ мкс; $v < 0.1$ )	−1.5...1.5 А
на выводе ⑥ (при $t_p < 50$ мкс; $v < 0.1$ ): для TDA4605	1.5 А (max)
для TDA4605-2/-3	0.5 А (max)
на выводе ⑦	3 мА (max)
на выводе ⑧	−3...3 мА

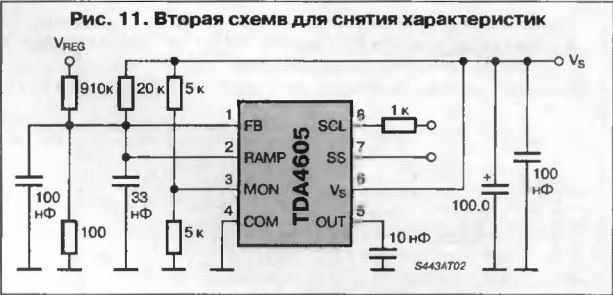
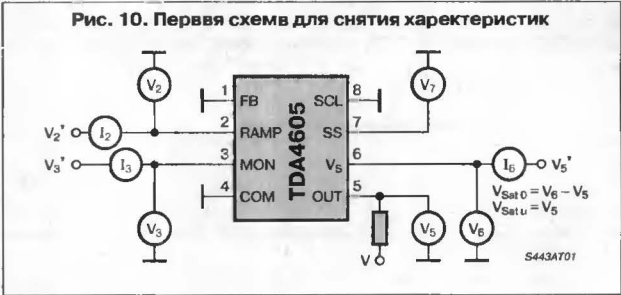
## ЭЛЕКТРИЧЕСКИЕ ПАРАМЕТРЫ

При  $T_A = 25^\circ\text{C}$ , если не указано иначе

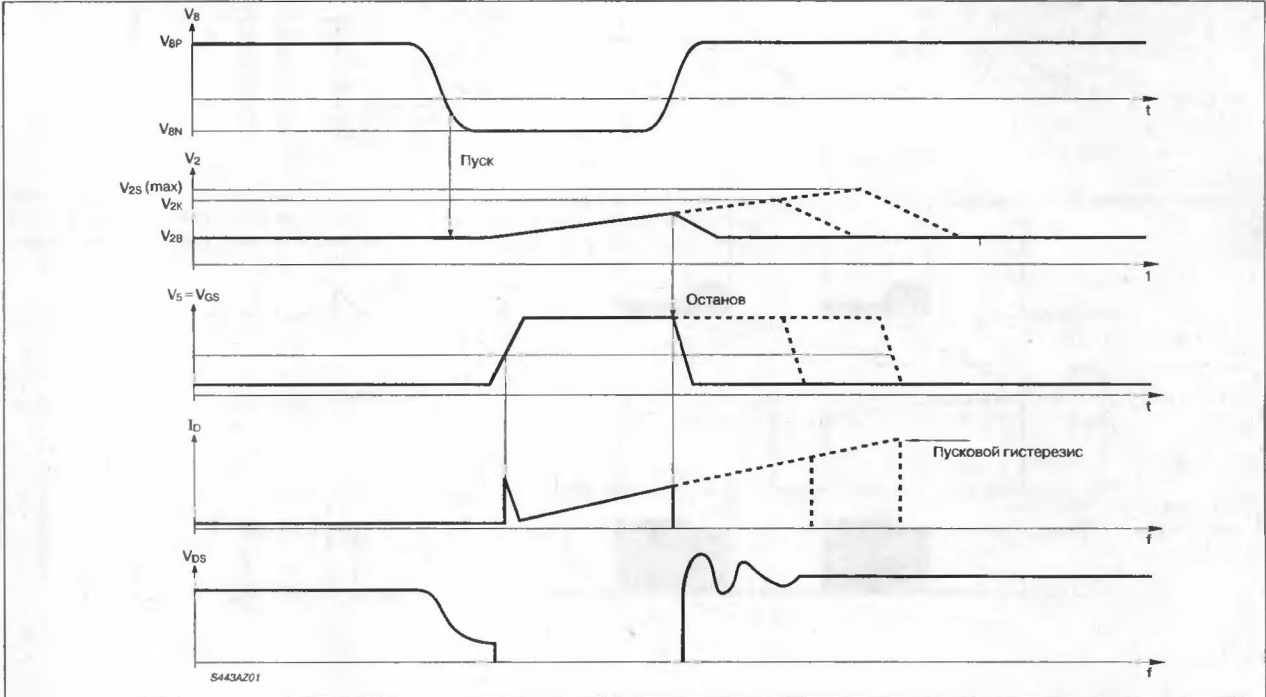
Параметр	Символ	Условия	Значения									Единица измерения
			TDA4605			TDA4605-2			TDA4605-3			
			не менее	типовое	не более	не менее	типовое	не более	не менее	типовое	не более	
Пусковой ток	$I_{BE0}$	Рис. 1, $V_6 = V_{BE}$	0.5	1.1	1.6	—	0.6	0.8	—	0.6	0.8	мА
Напряжение включения	$V_{BE}$	Рис. 1	11	12	13	11	12	13	11	12	13	В
Напряжение отключения	$V_{BA}$	Рис. 1	6.4	6.9	7.4	4.5	5	5.5	4.5	5	5.5	В
Ток включения	$I_{BE1}$	Рис. 1, $V_6 = V_{BE}$	7	9	12	—	11	—	7	11	14	мА
Ток отключения	$I_{BA1}$	Рис. 1, $V_6 = V_{BA}$	6.5	8	10	—	10	—	5	10	13	мА
Напряжение фиксации на выводе [2]	$V_2(max)$	Рис. 1, $V_6 \leq V_{BE}$ $I_2 = 1$ мА, микросхема отключена	5.6	6.6	7.6	5.6	6.6	8	5.6	6.6	8	В
Напряжение фиксации на выводе [3]	$V_3(max)$	Рис. 1, $V_6 \leq V_{BE}$ $I_3 = 1$ мА, микросхема отключена	5.6	6.6	7.6	5.6	6.6	8	5.6	6.6	8	В
Входное напряжение управляющего усилителя	$V_{IR}$	Рис. 2	370	400	430	390	400	410	390	400	410	мВ
Усиление управляющего усилителя	$K_R$	Рис. 2, $f = 1$ кГц	47	50	53	—	43	—	30	43	60	дБ
Опорный уровень преобразователя ток-напряжение	$V_{2B}$	Рис. 2	0.90	1.00	1.15	0.97	1.00	1.03	0.97	1.00	1.03	В
Пороговый уровень перегрузки на выходе	$V_{20}$	Рис. 2, $V_1 = V_{IR} - 10$ мВ	—	3.0	—	2.9	3.0	3.1	2.9	3.0	3.1	В
Пороговый уровень КЗ на выходе	$V_{2S}$	Рис. 2, $V_1 = 0$ В	2.2	2.6	3.0	2.2	2.4	2.6	2.2	2.4	2.6	В
Ток коррекции точки перегиба	$-I_2$	Рис. 1, $V_3 = 3.7$ В	400	660	850	300	500	650	300	500	650	мкА
Положительный уровень фиксации детектора перехода через нуль	$V_{BP}$	Рис. 2, $I_6 = 1$ мА	0.70	0.75	0.80	—	0.75	—	0.7	0.75	0.82	В
Отрицательный уровень фиксации детектора перехода через нуль	$V_{BN}$	Рис. 2, $I_6 = -1$ мА	-0.15	-0.22	-0.25	—	-0.2	—	-0.25	-0.2	-0.15	В
Пороговый уровень детектора переходе через нуль	$V_{BS}$	Рис. 2	40	50	—	40	50	—	40	50	76	мВ
Длительность времени подавления паразитного переходного процесса, инициируемого трансформатором	$t_{UL}$	Рис. 2	2	2	6	4	4.5	5.5	3.0	3.5	3.8	мкс
Входной ток детектора перехода через нуль	$-I_8$	$V_6 = 0$ В	—	2	4	0	—	4	0	—	4	мкА
Напряжение насыщения	$V_{SAT}$	Рис. 1, $I_5 = -0.1$ А	—	1.5	2.0	—	1.5	2.0	—	1.5	2.0	В
		Рис. 1, $I_5 = +0.1$ А	—	1.0	1.2	—	1.0	1.2	—	1.0	1.2	В
		Рис. 1, $I_5 = +0.5$ А	—	1.4	1.8	—	1.4	1.8	—	1.4	1.8	В
Скорость нарастания напряжения	$dV_5/dt$	Рис. 2	—	50	—	—	20	—	—	70	—	В/мкс
Скорость спада напряжения	$dV_5/dt$	Рис. 2	—	80	—	—	50	—	—	100	—	В/мкс
Ток снижения управляющего напряжения	$-I_1$	$V_7 = 1.1$ В	—	—	—	—	50	—	—	50	130	мкА
Нижний пороговый уровень напряжения питания	$V_6(min)$	Рис. 2, $V_5 = V_5(min)$	—	—	—	7.0	7.25	7.5	7.0	7.25	7.5	В
Верхний пороговый уровень напряжения питания	$V_6(max)$	Рис. 2, $V_5 = V_5(min)$	14	15	16	15.5	16	16.5	15.5	16	16.5	В
Пороговый уровень пониженного напряжения сети	$V_{3A}$	Рис. 1, $V_2 = 0$ В, $V_5 = V_5(min)$	925	1000	1075	985	1000	1015	985	1000	1015	мВ
Температура срабатывания защиты	$T_J$	Рис. 2	—	125	—	—	150	—	—	150	—	°C
Напряжение на выводе [3] при срабатывании одной из функций защиты	$V_{3SAT}$	Рис. 1, $I_3 = 750$ мкА	—	0.4	0.8	—	0.4	0.8	—	0.4	0.8	В
Ток стока во время паразитных выбросов	$I_6$	Рис. 1, $V_3 = V_2 = 0$ В	—	8	—	—	8	—	—	8	—	мА

ОПИСАНИЕ ВЫВОДОВ

Номер вывода	Символ	Функция
1	FB	Вход напряжения ОС с обмотки трансформатора ИВП. По результатам сравнения управляющего напряжения (напряжения, снимаемое с управляющей обмотки трансформатора) с внутренним опорным напряжением регулируется ширина выходного импульса (вывод [5]) в соответствии с величиной нагрузки (номинальная нагрузка, перегрузка, КЗ, отсутствие нагрузки)
2	RAMP	Вход пилообразного напряжения (информация о входном токе ИВП). Рост входного тока в первичной обмотке трансформатора имитируется (вывод [2]) повышением уровня напряжения при помощи внешней RC-цепи. Когда значение этого напряжения достигнет уровня, равного уровню сигнала, который получается из управляющего напряжения (вывод [1]), выходной импульс (вывод [5]) прерывается
3	MON	Входная информация для монитора первичного напряжения. При недопустимо низком уровне напряжения сети результат сравнения напряжения $V_3$ с внутренними опорными напряжениями отключает микросхему. Напряжение на выводе [3] позволяет также выполнять компенсацию смещения точки перегиба характеристики
4	COM	Общий вывод (земля)
5	OUT	Выход двухтактного выходного каскада обеспечивает ток до 1 А для быстрого заряда/разряда емкости затвора мощного МОП-транзистора
6	$V_S$	Вход напряжения питания. Из этого напряжения формируется стабильное внутреннее опорное напряжение $V_{REF}$ и внутренние пороговые напряжения $V_{SA}$ , $V_{SE}$ , $V_S(max)$ и $V_S(min)$ для монитора напряжения питания. Если $V_6 \geq V_{SE}$ , напряжение $V_{REF}$ включено; напряжение $V_{REF}$ выключено при $V_6 < V_{SA}$ . Кроме того, работа логической схемы разрешена только при выполнении условия $V_6(min) \leq V_6 \leq V_6(max)$
7	SS	Этот вывод используется для обеспечения мягкого запуска. К выводу [7] подсоединен выход управляющего усилителя. Конденсатор, подключенный между землей и выводом [7], позволяет обеспечить плавное нарастание длительности выходного импульса при запуске и интегрирующую характеристику управляющего усилителя
8	SCL	Вход определения начала такта. Прохождение нуля при отрицательном перепаде напряжения на этом выводе инициирует запуск импульса на выводе [5]. Паразитный колебательный процесс, происходящий в обмотках трансформатора, не должен инициировать запуск новых импульсов, т.к. в конце каждого импульса специальная схема подвывает датчик перехода через ноль на время $t_{UL}$

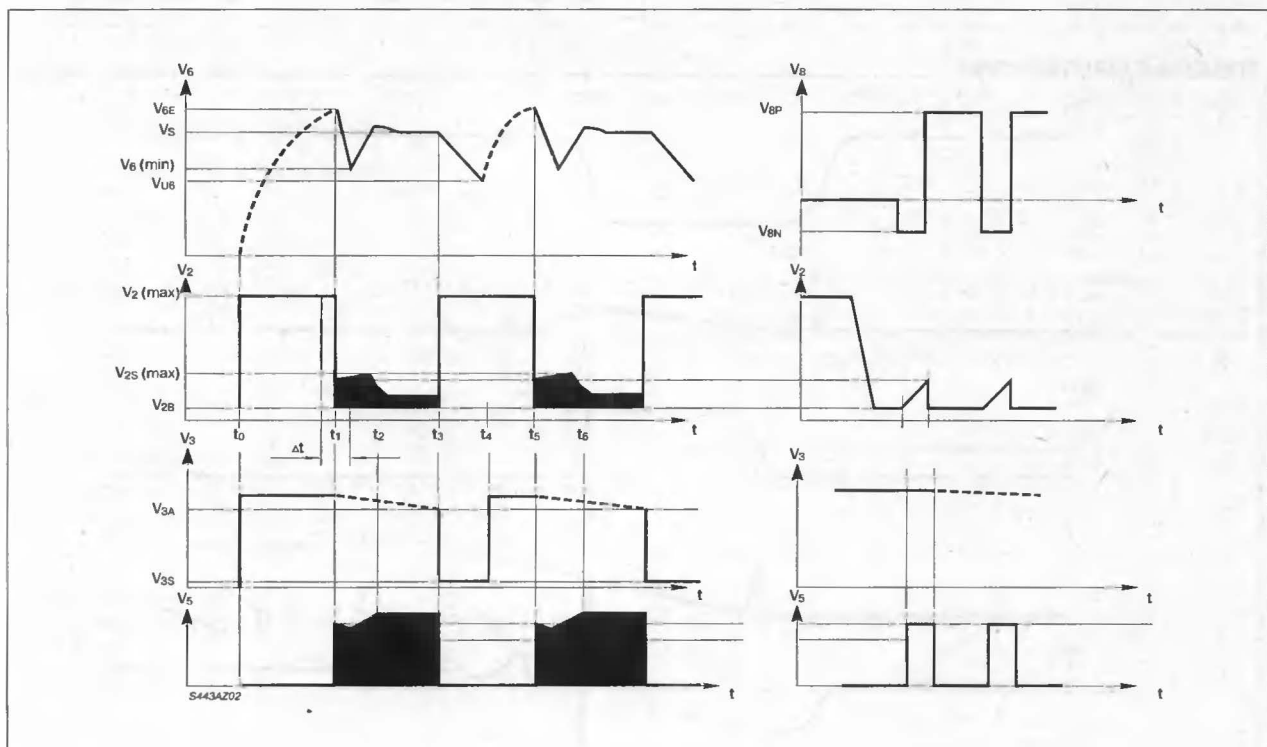
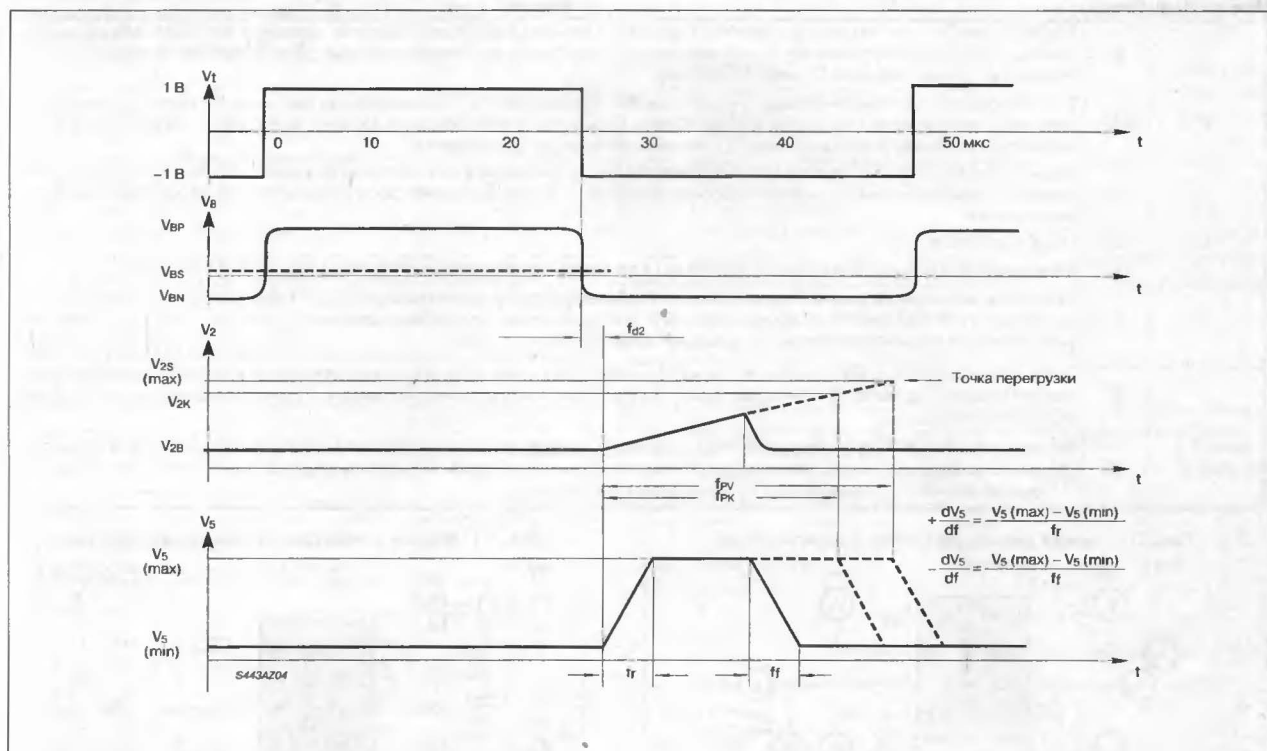


ВРЕМЕННЫЕ ХАРАКТЕРИСТИКИ





## ВРЕМЕННЫЕ ХАРАКТЕРИСТИКИ (Продолжение)



ТИПОВЫЕ РАБОЧИЕ ХАРАКТЕРИСТИКИ

Рис. 1. Зависимость пускового тока от температуры для TDA4605/-2/-3

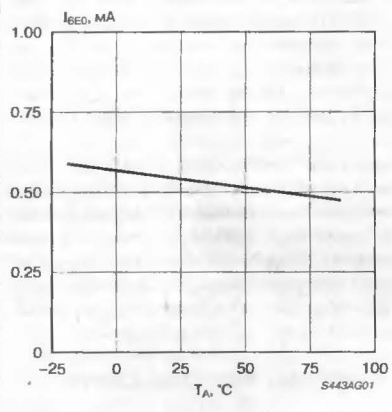


Рис. 2. Зависимость пускового тока от температуры для TDA4605

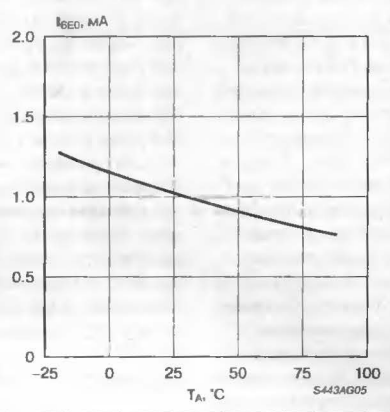


Рис. 3. Зависимость тока коррекции точки перегиба от напряжения на выводе [3] для TDA4605/-2/-3

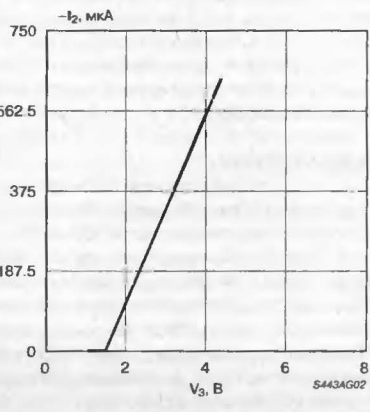


Рис. 4. Зависимость тока коррекции точки перегиба от напряжения на выводе [3] для TDA4605

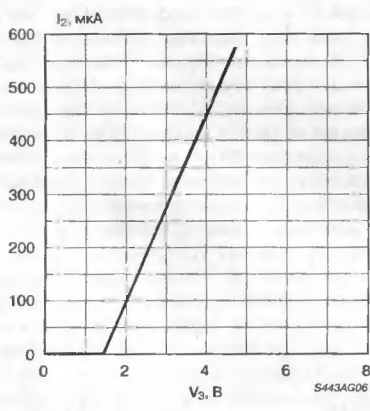


Рис. 5. Зависимость пикового значения напряжения, полученного преобразованием тока первичной обмотки, от напряжения на выводе [1]

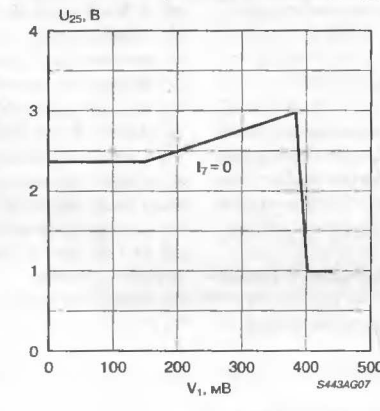


Рис. 6. Зависимость пикового значения напряжения, полученного преобразованием тока первичной обмотки, от напряжения на выводе [3]

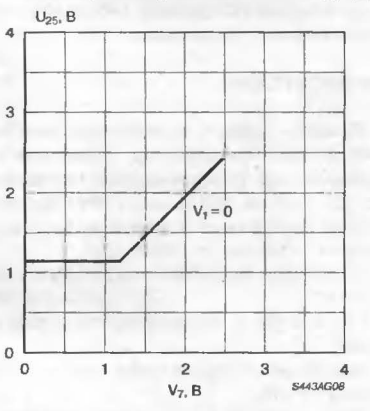


Рис. 7. Рекомендуемые значения рассеиваемой на транзисторе мощности в зависимости от выходной мощности для разных типов транзисторов

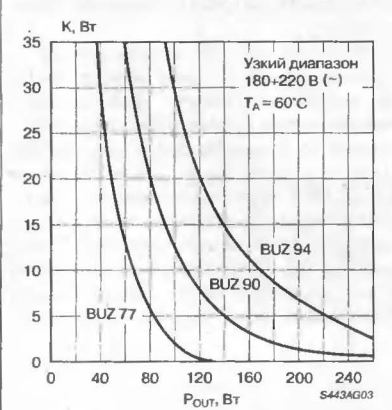


Рис. 8. Рекомендуемые значения рассеиваемой на транзисторе мощности в зависимости от выходной мощности для разных типов транзисторов

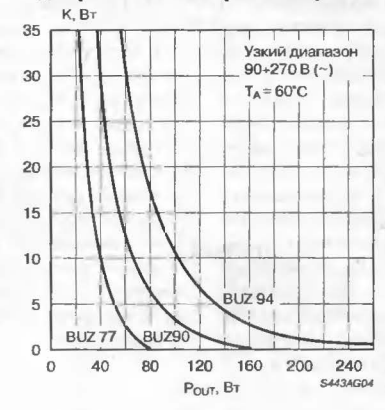
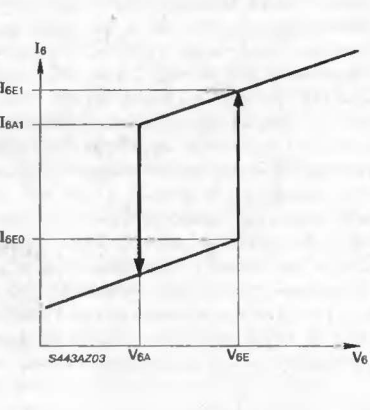


Рис. 9. Величины гистерезиса при запуске



## ФУНКЦИОНАЛЬНОЕ ОПИСАНИЕ

Микросхема TDA4605/-2/-3 предназначена для возбуждения, управления, контроля и защиты переключающего МОП-транзистора импульсного ИВП, построенного по схеме одноконтурного обратного преобразователя со свободной частотой колебаний, в процессе пуска, в нормальном режиме работы и в режиме перегрузки, а также при возникновении неисправности. В последнем случае включение переключающего транзистора блокируется, и предотвращается резкое увеличение выходного напряжения (на вторичной обмотке).

## РЕЖИМЫ НАГРУЗКИ

**Режим отсутствия нагрузки.** ИВП работает в режиме подавления импульсных пакетов с частотой 20...40 кГц (TDA4605 в этом режиме работает на резонансной частоте 100...200 кГц). Выходное напряжение находится вблизи своего номинального значения и определяется особенностями конструкции трансформатора, характеристиками резисторов делителя управляющего напряжения.

**Режим номинальной нагрузки.** Частота переключения в этом режиме падает по мере увеличения нагрузки и уменьшения входного напряжения. Величина рабочего цикла выходных импульсов преимущественно зависит от входного напряжения, а выходное напряжение — только от нагрузки.

**Точка перегрузки.** В этой точке выходной характеристики обеспечивается максимальная выходная мощность.

**Режим перегрузки.** Передаваемая за рабочий цикл энергия ограничена сверху. Следовательно, выходное напряжение падает с ростом перегрузки на выходе.

## ПУСКОВОЙ РЕЖИМ

Пусковой режим применительно к схеме, приведенной на **Рис. 12** (см. "Временные характеристики"), рассмотрен для случая входного напряжения, несколько превышающего нижний предельно допустимый уровень сетевого напряжения. После подачи входного напряжения в момент времени  $t_0$  устанавливаются следующие величины напряжений:

напряжение  $V_6$  соответствует току однополупериодного заряда через R1;

напряжение  $V_2$  соответствует  $V_2(max)$  (номинальное значение 6.6 В);

напряжение  $V_3$  соответствует значению, которое снимается с делителя R10/R11.

В этом случае ток, который потребляет микросхема, меньше 0.8 мА.

Как только напряжение  $V_6$  достигло порогового уровня  $V_{EE}$  (на временной диаграмме в момент времени  $t_1$ ), микросхема включает внутреннее опорное напряжение. Ток нарастает до максимального значения 12 мА. Преобразователь первичного тока в напряжение устанавливает напряжение  $V_2$  на уровне  $V_{2B}$ , и формирователь пускового импульса выдает импульсы (временной интервал от  $t_5$  до  $t_6$  на временной диаграмме). Сигнал ОС с вывода [8] запускает следующий импульс и т. д. Длительность всех импульсов, включая и пусковой импульс, регулируется управляющим усилителем. После включения микросхемы формируется линейно нарастающий сигнал на выводе [7]. Этот сигнал позволяет плавно увеличивать длительность выходного импульса ("мягкий" запуск). Максимальную длительность выходного импульса ограничивает управляющий усилитель. По мере увеличения управляющего напряжения ОС  $V_1$ , растет и длительность выходных импульсов, которая задается управляющим усилителем. Максимальной длительности импульс достигнет в момент времени  $t_2$  ( $V_2 = V_2(max)$ ), когда микросхема работает в точке перегиба. Далее за этим пиковым значением напряжение  $V_2$  быстро падает, так как микросхема работает в

пределах диапазона стабилизации. Контур регулирования переходит в стационарное, рабочее состояние.

Если напряжение  $V_6$  падает ниже порогового уровня отключения  $V_6(min)$  до выхода на точку перегиба, попытка запуска ИВП прекращается (переключение на НИЗКИЙ уровень напряжения на выводе [5]). Так как внутренние блоки по-прежнему включены, напряжение  $V_6$  продолжает уменьшаться далее до  $V_{6A}$ . Затем микросхема отключается; напряжение  $V_6$  может снова начать расти (момент времени  $t_4$  на временной диаграмме) с последующей новой попыткой пуска в момент  $t_1$ .

Если уровень выпрямленного напряжения сети упал из-за воздействия нагрузки, напряжение  $V_3$  может оказаться ниже уровня напряжения  $V_{3A}$ , как это показано на временной диаграмме в момент времени  $t_3$  (попытка включения ИВП при слишком низком уровне первичного напряжения). Встроенная схема монитора первичного напряжения в этом случае фиксирует  $V_3$  на уровне  $V_{3S}$  до отключения микросхемы ( $V_6 < V_{6A}$ ). Затем начинается новая попытка пуска ИВП (момент времени  $t_1$  на временной диаграмме).

## РЕЖИМЫ СТАБИЛИЗАЦИИ, ПЕРЕГРУЗКИ И ОТСУТСТВИЯ НАГРУЗКИ

После успешного завершения пуска микросхема работает в режиме стабилизации. Потенциал на выводе [1] составляет 400 мВ (номинальное значение). Коэффициент усиления управляющей схемы образован двумя составляющими: первая из них — это фиксированная пропорциональная часть, фиксация которой обеспечивается встроенными в микросхему средствами, и интегральная часть, которая задается внешним конденсатором, подключенным к выводу [7]. При наличии нагрузки на выходе ИВП управляющий усилитель инициирует расширение выходных импульсов (ВЫСОКИЙ логический уровень  $V_5$ ). Значение пикового напряжения на выводе [2] растет до уровня  $V_{2S(max)}$ . При дальнейшем увеличении нагрузки на выходе ИВП усилитель перегрузки начинает сокращать длительность выходного импульса. Этот момент называется точкой перегиба. Поскольку напряжение питания микросхемы прямо пропорционально напряжению на вторичных обмотках, понижение уровня напряжения  $V_6$  полностью соответствует режиму работы управляющей схемы при наличии перегрузки. Когда уровень напряжения  $V_6$  оказался ниже уровня  $V_6(min)$ , микросхема переходит в режим подавления импульсных пакетов. При сравнительно большом значении постоянной времени заряда пусковой схемы, которая работает в режиме однополупериодного выпрямления, только очень малая мощность передается на нагрузку в случае возникновения КЗ на выходе ИВП. Усилитель перегрузки уменьшает ширину импульса ниже значения  $t_{PK}$ . Такую длительность импульса следует поддерживать далее с тем, чтобы потом обеспечить надежный запуск микросхемы после случайного КЗ, когда каждое включение начинается с  $V_1 = 0$ .

При отсутствии нагрузки выходные импульсы становятся короче (ВЫСОКИЙ логический уровень  $V_5$ ).

Если ширина импульса стала короче определенного в микросхеме предельного уровня, то прибор блокирует часть последовательности выходных импульсов. Причем, если нагрузка продолжает и далее уменьшаться из-за рабочего цикла выходного импульса, то инструментальная погрешность схемы выпрямителя (R8, D3, C6 на **Рис. 12**) растет, и, следовательно, растет также выходное напряжение на выходе ИВП. Если микросхема работает с укороченными выходными импульсами, то источник тока выдает дополнительный ток на управляющий усилитель для того, чтобы понизить выходное напряжение. Величина дополнительного тока зависит от сопротивлений резисторов R5, R6, R7. Целесообразно использование этого тока для компенсации приращения вторичного напряжения.

Схема общей защиты микросхемы от превышения температуры запрещает выдачу сигналов логической схемы, когда температура кристалла становится слишком высокой. Логическая схема автома-

### ЗАМЕЧАНИЯ ПО ПРИМЕНЕНИЮ

Рассматривается схема применения обратногоходового преобразователя для видеомagnetофонов номинальной мощностью 70 Вт. Схема работает в расширенном диапазоне напряжения сети переменного тока (универсальный сетевой вход) от 180 В до 264 В. Мостовой выпрямитель GR1 обеспечивает выпрямление входного линейного напряжения, которое сглаживается конденсатором C1. Броски тока ограничиваются резистором с отрицательным ТКС.

Микросхема имеет встроенную схему предотвращения включения мощного транзистора Т1 из-за статических зарядов на затворе транзистора, которые накапливаются при отключенном состоянии микросхемы. Резистор R13 ограничивает спектр излучаемых шумов.

Во время проводящего периода мощного транзистора Т1 рост тока в первичной обмотке определяется индуктивностью обмотки и уровнем питающего напряжения.

Цепь R4-C5 используется для имитации пилообразного процесса роста коллекторного тока. Результирующее управляющее напряжение подается на вывод [2]. Следует выбирать постоянную времени цепи R4-C5 таким образом, чтобы исключить вероятность насыщения сердечника трансформатора.

Передаточное отношение делителя на резисторах R10 и R11 задает пороговый уровень напряжения. Ниже этого порогового уровня ИВП прекращает работу из-за недопустимо низкого напряжения сети. Кроме того, управляющее напряжение на выводе [3] определяет ток коррекции точки перегиба. Этот ток является добавочным к току, протекающему через резистор R4, и обеспечивает дополнительный заряд конденсатора C5, благодаря которому сокращается продолжительность периода включения транзистора T1. Таким образом, обеспечивается стабилизация точки перегиба даже при повышенном сетевом напряжении.

Управление работой ИВП осуществляется напряжением, подаваемым на вывод [1]. Управляющее напряжение с обмотки  $n_1$  во время, когда транзистор  $T_1$  закрыт, после выпрямления диодом  $D_3$  и сглаживания конденсатором  $C_6$  понижается делителем на резисторах  $R_5$ ,  $R_6$  и  $R_7$  с регулируемым коэффициентом деления. Пиковое значение тока регулируется микросхемой таким образом, чтобы поддерживать на требуемом уровне напряжение, снимаемое с управляющей обмотки, и, следовательно, выходное напряжение.

В период передачи трансформатором энергии на нагрузку управляющее напряжение проходит через нулевой уровень. Микрохема выявляет момент нулевого значения управляющего напряжения с помощью последовательно подключенного к выводу [8] резистора R9. Но подобное пересечение нулевого уровня может возникать также в результате колебательных процессов, которые возникают в самом трансформаторе после закрывания транзистора Т1 или КЗ на выходе ИВГ.

Подключение к выводу 7 конденсатора С8 позволяет начать подачу питания с укороченных импульсов для того, чтобы поддерживать рабочую частоту при запуске за гарантированными пределами диапазона.

На стороне вторичных обмоток ИВП формируются три фиксированных значения стабилизированного выходного напряжения через трансформаторные обмотки  $n_2$  ( $n_5$ ), выпрямительные диоды D4 (D6) и конденсаторы C9 (C11) сглаживания пульсаций напряжения. Резистор R12 используется в качестве стабилизирующего нагрузочного резистора. Резисторы-предохранители R15, R16 защищают соответствующие цепи стабилизированного напряжения от КЗ на выходных цепях, которые рассчитаны только на достаточно малые предельные токи нагрузки.

**Рис. 12. Типовая схвма источника питания с универсальным входом на TDA4605**

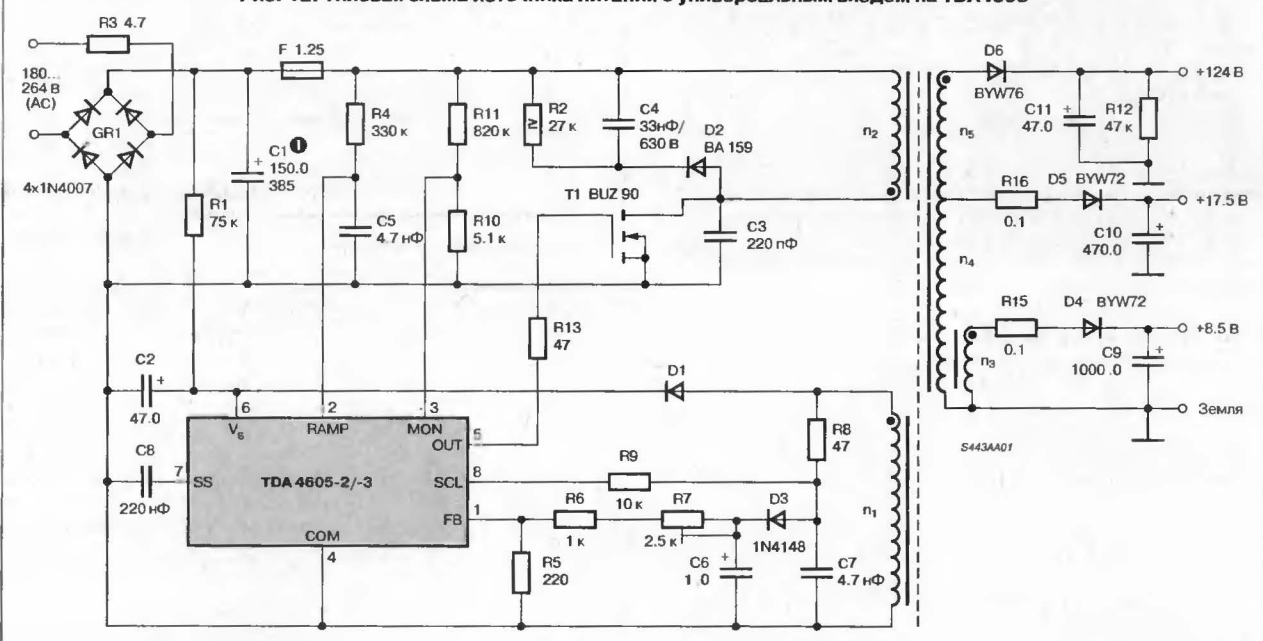
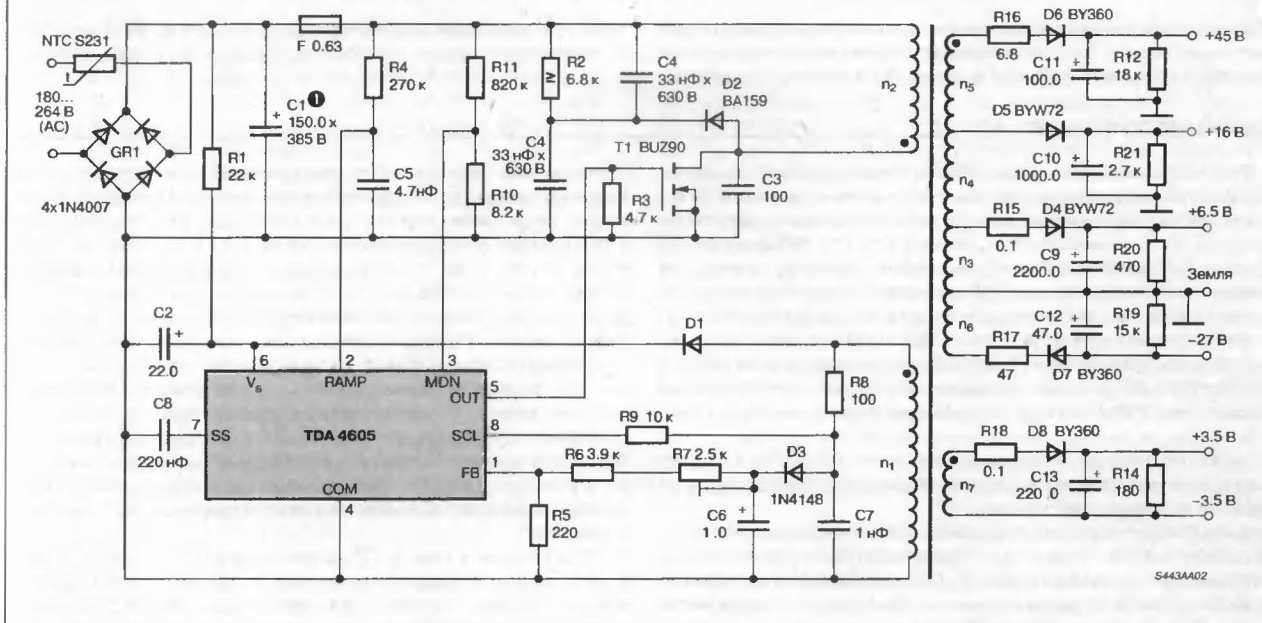


Рис. 13. Типовая схема источника питания с универсальным входом на TDA4605/-2/-3



S443A402



# ЧИМ-КОНТРОЛЛЕР РЕЗОНАНСНОГО ИСТОЧНИКА ПИТАНИЯ 1055EY4

без аналога

Товарные знаки  
фирм изготовителей

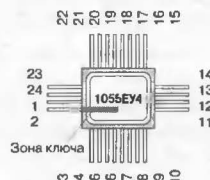


## ОСОБЕННОСТИ

- ♦ Однотактное частотно-импульсное преобразование
- ♦ Внутренний источник опорного напряжения
- ♦ Защита от перегрузки по току
- ♦ Мягкий запуск
- ♦ Дистанционное "включение-выключение"
- ♦ Защита от пониженного напряжения питания
- ♦ Малый ток потребления в режиме холостого хода
- ♦ Высокая частота преобразования ..... до 1.5 МГц

## ЦОКОЛЁВКА КОРПУСОВ

Металлокерамический корпус типа H06.24.2B



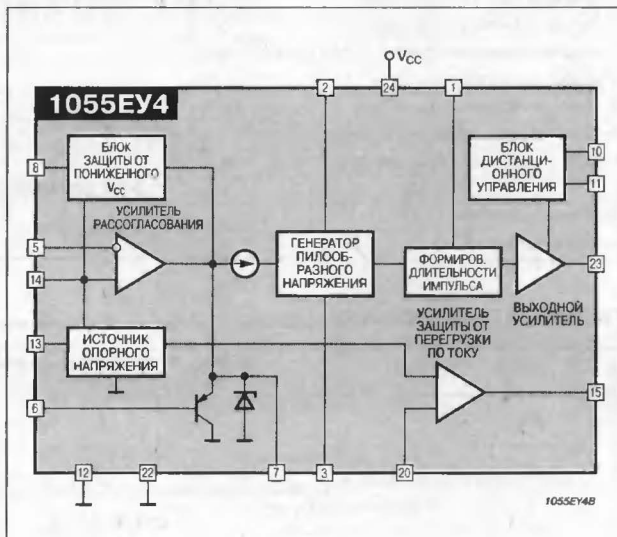
## ОПИСАНИЕ ВЫВОДОВ

Выходы	Описание
1	Подключение RC-цепи, формирующей длительность импульса
3	Конденсатор формирования частоты преобразования
5	Инвертирующий вход усилителя рассогласования
6	Конденсатор мягкого запуска
7	Резистор формирования частоты преобразования
8	Делитель напряжения включения
10	Выход (открытый коллектор) дистанционного "включения-выключения"
11	Вход блока дистанционного "включения-выключения"
12	Силовая земля
13	Корректирующая ёмкость ИОН
14	Выход ИОН
15	Выход (открытый коллектор) усилителя защиты от перегрузки по току
20	Вход усилителя защиты от перегрузки по току
22	Земля
23	Выход
24	Напряжение питания $V_{CC}$

## ТИПОНОМИНАЛЫ

Прибор	Корпус	Технические условия
КН1055EY4	H06.24.2B	АДБК.431420.457ТУ

## СТРУКТУРНАЯ СХЕМА





# ЧИМ-КОНТРОЛЛЕР РЕЗОНАНСНОГО ИСТОЧНИКА ПИТАНИЯ 1055EY5

Без аналога

Товарные знаки  
фирм изготовителей



## ОСОБЕННОСТИ

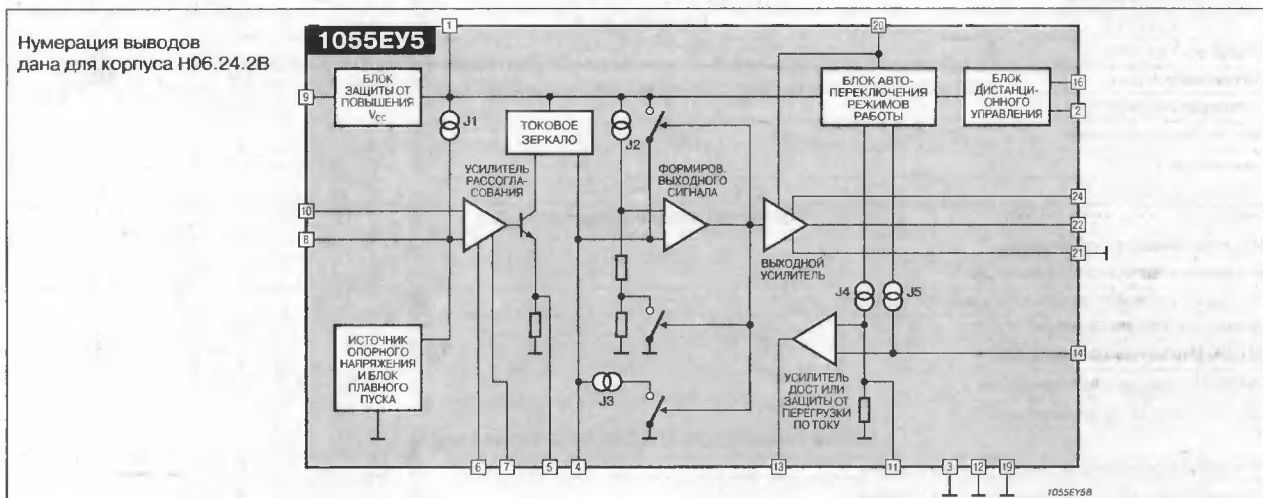
- ♦ Однотактное частотно-импульсное преобразование с ограничением предельной скважности
- ♦ Наличие дежурного и рабочего режимов работы
- ♦ Внутренний источник опорного напряжения
- ♦ Контроль выходного напряжения при пуске и в процессе работы
- ♦ Дополнительная обратная связь по току (ДОСТ)
- ♦ Защита от превышения напряжения в сети и от отрыва в цепи обратной связи
- ♦ Защита от перегрузки по току
- ♦ Мягкий запуск

- ♦ Запуск схемы от накопительного конденсатора
- ♦ Дистанционное "включение-выключение"
- ♦ Защита от пониженного напряжения питания
- ♦ Малый ток потребления в режиме холостого хода
- ♦ Высокая частота преобразования ..... до 1 МГц

## ТИПОНОМИНАЛЫ

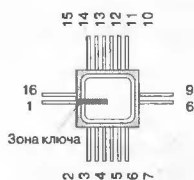
Прибор	Корпус	Технические условия
КН1055EY5	Н06.24.2В	АДЕК.431420.458 ТУ
КН1055EY5	Н04.16.2В	АДЕК.431420.458 ТУ
КР1055EY5	DIP-16	АДЕК.431420.458 ТУ

## СТРУКТУРНАЯ СХЕМА

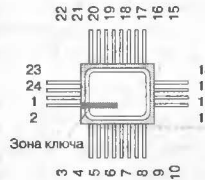


## ЦОКОЛЕВКА КОРПУСОВ

Металлокерамический корпус типа Н04.16.2В



Металлокерамический корпус типа Н06.24.2В



Пластмассовый корпус типа DIP-16



Выходы			Описание
НО6.24.2В	НО4.16.2В	DIP-16	
4	1	3	Конденсатор формирования $f_{пр}$
5	2	4	Выход усилителя рассогласования
6	3	5	Подключение ДОСТ
7	—	—	Корректирующая ёмкость усилителя рассогласования
8	4	6	Конденсатор мягкого запуска
9	5	7	Вывод обеспечения защиты в цепях обратной связи
10	6	8	Инвертирующий вход усилителя рассогласования
11	7	9	Опорное напряжение ДОСТ
12, 3, 19	8	13	Земля
13	9	10	Выход усилителя ДОСТ (открытый коллектор)
14	10	11	Инвертирующий выход усилителя ДОСТ
16	11	12	Выход дистанционного управления
20	12	14	Напряжение питания $V_{CC}$
21	13	15	Силовая земля
22	14	16	Выход
24	15	—	Вывод для подключения ДОСТ в безынерционном включении
2	16	2	Дистанционное "включение-выключение"
1	—	1	Напряжение предбиасизации

## ОСНОВНЫЕ ЭЛЕКТРИЧЕСКИЕ ПАРАМЕТРЫ

При  $V_{CC} = 12 \text{ В} \pm 5\%$ ;  $C_L = 1000 \text{ нФ}$ ;  $T_A = 25^\circ\text{C}$ , если не оговорено иное

Параметр	Условия	Значение			Единица измерения
		не менее	типичное	не более	
Максимальное рабочее напряжение питания	—	—	—	18	В
Ток потребления:	в дежурном режиме	—	15	20	мкА
	в рабочем режиме	$f_{OSC} \leq 10 \text{ кГц}$	—	4.0	мА
		$f_{OSC} = 1 \text{ МГц}$	—	30.0	мА
Рабочий температурный диапазон	корпуса Н06.24.2В, Н04.16.2В	-40	—	+100	°C
ИСТОЧНИК ОПОРНОГО НАПРЯЖЕНИЯ					
Выходное напряжение	—	1.0	1.1	1.2	В
Температурный коэффициент опорного напряжения	$T_A = -40...+100^\circ\text{C}$	—	—	$10^{-4}$	1/°C
Коэффициент влияния питающего напряжения на опорное	—	0.02	—	—	%/В
УСИЛИТЕЛЬ РАССОГЛАСОВАНИЯ					
Коэффициент усиления	—	86	90	—	дБ
Входной ток	—	—	—	0.1	мкА
Напряжение смещения	—	—	—	3.0	мВ
Частота единичного усиления	—	3	—	—	МГц
УСИЛИТЕЛЬ ДОСТ					
Коэффициент усиления	—	64	70	—	дБ
Ток смещения	—	—	80	100	мкА
Напряжение смещения	—	—	—	3.0	мВ
Частота единичного усиления	—	3	—	—	МГц
Выходной ток	—	40	50	—	мА
Пороговое напряжение	—	—	0.3	—	В
ФОРМИРОВАТЕЛЬ ВЫХОДНЫХ ИМПУЛЬСОВ					
Минимальная частота преобразования	—	—	1.0	1.1	кГц
Максимальная частота преобразования	—	—	1.0	1.2	МГц
Длительность переднего/заднего фронта выходного импульса	—	40	50	—	нс
Время задержки (распространения)	—	—	50	60	нс
Выходной ток постоянный/импульсный	—	0.1/0.4	—	—	А
ВЫСОКИЙ уровень выходного напряжения	—	—	$V_{CC} - 0.5$	—	В
НИЗКИЙ уровень выходного напряжения	—	—	0.5	—	В
БЛОК АВТОМАТИЧЕСКОГО ПЕРЕКЛЮЧЕНИЯ РЕЖИМОВ РАБОТЫ					
Напряжение переключения из дежурного режима в рабочий	—	14	15	16	В
Напряжение переключения из рабочего режима в дежурный	—	6	7	8	В
Уровни управления дистанционным "включением-выключением":	включено	—	0.4	—	В
	выключено	—	2.4	—	В

## ПРИМЕНЕНИЕ МИКРОСХЕМЫ 1055EY5

Рассмотрим применение контроллера 1055EY5 в источниках вторичного электропитания. Нумерация выводов в схемах приведена для корпуса Н06.24.2В.

В схеме на **Рис. 1** длительность импульса  $T_i$  (сигнала открытого состояния транзистора VT1) определяется по максимальному напряжению на конденсаторе С1 и минимальной мощности нагрузки для выбранного значения приведённой индуктивности фильтра L1.

$$T_i \leq 2 I_L (\text{min}) \times L1 / (K_{TR} \times V_{CC} (\text{max}) - V_L - V_D).$$

В случае квазирезонансного преобразователя в схемах на **Рис. 1** и **2** длительность импульса  $T_i$  должна быть больше полупериода ре-

зонансного процесса, определяемого произведением индуктивности и ёмкости (индуктивность рассеяния  $L_{S2}$  трансформатора TV1 и С9 для **Рис. 1** или L1 и С8 для **Рис. 2**).

$$T_i > \pi \sqrt{LC}.$$

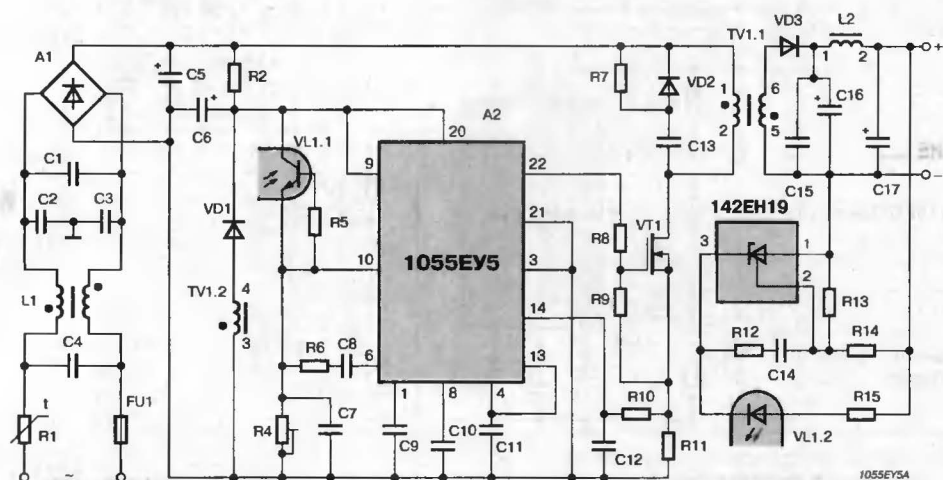
В схемах на **Рис. 3** и **4** длительность импульса  $T_i$  определяется по максимальному напряжению на конденсаторе С5 и минимальной мощности нагрузки для выбранного значения индуктивности намагничивания первичной обмотки L1-2 трансформатора TV1.

$$T_i \leq B I_L (\text{min}) \times L1-2 \left[ \frac{K_{TR}}{1 + V_D/V_{CC}} + \frac{V_L}{V_{CC} (\text{max})} \right] / (\eta \times V_{CC} (\text{max})).$$





Рис. 4. Полная схема меломощного обротноходового преобразователя напряжения сети переменного тока в постоянное стабилизированное напряжение с гальванической развязкой



# ПОЛУМОСТОВОЙ АВТОГЕНЕРАТОР ВИП 1182ГГЗ

Без аналога

Товарные знаки  
фирм изготовителей



## ОБЩЕЕ ОПИСАНИЕ

Микросхема 1182ГГЗ является интегральной схемой высоковольтного полумостового автогенератора. Она изготовлена по уникальной биполярной технологии, разработанной для класса ИС, ориентированных на применение в сети переменного тока до 240 В. ИС преобразует постоянное напряжение (в частности, выпрямленное сетевое напряжение) в высокочастотное напряжение 30...50 кГц и позволяет создавать гальванически развязанные вторичные источники питания (ВИП) мощностью до 20 Вт.

## ТИПОНОМИНАЛЫ

Прибор	Корпус
KP1182ГГЗ	DIP-8

## МАКСИМАЛЬНЫЕ ЗНАЧЕНИЯ ПАРАМЕТРОВ И РЕЖИМОВ

При  $T_A = -40...+70^\circ\text{C}$

Параметр	Символ	Значение		Единица измерений
		Не менее	Не более	
Напряжение питания	$V_{CC}$	—	400*	В
Максимальный выходной ток	$I_{MAX}$	—	600	мА
Рассеиваемая мощность при $T_A = +70^\circ\text{C}$	$P_{TOT}$	—	0.5	Вт
Температура окружающей среды	$T_A$	-40	+70	$^\circ\text{C}$
Температура хранения	$T_{STG}$	-55	+150	$^\circ\text{C}$
Допустимое значение статического электричества	$V_{SE}$	—	500	В

### Примечания:

\* — скорость нарастания напряжения питания  $dV_{CC}/dt$  не более 10 В/мкс.

## ЦОКОЛЕВКА КОРПУСОВ

Пластмассовый корпус типа DIP-8

Питание схемы управления нижним ключом	SLC	1	8	SH	Вход управления верхнего ключа
Стартовый вход	ST	2	7	SHC	Питание схемы управления верхним ключом
Вход управления нижнего ключа	SL	3	6	$V_{CC}$	Напряжение питания
Земля	GND	4	5	Q	Средняя точка полумоста

## ОСНОВНЫЕ ЭЛЕКТРИЧЕСКИЕ ПАРАМЕТРЫ

При  $T_A = 25^\circ\text{C}$ , если не оговорено иное

Параметр	Символ	Условия	Значение			Единица измерения
			не менее	типовое	не более	
Остаточное напряжение переключателей	$V_{SAT}$	$I = 0.3 \text{ A}, V_S = 6 \text{ В}$	—	0.4	—	В
Напряжение срабатывания цепи запуска	$V_{ST}$		—	22	—	В
Напряжение переключения выходов	$V_P$		—	2.2	—	В
Падение напряжения на обратных диодах	$V_D$	$I_D = 400 \text{ мА}$	—	1.4	3	В
Ток управления	$I_S$	$V_S = 4 \text{ В}$	—	25	—	мА
Минимальный ток выходов	$I_{O MIN}$	$V_S = 4 \text{ В}$	220	—	—	мА
Ток утечки выходов	$I_{IL}$	$V_{CC} = 360 \text{ В}$	—	—	200	мкА

## СТРУКТУРНАЯ СХЕМА

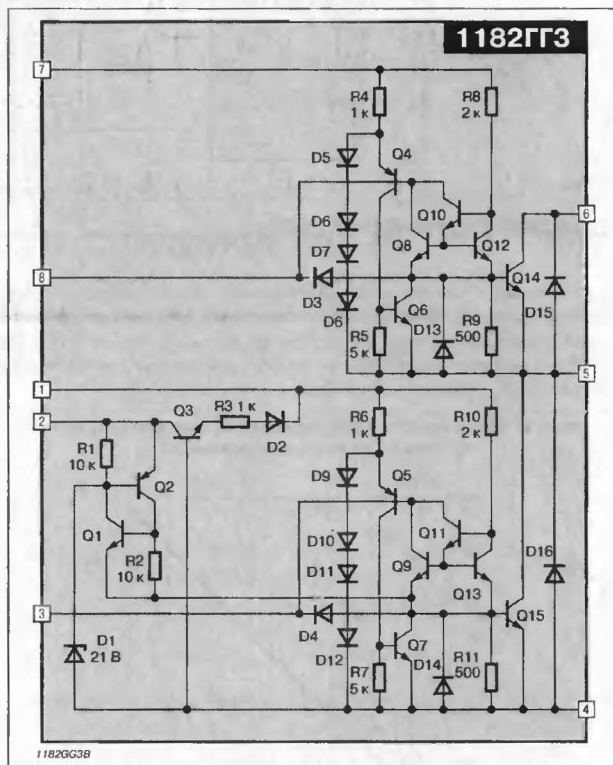
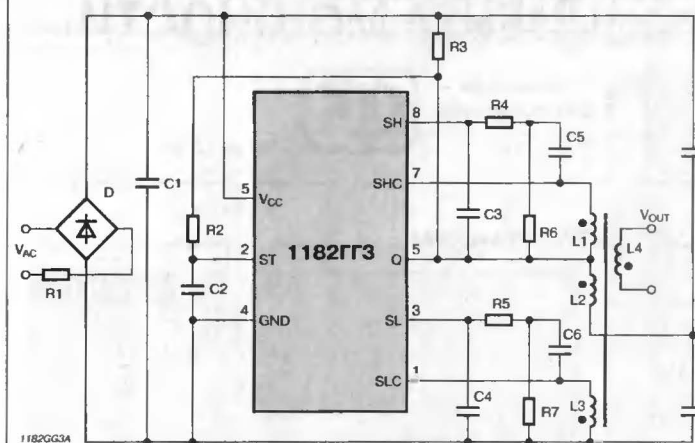


Рис. 1. Схема применения контроллера для сети переменного тока



Номиналы элементов для входного напряжения сети 220 В x 50 Гц и выходной частоты 30...50 кГц выбираются следующим образом:

**Конденсаторы:**

C1 — 4.7 мкФ x 450 В;  
C2 — 4.7 нФ x 30 В;  
C3, C4 — 0.1 мкФ x 10 В;  
C5, C6 — 0.33...0.47 мкФ x 10 В;  
C7, C8 — 22...220 нФ x 250 В.

**Резисторы:**

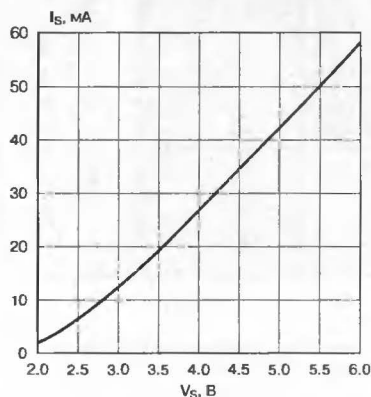
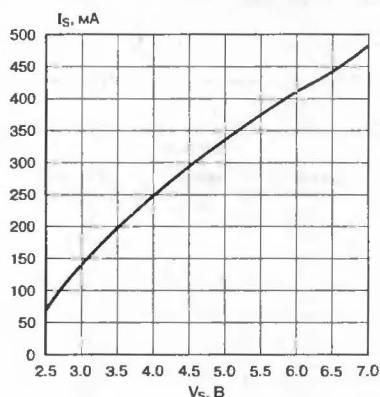
R1 — 10 Ом x 0.25 Вт;  
R2 — 1 МОм x 0.125 Вт;  
R3 — 0.47 МОм x 0.125 Вт;  
R4, R5 — 10...20 Ом x 0.125 Вт;  
R6, R7 — 27...47 Ом x 0.25 Вт.

**Трансформатор** изготавливается на ферритовом (броневом или Ш-образном) сердечнике, параметры сердечника, первичной обмотки L2 и вторичной L4 зависят от мощности, коэффициента трансформации, требований по ограничению электромагнитных помех и т.д. На вторичных обмотках управления L1 и L3 необходимо создать напряжение 4...5 В. Более подробный расчет приведен в описании электрической схемы.

**ОПИСАНИЕ ЭЛЕКТРИЧЕСКОЙ СХЕМЫ**

В описании обозначения внутренних элементов микросхемы подчеркнуты, обозначения элементов схемы применения приведены обычным шрифтом.

Электрическая схема состоит из двух одинаковых блоков выходных каскадов (верхнего и нижнего) и схемы запуска.

Рис. 2. Зависимость тока управления выходами  $I_S$  от напряжения на входах управления  $V_S$ Рис. 3. Зависимость минимального выходного тока выходов  $I_{O\min}$  от напряжения на входах управления  $V_S$ 

Работу выходного каскада рассмотрим на примере нижнего.

Он состоит из выходного транзистора  $Q_{15}$  и обратного диода  $D_{16}$ . Транзистор  $Q_{15}$  открывается током генератора тока, состоящего из резистора  $R_{10}$  и токового зеркала на транзисторах  $Q_9, Q_{11}, Q_{13}$  с коэффициентом 1:25. Ток управления со входа SL пропорционален напряжению на входе SLC. Типовая зависимость приведена на **Рис. 2**. Для закрывания транзистора  $Q_{15}$  в момент переключения каскадов служит диод  $D_4$ . Для удержания в закрытом состоянии транзистора  $Q_{15}$  (в частности, при подаче питающего напряжения до возникновения автогенерации) служит резистор  $R_{11}$  (пассивное запирающее) и схема, состоящая из резистора  $R_6$ , диодов  $D_9...D_{12}$  и транзисторов  $Q_5, Q_7$  с резистором  $R_7$ . Диоды  $D_9...D_{12}$  и транзистор  $Q_5$  образуют компаратор напряжения на 2.2 В. Если напряжение на входе SL ниже указанного, то открыт транзистор  $Q_7$ , который активно закрывает выходной транзистор  $Q_{15}$ . Эта же схема совместно с RC-цепочкой (в **схеме применения** — резистор  $R_5$  и конденсатор  $C_4$ ) позволяет осуществить задержку включения выходного каскада для избежания сквозных токов.

Через диоды  $D_4$  и  $D_{14}$  разряжается внешняя времязадающая емкость (в **схеме применения** — конденсатор  $C_6$ ).

Выходной каскад работает следующим образом (см. **схему применения**). Когда напряжение на обмотке L3 отрицательное и составляет, например, 4 В, емкость  $C_6$  заряжается до  $V = -4 В + 2V_D = -2.6 В$ . После переключения каскадов напряжение на обмотке L3 становится положительным и составляет +4 В. Напряжение на входе SL при этом составит 6.6 В. Емкость  $C_6$  будет перезаряжаться током управления  $I_S$  (см. **Рис. 2**) и током через резистор  $R_7$  (резистор стабилизирует длительность импульса соответствующего каскада). При разряде емкости на 4.4 В, то есть когда на входе SL напряжение снизится до 2.2 В, нижний выходной каскад выключится. Время перезаряда емкости  $C_6$  является полупериодом частоты переключения выходов.

Стартовая цепочка состоит из тиристора на транзисторах  $Q_1, Q_2$  и резисторов  $R_1, R_2$  и стабилитрона  $D_1$ . К выводу ST (см. **схему применения**) подключается RC-цепочка (резисторы  $R_2, R_3$ , конденсатор  $C_2$ ). После заряда емкости  $C_2$  до значения  $(21 В + V_{BE})$ , тиристор включается и разрядным импульсом тока с емкости  $C_2$  включает транзистор  $Q_{15}$ , начиная тем самым автоколебательный процесс.

Разделение стартового резистора на два и подключение их общей точки к выводу ИС позволяет стабилизировать стартовый процесс при любой скорости нарастания питающего напряжения.

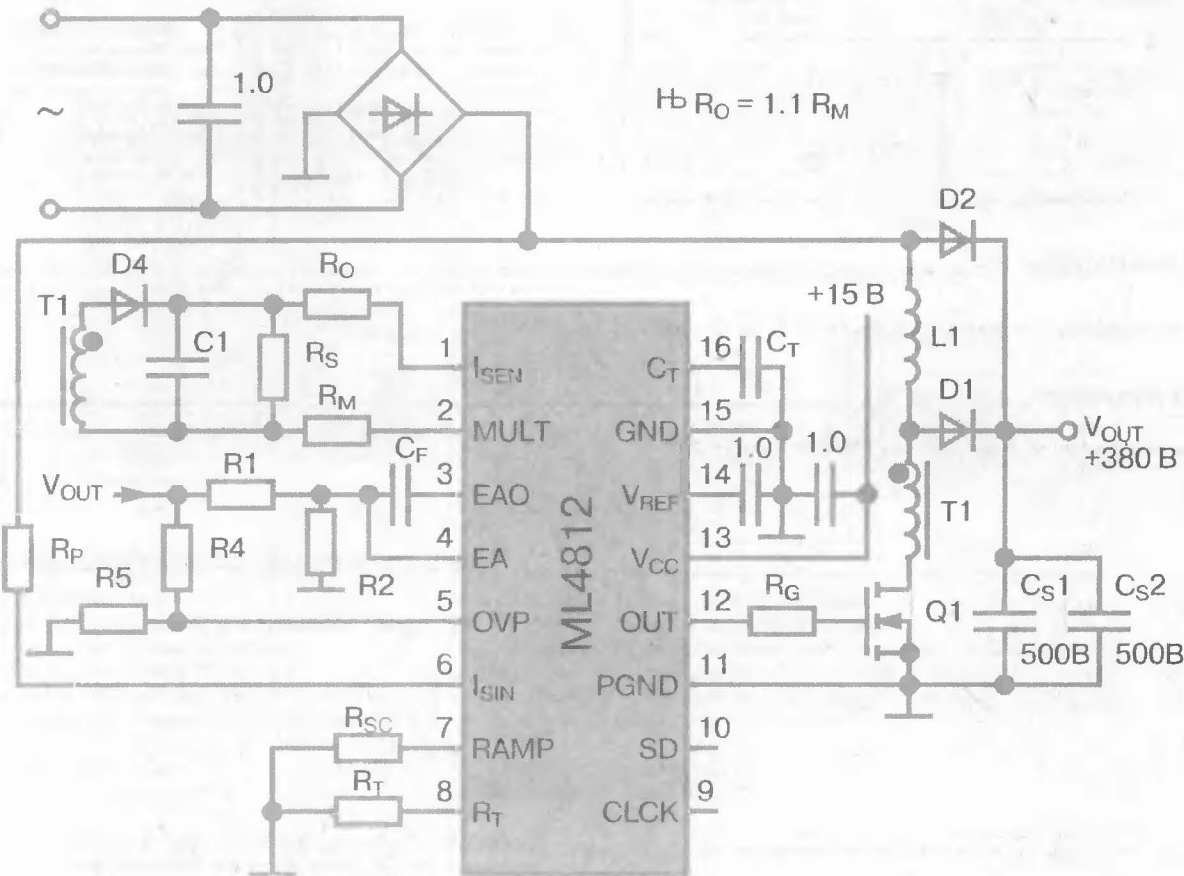
Цепочка  $Q_3, R_3, D_2$  служит для поддержания стартовой емкости  $C_2$  в разряженном состоянии, когда автоколебания уже начались.

Величина напряжения на вторичных обмотках управления, подключаемых ко входам SHC и SLC, выбирается из **Рис. 3**, в зависимости от необходимого выходного тока.

# КОРРЕКТОРЫ КОЭФФИЦИЕНТА МОЩНОСТИ

В данном разделе представлены микросхемы, предназначенные для коррекции коэффициента мощности, причем микросхема 1033EY4 (ML4812) представляет собой специализированный ККМ, тогда как комбинированная ИС 1033EY6 (ML4819) включает схему коррекции коэффициента мощности в качестве составного блока.

ОТЕЧЕСТВЕННАЯ МИКРОСХЕМА	Стр.	ЗАРУБЕЖНЫЙ АНАЛОГ	Стр.
1033EY4/8	Корректор коэффициента мощности ..... 202	ML4812	Корректор коэффициента мощности ..... 203
1033EY6	Комбинированный ШИМ-контроллер ..... 208	ML4819	Комбинированный корректор коэффициента мощности ..... 209



# КОРРЕКТОР КОЭФФИЦИЕНТА МОЩНОСТИ 1033EY4/8

Аналог  
ML4812



Товарные знаки  
фирм изготовителей



## ОСОБЕННОСТИ

- Повышенная помехоустойчивость
- Опорное напряжение ..... 5 В  $\pm 5\%$
- Выходной ток ..... до 1 А (p-p)
- Ток потребления ..... 25 мА (max)
- Напряжение питания ..... 15...24 В

## ОБЩЕЕ ОПИСАНИЕ

Микросхема 1033EY4 представляет из себя корректор коэффициента мощности и предназначена для применения в однофазных устройствах силовой электроники мощностью до 4 кВт (вторичные источники питания, преобразователи для электропривода и т.п.) для улучшения их эксплуатационных характеристик. Микросхема упакована в пластмассовый корпус типа 283.16-1.

## ТИПОНОМИНАЛЫ

Типономинал	ТУ	Производитель	
KP1033EY4	АДБК 431.420.302ТУ		Электронприбор
KP1033EY8	—		Электроника

## ЦОКОЛЕВКА КОРПУСОВ

Пластмассовый корпус типа 238.16-1  
(вид сверху)

Вход ШИМ-компаратора	I <sub>SEN</sub>	1	16	C <sub>T</sub>	Конденсатор генератора
Выход умножителя токов	MULT	2	15	GND	Общий вывод для входа
Выход усилителя ошибки	EAO	3	14	V <sub>REF</sub>	Опорное напряжение +5 В
Инверт. вход УС ошибки	IN	4	13	V <sub>CC</sub>	«+» напряжения питания
Защита от перенапряжения	OVP	5	12	OUT	Выход
Вход умножителя токов	I <sub>SIN</sub>	6	11	PGND	Возврат по току для выхода
Пилообразное напряжение	RAMP	7	10	SD	Блокировка выхода
Резистор генератора	R <sub>T</sub>	8	9	CLCK	Тактовая частота

## СТРУКТУРНАЯ СХЕМА

Не имеет отличий от структурной схемы ML4812, См. стр. 203.

## СХЕМА ВКЛЮЧЕНИЯ

Не имеет отличий от схемы включения ML4812, См. стр. 207.



## КОРРЕКТОР КОЭФФИЦИЕНТА МОЩНОСТИ

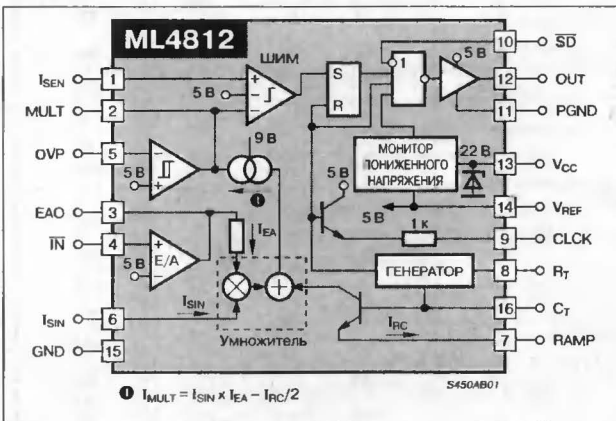
### ОСОБЕННОСТИ

- Умножитель с токовым входом уменьшает влияние разброса внешних компонентов и улучшает помехоустойчивость
- Программируемая схема коррекции нарастания тока
- Компаратор повышенного напряжения устраняет опасность разрушения выхода из-за отключения нагрузки
- Широкий диапазон синфазного сигнала токосчитывающего компаратора повышает помехоустойчивость
- Большая амплитуда колебаний генератора для увеличения помехоустойчивости
- Прецизионный буферизованный источник опорного напряжения  $\dots 5\text{ В} \pm 0.5\%$
- Ток кавзикомплементарного выходного каскада  $\dots > 1\text{ А (p-p)}$

### ТИПОНОМИНАЛЫ

Типономинал	$T_A$ [°C]	Корпус
ML4812CP	0...70	DIP-16
ML4812CQ	0...70	PLCC-20
ML4812IP	-40...85	DIP-16
ML4812IQ	-40...85	PLCC-20
ML4812MJ	-55...+125	CERDIP-16

### СТРУКТУРНАЯ СХЕМА



### ОБЩЕЕ ОПИСАНИЕ

Прибор ML4812 разработан для применения в схемах коррекции коэффициента мощности повышающего типа. При конструировании ML4812 были приняты специальные меры, чтобы увеличить устойчивость системы к помехам. Схема включает в себя: источник опорного напряжения, умножитель, усилитель ошибки, схему защиты от повышения напряжения, схему компенсации нарастания тока, а также мощный токовый выход. Кроме того, запуск упрощен благодаря схеме монитора пониженного напряжения с 6 В гистерезисом.

В типовом применении микросхема ML4812 функционирует с обратной связью по току. Ток, который необходим для прерывания рабочего цикла, является производной синусоидального напряжения сети, умноженной на выходной ток усилителя ошибки, который регулирует выходное напряжение постоянного тока. Компенсация нарастания тока программируется внешним резистором, чтобы обеспечивать устойчивую работу, когда длительность рабочего цикла превышает 50%.

### ЦОКОЛЕВКА КОРПУСОВ

Плостмассовый корпус типа: DIP-16; CERDIP-16

(вид сверху)

Вход ШИМ-компаратора	$I_{SEN}$	1	16	$C_T$	Конденсатор генератора
Выход умножителя токов	MULT	2	15	GND	Общий вывод для входа
Выход усилителя ошибки	EAO	3	14	$V_{REF}$	Опорное напряжение +5 В
Инверт. вход УС ошибки	$I_N$	4	13	$V_{CC}$	±± напряжения питания
Защита от перенапряжения	OVP	5	12	OUT	Выход
Вход умножителя токов	$I_{SIN}$	6	11	PGND	Возврат по току для выхода
Пилообразное напряжение	RAMP	7	10	$\bar{S}\bar{D}$	Блокировка выхода
Резистор генератора	$R_T$	8	9	CLOCK	Тактовая частота

S450AC01

Плостмассовый корпус типа PLCC-20

п.с.	1	11	п.с.
$I_{SEN}$	2	12	CLOCK
MULT	3	13	$\bar{S}\bar{D}$
EAO	4	14	PGND
$I_N$	5	15	OUT
п.с.	6	16	п.с.
OVP	7	17	$V_{CC}$
$I_{SIN}$	8	18	$V_{REF} + 5V$
RAMP	9	19	GND
$R_T$	10	20	$C_T$

(вид сверху)

S450AC02

### МАКСИМАЛЬНЫЕ ЗНАЧЕНИЯ ПАРАМЕТРОВ И РЕЖИМОВ

Ток потребления ( $I_{CC}$ )	30 мА
Выходной ток, вытекающий или втекающий (Вывод 12)	1.0 А
Энергия выхода (емкостная нагрузка)	5 мкДж
Входной ток умножителя (Вывод 6)	1.2 мА
Втекающий ток усилителя ошибки (Вывод 3)	10 мА
Ток заряда частотозадающей емкости генератора	2 мА
Напряжение на аналоговых входах (выводы 1, 4, 5)	-D.3...5.5 В
Температура кристалла	150°C
Диапазон температур хранения	-65...150°C

#### Примечание:

Приводятся значения параметров и режимов, при превышении которых устройство может быть повреждено, поэтому эти значения приводятся только для оценки, и не подразумеваются работа устройства при этих параметрах.

Температура вывода (пайка 10 с)	260°C
Тепловое сопротивление ( $\Theta_{JA}$ ):	
пластмассовый кристаллодержатель (Q-суффикс)	60°C/Вт
пластмассовый DIP-корпус (P-суффикс)	65°C/Вт
керамический DIP-корпус (J-суффикс)	65°C/Вт
Температурный диапазон:	
для ML4812C	0...70°C
для ML4812I	-40...85°C
для ML4812M	-55...125°C

## ЭЛЕКТРИЧЕСКИЕ ХАРАКТЕРИСТИКИ

При  $R_T = 14 \text{ кОм}$ ,  $C_T = 1000 \text{ пФ}$ , во всем температурном диапазоне  $T_A$ ,  $V_{CC} = 15 \text{ В}$ , если не указано иначе (Прим. 2)

Параметр		Условия	Значения			Единица измерения
			не менее	типичное	не более	
ГЕНЕРАТОР						
Начальная точность		$T_J = 25^{\circ}\text{C}$	90	97	104	кГц
Стабильность напряжения		$12 \leq V_{CC} \leq 25 \text{ В}$	—	0.2	1	%
Температурная стабильность			—	2	—	%
Общие изменения		Вх. напр. Темп.	88	—	106	кГц
Размах пилообразного напряжения			—	3.3	—	В
Напряжение на частотообразующем резисторе			4.8	5.0	5.2	В
Ток разряда (вывод 8) — свободный)		$T_J = 25^{\circ}\text{C}$ , $V_{PIN16} = 2 \text{ В}$	7.8	8.4	9.0	мА
		$V_{PIN16} = 2 \text{ В}$	7.5	8.4	9.3	мА
Напряжение на тактовом выходе	ВЫСОКОГО уровня	$R_L = 16 \text{ кОм}$	—	0.2	0.5	В
	НИЗКОГО уровня	$R_L = 16 \text{ кОм}$	3.0	3.5	—	В
СХЕМА ОПОРНОГО НАПЯЖЕНИЯ						
Выходное напряжение		$T_J = 25^{\circ}\text{C}$ , $I_O = 1 \text{ мА}$	4.95	5.00	5.05	В
нестабильность по напряжению		$12 \leq V_{CC} \leq 25 \text{ В}$	—	2	20	мВ
Нестабильность по току		$1 \leq I_O \leq 20 \text{ мА}$	—	2	20	мВ
Температурная стабильность			—	0.4	—	мВ/°C
Общие изменения		Вх. напр., Напр., Темп.	4.9	—	5.1	В
Выходное напряжение шума		$f = 0.01 \dots 10 \text{ кГц}$	—	50	—	мкВ
Долговременная температурная стабильность		$T_J = 125^{\circ}\text{C}$ , 1000 ч, (Прим. 1)	—	5	25	мА
Ток короткого замыкания		$V_{REF} = 0 \text{ В}$	−30	−85	−180	мА
УСИЛИТЕЛЬ ОШИБКИ (E/A)						
Входное напряжение смещения			—	—	±15	мВ
Входной ток смещения			—	−0.1	−1.0	мкА
Усиление с разомкнутой петлей обратной связи		$1 \leq V_{PIN3} \leq 5 \text{ В}$	60	75	—	дБ
Коэффициент подавления неустойчивости источника питания		$12 \leq V_{CC} \leq 25 \text{ В}$	60	75	—	дБ
Выходной втекающий ток		$V_{PIN3} = 1.1 \text{ В}$ , $V_{PIN4} = 6.2 \text{ В}$	2	12	—	мА
Выходной вытекающий ток		$V_{PIN3} = 5.0 \text{ В}$ , $V_{PIN4} = 4.8 \text{ В}$	−0.5	−1.0	—	мА
Выходное напряжение ВЫСОКОГО уровня		$I_{PIN3} = -0.5 \text{ мА}$ , $V_{PIN4} = 4.8 \text{ В}$	5.3	5.5	—	В
Выходное напряжение НИЗКОГО уровня		$I_{PIN3} = 2 \text{ мА}$ , $V_{PIN4} = 5.2 \text{ В}$	—	0.5	1.0	В
Ширина полосы единичного усиления			—	1.0	—	МГц
УМНОЖИТЕЛЬ						
Входное напряжение (вывод $I_{SIN}$ )		$I_{SIN} = 500 \text{ мкА}$	4	7	9	В
Выходной ток (вывод 2))		$I_{SIN} = 500 \text{ мкА}$ , $V_{PIN3} = 5.5 \text{ В}$	460	480	500	мкА
		$I_{SIN} = 500 \text{ мкА}$ , $V_{PIN3} = 1 \text{ В}$	—	3	10	мкА
		$I_{SIN} = 500 \text{ мкА}$ , $V_{PIN3} = 5.5 \text{ В}$	900	950	1000	мкА
		$I_{SIN} = 1 \text{ мА}$ , $V_{PIN3} = 5.5 \text{ В}$ , $I_{PIN7} = 50 \text{ мкА}$	—	455	—	мкА
Диапазон частот			—	200	—	кГц
Коэффициент подавления неустойчивости источника питания		$12 \leq V_{CC} \leq 25 \text{ В}$	—	70	—	дБ
КОМПАРАТОР ПОВЫШЕННОГО НАПЯЖЕНИЯ						
Входное напряжение смещения		Выход выключен	—	—	±15	мВ
Напряжение гистерезиса		Выход включен	95	105	115	мВ
Входной ток смещения			—	−0.3	−3	мкА
Задержка распространения			—	150	—	нс
ШИМ-КОМПАРАТОР						
Диапазон входных синфазных сигналов			−0.2	—	5.5	В
Входной ток смещения			—	−2	−10	мкА
Задержка распространения			—	150	—	нс
Напряжение начала ограничения тока		$V_{PIN2} = 5.5 \text{ В}$	4.8	5	5.2	В

ЭЛЕКТРИЧЕСКИЕ ХАРАКТЕРИСТИКИ (Продолжение)

Параметр		Условия	Значения			Единица измерения
			не менее	типовое	не более	
ВЫХОДНАЯ СХЕМА						
Выходное напряжение НИЗКОГО уровня		$I_{OUT} = -20\text{ мА}$	—	0.1	0.4	В
		$I_{OUT} = -200\text{ мА}$	—	1.6	2.2	В
Выходное напряжение ВЫСОКОГО уровня		$I_{OUT} = 20\text{ мА}$	13	13.5	—	В
		$I_{OUT} = 200\text{ мА}$	12	13.4	—	В
Выходное напряжение НИЗКОГО уровня при обнаружении пониженного напряжения		$I_{OUT} = -10\text{ мА}, V_{CC} = 8\text{ В}$	—	0.1	0.8	В
Время нарастания/спада		$C_L = 1000\text{ нФ}$	—	50	—	нс
Напряжение на входе блокировки	ВЫСОКИЙ уровень		2.0	—	—	В
	НИЗКИЙ уровень		—	—	0.8	
Ток на входе блокировки	НИЗКИЙ уровень	$V_{PIN\ 10} = 0\text{ В}$	—	—	-1.5	мА
	ВЫСОКИЙ уровень	$V_{PIN\ 10} = 5\text{ В}$	—	—	10	мкА
МОНИТОР ПОНИЖЕННОГО НАПЯЖЕНИЯ						
Пороговое напряжение включения			15	16	17	В
Пороговое напряжение выключения			9	10	11	В
Порог переключения опорного напряжения			—	4.4	—	В
ДЛЯ ВСЕГО ИЗДЕЛИЯ						
Ток потребления	Стартовый	$V_{CC} = 14\text{ В}$	—	0.6	1.2	мА
	Рабочий	$T_J = 25^\circ\text{C}$	—	15	25	мА
Напряжение стабилизации внутреннего стабилизатора		$I_{CC} = 30\text{ мА}$	28	32	36	В

Примечания

1. Этот параметр не 100% проверяется при производстве, но гарантируется конструкцией.  
2. Напряжение питания  $V_{CC}$  сначала поднимается выше порогового напряжения включения для активизации микросхемы, а потом понижается до 15 В.

ОПИСАНИЕ ВЫВОДОВ

Номер вывода	Символ	Функция
1	$I_{SEN}$	Вход ШИМ-компаратора (+).
2	MULT	Выход умножителя токов, внутренне соединяется с ШИМ-компаратором (-). Резистор, соединяющий этот вывод с землей, преобразует ток в напряжение. Этот вывод запирается при напряжении 5 В.
3	ЕАО	Выход усилителя ошибки.
4	IN	Инвертирующий вход усилителя ошибки.
5	OVP	Вход компаратора повышенного напряжения.
6	$I_{SIN}$	Точковый вход умножителя.
7	RAMP	Буферизованный выход генератора пилообразного напряжения ( $C_T$ ). Резистор, соединяющий этот вывод с землей, устанавливает величину тока, который внутренне вычитается из произведения токов в умножителе.
8	$R_T$	Вывод для подключения частото задающего резистора генератора. Ток, протекающий через этот резистор, устанавливает ток заряда $C_T$ .
9	CLOCK	Цифровой тактовый выход.
10	SD	НИЗКИЙ уровень (ТТЛ) на этом выводе выключает выход микросхемы.
11	PGND	Цепь возврата большого тока выходного формирователя ШИМ.
12	OUT	Выход квазикомплемментарного формирователя ШИМ.
13	$V_{CC}$	Положительное напряжение питания микросхемы.
14	$V_{REF}$	Буферизованный выход опорного напряжения 5 В.
15	GND	Аналоговая земля.
16	$C_T$	Вывод для подключения частото задающего конденсатора генератора.

ФУНКЦИОНАЛЬНОЕ ОПИСАНИЕ

УМНОЖИТЕЛЬ

Умножитель микросхемы ML4819 — это линейный умножитель входных токов, обеспечивающий высокую устойчивость к помехам, вызываемых переключением в микросхеме большой мощности. Выпрямленное синусоидальное напряжение сети преобразуется в ток с помощью гасящего резистора. Таким образом, небольшое шумовое напряжение вблизи потенциала земли производит незначительное влияние на опорное напряжение, подводимое к ШИМ-компаратору.

На выходе умножителя появляется ток, пропорциональный:

$$I_{OUT} \sim I_{SINE} \times I_{EA}$$

где  $I_{SINE}$  — ток через гасящий резистор, и  $I_{EA}$  — фактор, который изменяется от 0 до 1 пропорционально выходному напряжению усилителя ошибки. Когда выход усилителя ошибки доходит до напряжения насыщения, выходной ток умножителя приблизительно равен входному току  $I_{SINE}$ .

Выходной ток умножителя преобразуется в опорное напряжение для ШИМ-компаратора на резисторе, соединяющем землю и выход умножителя (вывод [2]).

## ГЕНЕРАТОР

Генератор микросхемы ML4812 заряжает внешний конденсатор ( $C_T$ ) током ( $I_{SET}$ ), равным  $5/R_T$ . Когда напряжение на конденсаторе достигает верхнего порогового напряжения, состояние компаратора изменяется, и конденсатор разряжается до более низкого порогового напряжения через транзистор Q1. В то время как конденсатор разряжается, транзистор Q2 обеспечивает на выходе схемы ВЫСОКИЙ уровень напряжения.

Период колебаний генератора может быть описан следующими соотношениями:

$$T_{OSC} = T_{RAMP} + T_{DEADTIME},$$

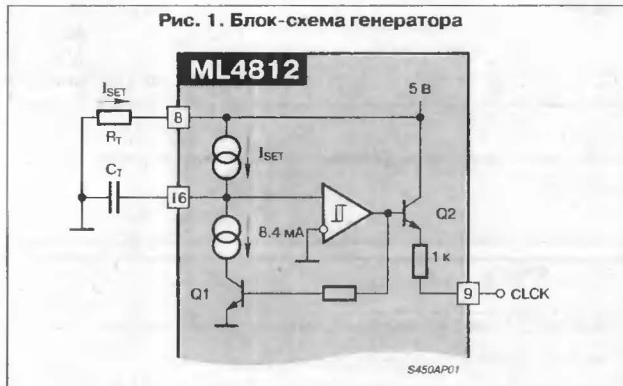
где:

$$T_{RAMP} = C_T \times \frac{V_{RAMP}(p-p)}{I_{SET}}$$

И:

$$T_{DEADTIME} = C_T \times \frac{V_{RAMP}(p-p)}{8.4 \text{ [mA]} - I_{SET}}.$$

**Рис. 1. Блок-схема генератора**



## КОРРЕКЦИЯ НАРАСТАНИЯ ТОКА

Коррекция нарастания тока выполняется с помощью уменьшения вдвое тока, текущего через вывод [7] и буферный транзистор, управляемый напряжением на конденсаторе  $C_T$ , которое, в свою очередь, определяется внешним резистором. (См. **Рис. 2**).

## СОВЕТЫ ПО ПРИМЕНЕНИЮ

#### КОМПОНЕНТЫ СХЕМЫ ЗАЩИТЫ ОТ ПОВЫШЕНИЯ НАПРЯЖЕНИЯ

Петля обратной связи для защиты от повышения напряжения должна быть установлена так, чтобы не имелось никакого взаимодействия с петлей регулирования напряжения. Обычно это напряжение должно быть установлено на уровне, ниже которого мощные компоненты могли бы безопасно работать. Напряжение на 10...15 В выше  $V_{OUT}$  кажется, является достаточным. Это устанавливает максимальное выходное переходное напряжение на уровне приблизительно 395 В.

Выбираем резистор для схемы защиты от повышения напряжения  $R4 = 360 \text{ Ом}$ , тогда резистор  $R5$  может быть рассчитан как:

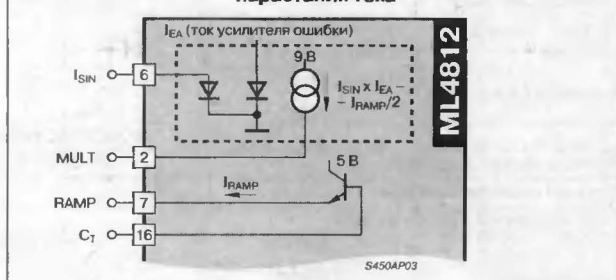
$$R5 = \frac{V_{REF} \times R4}{V_{OVP} - V_{REF}} = \frac{5 \text{ B} \times 360 \text{ k}\Omega}{395 \text{ B} - 5 \text{ B}} = 4.615 \text{ k}\Omega.$$

Заметьте, что резисторы R1, R2, R4 и R5 должны быть с допуском 1% или лучше.

Компаратор повышения напряжения выключает выход микросхемы ML4812, запуская ток умножителя. Так как ШИМ-компаратор имеет некоторый ток смещения, используется последовательный резистор  $R_O$  (см. **Рис. 4**), чтобы компенсировать этот ток и гарантировать, что выход будет полностью выключен. Типовое значение этого резистора должно быть:

$$R_0 = 1.1 \times R_M.$$

**Рис. 2. Блок-схема умножителя и схема коррекции нарастания тока**



Микросхема ML4812 имеет вывод блокировки, который может быть использован для выключения микросхемы, но при использовании этого вывода должны быть приняты меры предосторожности. Так, если корректор коэффициента мощности включает другую микросхему управления импульсным источником питания с собственным процессом запуска, после включения могут возникнуть проблемы последовательности включения. В таком случае должна использоваться специальная схема, чтобы организовать запуск. Один из способов выполнить это — использовать опорное напряжение ML4812 для запрета работы другой схемы или выключения ее питания.

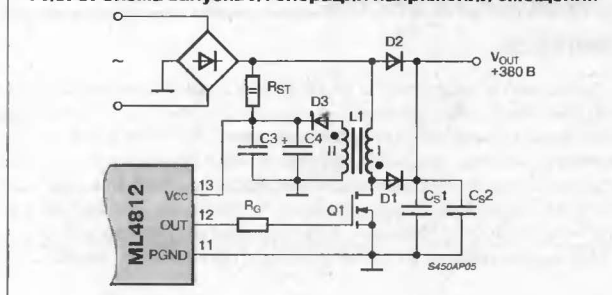
## ЗАПУСК И ГЕНЕРАЦИЯ НАПРЯЖЕНИЯ СМЕЩЕНИЯ

Микросхема ML4812 может использоваться в качестве схемы запуска так называемый "кровоотсасывающий резистор"  $R_{ST}$ , подключенный к высоковольтной шине. Микросхема запускается после того, как напряжение на выводе  $\boxed{13}$  ( $V_{CC}$ ) превысит 16 В. Энергия, запасенная в  $C_4$  (150 мкФ), питает микросхему до тех пор, пока дополнительная обмотка на L1 не сможет обеспечить мощность, необходимую для работы.

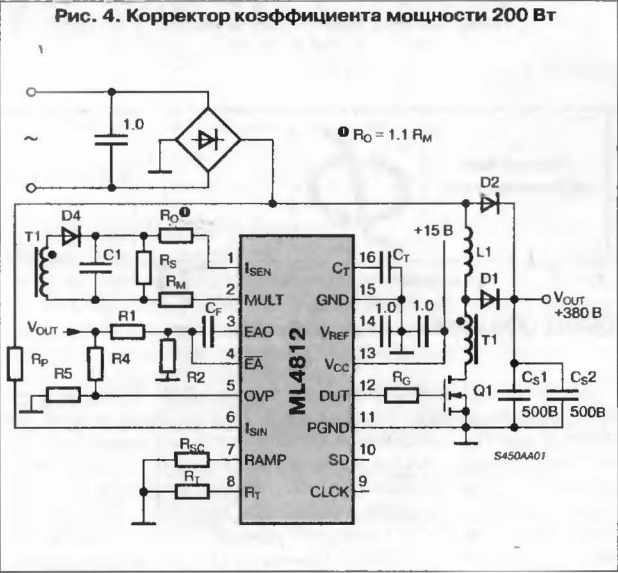
Величины запускающего резистора и емкости  $C_4$  возможно оптимизировать в зависимости от конкретного применения. Форма напряжения во вторичной обмотке  $L_1$  — это инвертированная разорванная синусоида, которая достигает пикового значения, когда напряжение сети минимально.

В этом примере:  $C3 = 1 \text{ мкФ}$ ,  $C4 = 150 \text{ мкФ}$ ,  $D3 = 1N4148$ ,  $R_{ST} = 39 \text{ кОм}$ , 2 Вт.

**Рис. 3. Схема запуска и генерации напряжений смещения**



ТИПОВАЯ СХЕМА ПРИМЕНЕНИЯ



СПЕЦИФИКАЦИЯ КОМПОНЕНТОВ ДЛЯ СХЕМЫ НА РИС. 4

Компонент	Описание
L1 (2 мГн)	SPANG 580760A2; 180 витков #24 AWG или Micrometals T184-40; 120 витков #24 AWG
T1	SPANG F41206-TC; 80 витков #36 AWG
RS	100
RM	28.8 кОм
RO	33 кОм
R1	360 кОм
R2	4.8 кОм
RP	750 кОм
R4	360 кОм
R5	4.6 кОм
RSC	33 кОм
CT	1000 пФ
RT	14 кОм
RG	10
CS1	1.5 мкФ
CS2	340 мкФ, 500 В
D1	FRP850 или MUR850
D2	1N5604
Q1	IRF840 или эквивалент
CF	0.44 мкФ
D4	1N4148
C1	1000 пФ, керамический



# КОМБИНИРОВАННЫЙ ШИМ-КОНТРОЛЛЕР 1033EУ6

Аналог  
ML4819



Товарные знаки  
фирм изготовителей



## ОСОБЕННОСТИ

- Встроенный корректор коэффициента мощности
- Встроенный ШИМ-контроллер
- Максимальная выходная мощность ИВП ..... 400 Вт
- Частота переключения ..... 90...104 кГц
- Ток потребления ..... 35 мА
- Напряжение питания ..... 12...25 В

## ОБЩЕЕ ОПИСАНИЕ

Микросхема 1033EУ6 объединяет в себе схему корректора коэффициента мощности повышающего типа и схему управления однотактным прямоходовым источником питания понижающего типа. Микросхема предназначена для построения источников вторичного питания мощностью 100...400 Вт. Объединение в одном корпусе ШИМ-контроллера и корректора коэффициента мощности позволяет существенно уменьшить габариты и стоимость ИВП при выполнении всех требований стандарта МЭК по коэффициентам мощности и нелинейных искажений.

## ТИПОНОМИНАЛЫ

КР1033EУ6

## ЦОКОЛЕВКА КОРПУСОВ

Пластмассовый корпус типа 2140.20-1

(вид сверху)

Вход ШИМ-компаратора	I <sub>SEN A</sub>	1	20	C <sub>T</sub>	Конденсатор генератора
Защита от перенапряжения	OVP	2	19	GND	Аналоговая земля
Выход умножителя токов	MULT	3	18	V <sub>REF</sub>	Выход опорного напряжения
Выход усилителя ошибки	EAO	4	17	PGND <sub>A</sub>	Возврат по току для выхода А
Инверт. вход ус-ля ошибки	IN	5	16	OUT <sub>A</sub>	Выход А
Вход умножителя токов	I <sub>SIN</sub>	6	15	V <sub>CC</sub>	«+» напряжение питания
Регулировка рабочего цикла	DC	7	14	OUT <sub>B</sub>	Выход В
Вход ОС по напряжению	PWM	8	13	PGND <sub>B</sub>	Возврат по току для выхода В
Следящий вход	I <sub>SEN B</sub>	9	12	RAMP	Выход напряжения пилы
Резистор генератора	R <sub>T</sub>	10	11	I <sub>LM</sub>	Постоянный ток ограничения тока

54511C01

## СТРУКТУРНАЯ СХЕМА

Не имеет отличий от структурной схемы ML4819, См. стр. 209.

## СХЕМА ВКЛЮЧЕНИЯ

Не имеет отличий от схемы включения ML4819, См. стр. 217.

## КОМБИНИРОВАННЫЙ КОРРЕКТОР КОЭФФИЦИЕНТА МОЩНОСТИ

### ОСОБЕННОСТИ

- Два встроенных квазикомплементарных выходных формирователя тока ..... 1 А (р-р)
- Прецизионный буферизованный источник опорного напряжения ..... 5 В  $\pm 1\%$
- Большая амплитуда колебаний генератора для увеличения помехоустойчивости
- Точное ограничение длительности рабочего цикла для ШИМ-схемы
- Умножитель с токовым входом уменьшает влияние разброса внешних компонентов и улучшает помехоустойчивость
- Программируемая схема коррекции нарастания тока
- Компаратор повышенного напряжения устраняет опасность разрушения выхода из-за отключения нагрузки
- Широкий диапазон синфазного сигнала токосчитывающего компаратора повышает помехоустойчивость
- Встроенный монитор пониженного напряжения с гистерезисом (6 В)

### ТИПОНОМИНАЛЫ

Типономинал	$T_A$ [°C]	Корпус
ML4819CP	0...70°C	DIP-20
ML4819CS	0...70°C	SOIC-20

### ЦОКОЛЕВКА КОРПУСОВ

Пластмассовые корпуса типа: DIP-20, SOIC-20

		(вид сверху)		
Вход ШИМ-компаратора	$I_{SEN A}$	1	20	$C_T$ Конденсатор генератора
Защита от перенапряжения	OVP	2	19	GND Аналоговая земля
Выход умножителя токов	MULT	3	18	$V_{REF}$ Выход опорного напряжения
Выход усилителя ошибки	EAO	4	17	PGND <sub>A</sub> Возврат по току для выхода А
Инверт. вход УС ошибки	$I_N$	5	16	OUT <sub>A</sub> Выход А
Вход умножителя токов	$I_{SIN}$	6	15	$V_{CC}$ $\pm$ напряжение питания
Регулировка рабочего цикла	DC	7	14	OUT <sub>B</sub> Выход В
Вход ОС по напряжению	PWM	8	13	PGND <sub>B</sub> Возврат по току для выхода В
Следящий вход	$I_{SEN B}$	9	12	RAMP Выход напряжения пилы
Резистор генератора	$R_T$	10	11	$I_{LM}$ Поцикловое ограничение тока S451AC01

### МАКСИМАЛЬНЫЕ ЗНАЧЕНИЯ ПАРАМЕТРОВ И РЕЖИМОВ

Напряжение питания ( $V_{CC}$ )	35 В
Выходной ток, вытекающий или втекающий (Выходы [14], [16])	1.0 А
Энергия выхода (емкостная нагрузка)	5 мкДж
Входной ток умножителя (вывод [6])	1.2 мА
Втекающий ток усилителя ошибки (вывод [4])	10 мА
Ток заряда частото задающей емкости генератора	2 мА
Напряжение на выводах [1], [2], [5], [9]	-D.3...5.5 В
Температура кристалла	150°C
Диапазон температур хранения	-65...150°C
Температура вывода (пайка 10 с)	260°C
Тепловое сопротивление ( $Q_{JA}$ ) (корпус типа: пластмассовый DIP или SOIC)	65°C/Вт

#### Примечание:

Приводятся значения параметров и режимов, при превышении которых устройство может быть повреждено, поэтому эти значения приводятся только для оценки, и не подразумевается работа устройства при этих параметрах.

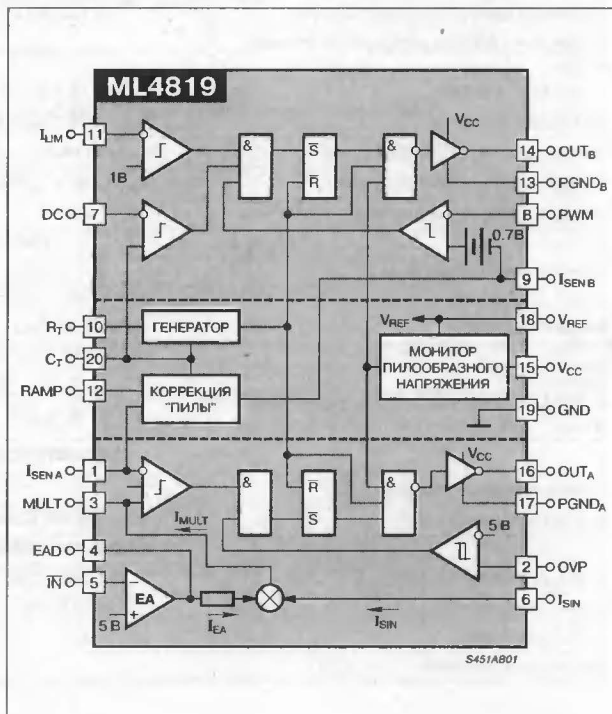
### ОБЩЕЕ ОПИСАНИЕ

Микросхема ML4819 содержит две основные функциональные части: полный повышающий Контроллер Коэффициента Мощности (KKM-схема) и схему управления источником питания (ШИМ-схема). KKM-схема подобна прибору ML4812, в то время как ШИМ-схема может использоваться для создания двухкаскадного конвертера с обратной связью по току или напряжению. Синхронизация обеих схем обеспечивается автоматически, так как ШИМ и KKM-схема используют один и тот же генератор. Выходы микросхемы обеспечивают высокую скорость нарастания и большой выходной ток ( $> 1$  А (р-р)), необходимый для того, чтобы быстро заряжать и разряжать емкость затвора полевого транзистора. При конструировании прибора ML4819 были приняты специальные меры, чтобы увеличить помехоустойчивость.

KKM-схема имеет вход считывания пикового тока, снимаемого с трансформатора тока или с вывода для измерения тока специального полевого транзистора (так называемый SENSE FET), чтобы уменьшить рассеивание мощности, обусловленной током переключения, давая возможность системе с помощью чувствительного метода управления улучшить полную эффективность по среднему току.

ШИМ-схема имеет блоки для ограничения тока рабочего цикла, точного ограничения длительности рабочего цикла для одноктактных конвертеров и схему коррекции нарастания тока.

### СТРУКТУРНАЯ СХЕМА



## ЭЛЕКТРИЧЕСКИЕ ХАРАКТЕРИСТИКИ

При  $R_T = 14 \text{ кОм}$ ,  $C_T = 1000 \text{ пФ}$ ,  $T_A$  во всем температурном диапазоне,  $V_{CC} = 15 \text{ В}$ , если не указано иначе (Прим. 2)

Параметр	Условия	Значения			Единица измерения
		не менее	типичное	не более	
ГЕНЕРАТОР					
Начальная точность	$T_J = 25^{\circ}\text{C}$	90	97	104	кГц
Стабильность напряжения	$12 \leq V_{CC} \leq 25 \text{ В}$	—	0.2	—	%
Температурная стабильность		—	2	—	%
Общие изменения	Вх. напр., Темп.	88	—	106	кГц
Нижнее значение пилообразного напряжения		—	0.9	—	В
Верхнее значение пилообразного напряжения		—	4.3	—	В
Напряжение на частотообразующем резисторе		4.8	5.0	5.2	В
Ток разряда (вывод [8] — свободный)	$T_J = 25^{\circ}\text{C}, V_{PIN\ 16} = 2 \text{ В}$	7.5	8.4	9.3	мА
	$V_{PIN\ 16} = 2 \text{ В}$	7.2	8.4	9.5	мА
КОМПАРАТОР ОГРАНИЧЕНИЯ РАБОЧЕГО ЦИКЛА					
Входное напряжение смещения		-15	—	15	мВ
Входной ток смещения		-10	-2	—	мкА
Рабочий цикл	$V_{PIN7} = V_{REF}/2$	43	45	49	%
СХЕМА ОПОРНОГО НАПЯЖЕНИЯ					
Выходное напряжение	$T_J = 25^{\circ}\text{C}, I_O = 1 \text{ мА}$	4.95	5.00	5.05	В
Нестабильность по напряжению	$12 \leq V_{CC} \leq 25 \text{ В}$	—	2	20	мВ
Нестабильность по току	$1 \leq I_O \leq 20 \text{ мА}$	—	8	25	мВ
Температурная стабильность		—	0.4	—	%
Общие изменения	Вх. напр., Нагр., Темп.	4.9	—	5.1	В
Выходное напряжение шума	$f = 0.01 \dots 10 \text{ кГц}$	—	50	—	мкВ
Долговременная стабильность	$T_J = 125^{\circ}\text{C}, 1000 \text{ ч, (Прим. 1)}$	—	5	25	мВ
Ток короткого замыкания	$V_{REF} = 0 \text{ В}$	-30	-85	-180	мА
УСИЛИТЕЛЬ ОШИБКИ					
Входное напряжение смещения		-15	—	+15	мВ
Входной ток смещения		—	-0.1	-1.0	мкА
Усиление с разомкнутой петлей обратной связи	$1 \leq V_{PIN\ 4} \leq 5 \text{ В}$	60	75	—	дБ
Коэффициент подавления неустойчивости источника питания	$12 \leq V_{CC} \leq 25 \text{ В}$	60	90	—	дБ
Выходной втекающий ток	$V_{PIN\ 4} = 1.1 \text{ В}, V_{PIN\ 5} = 5.2 \text{ В}$	2	12	—	мА
Выходной вытекающий ток	$V_{PIN\ 4} = 5.0 \text{ В}, V_{PIN\ 5} = 4.8 \text{ В}$	-0.5	-1.0	—	мА
Выходное напряжение ВЫСОКОГО уровня	$I_{PIN\ 4} = -0.5 \text{ мА}, V_{PIN\ 5} = 4.8 \text{ В}$	6.5	7.0	—	В
Выходное напряжение НИЗКОГО уровня	$I_{PIN\ 4} = 2 \text{ мА}, V_{PIN\ 5} = 5.2 \text{ В}$	—	0.7	1.0	В
Ширина полосы единичного усиления		—	1.0	—	МГц
УМНОЖИТЕЛЬ					
Входное напряжение (вывод $I_{SIN}$ )	$I_{SIN} = 500 \text{ мкА}$	0.4	0.7	0.9	В
	$I_{SIN} = 500 \text{ мкА}, V_{PIN\ 3} = 5.5 \text{ В}$	460	95	505	мкА
	$I_{SIN} = 500 \text{ мкА}, V_{PIN\ 3} = 1 \text{ В}$	—	0	10	мкА
Выходной ток (вывод [2])	$I_{SIN} = 500 \text{ мкА}, V_{PIN\ 3} = 5.5 \text{ В}$	900	990	1005	мкА
		—	200	—	кГц
Диапазон частот		—	200	—	кГц
Коэффициент подавления неустойчивости источника питания	$12 \leq V_{CC} \leq 25 \text{ В}$	—	70	—	дБ
СХЕМА КОРРЕКЦИИ НАРАСТАНИЯ ТОКА					
Напряжение на выводе RAMP (вывод [12])		—	$V_{PIN12} - 1$	—	В
Выходной ток (вывод [1] или [9])	$I_{PIN12} = 100 \text{ мкА, (Прим.3)}$	45	48	51	мкА
КОМПАРАТОР ПОВЫШЕННОГО НАПЯЖЕНИЯ					
Входное напряжение смещения	Выход выключен	-15	—	+15	мВ
Напряжение гистерезиса	Выход включен	100	120	140	мВ
Входной ток смещения		—	-0.3	-3	мкА
Задержка распространения		—	150	—	нс

ЭЛЕКТИЧЕСКИЕ ХАРАКТЕРИСТИКИ (Продолжение)

Параметр	Условия	Значения			Единица измерения
		не менее	типичное	на более	
ТОКОСЧИТЫВАЮЩИЕ КОМПАРАТОРЫ 1 И 2					
Диапазон входных синфазных сигналов		-0.2	—	5.5	В
Входное напряжение смещения	вывод I <sub>SEN A</sub>	-15	—	15	мВ
	вывод I <sub>SEN B</sub>	+0.4	0.7	+0.9	В
Входной ток смещения		—	-2	-10	мкА
Задержка распространения		—	150	—	нс
Напряжение начала ограничения тока	V <sub>PIN 2</sub> = 5.5 В	4.8	5	5.2	В
Напряжение ограничения начала тока		0.95	1.0	1.05	В
Входной ток смещения		—	-2	-10	мкА
Задержка распространения		—	150	—	нс
Выходное напряжение НИЗКОГО уровня	I <sub>OUT</sub> = -20 мА	—	0.1	0.4	В
	I <sub>OUT</sub> = -200 мА	—	1.6	2.2	В
Выходное напряжение ВЫСОКОГО уровня	I <sub>OUT</sub> = 20 мА	13	13.5	—	В
	I <sub>OUT</sub> = 200 мА	12	13.4	—	В
Выходное напряжение НИЗКОГО уровня при обнаружении пониженного напряжения	I <sub>OUT</sub> = -1 мА, V <sub>CC</sub> = 8 В	—	0.1	0.8	В
Время нарастания/спада	C <sub>L</sub> = 1000 пФ	—	50	—	нс
МОНИТОР ПОНИЖЕННОГО НАПРЯЖЕНИЯ					
Пороговое напряжение включения		15	16	17	В
Пороговое напряжение выключения		9	10	11	В
Порог переключения опорного напряжения		—	4.4	—	В
ДЛЯ ВСЕГО ИЗДЕЛИЯ					
Ток потребления	Стартовый, V <sub>CC</sub> = 14 В	—	0.6	1.2	мА
	Рабочий, T <sub>J</sub> = 25°C	—	25	35	мА

- Примечания:
- 1. Этот параметр не 100 % проверяется при производстве, но гарантируется конструкцией.
  - 2. Напряжение питания V<sub>CC</sub> сначала поднимается выше порогового напряжения включения для активизации микросхемы, а потом понижается до 15 В.
  - 3. Токи смещения токочислывающих компараторов вычитаются от этого значения.

НАЗНАЧЕНИЕ ВЫВОДОВ

Номер вывода	Сокращение	Функция
1	I <sub>SEN A</sub>	Вход токочислывающего компаратора (+). Ограничение тока происходит, когда напряжение на нем достигает 5 В.
2	OVP	Вход компаратора повышенного напряжения.
3	MULT	Выход умножителя токов. Резистор, соединяющий этот вывод с землей, преобразует ток в напряжение.
4	EAO	Выход усилителя ошибки.
5	IN	Инвертирующий вход усилителя ошибки.
6	I <sub>SIN</sub>	Токовый вход умножителя.
7	DC	Установкой напряжения на этом выводе определяется длительность рабочего цикла на выходе ШИМ-схемы.
8	PWM	Вход напряжения обратной связи.
9	I <sub>SEN B</sub>	Вход для токочислывающего резистора в режиме с обратной связью по току или используется для коррекции нарастания тока в режиме с обратной связью по напряжению.
10	R <sub>T</sub>	Вывод для подключения частотоадающего резистора генератора. Ток, протекающий через этот резистор, устанавливает ток заряда C <sub>T</sub> .
11	I <sub>LIM</sub>	Ограничение тока рабочего цикла. При превышении порога 1 В на этом выводе, прерывается сигнал на выходе ШИМ-схемы.
12	RAMP	Буферизованный выход генератора пилообразного напряжения (C <sub>T</sub> ).
13	PGND <sub>B</sub>	Цепь возврата большого тока выходного формирователя ШИМ-схемы.
14	OUT <sub>B</sub>	Выход квазикомплементарного формирователя ШИМ-схемы.
15	V <sub>CC</sub>	Положительное напряжение питания микросхемы.
16	OUT <sub>A</sub>	Выход квазикомплементарного формирователя ККМ-схемы.
17	PGND <sub>A</sub>	Цепь возврата большого тока выходного формирователя ККМ-схемы.
18	V <sub>REF</sub>	Буферизованный выход опорного напряжения 5 В.
19	GND	Аналоговая земля.
20	C <sub>T</sub>	Вывод для подключения частотоадающего конденсатора генератора.

## ФУНКЦИОНАЛЬНОЕ ОПИСАНИЕ

## ГЕНЕРАТОР

Генератор микросхемы ML4819 заряжает внешний конденсатор ( $C_T$ ) током ( $I_{SET}$ ), равным  $5 [B]/R_T$ . Когда напряжение на конденсаторе достигает верхнего порогового напряжения состояние компаратора изменяется и конденсатор разряжается до более низкого порогового напряжения через транзистор Q1. В то время как конденсатор разряжается, на выходе схемы обеспечивается ВЫСОКИЙ уровень напряжения.

Период колебаний генератора может быть описан следующими соотношениями:

$$T_{OSC} = T_{RAMP} + T_{DEADTIME},$$

где:

$$T_{RAMP} = \frac{C_T}{I_{SET}}$$

и:

$$T_{DEADTIME} = \frac{C_T}{8.4 [mA] - I_{SET}}$$

Максимальный рабочий цикл ШИМ-схемы может быть ограничен установкой порогового напряжения на выводе [7]. Когда пилообразное напряжение на конденсаторе  $C_T$  выше порогового напряжения в выводе [7], на выходе удерживается НИЗКИЙ уровень напряжения и устанавливается ШИМ-триггер:

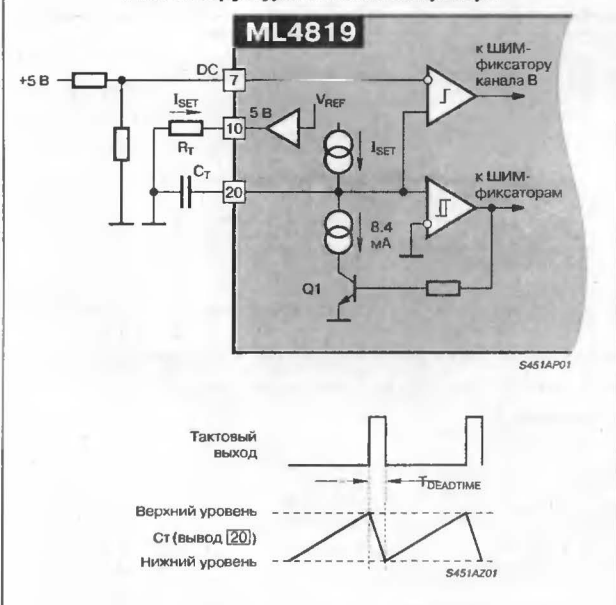
$$D_{LIMIT} = D_{OSC} \times \frac{(V_{PINT} - 0.9)}{3.4},$$

где:

$D_{LIMIT}$  = Желаемый предел рабочего цикла;

$D_{OSC}$  = Рабочий цикл генератора.

Рис. 1. Структурная схема генератора



## УСИЛИТЕЛЬ ОШИБКИ

Усилитель ошибки микросхемы ML4819 имеет высокое усиление с разомкнутой петлей обратной связи и широкий диапазон частот.

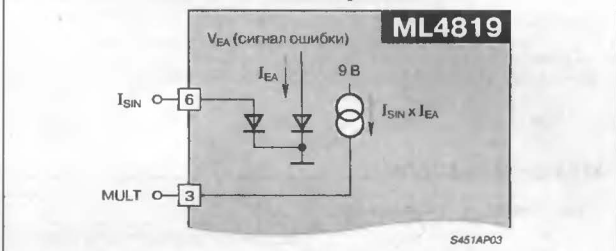


Рис. 2. Конфигурация усилителя ошибки

## УМНОЖИТЕЛЬ

Умножитель микросхемы ML4819 — это линейный умножитель входных токов, обеспечивающий высокую устойчивость к помехам, вызываемым переключением в микросхеме большой мощности. Выпрямленное синусоидальное напряжение сети преобразуется в ток с помощью понижающего резистора. Таким образом, небольшое шумовое напряжение вблизи потенциала земли производит незначительное влияние на опорное напряжение, подводимое к ШИМ-компаратору.

Рис. 3. Блок-схема умножителя



На выходе умножителя появляется ток, пропорциональный:

$$I_{OUT} \sim I_{SINE} \times I_{EA}.$$

Где  $I_{SINE}$  — ток в понижающем резисторе, и  $I_{EA}$  — фактор, который изменяется от 0 до 1 пропорционально выходному напряжению усилителя ошибки. Когда выход усилителя ошибки доходит до напряжения насыщения, выходной ток умножителя приблизительно равен входному току  $I_{SINE}$ .

Выходной ток умножителя преобразуется в опорное напряжение для ШИМ-компаратора на резисторе, соединяющем землю и выход умножителя (вывод [3]).

## КОРРЕКЦИЯ НАРАСТАНИЯ ТОКА

Коррекция нарастания тока выполняется добавлением 1/2 тока, текущего через вывод [12], к выводу [1] (для ККМ-схемы) и выводу [9] (для ШИМ-схемы). Величина коррекции нарастания тока равна  $R_L \times I_{PIN} / 12/2$ , где  $R_L$  — полное сопротивление от вывода GND до вывода [1] или вывода [9]. Так как большинство ШИМ-применений ограничивается 50% рабочим циклом, коррекция нарастания тока не является необходимой для ШИМ-схемы. Это можно преодолеть, используя низкоимпедансную нагрузку на выводе [9].



## МОНИТОР ПОНИЖЕННОГО НАПЯЖЕНИЯ

В момент включения микросхема ML4819 находится в состоянии обнаружения пониженного напряжения (по-английски UVLO или UVLO-состояние), что означает НИЗКИЙ уровень напряжения на выходе и низкий потребляемый ток. Микросхема начинает

работать, когда напряжение питания  $V_{CC}$  достигает значения 16 В. Когда  $V_{CC}$  падает ниже 10 В, наступает UVLO-состояние. В UVLO-состоянии опорное напряжение  $V_{REF}$  на выводе [18], равное 5 В, выключено, что может быть использовано как "флаг".

Рис. 4. Схема коррекции нарастания тока

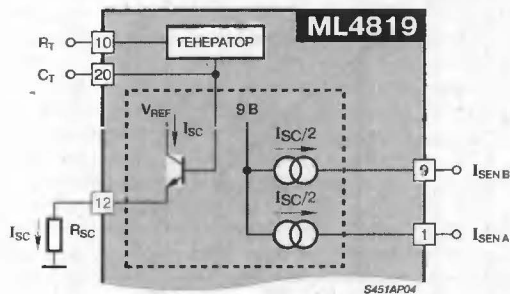
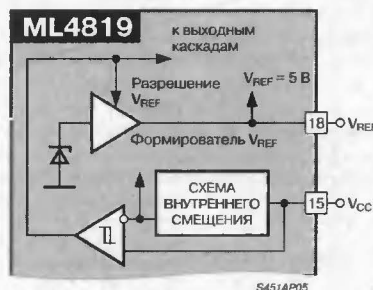


Рис. 5. Блок-схема монитора пониженного напряжения



## ТИПОВЫЕ РАБОЧИЕ ХАРАКТЕРИСТИКИ

Рис. 6. Зависимость частотозадающего резистора генератора от частоты

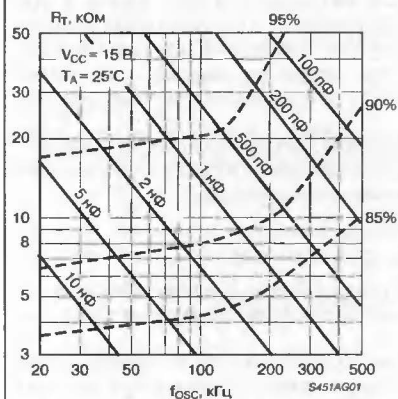


Рис. 7. Зависимость напряжения насыщения выхода от выходного тока

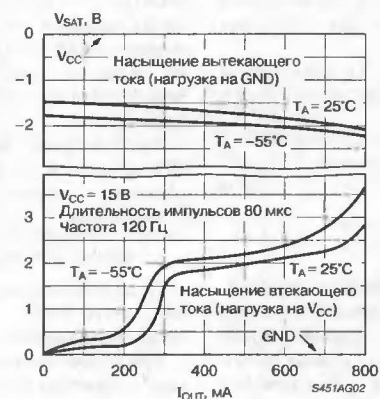


Рис. 8. Зависимость фазы и усиления с разомкнутой петлей обратной связи усилителя ошибки от частоты

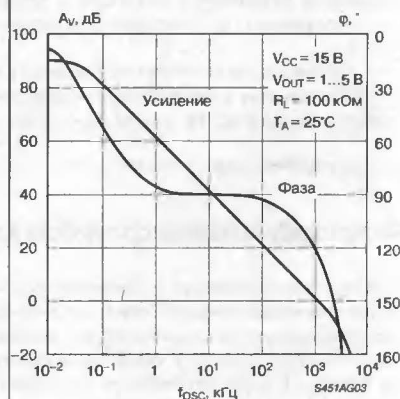


Рис. 9. Линейность умножителя

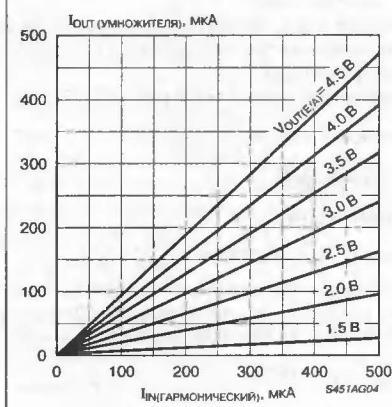
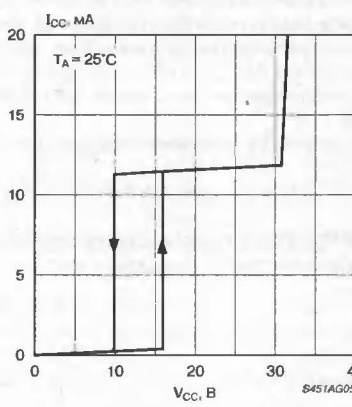


Рис. 10. Зависимость общего тока потребления от напряжения питания



## ТИПОВЫЕ ХАРАКТЕРИСТИКИ (Продолжение)

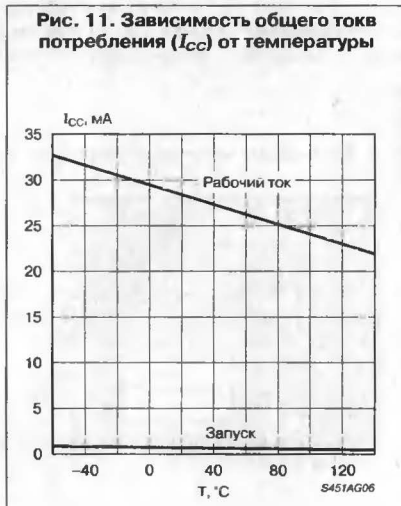
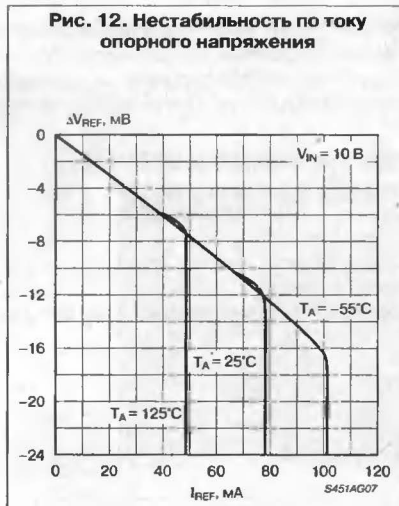
Рис. 11. Зависимость общего тока потребления ( $I_{CC}$ ) от температуры

Рис. 12. Нестабильность по току опорного напряжения



## ПРИМЕНЕНИЕ

## СХЕМА КОРРЕКЦИИ КОЭФФИЦИЕНТА МОЩНОСТИ

ККМ-часть схемы ML4819 во всем подобна схеме коррекции коэффициента мощности в микросхеме ML4812, за исключением схемы коррекции пилообразного напряжения. См. описание ML4812.

Все последующие вычисления относятся к Рис. 16. Компоненты  $R_T$  и  $C_T$ , упомянутые в нижеприведенных уравнениях, соотносятся с компонентами на Рис. 16 следующим образом:

$$R_T = R_{16}, C_T = C_6.$$

ВЫБОР ВХОДНОЙ КАТУШКИ ИНДУКТИВНОСТИ ( $L_1$ )

Центральный компонент в стабилизаторе — повышающая входная катушка индуктивности. Если величина индуктивности слишком мала, искажения во входном токе будут велики, что означает низкий коэффициент мощности и увеличение помехи во входных цепях. Для борьбы с этим потребуется установить на входе мощный фильтр. Кроме того, когда величина индуктивности мала, индуктивность "истощается" (работает без тока) при низких токах. Таким образом коэффициент мощности уменьшится на более низких уровнях мощности и/или более высоких напряжениях сети. Если величина индуктивности слишком высока, то для данного рабочего тока требуемый размер сердечника катушки индуктивности будет большим, и/или требуемое число витков будет велико. Так что между размером сердечника и уровнем помех должен быть достигнут компромисс.

Еще одно условие, когда индуктивность может "истощаться", проанализировано ниже.

Для повышающего конвертера в устойчивом состоянии:

$$V_{OUT} = \frac{V_{IN}}{1 - D_{ON}}, \quad (1)$$

где  $D_{ON}$  — рабочий цикл  $[T_{ON}/(T_{ON} + T_{OFF})]$ . Индуктивность "истощается", когда удовлетворяется следующее условие:

$$V_{IN}(t) < V_{OUT} \times (1 - D_{ON}) \quad (2)$$

или

$$V_{INDRY} = [1 - D_{ON}(max)] \times V_{OUT}, \quad (3)$$

$V_{INDRY}$  — напряжение, при котором индуктивность "истощается";  $V_{OUT}$  — выходное напряжение постоянного тока.

Действительно, вышеупомянутые соотношения показывают, что избыток вольт-секунд лучше, чем недостаток вольт-секунд. В терминах передачи энергии это означает, что в катушке индуктивности во время ВКЛЮЧЕННОГО состояния запасается меньшее количество энергии, чем то, что требуется передать во время ВЫКЛЮЧЕННОГО состояния. Это и называется "истощением" индуктивности.

Рекомендуемая максимальная длительность рабочего цикла — 95% на частоте 100 кГц, чтобы дать время входной индуктивности сбрасывать энергию на выходные конденсаторы.

Например:

$$\text{если } V_{OUT} = 380 \text{ В и } D_{ON}(max) = 0.95.$$

Тогда подстановка в (3) дает  $V_{INDRY} = 20 \text{ В}$ , а результат "истощения" индуктивности — увеличение помех во входных цепях при низких напряжениях.

Для данной выходной мощности мгновенное значение входного тока — функция входного синусоидального напряжения, другими словами, входное напряжение, вызывающее ток, изменяется от нуля вольт до максимального значения, равного пиковому.

Нагрузкой ККМ-схемы обычно бывает импульсный источник питания, который является по существу постоянной нагрузкой. В результате увеличение входного напряжения будет скомпensировано уменьшением входного тока.

Комбинируя идеи, сформулированные выше, можно получить некоторые основные правила выбора и конструирования входной катушки индуктивности.

**Шаг 1:** Найдите минимальный рабочий ток.

$$I_{IN}(min) = 1.1414 \times \frac{P_{IN}(min)}{V_{IN}(max)} \quad (4)$$

$$V_{IN}(max) = 260 \text{ В}$$

$$P_{IN}(min) = 50 \text{ Вт}$$

$$\text{Тогда: } I_{IN}(min) = 0.272 \text{ А}$$

**Шаг 2:** Выберите минимальный ток, при котором ток катушки индуктивности будет на грани "истощения". Для этого примера было выбрано значение, равное 40% пикового тока, найденного в шаге 1.

$$\text{Тогда: } I_{LDRY} = 100 \text{ мА}$$

**Шаг 3:** Теперь, пользуясь предварительно рассчитанными данными, может быть найдена величина индуктивности:

$$L1 = \frac{V_{INDRY} \times D_{ON(max)}}{I_{LDry} \times f_{OSC}} = \frac{20 \text{ В} \times 0.95}{100 \text{ мА} \times 100 \text{ кГц}} \quad (5)$$

Величину индуктивности можно уменьшить в случае, когда ток изменяется от минимального до максимального значения. Это позволяет использовать сердечник меньших размеров. Единственное требование заключается в адекватной коррекции пилообразного напряжения при более низком значении индуктивности сердечника для того, чтобы осуществлять необходимую коррекцию при больших токах.

**Шаг 4:** Наличие коррекции пилообразного напряжения изменит напряжение, при котором индуктивность начинает "истощаться", но найденные выше значения могут рассматриваться в качестве хорошей стартовой точки. Основанное на количественных расчетах коррекции коэффициента мощности, вышеупомянутое значение L1 может быть оптимизировано после нескольких итераций.

Типичными материалами для сердечника являются феррит, пермаллой или карбонильное железо. Выбранный материал сердечника должен иметь высокое значение индукции насыщения и приемлемую величину потерь на рабочей частоте.

Один из ферритовых сердечников, который является подходящим для мощности в пределах 200 Вт — это W4229PL00-3CB (Ferroxcube). Этот сердечник для такого применения требует установки зазора, равного 0.180" (4.6 мм).

## ВЫБОР КОМПОНЕНТОВ ГЕНЕРАТОРА

Частотозадающие компоненты генератора могут быть рассчитаны с помощью следующего выражения:

$$f_{OSC} = \frac{1.36}{f_{OSC} \times C_T} \quad (6)$$

Например:

**Шаг 1:** На частоте 100 кГц с рабочим циклом 95%,  $T_{OFF} = 500$  нс,  $C_T$  вычисляются используя следующую формулу:

$$C_T = \frac{T_{OFF} \times I_{DIS}}{V_{OSC}} \quad (7)$$

**Шаг 2:** Вычислите требуемое значение частотозадающего резистора.

$$R_T = \frac{1.36}{f_{OSC} \times C_T} = \frac{1.36}{100 \text{ кГц} \times 1000 \text{ пФ}} = 13.6 \text{ кОм} \quad (8)$$

$$R_T = 14 \text{ кОм.}$$

## ВЫБОР КОМПОНЕНТОВ ТОКОСЧИТЫВАЮЩЕЙ СХЕМЫ И СХЕМЫ КОРРЕКЦИИ НАРАСТАНИЯ ТОКА

Схема коррекции нарастания тока в микросхеме ML4819 — встроенная. Ток, равный  $V_{CS}(T)/2$  (R18), добавляется к току  $I_{SENA}$  (вывод [1]) и преобразуется в напряжение на резисторе R10. Значение величины коррекции нарастания тока (приведенное к выводу [1]) должно быть достаточным для того, чтобы по крайней мере на 50% уменьшить нарастание тока катушки индуктивности во время ВЫКЛЮЧЕННОГО состояния. Заметим, что коррекция нарастания тока требуется, только если ток катушки индуктивности — непрерывный, и величина рабочего цикла больше, чем 50%. Самое высокое значение уменьшения нарастания тока катушки индуктивности находится для точки отключения индуктивности:

$$\frac{dI_L}{dt} = \frac{V_B - V_{INDRY}}{L} = \frac{380 \text{ В} - 20 \text{ В}}{2 \text{ мГн}} \quad (9)$$

Значение величины уменьшения нарастания тока, приведенное ко входу ШИМ-компаратора:

$$S_{PWM} = \frac{V_B - V_{INDRY}}{L} \times \frac{R11}{N_C} \quad (10)$$

где  $N_C$  — отношение витков трансформатора тока T1. Вообще, трансформаторы тока упрощают считывание тока ключа особенно на высоких уровнях мощности, где использование резисторов для этой цели затруднено из-за большой величины мощности, которую они должны рассеять.

Обычно первичная обмотка трансформатора состоит из единственного витка, а вторичная состоит из нескольких витков изолированного провода на эмалированном магнитопроводе. Диаметр ферритового сердечника, используемый в этом примере — 0.5" (12.7 мм) (SPANG/Magnetics F41206-TC). Выпрямляющий диод на выходе трансформатора тока может быть типа 1N4148 для среднего значения вторичных токов до 75 мА.

Для считывания тока ключа могут также использоваться SENSE FET-транзисторы или резистивные датчики. Снимаемый сигнал должен быть усилен до надлежащего уровня прежде, чем его подавать на микросхему ML4819. Значение величины коррекции нарастания тока ( $SC_{PWM}$ ), приведенное к выводу [1]:

$$SC_{PWM} = \frac{2.5 \times R9}{R16 \times C6 \times R18} \quad (11)$$

Исходя из этого может быть найдено требуемое значение для R18:

$$SC_{PWM} = A_{SC} \times S_{PWM},$$

где  $A_{SC}$  — коэффициент коррекции нарастания тока.

Значение R9 (вывод [2]) зависит от выбора R2 (вывод [6])

$$R2 = \frac{V_{IN(max)}}{I_{SINE}} = \frac{260 \times 1.414}{0.72 \text{ мА}} = 510 \text{ кОм} \quad (12)$$

$$R9 > \frac{V_{CLAMP} \times R2}{V_{IN(min)}} = \frac{4.8 \times 510 \text{ К}}{80 \times 1.414} \approx 22 \text{ кОм.} \quad (13)$$

Выбираем R9 = 27 кОм.

Пиковый ток катушки индуктивности может быть приблизительно найден:

$$I_{PEAK} = \frac{1.414 \times P_{OUT}}{V_{IN(min)}} = \frac{1.414 \times 200}{90} = 3.14 \text{ А.} \quad (14)$$

Выбираем значение отношения  $N_C$ , равное 80, так как оно зависит от максимального тока ключа, принятого равным 4 А для этого примера.

$$R11 = \frac{V_{CLAMP} \times N_C}{I_{LPEAK}} = \frac{4.8 \times 80}{4} \approx 100 \text{ кОм,} \quad (15)$$

где R11 — токосчитывающий резистор, и  $V_{CLAMP}$  — напряжение фиксации на инвертирующем входе ШИМ-компаратора. Это напряжение фиксации внутренне установлено на 5 В. На практике из-за производственного разброса допусков компонентов, чтобы избежать нежелательного тока, ограничивающего работу, пришлось принять значение напряжения фиксации меньше, чем 5 В. В этом примере  $V_{CLAMP}$  было выбрано равным 4.8 В.

Теперь после вычисления R11 могут быть рассчитаны значения  $S_{PWM}$  и R18:

$$S_{PWM} = \frac{380 \text{ В} - 20}{2 \text{ мГн}} \times \frac{100}{80} = 0.225 \text{ В/мкс,}$$

$$R18 = 2.5 \times R9 / A_{SC} \times S_{PWM} \times R_T \times C_T,$$

$$R18 = \frac{2.5 \times 27 \text{ кОм}}{0.7 \times (0.225 \times 10^6) \times 14 \text{ кОм} \times 1 \text{ нФ}} \approx 30 \text{ кОм.} \quad (16)$$

Выбираем R18 = 33 кОм.

При расчетах использовались следующие значения:

$$R9 = 27 \text{ кОм}$$

$$A_{SC} = 0.7$$

$$R_T = 14 \text{ кОм}$$

$$C_T = 1 \text{ нФ}$$

## КОМПОНЕНТЫ ДЛЯ РЕГУЛИРОВКИ НАПЯЖЕНИЯ

Значения компонентов петли обратной связи для регулирования напряжения рассчитаны, основываясь на выходном рабочем напряжении. Заметим, что правила техники безопасности требуют использования токоограничивающих резисторов с необходимой величиной рабочего напряжения. Согласно "правилу большого пальца", если имеются резисторы мощностью 1/4 Вт, их надо включать по два последовательно. Входной ток смещения усилителя ошибки равен приблизительно 0.5 мА, поэтому ток, снимаемый с токоограничивающих резисторов, должен быть значительно выше этого значения. Так как резисторы мощностью 1/4 Вт должны использоваться по два, общая мощность равна 1/2 Вт. Рабочая мощность устанавливается равной 0.4 Вт, тогда при выходном напряжении 380 В может быть рассчитана следующая величина:

$$R5 = \frac{(380 \text{ В})^2}{0.4 \text{ Вт}} = 360 \text{ кОм.} \quad (17)$$

Выбираем два резистора по 178 кОм  $\pm 1\%$ , включенных последовательно.

Тогда R6 можно рассчитать по следующей формуле:

$$R6 = \frac{V_{REF} \times R5}{V_B - V_{REF}} = \frac{5 \text{ В} \times 356 \text{ кОм}}{380 \text{ В} - 5 \text{ В}} = 4.747 \text{ кОм.} \quad (18)$$

Выбираем резистор 4.75 кОм  $\pm 1\%$ . Еще один критичный компонент в петле регулирования напряжения — это конденсатор обратной связи усилителя ошибки. Полоса частот напряжения обратной связи должна быть установлена такой, чтобы подавлять пульсацию 120 Гц (100 Гц), присутствующую на выходе. Если пульсация не подавлена, это исказит форму волны входного тока. Типичный диапазон частот — от единиц герц до 15 Гц. Главный компромисс находится между требованиями переходной характеристики и минимумом искажений. Конденсатор обратной связи может быть рассчитан по следующей формуле:

$$C8 = \frac{1}{3.142 \times R_6 \times BW} = \frac{1}{3.142 \times 356 \text{ кОм} \times 2 \text{ Гц}} = 0.44 \text{ мкФ.} \quad (19)$$

## КОМПОНЕНТЫ СХЕМЫ ЗАЩИТЫ ОТ ПОВЫШЕНИЯ НАПЯЖЕНИЯ

Петля обратной связи для защиты от повышения напряжения должна быть установлена так, чтобы не имелось никакого взаимодействия с петлей регулирования напряжения. Обычно это напряжение должно быть установлено на уровне, ниже которого мощные компоненты могли бы безопасно работать. Напряжение на десять-пятнадцать вольт выше  $V_{OUT}$ , кажется, является достаточным. Это устанавливает максимальное выходное переходное напряжение на уровне приблизительно 395 В.

Выбирая резистор R7 для схемы защиты от повышения напряжения, используем тот же способ, как и выше, то есть R7 = 356 кОм, тогда резистор R8 может быть рассчитан как:

$$R8 = \frac{V_{REF} \times R7}{V_{OVP} - V_{REF}} = \frac{5 \text{ В} \times 356 \text{ кОм}}{395 \text{ В} - 5 \text{ В}} = 4.564 \text{ кОм.} \quad (20)$$

Заметьте, что резисторы R5, R6, R7 и R8 должны быть с точным допуском: 1% или лучше.

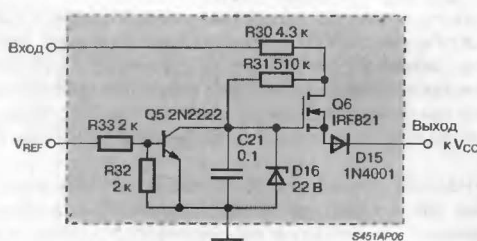
## ЗАПУСК И ГЕНЕРАЦИЯ НАПЯЖЕНИЙ СМЕЩЕНИЯ

Схемой запуска на Рис. 16 может быть или "кровооточающий резистор" (39 кОм, 2 Вт) или схема, показанная на Рис. 13. Преимущество "кровооточающего резистора" — простота и самая низкая стоимость, но он может вызывать чрезмерную задержку включения при низком напряжении сети.

Микросхема запускается, когда напряжение на выводе [15] ( $V_{CC}$ ) превышает 16 В. Энергия, запасенная в C10, питает микросхему до

тех пор, пока дополнительная обмотка на T3 не сможет обеспечить мощность, необходимую для работы.

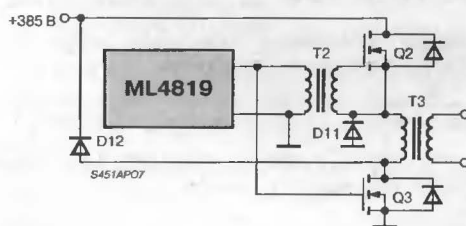
Рис. 13. Схема запуска



## ДОСТОИНСТВА СХЕМЫ

Схема улучшает коэффициент мощности и понижает коэффициент гармоник входного тока. Заметьте, что схема выполняет спецификации стандарта IEC 555 по коэффициенту гармоник с большим запасом при коррекции коэффициента мощности для большинства устойчивых эксплуатационных режимов до значения, лучшего, чем 0.99.

Рис. 14. Прямоходовой конвертер с двумя ключами



## ШИМ-СХЕМА

Показанная на Рис. 16 ШИМ-схема на Рис. 14 для простоты представлена двумя ключами прямоходового конвертера. Это полностью запираемая схема, что устраняет потребность в очень высоковольтных полевых транзисторах. Микросхему ML4819 также можно применять по обратноходовой схемотехнике.

Этот преобразователь (Рис. 16) использует управление с обратной связью по току. Ток снимается с R24||R25 и фильтруется с помощью R23 и C14 от высокочастотных помех и помех переходных процессов. Главная петля регулирования — через вывод PWM. Регулируемый стабилитрон TL431 (U3) в цепи вторичной обмотки включает в себя и источник опорного напряжения, и усилитель ошибки. Развязка, выполненная на оптроне (U2), обеспечивает токовый управляющий сигнал на выводе [8]. Частотная коррекция петли регулирования обеспечивается элементами R29 и C20. Выходное напряжение устанавливается:

$$V_{OUT} = 2.5 \left( 1 + \frac{R29}{R28} \right) \text{ В.} \quad (21)$$

Ток ограничен пороговым значением 2 А (на R24||R25 падает 1 В). Рабочий цикл ограничивается в этой схеме значением ниже 50%, чтобы предотвратить насыщение сердечника трансформатора (T3). Максимальный предел рабочего цикла 45% выбирается установкой порогового напряжения  $V_{REF}/2$  на выводе [7].

Схема на Рис. 16 может быть изменена для работы с обратной связью по напряжению, используя пилообразный ток, который появляется на выводе [9], как показано ниже, на Рис. 15.



Амплитуда пилообразного напряжения, появляющегося на выводе 9, будет равна:

$$V_R = \frac{I_{R18}}{2} \times R_V, \quad (22)$$

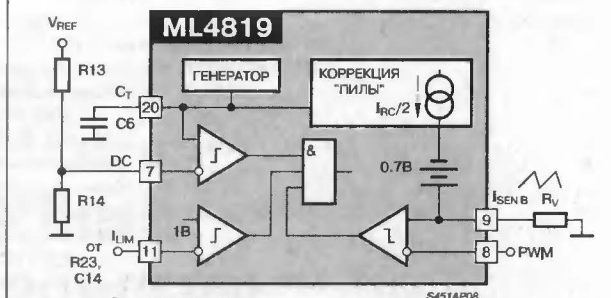
где  $R18$  — резистор коррекции нарастания тока. Так как эта схема работает с постоянным входным напряжением (что обеспечивается ККМ-схемой), обратная связь по напряжению не нужна.

#### СОВЕТЫ ПО КОНСТРУКЦИИ И РАСПОЛОЖЕНИЮ ЭЛЕМЕНТОВ

Высокочастотные мощные схемы требуют особого внимания во время разработки макета и рисунка печатной платы. Рекомендуются двухсторонние печатные платы с земляной шиной, целиком занимающей одну сторону. Выводы всех критичных переключющих элементов (мощные полевые транзисторы, выходные диоды, выходы микросхемы и земляные проводники, шунтирующие конденсаторы) должны быть как можно короче. Это должно уменьшить переходные помехи и помехи переключения.

Имеются два вида паразитной связи: индуктивная и емкостная. Как видно из названия, индуктивная связь возникает из-за быстро изменяющихся (высокое значение  $di/dt$ ) замкнутых токов переключения. Главный источник — это петля, сформированная Q1, D6, и C3–C4. Поэтому эта петля должна быть как можно меньше, и вышеупомянутые конденсаторы должны быть хороших высокочастотных типов.

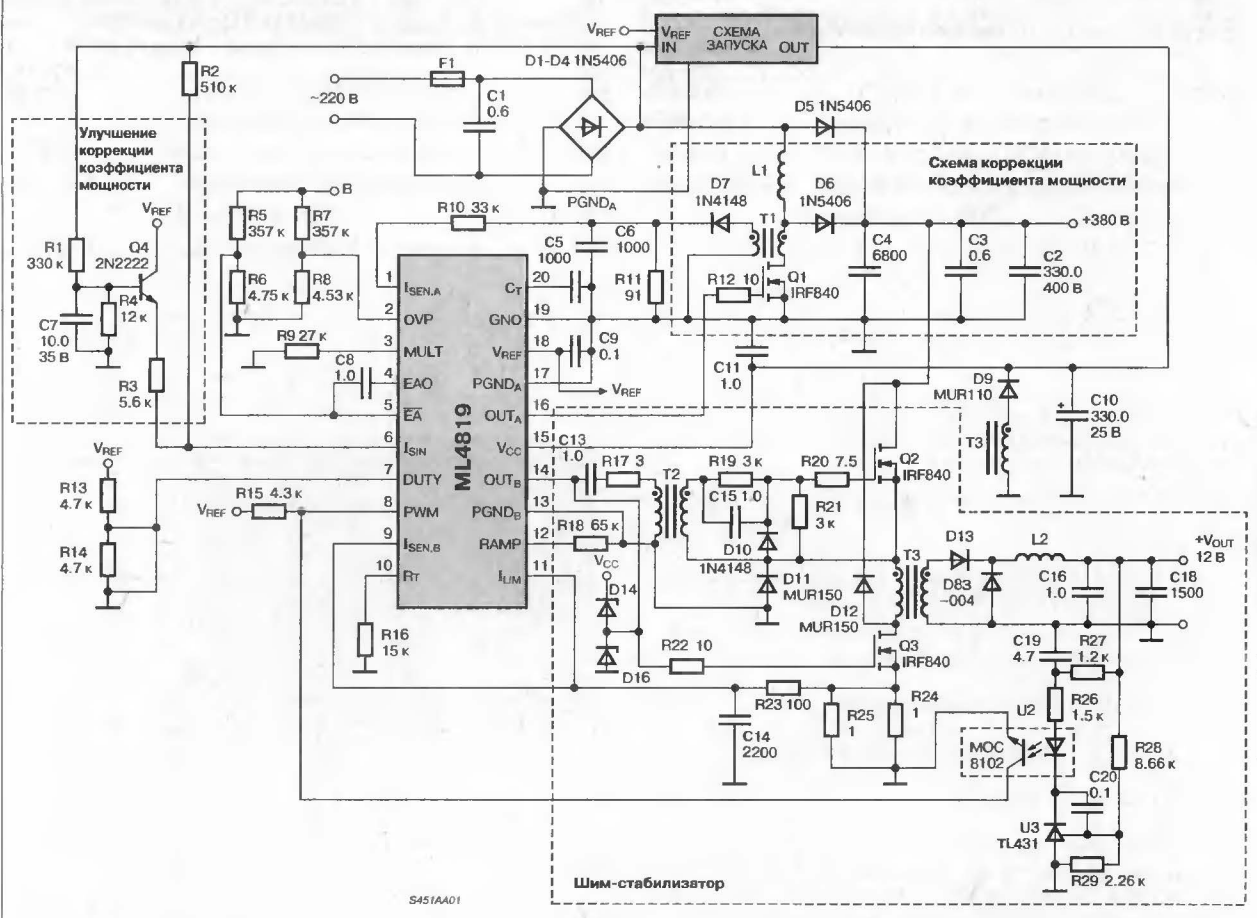
Рис. 15. Конфигурация с обратной связью по напряжению



Второй вид паразитной связи возникает из-за быстрых изменений напряжения (высокое значение  $dv/dt$ ). Главный источник в этом случае — сток мощного полевого транзистора. Излучаемая помеха в этом случае может быть уменьшена изоляцией стока мощного полевого транзистора от радиатора и последующим соединением радиатора с истоком полевого транзистора с помощью высокочастотного конденсатора.

Микросхема имеет два вывода земли, названные PGND и GND. Эти два вывода на печатной плате должны быть связаны очень короткими проводниками, соединяясь вместе в точке вблизи выходов схемы. Очень важно избегать петель земляных проводников. Предпочтительна схема заземления звезды.

Рис. 16. Источник питания мощностью 180 Вт с корректором коэффициента мощности и выходным напряжением 12 В





## СПЕЦИФИКАЦИЯ КОМПОНЕНТОВ ДЛЯ СХЕМЫ НА РИС. 16.

Компонент	Описание	Компонент	Описание
C1, C3	0.6 мкФ, 630 В Пленочный (250 ВАС)	R4	12 кОм
C2	330 мкФ, 400 В Электролитический	R5, R7	357 кОм, 1 %
C4	6800 пФ, 1 кВ Керамический	R6	4.75 кОм, 1 %
C5, C6	1000 пФ	R8	4.53 кОм, 1 %
C7	10 мкФ, 35 В	R9	27 кОм
C8, C11, C13, C15, C16	1 мкФ, Керамический	R10, R18	33 кОм
C9, C20, C21	0.1 мкФ, Керамический	R11	91
C10	1500 мкФ, 25 В Электролитический	R12, R22	10
C12, C17	1 мкФ, Керамический	R13, R14	4.7 кОм
C14	2200 пФ	R15	4.3 кОм
C18	1500 мкФ, 16 В Электролитический	R16	15 кОм
C19	4.7 мкФ	R17	3
D1-D5	1N5406	R20	7.5
D6	MUR850	R21, R19	3 кОм
D7, D10	1N4148	R23	100
D8	3 В Стабилитрон или 4 x 1N4148 последовательно	R24, R25	1
D9	MUR110	R26	1.5 кОм
D11, D12	MUR150	R27	1.2 кОм
D13	D83-004K	R28	8.66 кОм, 1 %
D15	1N4001	R29	2.26 кОм, 1 %
D16, D14	1N5818 Или 1N5819	R30	2 кОм, 1 Вт
F1	5 А, 250 В, 3AG	R32, R33	2 кОм
L1	2 мГн, IPEAC = 4 А, Сердечник: Ferroxcube 4229-3C8; 150 витков #24 AWG; зазор 0.150" (3.81 мм)	T1	Spang F41206-TC или Siemens B64290-K45-X21 или X830 или Ferroxcube 768T188-3C8 $N_{\text{ВТОР}} = 80$ , $N_{\text{ПЕРВ}} = 1$
L2	10 мГн, Сердечник: Spang 43019 UG00; 8 витков #15 AWG; зазор 0.05" (1.27 мм)	T2	Тот же самый сердечник, как T1: бифилярные обмотки; $N_{\text{ВТОР}} = N_{\text{ПЕРВ}} = 15$ витков
Q1-Q3	IRF840	T3	Сердечник: Ferroxcube 4229-3C8, Первичная обмотка: 44 витка #18 провода лицендрат, Вторичная обмотка: 4 витка медной полосы, Дополнительная обмотка: 2 витка #24 AWG
Q4, Q5	2N2222	U2	МОСВ102
Q6	IRF821	U3	TL431
R1	330 кОм		
R2, R31	510 кОм		
R3	5.6 кОм		

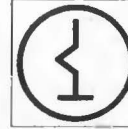


# ДВУХТАКТНЫЙ ШИМ-КОНТРОЛЛЕР 1114ЕУ1

Прототип  
SG1524



Товарные знаки  
изготовителей



## ОСОБЕННОСТИ

- Встроенная схема ограничения тока
- Встроенный монитор повышенного и пониженного напряжения
- Специальный вывод внешней синхронизации
- Однотактная или двухтактная конфигурация выхода
- Содержит все компоненты полной схемы ШИМ-преобразователя
- Коммутируемое напряжение ..... до 36 В
- Диапазон напряжений питания ..... 10...20 В
- Нестабильность опорного напряжения по напряжению и току ..... 0.2%
- Температурный коэффициент опорного напряжения .....  $\leq \pm 1\%$
- Два транзисторных ключа с выходным током каждого ..... 100 мА
- Диапазон частот генератора ..... 1...200 кГц

## ТИПОНОМИНАЛЫ

1114ЕУ1 .....	6КО.347.300-01 ТУ
K1114ЕУ1А .....	6КО.348.901-01 ТУ
K1114ЕУ1Б .....	6КО.348.901-01 ТУ

## ОБЩЕЕ ОПИСАНИЕ

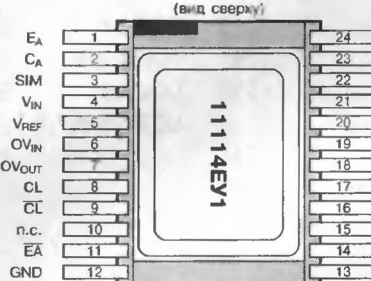
Микросхема 1114ЕУ1 представляет из себя схему двухтактного ШИМ-контроллера и содержит все необходимые узлы для построения импульсного ИВП. По сравнению с прототипом микросхема 1114ЕУ1 была дополнена монитором пониженного и повышенного напряжения, что позволяет упростить конструкцию ИВП. Генератор микросхемы имеет дополнительный вывод синхронизации SYNC и специальный вывод  $R_p$  для задания паузы между выходными импульсами. Важным, хотя и непринципиальным отличием от схемы прототипа является отсутствие выводов неинвертирующего входа усилителя ошибки и выхода генератора и наличие выхода ШИМ-компаратора и входа симметрирования. Последнее важное отличие — меньшая величина опорного напряжения (но с лучшим температурным коэффициентом), чем у схемы прототипа.

Микросхема 1114ЕУ1 работает в диапазоне температур  $-60...+125^\circ\text{C}$ , а K1114ЕУ1 — в диапазоне температур  $-45...+85^\circ\text{C}$ . Обе модификации выпускаются в планарных металлокерамических корпусах типа 4118.24-1.

## ЦОКОЛЕВКА КОРПУСОВ

Металлокерамический корпус типа 4118.24-1

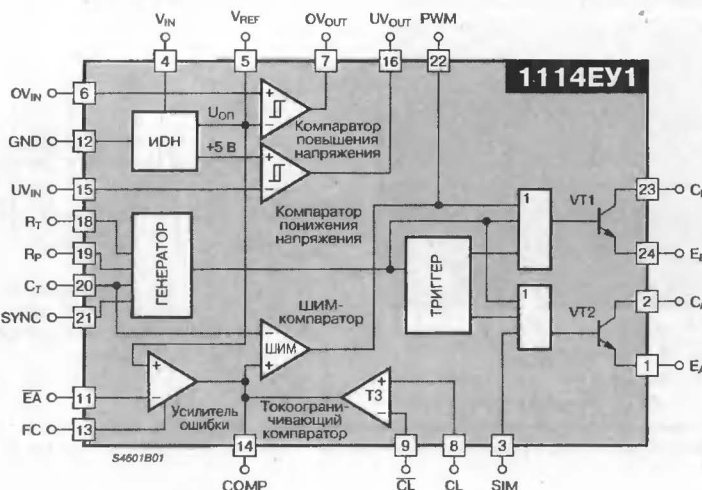
Выходной транзистор А	Эмиттер	$E_A$
	Коллектор	$C_A$
Вход симметрирования	SIM	3
Напряжение питания микросхемы	$V_{IN}$	4
Опорное напряжение	$V_{REF}$	5
Вход контроля повышения напряжения	$OV_{IN}$	6
Выход контроля повышения напряжения	$OV_{OUT}$	7
Неинверт. вход токовой защиты	CL	8
Инверт. вход токовой защиты	CL	9
не подключен	п.с.	10
Вход обратной связи	$E_A$	11
Общий	GND	12



$E_B$	Коллектор	Выходной транзистор В
$C_B$	Эмиттер	
PWM	Выход компаратора ШИМ	
SYNC	Внешняя синхронизация	
$C_T$	Выход для конденсатора генератора	
$R_p$	Выход для резистора задания паузы	
$R_T$	Выход для резистора генератора	
п.с.	не подключен	
$UV_{OUT}$	Выход контроля снижения напряжения	
$UV_{IN}$	Вход контроля снижения напряжения	
COMP	Вход компенсации	
FC	Частотная коррекция	

S4601C01

## СТРУКТУРНАЯ СХЕМА



МАКСИМАЛЬНЫЕ ЗНАЧЕНИЯ ПАРАМЕТРОВ И РЕЖИМОВ<sup>1</sup>

Напряжение питания (вывод [4])	10...20 В
Коммутируемое напряжение:	
1114ЕУ1, К1114ЕУ1А	36 В
К1114ЕУ1Б	32 В
Выходной ток:	
1114ЕУ1, К1114ЕУ1А	100 мА
К1114ЕУ1Б	80 мА
Коммутируемая мощность (при V <sub>COM</sub> = 36 В):	
1114ЕУ1, К1114ЕУ1А	1.5 Вт
К1114ЕУ1Б (Прим. 2)	1.3 Вт
Мощность рассеивания	0.55 Вт
Диапазон рабочих температур:	
1114ЕУ1	-60...+125°С
К1114ЕУ1	-45...+85°С
Температура кристалла	175°С
Тепловое сопротивление	55°С/Вт

Примечания:  
1. В рабочем диапазоне температур.  
2. При коммутируемом напряжении 32 В.

ЭЛЕКТРИЧЕСКИЕ ХАРАКТЕРИСТИКИ

При T<sub>A</sub> = -45...+85°С для К1114ЕУ1; T<sub>A</sub> = -60...+125°С для 1114ЕУ1, если не указано иначе

Параметр	Условия	Номинальное значение			Единица измерения
		1114ЕУ1	К1114ЕУ1А	К1114ЕУ1Б	
Опорное напряжение	T <sub>A</sub> = +25°С, V <sub>CC</sub> = 12 В, V <sub>COM</sub> = 10 В	2...3	2...3	1.8...2.8	В
Нестабильность опорного напряжения по напряжению	10 < V <sub>CC</sub> < 20 В	0.2	0.2	0.3	%/В
Температурный коэффициент опорного напряжения	V <sub>CC</sub> = 12 В, V <sub>COM</sub> = 10 В	0.015	0.015	0.03	%/°С
Остаточное напряжение выходных транзисторов	T <sub>A</sub> = +25°С, V <sub>CC</sub> = 12 В, V <sub>COM</sub> = 10 В, f = 10 кГц, (Прим. 1)	1.5	1.5	1.5	В
Гистерезис компаратора повышения напряжения	T <sub>A</sub> = +25°С, V <sub>CC</sub> = 12 В, V <sub>COM</sub> = 10 В, f = 10 кГц, I <sub>CC</sub> = 100 мА	100	100	100	мВ
Гистерезис компаратора понижения напряжения	T <sub>A</sub> = +25°С, V <sub>CC</sub> = 12 В, V <sub>COM</sub> = 10 В, f = 10 кГц, I <sub>CC</sub> = 100 мА	100	100	150	мВ
Гистерезис токоограничивающего компаратора	T <sub>A</sub> = +25°С, V <sub>CC</sub> = 12 В, V <sub>COM</sub> = 10 В, f = 10 кГц, I <sub>CC</sub> = 100 мА	100	100	100	мВ
Коэффициент усиления усилителя ошибки	T <sub>A</sub> = +25°С, 10 < V <sub>CC</sub> < 30 В	20...100	20...100	20...100	
Длительность фронта выходных импульсов	T <sub>A</sub> = +25°С, V <sub>CC</sub> = 12 В, V <sub>COM</sub> = 10 В, (Прим. 1 и 2)	100	100	150	нс
Длительность спада выходных импульсов	T <sub>A</sub> = +25°С, V <sub>CC</sub> = 12 В, V <sub>COM</sub> = 10 В, (Прим. 1 и 2)	100	100	150	нс
Ток потребления от источника питания	T <sub>A</sub> = +25°С, V <sub>CC</sub> = 12 В, V <sub>COM</sub> = 10 В	30	30	40	мА
Ток потребления в дежурном режиме	V <sub>CC</sub> = 12 В, (Прим. 3)	20...100	20...200	50...300	мкА

Примечания:  
1. При потребляемом токе для 1114ЕУ1, равном 100 мА, а для К1114ЕУ1 равном 80 мА.  
2. При частоте коммутации для 1114ЕУ1, равной 200 кГц, а для К1114ЕУ1 равной 100 кГц.  
3. При коммутируемом напряжении для 1114ЕУ1, равном 36 В, а для К1114ЕУ1 равном 32 В.

ЗАМЕЧАНИЯ ПО ПРИМЕНЕНИЮ

Величина сопротивления резистора R5 (См. Рис. 5), используемого в качестве датчика тока токоограничивающего компаратора, определяется по формуле:

$$R5 = \frac{V_{TH}}{I_{TH}}$$

где V<sub>TH</sub> — пороговое напряжение токоограничивающего компаратора, равное 200...250 мВ, а I<sub>TH</sub> — ток, при котором срабатывает токоограничивающий компаратор.

Пороговое напряжение компаратора повышения напряжения равно опорному напряжению, а пороговое напряжение компаратора понижения напряжения находится в пределах 4.5...5.5 В. Выходной ток обоих этих компараторов не должен превышать 1.6 мА.

Напряжение на входе усилителя ошибки (вывод [11]) должно находиться в пределах 0...5 В. Частота единичного усиления этого усилителя — не менее 1 МГц.

Частота встроенного генератора определяется по формуле:

$$f = \frac{2...3}{R1 \times C2}$$

Верхний уровень напряжения на входе внешней синхронизации генератора SYNC — не более 3 В, а нижний уровень — не более 1 В. Длительность паузы между выходными импульсами определяется по формуле:

$$t_p = 2 \times R2 \times C2.$$

Допускается подключение внешней нагрузки к выходу ШИМ-компаратора. При выходном токе компаратора (вывод [22]) не более 1 мА гарантируется напряжение НИЗКОГО логического уровня меньше 0.4 В, а напряжение ВЫСОКОГО логического уровня больше 2.4 В. Допускается подключение к общему выводу выхода ШИМ-компаратора (вывод [22]), а также выхода ИОН (вывод [5]) и выхода усилителя ошибки (вывод [14]).

Выходные транзисторы могут быть подключены как по схеме с общим эмиттером, так и по схеме эмиттерного повторителя. В последнем случае при напряжении на коллекторах (выводы [2], [23]), равном 5 В, и токе 25 мА обеспечивается выходное напряжение не менее 2 В.

## ТИПОВЫЕ ХАРАКТЕРИСТИКИ

Рис. 1. Зависимость длительности фронта выходных импульсов от выходного тока

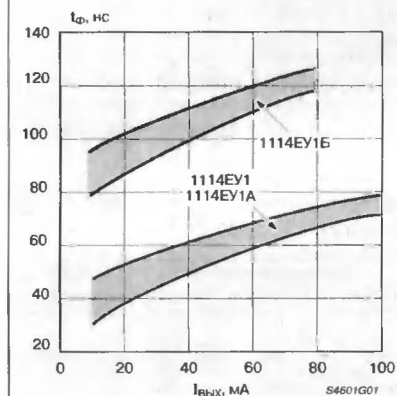


Рис. 2. Зависимость длительности спада выходных импульсов от выходного тока

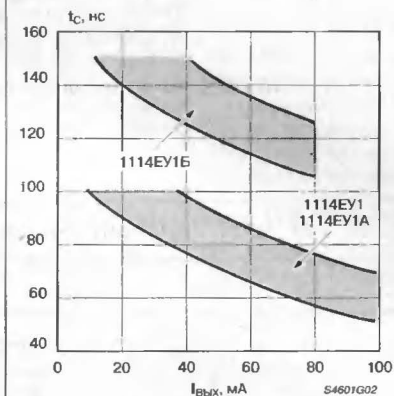


Рис. 3. Область безопасной работы

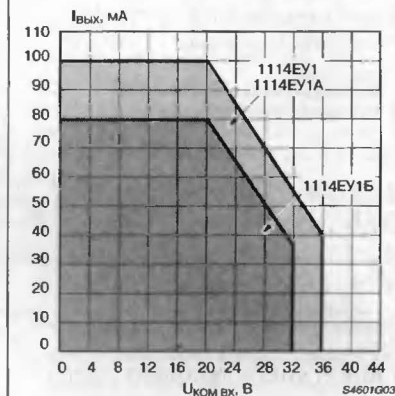
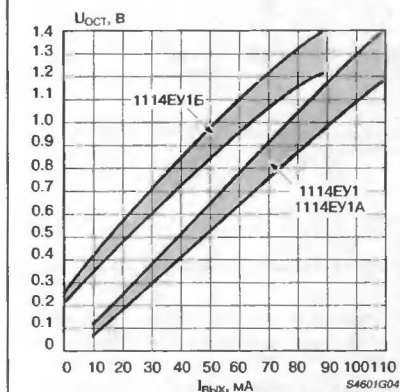
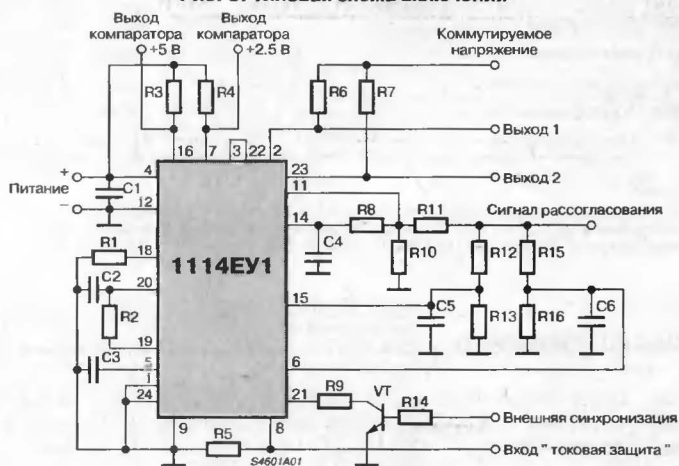


Рис. 4. Зависимость остаточного напряжения от выходного тока



## СХЕМА ВКЛЮЧЕНИЯ

Рис. 5. Типовая схема включения





### ОСОБЕННОСТИ

- Встроенная схема ограничения тока
- Превосходная внешняя синхронизация
- Однотактная или двухтактная конфигурация выхода
- Содержит все компоненты полной схемы ШИМ-преобразователя
- Диапазон рабочего напряжения ..... 8...40 В
- Величина опорного напряжения ..... 5 В
- Нестабильность опорного напряжения по напряжению и току ..... 0.4%
- Температурный коэффициент опорного напряжения ..... < ±1%
- Два транзисторных ключа с выходным током каждого ..... 50 мА
- Общий ток питания ..... <10 мА
- Диапазон частот генератора ..... 0.1...300 кГц

### ОСОБЕННОСТИ ТОЛЬКО ДЛЯ SG1524

- Соответствует стандартам MIL-STD-883B и DESC SMD
- MIL-M-38510/126018EA - JAN1524J
- Имеются данные по радиационной стойкости
- Изготавливается по технологии уровня "S" фирмы SG

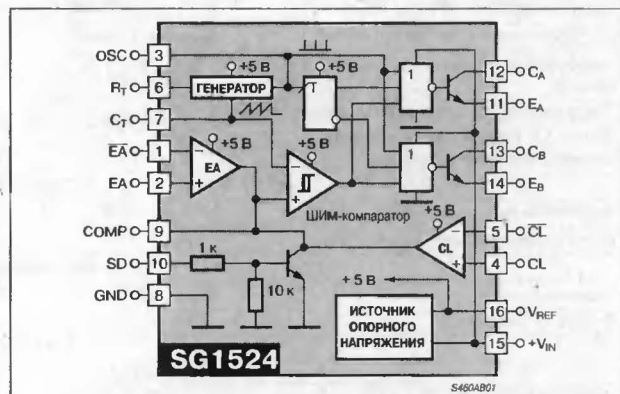
### ТИПОНОМИНАЛЫ

Типономинал	T <sub>A</sub> [°C]	Корпус	Типономинал	T <sub>A</sub> [°C]	Корпус
SG1524F	-55...+125°C	FP-16	SG2524D	-25...+85°C	SOIC-16
SG1524F/883B		FP-16	SG2524J		CERDIP-16
SG1524J		CERDIP-16	SG2524N	0...+70°C	DIP-16
SG1524J/883B		CERDIP-16	SG3524D		SOIC-16
SG1524L		CC-20	SG3524J		CERDIP-16
SG1524L/883B		CC-20	SG3524N		DIP-16

### ОБЩЕЕ ОПИСАНИЕ

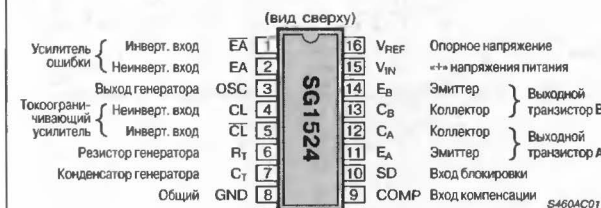
Микросхема SG1524/2524/3524 содержит все элементы, необходимые для схемы ШИМ-преобразователя. В одном корпусе заключены: источник опорного напряжения, усилитель сигнала ошибки, генератор, ШИМ-модулятор, управляющий триггер, два выходных противофазных ключа, схема ограничения тока и схема блокировки. Это устройство может использоваться для импульсных стабилизаторов любой полярности, DC/DC-конвертеров, бестрансформаторных удвоителей напряжения и конвертеров полярности, а также для других применений в источниках питания. Прибор SG1524 предназначен для работы в полном военном диапазоне температур окружающей среды -55...+125°C, SG2524 предназначен для промышленного диапазона -25...+85°C, и SG3524 предназначен для коммерческого диапазона 0...+70°C.

### СТРУКТУРНАЯ СХЕМА

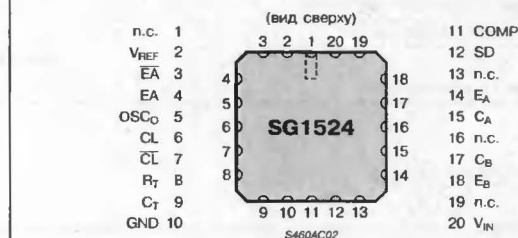


### ЦОКОЛЕВКА КОРПУСОВ

Пластмассовые корпуса типа: DIP-16, SOIC-16  
Керамические корпуса типа: CERDIP-16, FP-16



Керамический кристаллодержатель типа: CC-20



## ЭЛЕКТРИЧЕСКИЕ ХАРАКТЕРИСТИКИ

При  $V_{IN} = 20$  В,  $T_A$  в диапазоне рабочих температур, если не указано иначе

Параметр	Условия	SG1524/2524			SG3524			Единицы измерения
		не менее	типичное	не более	не менее	типичное	не более	
ИСТОЧНИК ОПОРНОГО НАПРЯЖЕНИЯ <sup>1</sup>								
Выходное напряжение	T <sub>J</sub> = 25°C	4.80	5.00	5.20	4.60	5.00	5.40	В
Нестабильность по напряжению	V <sub>IN</sub> = 8...40 В	—	—	20	—	—	30	мВ
Нестабильность по току	I <sub>L</sub> = 0...20 мА	—	—	50	—	—	50	мВ
Температурная нестабильность (Прим. 5)	в диапазоне рабочих температур	—	—	50	—	—	50	мВ
Диапазон изменения выходного напряжения (Прим.5)	во всем диапазоне изменения V <sub>IN</sub> , I <sub>OUT</sub> и T	4.80	—	5.20	4.60	—	5.40	В
Ток короткого замыкания	V <sub>REF</sub> = 0 В	25	50	150	25	50	150	мА
ГЕНЕРАТОР <sup>2</sup>								
Начальная точность	T <sub>J</sub> = 25°C	36	40	44	36	40	44	кГц
	min ≤ T <sub>J</sub> ≤ max	34	—	46	34	—	46	кГц
Стабильность напряжения	V <sub>IN</sub> = 8...40 В	—	0.1	1	—	0.1	1	%
Максимальная частота	R <sub>T</sub> = 2 кОм, C <sub>T</sub> = 1 нФ	200	400	—	200	400	—	кГц
ВЕРХНИЙ предел пилообразного напряжения	V <sub>IN</sub> = 40 В	3	—	3.8	3	—	3.8	В
НИЖНИЙ предел пилообразного напряжения	V <sub>IN</sub> = 8 В	0.6	1	1.2	0.6	1	1.2	В
Амплитуда тактовых импульсов		3.2	—	—	3.2	—	—	В
Ширина тактовых импульсов		0.3	—	1.5	0.3	—	1.5	мкс
УСИЛИТЕЛЬ ОШИБКИ <sup>3</sup> (EA)								
Входное напряжение смещения	R <sub>S</sub> ≤ 2 кОм	—	0.5	5	—	2	10	мВ
Входной ток смещения		—	1	10	—	1	10	мкА
Разность входных токов		—	—	1	—	—	2	мкА
Усиление с разомкнутой петлей обратной связи	R <sub>L</sub> ≥ 10 МОм, T <sub>J</sub> = 25°C	72	—	—	60	—	—	дБ
Выходное напряжение НИЗКОГО уровня	V <sub>PIN1</sub> - V <sub>PIN2</sub> ≥ 150 мВ	—	0.2	0.5	—	0.2	0.5	В
Выходное напряжение ВЫСОКОГО уровня	V <sub>PIN2</sub> - V <sub>PIN1</sub> ≥ 150 мВ	3.8	4.2	—	3.8	4.2	—	В
Коэффициент ослабления синфазных входных сигналов	V <sub>CM</sub> = 1.8...3.4 В	70	—	—	—	—	—	дБ
Коэффициент подавления нестабильности источника питания	V <sub>IN</sub> = 8...40 В	55	—	—	—	—	—	дБ
Ширина полосы пропускания (Прим. 5)	T <sub>J</sub> = 25°C	1	2	—	1	2	—	МГц
ШИМ-КОМПАРАТОР <sup>2</sup>								
Минимальная длительность рабочего цикла	V <sub>COMP</sub> = 0.5 В	—	—	0	—	—	0	%
Максимальная длительность рабочего цикла	V <sub>COMP</sub> = 3.6 В	45	49	—	45	49	—	%
ТОКОГРАНИЧИВАЮЩИЙ УСИЛИТЕЛЬ <sup>4</sup> (CL)								
Входное напряжение	T <sub>J</sub> = 25°C	190	200	210	180	200	220	мВ
Входной ток смещения		—	—	200	—	—	200	мкА
СХЕМА БЛОКИРОВКИ								
Пороговое напряжение	T <sub>J</sub> = 25°C	0.5	0.8	1.2	0.5	0.8	1.2	В
	T <sub>J</sub> (min) ≤ T <sub>J</sub> ≤ T <sub>J</sub> (max)	0.2	—	1.8	0.2	—	1.8	В
ВЫХОДНЫЕ КЛЮЧИ (ДЛЯ КАЖДОГО ТРАНЗИСТОРА)								
Ток утечки коллектора	V <sub>CE</sub> = 40 В	—	—	50	—	—	50	мкА
Напряжение насыщения коллектора	I <sub>C</sub> = 50 мА	—	—	2	—	—	2	В
Выходное напряжение эмиттера	I <sub>E</sub> = 50 мА	17	—	—	17	—	—	В
Время нарастания коллекторного напряжения	R <sub>C</sub> = 2 кОм	—	—	0.4	—	—	0.4	мкс
Время спада коллекторного напряжения	R <sub>C</sub> = 2 кОм	—	—	0.2	—	—	0.2	мкс
ДЛЯ ВСЕЙ СХЕМЫ								
Ток потребления в дежурном режиме	V <sub>IN</sub> = 40 В	—	7	10	—	7	10	мА

## Примечания:

- $I_L = 0$  мкА
- $f_{OSC} = 40$  кГц ( $R_T = 2.9$  кОм,  $C_T = 0.01$  мкФ)
- $V_{CM} = 2.5$  В
- $V_{CM} = 0$  В
- Эти параметры, хотя и гарантируются по рекомендуемому эксплуатационным режимам, но не 100% проверяются на производстве.

МАКСИМАЛЬНЫЕ ЗНАЧЕНИЯ ПАРАМЕТРОВ И РЕЖИМОВ

Входное напряжение ( $+V_{IN}$ )	42 В
Напряжение коллектора	40 В
Напряжение на логических входах	-0.3...5.5 В
Напряжение на входах токоограничивающего усилителя	-0.3...0.3 В
Выходной ток (каждого ключа)	100 мА
Ток нагрузки источника опорного напряжения	50 мА
Ток заряда частотообразующей емкости генератора	5 мА
Рабочая температура кристалла:	
Герметичный корпус (J, F, L-суффиксы)	175°C
Пластмассовый корпус (N, D-суффиксы)	150°C
Диапазон температур хранения	-65...150°C
Температура вывода (пайка 10 с)	300°C

Примечание:

При превышении данных значений может произойти повреждение прибора.

РЕКОМЕНДУЕМЫЕ ЗНАЧЕНИЯ ПАРАМЕТРОВ И РЕЖИМОВ

Входное напряжение ( $+V_{IN}$ )	8...40 В
Напряжение коллектора	0...40 В
Диапазон синфазного сигнала усилителя ошибки	1.8...3.4 В
Диапазон синфазного сигнала токоограничивающего усилителя	-0.3...0.3 В
Выходной ток (каждого ключа)	0...50 мА
Ток нагрузки источника опорного напряжения	0...20 мА
Ток заряда частотообразующей емкости генератора	0.03...2 мА
Диапазон частот генератора	0.1...300 кГц
Диапазон значений частотообразующего резистора ( $R_T$ )	1.8...100 кОм
Диапазон значений частотообразующего конденсатора ( $C_T$ )	0.001...1.0 мкФ
Диапазон рабочих температур:	
SG1524	-55...125°C
SG2524	-25...85°C
SG3524	0...70°C

Примечание:

Диапазон, в котором устройство работает и гарантируются приведенные значения параметров.

ТИПОВЫЕ РАБОЧИЕ ХАРАКТЕРИСТИКИ

Рис. 1. Зависимость рассеиваемой мощности от температуры окружающей среды

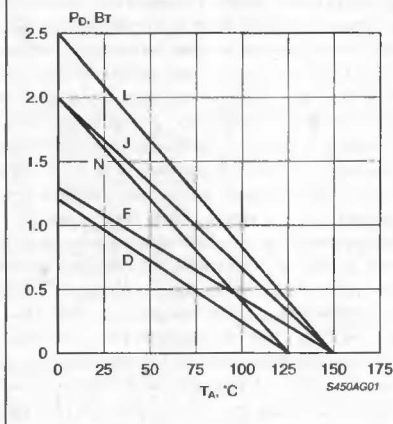


Рис. 2. Зависимость рассеиваемой мощности от температуры корпуса

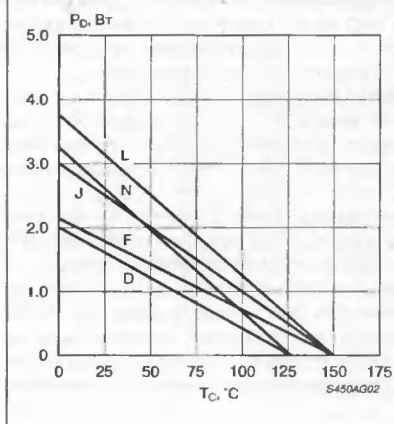


Рис. 3. Зависимость "мертвого" времени от величины емкости  $C_T$

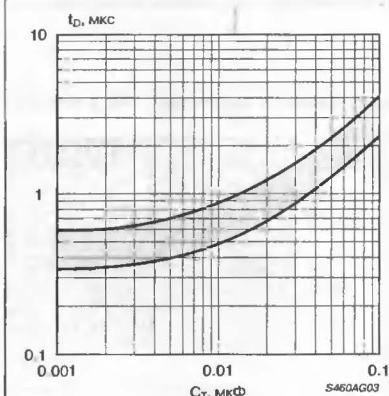
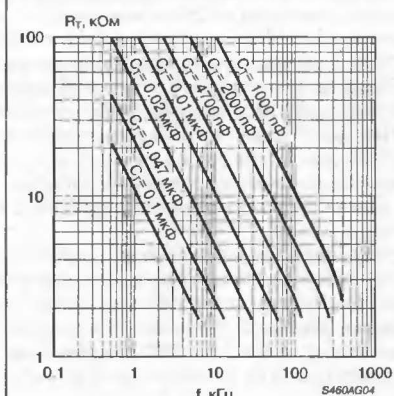


Рис. 4. Номограмма для расчета частоты генератора



## ЗАМЕЧАНИЯ ПО ПРИМЕНЕНИЮ

## ГЕНЕРАТОР

В генераторе микросхемы SG1524 используется внешний резистор  $R_T$  для установки постоянного тока заряда внешнего конденсатора  $C_T$ . Несмотря на то, что такая цепь потребляет больший ток, чем последовательная RC-цепочка, такое решение обеспечивает линейность пилообразного напряжения на конденсаторе  $C_T$ , которое используется как опорный сигнал для ШИМ-компаратора. Ток заряда равен  $3.6 \text{ В}/R_T$ , и его значение должно находиться между  $30 \text{ мкА}$  и  $2 \text{ мА}$ . Диапазон величин для  $R_T$  равен  $1.8 \dots 100 \text{ кОм}$ .

Диапазон значений для емкости  $C_T$  также имеет пределы, так как время разряда  $C_T$  определяет ширину выходных импульсов генератора. Эти импульсы используются (помимо всего прочего) как импульсы стробирования выхода, чтобы быть уверенными, что не имеется никакой возможности одновременного открывания обоих выходов. Временные соотношения для "мертвого" времени на выходе показаны на **Рис. 3**. Импульс длительностью менее  $0.35 \text{ мкс}$  может не вызвать переключение внутреннего триггера. Это ограничивает минимальное значение  $C_T$  величиной  $1000 \text{ пФ}$ . (Хотя выход генератора удобно использовать для подключения входа синхронизации осциллографа, емкость щупа будет слегка увеличивать длительность импульса и уменьшать частоту генератора.) Очевидно, что верхний предел длительности импульса определяется диапазоном модуляции, необходимым для источника питания на выбранной частоте переключения. Практически, значения емкости  $C_T$  попадают между  $1000 \text{ пФ}$  и  $0.1 \text{ мкФ}$ , хотя успешно работают генераторы на частоту  $120 \text{ Гц}$  при значениях емкости  $5 \text{ мкФ}$  и сопротивления последовательного резистора  $100 \text{ Ом}$ .

Частота генератора равна приблизительно  $1/(R_T \times C_T)$ , где  $R$  выражается в омах,  $C$  выражается в микрофарадах, и частота выражается в мегагерцах. Для большей точности дается номограмма на **Рис. 4**, используемая для широкого диапазона рабочих частот.

Заметим, что для схемотехники понижающего стабилизатора оба выхода могут быть объединены функцией монтажного ИЛИ для эффективного диапазона длительностей рабочего цикла ( $0 \dots 90\%$ ). Для этой схемотехники частота переключения на выходе такая же, как частота генератора. Для двухтактных применений, где выходы используются раздельно, триггер сужает диапазон длительности рабочего цикла на каждом выходе от  $0$  до  $45\%$ , и эффективная частота переключения в трансформаторе равняется половине частоты генератора.

Если желательно синхронизировать SG1524 внешними тактовыми импульсами, импульсы положительной полярности могут подаваться на вывод **3**. Генератор должен быть использован с такими значениями  $R_T$  и  $C_T$ , которые вызывают его свободную генерацию на частоте, равной  $90\%$  от частоты внешней синхронизации. Импульсы синхронизации с максимальным значением напряжения логического нуля, равным  $+0.3 \text{ В}$ , и минимальным значением напряжения логической единицы, равным  $+2.4 \text{ В}$ , подаваемые на вывод **3** от внешнего источника, запирают генератор. Минимальная длительность импульсов синхронизации должна быть  $200 \text{ нс}$ , а максимальная — определяется длительностью "мертвого" времени. Ни в коем случае нельзя подавать на вывод **3** импульсы с напряжением ниже, чем  $-0.3 \text{ В}$  и выше, чем  $+5.0 \text{ В}$ . Номинальная величина сопротивления между землей и выводом **3**, равная  $3.2 \text{ кОм}$ , изменяется при превышении температуры на  $\pm 25\%$ .

Если надо синхронизировать две или больше микросхем SG1524, для задания желаемой частоты необходимо установить значения  $R_T$  и  $C_T$  только у ведущей микросхемы. У ведомых микросхем выводы  $R_T$  остаются свободными, выводы  $C_T$  и выводы OSC соединяются, соответственно, с выводами  $C_T$  и выводами OSC ведущей микросхемы. Так как вывод  $C_T$  имеет высокий импеданс, такая схемотехника

работает лучше всего, когда все устройства расположены близко друг к другу.

## ОГРАНИЧЕНИЕ ТОКА

Схема ограничения тока в микросхеме SG1524 показана на **Рис. 5**. Считая падение напряжения на  $R1$  незначительным, найдем пороговое напряжение, при котором происходит ограничение тока:

$$V_{CL} = V_{BE}(Q1) + I_T \times R2 - V_{BE}(Q2) = I_T \times R2 \approx 200 \text{ мВ},$$

где  $V_{BE}(Q1)$  и  $V_{BE}(Q2)$  — это напряжение эмиттер-база, соответственно, транзисторов  $Q1$  и  $Q2$ .

Хотя эта схема обеспечивает относительно низкое пороговое напряжение с незначительным температурным коэффициентом, из-за простоты имеются некоторые ограничения для ее использования.

Наиболее важное — ограниченный диапазон синфазного сигнала:  $\pm 0.3 \text{ В}$  от напряжения земли. Это требует считывания значений тока в шине земли или шине возврата тока источника питания. Также предосторожности должны быть приняты для того, чтобы паразитный диод подложки микросхемы не открывался даже при переходных процессах. Чтобы достигнуть этого, в некоторых случаях может потребоваться подключить диод Шоттки к выводу **5**.

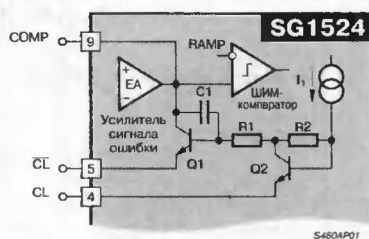
Второй важный фактор, который мы рассмотрим, заключается в том, что время отклика является относительно большим. Токоограничивающий усилитель внутренне скомпенсирован элементами  $R1$ ,  $C1$  и  $Q1$  и имеет спад частотной характеристики ниже  $300 \text{ Гц}$ .

Третий фактор, который мы рассмотрим, — это ток смещения входов токоограничивающего усилителя. Из вывода **4** вытекает постоянный ток, равный приблизительно  $150 \text{ мкА}$ , а из вывода **5** вытекает переменный ток величиной от  $0$  до  $150 \text{ мкА}$ . В результате, эквивалентный импеданс источника сигнала для входов токоограничивающего усилителя должен быть меньше, чем  $50 \text{ Ом}$ , чтобы сохранить ошибку порогового напряжения на уровне, меньшем  $5\%$ .

Так как усиление этой схемы относительно низко ( $42 \text{ дБ}$ ), имеется переходная область, поскольку токоограничивающий усилитель принимает импульсы от усилителя ошибки. При тестировании пороговое напряжение определяется как входное напряжение токоограничивающего усилителя, необходимое для того, чтобы получить длительность рабочего цикла  $25\%$  ( $+2 \text{ В}$  на выходе усилителя ошибки) при сигнале усилителя ошибки, соответствующем максимальной длительности рабочего цикла.

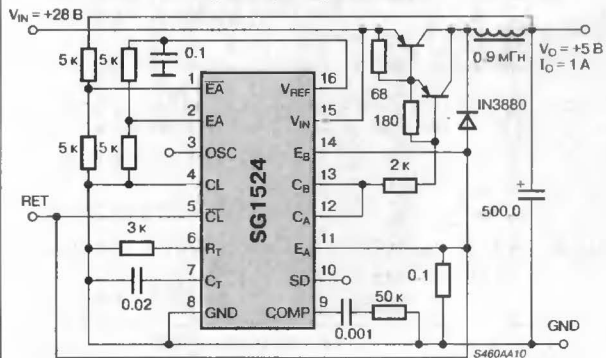
**ЗАМЕЧАНИЕ ПО ПРИМЕНЕНИЮ:** Если у микросхемы SG1524 функция ограничения тока не используется, ограниченный диапазон синфазного сигнала требует, чтобы оба входа токоограничивающего усилителя были заземлены.

Рис. 5. Схема ограничения тока в микросхеме SG1524



СХЕМЫ ПРИМЕНЕНИЯ

Рис. 6. Схема однотактного понижающего DC/DC-преобразователя



Диапазон изменения длительности рабочего цикла 0 ... 90%. Использование катушки индуктивности на выходе требует компенсирующей RC-цепочки для стабильности.

Рис. 9. Схема мощного положительного повышающего стабилизатора с обратной связью по току

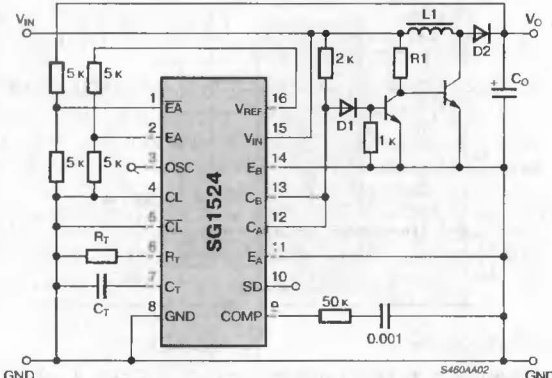
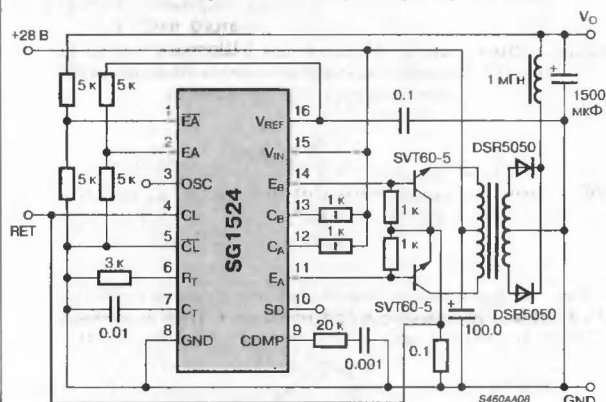
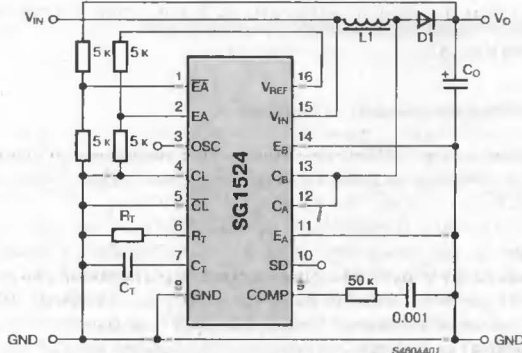


Рис. 7. Схема двухтактного DC/DC-преобразователя



Заметим, что генератор должен быть настроен на удвоенную выходную частоту, так как внутренний триггер микросхемы переключает ШИМ-сигнал с одного выхода на другой и делит частоту генератора на два. Схема ограничения тока выполнена здесь в цепи первичной обмотки таким образом, чтобы уменьшение длительности импульса вызвало насыщение трансформатора.

Рис. 8. Основная схема положительного повышающего стабилизатора ( $I_{IN(max)} = 80$  мА)



Расчетные формулы:

$$R_F = 5 \text{ кОм} \left( \frac{V_O}{25} - 1 \right)$$

$$f_{OSC} = \frac{1}{R_T C_T}$$

$$L_1 = \frac{2.5 V_{IN}^2 (V_O - V_{IN})}{f_{OSC} I_O V_O^2}$$

$$C_O = \frac{I_O (V_O - V_{IN})}{f_{OSC} \Delta V_O V_O}$$

$$I_O(max) = I_{IN} \frac{V_{IN}}{V_O}$$

Рис. 11. Схема мощного положительного понижающего стабилизатора с обратной связью по току

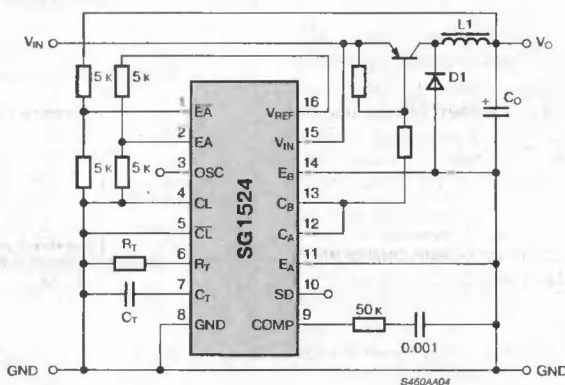
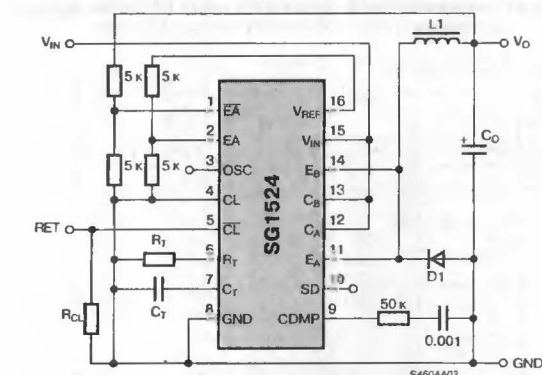




Рис. 10. Основная схема положительного понижающего стабилизатора ( $I_{IN(max)} = 80 \text{ мА}$ )



Расчетные формулы:

$$R_F = 5 \text{ кОм} \left( \frac{V_O}{2.5} - 1 \right)$$

$$R_{CL} = \frac{V_{PINS}}{I_{O(max)}}$$

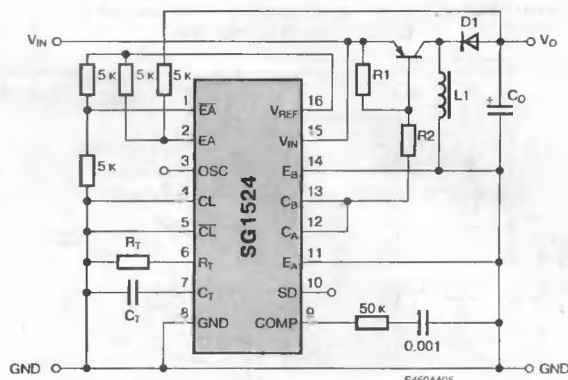
$$f_{osc} \approx \frac{1}{R_T C_T}$$

$$L1 = \frac{2.5 V_O (V_{IN} - V_O)}{I_O V_{IN} f_{osc}}$$

$$C_O = \frac{(V_{IN} - V_O) V_O T^2}{8 \Delta V_O V_{IN} L1}$$

$$I_{O(max)} = \frac{I_{IN} V_{IN}}{V_O}$$

Рис. 12. Схема силовоточного преобразователя полярности



Расчетные формулы:

$$R_F = 5 \text{ кОм} \left( 1 - \frac{V_O}{2.5} \right)$$

$$f_{osc} \approx \frac{1}{R_T C_T}$$

$$L1 = \frac{2.5 V_{IN} V_O}{f_{osc} (V_O + V_{IN}) I_O}$$

$$C_O = I_O V_O / \Delta V_O f_{osc} (V_O + V_{IN})$$

## БАЗОВАЯ СХЕМА ИМПУЛЬСНОГО СТАБИЛИЗАТОРА; ТЕОРИЯ И ПРАКТИКА

### Понижающий импульсный стабилизатор

Базовая структурная схема понижающего импульсного стабилизатора показана на Рис. 13, а практическая схема показана на Рис. 17.

Работа схемы: Транзистор Q1 используется как ключ, который переходит в состояния ВКЛЮЧЕНО и ВЫКЛЮЧЕНО с помощью сигнала ШИМ-модулятора. Когда транзистор Q1 находится в состоянии ВКЛЮЧЕНО, энергия, поступающая от  $V_{IN}$ , прикладывается к нагрузке через дроссель L1; напряжение  $V_d$  приблизительно равно  $V_{IN}$ , диод D1 смещен в обратную сторону, а конденсатор C1 заряжается. Когда транзистор Q1 переходит в состояние ВЫКЛЮЧЕНО, накопленная в дросселе энергия позволяет сохранить ток, протекающий через него, диод D1 открывается, и ток нагрузки протекает через D1 и L1. Напряжение  $V_d$  сглаживается дросселем L1 и конденсатором C1, обеспечивая постоянный ток на выходе. Ток, протекающий через L1, равен номинальному постоянному току нагрузки плюс некая величина  $\Delta I_L$ , получающаяся благодаря изменениям напряжения на дросселе. Хорошее правило: установить  $\Delta I_L(p-p) \approx 40\% I_O$ .

Рассмотрим равенства:

$$V_L = L \frac{di}{dt}$$

$$\Delta I_L \approx \frac{V_L T}{L1}$$

$$\Delta I_{L+} = \frac{(V_{IN} - V_O) t_{ON}}{L1}$$

$$\Delta I_{L-} = \frac{V_O t_{OFF}}{L1}$$

Пренебрегая  $V_{SAT}$ ,  $V_D$  и, принимая  $\Delta I_{L+} = \Delta I_{L-}$ :

$$V_O \approx V_{IN} \left( \frac{t_{ON}}{t_{OFF} + t_{ON}} \right) = V_{IN} \left( \frac{t_{ON}}{T} \right),$$

где  $T$  — период.

Рис. 13. Базовая структурная схема понижающего импульсного стабилизатора

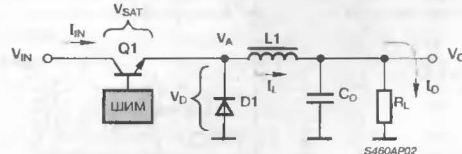


Рис. 14. Временные диаграммы для базовой структурной схемы понижающего импульсного стабилизатора

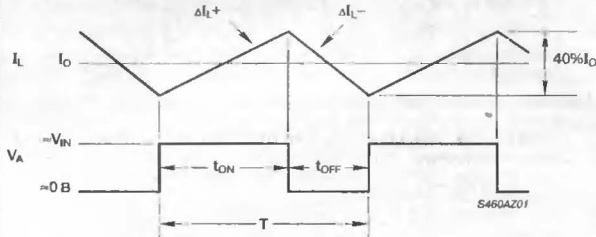


Рис. 15. Временные диаграммы, иллюстрирующие протекание тока через дроссель

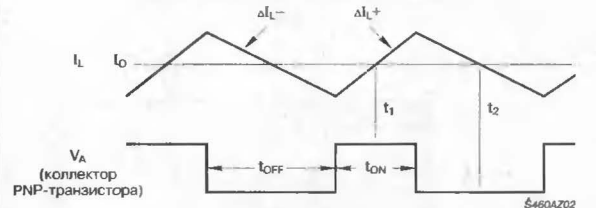
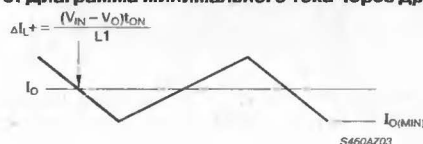


Рис. 16. Диаграмма минимального тока через дроссель



Выше показаны соотношения между  $V_{IN}$ ,  $V_O$  и длительностью рабочего цикла.

$$I_{IN}(DC) = I_{OUT}(DC) \left( \frac{t_{ON}}{t_{OFF} + t_{ON}} \right),$$

т.к. транзистор Q1 открыт только в течении времени  $t_{ON}$ .

$$P_{IN} = I_{IN}(DC) \times V_{IN} = I_O(DC) \left( \frac{t_{ON}}{t_{OFF} + t_{ON}} \right) V_{IN}$$

$$P_O = I_O \times V_O.$$

Величина КПД схемы равна:

$$\eta(max) = \frac{P_O}{P_{IN}} = I_O V_O / [I_O \times V_{IN} \frac{t_{ON}}{T} + I_O \times (V_{SAT} t_{ON} + V_{D1} t_{OFF}) / T] = \frac{V_O}{V_O + 1}$$

при  $V_{SAT} = V_{D1} = 1$  В.

Величина КПД уменьшается из-за потерь при переключении транзистора Q1. Поэтому транзистор Q1 необходимо выбирать с максимально возможной частотой  $f_T$ , чтобы получить минимальные времена нарастания и спада.

#### Расчет индуктивности дросселя L1

$$t_{ON} = \frac{(\Delta I_L^+) \times L1}{V_{IN} - V_O} \quad t_{OFF} = \frac{(\Delta I_L^-) \times L1}{V_O}$$

$$t_{ON} + t_{OFF} = T = \frac{(\Delta I_L^+) \times L1}{V_{IN} - V_O} + \frac{(\Delta I_L^-) \times L1}{V_O} =$$

$$= \frac{0.4 I_O L1}{V_{IN} - V_O} + \frac{0.4 I_O L1}{V_O},$$

так как  $\Delta I_L^+ = \Delta I_L^- = 0.4 I_O$ .

Получаем для величины L1:

$$L1 = \frac{2.5 V_O (V_{IN} - V_O)}{I_O V_{IN} f},$$

где L1 измеряется в генри, а f — в герцах

#### Расчет емкости конденсатора фильтра C<sub>O</sub>

На Рис. 15 показан ток, протекающий через дроссель, относительно состояний транзистора  $t_{ON}$  и  $t_{OFF}$ . Этот ток должен протекать через нагрузку и конденсатор C<sub>O</sub>. Таким образом, ток конденсатора C<sub>O</sub> является разностью между  $I_L$  и  $I_O$ :

$$I_{CO} = I_L - I_O.$$

Также можно заметить, что ток протекает через C<sub>O</sub> во вторую половину времени  $t_{ON}$  и первую половину времени  $t_{OFF}$  или во время  $t_{ON}/2 + t_{OFF}/2$ . Ток, протекающий за это время, равен  $\Delta I_L/4$ . В результате  $\Delta V_C$  или  $\Delta V_O$  можно выразить:

$$\Delta V_O(p-p) = \frac{1}{C} \times \frac{\Delta I_L}{4} \times \left( \frac{t_{ON} + t_{OFF}}{2} \right) = \frac{\Delta I_L}{4C} \left( \frac{t_{ON} + t_{OFF}}{2} \right).$$

$$\text{Так как } \Delta I_L = \frac{V_O(T - t_{ON})}{L1} \text{ и } t_{ON} = \frac{V_O T}{V_{IN}},$$

$$\Delta V_O(p-p) = \frac{V_O(T - V_O T/V_{IN})}{4CL1} \times \frac{T}{2} = \frac{(V_{IN} - V_O) V_O T^2}{8V_{IN} C_O L1}$$

$$\text{или } C_O = \frac{(V_{IN} - V_O) V_O T^2}{8 \Delta V_O V_{IN} L1},$$

где C<sub>O</sub> измеряется в фарадах, T — величина обратная частоте переключения, а  $\Delta V_O(p-p)$  — размах пульсаций на выходе.

Для получения максимальной стабилизации нельзя позволять току дросселя уменьшаться до нуля. Требуется некоторый минимальный ток нагрузки и, таким образом, и ток дросселя, как показано ниже:

$$I_O(min) = \frac{(V_{IN} - V_O) t_{ON}}{2L1} = \frac{(V_{IN} - V_O) V_O}{2f V_{IN} L1}.$$

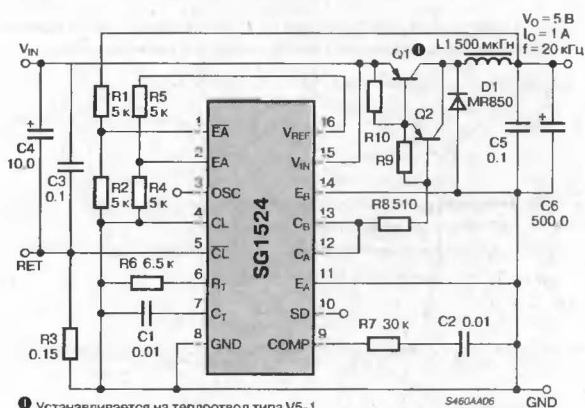
Полная практическая схема понижающего импульсного стабилизатора показана на Рис. 17. Транзисторы Q1 и Q2 были добавлены для увеличения выходного тока до 1 А. Выходное напряжение стабилизатора 5 В делится пополам, смещая неинвертирующий вход усилителя ошибки внутри его диапазона синфазного сигнала. Так как каждый выходной транзистор открыт на половину периода, реально на 45%, они запараллеливаются, позволяя довести длительность рабочего цикла до 90%. Это понижает требования к входному напряжению. Величина выходного напряжения равна:

$$V_O = V_{NI} \left( 1 + \frac{R1}{R2} \right),$$

где  $V_{NI}$  — напряжение на неинвертирующем входе усилителя ошибки. Резистор R3 устанавливает величину ограничения тока:

$$\frac{200 \text{ мВ}}{R3} = \frac{200 \text{ мВ}}{0.15} = 1.3 \text{ А}.$$

Рис. 17. Практическая схема понижающего импульсного стабилизатора



① Устанавливается на тепловод типа V5-1  
Q1 = BD344  
Q2 = 2N5023  
L1 ≥ 40 витков провода #22 на тороидальном сердечнике Ferroxcube №K300502

Табл. 1. Характеристики практической схемы понижающего импульсного стабилизатора

Параметр	Условия	Величина
Выходное напряжение	$V_{IN} = 10 \text{ В}, I_O = 1 \text{ А}$	5 В
Частота переключения	$V_{IN} = 10 \text{ В}, I_O = 1 \text{ А}$	20 кГц
Величина ограничения тока	$V_{IN} = 10 \text{ В}$	1.3 А
Нестабильность по току	$V_{IN} = 10 \text{ В}, I_O = 0.2 - 1 \text{ А}$	3 мВ
Нестабильность по напряжению	$\Delta V_{IN} = 10 - 20 \text{ В}, I_O = 1 \text{ А}$	6 мВ
КПД	$V_{IN} = 10 \text{ В}, I_O = 1 \text{ А}$	80%
Величина пульсаций на выходе	$V_{IN} = 10 \text{ В}, I_O = 1 \text{ А}$	10 мВ (p-p)



Полный повышающий импульсный стабилизатор, построенный согласно вышеизложенной теории, показан на **Рис. 20**. Так как напряжение  $V_{IN}$  равно 5 В, то оно подается на вывод опорного напряжения  $V_{REF}$ . Входное напряжение делится на два, смещая инвертирующий вход усилителя ошибки. Выходное напряжение равно:

$$V_{OUT} = \left(1 + \frac{R_2}{R_1}\right) \times V_{INV} = 2.5 \times \left(1 + \frac{R_2}{R_1}\right),$$

где  $V_{INV}$  — напряжение на инвертирующем входе усилителя ошибки.

Цепочка D1, C1 необходима для мягкого запуска. Она сохраняет выход усилителя ошибки в низком состоянии, таким образом уменьшая длительность рабочего цикла до минимума. Без цепи мягкого запуска дроссель может насыщаться при включении потому, что для заряда выходного конденсатора от 0 В через дроссель от источника питания будет протекать большой пиковый ток. Изменения входного напряжения будут компенсироваться, как показано на **Рис. 23**, если подавать опорное напряжение на неинвертирующий вход усилителя ошибки. На микросхеме SG1524 также можно построить безиндукторный импульсный стабилизатор. На **Рис. 21** показана схема преобразователя полярности, который обеспечи-

вает на выходе нерегулируемое напряжение –15 В, будучи подключен к коллектору мощного транзистора в схеме на **Рис. 20**.

На **Рис. 22** показана схема балластного устройства для питания люминесцентной лампы. Как видно из схемы, микросхема SG1524 и трансформатор T1 преобразуют постоянное входное напряжение 24 В в напряжение 1500 В, необходимое для включения лампы типа 11SC2 фирмы UVP. При замыкании ключа S1 на выводе [11] микросхемы появляется высокий уровень сигнала, что обеспечивает возникновение высоковольтного импульса прямоугольной формы на вторичной обмотке трансформатора. После начала протекания тока через первичную обмотку трансформатора, вступает в действие усилитель обратной связи LM324. Воспринимая относительное значение тока, протекающего через резистивный датчик 0.2 Ом, усилитель автоматически устанавливает длительность модулирующих импульсов, следующих с частотой 20 кГц, такой, что через лампу протекает неизменный по величине переменный ток 5 мА. Использование двухтактного выхода и трансформатора со средней точкой обеспечивает симметрию прямоугольных импульсов относительно нулевой шины, что исключает миграцию и результирующее накопление ионов в области катода лампы, тем самым повышая срок ее службы.

Рис. 20. Схема повышающего импульсного стабилизатора на 15 В, 0.5 А

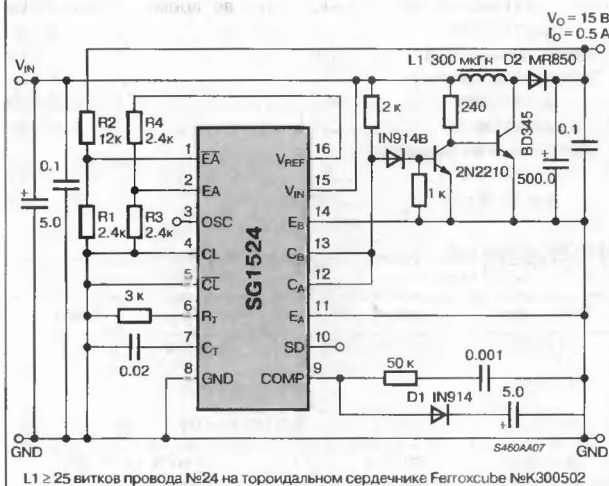


Рис. 22. Схема балластного устройства для питания люминесцентной лампы

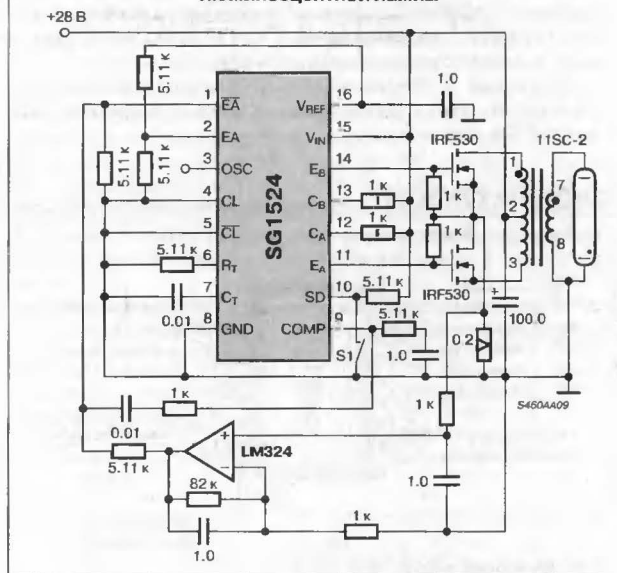


Рис. 21. Схема преобразователя полярности

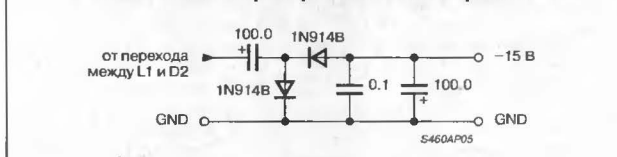
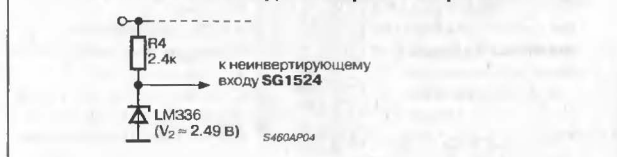


Рис. 23. Схема подачи опорного напряжения

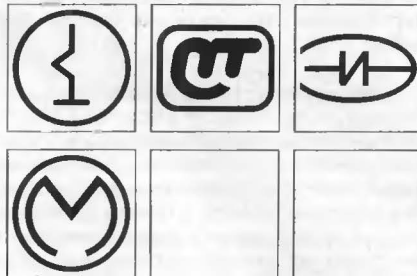


## ДВУХТАКТНЫЕ ШИМ-КОНТРОЛЛЕРЫ 1114EУ3/4/5

Аналоги:  
1114EУ3/4 — TL494  
1114EУ5 — TL195



Товарные знаки  
фирм изготовителей



### ОБЩЕЕ ОПИСАНИЕ

Микросхемы 1114EУ3/4/5 представляют из себя ШИМ-контроллеры и содержат все необходимые блоки для построения двухтактного импульсного источника питания. Следует обратить внимание на измененный по отношению к аналогу порядок выводов микросхемы 1114EУ3. (**Осторожно! Встречаются приборы в корпусе 1102.9-5, отмаркированные KP1114EУ3, хотя, судя по всему, они являются аналогами TDA4600/1!**).

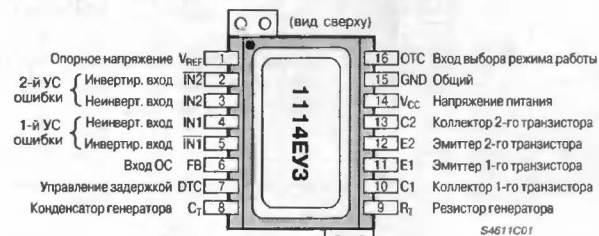
Типономинал 1114EУ3 выпускается в металлокерамическом корпусе 4112.16-15.01, а типономинал 1114EУ4 — в пластмассовом корпусе 2104.18-4.

### ОСОБЕННОСТИ

- Напряжение питания:  
для 1114EУ3 ..... 9...36 В  
для 1114EУ4/5 ..... 8...40 В
- Коммутируемое напряжение ..... 2...40 В
- Частота коммутации:  
для 1114EУ3 ..... 4...400 кГц  
для 1114EУ4/5 ..... 1...300 кГц
- Температура кристалла ..... 175°C
- Тепловое сопротивление:  
для 1114EУ3 ..... 50°C/Вт  
для 1114EУ4/5 ..... 60°C/Вт
- Диапазон рабочих температур:  
для 1114EУ3 ..... -60...+125°C  
для 1114EУ4/5 ..... -10...+70°C

### ЦОКОЛЕВКА КОРПУСОВ

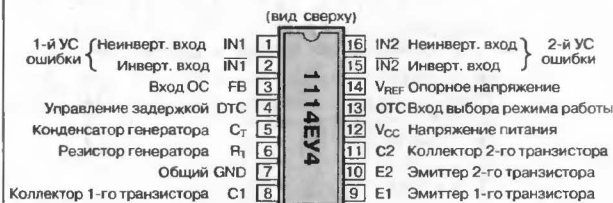
Металлокерамический корпус типа 4112.16-15.01



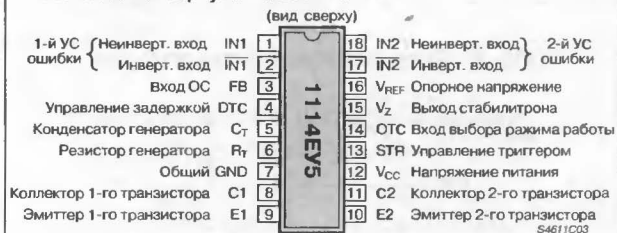
### ТИПОНОМИНАЛЫ

Типономинал	Корпус	ТУ	Фирма
1114EУ3	4112.16-15.01	6КО.347.300-02ТУ	Ⓢ
B1114EУ3-4	б/к	6КО.347.631-01ТУ	Ⓢ
KP1114EУ4	238.16-1	6КО.348.901-02ТУ	Ⓢ Ⓢ Ⓢ Ⓢ
KP1114EУ5	2104.18-4		Ⓢ

Пластмассовый корпус типа 238.16-1



Пластмассовый корпус типа 2104.18-4



### СТРУКТУРНАЯ СХЕМА

Не имеет отличий от структурной схемы TL494/5, См. стр. 233.

### СХЕМЫ ВКЛЮЧЕНИЯ

Не имеет отличий от схем включения TL494/5, См. стр. 23В.

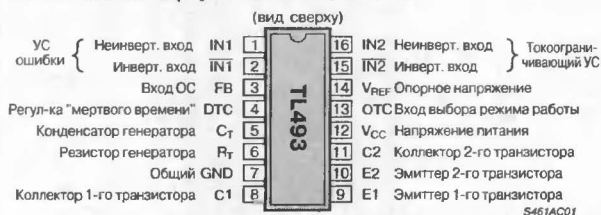


#### ОСОБЕННОСТИ

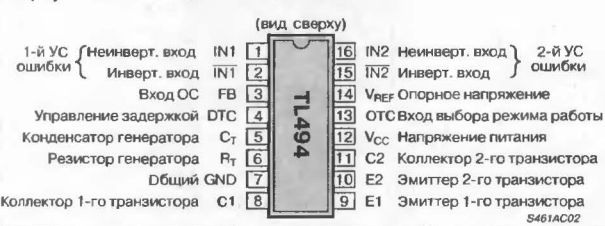
- Полный набор функций ШИМ-управления
- Выходной втекающий или вытекающий ток каждого выхода ..... 200 мА
- Возможна работа в одноктактном или двухтактном режиме
- Встроенная схема подавления сдвоенных импульсов
- Широкий диапазон регулировки
- Выходное опорное напряжение ..... 5 В ± 5%
- Просто организуемая внешняя синхронизация
- Встроенный токоограничивающий усилитель (только для TL493)
- Встроенный стабилитрон на 39 В (только для TL495)
- Дополнительный вывод управления триггером (только для TL495)

#### ЦОКОЛЕВКА КОРПУСОВ

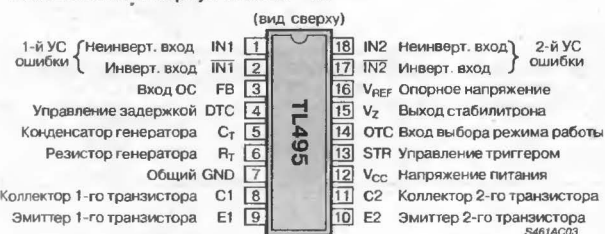
##### Пластмассовый корпус типа DIP-16, SOIC-16



##### Корпус типа: DIP-16, SOIC-16, CERDIP-16



##### Пластмассовый корпус типа DIP-18



#### ОБЩЕЕ ОПИСАНИЕ

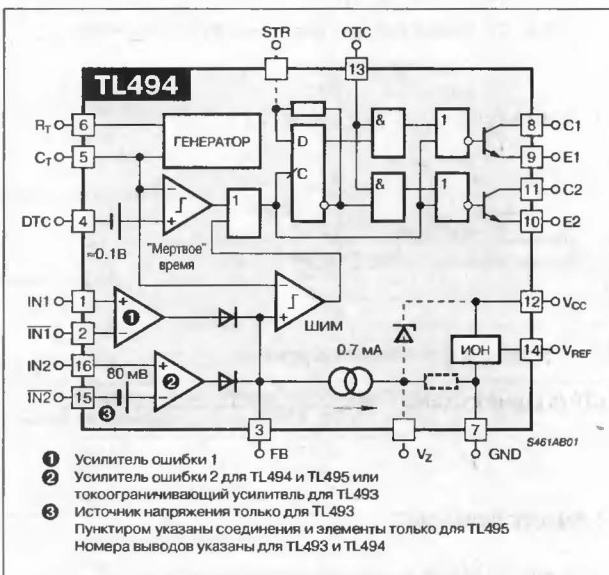
Специально созданные для управления ИВП микросхемы TL493/4/5 обеспечивают разработчику расширенные возможности при конструировании схем управления ИВП. Приборы TL493/4/5 включают в себя усилитель ошибки, встроенный регулируемый генератор, компаратор регулировки "мертвого" времени, триггер управления, прецизионный ИОН на 5 В и схему управления выходным каскадом. Усилитель ошибки выдает синфазное напряжение в диапазоне  $-0.3 \dots (V_{CC} - 2)$  В. Компаратор регулировки "мертвого" времени имеет постоянное смещение, которое ограничивает минимальную длительность "мертвого" времени величиной порядка 5%.

Допускается синхронизация встроенного генератора при помощи подключения вывода R<sub>T</sub> к выводу опорного напряжения и подачи входного пилообразного напряжения на вывод C<sub>T</sub>, что используется при синхронной работе нескольких схем ИВП (См. Рис. 13).

Независимые выходные формирователи на транзисторах обеспечивают возможность работы выходного каскада по схеме с общим эмиттером либо по схеме эмиттерного повторителя. Выходной каскад микросхем TL493/4/5 работает в одноктактном или двухтактном режиме с возможностью выбора режима с помощью специального входа. Встроенная схема контролирует каждый выход и запрещает выдачу сдвоенного импульса в двухтактном режиме.

Приборы, имеющие суффикс I, гарантируют нормальную работу в диапазоне температур  $-25 \dots 85^\circ\text{C}$ , с суффиксом С гарантируют нормальную работу в диапазоне температур 0...70°C.

#### СТРУКТУРНАЯ СХЕМА



ПРЕДЕЛЬНЫЕ ЗНАЧЕНИЯ ПАРАМЕТРОВ И РЕЖИМОВ

Напряжение питания, $V_{CC}$ (Прим. 1)	41 В
Входное напряжение усилителя	$(V_{CC} + 0.3)$ В
Выходное напряжение коллектора	41 В
Выходной ток коллектора	250 мА
Общая мощность рассеивания	
в непрерывном режиме (Прим. 2)	См. таблицу
Рабочий диапазон температур окружающей среды:	
с суффиксом I	-25...+85°C
с суффиксом С	0...+70°C
Диапазон температур хранения	-65...+150°C
Температура вывода на расстоянии 1.6 мм (1/16") от корпуса (пайка 60 с):	
корпус типа Cerdip-16	300°C
корпус типа Dip-16, Dip-18, SOIC-16	260°C

Примечания:

1. Все значения напряжений, за исключением дифференциальных напряжений, измеряются относительно вывода заземления схемы.
2. При работе с температурой окружающей среды выше 25°C, уменьшение

РЕКОМЕНДУЕМЫЕ ЗНАЧЕНИЯ ПАРАМЕТРОВ И РЕЖИМОВ

Напряжение питания, $V_{CC}$	7...40 В
Входное напряжение усилителя	-0.3... $(V_{CC} - 2)$ В
Выходное напряжение коллектора	40 В
Выходной ток коллектора (каждого транзистора)	200 мА
Ток через вывод обратной связи	0.3 мА
Емкость времязадающего конденсатора $C_T$	0.047...10000 нФ
Сопротивление времязадающего резистора $R_T$	1.8...500 кОм
Частота генератора	1...300 кГц

ТИПОНОМИНАЛЫ

Типономинал	$T_A$ [°C]	Корпус	Типономинал	$T_A$ [°C]	Корпус
TL493CD	0...+70	SOIC-16	TL494JO	-25...+85	SOIC-16
TL493CN	0...+70	DIP-16	TL494IJ	-25...+85	CERDIP-16
TL494CD	0...+70	SOIC-16	TL494IN	-25...+85	DIP-16
TL494CJ	0...+70	CERDIP-16	TL495CN	0...+70	DIP-18
TL494CN	0...+70	DIP-16	—	—	—

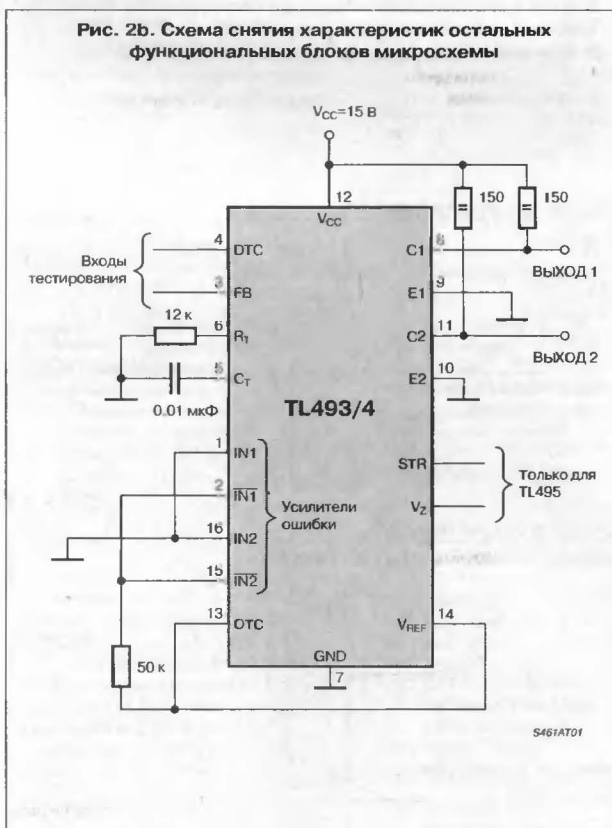
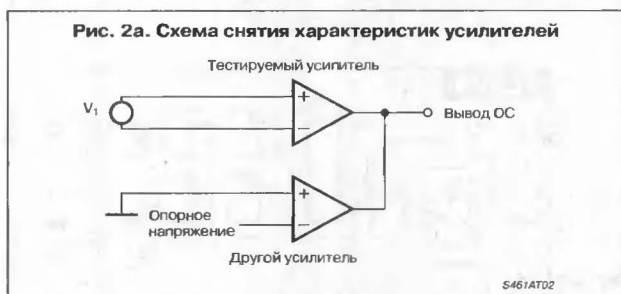
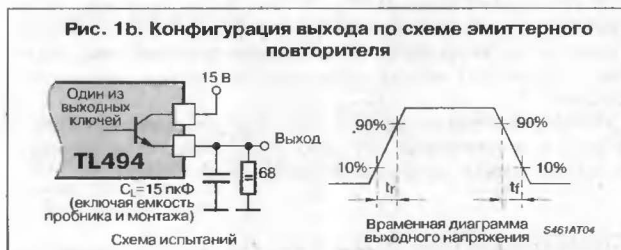


Табл. 1. Мощность, рассеиваемая корпусами

Корпус	Мощность рассеивания при $T_A \leq 25^\circ\text{C}$	Фактор снижения мощности	При превышении температуры	Мощность рассеивания при $T_A \leq 70^\circ\text{C}$	Мощность рассеивания при $T_A \leq 85^\circ\text{C}$
SOIC-16	900 мВ	7.6 мВ/°C	25°C	608 мВ	494 мВ
CERDIP-16	1000 мВ	8.2 мВ/°C	28°C	656 мВ	533 мВ
DIP-16, DIP-18	1000 мВ	9.2 мВ/°C	41°C	736 мВ	598 мВ

## ЭЛЕКТРИЧЕСКИЕ ПАРАМЕТРЫ

При  $V_{CC} = 15 \text{ В}$ ,  $f = 10 \text{ кГц}$ ,  $T_A$  в рекомендованном рабочем диапазоне температур, если не указано иначе

Параметр		Условия	Значение			Единица измерения
			не менее	типичное	не более	
ИСТОЧНИК ОПОРНОГО НАПЯЖЕНИЯ						
Выходное опорное напряжение		$I_O = 1 \text{ мА}$	4.75	5	5.25	В
Нестабильность по напряжению		$V_{CC} = 7...40 \text{ В}$	—	2	25	мВ
Нестабильность по току		$I_O = 1...10 \text{ мА}$	—	1	15	мВ
Температурное изменение выходного напряжения		$T_A(\min) \leq T_A \leq T_A(\max)$	—	0.2	1	%
Выходной ток КЗ		$V_{REF} = 0$	—	35	—	мА
ГЕНЕРАТОР $C_T = 0.01 \text{ мкФ}$ , $R_T = 12 \text{ кОм}$ (См. Рис. 2b)						
Частота		$C_T = 0.01 \text{ мкФ}$ , $R_T = 12 \text{ кОм}$	—	10	—	кГц
Стандартное отклонение частоты		Значения $V_{CC}$ , $C_T$ , $R_T$ и $T_A$ постоянны	—	10	—	%
Изменение частоты в зависимости от напряжения		$V_{CC} = 7...40 \text{ В}$ , $T_A = 25^\circ\text{C}$	—	0.1	—	%
Изменение частоты в зависимости от температуры		$C_T = 0.01 \text{ мкФ}$ , $R_T = 12 \text{ кОм}$ , $T_A(\min) \leq T_A \leq T_A(\max)$	—	—	1	%
УСИЛИТЕЛИ (См. Рис. 2a)						
Входное напряжение смещения нуля	усилитель ошибки	$V_{OPIN3} = 2.5 \text{ В}$	—	2	10	мВ
	токоограничивающий усилитель	$V_{OPIN3} = 2.5 \text{ В}$	—	80	—	мВ
Входной ток смещения нуля		$V_{OPIN3} = 2.5 \text{ В}$	—	25	250	нА
Входной ток смещения		$V_{OPIN3} = 2.5 \text{ В}$	—	0.2	1	мкА
Диапазон изменения входного синфазного напряжения	усилитель ошибки	$V_{CC} = 7...40 \text{ В}$	$-0.3...(V_{CC} - 2)$	—	—	В
	токоограничивающий усилитель	$V_{CC} = 7...40 \text{ В}$	$-0.3...3$	—	—	В
Коэффициент усиления по напряжению (разомкнутый контур ОС)	усилитель ошибки	$\Delta V_O = 3 \text{ В}$ , $R_T = 12 \text{ кОм}$ , $V_O = 0.5...3.5 \text{ В}$	70	95	—	дБ
	токоограничивающий усилитель	$\Delta V_O = 3 \text{ В}$ , $R_T = 12 \text{ кОм}$ , $V_O = 0.5...3.5 \text{ В}$	—	90	—	дБ
Ширина полосы частот с постоянным коэффициентом усиления		$R_T = 12 \text{ кОм}$ , $V_O = 0.5...3.5 \text{ В}$	—	800	—	кГц
Коэффициент подавления синфазного сигнала	усилитель ошибки	$\Delta V_O = 40 \text{ В}$ , $T_A = 25^\circ\text{C}$	65	80	—	дБ
	токоограничивающий усилитель	$\Delta V_O = 40 \text{ В}$ , $T_A = 25^\circ\text{C}$	—	70	—	дБ
Выходной ток стока (вывод [3])		$V_{ID} = -0.015...-5 \text{ В}$ , $V_{PIN3} = 0.7 \text{ В}$	0.3	0.7	—	мА
Выходной ток истока (вывод [3])		$V_{ID} = 0.015...5 \text{ В}$ , $V_{PIN3} = 3.5 \text{ В}$	-2	—	—	мА
ВЫХОДНОЙ КАСКАД						
Ток коллектора в закрытом состоянии		$V_{CE} = 40 \text{ В}$ , $V_{CC} = 40 \text{ В}$	—	2	100	мкА
Ток эмиттера в закрытом состоянии		$V_E = 0 \text{ В}$ , $V_{CC} = V_C = 40 \text{ В}$	—	—	-100	мкА
Напряжение насыщения коллектор-эмиттер	с общим эмиттером	$V_E = 0 \text{ В}$ , $I_C = 200 \text{ мА}$	—	1.1	1.3	В
	эмиттерный повторитель	$V_C = 15 \text{ В}$ , $I_E = -200 \text{ мА}$	—	1.5	2.5	В
Входной ток вывода управления выходом (вывод [13])		$V_I = V_{REF}$	—	—	3.5	мА
СХЕМА РЕГУЛИРОВКИ "МЕРТВОГО" ВРЕМЕНИ (См. Рис. 2b)						
Входной ток смещения (вывод [4])		$V_I = 0...5.25 \text{ В}$	—	-2	-10	мкА
Максимальный рабочий цикл для каждого выхода		$V_{IPIN4} = 0 \text{ В}$ , $C_T = 0.1 \text{ мкФ}$ , $R_T = 12 \text{ кОм}$	—	45	—	%
Входное пороговое напряжение (вывод [4])		$D_C = 0$	—	3	3.3	В
		$D_C = \max$	0	—	—	В
ШИМ КОМПАРАТОР (См. Рис. 2b)						
Входное пороговое напряжение (вывод [3])		$D_C = 0$	—	4	4.5	В
Втекающий ток по выводу [3]		$V_{PIN3} = 0.7 \text{ В}$	0.3	0.7	—	мА
ВЫВОД УПРАВЛЕНИЯ ТРИГГЕРОМ (ТОЛЬКО ДЛЯ T495)						
Входной ток вывода управления триггером		$V_I = 0.4 \text{ В}$	—	—	-200	мкА
		$V_I = 2.4 \text{ В}$	—	—	200	мкА
СТАБИЛИТРОН (ТОЛЬКО ДЛЯ T495)						
напряжение пробоя		$V_{CC} = 41 \text{ В}$ , $I_Z = 2 \text{ мА}$	—	39	—	В
Втекающий ток по выводу [15]		$V_{IPIN15} = 1 \text{ В}$	—	0.3	—	мА
МИКРОСХЕМА В ЦЕЛОМ						
Ток потребления в дежурном режиме		$V_{PIN6} = V_{REF}$ , $V_{CC} = 15 \text{ В}$ , остальные выводы свободны	—	6	10	мА
		$V_{PIN6} = V_{REF}$ , $V_{CC} = 40 \text{ В}$ , остальные выводы свободны	—	9	15	мА
Средний ток потребления		$V_{IPIN4} = 2 \text{ В}$	—	7.5	—	мА
Время нарастания выходного напряжения		конфигурация с общим эмиттером, см. Рис. 1a	—	100	200	нс
Время спада выходного напряжения			—	25	100	нс
Время нарастания выходного напряжения		конфигурация эмиттерного повторителя, см. Рис. 1b	—	100	200	нс
Время спада выходного напряжения			—	40	100	нс

ТИПОВЫЕ РАБОЧИЕ ХАРАКТЕРИСТИКИ

Рис. 3. Зависимость частоты генератора от сопротивления времязадающего резистора

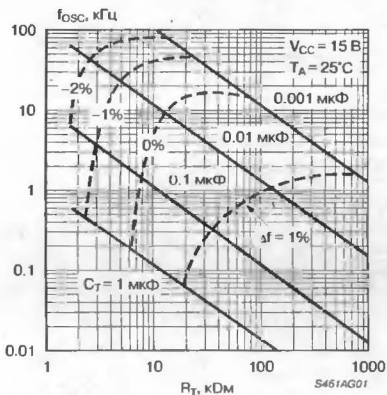


Рис. 4. Зависимость коэффициента усиления по напряжению от частоты

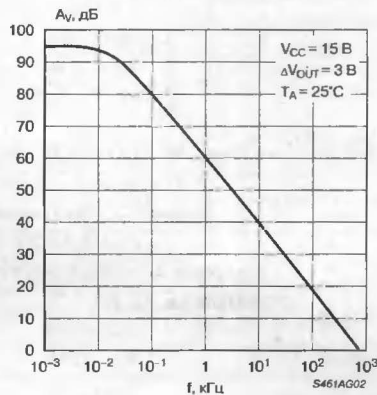


Рис. 5. Схема "мягкого" запуска

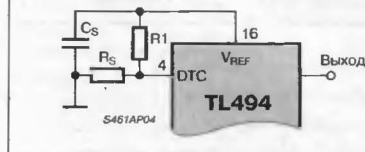
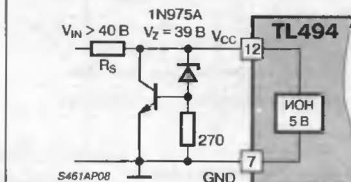


Рис. 6. Схема для работы с V\_IN > 40 В



ФУНКЦИОНАЛЬНОЕ ОПИСАНИЕ

Микросхема TL494 представляет из себя ШИМ-контролер импульсного источника питания, работающий на фиксированной частоте, и включает в себя все необходимые для этого блоки. Встроенный генератор пилообразного напряжения требует для установки частоты только двух внешних компонентов  $R_T$  и  $C_T$ . Частота генератора определяется по формуле:

$$f_{osc} = \frac{1.1}{R_T C_T}$$

Модуляция ширины выходных импульсов достигается сравнением положительного пилообразного напряжения, получаемого на конденсаторе  $C_T$ , с двумя управляющими сигналами (См. Рис. 11). Логический элемент ИЛИ-НЕ возбуждает выходные транзисторы Q1 и Q2 только тогда, когда линия тактирования встроенного триггера находится в НИЗКОМ логическом состоянии. Это происходит только в течение того времени, когда амплитуда пилообразного напряжения выше амплитуды управляющих сигналов. Следовательно повышение амплитуды управляющих сигналов вызывает

соответствующее линейное уменьшение ширины выходных импульсов. Под управляющими сигналами понимаются напряжения производимые схемой регулировки "мертвого" времени (вывод [4]), усилителем ошибки (выводы [1], [2], [15], [16]) и цепью обратной связи (вывод [3]) (См. Рис. 7...9). Вход компаратора регулировки "мертвого" времени имеет смещение 120 мВ, что ограничивает минимальное "мертвое" время на выходе первыми 4% длительности цикла пилообразного напряжения. В результате максимальная длительность рабочего цикла составляет 96% в том случае, если вывод [13] заземлен, и 48% в том случае, если на вывод [13] подано опорное напряжение. Увеличить длительность "мертвого" времени на выходе можно, подавая на вход регулировки "мертвого" времени (вывод [4]) постоянное напряжение в диапазоне 0...3.3 В (См. Рис. 5). ШИМ-компаратор регулирует ширину выходных импульсов от максимального значения, определяемого входом регулировки "мертвого" времени, до нуля, когда напряжение обратной связи изменяется от 0.5 до 3.5 В. Оба усилителя ошибки имеют входной диапазон синфазного сигнала от -0.3 до  $(V_{CC} - 2.0)$  В и могут ис-

Рис. 7. Обратная связь при отрицательном выходном напряжении



Рис. 9. Схема регулировки "мертвого" времени

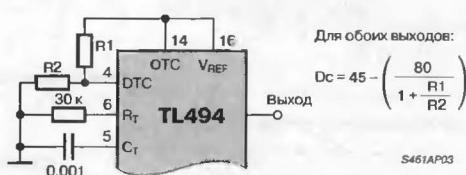


Рис. 8. Обратная связь при положительном выходном напряжении

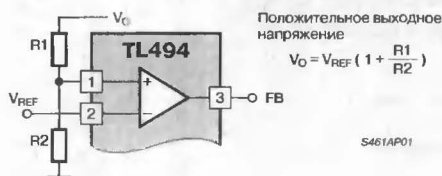


Рис. 10. Схема однотактного выходного каскада

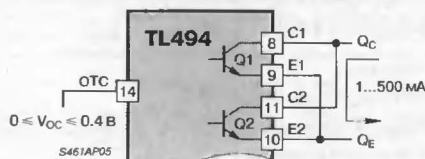
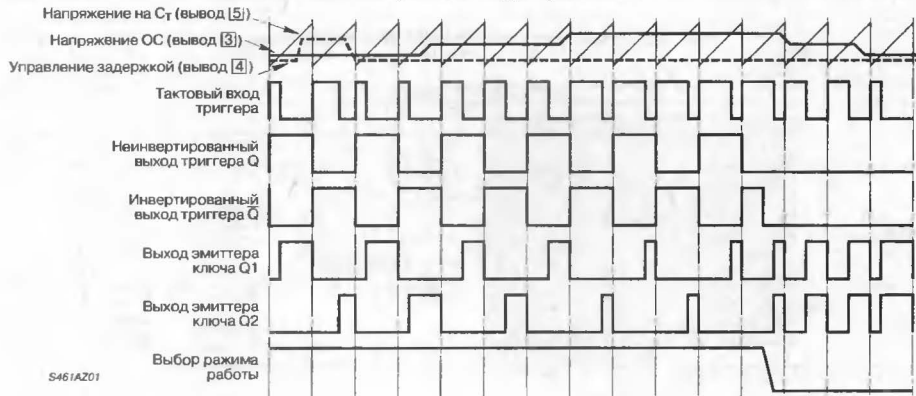


Рис. 11. Временные диаграммы



пользоваться для считывания значений напряжения или тока с выхода источника питания (См. **Рис. 7, В**). Выходы усилителей ошибки имеют активный ВЫСОКИЙ уровень напряжения и объединены функцией ИЛИ на неинвертирующем входе ШИМ-компаратора. В такой конфигурации усилитель, требующий минимального времени для включения выхода, является доминирующим в петле управления. Во время разряда конденсатора  $C_T$  на выходе компаратора регулировки "мертвого" времени генерируется положительный импульс, который тактирует триггер и блокирует выходные транзисторы Q1 и Q2. Если на вход выбора режима работы подается опорное напряжение (вывод **13**), триггер непосредственно управляет двумя выходными транзисторами в противофазе (двухтактный режим), а выходная частота равна половине частоты генератора (См. **Рис. 12**). Выходной формирователь может также работать в одноктактном режиме, когда оба транзистора открываются и закрываются одновременно, и когда требуется максимальный рабочий цикл, не превышающий 50% (См. **Рис. 10**). Это желательно, когда трансформатор имеет "звенящую" обмотку с ограничительным диодом, используемым для подавления переход-

ных процессов. Если в одноктактном режиме требуются большие токи, выходные транзисторы могут работать параллельно. Для этого требуется замкнуть на землю вход выбора режима работы ОТС, что блокирует выходной сигнал от триггера. Выходная частота в этом случае будет равна частоте генератора.

Микросхема TL494 имеет встроенный источник опорного напряжения на 5,0 В, способный обеспечить вытекающий ток до 10 мА для смещения внешних компонентов схемы. Опорное напряжение имеет погрешность  $\pm 5\%$  в диапазоне рабочих температур от 0 до 70°C.

Табл. 2. Управление режимом выходного каскада

Напряжение на входе		Режим выходного каскада
ОТС	STR (только для TL495)	
0	свободный	Одноктактный режим работы
$V_{REF}$	свободный	Нормальный двухтактный режим работы
$V_{REF}$	0	ШИМ на выходе Q1
$V_{REF}$	$V_{REF}$	ШИМ на выходе Q2

Рис. 12. Схема двухтактного выходного каскада

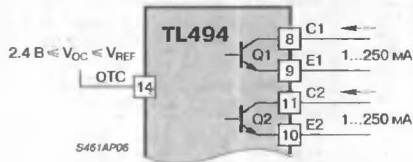
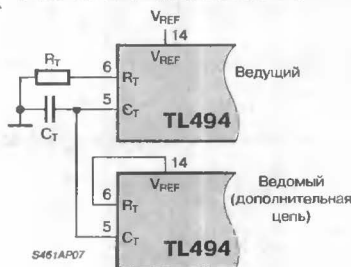
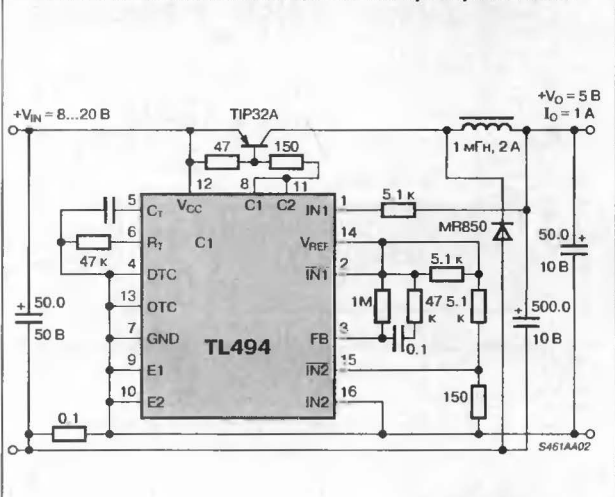


Рис. 13. Схема синхронизации



ТИПОВЫЕ СХЕМЫ ВКЛЮЧЕНИЯ

Рис. 14. Схема понижающего ШИМ-преобразователя







# ВЫСОКОЧАСТОТНЫЙ ШИМ-КОНТРОЛЛЕР 1156ЕУ2

Аналог  
UC3825



Товарные знаки  
фирм изготовителей



## ОСОБЕННОСТИ

- Частота переключения ..... до 1 МГц
- Задержка прохождения сигнала ..... 50 нс
- Выходной ток (каждого выхода) ..... до 1.5 А (p-p)
- Опорное напряжение ..... 5.1 В ±1%
- Мощность рассеивания:
  - для К1156ЕУ2 ( $T_A = 60^\circ\text{C}$ ) ..... 1 Вт
  - для КР1156ЕУ2 ( $T_A = 25^\circ\text{C}$ ) ..... 1 Вт
- Диапазон рабочих температур:
  - для К1156ЕУ2 ..... -60...+125 $^\circ\text{C}$
  - для КР1156ЕУ2 ..... -10...+85 $^\circ\text{C}$
- Температура кристалла ..... 150 $^\circ\text{C}$

## ОБЩЕЕ ОПИСАНИЕ

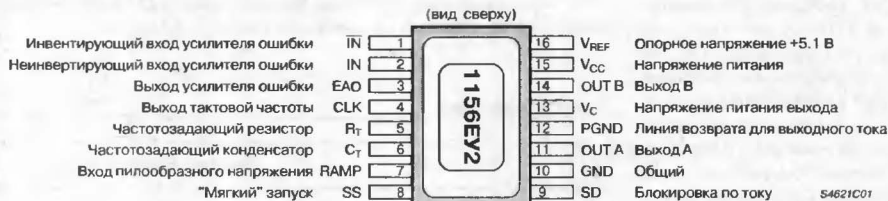
Микросхема 1156ЕУ2 представляет из себя высокочастотный ШИМ-контроллер, оптимизированный для построения двухтактных высокочастотных импульсных источников питания. При проектировании прибора особое внимание уделялось получению минимальной задержки прохождения сигнала через внутреннюю логику и компараторы при максимальных значениях полос пропускания и скорости нарастания выходного сигнала усилителя ошибки. Полумостовые выходные каскады могут работать на емкостную нагрузку, например, затворы мощных полевых транзисторов, и коммутируют как втекающий, так и вытекающий ток.

## ТИПОНОМИНАЛЫ

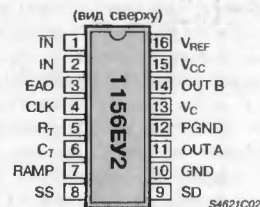
Типономинал	Корпус
K1156EY2 (C-73)	4112.16-3
KP1156EY2 (C-48)	2103.16-1

## ЦОКОЛЕВКА КОРПУСОВ

Металлокерамический корпус типа 4121.16-3



Пластмассовый корпус типа 2103.16-1



## СТРУКТУРНАЯ СХЕМА

Не имеет отличий от структурной схемы UC3825, См. стр. 240.

## СХЕМА ВКЛЮЧЕНИЯ

Не имеет отличий от схемы включения UC3825, См. стр. 246.

### ОСОБЕННОСТИ

- Работает с обратной связью как по напряжению, так и по току
- Рабочая частота переключений ..... до 1.0 МГц
- Задержка распространения сигналов по всему тракту ..... 50 нс
- Ток квазикомплементарного выходного каскада ..... до 1.5 А
- Попоса усилителя сигнала ошибки ..... 5.5 МГц
- ШИМ-фиксатор со средствами подавления сдвоенных импульсов
- Отслеживание токового ограничения в каждом импульсе
- Специальный вывод "мягкого" запуска
- Ограничение максимальной величины рабочего цикла
- Схема блокировки при недопустимо низком входном напряжении
- Малый пусковой ток ..... 1.1 мА
- Подстроенный источник опорного напряжения ..... 5.1 В±1%

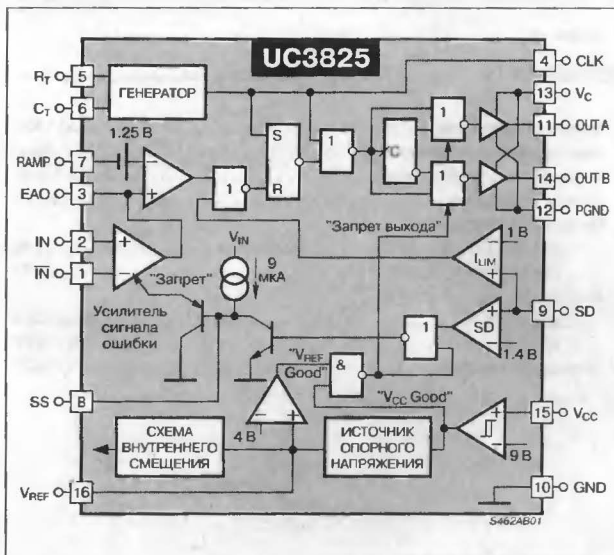
### ОБЩЕЕ ОПИСАНИЕ

Микросхема ШИМ-контроллера UC3825 разработана специально для двухтактных импульсных ИВП с высокой частотой переключения. Особое внимание при этом уделялось сокращению задержки распространения сигналов через компараторы и логические схемы и, вместе с этим, расширению полосы частот усилителя сигнала ошибки и повышению крутизны фронтов его сигналов. Контроллер предназначен для систем, работающих с обратной связью по току или по напряжению с возможностью отслеживания возмущающих воздействий входного напряжения.

Схема защиты включает в себя компаратор токового ограничителя с пороговым напряжением, равным 1 В, ТТЛ-совместимый порт отключения (вывод [9]) и вход "мягкого" запуска (вывод [8]), который также позволяет обеспечивать фиксацию максимального значения рабочего цикла. Логическая схема включает в себя ШИМ-фиксатор для предотвращения неустойчивой синхронизации и дрожания импульсов, а также для исключения вероятности появления на выходе сдвоенных импульсов или импульсных пакетов. Схема блокировки микросхемы при недопустимо низком входном напряжении имеет гистерезис, равный 800 мВ, что обеспечивает низкий пусковой ток. В случае блокировки микросхемы при понижении входного напряжения выход переключается в высокоимпедансное состояние.

Микросхема ШИМ-контроллера UC3825 имеет два квазикомплементарных выходных каскада, рассчитанных на значительные

### СТРУКТУРНАЯ СХЕМА



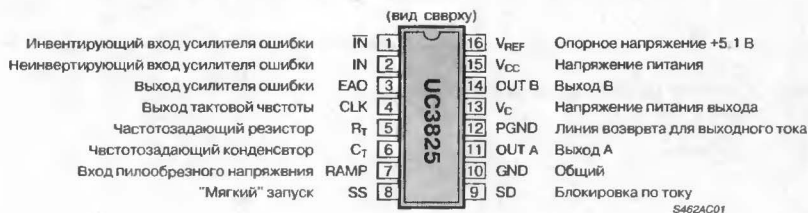
броски тока (как втекающего, так и вытекающего) при работе на емкостную нагрузку, например такую, как мощный полевой транзистор с изолированным затвором. Включенному состоянию выходов соответствует высокий логический уровень напряжения.

### ТИПОНОМИНАЛЫ

Типономинал	Температурный диапазон, °C
UC3825	0...+70
UC2825	-25...+85
UC1825	-55...+125

### ЦОКОЛЕВКА КОРПУСОВ

Пластмассовый корпус типа DIP-16 (суффикс N), керамический корпус типа Cerdip-16 (суффикс J)



# МАКСИМАЛЬНЫЕ ЗНАЧЕНИЯ ПАРАМЕТРОВ И РЕЖИМОВ

Напряжение питания (выводы [15], [13])	30 В
Выходной ток, вытекающий и втекающий (выводы [11], [14]):	
постоянный ток	0.5 А
импульс (длительность 0.5 мкс)	2.0 А
Аналоговые входы (выводы [1], [2], [7], [8], [9])	-0.3...6 В
Выходной ток тактирования (вывод [4])	-5 мА
Выходной ток усилителя сигнала ошибки (вывод [3])	5 мА
Втекающий ток схемы "мягкого" запуска (вывод [8])	20 мА
Зарядный ток генератора (вывод [5])	-5 мА
Мощность рассеивания при $T_A = 60^\circ\text{C}$	1 Вт
Диапазон температур хранения	-65...+150°C
Температура вывода (пайка 10 с)	300°C

## Примечания:

Все значения напряжений приведены относительно потенциалов заземления, вывод [10].  
Втекающие через вывод токи положительны.

## ЭЛЕКТРИЧЕСКИЕ ХАРАКТЕРИСТИКИ

При  $R_T = 3.65\text{ кОм}$ ;  $C_T = 1\text{ нФ}$ ;  $V_{CC} = 15\text{ В}$ ;  $T_A = 0...+70^\circ\text{C}$  для UC3825;  $T_A = -25...+85^\circ\text{C}$  для UC2825;  $T_A = -55...+125^\circ\text{C}$  для UC1825;  $T_A = T_J$ , если не указано иначе

Параметр	Условия	Значение						Единица измерения
		UC1825/2825			UC3825			
		не менее	типичное	не более	не менее	типичное	не более	
ИСТОЧНИК ОПОРНОГО НАПЯЖЕНИЯ								
Выходное напряжение	$T_J = +25^{\circ}\text{C}$ , $I_O = 1\text{ мА}$	5.05	5.10	5.15	5.00	5.10	5.20	В
Нестабильность по напряжению	$10 < V_{CC} < 30\text{ В}$	—	2	20	—	2	20	мВ
Нестабильность по току нагрузки	$1 < I_O < 10\text{ мА}$	—	5	20	—	5	20	мВ
Температурная нестабильность	$T(\min) < T_A < T(\max)$	—	0.2	0.4	—	0.2	0.4	мВ/°C
Суммарное отклонение выходного напряжения	С учетом отклонений входного напряжения, тока нагрузки и температуры	5.00	—	5.20	4.95	—	5.25	В
Выходное напряжение шумов	$0.01 < f < 10\text{ кГц}$	—	50	—	—	50	—	мкВ
Долговременная стабильность	$T_J = +125^{\circ}\text{C}$ , за 1000 ч	—	5	25	—	5	25	мВ
Ток КЗ	$V_{REF} = 0\text{ В}$	-15	-50	-100	-15	-50	-100	мА
ГЕНЕРАТОР								
Исходная точность	$T_J = +25^{\circ}\text{C}$	360	400	440	360	400	440	кГц
Стабильность напряжения	$10 < V_{CC} < 30\text{ В}$	—	0.2	2	—	0.2	2	%
Температурная нестабильность	$T(\min) < T_A < T(\max)$	—	5	—	—	5	—	%
Суммарное отклонение частоты	С учетом отклонений входного напряжения и температуры	340	—	460	340	—	360	кГц
ВЫСОКИЙ логический уровень на выходе тактового сигнала		3.9	4.5	—	3.9	4.5	—	В
НИЗКИЙ логический уровень на выходе тактового сигнала		—	2.3	2.9	—	2.3	2.9	В
Максимальный уровень пилообразного напряжения		2.6	2.8	3.0	2.6	2.8	3.0	В
Минимальный уровень пилообразного напряжения		0.7	1.0	1.25	0.7	1.0	1.25	В
Размах пилообразного напряжения		1.6	1.8	2.0	1.6	1.8	2.0	В
УСИЛИТЕЛЬ СИГНАЛА ОШИБКИ								
Входное напряжение смещения нуля		—	—	10	—	—	15	мВ
Входной ток		—	0.6	3	—	0.6	3	мкА
Разность входных токов		—	0.1	1	—	0.1	1	мкА
Коэффициент усиления при разомкнутом контуре ОС	$1 < V_O < 4\text{ В}$	60	95	—	60	95	—	дБ
Коэффициент ослабления синфазного сигнала (CMRR)	$1.5 < V_{CM} < 5.5\text{ В}$	75	95	—	75	95	—	дБ
Коэффициент ослабления пульсаций напряжения (PSRR)	$10 < V_{CC} < 30\text{ В}$	85	110	—	85	110	—	дБ
Втекающий выходной ток	$V_{PIN3} = 1\text{ В}$	1	2.5	—	1	2.5	—	мА
Вытекающий выходной ток	$V_{PIN3} = 4\text{ В}$	-0.5	-1.3	—	-0.5	-1.3	—	мА
ВЫСОКИЙ логический уровень напряжения $V_{OUT}$	$I_{PIN3} = -0.5\text{ мА}$	4.0	4.7	5.0	4.0	4.7	5.0	В

ЭЛЕКТРИЧЕСКИЕ ПАРАМЕТРЫ (Продолжение)

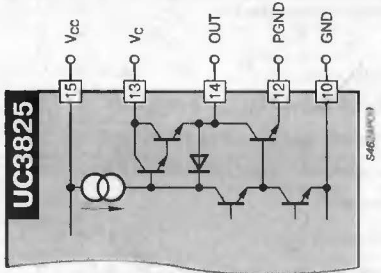
Параметр	Условия	Значение						Единица измерения
		UC1823/2823			UC3823			
		не менее	типо-вое	не более	не менее	типо-вое	не более	
НИЗКИЙ логический уровень напряжения $V_{OUT}$	$I_{PIN3} = 1\text{ мА}$	0	0.5	1.0	0	0.5	1.0	В
Частота единичного усиления		3	5.5	—	3	5.5	—	МГц
Максимальная скорость нарастания выходного напряжения		6	12	—	6	12	—	В/мкс
ШИМ-КОМПАРАТОР								
Входной ток (вывод [7])	$V_{PIN7} = 0\text{ В}$	—	−1	−5	—	−1	−5	мкА
Диапазон изменения рабочего цикла		0	—	80	0	—	85	%
Пороговый уровень нуля по постоянному току (вывод [3])	$V_{PIN7} = 0\text{ В}$	1.1	1.25	—	1.1	1.25	—	В
Задержка выходного сигнала		—	50	80	—	50	80	нс
БЛОК "МЯГКОГО" ЗАПУСКА								
Ток заряда	$V_{PIN8} = 0.5\text{ В}$	3	9	20	3	9	20	мкА
Ток разряда	$V_{PIN8} = 1\text{ В}$	1	—	—	1	—	—	мА
БЛОК ТОКОВОГО ОГРАНИЧЕНИЯ И ОТКЛЮЧЕНИЯ								
Входной ток (вывод [9])	$0 < V_{PIN9} < 4\text{ В}$	—	—	±10	—	—	±10	мкА
Напряжение смещения для токового ограничителя	$V_{PIN11} = 1.1\text{ В}$	—	—	15	—	—	15	мВ
Диапазон синфазных напряжений для токового ограничителя ( $V_{PIN11}$ )		1.0	—	1.25	1.0	—	1.25	В
Пороговый уровень напряжения отключения		1.25	1.40	1.55	1.25	1.40	1.55	В
Задержка выходного сигнала		—	50	80	—	50	80	нс
ВЫХОДНОЙ КАСКАД								
НИЗКИЙ логический уровень выходного напряжения	$I_{OUT} = 20\text{ мА}$	—	0.25	0.40	—	0.25	0.40	В
	$I_{OUT} = 200\text{ мА}$	—	1.2	2.2	—	1.2	2.2	В
ВЫСОКИЙ логический уровень выходного напряжения	$I_{OUT} = -20\text{ мА}$	13.0	13.5	—	13.0	13.5	—	В
	$I_{OUT} = -200\text{ мА}$	12.0	13.0	—	12.0	13.0	—	В
Ток утечки коллектора	$V_C = 30\text{ В}$	—	100	500	—	100	500	мкА
Время нарастания/спада	$C_L = 1\text{ нФ}$	—	30	60	—	30	60	нс
БЛОК ЗАЩИТЫ ПРИ ПОНИЖЕНИИ НАПРЯЖЕНИЯ СЕТИ								
Пороговый уровень запуска		8.8	9.2	9.6	8.8	9.2	9.6	В
Гистерезис схемы отключения при понижении входного напряжения		0.4	0.8	1.2	0.4	0.8	1.2	В
ТОК ОТ ИСТОЧНИКА ПИТАНИЯ								
Пусковой ток	$V_{CC} = 8\text{ В}$	—	1.1	2.5	—	1.1	2.5	мА
Рабочий ток потребления $I_{CC}$	$V_{PIN1} = V_{PIN7} = V_{PIN9} = 0\text{ В}, V_{PIN2} = 1\text{ В}$	—	22	33	—	22	33	мА

ФУНКЦИОНАЛЬНОЕ ОПИСАНИЕ

ВЫХОДНОЙ КАСКАД

Выходной каскад рассчитан на управление мощным полевым транзистором, имеющим входную емкость до 1000 пФ, и допускает его коммутацию с частотой до 1 МГц (См. Рис. 1). Отдельные выводы мощного питания  $V_C$  и мощной земли PGND позволяют развязать по питанию мощный выходной каскад, являющийся источником помех, от остальной части схемы.

Рис. 1. Упрощенная схема выходного каскада





ТИПОВЫЕ ХАРАКТЕРИСТИКИ

Рис. 2. Диаграмма Бode усилителя сигнала ошибки

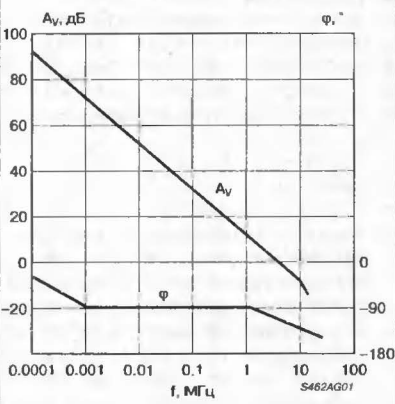


Рис. 3. Скорость нарастания сигнала усилителя ошибки

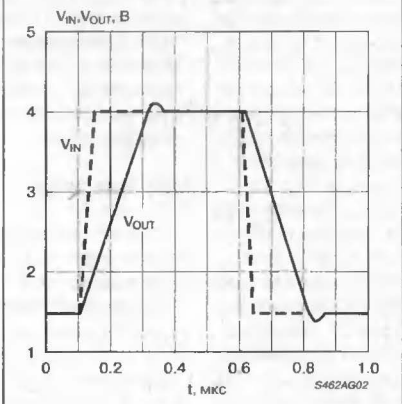


Рис. 4. Зависимость "мертвого" времени от емкости конденсатора CT

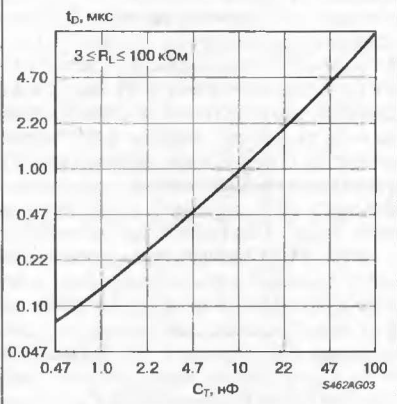


Рис. 5. Зависимость частоты от сопротивления RT при заданных значениях CT

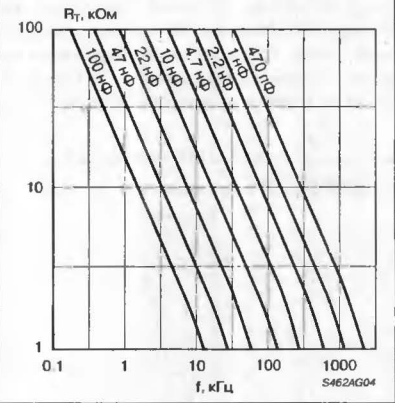


Рис. 6. Зависимость "мертвого" времени от частоты

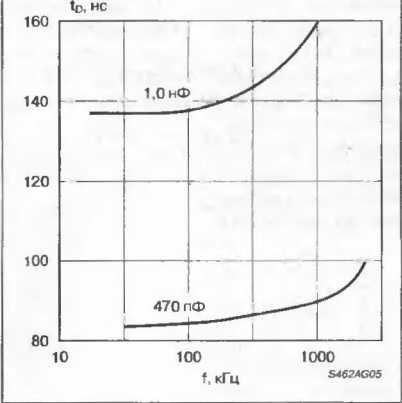


Рис. 7. Зависимость напряжения насыщения от выходного тока

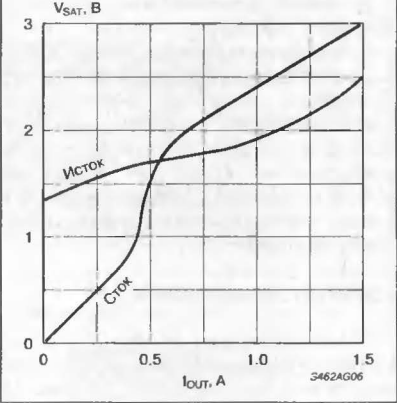


Рис. 8. Форма выходного сигнала при CL = 1 нФ

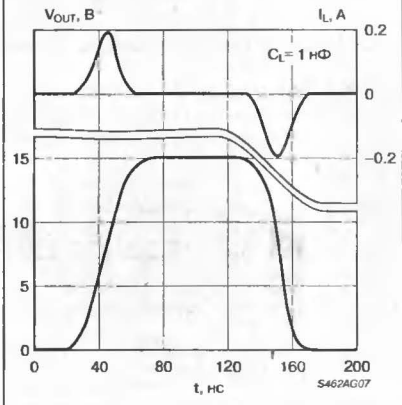
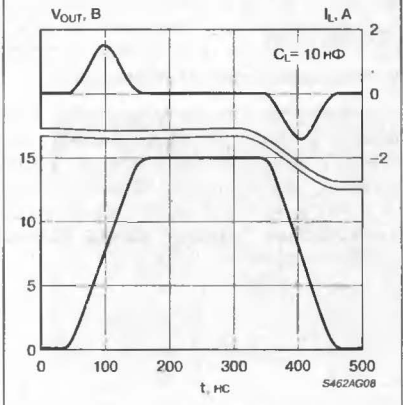


Рис. 9. Форма выходного сигнала при CL = 10 нФ





ШИМ-защелку, что переводит выход в состояние ВЫКЛЮЧЕНО до окончания текущего цикла. При использовании нескольких внешних компонентов и сигнала с выходов (выводы [11], [14]) вход токоограничивающего компаратора (вывод [9]) позволяет вырабатывать выходные импульсы с постоянным произведением вольт-секунда при изменениях входного напряжения (См. Рис. 14). Импульсы с постоянным произведением вольт-секунда используются в схемах с обратной связью по току для предотвращения насыщения сердечника во время переходных процессов в нагрузке. Когда любой из выходов находится в состоянии ВКЛЮЧЕНО, (Высокий уровень напряжения) конденсатор  $C_R$  заряжается от напряжения  $V_{IN}$  через резистор  $R_R$ . При нормальной работе схемы выход переходит в состояние ВЫКЛЮЧЕНО и вызывает разряд конденсатора до того, как напряжение на конденсаторе достигнет величины 1 В. Если же напряжение на конденсаторе попытается превысить величину 1 В, токоограничивающий компаратор тут же переведет выход в состояние ВЫКЛЮЧЕНО. Так как скорость заряда конденсатора пропорциональна напряжению  $V_{IN}$  (предполагается, что  $V_{IN}$  много больше чем 1 В), достигается постоянное значение произведения вольт-секунда, равное  $R_R C_R \times 1 \text{ В}$ .

### ОГРАНИЧЕНИЕ ТОКА

Ограничение максимального тока в схеме с обратной связью по току может быть достигнуто несколькими способами. Один из них заключается в подаче напряжения определенной величины на вывод [8]. Это ограничивает сверху выход усилителя ошибки и, соответственно, порог переключения ШИМ-компаратора. Другой метод предусматривает приложение промасштабированного сигнала с датчика тока к выводу [9]. Пороговое напряжение на этом выводе равно 1 В.

Рис. 13. Упрощенная схема усилителя сигнала ошибки

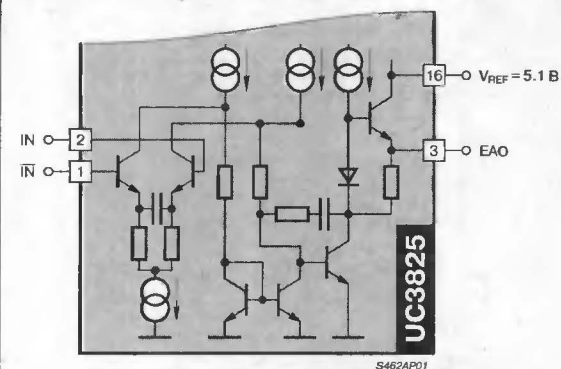
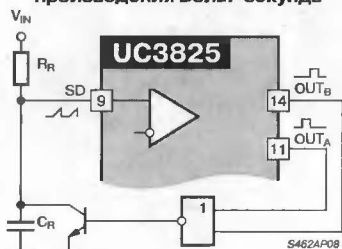


Рис. 14. Схема поддержания постоянного значения произведения Вольт-секунда



### ПРИМЕР РАСЧЕТА

Скорость нарастания напряжения при "мягком" запуске:

$$\frac{dv}{dt} = \frac{9 \text{ мкА}}{C_{SS}} \text{ при } R1 = R2.$$

Постоянная времени "мягкого" запуска:

$$T = \frac{C_{SS} \times R1 \times R2}{R1 + R2}.$$

Все расчеты параметров рабочего цикла относятся к схеме с обратной связью по напряжению ( $V_{PIN7} = V_{PIN6}$ ).

Для  $V_{PIN3} < 2.25 \text{ В}$  рабочий цикл равен:

$$Dc = 0\%.$$

Для  $2.25 < V_{PIN3} < 4.05 \text{ В}$  рабочий цикл равен:

$$Dc = \frac{100\%}{1.8 \text{ В}} \times (V_{PIN8} - 2.25 \text{ В}).$$

Для  $V_{PIN3} > 4.05 \text{ В}$  рабочий цикл равен:

$$Dc = 100\%.$$

Так как ( $V_{PIN3} (\text{max}) = V_{PIN8}$ ), следовательно:

$$Dc (\text{max}) = \frac{100\%}{1.8 \text{ В}} \times (V_{PIN8} - 2.25 \text{ В}).$$

Рис. 15. Организация обратной связи по напряжению

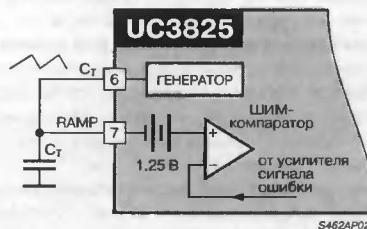
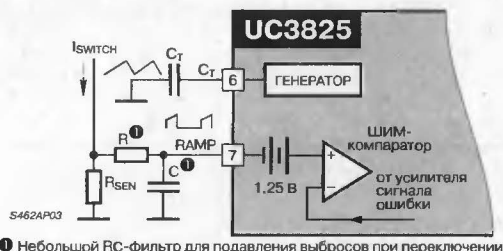
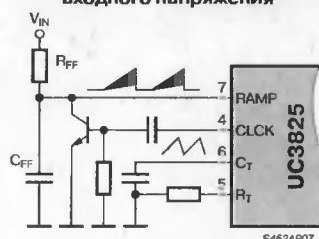


Рис. 16. Организация обратной связи по току



① Небольшой RC-фильтр для подавления выбросов при переключении

Рис. 17. Организация обратной связи с возможностью отслеживания возмущающих воздействий входного напряжения



Если, например, желательно получить значение рабочего цикла равное 75%, то:

$$V_{PINB} = \frac{75\%}{100\%} \times 1.8 \text{ В} + 2.25 \text{ В} = 3.6 \text{ В}.$$

Примем величину  $R2 = 10 \text{ кОм}$ , тогда:

$$R1 = \frac{V_{REF} - V_{PINB}}{\frac{V_{PINB}}{R2} - I_{SS}} = \frac{5.1 \text{ В} - 3.6 \text{ В}}{\frac{3.6 \text{ В}}{10 \text{ кОм}} - 9 \text{ мкА}} = 4.27 \text{ кОм}.$$

Если выбрать значение  $R1 = 4.3 \text{ кОм}$ , то:

$$V_{PINB} = \frac{(9 \text{ мкА} \times 4.3 \text{ кОм} + 5.1 \text{ В}) \times 10 \text{ кОм}}{14.3 \text{ кОм}} = 3.593 \text{ В},$$

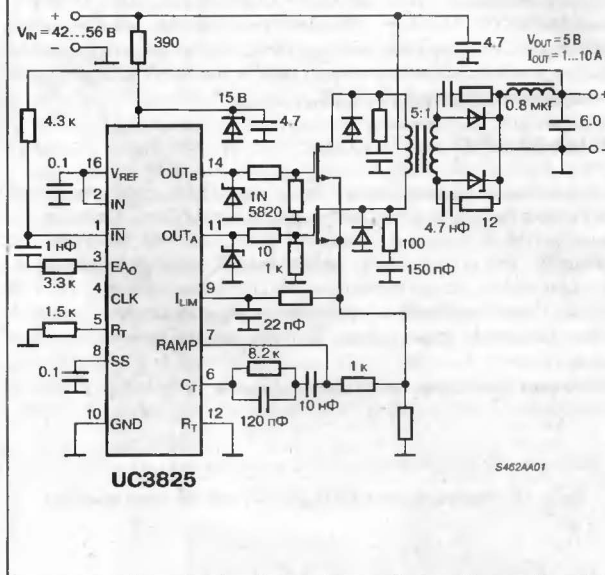
$$Dc(max) = \frac{100\%}{1.8 \text{ В}} \times (3.593 \text{ В} - 2.25 \text{ В}) = 74.6\%.$$

## РЕКОМЕНДАЦИИ ПО РАЗВОДКЕ И МОНТАЖУ ПЕЧАТНОЙ ПЛАТЫ

Обеспечение высокого быстродействия работы схемы требует повышенного внимания к топологии разводки монтажных соединений на печатной плате и к рациональному размещению на ней дискретных компонентов. Гарантированное обеспечение характеристик UC3823 возможно только при выполнении следующих правил монтажа печатной платы.

1. Использование одной стороны печатной платы в качестве заземления.
2. Сглаживание (или восстановление среднего уровня после) броска отрицательного напряжения, вызванного действием запаса энергии паразитной индуктивности затвора МОП-транзистора схемы оконечного каскада (схемы формирователя); обратить особое внимание на то, чтобы не допускать образования паразитных контуров от выходных выводов через заземление. Для этой цели рекомендуется использование последовательно соединенного с затвором резистора и шунтирующего диода Шоттки на 1 А.
3. Шунтирование выводов  $V_{CC}$ ,  $V_C$  и  $V_{REF}$ . Для этой цели рекомендуется применение керамических конденсаторов емкостью 0.1 мкФ с малым значением эквивалентной последовательной индуктивности. Допустимая суммарная длина выводов каждого конденсатора от шунтируемого вывода до поверхности заземления — не более 1 см.
4. Тип и особенности монтажа задающего конденсатора  $C_T$  определяются приведенными выше требованиями к шунтирующим конденсаторам.

Рис. 18. Схема DC/DC-преобразователя мощностью 100 Вт



# ФАЗОСДВИГАЮЩИЙ РЕЗОНАНСНЫЙ КОНТРОЛЛЕР ИВП 1156ЕУ4

Аналог  
UC3875



Товарные знаки  
фирм изготовителей



## ОСОБЕННОСТИ

- Выходной ток (каждого выхода) ..... до 2 А
- Четыре квазикомплементарных выходных каскада
- Реальная частота переключения ..... до 1 МГц
- Полоса пропускания усилителя ошибки ..... 10 МГц

## ТИПОНОМИНАЛЫ

KP1156EY4

## СТРУКТУРНАЯ СХЕМА

Не имеет отличий от структурной схемы UC3875, См. стр. 249.

## ОБЩЕЕ ОПИСАНИЕ

Микросхема фазосдвигающего резонансного контроллера 1156EY4 осуществляет управление мощным мостовым каскадом с помощью сдвига по фазе момента переключения одной половины моста относительно другой, используя ШИМ совместно с резонансными методами и переключением при нулевом напряжении для повышения эффективности ИВП на высоких частотах.

## СХЕМА ВКЛЮЧЕНИЯ

Не имеет отличий от схемы включения UC3875, См. стр. 261.

## ЦОКОЛЕВКА КОРПУСОВ

Пластмассовый корпус типа 2140Ю.20-1

(вид, сверху)

Выход источника опорного напряжения	V <sub>REF</sub>	1	20	GND	Сигнальная земля
Выход усилителя ошибки	CMP	2	19	RMP	Вход пилообразного напряжения
Инвертир. вход УС ошибки	EA	3	18	SLP	Установка/компенсация наклона пилообразного напряжения
Неинвертир. вход УС ошибки	EA	4	17	CLS	Вход/выход тактовых импульсов
Неинвертир. вход токосчитывающего компаратора	CL	5	16	RC	Выход установки частоты генератора
Выход схемы "мягкого" запуска	SS	6	15	DLY <sub>A-B</sub>	Установка задержки включения выходов А и В
Установка задержки включения выходов С и D	DLY <sub>C-D</sub>	7	14	OUT <sub>A</sub>	Выход А
Выход D	OUT <sub>D</sub>	8	13	OUT <sub>B</sub>	Выход В
Выход С	OUT <sub>C</sub>	9	12	PGND	Мощная земля
Напряжение питания выходных ключей	V <sub>C</sub>	10	11	V <sub>CC</sub>	Напряжение питания

S4631C01



### ОСОБЕННОСТИ

- Регулировка длительности рабочего цикла ..... 0...100%
- Программируемая задержка включения выходов
- Возможна работа с обратной связью как по напряжению, так и по току
- Реальная частота переключения ..... до 1 МГц
- Четыре квазикомплементарных выходных каскада
- Выходной ток (каждого каскада) ..... 2 А
- Полоса пропускания усилителя ошибки ..... 10 МГц
- Схема блокировки при понижении питания
- Низкий ток запуска ..... 150 мкА
- Во время блокировки при понижении питания на выходах НИЗКИЙ уровень
- Возможна функция "мягкого запуска"
- Блокировка компаратора токовой защиты с повторным запуском в следующем периоде
- Регулируемое опорное напряжение

### ОБЩЕЕ ОПИСАНИЕ

Семейство микросхем, объединенных под названием UC3875, осуществляет управление мощным мостовым каскадом с помощью сдвига по фазе момента переключения одной половины моста относительно другой. Используется ШИМ совместно с резонансными методами и переключением при нулевом напряжении для повышения эффективности ИВП на высоких частотах. Микросхемы этого семейства могут применяться в схемах управления ИВП с обратной связью как по напряжению, так и по току и имеют встроенную схему токовой защиты.

Обеспечивается программируемая временная задержка, чтобы вставить "запрещенное время" при включении каждого выходного каскада. Эта задержка обеспечивает время для работы в резонансном режиме и является независимо управляемой для каждой пары выходов (A-B, C-D).

Генератор способен работать на частотах более 2 МГц, хотя практическая частота переключения около 1 МГц. В дополнение к стандартному режиму свободных колебаний с помощью вывода CLS можно синхронизировать генератор внешним сигналом или при совместном соединении до 5 микросхем можно получить рабочую частоту, определяемую самым быстрым устройством.

Одна из особенностей защиты — это блокировка при понижении питания, которая поддерживает все выходы в активном состоянии НИЗКОГО уровня, пока напряжение питания не достигнет пороговой величины 10.75 В. Схема блокировки при понижении питания имеет гистерезис, равный 1.5 В, что используется для надежного питания микросхемы в момент старта. Схема токовой защиты блокирует выходы в выключенном состоянии в пределах 70 нс после возникновения аварийной ситуации. Схема токовой защиты осуществляет повторный запуск после окончания полного периода.

Дополнительные особенности: усилитель ошибки с полосой пропускания более 7 МГц, источник опорного напряжения 5 В, функция "мягкий запуск", регулируемый генератор пилообразного напряжения и схема компенсации наклона "пилы".

Эти устройства выполняются в корпусах DIP-20, SOIC-28 с дополнительными выводами GND для отвода тепла и мощном пластмассовом корпусе PLCC-28.

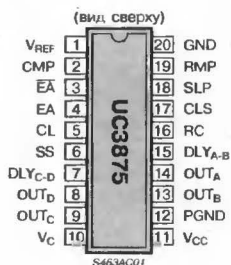
### ТИПОНОМИНАЛЫ

Типономинал	Температурный диапазон
UC1875/6/7/8	-55...+125°C
UC2875/6/7/8	-25...+85°C
UC3875/6/7/8	0...+70°C

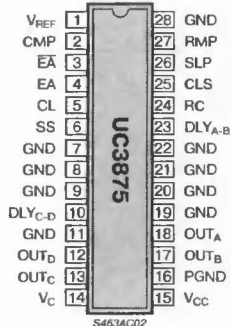
Прибор	Пороговые напряжения блокировки		Установка задержки
	Включение	Выключение	
UC3875	10.75 В	9.25 В	Да
UC3876	15.25 В	9.25 В	Да
UC3877	10.75 В	9.25 В	Нет
UC3878	15.25 В	9.25 В	Нет

### ЦОКОЛЕВКА КОРПУСОВ

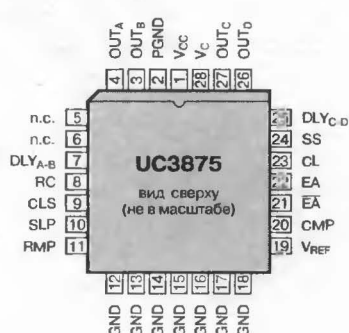
Пластмассовый корпус типа DIP-20  
(суффикс N)  
Металлокерамический корпус типа  
CERDIP-20 (суффикс J)



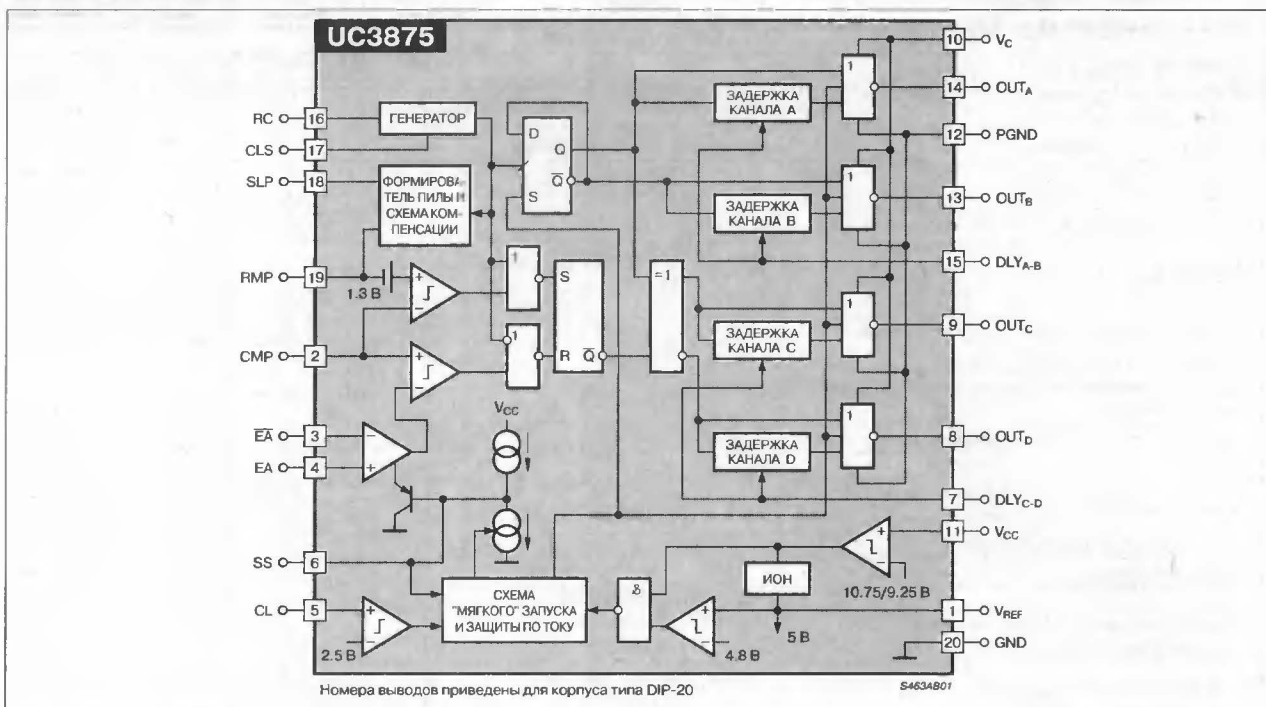
Пластмассовый корпус типа SOIC-28  
(суффикс DWP)



Пластмассовый корпус типа PLCC-28  
(суффикс QP)



## СТРУКТУРНАЯ СХЕМА



## МАКСИМАЛЬНЫЕ ЗНАЧЕНИЯ ПАРАМЕТРОВ И РЕЖИМОВ\*

Напряжение питания ( $V_C$ , $V_{CC}$ )	20 В
Выходной ток, вытекающий или втекающий:	
постоянный	0.5 А
импульсный (0.5 мкс)	3 А
Напряжение на аналоговых входах/выходах (выводы 11, 12, 13, 14, 15, 16, 17, 18, 19)	-0.3...5.3 В
Рабочая температура кристалла	150°C
Диапазон температур хранения	-65...+150°C
Температура вывода (пайка 10 с)	300°C

## Примечания:

\*Нумерация выводов для корпуса DIP-20.

Всё напряжения указаны относительно земли (вывод 11).

Токи, втекающие в устройство, считаются положительными, вытекающие — отрицательными.

## ЭЛЕКТРИЧЕСКИЕ ХАРАКТЕРИСТИКИ

При  $V_C = V_{CC} = 12$  В,  $R_{PIN16} = 12$  кОм,  $C_{PIN16} = 330$  пФ,  $R_{PIN18} = 12$  кОм,  $C_{PIN18} = 200$  пФ,  $C_{PIN15} = C_{PIN17} = 0.01$  мкФ,  $I_{PIN15} = I_{PIN17} = -500$  мкА,  $T_A = T_J$ , если не указано иначе

Параметр	Условия	Значения			Единица измерения	
		не менее	типовое	не более		
СХЕМА БЛОКИРОВКИ ПРИ ПОНИЖЕНИИ ПИТАНИЯ						
Пороговое напряжение	UC3875/7	—	10.75	—	В	
	UC3876/8	—	15.25	—	В	
Гистерезис	UC3875/7	—	1.25	—	В	
	UC1876/8	—	6.0	—	В	
ТОКИ ПИТАНИЯ						
Ток запуска	$I_{CC}$	$V_{CC} = 8 \text{ В}, V_C = 20 \text{ В}, R_{SLP} = \infty, I_{DLY} = 0$	—	150	600	мкА
	$I_C$	$V_{CC} = 8 \text{ В}, V_C = 20 \text{ В}, R_{SLP} = \infty, I_{DLY} = 0$	—	10	100	мкА
Ток потребления	$I_{CC}$	—	—	30	40	мА
	$I_C$	—	—	15	30	мА

Параметр		Условия	Значения			Единицы измерения
			не менее	типовое	не более	
ОПОРНОЕ НАПРЯЖЕНИЕ						
Выходное напряжение		$T_J = +25^{\circ}\text{C}$	4.95	5	5.05	В
Нестабильность по напряжению		$11 < V_{CC} < 20 \text{ В}$	—	1	10	мВ
Нестабильность по току		$I_{REF} = -10 \text{ мА}$	—	5	20	мВ
Суммарное изменение напряжения		Входное напр., нагрузка, температура	4.9	—	5.1	В
Шумовое напряжение		$0.01 \dots 10 \text{ кГц}$	—	50	—	мкВ (rms)
Долговременная стабильность		$T_J = 125^{\circ}\text{C}$ , 1000 часов	—	2.5	—	мВ
Ток короткого замыкания		$V_{REF} = 0 \text{ В}$ , $T_J = 25^{\circ}\text{C}$	—	60	—	мА
УСИЛИТЕЛЬ ОШИБКИ						
Напряжение смещения			—	5	15	мВ
Входной ток				0.6	3	мкА
Коэффициент усиления по напряжению при большом сигнале		$1 < V_{CMP} < 4 \text{ В}$	60	90	—	дБ
Коэффициент ослабления синфазного сигнала		$1.5 < V_{CM} < 5.5 \text{ В}$	75	95	—	дБ
Коэффициент влияния нестабильности источников питания на напряжение смещения		$11 < V_{CC} < 20 \text{ В}$	85	100	—	дБ
Выходной ток	Втекающий	$V_{CMP} = 1 \text{ В}$	1	2.5		мА
	Вытекающий	$V_{CMP} = 4 \text{ В}$	—	-1.3	-0.5	мА
Выходное напряжение	ВЫСОКИЙ уровень	$I_{CMP} = -0.5 \text{ мА}$	4	4.7	5	В
	НИЗКИЙ уровень	$I_{CMP} = 1 \text{ мА}$	0	0.5	1	В
Полоса пропускания при единичном усилении			7	11	—	МГц
Скорость нарастания			6	11	—	В/мкс
ШИМ-КОМПАРАТОР						
Напряжение смещения пилообразного напряжения		$T_J = 25^{\circ}\text{C}$ , Прим. 3	—	—	1.3	В
Напряжение нулевого фазового сдвига		Прим. 4	0.55	0.9		В
Фазовый сдвиг ШИМ-сигналов (Прим. 1)		$V_{CMP} > (V_{RMP\ PEAK} + V_{RMP\ OFFSET})$	98	99.5	102	%
		$V_{CMP} < V_{ZFS}$	0	0.5	2	%
Относительная задержка выхода (Прим. 1)		$V_{CMP} > V_{RMP\ PEAK}$	—	5	$\pm 20$	нс
		$V_{CMP} < 1 \text{ В}$	—	5	$\pm 20$	нс
Задержка выхода относительно пилообразного напряжения			—	50	100	нс
ГЕНЕРАТОР						
Начальная точность		$T_J = 25^{\circ}\text{C}$	0.85	1	1.15	МГц
Стабильность напряжения		$11 < V_{CC} < 20 \text{ В}$	—	0.2	2	%
Суммарное изменение частоты		Входное напр., температура	0.80		1.20	МГц
Пороговое напряжение на выводе 17		$T_J = 25^{\circ}\text{C}$	—	3.8	—	В
Пиковое напряжение тактовой частоты		$T_J = 25^{\circ}\text{C}$	—	4.3	—	В
НИЗКИЙ уровень напряжения тактовой частоты		$T_J = 25^{\circ}\text{C}$	—	3.3	—	В
Ширина импульсов тактовой частоты		$R_{PIN\ 17} = 3.9 \text{ кОм}$	—	30	100	нс
Максимальная частота		$R_{PIN\ 16} = 5 \text{ кОм}$	2	—	—	МГц
ГЕНЕРАТОР ПИЛООБРАЗНОГО НАПРЯЖЕНИЯ/СХЕМА КОМПЕНСАЦИИ НАКЛОНА ПИЛООБРАЗНОГО НАПРЯЖЕНИЯ						
Ток пилообразного напряжения	Минимальный	$I_{PIN\ 18} = 10 \text{ мкА}$ , $V_{PIN\ 16} = V_{REF}$	—	-11	-14	мкА
	Максимальный	$I_{PIN\ 18} = 10 \text{ мА}$ , $V_{PIN\ 16} = V_{REF}$	-0.8	-0.95	—	мА
Нижнее значение пилообразного напряжения			—	0	—	В
Пиковое значение пилообразного напряжения – уровень фиксации		$R_{PIN\ 16} = 100 \text{ кОм}$	3.8	4.1	—	В
СХЕМА ТОКОВОЙ ЗАЩИТЫ						
Входной ток		$V_{CL} = 3 \text{ В}$	—	2	5	мкА
Пороговое напряжение			2.4	2.5	2.6	В
Задержка выходных сигналов			—	70	125	нс
СХЕМА "МЯГКОГО ЗПУСКА"/ЗАДЕРЖКА СХЕМЫ СБРОСА						
Ток заряда		$V_{SS} = 0.5 \text{ В}$	-20	-9	-3	мкА
Ток разряда		$V_{SS} = 1 \text{ В}$	140	230	—	мкА
Пороговое напряжение схемы сброса			4.3	4.7	—	В
Уровень разряда			—	300	—	мВ
ВЫХОДНЫЕ ФОРМИРОВАТЕЛИ						
Выходное напряжение	НИЗКИЙ уровень	$I_{OUT} = 50 \text{ мА}$	—	0.2	0.4	В
		$I_{OUT} = 500 \text{ мА}$	—	1.2	2.6	В
	ВЫСОКИЙ уровень	$I_{OUT} = -50 \text{ мА}$	—	1.5	2.5	В
		$I_{OUT} = -500 \text{ мА}$	—	1.7	2.6	В

## ЭЛЕКТРИЧЕСКИЕ ХАРАКТЕРИСТИКИ (Продолжение)

Параметр	Условия	Значения			Единица измерения
		не менее	типичное	не более	
УСТАНОВКА ЗАДЕРЖКИ (ТОЛЬКО ДЛЯ UC1875 И UC1876)					
Напряжение установки	$I_{DLY} = -500 \text{ мкА}$	2.3	2.4	2.6	В
Время задержки	$I_{DLY} = -250 \text{ мкА}$ (Прим. 5)	150	250	400	нс

## Примечания:

1. Фазовый сдвиг в процентах ( $0\% = 0^\circ$ ,  $100\% = 180^\circ$ ) определяется как:

$$\Phi = \frac{200}{T} \Phi \%$$

Где  $\Phi$  — фазовый сдвиг, а  $\Phi$  и  $T$  показаны на Рис. 1. При фазовом сдвиге  $0\%$ ,  $\Phi$  — относительная задержка выхода.

2. Время задержки определяется как:

$$\Phi = T \left( \frac{1}{2} - D_c \right)$$

Где  $T$  показан на Рис. 1.

3. Напряжение смещения пилообразного напряжения имеет температурный коэффициент, приблизительно равный  $-4 \text{ мВ/}^\circ\text{C}$ .

4. Напряжение нулевого фазового сдвига имеет температурный коэффициент, приблизительно равный  $-2 \text{ мВ/}^\circ\text{C}$ .

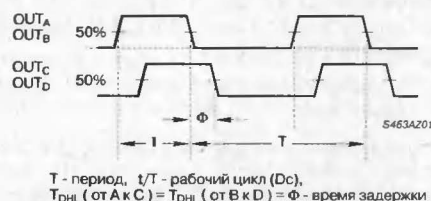
5. Время задержки может быть установлено с помощью соединения выводов [7], [15] через резисторы на землю.

$$\Phi \approx \frac{62.5 \times 10^{-12}}{I_{DLY}}$$

$$\text{Где } I_{DLY} = \frac{V_{DLY SET}}{R_{DLY}}$$

Рекомендуемый диапазон для  $I_{DLY}$  —  $0.025 \leq I_{DLY} \leq 1 \text{ мА}$ .

Рис. 1. Фазовый сдвиг, относительная задержка выхода и время задержки



## ФУНКЦИОНАЛЬНОЕ ОПИСАНИЕ ВЫВОДОВ

## GND (СИГНАЛЬНАЯ ЗЕМЛЯ)

Все напряжения измерены относительно GND. Частотозадающий конденсатор на выводе [16], шунтирующий конденсатор на выводе [1], конденсаторы на выводах [11] и [19] должны быть непосредственно связаны с земляной шиной около вывода сигнальной земли.

## PGND (МОЩНАЯ ЗЕМЛЯ)

Вывод [10] должен соединяться керамическим конденсатором с шиной мощной земли (связанной с выводом PGND). Электролитический конденсатор большой емкости должен быть включен параллельно этому керамическому конденсатору. Шины мощной и сигнальной земли могут быть соединены в одной точке, чтобы оптимизировать подавление шумов и уменьшить падения напряжений постоянного тока.

V<sub>c</sub> (НАПЯЖЕНИЕ ПИТАНИЯ ВЫХОДНЫХ КЛЮЧЕЙ)

Через этот вывод питаются мощные выходные формирователи и связанные с ними схемы смещения. Для нормальной работы необходимо соединить вывод V<sub>c</sub> с источником стабильного напряжения, большим, чем 3 В, а лучше около 12 В. Этот вывод должен соединяться непосредственно с выводом PGND через конденсатор с низкими эквивалентными последовательным сопротивлением и индуктивностью.

V<sub>CC</sub> (НАПЯЖЕНИЕ ПИТАНИЯ ОСТАЛЬНОЙ СХЕМЫ)

Через этот вывод питаются логические и аналоговые части микросхемы, которые непосредственно не связаны с работой мощных выходных формирователей. Для нормальной работы необходимо соединить вывод V<sub>CC</sub> с источником стабильного напряжения вели-

чиной около 12 В. Пока напряжение V<sub>CC</sub> не превысит верхнее пороговое напряжение "схемы блокировки при понижении питания", все функциональные блоки микросхемы находятся в выключенном состоянии, чтобы гарантировать правильное выполнение своих функций. Этот вывод должен соединяться непосредственно с выводом GND через конденсатор с низкими эквивалентными последовательным сопротивлением и индуктивностью.

## Примечание:

Когда напряжение V<sub>CC</sub> превышает верхнее пороговое напряжение схемы блокировки при понижении питания, ток питания I<sub>CC</sub> повышается от величины приблизительно 100 мкА до более 20 мА. Если к выводам питания микросхемы UC1875 не подключены конденсаторы достаточной емкости, она может снова войти в состояние блокировки.

## RC (ВЫВОД УСТАНОВКИ ЧАСТОТЫ ГЕНЕРАТОРА)

Резистор и конденсатор, подключенные от вывода RC к выводу GND, будут устанавливать частоту генератора согласно следующим соотношениям:

$$f \approx \frac{4}{R_T \times C_T}$$

## CLS (ВЫХОД ТАКОВЫХ ИМПУЛЬСОВ/ВХОД СИНХРОНИЗАЦИИ)

Когда этот вывод используется как выход, он обеспечивает вывод тактовых импульсов, а когда как вход — ввод импульсов синхронизации. При одновременном использовании нескольких микросхем UC3875, каждая со своим собственным внутренним генератором, они могут быть связаны вместе с помощью выводов CLS и синхронизированы самым быстрым из генераторов этих микросхем. Также вывод CLS может использоваться для синхронизации микросхемы внешней тактовой частотой (сигнал ТТЛ/КМОП уровня), если внешний сигнал имеет более высокую частоту, чем частота



внутреннего генератора. Чтобы минимизировать ширину тактового импульса, к этому выводу может понадобиться подключить нагрузочный резистор.

#### SLP (УСТАНОВКА НАКЛОНА ПИЛООБРАЗНОГО НАПЯЖЕНИЯ/ КОМПЕНСАЦИЯ НАКЛОНА ПИЛООБРАЗНОГО НАПЯЖЕНИЯ)

Резистор, подключенный между этим выводом и  $V_{CC}$ , будет удерживать ток, который используется для генерации пилообразного напряжения. Подключение этого резистора к источнику входного напряжения постоянного тока обеспечивает обратную связь по напряжению.

#### RMP (ВХОД ПИЛООБРАЗНОГО НАПЯЖЕНИЯ)

Этот вывод является входом ШИМ-компаратора. Необходимо подключить конденсатор от вывода RMP к GND. Наклон пилообразного напряжения на этом выводе:

$$\frac{dV}{dt} = \frac{V_{SLP}}{R_{SLP} \times C_{RMP}}$$

Количество внешних компонентов в режиме работы с обратной связью по току становится минимальным, когда этот вывод обеспечивает компенсацию наклона пилообразного напряжения (Смотри раздел "Информация по применению").

Так как между входом RMP и ШИМ-компаратором существует напряжение смещения, равное 1.3 В, выходное напряжение усилителя ошибки не может превышать эффективное значение пикового пилообразного напряжения, и фиксация длительности рабочего цикла легко достигается с соответствующими значениями  $R_{SLP}$  и  $C_{RMP}$ .

#### OMP (ВЫХОД УСИЛИТЕЛЯ ОШИБКИ)

Усилитель ошибки представляет из себя часть схемы, полностью управляемую напряжением обратной связи. Понижение уровня выходного напряжения усилителя ошибки ниже 1 В вызывает нулевой фазовый сдвиг. Так как усилитель ошибки имеет относительно низкую нагрузочную способность, сигнал с его выхода может быть задавлен сигналом источника с достаточно низким импедансом.

#### EA (ИНВЕРТИРУЮЩИЙ ВХОД УСИЛИТЕЛЯ ОШИБКИ)

Этот вывод обычно соединяется с резистивным делителем напряжения, через который считывается уровень выходного напряжения источника питания.

#### EA (НЕИНВЕРТИРУЮЩИЙ ВХОД УСИЛИТЕЛЯ ОШИБКИ)

Этот вывод обычно соединяется с источником опорного напряжения для сравнения с уровнем выходного напряжения источника питания, поступающим на вывод EA.

#### SS (ВЫВОД ДЛЯ ОБЕСПЕЧЕНИЯ ФУНКЦИИ "МЯГКОГО ЗАПУСКА")

Пока напряжение  $V_{CC}$  не превысит пороговое напряжение "схемы блокировки при понижении питания", на выводе SS удерживается потенциал земли. Когда напряжение  $V_{CC}$  достигает своего номинального значения (предполагается отсутствие аварийного режима), потенциал на выводе SS подтянется до напряжения приблизительно 4.8 В с помощью внутреннего источника тока равного 9 мкА. При появлении сигнала ошибки от обратной связи по току (напряжение на выводе CL превысило 2.5 В), потенциал на выводе SS будет опускаться до потенциала земли, а размах пилообразного напряжения достигать 4.8 В. Если сигнал ошибки появляется во время действия функции "мягкого запуска", выходы будут немедленно включены, и емкость на выводе SS должна полностью зарядиться до переустановки триггера ошибки.

При параллельном включении микросхем выводы SS могут быть подключены к единственному конденсатору, но при этом зарядные токи будут складываться.

#### CL (НЕИНВЕРТИРУЮЩИЙ ВХОД ТОКОСЧИТЫВАЮЩЕГО КОМПАРАТОРА)

К инвертирующему входу токосчитывающего компаратора внутри микросхемы подведено опорное напряжение (отдельное от  $V_{REF}$ ), равное 2.5 В. Как только напряжение на выводе CL превысит 2.5 В, устанавливается триггер ошибки, выходы переводятся в выключенное состояние и включается функция "мягкий запуск". Выходы будут находиться в выключенном состоянии до тех пор, пока напряжение на выводе CL не опустится ниже 2.5 В. Процесс переключения на выходах при нулевом фазовом сдвиге может начаться прежде, чем напряжение на выводе SS начнет повышаться. В этих условиях мощность на нагрузке не будет выделяться.

#### OUT A...OUT D (ВЫХОДЫ A...D)

Выходы микросхемы представляют из себя выходы квазикомплементарных формирователей, рассчитанные на ток до двух ампер, оптимизированные для работы как на затворы MOSFET-транзисторов, так и на трансформаторы сдвига уровня. Выходы работают попарно с номинальным рабочим циклом 50%. Пара A-B предназначена, чтобы возбуждать одну половину внешнего мощного мостового каскада синхронно с тактовыми импульсами. Пара C-D будет возбуждать другую половину моста, переключаясь со сдвигом фазы по отношению к A-B выходам.

#### DLY<sub>A-B</sub>, DLY<sub>C-D</sub> (УСТАНОВКА ЗАДЕРЖКИ ВКЛЮЧЕНИЯ ВЫХОДОВ)

Пользователь может программировать ток, текущий через эти выводы на землю (GND), устанавливая задержку включения для соответствующей пары выходов. Эта задержка вводится между выключением одного ключа и включением другого в том же самом плече моста, чтобы обеспечить "запрещенное время", в течение которого происходит резонансный процесс переключения внешних мощных ключей. Предусмотрена отдельная задержка для каждой половины моста, чтобы учесть различия зарядных токов в резонансном конденсаторе.

#### V<sub>REF</sub> (ВЫВОД ИСТОЧНИКА ОПОРНОГО НАПЯЖЕНИЯ)

Этот вывод является выходом точного источника опорного напряжения 5 В. Нагрузочная способность этого выхода — приблизительно 60 мА, имеется внутренняя схема ограничения тока короткого замыкания. Пока напряжение  $V_{CC}$  имеет низкое значение, источник опорного напряжения  $V_{REF}$  выключается, чтобы вынудить микросхему войти в состояние блокировки. Схема находится в состоянии блокировки, пока опорное напряжение  $V_{REF}$  не достигнет величины приблизительно 4.75 В. Вывод  $V_{REF}$  должен соединяться непосредственно с выводом GND через конденсатор емкостью 0.1 мкФ с низкими эквивалентными последовательным сопротивлением и индуктивностью.

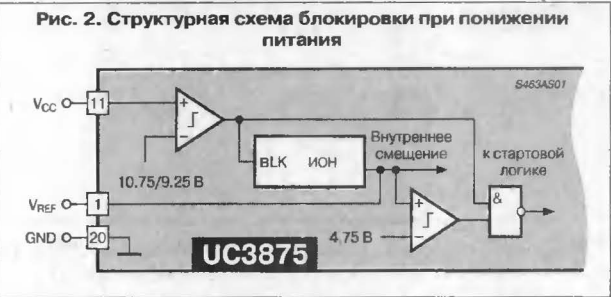
## ИНФОРМАЦИЯ ПО ПРИМЕНЕНИЮ

### СХЕМА БЛОКИРОВКИ ПРИ ПОНИЖЕНИИ ПИТАНИЯ

Пока напряжение  $V_{CC}$  не превышает верхнее пороговое напряжение "схемы блокировки при понижении питания", ток  $I_{CC}$  будет меньше 600 мкА, опорный генератор будет выключен, триггер ошибки сброшен, емкость на выводе SS разряжена, и выходы будут находиться в активном НИЗКОМ состоянии.

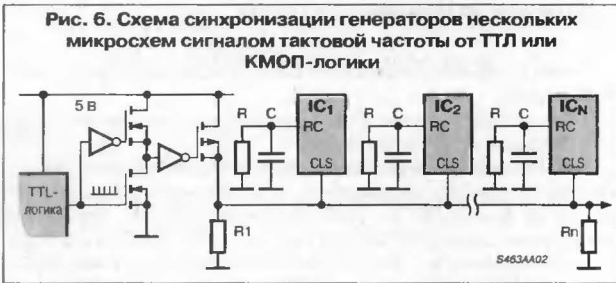
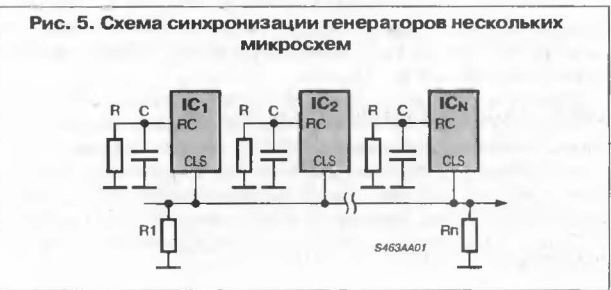
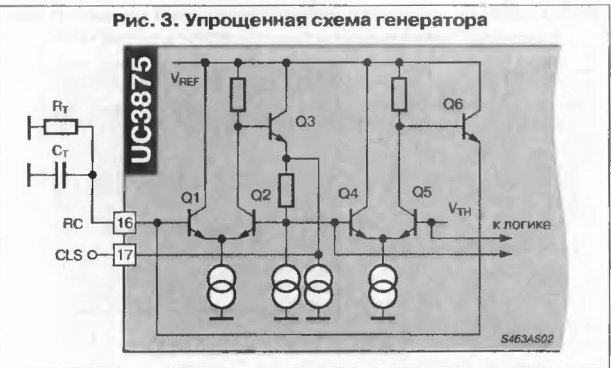


Опорный генератор включится, когда напряжение  $V_{CC}$  превысит верхнее пороговое напряжение схемы блокировки. Остальные части схемы остаются в состоянии блокировки, пока опорное напряжение  $V_{REF}$  не достигает величины приблизительно 4.75 В.



ГЕНЕРАТОР

Высокочастотный генератор может находиться или в режиме свободных колебаний или в режиме внешней синхронизации. При работе в режиме свободных колебаний частота устанавливается с помощью внешнего резистора и конденсатора, подключенных от вывода RC на землю (вывод GND). Синхронизация генераторов нескольких микросхем UC1875 производится простым соединением выводов CLS каждой микросхемы друг с другом. На линии, соединяющей выводы CLS нескольких микросхем (См. Рис. 5 и Рис. 6), может потребоваться установка нагрузочных резисторов R1...Rn, чтобы уменьшить "расползание" тактовых импульсов из-за емкости линии. Эти резисторы могут также оказаться полезными при разрыве линии, соединяющей выводы CLS, что позволяет сохранить местные функциональные возможности.



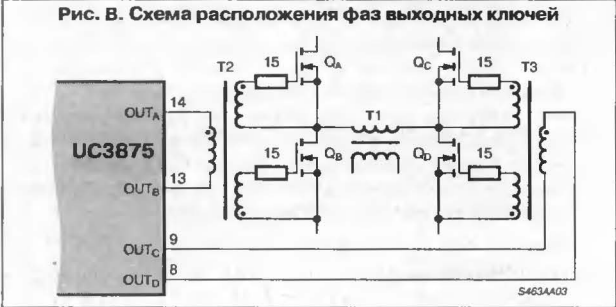
**СХЕМЫ ЗАДЕРЖКИ ВКЛЮЧЕНИЯ ВЫХОДОВ И ВЫХОДНЫЕ КАСКАДЫ**

В каждом из выходных каскадов транзисторы Q3...Q6 образуют быстродействующий квазикомплементарный выходной формирователь (см. Рис. 7), который может пропускать втекающий или вытекающий ток с пиковым значением больше, чем 1 А, и общей задержкой приблизительно 30 нс. Для гарантированного сохранения низкого уровня на выходе при включении питания транзисторы Q7...Q9 образуют самосмещенный формирователь, который удерживает транзистор Q6 открытым до момента, когда напряжение питания достигнет порога включения. Эта схема работает, даже когда отсутствует напряжение питания  $V_{CC}$ . Транзистор Q6 также открывается сигналом от схемы контроля аварийных состояний и сохраняет НИЗКИЙ уровень на выходе.



Задержка включения выходов, обеспечивающая "запрещенное время", выполнена на емкости C1, которая должна разрядиться до напряжения  $V_{TH}$  прежде, чем напряжение на выходах начнет нарастать. Время задержки определяется источниками тока  $1I_1$  и  $2I_1$ , которые устанавливаются внешним резистором  $R_{TD}$ . Напряжение на выводах установки задержки DLY внутренне стабилизируется на уровне 2.5 В. Диапазон установки "запрещенного времени" равен 50...200 нс.

**ПРИМЕЧАНИЕ:** Время задержки должно быть обязательно установлено, так как не имеется никакого способа отключения схемы задержки.



## СХЕМА КОНТРОЛЯ АВАРИЙНЫХ СОСТОЯНИЙ

Схема контроля аварийных состояний обеспечивает два способа выключения:

- Полное выключение всех четырех выходных мощных каскадов
- Фиксация нулевого сдвига фазы.

Полное выключение вызывается схемой токовой защиты или схемой блокировки при понижении напряжения питания. Когда напряжение на выводе SS достигает величины нижнего порогового напряжения, разрешается начать процесс переключения на выходе, в то же время сдвиг фазы увеличивается от нуля до номинального значения с постоянной времени, определяемой емкостью на выводе SS.

Схема контроля аварийных состояний защищена от режима "икания", возникающего от повторяющегося с низкой частотой аварийного сигнала, тем, что емкость на выводе SS должна заряжаться через полный период между каждой попыткой повторного старта.

Рис. 9. Схема контроля аварийных состояний и схема "мягкого запуска"

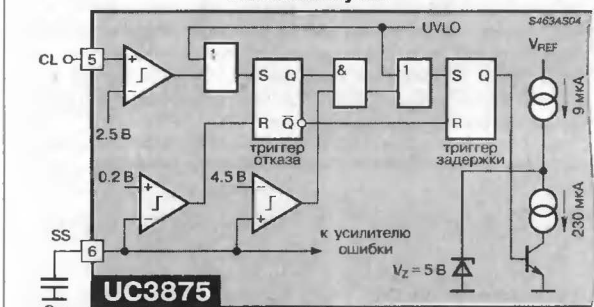


Рис. 10. Временные соотношения схемы контроля аварийных состояний



## ГЕНЕРАТОР ПИЛООБРАЗНОГО НАПЯЖЕНИЯ

Генератор пилообразного напряжения может использоваться в одном из следующих режимов управления:

- Режим с обратной связью по напряжению
- Режим с опережающей обратной связью по напряжению
- Режим с обратной связью по току
- Режим с обратной связью по току и компенсацией наклона пилообразного напряжения.

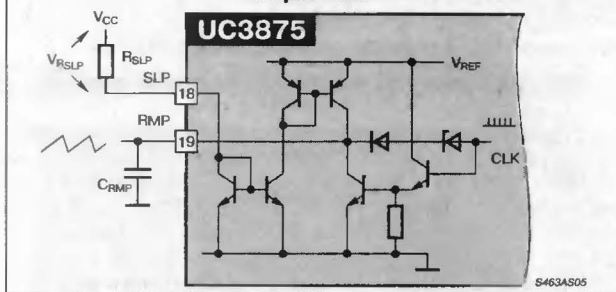
Режим с обратной связью по напряжению достигается простым подключением резистора  $R_{SLP}$  между выводами  $V_{CC}$  и SLP.

Режим с опережающей обратной связью по напряжению достигается подключением резистора  $R_{SLP}$  между выходной клеммой источника питания и выводом SLP микросхемы UC3875.

Изменения пилообразного напряжения в режиме с обратной связью по напряжению описываются выражением:

$$\frac{dV}{dt} \approx \frac{V_{SLP}}{R_{SLP} \times C_{RMP}}$$

Рис. 11. Схема установки режима с обратной связью по напряжению

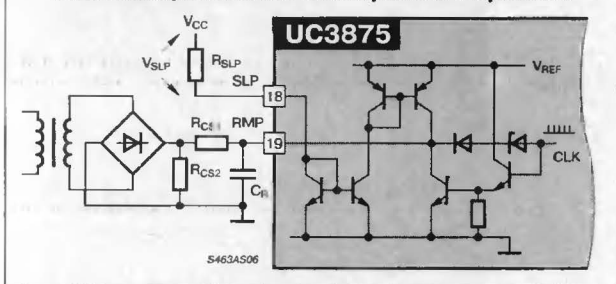


В режиме с обратной связью по току генератор пилообразного напряжения может быть отключен заземлением вывода SLP и использованием вывода RMP как прямого входа считывания тока ШИМ-компаратора. На Рис. 12 показана схема установки режима с обратной связью по току и компенсацией наклона пилообразного напряжения. Резистор  $R_{CS2}$  восстанавливает форму полученного от трансформатора тока, в то время как напряжение с емкости  $C_R$  производит компенсацию, складываясь с пилообразным напряжением. Заметим, что резисторы  $R_{CS}$  должны иметь достаточно низкие значения, чтобы позволить емкости  $C_R$  полностью разрядиться через схему генератора пилообразного напряжения.

Изменения пилообразного напряжения в режиме с обратной связью по току и компенсацией наклона пилообразного напряжения описываются выражением:

$$\frac{dV}{dt} \approx \frac{V_{SLP}}{R_{SLP} \times C_R}$$

Рис. 12. Схема установки режима с обратной связью по току и компенсацией наклона пилообразного напряжения



## ОПИСАНИЕ ФАЗОСДВИГАЮЩЕГО ШИМ-КОНТРОЛЛЕРА С ПЕРЕКЛЮЧЕНИЕМ ПРИ НУЛЕВОМ НАПЯЖЕНИИ НА МИКРОСХЕМЕ UC3875

## СИГНАЛЫ ВОЗБУЖДЕНИЯ КЛЮЧЕЙ

Расположенные по диагонали мостовой схемы ключи возбуждаются вместе в полномостовом конвертере и поочередно подключают первичную обмотку трансформатора к входному напряжению питания  $V_{CC}$  в течение некоторого периода времени  $t_{ON}$ , как показано на Рис. 14.

Мощность передается на выходной каскад только при включенном состоянии выходных ключей, которое соответствует определенной длительности рабочего цикла при работе на фиксированной частоте. Добавим, что полный диапазон длительностей требуемых рабочих циклов уникален для каждого конкретного применения и может быть оценен исходя из величины входного напряжения питания и спецификаций выходного напряжения.

Рис. 13. Общая схема полного моста

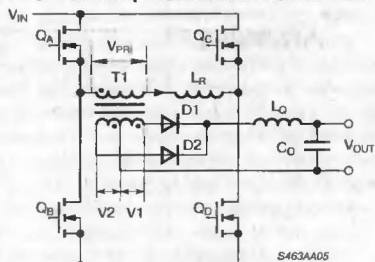
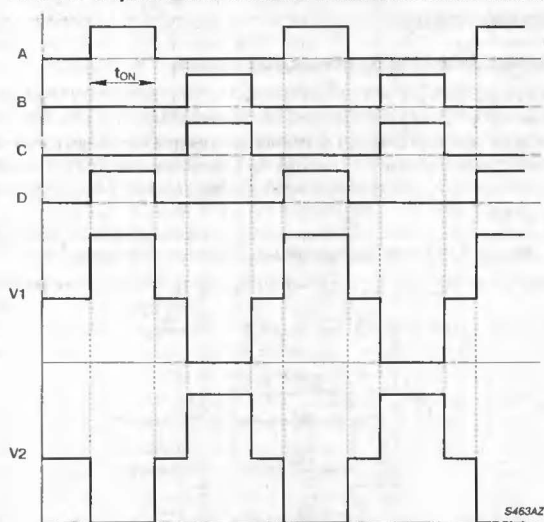


Рис. 14. Формы ШИМ-сигналов в схеме полного моста

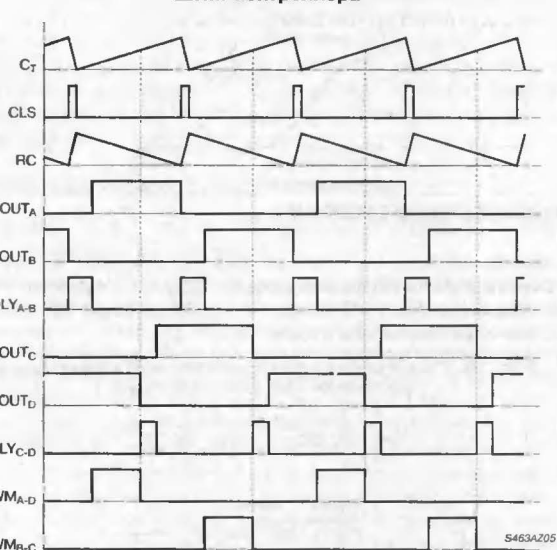


До появления сигнала возбуждения диагональных ключей полномостовой схемы вводится преднамеренная задержка, чтобы можно было выдать сигнал возбуждения диагональных ключей со сдвигом фазы. Эта задержка определяется напряжением петли обратной связи схемы управления и, по существу, является сдвигом фазы между двумя выходными сигналами формирователей одного плеча моста. Эффективное управление рабочим циклом производится изменением сдвига фазы между сигналами возбуждения ключей, как показано на Рис. 15.

Уникальным в фазосдвигающей технологии является то, что оба ключа, соединенных последовательно с трансформатором, могут быть открыты, а напряжение, приложенное к трансформатору, равно нулю. Это возможно потому, что эти ключи не являются диагональными ключами полномостовой схемы, а представляют из себя или два верхних, или два нижних ключа. В этом режиме первичная обмотка трансформатора по существу закорочена и имеет потенциал соответствующей шины входного напряжения. Значение тока первичной обмотки поддерживается на предыдущем уровне, так как не имеется напряжения, вызывающего изменение его значения. Этот "мертвый промежуток" заполняет пустоту в цикле преобразования между резонансными процессами и моментами передачи энергии. ключи могут находиться в таком состоянии в течение некоторого периода времени, которое соответствует требуемому времени нахождения в выключенном состоянии для определенного цикла переключения.

Когда один из этих ключей выключается позже, ток первичной обмотки начинает протекать через паразитную выходную емкость ключа  $C_{OSS}$  и порождает резонансный процесс между стоком ключа и противоположной шиной входного напряжения. Это положение исправляет противоположный ключ того же самого "плеча" моста, переходящий во включенное состояние при нулевом напряжении.

Рис. 15. Формы сигналов в схеме фазосдвигающего ШИМ-контроллера



#### ОСНОВЫ СПОСОБА ПЕРЕКЛЮЧЕНИЯ ПРИ НУЛЕВОМ НАПРЯЖЕНИИ

"Запрещенное время" может быть преднамеренно введено в цикл преобразования энергии, в результате чего ключ останется закрытым и зафиксированным на нулевом напряжении параллельным резонансным контуром. После того, как будет достигнуто нулевое напряжение, до перехода ключа в открытое состояние он останется закрытым, в то время как ток циркулирует в закороченной первичной обмотке через паразитный диод подложки и противоположный, все еще открытый, ключ плеча. Это выключенное состояние используется, чтобы заполнить пустоту между точкой, где нулевое напряжение было достигнуто, и точкой, где ключу требуется перейти во включенное состояние при достигнутой фиксированной частоте работы.

Работа на фиксированной частоте возможна в определенном диапазоне входных напряжений и выходных токов. Метод переключения при нулевом напряжении (ZVS) на переменной частоте имеет подобные ограничения для нормальной работы, которые имеют место при минимальной нагрузке на выходе и максимальном входном напряжении, как показано на Рис. 16.

Рис. 16. Моменты переключения при нулевом напряжении



#### ОСНОВЫ ФАЗОСДВИГАЮЩЕЙ СХЕМОТЕХНИКИ

Ключи в фазосдвигающем полномостовом конвертере используются по-другому, чем такие же ключи в нерезонансных схемах. Основным в этой схемотехнике является использование паразитных элементов конструкции MOSFET-ключей. Внутренний паразитный диод подложки и выходная емкость  $C_{OSS}$  каждого ключа (совместно с током первичной обмотки) являются основными компонентами, используемыми для порождения и коммутации резонансных процессов. (На схемах  $C_{OSS}$  показана как  $C_A$ ,  $C_B$ ,  $C_C$  и  $C_D$ ).

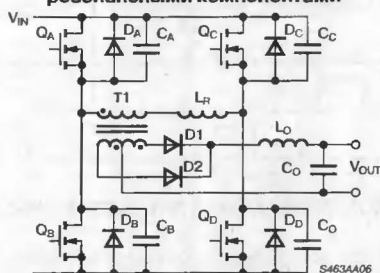
Рис. 17. Ограничения способе переключения при нулевом напряжении



# ОПИСАНИЕ СХЕМНОГО РЕШЕНИЯ

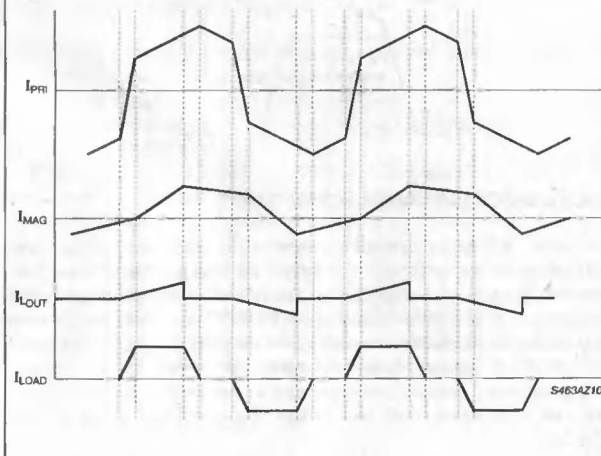
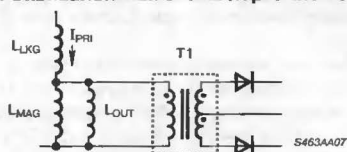
Детальное описание работы фазосдвигающего конвертера начнется после описания элементов схемы. Схемное решение фазосдвигающего конвертера показано на Рис. 18, включая обозначения напряжений и токов.

Рис. 18. Схема ключей фазосдвигающего конвертера с резонансными компонентами



Основная схема состоит из четырех ключей, обозначенных  $Q_A...Q_D$ , и составляющих правое и левое плечо моста. Каждый ключ показан зашунтированным паразитным диодом подложки  $D_A...D_D$  и паразитной выходной емкостью  $C_A...C_D$ . Они обозначены отдельно, чтобы показать задействованные элементы и протекание токов во время интервалов преобразования энергии.

Рис. 19. Эквивалентная схема первичной обмотки



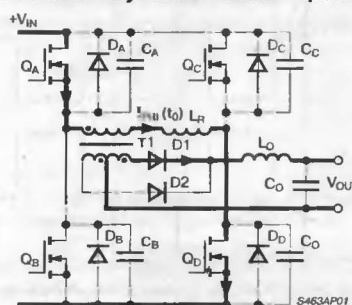
На детальной эквивалентной схеме трансформатора, первичная обмотка которого представлена отдельно, показаны индуктивность рассеивания  $L_{LKG}$ , индуктивность намагничивания  $L_{MAG}$  и токи первичной обмотки. Вклад вторичной обмотки в ток первичной обмотки также показан для законченности и разделяется на два компонента. Постоянная составляющая тока первичной обмотки ( $I_P$ ) представляет из себя выходной постоянный ток вторичной обмотки, деленный на коэффициент трансформации трансформатора ( $N$ ). Переменную составляющую тока вторичной обмотки также можно представить, умножая выходную индуктивность на квадрат коэффициента трансформации ( $N^2$ ), или деля переменную составляющую тока пульсации вторичной обмотки  $I_{SEC}(AC)$  на коэффициент трансформации, как показано на Рис. 19.

# НАЧАЛЬНЫЕ УСЛОВИЯ

Момент времени:  $t = t_0$ ;  $Q_A$  — открыт;  $Q_D$  — открыт

Описание работы фазосдвигающего конвертера начинается с окончания одного из циклов преобразования энергии. Это происходит, когда трансформатор уже передал энергию нагрузке, и два диагональных ключа моста находятся в проводящем состоянии. Начальный ток, текущий в первичной обмотке, может быть обозначен как  $I_{PRI}(t_0)$ .

Рис. 20. Начальные условия. Момент времени:  $t < t_0$



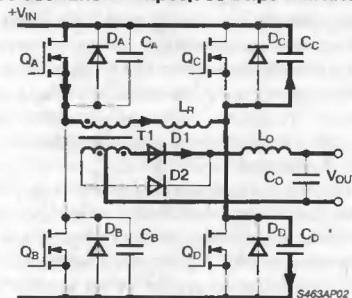
# РЕЗОНАНСНЫЙ ПРОЦЕСС В ПРАВОМ ПЛЕЧЕ МОСТА

Интервал:  $t_0 < t < t_1$ ;  $Q_A$  — открыт,  $Q_D$  — закрыт,  $C_C$  — разряжается,  $C_D$  — заряжается

Ток первичной обмотки, текущий в момент  $t_0$ , равен  $I_{PRI}(t_0)$  и проходит через диагональ моста, т.е. транзистор  $Q_A$  и транзистор  $Q_D$ . В момент  $t_0$  ключ  $Q_D$  закрывается схемой управления, что вызывает немедленный резонансный процесс в правом плече моста.

Ток в первичной обмотке поддерживается почти постоянным и равным  $I_{PRI}(t_0)$  с помощью резонансной индуктивности  $L_{PRI}(RES)$  первичной обмотки, часто упоминаемой как индуктивность рассеивания трансформатора. Таким образом, чтобы изменить эффективное значение индуктивности рассеивания, можно доба-

Рис. 21. Резонансный процесс в правом плече моста





вить внешнюю последовательную индуктивность, и сумму этих индуктивностей можно представить как резонансную индуктивность  $L_R$ . На практике может быть трудно точно управлять индуктивностью рассеивания трансформаторов в пределах приемлемого диапазона переключения при нулевом напряжении, так как это требует изменения величины зазора катушки индуктивности. Также возможно, что индуктивность рассеивания трансформатора может быть слишком низкой, чтобы обеспечить желательную длительность переходного процесса для данного применения, в таких случаях, чтобы изменить резонансную индуктивность, может быть применена внешняя катушка индуктивности.

После того, как ключ  $Q_D$  закрывается, ток первичной обмотки продолжает течь через выходную емкость ключа.

Прохождение тока обеспечивается выходной емкостью  $C_{OSS}$ . Емкость ключа  $Q_D$  заряжается по существу до нуля до напряжения верхней шины источника питания  $+V_{CC}$ . Одновременно емкость трансформатора  $C_{TR}$  (на рисунке не показана) и выходная емкость ключа  $Q_C$  разряжаются, так как потенциал источника напряжения повышается от напряжения нижней до напряжения верхней шины источника питания. Этот резонансный переходный процесс вызывает открывание ключа  $Q_C$  без приложения напряжения сток-исток и уменьшает потери переключения при нулевом напряжении.

Ток первичной обмотки, вызывающий этот процесс, в правом плече моста приблизительно можно считать полным током нагрузки в первичной обмотке трансформатора  $I_{PRI}(t_0)$ . Вклад резонансных токов является очень незначительным по сравнению с величиной полного тока нагрузки.

В течение резонансного процесса в правом плече моста напряжение на первичной обмотке трансформатора уменьшается от  $V_{CC}$  до нуля. В некоторый момент напряжение на первичной обмотке понижается ниже приведенного значения напряжения вторичной обмотки  $V_{OUT} \times N$ . Когда это происходит, первичная обмотка больше не передает энергию вторичной, и изменяется полярность напряжения выходной индуктивности. Одновременно энергия, запасенная в выходном дросселе, начинает компенсировать энергию первичной обмотки, пока ее значение, наконец, не достигает нуля.

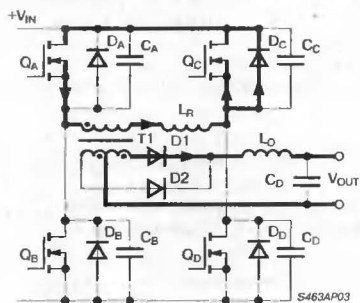
После окончания резонансного процесса в правом плече моста на первичной обмотке трансформатора не имеется никакого напряжения. Также, в идеальном случае, никакого напряжения не имеется и на вторичной обмотке трансформатора и, соответственно, не происходит передачи энергии. Заметим, что резонансный процесс определяет не только скорость изменения напряжений в первичных и вторичных обмотках  $dV/dt$ , но и скорость изменения токов в цепи выходного фильтра  $dI/dt$ .

### ФИКСИРОВАННЫЙ ИНТЕРВАЛ СВОБОДНОЙ ЦИРКУЛЯЦИИ

Интервал:  $t_1 < t < t_2$ ;  $Q_A$  — открыт,  $Q_C$  — открыт,  $D_C$  — открыт

Как только резонансный процесс в правом плече моста завершается, ток первичной обмотки свободно циркулирует через транзистор  $Q_A$  и паразитный диод ключа  $Q_C$ . Величина тока оставалась бы постоянной до следующего резонансного процесса, если

Рис. 22. Фиксированный интервал свободной циркуляции



считать, что компоненты обладают идеальными свойствами. Ключ  $Q_C$  может быть открыт в то время, когда он зашунтирован паразитным диодом, т.е. диод шунтирует сопротивление открытого полевого транзистора  $R_{DS ON}$ , таким образом, понижая потери проводимости. Хотя ток течет в противоположном нормальном направлении (от истока к стоку) канал транзистора  $Q_C$  проводит и будет пропускать часть тока, поделенного между паразитным диодом и ключом.

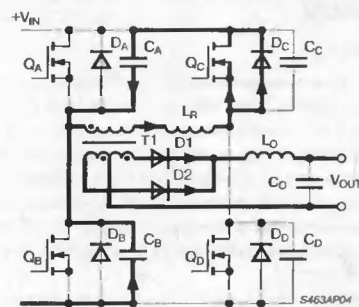
### ПЕРЕХОДНЫЙ ПРОЦЕСС В ЛЕВОМ ПЛЕЧЕ МОСТА

Интервал:  $t_2 < t < t_3$ ;  $Q_A$  — закрыт,  $Q_C$  — открыт,  $D_C$  — открыт,  $C_B$  — разряжается,  $C_A$  — заряжается

В момент  $t_2$  остаточный ток протекает в первичной обмотке трансформатора, хотя величина его из-за потерь становится немного меньше, чем  $I_{PRI}(t_0)$ . Ключ  $Q_C$ , открытый до этого, останется открытым, а ключ  $Q_A$  будет закрыт. Ток первичной обмотки трансформатора продолжает течь, но путь тока теперь проходит через выходную емкость  $C_{OSS}$  ключа  $Q_A$  вместо его канала. Ток, вызываемый повышением напряжения сток-исток на ключе  $Q_A$ , изменяет потенциал истока этого ключа от напряжения верхней к напряжению нижней шины питания. Противоположный процесс происходит на ключе  $Q_B$ , к которому до этого было приложено полное напряжение питания. Теперь резонансный процесс выравнивает напряжение на выводах ключа  $Q_B$  до нуля, что позволяет произойти процессу переключения без потерь.

Ток первичной обмотки трансформатора продолжает течь и фиксируется паразитным диодом ключа  $Q_B$ , который все еще закрыт. Эта фиксация тока короткозамкнутым элементом — необходимое условие для переключения при нулевом напряжении на фиксированной частоте. Как только ключ  $Q_B$  откроется, первичная обмотка трансформатора подключается к шинам питания, так как ключ  $Q_C$  уже открыт и начинается процесс передачи энергии. Хотя переключение при нулевом напряжении уже было произведено, в момент открывания ключа  $Q_B$  достигается нулевое напряжение, вызывающее работу на переменной частоте.

Рис. 23. Переходный процесс в левом плече моста



Заметим, что переходный процесс в левом плече моста требует большего количества времени для завершения, чем переходный процесс в правом плече моста. Потери проводимости постоянной составляющей в ключах, обмотке трансформатора и межсоединениях, обусловленные протеканием тока первичной обмотки, понижаются. Энергия, запасенная в последовательной резонансной индуктивности и индуктивности намагничивания больше не идеально компенсируется при нулевом напряжении. Эта потеря, в дополнение к потерям, понесенным в течение предыдущего переходного процесса, уменьшает ток первичной обмотки ниже начального значения  $I_{PRI}(t_0)$ , таким образом, вызывая более длинный переходный процесс в левом плече моста, чем в правом.

В отличие от обычного преобразователя питания, один транзистор в диагональной паре фазосдвигающего полномостового конвертера включается прежде, чем энергия будет передана, что



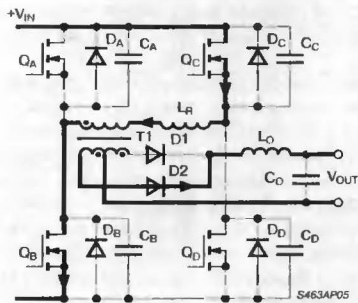
упрощает формирователи затворных токов. Удобно обозначать эти коммутирующие ключи как верхние ключи конвертера, обычно гораздо более трудно возбуждаемые, чем их нижние копии.

### ИНТЕРВАЛ ПЕРЕДАЧИ МОЩНОСТИ

Интервал:  $t_3 < t < t_4$ ;  $Q_B$  — открыт,  $Q_C$  — открыт

Этот интервал фазосдвигающего цикла в основном идентичен аналогичному интервалу обычного конвертера с прямоугольной формой сигнала. Два диагональных ключа открыты, и, поэтому, полное напряжение питания приложено к первичной обмотке трансформатора. Скорость нарастания тока определяется напряжением  $V_{CC}$  и последовательной индуктивностью первичной обмотки, однако начинается с отрицательного значения, а не с нуля. Ток увеличится до постоянного уровня, равного выходному току, деленному на коэффициент трансформации  $I_{OUT}/N$ . Имеется два основных вклада в ток первичной обмотки — это ток намагничивания  $I_{MAG}$  и вклад выходной индуктивности, приведенной к первичной обмотке  $L_{OUT}/N^2$ . Точная длительность включенного состояния есть функция от напряжений  $V_{CC}$ ,  $V_{OUT}$  и коэффициента трансформации трансформатора  $N$ , точно также, как в обычных конвертерах.

Рис. 24. Интервал передачи мощности



### КЛЮЧИ ВЫКЛЮЧЕНЫ

Момент времени:  $t_4$

Цикл переключения заканчивается в момент  $t_4$ , когда верхний правый ключ  $Q_C$  закрыт. Ток в канале транзистора  $Q_C$  прекращается, но продолжает течь через паразитную выходную емкость  $C_{OSS}$ . Это увеличивает напряжение сток-исток по существу от нуля до полного напряжения питания  $V_{CC}$ . Выходная емкость нижнего ключа в левом плече  $Q_D$  одновременно разряжается с помощью тока первичной обмотки. Таким образом, у транзистора  $Q_D$  появляются оптимальные условия для переключения при нулевом напряжении без напряжения сток-исток.

Для упрощения анализа ток в течение этого интервала принимается постоянным. В действительности он имеет слегка резонансный характер, как упомянуто при описании резонансного процесса в правом плече моста, но амплитуда резонансной составляющей незначительна по сравнению с полным током нагрузки. В этой точке заканчивается интервал преобразования энергии, и далее надо производить идентичный анализ другой диагонали моста, что было полностью описано для ключей  $Q_A$  и  $Q_B$ .

### РАССМОТРЕНИЕ РЕЗОНАНСНОГО КОНТУРА

Конструирование резонансного контура начинается с выбора приемлемой частоты переключения. С одной стороны частота выбирается для получения требуемой удельной мощности, с другой стороны, устанавливается максимальная длительность переходного процесса, основываясь на достижимых рабочих циклах во всех

эксплуатационных режимах. В данном случае наилучшее понимание и получение приемлемых результатов обеспечивает опыт.

Максимальная длительность переходного процесса бывает во время преобразования в левом плече моста, работающем при минимальном выходном токе нагрузки.

### ОГРАНИЧЕНИЯ РЕЗОНАНСНОЙ СХЕМЫ

Для резонансных схем с небольшой нагрузкой должны быть соблюдены два условия, относящихся к энергии, запасенной в резонансной катушке индуктивности. Первое заключается в том, что необходимо иметь достаточно запасенной индуктивной энергии, чтобы возбуждать резонансный процесс между паразитными емкостями и противоположной шиной питания. Второе условие гласит, что этот процесс должен происходить в пределах допустимого времени процесса. Результатом нарушения одного или обоих условий является появление потерь переключения при ненулевом напряжении. Первое условие будет описано ниже как одно из ограничений резонансной схемы.

Проектировщики могут утверждать, что некоторые потери на переключение могут иметь небольшие последствия для практических применений при очень малых нагрузках, особенно учитывая, что имеются существенные выгоды при больших нагрузках. Хотя это может считаться прагматическим подходом для многих применений, такое представление, а это значительно важнее, продолжает использование режима, полностью лишенного потерь, как окончательной цели конструирования.

Требования к запасенной энергии индуктивности и ограниченная максимальная длительность резонансного процесса также определяют угловую частоту  $\omega_R$  схемы резонансного контура. Элементы этого контура: резонансная индуктивность  $L_R$  и емкость  $C_R$ , сформированная выходными емкостями двух ключей, а также включенная параллельно с трансформатором емкость первичной обмотки  $C_{TR}$ . Максимальная длительность резонансного процесса не может превышать четырех периодов самой резонансной частоты, чтобы удовлетворять условию переключения при нулевом напряжении.

Угловая частота резонансного контура:

$$\omega_R = (L_R \times C_R)^{-0.5}$$

Максимальная длительность резонансного процесса

$$t(max) = 4 \times \omega_R$$

Упомянутая выходная емкость MOSFET-ключа  $C_{OSS}$  должна быть умножена на коэффициент 4/3, чтобы учесть увеличение емкости, вызванное действием высокого напряжения. Во время каждого резонансного процесса две выходные емкости ключей соединяются параллельно, удваивая общую емкость до  $8/3 \times C_{OSS}$ . Также должна быть учтена емкость первичной обмотки трансформатора  $C_{TR}$ , поскольку она не является такой уж незначительной во многих высокочастотных применениях.

Резонансная емкость:

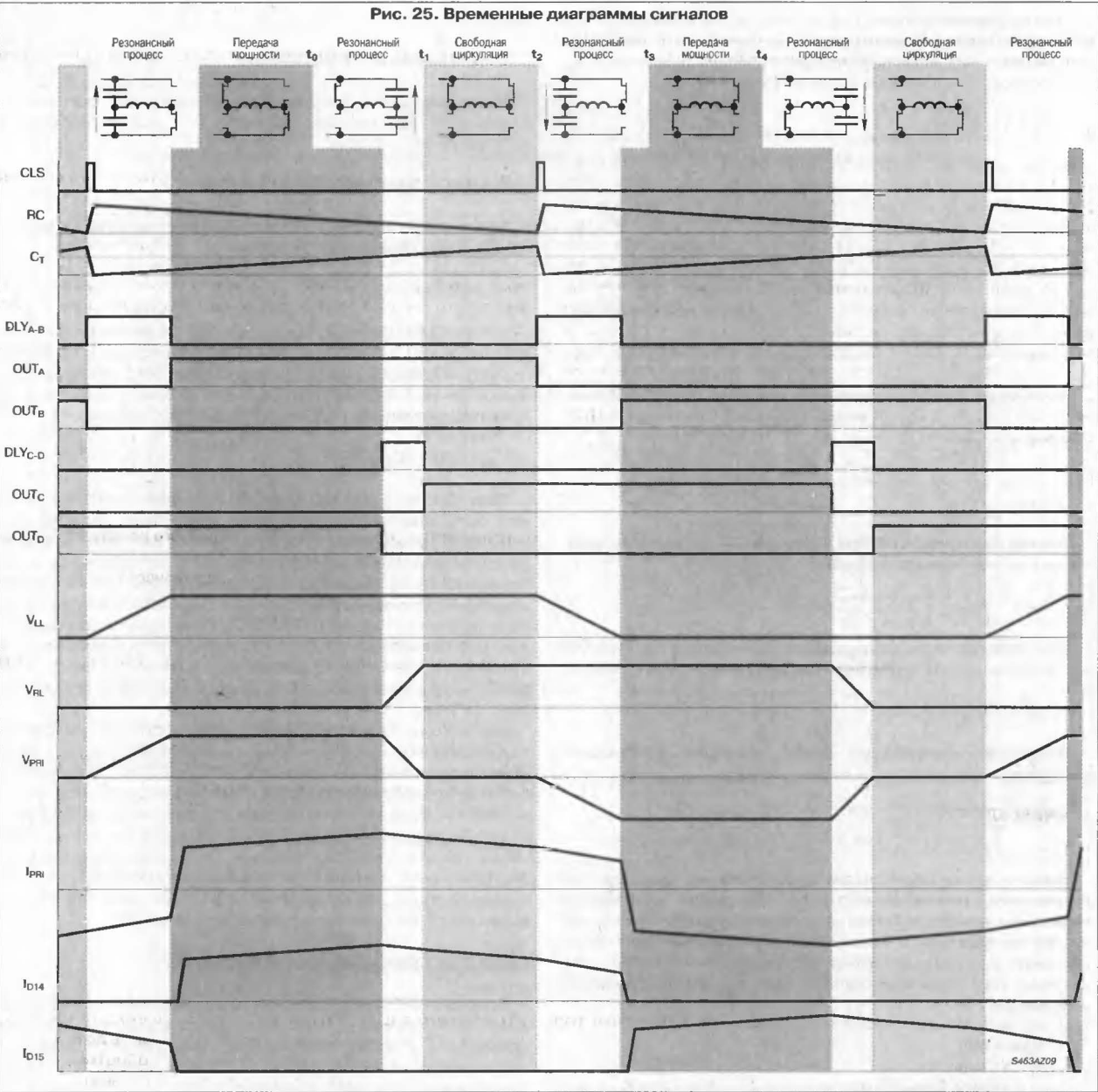
$$C_R = \frac{8}{3} C_{OSS} + C_{TR}$$

Емкостная энергия, необходимая для завершения резонансного процесса:

$$W_{CR} = \frac{1}{2} C_R \times (V_{PRI})^2$$

где  $V_{PRI}$  — напряжение на первичной обмотке.  
Эта энергия может также быть выражена как:

$$W_{CR} = \left(\frac{4}{3} C_{OSS} + C_{TR}\right) \times (V_{CC})^2$$



**ЗАПАСЕННАЯ ЭНЕРГИЯ ИНДУКТИВНОСТИ**

Энергия, запасенная в резонансной индуктивности, должна быть больше, чем энергия, требуемая, чтобы заряжать и разряжать выходные емкости ключей и емкость первичной обмотки трансформатора во время резонансного процесса в пределах максимальной длительности резонансного процесса.

Внутри трансформатора вся энергия запасена в индуктивности рассеяния, так как ток вторичной обмотки фиксирует напряжение первичной обмотки по существу на нуле. Это вызывает циркуляцию большого тока первичной обмотки (См. **Рис. 19**) в физической обмотке, но не оказывает никакого влияния на запасенную энергию, используемую для переключения при нулевом напряжении.

Энергия, запасенная в резонансной индуктивности:

$$W_{LR} = \frac{1}{2} L_R \times (I_{PRI})^2,$$

где  $I_{PRI}$  — ток первичной обмотки.

**РЕЗОНАНСНЫЕ СХЕМЫ. ВЫВОДЫ**

Имеются несколько способов расчета значений резонансной индуктивности и минимального тока первичной обмотки в любых применениях. Каждый из этих способов основан на следующих фундаментальных соотношениях.

Частота резонансного контура должна быть по крайней мере в четыре раза выше, чем длительность резонансного процесса при полном резонансе в пределах максимальной длительности резонансного процесса  $t(max)$  для малой нагрузки.

$$f_R = 4 \times t(max)$$

$$f_R = \frac{1}{t_R}$$

или

$$t_R = \frac{1}{f_R} = \frac{1}{4 \times t(max)},$$

где  $\omega_R = 2\pi f_R$

$$\omega_R = \frac{2\pi}{t_R}.$$

После перестановки и объединения этих соотношений получим:

$$\omega_R = \frac{2\pi}{4t(max)}$$

$$\omega_R = \frac{\pi}{2t(max)}.$$

Угловая резонансная частота в радианах  $\omega_R$  связана с резонансными компонентами уравнением:

$$\omega_R = \frac{1}{\sqrt{L_R C_R}}.$$

Возведем обе части этого равенства в квадрат и преобразуем его, чтобы вычислить точное значение резонансной индуктивности:

$$L_R = \frac{1}{\omega_R^2 C_R}.$$

Подстановка значений для  $\omega_R$  и  $C_R$  приводит к следующему уравнению:

$$L_R = \frac{1}{\left(\frac{\pi}{2t(max)}\right)^2 \left(\frac{8}{3} C_{OSS} + C_{TR}\right)}.$$

Заметим, что эта формула дает точное значение резонансной индуктивности, учитывающее только требования резонансных переходных процессов. Так как резонансная индуктивность включена последовательно с первичной обмоткой трансформатора, следовательно, она также определяет максимальную скорость нарастания тока первичной обмотки  $dI/dt$  как функцию входного напряжения:

$$\frac{dI}{dt} = \frac{V_{IN}}{L_R}.$$

Если значение резонансной индуктивности слишком большое, может потребоваться слишком много времени, чтобы достигнуть необходимого тока нагрузки в пределах цикла преобразования энергии. Расчетное значение индуктивности удовлетворяет условию малой нагрузки, однако работу с предельной нагрузкой также надо рассмотреть.

#### ТРЕБОВАНИЯ К ЗАПАСЕННОЙ ЭНЕРГИИ

Как было показано, энергия, запасенная в резонансной индуктивности, должна быть больше, чем энергия емкости, необходимая для прохождения резонансного процесса в пределах допустимого времени. В итоге получаются следующие уравнения:

$$\frac{1}{2} L_R \times [I_{PR}(min)]^2 > \frac{1}{2} C_R \times [V_{CC}(max)]^2$$

или

$$L_R \times [I_{PR}(min)]^2 > C_R \times [V_{CC}(max)]^2.$$

Так как значения  $C_R$  и  $V_{CC}$  известны или могут быть оценены для конкретного применения, величину  $L_R$  можно определить количественно.

#### МИНИМАЛЬНЫЙ ТОК ПЕРВИЧНОЙ ОБМОТКИ

Теперь можно определить минимальный ток первичной обмотки, преобразовав предыдущее уравнение:

$$I_{PRI}(min) = V_{IN} \sqrt{\frac{C_R}{L_R}}.$$

Это значение может быть поддержано вычислением среднего тока, требуемого для перезарядки резонансного конденсатора до полного напряжения шины источника питания. Хотя величина, полученная по этой формуле, будет более низкой, чем  $I_P(min)$ , она может использоваться как математическое подтверждение:

$$I_R(avg) = C_R \frac{V_{IN}}{t(max)}.$$

Получение необходимой величины тока первичной обмотки может быть выполнено несколькими способами. Большинство использует прямой подход, заключающийся в том, чтобы просто ограничить минимальный ток нагрузки соответствующим уровнем. Один из альтернативных подходов, однако, заключается в конструировании трансформатора с соответствующей индуктивностью намагничивания. Некоторую помощь току намагничивания оказывает вклад параллельно текущего приведенного тока индуктивности вторичной обмотки. Также должны приниматься во внимание любые изменения рабочего цикла, изменяющие пиковый зарядный ток.

Вообще одного тока намагничивания недостаточно во многих автономных высокочастотных конвертерах. Трансформатор обычно имеет ограниченные потери в сердечнике, что означает большое число витков первичной обмотки и высокую индуктивность намагничивания. Одна из возможностей для получения необходимой величины тока первичной обмотки — шунтирование первичной обмотки трансформатора внешней катушкой индуктивности. Альтернативное решение — это введение катушки индуктивности в выходной фильтр, ток намагничивания которой также помогает резонансным процессам на стороне первичной обмотки.

#### СХЕМА ФАЗОСДВИГАЮЩЕГО ШИМ-КОНТРОЛЛЕРА

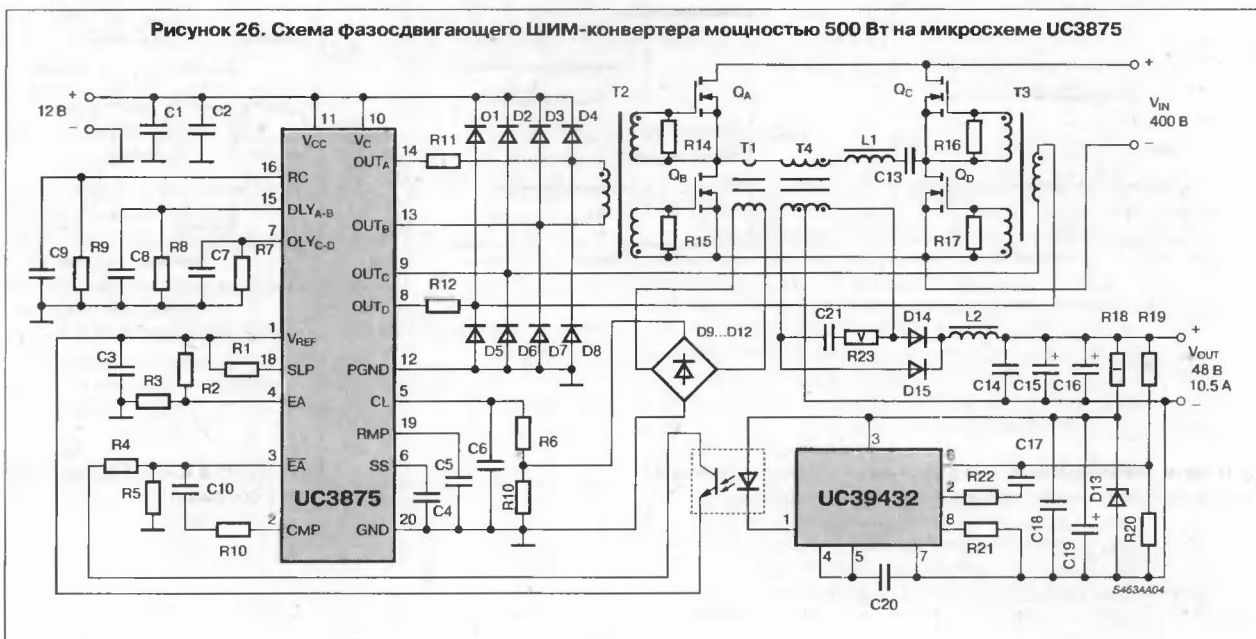
Вероятно наиболее критический аспект управления в фазосдвигающей ШИМ-технике — способность охватить полный диапазон сдвига фаз от 0° до 180°. Невозможность охвата этого диапазона может вызывать ненужные трудности в схеме защиты или ключах. Потеря управления в любой ситуации кончится катастрофическими последствиями в виде одновременного открывания обоих транзисторов в одном плече конвертера. Микросхема фазосдвигающего контроллера UC3875 обладает необходимыми свойствами, чтобы обеспечить без особых усилий и переключения при нулевом напряжении, и эффективный полный рабочий цикл. Дополнительно микросхема контроллера используется, чтобы обеспечить необходимые функции управления, декодирования, защиты и формирования для данного применения. Для приведенного примера осуществлен режим управления с обратной связью по току, хотя микросхема одинаково подходит и для обычного режима управления с обратной связью по напряжению, а также для ОС с опережающей подачей входного напряжения. При работе в режиме управления с обратной связью по току микросхема принимает за ноль напряжение максимальной амплитудой 2.7 В на входе токосчитывающего компаратора

и выполняет простую функцию компенсации наклона пилообразного напряжения.

Микросхема UC39432 представляет из себя монитор напряжения (см. Рис. 26), сравнивающий напряжение на выводе

[6] с внутренним опорным напряжением  $V_{REF} = 1.3$  В. Компоненты R22, C17 — это компенсирующая цепь, а R21 ограничивает ток в цепи выходного каскада (через светодиод оптрона).

Рисунок 26. Схема фазосдвигающего ШИМ-конвертера мощностью 500 Вт на микросхеме UC3875



## СПИСОК КОМПОНЕНТОВ

### Конденсаторы:

(Все конденсаторы керамические на рабочее напряжение 20 В, если не указано иначе)

C1	1 мкФ
C2	47 мкФ x 25 В, Электролитический
C3	1 мкФ
C4	1 мкФ
C5	75 пФ x 16 В, Полистирольный
C6	0.001 мкФ
C7, 8	0.01 мкФ
C9	470 пФ
C10	0.1 мкФ
C11	1 мкФ x 450 В, Полистирольный
C12	47 мкФ x 450 В, Электролитический
C13	1.2 мкФ x 450 В, Полистирольный
C14	1 мкФ x 100 В
C15, 16	220 мкФ x 63 В, Электролитический
C17	6.8 мФ
C18	1 мкФ
C19	22 мкФ x 25 В, Электролитический
C20	1 мкФ
C21	2.7 нФ x 200 В, Полистирольный с низким эквивалентными индуктивностью и сопротивлением

### Диоды:

D1...8	1N5820 3 А, 20 В, Диод Шоттки
D9...12	1N4148
D13	12 В, 3 Вт, Стабилитрон
D14, 15	15 А, 200 В, Быстровосстанавливающийся

### Катушки индуктивности:

L1	47 мГн, 3 А
L2	100 мГн, 15 А

### Полевые транзисторы:

Q <sub>A</sub> ...Q <sub>D</sub>	IRF840 NMOS
----------------------------------	-------------

### Резисторы:

(Все резисторы металлопленочные 1/2 Вт, 1%, если не указано иначе)

R1	75 кОм
R2	2 кОм
R3	3 кОм
R4	470 Ом
R5	3 кОм
R6	100 Ом
R7, 8	6.8 кОм
R9	43 кОм
R10	150 кОм
R11, 12	10 Ом
R13	20 Ом
R14...17	10 кОм
R18	3.6 кОм, 1 Вт
R19	36 кОм
R20	1 кОм
R21	33 Ом
R22	43 кОм
R23	110 Ом, 5 Вт Углеродный

### Микросхемы:

U1	UC3875
U2	Транзисторный оптрон
U3	UC39432

## ТИПОВЫЕ РАБОЧИЕ ХАРАКТЕРИСТИКИ

Рис. 27. Осциллограммы сигналов одного цикла переключения

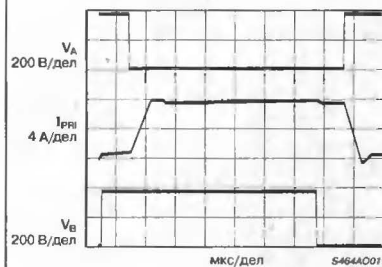


Рис. 28. Осциллограммы сигналов в первичной обмотке

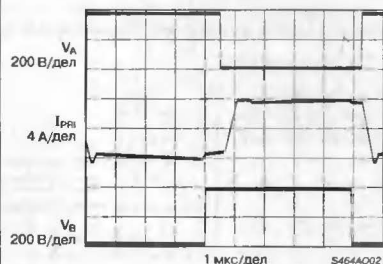
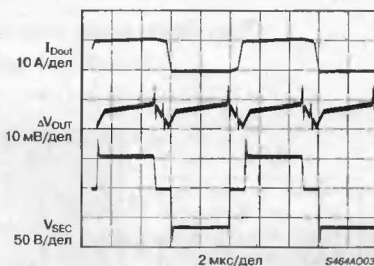


Рис. 29. Осциллограммы сигналов во вторичных обмотках





# ДВУХТАКТНЫЙ ШИМ-КОНТРОЛЛЕР 1169EY1

Аналоги  
без аналога

Товарные знаки  
фирм изготовителей



## ОСОБЕННОСТИ

- Максимальный ток каждого выхода ..... 30 мА
- Выходное опорное напряжение ..... 2.3 В
- Полностью симметричный режим работы
- Защита от сквозных токов
- Просто организуемая внешняя синхронизация
- Встроенная защита по току
- Защита цепи ОС от замыкания или обрыва
- Блокировка при понижении напряжения питания
- Защита от насыщения трансформатора в переходных режимах
- Частота переключения ..... свыше 45 кГц

## ТИПОНОМИНАЛЫ

K1169EY1

## ОБЩЕЕ ОПИСАНИЕ

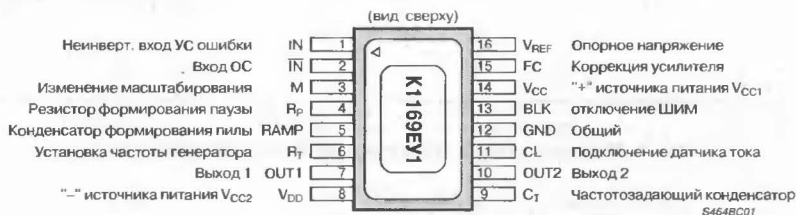
Микросхема 1169EY1 представляет из себя набор функциональных блоков, предназначенный для построения двухтактного импульсного источника питания. Прибор включает в себя усилитель ошибки, масштабный усилитель, регулируемый генератор, компаратор регулировки "мертвого" времени, ШИМ-компаратор, счетный и RS-триггеры, ИОН и выходные каскады для управления мощными транзисторами. Микросхема предоставляет возможность для реализации различного вида защитных функций, необходимых в двухтактном импульсном источнике питания, а также возможность реализации плавного запуска и блокировку при понижении напряжения питания. Допускается синхронизация встроенного генератора внешним сигналом.

Микросхема 1169EY1 может работать как от однополярного, так и от двухполярного источника питания. При работе от двухполярного источника питания должна обеспечиваться возможность объединения общей точки источников питания и микросхемы.

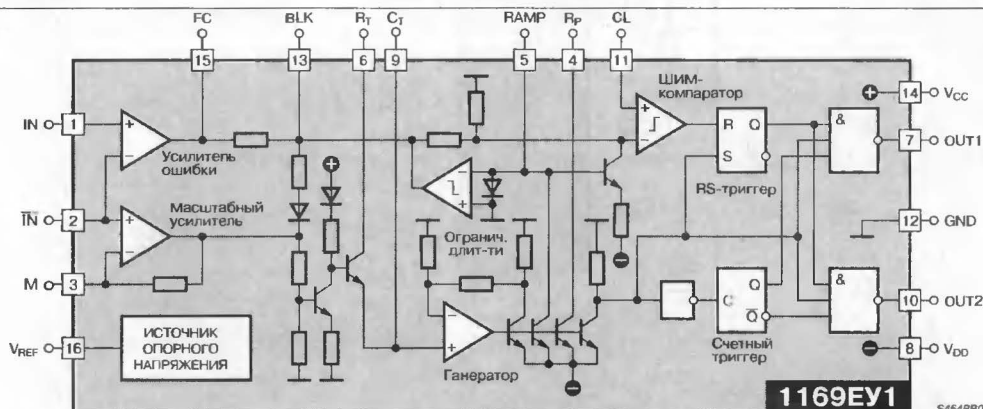
Прибор нормально работает в диапазоне температур  $-60...85^{\circ}\text{C}$  и выпускается в металлокерамическом корпусе типа 402.16.33-04.

## ЦОКОЛЕВКА КОРПУСОВ

Металлокерамический корпус типа 402.16.33-04



## СТРУКТУРНАЯ СХЕМА



### МАКСИМАЛЬНЫЕ ЗНАЧЕНИЯ ПАРАМЕТРОВ И РЕЖИМОВ

Напряжение питания:

$V_{CC}$  ..... 8...10 B

 $V_{pp} \dots -6 \dots -4 \text{ B}$ 

Коммутируемое напряжение ..... 16 В

Ток нагрузки опорного напряжения ..... 5 мА

**Выходной ток:**

Вывод [4] ..... 10 мА

выводы **7**, **10** ..... 30 мА

Рабочий диапазон температур окружающей среды ..... -25...+85°C

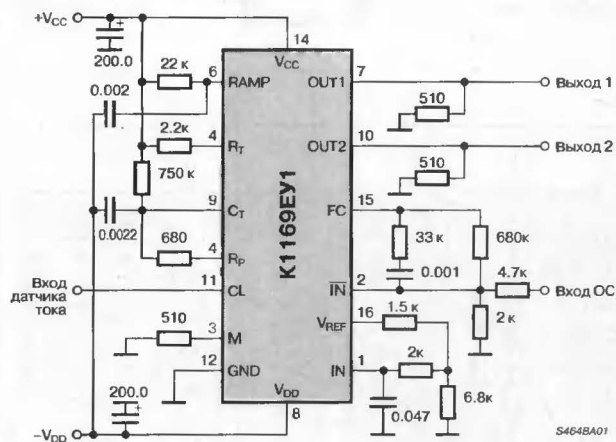
### ЭЛЕКТРИЧЕСКИЕ ПАРАМЕТРЫ

При  $V_{CC} = 15 \text{ В}$ ,  $f = 10 \text{ кГц}$ ,  $T_A = 25^\circ\text{С}$ , если не указано иначе

Параметр		Условия	Значение		Единица измерения
			не менее	не более	
Выходное опорное напряжение			1.9	2.7	В
Выходное напряжение	нижний предел		-5.1	-4.3	В
	верхний предел		13	10	В
Напряжение срабатывания ШИМ-компаратора	НИЗКИЙ уровень	$V_{REF} = 0...2.3 \text{ В}$	0.15	0.3	В
	ВЫСОКИЙ уровень	$V_{REF} = 0...2.3 \text{ В}$	1.7	2.1	В
Ток потребления	от положительного источника	без учета выходных токов	—	18	мА
	от отрицательного источника	без учета выходных токов	—	50	мА
Частота переключения			45	70	кГц
Время нарастания			—	0.5	мкс
Задержка выходных импульсов			—	0.7	мкс
Нестабильность опорного напряжения по напряжению питания		$V_{CC} = 10 \text{ В}, V_{DD} = -6 \text{ В}$	—	23	мВ
ТК опорного напряжения		$T_A = -60...+85^{\circ}\text{C}$	—	0.015	%/°C
Коэффициент пульсаций опорного напряжения			—	1	%

## СХЕМЫ ВКЛЮЧЕНИЯ

**Рис. 1. Типовая схема двухтактного ШИМ-преобразователя**



## ПРОЧИЕ МИКРОСХЕМЫ

Это новый раздел, в который включены микросхемы, предназначенные для применения в электронных пускорегулирующих аппаратах. Микросхема 1182ГГ2 предназначена для высоковольтных ЭПРА с напряжением питания до 400 В, микросхема 1112ЕУ1 — для люминесцентных ламп с питанием от бортовой сети автомобиля

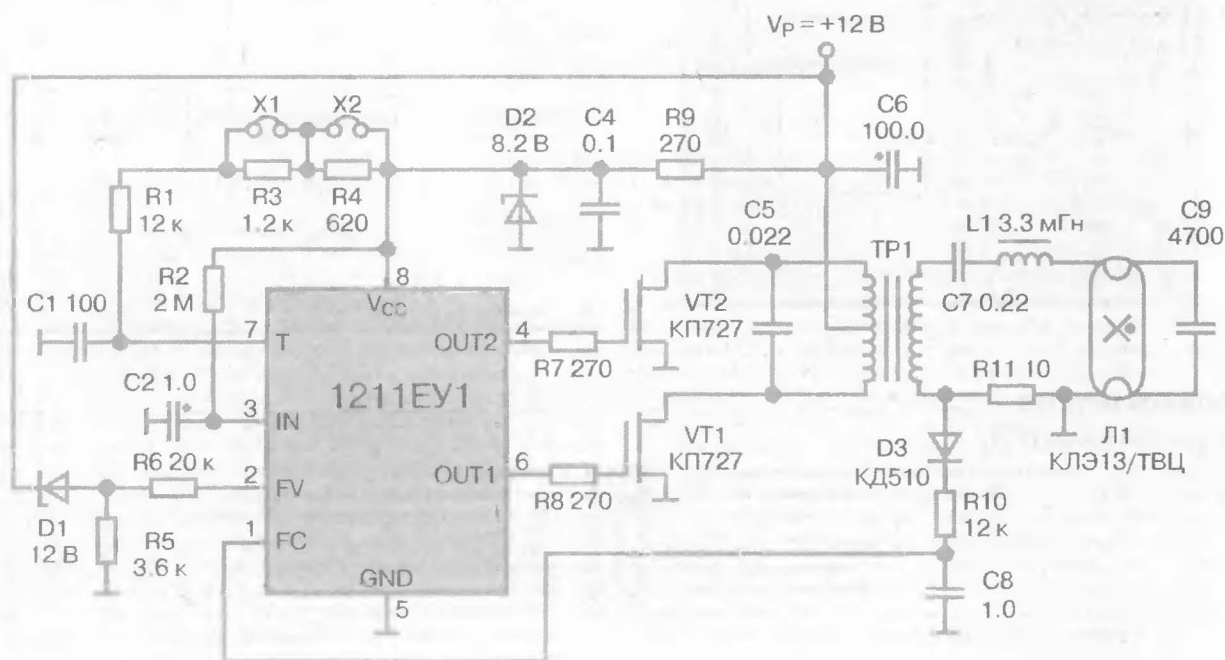
### ОТЕЧЕСТВЕННАЯ МИКРОСХЕМА

Стр.

### ЗАРУБЕЖНЫЙ АНАЛОГ

Стр.

<b>1182ГГ2</b>	Полумостовой автогенератор ЭПРА .....	266
<b>1211ЕУ1</b>	Двухтактный контроллер контроллер ЭПРА с переключением частоты .....	269



# ПОЛУМОСТОВОЙ АВТОГЕНЕРАТОР ЭПРА 1182ГГ2

без аналога

Товарные знаки  
фирм изготовителей



## ОСОБЕННОСТИ

- ♦ Напряжение питания ..... до 400 В (DC)
- ♦ Выходной ток:  
длительный ..... 0.28 А (peak)  
кратковременный ..... 0.6 А (peak)
- ♦ Температура окружающей среды ..... -40...+85°C

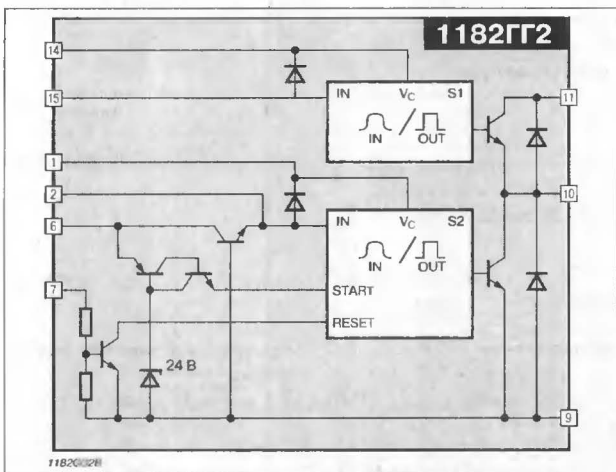
## ОБЩЕЕ ОПИСАНИЕ

Монолитная интегральная схема высоковольтного полумостового автогенератора 1182ГГ2 изготовлена по уникальной биполярной технологии и предназначена для применения в электронных пуско-регулирующих аппаратах (ЭПРА) компактных люминесцентных ламп малой мощности.

## ТИПОМИНАЛЫ

Прибор	Корпус
КР1182ГГ2	HDIP(PowerDIP)-16

## СТРУКТУРНАЯ СХЕМА



## МАКСИМАЛЬНЫЕ ЗНАЧЕНИЯ ПАРАМЕТРОВ И РЕЖИМОВ

При  $T_A = -40...+85^\circ\text{C}$

Параметр	Символ	Значение	
		Не менее	Не более
Напряжение питания, В	$V_{CC}$	—	400 <sup>1)</sup>
Напряжение на входах управления, В	$V_S$	-20 <sup>2)</sup>	+20 <sup>2)</sup>
Выходной ток, мА	длительный	$I_G$	—
	кратковременный	$I_G$	—
Рассеиваемая мощность при $T = +85^\circ\text{C}$ , Вт	$P_{TOT}$	—	0.8
Температура окружающей среды, °C	$T_A$	-40	+85
Температура хранения, °C	$T_{STG}$	-55	+150
Допустимое напряжение статического электричества, В	$V_{SE}$	—	500

### Примечания:

- 1) скорость нарастания напряжения питания  $dV_{CC}/dt$  не более 10 В/мкс;
- 2) длительность воздействия не более 5 с (вследствие ограничения рассеиваемой мощности).

## ОСНОВНЫЕ ЭЛЕКТРИЧЕСКИЕ ПАРАМЕТРЫ

При  $T_A = 25^\circ\text{C}$ , если не оговорено иное.

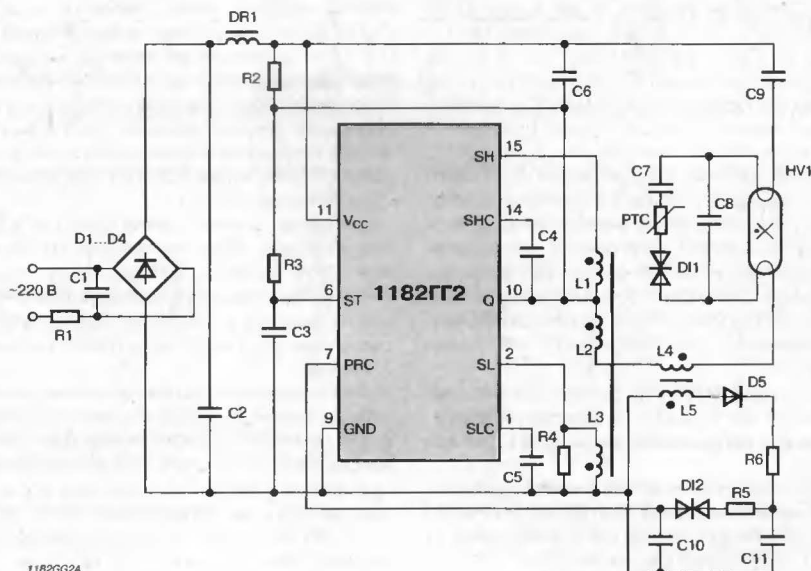
Параметр	Символ	Условия	Значение			Единица измерения
			не менее	типичное	не более	
Остаточное напряжение выходных транзисторов	$V_{SAT}$	$I = 0.5 \text{ A}$	—	—	3.5	В
Напряжение срабатывания стартовой цепи	$V_{ST}$	—	14	20	26	В
Падение напряжения на обратных диодах	$V_D$	$I_D = 400 \text{ mA}$	—	1.4	3	В
Ток утечки выхода	$I_{IL}$	$V_{CC} = 400 \text{ В}$	—	—	200	мкА

## ЦОКОЛЕВКА КОРПУСОВ

Корпус типа HDIP-16 (12 + 4)

Питание схемы управления нижнего плеча	SLC	1	16	п.с.	Не используется
Вход схемы управления нижнего плеча	SL	2	15	SH	Вход схемы управления верхнего плеча
Не используется	п.с.	3	14	SHC	Питание схемы управления верхнего плеча
Земля	GND	4	13	GND	Земля
Земля	GND	5	12	GND	Земля
Стартовый вход	ST	6	11	$V_{CC}$	Напряжение питания
Вход схемы защиты	PRC	7	10	Q	Выход автогенератора
Не используется	п.с.	8	9	GND	Земля

Рис. 1. Схема применения контроллера для люминесцентных ламп



1182GG2A

Номиналы элементов для сетевого напряжения питания 220...240 В, лампы на 12 Вт и выходной частоты 30 кГц выбираются следующим образом:

**Диоды:**

D1...D4 — диодный мост КЦ407А;  
D5 — любой маломощный диод с  $V_{обр} > 100$  В;  
D11 — диак с напряжением включения 150...200 В;  
D12 — диак с напряжением включения 17 В.

**Резисторы:**

R1 — 10 Ом x 0.25 Вт;  
R2 — 470 кОм x 0.125 Вт;  
R3 — 1 МОм x 0.125 Вт;  
R4 — 100 Ом x 0.25 Вт;  
R5 — 4.7 кОм x 0.125 Вт;  
R6 — 10 кОм x 0.125 Вт.

**Позистор:**

PTC-C890.

**Конденсаторы:**

C1 — 0.15 мкФ x 630 В, -20...+50%;  
C2 — 10 мкФ x 450 В;  
C3 — 4.7 нФ x 25 В, 20%;  
C4 — 0.022 мкФ x 25 В, 5%;  
C5 — 0.022 мкФ x 25 В, 5%;  
C6 — 1000...1500 нФ x 630 В, 5%;  
C7 — 6800 нФ x 630 В, 10%;  
C8 — 2200...3300 нФ x 630 В, 5%;  
C9 — 0.047 нФ x 250 В;  
C10 — 4.7 нФ x 25 В, 20%;  
C11 — 0.15 мкФ x 50 В, -20...+50%.

**Дроссель:**

DR1 — 450...500 мкГн.

**Трансформаторы:**

L1, L2, L3 — на насыщающемся ферритовом кольце (например, для кольца 16/10/4.5 M2000HM1 количество витков  $L2 = 16$ ,  $L1 = L3 = 8$  витков).  
L4, L5 — первичная обмотка L4 является дросселем для лампы с индуктивностью 5.1 мГн (трансформатор может быть выполнен на ферритовом Ш-образном сердечнике, 330 витков провода  $\varnothing 0.25...0.33$  мм, материал M2000HM1, сечение 5 x 5 мм, с воздушным зазором около 0.5 мм), вторичная обмотка L5 — 15 витков.

**ОПИСАНИЕ РАБОТЫ ИС И РЕКОМЕНДАЦИИ ПО ПРИМЕНЕНИЮ**

Интегральная схема 1182ГГ2 является схемой полумостового автогенератора.

По структурному построению она является монолитным исполнением дискретных вариантов ЭПРА (в основном их активных частей), использующих принцип автогенерации для получения питающего напряжения люминесцентных ламп.

Вместе с тем имеется существенное отличие, позволившее реализовать всю схему на одном кристалле. Оно заключается в том, что для управления выходными транзисторами использованы специальные схемы преобразования входного синусоидального напряжения в прямоугольное и методы форсированного выключения этих транзисторов. Благодаря этому выходные биполярные транзисторы с относительно малой площадью хорошо справляются с выходной индуктивной нагрузкой, и не создается проблем по вторичному пробую при больших стартовых токах ЭПРА. Схемы преобразования запитываются от конденсаторов C4 (верхний преобразователь) и C5 (нижний преобразователь), заряжаемых током вторичных обмоток L1, L3. Так как выходные транзисторы работают в активном режиме, то входной ток преобразователей (ток со вторичных обмоток L1, L3) зависит от тока лампы, поэтому для

устойчивой генерации и насыщения ферритового кольца необходим дополнительный нагрузочный резистор R4.

Для запуска автогенератора необходима стартовая цепочка. Активные элементы внесены в ИС, дополнительные внешние элементы — резисторы R2, R3 и конденсатор C3.

Конденсатор C6 служит для "завала" фронта выходного сигнала, снижая этим уровень высокочастотных помех и улучшая режим работы выходных транзисторов с индуктивной нагрузкой.

Первичная обмотка L4 трансформатора является индуктивностью, ограничивающей ток лампы на требуемом уровне. Габариты сердечника определяются требованием работать на стартовом токе до 500 мА (при неисправной или вырабатывающей свой ресурс лампе).

Насыщающееся ферритовое кольцо с тремя обмотками задает режим автогенерации. Количество витков первичной обмотки определяет напряжение на вторичных обмотках; число витков вторичных обмоток определяет сдвиг фаз по току и, соответственно, частоту автогенератора. Оптимальный режим по напряжению на входах управления ИС — около 5 В в момент переключения выходных транзисторов (для тока около 200 мА). При применении ламп с меньшим током (2...5 Вт) возможно снижение этого напряжения до 4 В для уменьшения рассеиваемой мощности. На Рис. 1 приведены



параметры трансформатора для лампы мощностью 12 Вт при индуктивности L4 5.1 мГн. Для тех же условий, но для лампы 15 Вт обмотка L1 — 14 витков, L2 и L3 — по 10 витков. Для лампы 9 Вт количество витков L1 — 20, L2 и L3 — по 7. Уменьшение габаритов ферритового кольца затруднено в следствии того, что нагрузкой вторичных обмоток вместе с активными элементами ИС и резистором R4 являются также емкости C4 и C5, что приводит к неустойчивой генерации при меньших размерах кольца.

Емкость конденсатора C8 образует с индуктивностью L4 резонансный контур, формируя на лампе высокое напряжение, необходимое для ее зажигания. Для частоты 30 кГц значение резонансной емкости при 5.1 мГн составляет около 4.7 нФ, однако, при увеличении тока через резонансный контур до 500 мА частота генерации увеличивается почти в два раза, поэтому требуемая резонансная емкость C8 уменьшается до 2200 нФ (дополнительно к этому, частичный вклад вносит параллельно подключенная емкость C7, при ее отсутствии C8 = 3300 нФ).

Емкость C9 формирует "среднюю точку" от напряжения питания.

Резистор R1 ограничивает импульсный ток заряда сглаживающей емкости C2 и защищает выпрямительный мост D1...D4 при включении в сеть.

Номинал емкости C2 зависит от требований по пульсациям выпрямленного сетевого напряжения и, соответственно, тока через лампу. Приемлемые результаты получаются при 6.8 мкФ для 9 Вт лампы, 10 мкФ для лампы 12 Вт, 15 мкФ для лампы 15 Вт.

Все вышеописанные элементы определяют минимальную конфигурацию ЭПРА, в которой он уже пригоден для отдельных применений (например, для ламп 2...5 Вт). Следующие элементы оптимизируют ЭПРА по некоторым параметрам, часть из них может не использоваться в каких-то конкретных случаях применения.

Конденсатор C1 и дроссель DR1 являются простейшим фильтром сетевых помех.

Терморезистор РТС с положительным температурным коэффициентом сопротивления (позистор) позволяет осуществить предварительный подогрев нитей накала люминесцентной лампы и ее "горячий" старт, что значительно продлевает срок ее службы.

Имея малое сопротивление в холодном состоянии при включении лампы, позистор снижает добротность резонансного контура L4-C8, не давая сразу возрасти напряжению на лампе. Через время 0.5...0.8 с нити накала успевают разогреться, сопротивление позистора тоже увеличивается, и напряжение на лампе возрастает до его стартового значения в разогретом состоянии. Номинал емкости C7 определяет ток, протекающий через позистор, и время его разогрева. Для типоминималов позистора, отличных от приведенного выше, номинал емкости будет другим; для некоторых позисторов емкость C7 может отсутствовать.

Так как при горении лампы позистор будет рассеивать часть активной мощности, можно повысить коэффициент полезного действия ЭПРА, применив элемент D11 с характеристикой диода на напряжение, большее амплитудного значения рабочего напряжения на лампе. В этом случае через позистор будет протекать ток только при разогреве лампы; после ее зажигания позистор будет отключен.

При старении лампы или ее разгерметизации ЭПРА может длительное время находиться в стартовом режиме (режим холостого хода). При высокой добротности резонансного контура амплитуда напряжения на емкости C8 и индуктивности L4 может превысить их предельные значения, величина тока достигнет предельного значения тока выходных транзисторов ИС, что приведет к выходу ЭПРА из строя. ИС имеет вход срыва автогенерации, к которому можно подключить схему защиты от холостого хода. Датчиком амплитуды напряжения служит вторичная обмотка L5 трансформатора; направление ее включения безразлично. Через выпрямительный диод D5 и ограничительный резистор R6 на емкости C11 формируется напряжение, пропорциональное напряжению на L4 и лампе HV1. При достижении напряжения включения диода D12 емкость C11 разряжается через резистор R5 на вход защиты, срывая автогенерацию и блокируя автогенератор до его выключения из сети и разряда емкости C2. Емкость C10, в общем случае, служит для подавления помех на входе защиты, и ее необходимость может рассматриваться в каждом конкретном случае применения.

# ДВУХТАКТНЫЙ КОНТРОЛЛЕР ЭПРА 1211ЕУ1

Без аналога

Товарные знаки  
изготовителей



## ОСОБЕННОСТИ

- Двухтактный выход с паузой между импульсами
- Вход выбора частоты
- Компактный корпус
- Минимальное количество навесных элементов
- Малая потребляемая мощность

## ПРИМЕНЕНИЕ

- Контроллер электронных пускорегулирующих аппаратов (ЭПРА) для компактных люминесцентных ламп с питанием от бортовой сети постоянного тока 6...24 В
- Преобразователи постоянного напряжения в переменное
- Импульсные источники питания

## ОБЩЕЕ ОПИСАНИЕ

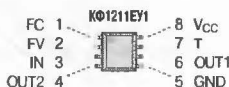
Микросхема 1211ЕУ1 представляет собой специализированный контроллер электронных пускорегулирующих аппаратов (ЭПРА) для компактных люминесцентных ламп с питанием от бортовой сети постоянного тока 3...24 В. Производится по КМОП-технологии.

## ЦОКОЛЕВКА КОРПУСОВ

Пластмассовый корпус типа DIP-8



Пластмассовый корпус типа SOP-8



## ТИПОНОМИНАЛЫ

Типономинал	Корпус	Диапазон температур, °C
KP1211EY1	DIP-8	-45...+85
KF1211EY1	SOP-8	-45...+85

## ФУНКЦИОНАЛЬНОЕ ОПИСАНИЕ

Структурная схема микросхемы 1211ЕУ1 приведена на **Рис. 1**. Микросхема состоит из задающего генератора, делителя частоты, формирователя импульсов и выходных усилителей. Управление микросхемой производится с выводов IN, FC, FV, по которым установлены пороговые устройства. С вывода IN переключается коэффициент деления делителя частоты и НИЗКИМ уровнем напряжения сбрасывается RS-триггер выключения выходного каскада и формирователя. При подаче на вывод IN напряжения ВЫСОКОГО уровня коэффициент деления равен 18, при подаче НИЗКОГО — 14. Выводы FC и FV

служат для построения схем защиты. При подаче на любой из них напряжения ВЫСОКОГО уровня происходит выключение выходных каскадов микросхемы (на выводах OUT1 и OUT2 устанавливается напряжение, равное нулю). Разница между ними заключается в том, что с вывода FV выходные каскады выключаются только на время подачи на этот вывод напряжения ВЫСОКОГО уровня, а с вывода FC — на время до сбрасывания RS-триггера со входа IN.

Частота повторения импульсов  $f_T$ , вырабатываемых задающим генератором, задается RC-цепочкой R1C1, подключаемой к выводу Т. Её можно оценить по формуле:

$$f_T \approx \frac{0.07}{R1C1}$$

Стабильность частоты генератора можно оценить по графику, приведенному на **Рис. 2а**. Ток, потребляемый микросхемой, увеличивается с повышением частоты генератора, как показано на **Рис. 2б**. Импульсы с выхода генератора поступают на делитель частоты и формирователь импульсов. С выхода делителя частоты на вход формирователя поступают противофазные симметричные импульсы; формирователь обеспечивает паузу между ними длительностью в один период тактовой частоты, как показано на **Рис. 1**.

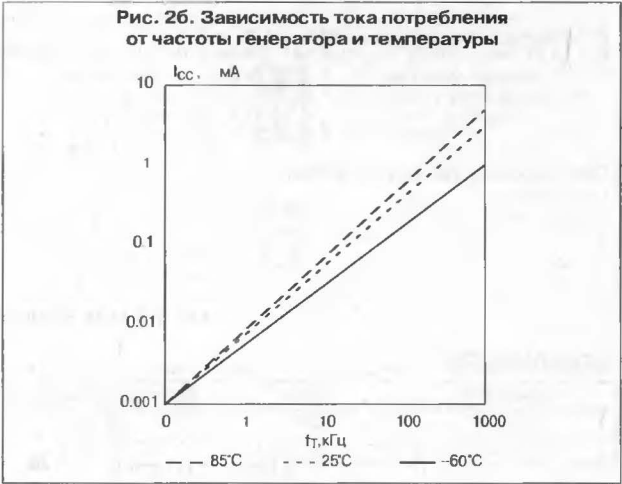
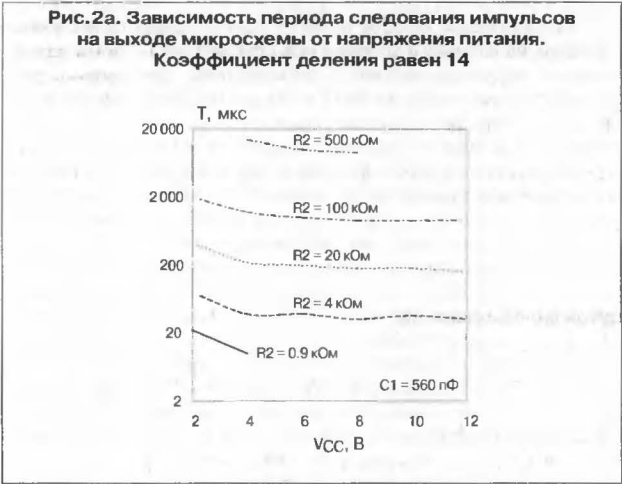
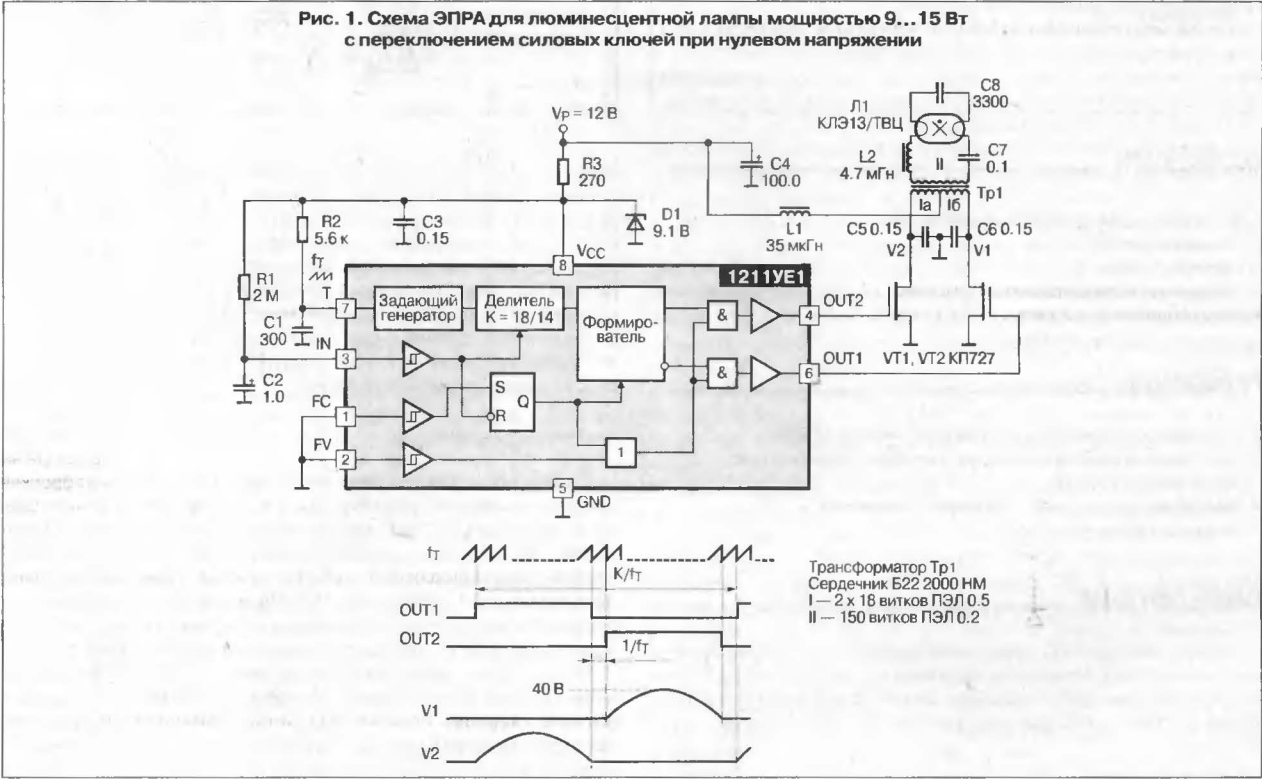
Типовая схема применения микросхемы 1211ЕУ1 в ЭПРА для люминесцентной лампы приведена на **Рис. 1**. Схема состоит из микросхемы 1211ЕУ1 с времязадающими цепями и двухтактного трансформаторного каскада, нагрузкой которого является колебательный контур L2C8 с люминесцентной лампой. Схема в начале производит разогрев катодов лампы, а затем подает на неё высокое напряжение, под действием которого лампа начинает светиться. Для разогрева катодов лампы в контур подаются колебания частотой на 30% выше резонансной, для свечения — равной резонансной. Частота импульсов, вырабатываемых генератором, подбирается такой, чтобы при ВЫСОКОМ уровне напряжения на входе IN (при коэффициенте деления, равном 18) частота повторения импульсов на выходе микросхемы была равна резонансной частоте колебательного контура. При подаче напряжения питания ток, протекающий через резистор R2 начинает заряжать конденсатор C2, подключаемый к выводу IN. Постоянная времени RC-цепочки R2C2 определяет время разогрева катодов лампы. При этом до достижения порогового значения напряжения на входе IN производится разогрев катодов лампы частотой выше резонансной (коэффициент деления 14), а после достижения порогового значения — зажигание и свечение лампы (коэффициент деления 18).

Для данной схемы резонансная частота колебательного контура равна 45 кГц, время заряда конденсатора C2 — 2 секунды. Элементы L1, C5, C6 обеспечивают изменение напряжения на стоках транзисторов по синусоидальному закону. Транзисторы переключаются при нулевом напряжении на стоке, вследствие чего разогрев транзисторов уменьшается за счет снижения коммутационных потерь.

## МАКСИМАЛЬНЫЕ ЗНАЧЕНИЯ ПАРАМЕТРОВ И РЕЖИМОВ

Напряжение питания	12 В
Входное напряжение ВЫСОКОГО уровня	$V_{CC} + 0.5 В$
Входное напряжение НИЗКОГО уровня	$-0.5 В$
Максимальный выходной ток	250 мА
Рассеиваемая мощность	750 мВт
Максимальная емкость нагрузки	1000 пФ

СТРУКТУРНАЯ СХЕМА И СХЕМА ПРИМЕНЕНИЯ



ЭЛЕКТРИЧЕСКИЕ ХАРАКТЕРИСТИКИ

Напряжение питания	3...9 В
Входное напряжение ВЫСОКОГО уровня	не более 0.7 V <sub>CC</sub>
Входное напряжение НИЗКОГО уровня	не менее 0.2 V <sub>CC</sub>
Средний выходной ток для каждого выхода	150 мА
Частота задающего генератора	не более 5 МГц
Входной ток ВЫСОКОГО уровня	не более 1 мА
Входной ток НИЗКОГО уровня	не более 1 мА
Ток потребления при $f_T = 0$	не более 10 мА

ЗАМЕЧАНИЯ ПО ПРИМЕНЕНИЮ

При повышении напряжения питания увеличивается напряжение, подводимое к лампе, и мощность, рассеиваемая микросхемой. Чтобы избежать выхода из строя как лампы, так и силовых транзисторов, в схему ЭПРА вводят блокировки по превышению напряжения питания и потребляемому току. При скачках напряжения питания выходные каскады выключаются с вывода FV. При выходе лампы из строя резко увеличивается ток, потребляемый транзисторами VT1 и VT2. В

этом случае выходные каскады отключаются с вывода FC, после чего приостанавливается работа микросхемы.

Схема узла блокировки ЭПРА по превышению напряжения питания приведена на **Рис. 3**. При скачках напряжения питания увеличивается напряжение на входе FV. При превышении порога срабатывания происходит выключение выходных каскадов микросхемы (на выводах OUT1 и OUT2 устанавливается напряжение, равное нулю). Уровень срабатывания схемы защиты (максимально допустимое напряжение  $V_P(max)$ , подводимое к выходному каскаду) задается подбором резисторов R1, R2:

$$V_P(max) = \frac{0.6V_{CC}(R1+R2)}{R2}$$

Сопротивление резистора R1 должно быть достаточно большим, чтобы ограничить ток через внутренний защитный диод при больших скачках напряжения питания.

**Рис. 3. Схема защиты выходного каскада по напряжению**

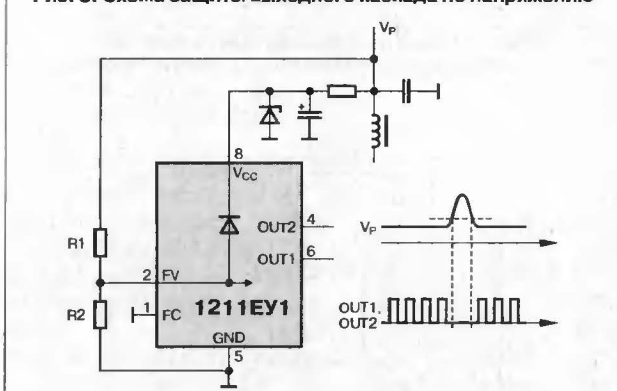
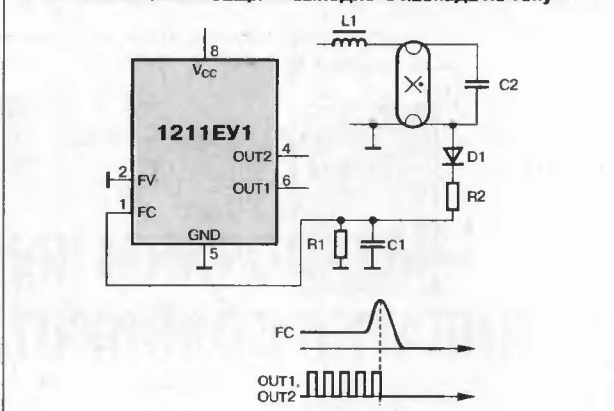


Схема узла блокировки ЭПРА по превышению тока через лампу приведена на **Рис. 4**. В случае выхода лампы из строя резко увеличивается ток через лампу, что приводит к увеличению падения напряжения на спирали. Это напряжение выпрямляется детектором D1C1 и через делитель R1R2 подается на вход FC. Конденсатор C1 отнесен к резистору R1 для предотвращения случайного срабатывания от помех. Делитель R1R2 должен быть рассчитан так, чтобы при максимально допустимом токе через лампу напряжение на входе FC составило  $0.6V_{CC}$ .

На **Рис. 5** показана схема ЭПРА с защитой силовых ключей. Эта схема аналогична схеме на **Рис. 1** и дополнена узлами защиты. До-

**Рис. 4. Схема защиты выходного каскада по току**



полнительные резисторы R3, R4 и перемычки X1, X2 позволяют уменьшать рабочую частоту задающего генератора на 5%, 10% и 15%. Элементы D1 и R5 обеспечивают защиту от бросков напряжения питания. При увеличении напряжения питания  $V_P$  до 17 В открывается стабилитрон D1, напряжение на входе FV составит 5 В, что соответствует порогу срабатывания схемы защиты. Напряжение на выводах OUT1, OUT2 при этом станет равным нулю, транзисторы VT1, VT2 закрываются. Резистор R6 ограничивает ток по входу FV на уровне 5 мА при бросках напряжения до 100 В. За это время должны установиться напряжение питания микросхемы и частота работы задающего генератора. Резистор R11 является датчиком тока. Напряжение с него поступает на детектор D3C8 и далее на вход FC. Подбирая резистор R11, устанавливают порог ( $I_{MAX}$ ) срабатывания защиты по току:

$$I_{MAX} = \frac{0.6V_{CC}}{R11}$$

При необходимости это значение можно пересчитать с учетом коэффициента трансформации трансформатора TP1 в ток потребления от источника питания. Элементы R7, R8, C5 позволяют ограничить выбросы напряжения на стоках полевых транзисторов VT1, VT2 в моменты коммутации на уровне  $0.2V_P$ .

На **Рис. 6** и **Рис. 7** показаны возможные варианты применения микросхемы для построения импульсных источников питания.

Нагрузочная характеристика микросхемы представлена на **Рис. 8**.

**Рис. 5. Схема ЭПРА с защитой силовых ключей**

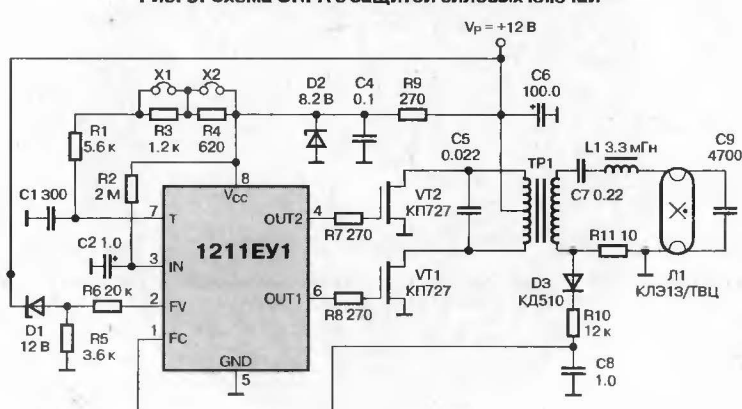


Рис. 6. Схема импульсного источника питания мощностью 0.5 Вт

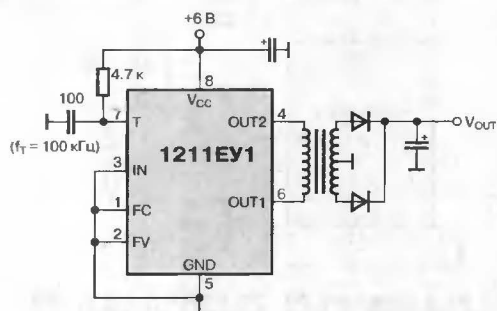


Рис. 7. Схема преобразователя напряжения мощностью 15 Вт

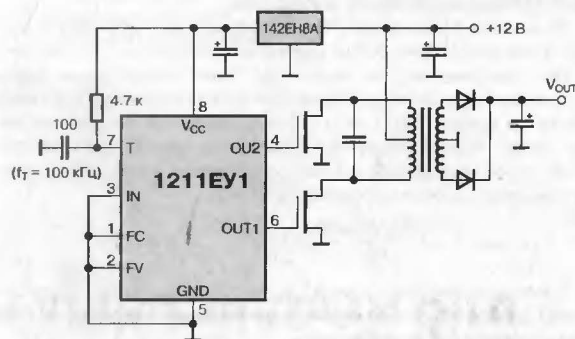


Рис. 8. Зависимость выходного тока от выходного напряжения (выводы [4], [6]) при различных напряжениях питания

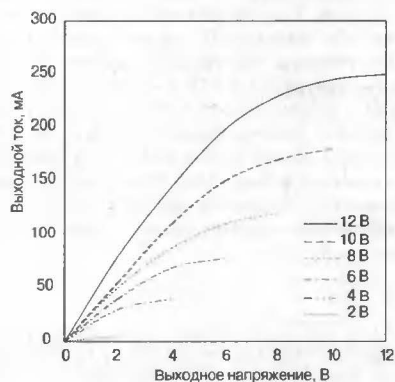
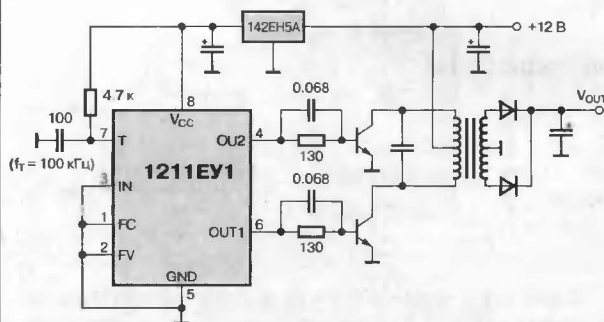


Рис. 9. Схема преобразователя напряжения с использованием биполярных транзисторов





# ОБЗОР ЗАРУБЕЖНЫХ МИКРОСХЕМ ДЛЯ ИМПУЛЬСНЫХ ИСТОЧНИКОВ ПИТАНИЯ

Analog Devices	274	Mitsubishi Electronics Inc.	415
Astec Semiconductor	284	National Semiconductor Corp.	423
Cherry Semiconductor Corp.	288	NJR Corporation	436
Elantec	301	ON Semiconductor	444
Fairchild Semiconductor	305	Panasonic Electronic Components	460
Fuji Electric Co. Ltd	315	Philips Semiconductors	465
Fujitsu Microelectronics	324	Power Integrations	474
Hitachi Semiconductor	334	Ricoh Corporation	485
iC Hous	341	Rohm Electronics	492
Infineon Technology	343	Sanken	504
Intersil	355	Semtech Corporation	514
Linear Technology Corporation	363	STMicroelectronics	524
Linfinity Microelectronics	376	Texas Instruments	533
Maxim Integrated Products	385	Toko	542
Micrel	397	Unitrode Integrated Circuits Corp.	548
Micro Linear	406	Vishay Siliconix	565





**Микросхемы для импульсных источников питания фирмы Analog Devices:**

Безындуктивные DC/DC-преобразователи .....	275
Импульсные стабилизаторы и контроллеры общего назначения .....	275
Специализированные ШИМ контроллеры .....	275
Контроллеры для материнских плат персональных компьютеров .....	275
<b>ADP1110</b> Микромощный повышающий/понижающий импульсный стабилизатор напряжения .....	276
<b>ADP1147-3.3/5</b> Высокоэффективная схема управления импульсным понижающим стабилизатором .....	278
<b>ADP3000</b> Микромощный понижающий/повышающий высокочастотный импульсный стабилизатор .....	280
<b>ADP3610</b> Удвоитель напряжения на коммутируемых конденсаторах с выходным током 320 мА .....	282

## МИКРОСХЕМЫ ДЛЯ ИМПУЛЬСНЫХ ИСТОЧНИКОВ ПИТАНИЯ ФИРМЫ ANALOG DEVICES

## БЕЗЫНДУКТИВНЫЕ DC/DC-ПРЕОБРАЗОВАТЕЛИ

Прибор	Входное напряжение, В	Выходное напряжение, В	Тип	Стабилизированный выход	Выходной ток, мА	Ток потребления, мА	Дежурный режим	Частота, кГц	Корпус
ADM660	1.5...7	-1.5...-7/5...14	Инвертор/удвоитель		100	0.6		25/120	DIP-8, SOP-8, TSSOP-16
ADM8660	1.5...7	-1.5...-7	Инвертор		100	0.6	+	25/120	DIP-8, SOP-8
ADM8828	1.5...5.5	-1.5...-7	Инвертор		25	0.6	+	25/120	SOT-23-6
ADM8829	1.5...5.5	-1.5...-7	Инвертор		25	0.6		120	SOT-23-6
ADP3603	4.5...6	-3	Инвертор	+	50	2.4	+	120	SOP-8
ADP3604	4.5...6	-3	Инвертор	+	120	2.9	+	120	SOP-8
ADP3605	3...6	-3/Per.	Инвертор	+	120	2	+	250	SOP-8
ADP3607	3...6	5/Per.	Удвоитель	+	50	2	+	250	SOP-8
ADP3610	3...3.6	> 5.47	Удвоитель		320	10	+	500	TSSOP-16

## ИМПУЛЬСНЫЕ СТАБИЛИЗАТОРЫ И КОНТРОЛЛЕРЫ ОБЩЕГО НАЗНАЧЕНИЯ

Прибор	Понижающий	Повышающий	Входное напряжение, В	Выходное напряжение, В	Выходной ток, мА	Ток потребления, мкА	Тип модулятора	Частота, кГц	Корпус
ADP1073	+	+	1...30	5/12/пер.	10/40	95	ШИМ	19	DIP-8, SOP-8
ADP1108	+	+	2...30	3.3/5/12/пер.	150/300	90	ШИМ	19	DIP-8, SOP-8
ADP1109/A	+	+	2...30	3.3/5/12/пер.	100/110	95	ШИМ	70	DIP-8, SOP-8
ADP1110	+	+	1.2...30	3.3/5/12/пер.	40 (Внешний ключ)	300	ШИМ	70	DIP-8, SOP-8
ADP1111	+	+	2...30	3.3/5/12/пер.	100	110	ШИМ	70	DIP-8, SOP-8
ADP1173	+	+	2...30	3.3/5/12/пер.	80/100	110	ШИМ	24	DIP-8, SOP-8
ADP1147	+		3.5...20	3.3/5	5...2000	1.6	ЧИМ	250	DIP-8, SOP-8
ADP1148	+		3.5...20	3.3/5/пер.	5...2000	1.6	ЧИМ	250	DIP-8, SOP-8
ADP3000	+	+	2...30	3.3/5/12/пер.	100/180	500	ЧШИМ	400	DIP-8, SOP-8

## СПЕЦИАЛИЗИРОВАННЫЕ ШИМ КОНТРОЛЛЕРЫ

Прибор	Программирование	Входное напряжение, В	Ток потребления, мА	Максимальная частота, МГц	Пропорц. задержка, нс	Время нарастания/спада, нс	Полная шкала	Особенности	Корпус
AD9560A	8 бит	+5	150	40	44	3	90%	Автокалибровка, цифровое управление	SOP-28
AD9561	8 бит	+5	95	60	28	3	100%	Цифровое управление	SOP-28

## КОНТРОЛЛЕРЫ ДЛЯ МАТЕРИНСКИХ ПЛАТ ПЕРСОНАЛЬНЫХ КОМПЬЮТЕРОВ

Прибор	Входы программирования	Выходное напряжение, В	Соответствие требованиям VRM	Функциональное назначение	Корпус
ADP3152	+	1.8...3.5	8.2	Синхронный понижающий преобразователь	SOP-16
ADP3153	+	1.8...3.5	8.2	Синхронный понижающий преобразователь и линейный стабилизатор	TSOP-20
ADP3154	+	1.3...3.5	8.2/8.3/8.4	Синхронный понижающий преобразователь и линейный стабилизатор	TSOP-20
ADP3155	+	1.3...3.5	8.2/8.3/8.4	Синхронный понижающий преобразователь и 2 линейных стабилизатора	TSOP-20
ADP3156		1.5/1.8/2.5	нет данных	Синхронный понижающий преобразователь с фиксированным выходом	TSOP-20
ADP3157	+	1.3...3.5	8.2/8.3/8.4	Синхронный понижающий преобразователь	SOP-16
ADP3410		—	—	Схема управления 2-мя МОП-транзисторами с вольтодобавкой, синхронное выпрямление	TSSOP-14
ADP3421	+	2.5...3.0	нет данных	Синхронный понижающий преобразователь и 2 линейных стабилизатора для мобильных применений	TSSOP-28

Примечание: VRM — спецификация фирмы Intel на импульсные модули питания процессоров

## МИКРОМОЩНЫЙ ПОВЫШАЮЩИЙ/ПОНИЖАЮЩИЙ ИМПУЛЬСНЫЙ СТАБИЛИЗАТОР НАПЯЖЕНИЯ

### ОСОБЕННОСТИ

- Входное напряжение ..... 1...30 В
- Повышающий или понижающий стабилизатор
- Детектор пониженного напряжения батареи
- Задаваемое пользователем ограничение тока
- Регулируемое или фиксированное выходное напряжение ..... 3.3, 5, 12 В
- Небольшое число навесных элементов
- Блокировка по логической команде
- Корпус DIP-8, SOP-8

### ПРИМЕНЕНИЕ

- Сотовые телефоны
- Портативные компьютеры
- Портативные электронные устройства
- Драйверы дисковых накопителей
- Переносные измерительные приборы
- Пейджеры
- Батарейные преобразователи
- Драйверы лазерных диодов

### ТИПОНОМИНАЛЫ

Типономинал	Выходное напряжение, В	Корпус
ADP1110AN	Регулируемое	DIP-8
ADP1110AR	Регулируемое	SOP-8
ADP1110AN-3.3	3.3	DIP-8
ADP1110AR-3.3	3.3	SOP-8
ADP1110AN-5	5	DIP-8
ADP1110AR-5	5	SOP-8
ADP1110AN-12	12	DIP-8
ADP1110AR-12	12	SOP-8

### ОБЩЕЕ ОПИСАНИЕ

Микросхема ADP1110 представляет собой повышающий/понижающий импульсный стабилизатор с низким входным напряжением 1.0 В. Его удобно использовать в приложениях с батарейным питанием на одном элементе.

На базе ADP1110 можно построить как повышающий, так и понижающий стабилизатор, однако при входном напряжении больше 3 В лучше использовать микросхему ADP1111. Дополнительный усилитель работает как детектор пониженного напряжения батареи либо как линейный стабилизатор. Малый ток потребления (300 мкА) делает схему ADP1110 очень удобной для устройств с автономным питанием. Рабочая частота 70 кГц позволяет применять малогабаритные навесные элементы для поверхностного монтажа.

Схема защиты батареи ограничивает обратный ток на безопасном уровне при обратном напряжении до 1.6 В.

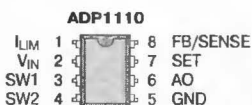
### СТРУКТУРНАЯ СХЕМА



### ЦОКОЛЕВКА КОРПУСОВ

Пластмассовый корпус типа DIP-8 или SOP-8

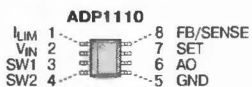
Ограничение выходного тока  
Вход напряжения  
Коллектор выходного транзистора  
Эмиттер выходного транзистора



FB/SENSE Вход регулировки выходного напряжения  
SET Неинвертирующий вход дополнительного усилителя  
AO Выход дополнительного усилителя (ОК до 300 мкА)  
GND Общий вывод

Пластмассовый корпус SOP-8

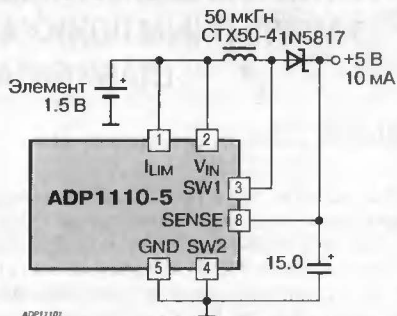
Ограничение выходного тока  
Вход напряжения  
Коллектор выходного транзистора  
Эмиттер выходного транзистора



FB/SENSE Вход регулировки выходного напряжения  
SET Неинвертирующий вход дополнительного усилителя  
AO Выход дополнительного усилителя (ОК до 300 мкА)  
GND Общий вывод

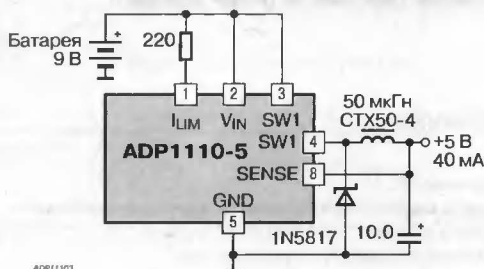
СХЕМЫ ВКЛЮЧЕНИЯ

Рис. 1. Преобразователь напряжения одного элемента 1.5 В в выходное напряжение 5 В



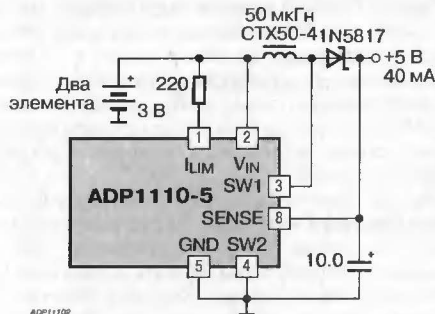
ADP11101

Рис. 3. Понижающий преобразователь напряжения 9 В в выходное напряжение 5 В



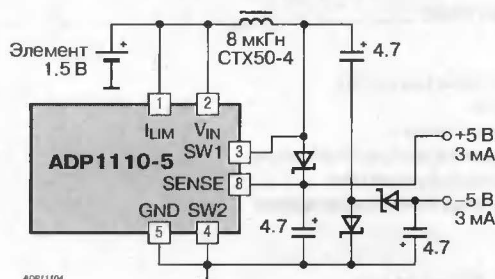
ADP11103

Рис. 2. Преобразователь напряжения двух последовательно включенных элементов (2 x 1.5 В) в выходное напряжение 5 В



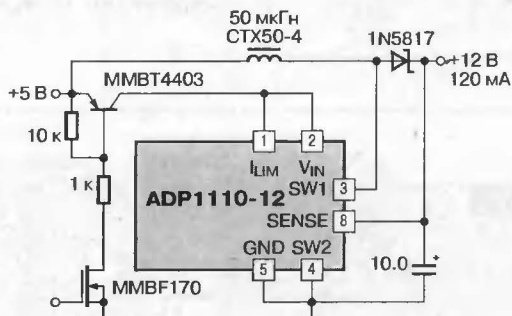
ADP11102

Рис. 4. Повышающий преобразователь на базе ADP1110 с входным напряжением 1.5 В и двумя выходными напряжением ±5 В



ADP11104

Рис. 5. Источник питания для программатора флэш-памяти



Лог. 1 = Программирование  
Лог. 0 = Блокировка

ADP11105



### ВЫСОКОЭФФЕКТИВНАЯ СХЕМА УПРАВЛЕНИЯ ИМПУЛЬСНЫМ ПОНИЖАЮЩИМ СТАБИЛИЗАТОРОМ

#### ОСОБЕННОСТИ

- ♦ КПД не менее 95%
- ♦ Токковый режим управления обеспечивает превосходную стабильность
- ♦ Входное напряжение ..... 3.5... 16 В
- ♦ Управляемое пользователем ограничение тока
- ♦ Защита от короткого замыкания
- ♦ Вход блокировки
- ♦ Малое падение напряжения вход-выход
- ♦ Типовое значение тока потребления в дежурном режиме ..... 160 мкА
- ♦ Корпус DIP-8, SOP-8

#### ПРИМЕНЕНИЕ

- ♦ Портативные компьютеры
- ♦ Модемы
- ♦ Сотовые телефоны
- ♦ Портативные электронные устройства
- ♦ Системы спутниковой связи
- ♦ Переносные измерительные приборы

#### ТИПОНОМИНАЛЫ

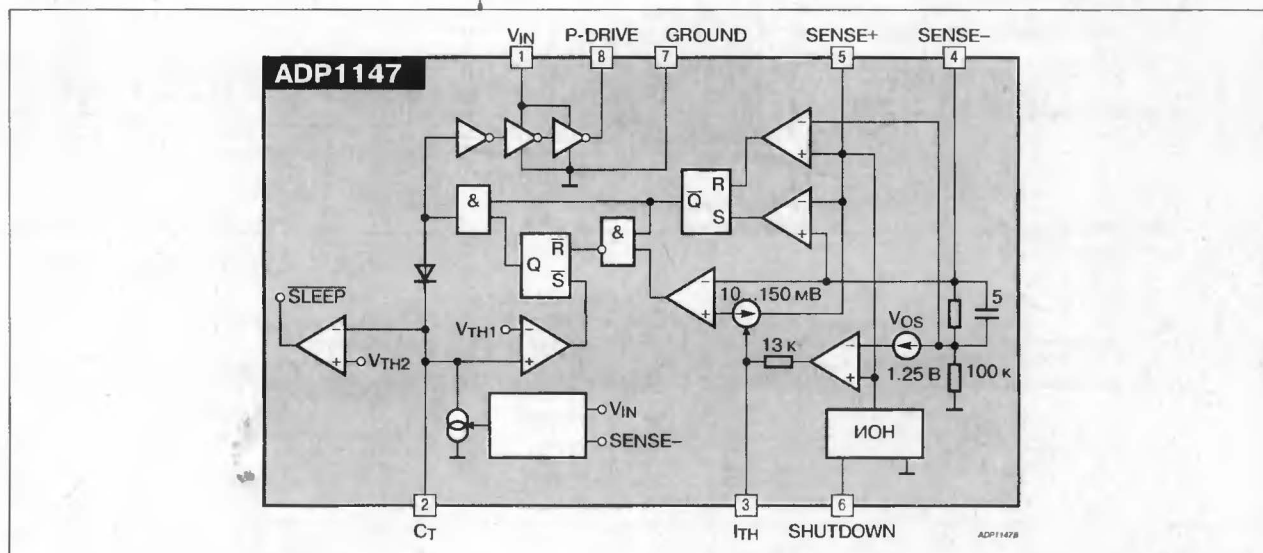
Типономинал	Выходное напряжение, В	Корпус
ADP1147AN-3.3	3.3	DIP-8
ADP1147AR-3.3	3.3	SOP-8
ADP1147AN-5	5	DIP-8
ADP1147AR-5	5	SOP-8

#### ОБЩЕЕ ОПИСАНИЕ

Микросхема ADP1147 представляет собой схему управления высокоэффективным понижающим импульсным стабилизатором, обладающим превосходными значениями коэффициентов стабилизации по току и напряжению. В ней предусмотрены регулировка пользователем ограничения тока и автоматический режим пониженного энергопотребления. Режим пониженного энергопотребления используется для сохранения КПД при малом выходном токе. ADP1147 работает с р-канальным МОП-транзистором в режиме токового управления на частоте до 250 кГц при постоянном значении длительности закрытого состояния ключа (OFF-Time). В этом режиме на внешней катушке индуктивности ток пульсаций остается постоянным. Таким образом, можно упростить схему стабилизатора и расширить диапазон входного напряжения до 3.5... 16 В. Уменьшение активного сопротивления катушки индуктивности, сопротивления резистора  $R_{SENSE}$  и сопротивления канала  $R_{DS(ON)}$  МОП-транзистора позволяет получить малое значение падения напряжения вход-выход и превосходный коэффициент стабилизации на выходе.

В режиме пониженного энергопотребления уменьшение потребляемой мощности происходит за счет сокращения импульсных потерь при малых значениях выходного тока. ADP1147 автоматически переходит в режим энергосбережения в случае, если ток нагрузки падает ниже минимального значения при непрерывном преобразовании. Режим энергосбережения будет сохраняться до тех пор, пока не потребуются увеличение тока через индуктивность, или не будет подана команда перехода в дежурный режим. В дежурном режиме при отключенной нагрузке ADP1147 потребляет 2 мВт при  $V_{IN} = 10$  В.

#### СТРУКТУРНАЯ СХЕМА



ЦОКОЛЕВКА КОРПУСОВ

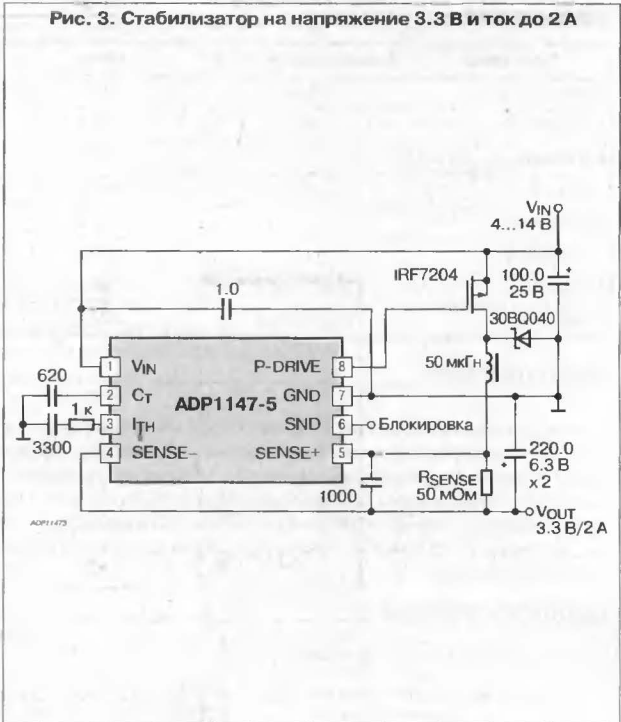
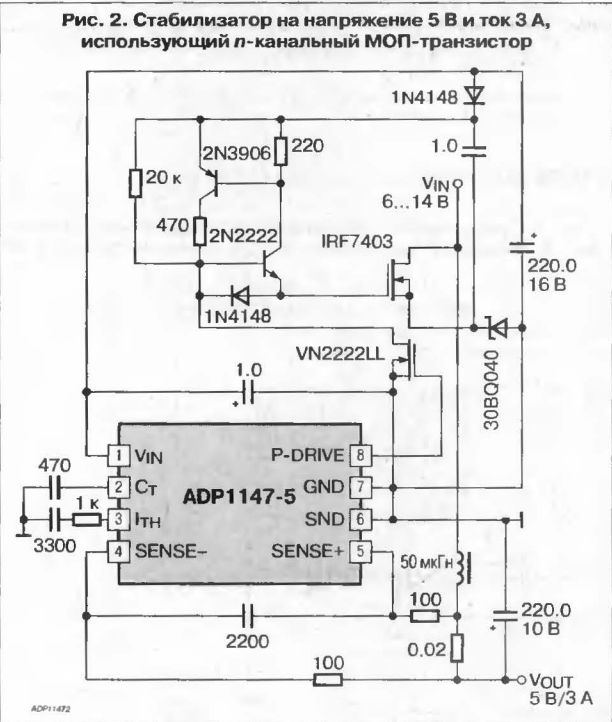
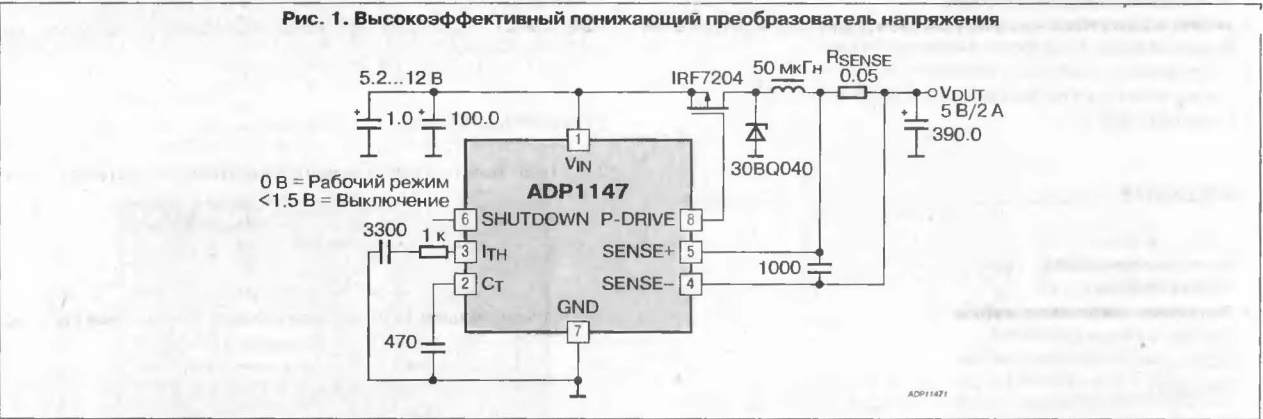
Пластмассовый корпус типа DIP-8 или SO3-8

Входное напряжение	V <sub>IN</sub>	1	8	P-DRIVE	Выход управления затвором МОП-транзистора
Частотозадающий конденсатор	C <sub>T</sub>	2	7	GND	Общий
Порог компаратора	I <sub>TH</sub>	3	6	SHUTDOWN	Вход блокировки
Инвертирующий вход компаратора тока	SENSE-	4	5	SENSE+	Неинвертирующий вход компаратора тока

Пластмассовый корпус типа SO3-8

Входное напряжение	V <sub>IN</sub>	1	8	P-DRIVE	Выход управления затвором МОП-транзистора
Частотозадающий конденсатор	C <sub>T</sub>	2	7	GND	Общий
Порог компаратора	I <sub>TH</sub>	3	6	SHUTDOWN	Вход блокировки
Инвертирующий вход компаратора тока	SENSE-	4	5	SENSE+	Неинвертирующий вход компаратора тока

СХЕМЫ ВКЛЮЧЕНИЯ



## МИКРОМОЩНЫЙ ПОНИЖАЮЩИЙ/ПОВЫШАЮЩИЙ ВЫСОКОЧАСТОТНЫЙ ИМПУЛЬСНЫЙ СТАБИЛИЗАТОР

### ОСОБЕННОСТИ

- ◆ Входное напряжение ..... 2...30 В
- ◆ Повышающий или понижающий стабилизатор
- ◆ Небольшое число навесных элементов
- ◆ Высокая рабочая частота ..... до 400 кГц
- ◆ Внутренний детектор пониженного напряжения батареи
- ◆ Регулируемое пользователем ограничение тока
- ◆ Фиксированное и регулируемое выходное напряжение
- ◆ Корпус DIP-8, SOP-8

### ПРИМЕНЕНИЕ

- ◆ Портативные компьютеры
- ◆ Сотовые телефоны
- ◆ Портативные электронные устройства
- ◆ Драйверы дисковых накопителей
- ◆ Переносные измерительные приборы
- ◆ Пейджеры

### ТИПОНОМИНАЛЫ

Типономинал	Выходное напряжение, В	Корпус
ADP3000AN-3.3	3.3	DIP-8
ADP3000AR-3.3	3.3	SOP-8
ADP3000AN-5	5	DIP-8
ADP3000AR-5	5	SOP-8
ADP3000AN-12	12	DIP-8
ADP3000AR-12	12	SOP-8
ADP3000AN	Регулируемое	DIP-8
ADP3000AR	Регулируемое	SOP-8

### ОБЩЕЕ ОПИСАНИЕ

Микросхема ADP3000 представляет собой multifunctional понижающий/повышающий импульсный стабилизатор, работающий при входном напряжении питания 2...12 В для повышающего и до 30 В для понижающего преобразователя. ADP3000 работает в режиме частотно-импульсной модуляции (ЧИМ). Собственный ток схемы не превышает 500 мкА, что очень удобно для устройств с малым током потребления.

### ЦОКОЛЕВКА КОРПУСОВ

Пластмассовый корпус типа DIP-8

Вход ограничения выходного тока	I <sub>LM</sub>	1	8	FB/SENSE	Регулировка выходного напряжения
Входное напряжение	V <sub>IN</sub>	2	7	SET	Неинвертирующий вход дополнительного усилителя
Коллектор выходного транзистора	SW1	3	6	AO	Выход дополнительного усилителя
Эмиттер выходного транзистора	SW2	4	5	GND	Общий вывод

или SOP-8

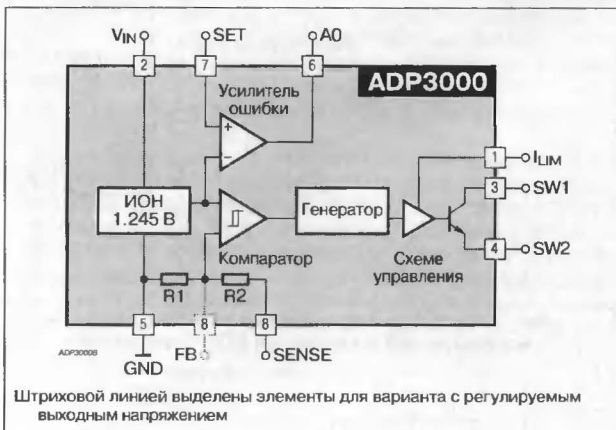
I <sub>LM</sub>	1	8	FB/SENSE
V <sub>IN</sub>	2	7	SET
SW1	3	6	AO
SW2	4	5	GND

Выходной ток AD3000 достигает 100 мА для понижающего стабилизатора при входном напряжении 5 В и выходном напряжении 3 В и 180 мА для повышающего стабилизатора с входным напряжением 2 В и выходным напряжением 3.3 В.

Дополнительный усилитель может использоваться как детектор пониженного напряжения батареи, усилитель ошибки и др.

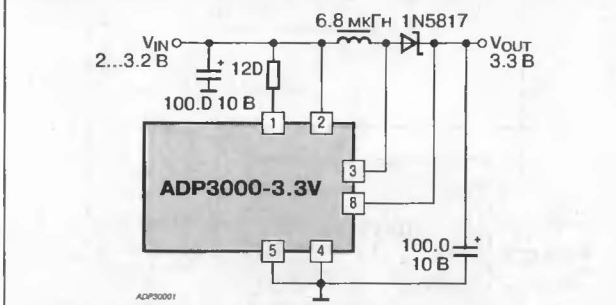
Микросхема ADP3000 работает на частоте 400 кГц. Это позволяет уменьшить габариты источника питания.

### СТРУКТУРНАЯ СХЕМА



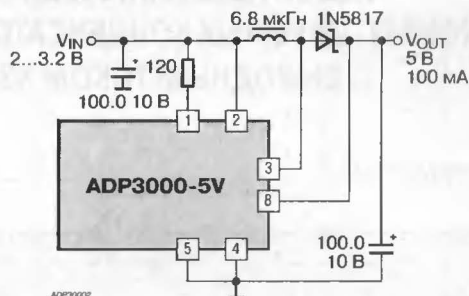
### СХЕМЫ ВКЛЮЧЕНИЯ

Рис. 1. Повышающий преобразователь с входным напряжением 2 В, выходным напряжением 3.3 В и выходным током 180 мА



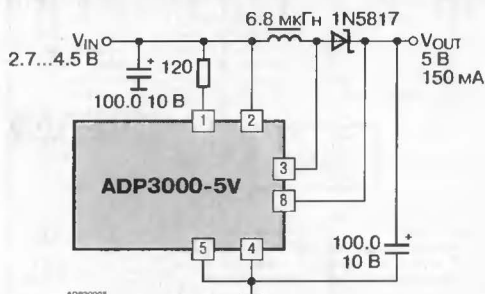
СХЕМЫ ВКЛЮЧЕНИЯ (ПРОДОЛЖЕНИЕ)

Рис. 2. Повышающий преобразователь с входным напряжением 2 В, выходным напряжением 5 В и выходным током 100 мА



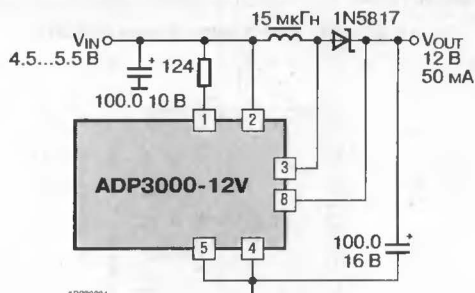
ADP30002

Рис. 3. Повышающий преобразователь с входным напряжением 2.7 В, выходным напряжением 5 В и выходным током 150 мА



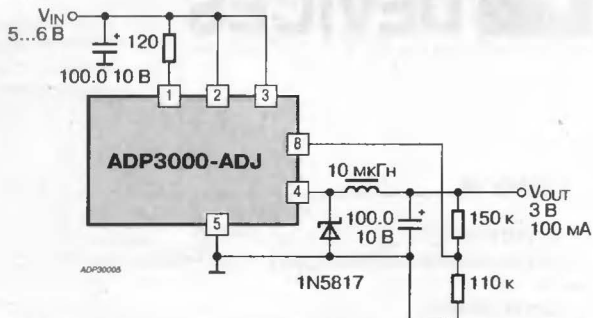
ADP30003

Рис. 4. Повышающий преобразователь с входным напряжением 4.5 В, выходным напряжением 12 В и выходным током 50 мА



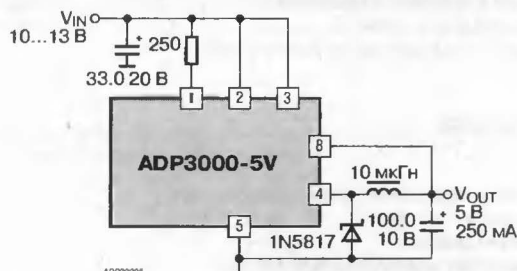
ADP30004

Рис. 5. Понижающий преобразователь с входным напряжением 5 В, выходным напряжением 3 В и выходным током 100 мА



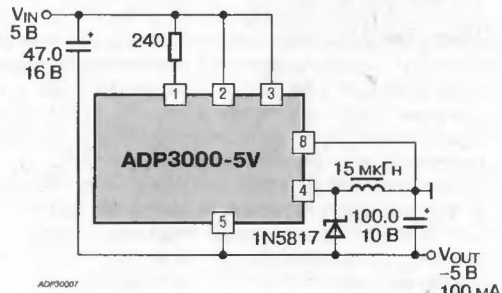
ADP30005

Рис. 6. Понижающий преобразователь с входным напряжением 10 В, выходным напряжением 5 В и выходным током 250 мА



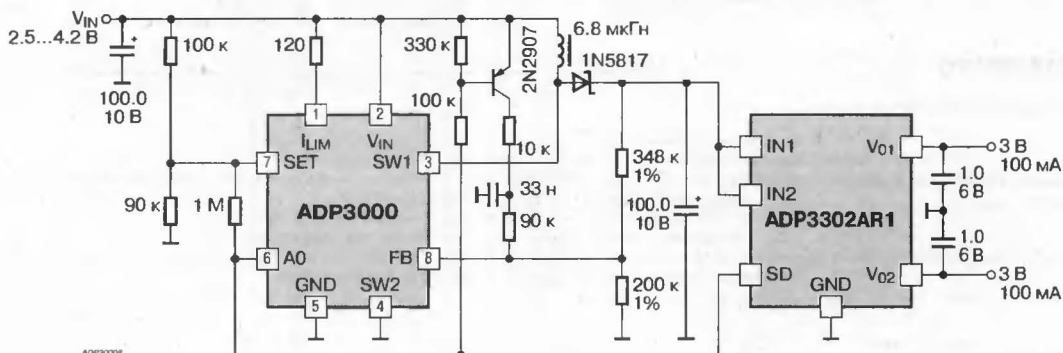
ADP30006

Рис. 7. Инвертор с входным напряжением 5 В, выходным напряжением -5 В и выходным током 100 мА



ADP30007

Рис. 8. Преобразователь напряжения литиевой батареи с блокировкой при  $V_{IN} < 2.5$  В, выходным напряжением 3 В и выходным током 200 мА



ADP30008

## УДВОИТЕЛЬ НАПЯЖЕНИЯ НА КОММУТИРУЕМЫХ КОНДЕНСАТОРАХ С ВЫХОДНЫМ ТОКОМ 320 мА

### ОСОБЕННОСТИ

- Двухтактный удвоитель с накачкой заряда снижает пульсации выходного напряжения
- Входное напряжение ..... 3.0...3.6 В
- Выходное напряжение не менее 5.4 В при максимальном токе нагрузки 320 мА
- Выходной импеданс,  $R_{TOTAL}$  .....  $< 1.66 \text{ Ом}$
- Режим блокировки
- Защита от повышенного напряжения .....  $V_{IN} > +4 \text{ В}$
- Температурный диапазон .....  $-20...+85^\circ\text{C}$
- Корпус с улучшенной теплоотдачей TSSOP-16

### ПРИМЕНЕНИЕ

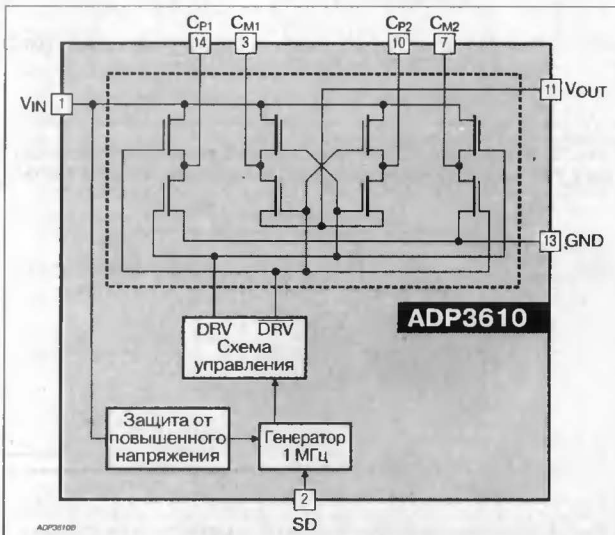
- ♦ Удвоители напряжения с большим выходным током
- ♦ ЖК-модули
- ♦ Сотовые телефоны
- ♦ Повышающие преобразователи напряжения

### ОБЩЕЕ ОПИСАНИЕ

Микросхема ADP3610 представляет собой двухтактный удвоитель напряжения на коммутируемых конденсаторах. Две цепи накачки заряда работают параллельно и в противофазе с целью стабилизации выходного напряжения. Когда один конденсатор отдает энергию на выход, другой конденсатор заряжается. При этом удается минимизировать дрейф выходного напряжения.

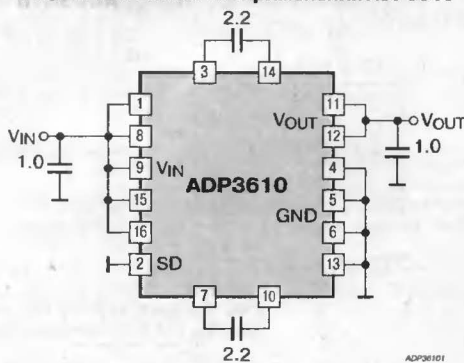
Преобразователь ADP3610 работает при входном напряжении 3.0...3.6 В. Максимальный выходной ток составляет 320 мА при использовании зарядных конденсаторов емкостью 2.2 мкФ. С помощью специального входа преобразователь может быть заблокирован. Корпус микросхемы рассчитан на рассеиваемую мощность 980 мВт при комнатной температуре. Тонкий корпус TSSOP-16 и использование в работе только конденсаторов (без индуктивностей) позволяет применять ADP3610 в преобразователях с повышенными требованиями к толщине устройства (например, в ЖК-дисплеях).

### СТРУКТУРНАЯ СХЕМА



### СХЕМЫ ВКЛЮЧЕНИЯ

Рис. 1. Типовая схема применения ADP3610



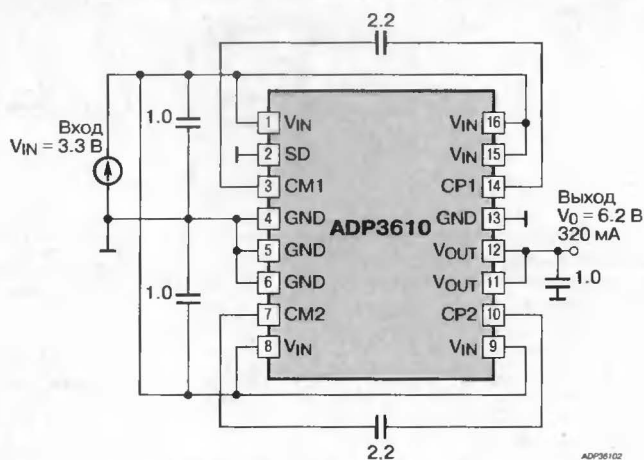
### ЦОКОЛЕВКА КОРПУСОВ

Пластмассовый корпус типа TSSOP-16

Входное напряжение	V <sub>IN</sub>	1	16	V <sub>IN</sub>	Входное напряжение
Вход выключения (блокировки)	SD	2	15	V <sub>IN</sub>	Входное напряжение
Подключение отрицательного электрода конденсатора накачки C1	CM1	3	14	CP1	Подключение положительного электрода конденсатора накачки C1
Общий вывод	GND	4	13	GND	Общий вывод
Общий вывод	GND	5	12	V <sub>OUT</sub>	Выход преобразователя
Общий вывод	GND	6	11	V <sub>OUT</sub>	Выход преобразователя
Подключение отрицательного электрода конденсатора накачки C2	CM2	7	10	CP2	Подключение положительного электрода конденсатора накачки C2
Входное напряжение	V <sub>IN</sub>	8	9	V <sub>IN</sub>	Входное напряжение



**Рис. 2. Нестабилизированный удвоитель напряжения на базе ADP3610**

[illegible]



**Микросхемы для импульсных источников питания фирмы Astec Semiconductor:**

ШИМ-контроллеры с управлением по току .....	285
<b>AS2208</b> Контроллер широтно-импульсного преобразователя напряжения .....	286

МИКРОСХЕМЫ ДЛЯ ИМПУЛЬСНЫХ ИСТОЧНИКОВ ПИТАНИЯ ФИРМЫ ASTEC SEMICONDUCTOR

ШИМ-КОНТРОЛЛЕРЫ С УПРАВЛЕНИЕМ ПО ТОКУ

Прибор	Входное напряжение, В	Выход	Выходной ток, мА	Ток запуска, мА	Применение	Модуляция	Метод управления	Частота, кГц	Рабочий цикл, %	Рабочая температура, °C	Корпус	Особенности
AS2842	10...30	Тотемный	±1000	1	Сетевые и DC/DC-преобразователи	ШИМ	Ток	50...500	0...100	-40...+105	DIP-8, SOP-8	ИОН на 2.5 В ±1%, точная установка рабочего цикла, улучшенная синхронизация, улучшенная защита от пониженного напряжения, выходной стабилизатор на 5 В, защита от перегрева
AS2843	7.6...30	Тотемный	±1000	0.5	Сетевые и DC/DC-преобразователи	ШИМ	Ток	50...500	0...100	-40...+105	DIP-8, SOP-8	ИОН на 2.5 В ±1%, точная установка рабочего цикла, улучшенная синхронизация, улучшенная защита от пониженного напряжения, выходной стабилизатор на 5 В, защита от перегрева
AS2844	10...30	Тотемный	±1000	1	Сетевые и DC/DC-преобразователи	ШИМ	Ток	50...500	0...50	-40...+105	DIP-8, SOP-8	ИОН на 2.5 В ±1%, точная установка рабочего цикла, улучшенная синхронизация, улучшенная защита от пониженного напряжения, выходной стабилизатор на 5 В, защита от перегрева
AS2845	7.6...30	Тотемный	±1000	0.5	Сетевые и DC/DC-преобразователи	ШИМ	Ток	50...500	0...50	-40...+105	DIP-8, SOP-8	ИОН на 2.5 В ±1%, точная установка рабочего цикла, улучшенная синхронизация, улучшенная защита от пониженного напряжения, выходной стабилизатор на 5 В, защита от перегрева
AS3842	10...30	Тотемный	±1000	1	Сетевые и DC/DC-преобразователи	ШИМ	Ток	50...500	0...100	0...+105	DIP-8, SOP-8	ИОН на 2.5 В ±1%, точная установка рабочего цикла, улучшенная синхронизация, улучшенная защита от пониженного напряжения, выходной стабилизатор на 5 В, защита от перегрева
AS3843	7.6...30	Тотемный	±1000	0.5	Сетевые и DC/DC-преобразователи	ШИМ	Ток	50...500	0...100	0...+105	DIP-8, SOP-8	ИОН на 2.5 В ±1%, точная установка рабочего цикла, улучшенная синхронизация, улучшенная защита от пониженного напряжения, выходной стабилизатор на 5 В, защита от перегрева
AS3844	10...30	Тотемный	±1000	1	Сетевые и DC/DC-преобразователи	ШИМ	Ток	50...500	0...50	0...+105	DIP-8, SDP-8	ИОН на 2.5 В ±1%, точная установка рабочего цикла, улучшенная синхронизация, улучшенная защита от пониженного напряжения, выходной стабилизатор на 5 В, защита от перегрева
AS3845	7.6...30	Тотемный	±1000	0.5	Сетевые и DC/DC-преобразователи	ШИМ	Ток	50...500	0...50	0...+105	DIP-8, SOP-8	ИОН на 2.5 В ±1%, точная установка рабочего цикла, улучшенная синхронизация, улучшенная защита от пониженного напряжения, выходной стабилизатор на 5 В, защита от перегрева
AS2208	8...18	Тотемный	±1000	0.1	Сетевые и DC/DC-преобразователи	ШИМ	Ток	50...250	0...100	0...+105	DIP-8, SOP-8	Режимы однократного запуска или автоперезапуска, точная установка рабочего цикла, дистанционное вкл./выкл., защита от пониж. и повыш. входного напряжения
AS2214	8...18	Тотемный	±1000	0.01	Сетевые и DC/DC-преобразователи	ШИМ	Ток	50...250	0...100	0...+105	DIP-14	Мягкий запуск, 2 входа контроля напряжения, режимы однократного запуска или автоперезапуска, точная установка рабочего цикла, дистанционное вкл./выкл., компенсация наклона "пилы", защита от пониж. и повыш. входного напряжения

## КОНТРОЛЛЕР ШИРотно-ИМПУльСНОГО ПРЕОБРАЗОВАТЕЛЯ НАПРЯЖЕНИЯ

### ОСОБЕННОСТИ

- ♦ Низкий ток запуска ..... 150 мкА (max)
- ♦ Режимы с однократным запуском или автоматическим перезапуском
- ♦ Подгонка генератора для прецизионного управления рабочим циклом
- ♦ Стандартный температурный диапазон расширен до +105°C
- ♦ Дистанционное управление Вкл/Выкл
- ♦ Самоограничение напряжения питания
- ♦ Стандартный режим управления с дополнительной обратной связью по току

### ОБЩЕЕ ОПИСАНИЕ

Микросхема AS2208 представляет собой упрощённый широтно-импульсный контроллер, функционально похожий на AS3842. Созданный на основе AS2214, контроллер AS2208 отличается низким током запуска и блокировкой схемы при перенапряжении, что делает его удобным для адаптерных применений.

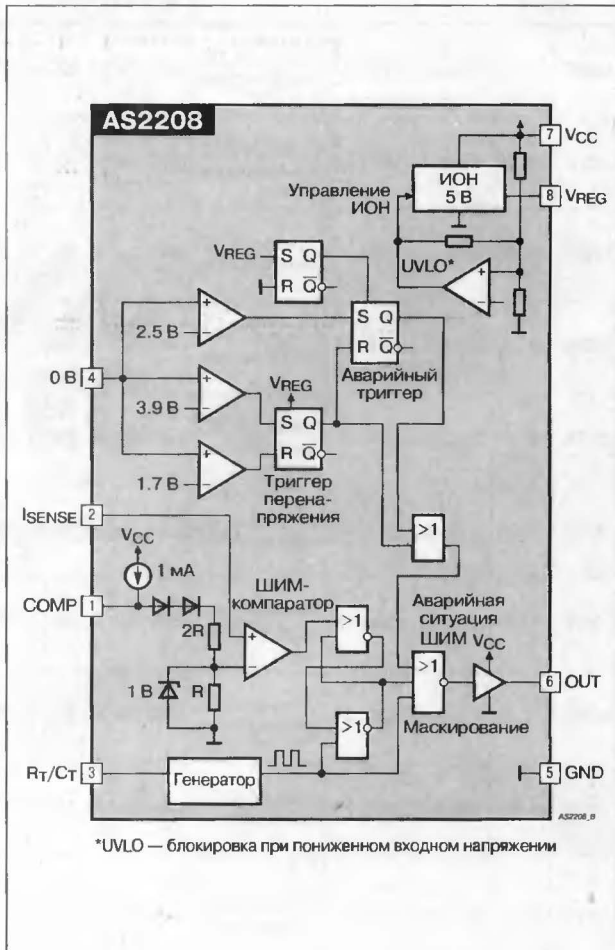
Управление ШИМ осуществляется токочувствительным компаратором по стандартной схеме токового управления. Вывод COMP, который является входом токочувствительного компаратора, способен выдавать ток 1 мА, что вполне достаточно для непосредственного управления оптопарой в цепи обратной связи. Мощный двухтактный квазикомплементарный выходной каскад (тотемный) обеспечивает задержку сигнала ШИМ-компаратора порядка 85 нс.

Микросхема требует для запуска ток 100 мкА. Номинальные значения порогового напряжения блокировки при низком напряжении (UVLO) составляют 14 В при включении и 8 В при выключении. Вывод VREG источника опорного напряжения типа "bandgap" обеспечивает температурно-компенсированное напряжение с нагрузочной способностью до 50 мА. Схема, задающая ток разряда генератора, проходит заводскую подгонку для обеспечения гарантированного управления рабочим циклом.

### ТИПОНОМИНАЛЫ

Типономинал	Корпус	Диапазон рабочих температур, °C
AS2208N	DIP-8	0...+105
AS2208D	SOP-8	0...+105

### СТРУКТУРНАЯ СХЕМА



### ЦОКОЛЕВКА КОРПУСОВ

Пластмассовый корпус типа DIP-8

Пластмассовый корпус типа SOP-8

AS2208N

Инвертирующий вход ШИМ-компаратора COMP 1

Вход напряжения, пропорционального току индуктора ISENSE 2

Подключение частотозадающей RC-цепи RT/CT 3

Вход схемы защиты от перенапряжения OV 4

8 VREG Выход стабилизатора 5 В

7 VCC Напряжение питания

6 OUT Выход управления внешним МОП-ключом

5 GND Земля

AN2208D

COMP 1

ISENSE 2

RT/CT 3

OV 4

8 VREG

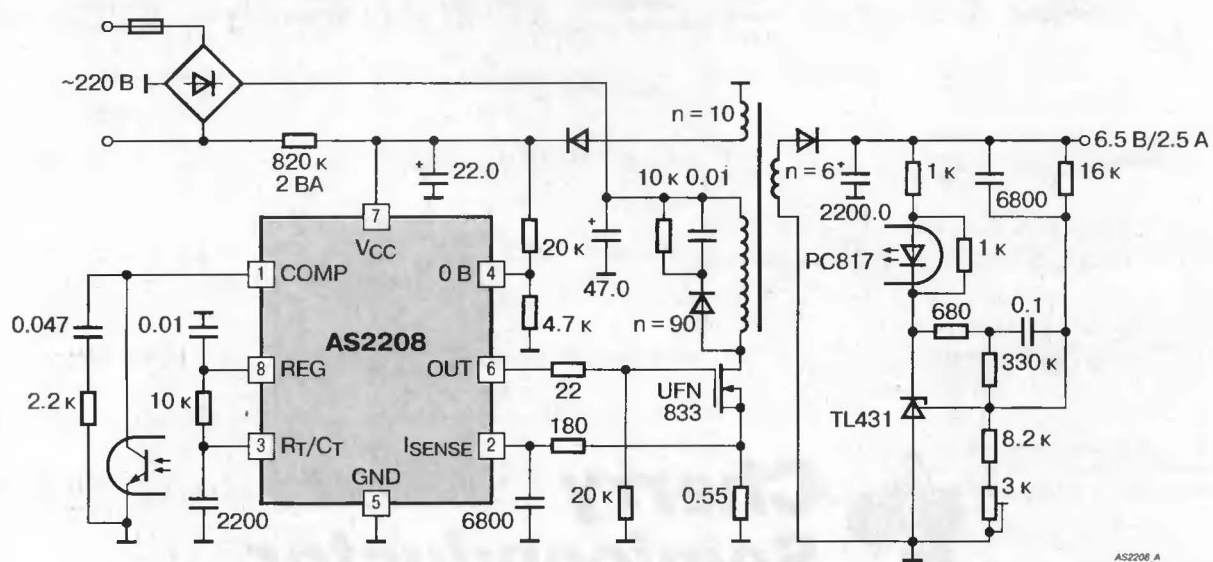
7 VCC

6 OUT

5 GND

СХЕМЫ ВКЛЮЧЕНИЯ

Рис. 1. Сетевой источник питания с выходом 6.5 В/2.5 А



AS2208\_A





# **Cherry Semiconductor**

## **Микросхемы для импульсных источников питания фирмы Cherry Semiconductor Corp.:**

Контроллеры для материнских плат компьютеров .....	289
Источники питания с гальванической развязкой .....	289
Источники питания без гальванической развязки .....	291
<b>CS-5106</b> Многофункциональный ШИМ-контроллер с синхронным выходом и дополнительным источником питания .....	292
<b>CS-5171/72</b> Повышающие стабилизаторы с рабочей частотой 250/500 кГц и током 1.5 А .....	295
<b>CS-51033</b> Быстродействующий контроллер для управления р-канальным МОП-транзистором в понижающих стабилизаторах .....	297
<b>CS-51221</b> ШИМ-контроллер с управлением по напряжению .....	299

## МИКРОСХЕМЫ ДЛЯ ИМПУЛЬСНЫХ ИСТОЧНИКОВ ПИТАНИЯ ФИРМЫ CHERRY SEMICONDUCTOR CORP.

## КОНТРОЛЛЕРЫ ДЛЯ МАТЕРИНСКИХ ПЛАТ КОМПЬЮТЕРОВ

Прибор	Входное напряжение (пуск/стоп), В	ЦАП установки напряжения, бит	Выходное напряжение, В	Выходной ток, мА	Частота, кГц	Применение (преобразователь)	Режим управления	Корпус	Особенности
ОДНОКАНАЛЬНЫЕ С ЦАП									
CS-5120	4.25...20	—	—	1500 (peak)/100 (DC)	до 1000	Синхр. понижающий	V <sup>2</sup>	DIP-16, SOP-16	Программируемый мягкий запуск, удаленное считывание, адаптивная установка напряжения, защита от перенапряжения
CS-5121	4.25...20	—	—	1500 (peak)/100 (DC)	до 1000	Понижающий	V <sup>2</sup>	DIP-16, SOP-16	Программируемый мягкий запуск, удаленное считывание, адаптивная установка напряжения, защита от перенапряжения
CS-5150	4.25...20	4	2.1...3.5	1500 (peak)/100 (DC)	до 1000	Синхр. понижающий	V <sup>2</sup>	DIP-16, SOP-16	Программируемый мягкий запуск, монитор напряжения питания, удаленное считывание, адаптивная установка напряжения, защита от перенапряжения, точность ЦАП 1%
CS-5151	4.25...20	4	2.1...3.5	1500 (peak)/100 (DC)	до 1000	Понижающий	V <sup>2</sup>	DIP-16, SOP-16	Программируемый мягкий запуск, монитор напряжения питания, удаленное считывание, адаптивная установка напряжения, защита от перенапряжения, точность ЦАП 1%
CS-5155	4.25...20	5	1.3...3.5	1500 (peak)/100 (DC)	до 1000	Синхр. понижающий	V <sup>2</sup>	DIP-16, SOP-16	Программируемый мягкий запуск, монитор напряжения питания, удаленное считывание, адаптивная установка напряжения, защита от перенапряжения, точность ЦАП 1%
CS-5156	4.25...20	5	1.3...3.5	1500 (peak)/100 (DC)	до 1000	Понижающий	V <sup>2</sup>	DIP-16, SDP-16	Программируемый мягкий запуск, монитор напряжения питания, удаленное считывание, адаптивная установка напряжения, защита от перенапряжения, точность ЦАП 1%
CS-5157	4.25...20	5	1.3...3.5	1500 (peak)/100 (DC)	до 1000	Синхр. понижающий	V <sup>2</sup>	SDP-16	Программируемый мягкий запуск, монитор напряжения питания, удаленное считывание, адаптивная установка напряжения, защита от перенапряжения, точность ЦАП 1%
CS-5165	4.15...20	5	1.247...3.54	1500 (peak)/200 (DC)	до 1000	Синхр. понижающий	V <sup>2</sup>	SOP-16	Программируемый мягкий запуск, выход контроля выходного напряжения, вывод блокировки, удаленное считывание, адаптивная установка напряжения, защита от перенапряжения, точность ЦАП 1%, ШИМ-бланирование 150 нс
CS-5166	4.15...20	5	1.247...3.525	1500 (peak)/200 (DC)	до 1000	Синхр. понижающий	V <sup>2</sup>	SDP-16	Программируемый мягкий запуск, выход контроля выходного напряжения, вывод блокировки, удаленное считывание, адаптивная установка напряжения, защита от перенапряжения, точность ЦАП 1%, ШИМ-бланирование 200 нс
ДВУХКАНАЛЬНЫЕ									
CS-5127	9...25	5	1.247...3.525	1000 (peak)/200 (DC)	185...225	Понижающий + Понижающий	V <sup>2</sup>	SOP-16	Двухканальный, двухуровневая схема защиты по напряжению, вход блокировки, программируемая частота генератора
CS-5132	8.4...14	5	1.25...3.525	1500 (peak)/200 (DC)	—	Пониж. + Синхр. понижающий	V <sup>2</sup>	SOP-24	Двухканальный, защита от перегрузки по току, защита от пониж. и повыш. напряжения, адаптивная установка напряжения

## ИСТОЧНИКИ ПИТАНИЯ С ГАЛЬВАНИЧЕСКОЙ РАЗВЯЗКОЙ

Прибор	Входное напряжение (пуск/стоп), В	Опорное напряжение, В	Выходной ток, мА	Ток запуска, мА	Частота, кГц	Максимальный рабочий цикл, %	Применение (преобразователь)	Режим управления	Корпус	Особенности
CS-3524A	8...40	5 ±1%	200 (60 В)	4	120...500	45	Любой тип	Напряжение	DIP-16, SOP-16	Двухтактный ШИМ-контроллер, аналог SG3524, защита от пониженного напряжения, ШИМ-триггер, защита от перегрева
CS-51221	4.6/3.8	3.3 ±0.1	±1000 (peak)/ ±200 (DC)	0.075	до 1000	85 (typ)	Любой тип	Напряжение	DIP-16, SOP-16	Мягкий запуск, точное ограничение рабочего цикла, защита от пониж./повыш. напряжения, защита от перегрева, двунаправленная синхронизация, гашение переднего фронта импульса тока
CS-52843	8.4/7.6...30	5 ±2%	±1000	0.5	52	100	Сетевой	Ток	SOP-8, SOP-16	Температурно-компенсированный генератор, поцикловое ограничение тока, защита от пониж. напряжения, подавление двохенных импульсов
CS-52844	8.4/7.6...30	5 ±2%	±1000	0.5	52		Сетевой	Ток	SOP-8, SOP-16	Температурно-компенсированный генератор, поцикловое ограничение тока, защита от пониж. напряжения, подавление двохенных импульсов
CS-52845	8.4/7.6...30	5 ±1%	±1000	1	52	50	Сетевой	Ток	SOP-8, SOP-14	Температурно-компенсированный генератор, поцикловое ограничение тока, защита от пониж. напряжения, подавление двохенных импульсов
CS-2841B	8/7.4...40	5 ±1%	±1000	1	52	100	Сетевой, автомобильный	Ток	DIP-8, SOP-14	Температурно-компенсированный генератор, поцикловое ограничение тока, защита от пониж. напряжения, подавление двохенных импульсов
CS-2842A/3842	16/10...30	5	±1000	1	52	100	Сетевой	Ток	DIP-8, SOP-8, SOP-14	Температурно-компенсированный генератор, поцикловое ограничение тока, защита от пониж. напряжения, подавление двохенных импульсов
CS-2843A/3843A	8.4/7.6...30	5	±1000	1	52	100	Сетевой	Ток	DIP-8, SOP-8, SOP-14	Температурно-компенсированный генератор, поцикловое ограничение тока, защита от пониж. напряжения, подавление двохенных импульсов
CS-2844/3844	16/10...30	5	±1000	1	52	50	Сетевой	Ток	DIP-8, SOP-8, SOP-14, SOP-16	Температурно-компенсированный генератор, поцикловое ограничение тока, защита от пониж. напряжения, подавление двохенных импульсов
CS-2845/3845	8.4/7.6...30	5	±1000	1	52	50	Сетевой	Ток	DIP-8, SOP-8, SOP-14, SOP-16	Температурно-компенсированный генератор, поцикловое ограничение тока, защита от пониж. напряжения, подавление двохенных импульсов
CS-3842B	16/10...30	5	±1000	0.5	52	100	Сетевой	Ток	DIP-8, SOP-8, SOP-14	Температурно-компенсированный генератор, поцикловое ограничение тока, защита от пониж. напряжения, подавление двохенных импульсов
CS-3843B	8.4/7.6...30	5	±1000	0.5	52	100	Сетевой	Ток	DIP-8, SOP-8, SOP-14	Температурно-компенсированный генератор, поцикловое ограничение тока, защита от пониж. напряжения, подавление двохенных импульсов
CS-3844B	16/10...30	5	±1000	0.6	52	50	Сетевой	Ток	DIP-8, SOP-8, SOP-14, SOP-16	Температурно-компенсированный генератор, поцикловое ограничение тока, защита от пониж. напряжения, подавление двохенных импульсов
CS-2845B	8.4/7.6...30	5	±1000	0.5	52	50	Сетевой	Ток	DIP-8, SOP-8, SOP-14, SOP-16	Температурно-компенсированный генератор, поцикловое ограничение тока, защита от пониж. напряжения, подавление двохенных импульсов
CS-3865C	14/10	5 ±2%	±1000	1	49	52	Сетевой, DC-DC	Ток	DIP-16, SOP-16	Два выхода, поцикловое ограничение тока, защита от пониженного напряжения, совместима по выводам с MC34065H
CS-5651	14/10	5 ±2%	±400	1	49	52	Сетевой, DC/DC	Ток	DIP-16, SOP-16	Два тотемных выхода, один выход с блокировкой, поцикловое ограничение тока, защита от пониженного напряжения, совместима по выводам с MC34065H
CS-5661	8.4/7.8	5 ±2%	±400	1	49.5	52	Сетевой, DC/DC	Ток	SOP-16	Два тотемных выхода, один выход с блокировкой, поцикловое ограничение тока, защита от пониженного напряжения, совместима по выводам с MC34065L
CS-51021	8.25/7.7...20	5 ±1%	±1000 (peak)/ ±200 (DC)	0.075	230...280	83	Сетевой, DC/DC	Ток	SOP-16	Мягкий запуск, двухуровневая защита от перегрузки по току, защита от перенапряжения, компенсация наклона "пилы", гашение переднего фронта импульса тока, двунаправленная синхронизация
CS-51022	8.25/7.7...20	5 ±1%	±1000 (peak)/±200 (DC)	0.075	230...280	83	Сетевой, DC/DC	Ток	SOP-16	Мягкий запуск, двухуровневая защита от перегрузки по току, защита от перенапряжения, компенсация наклона "пилы", гашение переднего фронта импульса тока, дежурный режим с потреблением 100 мкА

## ИСТОЧНИКИ ПИТАНИЯ С ГАЛЬВАНИЧЕСКОЙ РАЗВЯЗКОЙ (ПРОДОЛЖЕНИЕ)

Прибор	Входное напряжение (пуск/стоп), В	Опорное напряжение, В	Выходной ток, мА	Ток запуска, мА	Частота, кГц	Максимальный рабочий цикл, %	Применение (преобразователь)	Режим управления	Корпус	Особенности
CS-51023	13/7.7...20	5 ±1%	±1000 (peak)/±200 (DC)	0.075	230...280	83	Сетевой, DC/DC	Ток	SOP-16	Мягкий запуск, двухуровневая защита от перегрузки по току, защита от перенапряжения, компенсация наклона "пилы", гашение переднего фронта импульса тока, двунаправленная синхронизация
CS-51024	13/7.7...20	5 ±1%	±1000 (peak)/±200 (DC)	0.075	230...280	83	Сетевой, DC/DC	Ток	SOP-16	Мягкий запуск, двухуровневая защита от перегрузки по току, защита от перенапряжения, компенсация наклона "пилы", гашение переднего фронта импульса тока, дежурный режим с потреблением 100 мкА
CS-5106	7.5...16	5 ±1.5%	±500 (peak)/±100 (DC)	1.5	485...540	—	Преобразователи с гальв. развязкой	Ток	SSOP-24	Выход на синхронный транзистор, защита от повыш. и пониж. напряжения, M/S-синхронизация, компенсация наклона "пилы", блокировка, расширенный диапазон температур
Контроллер вторичной цепи										
CS-5101	8/7...45	5 ±2%	±1500 (peak)	—	—	—	Сетевой, DC/DC	Напряжение	DIP-14, SOP-16	Дежурный режим с током 100 мкА, защита от перегрузки по току, внешняя синхронизация, монитор напряжения внешнего ключа

## ИСТОЧНИКИ ПИТАНИЯ БЕЗ ГАЛЬВАНИЧЕСКОЙ РАЗВЯЗКИ

Прибор	Входное напряжение (пуск/стоп), В	Опорное напряжение, В	Выходной ток, мА	Ток потребления в дежурном режиме, мкА	Частота, кГц	Максимальный рабочий цикл, %	Применение (преобразователь)	Режим управления	Корпус	Особенности
CS-3972	3...60	1.24	1.25 (2 (peak))	—	33...47	92 (typ)	Повыш., пониж., прямой	Ток	DIP-8, SOP-16, TO-220-5	Ограничение тока, защита от пониженного напряжения, защита от перегрева, внешняя синхронизация
CS-5171	2.4...30	1.274	4000	30	260/52	94 (typ)	Повыш., пониж., прямой	Ток	DIP-8, SOP-8	Внешняя синхронизация, защита по току, защита от перегрева, стабилизированные полож. и отриц. выходы, расширенный диапазон температур, совместимость по выводам с LT1373
CS-5172	2.4...30	1.274	4000	30	52/104	94 (typ)	Повыш., пониж., прямой	Ток	DIP-8, SOP-8	Внешняя синхронизация, защита по току, защита от перегрева, стабилизированные полож. и отриц. выходы, расширенный диапазон температур, совместимость по выводам с LT1372
CS-51031	4.4...20	3.3 ±2%	±1000 (peak)	900	160...240	83.3 (typ)	Пониж.	Напряжение	DIP-8, SOP-8	Программируемый мягкий запуск, монитор напряжения питания
CS-51033	4.4...20	3.3 ±2%	±1000 (peak)	900	160...240	83.3 (typ)	Пониж.	Напряжение	DIP-8, SOP-8	Программируемый мягкий запуск, монитор напряжения питания

## МНОГОФУНКЦИОНАЛЬНЫЙ ШИМ-КОНТРОЛЛЕР С СИНХРОННЫМ ВЫХОДОМ И ДОПОЛНИТЕЛЬНЫМ ИСТОЧНИКОМ ПИТАНИЯ

## ОСОБЕННОСТИ

- ◆ Программируемая фиксированная рабочая частота
- ◆ Программируемое время "неперекрывтия" в ключевых транзисторах
- ◆ Вывод разрешения работы контроллера (разблокирования)
- ◆ Управление вспомогательным источником питания 12 В
- ◆ Блокировка при повышенном и пониженном входном напряжении
- ◆ Защита от пониженного выходного напряжения
- ◆ Возможность синхронизации в режиме ведущий/ведомый
- ◆ Работа в ограниченном диапазоне частот синхронизации
- ◆ Время отработки ШИМ ..... 80 нс
- ◆ Выход опорного источника ..... 5 В/20 мА
- ◆ Миниатюрный 24-выводной корпус SSOP
- ◆ Управляемый "Hiccup"-режим

## ОБЩЕЕ ОПИСАНИЕ

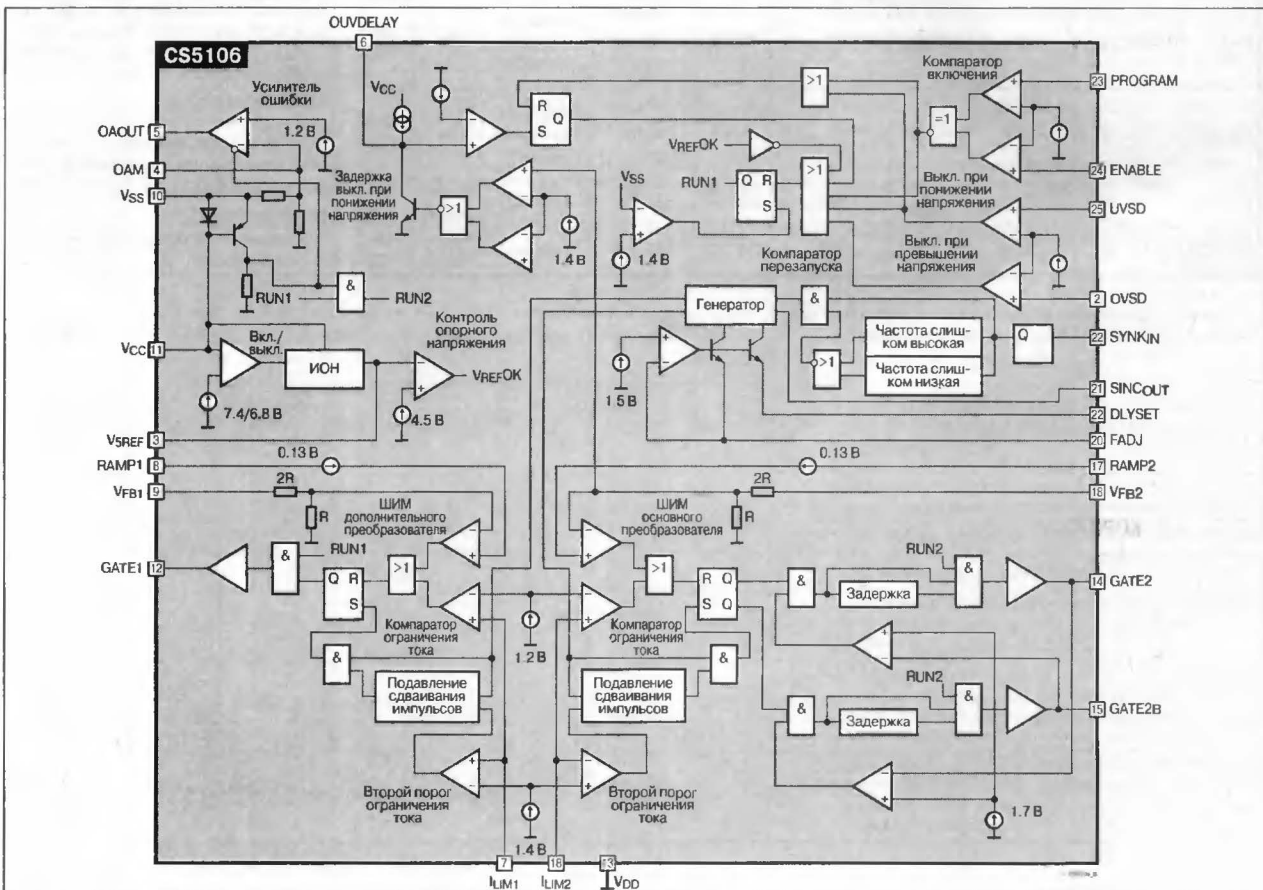
CS-5106 представляет собой контроллер с управлением по току (с дополнительной обратной связью по току), постоянной рабочей частотой, с двумя синхронизированными драйверами для управления, соответственно, одним и двумя МОП-транзисторами.

В дополнение, благодаря тому, что синхронизированные драйверы МОП-транзисторов исключают "перекрытие" (одновременное проводящее состояние транзисторов), CS-5106 является идеальным контроллером для построения высококачественных преобразователей напряжения.

Микросхема CS-5106 специально сконструирована для преобразователей с гальванической развязкой с высокими требованиями по быстродействию, малыми размерами и цене компонентов.

Рабочий диапазон температур от  $-40$  до  $+125$  °C, диапазон напряжений питания от 9 до 16 В.

### СТРУКТУРНАЯ СХЕМА





# НАЗНАЧЕНИЕ ВЫВОДОВ

Вывод	Обозначение	Назначение
1	UVSD	Вывод отключения при понижении напряжения питания. Обычно этот вывод соединяется через резистивный делитель с входным напряжением. Если напряжение на этом выводе меньше 5 В, то потенциалы на выводах GATE1, GATE2, GATE2B становятся низкими
2	OVSD	Вывод отключения при повышении напряжения питания. Обычно этот вывод соединяется через резистивный делитель с входным напряжением. Если напряжение на этом выводе больше 5 В, то потенциалы на выводах GATE1, GATE2, GATE2B становятся низкими
3	V <sub>SREF</sub>	Выход источника опорного напряжения 5 В. Номинальный ток нагрузки 20 мА. Если напряжение на этом выводе падает до 4.5 В, то потенциалы на выводах GATE1, GATE2, GATE2B становятся низкими
4	OAM	Инвертирующий вход усилителя ошибки вспомогательного источника питания. Напряжение на этом выводе равно 1/10 от напряжения на выводе V <sub>SS</sub> и сравнивается в усилителе ошибки с опорным напряжением 1.2 В
5	OA <sub>OUT</sub>	Выход усилителя ошибки вспомогательного источника питания. Максимальный выходной ток 300 мА
6	OUVDELAY	Вывод для подключения времязадающего конденсатора в схему защиты от пониженного выходного напряжения. Если выходные напряжения основного и вспомогательного источников питания таковы, что напряжения на выводах V <sub>FB1</sub> и V <sub>FB2</sub> оказываются больше номинального значения 4.1 В, то этот конденсатор начинает заряжаться. Если продолжительность перенапряжения такова, что напряжение на выводе OUVDELAY превысит 5 В, то потенциалы на выводах GATE1, GATE2, GATE2B становятся низкими
7	I <sub>LIM1</sub>	Вывод управления защитой по току вспомогательного источника питания. Напряжение, превышающее 1.2 В на этом выводе, переводит вывод GATE1 в низковольтное состояние. Напряжение на этом выводе, превышающее 1.4 В, переводит вывод GATE1 в низковольтное состояние как минимум на два рабочих цикла
8	RAMP1	Вывод пилообразного напряжения вспомогательного источника питания. На этом выводе обычно представлено напряжение, которое линейно связано с током в первичной обмотке вспомогательного трансформатора. При превышении этим напряжением значения V <sub>FB1</sub> – 0.13 В потенциал вывода GATE1 становится низким
9	V <sub>FB1</sub>	Вывод обратной связи по напряжению вспомогательного источника питания. Напряжение на этом выводе, меньшее, чем напряжение на выводе RAMP1 + 0.13 В, переводит вывод GATE1 в низковольтное состояние
10	V <sub>SS</sub>	Вход питания/обратной связи (см. Назначение вывода V <sub>CC</sub> ). Кроме того, этот вывод соединен через делитель 10:1 с инвертирующим входом усилителя ошибки
11	V <sub>CC</sub>	Вход напряжения питания. Питание на этот вывод поступает через внешний ограничитель напряжения до тех пор, пока V <sub>SS</sub> не станет больше V <sub>CC</sub> . После этого питание контроллера поступает через вывод V <sub>SS</sub>
12	GATE1	Вывод для подключения затвора ключевого транзистора вспомогательного источника питания
13	GND	Общий вывод, земля
14	GATE2	Вывод драйвера управления затвором ключевого транзистора основного источника питания
15	GATE2B	Вывод драйвера управления затвором транзистора синхронного выпрямителя, синхронизированный с драйвером GATE2
16	V <sub>FB2</sub>	Вывод обратной связи по напряжению основного источника питания. Напряжение на этом выводе, меньшее, чем напряжение на выводе RAMP2 + 0.13 В, переводит потенциал вывода GATE2 в низковольтное, а потенциал вывода GATE2B — в высоковольтное состояние
17	RAMP2	Вывод пилообразного напряжения основного источника питания. На этом выводе обычно представлено напряжение, линейно связанное с током в первичной обмотке основного трансформатора. При превышении этим напряжением значения V <sub>FB2</sub> – 0.13 В, потенциал вывода GATE2 становится низким, а GATE2B — высоким
18	I <sub>LIM2</sub>	Вывод управления защитой по току основного источника питания. Напряжение, превышающее 1.2 В на этом выводе, переводит вывод GATE2 в низковольтное состояние, а GATE2B — в высоковольтное состояние. Напряжение на этом выводе, превышающее 1.4 В, переводит вывод GATE2 в низковольтное, а вывод GATE2B — в высоковольтное состояние как минимум на два рабочих цикла
19	DLYSET	Вывод для установки времени "неперекрывтия" между напряжениями на выводах GATE2 и GATE2B. Резистор 27 кОм между DLYSET и общим выводом устанавливает номинальное значение этого времени 45 нс
20	FADJ	Вывод регулировки рабочей частоты. Резистор 27 кОм между FADJ и общим выводом устанавливает номинальное значение рабочей частоты 512 кГц
21	SYNC <sub>OUT</sub>	Выход синхронизации. Импульсы амплитудой от 1 до 5 В и рабочим циклом 50% имеют передний фронт в фазу с напряжением на выводе GATE1
22	SYNC <sub>IN</sub>	Вход синхронизации. Частота внутреннего генератора может быть изменена в пределах +10/-15% подачей положительных импульсов на этот вывод. Если частота внешнего генератора отличается от частоты внутреннего генератора более чем на +25/-35%, сигналы внешнего генератора игнорируются
23	PROGRAM	Вход программирования отключения контроллера. Ток по этому выводу составляет не менее 20 мА
24	ENABLE	Вход разрешения работы контроллера. ВЫСОКИЙ уровень на выводе PROGRAM и НИЗКИЙ на выводе ENABLE или НИЗКИЙ уровень на выводе PROGRAM и ВЫСОКИЙ на выводе ENABLE разрешают нормальную работу драйверов GATE1, GATE2 и GATE2B. В отключенном состоянии вывод ENABLE имеет ВЫСОКИЙ уровень. Ток по этому выводу составляет не менее 100 мА

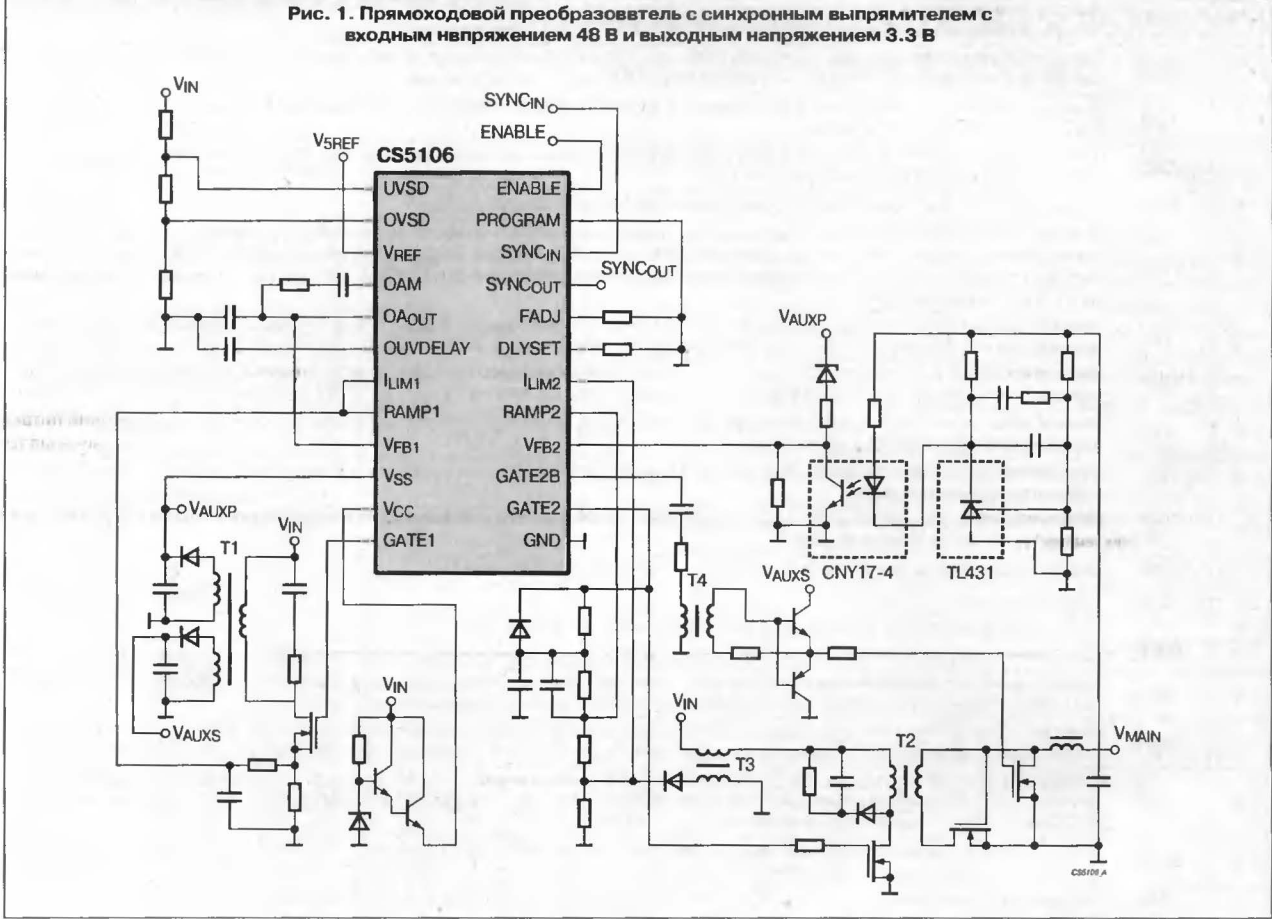
## ЦОКОЛЕВКА КОРПУСОВ

Корпус типа SSOP-24

Блокировка при понижении напряжения питания	UVSD 1	24 ENABLE	Разблокирование контроллера
Блокировка при повышении напряжения питания	OVSD 2	23 PROGRAM	Программирование отключения контроллера
Опорное напряжение 5 В	V <sub>SREF</sub> 3	22 SYNC <sub>IN</sub>	Вход синхронизации
Вход усилителя ошибки вспомогательного источника питания	OAM 4	21 SYNC <sub>OUT</sub>	Выход синхронизации
Выход усилителя ошибки вспомогательного источника питания	OA <sub>OUT</sub> 5	20 FADJ	Регулировка рабочей частоты
Задержка срабатывания защиты при понижении выходного напряжения	OUVDELAY 6	19 DLYSET	Регулировка времени "неперекрывтия"
Управление защитой по току вспомогательного источника питания	I <sub>LIM1</sub> 7	18 I <sub>LIM2</sub>	Управление защитой по току основного источника питания
Пилообразное напряжение вспомогательного источника питания	RAMP1 8	17 RAMP2	Пилообразное напряжение основного источника питания
Обратная связь вспомогательного источника питания	V <sub>FB1</sub> 9	16 V <sub>FB2</sub>	Обратная связь основного источника питания
Питание V <sub>SS</sub> /Обратная связь	V <sub>SS</sub> 10	15 GATE2B	Затвор транзистора управления синхронным выпрямителем
Питание	V <sub>CC</sub> 11	14 GATE2	Затвор ключевого транзистора основного источника питания
Затвор ключевого транзистора вспомогательного источника питания	GATE1 12	13 GND	Общий вывод

СХЕМЫ ВКЛЮЧЕНИЯ

Рис. 1. Прямоходовой преобразователь с синхронным выпрямителем с входным напряжением 48 В и выходным напряжением 3.3 В



ТИПОНОМИНАЛЫ

Типономинал	Корпус	Диапазон рабочих температур, °C
CS-5106SW24	SSOP-24	-40...+85
CS-5106SWR24	SSOP-24 (лента и бобина)	-40...+85

### ОСОБЕННОСТИ

- ♦ Встроенный ключ ..... 1.5 А
- ♦ Диапазон входных напряжений ..... 2.4...30 В
- ♦ Высокая рабочая частота, позволяющая использовать миниатюрные компоненты
- ♦ Минимум внешних компонентов
- ♦ Простая внешняя синхронизация
- ♦ Встроенная защита по току
- ♦ Встроенная защита от перегрева
- ♦ Совместимость по выводам с LT1373/LT1372
- ♦ Имеется возможность регулирования выходного напряжения как положительной, так и отрицательной полярности
- ♦ Ток потребления в дежурном режиме ..... 30 мкА
- ♦ Диапазон рабочих температур ..... -40...+85°C

### ОБЩЕЕ ОПИСАНИЕ

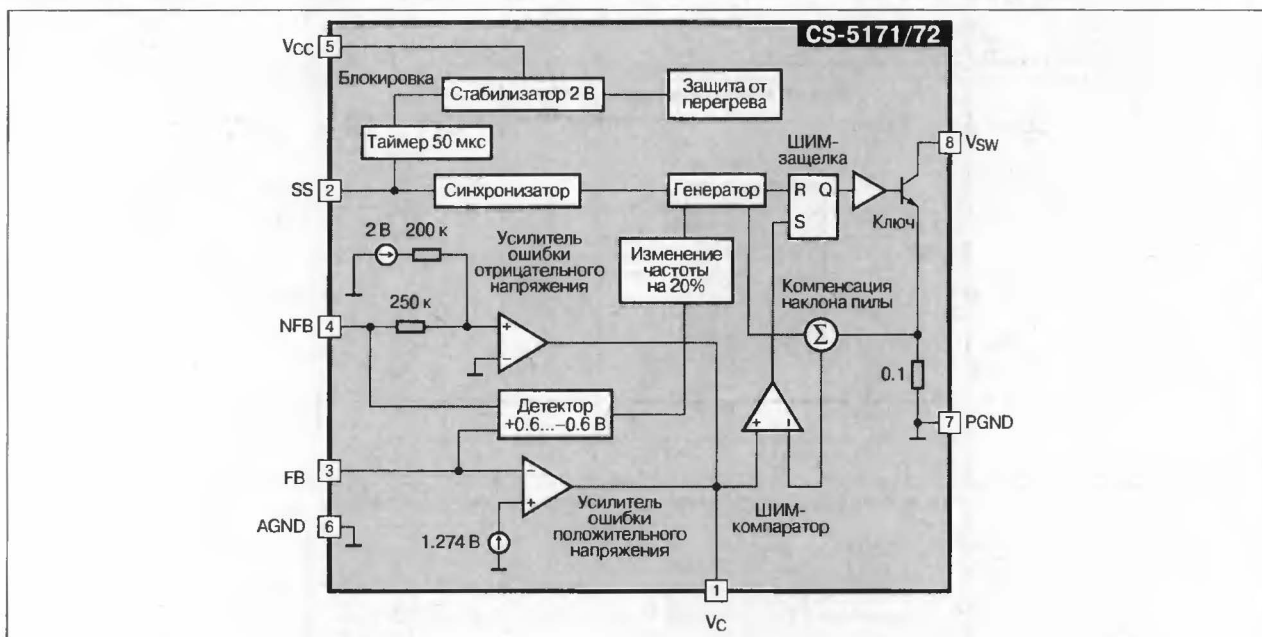
Микросхемы CS-5171/CS-5172 представляют собой импульсные стабилизаторы, снабженные встроенным ключом с коммутируемым током до 1.5 А.

Гибкость конструкции позволяет использовать эти изделия в большинстве схем источников питания, например, в повышающем, понижающем, обратноходовом, инвертирующем стабилизаторах.

В CS-5171/CS-5172 используется токовый метод управления, что обеспечивает превосходную стабилизацию при изменении питающего напряжения и нагрузки, а также обеспечивает ограничения тока импульса.

Сочетание высокой рабочей частоты с высокой степенью интеграции собственно стабилизатора обеспечивает компактность источника питания. Схема предусматривает возможности синхронизации рабочей частоты, дежурный режим и подключение цепи обратной связи как к положительному, так и отрицательному выходному напряжению.

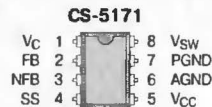
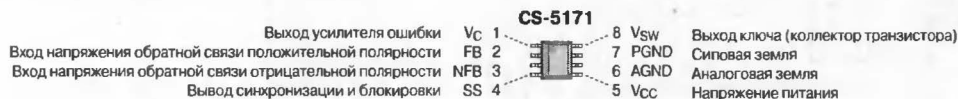
### СТРУКТУРНАЯ СХЕМА



### ЦОКОЛЕВКА КОРПУСОВ

Пластмассовый корпус типа SOP-8

Пластмассовый корпус типа DIP-8



СХЕМЫ ВКЛЮЧЕНИЯ

ТИПОНОМИНАЛЫ



Типономинал	Базовая рабочая частота, кГц (тип)	Пониженная базовая рабочая частота, кГц (тип)	Корпус и упаковка
CS-5171N8	260	52	DIP-8
CS-5171D8	260	52	SOP-8N
CS-5171DR8	260	52	SOP-8N на ленте и бобине
CS-5172N8	520	104	DIP-8
CS-5172D8	520	104	SOP-8N
CS-5172DR8	520	104	SOP-8N на ленте и бобине



## БЫСТРОДЕЙСТВУЮЩИЙ КОНТРОЛЛЕР ДЛЯ УПРАВЛЕНИЯ $p$ -КАНАЛЬНЫМ МОП-ТРАНЗИСТОРОМ В ПОНИЖАЮЩИХ СТАБИЛИЗАТОРАХ

### ОСОБЕННОСТИ

- ♦ Токотный выход ..... до 1 А
- ♦ Высокая рабочая частота ..... до 700 кГц
- ♦ Не требуется компенсация
- ♦ Защита от короткого замыкания без потерь
- ♦ Погрешность источника опорного напряжения ..... 2%
- ♦ Программируемый мягкий запуск

### ОБЩЕЕ ОПИСАНИЕ

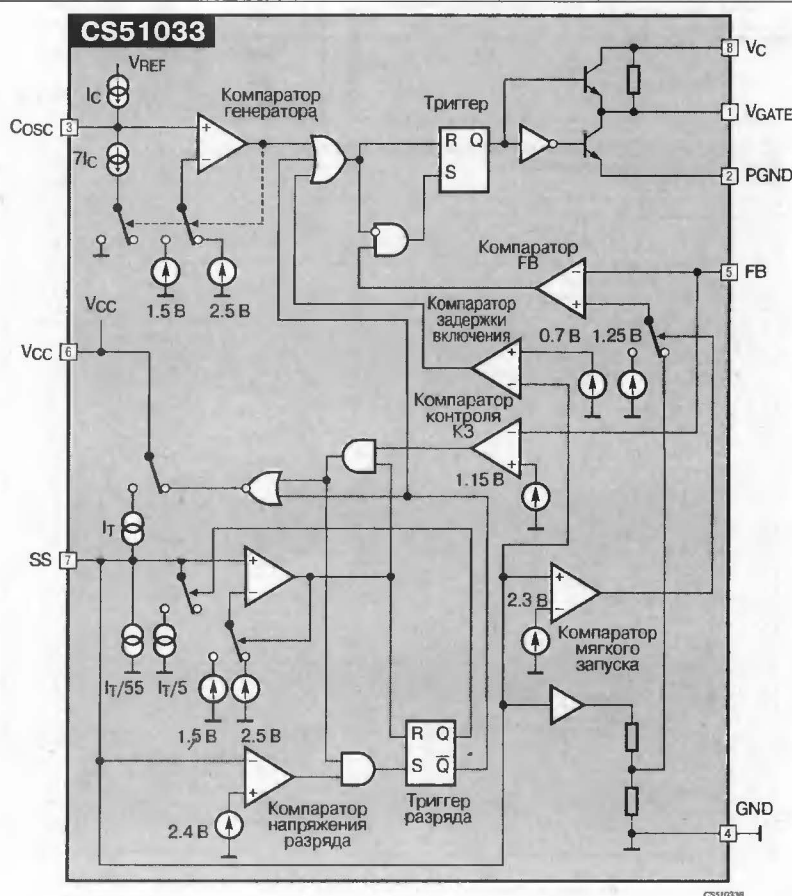
Микросхема CS-51033 предназначена для использования в качестве схемы управления в понижающих преобразователях напряжения. В состав CS-51033 входят выходной каскад (драйвер) управления затвором внешнего ключевого  $p$ -канального МОП-транзистора, обеспечивающий выходной ток до 1 А, генератор с фиксированной частотой, цепь защиты от короткого замыкания, узел программируемого мягкого запуска, прецизионный источник опорного напряжения, быстродействующий компаратор контроля выходного напряжения и схема управления выходным каскадом с защелкой.

Высокая рабочая частота позволяет использовать миниатюрные реактивные элементы, уменьшает размеры печатной платы и общие производственные затраты. Программируемый мягкий запуск уменьшает пусковые броски тока. Цепь защиты, в условиях короткого замыкания, уменьшает время открытого состояния ключевого транзистора до 1/30 от его нормального значения.

### ТИПОНОМИНАЛЫ

Типономинал	Корпус	Диапазон рабочих температур, °C
CS-51033N8	DIP-8	-40...+125
CS-51033D8	SOP-8N	
CS-51033DR8	SOP-8N на ленте в бобине	

### СТРУКТУРНАЯ СХЕМА





ЦОКОЛЕВКА КОРПУСОВ

Пластмассовый корпус типа DIP-8

CS-51033

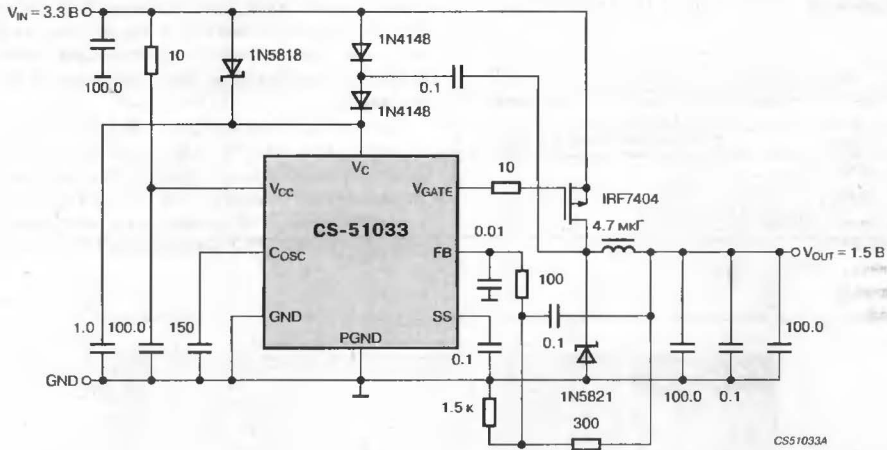
Выход на затвор ключевого транзистора V<sub>GATE</sub> 1 8 V<sub>C</sub> Плюс питания выходного каскада  
 Общий вывод выходного каскада PGND 2 7 SS Вывод подключения конденсатора мягкого запуска  
 Подключение частотозадающего конденсатора C<sub>OSC</sub> 3 6 V<sub>CC</sub> Плюс питания схемы управления  
 Общий вывод схемы управления GND 4 5 FB Вход обратной связи

Пластмассовый корпус типа SOP-8N

CS-51033

V<sub>GATE</sub> 1 8 V<sub>C</sub>  
 PGND 2 7 SS  
 C<sub>OSC</sub> 3 6 V<sub>CC</sub>  
 GN 4 5 FB

ТИПОВАЯ СХЕМА ВКЛЮЧЕНИЯ



Примечание:

Танталовые конденсаторы C2, C3 и C4, используемые для снижения пульсаций, должны иметь малое эквивалентное последовательное сопротивление (ESR)

### ОСОБЕННОСТИ

- ♦ Рабочая частота ..... до 1 МГц
- ♦ Фиксированная частота, режим управления по напряжению с прямой связью (feed forward)
- ♦ Тепловая защита
- ♦ Защита от пониженного напряжения
- ♦ Программирование максимальной длительности включенного состояния ключевого транзистора
- ♦ Ток управления затвором ключевого транзистора ..... до 1 А (peak)
- ♦ Цикловая защита от перегрузки по току
- ♦ Маскирование переднего фронта импульса тока
- ♦ Время задержки срабатывания защиты ..... 75 нс
- ♦ Программируемый мягкий запуск
- ♦ Защита от перенапряжения с программируемым гистерезисом
- ♦ Двухсторонняя синхронизация
- ♦ Время нарастания и спада на затворе ключевого транзистора 25 нс при емкости 1 нФ
- ♦ Выход опорного напряжения ..... 3.3 В  $\pm 3\%$

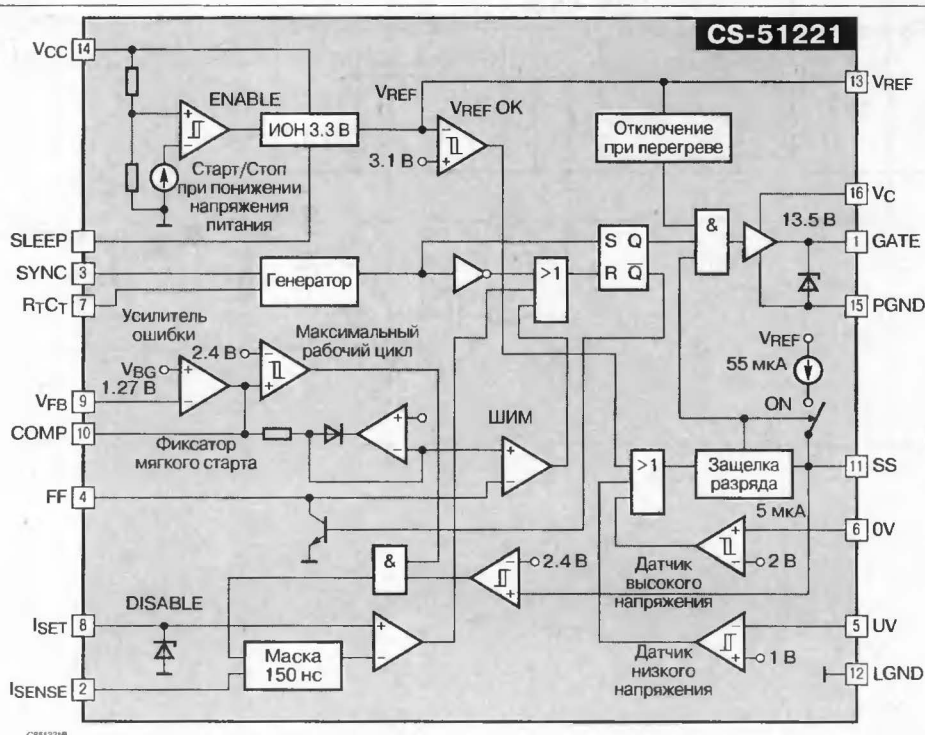
### ОБЩЕЕ ОПИСАНИЕ

Микросхема CS-51221 является ШИМ-контроллером с прямой связью (feed forward) и режимом управления по напряжению. Данная ИС оптимизирована для работы на высокой частоте. Имеются следующие особенности: мягкий запуск, пусковой ток менее 50 мА, защита от повышенного и пониженного напряжения питания, двухсторонняя синхронизация.

### ТИПОНОМИНАЛЫ

Типономинал	Корпус	Диапазон рабочих температур, °C
CS-51221EN16	DIP-16	-40...+85
CS-51221ED16	SOP-16N	-40...+85
CS-51221EDR16	SOP-16N (лента и бобина)	-40...+85

### СТРУКТУРНАЯ СХЕМА



## ЦОКОЛЕВКА КОРПУСОВ

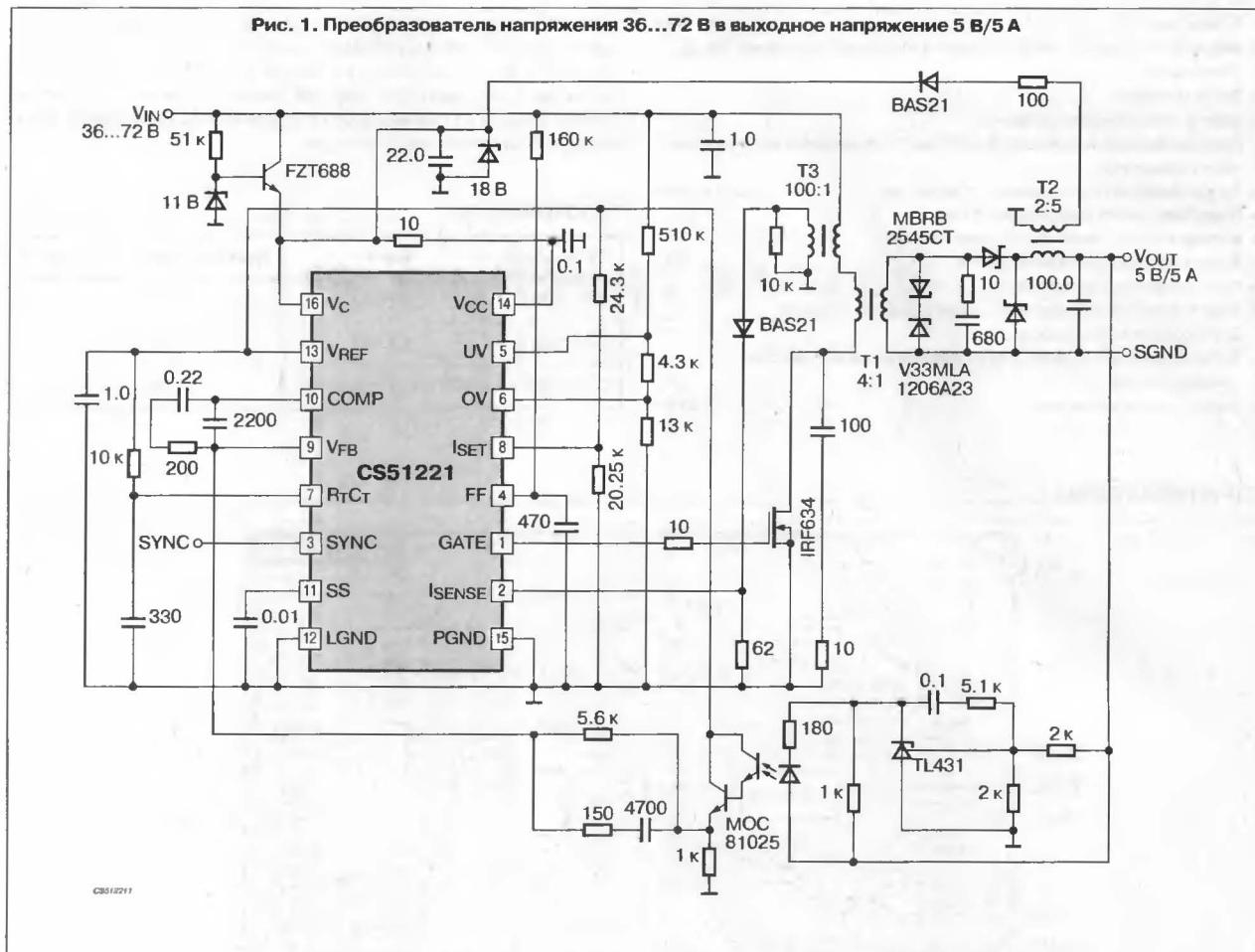
Пластмассовый корпус типа DIP-16 или SOP-16N

Выход управления внешним ключом  
Вход компаратора тока  
Выход синхронизации  
Выход пилообразного напряжения  
Датчик пониженного напряжения  
Датчик повышенного напряжения  
Выход подключения РТ и СТ  
Установка порога токовой защиты

GATE	1	16	V <sub>C</sub>	Вывод питания выходного каскада
ISENSE	2	15	PGND	Сигловая земля
FF	3	14	V <sub>CC</sub>	Напряжение питания схемы управления
YN	4	13	V <sub>REF</sub>	Вывод опорного напряжения
UV	5	12	LGND	Общий вывод схемы управления
DV	6	11	SS	Конденсатор мягкого запуска
R <sub>Y</sub> CT	7	10	CDMP	Вывод усилителя ошибки
I <sub>SET</sub>	8	9	V <sub>FB</sub>	Вход обратной связи

### СХЕМА ВКЛЮЧЕНИЯ

**Рис. 1. Преобразователь напряжения 36...72 В в выходное напряжение 5 В/5 А**



# **élantec**

HIGH PERFORMANCE ANALOG INTEGRATED CIRCUITS

## **Микросхемы для импульсных источников питания фирмы Elantec:**

DC/DC-преобразователи (для питания микропроцессоров) .....	302
<b>EL7556C/EL7558C</b> Регулируемый источник питания для ЦПУ .....	303

## МИКРОСХЕМЫ ДЛЯ ИМПУЛЬСНЫХ ИСТОЧНИКОВ ПИТАНИЯ ФИРМЫ ELANTEC

DC/DC-ПРЕОБРАЗОВАТЕЛИ (ДЛЯ ПИТАНИЯ МИКРОПРОЦЕССОРОВ)

Прибор	Напряжение питания, В	Выходное напряжение, В	Разброс, %	Частота, МГц	Выходной ток, А	Управление выходом		ИОН	Встроенные ПТ	Дежурный режим	Корпус
						ЦАП	Внешний резистор				
EL7556C	+4.5...+5.5	1.0...3.8	1	1	6		•	•	•		SOP-28
EL7558C	+4.5...+5.5	1.0...3.8	1	1	8		•	•	•		SOP-28
EL7562C	+3.0...+5.5	1.0...V <sub>S</sub>	1	1	2		•	•	•	•	SOP-28
EL7564C	+3.0...+5.5	1.0...V <sub>S</sub>	1	1	4		•	•	•	•	SOP-28
EL7571C	+4.5...+12.6	1.3...3.5	1	—	Внешние ПТ	•		•			SOP-28



#### ОСОБЕННОСТИ

- ♦ Ток нагрузки
  - EL7556C ..... до 6 А
  - EL7558C (при 3.3 В) ..... 8 А
- ♦ Точность внутреннего опорного источника напряжения ..... 1%
- ♦ Выходное напряжение ..... 1...3.8 В
- ♦ Встроенные ключевые МОП-транзисторы
- ♦ КПД ..... свыше 90%
- ♦ Синхронное переключение
- ♦ Индикация перегрева
- ♦ Поимпульсное ограничение тока
- ♦ Рабочая частота ..... до 1.0 МГц
- ♦ Дистанционное ВКЛЮЧЕНИЕ/ВЫКЛЮЧЕНИЕ
- ♦ Совместимость с INTEL P54 и P55
- ♦ Интерфейс VCC2DET
- ♦ Встроенный мягкий запуск

#### ОБЩЕЕ ОПИСАНИЕ

Микросхемы EL7556C/7558C являются регулируемыми импульсными синхронными DC/DC преобразователями, оптимизированными для работы с входным напряжением 5.0 В и выходным напряжением 1.0...3.8 В. EL7556C способна обеспечить выходной ток до 6 А, а EL7558C — до 8 А при 3.3 В без внешних ключевых транзисторов и радиатора. Встроенная система безрезисторного контроля тока обеспечивает стабильность режима работы с управлением по току. Установка выходного напряжения может осуществляться либо с помощью двух внешних резисторов, либо через интерфейс с микропроцессорами Intel P54 или P55. В обоих случаях выход PWRGD индицирует отклонение выходного напряжения за пределы  $\pm 10\%$  от установленной величины. Встроенный датчик сигнализирует о превышении допустимой температуры и может быть использован для тепловой защиты ИС.

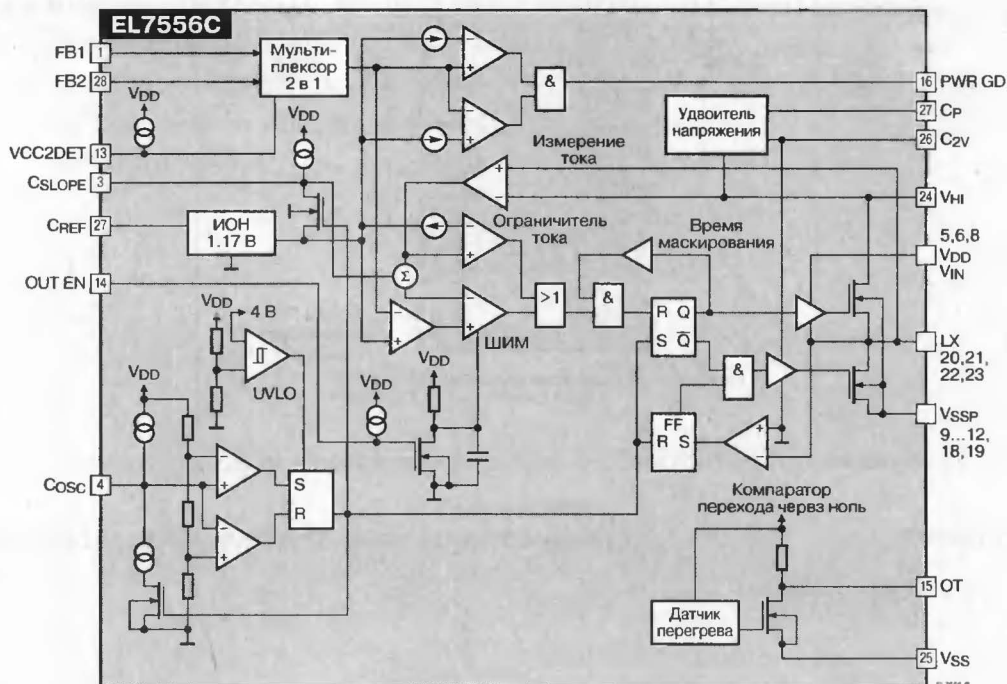
#### ОБЛАСТИ ПРИМЕНЕНИЯ

- ♦ Материнские платы персональных компьютеров
- ♦ Портативные электроприборы и инструменты
- ♦ Преобразователи 5.0 В в 1.0 В

#### ТИПОНОМИНАЛЫ

Типономинал	Корпус	Рабочий диапазон температур, °C
EL7556CE	SOP-28	0...+70
EL7558CE	SOP-28	0...+70

#### СТРУКТУРНАЯ СХЕМА



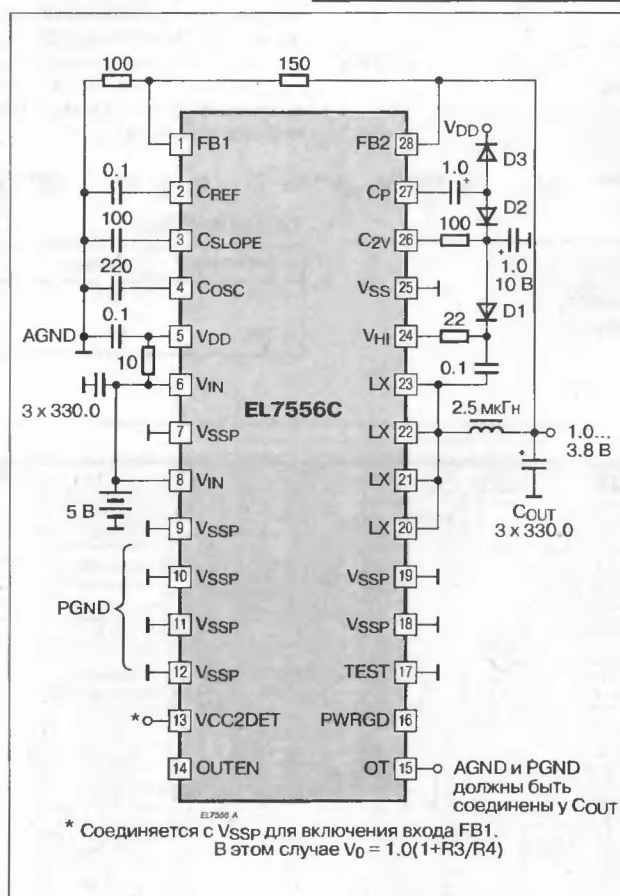
UVLO — блокировка при пониженном напряжении питания

## ЦОКОЛЕВКА КОРПУСОВ

Корпус типа SOP-28

Вход обратной связи по напряжению	FB1	1	28	FB2	Вход обратной связи
Шунтирующий конденсатор	CREF	2	29	Cp	Выход к удвоителю напряжения
Компенсация наклона «пилы»	CSLOPE	3	30	C2V	Питание затвора «нижнего» ключевого транзистора
Времязадающий конденсатор	COSC	4	31	VSS	Земля ШИМ-контроллера
Питание ШИМ-контроллера	VDD	5	32	VH1	Питание схемы управления транзистором верхнего плеча
Питание выходного каскада	VIN	6	33	LX	Выход подключения дросселя
Силовая земля выходного каскада	VSSP	7	34	LX	Выход подключения дросселя
Питание выходного каскада	VIN	8	35	LX	Выход подключения дросселя
Силовая земля выходного каскада	VSSP	9	36	VSSP	Силовая земля выходного каскада
Силовая земля выходного каскада	VSSP	10	37	VSSP	Силовая земля выходного каскада
Силовая земля выходного каскада	VSSP	11	38	TEST	Контрольный вывод
Вход интерфейса VCC2DET	VCC2DET	12	39	PWRGD	Выход компаратора контроля выходного напряжения
Вход разрешения работы выходного каскада	OUTEN	13	40	OT	Выход датчика температуры

### ТИПОВАЯ СХЕМА ВКЛЮЧЕНИЯ



# FAIRCHILD

## Микросхемы для импульсных источников питания фирмы Fairchild Semiconductor:

Импульсные преобразователи напряжения для питания вычислительной техники .....	306
Микросхемы для импульсных источников питания бывшего отделения Samsung Power Electronics .....	307
Импульсные стабилизаторы семейства SPS .....	307
<b>KA1(2, 3)xxxx</b> Импульсные стабилизаторы семейства SPS .....	309
<b>KA7500B</b> ШИМ-контроллер с управлением по напряжению .....	313
<b>KA7552/3</b> ШИМ-контроллер .....	314

ЗА ДОПОЛНИТЕЛЬНОЙ ИНФОРМАЦИЕЙ И ПО ВОПРОСАМ ПОСТАВКИ КОМПОНЕНТОВ ОБРАЩАТЬСЯ:

Компания "МЭЙ"

тел. (095)913-5161, факс. (095)913-5160, <http://www.may.ru>

E-mail: [info@may.ru](mailto:info@may.ru)

## МИКРОСХЕМЫ ДЛЯ ИМПУЛЬСНЫХ ИСТОЧНИКОВ ПИТАНИЯ ФИРМЫ FAIRCHILD SEMICONDUCTOR

### ИМПУЛЬСНЫЕ ПРЕОБРАЗОВАТЕЛИ НАПРЯЖЕНИЯ ДЛЯ ПИТАНИЯ ВЫЧИСЛИТЕЛЬНОЙ ТЕХНИКИ

Прибор	Корпус	Функциональное назначение
<b>ПРОГРАММИРУЕМЫЕ 4-РАЗРЯДНЫЕ ПРЕОБРАЗОВАТЕЛИ НАПРЯЖЕНИЯ</b>		
RC5039	SOP-16	Для процессоров P55C, K6, M2 с внешней частотной коррекцией
RC5040	SOP-20	С синхронным выпрямлением для микропроцессоров P55C, K6 и M2
RC5041	SOP-16	Для процессоров Pentium P55C, K6, и 6x86MX (M2)
RC5042	SOP-16	Для процессоров Pentium и материнских плат на их основе
<b>ПРОГРАММИРУЕМЫЕ 5-РАЗРЯДНЫЕ ПРЕОБРАЗОВАТЕЛИ НАПРЯЖЕНИЯ</b>		
RC5050	SOP-20	Контроллер для низковольтного микропроцессора
RC5051	SOP-20	Контроллер с синхронным выпрямлением для микропроцессора Pentium II
RC5052	SOP-20	Контроллер с датчиком тока и синхронным выпрямлением для микропроцессора Pentium II
RC5053	SOP-20, SSOP-20	Контроллер с частотой преобразования 300 кГц и синхронным выпрямлением для микропроцессора Pentium II
RC5054A	SOP-20	Контроллер с синхронным выпрямлением для микропроцессора Pentium II
RC5057	SOP-16	Контроллер с датчиком тока и синхронным выпрямлением для микропроцессора Pentium II
RC5062*	SOP-16	Контроллер с датчиком тока и синхронным выпрямлением для микропроцессора Pentium II
<b>ДЛЯ ПИТАНИЯ УСТРОЙСТВ ВВОДА-ВЫВОДА (УВВ)</b>		
RC5036	SOP-16	Два перестраиваемых стабилизатора (для УВВ и часов) со входом разрешения
RC5037	SOP-8	Контроллер перестраиваемого стабилизатора для УВВ материнской платы
<b>КОМБИНИРОВАННЫЕ</b>		
RC5036	SOP-16	Два перестраиваемых стабилизатора (для процессора и УВВ) со входом разрешения
RC5055	SSOP-24, SOP-24	Программируемый 5-разрядный контроллер с синхронным выпрямлением для микропроцессора Pentium II, линейные стабилизаторы для периферии
RC5056	SSOP-20, SOP-20	Программируемый 5-разрядный контроллер с синхронным выпрямлением для микропроцессора Pentium II, линейный стабилизатор для периферии
RC5059**	SOP-20	(440ZX Platform): Программируемый 5-разрядный контроллер с синхронным выпрямлением для микропроцессора Pentium II, линейные стабилизаторы для периферии
RC5061*	SOP-20	Программируемый 5-разрядный контроллер с синхронным выпрямлением для микропроцессора Pentium II, линейные стабилизаторы для периферии
RC5102	SOP-8	Два перестраиваемых стабилизатора для периферии
<b>ПРОГРАММИРУЕМЫЕ ПРЕОБРАЗОВАТЕЛИ НАПРЯЖЕНИЯ ДЛЯ КОМПЛЕКТА МИКРОСХЕМ CAMINO, WHITNEY</b>		
RC5058**	SOP-24	Программируемый 5-разрядный контроллер с синхронным выпрямлением для микропроцессоров Pentium II, линейные стабилизаторы для периферии
RC5060*	SOP-20	Контроллер питания устройств на основе Camino, Whitney с ACPI (5, 3.3, 2.5, 3.3 В)
<b>ПРЕОБРАЗОВАТЕЛИ НАПРЯЖЕНИЯ</b>		
RC5230*	TSSOP-24	Системный стабилизатор для переносных компьютеров
RC5231*	TSSOP-24	Стабилизатор питания процессора переносных компьютеров

#### Примечание

\* — Предварительная информация

\*\* — Планируется в производство

## МИКРОСХЕМЫ ДЛЯ ИМПУЛЬСНЫХ ИСТОЧНИКОВ ПИТАНИЯ БЫВШЕГО ОТДЕЛЕНИЯ SAMSUNG POWER ELECTRONICS

### ШИМ-контроллеры

Прибор	Максимальное напряжение питания, В	Опорное напряжение, В	Частота преобразования, кГц	Выходной ток, А (peak)	Корпус	Особенности
KA34063A	40	1.25 ±2%	33 (100 (max))	1.5	DIP-8	DC/DC-преобразователь
KA3524	40	5 ±1%	350	0.1	DIP-16	Контроллер ШИМ с управлением по напряжению
KA3525A	40	5.1 ±1%	430	0.4	DIP-16	Контроллер ШИМ с управлением по напряжению
KA3526B	40	5 ±1%	650	0.1	DIP-18	Контроллер ШИМ с управлением по напряжению
KA3825	40	5.1 ±1%	430	1.5	DIP-16	Контроллер ШИМ с управлением по напряжению
KA3842B	30	5 ±1%	52 (500 (max))	1	DIP-8	Контроллер ШИМ с управлением по току
KA3843B	30	5 ±1%	52 (500 (max))	1	DIP-8	Контроллер ШИМ с управлением по току
KA3844B	30	5 ±1%	52 (500 (max))	1	DIP-8	Контроллер ШИМ с управлением по току
KA3845B	30	5 ±1%	52 (500 (max))	1	DIP-8	Контроллер ШИМ с управлением по току
KA3846	30	5 ±1%	52 (500 (max))	0.5	DIP-16	Контроллер ШИМ с управлением по току
KA3882	30	5 ±1%	700 (max)	1.5	DIP-8	Контроллер ШИМ с управлением по току
KA3883	30	5 ±1%	400 (max)	1.5	DIP-8	Контроллер ШИМ с управлением по току
KA3884	30	5 ±2%	750 (max)	0.5/1	DIP-8	Контроллер ШИМ с управлением по току
KA3885	30	5 ±1%	400	—	DIP-8	Контроллер ШИМ с управлением по току
KA7500B	42	5 ±1%	1...300	0.2	DIP-16	Контроллер ШИМ с управлением по напряжению
KA7511	18	4.2	20 (typ)	1.5	SIP-10	Схема управления импульсным источником питания
KA7515	20	3.0	—	0.012	DIP-8	Схема управления импульсным источником питания
KA7552	30	2.8	5...600	1.5	DIP-8	ШИМ-контроллер
KA7553	30	2.8	5...600	1.5	DIP-8	ШИМ-контроллер
KA7577	31	5.9	188	2.0	DIP-16, SOP-20	ШИМ-контроллер

### Контроллеры коэффициента мощности

Прибор	Ток запуска, мА	Опорное напряжение, В	Выходной ток, мА	Ток потребления, мА	Рабочая температура, °C	Корпус
KA7524B	0.25	2.5	500	6	-25...+100	DIP-8, SOP-8
KA7525	0.2	30	±500	4	0...+125	DIP-8, SOP-8
KA7525B	0.2	30	±500	4	0...+125	DIP-8, SOP-8
KA7526	0.3	30	±500	4	0...+125	DIP-8, SOP-8

### ИМПУЛЬСНЫЕ СТАБИЛИЗАТОРЫ СЕМЕЙСТВА SPS

Прибор	I <sub>PEAK</sub>	P <sub>MAX</sub>	F <sub>OP</sub>	R <sub>DS(on)</sub>		Корпус	Применение
	A	Вт	кГц	Ом (max)	при I <sub>D</sub> , A		
650 В							
KA5L0165RN	0.6	10	50	10	0.5	DIP-8	Зарядные устройства
KA5M0165RN	0.6	10	70	10	0.5	DIP-8	
KA5H0165RN	0.6	10	100	10	0.5	DIP-8	
KA1H0165RN	0.6	10	100	10	0.5	DIP-8	
KA1H0165R	0.6	13	100	10	0.5	TO-220F-4L	Зарядные устройства и вспомогательные источники питания
KA5L0165R	1.2	26	50	6	1.0	TO-220F-4L	
KA5M0165R	1.2	26	70	6	1.0	TO-220F-4L	
KA5H0165R	1.2	26	100	6	1.0	TO-220F-4L	
KA5L0265R	1.2	26	50	6	1.0	TO-220F-4L	Зарядные устройства и вспомогательные источники питания для мониторов и ПК
KA1M0265R	1.2	26	70	6	1.0	TO-220F-4L	
KA5M0265R	1.2	26	70	6	1.0	TO-220F-4L	
KA5H0265R	1.2	26	100	6	1.0	TO-220F-4L	
KA1H0265R	1.2	26	100	6	1.0	TO-220F-4L	Видеомагнитофоны/USB
KA1L0365R	2.15	47	50	4.5	1.5	TO-220F-4L	
KA1M0365R	2.15	47	70	4.5	1.5	TO-220F-4L	
KA1H0365R	2.15	47	100	4.5	1.5	TO-220F-4L	
KA1M0565R	3.5	77	70	2.2	3.5	TO-220F-4L	Адаптеры
KA1H0565R	3.5	123	100	2.2	3.5	TO-220F-4L	Импульсные источники питания
KA1M0765R	5	176	70	1.6	5.0	TO-3P-5L	
KA1M0965R	6	211	70	1.2	6.0	TO-3P-5L	



# FAIRCHILD SEMICONDUCTOR

## ИМПУЛЬСНЫЕ СТАБИЛИЗАТОРЫ СЕМЕЙСТВА SPS (ПРОДОЛЖЕНИЕ)

Прибор	I <sub>PEAK</sub>	P <sub>MAX</sub>	F <sub>OP</sub>	R <sub>DS(on)</sub>		Корпус	Применение
	A	Вт	кГц	Ом (max)	при I <sub>D</sub> , A		
650 В							
KA2S0765	5	110	20...150	1.6	5.0	TO-3P-5L	Мониторы
KA2S0965	6	132	20...150	1.2	6.0	TO-3P-5L	
KA2S0965S	5	120	20...150	1.2	6.0	TO-3P-5L	
KA2S1265	8	176	20...150	0.8	8.0	TO-3P-5L	
KA3S0765RF	5	110	20...150	1.6	5.0	TO-3PF-5L	Цветные телевизоры
KA3S0965RF	6	140	20...150	1.2	6.0	TO-3PF-5L	
KA3S1265R	8	200	20...150	0.8	8.0	TO-3P-5L	
KA3S1265RF	8	200	20...150	0.8	8.0	TO-3PF-5L	
KA5H0165R*	0.6	12	100	10	0.5	TO-220F-4L	Зарядные устройства
KA5M0265R*	1.2	25	70	6	1.0	TO-220F-4L	
KA5M0765RC*	5	150	70	1.6	5.0	TO-220-5L	Импульсные источники питания
KA5Q0765RT*	5	110	20...150	1.6	5.0	TO-220F-5L	Цветные телевизоры
KA5Q0965RF*	6	140	20...150	1.2	6.0	TO-3PF-5L	
KA5Q1265RF*	8	200	20...150	0.8	8.0	TO-3PF-5L	
KA5S0765C*	5	110	20...150	1.6	5.0	TO-220-5L	
KA5S0965*	6	140	20...150	1.2	6.0	TO-3P-5L	Мониторы
KA5S1265*	8	200	20...150	0.8	8.0	TO-3P-5L	
800 В							
KA1M0280R	1.2	26	70	7.0	1.0	TO-220F-4L	Зарядные устройства и вспомогательные источники питания для мониторов и ПК
KA1H0280R	1.2	26	70	7.0	1.0	TO-220F-4L	
KA1M0280RB	1.2	26	100	7.0	1.0	TO-220F-4L	
KA1H0280RB	1.2	26	100	7.0	1.0	TO-220F-4L	
KA1L0380	2.1	47	50	5.0	1.5	TO-220F-4L	Видеомагнитофоны
KA1L0380RB	2.15	47	50	5.0	1.5	TO-220F-4L	
KA5L0380R	2.15	47	50	5.0	1.5	TO-220F-4L	
KA1M0380	2.15	47	70	5.0	1.5	TO-220F-4L	
KA1M0380R	2.15	47	70	5.0	1.5	TO-220F-4L	
KA1M0380RB	2.15	47	70	5.0	1.5	TO-220F-4L	
KA1H0380R	2.15	47	100	5.0	1.5	TO-220F-4L	VCD/DVD-проигрыватели
KA1H0380RB	2.15	47	100	5.0	1.5	TO-220F-4L	
KA1M0680B	4	88	70	2.0	4.0	TO-3P-5L	Адаптеры
KA1M0680RB	4	88	70	2.0	4.0	TO-3P-5L	
KA1M0880	5	176	70	1.5	5.0	TO-3P-5L	Импульсные источники питания
KA1M0880B	5	180	70	1.5	5.0	TO-3P-5L	
KA2S0680	4	88	20...150	2.0	4.0	TO-3P-5L	Мониторы
KA2S0680B	4	88	20...150	2.0	4.0	TO-3P-5L	
KA2S0880	5	110	20...150	1.5	5.0	TO-3P-5L	
KA2S0880B	5	110	20...150	1.5	5.0	TO-3P-5L	
KA3S0680RB	4	117	20...150	2.0	4.0	TO-3P-5L	Цветные телевизоры
KA3S0680RFB	4	117	20...150	2.0	4.0	TO-3PF-5L	
KA3S0880RB	5	146	20...150	1.5	5.0	TO-3P-5L	
KA3S0880RFB	5	146	20...150	1.5	5.0	TO-3PF-5L	
KA5Q0680RF*	4	117	20...150	2.0	4.0	TO-3PF-5L	
KA5Q0880RF*	5	146	20...150	1.5	5.0	TO-3PF-5L	

### Примечание

\* — Предварительная информация

### ОСОБЕННОСТИ

- Фиксированная частота преобразования..... 20, 50, 70, 100 кГц
- Ограничение тока импульса
- Встроенный высоковольтный полевой транзистор
- Блокировки по питанию
- Защита от перегрева
- Автоматический перезапуск (кроме KA1 в корпусе TO-3P-5)
- Плавный запуск (приборы в 5-выводном корпусе)
- Внешняя синхронизация (KA2Sxxx, KA3Sxxx)
- Оптимальное соотношение цена/качество

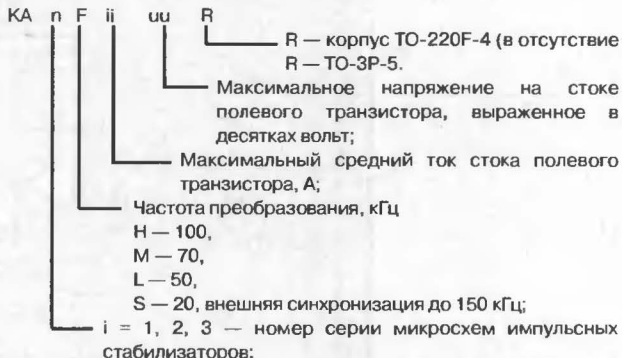
### ПРИМЕНЕНИЕ

- Серия KA1: Сетевые импульсные источники питания мощностью 10...40 Вт
- Серия KA2: Сетевые импульсные источники питания мониторов
- Серия KA3: Сетевые импульсные источники питания цветных телевизоров

### ОБЩЕЕ ОПИСАНИЕ

Серии интегральных микросхем KA1/2/3 разработаны для построения сетевых импульсных источников питания с минимальным числом внешних компонентов для применения в блоках питания мониторов и цветных телевизоров. Микросхемы выполнены по сходным схемам и состоят из высоковольтного полевого транзистора с токоизмерительным выводом и широтно-импульсного модулятора с управлением по току импульса. Широтно-импульсный модулятор работает от генератора фиксированной частоты и оборудован устройствами блокировок при повышенном и пониженном напряжении питания, перегреве и выходе за штатный режим. Микросхемы серии KA1 в четырехвыводном корпусе, снабжены системой автоматического перезапуска, в пятивыводном корпусе — системой плавного запуска. Микросхемы серий KA2 и KA3 выполнены по идентичной схеме и выпускаются в пятивыводном корпусе и имеют вход внешней синхронизации.

### СИСТЕМА ОБОЗНАЧЕНИЙ



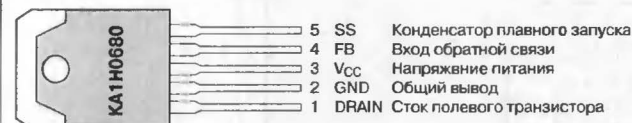
Например KA1H026 означает, что данная микросхема представляет собой импульсный источник питания фирмы Fairchild из семейства SPS серии 1, частота преобразования 100 кГц, максимальный средний ток стока полевого транзистора 2 А, максимальное напряжение на стоке полевого транзистора 650 В, корпус типа TO-3P-5.

### ТИПОНОМИНАЛЫ

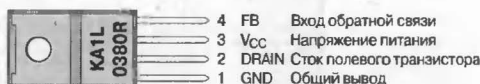
Серия	Корпус	Диапазон температур, °C
KA1H(L/M)xxxxR	TO-220F-4	-25...+85
KA1H(L/M)xxxx	TO-3P-5	-25...+85
KA2Sxxxx	TO-3P-5	-25...+85
KA3SxxxxR	TO-3P-5	-25...+85
KA3SxxxxRF	TO-3PF-5	-20...+80

### ЦОКОЛЕВКА КОРПУСОВ

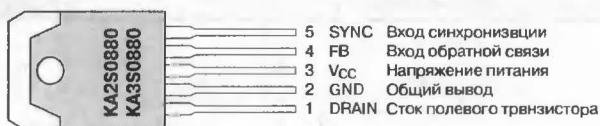
#### Корпус типа TO-3P-5 (серия KA1)



#### Корпус типа TO-220F-4 (серия KA1)

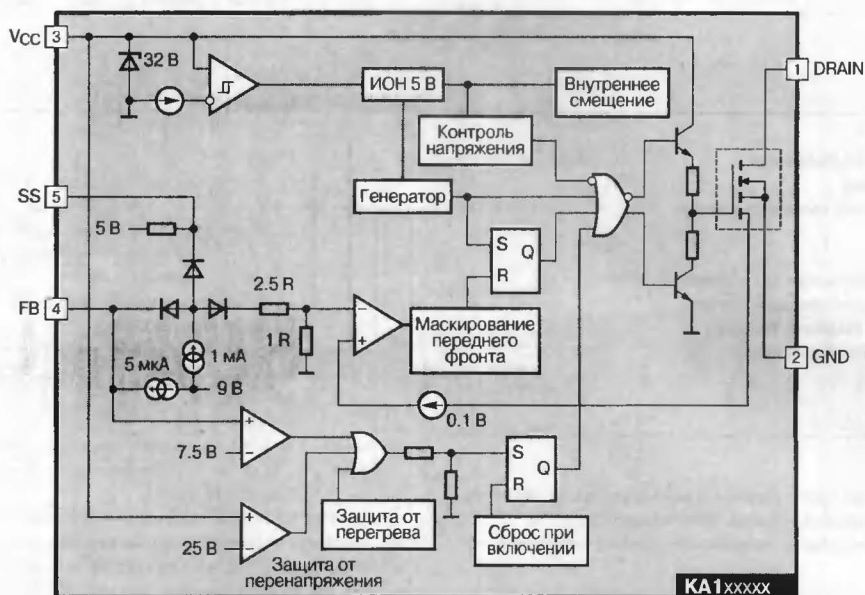


#### Корпус типа TO-3P-5, TO-3PF-5 (серия KA2, KA3)

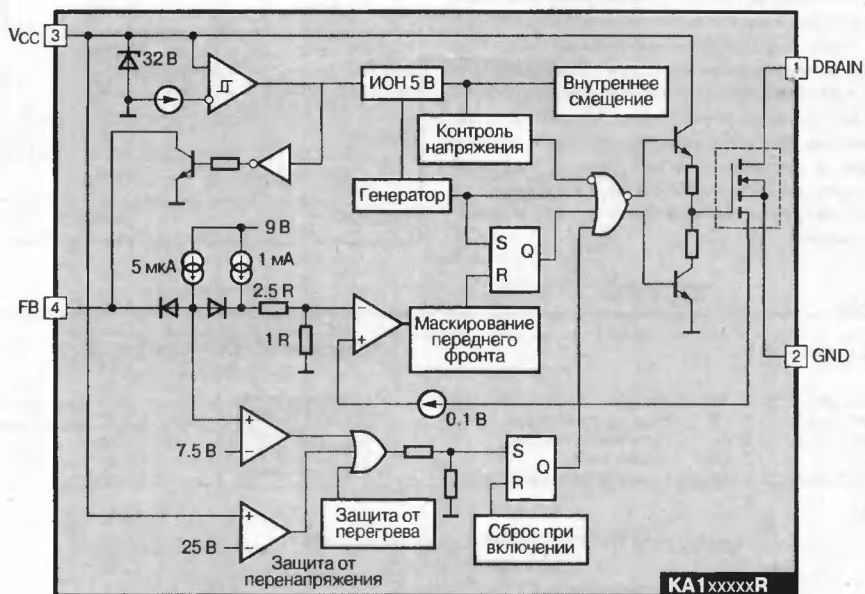


## СТРУКТУРНЫЕ СХЕМЫ

Микросхемы серии KA1xxxxx в корпусе TO-3P-5



Микросхемы серии KA1xxxxx в корпусе TO-220F-4



The diagram illustrates the internal architecture of the KA2/3xxxxx microcontroller, showing various functional blocks and their interconnections. Key components include:

- Power and Ground Connections:** VCC (3) and GND (2) are the primary power pins. A 32V Zener diode and a 5V regulator are shown near the VCC pin.
- Internal Blocks:**
  - ИОН 5В (5V ION):** A 5V internal regulator.
  - Внутреннее смещение (Internal Biasing):** A block for internal biasing.
  - Контроль напряжения (Voltage Control):** A block for monitoring voltage levels.
  - Генератор (Generator):** A block for generating internal signals.
  - Маскирование переднего фронта (Front Edge Masking):** A block for masking the front edge of signals.
  - Защита от перегрева (Overheat Protection):** A block for protecting the device from overheating.
  - Защита от перенапряжения (Overvoltage Protection):** A block for protecting the device from overvoltage.
  - Сброс при включении (Reset on Power-up):** A block for resetting the device when power is first applied.
- External Connections:**
  - SYNC (5):** Synchronous signal input.
  - FB (4):** Feedback input.
  - DRAIN (1):** Drain output.
- Resistors and Capacitors:** Various passive components are used throughout the circuit, including 5V, 6.4V, 2.5R, 1R, 2mA, 1mA, 9V, 7.5V, and 25V resistors, and a 0.1V capacitor.

Сетевой фильтр

KA2Sxxxx

ШИМ — контроллер

FB

VCC

GND

SYNC

DRAIN

Сигнал внешней синхронизации

170 В/300 мА

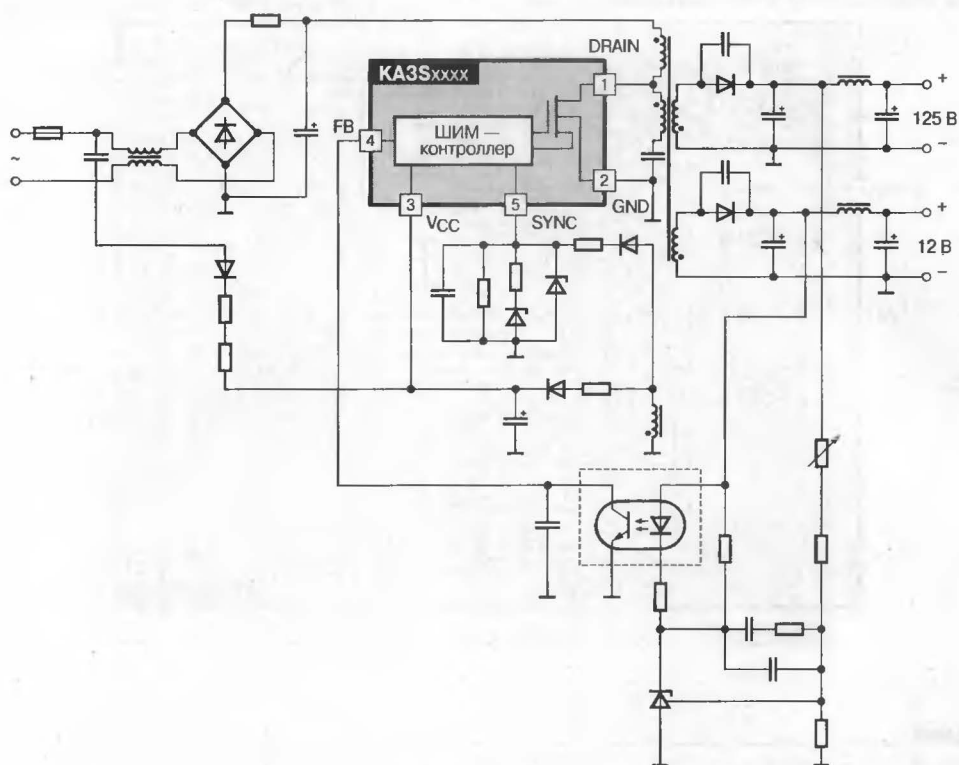
75 В/80 мА

15 В/1 А

12 В/80 мА

6.5 В/300 мА

Схема включения KA3Sxxxx





## ШИМ-КОНТРОЛЛЕР С УПРАВЛЕНИЕМ ПО НАПРЯЖЕНИЮ

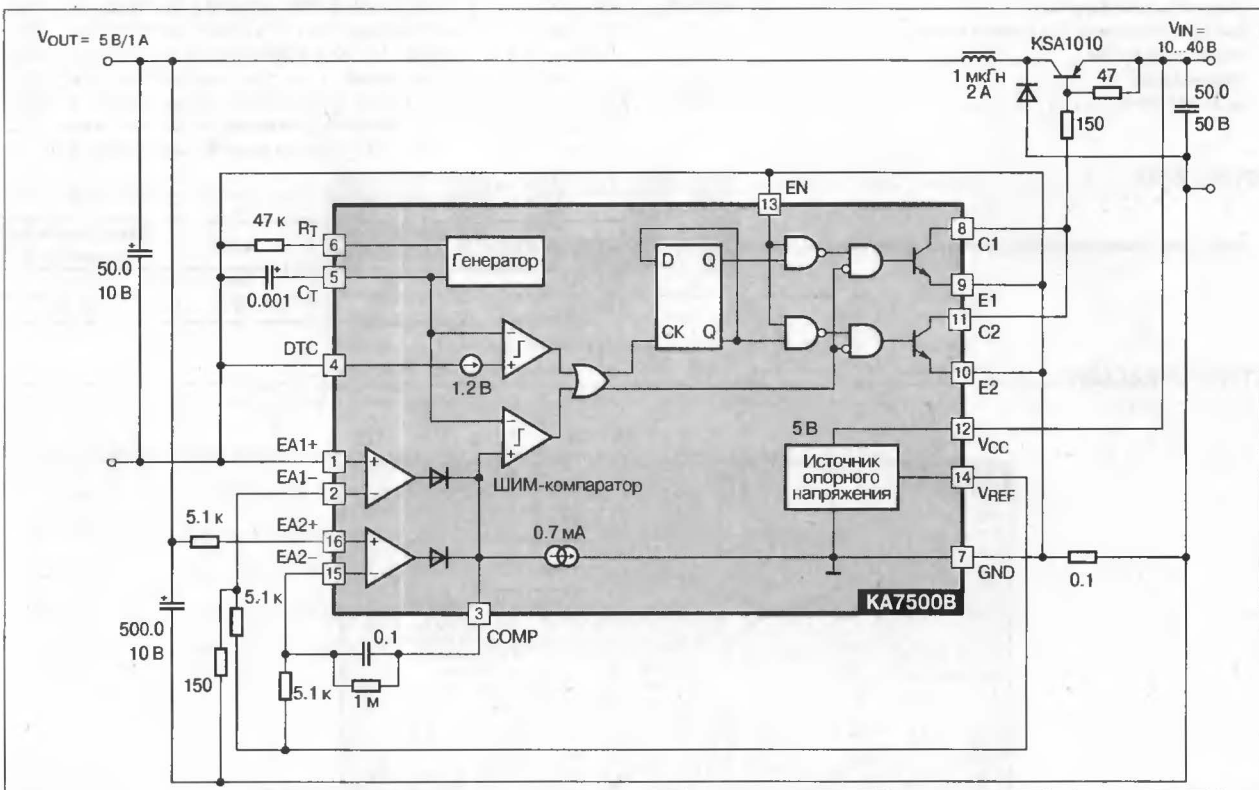
## ОСОБЕННОСТИ

- Опорное напряжение ..... 5 В  $\pm 1\%$
- Выходные транзисторы с открытым коллектором и эмиттером
- Выходной ток ..... 200 мА
- Регулируемая минимальная длительность импульса
- Встроенный генератор с возможностью синхронизации
- Защита от двоянных импульсов по каждому выходу
- Частота преобразования ..... 1...300 кГц

## ОБЩЕЕ ОПИСАНИЕ

Микросхемы КА7500В представляют собой схему управления широтно-импульсным стабилизатором напряжения и состоят из источника опорного напряжения (5 В), двух усилителей ошибки, триггера, выходного усилителя-формирователя, ШИМ-компаратора, компаратора мёртвого времени и генератора. Наличие отдельных компараторов в сочетании усилителями ошибки позволяет провести установку минимальной длительности импульса и защиту по току.

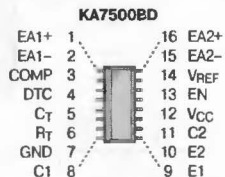
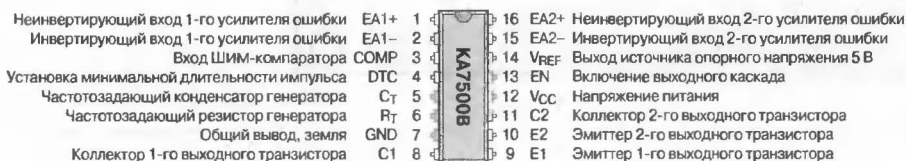
### СТРУКТУРНАЯ СХЕМА И СХЕМА ВКЛЮЧЕНИЯ



## ЦОКОЛЕВКА КОРПУСОВ

Пластмассовый корпус типа DIP-16

### Пластмассовый корпус типа SOP-16



### ТИПОНОМИНАЛЫ

Типономинал	Корпус	Диапазон рабочих температур, °C
KA7500B	DIP-16	0...+70
KA7500BD	SOP-16	0...+70

За дополнительной информацией и по вопросам поставки компонентов обращаться:  
Компания "МЭЙ", тел. (095)913-5161 факс. (095 913-5160 <http://www.mav.ru> E-mail: [info@mav.ru](mailto:info@mav.ru)

### ОСОБЕННОСТИ

- ♦ Выходной каскад для управления мощным полевым транзистором
- ♦ Широкий частотный диапазон ..... 5...600 кГц
- ♦ Вывод для ограничения тока во время импульса
- ♦ Защита от перегрузки
- ♦ Плавный запуск
- ♦ Низкий ток покоя ..... 90 мкА

### ПРИМЕНЕНИЕ

- ♦ Импульсные стабилизаторы напряжения на мощном полевым транзисторе

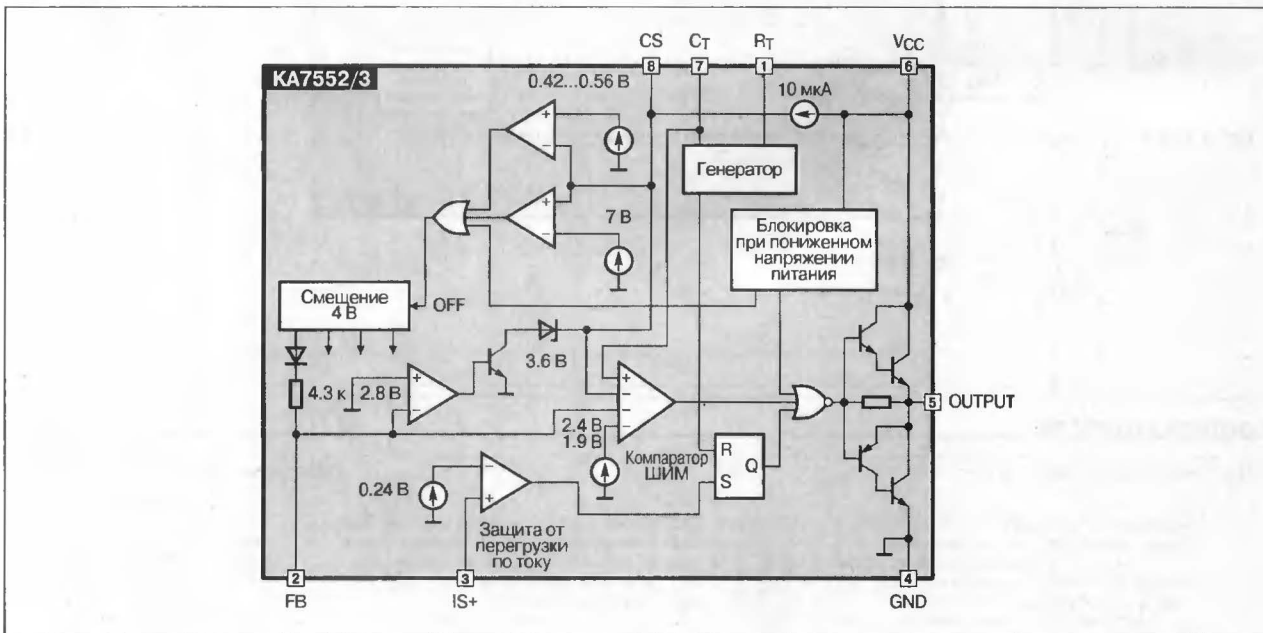
### ОБЩЕЕ ОПИСАНИЕ

Микросхемы KA7752/3 представляют собой ШИМ-контроллер импульсного источника питания, работающий в широком частотном диапазоне. Выходной каскад этих микросхем обеспечивает импульсный ток в нагрузке  $\pm 1.5$  А и предназначен для управления мощным полевым транзистором. Широтно-импульсный модулятор управляется по напряжению и оборудован блокировкой, которая срабатывает при превышении напряжением питания величины 16 В и вновь запускает схему при снижении напряжения питания до 8.7 В.

### ТИПОНОМИНАЛЫ

Типономинал	Максимальный рабочий цикл, %	Корпус	Диапазон рабочих температур, °C
KA7552	46	DIP-8	-25...85
KA7553	70	DIP-8	-25...85

### СТРУКТУРНАЯ СХЕМА



### ЦОКОЛЕВКА КОРПУСОВ

Пластмассовый корпус типа DIP-8

#### KA7552/3

Частотозадающий резистор генератора	RT 1	8 CS	Токоизмерительный вход ШИМ
Вход обратной связи по напряжению	FB 2	7 CT	Частотозадающий конденсатор генератора
Вход ограничителя тока	IS+ 3	6 VCC	Напряжение питания
Общий вывод, земля	GND 4	5 OUT	Выход

# FUJI ELECTRIC

## Микросхемы для импульсных источников питания фирмы Fuji Electric Co. Ltd:

Контроллеры сетевых (off-line) преобразователей напряжения . . . . .	316
<b>FA5304A/05A</b> Контроллер широтно-импульсного преобразователя напряжения . . . . .	317
<b>FA7611</b> Два широтно-импульсных преобразователя напряжения . . . . .	319
<b>FA7613</b> Широтно-импульсный преобразователь напряжения . . . . .	321
<b>FA7622</b> Контроллер двух широтно-импульсных преобразователей напряжения . . . . .	322

**МИКРОСХЕМЫ ДЛЯ ИМПУЛЬСНЫХ ИСТОЧНИКОВ ПИТАНИЯ ФИРМЫ FUJI ELECTRIC Co. Ltd**
**КОНТРОЛЛЕРЫ СЕТЕВЫХ (OFF-LINE) ПРЕОБРАЗОВАТЕЛЕЙ НАПРЯЖЕНИЯ**

Прибор	Напряжение питания, В	Максимальный выходной ток, мА	Частота, кГц	Корпус
FA5301	7...20	20	1...60	SOP-16, DIP-16
FA5304A/5A	10...30	±1500	5...800	SOP-8, DIP-8
FA5310/11	10...30	±1500	5...800	SOP-8, DIP-8
FA5321	< 28	±1500	—	SOP-16, DIP-16
FA5331	10...28	±1500	75	SOP-16, DIP-16
FA7611	3.6...20	±50	5...200	SOP-16, DIP-16
FA7610/12	3.6...20	±50/80	5...500	SOP-8, DIP-8
FA7613	2.5...20	50	10...500	SOP-16, DIP-16
FA7615	3.6...20	±50	5...200	SOP-16, DIP-16
FA7616	2.5...12	10	10...500	SDP-16, DIP-16
FA7622	3.6...28	50	110	SOP-20, DIP-20

### КОНТРОЛЛЕР ШИРОТНО-ИМПУЛЬСНОГО ПРЕОБРАЗОВАТЕЛЯ НАПЯЖЕНИЯ

#### ОСОБЕННОСТИ

- ♦ Выходной каскад разработан для управления мощным МОП-транзистором  $I_0 = \pm 1.5 \text{ A}$
- ♦ Широкий диапазон частот преобразования ..... 5...600 кГц
- ♦ ШИМ с дополнительной обратной связью по току (токовое управление)
- ♦ Детектор положительного напряжения — FA5304
- ♦ Детектор отрицательного напряжения — FA5305
- ♦ Блокировка перегрузки с защелкой
- ♦ Отдельный вывод включения
- ♦ Блокировка по выходу из диапазона входного напряжения 7...16 В
- ♦ Малый потребляемый ток в выключенном состоянии 10 мкА

#### ПРИМЕНЕНИЕ

- ♦ Импульсные источники питания общего применения

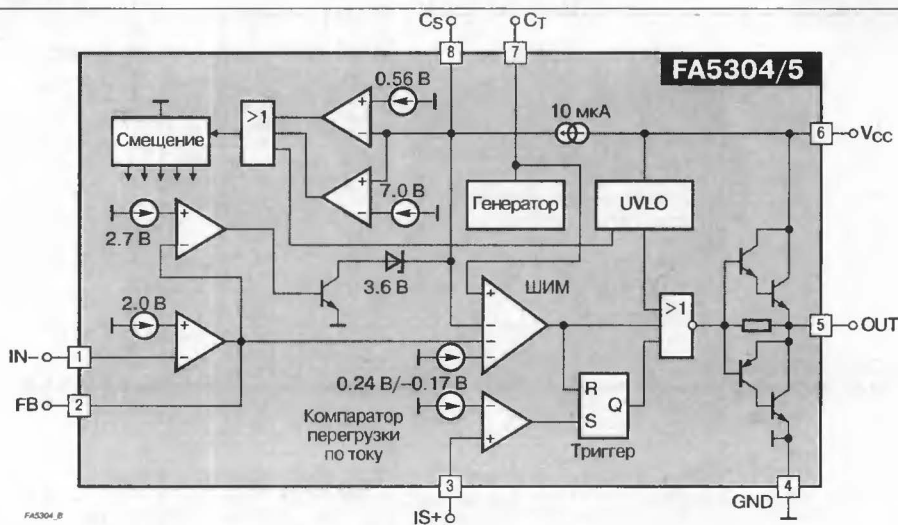
#### ОБЩЕЕ ОПИСАНИЕ

Микросхемы FA5304A, FA5305A представляют собой широтно-импульсные преобразователи напряжения, выполненные по биполярной технологии и предназначенные для работы с внешним мощным полевым транзистором. Микросхемы реализуют сервисные функции, обычно требуемые для построения импульсного преобразователя напряжения общего применения. Они упакованы в малогабаритный 8-выводной корпус, требуют малое количество внешних компонентов для построения источника питания.

#### ТИПОНОМИНАЛЫ

Типономинал	Пороговое напряжение компаратора перегрузки по току, В	Корпус	Рассеиваемая мощность, мВт
FA5304AP	0.24	DIP-8	800
FA5304AS	0.24	SOP-8	400
FA5305AP	-0.17	DIP-8	800
FA5305AS	-0.17	SOP-8	400

#### СТРУКТУРНАЯ СХЕМА



Примечание: UVLO — блокировка при пониженном напряжении питания

#### ЦОКОЛЕВКА КОРПУСОВ

Пластмассовый корпус типа DIP-8

Инвертирующий вход усилителя ошибки  
Выход усилителя ошибки  
Вход компаратора перегрузки по току  
Общий вывод, земля

FA5304AP/05AP



Мягкий запуск и блокировка схемы  
Частото задающий конденсатор тактового генератора  
Напряжение питания  
Выход

Пластмассовый корпус типа SOP-8

Инвертирующий вход усилителя ошибки  
Выход усилителя ошибки  
Вход компаратора перегрузки по току  
Общий, земля

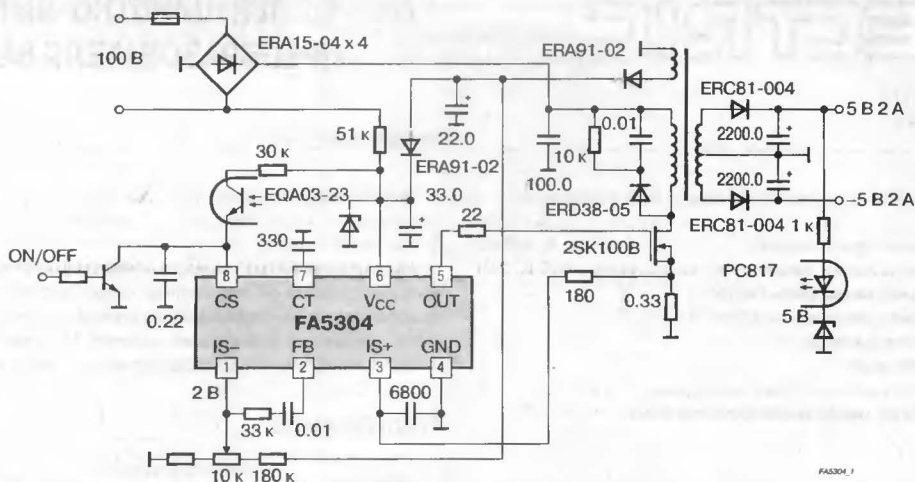
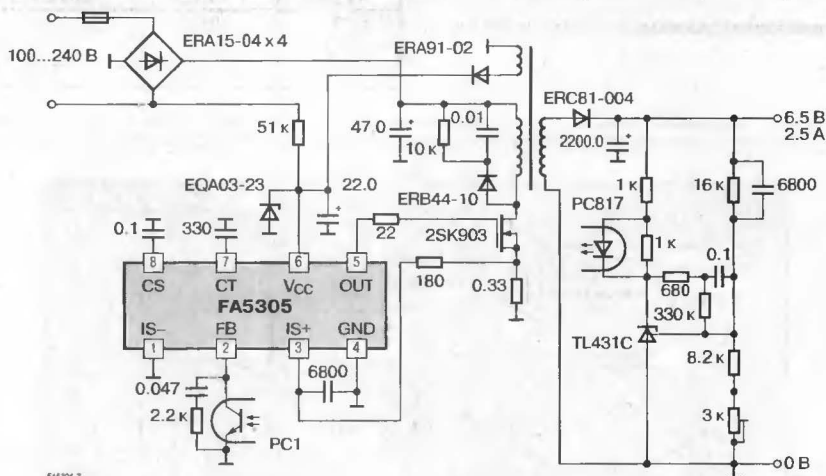
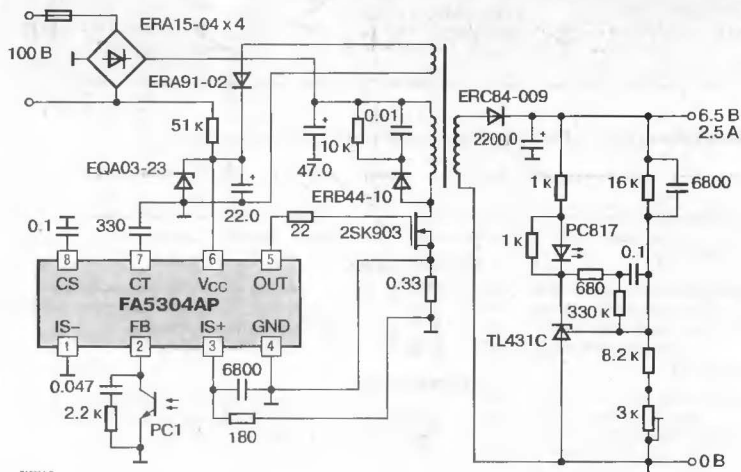
FA5304AS/05AS



Мягкий запуск и блокировка схемы  
Частото задающий конденсатор тактового генератора  
Напряжение питания  
Выход



## СХЕМЫ ВКЛЮЧЕНИЯ

 Рис. 1. Сетевой источник питания на базе FA5304 с биполярным выходом  $\pm 5\text{ В}/2\text{ А}$ 

 Рис. 2. Сетевой источник питания на базе FA5305 с однополярным выходом  $6.5\text{ В}/2.5\text{ А}$ 

 Рис. 3. Сетевой источник питания на базе FA5305 с однополярным выходом  $6.5\text{ В}/2.5\text{ А}$ 


## ДВА ШИРОТНО-ИМПУЛЬСНЫХ ПРЕОБРАЗОВАТЕЛЯ НАПРЯЖЕНИЯ

### ОСОБЕННОСТИ

- ♦ Входное напряжение ..... 3.6...22 В
- ♦ Первый канал: выходной каскад с открытым коллектором
- ♦ Второй канал: тотемный (квазикомплементарный) выходной каскад
- ♦ Блокировка работы после КЗ в нагрузку
- ♦ Защита от пониженного напряжения
- ♦ Мягкий запуск
- ♦ Один конденсатор используется для мягкого запуска и схемы защиты от КЗ

### ОБЩЕЕ ОПИСАНИЕ

Микросхема FA7611 представляет собой биполярную интегральную схему, выполняющую функцию широтно-импульсного преобразователя напряжения общего применения. Схема имеет встроенный ИОН с выводом опорного напряжения 2.5 В, генератор, схему защиты от пониженного напряжения и перегрузки по току и два канала преобразователя напряжения: один с открытым коллектором на входе, второй — с тотемным выходным каскадом.

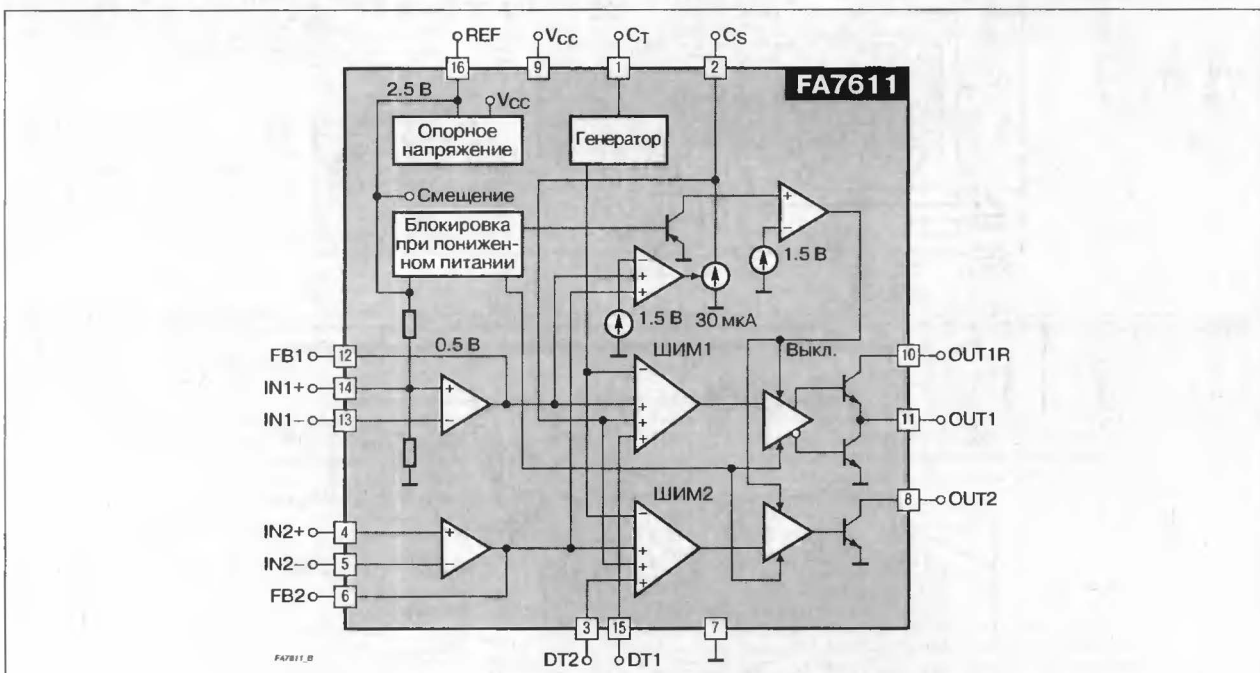
### ПРИМЕНЕНИЕ

- ♦ Источники питания портативной батарейной аппаратуры с двумя номиналами выходного напряжения

### ТИПОНОМИНАЛЫ

Типономинал	Корпус	Диапазон рабочих температур, °C
FA7611P	DIP-16	-30...+85
FA7611M	SOP-16	-30...+85

### СТРУКТУРНАЯ СХЕМА



ЦОКОЛЕВКА КОРПУСОВ

Пластмассовый корпус типа DIP-16

Частото задающий конденсатор тактового генератора ШИМ  
Конденсатор схемы запуска и схемы блокировок  
Настройка «мертвого» времени ШИМ 2  
Неинвертирующий вход усилителя ошибки 2  
Инвертирующий вход усилителя ошибки 2  
Выход усилителя ошибки 2  
Общий вывод, земля  
Выход широтно-импульсного модулятора 2

CT 1  
CS 2  
DT2 3  
IN2+ 4  
IN2- 5  
FB2 6  
GND 7  
OUT2 8



16 REF  
15 DT1  
14 IN1+  
13 IN1-  
12 FB1  
11 OUT1  
10 OUT1R  
9 VCC

Выход источника опорного напряжения 2.5 В  
Настройка «мертвого» времени ШИМ 1  
Неинвертирующий вход усилителя ошибки 1  
Инвертирующий вход усилителя ошибки 1  
Выход усилителя ошибки 1  
Выход канала 1  
Токоограничительный резистор канала 1  
Входное напряжение

Пластмассовый корпус типа SOP-16

Частото задающий конденсатор тактового генератора ШИМ  
Конденсатор схемы запуска и схемы блокировок  
Настройка «мертвого» времени ШИМ 2  
Неинвертирующий вход усилителя ошибки 2  
Инвертирующий вход усилителя ошибки 2  
Выход усилителя ошибки 2  
Общий вывод, земля  
Выход широтно-импульсного модулятора 2

CT 1  
CS 2  
DT2 3  
IN2+ 4  
IN2- 5  
FB2 6  
GND 7  
OUT2 8



16 REF  
15 DT1  
14 IN1+  
13 IN1-  
12 FB1  
11 OUT1  
10 OUT1R  
9 VCC

Выход источника опорного напряжения 2.5 В  
Настройка «мертвого» времени ШИМ 1  
Неинвертирующий вход усилителя ошибки 1  
Инвертирующий вход усилителя ошибки 1  
Выход усилителя ошибки 1  
Выход канала 1  
Токоограничительный резистор канала 1  
Входное напряжение

СХЕМЫ ВКЛЮЧЕНИЯ

Рис. 1. Обратноходовой и понижающий преобразователи напряжения

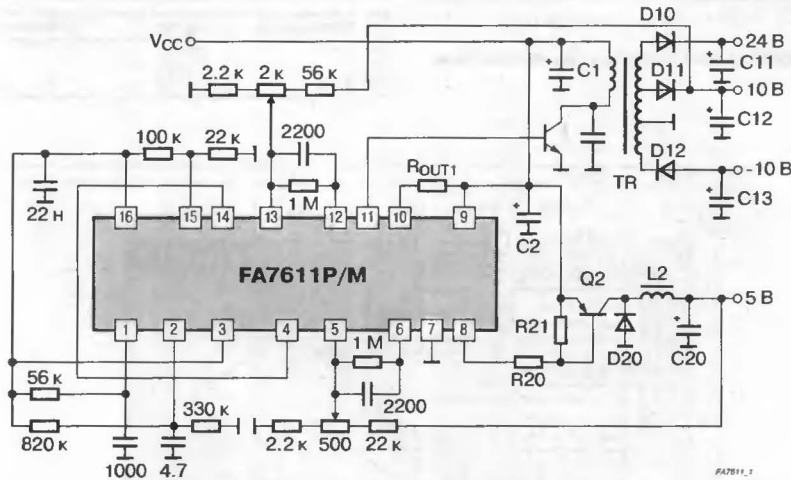
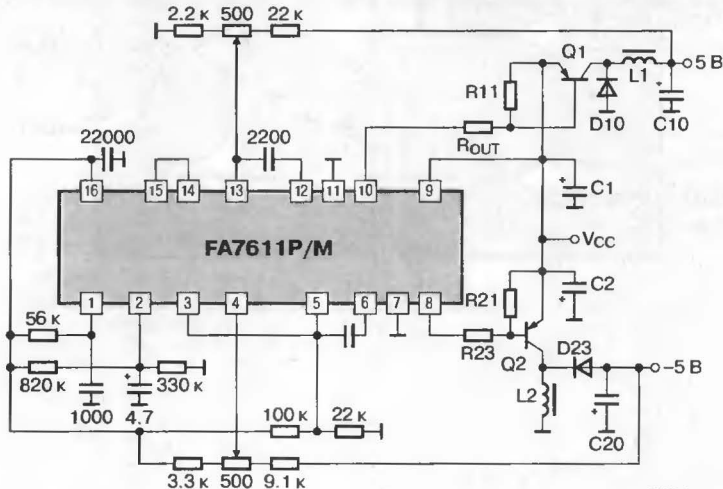


Рис. 2. Понижающий и инвертирующий преобразователи напряжения



## ШИРОТНО-ИМПУЛЬСНЫЙ ПРЕОБРАЗОВАТЕЛЬ НАПЯЖЕНИЯ

### ОСОБЕННОСТИ

- Входное напряжение ..... 2.5...22 В
- Выходной каскад с открытым коллектором
- Блокировка работы после КЗ в нагрузке
- Мягкий запуск
- Вывод блокировки выхода
- Малый потребляемый ток в дежурном режиме ..... 10 мкА

### ПРИМЕНЕНИЕ

- Источники питания портативной батарейной аппаратуры

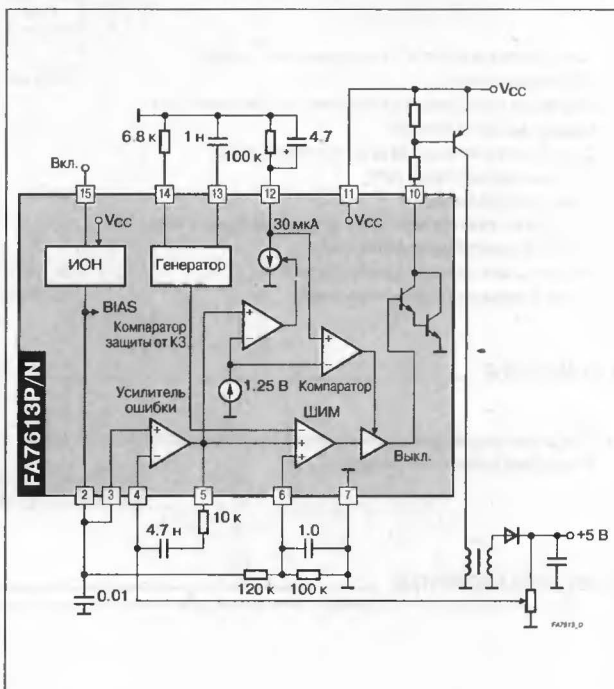
### ОБЩЕЕ ОПИСАНИЕ

Биполярная интегральная схема FA7613 содержит весь необходимый набор функций для построения широтно-импульсного преобразователя напряжения общего применения.

### ТИПОНОМИНАЛЫ

Типономинал	Корпус	Диапазон рабочих температур, °C
FA7613P	DIP-16	-20...+85
FA7613N	SOP-16	-20...+85

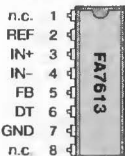
### СТРУКТУРНАЯ СХЕМА И ТИПОВАЯ СХЕМА ВКЛЮЧЕНИЯ



### ЦОКОЛЕВКА КОРПУСОВ

#### Пластмассовый корпус типа DIP-16

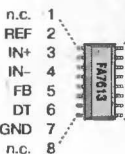
- Не используется
- Выход опорного напряжения 1.25 В
- Неинвертирующий вход усилителя ошибки
- Инвертирующий вход усилителя ошибки
- Выход усилителя ошибки
- Настройка «мертвого» времени
- Общий вывод, земля
- Не используется



- Не используется
- ON/OFF Блокировка выхода
- Частотозадающий резистор тактового генератора
- Частотозадающий конденсатор тактового генератора
- Конденсатор задержки срабатывания при КЗ в нагрузке
- Напряжение питания
- Выход
- Не используется

#### Пластмассовый корпус типа SOP-16

- Не используется
- Выход опорного напряжения 1.25 В
- Неинвертирующий вход усилителя ошибки
- Инвертирующий вход усилителя ошибки
- Выход усилителя ошибки
- Настройка «мертвого» времени
- Общий вывод, земля
- Не используется



- Не используется
- ON/OFF Блокировка выхода
- Частотозадающий резистор тактового генератора
- Частотозадающий конденсатор тактового генератора
- Конденсатор задержки срабатывания при КЗ в нагрузке
- Напряжение питания
- Выход
- Не используется

## КОНТРОЛЛЕР ДВУХ ШИРОТНО-ИМПУЛЬСНЫХ ПРЕОБРАЗОВАТЕЛЕЙ НАПЯЖЕНИЯ

### ОСОБЕННОСТИ

- ♦ Выходная цепь разработана для управления мощным МОП-транзистором .....  $\pm 600$  мА
- ♦ Встроенный повышающий преобразователь напряжения для питания выходного каскада
- ♦ Общие цепи управления для двух преобразователей
- ♦ Отдельные входы запрета ШИМ
- ♦ Схема ограничения тока
- ♦ Схема отключения при перегрузке по току с таймером и защелкой
- ♦ Отдельный вывод блокировки схемы
- ♦ Широкий диапазон частот преобразования ..... до 1 МГц
- ♦ Широкий диапазон входных напряжений ..... 3.6...28 В

### ПРИМЕНЕНИЕ

- ♦ Батарейные импульсные источники питания портативной аппаратуры с двумя номиналами напряжения питания

### ОБЩЕЕ ОПИСАНИЕ

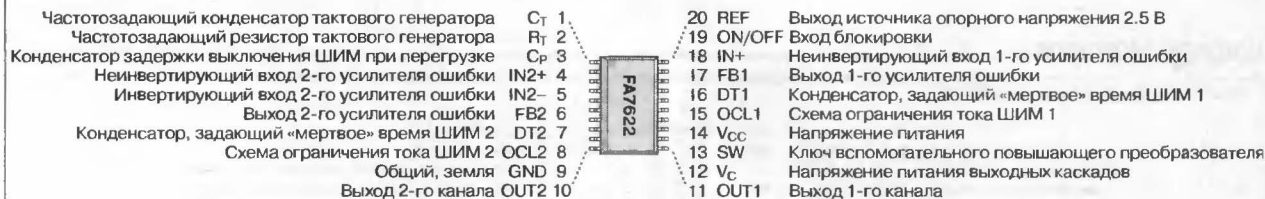
Микросхема FA7622 выполнена по биполярной технологии и представляет собой широтно-импульсный преобразователь напряжения, предназначенный для работы с внешними мощными полевыми транзисторами. Микросхема реализует сервисные функции, обычно требуемые для построения импульсного преобразователя напряжения общего применения и предназначена для использования в портативных источниках питания средней мощности с низким входным напряжением.

### ТИПОНОМИНАЛЫ

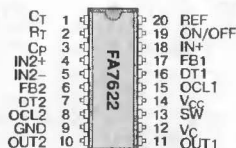
Типономинал	Корпус	Диапазон рабочих температур, °C
FA7622P	DIP-20	-30...+85
FA7622M	SOP-20	-30...+85

### ЦОКОЛЕВКА КОРПУСОВ

#### Пластмассовый корпус типа DIP-20

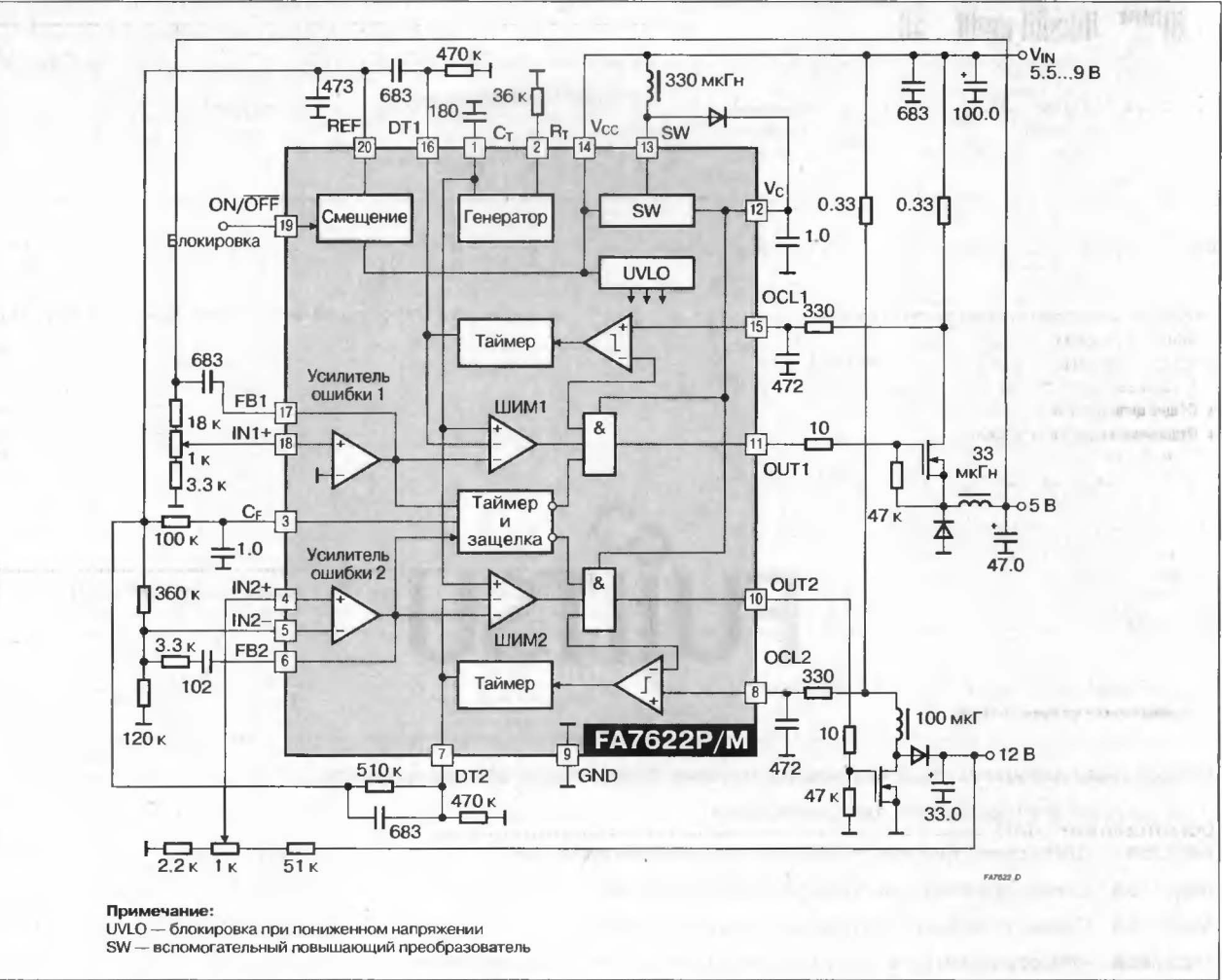


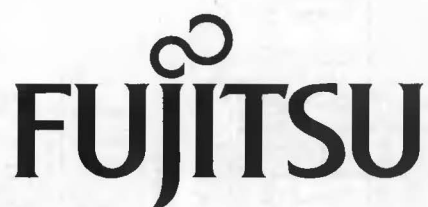
#### Пластмассовый корпус типа SOP-20





СТРУКТУРНАЯ СХЕМА И ТИПОВАЯ СХЕМА ВКЛЮЧЕНИЯ





**Микросхемы для импульсных источников питания фирмы Fujitsu Microelectronics:**

Сетевые (off-line) преобразователи напряжения .....	325
<b>MB3759</b> ШИМ-схема управления импульсным источником питания .....	326
<b>MB3769A</b> Схема управления импульсным стабилизатором .....	328
<b>MB3776A</b> Схема управления импульсным стабилизатором .....	331
<b>MB3785A</b> Четырехканальная схема управления импульсным стабилизатором .....	332

МИКРОСХЕМЫ ДЛЯ ИМПУЛЬСНЫХ ИСТОЧНИКОВ ПИТАНИЯ ФИРМЫ FUJITSU MICROELECTRONICS

СЕТЕВЫЕ (OFF-LINE) ПРЕОБРАЗОВАТЕЛИ НАПЯЖЕНИЯ

Прибор	Напряжение питания, В	Опорное напряжение, В	Выходной ток, мА	Ток потребления, мА (тип)		Частота, кГц	Максимальный рабочий цикл, %	Мягкий запуск	UVLO, В	Рабочая температура, °C	Корпус
				Рабочий	Дежурный						
MB3759P/Z	7...32	5	200	8	7	1...300	45		4.3 (ИОН)	-20...+85	PDIP-16/ CerDIP-16
MB3759PF	7...24	5	100	8	7	1...300	45		4.3 (ИОН)	-20...+75	SOP-16
MB3769AP	12...18	5 ±2%	±100/ ±660 (peak)	8	1.5	1...700	80	+	10/8	-30...+85	SOP-16
MB3769APF	12...18	5 ±2%	±100/ ±660 (peak)	8	1.5	1...700	80	+	10/8	-30...+75	
MB3776A	2...15	0.5	±40	4.5	0.5 (max)	10...500	70		1.4	-30...+75	DIP-8, SOP-8, SSOP-8
ЧЕТЫРЕХКАНАЛЬНЫЙ											
MB3785A	4.5...18	2.5 ±1%	0.03	6	0.01	100...1000	—		2.72/2.6	-30...+85	LQFP-48

Примечание:  
UVLO — блокировка при пониженном напряжении питания

## ШИМ-СХЕМА УПРАВЛЕНИЯ ИМПУЛЬСНЫМ ИСТОЧНИКОМ ПИТАНИЯ

### ОСОБЕННОСТИ

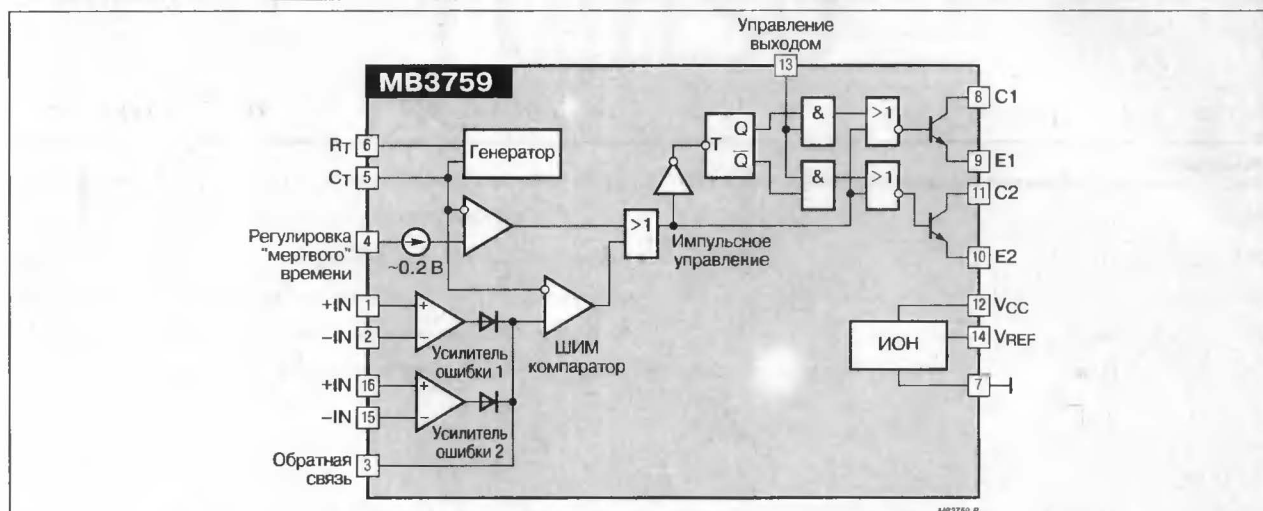
- ♦ Однотактный и двухтактный режим работы
- ♦ Подавление сдвоенных импульсов на каждом выходе
- ♦ Встроенный ИОН ..... 5 В
- ♦ Свободные выходные транзисторы
- ♦ Управление генератором импульсов в режиме "Ведущий" и "Ведомый"
- ♦ Сдвоенные усилители ошибки
- ♦ Блокировка при перегрузке по напряжению
- ♦ Регулировка величины "мертвого" времени
- ♦ Корпуса DIP-16, CerDIP-16, SOP-16

### ОБЩЕЕ ОПИСАНИЕ

Микросхема MB3759 представляет собой однокристалльную ШИМ-систему управления импульсным стабилизатором. Схема включает в себя источник опорного напряжения на 5.0 В, два усилителя с выходами, соединенными по схеме "ИЛИ" и генератор пилообразного напряжения с поддержкой внешней синхронизации. MB3759 позволяет построить источник питания по схеме однотактного или двухтактного преобразователя напряжения с внешней регулировкой величины "мертвого" времени.

Выходные *n-p-n*-транзисторы имеют свободные (неподключенные) выводы эмиттеров и коллекторов, что позволяет использовать микросхему MB3759 как источник втекающего и вытекающего тока величиной до 200 мА каждый.

### СТРУКТУРНАЯ СХЕМА



### СОКЛЕВКА КОРПУСОВ

Пластмассовый корпус типа DIP-16 и керамический корпус типа CerDIP-16

Неинвертирующий вход первого усилителя ошибки	+IN1 1	16 +IN2	Неинвертирующий вход второго усилителя ошибки
Инвертирующий вход первого усилителя ошибки	-IN1 2	15 -IN2	Инвертирующий вход второго усилителя ошибки
Выход усилителей ошибки	FB 3	14 VREF	Выход ИОН
Вход управления "мертвым" временем	D <sub>T</sub> 4	13 OC	Вход управления выходами
Емкость генератора	C <sub>T</sub> 5	12 VCC	Напряжение питания
Резистор генератора	R <sub>T</sub> 6	11 C2	Коллектор второго транзистора
Общий, земля	GND 7	10 E2	Эмиттер второго транзистора
Коллектор первого транзистора	C1 8	9 E1	Эмиттер первого транзистора

Пластмассовый корпус типа SOP-16

Неинвертирующий вход первого усилителя ошибки	+IN1 1	16 +IN2	Неинвертирующий вход второго усилителя ошибки
Инвертирующий вход первого усилителя ошибки	-IN1 2	15 -IN2	Инвертирующий вход второго усилителя ошибки
Выход усилителей ошибки	FB 3	14 VREF	Выход ИОН
Вход управления "мертвым" временем	D <sub>T</sub> 4	13 OC	Вход управления выходами
Емкость генератора	C <sub>T</sub> 5	12 VCC	Напряжение питания
Резистор генератора	R <sub>T</sub> 6	11 C2	Коллектор второго транзистора
Общий, земля	GND 7	10 E2	Эмиттер второго транзистора
Коллектор первого транзистора	C1 8	9 E1	Эмиттер первого транзистора

Типономинал	Корпус	Диапазон рабочих температур, °C
MB3759AP	DIP-16	-30...+85
MB3759AZ	CDIP-16	-30...+85
MB3759APF	SOP-16	-30...+75

[illegible]



## СХЕМА УПРАВЛЕНИЯ ИМПУЛЬСНЫМ СТАБИЛИЗАТОРОМ

### ОСОБЕННОСТИ

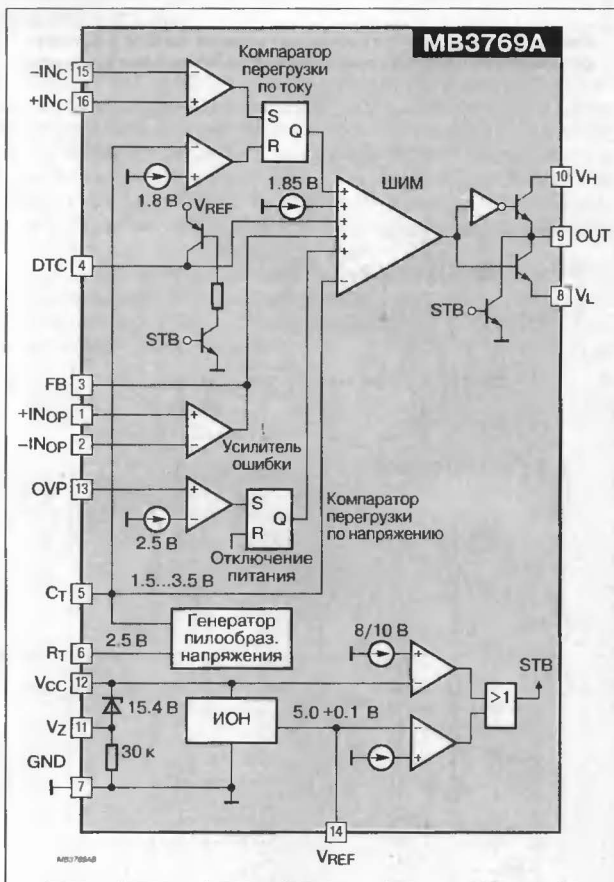
- ♦ Высокая рабочая частота ..... 1...700 кГц
- ♦ Встроенный широкополосный операционный усилитель, полоса пропускания ..... 8 МГц
- ♦ Встроенный быстродействующий компаратор .....  $t_D = 120$  нс
- ♦ Внутренний ИОН .....  $5 \text{ В} \pm 2\%$
- ♦ Малый ток потребления
  - дежурный режим ..... 1.5 мА
  - рабочий режим ..... 8 мА
- ♦ Выходной ток .....  $\pm 100$  мА  
.....  $\pm 600$  мА (peak)
- ♦ Высокое быстродействие ( $t_R = 60$  нс,  $t_F = 30$  нс,  $C_L = 1000$  пФ (typ))
- ♦ Регулировка "мертвого" времени
- ♦ Мягкий запуск и быстрое отключение
- ♦ Подавление сдвоенных импульсов при динамическом ограничении тока
- ♦ Напряжение запуска ..... 10 В (typ)
- ♦ Блокировка при пониженном напряжении ..... 8 В (typ)
- ♦ Схема отключения выхода (с защелкой) при перенапряжении
- ♦ Встроенный ограничительный стабилитрон ..... 15 В
- ♦ Корпуса DIP-16, SDP-16

### ОБЩЕЕ ОПИСАНИЕ

Микросхема MB3769A представляет собой ШИМ-схему управления импульсным стабилизатором с фиксированной рабочей частотой. MB3769A содержит широкополосный операционный усилитель и быстродействующий компаратор, что дает возможность конструировать быстродействующие импульсные стабилизаторы с частотой до 700 кГц. К выходу микросхемы подключается мощный МОП-транзистор.

Микросхема переходит в дежурный режим при малых значениях напряжения питания, если она используется в схеме управления по первичной цепи.

### СТРУКТУРНАЯ СХЕМА



### ЦОКОЛЕВКА КОРПУСОВ

#### Пластмассовый корпус типа DIP-16

Неинвертирующий вход усилителя ошибки	+INOP 1	16 +INC	Неинвертирующий вход компаратора перегрузки по току
Инвертирующий вход усилителя ошибки	-INOP 2	15 -INC	Инвертирующий вход компаратора перегрузки по току
Выход усилителя ошибки	FB 3	14 VREF	Выход ИОН
Установки минимальной длительности импульса	DTC 4	13 OVP	Вход схемы контроля перенапряжения
Подключение конденсатора генератора	CT 5	12 VCC	Напряжение питания
Подключение резистора генератора	RT 6	11 VZ	Анод ограничительного стабилитрона
Земля	GND 7	10 VH	Коллектор транзистора верхнего плеча
Эмиттер транзистора нижнего плеча	VL 8	9 OUT	Выход

#### Пластмассовый корпус типа SOP-16

Неинвертирующий вход усилителя ошибки	+INOP 1	16 +INC	Неинвертирующий вход компаратора перегрузки по току
Инвертирующий вход усилителя ошибки	-INOP 2	15 -INC	Инвертирующий вход компаратора перегрузки по току
Выход усилителя ошибки	FB 3	14 VREF	Выход ИОН
Установки минимальной длительности импульса	DTC 4	13 OVP	Вход схемы контроля перенапряжения
Подключение конденсатора генератора	CT 5	12 VCC	Напряжение питания
Подключение резистора генератора	RT 6	11 VZ	Анод ограничительного стабилитрона
Земля	GND 7	10 VH	Коллектор транзистора верхнего плеча
Эмиттер транзистора нижнего плеча	VL 8	9 OUT	Выход

ТИПОНОМИНАЛЫ

Типономинал	Корпус	Диапазон рабочих температур, °C
MB3769AP	DIP-16	-30...+85
MB3769APF	SOP-16	-30...+75

СХЕМЫ ПРИМЕНЕНИЯ

Рис. 1. Преобразователь постоянного напряжения

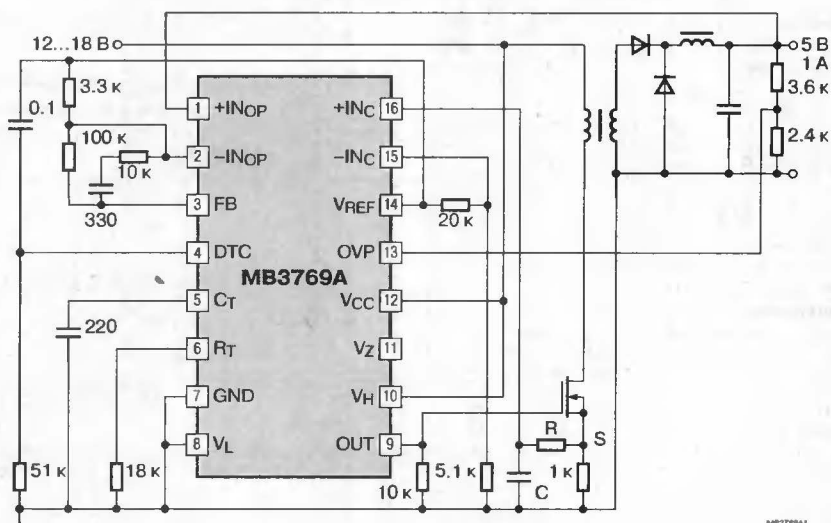
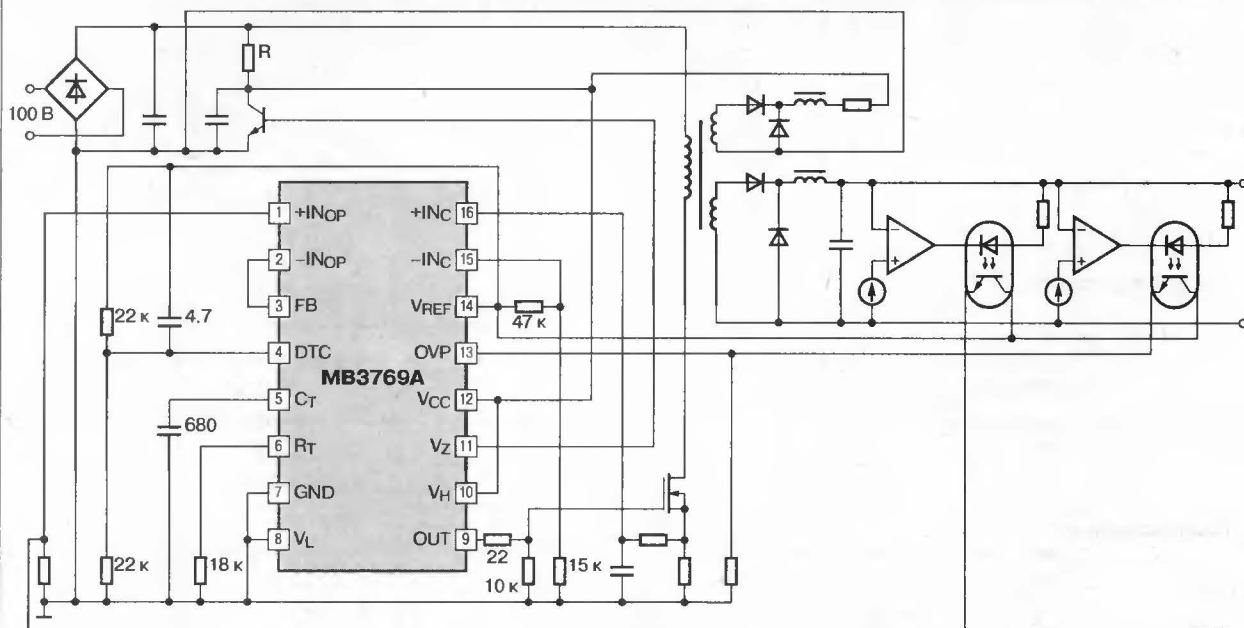


Рис. 2. Импульсный источник питания с управлением по первичной цепи

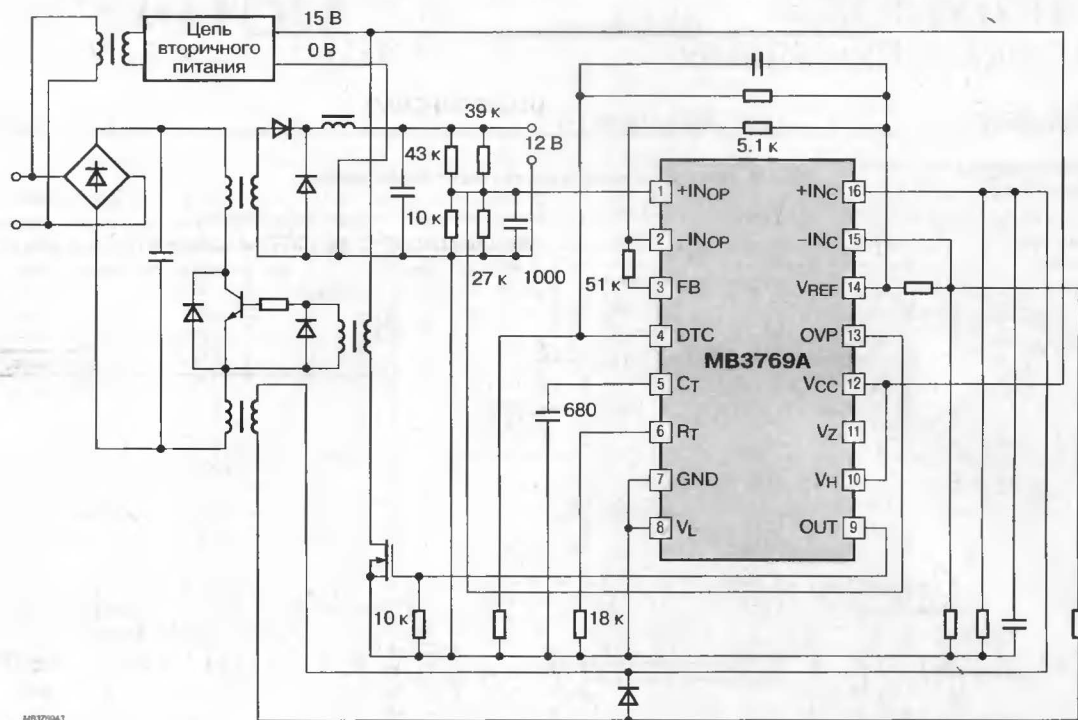


Примечание:

\* При управлении полевым транзистором с входной емкостью более 1000 пФ для ограничения выходного тока к выводу [9] требуется подключить резистор сопротивлением 22 Ом

СХЕМЫ ПРИМЕНЕНИЯ (ПРОДОЛЖЕНИЕ)

Рис. 3. Импульсный источник питания с управлением по вторичной цепи



MB3769A3

## СХЕМА УПРАВЛЕНИЯ ИМПУЛЬСНЫМ СТАБИЛИЗАТОРОМ

### ОСОБЕННОСТИ

- ♦ Широкий диапазон напряжения питания ..... 2...15 В
- ♦ Широкий диапазон рабочих частот ..... 10...500 кГц
- ♦ Двухтактный выходной каскад, выходной ток устанавливается внешним резистором
- ♦ Дежурный режим
- ♦ Внешняя регулировка коэффициента усиления усилителя ошибки
- ♦ Встроенная функция пониженного энергопотребления
- ♦ Корпуса DIP-8, SOP-8, SSOP-8

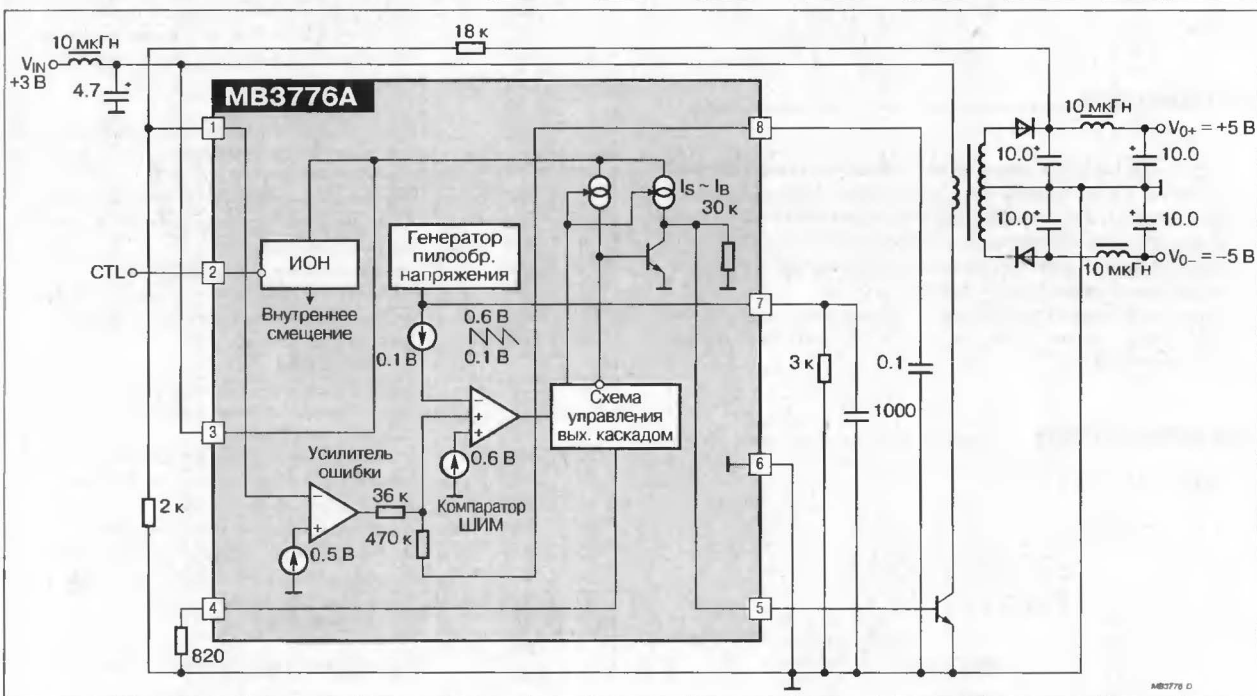
### ОБЩЕЕ ОПИСАНИЕ

Микросхема MB3776A представляет собой ШИМ-схему управления импульсным стабилизатором напряжения. Благодаря низкому значению напряжения питания и наличию дежурного режима с малым током потребления, MB3776A идеально подходит для использования в преобразователях постоянного напряжения в портативных устройствах с батарейным питанием.

### ТИПОНОМИНАЛЫ

Типономинал	Корпус	Диапазон рабочих температур, °C
MB3776AP	DIP-8	-30...+75
MB3776APF	SOP-8	-30...+75
MB3776APNF	SOL-8	-30...+75
MB3776APFV	SSOP-8	-30...+75

### СТРУКТУРНАЯ СХЕМА И СХЕМА ВКЛЮЧЕНИЯ



### ЦОКОЛЕВКА КОРПУСОВ

#### Пластмассовый корпус типа DIP-8

Инвертирующий вход усилителя ошибки	1	-IN	8	FB	Выход усилителя ошибки
Вход блокировки	2	CLT	7	OSC	Выход генератора "пилы"
Напряжение питания	3	V <sub>CC</sub>	6	GND	Земля
Установка тока смещения	4	I <sub>B</sub>	5	OUT	Выход

#### Пластмассовый корпус типа SOP/SOL-8

-IN	1	8	FB
CLT	2	7	OSC
V <sub>CC</sub>	3	6	GND
I <sub>B</sub>	4	5	OUT

-IN	1	8	FB
CLT	2	7	OSC
V <sub>CC</sub>	3	6	GND
I <sub>B</sub>	4	5	OUT

#### Пластмассовый корпус типа SSOP-8

-IN	1	8	FB
CLT	2	7	OSC
V <sub>CC</sub>	3	6	GND
I <sub>B</sub>	4	5	OUT

## ЧЕТЫРЕХКАНАЛЬНАЯ СХЕМА УПРАВЛЕНИЯ ИМПУЛЬСНЫМ СТАБИЛИЗАТОРОМ

### ОСОБЕННОСТИ

- ♦ Широкий диапазон напряжения питания ..... 4.5...18 В
- ♦ Низкий ток потребления  
рабочий режим ..... 6 мА (тип)  
дежурный режим ..... 10 мкА
- ♦ Встроенный прецизионный источник опорного напряжения ..... 2.5 В  $\pm$  1%
- ♦ Рабочая частота ..... 0.1...1 МГц
- ♦ Возможность использования керамического резонатора
- ♦ Рабочее напряжение усилителя ошибки ..... -0.2... $V_{CC}$  - 1.8 В
- ♦ Схема защиты от короткого замыкания со сбрасыванием по встроенному таймеру/защелке
- ♦ Тотемные выходы управления  $p-n-p$ -транзисторами позволяют независимо устанавливать открытое и закрытое состояние выходных транзисторов
- ♦ Регулировка величины "мертвого" времени во всем диапазоне рабочего цикла
- ♦ Корпус LQFP-48

### ТИПОНОМИНАЛЫ

MB3785A

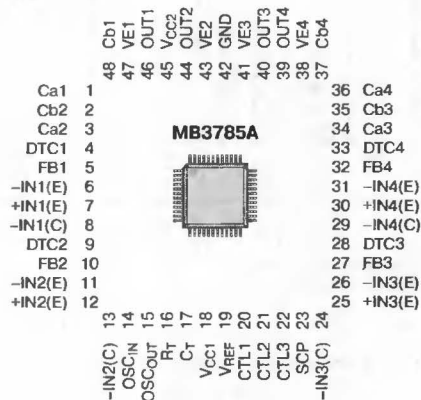
### ОБЩЕЕ ОПИСАНИЕ

Микросхема MB3785A представляет собой прецизионную высокочастотную 4-канальную ШИМ-схему управления импульсным стабилизатором. Все четыре канала позволяют построить схему повышающего, понижающего и инвертирующего преобразователя напряжения. Третий и четвертый оптимизированы для регулировки скорости вращения двигателей постоянного тока.

Схема генератора пилообразного напряжения может быть построена с использованием как обычной RC-цепочки, так и керамического резонатора.

### ЦОКОЛЕВКА КОРПУСОВ

Корпус типа LQFP-48

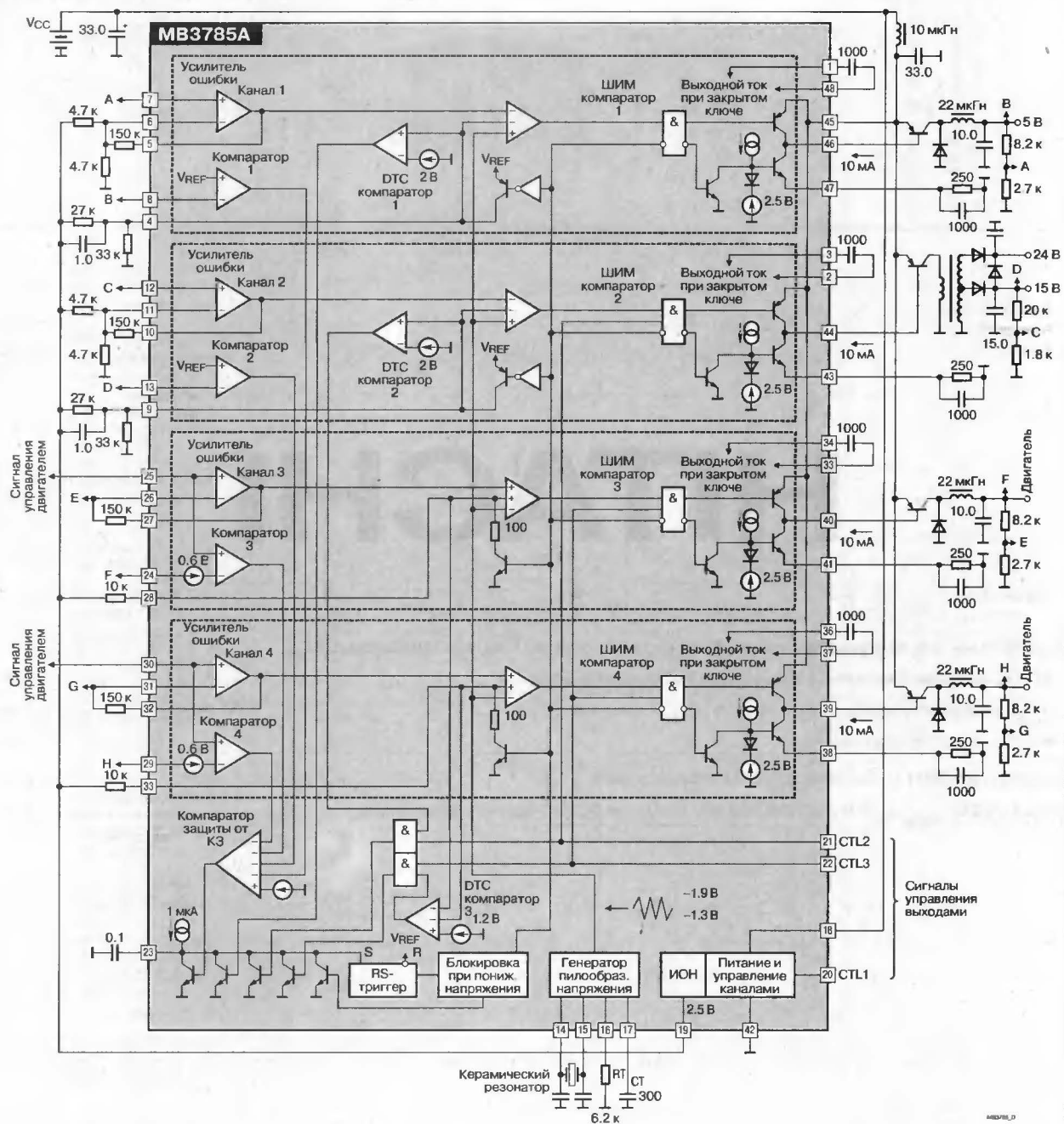


### ТАБЛИЦА ОПИСАНИЯ ВЫВОДОВ

Выход	Символ	Тип вы- вода	Описание
<b>КАНАЛ 1</b>			
1	Ca1	—	Установка выходного тока при закрытом состоянии ключевого $p-n-p$ -транзистора. Для этого между выводами Ca1 и Cb1 подключается конденсатор
48	Cb1	—	
7	+IN1(E)	Вход	Неинвертирующий вход усилителя ошибки 1-го канала
6	-IN1(E)	Вход	Инвертирующий вход усилителя ошибки 1-го канала
5	FB1	Выход	Выход усилителя ошибки 1-го канала
8	-IN1(C)	Вход	Инвертирующий вход компаратора 1-го канала
4	DTC1	Вход	Регулировка величины "мертвого" времени 1-го канала
47	VE1	Вход	Регулировка величины выходного тока на 1-м канале
46	OUT1	Выход	Тотемный выход 1-го канала
<b>КАНАЛ 2</b>			
3	Ca2	—	Установка выходного тока при закрытом состоянии ключевого $p-n-p$ -транзистора. Для этого между выводами Ca2 и Cb2 подключается конденсатор
2	Cb2	—	
12	+IN2(E)	Вход	Неинвертирующий вход усилителя ошибки 2-го канала
11	-IN2(E)	Вход	Инвертирующий вход усилителя ошибки 2-го канала
10	FB2	Выход	Выход усилителя ошибки 2-го канала
13	-IN2(C)	Вход	Инвертирующий вход компаратора 2-го канала
9	DTC2	Вход	Регулировка величины "мертвого" времени 2-го канала
43	VE2	Вход	Регулировка величины выходного тока на 2-м канале
44	OUT2	Выход	Тотемный выход 2-го канала
<b>КАНАЛ 3</b>			
34	Ca3	—	Установка выходного тока при закрытом состоянии ключевого $p-n-p$ -транзистора. Для этого между выводами Ca3 и Cb3 подключается конденсатор
35	Cb3	—	
25	+IN3(E)	Вход	Неинвертирующий вход усилителя ошибки 3-го канала
26	-IN3(E)	Вход	Инвертирующий вход усилителя ошибки 3-го канала
27	FB3	Выход	Выход усилителя ошибки 3-го канала
24	-IN3(C)	Вход	Инвертирующий вход компаратора 3-го канала
28	DTC3	Вход	Регулировка величины "мертвого" времени 3-го канала
41	VE3	Вход	Регулировка величины выходного тока на 3-м канале
40	OUT3	Выход	Тотемный выход 3-го канала
<b>КАНАЛ 4</b>			
36	Ca4	—	Установка выходного тока при закрытом состоянии ключевого $p-n-p$ -транзистора. Для этого между выводами Ca4 и Cb4 подключается конденсатор
37	Cb4	—	
30	+IN4(E)	Вход	Неинвертирующий вход усилителя ошибки 4-го канала
31	-IN4(E)	Вход	Инвертирующий вход усилителя ошибки 4-го канала
32	FB4	Выход	Выход усилителя ошибки 4-го канала
29	-IN4(C)	Вход	Инвертирующий вход компаратора 4-го канала
33	OTC4	Вход	Регулировка величины "мертвого" времени 4-го канала
38	VE4	Вход	Регулировка величины выходного тока на 4-м канале
39	OUT4	Выход	Тотемный выход 4-го канала
<b>ГЕНЕРАТОР</b>			
14	OSCIN	—	Выводы для подключения керамического резонатора
15	OSCOUT	—	
16	R <sub>T</sub>	—	Подключение частото задающего резистора
17	C <sub>T</sub>	—	Подключение частото задающего конденсатора
<b>ИСТОЧНИК ПИТАНИЯ</b>			
18	V <sub>CC1</sub>	—	Питание ИОН
45	V <sub>CC2</sub>	—	Питание выходной схемы
42	GND	—	Земля
19	V <sub>REF</sub>	Выход	Выход ИОН
<b>СХЕМА УПРАВЛЕНИЯ</b>			
23	SCP	—	Подключение конденсатора схемы защиты от короткого замыкания
20	CTL1	Вход	Управляющий вход 1-го канала
21	CTL2	Вход	Управляющий вход 2-го канала
22	CTL3	Вход	Управляющий вход 3-го канала



СТРУКТУРНАЯ СХЕМА И СХЕМА ПРИМЕНЕНИЯ



\* DTC (Dead Time Control) — управление "мертвым" временем

# HITACHI

## Микросхемы для импульсных источников питания фирмы Hitachi Semiconductor:

AC/DC-преобразователи с управлением по первичной цепи .....	335
Универсальные преобразователи .....	335
DC/DC-преобразователи .....	335
<b>HA16107/08/09/11</b> Сетевые ШИМ-преобразователи .....	336
<b>HA16114/20</b> Импульсный стабилизатор для DC/DC-преобразователей .....	339

## МИКРОСХЕМЫ ДЛЯ ИМПУЛЬСНЫХ ИСТОЧНИКОВ ПИТАНИЯ ФИРМЫ HITACHI SEMICONDUCTOR

Прибор	Функциональное описание	Канал	Схемо-техника преобразователя			Ключ	Выходной ток, А	Корпус	Частота, кГц	Напряжение питания, В	Опорное напряжение, В	Мягкий запуск	UVLO		OVP, В		Ток потребления в дежурном режиме, мкА	Защита от перегрузки по току	Политовая защита по току	Внешняя синхронизация	Возможные замены
			Повышающий	Понижающий	Инвертирующий								V <sub>IN</sub> , В	V <sub>REF</sub> , В	V <sub>IN</sub> , В	V <sub>REF</sub> , В					
АС/DC-ПРЕОБРАЗОВАТЕЛИ С УПРАВЛЕНИЕМ ПО ПЕРВИЧНОЙ ЦЕПИ																					
HA16107	Импульсный стабилизатор с ШИМ и управлением по напряжению	—	+	+	+	Внешний МОПТ	±0.2/±2 (peak)	DIP-16, SOP-16	1...600	12...30	6.1...6.8	+	16.2/9.5	5.0/4.0	7.0	8.0	240	+			
HA16108	Импульсный стабилизатор с ШИМ и управлением по напряжению	—	+	+	+	Внешний МОПТ	±0.2/±2 (peak)	DIP-16, SOP-16	1...600	12...30	6.1...6.8	+	16.2/9.5	5.0/4.0	7.0/1.3	8.0	240		+		Пожо на M51977и $\mu$ PC1905
HA16109	Импульсный стабилизатор с ШИМ и управлением по напряжению	—	+	+	+	Внешний МОПТ	±0.2/±2 (peak)	DIP-16, SOP-16	1...600	12...30	6.1...6.8	+	16.2/9.5	5.0/4.0	1.1	8.0	240	+			
HA16111	Импульсный стабилизатор с ШИМ и управлением по напряжению	—	+	+	+	Внешний МОПТ	±0.2/±2 (peak)	DIP-16, SOP-16	1...600	12...30	6.1...6.8	+	10.5/9	5.0/4.0	1.1	8.0	2540	+			
HA16654A	Импульсный стабилизатор с ШИМ	—	+	+	+	Внешний МОПТ	0.02	DIP-8, SOP-14	100...500	7.3...40	4.75...5.25	+	10/8	—	—	—	2000				Пожо на MB3769
HA16664A	Импульсный стабилизатор с ШИМ	—	+	+	+	Внешний МОПТ	0.02	OIP-8, SOP-14	100...200	7.3...40	4.75...5.25	+	10/8	—	—	—	2000				
HA16666	Импульсный стабилизатор с ШИМ и частотой 600 кГц	—	+	+	+	Внешний МОПТ	0.1/0.5 (peak)	DIP-16, SOP-16	1...600	11...40	4.75...5.25	+	10/8	—	—	—	300	+			Пожо на $\mu$ PC1904
УНИВЕРСАЛЬНЫЕ ПРЕОБРАЗОВАТЕЛИ																					
HA17524	Контроллер импульсного стабилизатора	1	+	+	+	Открытый коллектор	0.05	DIP-16, SOP-16	450	8.0...40	5.0±0.4		—	—	—	—	5000				Анвлог SG3524
DC/DC-ПРЕОБРАЗОВАТЕЛИ																					
HA17451	Двухканальный контроллер импульсного стабилизатора для DC/DC-преобразователя	1	+	+	+	Внешний МОПТ	0.05	DIP-16, SOP-16	1...300	3.3...40	2.4...2.6		3.15/2.98	—	—	—	2000	+			—
		2	+	+	+																
HA16114	Импульсный стабилизатор для DC/DC-преобразователя	—	—	+	+	Внешний р-МОПТ	±0.1/±1 (peak)	DIP-16, SOP-16	1...600	3.9...40	2.4...2.55	+	2.0/1.7	3.6/3.3	—	6.8	10	+	+		—
HA16120	Импульсный стабилизатор для DC/DC-преобразователя	—	+	—	—	Внешний п-МОПТ	±0.1/±1 (peak)	DIP-16, SOP-16	1...600	3.9...40	2.4...2.55	+	2.0/1.7	3.6/3.3	—	6.8	150	+	+		—
HA16116	Двухканальный импульсный стабилизатор для DC/DC-преобразователя	1	—	+	+	Внешний р-МОПТ	±0.1/±1 (peak)	SOP-20	1...600	3.9...40	2.45...2.55	+	3.6/3.3	2.0/1.7	—	6.8	10		+		Пожо на FA7622
		2	—	+	—	Внешний р-МОПТ															
HA16121	Двухканальный импульсный стабилизатор для DC/DC-преобразователя	1	—	+	+	Внешний р-МОПТ	±0.1/±1 (peak)	SOP-20	1...600	3.9...40	2.45...2.55	+	3.6/3.3	2.0/1.7	—	6.8	150		+		Пожо на FA7622
		2	+	—	—	Внешний п-МОПТ															

Примечание:

UVLO — блокировка при пониженном напряжении; OVP — защита от повышенного напряжения

### ОСОБЕННОСТИ

- ♦ Рабочая частота ..... до 600 кГц
- ♦ Узел защиты по току, обеспечивающий прерывистую работу (HA16108)
- ♦ Узел защиты по току с задержкой аключения блокировки (HA16107/09/11)
- ♦ Защита от пониженного напряжения как по аходу, так и по напряжению опорного источника
- ♦ Мягкий запуск и быстрая блокировка

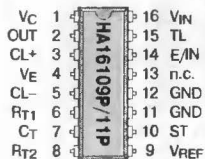
### ОБЩЕЕ ОПИСАНИЕ

Серия HA16107/08/09/11 представляет собой ИС управления для АС/DC-преобразователей. Эти микросхемы содержат выходной каскад управления затвором ключевого транзистора, источник опорного напряжения 6.45 В, генератор треугольных импульсов, токовый детектор, защиту от пониженного напряжения, встроенный стабилизатор 34 В, усилитель ошибки (в HA16107/08). Использование этих ИС обеспечивает высокую надежность источников питания.

### ЦОКОЛЕВКА КОРПУСОВ

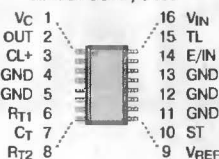
#### Пластмассовый корпус типа DIP-16

Входное напряжение	V <sub>IN</sub>	1	16	TL	Таймер-защёлка
Выходное напряжение	OUT	2	15	E/O	Выход усилителя ошибки
Ограничение тока	CL+	3	14	IN-	Инвертирующий вход усилителя ошибки
Словная "земля"	V <sub>E</sub>	4	13	п.с.	Не используется
Ограничение тока	CL-	5	12	GND	Земля
Времязадающий резистор (время нарастания)	R <sub>T1</sub>	6	11	IN+	Неинвертирующий вход усилителя ошибки
Времязадающий конденсатор	C <sub>T</sub>	7	10	ST	Мягкий запуск
Времязадающий резистор (время спада)	R <sub>T2</sub>	8	9	V <sub>REF</sub>	Выход источника опорного напряжения



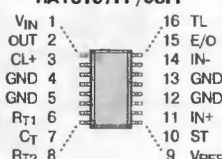
Пластмассовый корпус  
типа DIP-16

#### HA16109P/11P



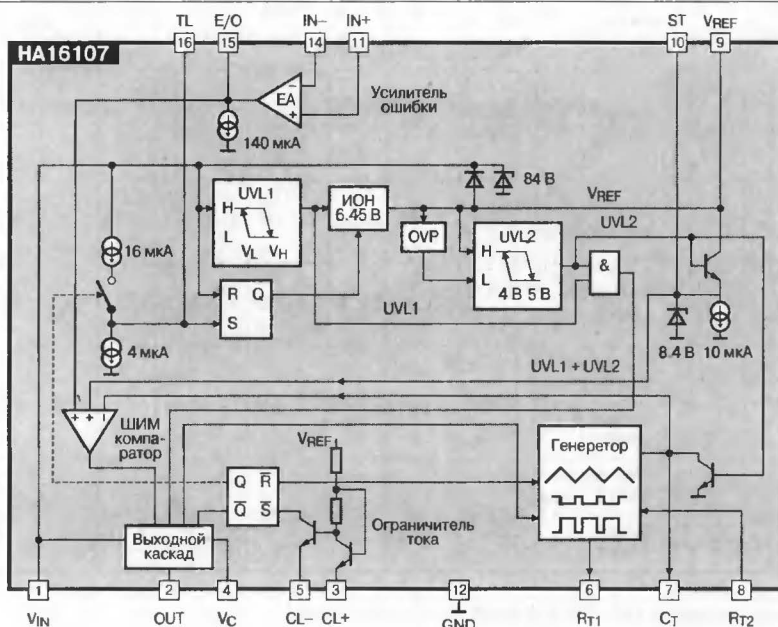
Пластмассовый корпус  
типа SOP-16

#### HA16107FP/08FP



Пластмассовый корпус  
типа SOP-16

### СТРУКТУРНАЯ СХЕМА



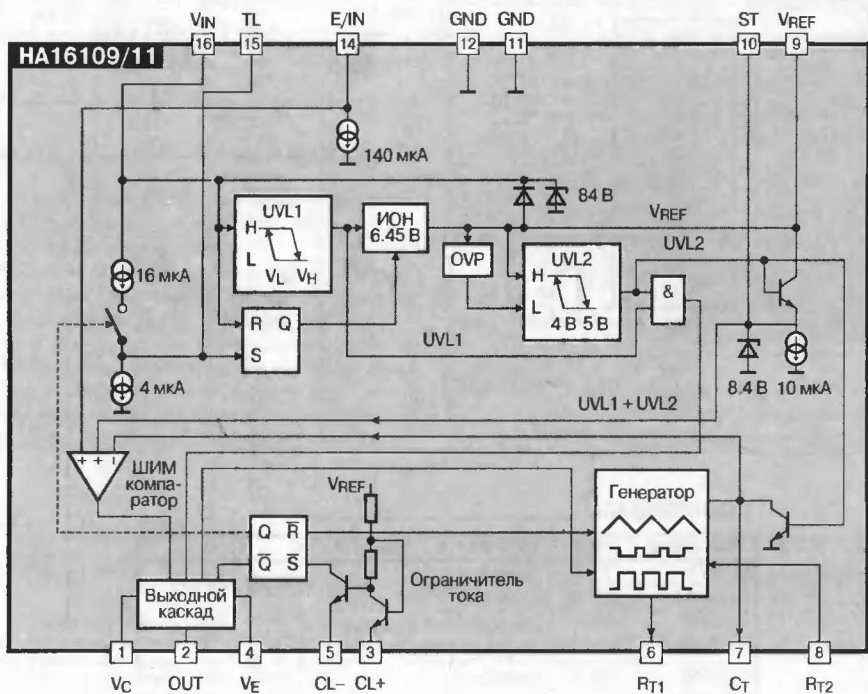
UVL — блокировка при пониженном напряжении

OVP — защита от перенапряжения

Штриховой линией даны внутренние связи для корпуса типа SOP

[illegible]

UVL — блокировка при пониженном напряжении  
OVP — защита от перенапряжения



UVL — блокировка при пониженном напряжении  
OVP — защита от перенапряжения



## СХЕМЫ ВКЛЮЧЕНИЯ

Рис. 1. Обратногоходовой преобразователь напряжения

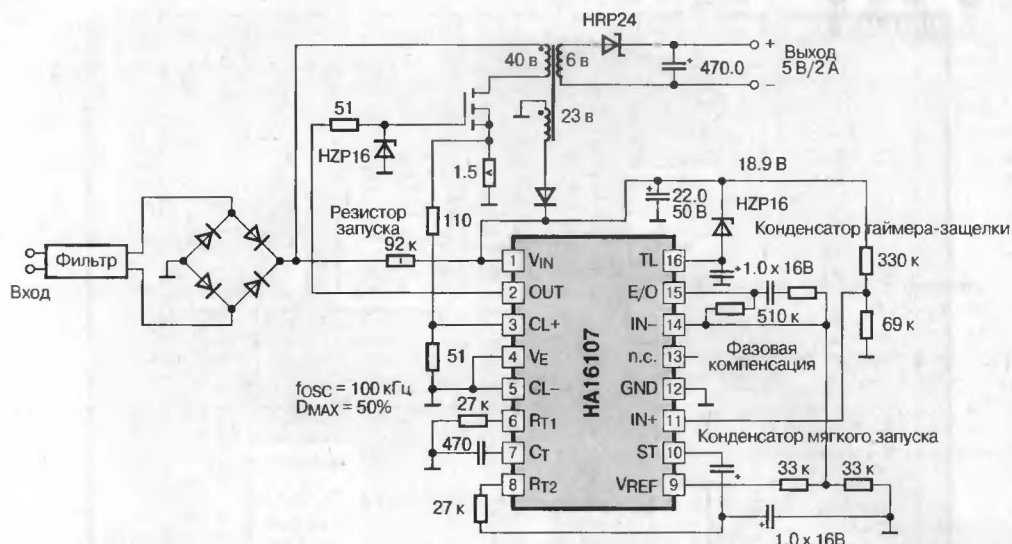
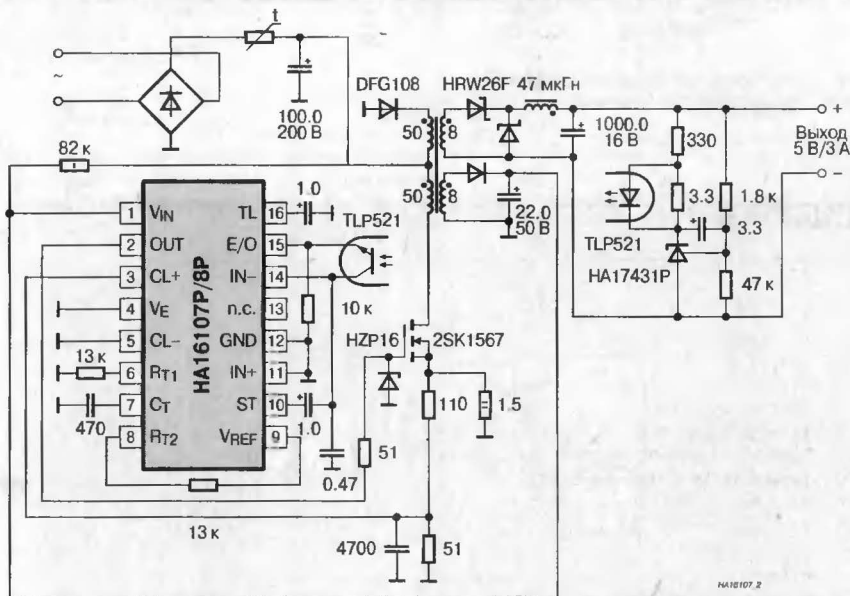


Рис. 2. Прямоходовой преобразователь напряжения



## ТИПОНОМИНАЛЫ

Типономинал	Корпус	Порог UVL1, В	Порог OVP, В	Состав
HA16107P	DIP-16	Верхний: 16.2, Нижний: 9.5	7.0	Таймер-защелка
HA16107FP	SOP-16	Верхний: 16.2, Нижний: 9.5	7.0	Таймер-защелка
HA16108P	DIP-16	Верхний: 16.2, Нижний: 9.5	Верхний: 7.0, Нижний: 1.3	Вкл./выкл. таймера
HA16108FP	SOP-16	Верхний: 16.2, Нижний: 9.5	Верхний: 7.0, Нижний: 1.3	Вкл./выкл. таймера
HA16109P	DIP-16	Верхний: 16.2, Нижний: 9.5	1.1	Таймер-защелка, без усилителя ошибки
HA16109FP	SOP-16	Верхний: 16.2, Нижний: 9.5	1.1	Таймер-защелка, без усилителя ошибки
HA16111P	DIP-16	Верхний: 10.5, Нижний: 9.0	1.1	Таймер-защелка, без усилителя ошибки
HA16111FP	SOP-16	Верхний: 10.5, Нижний: 9.0	1.1	Таймер-защелка, без усилителя ошибки

### ИМПУЛЬСНЫЙ СТАБИЛИЗАТОР ДЛЯ DC/DC-ПРЕОБРАЗОВАТЕЛЕЙ

#### ОСОБЕННОСТИ

- ♦ Диапазон входных напряжений от 3.9 до 40 В (опорное напряжение 2.5 В обеспечивается при условии  $V_{IN} > 4.5$  В)
- ♦ Максимальная рабочая частота ..... 600 кГц
- ♦ Возможность внешней синхронизации
- ♦ Поцикловая защита от перегрузок по току
- ♦ Тотемный выход .....  $\pm 1$  А
- ♦ Прерывистая работа в условиях перегрузки по току
- ♦ Малый ток потребления в дежурном режиме
- HA16114 ..... 10 мкА
- HA16120 ..... 150 мкА
- ♦ Внешняя подстройка опорного напряжения .....  $\pm 0.2$  В
- ♦ Внешняя подстройка порога перехода в дежурный режим при пониженном входном напряжении
- ♦ Стабильная рабочая частота
- ♦ Мягкий запуск и быстрое отключение

#### ТИПОНОМИНАЛЫ

Типономинал	Корпус
HA16114P	DIP-16
HA16114FP	SOP-16
HA16120FP	SOP-16

#### ОБЩЕЕ ОПИСАНИЕ

Микросхема HA16120 представляет собой одноканальную ШИМ-схему управления DC/DC-преобразователем повышающего типа с  $n$ -канальными ключевыми МОП-транзисторами.

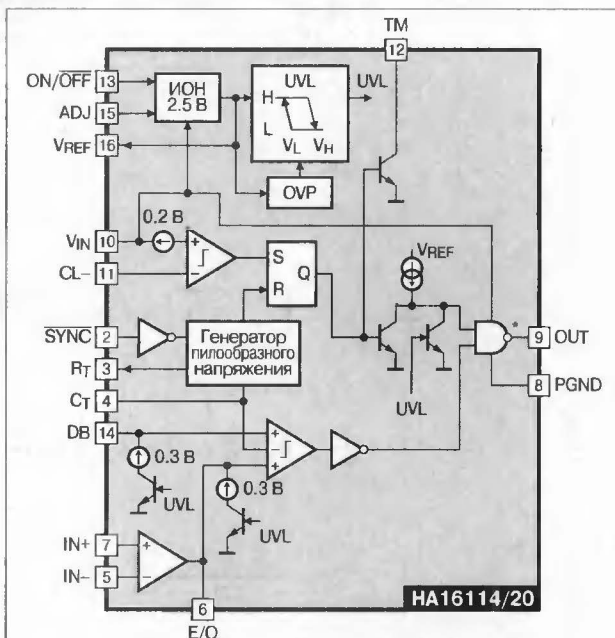
Микросхема HA16114 является одноканальной ШИМ-схемой управления DC/DC-преобразователем инвертирующего и понижающего типов с  $p$ -канальными ключевыми МОП-транзисторами.

Возможность внешней синхронизации обеспечивает хорошую совместимость с AC/DC-преобразователями, что особенно важно при необходимости получения нескольких выходных напряжений. Синхронизация обеспечивается задним фронтом синхриимпульсов, которые могут быть получены с выходной обмотки изолиру-

ющего трансформатора. Синхронизация исключает возбуждение биеений и гармоник при различных рабочих частотах AC/DC и DC/DC-преобразователей.

Действие защиты от токовых перегрузок включает в себя уменьшение длительности рабочих импульсов и прерывистый режим, обеспечиваемый таймером включения/выключения. В отличие от обычных систем защиты по току, прерывистый режим в данных ИС обеспечивает строго вертикальную нагрузочную характеристику. При устранении перегрузки выходное напряжение восстанавливается автоматически.

#### СТРУКТУРНАЯ СХЕМА



\* Для HA16120 схема "И" без инверсии  
U/L — блокировка при пониженном напряжении  
OVP — защита от перенапряжения

#### ЦОКОЛЕВКА КОРПУСОВ

Пластмассовый корпус типа DIP-16

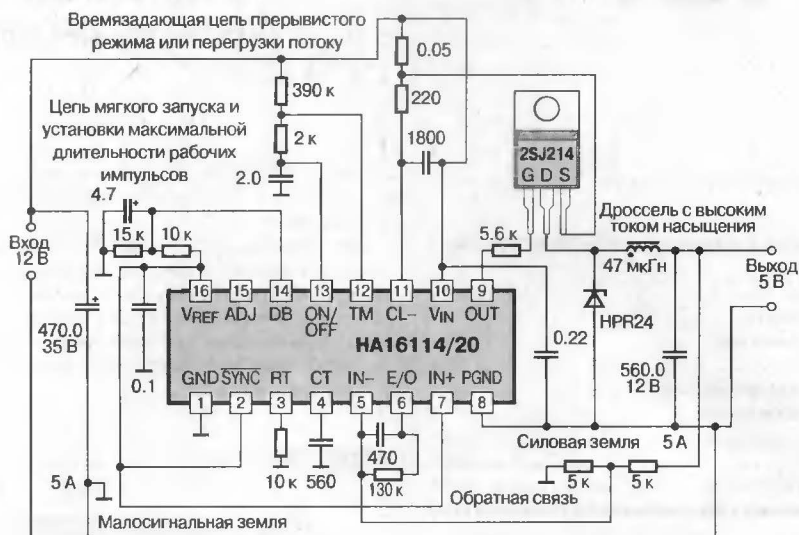
Земля схемы управления	GND	1	16	VREF	Выход опорного напряжения 2.5 В
Вход внешней синхронизации	SYNC	2	15	ADJ	Выход подстройки опорного напряжения
Вывод подключения времязадающего резистора	RT	3	14	DB	Управление рабочим циклом
Вывод подключения времязадающего конденсатора	CT	4	13	ON/OFF	Блокировка схемы (Выключение при уровне менее 0.7 В)
Инвертирующий вход усилителя ошибки	IN-	5	12	TM	Вывод программирования таймера токовой перегрузки
Вывод усилителя ошибки	E/O	6	11	CL-	Инвертирующий вход ограничителя тока
Неинвертирующий вход усилителя ошибки	IN+	7	10	VIN	Вход питания
Силовая земля	PGND	8	9	OUT	Вывод подключения затвора МОП-транзистора

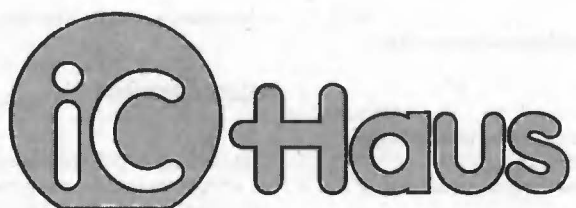
Пластмассовый корпус типа SOP-16

HA16114FP/20FP					
GND	1		16	VREF	
SYNC	2		15	ADJ	
R <sub>T</sub>	3		14	DB	
C <sub>T</sub>	4		13	ON/OFF	
IN <sup>-</sup>	5		12	TM	
E/O	6		11	CL <sup>-</sup>	
IN <sup>+</sup>	7		10	VIN	
PGND	8		9	OUT	

ТИПОВАЯ СХЕМА ВКЛЮЧЕНИЯ

Понижающий преобразователь с 12 В до 5 В на HA16114





**IC-WD/IC-WDS** Сдвоенный импульсный стабилизатор на 5 В ..... 342

### ОСОБЕННОСТИ

- ♦ Входное напряжение ..... 8...30 (36) В
- ♦ Понижающий стабилизатор с регулируемым уровнем ограничения тока
- ♦ Встроенный обратноточный диод
- ♦ Генератор не требует внешних компонентов
- ♦ Высокая частота переключения ..... 100 кГц (тип)
- ♦ Два последовательных стабилизатора на 5 В с выходным током 200 и 20 мА
- ♦ Встроенный источник опорного напряжения (ИОН)
- ♦ Конденсаторы небольшой емкости обеспечивают высокое подавление пульсаций выходного напряжения
- ♦ Выход сигнализации о блокировке при перегреве или пониженном напряжении
- ♦ Небольшое число внешних компонентов

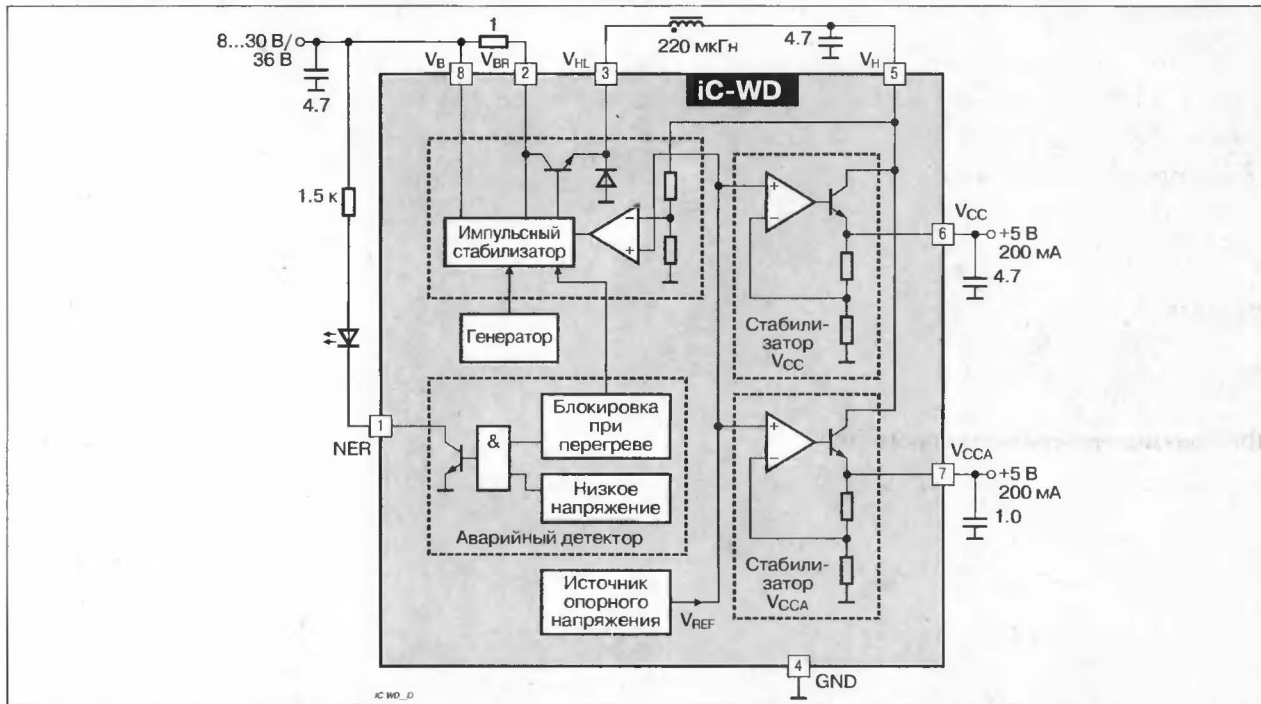
### ПРИМЕНЕНИЕ

- ♦ Двухканальные источники питания на 5 В в системах с питанием 24 В

### ОБЩЕЕ ОПИСАНИЕ

Микросхема iC-WD представляет собой комбинированную схему, которая включает импульсный преобразователь, источник опорного напряжения, схему блокировки при перегреве и два линейных стабилизатора напряжения с выходным напряжением 5 В и током 200 и 20 мА. Прибор имеет вывод индикации аварийной ситуации, вызванной перегревом или пониженным входным напряжением. Микросхема iC-WD требует небольшого числа внешних компонентов и может использоваться в недорогих источниках питания.

### СТРУКТУРНАЯ СХЕМА И ТИПОВАЯ СХЕМА ВКЛЮЧЕНИЯ



### ЦОКОЛЕВКА КОРПУСОВ

Пластмассовый корпус типа SOP-8

		iC-WD			
Выход индикации об ошибке	NER	1	8	V <sub>B</sub>	Напряжение питания импульсного преобразователя
Вход ограничения тока импульсного преобразователя	V <sub>BR</sub>	2	7	V <sub>CC</sub>	Выход стабилизатора на 5 В/20 мА
Выход импульсного преобразователя	V <sub>HL</sub>	3	6	V <sub>CC</sub>	Выход стабилизатора 5 В/200 мА
Общий вывод, земля	GND	4	5	V <sub>H</sub>	Вход ОС импульсного преобразователя/питание линейных стабилизаторов





**Микросхемы для импульсных источников питания фирмы Infineon Technology:**

Комбинированная схема ШИМ-контроллера и корректора коэффициента мощности . . . . .	344
Контроллеры импульсных источников питания . . . . .	344
Контроллеры коэффициента мощности . . . . .	45
<b>TDA16888</b> . . . . .	Высокопроизводительный комбинированный контроллер импульсного источника питания . . . . . 346
<b>TDA16846</b> . . . . .	Контроллер импульсного источника питания с коррекцией коэффициента мощности . . . . . 349
<b>TDA1683x</b> . . . . .	Недорогой контроллер сетевого импульсного источника питания серии CoolSET™ . . . . . 351
<b>МОП-транзисторы семейства Cool MOS™</b> . . . . .	353
<b>IGBT-транзисторы</b> . . . . .	354

**ЗА ДОПОЛНИТЕЛЬНОЙ ИНФОРМАЦИЕЙ И ПО ВОПРОСАМ ПОСТАВКИ КОМПОНЕНТОВ ОБРАЩАТЬСЯ:**

**ООО Интех электроникс**  
**Тел./Факс: +007 (095) 451-97-37, +007 (095) 451-86-08**  
**E-mail: [intech@aha.ru](mailto:intech@aha.ru)**  
**<http://www.aha.ru/~intech>**



Совместное российско-германское предприятие  
**ООО ИНТЕХ электроникс (INTECH electronics GmbH)**  
 Официальный дистрибьютор и агент Siemens AG — Infineon Technologies AG, Epcos AG

- интегральные схемы для телекоммуникаций, автомобильной, промышленной, бытовой и силовой электроники
- 8-/16-/32-разрядные микроконтроллеры
- SiPMOS, IGBT, диоды, тиристоры и модули на их основе
- малосигнальные транзисторы и диоды
- оптоэлектронные приборы, датчики Холла, давления, температуры
- ферриты, трансформаторы, дроссели, фильтры
- электролитические, керамические, фольговые и силовые конденсаторы
- NTC-/PTC-термисторы, варисторы, разрядники
- средства разработки и отладки



125445 г. Москва, ул. Смольная, 24/1203 Тел./факс: (095) 451-97-37 e-mail: [Intech@aha.ru](mailto:Intech@aha.ru); [www.aha.ru/~Intech](http://www.aha.ru/~Intech)

## МИКРОСХЕМЫ ДЛЯ ИМПУЛЬСНЫХ ИСТОЧНИКОВ ПИТАНИЯ ФИРМЫ INFINEON TECHNOLOGY

Прибор	Корпус	Функциональное назначение	Особенности
<b>КОМБИНИРОВАННАЯ СХЕМА ШИМ-КОНТРОЛЛЕРА И КОРРЕКТОРА КОЭФФИЦИЕНТА МОЩНОСТИ</b>			
TDA16846/47	DIP-14	Контроллер коэффициента мощности	<ul style="list-style-type: none"> <li>♦ Сильное снижение частоты при малой нагрузке</li> <li>♦ Стабильная и регулируемая частота в дежурном режиме</li> <li>♦ Очень низкий ток запуска</li> <li>♦ Мягкий запуск</li> <li>♦ Регулируемое время подавления переходных процессов</li> <li>♦ Синхронизация и фиксированная частота</li> <li>♦ Блокировка при пониженном и повышенном напряжении</li> <li>♦ Коррекция максимального тока в зависимости от сетевого напряжения</li> <li>♦ Малая потребляемая мощность</li> <li>♦ Дополнительные аварийные (fault) компараторы</li> </ul>
TDA16888(G)	DIP-20, SOP-20	Контроллер коэффициента мощности и ШИМ схема управления импульсным источником питания	<ul style="list-style-type: none"> <li>♦ Внутренняя синхронизация 15...200 кГц</li> <li>♦ Возможна внешняя синхронизация</li> <li>♦ ККМ с двойной петлей обратной связи</li> <li>♦ Высокий коэффициент мощности в широких пределах тока нагрузки</li> <li>♦ Двухступенчатая защита от перенапряжения</li> <li>♦ Быстродействующий тотемный выходной каскад с мягким включением и током до 1 А</li> <li>♦ Ток запуска 50 мА (typ)</li> <li>♦ Низкий ток потребления 15 мА (ККМ + ШИМ)</li> <li>♦ Эффективный дежурный режим (ККМ в качестве вспомогательного питания)</li> <li>♦ ШИМ с улучшенным токовым управлением</li> <li>♦ Мягкий запуск ШИМ</li> <li>♦ Внешнее выключение обоих выходов</li> </ul>
<b>КОНТРОЛЛЕРЫ ИМПУЛЬСНЫХ ИСТОЧНИКОВ ПИТАНИЯ</b>			
TDA16831/2/3(G)	DIP-8 SOP-14	Контроллер сетевого импульсного источника питания серии CoolSETTM	<ul style="list-style-type: none"> <li>♦ ШИМ-контроллер и мощный (600 В) MDP-транзистор серии CoolMOS в одном корпусе</li> <li>♦ Типовое сопротивление открытого канала МОП-транзистора 0.5...10 Ом</li> <li>♦ 4 активных вывода для управления импульсным стабилизатором</li> <li>♦ Корпус DIP-8 при выходной мощности не более 40 Вт</li> <li>♦ Небольшое число навесных компонентов</li> <li>♦ Малый ток запуска</li> <li>♦ Токотворный режим управления</li> <li>♦ Контроль перегрузки по входному напряжению</li> <li>♦ Ограничение максимального рабочего цикла</li> <li>♦ Защита от перегрева</li> </ul>
TDA16834/5	SOP-14		
TDA16836/7/8	TO-220-5		
TDA4605/-2/-3	DIP-8	Схема управления импульсным ИВП на МОП-транзисторе	<ul style="list-style-type: none"> <li>♦ Характеристика с участком обратного наклона обеспечивает защиту внешних компонентов от перегрузки</li> <li>♦ Пакетный режим работы при КЗ</li> <li>♦ Защита от замыканий и разрывов в контуре ОС</li> <li>♦ Отключение при пониженном сетевом напряжении</li> <li>♦ Компенсация точки перегрузки при изменении напряжения сети</li> <li>♦ Мягкий запуск</li> <li>♦ Защита от перегрева</li> <li>♦ Схема подавления паразитных колебательных процессов, вызванных трансформатором</li> </ul>
TDA4718A	DIP-18	Контроллер импульсного источника питания	<ul style="list-style-type: none"> <li>♦ Управление с прямой связью (подавление сетевых помех)</li> <li>♦ Двухтактные выходы</li> <li>♦ Динамическое ограничение выходного тока</li> <li>♦ Защита от повышенного и пониженного напряжения</li> <li>♦ Мягкий запуск</li> <li>♦ Подавление сдвоенных импульсов</li> </ul>

МИКРОСХЕМЫ ДЛЯ ИМПУЛЬСНЫХ ИСТОЧНИКОВ ПИТАНИЯ ФИРМЫ INFINEON TECHNOLOGY (ПРОДОЛЖЕНИЕ)

Прибор	Корпус	Функциональное назначение	Особенности
<b>КОНТРОЛЛЕРЫ ИМПУЛЬСНЫХ ИСТОЧНИКОВ ПИТАНИЯ</b>			
TDA4916GG	SOP-24	Контроллер импульсного источника питания	<ul style="list-style-type: none"> <li>♦ Высокая тактовая частота</li> <li>♦ Малое потребление тока</li> <li>♦ Высокая точность опорного источника</li> <li>♦ Все функции контроля</li> </ul>
<b>КОНТРОЛЛЕРЫ КОЭФФИЦИЕНТА МОЩНОСТИ</b>			
TDA4814A	DIP-14	Контроллер коэффициента мощности	<ul style="list-style-type: none"> <li>♦ Синусоидальный ток нагрузки</li> <li>♦ Коэффициент мощности приближается к 1</li> <li>♦ Управляет повышающим преобразователем как активным фильтром гармоник</li> <li>♦ Непосредственное управление мощным МОП-транзистором</li> <li>♦ Детектор перехода через ноль для непрерывного режима работы с изменяющейся частотой</li> <li>♦ Работа от сети 110/220 В без переключателя</li> <li>♦ Ток потребления в дежурном режиме 0.5 мА</li> <li>♦ Схема контроля пуска/останова для ламповых генераторов</li> </ul>
TDA4817(G)	DIP-8, SOP-8	Контроллер коэффициента мощности	<ul style="list-style-type: none"> <li>♦ Синусоидальный ток нагрузки</li> <li>♦ Коэффициент мощности приближается к 1</li> <li>♦ Управляет повышающим преобразователем как активным фильтром гармоник</li> <li>♦ Непосредственное управление мощным МОП-транзистором</li> <li>♦ Детектор перехода через ноль для непрерывного режима работы с изменяющейся частотой</li> <li>♦ Работа от сети 110/220 В без переключателя</li> <li>♦ Ток потребления в дежурном режиме 0.5 мА</li> </ul>
TDA4862(G)	DIP-8, SOP-8	Контроллер коэффициента мощности	<ul style="list-style-type: none"> <li>♦ Синусоидальный ток нагрузки</li> <li>♦ Коэффициент мощности приближается к 1</li> <li>♦ Управляет повышающим преобразователем как активным фильтром гармоник</li> <li>♦ Непосредственное управление мощным МОП-транзистором</li> <li>♦ Детектор перехода через ноль для непрерывного режима работы</li> <li>♦ Мощный тотемный выходной каскад</li> <li>♦ Точность внутреннего опорного источника <math>\pm 1.4\%</math></li> <li>♦ Блокировка при пониженном напряжении</li> <li>♦ Очень малый пусковой ток</li> <li>♦ Совместимость по выводам с промышленным стандартом</li> <li>♦ Быстродействующая схема защиты от перенапряжения</li> <li>♦ Точувствительный вход с внутренним НЧ-фильтром</li> </ul>

## ВЫСОКОПРОИЗВОДИТЕЛЬНЫЙ КОМБИНИРОВАННЫЙ КОНТРОЛЛЕР ИМПУЛЬСНОГО ИСТОЧНИКА ПИТАНИЯ

### ОСОБЕННОСТИ

- ♦ Высокое значение коэффициента мощности
- ♦ Типовой ток запуска ..... 50 мкА
- ♦ Низкое значение рабочего тока ..... 15 мА
- ♦ Блокировка при пониженном напряжении с переводом в дежурный режим
- ♦ Рабочая частота ..... 15...200 кГц
- ♦ Возможность внешней синхронизации
- ♦ Внешнее отключение обоих выходов
- ♦ Ограничение пикового тока
- ♦ Защита от перенапряжения
- ♦ Контроль среднего тока посредством фильтрации шумов

### СХЕМА ШИМ (PWM)

- ♦ Усовершенствованное управление по току
- ♦ Быстродействующий тотемный драйвер МОП-транзистора ..... 1 А
- ♦ Мягкий запуск
- ♦ ШИМ с переключением по заднему фронту
- ♦ Обратоходовая или прямоходовая схема ШИМ-преобразователя
- ♦ Максимальный рабочий цикл ..... 50%
- ♦  $f_{PWM} = f_{PFC}$

### ОБЩЕЕ ОПИСАНИЕ

Микросхема TDA16888 представляет собой схему управления импульсным источником питания с коррекцией коэффициента мощности (ККМ). При внутренней синхронизации схемы ШИМ и схемы коррекции коэффициента мощности TDA16888 работает как преобразователь сетевого напряжения с диапазоном входного напряжения 90...270 В. Тогда как корректор мощности строится по повышающей или обратоходовой схеме, ШИМ-модулятор можно включать по обратоходовой или прямоходовой схеме. Для получения минимального отставания тока рабочий цикл корректора мощности имеет максимальное значение 94%. В то же время максимальное значение рабочего цикла схемы ШИМ ограничено величиной 50%, что позволяет избежать насыщения трансформатора.

### СХЕМА КОРРЕКЦИИ КОЭФФИЦИЕНТА МОЩНОСТИ (PFC):

- ♦ Отвечает требованиям IEC 1000-3
- ♦ Дополнительный режим работы с качестве вспомогательного источника питания
- ♦ Быстродействующий тотемный драйвер МОП-транзистора ..... 1 А
- ♦ Две петли обратной связи: по напряжению и по среднему току
- ♦ ШИМ с переключением по переднему фронту
- ♦ Ограничение пикового тока
- ♦ Построение PFC по схеме повышающего (boost) или обратоходового преобразователя
- ♦ Непрерывный/прерывистый режимы работы
- ♦ Максимальный рабочий цикл ..... 94%

### ЦОКОЛЕВКА КОРПУСОВ

#### Корпус типа DIP-20

Измерительный вход сетевого напряжения	PFC IAC	1	20	AUX VS
Опорное напряжение 7,5 В	REF	2	19	PFC VS
Компенсация токовой петли ККМ	PFC CC	3	18	PFC VC
Токочувствительный вход ККМ	PFC CS	4	17	PFC FB
Измерительная земля	GND S	5	16	ROSC
Измерительный вход ограничения тока ККМ	PFC CL	6	15	PWM RMP
Общий, земля	GND	7	14	PWM IN
Выход ККМ	PFC OUT	8	13	PWM SS
Напряжение питания	V <sub>CC</sub>	9	12	SYNC
Выход ШИМ	PWM OUT	10	11	PWM CS

Измерительный вход напряжения дополнительного источника питания	PFC IAC	1	20	AUX VS
Измерительный вход выходного напряжения ККМ	REF	2	19	PFC VS
Компенсация петли ОС по напряжению ККМ	PFC CC	3	18	PFC VC
Петля обратной связи по напряжению ККМ	PFC CS	4	17	PFC FB
Установка частоты генератора	GND S	5	16	ROSC
Пилообразное напряжение ШИМ	PFC CL	6	15	PWM RMP
Измерительный вход выходного напряжения ШИМ	GND	7	14	PWM IN
Мягкий запуск ШИМ	PFC OUT	8	13	PWM SS
Вход синхронизации	V <sub>CC</sub>	9	12	SYNC
Токочувствительный вход ШИМ	PWM OUT	10	11	PWM CS

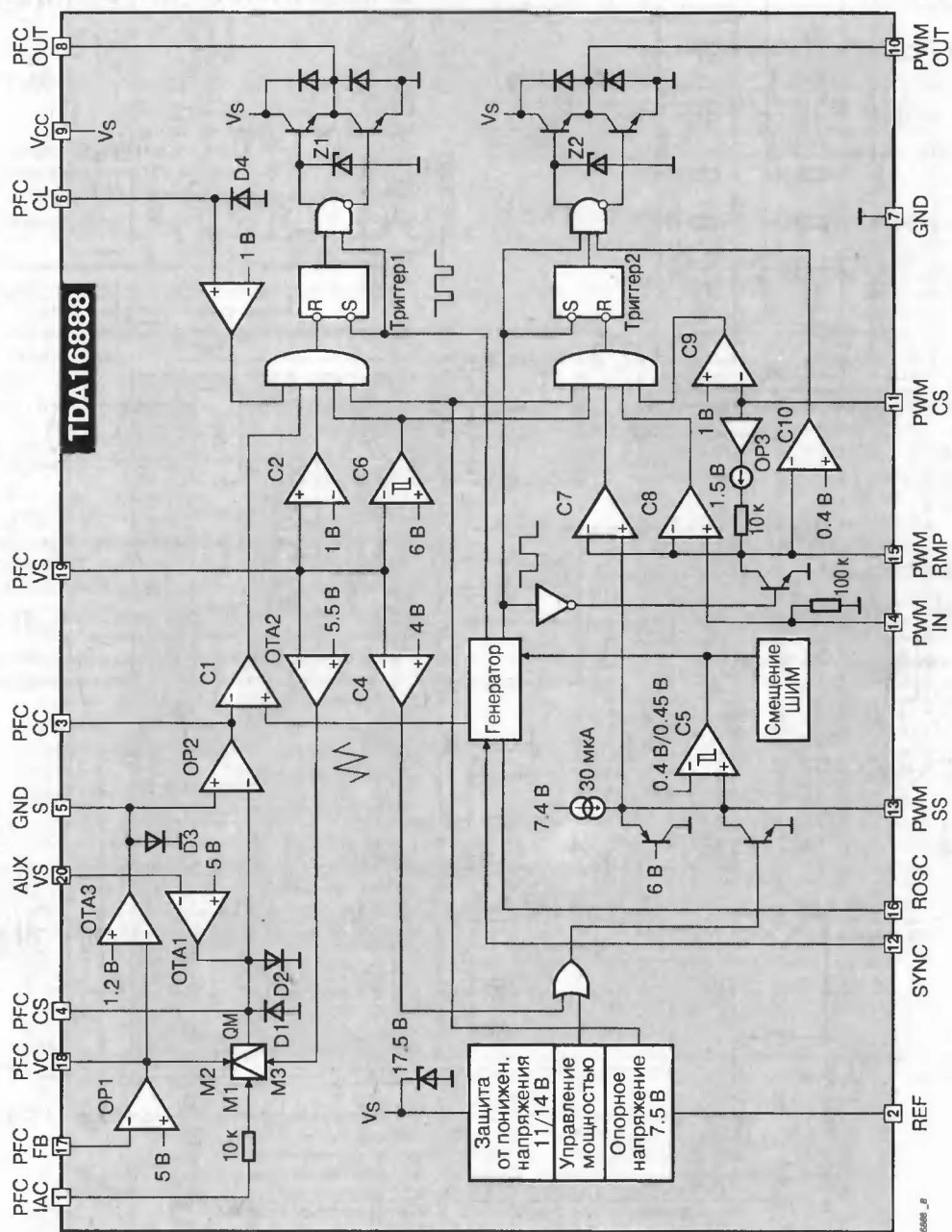
#### Корпус типа SOP-20

Измерительный вход сетевого напряжения	PFC IAC	1	20	AUX VS
Опорное напряжение 7,5 В	REF	2	19	PFC VS
Компенсация токовой петли ККМ	PFC CC	3	18	PFC VC
Токочувствительный вход ККМ	PFC CS	4	17	PFC FB
Измерительная земля	GND S	5	16	ROSC
Измерительный вход ограничения тока ККМ	PFC CL	6	15	PWM RMP
Общий, земля	GND	7	14	PWM IN
Выход ККМ	PFC OUT	8	13	PWM SS
Напряжение питания	V <sub>CC</sub>	9	12	SYNC
Выход ШИМ	PWM OUT	10	11	PWM CS

### ТИПОНОМИНАЛЫ

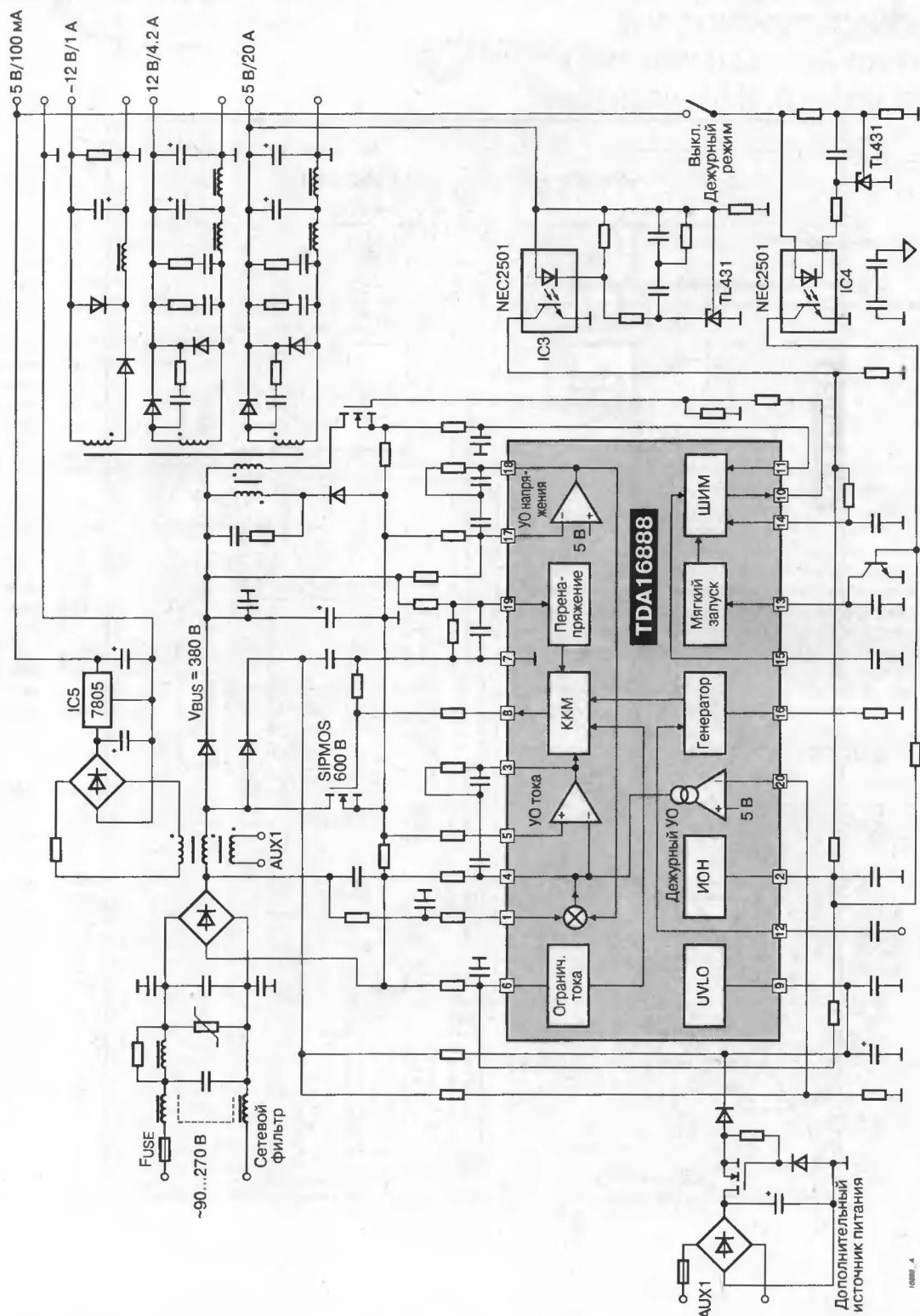
Типономинал	Код заказа	Корпус
TDA16888	Q67000-A9284-X201-K5	DIP-20 (P-DIP-20-5)
TDA16888G	Q67000-A9310-A702	SOP-20 (P-DSO-20-1)

СТРУКТУРНАЯ СХЕМА



**СХЕМА ПРИМЕНЕНИЯ**

Схема источника питания для персонального компьютера с выходной мощностью 150 Вт



**Примечание:**  
 UVLO — блокировка при пониженном напряжении  
 УО — усилитель ошибки



# КОНТРОЛЛЕР ИМПУЛЬСНОГО ИСТОЧНИКА ПИТАНИЯ С КОРРЕКЦИЕЙ КОЭФФИЦИЕНТА МОЩНОСТИ

## ОСОБЕННОСТИ

- Коррекция коэффициента мощности
- Снижение частоты при уменьшении тока нагрузки
- Постоянная и регулируемая частота преобразования в дежурном режиме
- Малый ток запуска
- Мягкий запуск
- Регулируемое напряжением время подавления переходных процессов
- Работа в режиме внешней синхронизации и с фиксированной частотой
- Блокировка при повышенном и пониженном напряжении
- Выключение при снижении сетевого напряжения ниже порогового уровня
- Малая потребляемая мощность
- Компактные размеры

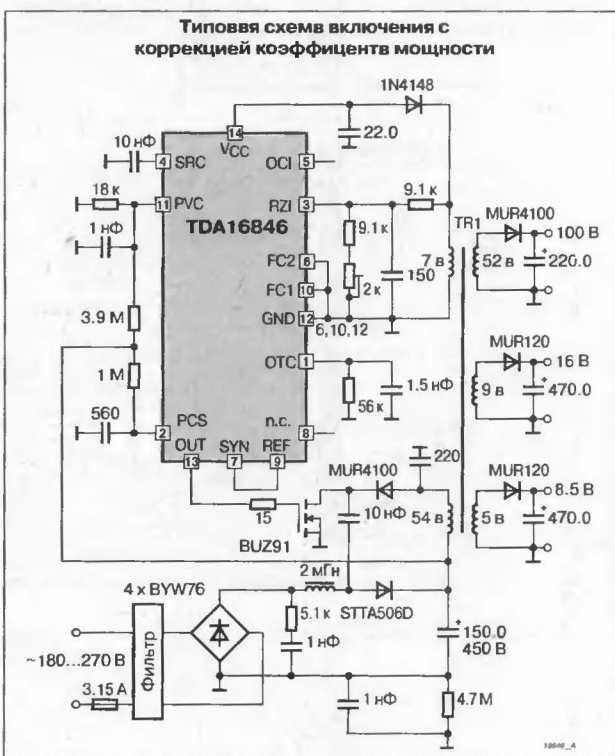
## ОБЩЕЕ ОПИСАНИЕ

Микросхема TDA16846 оптимизирована для управления обратноточным импульсным преобразователем напряжения с фиксированной или переменной частотой и коррекцией коэффициента мощности. При малых токах нагрузки схема уменьшает рабочую частоту вплоть до минимального значения (20 кГц в дежурном режиме). Этим обеспечивается малая потребляемая мощность схемы. Кроме того, TDA16846 имеет малый ток запуска. Для того чтобы избежать импульсных перегрузок, мощный транзистор переключается при минимальном напряжении. Специальная схема обеспечивает подавление джиттера (паразитных колебаний). TDA16846 обладает несколькими схемами защиты: блокировка при выходе напряжения питания за нижний и верхний пределы, блокировка при пониженном сетевом напряжении, ограничение тока и два свободно используемых компаратора. Преобразование осуществляется посредством встроенного усилителя ошибки или оптопары обратной связи (дополнительный вывод микросхемы). Выход драйвера идеально подходит для управления мощным МОП-транзистором, но возможно применение и биполярного транзистора. Возможна работа в режимах внешней синхронизации и при фиксированной частоте.

### ТИПОНОМИНАЛЫ

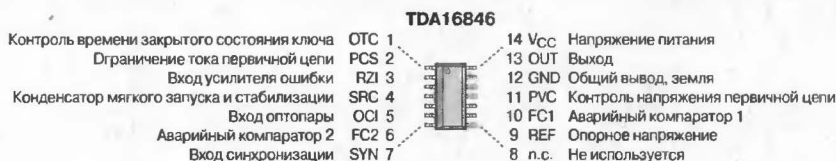
Типономинал	Код заказа	Корпус
TDA16846	Q67000-A9377	DIP-14 (P-DIP-14-3)

### СХЕМА ВКЛЮЧЕНИЯ

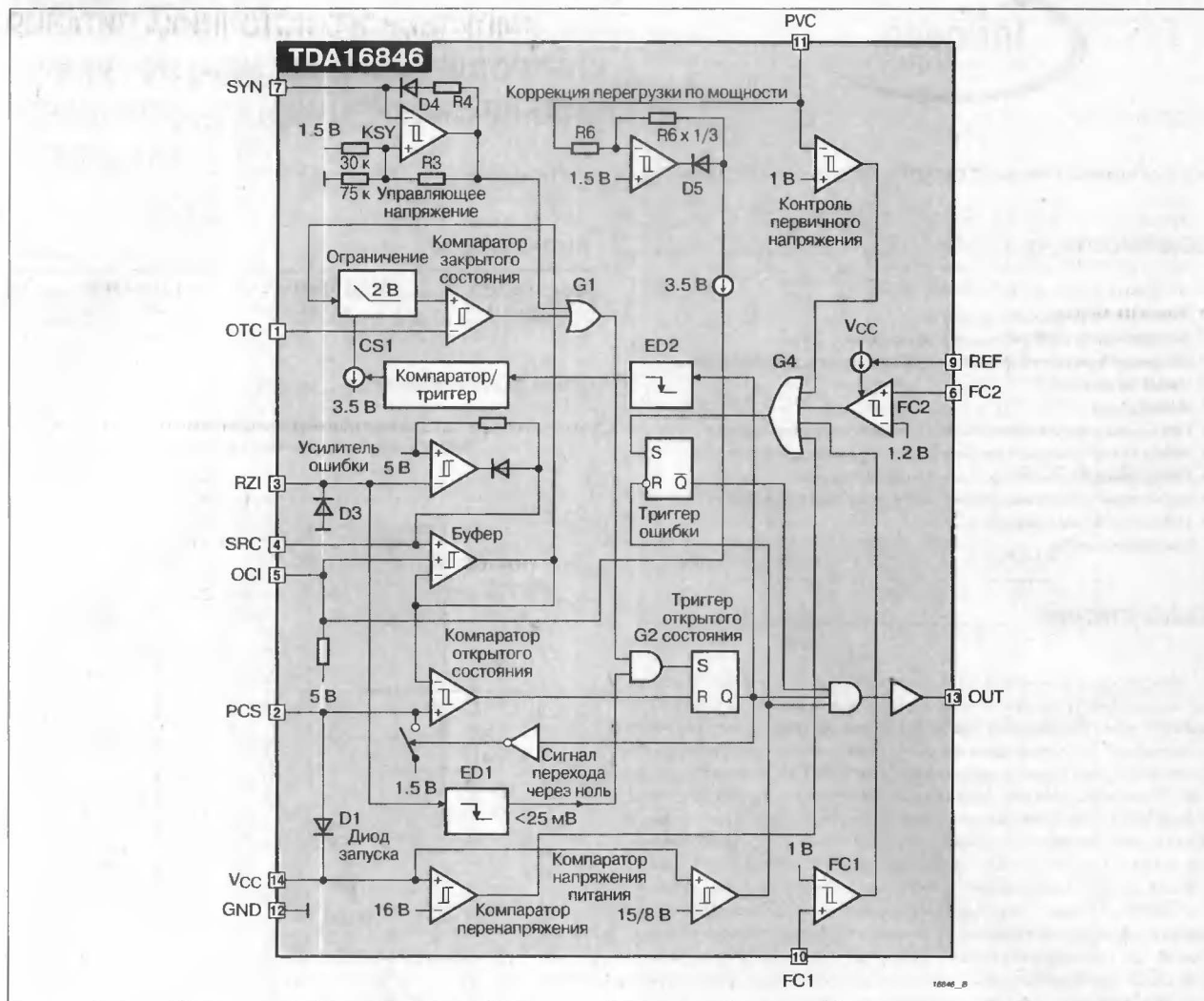


## ЦОКОЛЕВКА КОРПУСОВ

Корпус типа DIP-14



## СТРУКТУРНАЯ СХЕМА



## НЕДОРОГОЙ КОНТРОЛЛЕР СЕТЕВОГО ИМПУЛЬСНОГО ИСТОЧНИКА ПИТАНИЯ СЕРИИ CoolSET™

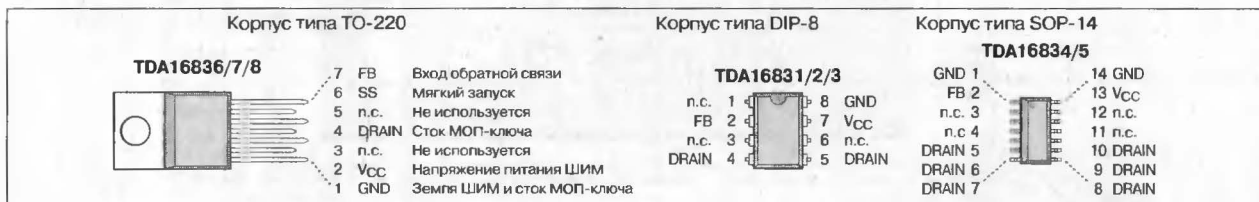
### ОСОБЕННОСТИ

- ШИМ-контроллер и мощный (600 В) МОП-транзистор серии CoolMOS в одном корпусе
- Типовое сопротивление открытого канала МОП-транзистора. . . . . 0.5...10 Ом
- 4 активных вывода для управления импульсным стабилизатором
- Корпус DIP-8 при выходной мощности не более 40 Вт
- Небольшое число навесных компонентов
- Малый ток запуска
- Токковый режим управления
- Контроль перегрузки по входному напряжению
- Ограничение максимального рабочего цикла
- Защита от перегрева

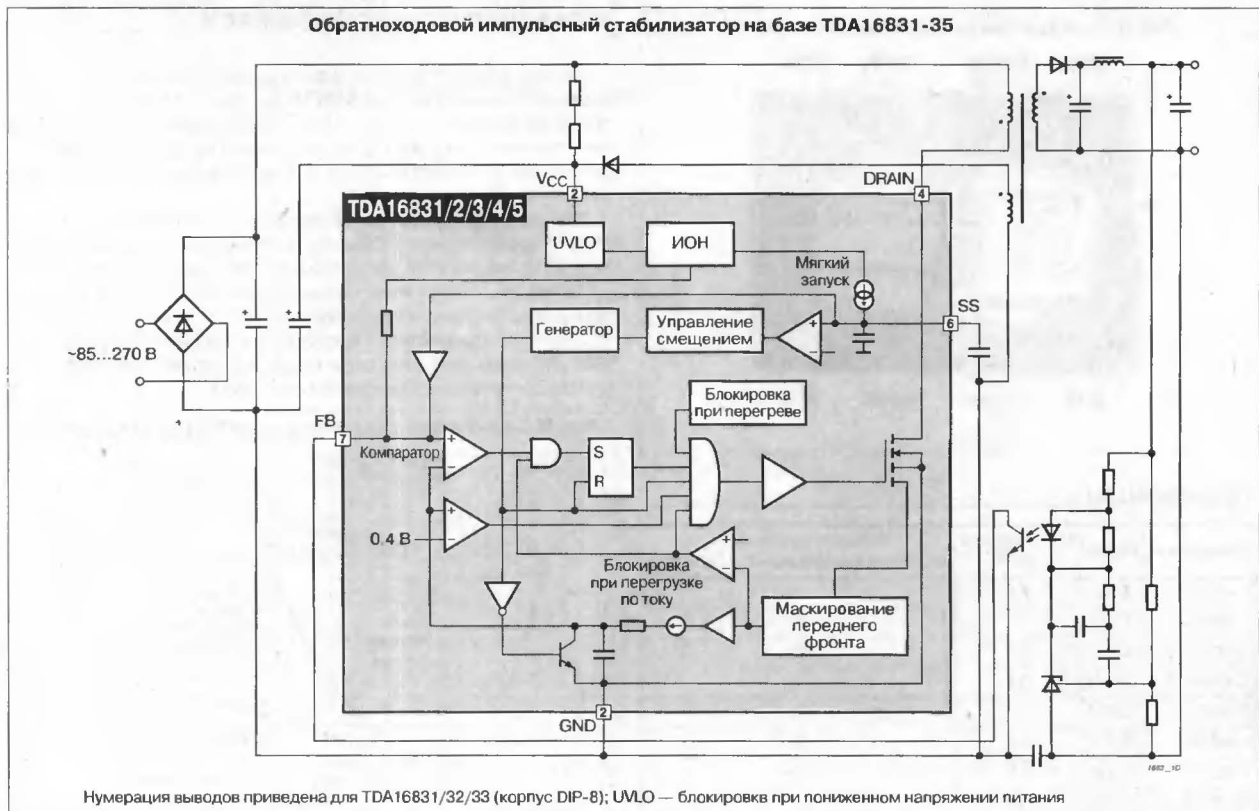
### ОБЩЕЕ ОПИСАНИЕ

Микросхемы TDA1683x являются ШИМ-модуляторами с токовым управлением со встроенным высоковольтным МОП-транзистором. Применение TDA1683x в схеме обратного импульсного стабилизатора требует минимального количества навесных элементов. В токовом режиме управления ШИМ ток, протекающий через МОП-транзистор, сравнивается с опорным сигналом, пропорциональным выходному напряжению. Результат этого сравнения определяет длительность открытого состояния МОП-транзистора. Резистор, с помощью которого измеряется ток МОП-транзистора, частотозадающие резистор и конденсатор также находятся внутри кристалла. Специальные методы позволили компенсировать температурную нестабильность и минимизировать разброс сопротивлений внутрисхемных резисторов.

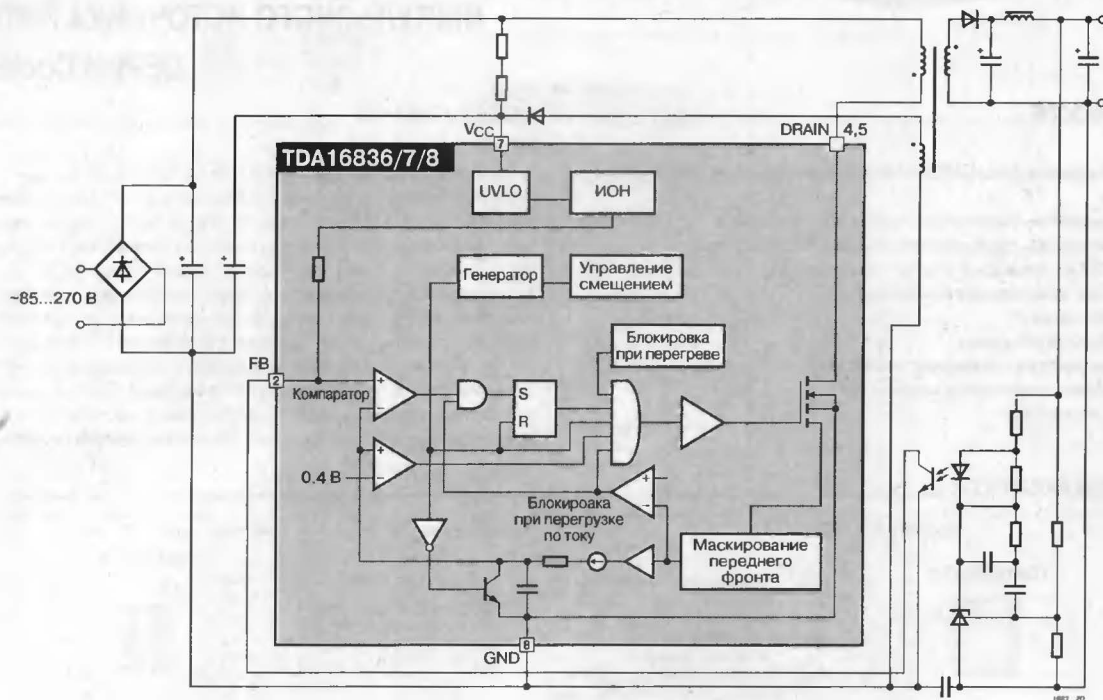
### ЦОКОЛЕВКА КОРПУСОВ



### СТРУКТУРНАЯ СХЕМА И ТИПОВАЯ СХЕМА ВКЛЮЧЕНИЯ

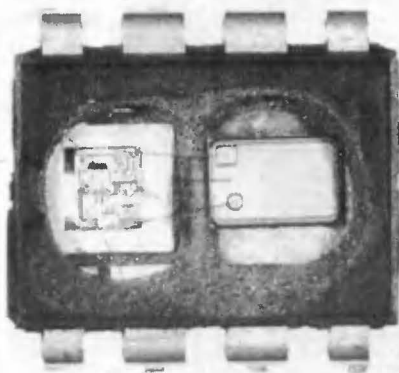


## Обратноходовой импульсный стабилизатор на базе TDA16836/7/8



Примечания: UVLO — блокировка при пониженном напряжении питания

Рис. 1. Конструкция прибора серии CoolSET™



## ПРЕИМУЩЕСТВА ТЕХНОЛОГИИ CoolMOST™

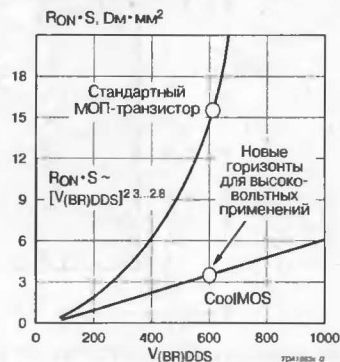
Серия CoolSET™ включает МОП-транзисторы, изготовленные по новейшей технологии CoolMOST™. Данная технология расширяет достигнутые пределы для кремниевых приборов. Так, сопротивление (единицы площади) открытого канала  $R_{DS(on)}$  МОП-транзистора на 600 В снижается в пять раз по сравнению с любой другой известной технологией.

При этом с ростом напряжения преимущества технологии CoolMOST™ увеличиваются. Обычная экспоненциальная зависимость  $R_{DS(on)}$  от напряжения трансформируется в линейную (см. Рис. 2).

Теперь становится возможным значительно расширить границы использования технологии поверхностного монтажа.

Стойкость транзисторов CoolMOST™ к лавинному пробое позволяет увеличить диапазон допустимых мощностей при использовании ограничительного стабилитрона (Zener).

Рис. 2. Зависимость открытого канала  $R_{DS(on)}$  от напряжения



## ТИПОНОМИНАЛЫ

Типономинал	Корпус	Максимальный ток, А	Выходная мощность, Вт при входном напряжении 85...270 В (AC)
TDA16831	DIP-8	0.6	10
TDA16832	DIP-8	1.2	20
TDA16833	DIP-8	2.2	30
TDA16834	SOP-14	0.6	10
TDA16835	SOP-14	1.2	20
TDA16836	TO-220	4.4	80
TDA16837	TO-220	7.5	150
TDA16838	TO-220	10	200

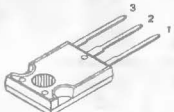
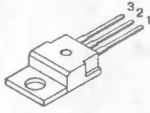
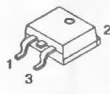
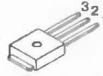


## ОСОБЕННОСТИ

- ◆ Новейшая высоковольтная технология
- ◆ Сверхнизкий заряд затвора
- ◆ Стойкость к лавинному пробое
- ◆ Высокое значение скорости нарастания тока  $di/dt$
- ◆ Оптимизированная ёмкость
- ◆ Высокая помехоустойчивость
- ◆ Защитный диод между выводами сток и исток

## ПРИМЕНЕНИЕ

- ◆ Балласт для ламп дневного света
- ◆ Зарядные устройства
- ◆ Импульсные источники питания малой и средней мощности
- ◆ Импульсные источники питания большой мощности
- ◆ Резонансные мостовые преобразователи
- ◆ Корректоры коэффициента мощности
- ◆ Преобразователи напряжения для сварочных аппаратов

## ЭЛЕКТРИЧЕСКИЕ ХАРАКТЕРИСТИКИ

$V_{DS}$ [В]	Прибор	$R_{DS(on)}$ [Ом]	$V_{GS(th)}$ [В]	$I_D$ [А]	Корпус
600	SPW47N60S5	0.07	3.5...5.5	47	TO-247 
	SPW20N60S5	0.19	3.5...5.5	20	
	SPW11N60S5	0.38	3.5...5.5	11	
600	SPP20N60S5	0.19	3.5...5.5	20	TO-220 
	SPP11N60S5	0.38	3.5...5.5	11	
	SPP07N60S5	0.60	3.5...5.5	7.3	
	SPP04N60S5	0.95	3.5...5.5	4.5	
	SPP03N60S5	1.40	3.5...5.5	3.2	
	SPP02N60S5	3.00	3.5...5.5	1.8	
600	SPB20N60S5	0.19	3.5...5.5	20	TO-263 (D2Pak/TO-220SMD) 
	SPB11N60S5	0.38	3.5...5.5	11	
	SPB07N60S5	0.60	3.5...5.5	7.3	
	SPB04N60S5	0.95	3.5...5.5	4.5	
	SPB03N60S5	1.40	3.5...5.5	3.2	
	SPB02N60S5	3.00	3.5...5.5	1.8	
600	SPU07N60S5	0.60	3.5...5.5	7.3	TO-251 (I-Pak) 
	SPU04N60S5	0.95	3.5...5.5	4.5	
	SPU03N60S5	1.40	3.5...5.5	3.2	
	SPU02N60S5	3.00	3.5...5.5	1.8	
	SPU01N60S5	6.50	2.0...4.0	0.8	
600	SPD07N60S5	0.60	3.5...5.5	7.3	TO-252 (D-Pak) 
	SPD04N60S5	0.95	3.5...5.5	4.5	
	SPD03N60S5	1.40	3.5...5.5	3.2	
	SPD02N60S5	3.00	3.5...5.5	1.8	
	SPD01N60S5	6.50	2.0...4.0	0.8	
600	SPN04N60S5	0.95	3.5...5.5	4.5	SOT223 
	SPN03N60S5	1.40	3.5...5.5	3.2	
	SPN02N60S5	3.00	3.5...5.5	1.8	
	SPN01N60S5	6.50	2.0...4.0	0.8	

## ОСОБЕННОСТИ

- ♦ Новейшая высоковольтная технология
- ♦ Частоты переключения до 300 кГц
- ♦ Модификации:  
Fast IGBT (без защитного диода)



- ♦ Удобство параллельного включения

DuoPack (с защитным диодом)



- ♦ Малый и не зависящий от температуры "хвостовой" ток
- ♦ Малые прямые потери и потери переключения

## ПРИМЕНЕНИЕ

- ♦ Мощные драйверы (выходные усилители-формирователи)
- ♦ Корректоры коэффициента мощности
- ♦ Резонансные преобразователи напряжения с переключением при нулевом токе, нулевом напряжении, фазовым сдвигом
- ♦ Импульсные источники питания
- ♦ Сварочные аппараты

Серия	Постоянный ток при $T_c = 100^\circ\text{C}$ [A]	Постоянный ток при $T_c = 25^\circ\text{C}$ [A]	TO-251 (I-Pak)	TO-252 (D-Pak)	TO-263 (D2-Pak)	TO-220	TO-247
600 В							
Fast IGBT	2	6	SGU02N60	SGD02N60	SGB02N60	SGP02N60	
	4	9	SGU04N60	SGD04N60	SGB04N60	SGP04N60	
	6	12	SGU06N60	SGD06N60	SGB06N60	SGP06N60	
	10	21			SGB10N60	SGP10N60	SGW10N60
	15	31			SGB15N60	SGP15N60	SGW15N60
	20	40			SGB20N60	SGP20N60	SGW20N60
DuoPack	30	41			SGB30N60	SGP30N60	SGW30N60
	2	6			SKB02N60	SKP02N60	
	4	9			SKB04N60	SKP04N60	
	6	12			SKB06N60	SKP06N60	
	10	21			SKB10N60	SKP10N60	SKW10N60
	15	31			SKB15N60	SKP15N60	SKW15N60
1200 В							
Fast IGBT	2	7			SGD02N120 SGB02N120 SGP02N120		
	7	18				SGB07N120 SGP07N120	
	15	33				SGB15N120 SGP15N120 SGW15N120	
	25	50					SGW25N120
DuoPack	2	7				SKB02N120 SKP02N120	
	7	18					SKW07N120
	15	33					SKW15N120
	25	50					SKW25N120





**Микросхемы для импульсных источников питания фирмы Intersil Corporation :**

АС/DC-преобразователи .....	356
Безындуктивные DC/DC-преобразователи .....	356
Индуктивные импульсные преобразователи напряжения .....	356
<b>HIP5020</b> Контроллер понижающего преобразователя с синхронным выпрямлением. ....	359
<b>HIP6015</b> Понижающий шим-контроллер с контролем выходного напряжения .....	361

**ЗА ДОПОЛНИТЕЛЬНОЙ ИНФОРМАЦИЕЙ И ПО ВОПРОСАМ ПОСТАВКИ КОМПОНЕНТОВ ОБРАЩАТЬСЯ:**

**Компания "МЭЙ"**

**тел. (095)913-5161, факс. (095)913-5160, <http://www.may.ru>**

**E-mail: [info@may.ru](mailto:info@may.ru)**

## МИКРОСХЕМЫ ДЛЯ ИМПУЛЬСНЫХ ИСТОЧНИКОВ ПИТАНИЯ ФИРМЫ INTERSIL CORPORATION

### АС/DC-ПРЕОБРАЗОВАТЕЛИ

Прибор	Входное напряжение, В	Выходное напряжение, В	Выход	Выходной ток, мА	Тип преобразователя	Особенности	Корпус
CA3059	24, 120, 208/230, 277	6...7	Внешний тиристор	84...240	Схема потенциального управления тиристором	Работа от сетевого напряжения, дифференциальный вход, малый синфазный входной ток 1 мкА, защита от короткого замыкания, работа на постоянном напряжении, максимальное постоянное напряжение питания 14 В	DIP-14
CA3079	24, 120, 208/230, 277	6...7	Внешний тиристор	84...240	Схема потенциального управления тиристором	Работа от сетевого напряжения, дифференциальный вход, малый синфазный входной ток 2 мкА, защита от короткого замыкания, работа на постоянном напряжении, максимальное постоянное напряжение питания 10 В	DIP-14

### БЕЗЫНДУКТИВНЫЕ DC/DC-ПРЕОБРАЗОВАТЕЛИ

Прибор	Входное напряжение, В	Выходное напряжение, В	Ток потребления, мА	Частота, кГц	Особенности	Корпус
ICL7660/A	1.5...10/1.5...12	-1.5...-10/ -1.5...-12	0.5/0.165	10	КПД преобразования мощности 96%, КПД преобразования напряжения в режиме холостого хода 99.9%, малое количество навесных элементов	DIP-8, SOP-8, TO-5-8
ICL7660S	1.5...12	-1.5...-12	0.16	10	Высокий КПД преобразования мощности 96%, не требуется внешний диод, КПД преобразования напряжения в режиме холостого хода 99%, малое количество навесных элементов	DIP-8, SOP-8, TO-5-8
ICL7662	4.5...20	-4.5...-20	0.6	10	Высокий КПД преобразования мощности 96%, не требуется внешний диод, КПД преобразования напряжения в режиме холостого хода 99.9%, малое количество навесных элементов	DIP-8, SOP-14, TO-5-8

### ИНДУКТИВНЫЕ ИМПУЛЬСНЫЕ ПРЕОБРАЗОВАТЕЛИ НАПЯЖЕНИЯ

#### Понижающие DC/DC-преобразователи с синхронным выпрямлением

Прибор	Выход	Выходной ток, А	Применение	Управление	Частота, кГц	Особенности	Корпус
HIP5010/11	Синхронный выпрямитель	17	Конвертер с синхронным выпрямлением	ШИМ-вход	1000	Повышенная эффективность преобразования, малые значения рабочего тока	SOP-16, SIP-7
HIP5015/16	Синхронный выпрямитель	15	Конвертер с синхронным выпрямлением	ШИМ-вход	1000	Повышенный КПД преобразования, малые значения рабочего тока	SIP-7

### С электрической развязкой

Прибор	Входное напряжение, В	Выходное напряжение, В	Выходной ток, А	Модулятор	Частота, кГц	Применение (преобразователь)	Режим управления	Особенности	Корпус
CA1523	11...15	—	-200...+300	ЧШИМ	200	Сетевой, пониж., повыш.	Напряжение	Дистанционное включение/выключение, мягкий запуск, защита от перегрузки по току	DIP-14
CA1524/2524/3524	8...40	—	100	ШИМ	100	ШИМ-модулятор, одно-/двухтактный	Напряжение	Отдельные выводы для одно- и двухтактной работы, встроенный источник опорного напряжения, дежурный режим	DIP-16

Без электрической развязки

Прибор	Входное напряжение, В	Выходное напряжение, В	Выходной ток, А	Модулятор	Частота, кГц	Применение (преобразователь)	Режим управления	Особенности	Корпус
<b>ВНУТРЕННИЙ КЛЮЧ</b>									
HIP5020	4.5...18	—	3.5	ШИМ	100...1000	Конвертер с синхронным выпрямлением	Напряжение, ток	Высокий КПД 95%, автоматический выбор режима управления, защита от перегрузки по току	SOP-28
HIP5060	27...45	—	10	ШИМ	1000	Повыш.	Ток	Встроенный ДМОП-транзистор на 60 В/10 А, защита от перегрузок по температуре, току и напряжению, выход синхронизации, встроенный ИОН на 5.1 В	Кристалл
HIP5061	10.8...60	—	5 (DC)	ШИМ	250	Повыш., пониж., прямоходовой, обратногоходовой	Ток	Встроенный ДМОП транзистор на 60 В/7 А, защита от перегрузок по температуре и току, встроенный ИОН на 5.1 В, компенсация наклона "пилы"	SIP-7
HIP5062	26...42	—	5	ШИМ	1000	Повыш.	Ток	2 схемы управления на одном кристалле, два встроенных ДМОП-транзистора на 60 В/5 А, защита от перегрузок по температуре, току и напряжению, выход синхронизации, встроенный ИОН на 5.1 В	Кристалл
HIP5063	10...45	—	10	ШИМ	1000	Повыш.	Ток	Встроенный ДМОП-транзистор на 60 В/10 А, защита от перегрева, высокое быстродействие	Кристалл
<b>ВНЕШНИЙ КЛЮЧ</b>									
HIP6002	5, 12	2...3.5	0.3	ШИМ	200	Пониж., синхронный выпрямитель	Напряжение	Высокое быстродействие, нестабильность выходного напряжения $\pm 1\%$ (max), 4 входа управления выходным напряжением, защита от перегрузки по напряжению и току	SOP-20
HIP6003	5, 12	2...3.5	0.5	ШИМ	200	Пониж.	Напряжение	Высокое быстродействие, нестабильность выходного напряжения $\pm 1\%$ (max), 4 входа управления выходным напряжением, защита от перегрузки по напряжению и току	SOP-16
HIP6004	5, 12	1.3...3.5	0.5	ШИМ	200	Пониж., синхронный выпрямитель	Напряжение	Высокое быстродействие, нестабильность выходного напряжения $\pm 1\%$ (max), 5 TTL-входов управления выходным напряжением, защита от перегрузки по напряжению и току	SOP-20
HIP6004A	5, 12	1.8...3.5	0.5	ШИМ	200	Пониж., синхронный выпрямитель	Напряжение	Высокое быстродействие, нестабильность выходного напряжения $\pm 1\%$ (max), 5 TTL-входов управления выходным напряжением, защита от перегрузки по напряжению и току	SOP-20
HIP6004B	5, 12	1.3...3.5	0.5	ШИМ	200	Пониж., синхронный выпрямитель	Напряжение	Высокое быстродействие, нестабильность выходного напряжения $\pm 1\%$ (max), 5 TTL-входов управления выходным напряжением, защита от перегрузки по напряжению и току	SOP-20, TSSOP-20
HIP6005	5, 12	1.3...3.5	0.5	ШИМ	200	Пониж.	Напряжение	Высокое быстродействие, нестабильность выходного напряжения $\pm 1\%$ (max), 5 TTL-входов управления выходным напряжением, защита от перегрузки по напряжению и току	SOP-20
HIP6005A	5, 12	1.8...3.5	0.5	ШИМ	200	Пониж.	Напряжение	Высокое быстродействие, нестабильность выходного напряжения $\pm 1\%$ (max), 5 TTL-входов управления выходным напряжением, защита от перегрузки по напряжению и току	SOP-20
HIP6005B	5, 12	1.3...3.5	0.5	ШИМ	200	Пониж.	Напряжение	Высокое быстродействие, нестабильность выходного напряжения $\pm 1\%$ (max), 5 TTL-входов управления выходным напряжением, защита от перегрузки по напряжению и току	SOP-20, TSSOP-20
HIP6006	5, 12	1.27 (min)	0.5	ШИМ	200	Пониж., синхронный выпрямитель	Напряжение	Высокое быстродействие, нестабильность выходного напряжения $\pm 1\%$ (max), защита от перегрузки по току	SOP-14
HIP6007	5, 12	1.27 (min)	0.5	ШИМ	200	Пониж.	Напряжение	Высокое быстродействие, нестабильность выходного напряжения $\pm 1\%$ (max), защита от перегрузки по току	SOP-14
HIP6008	5, 12	2.0...3.5	0.5	ШИМ	200	Пониж.	Напряжение	Высокое быстродействие, нестабильность выходного напряжения $\pm 1.5\%$ (max), защита от перегрузки по напряжению и току, 4 входа управления выходным напряжением	SOP-16
HIP6011	5, 12	1.27 (min)	0.5	ШИМ	200	Пониж.	Напряжение	Высокое быстродействие, нестабильность выходного напряжения $\pm 1.5\%$ (max), защита от перегрузки по напряжению и току	SOP-14
HIP6012	5, 12	1.27 (min)	0.5	ШИМ	200	Пониж., синхронный выпрямитель	Напряжение	Высокое быстродействие, нестабильность выходного напряжения $\pm 1.5\%$ (max), защита от перегрузки по току	SOP-14
HIP6013	5, 12	1.27 (min)	0.5	ШИМ	200	Пониж.	Напряжение	Высокое быстродействие, нестабильность выходного напряжения $\pm 1.5\%$ (max), защита от перегрузки по току	SOP-14
HIP6014	5, 12	1.8...3.5	0.5	ШИМ	200	Пониж., синхронный выпрямитель	Напряжение	Высокое быстродействие, нестабильность выходного напряжения $\pm 1.0\%$ (max), защита от перегрузки по напряжению и току, 5 TTL-входов управления выходным напряжением	SOP-20
HIP6015	5, 12	1.8...3.5	0.5	ШИМ	200	Пониж.	Напряжение	Высокое быстродействие, нестабильность выходного напряжения $\pm 1.0\%$ (max), защита от перегрузки по напряжению и току, 5 TTL-входов управления выходным напряжением	SOP-20
HIP6016	3.3, 5, 12	1.3...3.5	1	ШИМ	200	ШИМ контроллер, сдвоенный линейный стабилизатор	Напряжение	3 выходных напряжения, высокое быстродействие, нестабильность выходного напряжения $\pm 1.0\%$ (max) для ШИМ выхода и $2.5\%$ для других выходов, защита от перегрузки по напряжению и току, 5 TTL-входов управления выходным напряжением	SOP-28

## Без электрической развязки (продолжение)

Прибор	Входное напряжение, В	Выходное напряжение, В	Выходной ток, А	Модулятор	Частота, кГц	Применение (преобразователь)	Режим управления	Особенности	Корпус
ВНЕШНИЙ КЛЮЧ									
НІР6017	3,3, 5, 12	1.8...3.5	1	ШИМ	200	ШИМ контроллер, сдвоенный линейный стабилизатор	Напряжение	3 выходных напряжения, высокое быстродействие, нестабильность выходного напряжения $\pm 1.0\%$ (max) для ШИМ выхода и 2.5% для других выходов, защита от перегрузки по напряжению и току, 5 ТТЛ-входов управления выходным напряжением	SOP-28
НІР6018	3,3, 5, 12	1.8...3.5	1	ШИМ	200	ШИМ контроллер, сдвоенный линейный стабилизатор	Напряжение	3 выходных напряжения, высокое быстродействие, нестабильность выходного напряжения не более $\pm 1.0\%$ для ШИМ выхода и 2.5% для других выходов, защита от перегрузки по напряжению и току, 5 ТТЛ-входов управления выходным напряжением	SOP-24
НІР6018В	3,3, 5, 12	1.3...3.5	1	ШИМ	200	ШИМ контроллер, сдвоенный линейный стабилизатор	Напряжение	3 выходных напряжения, высокое быстродействие, нестабильность выходного напряжения не более $\pm 1.0\%$ для ШИМ выхода и 2.5% для других выходов, защита от перегрузки по напряжению и току, 5 ТТЛ-входов управления выходным напряжением	SOP-24
НІР6019	5, 12	1.8...3.5	1	ШИМ	200	Сдвоенный ШИМ контроллер, сдвоенный линейный стабилизатор	Напряжение	4 выходных напряжения, высокое быстродействие, нестабильность выходного напряжения не более $\pm 1.0\%$ для ШИМ выхода и 2.5% для других выходов, защита от перегрузки по напряжению и току, 5 ТТЛ-входов управления выходным напряжением	SOP-28
НІР6019В	5, 12	1.3...3.5	1	ШИМ	200	Сдвоенный ШИМ контроллер, сдвоенный линейный стабилизатор	Напряжение	4 выходных напряжения, высокое быстродействие, нестабильность выходного напряжения не более $\pm 1.0\%$ для ШИМ выхода и 2.5% для других выходов, защита от перегрузки по напряжению и току, 5 ТТЛ-входов управления выходным напряжением	SCP-28
НІР6020	5, 12	1.3...3.5	1	ШИМ	200	Сдвоенный ШИМ контроллер, сдвоенный линейный стабилизатор	Напряжение	4 выходных напряжения, высокое быстродействие, нестабильность выходного напряжения не более $\pm 1.0\%$ для ШИМ выхода, 3% AGP и 2.5% для других выходов, защита от перегрузки по напряжению и току, 5 ТТЛ-входов управления выходным напряжением	SOP-28
НІР6021	5, 12	1.3...3.5	1	ШИМ	200	ШИМ контроллер, три линейных стабилизатора	Напряжение	4 выходных напряжения, высокое быстродействие, нестабильность выходного напряжения не более $\pm 1.0\%$ для ШИМ выхода и 3% для других выходов, защита от перегрузки по напряжению и току, 5 ТТЛ-входов управления выходным напряжением	SOP-28
НІР6028	3,3, 5, 12	1.3...3.5	1	ШИМ	200	ШИМ контроллер, сдвоенный линейный стабилизатор	Напряжение	3 выходных напряжения, встроенная поддержка ACPI-блокировки, высокое быстродействие, нестабильность выходного напряжения не более $\pm 1.0\%$ для ШИМ и 2.5% для других выходов	SOP-24

## КОНТРОЛЛЕР ПОНИЖАЮЩЕГО ПРЕОБРАЗОВАТЕЛЯ С СИНХРОННЫМ ВЫПРЯМЛЕНИЕМ

### ОСОБЕННОСТИ

- Встроенные л-канальные МОП-транзисторы верхнего ключа и синхронного выпрямителя, каждый ..... 75 Ом
- Широкий диапазон входного напряжения ... 4.5...18 В (DC)/5...12 NiCd батарей
- Широкий диапазон нагрузки ..... до 3.5 А (DC)
- Автоматическое переключение режимов работы:
  - управление по току ..... при высоких токах нагрузки
  - управление по напряжению ..... при слаботочной нагрузке
- Простота и гибкость использования:
  - примеры готовых применений
  - оптимизация пользователем небольшим количеством внешних элементов
  - наличие программного обеспечения для расчётов и конструирования
- Встроенный датчик тока (с малыми потерями)
- Защита от перегрузки по току
- Адаптируемое мёртвое время
- Частота переключения ШИМ ..... 100...1000 кГц
- Корпус типа SO-20 с улучшенным рассеиванием тепла

### ПРИМЕНЕНИЕ

- Компьютеры класса "notebook"
- Портативные устройства телекоммуникации
- Портативное оборудование

### ЦОКОЛЕВКА КОРПУСОВ

Пластмассовый корпус типа SO-28

Входное напряжение	VIN	1	28	PHASE	Ключевой выход
		2	27	PHASE	Ключевой выход
		3	26	SD	Дежурный режим
Ключевой выход	PHASE	4	25	SOFT	Мягкий запуск
	PHASE	5	24	OVL	Перегрузка по току
		6	23		
Силовая земля (подложка)	PGND (WEB)	7	22	PGND (WEB)	Силовая земля (подложка)
		8	21		
		9	20		
Сигнальная земля	GND	10	19	CP-	Ёмкость накачки заряда
Обратная связь по напряжению	FB	11	18	CP+	Ёмкость накачки заряда
Отфильтрованный вход	VINF	12	17	VCC	Напряжение смещения
Резистор установки граничного тока	HMI	13	16	BOOT	Напряжение питания выходного каскада
Установка наклона	SLOPE	14	15	CT	Установка частоты

### ОБЩЕЕ ОПИСАНИЕ

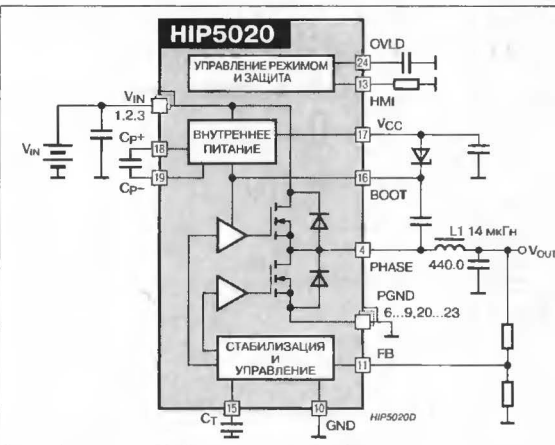
Микросхема HIP5020 представляет собой высокоэффективный контроллер понижающего преобразователя с синхронным выпрямлением и встроенными мощными МОП-транзисторами. Внутренний датчик тока позволяет обойтись без внешнего резистора и, тем самым, снизить потребляемую мощность. Контроллер реализует два метода стабилизации: управление по току для достижения превосходной нагрузочной характеристики при высоких уровнях тока и управление по напряжению для эффективной работы при низких токах.

Контроллер HIP5020 обеспечивает высокую степень гибкости. Небольшое количество внешних компонентов отвечает за установку частоты переключений, время мягкого запуска и граничное значение тока переключения между различными режимами стабилизации. Эти регулировки позволяют разработчику лучше оптимизировать соотношение стоимости, эффективности и размера разработки.

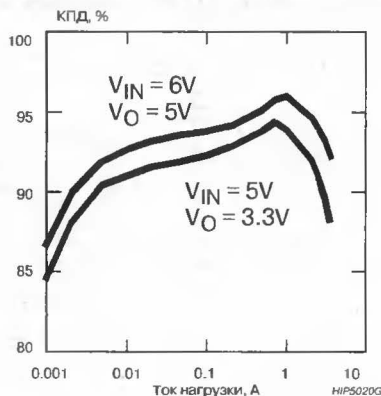
### ТИПОНОМИНАЛЫ

ТИПОНОМИНАЛ	КОРПУС	ТЕМПЕРАТУРА, °C
HIP5020DB	SO-28	0...+70

### УПРОЩЕННАЯ СТРУКТУРНАЯ СХЕМА



### Зависимость эффективности от тока нагрузки



Functional block diagram of the HIP5020 integrated circuit. The diagram shows various internal blocks including a charge pump (СТАБИЛИЗАТОР С НАКАЧКОЙ ЗАРЯДА), oscillator (ГЕНЕРАТОР), slope compensation (ФОРМИРОВ. НАКЛОНА), logic (ЛОГИКА УПРАВЛЕНИЯ РЕЖИМОМ), soft start (МЯГКИЙ ЗАПУСК), current limit (ИОН 1.26 В), error amplifier (УСИЛИТЕЛЬ ОШИБКИ), and PWM control (УПРАВЛЕНИЕ ЗАТВОРОМ ВЕРХНЕГО ТРАНЗИСТОРА). It also includes a current sense (ДАТЧИК ТОКА), phase (ФАЗА), and bottom transistor control (УПРАВЛЕНИЕ ЗАТВОРОМ НИЖНЕГО ТРАНЗИСТОРА). The diagram is labeled with pins 1 through 28 and various power supply and signal pins like Vcc, Vin, Vinf, and PGND.



### ПОНИЖАЮЩИЙ ШИМ-КОНТРОЛЛЕР С КОНТРОЛЕМ ВЫХОДНОГО НАПЯЖЕНИЯ

#### ОСОБЕННОСТИ

- Управляет *n*-канальным МОП-транзистором
- Входное напряжение ..... 5...12 В
- ШИМ с управлением по напряжению
- Высокое быстродействие:  
широкополосный усилитель ошибки  
рабочий цикл ..... 0...100%
- Отличная стабильность выходного напряжения, во всём диапазоне входного напряжения и температуры ..... ±1%
- 5-разрядный TTL-совместимый ЦАП для управления выходным напряжением:  
широкий диапазон ..... 1.8...3.5 В (DC)  
шаг изменения от 2.1 до 3.5 В ..... 0.1 В  
шаг изменения от 1.8 до 2.05 В ..... 0.05 В
- Контроль выходного напряжения
- Схема контроля перенапряжения и перегрузки по току не требует дополнительных токочувствительных элементов и использует сопротивление канала открытого МОП-транзистора
- Небольшие размеры преобразователя:  
постоянная частота ..... 200 кГц  
несинхронизируемый генератор с возможностью регулировки  
частоты в диапазоне ..... 50...1000 кГц

#### ПРИМЕНЕНИЕ

- Источники питания для процессоров Pentium™, Pentium™ Pro, Pentium II™, PowerPC™, K6™, 6x86™, Alpha™
- Мощные DC/DC-конвертеры 5 В в 3.к В
- Низкоомные распределённые источники питания

#### ОБЩЕЕ ОПИСАНИЕ

Прибор HIP6015 обеспечивает все функции управления, мониторинга и защиты, необходимые в понижающем DC/DC-преобразователе, оптимизированном для питания высокопроизводительных микропроцессоров. Он предназначен для управления *n*-канальным МОП-транзистором.

Выходное напряжение конвертера легко и точно регулируется. Схема включает 5-разрядный TTL-совместимый ЦАП, изменяющий выходное напряжение от 2.0 до 3.5 В (DC) с шагом 0.1 В, а от 1.8 до 2.05 В (DC) – с шагом 0.05 В. Прецизионный ИОН и стабилизатор с управлением по напряжению поддерживают выбранное напряжение с точностью ±1% во всём диапазоне входного напряжения и температуры.

В микросхеме используется простое, с одной петлёй ОС, быстродействующее управление по напряжению. Оно включает несинхронизируемый генератор пилообразного напряжения на 200 кГц с возможностью регулировки от 50 кГц до более чем 1 МГц. Усилитель ошибки характеризуется высоким значением произведения коэффициента усиления на полосу пропускания – 15 МГц и скоростью нарастания 6 В/мкс, что обеспечивает высокое быстродействие конвертера. Рабочий цикл ШИМ может изменяться от 0 до 100%.

Микросхема HIP6015 отслеживает напряжение на выходе посредством эталонного компаратора, уровни которого определяются ЦАП, и выдаёт сигнал PG (Power Good) при условии соответствия выходного напряжения заданной величине с точностью ±10%. Защита от перегрузки по току осуществляется подавлением ШИМ. Встроенная защита от перенапряжения (OVP) управляет внешним тиристором, шунтирующим входное питание. HIP6015 для контроля тока использует сопротивление открытого канала  $r_{DS(on)}$  верхнего МОП-транзистора, что позволяет отказаться от токочувствительного резистора.

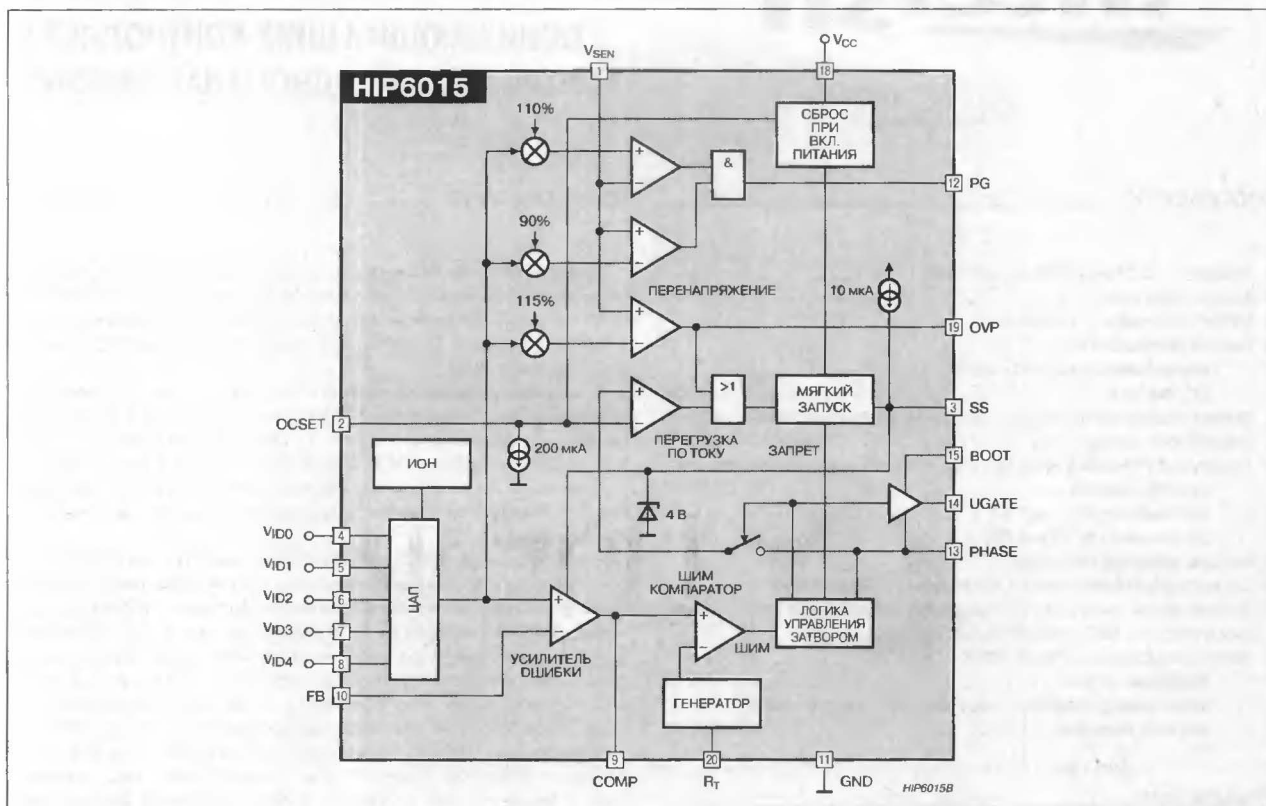
#### ТИПОНОМИНАЛЫ

ТИПОНОМИНАЛ	КОРПУС	ТЕМПЕРАТУРНЫЙ ДИАПАЗОН, °C
HIP6015CB	SO-20	0...+70

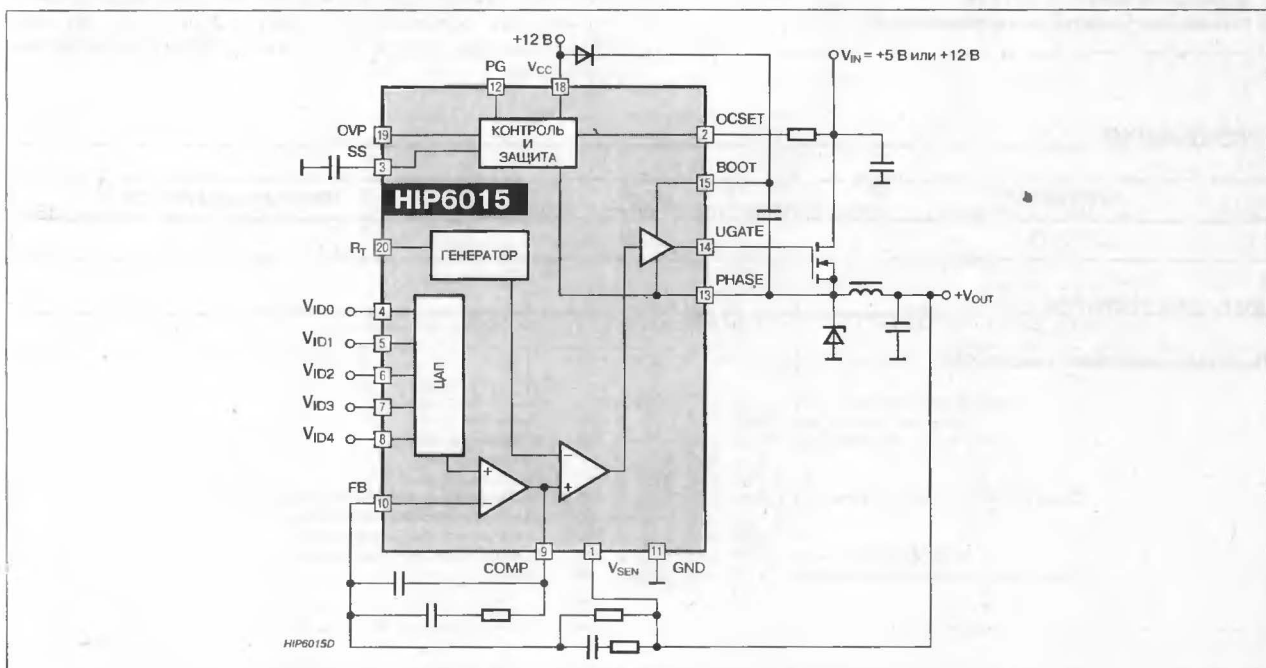
#### ЦОКОЛЕВКА КОРПУСОВ

Пластина корпус типа SO-20					
Вход компараторов PG и OVP	VSEN	1	20	R <sub>T</sub>	Подстройка генератора
Порог перегрузки по току	OCSET	2	19	OVP	Выход OVP
Мягкий запуск	SS	3	18	V <sub>CC</sub>	Напряжение питания
Входы установки выходного напряжения	V <sub>ID0</sub>	4	17	н.с.	Не используется
	V <sub>ID1</sub>	5	16	н.с.	Не используется
	V <sub>ID2</sub>	6	15	BOOT	Питание схемы управления МОП-транзистором
	V <sub>ID3</sub>	7	14	UGATE	Затвор верхнего МОП-транзистора
Выход усилителя ошибки	V <sub>ID4</sub>	8	13	PHASE	Исток верхнего МОП-транзистора
	COMP	9	12	PG	Состояние выходного напряжения
Инвертирующий вход усилителя ошибки	FB	10	11	GND	Земля

## СТРУКТУРНАЯ СХЕМА



## СХЕМА ВКЛЮЧЕНИЯ





# **Микросхемы для импульсных источников питания фирмы Linear Technology Corporation:**

Преобразователи для зарядных устройств .....	364
Конденсаторные преобразователи .....	364
Повышающие (boost) индуктивные преобразователи напряжения .....	364
Понижающие (buck) преобразователи напряжения .....	366
Двухканальные понижающие (buck) преобразователи напряжения .....	367
Микросхемы для сетевых источников питания .....	367
Контроллеры коэффициента мощности .....	367
Прочие .....	367
<b>LT1241</b> Быстродействующий ШИМ-контроллер с управлением по току .....	368
<b>LT1576</b> Понижающий преобразователь с выходным током до 1.5 А .....	370
<b>LT1777</b> Малошумящий импульсный преобразователь напряжения .....	371
<b>LTC1515</b> Повышающий/понижающий DC/DC-преобразователь с накачкой заряда .....	373
<b>LTC1929</b> Двухфазный синхронный понижающий преобразователь .....	374

## МИКРОСХЕМЫ ДЛЯ ИМПУЛЬСНЫХ ИСТОЧНИКОВ ПИТАНИЯ ФИРМЫ LINEAR TECHNOLOGY CORPORATION

### ПРЕОБРАЗОВАТЕЛИ ДЛЯ ЗАРЯДНЫХ УСТРОЙСТВ

Прибор	Входное напряжение, В	Выходное напряжение, В	Выходной ток, мА	Частота, кГц	Корпус
LT1510	2.7...30	2...20	1500	200	SO-8, SOP-16, DIP-8
LT1511	2.7...30	1...25	3000	200	SOP-24W
LT1512	2.7...30	2...23	1500	500	PDIP-8, SOP-8

### КОНДЕНСАТОРНЫЕ ПРЕОБРАЗОВАТЕЛИ

Тип	Входное напряжение, В	Выходное напряжение, В	Выходной ток, мА	Частота, кГц	Корпус
LT1026	4...10	$\pm 4 \dots \pm 18$	10	—	CDIP-8, PDIP-8, TO-5-8
LTC1044	1.5...9	$\pm V_{IN}$	$R_{OUT} = 100 \text{ Ом}$	1...5	DIP-8, TO-5-8
LTC1044A	1.5...12	$\pm V_{IN}$	$R_{OUT} = 100 \text{ Ом}$	1...5	DIP-8, SOP-8
LTC1044CS8	1.5...9	$\pm V_{IN}$	$R_{OUT} = 100 \text{ Ом}$	2...6	SOP-8
LTC1046	1.5...6	$\pm V_{IN}$	50	4...20	DIP-8, SOP-8
LT1054	3.5...15	$\pm V_{IN}$	100	25	DIP-8, SOP-8, TO-5-8
LTC1144	2...18	$\pm V_{IN}$	$R_{OUT} = 100 \text{ Ом}$	4...10	DIP-8, SOP-8
LTC1261	3...8	-1.25...-8	15	550	SOP-8, MSOP-8
LTC1262	4.75...5.5	12.6	30	300	SOP-8, DIP-8
LTC1263	4.75...5.5	12	60	300	SOP-8
LTC1429	3...8	-1.25...-8	8	100...2000	SOP-8, SOP-14
LTC1502	0.9...1.8	3.3	10	500	MSOP-8, SOP-8
LTC1503	2.4...6	1.8/2	100	600	MSOP-8, SOP-8
LTC1514	2...10	3.3/5	50	650	SOP-8
LTC1515	2...10	3/3.3/5	50	650	SOP-8
LTC1516	2...5	5	20/50	600	SOP-8
LTC1517-3.3	2...4.4	3.3	8/15	700	SOT-23-5
LTC1517-5	2.7...5	5	10/20	800	SOT-23-5
LTC1522	2.7...5	5	10/20	700	MSOP-8, SOP-8
LTC1550	4.5...6.5	-4.1, Per.	10	900	MSOP-8, SOP-8, SOP-16
LTC1550L/51L	2.7...5.5	-4.1/-2/-2.5	20	900	MSOP-8, SOP-8, SSOP-8
LTC1682/3.3/5	1.8...4.4	3.3/5/Per.	50	550	MSOP-8, SOP-8
LTC1754-5	2.7...5.5	5.0	25/50	700	SOT-23-6
LTC660	1.5...5.5	$\pm V_{IN}$	100	10...80	DIP-8, SOP-8

### ПОВЫШАЮЩИЕ (BOOST) ИНДУКТИВНЫЕ ПРЕОБРАЗОВАТЕЛИ НАПЯЖЕНИЯ

Прибор	Входное напряжение, В	Выходное напряжение, В	Максимальное напряжение на ключе, В	Опорное напряжение/напряжение ОС, В	Выходной ток, мА (Импульсный ток ключа, мА)	Частота, кГц	Корпус
LT1070	3...60	Per.	65	1.24	(5000)	40	TO-3-4, TO-220-5
LT1071	3...60	Per.	65	1.24	(2500)	40	TO-3-4, TO-220-5, DD-5
LT1072	3...60	Per.	65	1.24	(1250)	40	TO-3-4, TO-220-5, DIP-8, SOP-8, SOP-16
LT1073/5/12	1.0...12.0	Per./5/12	50	0.22/5/12	(1000)	20	DIP-8, SOP-8

ПОВЫШАЮЩИЕ (BOOST) ИНДУКТИВНЫЕ ПРЕОБРАЗОВАТЕЛИ НАПЯЖЕНИЯ (ПРОДОЛЖЕНИЕ)

Прибор	Входное напряжение, В	Выходное напряжение, В	Максимальное напряжение на ключе, В	Опорное напряжение/напряжение ОС, В	Выходной ток, мА (Импульсный ток ключа, мА)	Частота, кГц	Корпус
LT1082C	3...75	Per.	100	16	(1000)	60	TO-220-5, DIP-8, DD-5
LT1082HV	3...60	Per.	75	16	(1250)	40	TO-220-5, DIP-8, DD-6
LT1106CF	3.3...5	12	20	—	60	500	TSSDP-20
LT1107/-5/-12	2...30	Per./5/12	50	1.25/5/12	(1500)	63	DIP-8, SOP-8
LT1108/-5/-12	2...30	Per./5/12	50	1.25/5/12	(1000)	20	DIP-8, SDP-8
LT1109/-5/-12	3...20	Per./5/12	50	1.25/5/12	200/120	120	DIP-8, SOP-8, TO-92-3
LT1110/-5/-12	1.5...15	Per./5/12	50	0.22/5/12	(1000)	70	DIP-8, SOP-8
LT1111/-5/-12	2.0...12.6	Per./5/12	50	1.25/5/12	200	72	DIP-8, SOP-8
LT1170	3...(40...60)	Per.	60...75	1.25	5000	100	TO-3-4, DD-5, TO-220-5
LT1171	3...(40...60)	Per.	60...75	1.25	2500	100	TO-3-4, DD-5, TO-220-5
LT1172	3...(40...60)	Per.	60...75	1.25	1250	100	DIP-8, SOP-8, SOP-16, TO-3-4, DD-5, TO-220-5
LT1173/-5/-12	2...12.6	5/12/Per.	50	1.25/5/12	(1000)	23	DIP-8, SOP-8
LT1268/B	3.5...30	Per.	60	1.25	(7500)	150	DD-5, TO-220-5, SOP-20
LT1269	3.5...30	Per.	60	1.25	(4000)	60	TO-220-5
LT1270	3.5...29	Per.	60	1.25	(8000)	60	TO-220-5
LT1270A	3.5...30	Per.	60	1.25	(10000)	60	DD-5, TO-220-5,
LT1271	3.5...30	Per.	60	1.25	(4000)	100	DD-5, TO-220-5, SOP-20
LT1300	1.8...10	3.3/5	20	3.3/5	200	155	DIP-8, SOP-8
LT1301	2...10	5/12	20	1.25/5	120	155	PDIP-8, SOP-8
LT1302/-5	2...10	Per./5	25	1.25/5	600/120	220	PDIP-8, SOP-8
LT1303/-5	2...10	Per./5	25	1.25/5	200	155	SOP-8
LT1304/-3.3/-5	1.5...8	Per./3.3/5	25	1.25/3.3/5	200	< 300	SDP-14, SDP-8
LT1305	2...10	Per.	25	1.25	200	150	SOP-8
LT1306	1.8...10	Per.	—	1.25	(2000)	300	MSOP-8, SDP-8
LT1307/B	1...12	Per.	30	1.22	(600)	600	SOP-8
LT1308	1...10	Per.	30	1.22	(1000)	600	SOP-8
LT1309	3.3...5.5	12	20	1.24	60	500	MSOP-8, SOP-8
LT1316	1.5...12	Per.	30	1.17	(500)	100	MSDP-8, SOP-8
LT1317/B	1.5...12	Per.	30	1.24	(500)	600	DD-5, TO-220-5
LT1370	2.7...30	Per.	44	1.25	(6000)	500	DD-7, SOP-20, TO-220-7
LT1371	2.7...30	Per.	35	1.24	(3000)	500	PDIP-8, SOP-8
LT1372	2.7...30	Per.	35...42	1.25	(1500)	500	PDIP-8, SOP-8
LT1373	2.7...30	Per.	35...42	1.25	(1500)	250	PDIP-8, SOP-8
LT1377	2.7...30	Per.	35	1.25	(1500)	1000	SOP-8, DIP-8
LT1424-5	3...20	5	35	—	400 <sup>1)</sup>	285	PDIP-8, SO-8
LT1424-9	3...20	9	35	—	200 <sup>1)</sup>	285	PDIP-8, SO-8
LT1425	2.8...20	-9	35	—	200 <sup>1)</sup>	285	SOP-16
LT1500/01	1.8...15	Per.	30	1.26	(700)	500	SOP-8, SOP-14, SOP-16
LT1534	2.7...23	Per.	30	1.25	(2000)	20...250	SDP-16
LT1572	3...30	Per.	60	1.24	(1250)	100	SDP-16
LT1610	0.9...8	Per.	30	1.24	(600)	1700	MSDP-8, SOP-8
LT1611	0.9...10	Per., отриц.	36	-1.23	(800)	1400	SOT-23-5
LT1613	0.9...10	Per.	36	1.23	(800)	1400	SOT-23-5
LT1614	1.1...6	Per., отриц.	30	1.24	(500)	600	MSOP-8, SOP-8
LT1615	1.2...15	Per./3.3	36	1.23	(350)	—	SOT-23-5
LT1680	< 20	Per.	60	5	Вн.	200	PDIP-16, SOP-16
LT1949	3.3	Per.	30	1.24	800	600	MSOP-8

Примечание

1) Ток нагрузки, подключенной к вторичной обмотке трансформатора

# LINEAR TECHNOLOGY CORPORATION

## ПОНИЖАЮЩИЕ (ВУСК) ПРЕОБРАЗОВАТЕЛИ НАПРЯЖЕНИЯ

Прибор	Входное напряжение, В	Выходное напряжение, В	Опорное напряжение, В	Выходной ток, мА (Импульсный ток ключа, мА)	Частота, кГц	Корпус
LT1074	4...18.5	3.3/5/Per.	2.21	(1000)	—	TO-220-5, TO-220-7, TO-3-4
LTC1147/-3.3/-5	3.5...16	2/5	1.25	2000	400	SOP-8
LTC1148/-3.3/-5	3...20	3.3/5/Per.	1.25	Вн., синхр.	< 250	SOP-14, DIP-14
LTC1149/-3.3/-5	< 48	3.3/5/Per.	1.25	Вн., синхр.	< 250	SOP-14, DIP-14
LTC1159/-3.3/-5	4...40	3.3/5/Per.	1.25	Вн., синхр.	< 250	SSOP-20, SOP-16, PDIP-14
LTC1174/-3.3/-5	4...18	3.3/5/Per.	1.25	(1000)	200	DIP-8, SOP-8
LT1176/-5	10...36	5/Per.	2.21	(1250)	100	DIP-8, SOP-20
LT1241/2/3/4/5	7.5...25	Per.	2.5	(1000)	500	PDIP-8, CERDIP-8, SOP-8
LTC1265/-3.3/-5	4...12	3.3/5/Per.	1.25	(1200)	< 700	SOP-14
LTC1266/-3.3/-5	3.5...20	3.3/5/Per.	1.25/1.75	Вн., синхр.	400	SOP-14
LT1339	12...60	Per.	5	Вн., синхр.	150	PDIP-20, SOP-20W
LT1374	3...25	Per.	2.45	(4500)	500	DD-7, TO-220, SOP-8
LT1375/6	5.5...25	Per.	2.42	(1500)	500	DIP-8, SOP-8, SOP-16
LTC1430	< 13	Per.		Вн., синхр.	200	SOP-8, SOP-16
LTC1433	3...13	Per./3.3/5	1.9/3.3/5	(600)	700	SSOP-16
LTC1434	3...13	Per./3.3/5	1.9/3.3/5	(600)	700	SSOP-20
LTC1435A	3.5...36	Per./3.3/5	1.19	Вн., синхр.	125	SOP-16
LTC1435	3.5...36	Per./3.3/5	1.19	Вн., синхр.	125	SOP-16, SOP-20
LTC1436/7	3.5...36	Per./3.3/5	1.9/3.3/5	Вн., синхр.	125	SSOP-24, SSOP-28
LTC1474/5	4...20	3.3/5/Per.	1.23/3.3/5	750	500	MSOP-8, SOP-8
LTC1504/-3.3	4...10	3.3/Per.	1.26/3.3	(1000)	200	DD-7, SOP-8
LT1506/-3.3	5...25	3.3/Per.	3.3/2.42	4500	500	DD-7, SOP-8
LT1507/-3.3	4...16	3.3/Per.	3.3/2.42	(1500)	500	SOP-8, PDIP-8
LT1524/3524	8...40	Per.	5	Вн., 2-такт.	100	CDIP-16, PDIP-16
SG1524/3524	8...40	Per.	5	Вн., 2-такт.	100	CDIP-16, PDIP-16
LT1525A/3525A	8...35	Per.	5.1	Вн., 2-такт.	100...400	CDIP-16, PDIP-16
LT1527A/3527A	8...35	Per.	5.1	Вн., 2-такт.	100...400	CDIP-16, PDIP-16
LT1526	8...35	Per.	5	Вн., 2-такт.	400	CDIP-18, PDIP-18
LTC1530	4...10	Per.	3.3	Вн., синхр.	300	SOP-8
LTC1538/9	3.5...36	Per./3/5	1.9/3.3/5	Вн., синхр.	400	SSOP-28, SSOP-36
LTC1553	5...20	1.8...3.5	—	Вн., синхр.	300	SSOP-20
LTC1574/-3.3/-5	4...18	Per./3.3/5	1.25/3.3/5	(1000)	200	SOP-16
LT1576	5...25	Per.	1.21	(1500)	200	SOP-8
LTC1622	2...10	Per.	0.8	(1000)	550	MSOP-8, SOP-8
LTC1624	3.5...36	Per.	1.19	Вн.	200	SOP-8
LTC1625	3.7...36	Per./3.3/5	1.9/3.3/5	Вн., синхр.	150	SSOP-16
LTC1626	2.5...6.8	Per.	1.25	(1600)	—	SOP-14
LTC1627	2.65...8.5	Per.	0.8	500	300	SOP-8
LTC1629	4...36	1.6	—	Вн., синхр.	300	SSOP-28
LTC1649	2.7...5	1.26...2.5	—	Вн., синхр.	200	SOP-16
LT1676	7.4...60	Per.	1.24	(750)	100	SOP-8, PDIP-8
LTC1735	3.5...36	0.8...6	0.8	Вн., синхр.	300	SSOP-16
LTC1736	3.5...30	0.925...2	—	Вн., синхр.	300	SSOP-24
LTC1753	5...14	1.3...3.5	—	Вн.	300	SSOP-20SW
LTC1772	2.5...9.8	Per.	0.8	Вн., синхр.	550	SOT-23-6
LT1776	7.4...40	Per.	1.24	700	400	SOP-8, PDIP-8
LT1777	7...48	Per.	1.24	400	100	SOP-16
LT1846/1847	40	Per.	5	Вн., 2-такт.	43	DIP-16, SIP-16
LT3846/3847	40	Per.	5	Вн., 2-такт.	43	DIP-16, SIP-16
LTC1929	4...36	Per.	0.8	Вн., синхр.	300	SSOP-28



## ДВУХКАНАЛЬНЫЕ ПОНИЖАЮЩИЕ (BUCK) ПРЕОБРАЗОВАТЕЛИ НАПЯЖЕНИЯ

Прибор	Входное напряжение, В	Выходное напряжение, В	Опорное напряжение, В	Выходной ток, мА (Импульсный ток ключа, мА)	Частота, кГц	Корпус
LTC1142	3...18	(3.3 + 5)/Per.	1.25	Вн., синхр.	200	SSOP-28
LTC1143	4...16	(3.3 + 5)/Per.	1.25	Вн., синхр.	400	SOP-16
LTC1267	4...40	(3.3 + 5)/Per.	1.25	Вн., синхр.	< 400	SSOP-28
LTC1438/9	3.5...36	Per./(3.3 + 5)	1.9/3.3/5	Вн., синхр.	240	SSOP-28, SSOP-36
LTC1702	5	1.8, Per.: 0.9...2	—	Вн., синхр.	550	SSOP-24
LTC1703	< 7	Per.	—	Вн., синхр.	550	SSOP-28
LTC1628	3.5...36	3.3, 5	0.8	Вн., синхр.	300	SSOP-28

## МИКРОСХЕМЫ ДЛЯ СЕТЕВЫХ ИСТОЧНИКОВ ПИТАНИЯ

Прибор	Напряжение питания, В	Наличие ККМ	Плавный запуск	Выходной ток, мА	Частота, кГц	Корпус
LT1103	< 30	Нет	Нет	2000	200	DIP-8, DIP-14, SOP-20
LT1105	< 30	Нет	Нет	1000	200	TO-220-7
LT1246/47	7.5...25	Нет	Нет	1000	1000	POIP-8, SOP-8
LT1508	27	Да	Да	1500	300	POIP-20, SOP-20
LT1509	27	Да	Да	2000	300	PDIP-20, SOP-20

## КОНТРОЛЛЕРЫ КОЭФФИЦИЕНТА МОЩНОСТИ

Прибор	Напряжение питания, В	Плавный запуск	Выходной ток, мА	Частота, кГц	Корпус
LT1248	< 27	Нет	1000	100	PDIP-16, SOP-16
LT1249	< 27	Нет	1500	1500	PDIP-8, SOP-8

## ПРОЧИЕ

Прибор	Описание	Корпус
LT1431	Компаратор напряжения (совместно с LT1270)	DIP-8, SOP-8, TO-92-3
LT1432	Компаратор напряжения и тока (совместно с LT1170)	DIP-8, SOP-8
LT1533	Двухтактный стабилизатор с малым уровнем помех	SOP-16
LT1241	Высокоскоростной модулятор ШИМ	SOP-8, DIP-8

### Примечание:

Синхр. выпр. — с синхронным выпрямлением

Вн., синхр. — ключи на внешних транзисторах, синхронное выпрямление

Вн. — ключ на внешних транзисторах

## БЫСТРОДЕЙСТВУЮЩИЙ ШИМ-КОНТРОЛЛЕР С УПРАВЛЕНИЕМ ПО ТОКУ

## ОСОБЕННОСТИ

- ♦ Ток потребления в предпусковом режиме ..... менее 250 мА
- ♦ Задержка схемы контроля тока ..... 50 нс
- ♦ Рабочая частота ..... 500 кГц
- ♦ Режим управления по току
- ♦ Совместимость соколовки с UC1842
- ♦ Защита от пониженного напряжения питания
- ♦ Отсутствие сквозных токов в выходном каскаде
- ♦ Тотемный (квазикомплементарный) выходной каскад ..... до 1 А
- ♦ Маскирование переднего фронта импульса тока

## ПРИМЕНЕНИЕ

- ♦ Преобразователи сетевого напряжения
- ♦ DC/DC-преобразователи

## ОБЩЕЕ ОПИСАНИЕ

Серия микросхем LT1241 представляет собой улучшенную по быстродействию и потребляемому току версию UC1842. В состав ИС входят источник опорного напряжения с температурной компенсацией, усилитель ошибки с большим коэффициентом усиления, ком-

паратор тока и выходной каскад, отключаемый при превышении выходным напряжением значения 18 В. При чрезмерно пониженном напряжении питания происходит отключение источника опорного напряжения и выходного каскада.

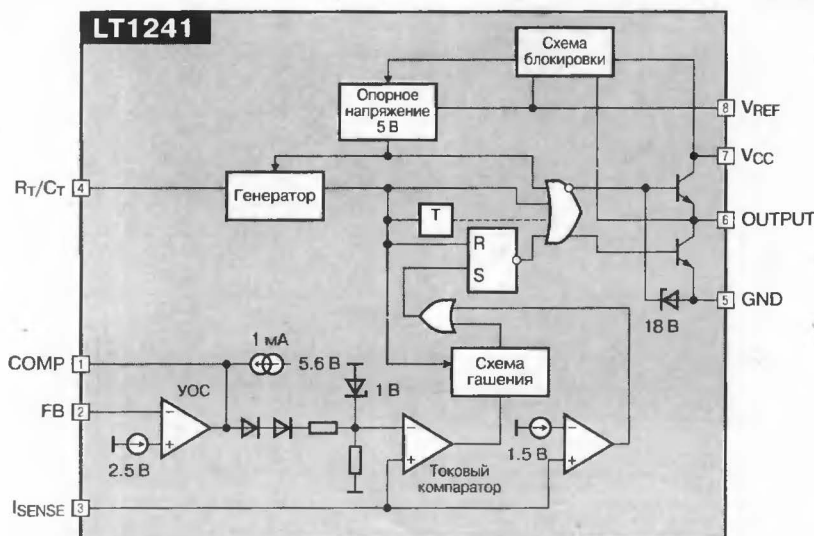
### ТИПОНОМИНАЛЫ

Типономинал	Корпус	Диапазон рабочих температур кристалла, °C
LT124xCJ8	CerDIP-8	
LT124xCN8	PDIP-8	0...+100
LT124xCS8	SOP-8	
LT124xIN8	PDIP-8	
LT124xIS8	SOP-8	-40...+125
LT124xMJ8	CerDIP-8	-55...+150

### ЭЛЕКТРИЧЕСКИЕ ХАРАКТЕРИСТИКИ

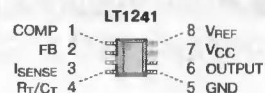
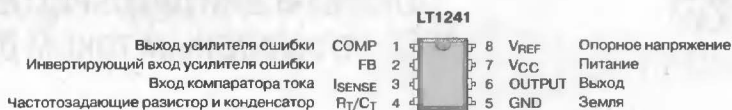
Прибор	Порог включения, В	Минимальное рабочее напряжение, В	Максимальный рабочий цикл, %	Замена
LT1241	9.6	7.6	50	Нет
LT1242	16	10	100	UC1842
LT1243	8.4	7.6	100	UC1843
LT1244	16	10	50	UC1844
LT1245	8.4	7.6	50	UC1845

### СТРУКТУРНАЯ СХЕМА

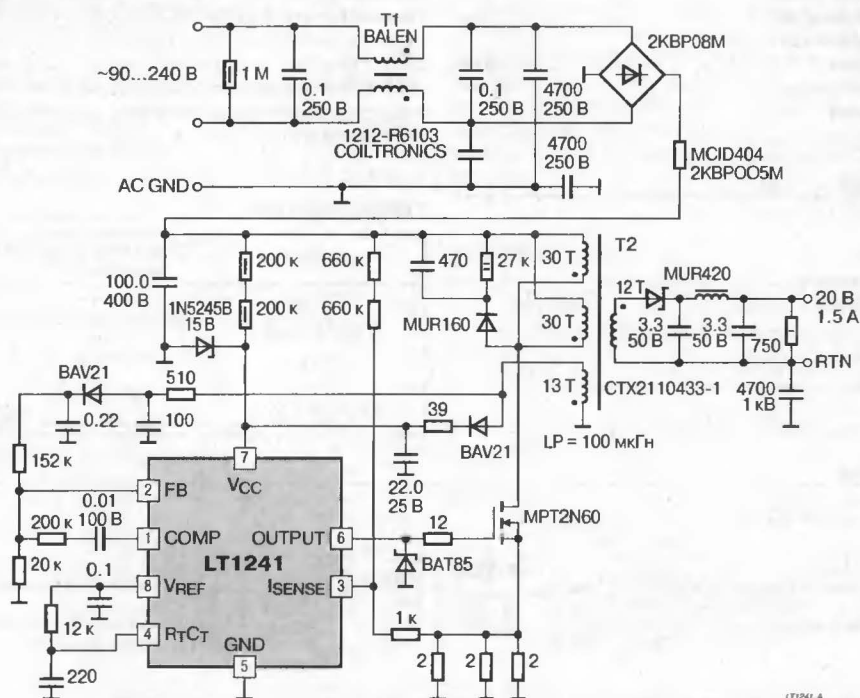


Пластмассовый корпус типа DIP-8  
Керамический корпус типа CerDIP-8

Пластмассовый корпус типа SOP-8



## ТИПОВАЯ СХЕМА ПРИМЕНЕНИЯ



## ПОНИЖАЮЩИЙ ПРЕОБРАЗОВАТЕЛЬ С ВЫХОДНЫМ ТОКОМ ДО 1.5 А

### ОСОБЕННОСТИ

- Постоянная рабочая частота ..... 200 кГц
- Возможность внешней синхронизации
- Корпус для поверхностного монтажа
- Индуктивность дросселя снижена до 15 мкГн
- Собственный ток потребления ..... 1.35 мА
- Ток потребления в дежурном режиме ..... 20 мкА
- Поцикловое ограничение тока

### ОБЛАСТИ ПРИМЕНЕНИЯ

- Портативные компьютеры
- Устройства с питанием от батарей
- Устройства для заряда батарей

### ОБЩЕЕ ОПИСАНИЕ

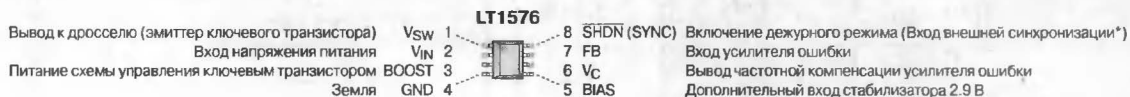
В состав микросхемы LT1576 входят генератор, узлы управления и выходной ключ на ток до 1.5 А. Режим управления — с дополнительной обратной связью по току. Высокий КПД достигается за счет использования для питания микросхемы выходного напряжения, а для питания выходного ключа — форсированного напряжения. Предусмотрены поцикловая защита от короткого замыкания и тепловая защита. Внешняя синхронизация позволяет увеличить рабочую частоту до 400 кГц.

### ТИПОНОМИНАЛЫ

Типономинал	Рабочая температура кристалла, °C	Примечание
LT1576CS8	0...+125	—
LT1576CS8-SYNC		Доступна внешняя синхронизация
LT1576IS8	-40...+125	—
LT1576IS8-SYNC		Доступна внешняя синхронизация

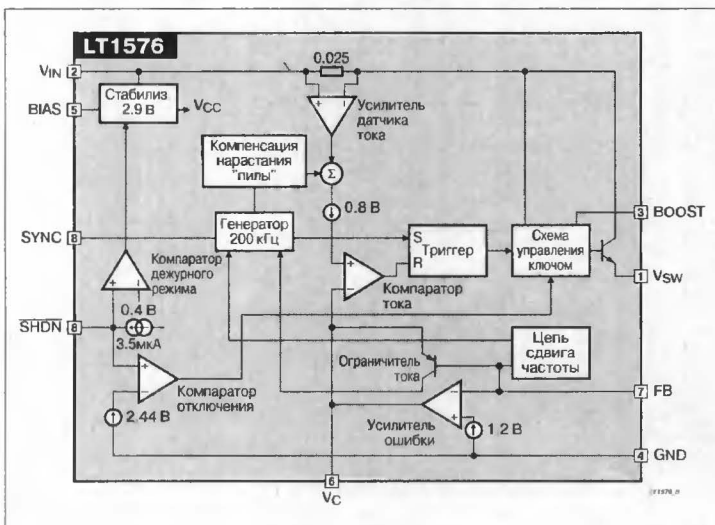
### ЦОКОЛЕВКА КОРПУСОВ

Пластмассовый корпус типа SOP-8

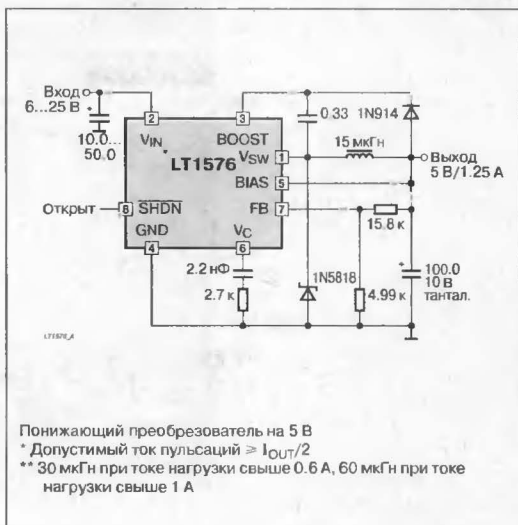


\*Вывод 8: SHDN — включение дежурного режима (для LT1576), SYNC — вход внешней синхронизации (для LT1576-SYNC)

### СТРУКТУРНАЯ СХЕМА



### ТИПОВАЯ СХЕМА ПРИМЕНЕНИЯ



## МАЛОШУМЯЩИЙ ИМПУЛЬСНЫЙ ПРЕОБРАЗОВАТЕЛЬ НАПЯЖЕНИЯ

### ОСОБЕННОСТИ

- Программируемое ограничение скорости нарастания тока  $di/dt$
- Внутреннее ограничение скорости нарастания напряжения  $dV/dt$
- Входное напряжение ..... до 48 В
- Амплитуда коммутируемого тока ..... до 700 мА
- Режим управления по току
- Фиксированная рабочая частота ..... 100 кГц
- Внешняя синхронизация на частоте до 250 кГц
- Ток потребления в дежурном режиме ..... 30 мкА

### ОБЛАСТИ ПРИМЕНЕНИЯ

- Источники питания сотовых телефонов, портативной связной аппаратуры и инструментов

### ОБЩЕЕ ОПИСАНИЕ

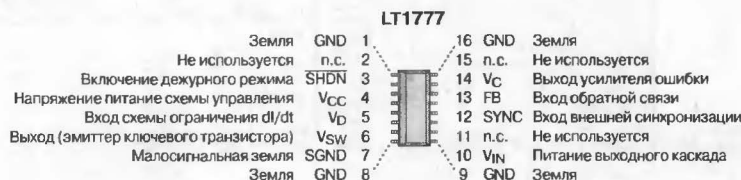
Микросхема LT1777 сконструирована для применения в устройствах с повышенной чувствительностью к шумам. В ее состав входит цепь ограничения скорости нарастания тока  $di/dt$ , программируемая посредством внешней индуктивности малого номинала. Кроме того, имеется внутренняя цепь, задающая значение скорости нарастания напряжения  $dV/dt$  и цепь защиты от короткого замыкания. В рабочем режиме питание на схему управления подается с выхода преобразователя.

### ТИПОНОМИНАЛЫ

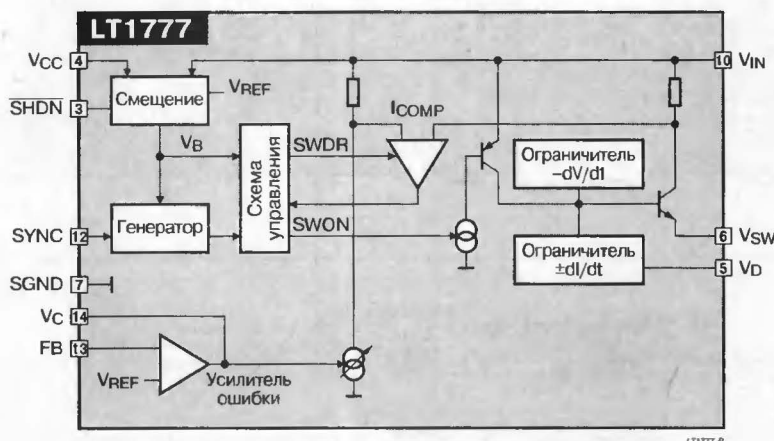
Типономинал	Корпус	Диапазон рабочих температур кристалла, °C
LT1777CS	SOP-16	0...+125
LT1777IS	SOP-16	-40...+125

### ЦОКОЛЕВКА КОРПУСОВ

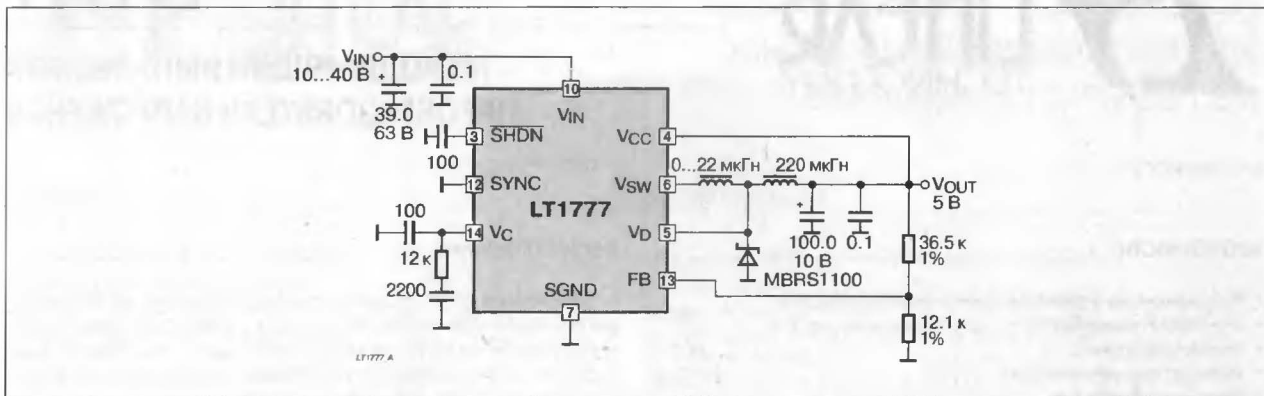
Пластмассовый корпус типа SOP-16



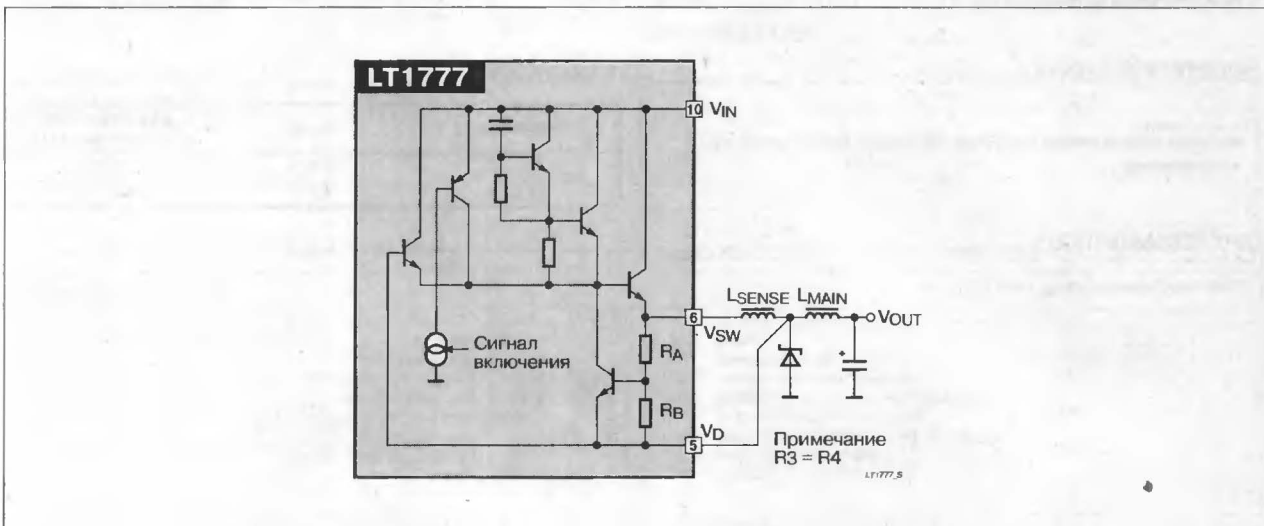
### СТРУКТУРНАЯ СХЕМА



ТИПОВАЯ СХЕМА ПРИМЕНЕНИЯ



УПРОЩЕННАЯ СХЕМА ВЫХОДНОГО КАСКАДА





## ПОВЫШАЮЩИЙ/ПОНИЖАЮЩИЙ DC/DC-ПРЕОБРАЗОВАТЕЛЬ С НАКАЧКОЙ ЗАРЯДА

### ОСОБЕННОСТИ

- ◆ Регулируемое/фиксированное (3, 3.3, 5 В) выходное напряжение
- ◆ Диапазон входных напряжений ..... 2...100 В
- ◆ Выходной ток ..... до 50 мА
- ◆ Мягкий запуск, ограничивающий бросок тока при включении
- ◆ Собственный ток потребления ..... 60 мкА
- ◆ Ток потребления в дежурном режиме ..... менее 1 мкА
- ◆ Отключение нагрузки в дежурном режиме
- ◆ Защита от короткого замыкания и тепловых перегрузок
- ◆ Рабочая частота 650 кГц

### ОБЛАСТИ ПРИМЕНЕНИЯ

- ◆ Сотовые телефоны
- ◆ Портативное оборудование

### ТИПОНОМИНАЛЫ

Типономинал	Температурный диапазон, °C	Корпус
LTC1515CS8	0...+70	SOP-8
LTC1515CS8-3/5		SOP-8
LTC1515CS8-3.3/5		SOP-8
LTC1515IS8	-40...+85	SOP-8
LTC1515IS8-3/5		SOP-8
LTC1515IS8-3.3/5		SOP-8

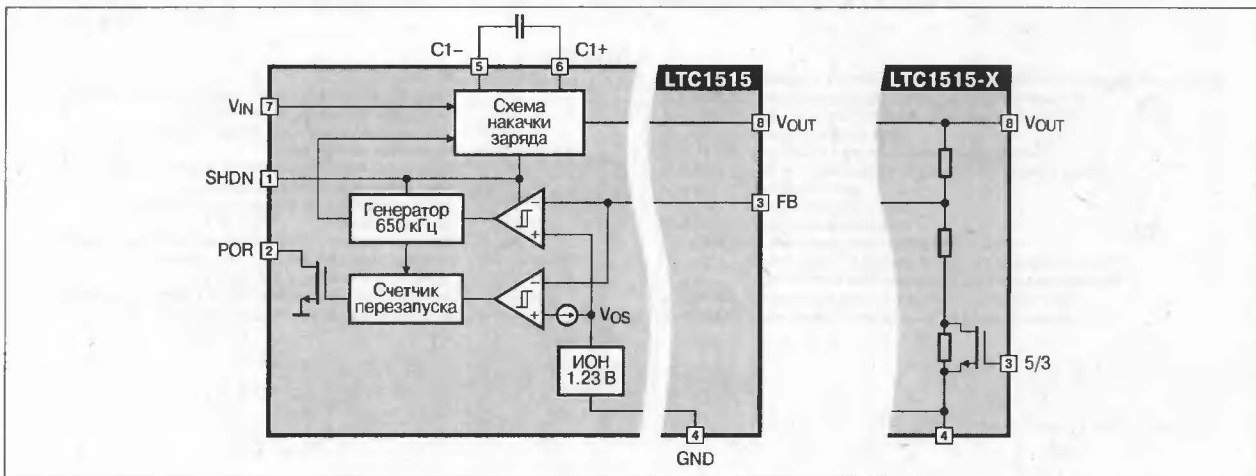
### ОБЩЕЕ ОПИСАНИЕ

Уникальная конструкция микросхемы обеспечивает нестабильность выходного напряжения в пределах  $\pm 4\%$  при изменении входного напряжения от 2 до 100 В. Выходное напряжение устанавливается с помощью внешнего делителя (LTC1515) или программированием (3 или 5 В в LTC1515-3/5, 3.3 или 5 В в LTC1515-3.3/5. Предусмотрены средства снижения выходных пульсаций при большой разнице между входным и выходным напряжениями.

### СХЕМА ВКЛЮЧЕНИЯ

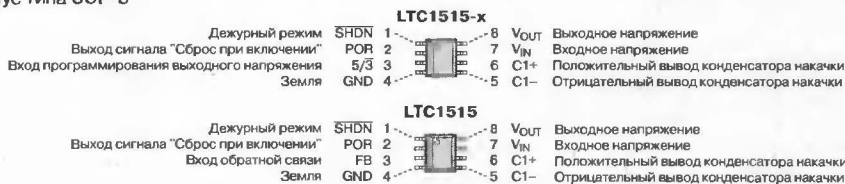


### СТРУКТУРНАЯ СХЕМА



### ЦОКОЛЕВКА КОРПУСОВ

Пластмассовый корпус типа SOP-8



## ДВУХФАЗНЫЙ СИНХРОННЫЙ ПОНИЖАЮЩИЙ ПРЕОБРАЗОВАТЕЛЬ

### ОСОБЕННОСТИ

- Уменьшает требуемые значения фильтрующих конденсаторов и возбуждаемые помехи
- Режим управления по току гарантирует равенство токов по фазам
- Рабочая частота ..... 150...300 кГц
- Контроль тока с помощью дифференциального усилителя
- Погрешность выходного напряжения .....  $\pm 1\%$
- Диапазон входных напряжений ..... 4...36 В
- Рабочий цикл ..... до 99%

### ОБЛАСТИ ПРИМЕНЕНИЯ

- Серверы локальных сетей/интернета
- Системы распределения питания

### ОБЩЕЕ ОПИСАНИЕ

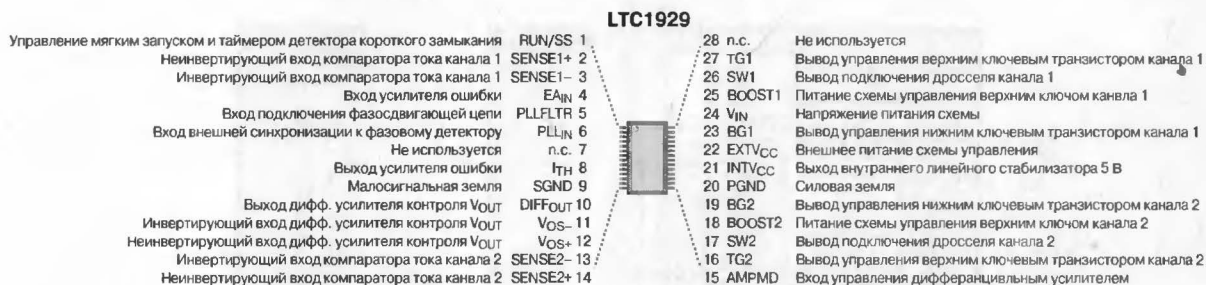
В микросхеме LTC1929 двухфазный контроллер управляет двумя выходными каскадами в противофазе на частоте до 300 кГц, что способствует уменьшению пульсаций как на входных, так и на выходных конденсаторах. В ИС предусмотрены мягкий запуск, перевод в дежурный режим обоих каналов при коротком замыкании. Нагрузочная характеристика имеет участок отрицательного наклона, что обеспечивает эффективную защиту от токовых перегрузок.

### ТИПОНОМИНАЛЫ

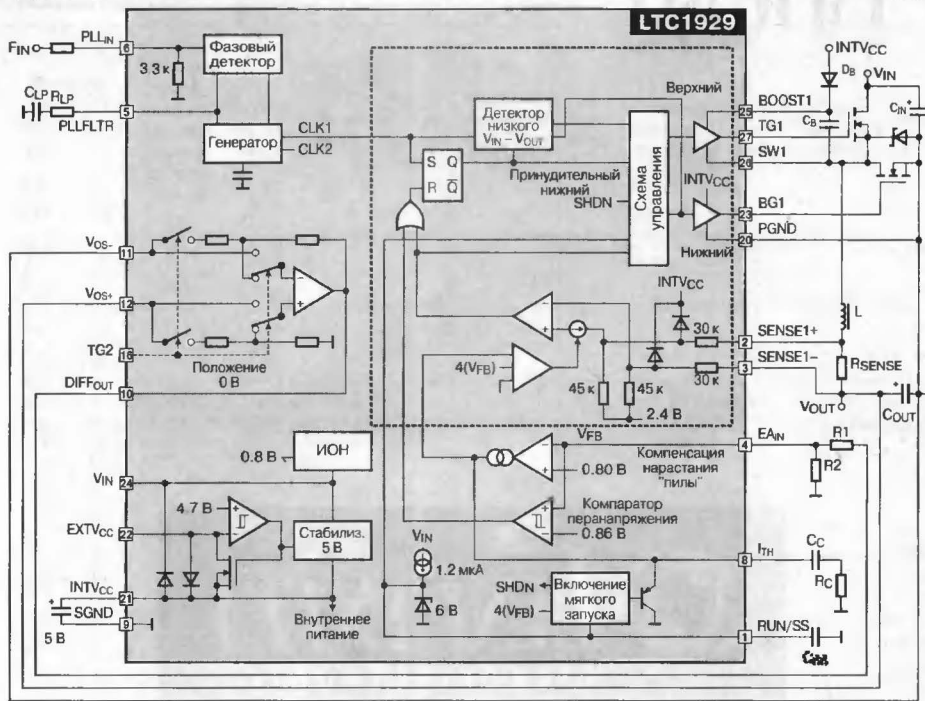
Типономинал	Диапазон рабочих температур, °C
LTC1929CG	0...+85
LTC1929IG	-40...+85

### ЦОКОЛЕВКА КОРПУСОВ

Пластмассовый корпус типа SSOP-28



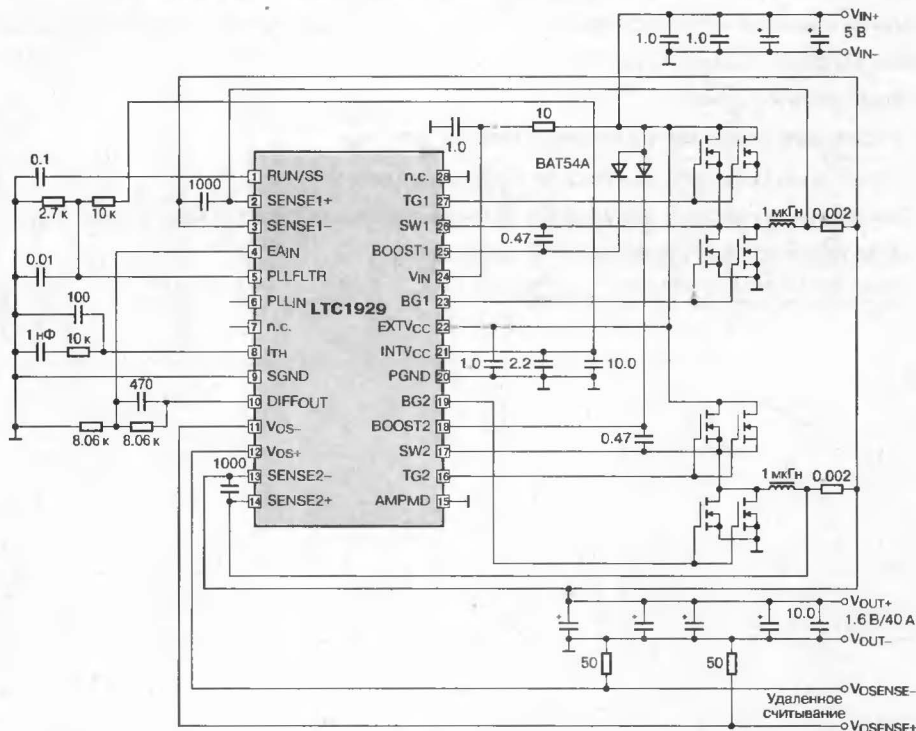
СТРУКТУРНАЯ СХЕМА



Примечание: штриховой линией обведены блоки первого канала, аналогичные блоки второго канала не приводятся

СХЕМА ПРИМЕНЕНИЯ

Источник питания с входным напряжением 5 В и выходом 1.6 В/40 А





**Микросхемы для импульсных источников питания фирмы Linfinity Microelectronics:**

Микросхемы для питания микропроцессоров .....	377
ШИМ-контроллеры с управлением по напряжению .....	377
ШИМ-контроллеры с управлением по току .....	378
Корректоры коэффициента мощности .....	378
Сдвоенные быстродействующие драйверы полевых транзисторов .....	378
<b>LX1562/1563</b> Корректор коэффициента мощности второго поколения .....	379
<b>LX1570/1571</b> Синхронный контроллер импульсного источника питания с фазовой модуляцией .....	381
<b>LX1681/1682</b> ШИМ-контроллеры с управлением по напряжению .....	383

## МИКРОСХЕМЫ ДЛЯ ИМПУЛЬСНЫХ ИСТОЧНИКОВ ПИТАНИЯ ФИРМЫ INFINITY MICROELECTRONICS

### МИКРОСХЕМЫ ДЛЯ ПИТАНИЯ МИКРОПРОЦЕССОРОВ

Прибор	ЦАП, разрядов	Выходное (Опорное) напряжение, В		Гистерезис блокировки при пониженном напряжении, В	Напряжение запуска, В	Мягкий запуск	Поцикловое ограничение тока	Защита от повышенного напряжения (OVP)	Power Good	Напряжение питания, В (max)	Выходной ток, А (peak)	Синхронный выпрямитель	Управление	Корпус
		Имп.	Лин.											
LX1660/1661	—	(2 ± 0.5%)	—	0.31	10.15	+	+			25	±1.5	+	PCT*	DIP-16, SOP-16
LX1662/62A	5	1.3...3.5	—	0.31	10.15	+	+			25, 15	±1.5	+	PCT*	DIP-14, SOP-14
LX1663/63A	5	1.3...3.5	—	0.31	10.15	+	+	+	+	25, 15	±1.5	+	PCT*	DIP-16, SOP-16
LX1664/64A	5	1.3...3.5	1.5...3.6	0.31	10.1	+	+			25, 15	±1.5	+	PCT*	DIP-16, SOP-16
LX1665	5	1.3...3.5	1.5...3.6	0.31	10.1	+	+	+	+	25, 15	±1	+	PCT*	DIP-18, SDP-18
LX1668	5	1.3...3.5	2.5 + Рег.	0.1	4.2	+	+	+	+	18, 7, 7	±1.5	+	PCT*	SOP-20, TSSDP-20
LX1669	5	1.3...3.5	—	0.1	4.2	+	+	+	+	18, 7	±1	+	PCT*	SDP-16
LX1670	5	—	1.8...3.5	0.05	4.37	+	+	+	+	15	—		—	SOP-14
LX1681	—	1.25...4.5	—	0.1	4.25	+	+			18, 7	±1		ШИМ-напряжение (200 кГц)	SOP-8
LX1682	—	1.25...4.5	—	0.1	4.25	+	+			18, 7	±1	+	ШИМ-напряжение (200 кГц)	SOP-8

Примечание:

\* PCT (Periodic Constant Off-Time) — постоянное время закрытого ключа, вариант ЧИМ

### ШИМ-КОНТРОЛЛЕРЫ С УПРАВЛЕНИЕМ ПО НАПРЯЖЕНИЮ

Разброс опорного напряжения, %				Блокировка при пониженном напряжении	Поцикловое ограничение тока	Выход перевод в дежурный режим	Выходной транзистор		Максимальная частота генератора, кГц	Свободный выходной транзистор	Количество выходов	Тотемный выход	Выход синхронизации генератора	Регулировка "мертвого" времени	Подключение двояных импульсов	Максимальный рабочий цикл, %	Корпус
							V <sub>CE</sub> , В	I <sub>C</sub> , мА (peak)									
SG1524/2524/3524	±4				+		40	100	300	+	2		+			50	DIP-16, CDIP-16, SOP-16, LCC-20
SG1524B/2524B/3524B	±1		+	+	+	+	60	200	500	+	2		+		+	50	DIP-16, CDIP-16, SOP-16, LCC-20
SG1525A/2525A/3525A	±1	+	+	+		+	35	400	500		2	+	+	+		50	DIP-16, CDIP-16, SDP-16, LCC-20
SG1526/2526/3526	±1	+	+	+	+	+	35	400	400		2	+	+	+	+	50	DIP-18, CDIP-18, SDP-18, LCC-20
SG1526B/2526B/3526B	±1	+	+	+	+	+	35	400	500		2	+	+	+	+	50	DIP-18, CDIP-18, SOP-18, LCC-20
SG1527A/2527A/3527A	±1	+	+	+		+	35	400	500		2	+	+	+		50	DIP-16, CDIP-16, SOP-16, LCC-20

## ШИМ-КОНТРОЛЛЕРЫ С УПРАВЛЕНИЕМ ПО ТОКУ

Прибор	Ток запуска, мА	Мягкий запуск	Напряжение запуска, В			Выход перевода в дежурный режим	Выходной транзистор		Максимальная частота генератора, кГц	Количество выходов	Тотемный выход	Выход синхронизации генератора	Максимальный рабочий цикл, %	Корпус
							$V_{CE}$ , В	$I_C$ , мА (peak)						
LX1552	250		6	16	+		30	1	500	1	+		100	DIP-8, SOP-8, CDIP-8, SOP-14, TSSOP-20
LX1553	250		0.8	8.4	+		30	1	500	1	+		100	DIP-8, SOP-8, CDIP-8, SOP-14, TSSOP-20
LX1554	250		6	16	+		30	1	500	1	+		50	DIP-8, SOP-8, CDIP-8, SOP-14, TSSOP-20
LX1555	250		0.8	8.4	+		30	1	500	1	+		50	DIP-8, SOP-8, CDIP-8, SOP-14, TSSOP-20
LX1570/71	250	+	4	16	+		40	1	100	1			54	DIP-8, SOP-8, CDIP-8
SG1842/2842/3842	1000		6	16	+		30	1	500	1	+		100	DIP-8, CDIP-8, SOP-8, DIP-14, SOP-14, CDIP-14, DFP-F-10, LCC-20
SG1843/2843/3843	1000		1	9	+		35	1	500	1	+		100	DIP-8, CDIP-8, SOP-8, DIP-14, SOP-14, CDIP-14, DFP-F-10, LCC-20
SG1844/2844/3844	1000		6	16	+		35	1	500	1	+		50	DIP-8, CDIP-8, SOP-8, DIP-14, SOP-14, CDIP-14, DFP-F-10, LCC-20
SG1845/2845/3845	1000		1	9	+		35	1	500	1	+		50	DIP-8, CDIP-8, SOP-8, DIP-14, SOP-14, CDIP-14, DFP-F-10, LCC-20
SG1846/2846/3846	—	+	0.4	8	+	+	40	0.5	500	2	+	+	50	DIP-16, SOP-16, CDIP-16, DFP-F-16, LCC-20
UC184xA/284xA/384xA	500		1/6	9/16	+		30	1	500	1	+		100/50	DIP-8, SOP-8, CDIP-8, SOP-14

## КОРРЕКТОРЫ КОЭФФИЦИЕНТА МОЩНОСТИ

Прибор	Ток запуска, мА	Гистерезис блокировки при пониженном напряжении, В	Напряжение запуска	Управление	Поциклоаое ограничение тока	Выходной транзистор		Количество выходов	Тотемный выход	Корпус
						$V_{CE}$ , В	$I_C$ , мА (peak)			
LX1562	300	5.2	13.1	Ток	+	28	0.5	1	+	DIP-8, SOP-8
LX1563	300	2.1	9.8	Ток	+	28	0.5	1	+	DIP-8, SOP-8

## СДВОЕННЫЕ БЫСТРОДЕЙСТВУЮЩИЕ ДРАЙВЕРЫ ПОЛЕВЫХ ТРАНЗИСТОРОВ

Прибор	Напряжение питания, В (max)	Выход, А	Время задержки, нс (max)	Корпус
SG1626/2626/3626	22	±3 (ТОТЕМНЫЙ)	20	DIP-8, CDIP-8, CDIP-14, DIP-16, TO-99-8, TO-66-5, LCC-20
SG1644/2644/3644	22	±3 (ТОТЕМНЫЙ)	20	DIP-8, CDIP-8, CDIP-14, DIP-16, TO-99-8, TO-66-9, LCC-20



### ОСОБЕННОСТИ

- Встроенная цепь запуска
- Ток потребления при запуске ..... 300 мкА
- Внутреннее маскирование переднего фронта импульса тока
- Ограничение входного тока
- Встроенная защита от перенапряжений
- Увеличенный гистерезис в датчике пониженного напряжения, уменьшающий время запуска (только в LX1562)
- Низкое собственное потребление тока
- Встроенный источник опорного напряжения с погрешностью 1.5%
- Тотемный (квазикомплементарный) выход
- Автоматическое ограничение тока в повышающем каскаде
- Непрерывный режим работы (без пауз между импульсами тока)

### ОБЩЕЕ ОПИСАНИЕ

Корректор коэффициента мощности LX1562 работает в режиме непрерывного тока. К новым особенностям относятся встроенная цепь запуска и узел маскирования переднего фронта импульса тока, позволяющие отказаться от использования ряда внешних элементов. Встроенное блокирование усилителя ошибки и умножителя улучшает характеристики отключения при перегрузках. Специальная цепь введена для исключения чрезмерного роста тока нагрузки. Датчик тока индуктивности обеспечивает непрерывный режим работы по току, что способствует повышению качества коррекции коэффициента мощности.

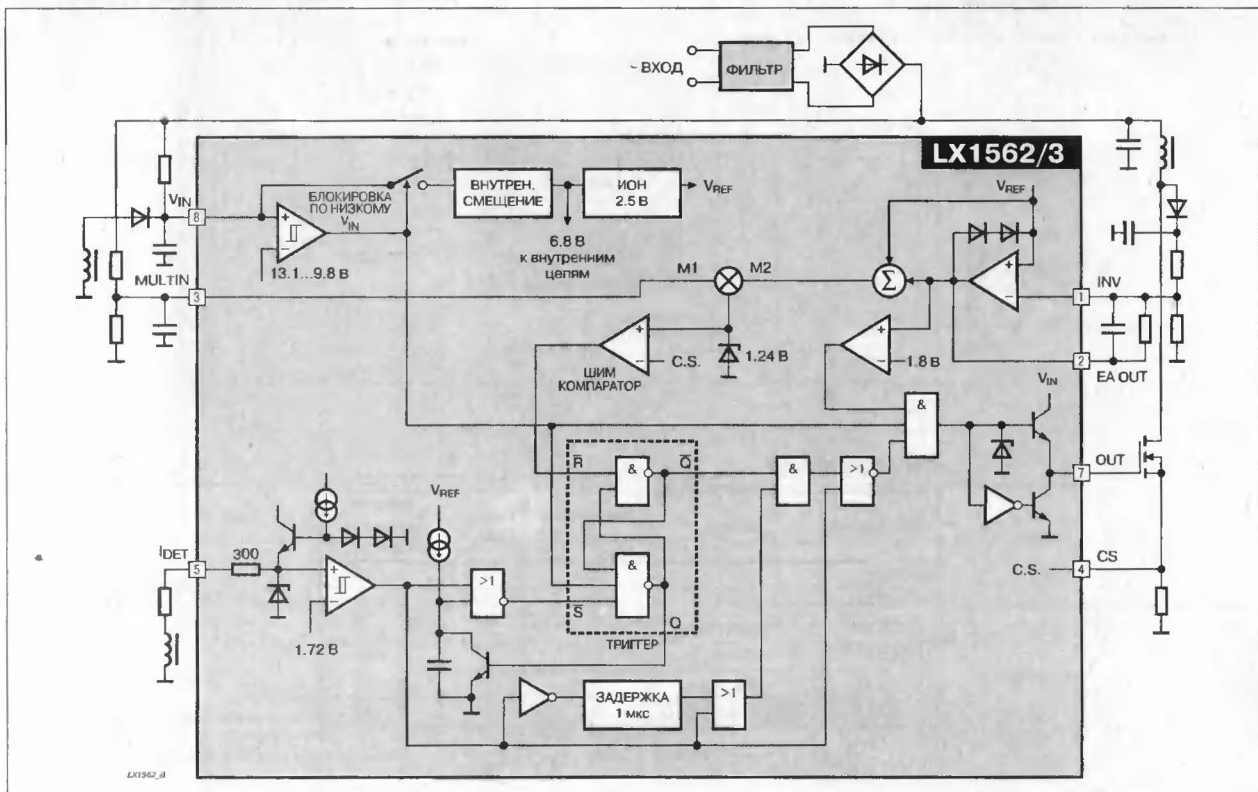
ИС оптимизирована для диапазона мощностей до 300 Вт.

### ОБЛАСТИ ПРИМЕНЕНИЯ

- Электронные пускорегулирующие аппараты для разрядных ламп

- Импульсные источники питания

### СТРУКТУРНАЯ СХЕМА



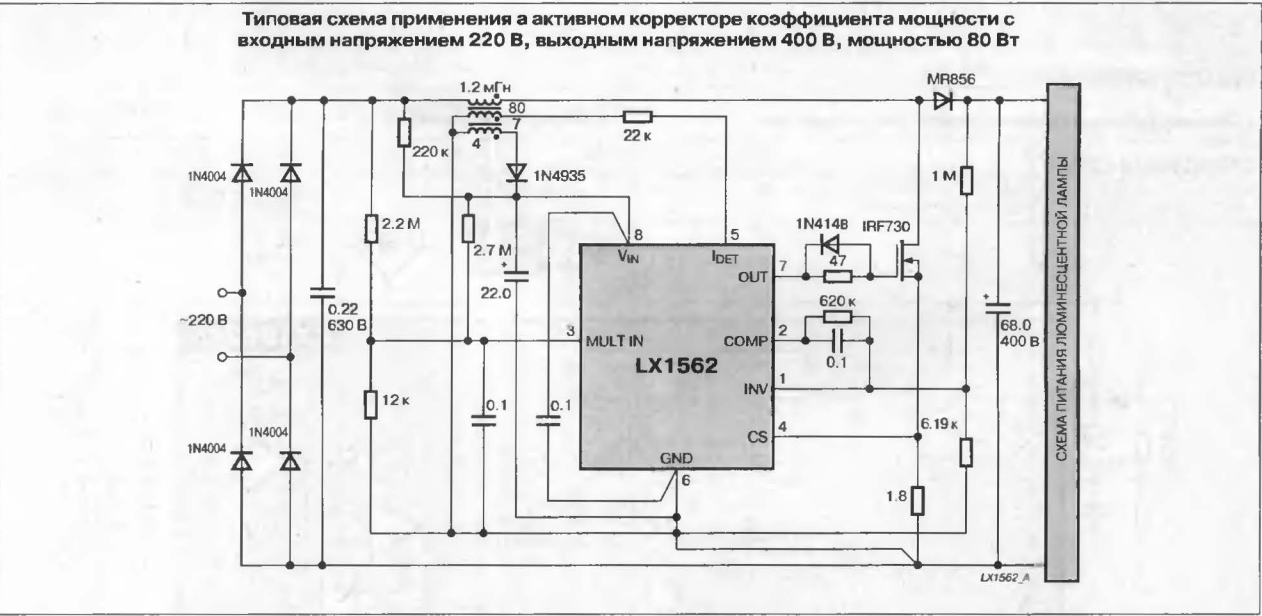
ЦОКОЛЕВКА КОРПУСОВ



НАЗНАЧЕНИЕ ВЫВОДОВ

Вывод	Обозначение	Назначение
1	INV	Инвертирующий вход усилителя ошибки. Выход повышающего каскада должен быть соединен с этим выводом через делитель, обеспечивающий входное напряжение 2.5 В
2	EA OUT	Выход усилителя ошибки
3	MULT IN	Вход умножителя. Выход мостового выпрямителя должен быть соединен с этим выводом через делитель, обеспечивающий входное напряжение не более 2 В
4	CS	Вход ШИМ-компаратора. Должен быть соединен с токоизмерительным резистором в повышающем каскаде
5	I <sub>DET</sub>	Вход датчика тока индуктивности
6	GND	Общий вывод. Должен всегда иметь самый низкий потенциал по отношению к другим выводам
7	OUT	Выход ШИМ-импульсов.
8	V <sub>IN</sub>	Выход напряжения питания

СХЕМА ВКЛЮЧЕНИЯ



ТИПОНОМИНАЛЫ

Типономинал	Корпус	Напряжение запуска, В	Гистерезис, В	Рабочий диапазон температур, °С
LX1562IM	DIP-8	13.1	5.2	0...+100
LX1562IDM	SOP-8	13.1	5.2	0...+100
LX1562IDMT	SOP-8 (лента и бобина)	13.1	5.2	0...+100
LX1563IM	DIP-8	9.8	2.1	0...+100
LX1563IDM	SOP-8	9.8	2.1	0...+100
LX1563IDMT	SOP-8 (лента и бобина)	9.8	2.1	0...+100

## СИНХРОННЫЙ КОНТРОЛЛЕР ИМПУЛЬСНОГО ИСТОЧНИКА ПИТАНИЯ С ФАЗОВОЙ МОДУЛЯЦИЕЙ

### ОСОБЕННОСТИ

- Способствует снижению цены устройства
- Уменьшает токовые перегрузки в первичном преобразователе
- Обеспечивает высокую рабочую частоту и использование дросселей с малой индуктивностью
- Имеет простую защиту по току
- Режим управления по току обеспечивает превосходные динамические характеристики

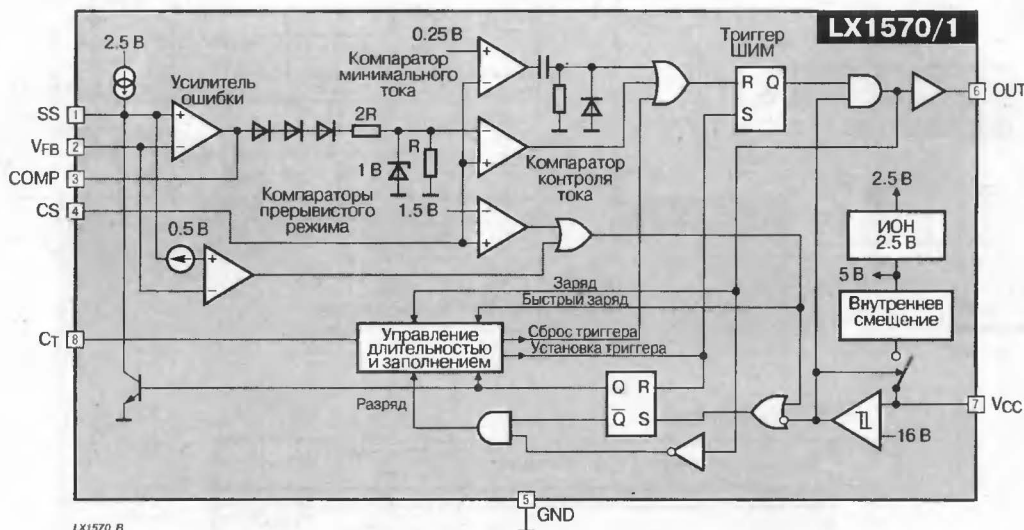
### ОБЛАСТИ ПРИМЕНЕНИЯ

- Источники питания компьютеров, в т.ч. современных низковольтных (3.3 В) процессоров и памяти
- Связное оборудование

### ОБЩЕЕ ОПИСАНИЕ

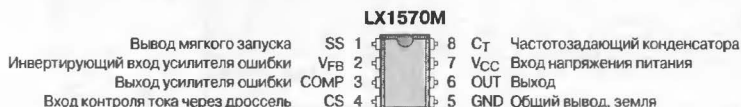
Контроллеры серии LX1570/71 предназначены для построения вспомогательных и гальванически изолированных вторичных источников питания. Эти ИС оптимизированы для получения выходного тока свыше 3 А. Данные ИС управляют ключом, соединенным последовательно с вторичной обмоткой трансформатора, включенного на выходе первичного преобразователя (например, прямоходового или мостового). Рабочий цикл может достигать 100% при передаче максимальной мощности. ИС предусматривает поимпульсный контроль тока и прерывистый режим работы в условиях токовой перегрузки, при этом для уменьшения нагрузки время между рабочими импульсами весьма велико. Имеется функция мягкого запуска. Высокая рабочая частота и режим управления по току обеспечивают прекрасные динамические характеристики.

### СТРУКТУРНАЯ СХЕМА

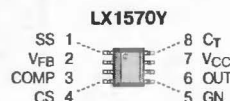


### ЦОКОЛЕВКА КОРПУСОВ

Корпус типа DIP-8, CerDIP-8



Корпус типа SOP-8





## ШИМ-КОНТРОЛЛЕРЫ С УПРАВЛЕНИЕМ ПО НАПРЯЖЕНИЮ

## ОСОБЕННОСТИ

- ♦ Фиксированная рабочая частота ..... 200 кГц
- ♦ Не требуется внешних элементов компенсации
- ♦ Включение "икающего" (hiccup) режима работы для защиты от перегрузок по току
- ♦ Выходное напряжение устанавливается с помощью внешнего резистивного делителя
- ♦ Высокий КПД
- ♦ Мягкий запуск и перевод в дежурный режим
- ♦ Защита от пониженного входного напряжения
- ♦ Синхронный выход (LX1682)

## ОБЛАСТИ ПРИМЕНЕНИЯ

- ♦ **Понижающие преобразователи (5 в 3 В и менее)**
- ♦ **Схемы электропривода жестких дисков**

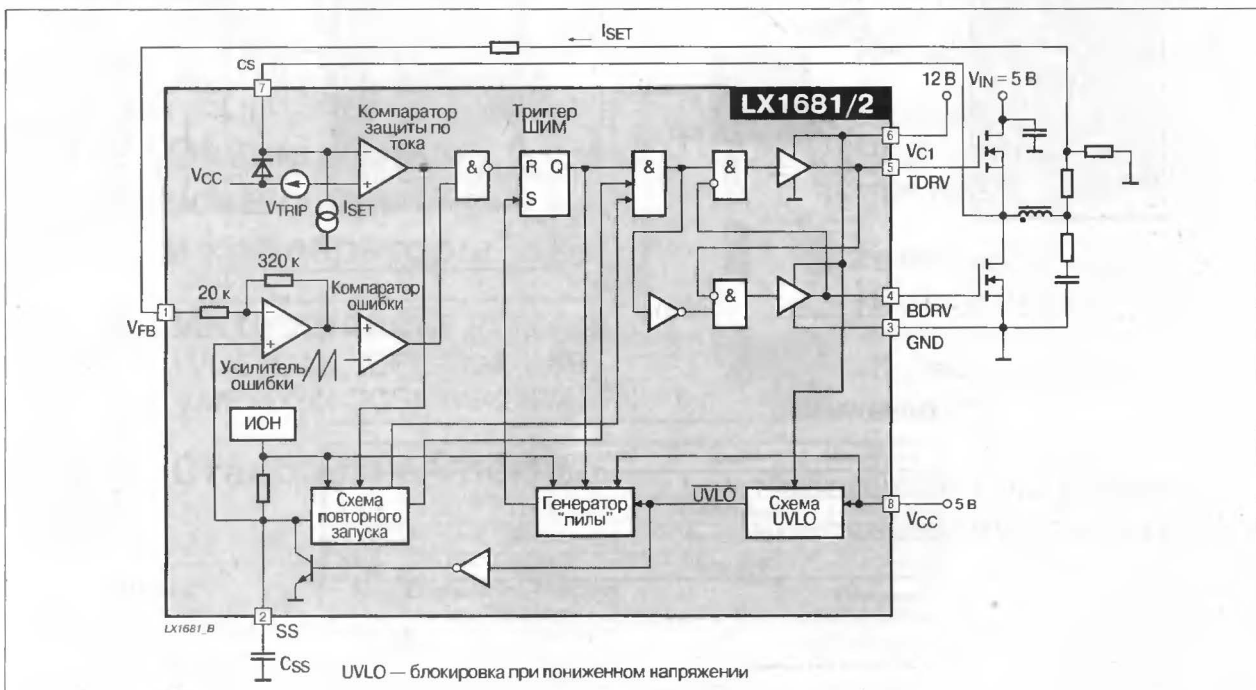
### ОСНОВНОЕ ОПИСАНИЕ

Микросхемы LX1681/1682 представляют собой монолитные ШИМ-контроллеры понижающего стабилизатора напряжения с синхронным выпрямлением (LX1681) или без него (LX1682). Выходное напряжение регулируется посредством резистивного делителя напряжения в пределах 1.25...4.5 В.

Схема защиты от короткого замыкания не требует наличия дорогих токоизмерительных резисторов. Контроль тока осуществляется по сопротивлению открытого канала МОП-транзистора с задержкой 1 мкс для минимизации ошибки измерения, вызванной переходными процессами при включении МОП-транзистора. "Икающий" режим аварийной защиты снижает среднюю мощность, выделяемую на силовых элементах в условиях КЗ на выходе преобразователя. Микросхема работает на фиксированной рабочей частоте 200 кГц, являющейся оптимальной величиной для приемлемого соотношения стоимости и размеров элементов. Микросхемы имеют блокировку при пониженном напряжении питания и мягкий запуск. При заземлении вывода мягкого запуска, работа прибора блокируется.

Будучи разработанными для преобразования 5 В-в-3 В и 5 В-в-2,5 В, микросхемы LX1681/1682 могут также использоваться для преобразования напряжения 12 В в выходное напряжение 5, 3,3 В и др.

### СТРУКТУРНАЯ СХЕМА

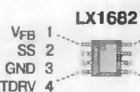


## ЦОКОЛЕВКА КОРПУСОВ

Пластмассовый корпус типа SOP-8



Вход обратной связи  
Конденсатор мягкого запуска и "икающего" режима  
Управление затвором верхнего ключевого транзистора



Напряжение питания  
Установка уровня защиты по току  
Вывод питания выходного каскада  
Управление затвором "нижнего" ключевого транзистора

## НАЗНАЧЕНИЕ ВЫВОДОВ

LX1681	LX1682	Обозначение	Назначение
1	1	V <sub>FB</sub>	Вход обратной связи. Делитель должен обеспечивать на этом входе напряжение 1.25 В
2	2	SS	Вывод для подключения конденсатора мягкого запуска и "икающего" режима. В процессе запуска напряжение на этом выводе управляет выходным напряжением. Постоянная времени определяется емкостью внешнего конденсатора и внутренним резистором 20 кОм. Запуск не начинается, пока входное напряжение не превысит порог защиты от пониженного входного напряжения. В случае перегрузки по току конденсатор определяет частоту повторных попыток запуска. При напряжении на этом выводе ниже 0.3 В схема переводится в дежурный режим
4	3	GND	Земля
5	4	TDRV	Вывод управления затвором верхнего ключевого транзистора
	5	BDRV	Вывод управления затвором нижнего ключевого транзистора
6	6	V <sub>C1</sub>	Вывод питания выходного каскада. Должен быть подключен к 12 В
7	7	CS	Установка уровня защиты по току. Осуществляется с помощью резистора, включаемого между этим выводом и истоком верхнего ключевого транзистора
8	8	V <sub>CC</sub>	Вывод питания ИС. Номинальное напряжение питания 5 В

## СХЕМЫ ВКЛЮЧЕНИЯ

Рис. 1. Преобразователь напряжения с несинхронным выходом и дополнительным резистором ограничения тока

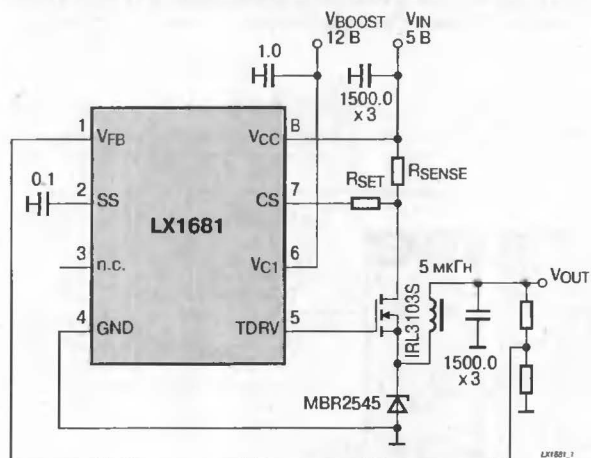
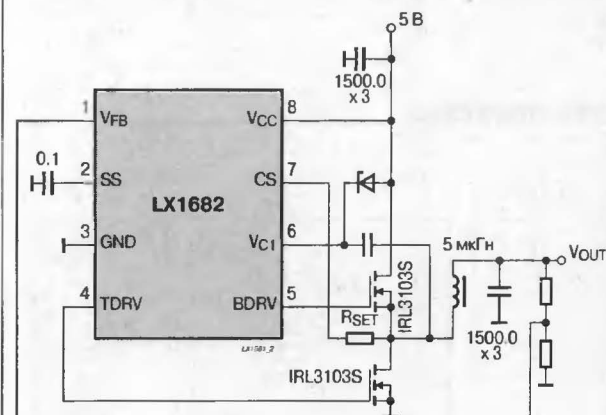


Рис. 2. Преобразователь напряжения с синхронным выходом и вольтодобавкой в схеме питания выходного каскада



## ТИПОНОМИНАЛЫ

Типономинал	Выход	Температурный диапазон, °C	Корпус
LX1681CDM	Несинхронный	0...+70	SOP-8
LX1682CDM	Синхронный	0...+70	SOP-8
LX1681IOM	Несинхронный	-40...+85	SOP-8
LX1682IDM	Синхронный	-40...+85	SOP-8

## Примечание

При заказе на ленте в бобине с суффиксу добавляется буква "Т"





**Микросхемы для импульсных источников питания фирмы Maxim Integrated Products:**

AC/DC-преобразователи .....	386
DC/DC-преобразователи .....	386
Понижающие DC/DC-преобразователи, ЧШИМ (PFM) .....	386
Понижающие DC/DC-преобразователи, ШИМ (PWM) .....	387
Повышающие DC/DC-преобразователи, ЧШИМ (PFM) .....	387
Повышающие DC/DC-преобразователи, ШИМ (PWM) .....	387
Повышающие /понижающие DC/DC-преобразователи, ЧШИМ (PFM) .....	387
Инвертирующие DC/DC-преобразователи, ЧШИМ (PFM) .....	388
Повышающие /инвертирующие DC/DC-преобразователи, ЧШИМ (PFM) .....	388
Импульсные стабилизаторы с несколькими выходами .....	388
Многофункциональные микросхемы управления источниками питания .....	388
<b>MAX610/11/12</b> AC/DC-преобразователи .....	389
<b>MAX668/669</b> Контроллер повышающего ШИМ-преобразователя напряжения .....	391
<b>MAX1678</b> Малошумящий повышающий DC/DC-преобразователь с высоким КПД .....	393
<b>MAX1703</b> Мощный малошумящий повышающий DC/DC-преобразователь на 1.5 А .....	394
<b>MAX1710/11</b> Быстродействующий повышающий DC/DC-преобразователь с цифровым управлением .....	395

## МИКРОСХЕМЫ ДЛЯ ИМПУЛЬСНЫХ ИСТОЧНИКОВ ПИТАНИЯ ФИРМЫ MAXIM INTEGRATED PRODUCTS

Прибор	Корпус	Входное напряжение, В	Выходное напряжение, В	Выходной ток, мА	Функциональное описание, особенности
<b>АС/DC-ПРЕОБРАЗОВАТЕЛИ</b>					
MAX610	DIP-8, SOP-8	11.5	5, Пер.: 1.3...15	60	Выпрямитель + линейный стабилизатор
MAX611	DIP-8, SOP-8	11.5	5, Пер.: 1.3...15	60	Выпрямитель + линейный стабилизатор
MAX612	DIP-8, SOP-8	17	5, Пер.: 1.3...15	60	Выпрямитель + линейный стабилизатор
<b>DC/DC-ПРЕОБРАЗОВАТЕЛИ</b>					
ICL7660	DIP-8, SOP-8, TSSOP-8	1.5...10	$-V_{IN}, +2V_{IN}$	0.11	Инвертор или удвоитель напряжения
ICL7662	SOP-8	0.8...28	$V_{IN}...28, 0...-28$	0.08	Инвертор или удвоитель напряжения
MAX1044	DIP-8, SOP-8	1.5...10	$-V_{IN}, +2V_{IN}$	20	Инвертор или удвоитель напряжения
MAX1673	SOP-8	2...5.5	Пер., 0... $-V_{IN}$	125	Регулируемый инвертор на 125 мА
MAX1680/1681	SOP-8	2.5	$-V_{IN}, +2V_{IN}$	125	Инвертор или удвоитель напряжения
MAX1682/1683	SOT23-5	1.5...5.5	$-V_{IN}, +2V_{IN}$	25	Удвоитель напряжения
MAX1686	TSSOP-8	2.7...3.6	5	20	Безындуктивный преобразователь для SIM-карт 3 В/20 мА
MAX619	DIP-8, SOP-8	2...3.6	5	60	Безындуктивный преобразователь 5 В/50 мА
MAX660	DIP-8, SOP-8	1.5...5.5	$-V_{IN}, +2V_{IN}$	100	Инвертор или удвоитель напряжения
MAX662A	DIP-8, SOP-8	4.5...5.5	12	30	Безындуктивный преобразователь 12 В/30 мА
MAX665	DIP-8, SOP-16W	1.5...8	$-V_{IN}$ или $+2V_{IN}$	100	Инвертор или удвоитель напряжения
MAX679	TSSOP-8	1.8...4	$-V_{IN}$ или $+2V_{IN}$	20	Безындуктивный преобразователь 3.3 В/20 мА
MAX682	SOP-8	2.7...5.5	5	250	Безындуктивный преобразователь 2.7...5.5 В/250 мА
MAX683/684	TSSOP-8	2.7...5.5	5	100/50	Безындуктивный преобразователь 2.7...5.5 В/50 мА/100 мА
MAX768	SSOP-16	2.5...5.5	$\pm 5$	2 x 100	Питание GaAs FET
MAX828/829	SOT23-5	1.25...5.5	$-V_{IN}$	25	Инвертор или удвоитель напряжения
MAX840/843/844	SOP-8	2.5...10	-2, Пер.	10	Питание GaAs FET
MAX850/851/852/853	SOP-8	4.5...10	-4.1, Пер.	5	Питание GaAs FET
MAX860/861	SOP-8, TSSOP-8	1.5...5.5	$-V_{IN}$ или $+2V_{IN}$	50	Инвертор или удвоитель напряжения
MAX864	SSOP-16	1.5...6.2	$\pm 2V_{IN}$	$\pm 10$	Инвертор и удвоитель напряжения
MAX865	TSSOP-8	1.5...6.2	$\pm 2V_{IN}$	$\pm 10$	Инвертор и удвоитель напряжения
MAX868	TSSOP-10	1.8...5.5	Пер.	30	Регулируемый инвертор напряжения
MAX870/871	SOT23-5	1.25...5.5	$-V_{IN}$	25	Инвертор или удвоитель напряжения
MAX881R	TSSOP-10	2.5...5.5	-2 или Пер.	5	Питание GaAs FET
SI7661	DIP-8, SOP-8, TO-99-8	4.5...20	$-V_{IN}$ или $+2V_{IN}$	10	Инвертор или удвоитель напряжения
<b>ПОНИЖАЮЩИЕ DC/DC-ПРЕОБРАЗОВАТЕЛИ, ЧШИМ (PFM)</b>					
MAX638	DIP-8, SOP-8	2.6...16.5	5, Пер.	75	Стабилизатор напряжения
MAX639/640/653	DIP-8, SOP-8	4...15	5, 3.3, Пер.	225	Низкий ток потребления
MAX1626/1627	SOP-8	3...16.5	(3.3 или 5)/Пер.	3000	Высокий КПД

МИКРОСХЕМЫ ДЛЯ ИМПУЛЬСНЫХ ИСТОЧНИКОВ ПИТАНИЯ ФИРМЫ MAXIM INTEGRATED PRODUCTS (ПРОДОЛЖЕНИЕ)

Прибор	Корпус	Входное напряжение, В	Выходное напряжение, В	Выходной ток, мА	Функциональное описание, особенности
<b>ПОНИЖАЮЩИЕ DC/DC-ПРЕОБРАЗОВАТЕЛИ, ШИМ (PWM)</b>					
MAX724	TO220-7	8...40	Per.	5000	Понижающий преобразователь
MAX726/727/728/729	TO220-7	8...40	Per./5/3.3/3	2000	Малошумящий преобразователь
MAX730A/50A/63A	DIP-8, SOP-8	до 11	5, Per., 3.3	500	Малошумящий преобразователь
MAX738A/48A/58 A	DIP-8, SOP-16W	до 16	5, 3.3, Per.	750	Для сотовой связи
MAX744A	OIP-8, SOP-16W	4.75...16	5	750	Малошумящий преобразователь
MAX767	SSOP-20	4.5...5.5	3.3, 3.45, 3.6	1500...10000	Специализированный преобразователь 5 В в 3 В
MAX787/788/789	TO220-7	8...40	5/3.3/3	5000	Понижающий преобразователь
MAX796/797/799	SOP-16N, DIP-16	4.5...30	5/3.3/2.9/Per.	50 Ватт	С синхронным выпрямлением
MAX798	SOP-16N	4.5...30	1.6/Per.	50 Ватт	С синхронным выпрямлением
MAX830/831	SOP-16	8...30	Per./5	1000	Малый корпус
MAX832/833	SSOP-20	8...30	3.3/3	3000	Малый корпус
MAX887	SOP-8	3.5...11	Per.: 1.27...9	600	Высокий КПД, синхронное выпрямление
MAX1623	SSOP-20	4.5...5.5	Per.: (1.1...4)/(3.3/2.5)	-	С синхронным выпрямлением до 3 А
MAX1624	SSOP-24	4.5...5.5	1.1...3.5	20000	Программируемый, прецизионный
MAX1625	SOP-16	4.5...5.5	1.1...3.5	20000	Высококачественное выпрямление
MAX1636	SSOP-20	4.5...30	Per. (1.1...5.5)	50 Вт	Усовершенствованные MAX1649/51
MAX1637	SOP-16	4.5...30	Per. (1.1...5.5)	50 Вт	Синхронное выпрямление, большой выходной ток
MAX1638/1639	SSOP-24/SOP-16	4.5...5.5	Per. (1.3...3.5)	20000	Прецизионный, настраиваемый
MAX1640/1641	SSOP-16	5.5...30	6...30	2000	Высокий КПД, синхронное выпрямление
MAX1652/1653/1654	SSOP-16, SOP-16N	4.5...28	5/3.3/Per	170	Синхронное выпрямление, большой выходной ток
MAX1655	SSOP-16	4.5...30	1...5.5	440	MAX1653 с большим выходным током
MAX1710	SSOP-24	2...28	1.25...2/Per.	—	Высокая скорость слежения
<b>ПОВЫШАЮЩИЕ DC/DC-ПРЕОБРАЗОВАТЕЛИ, ЧШИМ (PFM)</b>					
MAX606/607	TSSOP-8	3...5.5	5/12/Per.	200	Частоте преобразования 1 МГц
MAX608	DIP-8, SOP-8	1.8...16.5	5/Per.	1000	MAX1771 с меньшим входным напряжением
MAX630	DIP-8, SOP-8	2.7...16.5	Per.	30 мВт	Улучшенный RC4123
MAX631/632/633	DIP-8, SOP-8	1.5...5.6/12.6/15.6	5/12/15/Per.	40/25/20	Только 2 внешних компонента
MAX641/642/643	DIP-8, SOP-8	1.5...5.6/12.6/15.6	5/12/15/Per.	300/550/325	Контроллер частотно-импульсного модулятора
MAX756/757	DIP-8, SOP-8	1.1...1.5	(3.3/5)/Per.	240	86% КПД
MAX761/2	DIP-8, SOP-8	2...16.5	(12/15)/Per. до 16	120	Для флэш-памяти
MAX770/771/772	DIP-8, SOP-8	2...16.5	(5/12/15)/Per.	1000	Высокоэффективный контроллер
MAX773	DIP-14, SOP-14N	3...16.5	(5/12/15)/Per.	1000	Высоковольтный контроллер
MAX856/857	SOP-8, TSSOP-8	0.5...6	(3.3/5)/Per.	100	Малый корпус, КПД 86%
MAX858/859	SOP-8, TSSOP-8	0.5...6	(3.3/5)/Per.	25	Малый корпус, высокий КПД
MAX866/867	SOP-8	0.5...6	(3.3/5)/Per.	90	Малый ток покоя, минимальное напряжение 0.9 В
MAX1771	DIP-8, SOP-8	2...16.5	12/Per.	1000	Усовершенствованный MAX771
MAX1642/1643	TSSOP-8	0.7...5.5	3.3/Per.	90	Высокий КПД, синхронный выпрямитель
MAX1674/5/6	TSSOP-10	0.7...5.5	Per. 2...5	500	Низкий ток покоя, встроенный синхронный выпрямитель
MAX1678	TSSOP-8	0.7...5.5	3.3/Per.	45	Малошумящий, с высоким КПД
<b>ПОВЫШАЮЩИЕ DC/DC-ПРЕОБРАЗОВАТЕЛИ, ШИМ (PWM)</b>					
MAX668/669	TSSOP-10	1.8...28	Per.	1000	Регулируемый выход, вход до 28 В, $\mu$ MAX
MAX731	DIP-8, SOP-16W	1.8...5.25	5	200	—
MAX732	DIP-8, SOP-16W	4...9.3	12	200	—
MAX733	DIP-8, SOP-16W	4...11	15	125	Для программирования флэш-памяти
MAX734	DIP-8, SOP-8	1.9...12	12	120	—
MAX752	DIP-8, SOP-8	1.8...16	Per.	2.4 Вт	—
MAX848/849	SOP-16N	0.7 5.5	3.3/2.7...5	1000	Малошумящий, с постоянной частотой преобразования
MAX1700/1	SOP-8, SSOP-16	0.7...5.5	2.5...5.5	1000	Запуск с 1 В; MAX1700 содержит схему контроля батареи
MAX1703	SOP-16N	—	3.3/Per.	1500	Запуск с 1 В; КПД 92%
MAX1708/1709	SSOP-16, SOP-16N	0.7...5.5	(3.3/5)/Per.	1000	—
<b>ПОВЫШ./ПОНИЖ. DC/DC-ПРЕОБРАЗОВАТЕЛИ, ЧШИМ (PFM)</b>					
MAX710/711	SOP-16N	1.8...11	(3.3/5)/Per. 2.7...5	500	Бестрансформаторный, повышающий, линейный
MAX761	DIP-8, SOP-8	2.7...12	Per.1.5...6	200	Бестрансформаторный преобразователь
MAX1672	SSOP-16	1.8...11	(3.3/5)/Per. 2.7...5	300	Повышающий с автоматическим отключением при коротком замыкании

## МИКРОСХЕМЫ ДЛЯ ИМПУЛЬСНЫХ ИСТОЧНИКОВ ПИТАНИЯ ФИРМЫ MAXIM INTEGRATED PRODUCTS (ПРОДОЛЖЕНИЕ)

Прибор	Корпус	Входное напряжение, В	Выходное напряжение, В	Выходной ток, мА	Функциональное описание, особенности
<b>ИНВЕТИРУЮЩИЕ DC/DC-ПРЕОБРАЗОВАТЕЛИ, ЧШИМ (PFM)</b>					
MAX749	DIP-8, SOP-8	2...6	Цифр. Рег.	5 Вт	Цифровая регулировка отрицательного питания ЖКИ
MAX764/765/766	DIP-8, SOP-8	3...16.5	(-5/-12/-15)/ Рег. 21ст.	5 Вт	Малый ток покоя
MAX774/775/776	DIP-8, SOP-8	3...16.5	(-5/-12/-15)/Рег.	1000	Контроллеры с высоким КПД, большой диапазон выходного тока
MAX735/755	DIP-8, SOP-8	4...6.2	-5/Рег.	275	КПД > 80%
MAX736/737/739/759	DIP-14, SOP-16W	4...8.6	(-5/-12/-15)/Рег.	500	КПД > 80%
<b>ПОВЫШ./ИНВЕРТ. DC/DC-ПРЕОБРАЗОВАТЕЛИ, ЧШИМ (PFM)</b>					
MAX629	SOP-8	0.8...28	(V <sub>IN</sub> ...28)/0...(-28)		Встроенный ключ 30 В/5 А
MAX686	SSOP-16	0.8...27.5	(V <sub>IN</sub> ...27.5)/ 0...(-27.5)		Выход ЦАП, встроенный ключ 28 В/500 мА
MAX742	DIP-20, SOP-20W	4.2...10	±12, ±15	±15 Вт	Внешние КМОП-транзисторы
MAX743	DIP-20, SOP-20W	4.2...10	±12, ±15	±1.Е1165 Вт	Выходной каскад на КМОП-транзисторах
<b>ИМПУЛЬСНЫЕ СТАБИЛИЗАТОРЫ С НЕСКОЛЬКИМИ ВЫХОДАМИ</b>					
MAX624	SOP-16N	3...5.5	5/(12/Рег.)	200	ЧШИМ (PFM), тактовая частота 1.24 МГц
MAX685	SSOP-16	2.7...5.5	+2.7...24, -1.3...-9		ШИМ (PWM), для приборов с зарядовой связью
MAX769	SSOP-28	1.5...5.5	Много	115	ШИМ (PWM), источник питания для цифровой связи
MAX847	SSOP-28	0.8...1.8	Много	115	ШИМ (PWM), источник питания для цифровой связи
MAX863	SSOP-16	1.5...11	Два Рег.	1000 каждый	Низкий ток покоя, высокий КПД
MAX1677	SSOP-16	0.7...5.5	3.3/Рег. + Рег.	300	Для питания ЖКИ, логический вход управления
MAX1705/1706	SSOP-16	0.7...5.5	—	1000/500	Запуск с 1 В; малое проходное напряжение (LDO)
<b>МНОГОФУНКЦИОНАЛЬНЫЕ МИКРОСХЕМЫ УПРАВЛЕНИЯ ИСТОЧНИКАМИ ПИТАНИЯ</b>					
MAX781	SSOP-36	5...18	3.3, 14	—	Контроллер 50 Вт преобразователей для компьютеров
MAX782	SSOP-36	5...30	3.3, 5, 14	—	Контроллер 50 Вт преобразователей для компьютеров
MAX783	SSOP-36	5...30	3.3, 5, 14	—	Контроллер 50 Вт преобразователей для компьютеров
MAX786	SSOP-36	5...30	3.3, 5	—	Контроллер 50 Вт преобразователей для компьютеров
MAX1630/1/2/3/4/5	SSOP-28	4.2...30	3.3 или Рег./ 5 или Рег.	50	Высокопроизводительный контроллер для компьютеров класса "notebook"

### ОСОБЕННОСТИ

- ♦ Прямое преобразование переменного напряжения 110/220 В в постоянное 5 В
- ♦ Минимальное число внешних элементов
- ♦ Предварительная установка выходного напряжения ..... 5 В  $\pm 4\%$
- ♦ Типовой ток потребления ..... 70 мкА
- ♦ Обнаружение пониженного/повышенного напряжения
- ♦ Схема сброса при включении питания с программируемой задержкой
- ♦ Программируемое ограничение тока
- ♦ Программируемое выходное напряжение ..... 1.3...15 В

### ПРИМЕНЕНИЕ

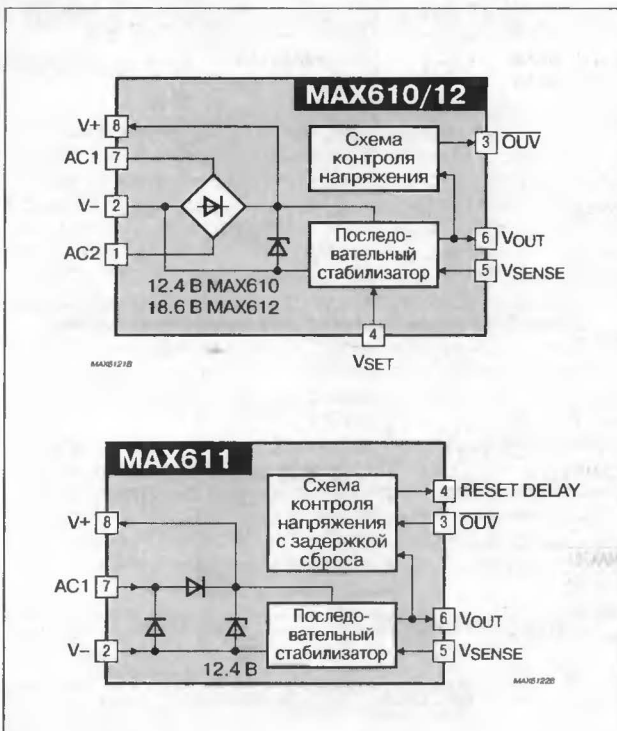
- ♦ Источники питания с минимальным количеством внешних компонентов
- ♦ Устройства бесперебойного питания 5 В
- ♦ Прецизионные зарядные устройства
- ♦ Приборы с линейным (сетевым) питанием
- ♦ Средства промышленного контроля
- ♦ Тиристорные схемы управления

### ОБЩЕЕ ОПИСАНИЕ

Микросхема MAX612 представляет собой мощный преобразователь переменного напряжения в постоянное выходное напряжение, имеющий минимум внешних компонентов, малый размер и вес, таким образом минимизируется полная стоимость и упрощается разработка всего проекта. При входном напряжении 8 В (rms) MAX612 требует наличия одного фильтрующего конденсатора для получения законченного источника питания с выходом 5 В/50 мА. При добавлении токоограничивающего резистора и конденсатора можно получить источник питания с входом 110/220 В (AC) и выходом 5 В (DC).

Приборы серии отличаются тремя аспектами: одно- или двухполупериодное выпрямление, ограничительный стабилитрон на 12 или 18 В и назначение вывода 4, который служит для установки выходного напряжения либо для установки временной задержки. MAX610 имеет двухполупериодный выпрямитель, стабилитрон на 12 В и фиксированный выход 5 В с возможностью регулировки в пределах 1.3...9 В. MAX611 имеет однополупериодный выпрямитель, стабилитрон на 12 В, фиксированный выход 5 В и вывод 4 для установки времени задержки сброса выхода. MAX612 имеет двухполупериодный выпрямитель, стабилитрон на 18 В и предустановленное выходное напряжение 5 В с возможностью регулировки от 1.3 до 15 В.

### СТРУКТУРНАЯ СХЕМА

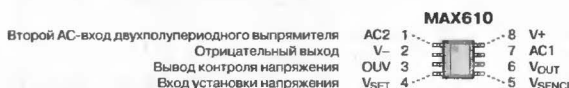


### ТИПОНОМИНАЛЫ

Типономинал	Корпус	Диапазон рабочих температур, °C
MAX610CPA	PDIP-8	0...+70
MAX610CSA	SOP-8	0...+70
MAX611CPA	PDIP-8	0...+70
MAX611CSA	SOP-8	0...+70
MAX612CPA	PDIP-8	0...+70
MAX612CSA	SOP-8	0...+70

### ЦОКОЛЕВКА КОРПУСОВ

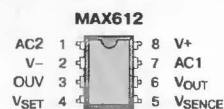
#### Пластмассовый корпус типа SOP-8



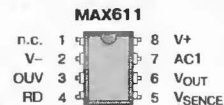
#### Пластмассовый корпус типа SOP-8



#### Пластмассовый корпус типа DIP-8



#### Пластмассовый корпус типа DIP-8



СХЕМЫ ВКЛЮЧЕНИЯ

Рис. 1. Сетевой источник питания 220 В(AC) в 5 В(DC) с однополупериодным выпрямлением

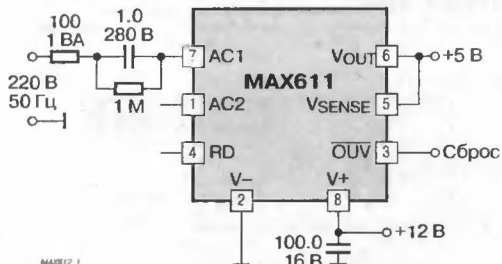


Рис. 2. Трансформаторный источник питания нв 5 В

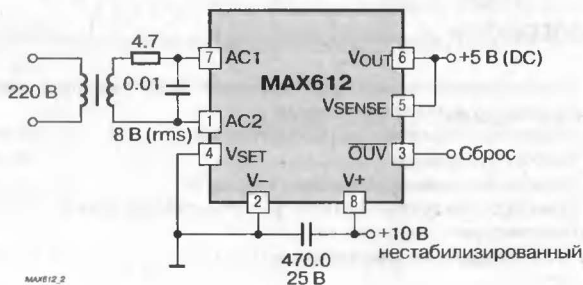


Рис. 3. Источник питания с регулируемым выходом

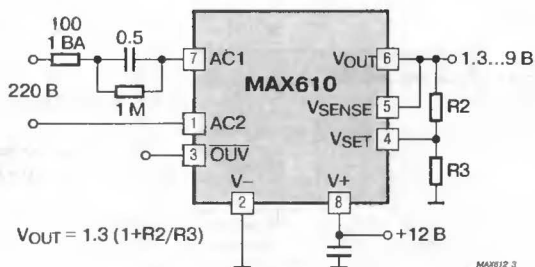


Рис. 4. Схема управления симистором с управляющим напряжением +12 В

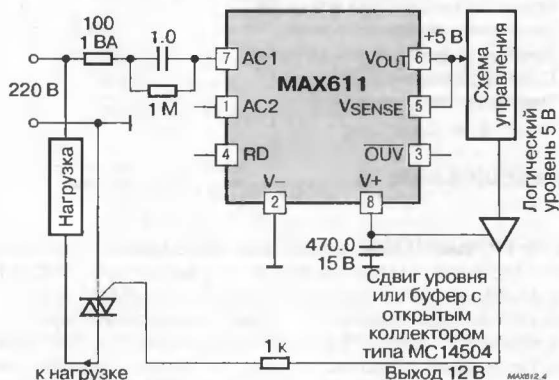


Рис. 5. Схема батарейного питания с защитой от смены полярности

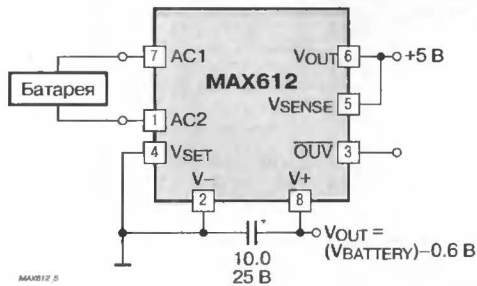
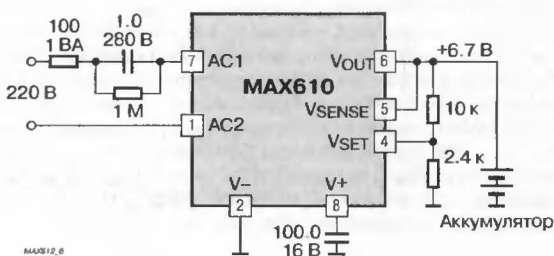


Рис. 6. Простое зарядное устройство





## КОНТРОЛЛЕР ПОВЫШАЮЩЕГО ШИМ-ПРЕОБРАЗОВАТЕЛЯ НАПРЯЖЕНИЯ

### ОСОБЕННОСТИ

- ♦ Минимальное напряжение запуска ..... 1.8 В (MAX669)
- ♦ Широкий диапазон входного напряжения ..... 1.8...28 В
- ♦ Миниатюрный 10-выводной корпус  $\mu$ MAX
- ♦ Токковый режим управления ШИМ и режим Idle Mode™
- ♦ КПД ..... выше 90 %
- ♦ Регулируемый генератор ..... 100...500 кГц
- ♦ Внешняя синхронизация
- ♦ Ток потребления ..... 220 мкА
- ♦ Логический вход блокировки
- ♦ Мягкий запуск

### ПРИМЕНЕНИЕ

- ♦ Телефоны для сотовой связи
- ♦ Телекоммуникационное оборудование
- ♦ Локальные вычислительные сети и системы
- ♦ Кассовые аппараты

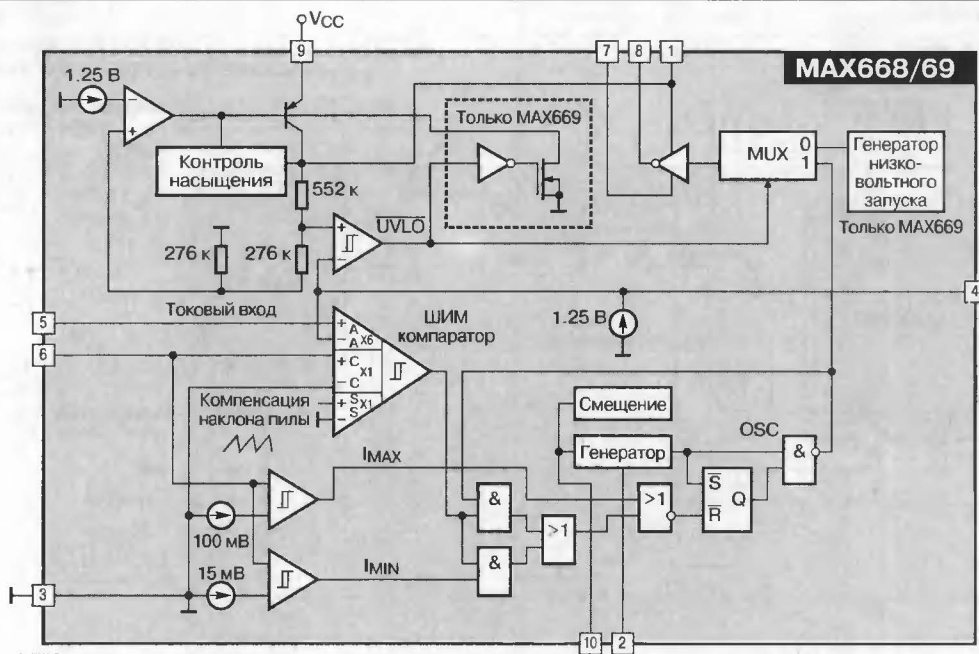
### ОБЩЕЕ ОПИСАНИЕ

Микросхемы MAX668/MAX669 представляют собой DC/DC-контроллеры, работающие на постоянной частоте, в токовом режиме широтно-импульсной модуляции (ШИМ), предназначенные для построения повышающих и обратноходовых преобразователей с изолированным и неизолированным выходом с выходной мощностью свыше 20 Вт и КПД более 90%. Диапазон входного напряжения составляет 1.8...28 В. Микросхемы выполнены по БикМОП-технологии и сочетают низкий рабочий ток (220 мкА), регулируемую рабочую частоту (100...500 кГц), мягкий запуск и внешнюю синхронизацию.

Высокая эффективность DC/DC-преобразования достигается использованием низкого токоизмерительного напряжения 100 мВ и фирменной схемой управления Idle Mode™. На средних и больших нагрузках контроллер работает в ШИМ-режиме, что обеспечивает низкий шум и высокий КПД. При слабой нагрузке для снижения тока катушки индуктивности и рабочего тока схемы прибор работает с пропуском импульсов. Вход блокировки с логическим управлением переводит схему в дежурный режим с током потребления 3.5 мкА.

Микросхема MAX669 оптимизирована для низких входных напряжений с минимальным напряжением запуска 1.8 В, но требует фор-

### СТРУКТУРНАЯ СХЕМА



### ЦОКОЛЕВКА КОРПУСОВ

Пластмассовый корпус типа  $\mu$ MAX-10 (SSOP-10)

MAX668/669	
Выход стабилизатора 5 В	LDO 1
Вход установки частоты генератора	FREQ 2
Аналоговая земля	GND 3
Выход ИОН 1.25 В	REF 4
Вход обратной связи 1.25 В	FB 5
10 SYNC/SHDN	10 SYNC/SHDN
9 VCC	9 VCC
8 EXT	8 EXT
7 PGND	7 PGND
6 CS+	6 CS+
Контроль отключения и вход для синхронизации	
Вход питания внутреннего стабилизатора 5 В	
Выход управления затвором внешнего МОП-транзистора	
Силовая земля	
Положительный токоизмерительный вход	

сированного (bootstrap) питания (питание от выходного напряжения). Она поддерживает выходные напряжения до 28 В. MAX668 начинает работать от входного напряжения 3 В и может использоваться в схемах с форсированным или нефорсированным питанием (ИС питается от входного напряжения или другого источника). Обе микросхемы выпускаются в миниатюрном 10-выводном корпусе  $\mu$ MAX.

# ТИПОНОМИНАЛЫ

Типономинал	Корпус	Диапазон рабочих температур, °C
MAX668EUB	$\mu$ MAX-10	-40...+85
MAX669EUB	$\mu$ MAX-10	-40...+85

## СХЕМЫ ВКЛЮЧЕНИЯ

Рис. 1. Источник питания на базе MAX669 с питанием схемы от выходного напряжения 12 В

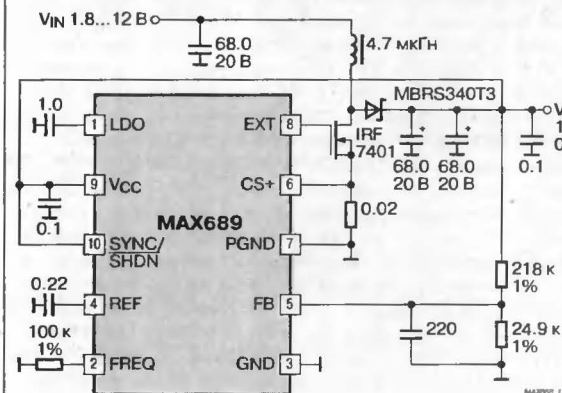


Рис. 2. Источник питания на базе MAX668 на 12 В/1 А

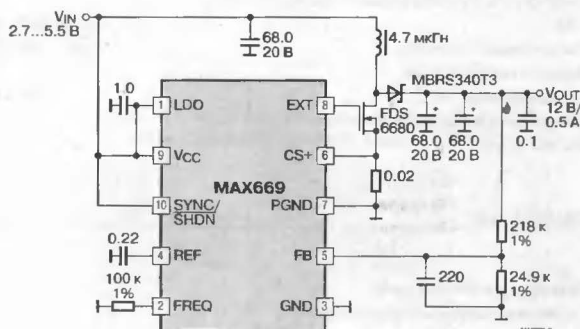


Рис. 3. SEPIC-схема включения MAX668

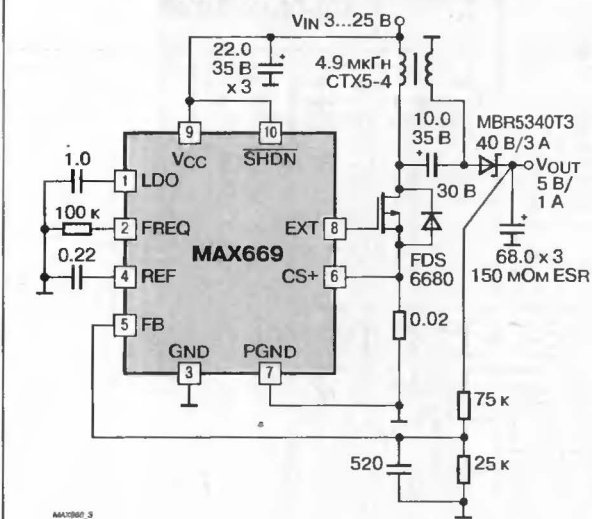
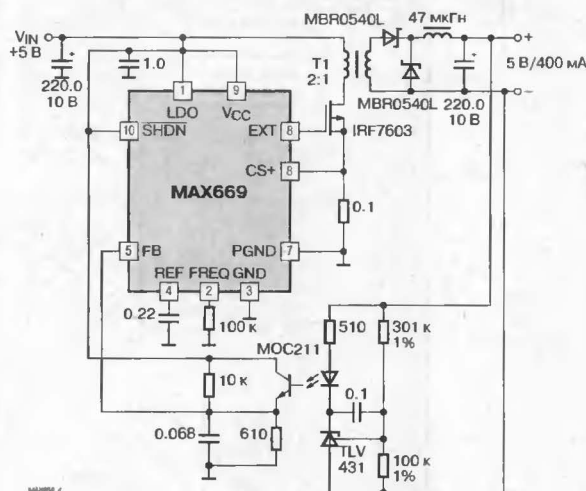


Рис. 4. Изолированный источник питания с входным напряжением 5 В и выходом 5 В/400 мА



## МАЛОШУМЯЩИЙ ПОВЫШАЮЩИЙ DC/DC-ПРЕОБРАЗОВАТЕЛЬ С ВЫСОКИМ КПД

### ОСОБЕННОСТИ

- ♦ Минимальное напряжение запуска ..... 0.87 В
- ♦ КПД ..... выше 90 %
- ♦ Встроенный синхронный детектор (никаких внешних диодов)
- ♦ Ультра миниатюрный корпус  $\mu$ MAX, высотой 1.1 мм
- ♦ Ток потребления
  - питание от двух элементов ..... 37 мкА
  - питание от одного элемента 1.5 В ..... 85 мкА
- ♦ Логический вход отключения ..... 2 мкА
- ♦ Датчик отказа питания
- ♦ Выход Dual Mode™
  - фиксированный ..... 3.3 В
  - регулируемый ..... 2...5.5 В
- ♦ Выходной ток (3.3 В) при питании от одного элемента ..... 45 мА
- ♦ Выходной ток (3.3 В) при питании от двух элементов ..... 90 мА
- ♦ Силовой ключ с пониженным уровнем электромагнитных помех

### ПРИМЕНЕНИЕ

- ♦ Пейджеры
- ♦ Дистанционное управление
- ♦ Индикаторные приборы
- ♦ Персональные медицинские мониторы
- ♦ Устройства с батарейным питанием от 1-го элемента

### ОБЩЕЕ ОПИСАНИЕ

Микросхема MAX1678 — высокоэффективный, низковольтный, повышающий DC/DC-преобразователь с синхронным выпрямлением. Применяется в устройствах с питанием от щелочной, NiMH или NiCd батареи на 1...3 элементах или литиевой батареи из одного элемента. Микросхема имеет напряжение запуска 0.87 В и низкий ток потребления 37 мкА.

Устройство включает n-канальный МОП-транзисторный ключ с сопротивлением открытого канала 1 Ом, синхронный выпрямитель, источник опорного напряжения, схему частотно-импульсной модуляции (ЧИМ) и схему подавления паразитных колебаний, вызванных катушкой индуктивности. Микросхемы поставляются в миниатюрном корпусе типа  $\mu$ MAX высотой 1.1 мм.

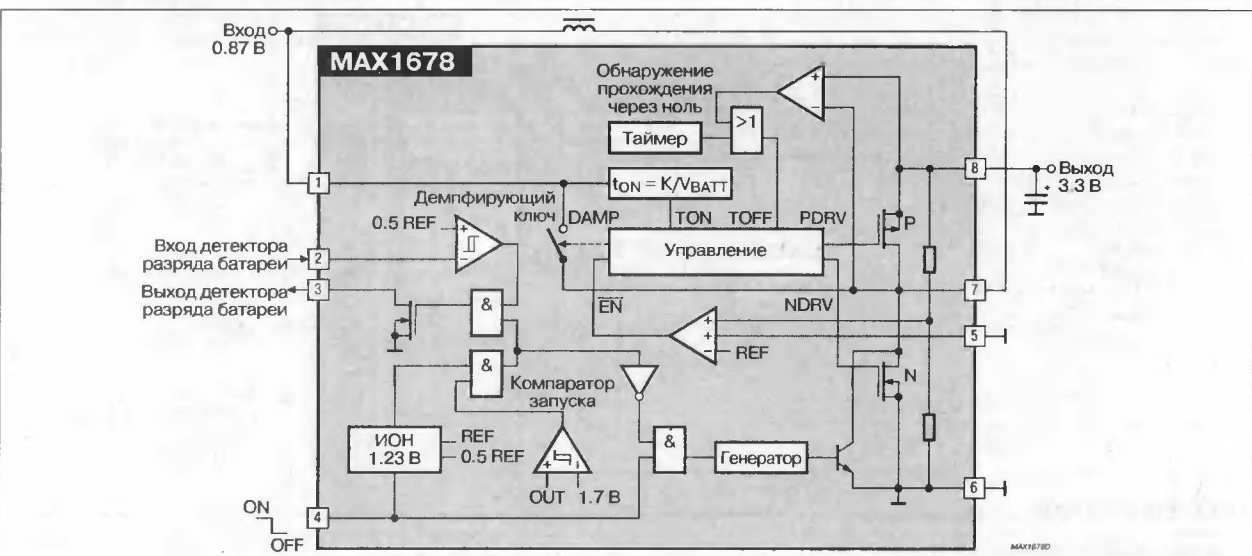
Выходное напряжение составляет 3.3 В и может регулироваться в пределах +2...+5.5 В при использовании двух внешних резисторов. КПД преобразователя при токе нагрузки до 50 мА — до 90 %.

Устройство также содержит независимый компаратор пониженного напряжения (PFI/PFO) и схему блокировки с логическим входом управления, ток потребления в дежурном режиме 2 мкА.

### ТИПОНОМИНАЛЫ

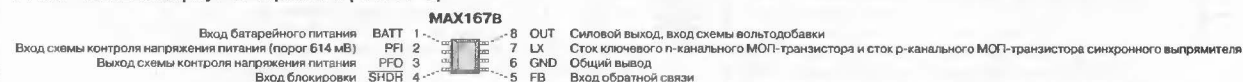
Типономинал	Корпус	Диапазон рабочих температур, °C
MAX1678EUA	$\mu$ MAX-8	-40...+85

### СТРУКТУРНАЯ СХЕМА И ТИПОВАЯ СХЕМА ВКЛЮЧЕНИЯ



### ЦОКОЛЕВКА КОРПУСОВ

Пластмассовый корпус типа  $\mu$ MAX-8 (TSSOP-8)



## МОЩНЫЙ МАЛОШУМЯЩИЙ ПОВЫШАЮЩИЙ DC/DC-ПРЕОБРАЗОВАТЕЛЬ НА 1.5 А

### ОСОБЕННОСТИ

- ♦ КПД ..... до 95 %
- ♦ Выходной ток ..... до 1.5 А
- ♦ Выходное напряжение
  - фиксированное ..... 5 В
  - регулируемое ..... 2.5...5.5 В
- ♦ Диапазон входного напряжения ..... 0.7...5.5 В
- ♦ Микромощный режим работы ..... 300 мкВт
- ♦ Низкий уровень шумов, режим работы с постоянной частотой ..... 300 кГц
- ♦ Синхронизируемая частота переключений ..... 200...400 кГц
- ♦ Дежурный режим с логическим входом управления ..... 1 мкА
- ♦ Дополнительный компаратор контроля напряжения
- ♦ Дополнительный усилитель

### ПРИМЕНЕНИЕ

- ♦ Цифровые беспроводные телефоны
- ♦ Телефоны персональной подвижной связи
- ♦ Носимые блоки (трубки) радиотелефонов
- ♦ Пейджеры
- ♦ Персональные коммуникаторы
- ♦ "Карманные" компьютеры
- ♦ Ручной инструмент

### ОБЩЕЕ ОПИСАНИЕ

Микросхема MAX1703 представляет собой повышающий DC/DC-преобразователь с высоким КПД и низким уровнем шума, предназначенный для использования в устройствах беспроводной связи с батарейным питанием. В схеме используется повышающее ШИМ-преобразование с синхронным выпрямлением входного напряжения батареи (от одного до трех NiCd/NiMH элементов или один Li-Ion элемент) в выходное напряжение 2.5...5.5 В. Устройство включает ключ на p-канальном МОП-транзисторе (2 А, 75 мОм) и r-канальный синхронный выпрямитель (140 мОм).

Внутренний синхронный выпрямитель позволяет повысить КПД на 5% по сравнению с несинхронными преобразователями. К особенностям схемы относится также маломощный режим с частотно-импульсной модуляцией (ЧИМ), что повышает КПД при малых нагрузках, и дежурный режим с током потребления 1 мкА.

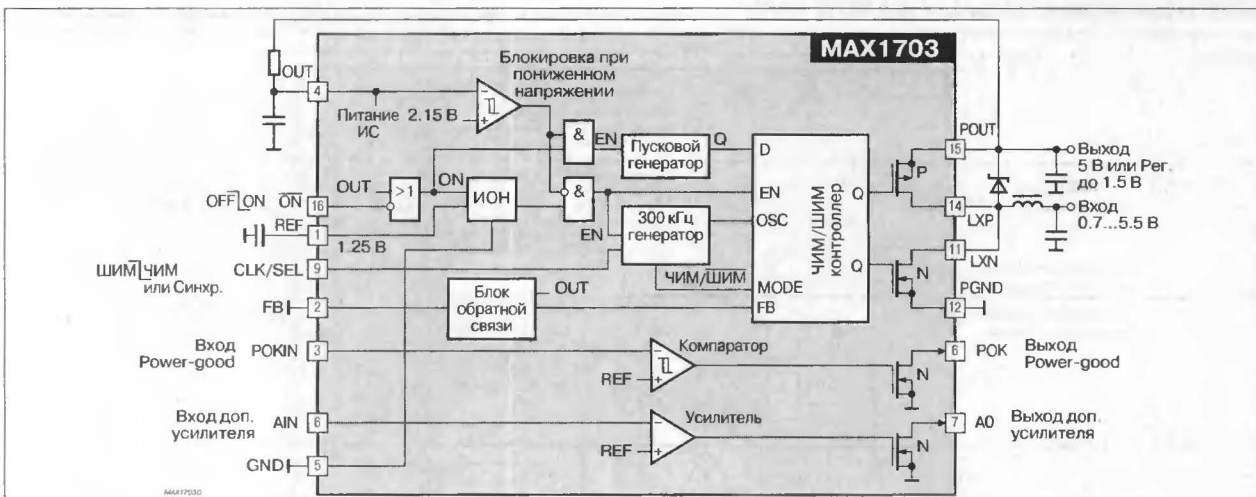
MAX1703 выпускается в узком 16-выводном корпусе типа SOP и включает отдельный компаратор, который может использоваться для контроля напряжения. Микросхема также содержит линейный усилитель, который может использоваться для построения линейного стабилизатора.

Имеется демонстрационная плата.

### ТИПОНОМИНАЛЫ

Типономинал	Корпус	Диапазон рабочих температур, °C
MAX1703ESE	SOP-16N	-40...+85

### СТРУКТУРНАЯ СХЕМА И ТИПОВАЯ СХЕМА ВКЛЮЧЕНИЯ



### ЦОКОЛЕВКА КОРПУСОВ

Пластмассовый корпус типа SOP-16N

Выход опорного напряжения	REF 1	16 ON	Вход блокировки
Вход обратной связи	FB 2	15 POUT	Исток p-канального ключа синхронного выпрямителя
Вход компаратора контроля напряжения	POKIN 3	14 LXP	Сток p-канального ключа синхронного выпрямителя
Выход преобразователя, питание схемы	OUT 4	13 POUT	Исток r-канального ключа синхронного выпрямителя
Земля	GND 5	12 PGND	Исток p-канального силового ключа
Вход дополнительного усилителя	AIN 6	11 LXN	Сток p-канального силового ключа
Выход дополнительного усилителя	AO 7	10 PGND	Исток n-канального силового ключа
Выход компаратора контроля напряжения	POK 8	9 CLK/SEL	Режим преобразования/вход синхронизации

## БЫСТРОДЕЙСТВУЮЩИЙ ПОВЫШАЮЩИЙ DC/DC-ПРЕОБРАЗОВАТЕЛЬ С ЦИФРОВЫМ УПРАВЛЕНИЕМ

### ОСОБЕННОСТИ

- ♦ Очень высокий КПД
- ♦ Отсутствие токоизмерительного резистора (ограничение тока без потерь)
- ♦ Быстродействующий ШИМ, отклик на изменение нагрузки ..... 100 нс
- ♦ Нестабильность  $V_{OUT}$  по напряжению и току во всём диапазоне .....  $\pm 1\%$
- ♦ 4-разрядный встроенный ЦАП (MAX1710)
- ♦ 5-разрядный встроенный ЦАП (MAX1711)
- ♦ Выходное напряжение ..... 0.925...2 В (MAX1711)
- ♦ Входное напряжение ..... 2... 28 В
- ♦ Рабочая частота ..... 200/300/400/550 кГц
- ♦ Удалённое считывание GND и  $V_{OUT}$
- ♦ Защита от пониженного и повышенного напряжения
- ♦ Цифровой мягкий запуск ..... 1.7 мс
- ♦ Управление мощными полевыми транзисторами синхронного выпрямителя
- ♦ Опорное напряжение ..... 2 В  $\pm 1\%$
- ♦ Индикатор Power-Good
- ♦ Небольшой 24-выводной корпус QSOP

### ПРИМЕНЕНИЕ

- ♦ Компьютеры класса Notebook
- ♦ DC/DC-преобразователи для центрального процессора
- ♦ Одноступенчатые преобразователи (BATT в  $V_{CORE}$ )
- ♦ Двухступенчатые преобразователи (+5 В в  $V_{CORE}$ )

### ТИПОНОМИНАЛЫ

Типономинал	Корпус	Диапазон рабочих температур, °C
MAX1710EEG	QSOP-24	-40...+85
MAX1711EEG	QSOP-24	-40...+85

### ОБЩЕЕ ОПИСАНИЕ

Микросхемы MAX1710/MAX1711 представляют собой понижающие DC/DC-преобразователи, предназначенные для питания центральных процессоров в компьютерах класса Notebook. Они отличаются быстродействующей переходной характеристикой, высокой точностью и высоким КПД, необходимым для источников питания центрального процессора. Собственная разработка фирмы Maxim — быстродействующая ШИМ-схема управления QUICK-PWM™ с постоянным временем открытого ключа позволяет работать с широким диапазоном входных и выходных напряжений и обеспечивает мгновенный (100 нс) отклик на изменение нагрузки, поддерживая рабочую частоту относительно постоянной.

Высокую точность преобразования обеспечивает 2-проводная схема удалённого считывания, которая компенсирует падение напряжения на шине питания и силовой земле. Встроенный цифро-аналоговый преобразователь (ЦАП) устанавливает выходное напряжение в соответствии с техническими требованиями Mobile Pentium II® CPU. MAX1710 имеет высокий КПД при низкой стоимости, т.к. не содержит токоизмерительного резистора, традиционного для ШИМ-схем с управлением по току. Микросхема способна управлять мощными МОП-транзисторами синхронного выпрямителя.

Одноступенчатое понижающее (buck) преобразование позволяет использовать эти приборы с максимальным КПД для непосредственного питания от высоковольтных батарей. Альтернативное, 2-ступенчатое преобразование (используется для понижения системного питания +5 В вместо батареи) производится на большей частоте и позволяет получить минимальные размеры преобразователя напряжения.

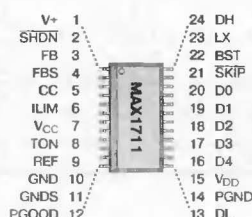
Микросхемы MAX1710 и MAX1711 идентичны, за исключением того, что MAX1711 имеет 5-разрядный, а не 4-разрядный ЦАП. Также, MAX1711 имеет фиксированный порог защиты от повышенного ( $V_{OUT} = 2.25$  В) и пониженного ( $V_{OUT} = 0.8$  В) напряжения, тогда как MAX1710 имеет регулируемые пороги  $V_{OUT}$ . Микросхема MAX1711 предназначена для таких применений, где коды ЦАП могут изменяться динамически.

### ЦОКОЛЕВКА КОРПУСОВ

#### Пластмассовый корпус типа QSOP-24 (SSOP-24)



Выход схемы управления верхним ключом  
Подключение индуктивности  
Конденсатор вольтодобавки  
Выход управления маломощным режимом  
Входы ЦАП  
Входы ЦАП  
Входы ЦАП  
Входы ЦАП  
Выход управления защитой от перенапряжения  
Напряжение питания схемы управления нижним ключом  
Силовая земля  
Выход схемы управления нижним ключом





[illegible]

MAX1710						MAX1711					
D3	D2	D1	D0	Выходное напряжение, В		D4	D3	D2	D1	D0	Выходное напряжение, В
0	0	0	0	2.00		0	0	0	0	0	2.00
0	0	0	1	1.95		0	0	0	0	1	1.95
0	0	1	0	1.90		0	0	0	1	0	1.90
0	0	1	1	1.85		0	0	0	1	1	1.85
0	1	0	0	1.80		0	0	1	0	0	1.80
0	1	0	1	1.75		0	0	1	0	1	1.75
0	1	1	0	1.70		0	0	1	1	0	1.70
0	1	1	1	1.65		0	0	1	1	1	1.65
1	0	0	0	1.60		0	1	0	0	0	1.60
1	0	0	1	1.55		0	1	0	0	1	1.55
1	0	1	0	1.50		0	1	0	1	0	1.50
1	0	1	1	1.45		0	1	0	1	1	1.45
1	1	0	0	1.40		0	1	1	0	0	1.40
1	1	0	1	1.35		0	1	1	0	1	1.35
1	1	1	0	1.30		0	1	1	1	0	1.30
1	1	1	1	1.25		0	1	1	1	1	Блокировка
MAX1710						MAX1711					
D4	D3	D2	D1	D0	Выходное напряжение, В	D4	D3	D2	D1	D0	Выходное напряжение, В
1	0	0	0	0	1.275	1	0	0	0	0	1.275
1	0	0	0	1	1.250	1	0	0	0	1	1.250
1	0	0	1	0	1.225	1	0	0	1	0	1.225
1	0	0	1	1	1.200	1	0	0	1	1	1.200
1	0	1	0	0	1.175	1	0	1	0	0	1.175
1	0	1	0	1	1.150	1	0	1	0	1	1.150
1	0	1	1	0	1.125	1	0	1	1	0	1.125
1	0	1	1	1	1.100	1	0	1	1	1	1.100
1	1	0	0	0	1.075	1	1	0	0	0	1.075
1	1	0	0	1	1.050	1	1	0	0	1	1.050
1	1	0	1	0	1.025	1	1	0	1	0	1.025
1	1	0	1	1	1.000	1	1	0	1	1	1.000
1	1	1	0	0	0.975	1	1	1	0	0	0.975
1	1	1	0	1	0.950	1	1	1	0	1	0.950
1	1	1	1	0	0.925	1	1	1	1	0	0.925
1	1	1	1	1	Блокировка	1	1	1	1	1	Блокировка



# MICREL

<b>Микросхемы для импульсных источников питания фирмы Micrel</b> .....		<b>398</b>
<b>MIC2177</b>	Синхронный понижающий стабилизатор на ток 2.5 А .....	<b>399</b>
<b>MIC2571</b>	Серия импульсных повышающих стабилизаторов напряжения .....	<b>401</b>
<b>MIC3832/MIC3833</b>	ШИМ-контроллер с токовым питанием .....	<b>402</b>
<b>MIC4576</b>	Стабилизатор напряжения с выходным током 3 А .....	<b>404</b>

**МИКРОСХЕМЫ ДЛЯ ИМПУЛЬСНЫХ ИСТОЧНИКОВ ПИТАНИЯ ФИРМЫ MICREL**

Прибор	Выходное напряжение, В					Топология преобразователя	Входное напряжение, В	Выходной ток, А	Метод управления	Частота, кГц	Особенности					Корпус
	2.85	3.3	5	12	Per.						Skip-режим	Дежурный режим	Синхронизация	Ограничение тока	Защита от перегрева	
MIC2171					+	Повышающий	3...40	2.5	Ток	100		+			+	TO-220-5, TO-263-5
MIC2172					+	Повышающий	3...40	1.25	Ток	100			+	+	+	DIP-8, SOP-8
MIC3172					+	Повышающий	3...40	1.25	Ток	100		+		+	+	DIP-8, SOP-8
MIC2177		+	+		+	Синхронный понижающий	4.5...16.5	2.5	Ток	200	+	+	+	+	+	SOP-20
MIC2178		+	+		+	Синхронный понижающий	4.5...16.5	2.5	Ток	200	+	+	+	+	+	SOP-20
MIC2179		+	+		+	Синхронный понижающий	4.5...16.5	1.5	Ток	200	+	+	+	+	+	SSOP-20
MIC2570	(1)	(1)	(1)		+	Повышающий	1.3...15	0.13	Skip <sup>4)</sup>	20	+		+	+		SOP-8
MIC2571	(1)	(1)	(1)		+	Повышающий	0.9...15	0.12	Skip <sup>4)</sup>	20	+		+	+		MSOP-8
LM2574		+	+	+	+	Понижающий	4...40	0.5	Напряжение	52		+		+	+	DIP-8, SOP-14
MIC4574		+	+		+	Понижающий	4...24	0.5	Напряжение	200		+		+	+	DIP-8, SOP-14
LM2575		+	+	+	+	Понижающий	4...40	1	Напряжение	52		+		+	+	TO-220-5, TO-263-5, DIP-16, SO-24
MIC4575		+	+		+	Понижающий	4...24	1	Напряжение	200		+		+	+	TO-220-5, TO-263-5
LM2576		+	+	+	+	Понижающий	4...40	3	Напряжение	52		+		+	+	TO-220-5, TO-263-5
MIC3832					+	Двухтактный	15.9...21	1	Напряжение/ток	30...500		+	+	+		DIP-16, SOP-16
MIC3833					+	Двухтактный	8.3...21	1	Напряжение/ток	30...500		+	+	+		DIP-16, SOP-16
MIC4576		+	+		+	Понижающий	4...24	3	Напряжение	200		+		+	+	TO-220-5, TO-263-5
MIC38C42/44					+	Обратноходовой	15.5...20 <sup>2)</sup>	Внешний ПТ	Ток	500				+		DIP-8/14, SOP-8/14, MSOP-8/14
MIC38HC43/45					+	Обратноходовой	9...20 <sup>3)</sup>	Внешний ПТ	Ток	500				+		DIP-8/14, SO-8/14, MSOP-8/14

**Примечания:**

1) На выбор 2.85/3.3/5 В

2) Запуск 15.5 В, минимальное рабочее напряжение 10 В

3) Запуск 9 В, минимальное рабочее напряжение 8.2 В

4) Skip — Режим с пропуском импульсов при слабой нагрузке

## СИНХРОННЫЙ ПОНИЖАЮЩИЙ СТАБИЛИЗАТОР НА ТОК 2.5 А

### ОСОБЕННОСТИ

- Входное напряжение ..... 4.5...18 В
- Два режима работы для обеспечения высокого КПД:  
ШИМ ..... свыше 200 мА  
с пропуском импульсов ..... менее 200 мА
- Сопротивление встроенного силового ключа в открытом состоянии ..... 0.1 Ом
- Частота преобразования ..... 200 кГц
- Малый ток покоя
- ШИМ с переключением по току
- Защита от перегрева
- Блокировка при снижении входного напряжения

### ПРИМЕНЕНИЕ

- Высокоэффективные батарейные источники питания
- Преобразователи напряжения постоянного тока
- Сотовые телефоны
- Переносные компьютеры
- Переносной инструмент

### ОБЩЕЕ ОПИСАНИЕ

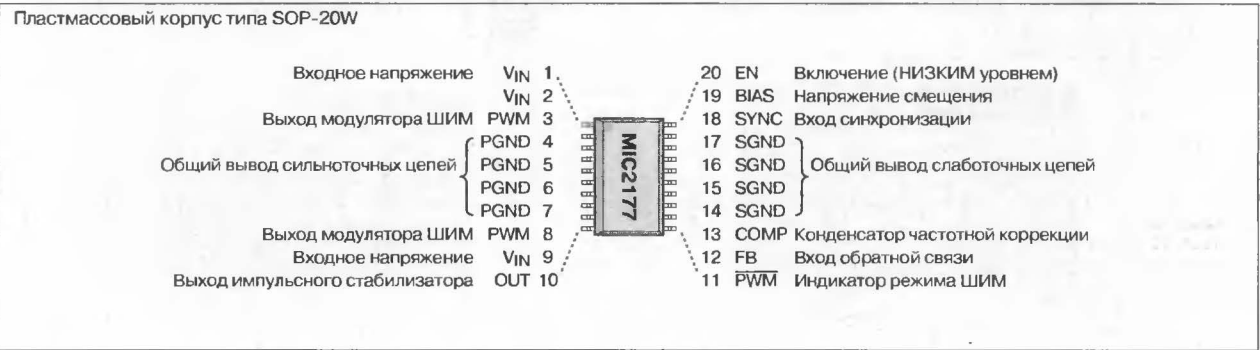
Микросхема MIC2177 представляет собой синхронный импульсный понижающий стабилизатор напряжения с частотой преобразования 200 кГц. Микросхема разработана для применения в высокоэффективных батарейных источниках питания.

Высокий КПД преобразователей (95%) в широком диапазоне токов нагрузки потребления достигается путем переключения из ШИМ-режима работы в прерывистый режим — с пропуском импульсов. Частота преобразования может синхронизироваться внешним сигналом до 300 кГц.

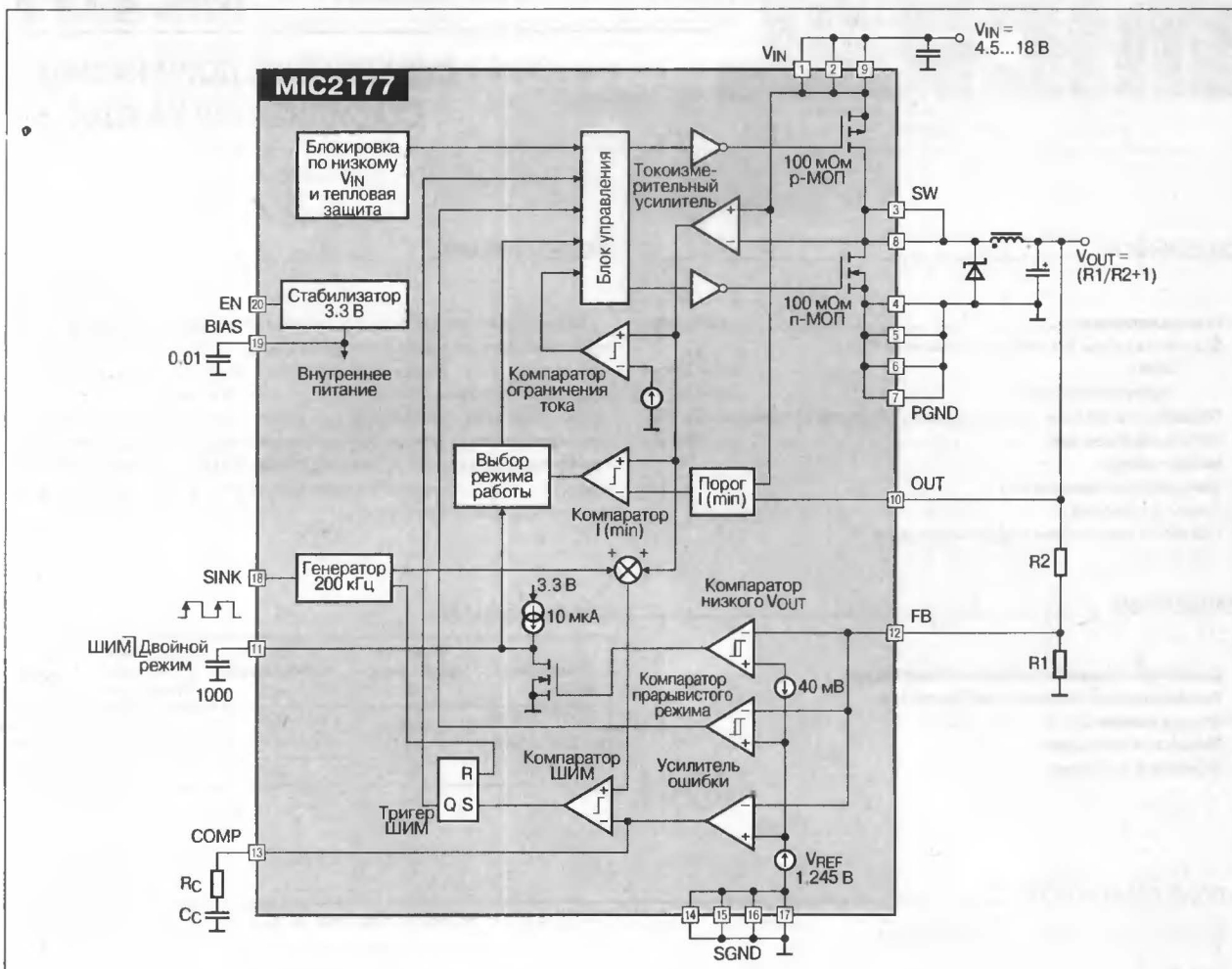
### ТИПОНОМИНАЛЫ

Типономинал	Выходное напряжение, В	Частота преобразования, кГц	Диапазон рабочих температур, °C	Корпус
MIC2177-3.3BWM	3.3	200	-40...+85	SOP-20W
MIC2177-5.0BWM	5.0	200	-40...+85	SOP-20W
MIC2177BWM	Рег.	200	-40...+85	SOP-20W

### ЦОКОЛЕВКА КОРПУСОВ



## СТРУКТУРНАЯ СХЕМА И ТИПОВАЯ СХЕМА ВКЛЮЧЕНИЯ



## СЕРИЯ ИМПУЛЬСНЫХ ПОВЫШАЮЩИХ СТАБИЛИЗАТОРОВ НАПЯЖЕНИЯ

### ОСОБЕННОСТИ

- ♦ Входное напряжение ..... 0.9...15 В
- ♦ Ток покоя ..... 120 мкА
- ♦ Площадь готовой платы стабилизатора ..... 2 см<sup>2</sup>
- ♦ Выходное напряжение
  - фиксированное ..... 2.85, 3.3, 5 В (MIC2571-1)
  - регулируемое ..... до 36 В (MIC2571-2)
- ♦ Максимальный входной ток ..... 1 А
- ♦ Отдельный вход синхронизации

### ПРИМЕНЕНИЕ

- ♦ Пейджеры
- ♦ ЖК-индикаторы
- ♦ Переносное оборудование с батарейным питанием
- ♦ Калькуляторы
- ♦ Аппаратура дистанционного управления
- ♦ Детекторы
- ♦ Батарейные источники питания

### ОБЩЕЕ ОПИСАНИЕ

Серия MIC2571 представляет собой микромощные импульсные повышающие стабилизаторы, работающие от напряжения одного щелочного, литиевого или никель-металлогидридного элемента. Микросхемы MIC2571-1 разработаны для применения в источниках питания с фиксированным выходным напряжением, MIC2571-2 — с перестраиваемым выходным напряжением до 36 В. Встроенный генератор задает фиксированную частоту преобразования 20 кГц, для подачи импульсов внешней частоты имеется отдельный вход синхронизации.

Микросхемы, предназначенные для работы с фиксированным выходным напряжением, включают в себя резистивный делитель напряжения.

### ТИПОНОМИНАЛЫ

Наименование	Диапазон рабочих температур, °C	Выходное напряжение, В	Частота преобразования, кГц	Корпус
MIC2571-1BMM	-40...+85	2.85, 3.3, 5	20	MSOP-8
MIC2571-2BMM	-40...+85	Регулируемое	20	MSOP-8

### СТРУКТУРНЫЕ СХЕМЫ И ТИПОВЫЕ СХЕМЫ ВКЛЮЧЕНИЯ

Рис. 1. Стабилизатор с выходным напряжением 2.85 В

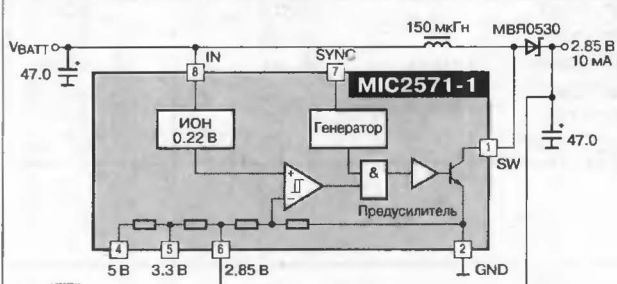
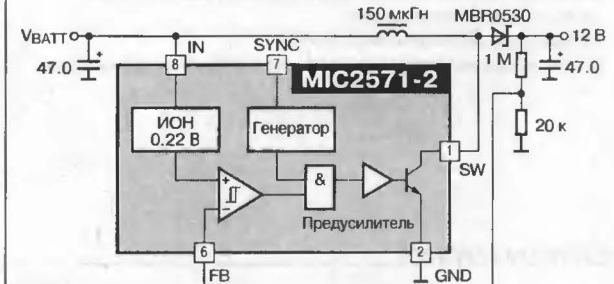


Рис. 2. Регулируемый стабилизатор напряжения



### ЦОКОЛЕВКА КОРПУСОВ

Пластмассовый корпус типа MSOP-8

Коллектор ключевого транзистора SW 1  
 Земля, общий вывод GND 2  
 Не используется п.с. 3  
 Вход делителя 5 В\* 5V 4

MIC2571-1

Входное напряжение IN 8  
 Вход синхронизации SYNC 7  
 Вход делителя 2.85 В\* 6  
 Вход делителя 3.3 В\* 5

Коллектор транзистора ключа SW 1  
 Земля, общий вывод GND 2  
 Не используется п.с. 3  
 Не используется п.с. 4

MIC2571-2

Входное напряжение IN 8  
 Вход синхронизации SYNC 7  
 Вход компаратора ошибки FB 6  
 Не используется п.с. 5

\* Входы делителя в цепи обратной связи для построения стабилизаторов с соответствующим выходным напряжением

### ОСОБЕННОСТИ

- Напряжение запуска
  - MIC3832 ..... 15.9 В
  - MIC3833 ..... 8.3 В
- Блокировка при пониженном напряжении
  - MIC3832 ..... 9.8 В
  - MIC3833 ..... 7.8 В
- Максимальное напряжение питания ..... 21 В
- Ток запуска
  - максимальный ..... 0.5 мА
  - типовой ..... 40 мкА
- Потребляемый ток ..... 17 мА (тип)
- Длительность фронтов импульса ..... 50 нс
- Частота тактового генератора ..... 30...500 кГц
- ШИМ может управляться как по напряжению, так и по току
- Мягкий запуск
- Источник опорного напряжения ..... 5 В  $\pm 2\%$ /20 мА
- Тотемный выход ..... 1 А
- Защитный стабилитрон на 22 В по питанию
- ШИМ-триггер с защелкой
- Регулируемый максимальный рабочий цикл
- Полоса пропускания усилителя ошибки ..... 5 МГц

### ПРИМЕНЕНИЕ

- Импульсные источники питания большой мощности, вырабатывающие несколько номиналов напряжения
- Изолированные высоковольтные источники
- Двухтактные источники и преобразователи напряжения с токовым питанием

### ОБЩЕЕ ОПИСАНИЕ

Микросхемы MIC3832 и MIC3833 представляют собой ШИМ-контроллеры, разработанные для применения в мощных импульсных источниках питания. К особенностям приборов относятся: блокировка при пониженном напряжении (UVLO) с гистерезисом, мягкий запуск с программируемой постоянной времени, ШИМ-триггер-защелка для предотвращения сдвоенных выходных импульсов и маскирование переднего фронта выходного импульса для схемы защиты по току. Схема преобразователя с токовым питанием позволяет избежать проблем, связанных с насыщением сердечника в результате сквозной проводимости двухтактной схемы, и уменьшить нагрузку на выходные транзисторы.

Микросхемы состоят из широтно-импульсного модулятора с рабочей частотой до 500 кГц и двух выходных каскадов, которые работают на половинной частоте при рабочем цикле 50%. В MIC3832 схема UVLO разрешает запуск при входном напряжении более 15.9 В и выключает схему при снижении напряжения питания ниже 9.8 В. MIC3833 запускается при напряжении более 8.3 В и выключается при 7.8 В. Внутренний стабилитрон на 22 В обеспечивает слаботочную защиту от повышенного напряжения (OVP).

Все три тотемных выходных каскада обеспечивают выходной ток управления внешними МОП, биполярными или IGBT-транзисторами до 1 А (peak). Выходы Q и Q имеют внутреннее время неперекрывания 50 нс.

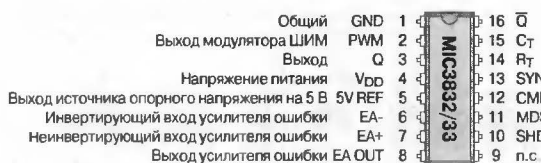
### ТИПОНОМИНАЛЫ

Типономинал	Диапазон рабочих температур, °C	Корпус
MIC3832AJB	-55...+125	CerDIP-16
MIC3832BN	-40...+85	PDIP-16
MIC3832BWM	-40...+85	SOP-16W
MIC3833AJB	-55...+125	CerDIP-16
MIC3833BN	-40...+85	PDIP-16
MIC3833BWM	-40...+85	SOP-16W

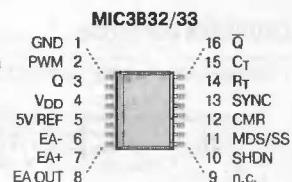
### ЦОКОЛЕВКА КОРПУСОВ

Корпус типа DIP-16

Пластмассовый корпус типа SOP-16W

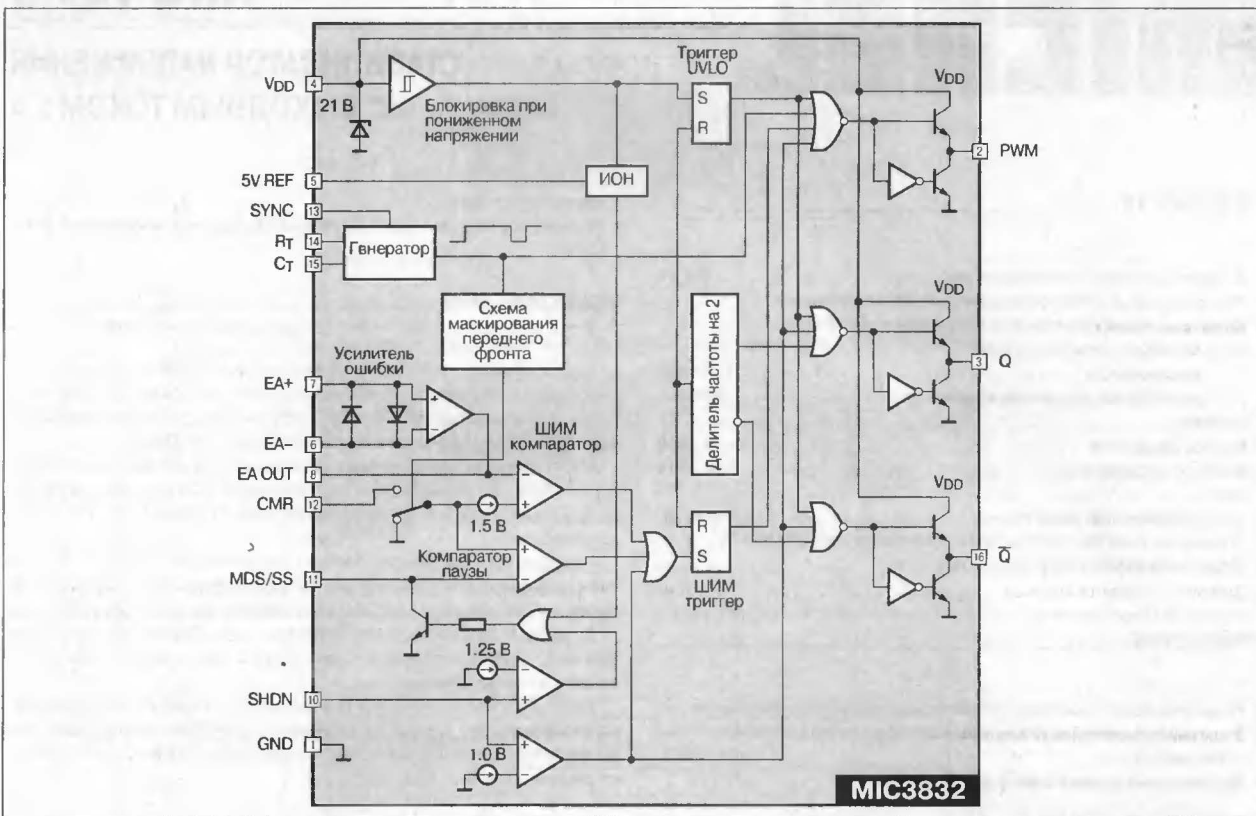


Инверсный выход  
Частотозадающий конденсатор тактового генератора  
Частотозадающий резистор тактового генератора  
Вход синхронизации  
Вход пилообразного напряжения модулятора ШИМ  
Максимальный рабочий цикл/мягкий запуск  
Вход блокировки  
Не используется



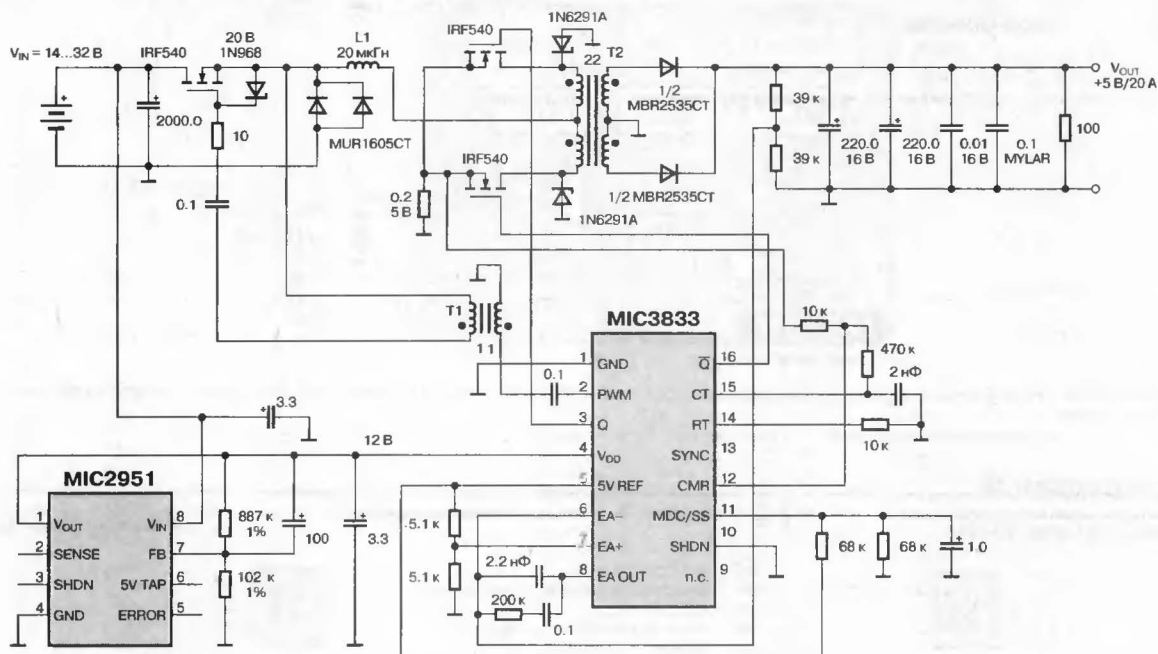


## СТРУКТУРНАЯ СХЕМА



## СХЕМА ПРИМЕНЕНИЯ

Двухтактный преобразователь напряжения мощностью 100 Вт с токовым питанием, КПД 75%



## СТАБИЛИЗАТОР НАПЯЖЕНИЯ С ВЫХОДНЫМ ТОКОМ 3 А

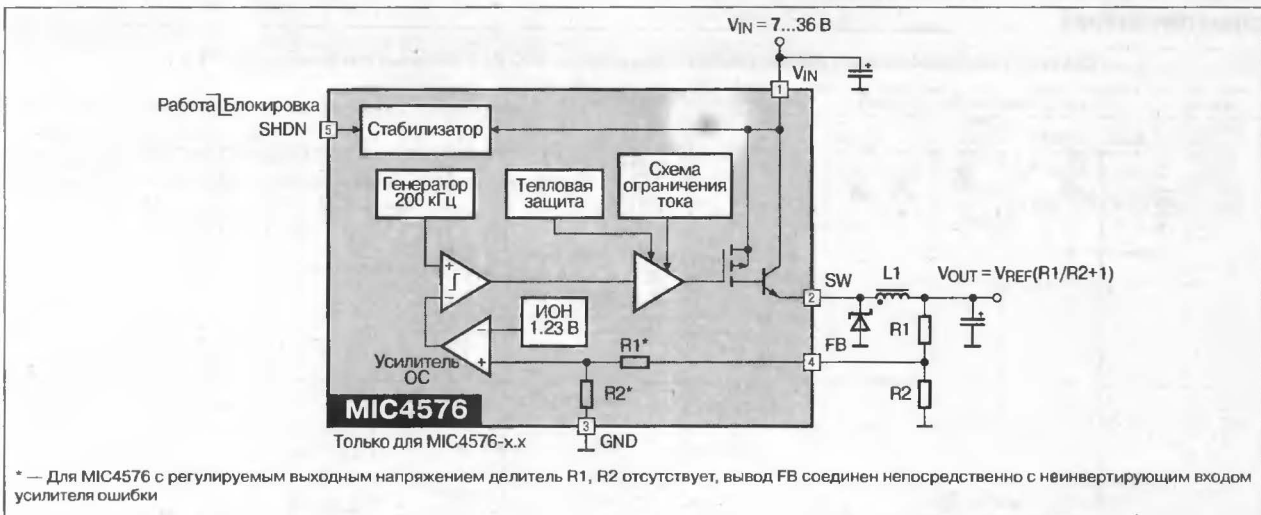
### ОСОБЕННОСТИ

- Фиксированная частота преобразования ..... 200 кГц
- Фиксированное (3.3, 5 В) и регулируемое выходное напряжение
- Точность выходного напряжения во всем рабочем диапазоне  
выходного напряжения и тока нагрузки
  - фиксированные .....  $\pm 3\%$  (max)
  - регулируемое, напряжение обратной связи .....  $\pm 2\%$  (max)
- Ток ключа ..... 3 А
- Входное напряжение ..... 4...36 В
- Выходное напряжение ..... 1.23...30 В
- КПД .....  $> 75\%$
- Ток потребления в дежурном режиме ..... 200 мкА (typ)
- Стандартное значение индуктивности на 25% меньше, чем для LM2576
- Защита от перегрева и перегрузки по току

### ПРИМЕНЕНИЕ

- Несложные высокоэффективные понижающие стабилизаторы напряжения
- Высокоэффективные предварительные источники питания для линейных стабилизаторов
- Положительные и отрицательные преобразователи

### СТРУКТУРНАЯ СХЕМА



### ЦОКОЛЕВКА КОРПУСОВ

5-выводной корпус TO-220



5-выводной корпус TO-263



СХЕМЫ ВКЛЮЧЕНИЯ

Рис. 1. Схема стабилизатора с выходным напряжением 5 В

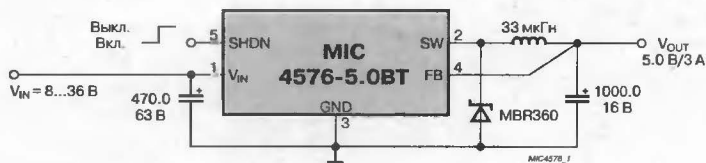
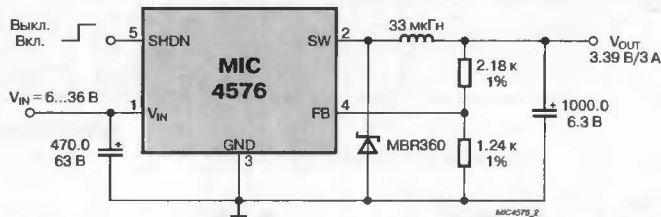


Рис. 2. Схема стабилизатора с регулируемым выходным напряжением



ТИПОНОМИНАЛЫ

Наименование	Выходное напряжение, В	Диапазон рабочих температур, °C	Корпус
MIC4576-3.3BT	3.3	-40...+85	TO-220-5
MIC4576-5.0BT	5.0	-40...+85	TO-220-5
MIC4576BT	Регулируемое	-40...+85	TO-220-5
MIC4576-3.3BU	3.3	-40...+85	TO-263-5
MIC4576-5.0BU	5.0	-40...+85	TO-263-5
MIC4567BU	Регулируемое	-40...+85	TO-263-5

# Micro Linear

## Микросхемы для импульсных источников питания фирмы Micro Linear:

Контроллеры коэффициента мощности .....	407
Высокочастотные ШИМ-контроллеры .....	407
Комбинированные ККМ/ШИМ-контроллеры .....	407
Резонансные и фазомодулирующие контроллеры .....	407
Повышающие стабилизаторы для батарейного питания .....	408
DC/DC-преобразователи для батарейного питания .....	408
<b>ML4770</b> Регулируемый повышающий стабилизатор, работающий от двух элементов питания .....	409
<b>ML4803</b> Комбинированный контроллер ШИМ и коэффициента мощности .....	410
<b>ML4822</b> Контроллер коэффициента мощности .....	412
<b>ML4890</b> Повышающий стабилизатор с малыми пульсациями выходного напряжения .....	414

## МИКРОСХЕМЫ ДЛЯ ИМПУЛЬСНЫХ ИСТОЧНИКОВ ПИТАНИЯ ФИРМЫ MICRO LINEAR

## КОНТРОЛЛЕРЫ КОЭФФИЦИЕНТА МОЩНОСТИ

Прибор	Разброс опорного напряжения	Корпус	Схемотехника	Коэффициент мощности	Выходная мощность, Вт	Пиковое выходное напряжение	Выходной ток, А	Мягкий запуск	OVP	UVLO	Прямая связь по $V_{IN}$	Зависимость макс. тока от напряжения питания
ML4812	±1%	DIP-16, PLCC-20	Повышающий (пиковый ток)	0.99	> 50	$V_{OUT} > V_{IN}$	1	+	+	+	+	
ML4813	±1%	DIP-16, SOP-16W	Обратноходовой	0.99	< 250	$V_{OUT} > \text{или} < V_{IN}$	1	+	+	+	+	
ML4821	±2%	DIP-18, SOP-20	Повышающий (средний ток)	0.99	> 500	$V_{OUT} > V_{IN}$	1	+	+	+	+	+
ML4822	±1%	DIP-14, SOP-16W	Повышающий (средний ток) с мягким переключением	0.99	> 1000	$V_{OUT} > V_{IN}$	0.5	+	+	+	+	+

## ВЫСОКОЧАСТОТНЫЕ ШИМ-КОНТРОЛЛЕРЫ

Прибор	Функциональное назначение	Корпус	Мягкий запуск	UVLO	Управление	$f_{\text{max}}$ , МГц	Выходной ток, А (peak)	Ограничение тока
ML4817	Высокочастотный ШИМ-контроллер	DIP-16, SOP-16W	+	+	Напряжение/ток	1	2	+
ML4823	Высокочастотный ШИМ-контроллер	DIP-16, SOP-16W, PLCC-20	+	+	Ток	1	2	+
ML4825	Высокочастотный ШИМ-контроллер	DIP-16, SOP-16W, PLCC-20	+	+	Ток	1	2	+

## КОМБИНИРОВАННЫЕ ККМ/ШИМ-КОНТРОЛЛЕРЫ

Прибор	Максимальная частота ККМ/ШИМ, кГц	Корпус	Особенности	Выход ШИМ	Выходной ток, А	Мягкий запуск	Ограничение тока	Аварийный детектор (х3)	OVP $V_{CC}$	Зависимость макс. тока от напряжения питания
ML4800	200/200	DIP-16, SOP-16N	Повышающий (средний ток)	Однотактный	0.5 (15 Вт)	+	+	+		+
ML4801	200/400	DIP-16, SOP-16N	Повышающий (средний ток)	Однотактный	0.5 (15 Вт)	+	+	+		+
ML4802	200/400	DIP-16, SOD-16N	Повышающий (средний ток), Green Mode	Однотактный	0.5 (15 Вт)	+	+	+		+
ML4803-1	80/80	DIP-8, SOP-8, TSSOP-8	Повышающий (пиковый или средний ток)	Однотактный	1 (15 Вт)	+	+	+	+	+
ML4803-2	80/180	DIP-8, SOP-8, TSSOP-8	Повышающий (пиковый или средний ток)	Однотактный	1 (15 Вт)	+	+	+	+	+
ML4805	250/500	DIP-18, SOP-18	Повышающий (напряжение или средний ток)	Однотактный	0.5 (15 Вт)	+	+	+		+
ML4819	500/500	DIP-20, SOP-20	Повышающий (пиковый ток)	Однотактный	1		+			
ML4824-1	500/500	DIP-16, SOP-16W	Повышающий (средний ток)	Однотактный	0.5	+	+			+
ML4824-2	250/500	DIP-16, SOP-16W	Повышающий (средний ток)	Однотактный	0.5	+	+			+
ML4826-1	500/500	DIP-20, SOP-20	Повышающий (средний ток)	Однотактный	0.5	+	+			+
ML4826-2	250/500	DIP-20, SOP-20	Повышающий (средний ток)	Двухтактный	0.5	+	+			+
ML4827-1	500/500	DIP-16, SOP-16N	Повышающий (средний ток), рабочий цикл ШИМ 50%	Однотактный	0.5	+	+	+		+
ML4827-2	500/500	DIP-16, SOP-16N	Повышающий (средний ток), рабочий цикл ШИМ 70%	Однотактный	0.5	+	+	+		+
ML4841	250/500	DIP-16, SOP-16W	Повышающий (средний ток) с регулируемой прямой связью	Однотактный	0.5	+	+			+

## Примечания:

ККМ — контроллер коэффициента мощности (PFC)

Green Mode — энергосберегающий режим при слабой нагрузке

UVLO — блокировка при пониженном напряжении

OVP — защита от перенапряжения

## РЕЗОНАНСНЫЕ И ФАЗОМОДУЛИРУЮЩИЕ КОНТРОЛЛЕРЫ

Прибор	Описание	Корпус	Режим переключения	UVLO	Управление	Аварийный детектор	Применение	$f_{\text{max}}$ , МГц	Выходной ток, А (peak)
ML4815	Резонансный преобразователь с переключением при нулевом напряжении	DIP-16, PLCC-20	Нулевое напряжение	+	Постоянное время открытого ключа	+	DC/DC	2	2
ML4816	Мультирежимный резонансный преобразователь	DIP-20, SOP-20	Мультирежимный	+	Постоянное время откр./закрыт. ключа	+	Сетевой, DC/DC	2.5	1.5
ML4818	Контроллер с фазовой модуляцией и мягким переключением	DIP-24N, SOP-24	Нулевое напряжение	+	Фазовая модуляция	+	Сетевой, DC/DC	0.5	1.5
ML4828	БКМОП контроллер с модуляцией фазы	DIP-20, SOP-20	Нулевое напряжение	+	Фазовая модуляция	+	Сетевой, DC/DC	1	1

Примечание: UVLO — блокировка при пониженном напряжении питания

## ПОВЫШАЮЩИЕ СТАБИЛИЗАТОРЫ ДЛЯ БАТАРЕЙНОГО ПИТАНИЯ

Прибор	Максимальный выходной ток при $V_{IN\ min}$ , мА*	Корпус	КПД, %	Ток потребления, мкА	Входное напряжение, В	Выходное напряжение, В	Архитектура	Особенности
ML4751	25	SOP-8	85	80	$1...V_{OUT}-0.2$	Per.: 3...5.5	ЧИМ	—
ML4761	50	SOP-8	90	70	$1...V_{OUT}-0.2$	Per.: 2.5...6	ЧИМ	—
ML4769	200	SOP-8	85	85	$1.8...V_{OUT}-0.2$	Per.: 3...5.5	ЧИМ	Входной ток до 1 А (peak), дежурный режим, откл. нагрузки
ML4770	300	SOP-8	85	85	$1.8...V_{OUT}-0.2$	Per.: 3...5.5	ЧИМ	Дежурный режим, откл. нагрузки
ML4771	300	SOP-8	90	50	$1.8...V_{OUT}-0.2$	Per.: 3...5.5	ЧИМ	—
ML4775	50	SOP-8	90	80	$1...V_{OUT}-0.2$	Per.: 2.5...5.5	ЧИМ	Дежурный режим, откл. нагрузки
ML4790	15	SOP-8	85	80	1...6	Per.: 2.5...5.5	ЧИМ + лин. стабилизатор с LDO	Выходные пульсации 5 мВ
ML4850	25	SOP-8	85	80	$1...V_{OUT}-0.2$	2.2/2.5	ЧИМ	Контроль разряда батареек
ML4851	45	SOP-8	85	80	$1...V_{OUT}-0.2$	3.3/5	ЧИМ	Контроль разряда батареек
ML4861	75	SOP-8	90	70	$1...V_{OUT}-0.2$	3.3/5/6	ЧИМ	Контроль разряда батареек
ML4865	50	SOP-8	85	55	1.8...10	Per./12	ЧИМ	Дежурный режим, откл. нагрузки
ML4868	15	SOP-8	90	70	$1.5...V_{OUT}-0.2$	3.3/5	ЧИМ	Контроль разряда батареек
ML4870	300	SOP-8	85	85	$1.8...V_{OUT}-0.2$	3.3/5	ЧИМ	Дежурный режим, откл. нагрузки
ML4871	400	SOP-8	90	50	$1.8...V_{OUT}-0.2$	3.3/5	ЧИМ	Контроль разряда батареек
ML4872	400	SOP-8	90	50	$1.8...V_{OUT}-0.2$	3.3/5	ЧИМ	Дежурный режим
ML4875	75	SOP-8	90	80	$1...V_{OUT}-0.2$	3/3.3/5	ЧИМ	Дежурный режим, откл. нагрузки
ML4890	35	SOP-8	85	80	1...6	3/3.3/5	ЧИМ + лин. стабилизатор с LDO	Выходные пульсации 5 мВ
ML4950	25	SOP-8	85	80	$1...V_{OUT}-0.2$	Per.: 2...3	ЧИМ	Контроль разряда батареек
ML4951	25	SOP-8	85	80	$1...V_{OUT}-0.2$	Per.: 3...5.5	ЧИМ	Контроль разряда батареек
ML4961	50	SOP-8	90	70	$1...V_{OUT}-0.2$	Per.: 2.5...6	ЧИМ	Контроль разряда батареек

Примечание: \* Максимальный выходной ток зависит от выходного напряжения; LDO — линейный стабилизатор с малым падением напряжения вход-выход

## ДС/ДС-ПРЕОБРАЗОВАТЕЛИ ДЛЯ БАТАРЕЙНОГО ПИТАНИЯ

Прибор	Описание	Корпус	Ток потребления, мкА	Входное напряжение, В	Выходное напряжение, В	Выходной ток, мА*	Особенности
ML4862	Контроллер питания ноутбука, лэптоп-компьютера	SOP-32	1600	5.5...22	3.3, 5, 12, ...	*	—
ML4863	Обратноходовой преобразователь	SOP-8	130	3.15...15	3.3, 5, 12, ...	*	Синхронный понижающий
ML4866	Понижающий стабилизатор	SOP-8	350	3.5...6.5	3.3	450	Пакетный режим
ML4873	Контроллер питания ноутбука, лэптоп-компьютера	SSOP-28, SOP-28	1400	5.5...24	3.3, 5, 12, ...	*	Индивидуальное отключение
ML4880	Контроллер питания ноутбука, лэптоп-компьютера	SOP-24	400	5.5...18	3.3, 5, 12, ...	*	Мощный выход 12 В
ML4894	Понижающий стабилизатор	SOP-8	150	5.9...15	5	*	Отключение
ML4895	Понижающий стабилизатор	SOP-8	150	5.9...15	Per.: 2.5...4	*	Отключение
ML4896	Сдвоенный понижающий стабилизатор	SOP-14	300	5.9...15	5, Per.: 2.5...4	*	Индивидуальное отключение
ML4900	Контроллер питания $V_{CCP}$ для Pentium Pro	SOP-16N, TSSOP-20	450	4.75...5.25	Per.: 2.1...3.5	*	4-разр. ЦАП, быстрый отклик
ML4901	Контроллер питания $V_{CCP}$ для Pentium Pro	SOP-16N, TSSOP-20	450	11.4...12.6	Per.: 2.1...3.5	*	4-разр. ЦАП, быстрый отклик
ML4902	Контроллер питания $V_{CCP}$ для Pentium II	TSSOP-20	900	4.75...5.25	Per.: 1.8...3.5	*	5-разр. ЦАП, недорогое решение для измерения тока
ML4903	Контроллер питания $V_{CCP}$ для Pentium II	TSSOP-20	900	11.4...12.6	Per.: 1.8...3.5	*	5-разр. ЦАП, недорогое решение для измерения тока

Примечание: \* Выходной ток контроллера определяется внешним МОП-транзистором



## РЕГУЛИРУЕМЫЙ ПОВЫШАЮЩИЙ СТАБИЛИЗАТОР, РАБОТАЮЩИЙ ОТ ДВУХ ЭЛЕМЕНТОВ ПИТАНИЯ

### ОСОБЕННОСТИ

- ♦ Возможность отключения от нагрузки в дежурном режиме
- ♦ Внутреннее синхронное выпрямление
- ♦ Минимальное входное напряжение при полной нагрузке ..... 1.8 В
- ♦ Минимальное число внешних компонентов, необходимое для работы
- ♦ Малый потребляемый ток
- ♦ Регулируемое выходное напряжение ..... 3...5.5 В
- ♦ Режим непрерывного тока дросселя для больших нагрузок
- ♦ Встроенный полевой транзистор с низким сопротивлением открытого канала

### ПРИМЕНЕНИЕ

- ♦ Устройства с батарейным питанием

### ОБЩЕЕ ОПИСАНИЕ

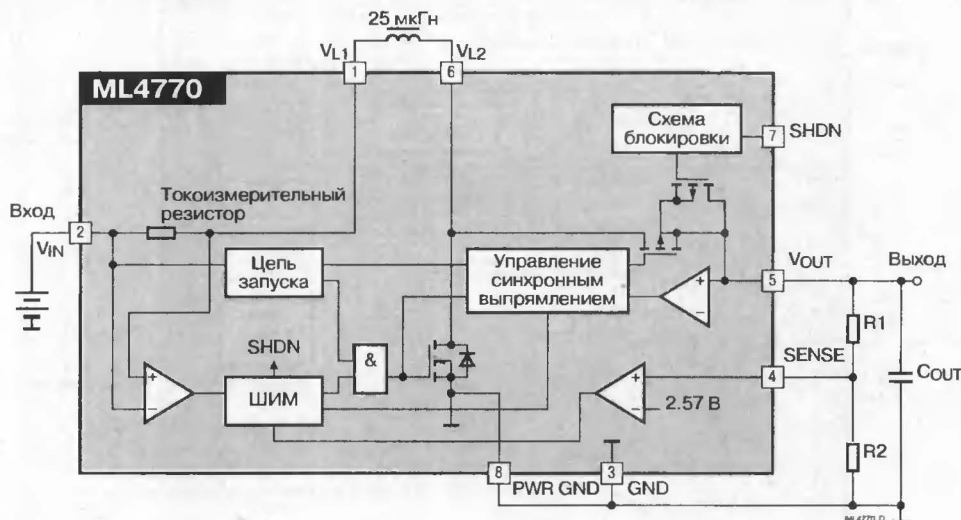
Микросхема ML4770 — импульсный повышающий стабилизатор напряжения с регулируемым выходом, предназначенный для работы в схемах с низковольтным батарейным питанием. Максимальная частота преобразования превышает 200 кГц, что позволяет применять малогабаритные индуктивные элементы. Микросхема начинает работать от напряжения 1.8 В. Выходное напряжение может быть установлено от 3 до 5.5 В внешним резистивным делителем, подключаемым ко входу SENSE. Встроенный синхронный выпрямитель позволяет избежать применения внешних диодов Шоттки и снизить падение напряжения на стабилизаторе, что приводит к повышению эффективности преобразования до 85%.

Вывод SHDN позволяет пользователю блокировать работу импульсного стабилизатора и полностью изолировать нагрузку от батареи.

### ТИПОНОМИНАЛЫ

Типономинал	Диапазон температур, °C	Корпус
ML4770CS	0...+70	SOP-8
ML4770E	-20...+70	SOP-8

### СТРУКТУРНАЯ СХЕМА И СХЕМА ПРИМЕНЕНИЯ



### ЦОКОЛЕВКА КОРПУСОВ

Пластмассовый корпус типа SOP-8

Вывод подключения дросселя  
Входное напряжение  
Земля  
Вход ОС по напряжению



Силовая земля  
Блокировка  
Вывод подключения дросселя  
Выходное напряжение

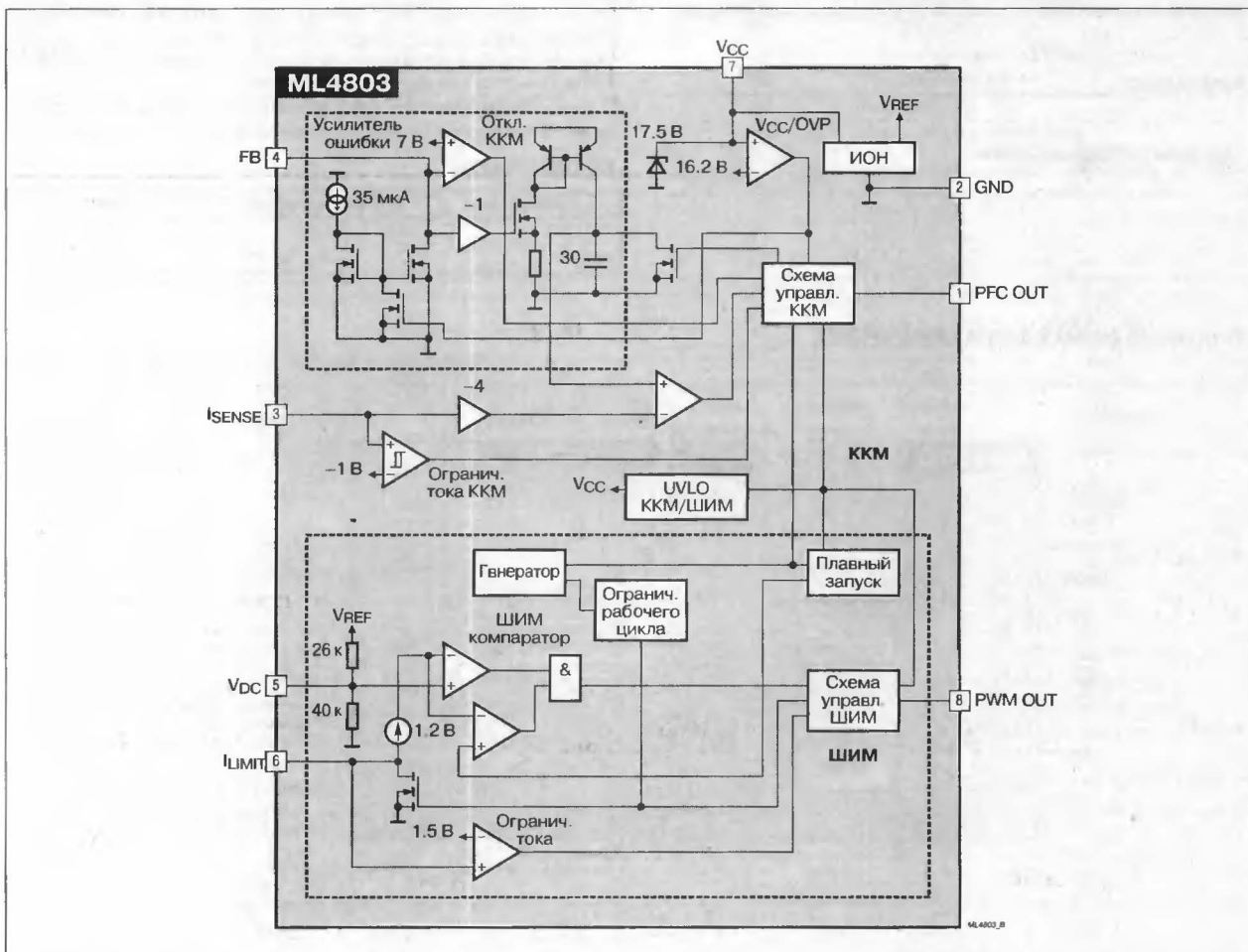
## КОМБИНИРОВАННЫЙ КОНТРОЛЛЕР ШИМ И КОЭФФИЦИЕНТА МОЩНОСТИ

### ОСОБЕННОСТИ

- ♦ Внутренне синхронизованные контроллер коэффициента мощности и ШИМ
- ♦ Патентованный усилитель ошибки
- ♦ Малый потребляемый ток ..... 2 мА (typ)

- ♦ Ток запуска ..... 150 мА (typ)
- ♦ ШИМ с переключением по току
- ♦ Защита от перенапряжения
- ♦ Блокировка при снижении напряжения питания
- ♦ Устойчивая работа при малых нагрузках
- ♦ Защита ККМ от перенапряжения с мягким запуском

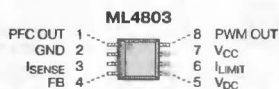
### СТРУКТУРНАЯ СХЕМА



### ЦОКОЛЕВКА КОРПУСОВ

Пластмассовый корпус типа DIP-8

Выход контроллера коэффициента мощности  
Земля  
Вход компаратора ограничителя тока ККМ  
Вход усилителя ошибки ККМ



Пластмассовый корпус типа SOP-8





### ОСОБЕННОСТИ

- ККМ с контролем среднего тока
- Низкий коэффициент нелинейных искажений и близкий к единице коэффициент мощности
- Ключ переключается при нулевом напряжении (ZVS)
- Устойчивая работа при малой нагрузке
- Модулятор усиления с токовым питанием (current fed) улучшает помехоустойчивость и обеспечивает универсальный вход
- Компаратор перенапряжения предотвращает уход выходного напряжения при пропадании нагрузки
- Мягкий запуск
- Ограничение тока
- Блокировка при снижении напряжения питания
- Источник опорного напряжения с разбросом 1%

### ПРИМЕНЕНИЕ

- Корректоры мощности источников питания мощностью более 200 Вт

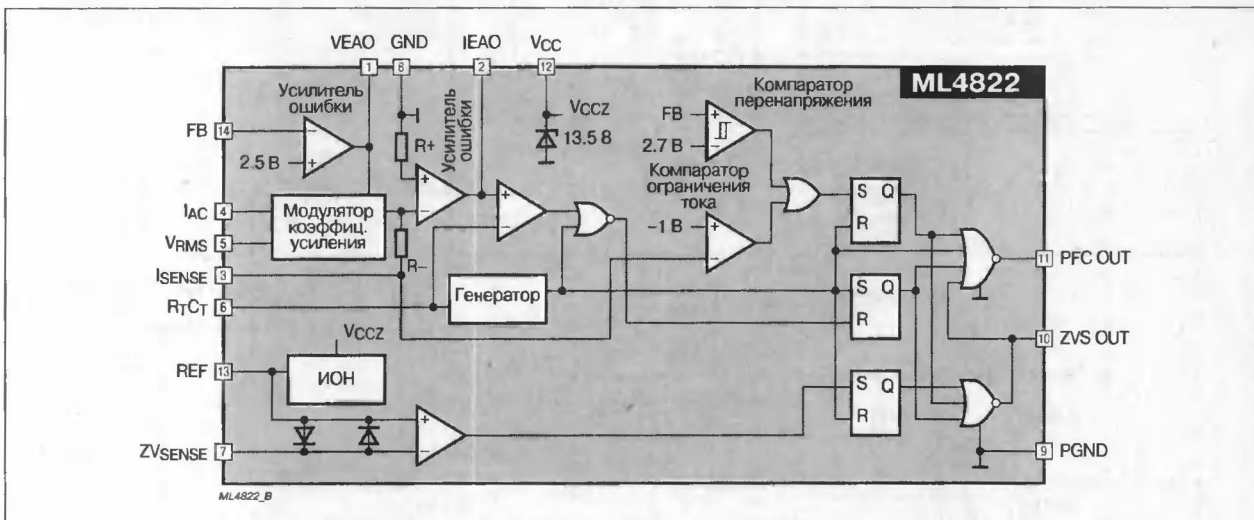
### ОБЩЕЕ ОПИСАНИЕ

Микросхема ML4822 представляет собой контроллер коэффициента мощности, предназначенный для применения в мощных источниках питания. Контроллер содержит все узлы, необходимые для построения повышающего корректора коэффициента мощности с контролем среднего тока, а также включает контроллер мощного ключа, переключаемого при нулевом напряжении, что позволяет снизить потери, вызванные восстановлением диода и включением МОП-транзистора. Управление по среднему току позволяет достичь значения коэффициента мощности, равного 98%, при коэффициенте нелинейных искажений 1%.

### ТИПОНОМИНАЛЫ

Типономинал	Рабочий диапазон температур, °C	Корпус
ML4822CP	0...+70	PDIP-14
ML4822CS	0...+70	SOP-16W
ML4822IP	-40...+70	PDIP-14
ML4822IS	-40...+70	SOP-16W

### СТРУКТУРНАЯ СХЕМА



### ЦОКОЛЕВКА КОРПУСОВ

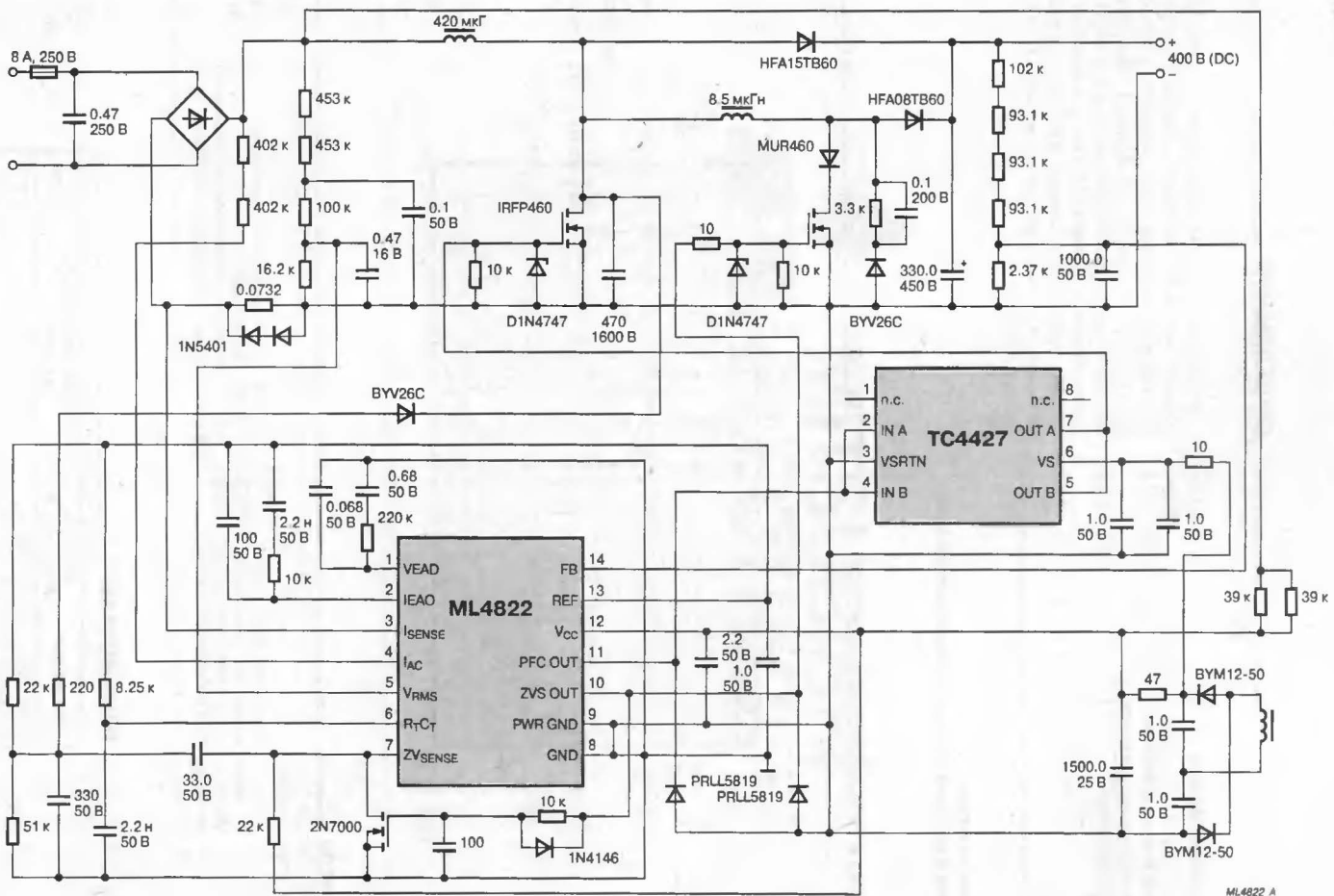
Пластмассовый корпус типа DIP-14

Выход усилителя напряжения ошибки	VEAO 1	14 FB
Выход усилителя тока ошибки	IEAO 2	13 REF
Вход компаратора ограничителя тока	ISENSE 3	12 VCC
Вход модулятора тока	IAC 4	11 PFC OUT
Вход компенсации напряжения	VRMS 5	10 ZVS OUT
Частотозадающая RC-цель тактового генератора	RTCT 6	9 PGND
Вход компаратора нулевого напряжения	ZVSENSE 7	8 GND

Пластмассовый корпус типа SOP-16W

VEAO 1	16 FB
IEAO 2	15 REF
ISENSE 3	14 VCC
IAC 4	13 PFC OUT
VRMS 5	12 ZVS OUT
RTCT 6	11 PGND
ZVSENSE 7	10 GND
н.с. 8	9 н.с.

Схема корректора коэффициента мощности с выходной мощностью 500 Вт



ML4822\_A

# ПОВЫШАЮЩИЙ СТАБИЛИЗАТОР С МАЛЫМИ ПУЛЬСАЦИЯМИ ВЫХОДНОГО НАПРЯЖЕНИЯ

## ОСОБЕННОСТИ

- Малое напряжение пульсаций на выходе ..... 5 мВ (тип)
- Низкий ток покоя ..... 100 мкА
- Низкая нижняя граница входного напряжения ..... 1 В
- ШИМ с внутренним синхронным выпрямлением
- Варианты с выходным напряжением ..... 5.5, 3.3, 3 В

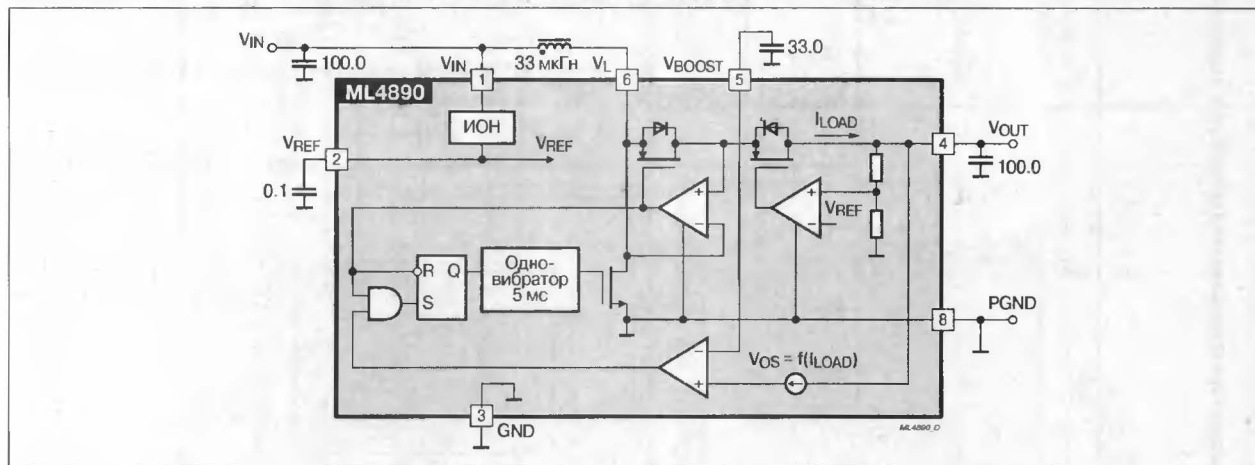
## ПРИМЕНЕНИЕ

- Телекоммуникационная аппаратура
- Аппаратура с питанием от одного или нескольких гальванических элементов

## ОБЩЕЕ ОПИСАНИЕ

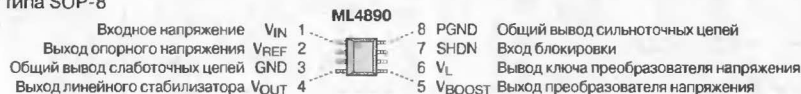
Микросхема ML4890 представляет собой широтно-импульсный повышающий преобразователь, совмещенный с линейным стабилизатором с малым падением напряжения вход-выход (LDO). Стабилизатор выполнен по специальной технологии, позволяющей снизить до минимума падение напряжения на проходном транзисторе и повысить общую эффективность преобразования напряжения. Встроенный синхронный выпрямитель позволяет избежать применения внешних диодов и повысить общий коэффициент полезного действия.

## СТРУКТУРНАЯ СХЕМА И ТИПОВАЯ СХЕМА ВКЛЮЧЕНИЯ



## ЦОКОЛЕВКА КОРПУСОВ

Пластмассовый корпус типа SOP-8



## ТИПОНОМИНАЛЫ

Типономинал	Выходное напряжение, В	Рабочий температурный диапазон, °С	Корпус
ML4890CS-T	3.0	0...+70	SOP-8
ML4890CS-3	3.3	0...+70	SOP-8
ML4890CS-5	5.0	0...+70	SOP-8
ML4890ES-T	3.0	-20...+70	SOP-8
ML4890ES-3	3.3	-20...+70	SOP-8
ML4890ES-5	3.0	-20...+70	SOP-8





**Микросхемы для импульсных источников питания фирмы Mitsubishi Electronics Inc.:**

DC/DC-преобразователи .....	416
ШИМ-контроллеры .....	416
<b>M62213</b> Быстродействующий ШИМ-контроллер общего применения .....	417
<b>M62216</b> Повышающий DC/DC-преобразователь с низким входным напряжением .....	418
<b>M62220/21/22/90</b> DC/DC-преобразователь с фиксированным выходным напряжением .....	419
<b>M62262</b> Преобразователь напряжения для микрофонных усилителей радиотелефонов .....	420
<b>M62281</b> ШИМ-контроллер общего применения с управлением по току .....	421

**МИКРОСХЕМЫ ДЛЯ ИМПУЛЬСНЫХ ИСТОЧНИКОВ ПИТАНИЯ ФИРМЫ MITSUBISHI ELECTRONICS INC.**
**DC/DC-ПРЕОБРАЗОВАТЕЛИ**

Прибор	Выходное напряжение, В	Максимальный выходной ток, мА	Входное напряжение, В	Ток потребления		Рабочая частота, кГц	Корпус	Особенности
				Рабочий, мкА	Дежурный, мкА			
M5291	1.17...40	200	2.5...40	1400	—	0.1...100	DIP-8, SOP-8	Повышающий и понижающий преобразователь
M5293	-32/-10...-50	-30	-20...-60	-6000	—	0.08...3	SSIP-5	Питание флюоресцентных ламп
M62210	1.25...19	150	2.5...18	1800	—	110	SOP-10	Повышающий и понижающий преобразователь
M62211	1.25...35	150	2.5...35	3500	—	110	SOP-10	Повышающий, понижающий, инвертирующий преобразователь
M62212	1.25...18	150	2.5...18	1800	—	110	SOP-8	Повышающий, понижающий, инвертирующий преобразователь
M62216	до 15	100	0.9...15	900 (тип)	25 (тип)	100	SOP-8	Повышающий преобразователь
M62220	3.3	100	4...15	900	—	110	SOP-8, SSIP-5	Фиксированное выходное напряжение
M62221	3	100	4...15	900	—	110	SOP-8, SSIP-5	Фиксированное выходное напряжение
M62222	2.7	100	4...15	900	—	110	SOP-8, SSIP-5	Фиксированное выходное напряжение
M62261	-V <sub>IN</sub>	80 Ом	2.7...5.5	900	—	2...10	SOP-8	Преобразователь напряжения для радиотелефона, MMIC
	-2V <sub>IN</sub>	240 Ом						
M62262	-V <sub>IN</sub>	40 Ом	2.7...5.5	900	5	2...10	SOP-10	Преобразователь напряжения для радиотелефона, MMIC
	-2V <sub>IN</sub>	120 Ом						
M62290	5	100	6...15	1100	—	70...170	SOP-8, SSIP-5	DC/DC-преобразователь на 5 В

**ШИМ-КОНТРОЛЛЕРЫ**

Прибор	Входное напряжение, В	Напряжение запуска/останова, В	Выходной ток, мА	Ток запуска, мкА	Максимальный рабочий цикл, %	Частота, кГц	Корпус	Особенности
<b>УПРАВЛЕНИЕ ПО НАПЯЖЕНИЮ</b>								
M51995	12...36	16/10	±2000	90 (тип)	50	500 (max)	DIP-16, SOP-20	Поцикловое ограничение тока, UVLO, OVP
M51996	12...36	16/10	±1000	100 (тип)	50	500 (max)	DIP-14, SOP-16	Поцикловое ограничение тока, UVLO, OVP, мягкий запуск
M51997	12...30	16/10	±1000	100 (тип)	50	500 (max)	DIP-14, SOP-16	Поцикловое ограничение тока, UVLO, OVP, мягкий запуск
M62213	13.5...35	12.5/8.3	±1000	130 (тип)	90	700 (max)	SOP-10	Поцикловое ограничение тока, UVLO, OVP, мягкий запуск
M62501	7...14	9/6	±100	—	—	15...150	DIP-16, SOP-16	Поцикловое ограничение тока, UVLO, OVP, мягкий запуск
M62502	7...14	9/6	±100	—	—	15...150	SOP-16	Поцикловое ограничение тока, UVLO, OVP, мягкий запуск
<b>УПРАВЛЕНИЕ ПО ТОКУ</b>								
M62281	13.5...35	12.5/8.3	±1000	270	90	700 (max)	SOP-10	Поцикловое ограничение тока, UVLO, OVP, мягкий запуск

**Примечание:**

UVLO — блокировка при пониженном напряжении;

OVP — защита при повышенном напряжении

# БЫСТРОДЕЙСТВУЮЩИЙ ШИМ-КОНТРОЛЛЕР ОБЩЕГО ПРИМЕНЕНИЯ

## ОСОБЕННОСТИ

- ♦ Управление внешним МОП-транзистором
- ♦ Рабочая частота ..... 700 кГц
- ♦ Выходной ток .....  $\pm 1$  А
- ♦ Тотемный выходной каскад
- ♦ Схема защиты от перенапряжения с таймером-защелкой
- ♦ Мягкий запуск (с контролем мёртвого времени)
- ♦ Встроенный ОУ обратной связи (может управлять оптопарой)
- ♦ Быстродействующая схема позицикового ограничения тока
- ♦ Миниатюрный корпус типа SOP-10

## ОБЩЕЕ ОПИСАНИЕ

Микросхема M62213 представляет собой быстродействующий ШИМ-контроллер общего применения. Прибор выпускается в миниатюрном 10-выводном корпусе и осуществляет многие функции управления и защиты, что позволяет упростить построение периферийной схемы и получить компактное устройство.

Схема работает при высокой частоте переключений вплоть до 700 кГц и может использоваться в качестве быстродействующего ШИМ-компаратора и схемы ограничения тока.

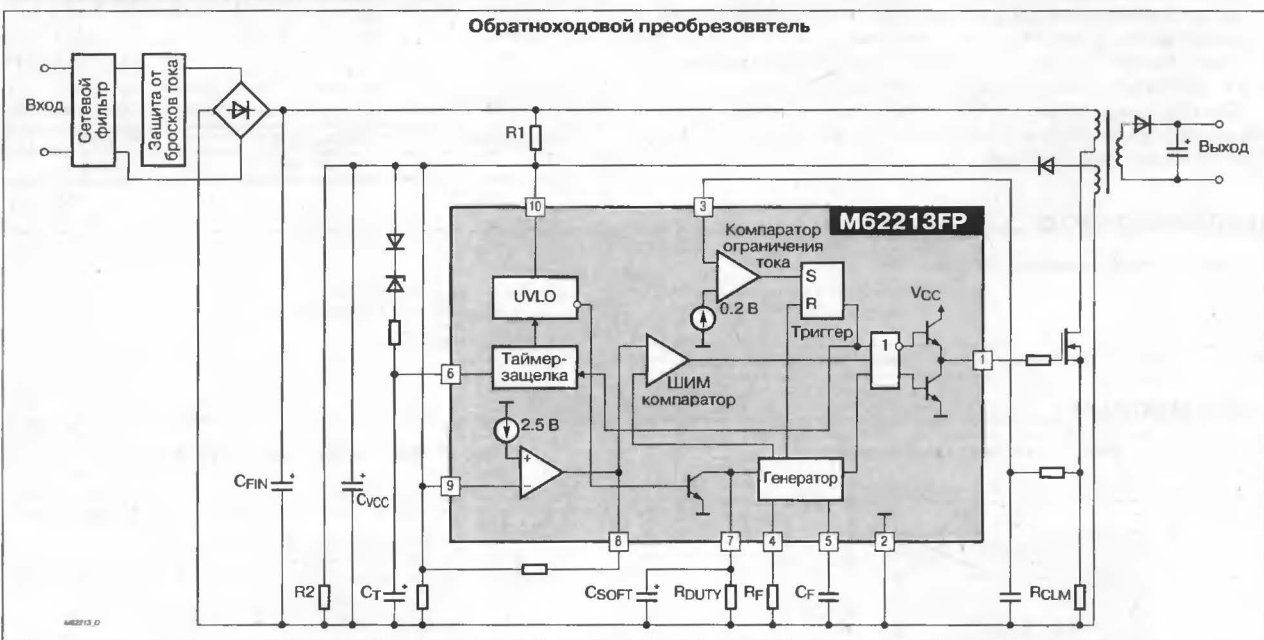
## ТИПОНОМИНАЛЫ

Типономинал	Температура, °C	Корпус
M62213FP	-20...+85	SOP-10

## ПРИМЕНЕНИЕ

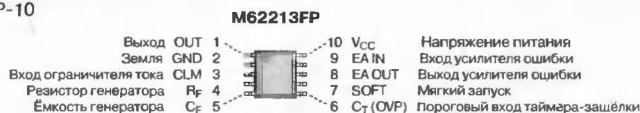
- ♦ Импульсные стабилизаторы
- ♦ DC/DC-конвертеры

## СТРУКТУРНАЯ СХЕМА И ТИПОВАЯ СХЕМА ВКЛЮЧЕНИЯ



## ЦОКОЛЕВКА КОРПУСОВ

Пластмассовый корпус типа SOP-10



## ПОВЫШАЮЩИЙ DC/DC-ПРЕОБРАЗОВАТЕЛЬ С НИЗКИМ ВХОДНЫМ НАПЯЖЕНИЕМ

### ОСОБЕННОСТИ

- ♦ ШИМ с выходом на внешний ключ
- ♦ Низкое рабочее напряжение ..... 0.9 В (min)
- ♦ Низкая потребляемая мощность ..... 900 мкА (typ)
- ♦ Регулируемый выходной ток
- ♦ Дежурный режим с током потребления ..... 25 мкА (typ)
- ♦ Возможность использования в понижающих преобразователях

### ПРИМЕНЕНИЕ

- ♦ DC/DC-конвертеры в портативных системах с батарейным питанием

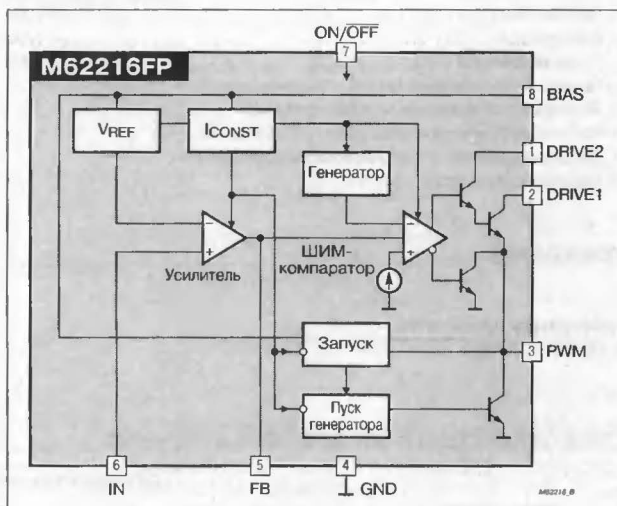
### ОБЩЕЕ ОПИСАНИЕ

Микросхема M62216 представляет собой повышающий DC/DC-преобразователь с низким рабочим напряжением.

Прибор может работать при снижении напряжения вплоть до 0.9 В, ток потребления при этом составляет 900 мкА (typ).

Данная микросхема может быть использована в источниках питания портативных систем, работающих от низковольтных батарей (сухие батареи, аккумуляторы).

### СТРУКТУРНАЯ СХЕМА

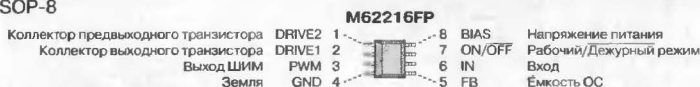


### ТИПОНОМИНАЛЫ

Типономинал	Температура, °C	Корпус
M62216FP	-20...+85	SOP-8

### ЦОКОЛЕВКА КОРПУСОВ

Пластмассовый корпус типа SOP-8



### СХЕМА ВКЛЮЧЕНИЯ

Рис. 1. Типовая схема включения

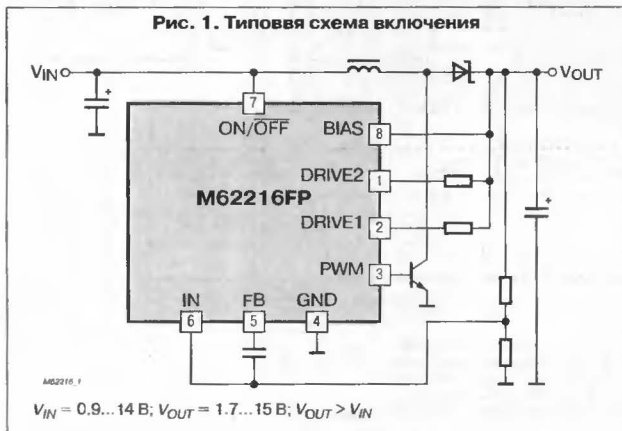
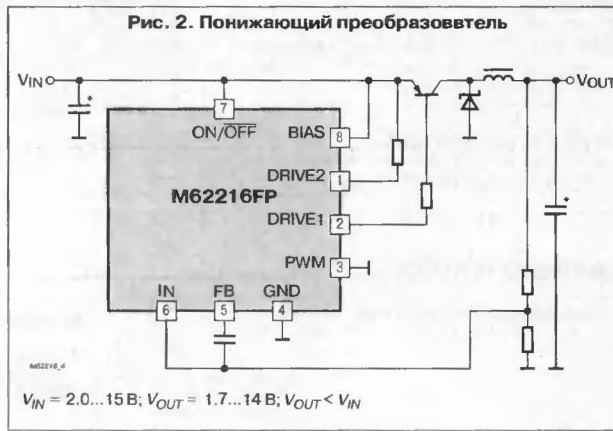


Рис. 2. Понижающий преобразователь



### ОСОБЕННОСТИ

- ♦ Широкий диапазон напряжения питания  
M62220/21/22 ..... 4...15 В  
M62290 ..... 6...15 В
- ♦ Малый ток потребления  
M62220/21/22 ..... 900 мкА (max)  
M62290 (при  $V_{CC} = 12$  В) ..... 1.1 мА (max)
- ♦ Встроенный генератор, не требующий внешних компонентов  
M62220/21/22 ..... 110 кГц (тип)  
M62290 ..... 120 кГц (тип)
- ♦ Встроенная схема защиты от перегрузки по току
- ♦ Миниатюрные корпуса типа SIP-5 или SOP-8

### ПРИМЕНЕНИЕ

- ♦ M62220/21/22 ..... CD-ROM, карманные компьютеры
- ♦ M62290 ..... Стабилизатор питания звуковых устройств
- ♦ Электронная аппаратура общего назначения

### ТИПОНОМИНАЛЫ

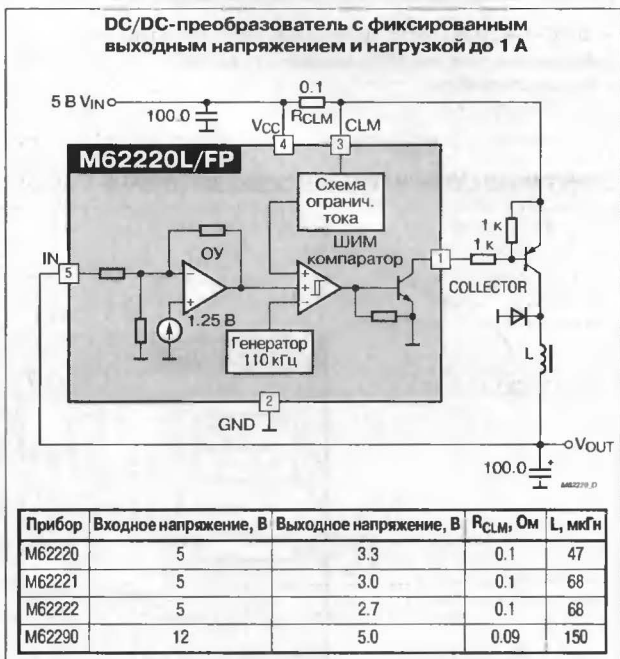
Типономинал	Выходное напряжение, В	Температура, °C	Корпус
M62220L	3.3	-20...+85	SIP-5
M62220FP	3.3	-20...+85	SOP-8
M62221L	3.0	-20...+85	SIP-5
M62221FP	2.7	-20...+85	SOP-8
M62222L	2.7	-20...+85	SIP-5
M62222FP	2.7	-20...+85	SOP-8
M62222L	5.0	-20...+85	SIP-5
M62222FP	5.0	-20...+85	SOP-8

### ОБЩЕЕ ОПИСАНИЕ

Микросхемы M62220/21/22/90 представляют собой DC/DC-преобразователи напряжения общего назначения с фиксированным выходным напряжением, позволяют упростить периферийную схему и разработать компактное и недорогое устройство. Приборы выпускаются в миниатюрных 5- и 8-выводных корпусах и содержат все необходимые для преобразования компоненты.

Микросхемы M62220/21/22 особенно удобны для использования в CD-ROM-ах, приводах дисков и карманных компьютерах, а схема M62290 — в качестве "местного" стабилизатора звуковых устройств.

### СТРУКТУРНАЯ СХЕМА И ТИПОВАЯ СХЕМА ВКЛЮЧЕНИЯ

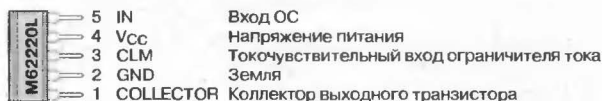


### ЦОКОЛЕВКА КОРПУСОВ

Пластмассовый корпус типа SOP-8



Пластмассовый корпус типа SIP-5



## ПРЕОБРАЗОВАТЕЛЬ НАПЯЖЕНИЯ ДЛЯ МИКРОФОННЫХ УСИЛИТЕЛЕЙ РАДИОТЕЛЕФОНОВ

### ОСОБЕННОСТИ

- Наличие двух выходов: инвертированное напряжение и удвоенное инвертированное напряжение
- Нагрузочная способность ..... 30 мА (max)
- Малое входное напряжение .....  $V_{IN} = 3 \text{ В}$  (тип)
- Низкий ток потребления в дежурном режиме
- Низкие пульсации выходного напряжения (в режиме двойного тактирования)
- Миниатюрный корпус типа SOP-10

### ПРИМЕНЕНИЕ

- Микрофонные усилители (ММИС) переносных телефонов
- Медицинские приборы

### ОБЩЕЕ ОПИСАНИЕ

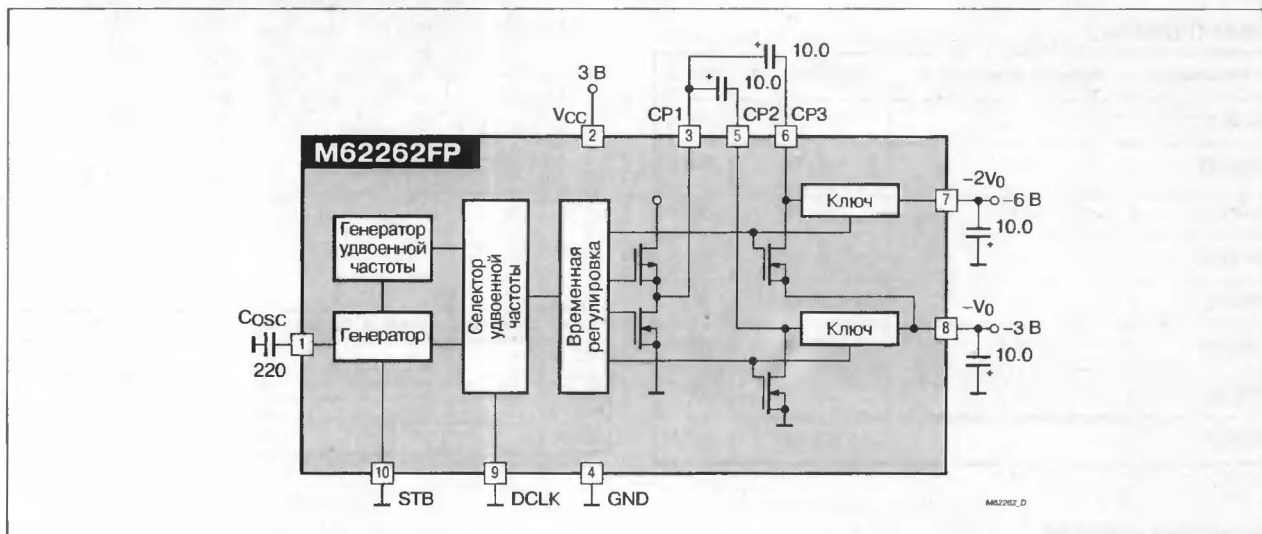
Микросхема M62262 представляет собой КМОП преобразователь напряжения для управления ММИС.

Прибор включает входной инвертор, использующий накачку заряда, следовательно, он может обеспечить инвертированное выходное напряжение ( $-V_O$ ) и удвоенное инвертированное напряжение ( $-2V_O$ ) путём подключения внешней ёмкости. Микросхема может также переключаться в дежурный режим (половина функций с пониженным энергопотреблением) и в режим двойного тактирования для снижения выходных пульсаций.

### ТИПОНОМИНАЛЫ

Типономинал	Температура, °C	Корпус
M62262FP	-20...+75	SOP-10

### СТРУКТУРНАЯ СХЕМА И ТИПОВАЯ СХЕМА ВКЛЮЧЕНИЯ



### ЦОКОЛЕВКА КОРПУСОВ

Пластмассовый корпус типа SOP-10

M62262FP

Ёмкость генератора	Cosc	1	10	STB	Дежурный режим
Входное напряжение	VCC	2	9	DCLK	Двойное тактирование
Ёмкость накачки заряда	CP1	3	8	$-V_O$	Инвертированный выход
Земля	GND	4	7	$-2V_O$	Удвоенный инвертированный выход
Ёмкость накачки заряда	CP2	5	6	CP3	Ёмкость накачки заряда



## ШИМ-КОНТРОЛЛЕР ОБЩЕГО ПРИМЕНЕНИЯ С УПРАВЛЕНИЕМ ПО ТОКУ

### ОСОБЕННОСТИ

- ♦ Управление внешним МОП-транзистором
- ♦ Рабочая частота ..... 700 кГц
- ♦ Выходной ток .....  $\pm 1$  А (peak)
- ♦ Тотемный (квазикомплементарный) выходной каскад
- ♦ Повышенная помехозащищённость благодаря отдельному токочувствительному выводу ISENSE
- ♦ Быстродействующая схема поциклового ограничения тока (CLM)
- ♦ Схема защиты от перенапряжения (UVLO) с таймером-защёлкой
- ♦ Мягкий запуск (с контролем мёртвого времени)
- ♦ Встроенный ОУ обратной связи (может управлять оптопарой)
- ♦ Малый ток запуска ..... 180 мкА
- ♦ Напряжение запуска ..... 12.5 В
- ♦ Напряжение останова ..... 8.3 В
- ♦ Миниатюрный корпус типа SOP-10

### ПРИМЕНЕНИЕ

- ♦ Импульсные стабилизаторы
- ♦ DC/DC-преобразователи

### ОБЩЕЕ ОПИСАНИЕ

Микросхема M62281 представляет собой быстродействующий ШИМ-контроллер общего применения с управлением по току.

Прибор выпускается в миниатюрном 10-выводном корпусе и осуществляет многие функции управления и защиты, что позволяет упростить построение периферийной схемы и получить компактное устройство.

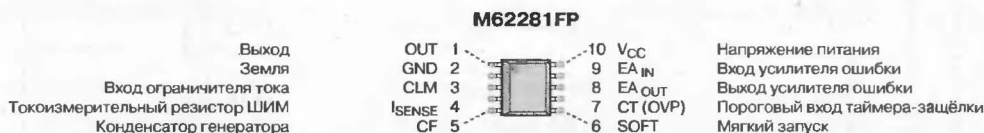
Схема работает при высокой частоте переключений вплоть до 700 кГц и может использоваться в качестве быстродействующего ШИМ-компаратора и схемы ограничения тока.

### ТИПОНОМИНАЛЫ

Типономинал	Температура, °C	Корпус
M62281FP	-20...+85	SOP-10

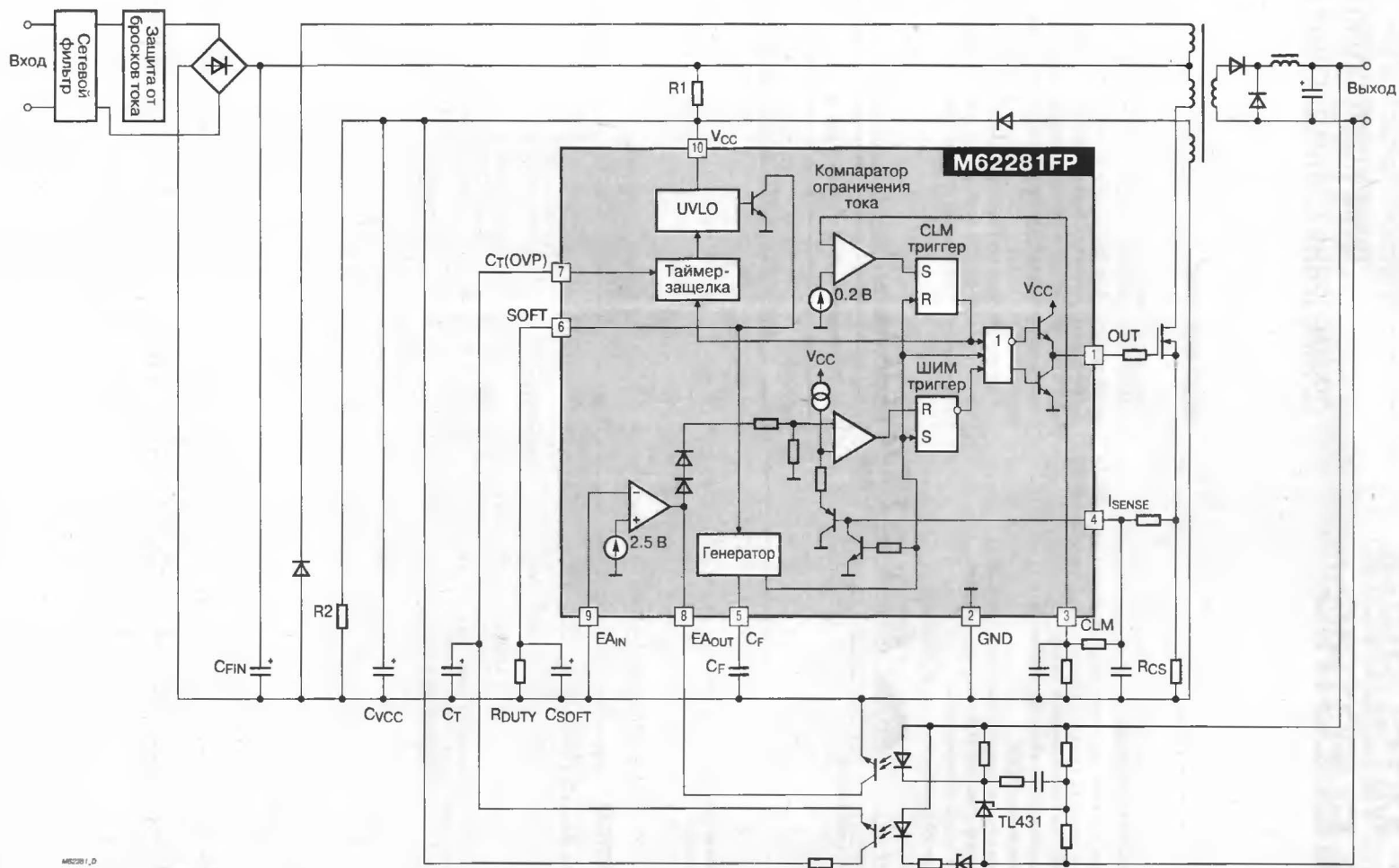
### ЦОКОЛЕВКА КОРПУСОВ

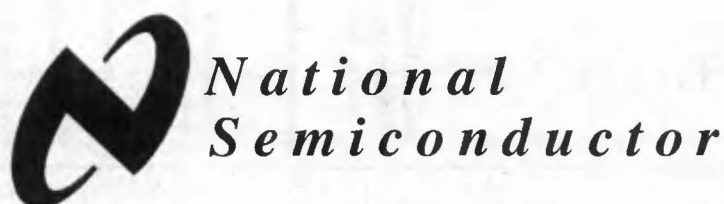
Пластмассовый корпус типа SOP-10



## СТРУКТУРНАЯ СХЕМА И ТИПОВАЯ СХЕМА ВКЛЮЧЕНИЯ

Рис. 1. Преобразователь с прямой связью (Feed Forward)





**Микросхемы для импульсных источников питания фирмы National Semiconductor Corp.:**

Импульсные стабилизаторы напряжения и ШИМ-контроллеры .....	424
Преобразователи на коммутируемых конденсаторах .....	425
Импульсные стабилизаторы типа "Simple Switcher" .....	425
<b>LM2630</b> Понижающий стабилизатор напряжения с синхронным выпрямлением .....	427
<b>LM2641</b> Сдвоенный регулируемый понижающий контроллер импульсного источника питания .....	429
<b>LM2653</b> Синхронный импульсный стабилизатор на 1.5 А .....	431
<b>LM2678</b> Высокоэффективный понижающий стабилизатор напряжения на 5 А .....	433
<b>LM3352</b> Конденсаторный стабилизатор напряжения с током до 200 мА .....	435

**ЗА ДОПОЛНИТЕЛЬНОЙ ИНФОРМАЦИЕЙ И ПО ВОПРОСАМ ПОСТАВКИ КОМПОНЕНТОВ ОБРАЩАТЬСЯ:**

**Компания "МЭЙ"**

**тел. (095)913-5161, факс. (095)913-5160, <http://www.may.ru>**

**E-mail: [info@may.ru](mailto:info@may.ru)**



**ФИРМА  
«МЭЙ»**

## ЭЛЕКТРОННЫЕ КОМПОНЕНТЫ

### National Semiconductor Corporation

- ✓ Качество, проверенное временем
- ✓ Уникальные характеристики компонентов
- ✓ Широкий ассортимент аналоговых и цифровых микросхем
- ✓ Самые низкие цены в отрасли

### Компания «МЭЙ»

- ✓ Самая свежая техническая информация
- ✓ Профессиональные консультации по применению
- ✓ Опытные образцы — со склада в Москве
- ✓ Авторизованные поставки компонентов от производителя

Подобная информация — стр. 601

### МИКРОСХЕМЫ ДЛЯ ИМПУЛЬСНЫХ ИСТОЧНИКОВ ПИТАНИЯ ФИРМЫ NATIONAL SEMICONDUCTOR CORP.

#### ИМПУЛЬСНЫЕ СТАБИЛИЗАТОРЫ НАПРЯЖЕНИЯ И ШИМ-КОНТРОЛЛЕРЫ

Прибор	Описание	Корпус	Несколько выходов Выход Вкл/Выкл Флаги ошибки	Входное напряжение, В	Максимальный выходной ток, мА	Выходное напряжение, В	Регулируемый выход	Рабочая частота, кГц	Регулируемая рабочая частота	Выход синхронизации	КПД, %	Обратноходовой инвертирующий Повышающий Понижающий
LM2825	DC/DC-преобразователь	DIP-24	+	4.75/7/15/ 4.5...40	1000	3.3/5/12/ 1.23...15	+	150			80	+
LM2524D	ШИМ-модулятор	DIP-16	+	5...40	200	—	+	300	+	+	—	+
LM2578A	Импульсный стабилизатор	DIP-8/SOP-8		2...40	750	—	+	100	+		—	+
LM2621	Повышающий DC/DC с низким входным напряжением	MSOP-8	+	1.20...14	1000	—	+	2000	+		87	+
LM2630	Понижающий стабилизатор напряжения с синхронным выпрямлением	TSSOP-20	+	4.50...30	Внешний ПТ	—	+	200	+	+	94	+
LM2636	Программируемый (5 бит) понижающий стабилизатор напряжения с синхронным выпрямлением	SOP-20	+	4.50...5.50	Внешний ПТ	—	+	1000	+		—	+
LM2637	Программируемый (5 бит) импульсный преобразователь и два линейных стабилизатора напряжения для материнских плат	SOP-24	+	4.75...5.25	Внешний ПТ	—	+	245000	+		—	+
LM2638	Программируемый (5 бит) импульсный преобразователь и два линейных стабилизатора напряжения для материнских плат	SOP-24	+	4.75...5.25	Внешний ПТ	—	+	245000	+		—	+
LM2639	Программируемый (5 бит) высокочастотный мультифазный ШИМ-контроллер	SOP-24	+	4.75...5.25	Внешний ПТ	—	+	8000	+	+	—	+
LM2640	Сдвоенный регулируемый понижающий контроллер импульсного источника питания	TSSOP-28	+	5.50...30	Внешний ПТ	—	+	200		+	96	+
LM2641	Сдвоенный регулируемый понижающий контроллер импульсного источника питания	TSSOP-28	+	5.50...30	Внешний ПТ	—	+	300		+	96	+
LM2650	Понижающий DC/DC-преобразователь с синхронным выпрямлением	SOP-24	+	4.50...18	3000	—	+	90	+	+	95	+
LM2651	Высокоэффективный импульсный стабилизатор на 1.5 А	TSSOP-16	+	4...14	1500	1.8/2.5/3.3	+	300			97	+
LM2653	Высокопроизводительный синхронный импульсный стабилизатор на 1.5 А	TSSOP-16	+	4...14	1500	1.5...5.0	+	300			97	+
LM3524D	Регулируемый ШИМ-модулятор	DIP-16/SOP-16	+	5...40	200	—	+	300	+	+	—	+
LM3578A	Импульсный стабилизатор	SOP-8/DIP-8		2...40	750	—	+	100	+		—	+
LM78S40	Универсальная схема для импульсного стабилизатора	DIP-16/CDIP-16		2.50...40	1500	—	+	100	+		—	+

**Примечание**

ПТ — полевой транзистор

ПРЕОБРАЗОВАТЕЛИ НА КОММУТИРУЕМЫХ КОНДЕНСАТОРАХ

Прибор	Описание	Корпус	Несколько выходов Выход Вкл/Выкл Флаг ошибки	Входное напряжение, В	Максимальный выходной ток, мА	Выходное напряжение, В	Регулируемый выход	Рабочая частота, кГц	Регулируемая частота Выход синхронизации	КПД, %	Инвертирующий	Повышающий	Понижающий
LM2660	Преобразователь напряжения на коммутируемых конденсаторах	SOP-8/MSOP-8		1.50...6	100	—		80	+	88	+	+	+
LM2661	Преобразователь напряжения на коммутируемых конденсаторах	SOP-8/MSOP-8	+	1.50...6	100	—		80		88	+	+	+
LM2662	Преобразователь напряжения на коммутируемых конденсаторах	SOP-8/MSOP-8		1.50...6	200	—		150	+	86	+	+	+
LM2663	Преобразователь напряжения на коммутируемых конденсаторах	SOP-8/MSOP-8	+	1.50...6	200	—		150		86	+	+	+
LM2664	Преобразователь напряжения на коммутируемых конденсаторах	SOT-23-6	+	1.80...5.80	40	—		160		91	+		
LM2665	Преобразователь напряжения на коммутируемых конденсаторах	SOT-23-6	+	1.80...5.80	40	—		160		91	+		
LM2681	Преобразователь напряжения на коммутируемых конденсаторах	SOT-23-6		2.50...5.50	20	—		180		90	+	+	
LM2685	Регулируемый преобразователь напряжения на коммутируемых конденсаторах с двумя выходами	TSSOP-14	+	2.85...6.5	50	$5/2V_{IN}-V_{IN}$		130		80			
LM3350	Преобразователь напряжения на коммутируемых конденсаторах	MSOP-8	+	2.20...5.50	50	—		800		90	+	+	
LM3351	Преобразователь напряжения на коммутируемых конденсаторах	MSOP-8		2.20...5.50	50	—		200		95	+	+	
LM3352	Регулируемый повыш./пониж. DC/DC-преобразователь на коммутируемых конденсаторах на ток 200 мА	TSSOP-16	+	2.50...5.50	200	3/3.30/2.50		1000		75/80	+	+	+
LM828	Преобразователь напряжения на коммутируемых конденсаторах	SOT-23-5		1.80...5.50	25	—		12000		96	+		
LMC7660	Преобразователь напряжения на коммутируемых конденсаторах	SOP-8/DIP-8		1.50...10	45	—		10	+	95	+	+	+
MAX660	Преобразователь напряжения на коммутируемых конденсаторах	SOP-8		1.50...6	100	—		80	+	88	+	+	+

ИМПУЛЬСНЫЕ СТАБИЛИЗАТОРЫ ТИПА SIMPLE SWITCHER

Прибор	Описание	Корпус	Несколько выходов Выход Вкл/Выкл Флаг ошибки	Входное напряжение, В	Максимальный выходной ток, мА	Выходное напряжение, В	Регулируемый выход	Рабочая частота, кГц	Регулируемая частота Выход синхронизации	КПД, %	Обратноходовой	Инвертирующий	Повышающий	Понижающий
LM1575	Понижающий стабилизатор напряжения на 1 А	CDIP-16	+	4...40	1000	5	52000			77	+	+	+	
LM1577	Повышающий стабилизатор напряжения	TO-3	+	3.50...40	3000	12/1.20	52000			80	+	+	+	
LM2574	Понижающий стабилизатор напряжения на 0.5 А	SOP-14/DIP-8	+	4...40	500	12/15/3.30/5/1.20	52000			88/72/77	+	+	+	
LM2574HV	Понижающий стабилизатор напряжения на 0.5 А	SOP-14/DIP-8	+	4...60	500	12/15/3.30/5/1.20	52000			88/72/77	+	+	+	
LM2575	Понижающий стабилизатор напряжения на 1 А	SOP-24/DIP-16/ TO-22/TO-220/TO-263/die	+	4...40	1000	12/15/3.30/5/1.20	52000			88/75/77	+	+	+	
LM2575HV	Понижающий стабилизатор напряжения на 1 А	SOP-24/DIP-16/ TO-220-5/TO-263-5/die	+	4...60	1000	12/15/5/1.20/3.30	52000			88/75/77	+	+	+	
LM2576	Понижающий стабилизатор напряжения на 3 А	TO-220-5/TO-263-5	+	4...40	3000	12/15/3.30/5/1.20	52000			88/75/77	+	+	+	
LM2576HV	Понижающий стабилизатор напряжения на 3 А	TO-220-5/TO-263-5	+	4...60	3000	12/15/3.30/5	52000			88/75/77	+	+	+	
LM2577	Повышающий стабилизатор напряжения	SOP-24/DIP-16/ TO-220-5/TO-263-5	+	3.50...40	3000	12/15/1.20	52000			80	+	+	+	
LM2585	Обратноходовой стабилизатор на 3 А	TO-220-5/TO-263-5	+	4...40	3000	12/3.30/5/1.20	100			93/76/80	+	+	+	
LM2586	Обратноходовой стабилизатор на 3 А	TO-220-7/TO-263-7	+	4...40	3000	12/3.30/5/1.23	100	+	+	93/76/80	+	+	+	
LM2587	Обратноходовой стабилизатор на 5 А	TO-220-5/TO-263-5	+	4...40	5000	12/3.30/5/1.20	100			90/75/80	+	+	+	
LM2588	Обратноходовой стабилизатор с выключением на 5 А	TO-220-7/TO-263-7	+	4...40	5000	12/3.30/5/1.20	200	+	+	90/75/80	+	+	+	
LM2594	Понижающий стабилизатор напряжения с частотой 150 кГц и током 0.5 А	SOP-8/DIP-8	—	15/4.75/7/ 4.50...40	500	12/3.30/5/1.20	150			88/80/82	+	+	+	
LM2594HV	Понижающий стабилизатор напряжения с частотой 150 кГц и током 0.5 А	SOP-8/DIP-8	+	15/4.75/7/ 4.50...60	500	12/3.30/5	150			88/80/82			+	
LM2595	Понижающий стабилизатор напряжения с частотой 150 кГц и током 1 А	TO-220-5/ TO-263-5/CDIP-16	+	15/4.75/7/ 4.50...40	1000	12/3.30/5/1.20	150			90/78/82	+	+	+	

## ИМПУЛЬСНЫЕ СТАБИЛИЗАТОРЫ ТИПА SIMPLE SWITCHER (ПРОДОЛЖЕНИЕ)

Прибор	Описание	Корпус	Несколько выходов	Выход Вкл/Выкл	Флаги ошибки	Входное напряжение, В	Максимальный выходной ток, мА	Выходное напряжение, В	Регулируемый выход	Рабочая частота, кГц	Регулируемая рабочая частота	Выход синхронизации	КПД, %	Обратной связи	Инвертирующий	Повышающий	Понижающий
LM2596	Понижающий стабилизатор напряжения с частотой 150 кГц и током 3 А	TO-220-5/TO-263-5	+			15/4.75/7/4.50...40	3000	12/3.30/5/1.20	+	150			90/73/80	+			+
LM2597	Понижающий стабилизатор напряжения с частотой 150 кГц и током 0.5 А	SOP-8/DIP-8	—	+	+	15/4.75/7/4.50...60/40	500	15/3.30/5/12/1.20	+	150			88/80/82	+			+
LM2598	Понижающий стабилизатор напряжения с частотой 150 кГц и током 1 А	TO-220-7/TO-263-7	+	+		15/4.75/7/4.50...40	1000	12/3.30/5/1.20	+	150			90/78/82	+			+
LM2599	Понижающий стабилизатор напряжения с частотой 150 кГц и током 3 А	TO-220-7/TO-263-7	+	+		15/4.75/7/4.50...40	3000	12/3.30/5/1.20	+	150			90	+			+
LM2670	Высокоэффективный понижающий стабилизатор напряжения на 3 А с внешней синхронизацией	TO-220-7/TO-263-7	+			8...40	3000	12/3.30/5/1.21	+	260		+	94/86/88				+
LM2671	Высокоэффективный понижающий стабилизатор напряжения на 500 мА	SOP-8/DIP-8	+			15/6.50...40	500	12/3.30/5	+	260		+	94/86/90				+
LM2672	Высокоэффективный понижающий стабилизатор напряжения на 1 А	SOP-8/DIP-8	+			15/6.50...40	1000	5/3.30	+	260		+	94/86/90				+
LM2673	Понижающий стабилизатор напряжения с регулируемым порогом тока	TO-220-7/TO-263-7				15/8...40	3000	12/3.30/5	+	260			94/86/88				+
LM2674	Высокоэффективный понижающий стабилизатор напряжения на 500 мА	SDP-8/DIP-8	+			15/6.50...40	500	12/3.30/5	+	260			94/86/90				+
LM2675	Высокоэффективный понижающий стабилизатор напряжения на 1 А	SOP-8/DIP-8	+			15/6.50...40	1000	12/3.30/5	+	260			94/86/90				+
LM2676	Высокоэффективный понижающий стабилизатор напряжения на 3 А	TO-220-7/TO-263-7	+			15/8...40	3000	12/3.30/5	+	260			94/86/88				+
LM2678	Высокоэффективный понижающий стабилизатор напряжения на 5 А	TO-220-7/TO-263-7	+	+		15/8...40	5000	12/3.30/5	+	260			92/82/84				+
LM2679	Понижающий стабилизатор напряжения с регулируемым порогом тока	TO-220-7/TO-263-7	+	+		15/8...40	5000	12/3.30/5	+	260			92/82/84				+



## ПОНИЖАЮЩИЙ СТАБИЛИЗАТОР НАПРЯЖЕНИЯ С СИНХРОННЫМ ВЫПРЯМЛЕНИЕМ

### ОСОБЕННОСТИ

- Диапазон входных напряжений ..... 4.5...30 В
- Регулируемый выход ..... 1.8...6 В
- Регулируемая рабочая частота ..... 200...400 кГц
- Возможность внешней синхронизации
- Наличие сигнала контроля выходного напряжения "Power Good"
- Выход опорного напряжения ..... 1.24 В
- Типовой ток потребления:
  - рабочий ..... 0.8 мА
  - дежурный режим ..... 0.1 мкА
- Отключение при перегреве
- Защита от перегрузки по току
- Блокировка при пониженном входном напряжении
- Блокировка при пониженном выходном напряжении
- Программируемый мягкий запуск
- Миниатюрный корпус типа TSSOP

### ПРИМЕНЕНИЕ

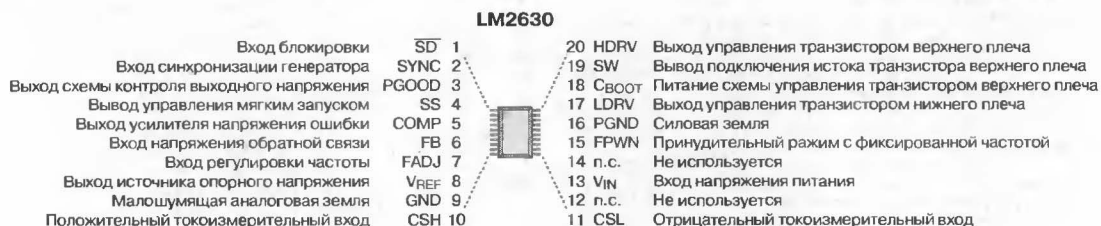
- Портативные компьютеры
- Сотовые телефоны
- Портативные устройства
- Устройства, питающиеся от батарей

### ТИПОНОМИНАЛЫ

Типономинал	Корпус
LM2630MTC-ADJ	TSSOP-20

### ЦОКОЛЕВКА КОРПУСОВ

Пластмассовый корпус типа TSSOP-20



### ОБЩЕЕ ОПИСАНИЕ

Микросхема LM2630 реализует все необходимые функции для построения понижающих (buck) импульсных преобразователей напряжения. Эти преобразователи обеспечивают питание центрального процессора в системах с батарейным питанием.

Высокая эффективность достигается использованием синхронного выпрямления и скип-режима (режима с пропуском импульсов) для малых нагрузок. Недорогие *n*-канальные МОП-транзисторы позволяют снизить стоимость всей системы.

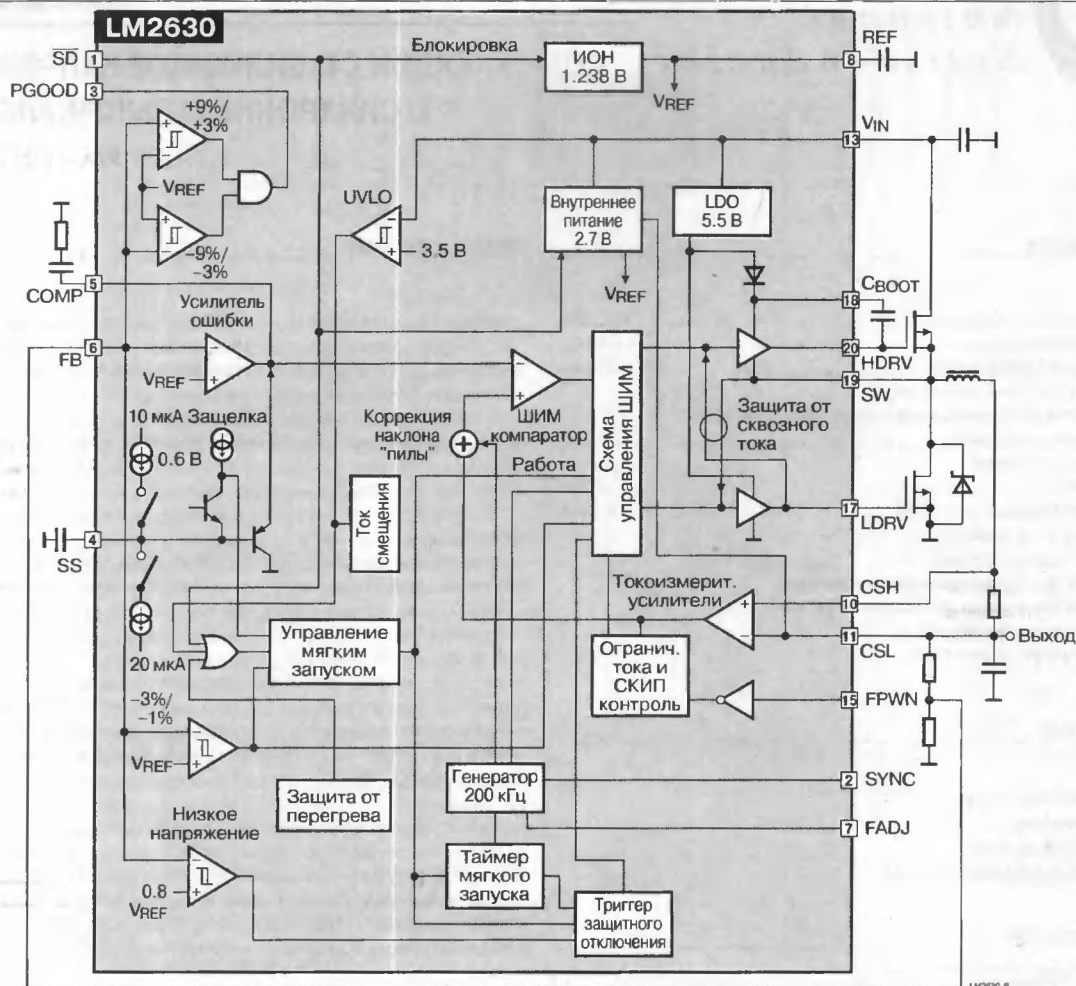
Для управления *n*-канальным МОП-транзистором верхнего плеча используется схема форсированного питания с вольтодобавкой.

Чтобы уменьшить нестабильность по напряжению и улучшить переходную характеристику используется метод управления по току, который также обеспечивает поцикловое ограничение тока.

Рабочая частота регулируется в диапазоне 200...400 кГц. Внешний вывод отключения (shutdown) переводит схему в дежурный режим с током покоя 0.1 мкА. ВЫСОКИЙ уровень на выводе FPWM переводит схему в режим с фиксированной частотой, что позволяет использовать микросхему для питания маломощных устройств. Из других особенностей следует упомянуть вывод внешней синхронизации и вывод PGOOD, который индицирует состояние выходного напряжения.

Схема защиты выполняет отключение при перегреве, блокировку при пониженном напряжении, мягкий запуск и двухуровневую защиту по току: первый уровень непосредственно ограничивает ток нагрузки; на втором уровне, если выходное напряжение падает ниже 80% от стабилизируемого уровня, микросхема переводится в дежурный режим, из которого ее можно вывести перезапуском.

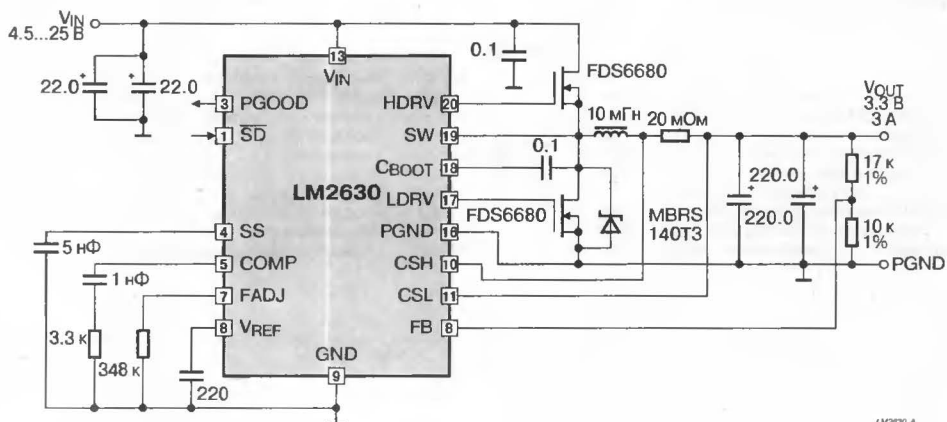
## СТРУКТУРНАЯ СХЕМА



## Примечание:

UVLO — блокировка при пониженном напряжении; LDO — стабилизатор с малым падением напряжения вход-выход

## ТИПОВАЯ СХЕМА ВКЛЮЧЕНИЯ



## СДВОЕННЫЙ РЕГУЛИРУЕМЫЙ ПОНИЖАЮЩИЙ КОНТРОЛЛЕР ИМПУЛЬСНОГО ИСТОЧНИКА ПИТАНИЯ

### ОСОБЕННОСТИ

- КПД ..... 96%
- Входное напряжение ..... 5.5...30 В
- Регулируемое выходное напряжение каждого канала ..... 2.2...6 В
- Нестабильность по току ..... 0.5% (тип)
- Нестабильность по напряжению ..... 0.002%/В (тип)
- Переключение с фиксированной частотой ..... 300 кГц
- Внешняя синхронизация ..... 400 кГц
- Дополнительный режим с пропуском импульсов
- Регулируемый второй контур обратной связи
- Блокировка при пониженном входном напряжении
- Блокировка при повышенном выходном напряжении
- Блокировка при пониженном выходном напряжении
- Программируемый мягкий запуск (каждого контроллера)
- Выход линейного стабилизатора ..... 5 В/50 мА
- Прецизионный источник опорного напряжения ..... 2.5 В
- Корпус типа TSSOP

### ПРИМЕНЕНИЕ

- Портативные компьютеры
- Сотовые телефоны
- Беспроводные оконечные устройства
- Устройства с батарейным питанием

### ОБЩЕЕ ОПИСАНИЕ

Микросхема LM2641 представляет собой сдвоенный понижающий контроллер источника питания, предназначенный для применения в портативных компьютерах и другом оборудовании, питающемся от батарей.

Синхронное управление мощными *n*-канальными МОП-транзисторами в сочетании со скип-режимом (режим с пропуском импульсов) позволяет достичь предельно высокой эффективности преобразователя в широком диапазоне выходных токов 1000:1. Скип-режим может быть отключен, если определяющим является требование фиксированной частоты.

Высокий коэффициент усиления по постоянному току и режим управления с дополнительной обратной связью по току гарантируют отличную стабильность выходного напряжения по напряжению и току и широкую полосу пропускания для быстрой реакции на изменения в нагрузке.

Внутренний генератор устанавливает частоту переключений 300 кГц. Однако переключение может быть синхронизировано с внешним тактовым сигналом с частотой вплоть до 400 кГц.

Мягкий запуск ограничивает броски тока в цепи питания при запуске.

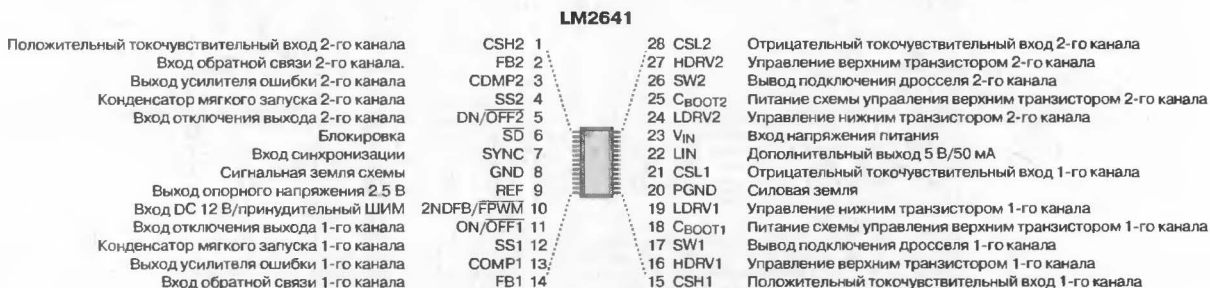
Контроллеры имеют отдельные логические входы управления контроллерами ON/OFF.

### ТИПОНОМИНАЛЫ

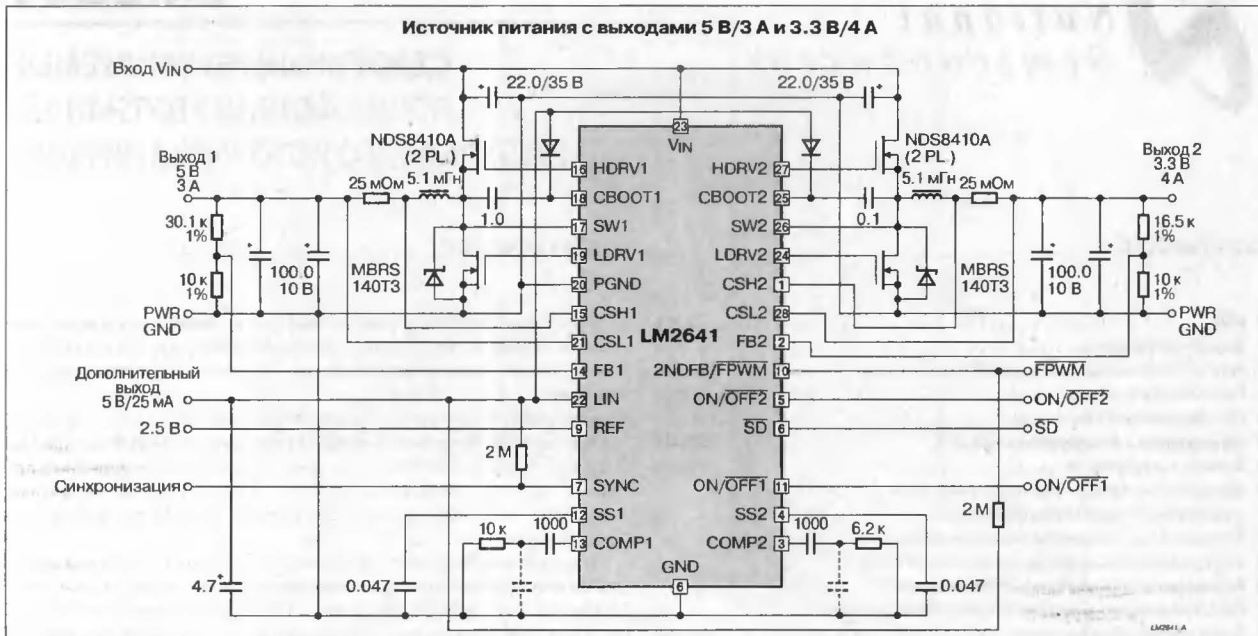
Типономинал	Корпус
LM2641MTC-ADJ	TSSOP-28

### ОЦОКЛЕВКА КОРПУСОВ

Пластмассовый корпус типа TSSOP-28



**Источник питания с выходами 5 В/3 А и 3.3 В/4 А**

[illegible]

Приведена развернутая схема первого канала и общих цепей управления; UVLO — блокировка при пониженном напряжении

## СИНХРОННЫЙ ИМПУЛЬСНЫЙ СТАБИЛИЗАТОР НА 1.5 А

### ОСОБЕННОСТИ

- ♦ КПД ..... до 97%
- ♦ Диапазон входных напряжений ..... 4...14 В
- ♦ Регулируемый выход. .... 1.5...5 В
- ♦ Сопротивление открытого ключа ..... 0.1 Ом
- ♦ Внутренний генератор с фиксированной частотой ..... 300 кГц
- ♦ Ток потребления в дежурном режиме ..... 7 мкА
- ♦ Патентованная схема измерения тока в режиме ДОСТ
- ♦ Блокировка при пониженном входном напряжении
- ♦ Блокировка при перенапряжении
- ♦ Блокировка при пониженном выходном напряжении
- ♦ Регулируемый мягкий запуск
- ♦ Регулируемая задержка сигнала "Power Good"
- ♦ Отключение при перегрузке по току и перегреве

### ПРИМЕНЕНИЕ

- ♦ Персональные информационные устройства (PDA)
- ♦ Периферийное оборудование для компьютеров
- ♦ Устройства, питающиеся от батарей
- ♦ Видеоприставки для компьютеров класса Notebook
- ♦ Ручные сканеры
- ♦ Преобразователи напряжения на 5 В с высоким КПД

### ОБЩЕЕ ОПИСАНИЕ

Импульсный стабилизатор LM2653 обеспечивает высокоэффективное преобразование мощности в широком диапазоне токов нагрузки (от 15 мА до 1.5 А). Эта особенность делает LM2653 идеальным прибором для применения в устройствах, питающихся от батарей.

Синхронное выпрямление позволяет получить КПД 97%. При малых нагрузках LM2653 входит в энергосберегающий релейный режим, чтобы поддерживать КПД на высоком уровне. Во многих применениях КПД превышает 80% при нагрузке 15 мА. Вывод блокировки позволяет снизить ток питания до 7 мкА.

Микросхема содержит патентованную схему измерения тока в режиме управления с дополнительной обратной связью по току, которая позволяет обойтись без токоизмерительного резистора.

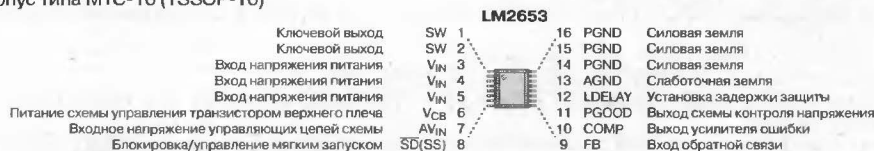
Схема защиты осуществляет отключение при перегреве, блокировку при пониженном напряжении, мягкий запуск и поцикловую защиту по току.

### ТИПОНОМИНАЛЫ

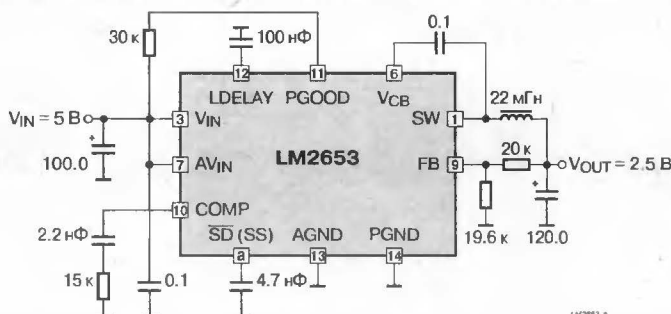
Типономинал	Корпус
LM2653MTC-ADJ	TSSOP-16

### ЦОКОЛЕВКА КОРПУСОВ

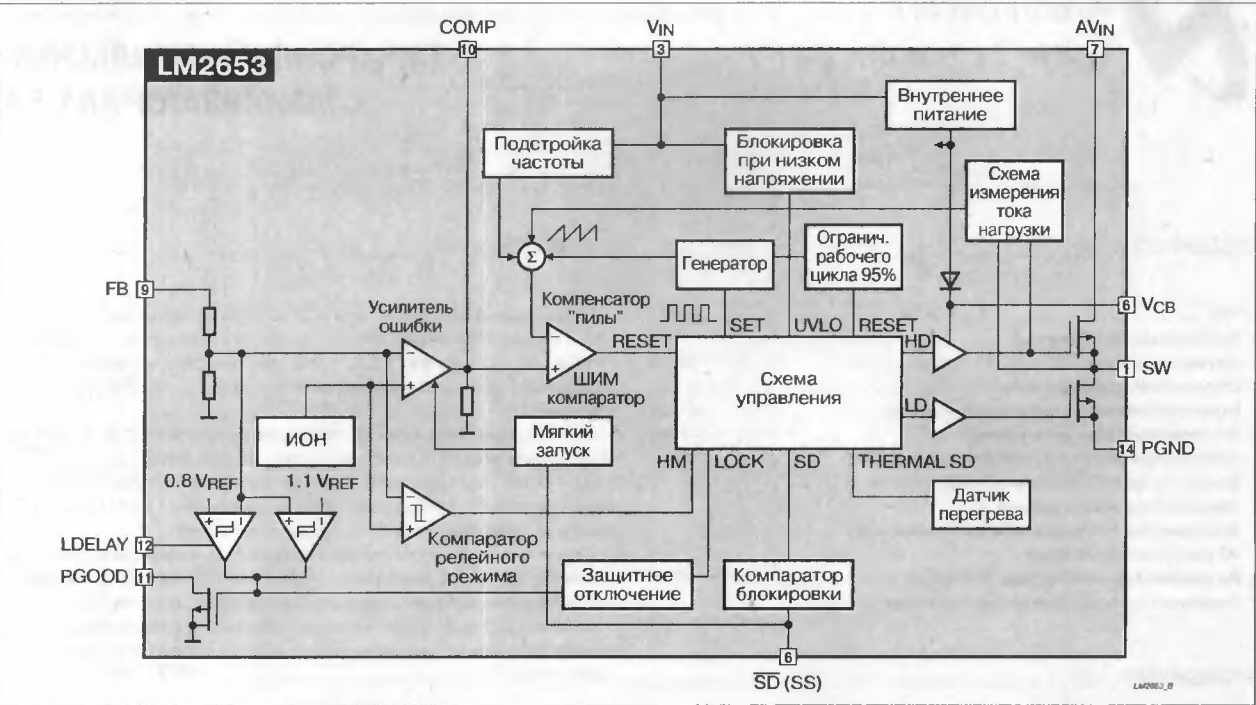
Пластмассовый корпус типа MTC-16 (TSSOP-16)



### ТИПОВАЯ СХЕМА ВКЛЮЧЕНИЯ



СТРУКТУРНАЯ СХЕМА



НАЗНАЧЕНИЕ ВЫВОДОВ

ВЫВОД	СИМВОЛ	ОПИСАНИЕ
1	SW	Ключевой выход, соединен с истоком МОП-транзистора верхнего плеча
2		
3	V <sub>IN</sub>	Вход напряжения питания. Соединяется со стоком МОП-транзистора верхнего плеча
4		
5		
6	V <sub>SW</sub>	Напряжение питания схемы управления затвором транзистора верхнего плеча, конденсатор вольтодобавки
7	AV <sub>IN</sub>	Входное напряжение управляющих цепей схемы
8	SD(SS)	Вход блокировки, активный НИЗКИЙ. Этот вывод может также функционировать как вход управления мягким запуском. Подключите конденсатор между этим выводом и землей
9	FB	Вход обратной связи. Следует соединить с выходным напряжением
10	COMP	Выход усилителя напряжения ошибки для частотной коррекции цепи обратной связи
11	PGOOD	Выход схемы контроля выходного напряжением. PGOOD имеет НИЗКИЙ уровень, если выходное напряжение превышает 110% или ниже 80% от номинального значения
12	LDELAY	Конденсатор между этим выводом и землей устанавливает задержку срабатывания триггера защиты и появления НИЗКОГО уровня на выводе PGOOD при снижении выходного напряжения до 80% от номинального значения
13	AGND	Аналоговая земля с низким уровнем шумов
14		
15	PGND	Силовая земля
16		



## ВЫСОКОЭФФЕКТИВНЫЙ ПОНИЖАЮЩИЙ СТАБИЛИЗАТОР НАПЯЖЕНИЯ НА 5 А

### ОСОБЕННОСТИ

- КПД ..... до 92%
- Легкость эксплуатации
- Выходной ключевой ДМОП-транзистор ..... 120 мОм
- Выходное напряжение
  - фиксированное ..... 3.3, 5 и 12 В
  - регулируемое ..... 1.2...37 В
- Ток потребления в дежурном режиме ..... 50 мкА
- Разброс выходного напряжения во всем диапазоне входных напряжений и токов нагрузки .....  $\pm 2\%$  (max)
- Широкий диапазон входного напряжения ..... 8...40 В
- Внутренний генератор с фиксированной частотой ..... 260 кГц
- Диапазон рабочих температур ..... 40...+125°C

### ПРИМЕНЕНИЕ

- Несложные понижающие стабилизаторы с высоким КПД (> 90 %)
- Эффективные предварительные источники питания для линейных стабилизаторов напряжения
- Зарядные устройства

### ТИПОНОМИНАЛЫ

Типономинал	Выходное напряжение, В	Корпус
LM2678S-3.3	3.3	TO-263-7 (TS7B)
LM2678S-5.0	5.0	TO-263-7 (TS7B)
LM2678S-12	12	TO-263-7 (TS7B)
LM2678S-ADJ	Регулируемое	TO-263-7 (TS7B)
LM2678T-3.3	3.3	TO-220-7 (TA07B)
LM2678T-5.0	5.0	TO-220-7 (TA07B)
LM2678T-12	12	TO-220-7 (TA07B)
LM2678T-ADJ	Регулируемое	TO-220-7 (TA07B)

### ОБЩЕЕ ОПИСАНИЕ

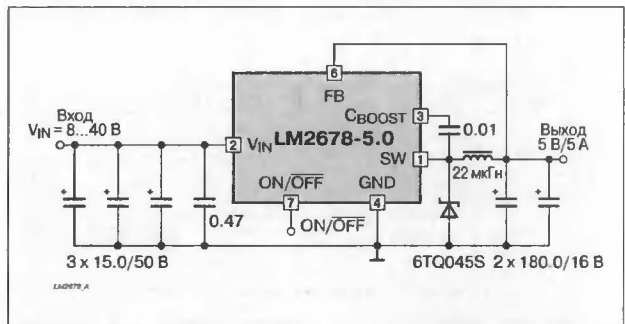
Микросхемы серии LM2678 реализуют все необходимые функции для построения понижающих (buck) преобразователей напряжения с током нагрузки до 5 А с превосходной стабильностью по напряжению и току. Использование встроенного ДМОП-ключа с низким сопротивлением открытого канала позволяет получить КПД более 90%. Серия включает приборы с регулируемым выходным напряжением и фиксированными напряжениями 3.3, 5 и 12 В.

Концепция SIMPLE SWITCHER обеспечивает использование минимального числа навесных компонентов. Генератор с высокой фиксированной частотой (260 кГц) с позволяет применять компоненты с меньшими габаритными размерами. Для использования вместе с LM2678 рядом производителей выпускается семейство стандартных дросселей, что очень упрощает процесс проектирования.

В микросхеме LM2678 также реализованы тепловая защита, ограничение тока и блокировка схемы, которая может понизить ток покоя до 50 мкА. Выходное напряжение регулируется с погрешностью  $\pm 2\%$ .

Частота синхронизации регулируется в пределах  $\pm 11\%$ .

### ТИПОВАЯ СХЕМА ВКЛЮЧЕНИЯ

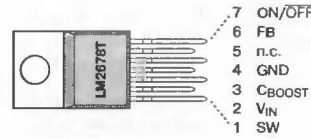


### ЦОКОЛЕВКА КОРПУСОВ

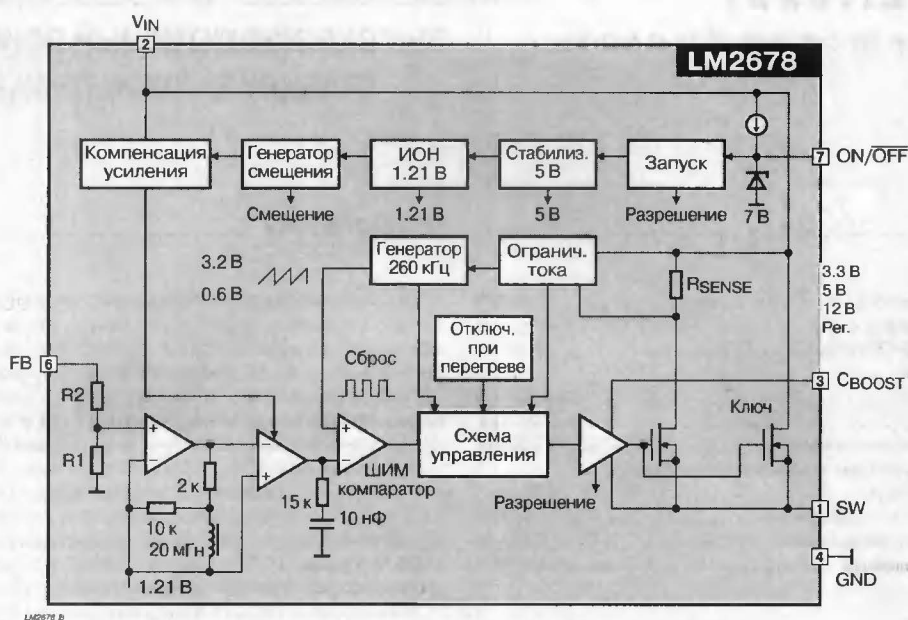
Корпус типа TO-263-7



Корпус типа TO-220-7



## СТРУКТУРНАЯ СХЕМА



## КОНДЕНСАТОРНЫЙ СТАБИЛИЗАТОР НАПЯЖЕНИЯ С ТОКОМ ДО 200 мА

### ОСОБЕННОСТИ

- Погрешность стабилизированного выходного напряжения .....  $\pm 3\%$
- Стандартный ряд выходных напряжений ..... 2.5, 3.0 и 3.3 В
- Возможна поставка приборов с выходным напряжением от 1.8 В до 4.0 В с шагом 100 мВ
- Входное напряжение ..... 2.5...5.5 В
- Выходной ток ..... до 200 мА
- КПД ..... более 80%
- Используются малое число дешевых навесных компонентов
- Малая занимаемая площадь
- Рабочий ток ..... 400 мкА (тип)
- Ток потребления в дежурном режиме ..... 2.5 мкА (тип)
- Рабочая частота переключений ..... 1 МГц (тип)
- Архитектура и методы управления обеспечивают высокий ток нагрузки и высокий КПД
- Корпус TSSOP-16
- Защита от перегрева

### ПРИМЕНЕНИЕ

- Оборудование с батарейным питанием, включая персональные цифровые устройства, "карманные" компьютеры, сотовые телефоны
- Плоские дисплеи
- Ручной инструмент
- Системы с питанием от NiCd, NiMH или щелочных батарей
- Любые преобразователи 3.3 в 2.5 В или 5.0 в 3.3 В

### ТИПОНОМИНАЛЫ

Типономинал	Выходное напряжение, В	Корпус	Поставка
LM3352MTCX-2.5	2.5	TSSOP-16	2500 шт., лента и бобина
LM3352MTCX-2.5	2.5	TSSOP-16	94 шт., туба
LM3352MTCX-3.0	3.0	TSSOP-16	2500 шт., лента и бобина
LM3352MTCX-3.0	3.0	TSSOP-16	94 шт., туба
LM3352MTCX-3.3	3.3	TSSOP-16	2500 шт., лента и бобина
LM3352MTCX-3.3	3.3	TSSOP-16	94 шт., туба

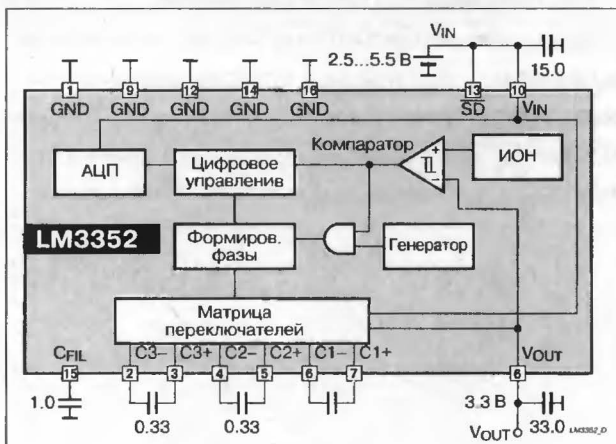
### ОБЩЕЕ ОПИСАНИЕ

Микросхема LM3352 представляет собой DC/DC-преобразователь на переключаемых конденсаторах, который выдает стабилизированное выходное напряжение, автоматически повышая или понижая входное напряжение. Прибор работает с входным напряжением от 2.5 до 5.5 В. LM3352 выпускается в трех стандартных вариантах с выходным напряжением: 2.5, 3.0 и 3.3 В. Возможна поставка модификации с другим выходным напряжением из диапазона 1.8...4.0 В с шагом 100 мВ.

Повышающая/понижающая архитектура LM3352 позволяет получать ток нагрузки до 200 мА при КПД свыше 80%. Типовой рабочий ток равен 400 мкА, а типовой ток потребления в дежурном режиме — всего 2.5 мкА.

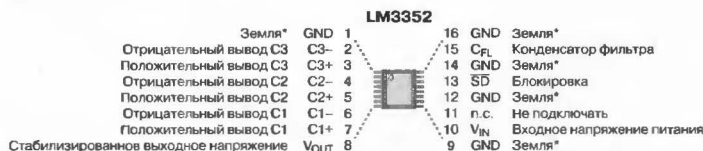
Микросхема LM3352 выпускаются в 16-выводном корпусе TSSOP. Этот корпус имеет максимальную высоту всего 1.1 мм. Высокий КПД LM3352, низкое потребление, миниатюрный корпус и небольшая площадь готового преобразователя делают ее идеальным решением для применения в портативных устройствах с батарейным питанием.

### СТРУКТУРНАЯ СХЕМА И ТИПОВАЯ СХЕМА ВКЛЮЧЕНИЯ



### ЦОКОЛЕВКА КОРПУСОВ

Пластмассовый корпус типа TSSOP-16 (MTC16)



\*Все выводы GND должны быть соединены с общей шиной схемы



**Микросхемы для импульсных источников питания фирмы NJR Corporation:**

Безындуктивные DC/DC-преобразователи . . . . .	437
Индуктивные импульсные преобразователи напряжения . . . . .	437
<b>NJM2360A</b> Прецизионный DC/DC-преобразователь . . . . .	438
<b>NJM2368/69</b> Схема управления импульсным стабилизатором . . . . .	440
<b>NJU7261</b> Повышающий импульсный стабилизатор . . . . .	442
<b>NJU7262</b> Повышающий импульсный стабилизатор . . . . .	443

МИКРОСХЕМЫ ДЛЯ ИМПУЛЬСНЫХ ИСТОЧНИКОВ ПИТАНИЯ ФИРМЫ NJR CORPORATION

БЕЗЫНДУКТИВНЫЕ DC-DC ПРЕОБРАЗОВАТЕЛИ

Прибор	Входное напряжение, В	Выходное напряжение, В	Выходной ток, мА	Ток потребления, мкА		Частота, кГц	Корпус	Особенности
				Рабочий	Дежурный режим			
NJU7261	1...5	3, 5 ( $\pm 3\%$ )	250 (typ)	5 (typ)	0.2	20...50	SOT-89-5	Дежурный режим, внутренний RC-генератор, встроенный диод, КМОП-технология
NJU7262	1...5	3, 5 ( $\pm 3\%$ )	250 (typ)	5 (typ)	0.2	20...50	SOP-8, SSOP-8, MSOP-8	Внешняя/внутренняя синхронизация, дежурный режим, внутренний RC-генератор, встроенный диод, КМОП-технология
NJU7660	3...10/1.5...10	$2V_{IN}/-V_{IN}$	55 Ом (typ)	170 (typ)	—	5	DIP-8, SOP-8	КПД для инвертора до 99.9%, каскадное включение, малое число внешних компонентов, КМОП-технология
NJU7662	4.5...20	$2V_{IN}/-V_{IN}$	60/125 Ом (typ)	250/20 (typ)	—	10	DIP-8, SOP-8	КПД для инвертора до 99.9%, каскадное включение, малое число внешних компонентов, КМОП-технология
NJU7664	2.7...5.2	0...4	-5...100	1200	1	4000	MSOP-6	Преобразователь для GaAs FET, встроенный конденсатор накачки заряда, двоянный ОУ, дежурный режим, КМОП-технология

ИНДУКТИВНЫЕ ИМПУЛЬСНЫЕ ПРЕОБРАЗОВАТЕЛИ НАПЯЖЕНИЯ

Прибор	Входное напряжение, В	Выходное напряжение, В	Выходной ток, мА	Модулятор	Частота, кГц	Максимальный рабочий цикл, %	Применение (преобразователь)	Режим управления	Корпус	Особенности
ВНУТРЕННИЙ КЛЮЧ										
NJM2352	2.4...24	1.3...24	200	ШИМ	40...60	50	Повыш., пониж., инверт.	Напряжение	SOP-8	Ток потребления 280 мкА (max), определение пониженного напряжения, ИОН на 1.3 В, биполярная технология
NJM2355	7.5...50	5...50	$\pm 200$	ШИМ	25...31	90	Повыш., пониж., полож. в отриц.	Напряжение	DIP-18	2-канальный стабилизатор, ИОН на 5 В, подавление двоянных импульсов, изменяемое "мертвое" время, биполярная технология
NJM2360	2.5...40	1.25...40	1500	ШИМ	0.1...100	100	Повыш., пониж., инверт.	Напряжение	DIP-8, SOP-8	ИОН на 1.3 В $\pm 6\%$ , внешний токоогранич. резистор, биполярная технология
NJM2360A	2.5...40	1.25...40	1500	ШИМ	0.1...100	100	Повыш., пониж., инверт.	Напряжение	DIP-8, SOP-8	ИОН на 1.3 В $\pm 2\%$ , внешний токоогранич. резистор, биполярная технология
ВНЕШНИЙ КЛЮЧ										
NJM2362	9...20	5	$\pm 1000$ (ПТ)	ШИМ	45...55	48	Обратноходовой, прямоходовой	Ток	DIP-14	ИОН на 5 В, дистанционное выкл., защита от пониженного напряжения, позиловое ограничение тока, биполярная технология
NJM2368	3.6...32	—	$\pm 50$ (БТ)	ШИМ	5...350	64 (typ)	Обратноходовой до 10 Вт	Напряжение	DIP-8, SOP-8, SSOP-8	Мягкий запуск, защита от пониженного напряжения, биполярная технология, тотемный выход
NJM2369	3.6...32	—	— (ПТ)	ШИМ	5...350	64 (typ)	Обратноходовой до 10 Вт	Напряжение	DIP-8, SOP-8, SSOP-8	Мягкий запуск, защита от пониженного напряжения, биполярная технология, тотемный выход
NJM3524	8...40	—	50	ШИМ	до 200	45	Любой	Напряжение	DIP-16, SOP-16, SSOP-16	Двухтактный ШИМ-контроллер, аналог SG3524

Примечания:

ПТ — полевой транзистор;  
БТ — биполярный транзистор



# NJM2360A

## ПРЕЦИЗИОННЫЙ DC/DC-ПРЕОБРАЗОВАТЕЛЬ

### ОСОБЕННОСТИ

- ♦ Рабочее напряжение ..... 2.5...40 В
- ♦ Точность ИОН .....  $\pm 2\%$
- ♦ Низкий ток потребления в дежурном режиме
- ♦ Выходное напряжение ..... 1.25...40 В
- ♦ Частота генератора ..... 100 Гц...1000 кГц
- ♦ Выходной ток ключа ..... 1.5 А
- ♦ Корпус типа DIP-8 или SOP-8
- ♦ Биполярная технология

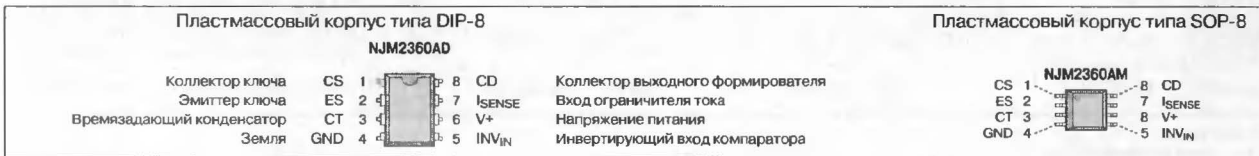
### ОБЩЕЕ ОПИСАНИЕ

Микросхема NJM2360A представляет собой схему управления, содержащую все необходимое для построения DC/DC-преобразователя напряжения.

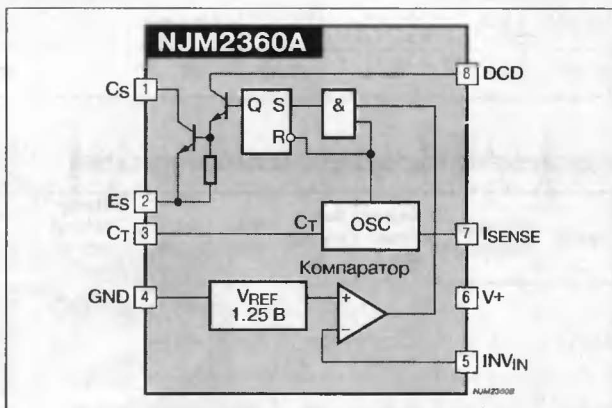
Она включает: прецизионный источник опорного напряжения (ИОН), генератор с компаратором управления рабочим циклом и схемой ограничения тока, формирователь импульсов и мощный ключ.

Эта микросхема может использоваться в повышающих, понижающих и инвертирующих преобразователях с минимальным числом навесных компонентов. Выходное напряжение имеет разброс  $\pm 5\%$  при использовании резисторов с допуском 1%.

### ЦОКОЛЕВКА КОРПУСОВ



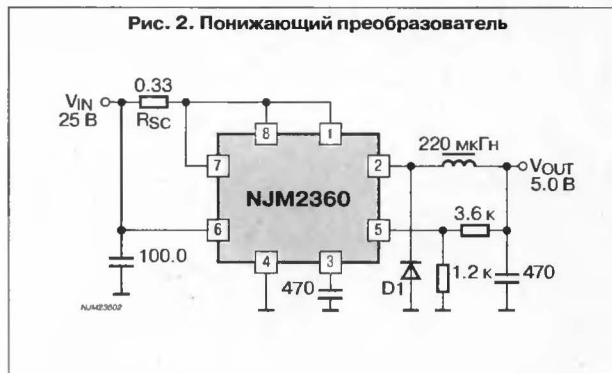
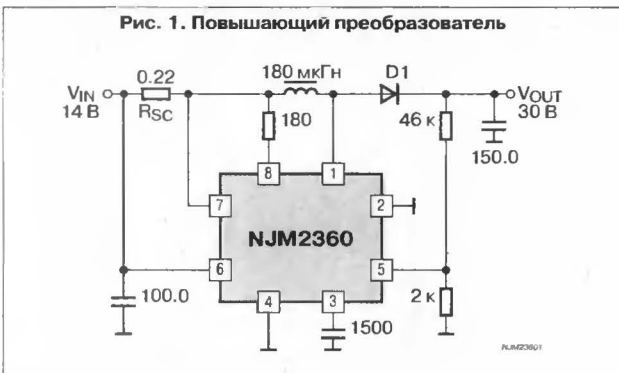
### СТРУКТУРНАЯ СХЕМА



### ТИПОНОМИНАЛЫ

Типономинал	Корпус
NJM2360AD	DIP-8
NJM2360AM	DMP-8 (SOP-8)

### ТИПОВЫЕ СХЕМЫ ВКЛЮЧЕНИЯ





ТИПОВЫЕ СХЕМЫ ВКЛЮЧЕНИЯ (ПРОДОЛЖЕНИЕ)

Рис. 3. Мощный повышающий преобразователь

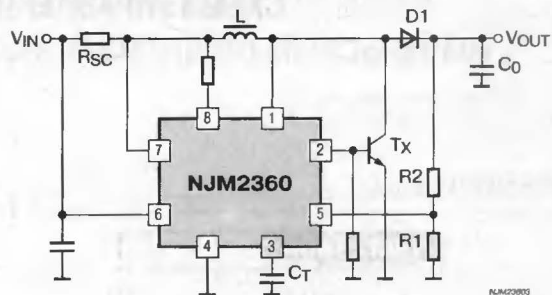


Рис. 4. Мощный понижающий преобразователь

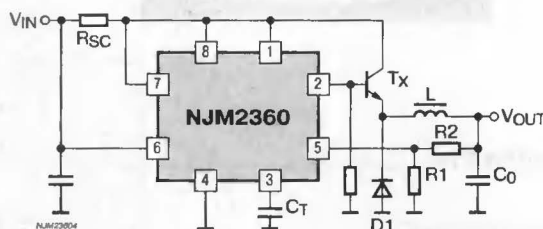
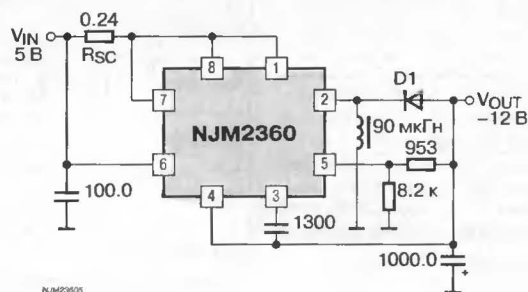


Рис. 5. Инвертирующий преобразователь





# NJM2368/69

## СХЕМА УПРАВЛЕНИЯ ИМПУЛЬСНЫМ СТАБИЛИЗАТОРОМ

### ОСОБЕННОСТИ

- ♦ Рабочее напряжение ..... 3.6...32 В
- ♦ Частота генератора ..... 5...350 кГц
- ♦ Мягкий запуск
- ♦ Блокировка при пониженном входном напряжении (UVLO)
- ♦ Биполярная технология
- ♦ Корпус типа DIP-8, DMP-8, EMP-8 или SSOP-8

### ОБЩЕЕ ОПИСАНИЕ

Микросхемы NJM2368/NJM2369 представляют собой быстродействующие схемы управления импульсным стабилизатором, который может работать при низком входном напряжении.

В схемах используется тотемный выходной каскад, способный непосредственно управлять внешним биполярным (NJM2368) или МОП-транзистором (NJM2369).

Приборы предназначены для применения в обратноходовых импульсных преобразователях напряжения мощностью до 10 Вт.

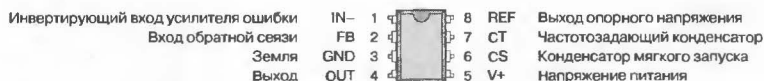
### ТИПОНОМИНАЛЫ

Типономинал	Корпус
NJM2368D	DIP-8
NJM2368M	DMP-8 (SOP-8W)
NJM2368E	EMP-8 (SOP-8)
NJM2368V	SSOP-8
NJM2369D	DIP-8
NJM2369M	DMP-8 (SOP-8W)
NJM2369E	EMP-8 (SOP-8)
NJM2369V	SSOP-8

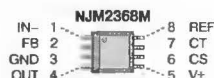
### ЦОКОЛЕВКА КОРПУСОВ

Пластмассовый корпус типа DIP-8

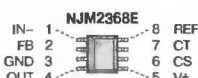
NJM2368D



Пластмассовый корпус  
типа SOP-8W



Пластмассовый корпус  
типа SOP-8



Пластмассовый корпус  
типа SSOP-8



Внутренняя структура микросхемы NJM2368:

- Блок питания:  $V+$  и  $GND$ .
- Входные сигналы:  $C_{IN}$  и  $0.52\text{ В}$ .
- Блок **ИОН** (Индикаторный Операционный Непрерывный).
- Блок **UVLO** (Under Voltage Lock Out).
- Блок **Генератор**.
- Блок **30 мкА** (источник тока).
- Блок **Компаратор защиты от КЗ** (Comparator for protection against K3).
- Блок **ШИМ компаратор** (PWM comparator).
- Блок **Усилитель ошибки** (Error amplifier).
- Выходные сигналы:  $1$ ,  $2$ ,  $3$ ,  $4$ .
- Детали: резисторы ( $330\text{ к}$ ,  $36\text{ к}$ ,  $1000$ ,  $180\text{ к}$ ,  $500$ ,  $2200$ ,  $1\text{ М}$ ,  $22\text{ к}$ ,  $2\text{ к}$ ,  $2.2\text{ к}$ ), конденсаторы ( $4.7$ ,  $2200$ ,  $C_{OUT}$ ), диод  $D1$ , транзистор  $Q1$ .

\* Резистор только для NJM2368

Деталь **NJM2369** (внутри NJM2368):

- Вход:  $4$ .
- Выход:  $2$ .
- Детали: диод, транзистор.

Модель: NJM2368



# NJU7261

## ПОВЫШАЮЩИЙ ИМПУЛЬСНЫЙ СТАБИЛИЗАТОР

### ОСОБЕННОСТИ

- ♦ Низкое рабочее напряжение ..... 1 В (min)
- ♦ Низкий рабочий ток, при  $V_{OUT} = 3$  В ..... 5 мкА
- ♦ Низкий ток в дежурном режиме, при  $V_{OUT} = 3$  В ..... 0.2 мкА
- ♦ Высокая точность выходного напряжения .....  $\pm 3\%$  (max)
- ♦ Широкий диапазон рабочего напряжения
- ♦ Дежурный режим
- ♦ Встроенный RC-генератор
- ♦ Встроенный диод Шоттки
- ♦ Корпус типа SOT89-5
- ♦ КМОП-технология

### ОБЩЕЕ ОПИСАНИЕ

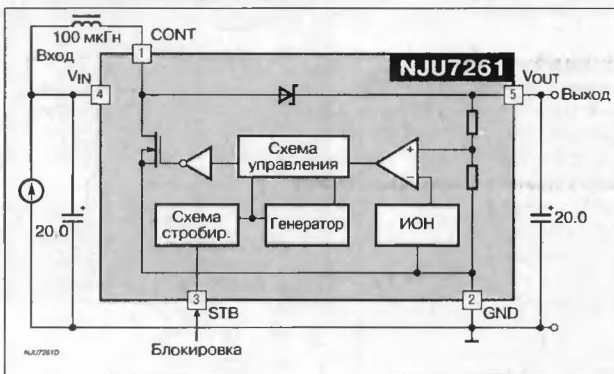
Микросхема NJU7261 выполнена по КМОП-технологии и представляет собой повышающий импульсный стабилизатор напряжения, который включает точный источник опорного напряжения (ИОН), усилитель сигнала ошибки, RC-генератор, схему управления, ключевой транзистор, диод и резистор.

Функция перехода в дежурный режим эффективна для применений с низкой потребляемой мощностью.

Напряжение стабилизации задается внутренним резистивным делителем и составляет 3 или 5 В.

Благодаря малому корпусу, низкому рабочему напряжению и току, микросхема NJU7261 удобна для использования в портативном оборудовании с батарейным питанием.

### СТРУКТУРНАЯ СХЕМА И ТИПОВАЯ СХЕМА ВКЛЮЧЕНИЯ

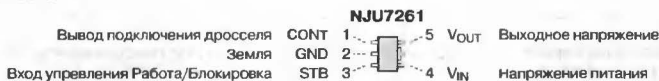


### ТИПОНОМИНАЛЫ

Типономинал	Выходное напряжение, В	Корпус
NJU7261U30	3	SOT89-5
NJU7261U50	5	SOT89-5

### ЦОКОЛЕВКА КОРПУСОВ

Пластмассовый корпус типа SOT89-5





# NJU7262

## ПОВЫШАЮЩИЙ ИМПУЛЬСНЫЙ СТАБИЛИЗАТОР

### ОСОБЕННОСТИ

- Низкое рабочее напряжение ..... 1 В (min)
- Низкий рабочий ток, при  $V_{OUT} = 3$  В ..... 5 мкА
- Низкий ток в дежурном режиме, при  $V_{OUT} = 3$  В ..... 0.2 мкА
- Высокая точность выходного напряжения .....  $\pm 3\%$  (max)
- Широкий диапазон рабочего напряжения
- Выбор внешней/внутренней синхронизации
- Дежурный режим
- Встроенный RC-генератор
- Встроенный диод Шоттки
- Корпуса типов DMP-8, SSOP-8, VSP-8
- КМОП-технология

### ОБЩЕЕ ОПИСАНИЕ

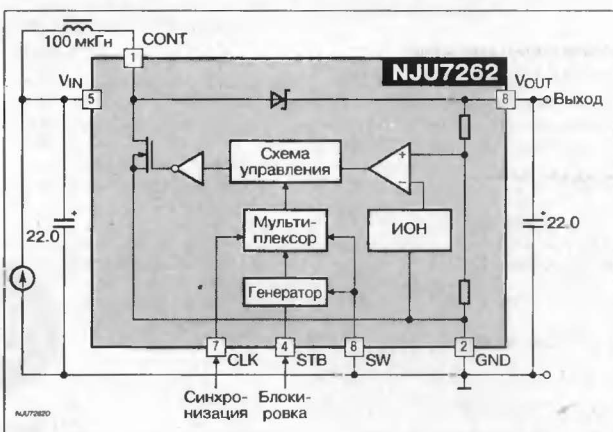
Микросхема NJU7262 представляет собой повышающий импульсный стабилизатор напряжения, который состоит из точного источника опорного напряжения (ИОН), усилителя сигнала ошибки, RC-генератора, схемы управления, ключевого транзистора, диода Шоттки и резистивного делителя.

Тактирование работы производится внутрисхемно или через вывод внешней синхронизации, использование дежурного режима позволяет снизить ток потребления в маломощных схемах применения.

Напряжение стабилизации установлено внутренним резистивным делителем и составляет 3 или 5 В.

Благодаря малому корпусу, низкому рабочему напряжению и току, микросхема NJU7262 удобна для использования в портативном оборудовании с батарейным питанием.

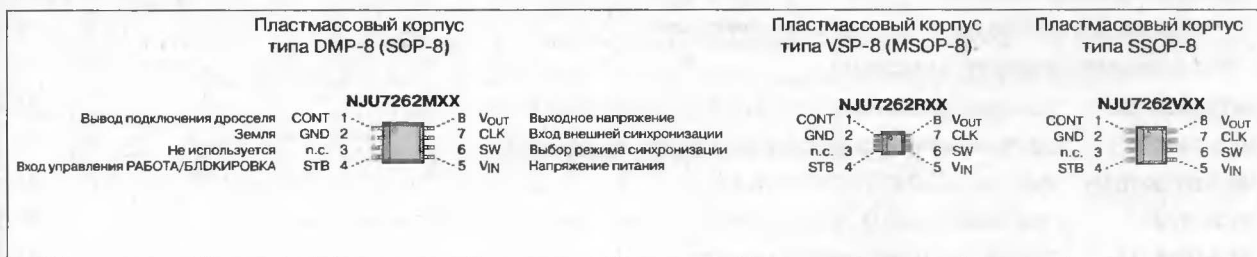
### СТРУКТУРНАЯ СХЕМА И ТИПОВАЯ СХЕМА ВКЛЮЧЕНИЯ



### ТИПОНОМИНАЛЫ

Типономинал	Выходное напряжение, В	Корпус
NJU7262M30	3	DMP-8
NJU7262V30	3	SSOP-8
NJU7262R30	3	VSP-8
NJU7262M50	5	DMP-8
NJU7262V50	5	SSOP-8
NJU7262R50	5	VSP-8

### ЦОКОЛЕВКА КОРПУСОВ





**ON Semiconductor**  
*Formerly a Division of Motorola*

**Микросхемы для импульсных источников питания фирмы ON Semiconductor:**

Однотактные контроллеры .....	445
Однотактные контроллеры со встроенным ключом .....	446
Высоковольтные однотактные контроллеры со встроенным мощным ключом .....	446
Однотактные контроллеры со встроенным ключом серии "Easy Switcher™" .....	447
Специальные однотактные контроллеры .....	447
Двухтактные контроллеры .....	447
Микромощные КМОП DC/DC-преобразователи .....	447
Двухканальные контроллеры .....	448
Универсальный контроллер питания микропроцессоров .....	448
Контроллеры коэффициента мощности .....	448
<b>MC33363/3A</b> Высоковольтный импульсный стабилизатор напряжения .....	449
<b>MC33368</b> Высоковольтный контроллер коэффициента мощности .....	451
<b>MC33463H/66H</b> Микромощный DC/DC-конвертер .....	453
<b>MC33470</b> Программируемый DC/DC-конвертер с синхронным выпрямлением .....	455
<b>MC44603/04</b> Однотактный ШИМ/ЧИМ-контроллер .....	457



## МИКРОСХЕМЫ ДЛЯ ИМПУЛЬСНЫХ ИСТОЧНИКОВ ПИТАНИЯ ФИРМЫ ON SEMICONDUCTOR

## ОДНОТАКТНЫЕ КОНТРОЛЛЕРЫ

Предназначены для использования в повышающих, понижающих, прямоходовых и обратных преобразователях. Эффективное решение для мощностей 0.1...200 Вт.

Прибор	Напряжение питания, В	Контроль	Опорное напряжение, В	Максимальная рабочая частота, кГц	Температурный диапазон, °C	Суффикс/корпус
<b>500 мА, НЕЗАВИСИМЫЙ КЛЮЧ</b>						
MC33060A	7.0...40	Напряжение		200	-40...+85	D/SO-14, P/DIP-14
MC34060A	7.0...40	Напряжение	5.0±1.5%	200	0...+70	D/SO-14, P/DIP-14
<b>1000 мА, КВАЗИКОМПЛЕМЕНТАРНЫЙ ВЫХОД НА МОП-ТРАНЗИСТОР</b>						
MC33129	4.2...12	Ток	1.25±2.0%	300	-40...+85	D/SO-14, P/DIP-14
MC34129	4.2...12	Ток	1.25±2.0%	300	0...+70	D/SO-14, P/DIP-14
UC2842A	11...30	Ток	5.0±1.0%	500	-25...+85	D/SO-14, N/DIP-8
UC2842B	11...30	Ток	5.0±1.0%	500 (Повышенная стабильность генератора при 250 кГц)	-25...+85	D/SO-14, D1/SO-8, N/DIP-8
UC3842A	11.5...30	Ток	5.0±2.0%	500	0...+70	D/SO-14, N/DIP-8
UC3842B	11.5...30	Ток	5.0±2.0%	500 (Повышенная стабильность генератора при 250 кГц)	0...+70	D/SO-14, D1/SO-8, N/DIP-8
UC3842BV	11.5...30	Ток	5.0±2.0%	500 (Повышенная стабильность генератора при 250 кГц)	-40...+105	D/SO-14, D1/SO-8, N/DIP-8
UC2843A	8.2...30	Ток	5.0±1.0%	500	-25...+85	D/SO-14, N/DIP-8
UC2843B	8.2...30	Ток	5.0±1.0%	500 (Повышенная стабильность генератора при 250 кГц)	-25...+85	D/SO-14, D1/SO-8, N/DIP-8
UC3843A	8.2...30	Ток	5.0±2.0%	500	0...+70	D/SO-14, N/DIP-8
UC3843B	8.2...30	Ток	5.0±2.0%	500 (Повышенная стабильность генератора при 250 кГц)	0...+70	D/SO-14, D1/SO-8, N/DIP-8
UC3843BV	8.2...30	Ток	5.0±2.0%	500 (Повышенная стабильность генератора при 250kHz)	-40...+105	D/SO-14, D1/SO-8, N/DIP-8
UC2844	11...30	Ток	5.0±1.0%	500 (50% Ограничение рабочего цикла)	-25...+85	D/SO-14, N/DIP-8
UC2844B	11...30	Ток	5.0±1.0%	500 (50% Ограничение рабочего цикла)	-25...+85	D/SO-14, D1/SD-8, N/DIP-8
UC3844	11.5...30	Ток	5.0±2.0%	500 (50% Ограничение рабочего цикла)	0...+70	D/SO-14, N/DIP-8
UC3844B	11.5...30	Ток	5.0±2.0%	500 (50% Ограничение рабочего цикла)	0...+70	D/SO-14, D1/SO-8, N/DIP-8
UC3844BV	11.5...30	Ток	5.0±2.0%	500 (50% Ограничение рабочего цикла)	-40...+105	D/SO-14, D1/SO-8, N/DIP-8
UC2845	8.2...30	Ток	5.0±1.0%	500 (50% Ограничение рабочего цикла)	-25...+85	D/SO-14, N/DIP-8
UC2845B	8.2...30	Ток	5.0±1.0%	500 (50% Ограничение рабочего цикла)	-25...+85	D/SO-14, D1/SO-8, N/DIP-8
UC3845	8.2...30	Ток	5.0±2.0%	500 (50% Ограничение рабочего цикла)	0...+70	D/SO-14, N/DIP-8
UC3845B	8.2...30	Ток	5.0±2.0%	500 (50% Ограничение рабочего цикла)	0...+70	D/SO-14, D1/SO-8, N/DIP-8
UC3845BV	8.2...30	Ток	5.0±2.0%	500 (50% Ограничение рабочего цикла)	-40...+105	D/SO-14, D1/SO-8, N/DIP-8
<b>-1000 мА (ВЫТЕКАЮЩИЙ)...1500 мА (ВТЕКАЮЩИЙ ТОК), КВАЗИКОМПЛЕМЕНТАРНЫЙ ВЫХОД НА БИПОЛЯРНЫЙ ТРАНЗИСТОР</b>						
MC44602	11...18	Ток	5.0±6.0%	500 (50% Ограничение рабочего цикла)	-25...+85	P2/DIP-16
<b>2000 мА, КВАЗИКОМПЛЕМЕНТАРНЫЙ ВЫХОД НА МОП-ТРАНЗИСТОР</b>						
MC33023	9.2...30	Ток или напряжение	5.1±1.0%	1000	-40...+105	DW/SO-16, FN/PLCC-20, P/DIP-16
MC34023	9.2...30	Ток или напряжение	5.1±1.0%	1000	0...+70	DW/SO-16, FN/PLCC-20, P/DIP-16

## ОДНОТАКТНЫЕ КОНТРОЛЛЕРЫ СО ВСТРОЕННЫМ КЛЮЧОМ

Микросхемы содержат все необходимые элементы для построения DC/DC-преобразователя

Прибор	Напряжение питания, В	Контроль	Опорное напряжение, В	Максимальная рабочая частота, кГц	Температурный диапазон, °С	Суффикс/корпус
<b>1500 мА, СВОБОДНЫЙ МОЩНЫЙ КЛЮЧ</b>						
μA78S40	2.5...40	Напряжение	1.25 ±5.2%(1)	100	0...+70	PC/DIP-16
					-40...+85	PV/DIP-16
MC33063A	2.5...40	Напряжение	1.25 ±2.0%	100	-40...+85	D/SO-8, P1/DIP-8
					-40...+125	D/SO-8
MC34063A	2.5...40	Напряжение	1.25 ±2.0%	100	0...+70	D/SO-8, P1/DIP-8
MC33165	3...65	Напряжение	1.25 ±2.0% и 5.05 ±3.0%	100	-40...+85	DW/SO-16
MC34165	3...65	Напряжение	1.25 ±2.0% и 5.05 ±3.0%	100	0...+70	P/DIP-16, DW/SO-16
<b>3400 мА, СВОБОДНЫЙ МОЩНЫЙ КЛЮЧ</b>						
MC33163	2.5...40	Напряжение	1.25 ±2.0% и 5.05 ±3.0%	100	-40...+85	DW/SO-16
MC34163	2.5...40	Напряжение	1.25 ±2.0% и 5.05 ±3.0%	100	0...+70	P/DIP-16, DW/SO-16
<b>3400 мА (MIN), 4300 мА (TYP), ВЫХОД С ЭМИТТЕРА МОЩНОГО КЛЮЧА</b>						
MC33166	7.5...40	Напряжение	5.05 ±2.0%	72 ±12%, фиксирована	-40...+85	TH, TV, T/TO-220-5
MC34166	7.5...40	Напряжение	5.05 ±2.0%	72 ±12%, фиксирована	0...+70	D2T/D2PAK-5, TH, TV
<b>5500 мА (MIN), 6500 мА (TYP), ВЫХОД С ЭМИТТЕРА МОЩНОГО КЛЮЧА</b>						
MC33167	7.5...40	Напряжение	5.05 ±2.0%	72 ±12%, фиксирована	-40...+85	
MC34167	7.5...40	Напряжение	5.05 ±2.0%	72 ±12%, фиксирована	0...+70	

### Примечание

(1) Разброс во всём рабочем диапазоне температур

## ВЫСОКОВОЛЬТНЫЕ ОДНОТАКТНЫЕ КОНТРОЛЛЕРЫ СО ВСТРОЕННЫМ МОЩНЫМ КЛЮЧОМ

Разработаны для работы от выпрямленного сетевого напряжения. Включают высоковольтный ключ, схему запуска и ШИМ-контроллер с аварийной защитой

Прибор	Выпрямленное переменное напряжение 85...276 В	Встроенный МОП-ключ	Максимальное напряжение на стоке	Пиковый ток, А	$R_{DS(on)}$ , Ом	Максимальная выходная мощность ( $V_{IN} = 92...265 В (AC)$ ), Вт	Запуск	Схема управления	Рабочая частота	Корпус	Рабочая температура, °С
MC33362	только 110 В	+	500	2	4.4	20	Активный, встроенный МОПТ на 250 В	ШИМ, фикс. частота, управление по напряжению	Рег. до 300 кГц	DIP-16, SO-16WB	-25...+125
MC33363A	+	+	700	1	7.5	14	Активный, встроенный МОПТ на 500 В	ШИМ, фикс. частота, управление по напряжению	Рег. до 300 кГц	DIP-16, SO-16WB	-25...+125
MC33363B	+	+	700	1	15	8	Активный, встроенный МОПТ на 450 В	ШИМ, фикс. частота, управление по напряжению	Рег. до 300 кГц	DIP-16, SO-16WB	-25...+125
MC33365	+	+	700	1	15	8	Активный, встроенный МОПТ на 450 В	ШИМ, фикс. частота, управление по напряжению	Рег. до 300 кГц	DIP-16	-25...+125
MC33369	+	+	700	0.5	12	12	Активный, встроенный МОПТ на 700 В	ШИМ, фикс. частота	Фикс. 100 кГц	DIP-8, TO-220-5	-25...+125
MC33370	+	+	700	0.9	12	25	Активный, встроенный МОПТ на 700 В	ШИМ, фикс. частота	Фикс. 100 кГц	DIP-8, TO-220-5	-25...+125
MC33371	+	+	700	1.5	6.8	45	Активный, встроенный МОПТ на 700 В	ШИМ, фикс. частота	Фикс. 100 кГц	DIP-8, TO-220-5	-25...+125
MC33372	+	+	700	2	4.8	60	Активный, встроенный МОПТ на 700 В	ШИМ, фикс. частота	Фикс. 100 кГц	DIP-8, TO-220-5	-25...+125
MC33373	+	+	700	2.7	3.8	75	Активный, встроенный МОПТ на 700 В	ШИМ, фикс. частота	Фикс. 100 кГц	DIP-8, TO-220-5	-25...+125
MC33374	+	+	700	3.3	3	90	Активный, встроенный МОПТ на 700 В	ШИМ, фикс. частота	Фикс. 100 кГц	DIP-8, TO-220-5	-25...+125

### Примечание

МОПТ — МОП-транзистор

## ОДНОТАКТНЫЕ КОНТРОЛЛЕРЫ СО ВСТРОЕННЫМ КЛЮЧОМ СЕРИИ "EASY SWITCHER™"

Микросхемы представляют идеальное решение для построения понижающих импульсных стабилизаторов

Прибор	Рабочее напряжение, В (max)	Контроль	Рабочая частота, кГц	Выходное напряжение, В	Температурный диапазон, °C	Суффикс/корпус
500 мА						
LM2574	40	Напряжение	52, фиксирована	3.3, 5, 12, 15, Per.	-40...+125	N/DIP-8
1000 мА						
LM2575	40	Напряжение	52, фиксирована	3.3, 5, 12, 15, Per.	-40...+125	T/TO-220-5, TV/TO-220-5, D2T/D2PAK-5
3000 мА						
LM2576	4.75...40	Напряжение	52, фиксирована	3.3, 5, 12, 15, Per.	-40...+125	T/TO-220-5, TV/TO-220-5, D2T/D2PAK-5

## СПЕЦИАЛЬНЫЕ ОДНОТАКТНЫЕ КОНТРОЛЛЕРЫ

Прибор	Макс. выходной ток, мА	Макс. рабочее напряжение, В	Контроль	Рабочая частота, кГц	Опорное напряжение, В	Температурный диапазон, °C	Суффикс/корпус
ОДНОТАКТНЫЕ КОНТРОЛЛЕРЫ СЕРИИ GreenLine™							
MC44603A	±750	18	Напряжение или ток	250	2.5	-25...+85	P/DIP-16, DW/SO-16
MC44604	—	—	Напряжение или ток	250	2.5	-25...+85	P/DIP-16
MC44605	квазикомплементарный выход	80...280	Напряжение или ток	250	2.5	-25...+85	P/DIP-16
MC44608	—	80...280	Напряжение или ток	40/75/100	1	-25...+85	P/DIP-8

## ДВУХТАКТНЫЕ КОНТРОЛЛЕРЫ

Эти двухтактные контроллеры с управлением по напряжению, току, а также резонансные, разработаны для применения в двухтактных, полумостовых и мостовых преобразователях и используются при выходных мощностях 100...2000 Вт.

Прибор	Напряжение питания, В	Контроль	Опорное напряжение, В	Макс. рабочая частота, кГц	Температурный диапазон, °C	Суффикс/корпус
500 мА, НЕЗАВИСИМЫЕ КЛЮЧИ						
TL494	7.0...40	Напряжение	5.0±5.0%(1)	200	-25...+85 0...+70	IN/DIP-16 CN/DIP-16
TL594	7.0...40	Напряжение	5.0±1.5%	300	-25...+85 0...+70	IN/DIP-16 CN/DIP-16
±500 мА, КВАЗИКОМПЛЕМЕНТАРНЫЕ ВЫХОДЫ НА МОП-ТРАНЗИСТОРЫ						
SG3525A	8.0...40		5.1±2.0%	400	0...+70	N/DIP-16
±200 мА, КВАЗИКОМПЛЕМЕНТАРНЫЕ ВЫХОДЫ НА МОП-ТРАНЗИСТОРЫ						
SG3526			5.0±2.0%	400	0...+125(2)	N/DIP-18
±1500 мА, КВАЗИКОМПЛЕМЕНТАРНЫЕ ВЫХОДЫ НА МОП-ТРАНЗИСТОРЫ						
MC33066	9.6...20	Резонанс (Нулевой ток)	5.1±2.0%	1000	-40...+85	DW/SO-16, P/DIP-16
MC34066	9.6...20	Резонанс (Нулевой ток)	5.1±2.0%	1000	0...+70	DW/SO-16, P/DIP-16
MC33067	9.6...20	Резонанс (Нулевое напряжение)	5.1±2.0%	2000	-40...+85	DW/SO-16, P/DIP-16
MC34067	9.6...20	Резонанс (Нулевое напряжение)	5.1±2.0%	2000	0...+70	DW/SO-16, P/DIP-16
2000 мА, КВАЗИКОМПЛЕМЕНТАРНЫЕ ВЫХОДЫ НА МОП-ТРАНЗИСТОРЫ						
MC33025	9.2...30	Ток или напряжение	5.1±1.0%	1000	-40...+105	DW/SO-16, FN/PLCC-20, P/DIP-16
MC34025	9.2...30	Ток или напряжение	5.1±1.0%	1000	0...+70	DW/SO-16, FN/PLCC-20, P/DIP-16

## Примечания:

- (1) Разброс для всего рабочего диапазона температур;  
(2) Температура кристалла.

## МИКРОМОЩНЫЕ КМОП DC/DC-ПРЕОБРАЗОВАТЕЛИ

Прибор	Выходное напряжение, В	Частота	Суффикс (тип ключа)		Рабочая температура, °C	Корпус
			Внутренний ключ	Выход на внешний ключ		
MC33463	3, 3.3, 5	Переменная	KT1	LT1	-30...+80	SOT-89
MC33466	3, 3.3, 5	Фиксированная	JT1	LT1	-30...+80	SOT-89

## Примечание.

\*Возможна поставка стабилизатора с любым выходным напряжением в диапазоне 2.5...7.5 В с шагом 0.1 В.

## ДВУХКАНАЛЬНЫЕ КОНТРОЛЛЕРЫ

Прибор	Макс. рабочее напряжение, В	Контроль	Опорное напряжение, В	Рабочая частота, кГц	Температурный диапазон, °С	Суффикс/корпус
500 мА						
MC34270	4	Напряжение	1.25 ±2.0%	700	0...+70	FB/TQFP-32
MC34271			1.25 ±2.0%	700	0...+70	FB/TQFP-32
±1000 мА, КВАЗИКОМПЛЕМЕНТАРНЫЕ ВЫХОДЫ НА МОП-ТРАНЗИСТОРЫ						
MC33065	11...15.5	Ток	5.0 ±2.6%	500	-40...+85	DW/SO-16, P/DIP-16
	11...20	Ток	5.0 ±2.6%	500	-40...+85	DW-H/SO-16, P-H/DIP-16
	8.4...20	Ток	5.0 ±2.6%	500	-40...+85	DW-L/SO-16, P-L/DIP-16
MC34065	11...15.5	Ток	5.0 ±2.6%	500	0...+70	DW/SO-16, P/DIP-16
	11...20	Ток	5.0 ±2.6%	500	0...+70	DW-H/SO-16, P-H/DIP-16
	8.4...20	Ток	5.0 ±2.6%	500	0...+70	DW-L/SO-16, P-L/DIP-16

## УНИВЕРСАЛЬНЫЙ КОНТРОЛЛЕР ПИТАНИЯ МИКРОПРОЦЕССОРОВ

Микросхемы обеспечивают задержку сброса при включении и сторожевой таймер

Прибор	Выходное напряжение, В	Выходной ток, мА	V <sub>CC</sub>	Опорное напряжение, В	Особенности	Температура, °C	Корпус
МС33470	1.8...3.5	0.3...14 А	4...5	—	Синхронное выпрямление	0...+75	SO-20

## КОНТРОЛЛЕРЫ КОЭФФИЦИЕНТА МОЩНОСТИ

Прибор	Рабочее напряжение, В	Макс. напряжение запуска, В	Опорное напряжение, В	Особенности	Температура, °C	Корпус
±500 мА, КВАЗИКОМПЛЕМЕНТАРНЫЕ ВЫХОДЫ НА МОП-ТРАНЗИСТОРЫ						
МС33260	9.0...30	30	2.5 ±1.4%	Компаратор перенапряжения, защита от пониженного напряжения, таймер запуска	-40...+105	P/DIP-8
МС33261	9.0...30	30	2.5 ±1.4%	Защита от пониженного напряжения, таймер запуска	-40...+85	D/SO-8, P/DIP-8
МС34261	9.0...30	30	2.5 ±1.4%	Защита от пониженного напряжения, таймер запуска	0...+70	D/SO-8, P/DIP-8
МС33262	9.0...30	30	2.5 ±1.4%	Компаратор перенапряжения, защита от пониженного напряжения, таймер запуска	-40...+105	D/SO-8, P/DIP-8
МС34262	9.0...30	30	2.5 ±1.4%	Компаратор перенапряжения, защита от пониженного напряжения, таймер запуска	0...+85	D/SO-8, P/DIP-8
1500 мА, КМОП КВАЗИКОМПЛЕМЕНТАРНЫЕ ВЫХОДЫ НА МОП-ТРАНЗИСТОРЫ						
МС33368	9.0...16	500	5.0 ±1.5%	Повышенное напряжение сети, запуск, компаратор перенапряжения, защита от пониженного напряжения, таймер, определение пониженной нагрузки	-25...+125	D/SO-16, P/DIP-16



ON Semiconductor  
Formerly a Division of Motorola

# MC33363/3A

## ВЫСОКОВОЛЬТНЫЙ ИМПУЛЬСНЫЙ СТАБИЛИЗАТОР НАПЯЖЕНИЯ

### ОСОБЕННОСТИ

- Встроенный мощный ключевой МОП-транзистор с выводом контроля тока  
MC33363 ..... 700 В/1 А  
MC33363A ..... 700 В/1.5 А
- Питание от выпрямленного сетевого напряжения 240 В (AC)
- Встроенный МОП-транзистор запуска на напряжение до 450 В
- ШИМ с подавлением двоянных импульсов
- Поцикловое ограничение тока
- Защита с гистерезисом от пониженного входного напряжения
- Компаратор защиты от перенапряжения на выходе
- Внутренний ИОН с заводской подгонкой номинала
- Внутренняя защита от перегрева
- Напряжение питания ..... 10...40 В
- Выходное напряжение внутреннего стабилизатора ..... 6.5 В
- Рабочая температура ..... -25...+125°C

### ТИПОНОМИНАЛЫ

ТИПОНОМИНАЛ	КОРПУС
MC33363P	DIP-16
MC33363DW	SOP-16
MC33363AP	DIP-16
MC33363ADW	SOP-16

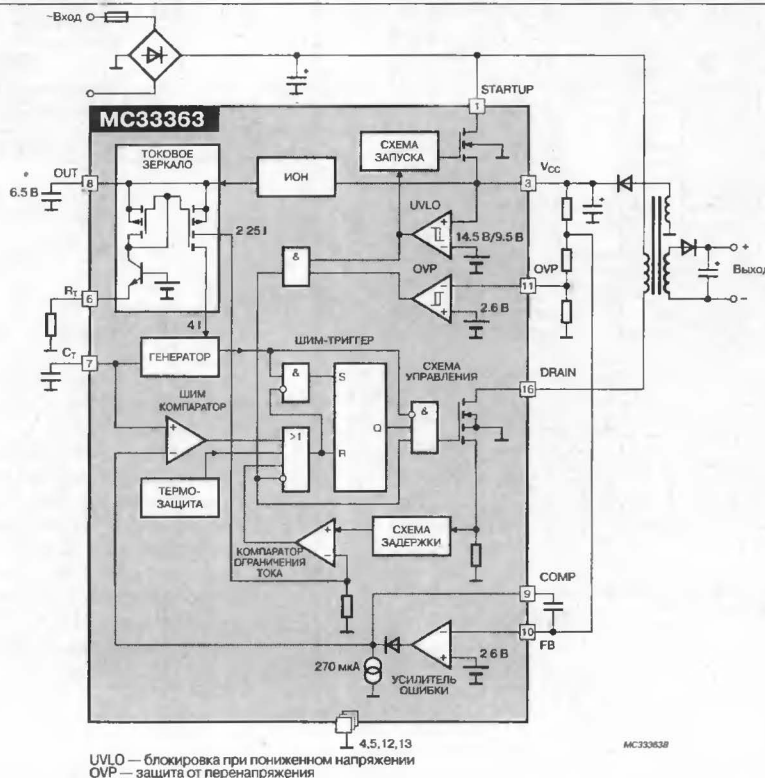
### ОБЩЕЕ ОПИСАНИЕ

Микросхема MC33363/3A представляет собой монолитный высоковольтный импульсный стабилизатор напряжения, предназначенный для работы от выпрямленного сетевого напряжения 240 В (AC). Схема имеет встроенный мощный ключевой МОП-транзистор с контрольным выводом (SenseFET) на напряжение до 700 В и ток до 1 А для MC33363 и до 1.5 А для MC33363A, МОП-транзистор запуска на напряжение до 450 В, генератор с регулируемым рабочим циклом, компаратор ограничения тока с программируемым порогом и задержкой при открытии ключа, фиксируемый ШИМ-модулятор для подавления двоянных импульсов, усилитель ошибки с высоким коэффициентом усиления и "bandgap" источник опорного напряжения (ИОН) с заводской подгонкой номинала. Прибор включает следующие функции защиты: поцикловое ограничение тока, блокировку с гистерезисом при пониженном входном напряжении, защиту от перенапряжения на выходе и защиту от перегрева. Микросхема поставляется в пластмассовых 16выводных корпусах типа DIP или SOP.

Микросхема MC33363A имеет улучшенные мощностные параметры по сравнению с MC33363.

Благодаря низкому току смещения эти приборы идеально подходят для переносных компьютеров и другого бытового и промышленного оборудования с батарейным питанием.

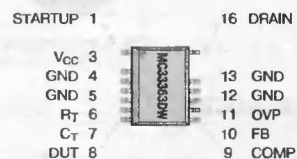
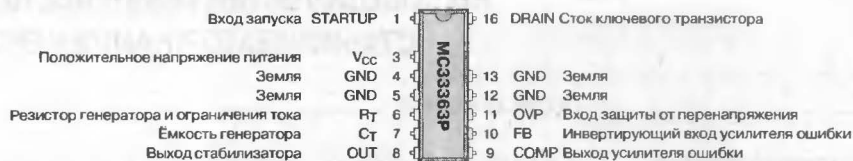
### СТРУКТУРНАЯ СХЕМА



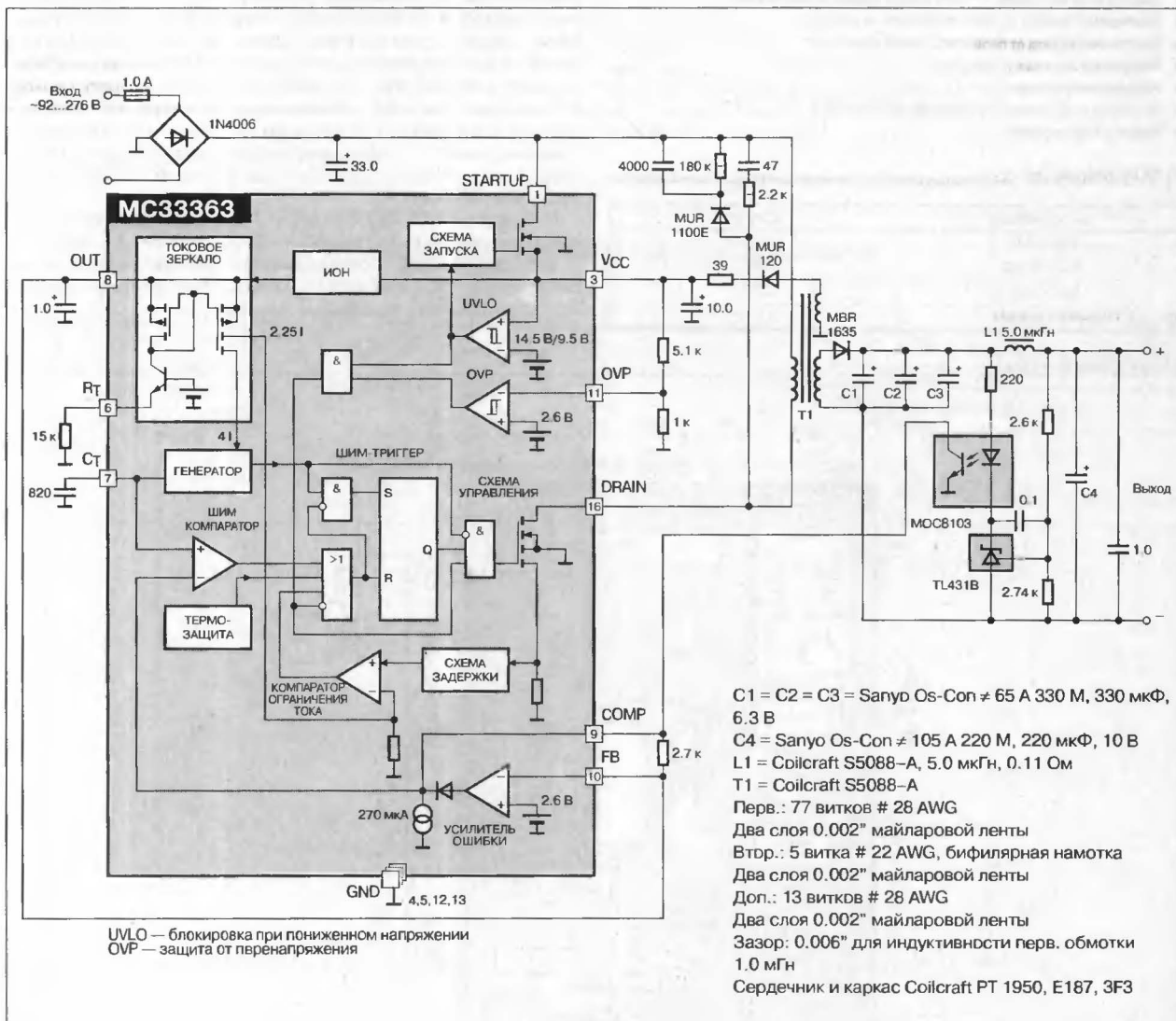
### ЦОКОЛЕВКА КОРПУСОВ

### Пластмассовый корпус типа DIP-16

### Пластмассовый корпус типа SOP-16



## СЕТЕВОЙ ПРЕОБРАЗОВАТЕЛЬ НАПРЯЖЕНИЯ МОЩНОСТЬЮ 8 Вт







ON Semiconductor  
Formerly a Division of Motorola

# MC33368

## ВЫСОКОВОЛЬТНЫЙ КОНТРОЛЛЕР КОЭФФИЦИЕНТА МОЩНОСТИ

### ОСОБЕННОСТИ

- ♦ Схема запуска без потерь
- ♦ Компаратор защиты от перенапряжения на выходе
- ♦ Маскирование фронта импульса тока (LEB)
- ♦ Сторожевой таймер для возбуждения колебаний
- ♦ Таймер задержки импульса запуска
- ♦ ШИМ с подавлением двоярных импульсов
- ♦ Поцикловое ограничение тока
- ♦ Защита с гистерезисом от пониженного входного напряжения
- ♦ Внутренний ИОН
- ♦ Внутренняя защита от перегрева
- ♦ Напряжение питания ..... 16 В
- ♦ Рабочая температура ..... -25...+125°C

### ОБЩЕЕ ОПИСАНИЕ

Микросхема MC33368 представляет собой активный контроллер коэффициента мощности, работающий по схеме повышающего преобразователя непосредственно от сетевого напряжения. Прибор оптимизирован для маломощных применений с высокой плотностью монтажа и позволяет уменьшить количество внешних

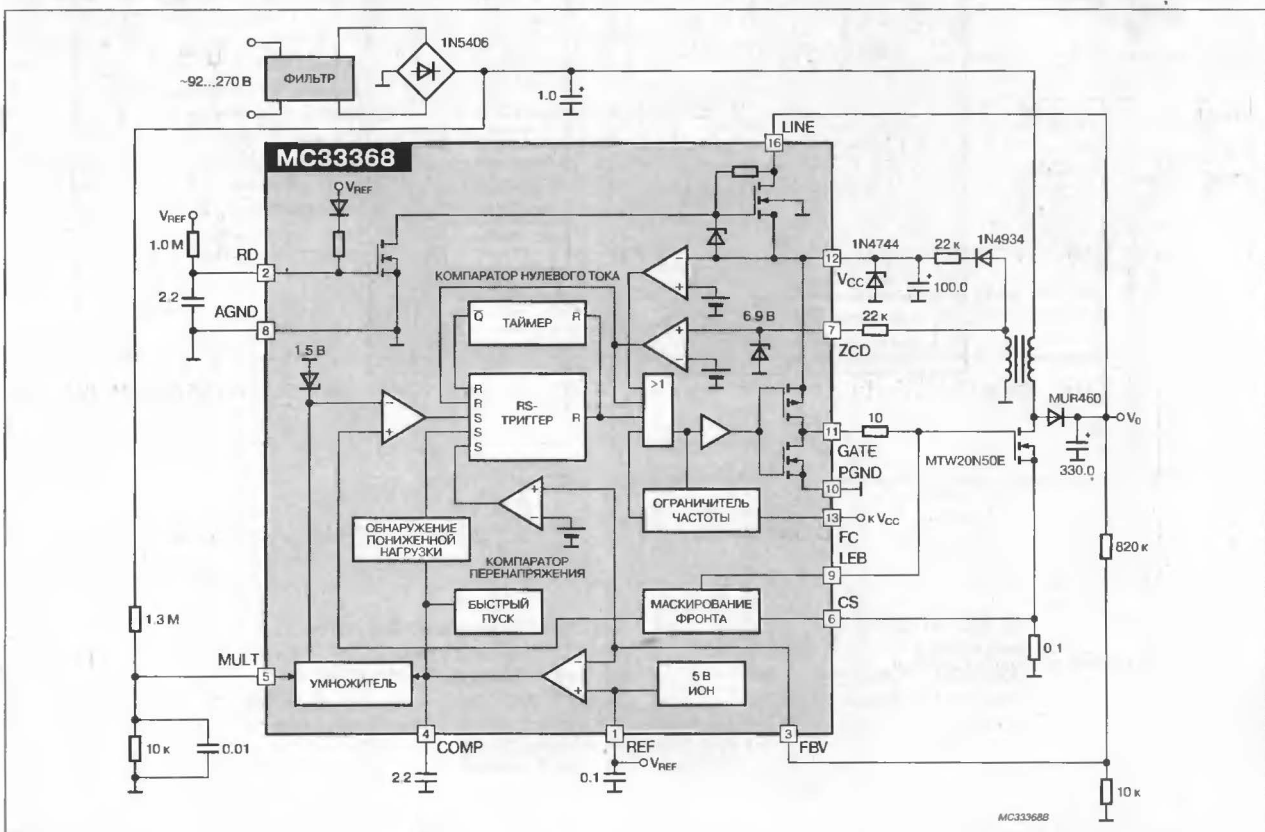
компонентов и снизить рассеиваемую мощность. Интеграция высоковольтного запуска экономит приблизительно 0.7 Вт мощности по сравнению с резистивной схемой запуска.

Микросхема MC33368 включает сторожевой таймер для возбуждения колебательного процесса на выходе, одно-квадрантный умножитель, заставляющий ток линии отслеживать мгновенное значение линейного напряжения, компаратор нулевого тока для организации граничного режима работы, усилитель ошибки, токочувствительный компаратор, 5-ти вольтовый ИОН, схему защиты от пониженного входного напряжения  $V_{CC}$  (UVLO) и КМОП-выходной каскад для управления внешними МОП-транзисторами. Имеется также схема программируемого ограничения выходной частоты переключения. Прибор обладает следующими защитными функциями: компаратор перенапряжения на выходе минимизирует броски выходного напряжения, таймер задержки дублирует импульс запуска и при случайных сбоях отпирает ключевой транзистор, поцикловое ограничение тока.

### ТИПОНОМИНАЛЫ

ТИПОНОМИНАЛ	КОРПУС	ТЕМПЕРАТУРА, °C
MC33368DW	SOP-16	-25...+125

### СТРУКТУРНАЯ СХЕМА



## ЦОКОЛЕВКА КОРПУСОВ

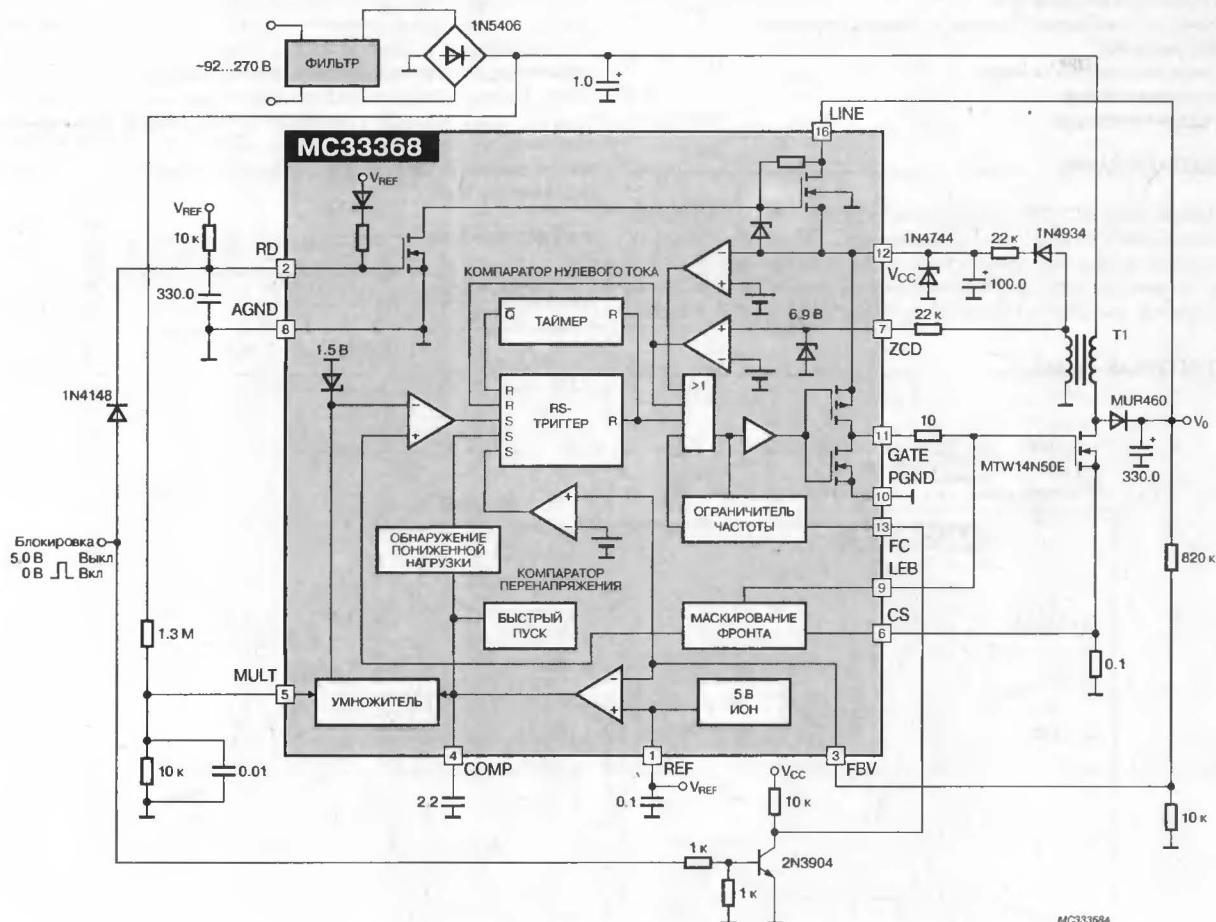
Пластмассовый корпус типа SOP-16

Опорное напряжение	REF 1	16 LINE	Линия
Задержка повторного запуска	RD 2		
Обратная связь по напряжению	FBV 3		
Выход усилителя ошибки	COMP 4	13 FC	Ограничение частоты
Вход умножителя	MULT 5	12 V <sub>CC</sub>	Положительное напряжение питания
Токоуравнительный вход	CS 6	11 GATE	Выход на затвор ключа
Нулевой ток	ZCD 7	10 PGND	Силовая земля
Земля	AGND 8	9 LEB	Вход маскирования фронта импульса тока



## СХЕМА ПРИМЕНЕНИЯ

Универсальный контроллер коэффициента мощности на 175 Вт с функцией вкл/выкл



T1: Coilcraft N2880-A  
L = 870 мкГн  
Перв. обм.: 78 витков # 16 AWG  
Втор. обм.: 6 витков # 118 AWG

Два слоя 0.002" майларовой ленты  
Доп.: 13 витков # 28 AWG  
Сердечник: Coilcraft PT4215, EE42-15  
Зазор: 0.104"



ON Semiconductor  
Formerly a Division of Motorola

# MC33463H/66H

## МИКРОМОЩНЫЙ DC/DC-КОНВЕРТЕР

### ОСОБЕННОСТИ

- ♦ Низкий ток потребления  
MC33463 ..... 4 мкА (тип)  
MC33466 ..... 15 мкА (тип)
- ♦ Высокая точность выходного напряжения .....  $\pm 2.5\%$
- ♦ Низкое напряжение запуска, при 1 мА ..... 0.9 В
- ♦ Мягкий запуск (для MC33466) ..... 500 мкс (тип)
- ♦ Корпус для поверхностного монтажа
- ♦ Рабочая температура .....  $-30...+80^\circ\text{C}$

### ОБЩЕЕ ОПИСАНИЕ

Микросхемы серии MC33463/66 представляют собой микро-мощные повышающие импульсные стабилизаторы напряжения, предназначенные для использования в переносных и мобильных устройствах. При минимальном количестве внешних компонентов приборы обеспечивают широкий диапазон стабилизированных выходных напряжений. Данные серии отличает очень низкий статический ток смещения — 4 мкА (тип) для MC33463 и 15 мкА (тип) для MC33466.

Микросхемы MC33463H-xxKT1 и MC33466H-xxJT1 включают: высокоточный источник опорного напряжения (ИОН), генератор, ключевой транзистор, резистивный делитель обратной связи, а также ЧИМ (VFM)-контроллер и компаратор — для серии MC33463 или ШИМ-контроллер и усилитель ошибки — для серии MC33466.

Приборы MC3346xH-xxLT1 в отличие от MC33463H-xxKT1 и MC33466H-xxJT1 предназначены для использования с внешним ключевым транзистором, подключаемым к выводу EXT.

Благодаря низкому току смещения эти приборы идеально подходят для переносных компьютеров и другого бытового и промышленного оборудования с батарейным питанием.

### ТИПОНОМИНАЛЫ

Типономинал	Выходное напряжение, В	Тип	Корпус (лента/труба)
MC33463H-30KT1	3.0	Внутренний ключ	SOT-89 (лента)
MC33463H-33KT1	3.3		
MC33463H-50KT1	5.0		
MC33463H-30LT1	3.0	Внешний ключ	SOT-89 (лента)
MC33463H-33LT1	3.3		
MC33463H-50LT1	5.0		
MC33466H-30JT1	3.0	Внутренний ключ	SOT-89 (лента)
MC33466H-33JT1	3.3		
MC33466H-50JT1	5.0		
MC33466H-30LT1	3.0	Внешний ключ	SOT-89 (лента)
MC33466H-33LT1	3.3		
MC33466H-50LT1	5.0		

Имеются приборы с любым выходным напряжением в диапазоне 2.5...7.5 В (с шагом 0.1 В). За консультацией обращайтесь к производителю.

### ЦОКОЛЕВКА КОРПУСОВ

Корпус типа SOT-89

MC33463H-xxKT1  
MC33466H-xxJT1



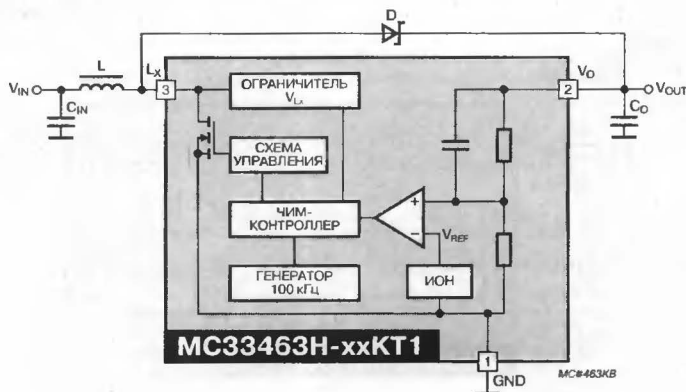
1 Lx Коммутатор дросселя  
2 V<sub>o</sub> Выход  
3 GND Земля

MC3346xH-xxLT1

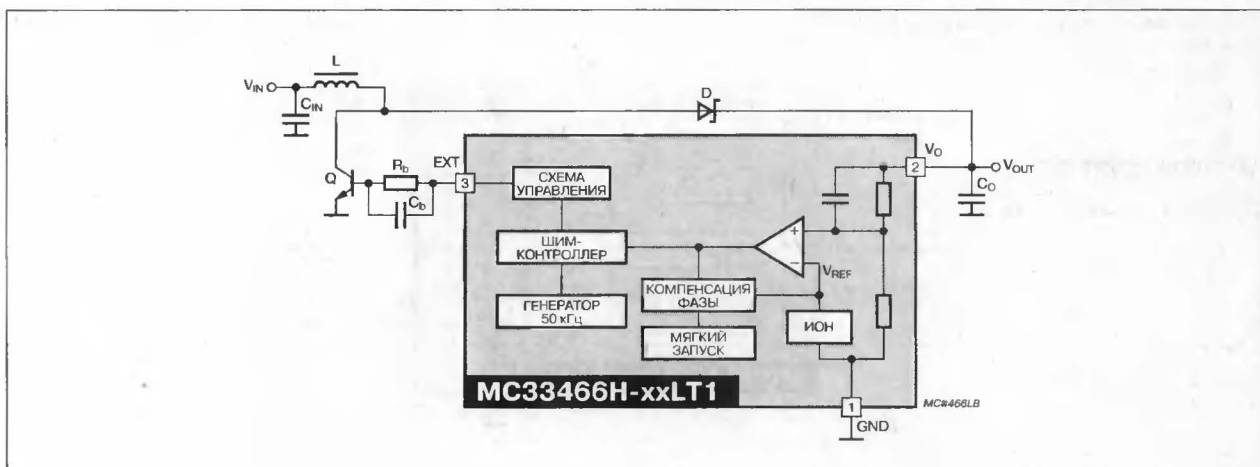
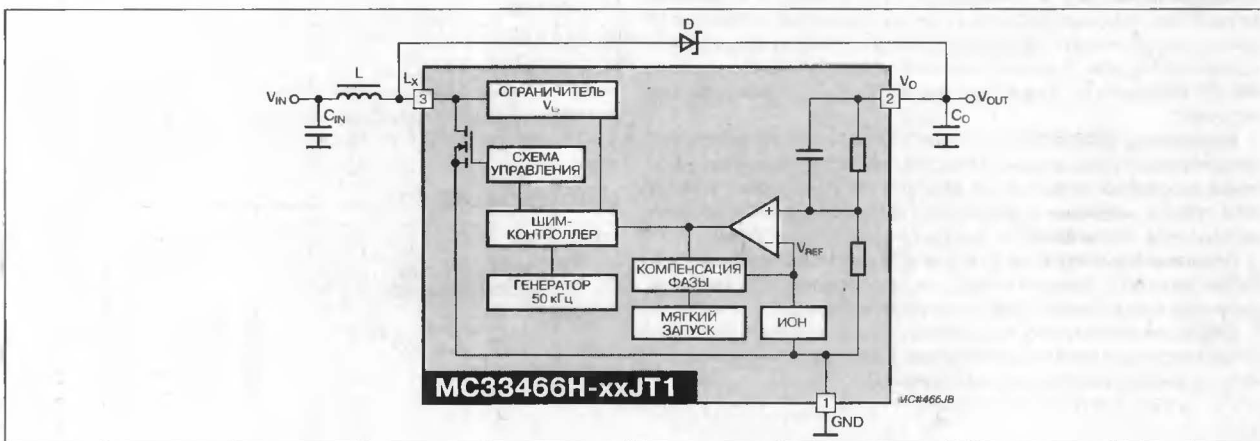
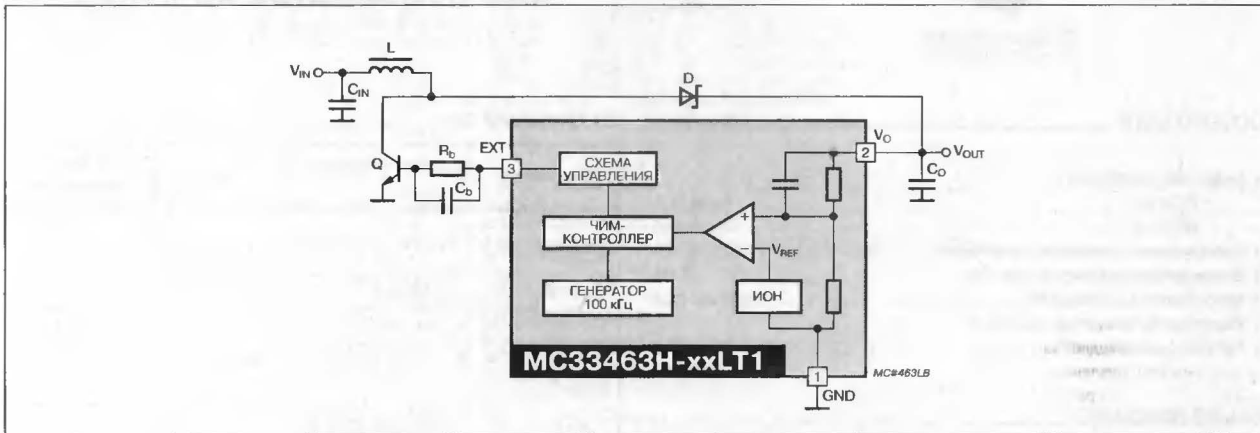


1 EXT Внешний ключ  
2 V<sub>o</sub> Выход  
3 GND Земля

### СТРУКТУРНАЯ СХЕМА



СТРУКТУРНАЯ СХЕМА (ПРОДОЛЖЕНИЕ)





ON Semiconductor  
Formerly a Division of Motorola

# MC33470

## ПРОГРАММИРУЕМЫЙ DC/DC-КОНВЕРТЕР С СИНХРОННЫМ ВЫПРЯМЛЕНИЕМ

### ОСОБЕННОСТИ

- ♦ Цифровое управление выходным напряжением с помощью 5-разрядного ЦАП
- ♦ Быстрый отклик на изменение нагрузки
- ♦ Вывод блокировки выхода обеспечивает управление типа ВКЛ/ВЫКЛ
- ♦ Программируемый мягкий запуск
- ♦ Сильноточный выходной каскад для синхронного выпрямления
- ♦ Выходное сопротивление ..... 0.5 Ом (тип)
- ♦ ИОН с низким температурным коэффициентом напряжения
- ♦ Программируемая защита по току
- ♦ Индикация перенапряжения
- ♦ Функциональное сходство с LTC1553
- ♦ Напряжение питания ..... 4...5 В
- ♦ Выходное напряжение ..... 1.8...3.5 В
- ♦ Рабочая температура ..... 0...+75°C

### ОБЩЕЕ ОПИСАНИЕ

Микросхема MC33470 представляет собой программируемый импульсный стабилизатор напряжения, разработанный для питания микропроцессоров, а также для использования в модулях стабилизаторов напряжения и в других общецелевых применениях. Прибор работает на фиксированной частоте и обеспечивает стабилизированное выходное напряжение с большой нагрузочной способностью при минимальном количестве внешних компонентов. Выходное напряжение управляется встроенным 5-разрядным ЦАП.

Данная схема имеет три дополнительные особенности. Первая – это пара высокоскоростных компараторов, следящих за выходным напряжением и ускоряющих отклик схемы на изменение тока нагрузки. Вторая особенность – схема мягкого запуска, которая устанавливает управляемую характеристику включения при подаче питания и при восстановлении после аварийного состояния, вызванного внешними схемами. Третья особенность – два выходных каскада, которые для достижения оптимальной эффективности обеспечивают синхронное выпрямление.

Данная схема идеально подходит для компьютерного, потребительского и промышленного оборудования, в котором требуются точность, производительность и оптимальная стабильность.

### ТИПОНОМИНАЛЫ

MC33470DW

Табл. 1. Программирование выходного напряжения

V <sub>ID4</sub>	V <sub>ID3</sub>	V <sub>ID2</sub>	V <sub>ID1</sub>	V <sub>ID0</sub>	V <sub>O</sub>
0	1	1	1	1	—
0	1	1	1	0	—
0	1	1	0	1	—
0	1	1	0	0	—
0	1	0	1	0	—
0	1	0	0	1	—
0	1	0	0	0	—
0	0	1	1	1	—
0	0	1	1	0	—
0	0	1	0	1	1.8
0	0	1	0	0	1.85
0	0	0	1	1	1.9
0	0	0	1	0	1.95
0	0	0	0	1	2.0
0	0	0	0	0	2.05
1	1	1	1	1	Нет ЦПУ
1	1	1	1	0	2.1
1	1	1	0	1	2.2
1	1	1	0	0	2.3
1	1	0	1	1	2.4
1	1	0	1	0	2.5
1	1	0	0	1	2.6
1	1	0	0	0	2.7
1	0	1	1	1	2.8
1	0	1	1	0	2.9
1	0	1	0	1	3.0
1	0	1	0	0	3.1
1	0	0	1	1	3.2
1	0	0	1	0	3.3
1	0	0	0	1	3.4
1	0	0	0	0	3.5

### ЦОКОЛЕВКА КОРПУСОВ

Пластмассовый корпус типа SO-20

Выход управления нижним л-канальным МОП-транзистором G2 1  
Питание л-канального МОП-транзистора PV<sub>CC</sub> 2  
Отдельная земля для возврата тока PGND 3  
Земля схемы управления AGND 4  
Положительное питание схемы управления V<sub>CC</sub> 5  
Обратная связь с выхода SENSE 6  
Порог ограничения тока I<sub>MAX</sub> 7  
Полцикловое ограничение тока/инициализация мягкого запуска по току I<sub>FB</sub> 8  
Вход мягкого запуска SS 9  
Компенсация усилителя ошибки COMP 10



20 G1 Выход управления верхним л-канальным МОП-транзистором  
19 OUTEN Вход управления ВКЛ/ВЫКЛ  
18 V<sub>ID0</sub> Вход 0 установки напряжения  
17 V<sub>ID1</sub> Вход 1 установки напряжения  
16 V<sub>ID2</sub> Вход 2 установки напряжения  
15 V<sub>ID3</sub> Вход 3 установки напряжения  
14 V<sub>ID4</sub> Вход 4 установки напряжения  
13 PG Выход индикации нормальной работы  
12 FAULT Выход индикации перенапряжения на выходе  
11 OT Выход индикации перегрева







ON Semiconductor  
Formerly a Division of Motorola

# MC44603/04

## ОДНОТАКТНЫЙ ШИМ/ЧИМ-КОНТРОЛЛЕР

### ОСОБЕННОСТИ

- ♦ Рабочая частота переключения ..... до 250 кГц
- ♦ Встроенная компенсация на опережение
- ♦ ШИМ-триггер для поциклового ограничения тока
- ♦ Генератор с точным поддержанием частоты
- ♦ Программируемый спорный ток
- ♦ Управление по первичной или по вторичной цепи
- ♦ Лёгкость синхронизации (MC44603)
- ♦ Сильноточный тотемный выходной каскад
- ♦ Защита с гистерезисом от пониженного напряжения
- ♦ Защита от перенапряжения при обрыве петли обратной связи по току или по напряжению
- ♦ Защита при КЗ вывода генератора
- ♦ Полностью программируемая нагрузочная характеристика
- ♦ Мягкий запуск
- ♦ Точная установка максимального рабочего цикла
- ♦ Защита от размагничивания (определение нулевого тока)
- ♦ ИОН с заводской подгонкой
- ♦ Усовершенствованный выходной каскад (MC44603)
- ♦ Низкий ток запуска и рабочий ток
- ♦ Полностью программируемый дежурный режим (запатентованный в случае MC44604)
- ♦ Управляемое снижение частоты в дежурном режиме (MC44603)
- ♦ Низкая величина  $dv/dt$  для снижения электромагнитного излучения
- ♦ Напряжение питания ..... 9...14.5 В
- ♦ Выходной ток ..... 750 мА
- ♦ Рабочая температур ..... -25...+85°C

### ОБЩЕЕ ОПИСАНИЕ

Микросхема MC44603/04 представляет собой усовершенствованный высокопроизводительный контроллер, предназначенный для использования в импульсных преобразователях напряжения и DC/DC-конвертерах. Этот прибор отличается необычной способностью автоматически изменять рабочий режим в случае перегрузки, при пониженной нагрузке или при КЗ на выходе, что обеспечивает дополнительную надёжность системы на базе данной схемы. Следует отметить следующие особенности в сравнении с обычными контроллерами импульсных источников питания:

- гибкость ограничения выходного тока в целях защиты от перегрузки;
- дежурный режим, когда конвертер почти не нагружен;
- обнаружение размагничивания для ослабления последствий ударной нагрузки на транзистор и диоды при переключении;
- сильноточный квазикомплементарный (обеспечивает как вытекающий, так и втекающий ток) выходной каскад для управления мощным МОП-транзистором.

Прибор может также использоваться для управления биполярным транзистором в конвертерах мощностью до 150 Вт. Схема оптимизирована для работы в режиме прерывистого тока нагрузки, но может использоваться и в режиме непрерывного тока. Конструкция прибора позволяет применять как управление по току, так и по напряжению.

Микросхема MC44604 является модификацией MC44603. В схеме MC44604 использовано новое запатентованное решение эффективного снижения тока потребления конвертера в дежурном режиме.

### ЦОКОЛЕВКА КОРПУСОВ

Пластмассовый корпус типа DIP-16												Пластмассовый корпус типа SOP-16									
Положительное питание	V <sub>CC</sub>	1	16	R <sub>REF</sub>	Установка тока ИОН	V <sub>CC</sub>	1	16	R <sub>REF</sub>	Установка тока ИОН		V <sub>CC</sub>	1	16	R <sub>REF</sub>						
Питание выходного каскада	V <sub>C</sub>	2	15	R <sub>FSB</sub>	Установка частоты дежурного режима	V <sub>C</sub>	2	15	R <sub>FSB</sub>	Управление дежурным режимом		V <sub>C</sub>	2	15	R <sub>FSB</sub>						
Выход	OUT	3	14	E/A IN	Инвертирующий вход УС ошибки	Выход	OUT	3	14	E/A IN	Вход усилителя ошибки	Выход	OUT	3	14	E/A IN					
Земля	GND	4	13	E/A OUT	Выход усилителя ошибки	Земля	GND	4	13	E/A OUT	Выход усилителя ошибки	Земля	GND	4	13	E/A OUT					
Обратная связь	FB	5	12	R <sub>PSB</sub>	Порог переключения в дежурный режим *	Обратная связь	FB	5	12	R <sub>PSB</sub>	Вход защёлки усилителя ошибки	Обратная связь	FB	5	12	R <sub>PSB</sub>					
Защита от перенапряжения	OVP	6	11	SS/D <sub>MAX</sub> /VM		Защита от перенапряжения	OVP	6	11	SS/D <sub>MAX</sub> /VM		Защита от перенапряжения	OVP	6	11	SS/D <sub>MAX</sub> /VM					
Токовый вход в режиме управления по току	I <sub>SENSE</sub>	7	10	C <sub>T</sub>	Ёмкость генератора	Токовый вход в режиме управления по току	I <sub>SENSE</sub>	7	10	C <sub>T</sub>	Ёмкость задающего генератора	Токовый вход в режиме управления по току	I <sub>SENSE</sub>	7	10	C <sub>T</sub>					
Обнаружение размагничивания	DEMAG	8	9	SYNC	Вход синхронизации	Обнаружение размагничивания	DEMAG	8	9	SYNC	Установка тока дежурного режима	Обнаружение размагничивания	DEMAG	8	9	SYNC					

\* — Ограничение рабочего цикла /Отключение схемы /Вход контроля в режиме управления по напряжению

### ТИПОНОМИНАЛЫ

ТИПОНОМИНАЛ	КОРПУС
MC33363P	DIP-16
MC33363DW	SOP-16
MC33363AP	DIP-16





**Рис. 1. Сетевой обратногоходовой преобразователь с ключом не МОП-транзисторе мощностью 250 Вт**

# Panasonic

## Микросхемы для импульсных источников питания фирмы Panasonic Electronic Components:

Низковольтные преобразователи напряжения . . . . .	461
Сетевые источники питания бытовой аппаратуры . . . . .	461
<b>AN8013</b> Схема управления DC/DC-преобразователем . . . . .	462
<b>AN8021</b> Схема управления обратноходовым AC/DC-преобразователем . . . . .	463
<b>AN8026</b> Схема управления AC/DC-преобразователями резонансного типа . . . . .	464

МИКРОСХЕМЫ ДЛЯ ИМПУЛЬСНЫХ ИСТОЧНИКОВ ПИТАНИЯ ФИРМЫ PANASONIC ELECTRONIC COMPONENTS

НИЗКОВОЛЬТНЫЕ ПРЕОБРАЗОВАТЕЛИ НАПЯЖЕНИЯ

Прибор	Напряжение питания, В	Выходной ток, мА	Выход	Максимальная частота, кГц	Корпус	Примечание
AN8011	3.6...34	100	п-р-п-транзистор с ОК, эмиттер на земле	220	SOP-16	2 канала: отриц. и положит выходные напряжения
AN8013	3.6...34	100	п-р-п-транзистор с ОК, эмиттер на земле	500	SOP-10	Защита от короткого замыкания
AN8015	3.6...34	100	п-р-п-транзистор с ОК, эмиттер на земле	500	SOP-10	—

СЕТЕВЫЕ ИСТОЧНИКИ ПИТАНИЯ БЫТОВОЙ АППАРАТУРЫ

Прибор	Выходной ток, мА (peak)	Выход	Максимальная частота, кГц	Корпус	Примечание
AN8021	1000	Тотемный, внешний МОП-транзистор	700	SOP-16, SIP-9	ШИМ с управлением по току
AN8022	1000	Тотемный, внешний МОП-транзистор	700	SOP-16, SIP-9	ШИМ с управлением по току, рабочий цикл < 44%
AN8026	1000	Тотемный, внешний МОП-транзистор	60	SIP-9	ШИМ с управлением по току, резонансный
AN8028	1000	Тотемный, внешний МОП-транзистор	65	SIP-9	ШИМ с управлением по току, резонансный
AN8029	1000	Тотемный, внешний МОП-транзистор	60	SIP-9	ШИМ с управлением по току, резонансный
AN8091	150	Тотемный, внешний МОП-транзистор	500	DIP-16, SOP-20	ШИМ с управлением по току, с блокировкой
AN8092	2000	Тотемный, внешний МОП-транзистор	500	DIP-16, SOP-20	ШИМ с управлением по току, с блокировкой

## ОСОБЕННОСТИ

- |   |              |
|---|--------------|
| • Диапазон напряжений питания .....                                   | 3,6...34 В   |
| • Малый ток потребления .....   | 2,4 мА (тип) |
| • Диапазон рабочих частот .....                                       | 20...500 кГц |
| • Встроенная поимпульсная защита по току                              |              |
| • Встроенная защита от короткого замыкания                            |              |
| • Защита от пониженного напряжения питания                            |              |
| • Встроенный источник опорного напряжения                             |              |
| • Выходной каскад на составном транзисторе с выходным током до 100 мА |              |

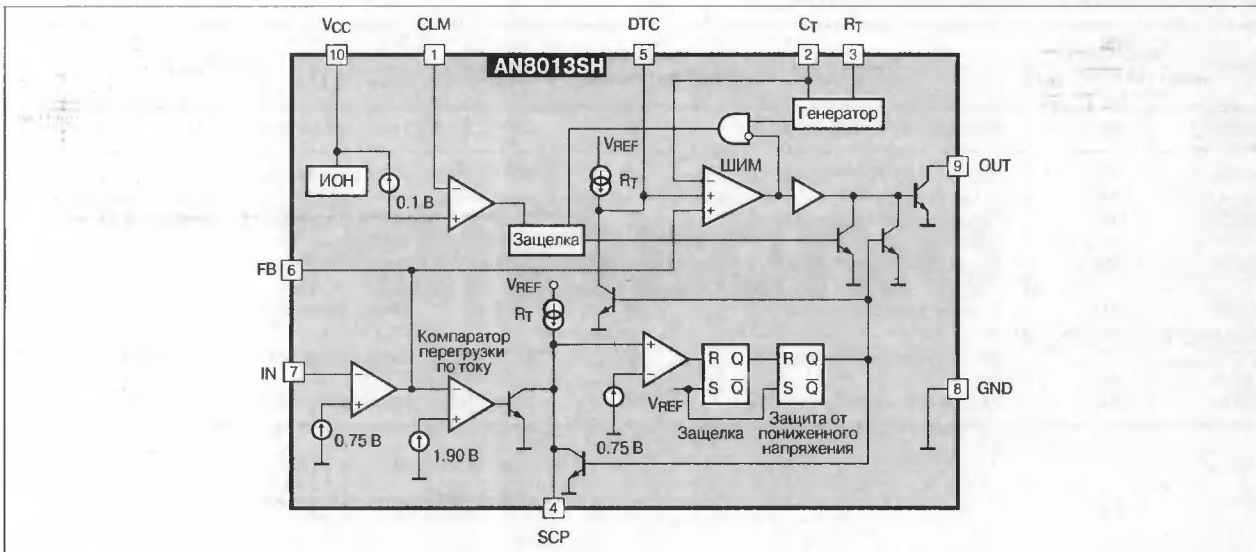
## ОБЩЕЕ ОПИСАНИЕ

Микросхема AN8013 представляет собой ШИМ-контроллер, который может быть использован в преобразователях повышающего, понижающего и инвертирующего типов.

### ТИПОНОМИНАЛЫ

Типономинал	Корпус
AN8013SH	SOP-10

### СТРУКТУРНАЯ СХЕМА



## ЦОКОЛЕВКА КОРПУСОВ

Пластмассовый корпус типа SOP-10 (SSOP010-P-0225)

Порог ограничения по току  
Времязадающий резистор  
Времязадающий конденсатор  
Конденсатор мягкого запуска  
Установка мертвого времени и периода запуска

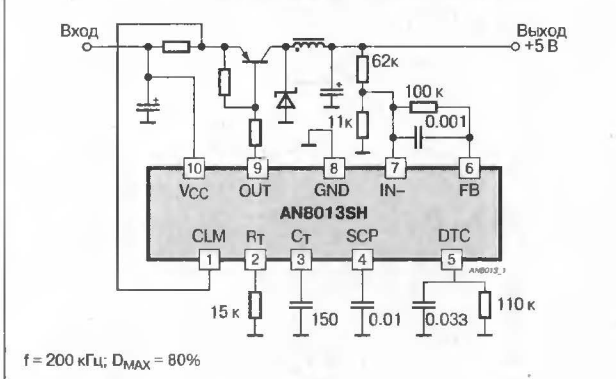
ANB013



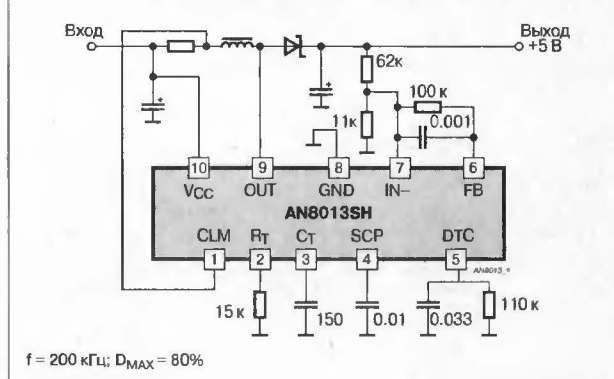
10 VCC	Напряжение питания
9 OUT	Выход (коллектор ключевого транзистора)
8 GND	Земля
7 IN-	Инвертирующий вход усилителя ошибки
6 FB	Выход усилителя ошибки

## ТИПОВЫЕ СХЕМЫ ВКЛЮЧЕНИЯ

**Рис.1. Понижающий преобразователь**



**Рис.2. Повышающий преобразователь**





### СХЕМА УПРАВЛЕНИЯ ОБРАТНОХОДОВЫМ АС/DC-ПРЕОБРАЗОВАТЕЛЕМ

#### ОСОБЕННОСТИ

- ♦ Рабочая частота ..... до 700 кГц
- ♦ Потребляемый ток в предпусковом режиме ..... 70 мкА
- ♦ Тотемный выход .....  $\pm 1$  А (peak)
- ♦ Встроенная поимпульсная защита по току
- ♦ Встроенная защита от пониженного напряжения (ВКЛ/ВЫКЛ) ..... 14.2 В/9.2 В
- ♦ Встроенная защита от повышенного напряжения

#### ТИПОНОМИНАЛЫ

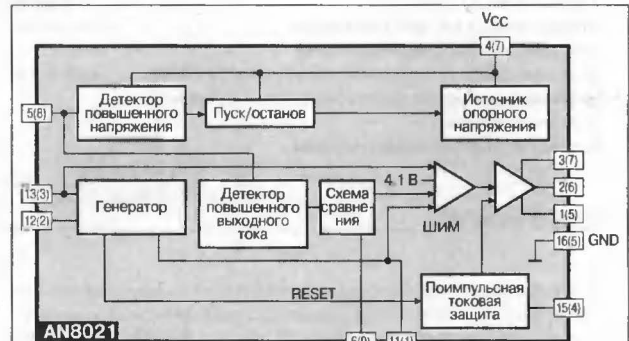
Типономинал	Корпус	Рабочий диапазон температур, °C
AN8021L	SIP-9 (SIP009-P-0000D)	-30...+85
AN8021SB	SSOP-16 (SSOP016-P-0225)	-30...+85

#### ОБЩЕЕ ОПИСАНИЕ

Микросхема AN8021 является схемой управления импульсным источником питания. Она удобна в применении при использовании

с конденсаторами относительно малой емкости. Высокая степень интеграции уменьшает число внешних элементов.

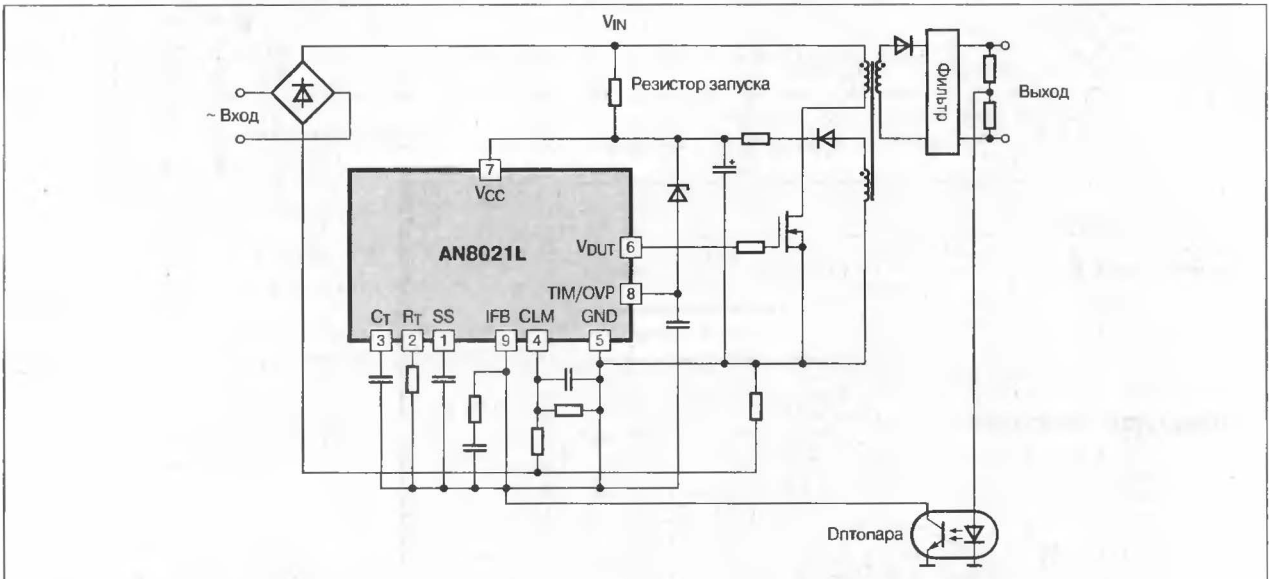
#### СТРУКТУРНАЯ СХЕМА



Номера выводов в скобках относятся к AN8021L

Нумерация выводов дана для корпуса SIP-9 (в скобках — для корпуса SSOP-16)

#### ТИПОВАЯ СХЕМА ВКЛЮЧЕНИЯ



#### ЦОКОЛЕВКА КОРПУСОВ

##### Корпус типа SOP-16

Общий вывод выходного каскада	GND1 1	16 GND	Общий вывод, земля
Выход к затвору ключевого транзистора	VOUT 2	15 CLM-	Вход защиты по току
Питание выходного каскада	VCC1 3	14 n.c.	Не используется
Напряжение питания	VCC 4	13 CT	Времязадающий конденсатор
Защита от повышенного напряжения	TIM/OVP 5	12 RT	Времязадающий резистор
Вход обратной связи	IFB 6	11 SS	Вывод мягкого запуска
Не используется	n.c. 7	10 n.c.	Не используется
Не используется	n.c. 8	9 n.c.	Не используется

##### Корпус типа SIP-9

9 FB	Вход обратной связи
8 TIM/OVP	Защита от повышенного напряжения
7 VCC	Напряжение питания
6 VOUT	Выход управления затвором ключевого транзистора
5 GND	Общий вывод, земля
4 CLM-	Вход защиты по току
3 CT	Времязадающий конденсатор
2 RT	Времязадающий резистор
1 SS	Вывод мягкого запуска

## СХЕМА УПРАВЛЕНИЯ АС/DC-ПРЕОБРАЗОВАТЕЛЯМИ РЕЗОНАНСНОГО ТИПА

### ОСОБЕННОСТИ

- Диапазон рабочих напряжений ..... 8.6...34 В
- Ток выходной мощности .....  $\pm 1$  А (peak)
- Потребляемый ток в предпусковом режиме ..... 80 мкА
- Встроенная поимпульсная защита по току
- Встроенная защита от пониженного напряжения, СТАРТ/СТОП .... 14.9 В/8.6 В)
- Встроенная защита от повышенного напряжения (с возможностью внешнего отключения)
- Встроенное управление рабочей частотой

### ОБЩЕЕ ОПИСАНИЕ

Микросхема AN8026 представляет собой схему управления АС/DC-преобразователем резонансного типа. Максимальная длительность открытого состояния и минимальная длительность закрытого состояния ключевого транзистора устанавливаются отдельно с помощью внешнего конденсатора и резистора, соответственно.

### ТИПОНОМИНАЛЫ

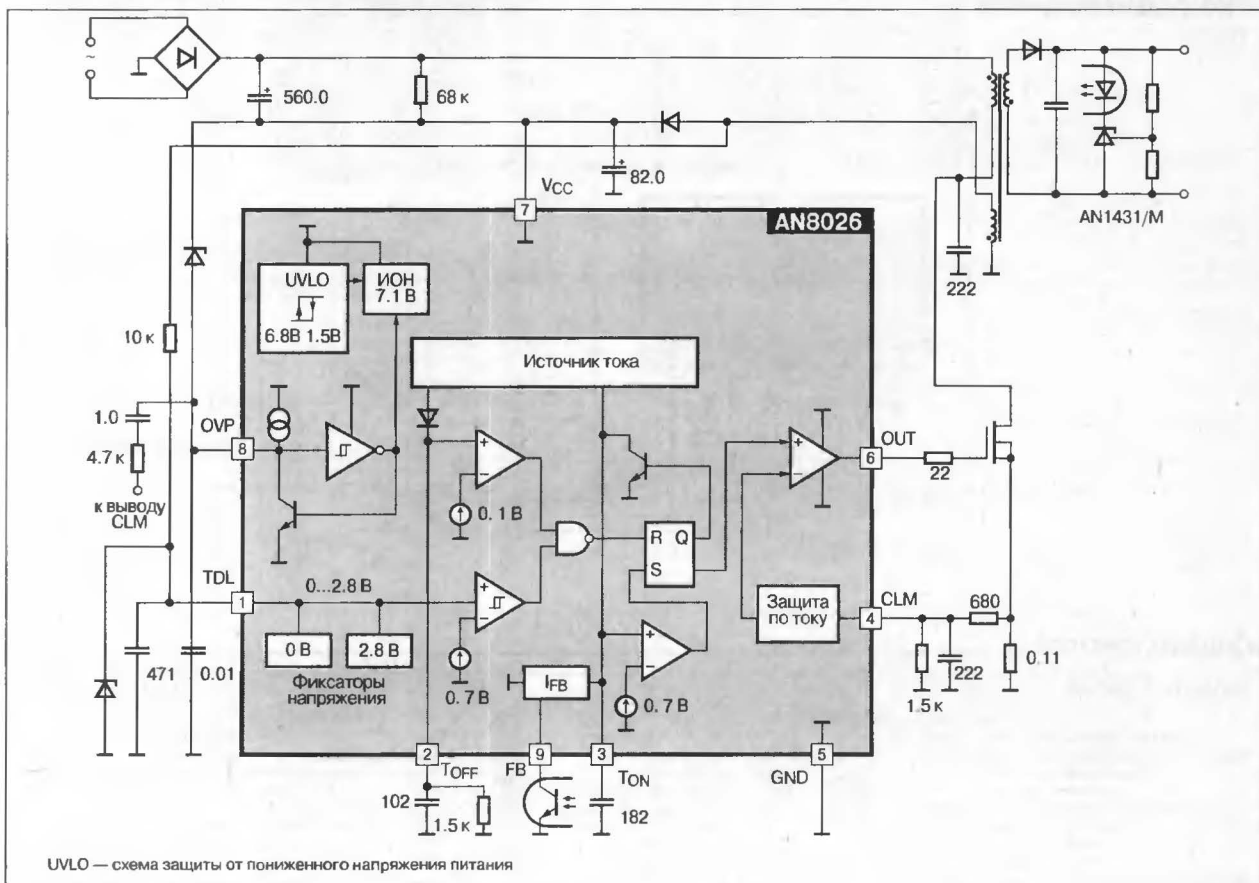
Типономинал	Корпус	Рабочий диапазон температур, °C
AN8026	SIP-9	-30...+85

### ЦОКОЛЕВКА КОРПУСОВ

Корпус типа SIP-9 (SIP009-P-0000C)

9	FB	Вход обратной связи
8	OVP	Вход защиты от повышенного напряжения
7	VCC	Вход питания
6	VOUT	Выход управления затвором ключевого транзистора
5	GND	Общий вывод, земля
4	CLM	Поимпульсный контроль тока
3	TON	Установка макс. времени открытого состояния ключа
2	TOFF	Установка мин. времени закрытого состояния ключа
1	TDL	Контроль состояния трансформатора

### СТРУКТУРНАЯ СХЕМА И ТИПОВАЯ СХЕМА ПРИМЕНЕНИЯ





## Philips Semiconductors

### Микросхемы для импульсных источников питания фирмы Philips Semiconductors:

Контроллеры импульсных источников питания .....	466
Импульсные стабилизаторы напряжения .....	466
Импульсные преобразователи для электронных балластов .....	466
Схемы управления импульсными источниками питания серии GreenChip™ .....	466
<b>TDA8385</b> Микросхема управления источником питания на автогенераторе .....	467
<b>TEA1204</b> Высокоэффективный DC/DC-преобразователь .....	469
<b>TEA1206</b> Высокоэффективный DC/DC-преобразователь .....	470
<b>TEA1504</b> Схема серии GreenChip™ для управления импульсным источником питания .....	471

## МИКРОСХЕМЫ ДЛЯ ИМПУЛЬСНЫХ ИСТОЧНИКОВ ПИТАНИЯ ФИРМЫ PHILIPS SEMICONDUCTORS

### КОНТРОЛЛЕРЫ ИМПУЛЬСНЫХ ИСТОЧНИКОВ ПИТАНИЯ

Прибор	Корпус	Максимальное напряжение питания, В	Мягкий запуск	UVLO*	Управление	f <sub>max</sub> , кГц	Выходной ток, А	Вход синхронизации	Ограничение тока	Функциональное назначение
NE5560	DIP-16, SOP-16	18			Напряжение, ток	100	0.04	+	+	Контроллер импульсного источника питания
SE5560	CerDIP-16									
NE5561	DIP-8, SOP-8	24			Ток	100	0.04		+	Контроллер импульсного источника питания
SE5561	CerDIP-8									
NE5562	DIP-20, SOP-20	16	+		Напряжение, ток	600	0.1		+	Контроллер импульсного источника питания
SE5562	CerDIP-20									
NE5568	DIP-8, CerDIP-8	21			Ток	100	0.04		+	Контроллер импульсного источника питания
NE5580	SOP-24	15	+	+	Резонанс	10 МГц	1.0 (peak)		+	Контроллер резонансного источника питания
SG3524D	DIP-16, SOP-16, CerDIP-16	40			Напряжение	300	0.1			Контроллер импульсного источника питания
TDA8380A	DIP-16	14	+	+	Ток	100	2.5/-0.75	+	+	Схема управления импульсным источником питания
TDA8385	DIP-16	14	+	+	Ток	100	2.5/-0.75	+	+	Схема управления импульсным источником питания
TEA1039	HSIP-9	14			Напряжение	100	1.0 (peak)		+	Контроллер импульсного источника питания
UC3842D	DIP-8, SOP-8	30		+	Ток	500	1.0 (peak)		+	Контроллер импульсного источника питания

Примечание:

\* UVLO — блокировка при пониженном напряжении питания

### ИМПУЛЬСНЫЕ СТАБИЛИЗАТОРЫ НАПРЯЖЕНИЯ

Прибор	Корпус	Максимальное напряжение питания, В	Выходное напряжение, В	Управление	f <sub>max</sub> , кГц	Выходной ток, А	Ток потребления в дежурном режиме, мкА	Ограничение тока	Функциональное назначение
TEA1204T	SOP-8	2...6.5	3.3/3.6/5.0	ШИМ/ЧИМ	200	0.12/ 0.16 Ом	10	+	Эффективный DC/DC-преобразователь
TEA1205AT	SOP-8	2...6.5	3.3/5.5	ШИМ/ЧИМ	200	0.12/ 0.16 Ом	10	+	Эффективный DC/DC-преобразователь
TEA1206T	SOP-8	1.8...4.6	Reg.	ШИМ/ЧИМ	600	0.14/ 0.16 Ом	10	+	Эффективный DC/DC-преобразователь с регулируемым выходом

### ИМПУЛЬСНЫЕ ПРЕОБРАЗОВАТЕЛИ ДЛЯ ЭЛЕКТРОННЫХ БАЛЛАСТОВ

Прибор	Корпус	Рабочая температура, °C	Функциональное назначение	Особенности
NE5565	DIP-20	0...+85	Схема управления электронным балластом	<ul style="list-style-type: none"> <li>♦ Контроллер коэффициента мощности и полумостовой генератор в одном корпусе;</li> <li>♦ Режим с переменной частотой преобразования;</li> <li>♦ Программируемый поджиг;</li> <li>♦ Защита лампы от перенапряжения;</li> <li>♦ Защита ККМ от перенапряжений при удалении нагрузки</li> </ul>

### СХЕМЫ УПРАВЛЕНИЯ ИМПУЛЬСНЫМИ ИСТОЧНИКАМИ ПИТАНИЯ СЕРИИ GreenChip™

Прибор	МОП-транзистор		Выходная мощность, Вт*	Применение	Корпус
	Напряжение сток-исток, В	Сопротивление открытого канала, Ом			
TEA1501	650	40	0.1...3	Дежурные источники питания	DIP-8
TEA1504	Внешний МОПТ		1...200	Блоки питания	DIP-14
TEA1562	600	6	1...12	Блоки питания: для USB	DIP-16
TEA1563	600	4.4	1...24	Блоки питания: видеомагнитофоны, компьютерные ТВ-приставки	SIP-9P
TEA1564	600	2.5	1...60	Блоки питания: видеомагнитофоны, компьютерные ТВ-приставки, мониторы 14"	SIP-9P
TEA1565	600	1.8	1...80	Блоки питания: телевизоры, мониторы 14" и 15"	SIP-9P
TEA1566	600	1.2	1...100	Блоки питания: младшие и средние модели телевизоров, мониторы от 14" до 17"	SIP-9P
TEA1569	600	0.86	1...125	Блоки питания: средние модели телевизоров, мониторы от 15" до 19"	SIP-9P

Примечание:

\* Универсальное питание 100...240 В (AC)



Philips Semiconductors

# TDA8385

## МИКРОСХЕМА УПРАВЛЕНИЯ ИСТОЧНИКОМ ПИТАНИЯ НА АВТОГЕНЕРАТОРЕ

### ОСОБЕННОСТИ

- ♦ Мягкий запуск
- ♦ Защита от повышенного напряжения
- ♦ Дежурный режим с гистерезисом
- ♦ Управляемый коэффициент усиления усилителя ошибки
- ♦ Защита от обрыва и короткого замыкания в цепи обратной связи
- ♦ Защита от перегрузки по току с участком обратного наклона нагрузочной характеристики
- ♦ Оптронная развязка в цепи управления
- ♦ Защита от резмагничивания
- ♦ Вход прямой связи (feed-forward)
- ♦ Выход индикации стабилизации
- ♦ Точная установка пикового тока
- ♦ Программируемое минимальное время открытого ключа

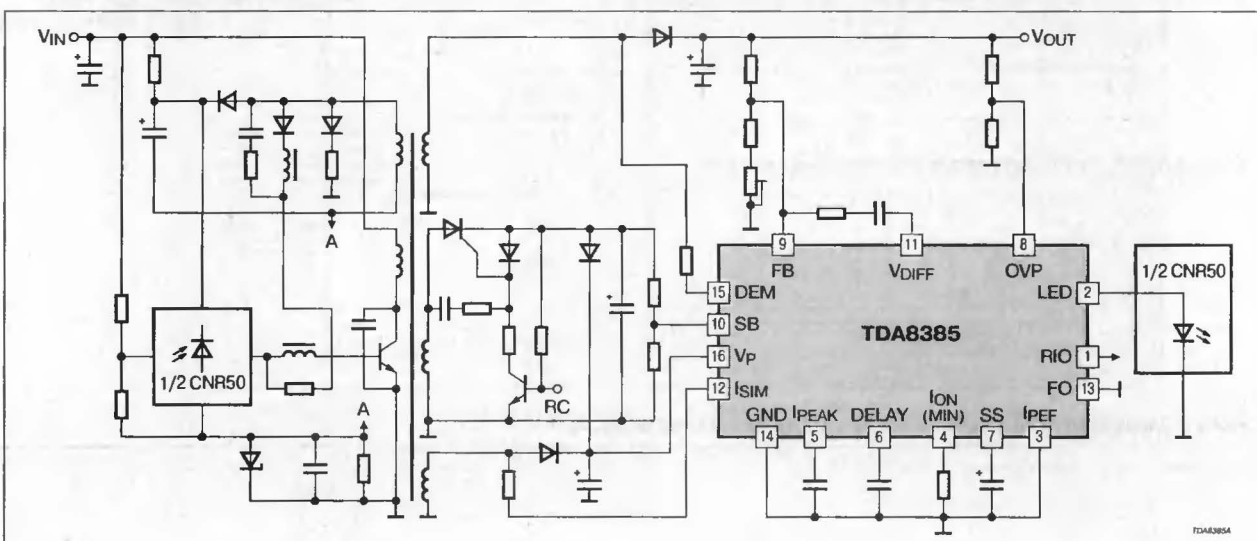
### ОБЩЕЕ ОПИСАНИЕ

Микросхема TDA8385 предназначена для использования совместно с оптопарой (CNR50) в качестве элемента управления преобразователем напряжения.

### ТИПОНОМИНАЛЫ

Типономинал	Корпус	Рабочий диапазон температур, °C
TDA8385	DIP-16	-25...+70

### ТИПОВАЯ СХЕМА ПРИМЕНЕНИЯ

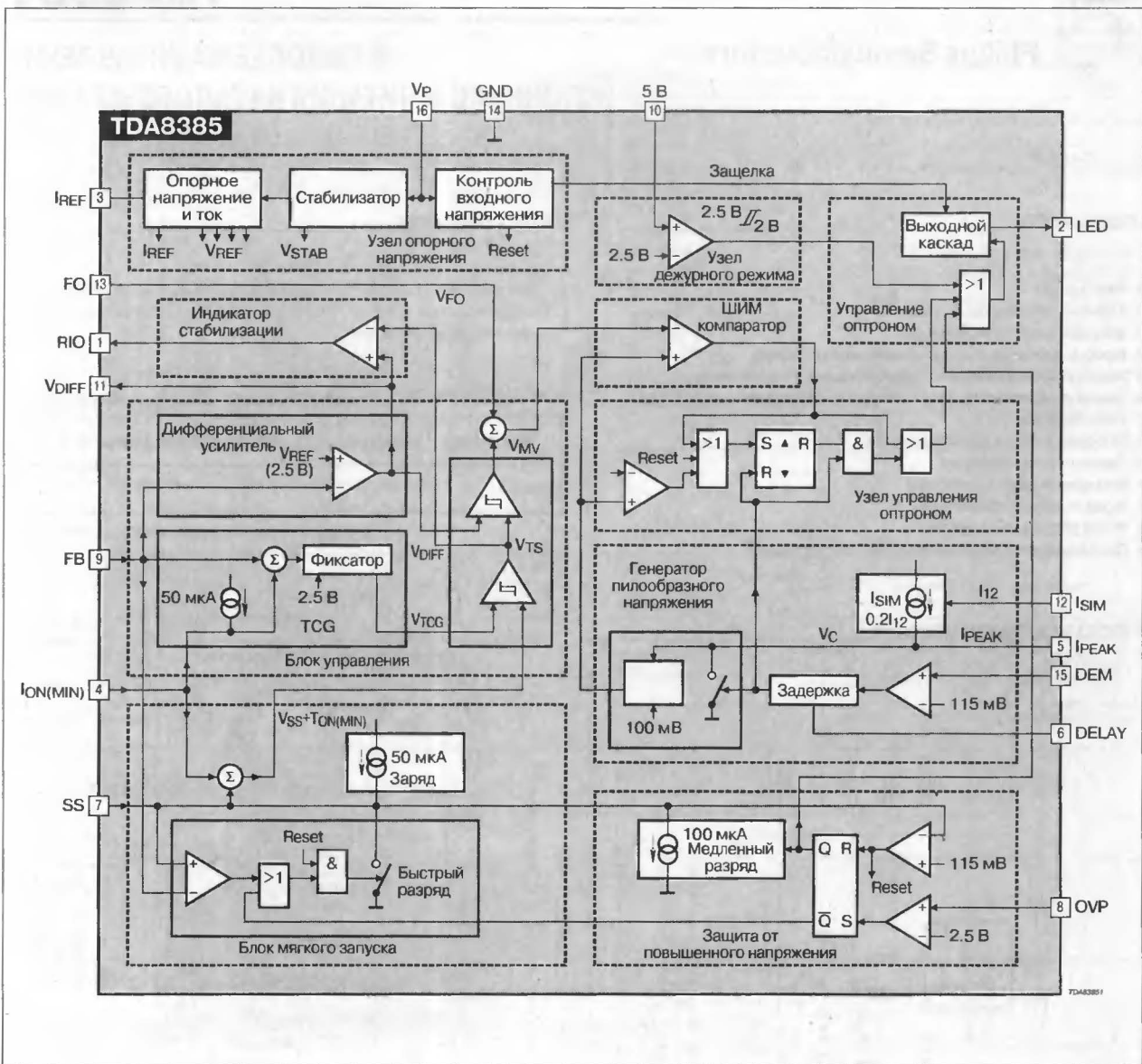


### ЦОКОЛЕВКА КОРПУСОВ

Пластмассовый корпус типа DIP-16 (SOT38WBE)

Вывод индикатора стабилизации	RIO	1	16	Vp	Напряжение питания
Выход управления оптроном	LED	2	15	DEM	Контроль магнитного состояния сердечника
Установка опорного тока	IREF	3	14	GND	Земля
Вход установки мин. времени открытого ключа	TON(min)	4	13	FF	Вход прямой связи
Вход установки пикового тока	IPEAK	5	12	ISIM	Вход контроля тока
Установка задержки	DELAY	6	11	VDIFF	Выход дифференциального усилителя
Вход мягкого запуска	SS	7	10	SB	Вход включения дежурного режима
Защита от превышения напряжения	OVP	8	9	FB	Вход напряжения обратной связи

## СТРУКТУРНАЯ СХЕМА







Philips Semiconductors

# TEA1204

## ВЫСОКОЭФФЕКТИВНЫЙ DC/DC-ПРЕОБРАЗОВАТЕЛЬ

### ОСОБЕННОСТИ

- ♦ Полностью интегрированный преобразователь
- ♦ Преобразование с повышением и понижением напряжения, в обоих случаях с двумя различными режимами преобразования
- ♦ КПД ..... до 96%
- ♦ Постоянная выходная мощность до 3.6 Вт, импульсная выходная мощность до 8 Вт при пакетном режиме GSM (1:8)
- ♦ Низкое потребление тока в дежурном режиме
- ♦ Пакетный (прерывистый) режим работы обеспечивает широкий диапазон нагрузок
- ♦ Точный контроль тока обеспечивает совместимость с литиевыми батареями
- ♦ Рабочий цикл до 100% в режиме понижения напряжения
- ♦ Дежурный режим

### ТИПОНОМИНАЛЫ

Типономинал	Корпус	Рабочий диапазон температур, °C
TEA1204T	SOP-8 (SOT96-1)	-40...+80

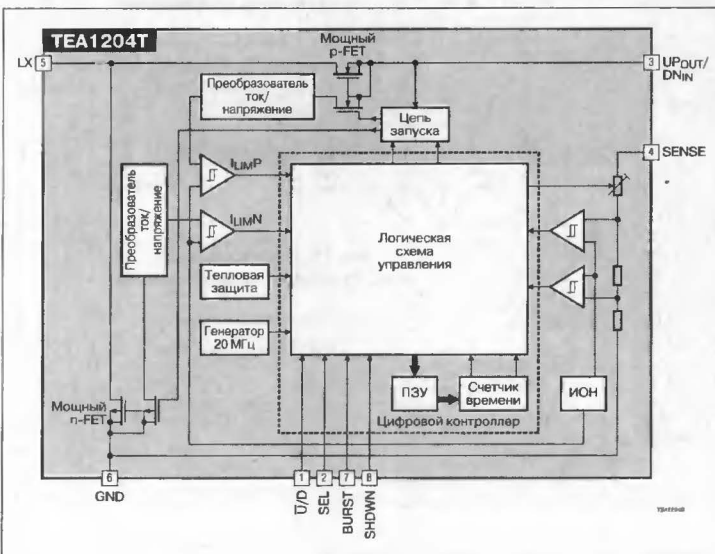
### ОБЛАСТИ ПРИМЕНЕНИЯ

- ♦ Сотовые и беспроводные телефонные аппараты
- ♦ Портативные компьютеры
- ♦ Телевизионные камеры

### ОБЩЕЕ ОПИСАНИЕ

Микросхема TEA1204 предназначена для использования в качестве преобразователя для получения напряжений 3.3, 3.6 или 5.0 В при питании от 2-х, 3-х или 4-х NiCd элементов или литиевой батареи. Высокий КПД, компактность и отличные динамические характеристики достигнуты благодаря использованию новейшего ЧШИМ-контроллера с цифровым управлением, встроенных МОП-транзисторов с мвлым сопротивлением канала и мвлыми паразитными емкостями и синхронного детектирования.

### СТРУКТУРНАЯ СХЕМА



### ТИПОВЫЕ СХЕМЫ ВКЛЮЧЕНИЯ

Рис.1. Повышающий преобразователь напряжения

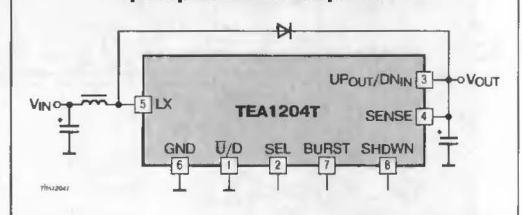
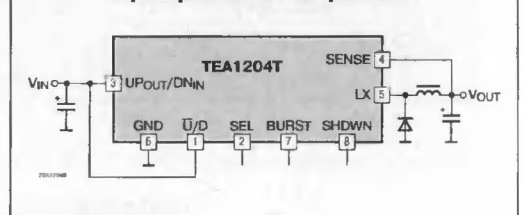


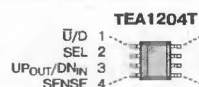
Рис.2. Понижающий преобразователь напряжения



### ЦОКОЛЕВКА КОРПУСОВ

Пластмассовый корпус типа SOP-8

Выбор режима преобразования  
Выход выбора выходного напряжения  
Выход в повышающем режиме/Вход в понижающем режиме  
Вход контроля выходного напряжения



Включение дежурного режима  
Вход включения пакетного режима  
Земля  
Вывод для подключения дросселя



Philips Semiconductors

# TEA1206

## ВЫСОКОЭФФЕКТИВНЫЙ DC/DC-ПРЕОБРАЗОВАТЕЛЬ

### ОСОБЕННОСТИ

- ♦ Полностью интегрированная схема преобразователя
- ♦ Преобразование с повышением и понижением напряжения
- ♦ Минимальное напряжение запуска ..... 1.8 В
- ♦ Регулируемое выходное напряжение
- ♦ Высокий КПД в широком диапазоне сопротивлений нагрузки
- ♦ Рабочая частота ..... 600 кГц
- ♦ Малый ток собственного потребления
- ♦ Возможность синхронизации от внешнего генератора частотой от 9 до 20 МГц
- ♦ Точное ограничение по току обеспечивает совместимость с литиевыми батареями
- ♦ Рабочий цикл до 100% в режиме понижения напряжения
- ♦ Защита от пониженного входного напряжения
- ♦ Дежурный режим

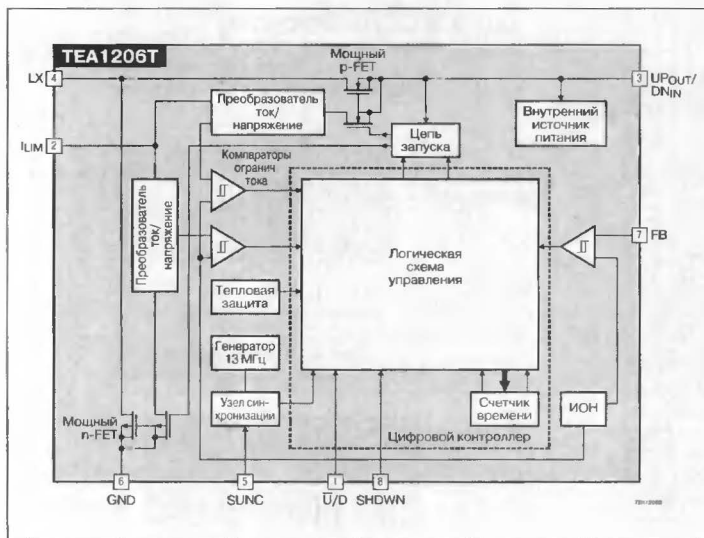
### ОБЛАСТИ ПРИМЕНЕНИЯ

- ♦ Сотовые и беспроводные телефоны
- ♦ Портативные компьютеры и телевизионные камеры

### ОБЩЕЕ ОПИСАНИЕ

Микросхема TEA1206 представляет собой полностью интегрированный DC/DC-преобразователь. Высокий КПД, компактность и широкий диапазон выходных токов достигнут благодаря использованию новейшего ЧШИМ-контроллера с цифровым управлением, встроенных МОП-транзисторов с малым сопротивлением канала и полностью синхронизированному выпрямлению. Рабочая частота 590 кГц позволяет использовать миниатюрные внешние элементы.

### СТРУКТУРНАЯ СХЕМА



### СХЕМЫ ВКЛЮЧЕНИЯ

Рис. 1. Повышающий преобразователь напряжения

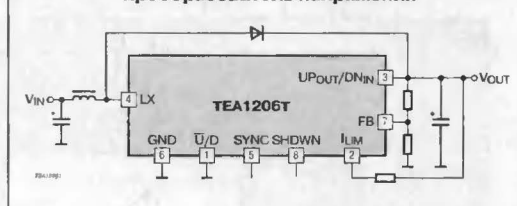
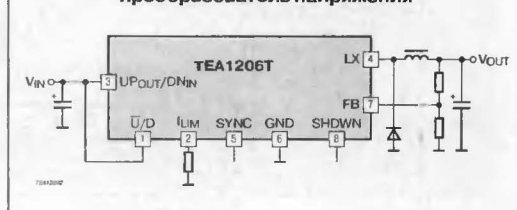


Рис. 2. Понижающий преобразователь напряжения



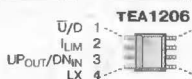
### ТИПОНОМИНАЛЫ

Типономинал	Корпус	Рабочий диапазон температур, °C
TEA1206T	SOP-8 (SOT96-1)	-40...+80

### ЦОКОЛЕВКА КОРПУСОВ

Пластмассовый корпус типа SOP-8

Выбор режима преобразования  
Выход подключения токоограничивающего резистора  
Выход в повышающем режиме/вход в понижающем режиме  
Выход подключения дросселя



Включение дежурного режима  
Вход обратной связи  
Земля  
Вход внешней синхронизации



Philips Semiconductors

# TEA1504

## СХЕМА СЕРИИ GreenChip™ ДЛЯ УПРАВЛЕНИЯ ИМПУЛЬСНЫМ ИСТОЧНИКОМ ПИТАНИЯ

### ОСОБЕННОСТИ

- ♦ Высокий уровень интеграции
- ♦ Встроенная схема запуска, ускоряющая включение
- ♦ Функция ВКЛ/ВЫКЛ, позволяющая исключить сетевой выключатель
- ♦ Возможность работы от сети в диапазоне напряжений ..... 90...276 В
- ♦ Встроенный генератор с погрешностью частоты 5%
- ♦ Низкое потребление энергии в режиме ВЫКЛ. .... менее 100 мВт
- ♦ Пакетный (прерывистый) режим работы при мощности в нагрузке менее 2 Вт
- ♦ Снижение рабочей частоты в режиме малой потребляемой мощности
- ♦ Защита от размагничивания (насыщения сердечника)
- ♦ Поцикловое ограничение тока с программируемым уровнем ограничения
- ♦ Точная защита от повышенного напряжения
- ♦ Температурная защита
- ♦ Режим повторного запуска с пониженной мощностью в условиях токовых перегрузок
- ♦ Применение в повышающих и обратноходовых преобразователях

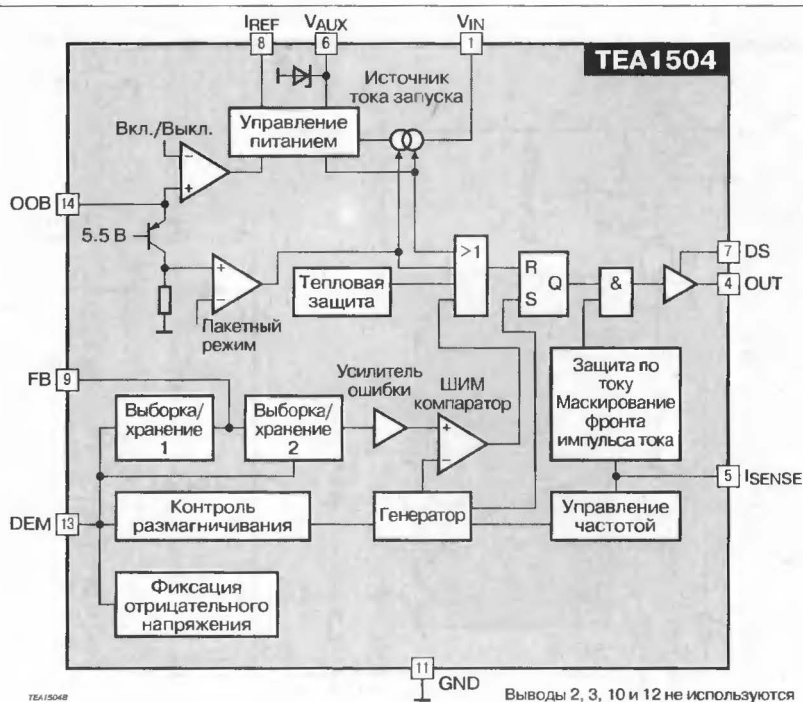
### ОБЩЕЕ ОПИСАНИЕ

Микросхемы семейства GreenChip™ сочетают в одном корпусе аналоговую и цифровую части для полнофункционального управления сетевыми импульсными источниками питания с входным напряжением от 90 до 276 В. В состав ИС TEA1504 входят высоковольтная цепь запуска, ШИМ-контроллер, работающий в режиме управления по напряжению, подстраиваемый с погрешностью 5% генератор, источник опорного напряжения, защита от возможных аномальных режимов, маскирование переднего фронта импульса тока. Высокий уровень интеграции обеспечивает хорошие массогабаритные показатели, надежность и простоту конструкции, высокий КПД.

### ТИПОНОМИНАЛЫ

Типономинал	Корпус	Температура кристалла, °C
TEA1504	DIP-14 (SOT27-1)	-10...+140

### СТРУКТУРНАЯ СХЕМА



### ЦОКОЛЕВКА КОРПУСОВ

Пластмассовый корпус типа DIP-14

Вход напряжения запуска	VIN	1	14	OOB	Вкл./Выкл./Пакетный режим
Не используется	п.с.	2	13	DEM	Контроль магнитного состояния сердечника
Не используется	п.с.	3	12	п.с.	Не используется
Выход подключения затвора ключевого транзистора	OUT	4	11	GND	Земля
Подключение токоизмерительного резистора	ISENSE	5	10	п.с.	Не используется
Вход напряжения питания	VALX	6	9	VCTRL	Вход управления рабочим циклом
Выход питания выходного каскада	DS	7	8	IREF	Подключение резистора установки опорных токов

## СХЕМЫ ВКЛЮЧЕНИЯ

Рис. 1. Обратногоходовой преобразователь с функцией ВКЛ/ВЫКЛ

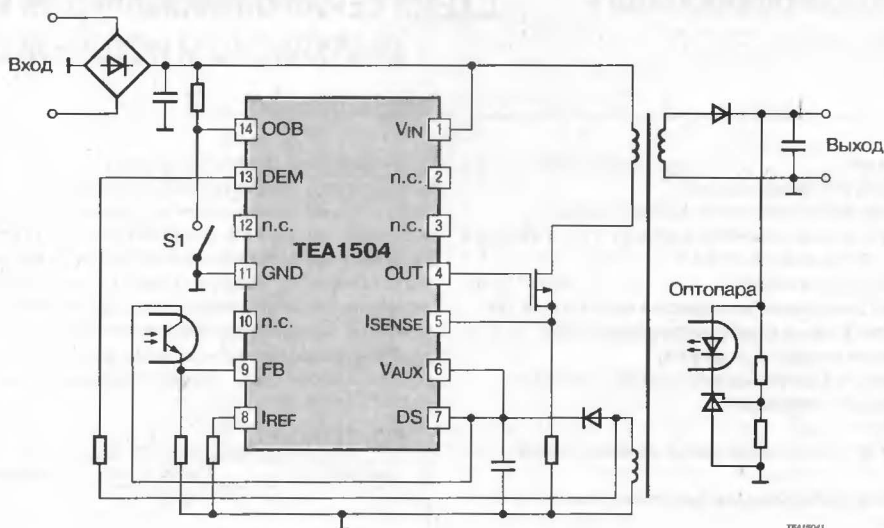
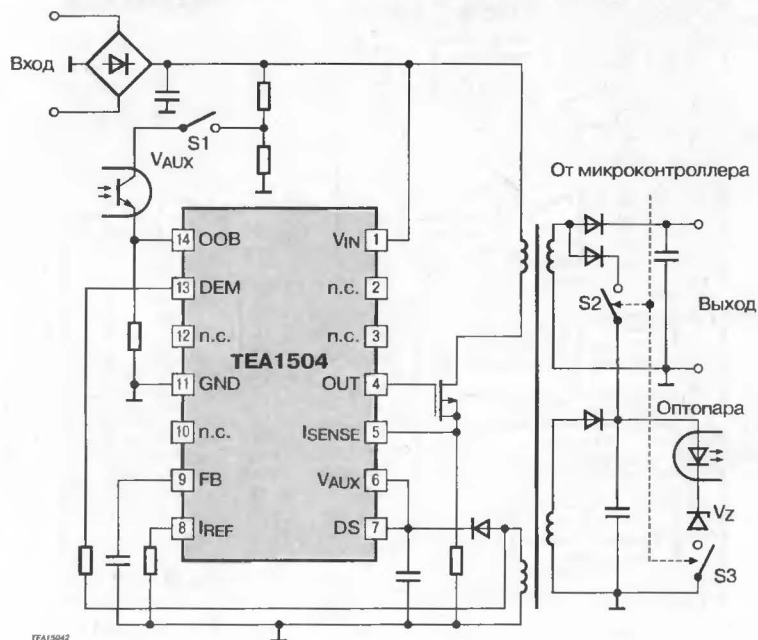
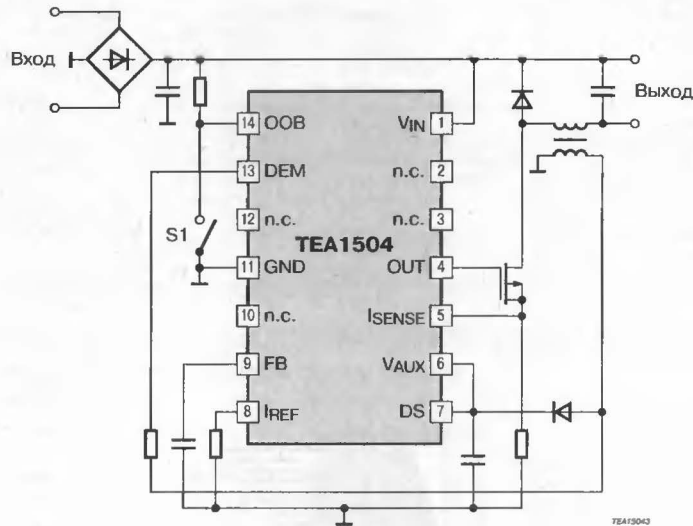


Рис. 2. Обратногоходовой преобразователь с пакетным режимом работы и функцией ВКЛ/ВЫКЛ



СХЕМЫ ВКЛЮЧЕНИЯ (ПРОДОЛЖЕНИЕ)

Рис. 3. Понижающий преобразователь с контролем первичной цепи





#### Микросхемы для импульсных источников питания фирмы Power Integrations:

Семейство трехвыводных ШИМ-контроллеров с силовым ключом TOPSwitch .....	475
Семейство ШИМ-контроллеров SMP .....	476
Семейство трехвыводных ШИМ-контроллеров с мощным ключом TOPSwitch-II .....	476
Семейство маломощных 3-выводных ШИМ-стабилизаторов для DC/DC-преобразователей .....	476
Семейство маломощных ШИМ-стабилизаторов TinySwitch .....	476
Семейство мощных драйверов INT .....	476
<b>SMP402</b> Понижающий стабилизатор с выходной мощностью 1 Вт. ....	477
<b>TNY253/54/55</b> Маломощные сетевые ШИМ-стабилизаторы семейства TinySwitch™ .....	479
<b>TOP201-4/TOP209-10/TOP221-7</b> Трёхвыводные сетевые ШИМ-стабилизаторы семейства TOPSwitch .....	481
<b>TOP412/414</b> Трёхвыводной ШИМ ключ для преобразователей постоянного напряжения. ....	483

ЗА ДОПОЛНИТЕЛЬНОЙ ИНФОРМАЦИЕЙ И ПО ВОПРОСАМ ПОСТАВКИ КОМПОНЕНТОВ ОБРАЩАТЬСЯ:

ООО Макро Тим

тел. (095) 306-00-26, 306-47-21, 306-47-89; факс (095) 306-02-83;

E-mail: [sales@sei-macro.msk.ru](mailto:sales@sei-macro.msk.ru); [www.sei-macro.msk.ru](http://www.sei-macro.msk.ru)



# SEI Macro Group

Burham Lane, Slough, SL1 6LN United Kingdom  
Tel: 44(1628) 606096 Fax: 44(1628) 606500

Нижеследующим подтверждаем, что фирма

## МАКРО ТИМ

111141, Россия, Москва, Паровая ул. 19/2  
тел.: (095) 306 0026, факс: (095) 306 0283  
e-mail: sales@sei-macro.msk.ru  
http://www.sei-macro.msk.ru

входит в состав SEI-Macro Group и  
уполномочена представлять в России продукцию

AMD  
AMP  
Analog Devices  
Arcotronics  
AVX  
Berg Electronics  
Bourns  
CML  
Cypress  
Dallas Semiconductor  
Echelon  
E-Tec  
Fairchild Semiconductor  
Hewlett-Packard  
Hitachi  
Intel  
IQD  
Kermet

Linear Technology  
Lucent Technologies  
Mikron  
Microsemi  
Mitsubishi  
Molex  
Motorola  
M-System  
NEC  
National Semiconductor  
Panasonic  
Philips Semiconductor  
Power Convertibles  
Power Integrations  
Scenix  
Schaffner  
SGS-Thomson  
Sharp

Siemens Semiconductor  
Sony  
Temic  
TFX Electronics  
Texas Instruments  
Thomas & Betts

Vantis  
Varitronix  
Vlcor  
Vishay  
Xilinx  
ZF Microsystem

Подпись:   
Julian K. Barnard, Director, Int.  
Дата: 11 ноября 1997



SEI-Macro Group сертифицирована по стандарту ISO-9002

## МИКРОСХЕМЫ ДЛЯ ИМПУЛЬСНЫХ ИСТОЧНИКОВ ПИТАНИЯ ФИРМЫ POWER INTEGRATIONS

### СЕМЕЙСТВО ТРЕХВЫВОДНЫХ ШИМ-КОНТРОЛЛЕРОВ С СИЛОВОМ КЛЮЧОМ TOPSwitch

Прибор	Выходная мощность, Вт						Контроль	Опорное напряжение, В	Рабочая частота, кГц	Температурный диапазон, °С	Корпус	Описание
	Обратноходовой преобразователь			ККМ/повышающий преобразователь								
	100/110 В (AC)	230 В (AC) или 110 В (AC) с удвоением	48 В (DC)	85...265 В (AC)	110/110 В (AC)	230/277 В (AC)						
TOP100I	0...20	—	0...6.8	—	0...30	—	Напряжение	5.8	100	-40...+125	TO-220-3	♦ Трёхвыводной ШИМ-ключ с питанием от сети переменного тока ♦ Встроенная схема запуска, защита от перегрузки по току и от перегрева ♦ Рабочий цикл до 70% ♦ Встроенный MOSFET до 350 В ♦ Требуется только одна внешняя ёмкость ♦ Автоматический перезапуск ♦ Подикловое ограничение тока ♦ Применяется в повышающих, понижающих, прямоходовых и обратноходовых преобразователях
TOP101I	15...35	—	6...12	—	25...50	—	Напряжение	5.8	100	-40...+125	TO-220-3	
TOP102I	20...45	—	8.5...17	—	35...70	—	Напряжение	5.8	100	-40...+125	TO-220-3	
TOP103I	25...55	—	11...22	—	45...90	—	Напряжение	5.8	100	-40...+125	TO-220-3	
TOP104I	30...60	—	12...25	—	55...110	—	Напряжение	5.8	100	-40...+125	TO-220-3	
TOP200I	—	0...25	—	0...12	—	0...25	Напряжение	5.8	100	-40...+125	TO-220-3	♦ Трёхвыводной ШИМ-ключ с питанием от сети переменного тока ♦ Встроенная схема запуска, защита от перегрузки по току и от перегрева ♦ КПД до 90% ♦ Рабочий цикл до 70% ♦ Встроенный MOSFET до 700 В ♦ Требуется только одна внешняя ёмкость ♦ Автоматический перезапуск ♦ Подикловое ограничение тока ♦ Применяется в повышающих, понижающих, прямоходовых и обратноходовых преобразователях
TOP201I	—	20...45	—	10...22	—	20...50	Напряжение	5.8	100	-40...+125	TO-220-3	
TOP202I	—	30...60	—	15...30	—	30...75	Напряжение	5.8	100	-40...+125	TO-220-3	
TOP203I	—	40...70	—	20...35	—	50...100	Напряжение	5.8	100	-40...+125	TO-220-3	
TOP214I	—	50...85	—	25...42	—	60...125	Напряжение	5.8	100	-40...+125	TO-220-3	
TOP204I	—	60...100	—	30...50	—	75...150	Напряжение	5.8	100	-40...+125	TO-220-3	
TOP209P/G	—	0...4	—	0...2	—	—	Ток, напряжение	5.8	100	-40...+125	DIP-8, SO-8	♦ Трёхвыводной ШИМ-ключ с питанием от сети переменного тока ♦ Режим пониженного энергопотребления ♦ КПД до 80% ♦ Встроенная схема запуска, защита от перегрузки по току и от перегрева ♦ Рабочий цикл до 70% ♦ Встроенный MOSFET до 700 В ♦ Требуется только одна внешняя ёмкость ♦ Автоматический перезапуск ♦ Подикловое ограничение тока
TOP210P/G	—	0...8	—	0...5	—	—	Ток, напряжение	5.8	100	-40...+125	DIP-8, SO-8	

# POWER INTEGRATIONS

## СЕМЕЙСТВО ШИМ-КОНТРОЛЛЕРОВ SMP

Прибор	Выходная мощность, Вт			Контроль	Опорное напряжение, В	Рабочая частота, кГц	Температурный диапазон, °C	Корпус	Описание
	120/220 В (AC)	85...265 В (AC)	20...72 В (DC)						
SMP211I	10	5	—	Напряжение	1.25	272	-40...+125	DIP-16, SO-20	Стабилизатор напряжения с ШИМ, работа от 36...500 В (DC), защита от перенапряжения, пониженного напряжения, перегрева
SMP212I	10	5	—	Напряжение	1.25	272	-40...+125	SO-20	То же плюс отключение/перезапуск при перегрузке
SMP220I	20	10	—	Напряжение	1.25	272	-40...+125	SO-20	
SMP402C	—	—	1	Напряжение	1.3	50...500	0...+120	S/SO-16	Понижающий маломощный стабилизатор мощностью 1 Вт, неизолированный DC-выход, регулируемый выход, защита от пониженного напряжения и перегрева, применение в сетях ISDN T1

Примечание: ККМ – контроллер коэффициента мощности

## СЕМЕЙСТВО ТРЕХВЫВОДНЫХ ШИМ-КОНТРОЛЛЕРОВ С МОЩНЫМ КЛЮЧОМ TOPSwitch-II

Прибор	Выходная мощность, Вт		Контроль	Опорное напряжение, В	Рабочая частота, кГц	Температурный диапазон, °C	Корпус	Описание
	100/115/230 В (AC) ±15%	85...265 В (AC)						
TOP221Y	12	7	Ток, напряжение	5.7	90...110	-40...+125	TO-220-3	<ul style="list-style-type: none"> <li>♦ Трёхвыводной ШИМ-ключ с питанием от сети переменного тока</li> <li>♦ Встроенная схема запуска</li> <li>♦ Ограничение тока</li> <li>♦ Защита от перегрузки по току и от перегрева</li> <li>♦ КПД – до 90%</li> <li>♦ Применим в обратных, прямых, повышающих и понижающих преобразователях</li> </ul>
TOP221P/G	9	6	Ток, напряжение	5.7	90...110	-40...+125	DIP-8, SO-8	
TOP222Y	25	15	Ток, напряжение	5.7	90...110	-40...+125	TO-220-3	
TOP222P/G	15	10	Ток, напряжение	5.7	90...110	-40...+125	DIP-8, SO-8	
TOP223Y	50	30	Ток, напряжение	5.7	90...110	-40...+125	TO-220-3	
TOP223P/G	25	15	Ток, напряжение	5.7	90...110	-40...+125	DIP-8, SO-8	
TOP224Y	75	45	Ток, напряжение	5.7	90...110	-40...+125	TO-220-3	
TOP224P/G	30	20	Ток, напряжение	5.7	90...110	-40...+125	DIP-8, SO-8	
TOP225Y	100	60	Ток, напряжение	5.7	90...110	-40...+125	TO-220-3	
TOP226Y	125	75	Ток, напряжение	5.7	90...110	-40...+125	TO-220-3	
TOP227Y	150	90	Ток, напряжение	5.7	90...110	-40...+125	TO-220-3	

## СЕМЕЙСТВО МАЛОМОЩНЫХ 3-ВЫВОДНЫХ ШИМ-СТАБИЛИЗАТОРОВ ДЛЯ DC/DC-ПРЕОБРАЗОВАТЕЛЕЙ

Прибор	Выходная мощность, Вт			Контроль	Опорное напряжение, В	Рабочая частота, кГц	Температурный диапазон, °C	Корпус
	18 В (DC)	48 В (DC)	90 В (DC)					
TOP412G	3	9	18	Ток, напряжение	5.7	108...132	-40...+125	SOP-8
TOP414G	4	12	21	Ток, напряжение	5.7	108...132	-40...+125	SOP-8

## СЕМЕЙСТВО МАЛОМОЩНЫХ ШИМ-СТАБИЛИЗАТОРОВ TinySwitch

Прибор	Выходная мощность, Вт		Контроль	Опорное напряжение, В	Рабочая частота, кГц	Температурный диапазон, °C	Корпус	Описание
	115/230 В (AC) с удвоением	85...265 В (AC)						
TNY253P/G	5	2.5	Ток	5.8	40...48	-40...+125	DIP-8, SO-8	<ul style="list-style-type: none"> <li>♦ Простое управление Вкл/Откл</li> <li>♦ Потребление 30/60 мВт при питании 11/230 В без нагрузки</li> <li>♦ Отвечает энергосберегающим стандартам: Blue Angel, Energy Star, Energy 2000 и Европейскому стандарту для сотовой связи</li> <li>♦ Идеальное решение для ПК, ТВ, видеотехники, беспроводной и сотовой связи</li> </ul>
TNY254P/G	8	5	Ток	5.8	40...48	-40...+125	DIP-8, SO-8	
TNY255P/G	10	7.5	Ток	5.8	115...140	-40...+125	DIP-8, SO-8	

## СЕМЕЙСТВО МОЩНЫХ ДРАЙВЕРОВ INT

Прибор	Функциональное назначение	Напряжение питания, В	Выходной ток, мА	Напряжение изоляции, В	Температурный диапазон, °C	Суффикс/корпус	Описание
INT100	Полумостовой драйвер	10...16	-150...+300	800	-40...+85	S/SO-16	Схема управления ключами верхнего и нижнего плеча с запретом одновременного включения, защита от пониженного напряжения
INT200I1	Драйвер нижнего плеча (LSD)	10...16	-150...+300	600	-40...+85	PF/DIP-8, TF/SO-8	Схема управления ключом нижнего плеча и драйвером верхнего плеча, запрет одновременного включения, защита от пониженного напряжения
INT200I2	Драйвер нижнего плеча (LSD)	10...16	-150...+300	800	-40...+85	PF/DIP-8, TF/SO-8	
INT201I	Драйвер верхнего плеча (HSD)	10...16	-150...+300	—	-40...+85	PF/DIP-8, TF/SO-8	Схема управления ключом верхнего плеча, плавающие вход/выход, прямое подключение к выводам HSD драйверов INT200 или INT202
INT202I1	Драйвер нижнего плеча (LSD)	10...16	-150...+300	600	-40...+85	PF/DIP-8, TF/SO-8	Схема управления ключом нижнего плеча и драйвером верхнего плеча, защита от пониженного напряжения
INT202I2	Драйвер нижнего плеча (LSD)	10...16	-150...+300	800	-40...+85	PF/DIP-8, TF/SO-8	

## ПОНИЖАЮЩИЙ СТАБИЛИЗАТОР С ВЫХОДНОЙ МОЩНОСТЬЮ 1 Вт

### ОСОБЕННОСТИ

- Входное напряжение ..... 20...72 В
- Неизолированный выход постоянного напряжения

### ВНУТРЕННИЙ МОЩНЫЙ КЛЮЧ И КМОП СХЕМА УПРАВЛЕНИЯ:

- Выходная мощность не менее 1 Вт при постоянном напряжении на входе 48 В
- Регулируемое выходное напряжение
- Минимальные габаритные размеры

### ВЫСОКОВОЛЬТНЫЙ ВЫХОДНОЙ МОП-ТРАНЗИСТОР С НИЗКОЙ ЕМКОСТЬЮ:

- Предназначен для применения в абонентских линиях ISDN T1
- Низкая емкость позволяет работать на высоких частотах

### ВЫСОКОВОЛЬТНЫЙ ПОНИЖАЮЩИЙ СТАБИЛИЗАТОР:

- При запуске для питания SMP402 используется внутренний предварительный стабилизатор
- Малое потребление электроэнергии
- Минимальный набор необходимых навесных элементов

### ВНУТРЕННИЕ СХЕМЫ ЗАЩИТЫ:

- Блокировка при пониженном напряжении
- Защита от перегрева
- Определение полярности и уровня входного напряжения

### ОБЩЕЕ ОПИСАНИЕ

Микросхема SMP402 предназначена для питания неизолированных абонентских линий ISDN. В ее состав входят: высоковольтный мощный МОП-транзистор и схема управления импульсным стабилизатором. Для получения недорогой схемы источника питания, соответствующего жестким требованиям цифровых абонентских сетей, необходимо малое количество навесных элементов. Высокая рабочая частота позволяет уменьшить габариты источника питания.

Выходной мощный *p*-канальный МОП-транзистор обладает малым значением  $R_{DS(ON)}$  и емкости, работает на высоком напряжении. Малое значение емкости приводит к уменьшению мощности, выделяемой на затворе выходного транзистора, а также позволяет повысить рабочую частоту.

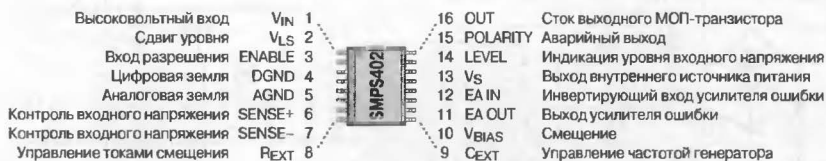
Схема управления, входящая в состав SMP402, включает в себя все необходимые элементы для мощного источника питания: предварительный стабилизатор для запуска, генератор, "bandgap" источник опорного напряжения, усилитель ошибки, схему управления выходным транзистором и схему сдвига уровня. SMP402 также выполняет функции блокировки при пониженном напряжении, защиты от перегрева, определения уровня и полярности входного напряжения.

### ТИПОНОМИНАЛЫ

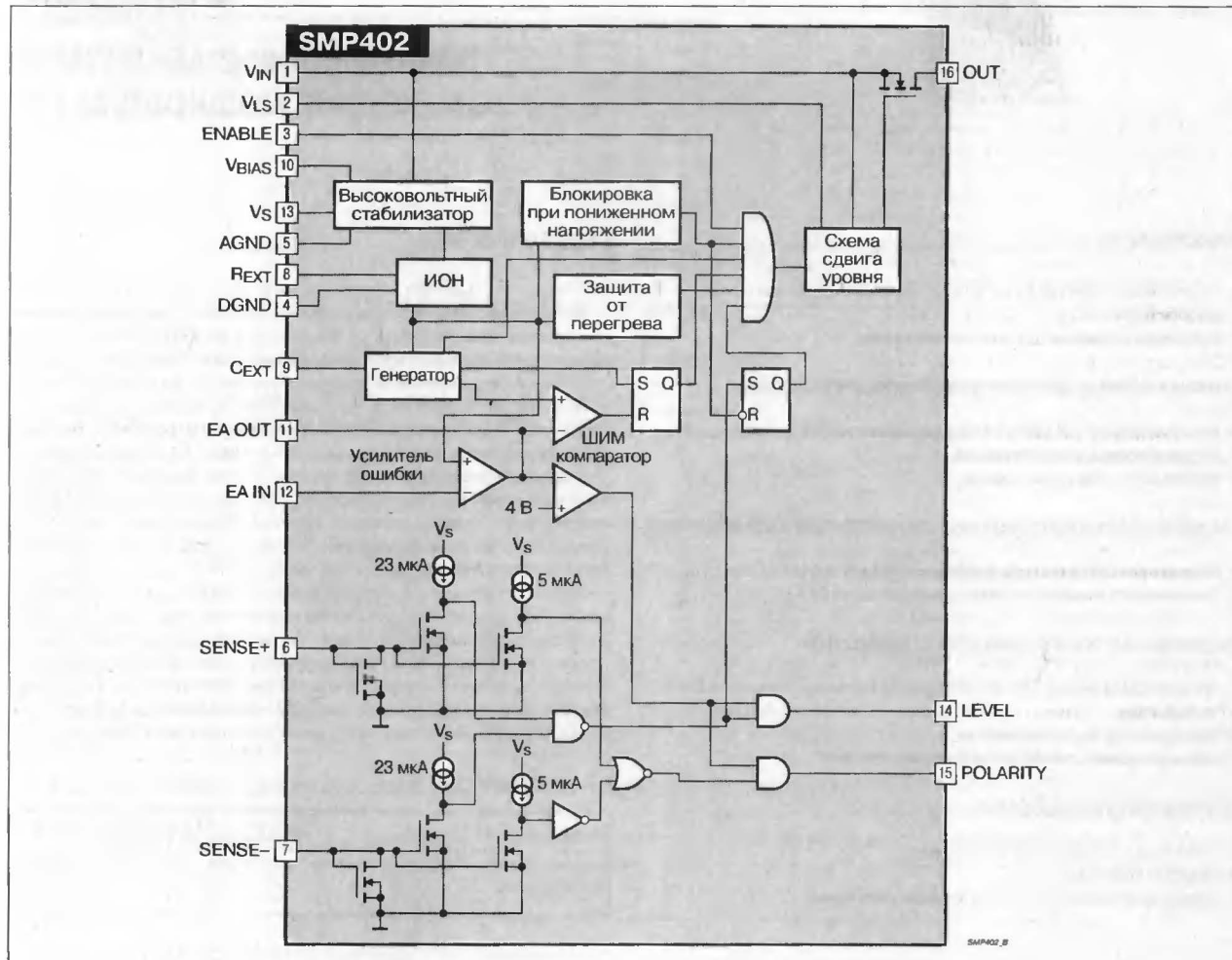
Типономинал	Корпус	Диапазон рабочих температур, °C
SMP402SC	SOP-16	0...+120

### ЦОКОЛЕВКА КОРПУСОВ

Пластмассовый корпус типа SOP-16

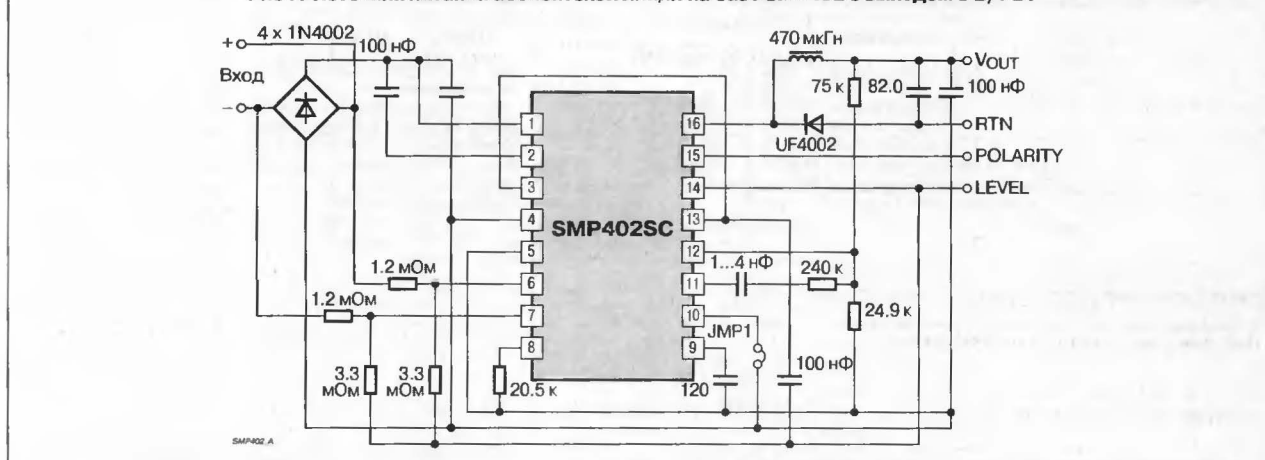


**СТРУКТУРНАЯ СХЕМА**



**СХЕМА ВКЛЮЧЕНИЯ**

**Рис. 1** Источник питания абонентской линии на базе SMP402 с выходом 5 В/1 Вт



### ОСОБЕННОСТИ

- Низкая стоимость, минимальное количество элементов, повышенная надёжность
- Более выгодное решение по сравнению с линейными источниками
- КПД в режиме обратного преобразователя ..... до 90%
- Простое управление типа ВКЛ/ВЫКЛ, отсутствие компонентов для компенсации петли обратной связи
- Отсутствие дополнительной обмотки трансформатора
- Допускает использование простого RC-фильтра ЭМИ
- Потребляет только 30/60 мВт при напряжении сети 115/230 В (AC) в отсутствие нагрузки
- Удовлетворяет стандартам Blue Angel, Energy Star, Energy 2000 и европейским требованиям к сотовой телефонии — 200 мВт в дежурном режиме
- Идеальное решение для зарядных устройств сотовых телефонов, дежурных блоков питания персональных компьютеров, телевизоров и другой техники
- Высокое входное напряжение
- Очень широкая полоса пропускания петли обратной связи обеспечивает отличную переходную характеристику и быстрое включение практически без выбросов напряжения
- Работа с ограничением тока подавляет пульсации сетевого напряжения
- Отсутствие выбросов на выходе при пропадании входного напряжения
- Встроенные схемы ограничения тока и защиты от перегрева
- Может работать с оптопарой в цепи обратной связи или от дополнительной обмотки трансформатора

### ПРИМЕНЕНИЕ

- Идеальное решение для зарядных устройств сотовых телефонов, дежурных блоков питания персональных компьютеров, телевизоров и другой техники

### ОБЩЕЕ ОПИСАНИЕ

Семейство TinySwitch использует передовую конструкцию для получения дешевого высокоэффективного сетевого стабилизатора на протяжении с выходной мощностью от 0 до 10 Вт. Эти приборы содержат все элементы, необходимые для построения ключевого стабилизатора, — ключевой  $n$ -канальный МОП-транзистор с напряжением до 700 В, генератор, высоковольтный импульсный источник тока, схемы ограничения тока и блокировки при перегреве. Приборы запускаются и работают, получая питание с вывода DRAIN, что позволяет обойтись без дополнительной обмотки трансформатора. При этом потребляемая мощность в отсутствие нагрузки составляет всего 80 мВт при питании от сети переменного тока напряжением 265 В. Простая схема управления типа ВКЛ/ВЫКЛ исключает необходимость частотной компенсации петли обратной связи.

Микросхемы TNY253 и TNY254 работают на частоте 44 кГц, что позволяет минимизировать электромагнитные излучения и использовать простую демпфирующую цепь для ограничения выбросов напряжения на выводе DRAIN. В тоже время для мощностей до 5 Вт может применяться недорогой сердечник EE16. ИС TNY253 и TNY254 идентичны, но TNY253 имеет меньший рабочий ток и может использоваться при выходной мощности до 2.5 Вт. TNY255 работает на частоте 130 кГц, развивает выходную мощность до 10 Вт на том же сердечнике EE16 и может использоваться в дежурном блоке питания персональных компьютеров. В применениях с выходной мощностью до 2.5 Вт могут использоваться сердечники EE13 или EF13. Отсутствие обмотки смещения позволяет исключить слои/зоны безопасности при намотке в большинстве применений, когда вторичная обмотка намотана проводом с тройной изоляцией. Это упрощает конструкцию трансформатора и уменьшает его стоимость.

### ТИПОНОМИНАЛЫ

Типономинал	Выходная мощность, Вт		Рабочая частота, кГц	Рабочий диапазон температур, °C	Корпус
	230 В (AC)	85...265 В (AC)			
TNY253P	5	2.5	40...48	-40...+125	DIP-8
TNY253G	5	2.5	40...48	-40...+125	SMD-8
TNY254P	8	5	40...48	-40...+125	DIP-8
TNY254G	8	5	40...48	-40...+125	SMD-8
TNY255P	10	7.5	115...140	-40...+125	DIP-8
TNY255G	10	7.5	115...140	-40...+125	SMD-8

### ЦОКОЛЕВКА КОРПУСОВ

Пластмассовый корпус типа DIP-8 (P08A)

Пластмассовый корпус типа SMD-8 (G08A)

#### TNY253/4/5

Шунтирующий конденсатор опорного напряжения BYPASS 1  
 Исток ключевого транзистора SOURCE 2  
 Исток ключевого транзистора SOURCE 3  
 Разрешение/Блокировка работы ENABLE 4



8 SOURCE Исток ключевого транзистора  
 7 SOURCE Исток ключевого транзистора  
 6 SOURCE Исток ключевого транзистора  
 5 DRAIN Сток

BYPASS 1  
 SOURCE 2  
 SOURCE 3  
 ENABLE 4



8 SOURCE  
 7 SOURCE  
 6 SOURCE  
 5 DRAIN







## ТРЕХВЫВОДНЫЕ СЕТЕВЫЕ ШИМ-СТАБИЛИЗАТОРЫ СЕМЕЙСТВА TOPSwitch

### ОСОБЕННОСТИ

- Низкая стоимость, минимальное количество элементов, повышенная надёжность
- Более выгодное решение по сравнению с линейными источниками при мощности свыше 5 Вт
- КПД в режиме обратноходового преобразователя ..... до 90%
- Встроенная схема запуска и ограничения тока уменьшает потери на постоянном токе (DC)
- МОП-транзистор с низкой ёмкостью и напряжением до 700 В уменьшает потери на переменном токе (AC)
- Схема управления затвором потребляет 6 мВт
- Минимальные потери проводимости благодаря рабочему циклу 70%
- Необходима только одна ёмкость для компенсации, ВЧ-фильтрации и запуска/автоперезапуска
- Автоматический перезапуск и поцикловое ограничение тока обеспечивают защиту в первичной и вторичной цепи
- Схема блокировки при перегреве защищает всю систему от перегрузки
- Применим в прямоходовых, обратноходовых, повышающих и понижающих преобразователях
- Работает с обратной связью от первичной цепи или на оптопаре
- Стабилен в режиме непрерывного и прерывистого тока нагрузки
- Сток соединён с корпусом для снижения ЭМИ
- Простота использования и поддержка многими макетными платами (reference design boards) позволяют сократить время разработки

### ОБЩЕЕ ОПИСАНИЕ

Микросхемы семейства TOPSwitch, имея всего три вывода, содержат все необходимые для ключевого стабилизатора элементы: мощный  $n$ -канальный МОП-транзистор со схемой управления включением затвора, ШИМ-контроллер с управлением по напряжению и встроенным генератором 100 кГц, высоковольтную цепь запуска, "bandgap" источник опорного напряжения (ИОН), параллельный стабилизатор/усилитель ошибки для обработки сигнала ОС и схемы защиты. По сравнению с дискретным МОП-транзистором и ШИМ-контроллером или импульсным преобразователем на автогенераторе, схемы на приборах семейства TOPSwitch имеют меньшую стоимость, меньшее количество элементов, меньшие размер и вес при тех же КПД и надёжности.

Данные микросхемы могут применяться в качестве сетевых источников питания мощностью от 0 до 150 Вт или в качестве корректоров коэффициента мощности (ККМ).

Семейство микросхем второго поколения TOPSwitch-II отличается лучшим соотношением цена/качество и имеет ряд улучшений по сравнению с семейством первого поколения TOPSwitch. В семействе TOPSwitch-II мощность увеличена со 100 до 150 Вт для входа 100/115/230 В(AC) и с 50 до 90 Вт для универсального входа

85...265 В(AC). Это открывает перед технологией TOPSwitch новые возможности применения в ТВ, мониторах, аудио усилителях и т.д. Стандартный корпус DIP-8 снижает стоимость в маломощных, высокоэффективных разработках. Тепло в данном корпусе отводится от кристалла через рвмку и шесть выводов прямо на печатную плату, что снижает затраты на радиатор.

### ТИПОНОМИНАЛЫ

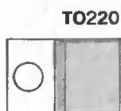
Типономинал	P <sub>max</sub> , Вт			Корпус
	Обратноходовой		ККМ/повышающий	
	110/230 В(AC)	85...265 В(AC)	230/277 В(AC)	
TOPSWITCH				
TOP200YA	0...25	0...12	0...25	TO-220
TOP201YA	20...45	10...22	20...50	TO-220
TOP202YA	30...60	15...30	30...75	TO-220
TOP203YA	40...70	20...35	50...100	TO-220
TOP214YA	50...85	25...42	60...125	TO-220
TOP204YA	60...100	30...50	75...150	TO-220
TOP209P	0...4	0...2	—	DIP-8
TOP209G	0...4	0...2	—	SMD-8
TOP210PFI	0...8	0...5	—	DIP-8
TOP210G	0...8	0...5	—	SMD-8
TOPSWITCH II				
TOP221Y	12	7	—	TO-220-3
TOP221P	9	6	—	DIP-8
TOP221G	9	6	—	SMD-8
TOP222Y	25	15	—	TO-220-3
TOP222P	15	10	—	DIP-8
TOP222G	15	10	—	SMD-8
TOP223Y	50	30	—	TO-220-3
TOP223P	25	15	—	DIP-8
TOP223G	25	15	—	SMD-8
TOP224Y	75	45	—	TO-220-3
TOP224P	30	20	—	DIP-8
TOP224G	30	20	—	SMD-8
TOP225Y	100	60	—	TO-220-3
TOP226Y	125	75	—	TO-220-3
TOP227Y	150	90	—	TO-220-3

### ЦОКОЛЕВКА КОРПУСОВ

Пластмассовый корпус типа TO-220-3

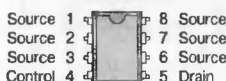
Пластмассовый корпус типа DIP-8

Пластмассовый корпус типа SMD-8

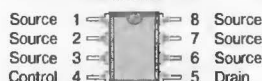


3 Drain Сток  
2 Source Исток  
1 Control Управление

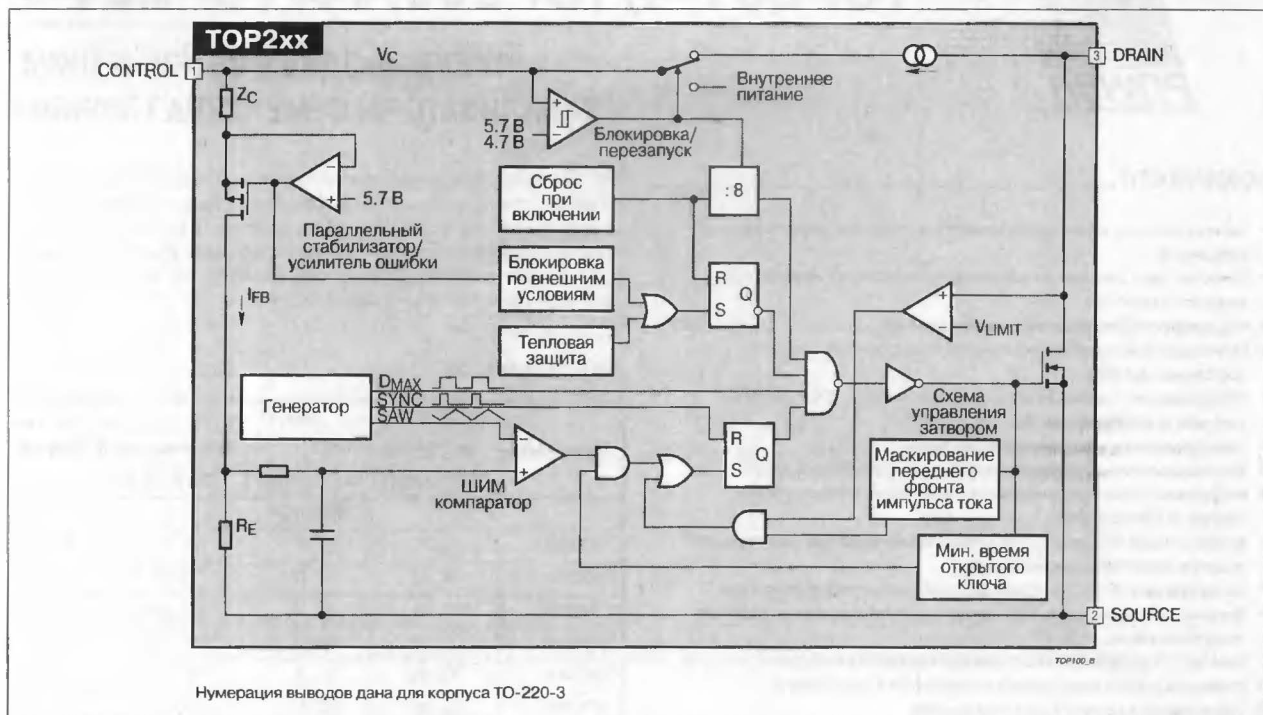
DIP08A



SMD8

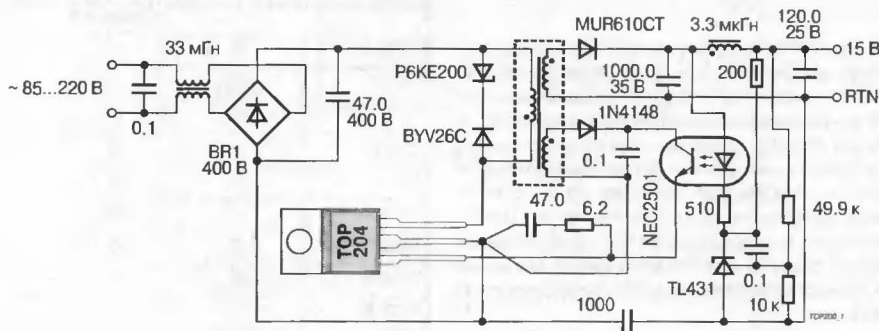


**СТРУКТУРНАЯ СХЕМА**



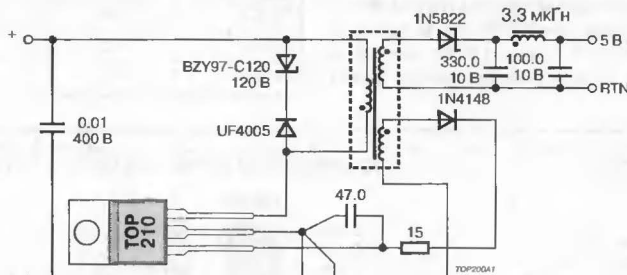
**СХЕМА ВКЛЮЧЕНИЯ**

**Рис. 1. Источник питания на базе TOP204A мощностью 30 Вт и оптопарой в цепи обратной связи**



Характеристики схемы: нестабильность по напряжению  $\pm 0.2\%$  (85...265 В (AC)), нестабильность по току  $\pm 0.2\%$  (10...100%), напряжение пульсаций  $\pm 150$  мВ

**Рис. 2. Источник питания на базе TOP210 с выходом 5 В/4 Вт**



Характеристики схемы: нестабильность по напряжению  $\pm 1.5\%$  (104...370 В (DC)), нестабильность по току  $\pm 1.5\%$  (10...100%), напряжение пульсаций  $\pm 25$  мВ

## ТРЕХВЫВОДНОЙ ШИМ-КЛЮЧ ДЛЯ ПРЕОБРАЗОВАТЕЛЕЙ ПОСТОЯННОГО НАПРЯЖЕНИЯ

### ОСОБЕННОСТИ

- Уменьшение цены изделия при повышении надежности
- Минимальные габаритные размеры
- Внутренняя схема запуска и ограничения тока уменьшает потери на постоянном токе
- Малая емкость МОП-транзистора ограничивает потери на переменном токе
- КМОП схема управления потребляет всего 7 мВт электрической мощности
- Максимальное значение рабочего цикла 70% позволяет уменьшить индуктивные потери
- ШИМ-контроллер и МОП-транзистор в одном корпусе SOP-8
- Для компенсации и перезапуска необходим только один внешний конденсатор
- Повторный запуск и ограничение тока в каждом цикле при сбоях в первичной и вторичной цепи
- Защита от перегрева
- Способеи работать в повышающих, понижающих обратныхходовых и прямоходовых стабилизаторах
- Простота подключения цепи обратной связи
- Работ в импульсном и непрерывном режиме
- Минимальное постоянное входное напряжение 16 В

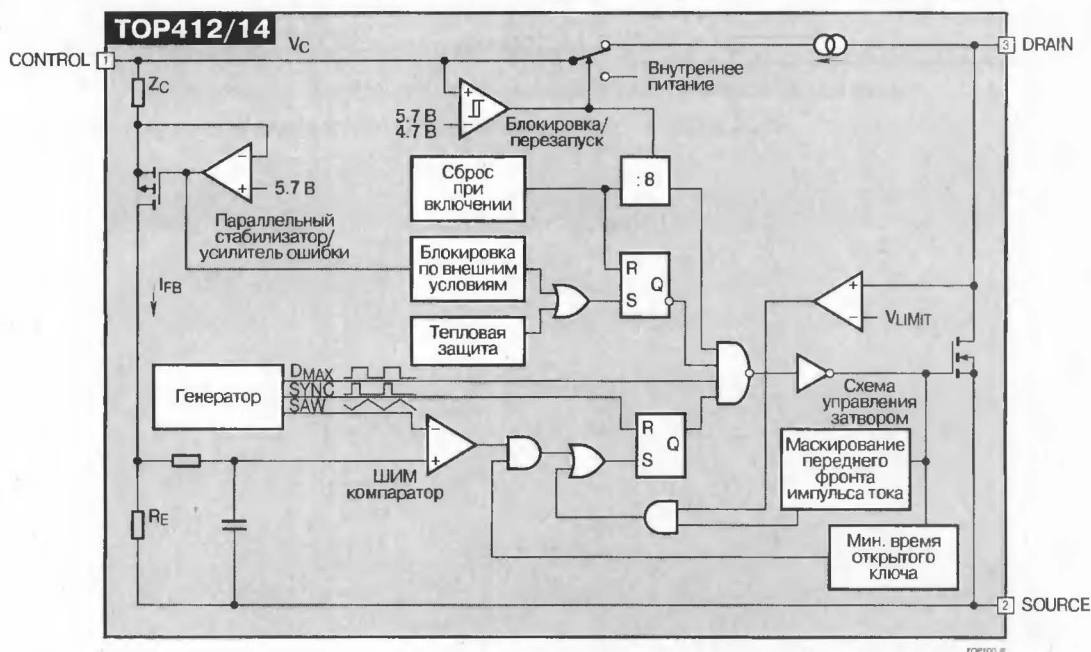
### ОБЩЕЕ ОПИСАНИЕ

Трехвыводная микросхема TOP412/414 содержит все необходимые элементы преобразователя постоянного напряжения:  $n$ -канальный мощный МОП-транзистор, ШИМ-контроллер с регулированием по напряжению, внутренний генератор 120 кГц, высоковольтную схему запуска, внутренний "bandgap" ИОН, стабилизатор смещения/усилитель ошибки в схеме аварийной защиты и схеме компенсации. По сравнению со схемами на дискретных элементах, применение TOP412/414 позволяет снизить цену, вес и габаритные размеры преобразователя постоянного напряжения. При этом улучшается надежность и КПД. Микросхемы TOP412/414 предназначены для применения в преобразователях постоянного напряжения с выходной мощностью до 21 Вт. Шесть выводов корпуса SOP-8 подключены к истоку выходного МОП-транзистора и используются для отвода тепла от кристалла микросхемы на печатную плату.

### ТИПОНОМИНАЛЫ

Типономинал	Максимальный ток, А	Сопротивление открытого канала, Ом	Корпус	Рабочий диапазон температур кристалла, °C
TOP412G	2.6	2.5	SMD-8	-40...+150
TOP414G	1.7	4.1	SMD-8	-40...+150

### СТРУКТУРНАЯ СХЕМА



## ЦОКОЛЕВКА КОРПУСОВ

Пластмассовый корпус SMD-8

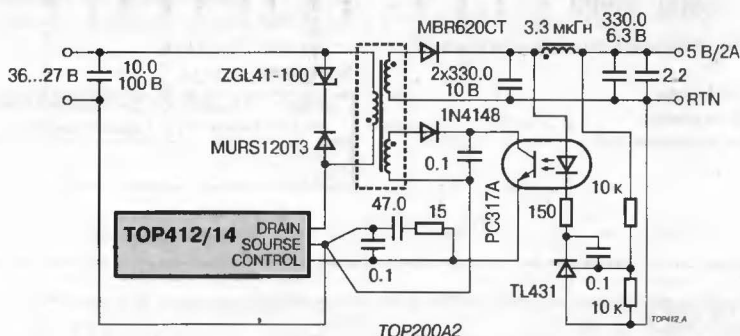


## НАЗНАЧЕНИЕ ВЫВОДОВ

Вывод	Обозначение	Описание
1, 2, 3	SOURCE	Исток выходного МОП-транзистора. Общий вывод первичной цепи и ИОН
4	CONTROL	Вход усилителя ошибки и вход тока обратной связи при управлении величиной рабочего цикла. Внутренний шунтирующий стабилизатор служит источником тока смещения в рабочем режиме. Вход триггера выключения, используется также для подключения конденсатора по питанию и коррекции/перезапуска
5	DRAIN	Сток выходного МОП-транзистора. При запуске через него протекает ток смещения внутреннего импульсного высоковольтного источника тока. Этот вывод служит для измерения втекающего тока
6, 7, 8	SOURCE (HV RTN)	Исток выходного МОП-транзистора, точка подключения отрицательного полюса входного напряжения

## СХЕМА ВКЛЮЧЕНИЯ

Изолированный преобразователь постоянного напряжения на базе TOP414G с выходом 5 В/10 Вт



# RICOH

## Микросхемы для импульсных источников питания фирмы Ricoh Corporation:

Индуктивные преобразователи напряжения. ....	486
Контроллеры индуктивных преобразователей напряжения. ....	486
<b>RH5RHxx1A/2B/3B</b> Повышающие преобразователи напряжения. ....	487
<b>RS5RM</b> Повышающие преобразователи напряжения с линейным стабилизатором. ....	489
<b>RV5VH1xx/2xx/3xx</b> Схема управления DC/DC-преобразователем. ....	490

## МИКРОСХЕМЫ ДЛЯ ИМПУЛЬСНЫХ ИСТОЧНИКОВ ПИТАНИЯ ФИРМЫ RICOH CORPORATION

### ИНДУКТИВНЫЕ ПРЕОБРАЗОВАТЕЛИ НАПРЯЖЕНИЯ

Прибор	Входное напряжение, В	Выходное напряжение, В	Ключ	Выходной ток, мА	Тип преобразователя	Частота, кГц	Особенности	Корпус
RH5RHxx1A	12	2.7...7.5	n-OC	250	ШИМ	50	Ток покоя 15 мкА	SOT-89
RH5RHxx2B	12	2.7...7.5	Внешний	±50	ШИМ	50/100	Ток покоя 15 мкА	SOT-89
RH5RHxx3B	12	2.7...7.5	n-OC/внешний	250/50	ШИМ	100	Ток покоя 15 мкА	SOT-89-5
RH5RIxx1B	12	2.7...7.5	n-OC	250	ЧИМ	100	Ток покоя 15 мкА	SOT-89
RH5RIxx2B	12	2.7...7.5	Внешний	±50	ЧИМ	100	Ток покоя 15 мкА	SOT-89
RH5RIxx3B	12	2.7...7.5	n-OC/внешний	250/50	ЧИМ	100	Ток покоя 15 мкА	SOT-89-5
RN5RKxx1A	9	2.0...5.5	n-OC	500	ЧИМ	100	Ток покоя 0.5 мкА	SOT-23-5
RN5RKxx1B	9	2.0...5.5	n-OC	500	ЧИМ	100	Ток покоя 0.5 мкА	SOT-23-5
RN5RKxx2A	9	2.0...5.5	Внешний	±30	ЧИМ	100	Ток покоя 0.5 мкА	SOT-23-5

### КОНТРОЛЛЕРЫ ИНДУКТИВНЫХ ПРЕОБРАЗОВАТЕЛЕЙ НАПРЯЖЕНИЯ

Прибор	Входное напряжение, В	Выходное напряжение, В	Ключ	Выходной ток, мА	Тип преобразователя	Частота, кГц	Особенности	Корпус
RN5RY1xx1	12	2...6	Внешний	±50	ЧИМ	—	Ток потребления 3 мкА	SOT-23-5
RN5RY2xx1	12	2	Внешний	±50	ЧИМ	—	Ток потребления 3 мкА	SOT-23-5
RS5RJxxxxx	12	4.5...6	n-OC/внешний	250/50	ЧИМ	—	Ток потребления 30 мкА	SOP-8
RS5RMxxxxx	12	4.5...6	n-OC/внешний	250/50	ШИМ	—	Внешний линейный стабилизатор	SOP-8
RV5VH1xx	10	3, -3	2-такт/внешний	400/±50	ЧИМ	130	Преобразователь+инвертор	SSOP-8
RV5VH2xx	10	3, -3	внешний	±50	ЧИМ	130	Преобразователь+инвертор	SSOP-8
RV5VH3xx	10		n-OC/внешний	±50	ЧИМ	130	Преобразователь+инвертор	SSOP-8

#### Примечание:

n-OC — открытый сток n-канального МОП-транзистора



#### ОСОБЕННОСТИ

- ♦ Малое число внешних компонентов
- ♦ Низкий потребляемый ток (без нагрузки) ..... 15 мкА
- ♦ Низкое напряжение запуска (при выходном токе 1 мА) ..... 0.9 В
- ♦ Выходной импульсный ток ключа ..... 250 мА
- ♦ Максимальное выходное напряжение ..... 12 В
- ♦ Точность выходного напряжения .....  $\pm 2.5\%$
- ♦ Высокий коэффициент полезного действия ..... 85%
- ♦ Низкий температурный дрейф .....  $\pm 50 \times 10^{-6} 1/^{\circ}\text{C}$
- ♦ Мягкий запуск ..... 500 мкс
- ♦ Миниатюрный корпус типа SOT-89

#### ПРИМЕНЕНИЕ

- ♦ Источники питания портативной аппаратуры с батарейным питанием
- ♦ Малошумящие источники питания для аппаратуры с малым потреблением мощности
- ♦ Источники питания батарейной аппаратуры с положительным и отрицательным напряжением питания

#### ТИПОНОМИНАЛЫ

Пример обозначения:  
**RH5RH 50 2B - T1**

— Способ упаковки на ленту: T1 или T2

— Конструктивные особенности:  
 1A — внутренний ключ (вывод Lx), рабочая частота 50 кГц;  
 2B — внешний ключ (вывод Tr), рабочая частота 100 кГц;  
 3B — внутренний/внешний ключ (выбор), рабочая частота 100 кГц, вход разблокирования

— Выходное напряжение от 2.7 до 7.5 В с шагом 0.1 В

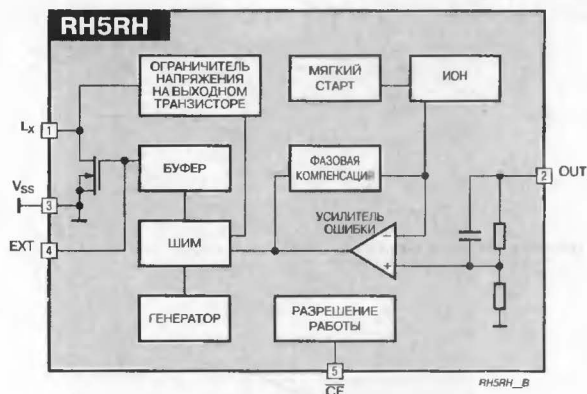
— Серия

#### ОБЩЕЕ ОПИСАНИЕ

Микросхемы RH5RH представляют собой широтно-импульсные повышающие преобразователи напряжения, выполненные по КМОП-технологии. Микросхемы серии RH5RHxx1A предназначены для постоянной работы на малую нагрузку, когда достаточно тока внутреннего ключа на полевом транзисторе. Они не содержат выходы EXT (для работы с внешним ключом) и CE — разблокирование. Микросхемы серии RH5RHxx2B предназначены для постоянной работы на большую нагрузку, когда необходимо применить внешний ключ. Они не содержат выходы L (сток внутреннего ключа) и CE — разблокирование. Микросхемы серии RH5RHxx3B — универсальные приборы, они могут работать с внутренним и внешним ключом, имеют вывод разблокирования.

В структурные схемы всех микросхем входят следующие блоки: усилитель ошибки с цепью фазовой компенсации, источник опорного напряжения со схемой мягкого запуска (старта), генератор, широтно-импульсный модулятор и буфер. Усилитель ошибки имеет коэффициент усиления 80 дБ, 1-й полюс на частоте 0.25 Гц, 2-й — на 1 кГц. Частота колебаний генератора равна 50 кГц для RH5RHxx1A и 100 кГц для остальных серий. Микросхемы серии RH5RHxx1A дополнены ключом LSW со схемой ограничения напряжения на его стоке, микросхем серии RH5RHxx3B — ключом и схемой разблокирования.

#### СТРУКТУРНАЯ СХЕМА



Нумерация выводов для корпуса SOT-89-5

#### ЦОКОЛЕВКА КОРПУСОВ

Корпус типа SOT-89-5



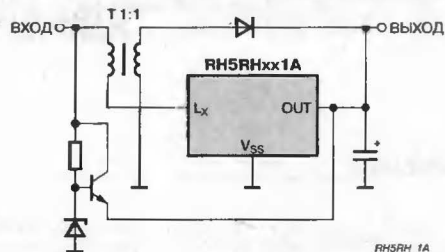
Корпус типа SOT-89-3

Корпус типа SOT-89-3

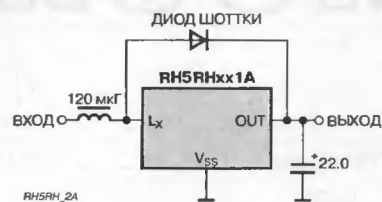


## СХЕМЫ ПРИМЕНЕНИЯ

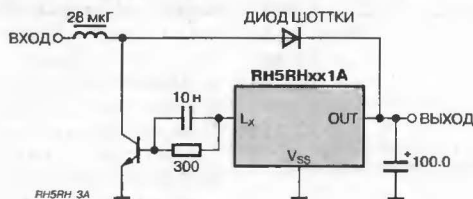
**Рис. 1. Повышающий/понижающий преобразователь на базе RH5RHxxx**



**Рис. 2. Повышающий преобразователь напряжения на базе RH5RHxxx с минимальным числом внешних компонентов**



**Рис. 3. Повышающий преобразователь напряжения на базе RH5RHxxx с минимальным числом внешних компонентов**



## ПОВЫШАЮЩИЕ ПРЕОБРАЗОВАТЕЛИ НАПЯЖЕНИЯ С ЛИНЕЙНЫМ СТАБИЛИЗАТОРОМ

### ОСОБЕННОСТИ

- ◆ Низкий потребляемый ток (без нагрузки) ..... 55 мкА
- ◆ Входное напряжение ..... 1.2...10 В
- ◆ Выходное напряжение преобразователя ..... 5.5 В
- ◆ Частота преобразования ..... 50 кГц
- ◆ Точность выходного напряжения .....  $\pm 2.5\%$
- ◆ Мягкий запуск
- ◆ Миниатюрный корпус SOP-8

### ПРИМЕНЕНИЕ

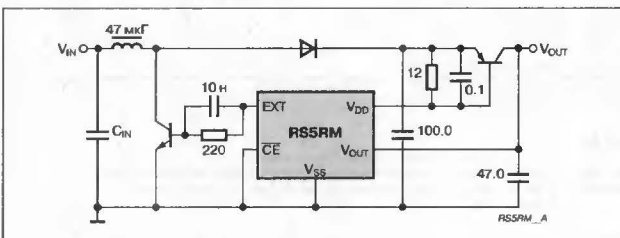
- ◆ Источники питания портативной аппаратуры
- ◆ Источники питания для малого контрольного оборудования
- ◆ Источники питания малогабаритной телекоммуникационной аппаратуры

### ТИПОНОМИНАЛЫ

RS5RM 50 45 A - R1  
1 2 3 4 5

- 1 Серия
- 2 Выходное напряжение от 1.5 до 6.0 В с шагом 0.1 В
- 3 Пороговое напряжение детектора от 1.2 до 5.0 В с шагом 0.1 В
- 4 Конструктивные особенности:  
A — при подаче напряжения  $V_{DD}$  на вывод  $\overline{CE}$  блокируется работа всех внутренних схем  
B — при подаче напряжения  $V_{DD}$  на вывод  $\overline{CE}$  блокируется только повышающий DC/DC-преобразователь
- 5 Способ упаковки на ленту: T1 или T2

### СХЕМА ВКЛЮЧЕНИЯ

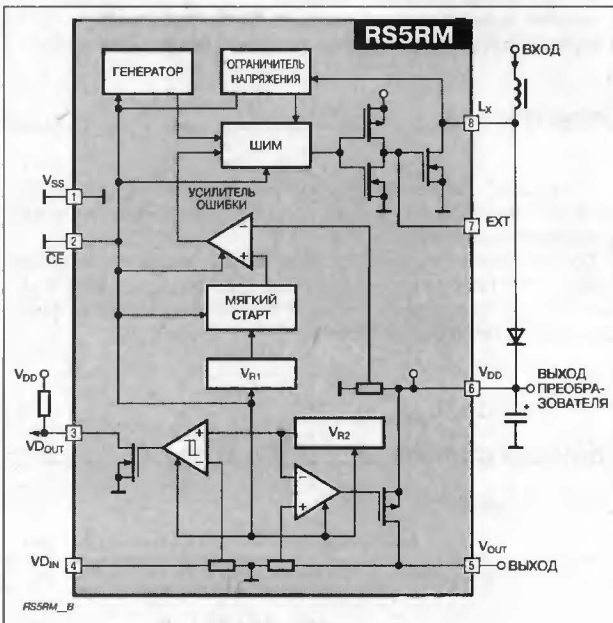


### ОБЩЕЕ ОПИСАНИЕ

Микросхемы серии RS5RM представляют собой широтно-импульсные повышающие преобразователи напряжения, дополненные линейным стабилизатором и детектором. Серия выполнена по КМОП-технологии и характеризуется малым током потребления в дежурном режиме (менее 10 мкА).

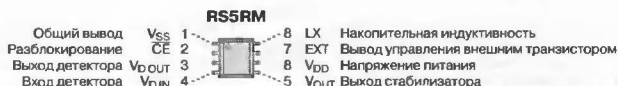
Микросхема состоит из преобразователя напряжения, стабилизатора и детекторов. В преобразователь напряжения входят: усилитель ошибки A1, источник опорного напряжения  $V_{R1}$  со схемой мягкого запуска, генератор, широтно-импульсный модулятор, ключ  $LxSW$  со схемой ограничения напряжения на его стоке. Стабилизатор состоит из источника опорного напряжения  $V_{R2}$ , операционного усилителя A2 и выходного транзистора QV1. Детектор напряжения построен на источнике опорного напряжения  $V_{R2}$ , пороговом устройстве A3 и выходном транзисторе QV3. Выходом детектора является открытый сток полевого транзистора.

### СТРУКТУРНАЯ СХЕМА



### ЦОКОЛЕВКА КОРПУСОВ

Корпус типа SOP-8



### ОСОБЕННОСТИ

- ♦ Сдвоенные DC/DC-преобразователи
  - DC/DC1: ..... повышающий
  - DC/DC2: ..... инвертирующий (отрицательный)
- ♦ Тактовая частота преобразователей напряжения ..... 130 кГц
- ♦ Температурный дрейф напряжения .....  $100 \times 10^{-6} \text{ 1/}^\circ\text{C}$
- ♦ Гистерезис схемы контроля напряжения ..... 0.135 В
- ♦ Выход схемы контроля напряжения ..... открытый сток n-канального транзистора
- ♦ Минимальное входное напряжение
  - RV5VH1xx, RV5VH2xx ..... 0.8 В
  - RV5VH3xx ..... 1.8 В
- ♦ Коэффициент полезного действия ..... 80%
- ♦ Разброс источника опорного напряжения ..... 2.5%
- ♦ Дежурный режим
  - RV5VH1xx, RV5VH2xx ..... DC/DC2
  - RV5VH3xx ..... DC/DC1, 2
- ♦ Подстройка температурного коэффициента выходного напряжения
  - DC/DC2: ..... внешним резистором (RV5VH2xx, RV5VH3xx)
- ♦ Миниатюрный корпус SSOP-8 (шаг выводов 0.65 мм)

### ПРИМЕНЕНИЕ

- ♦ Источники питания телекоммуникационных систем
- ♦ Источники питания портативных устройств обработки данных
- ♦ Источники питания аудио и видео устройств
- ♦ Источники питания портативной аппаратуры с батарейным питанием
- ♦ Источники питания портативной аппаратуры с двумя напряжениями питания

### ОБЩЕЕ ОПИСАНИЕ

Микросхемы RV5VH представляют собой сдвоенные DC/DC-преобразователи напряжения: повышающий и инвертирующий преобразователи на одном кристалле.

Структурно микросхемы состоят из генератора, двух схем управления с ЧИМ (VFM), выходных каскадов, фазосдвигающей схемы, источника опорного напряжения (ИОН), усилителя ошибки и двух резистивных делителей обратной связи по напряжению.

Серии RV5VH1xx и RV5VH2xx позволяют реализовать две системы преобразования напряжения: повышающий преобразователь с фиксированным положительным выходным напряжением и инвертирующий преобразователь с регулируемым (посредством внешнего резистивного делителя) отрицательным выходным напряжением. В этих сериях схема контроля напряжения имеет отдельный вход и представляет собой пороговое устройство, настроенное на срабатывание от номинального напряжения повышающего преобразователя. В качестве ключевого элемента инвертирующего преобразователя в серии RV5VH1xx используется встроенный МОП-транзистор, а в серии RV5VH2xx — внешний ключ.

Микросхемы серии RV5VH3xx также позволяют реализовать две системы преобразования напряжения: повышающий и инвертирующий преобразователи с внешними ключевыми транзисторами. Выбатываемые ими напряжения устанавливаются внешними резисторными делителями.

Приборы выполнены по КМОП-технологии, характеризуются малым потреблением тока и высоким коэффициентом полезного действия. Микросхемы поставляются в 8-выводном корпусе типа SSOP с шагом выводов 0.65 мм и предназначены для использования в системах с двумя напряжениями питания, таких как пейджеры, "карманные" компьютеры (PDA), которые требуют дополнительного питания ЖКИ.

### ТИПОМИНАЛЫ

RV5VH	x	xx	xx
1	2	3	4

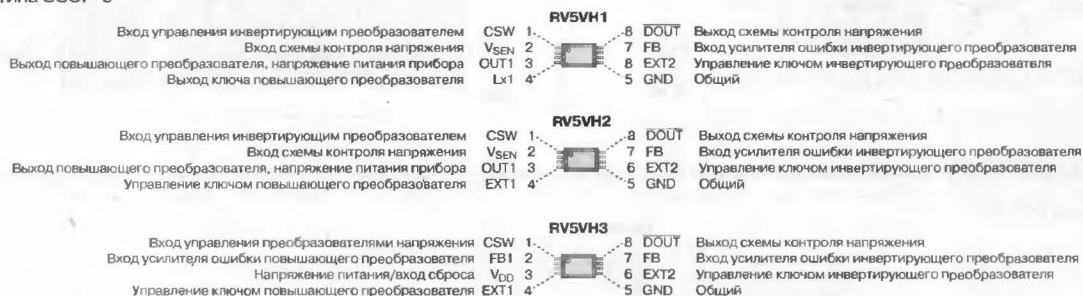
- 1 Серия
- 2 1 — выход Lx внутреннего ключевого транзистора  
2 — выход EXT на внешний ключевой транзистор  
3 — регулируемое выходное напряжение
- 3 01 — выходное напряжение 3.0 В\*, порог схемы контроля напряжения 2.7 В  
02 — выходное напряжение 5.0 В, порог схемы контроля напряжения 4.5 В
- 4 E1 или E2 — способ упаковки на ленту

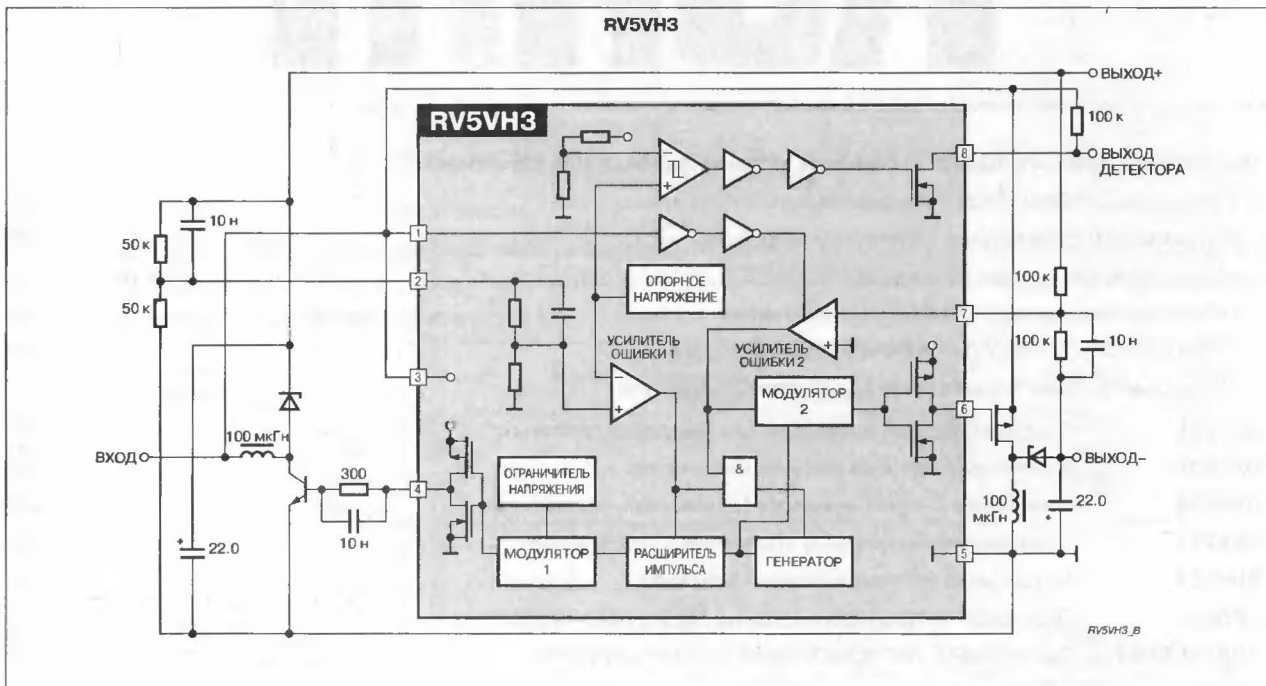
#### Примечание

\* Более 2.7 В для RV5VH301

### ЦОКОЛЕВКА КОРПУСОВ

#### Корпус типа SSOP-8





# ROHM

## Микросхемы для импульсных источников питания фирмы Rohm Electronics:

Импульсные стабилизаторы напряжения .....	493
Микросхемы блоков питания переносных устройств .....	493
Микросхемы для питания пейджеров .....	493
Гибридные повышающие DC/DC-преобразователи .....	494
Гибридные DC/DC-преобразователи с высоким КПД .....	494
Гибридные бестрансформаторные AC/DC-преобразователи .....	494
<b>BA6161</b> Преобразователь напряжения для настройки приемника .....	495
<b>BA9707</b> 4-канальный преобразователь напряжения .....	496
<b>BA9743</b> Контроллер 2-канального преобразователя напряжения .....	498
<b>BA9771</b> Понижающий импульсный стабилизатор напряжения .....	499
<b>BN6111</b> Микросхема источника питания пейджера .....	500
<b>BP50xx</b> Гибридные бестрансформаторные AC/DC-преобразователи .....	501
<b>BP51xx, BP52xx</b> Гибридные DC/DC-преобразователи с высоким КПД .....	502
<b>BP53xx</b> Гибридные повышающие DC/DC-преобразователи .....	503



МИКРОСХЕМЫ ДЛЯ ИМПУЛЬСНЫХ ИСТОЧНИКОВ ПИТАНИЯ ФИРМЫ ROHM ELECTRONICS

ИМПУЛЬСНЫЕ СТАБИЛИЗАТОРЫ НАПЯЖЕНИЯ

Прибор	Входное напряжение, В	Назначение и состав	Особенности	Корпус
BA6161N/F	4.5...16	Преобразователь напряжения для настройки приемников	Высокостабильный, термокомпенсированный	SIP-5, SOP-8
BA9700A/AF/AFV	3.55...24	Контроллер стабилизатора напряжения	Возможно построение понижающих, повышающих, инвертирующих и пр. типов стабилизаторов	DIP-14, SOP-14, SSOP-14
BA9701/F	2.5...7.5	Управляемый стабилизатор напряжения	Усилитель ошибки, компаратор ШИМ, выходной каскад	DIP-8, SOP-8
BA9706K	3.5...12	Контроллер 3-канального стабилизатора напряжения	Нестабильность опорного напряжения $\pm 1\%$	QFP-32
BA9707KV	3.5...12	Контроллер 4-канального стабилизатора напряжения	Частота преобразования до 1 МГц, нестабильность опорного напряжения $\pm 1\%$ , вход синхронизации	VQFP-48
BA9708K	3.5...12	Контроллер 3-канального стабилизатора напряжения	Частота преобразования до 1 МГц, нестабильность опорного напряжения $\pm 1\%$ , вход синхронизации	QFP-32
BA9710KV	3.5...12	Контроллер 4-канального стабилизатора напряжения	Модернизация BA9707KV для управления 2-фазным двигателем	VQFP-48
BA9734AKV	2.8...13	Контроллер 6-канального стабилизатора напряжения	Опорное напряжение $\pm 1\%$ , встроенные полевые транзисторы для синхронного выпрямления (2 выхода)	VQFP-64
BA9736KV	2.8...13	Контроллер 6-канального стабилизатора напряжения	Опорное напряжение $\pm 1\%$ , встроенные полевые транзисторы для синхронного выпрямления (2 выхода), 5-й и 6-й каналы можно использовать для управления двигателем	VQFP-64
BA9737KV	2.5...13	Контроллер 4-канального стабилизатора напряжения	Опорное напряжение $\pm 1\%$ , отдельное выключение каналов, потребление 10 мА в дежурном режиме	VQFP-48
BA9739KV	2.5...13	Контроллер 4-канального стабилизатора напряжения	Опорное напряжение $\pm 1\%$ , встроенные полевые транзисторы для синхронного выпрямления, выходной каскад на р-п-п-транзисторах (2 выхода)	VQFP-48
BA9741F/FS	3.6...35	Контроллер 2-канального стабилизатора напряжения	Большой диапазон входных напряжений. Выход 120 мА, разброс опорного напряжения $\pm 4\%$	SOP-16, SSOP-16
BA9743AFV	3.6...35	Контроллер 2-канального стабилизатора напряжения	Большой диапазон входных напряжений. Выход 120 мА, разброс опорного напряжения $\pm 1\%$	SSOP-16
BA9744FV	2.5...35	Контроллер 2-канального стабилизатора напряжения	Большой диапазон входных напряжений. Выход 30 мА, разброс опорного напряжения $\pm 1\%$	SSOP-16
BA9748FV	1.8...11	Контроллер повышающего стабилизатора напряжения	Опорное напряжение $\pm 1\%$ , защита по току и от перегрузки. Выходной ток устанавливается внешним резистором	SSOP-8
BA9771T	9...48	Понижающий стабилизатор напряжения	Высоковольтный. Встроенный выходной транзистор на ток 1.5 А, разброс опорного напряжения $\pm 5\%$	TO220FP-5
BD9712KV	5.5...10	Контроллер 8-канального стабилизатора напряжения	Разброс опорного напряжения $\pm 1\%$ , ключи на р-канальных транзисторах (8 каналов) и синхронное выпрямление (3 канала)	VQFP-80

МИКРОСХЕМЫ БЛОКОВ ПИТАНИЯ ПЕРЕНОСНЫХ УСТРОЙСТВ

Прибор	Напряжение питания, В	Выход 1	Выход 2	Выход 3	Пороговое напряжение сброса, В	Порог детектора напряжения, В	Выход вибратора	Тип выхода	Корпус
BN6020FV	3.2...5.5	3.0 В/80 мА	3.0 В/80 мА	3.0 В/200 мА	2.7	3.2	1.3 В/200 мА	3 канала	SSOP-24
BN6021FV	3.2...5.5	3.0 В/80 мА	2.8 В/80 мА	3.0 В/200 мА	2.7	2.7	1.3 В/200 мА	3 канала	SSOP-24
BD6024FV	3.1...4.5	2.9 В/60 мА	2.9 В/100 мА	-1.6V <sub>IN</sub>	—	—	—	р-кан. ключ	—
BD6111FV	2.5...5.5	-1.6V <sub>IN</sub>	—	—	—	—	—	1 канал	SSOP-8

МИКРОСХЕМЫ ДЛЯ ПИТАНИЯ ПЕЙДЖЕРОВ

Прибор	Напряжение питания, В	Выходное напряжение, В	Усилитель громкоговорителя	Усилитель вибратора	Усилитель светодиода	Подсветка ЖКИ	Детектор сброса	Индикатор батареи	Детектор разряда батареи	Стабилизатор	Корпус
BN6111FV	0.9...2.5	3	3 независимых канала	+	+	+	2.3 В	0.53 В	—	—	SSOP-20
BN6113FV	0.9...1.7	3	Выбор уровня громкости	+	+	—	—	0.53 В	—	—	SSOP-16
BN6114FV	0.9...1.7	2.7	Выбор уровня громкости	+	+	—	—	0.53 В	—	—	SSOP-16
BN6115FV	0.9...4.5	—	Выбор уровня громкости	+	+	—	—	0.58 В	—	—	SSOP-14
BN6117FV	0.9...7	2.73	Выбор уровня громкости	+	—	—	2.10 В	0.70 В	1.15 В	1.10 В	SSOP-16

## ГИБРИДНЫЕ ПОВЫШАЮЩИЕ DC/DC-ПРЕОБРАЗОВАТЕЛИ

Прибор	Входное напряжение, В	Выходное напряжение, В	Выходной ток, мА	Корпус	Размеры, мм
BP5302	5...14	-24	30	SIP-9	26 x 15 x 6
BP5302F	5...14	-24	30	SIP-9L	26 x 15 x 6
BP5319	4.5...5.5	-24	25	SIP-9	24.5 x 15.5 x 6
BP5319X	4.5...5.5	-24	25	SIP-9L	24.5 x 15.5 x 6
BP5311	4.5...5.5	30	25	SIP-9	26 x 15 x 6
BP5311X	4.5...5.5	30	25	SIP-9L	26 x 15.5 x 6
BP5313	11.4...12.6	40	60	SIP-11	30 x 12 x 6
BP5317	4.5...5.5	30	30	SMD	31 x 9 x 4.5
BP5310	4.75...5.25	12	120	SIP-9	26 x 16 x 6
BP5320	4.75...5.25	12	170	SMD	26 x 16 x 6

## ГИБРИДНЫЕ DC/DC-ПРЕОБРАЗОВАТЕЛИ С ВЫСОКИМ КПД

Прибор	Входное напряжение, В	Выходное напряжение, В	Выходной ток, А	Корпус	Размеры, мм
BP5220	8...38	5	1	SIP-9	28 x 19.5 x 12
BP5220X	8...38	5	1	SIP-9L	28 x 21.5 x 12
BP5221	8...38	5	0.5	SIP-9	28 x 19.5 x 12
BP5221X	8...38	5	0.5	SIP-9L	28 x 21.5 x 12
BP5222	15...38	12	0.5	SIP-9	28 x 19.5 x 12
BP5222X	15...38	12	0.5	SIP-9L	28 x 21.5 x 12
BP51L05	8...20	-5	0.1	SIP-9	30 x 29 x 13
BP51L12	8...20	-12	0.1	SIP-9	30 x 29 x 13

## ГИБРИДНЫЕ БЕСТРАНСФОРМАТОРНЫЕ AC/DC-ПРЕОБРАЗОВАТЕЛИ

Модули с входным напряжением 80...120 В (AC) (113...170 В (DC))

Прибор	Выходное напряжение, В	Выходной ток, мА	Корпус	Размеры, мм
ПОЛОЖИТЕЛЬНОЕ ВЫХОДНОЕ НАПРЯЖЕНИЕ				
BP5038-5	5	30	SIP-6	18 x 16 x 9
BP5034A5	5	100	SIP-10	30 x 16 x 10
BP5063-5	5	200	SIP-10	28 x 17 x 9
BP5038	12	30	SIP-6	18 x 16 x 9
BP5034A12	12	100	SIP-10	30 x 16 x 10
BP5063	12	200	SIP-10	28 x 17 x 9
BP5039-12	12	300	SIP-12	35 x 20 x 9
BP5034A15	15	80	SIP-10	30 x 16 x 10
BP5039-15	15	200	SIP-12	35 x 20 x 9
BP5034B20	20	70	SIP-10	30 x 16 x 10
BP5034A24	24	50	SIP-10	30 x 16 x 10
BP5039A	24	200	SIP-12	35 x 20 x 9
BP5064	12	200	SIP-10	28 x 17 x 9
ДВУХКАНАЛЬНЫЙ				
BP5080	5	20	SIP-10	30 x 18 x 10
	12	80		
ОТРИЦАТЕЛЬНОЕ ВЫХОДНОЕ НАПРЯЖЕНИЕ				
BP5061-5	-5	350	SIP-12	35 x 20 x 9
BP5062-5	-5	500	SIP-12	35 x 22 x 9
BP5065	-12	80	SIP-9	26 x 15 x 6
BP5035	-12	200	SIP-10	28 x 17 x 9
BP5061	-12	300	SIP-12	35 x 20 x 9
BP5062	-12	500	SIP-12	35 x 22 x 9

Модули с входным напряжением 160...253 В (AC) (226...358 В (DC))

Прибор	Выходное напряжение, В	Выходной ток, мА	Корпус	Размеры, мм
<b>ПОЛОЖИТЕЛЬНОЕ ВЫХОДНОЕ НАПРЯЖЕНИЕ</b>				
BP5040	5	100	SIP-14	42 x 20 x 9
BP5041A5	5	100	SIP-10	33 x 19 x 11
BP5041	12	100	SIP-14	42 x 20 x 9
BP5041A	12	100	SIP-10	33 x 19 x 11
BP5048	12	200	SIP-12	35 x 20 x 9
BP5041A15	15	80	SIP-10	33 x 19 x 11
<b>ОТРИЦАТЕЛЬНОЕ ВЫХОДНОЕ НАПРЯЖЕНИЕ</b>				
BP5046	-5	200	SIP-12	35 x 20 x 9
BP5046-5	-12	200	SIP-12	35 x 20 x 9

## ПРЕОБРАЗОВАТЕЛЬ НАПРЯЖЕНИЯ ДЛЯ НАСТРОЙКИ ПРИЕМНИКА

## ОСОБЕННОСТИ

- ♦ Высокий коэффициент стабилизации
- ♦ Температурная компенсация выходного напряжения
- ♦ Малое количество выводов
- ♦ Входное напряжение ..... 3...16 В
- ♦ Выходное напряжение ..... 30...35 В
- ♦ Частоты преобразования ..... 100 кГц
- ♦ Выходной ток ..... 3 мА

## ПРИМЕНЕНИЕ

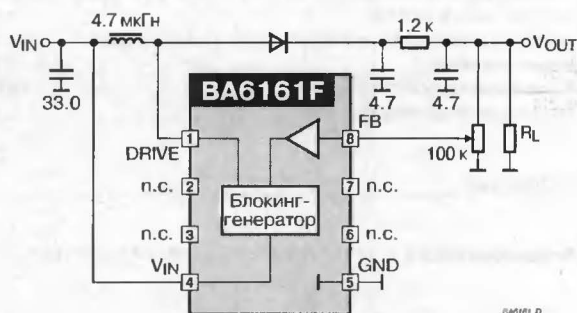
- ♦ Электронная настройка приемников телевизоров
- ♦ Электронная настройка оборудования, требующего напряжения 30...40 В

## ОБЩЕЕ ОПИСАНИЕ

Микросхемы ВА6161 представляют собой импульсные повышающие стабилизаторы на основе блокинг-генератора.

Стабилизатор, установленный на входе обратной связи FB, обеспечивает опорное напряжение и температурную компенсацию. Типовая величина опорного напряжения 33.3 В. Ток стабилизатора подается в цепь управления блокинг-генератора для изменения амплитуды вырабатываемых им импульсов. Блокинг-генератор образован катушкой индуктивности, подключенной между выводом коллектора транзистора генератора и шиной питания.

### СТРУКТУРНАЯ СХЕМА И ТИПОВАЯ СХЕМА ВКЛЮЧЕНИЯ



Нумерация выводов дана для корпуса SOP-8

## ТИПОНОМИНАЛЫ

Типономинал	Выходное напряжение, В	Диапазон температур, °С	Корпус
BA6161N	30...35	-20...+75	SIP-5
BA6161F	30...35	-20...+75	SOP-8

## ЦОКОЛЕВКА КОРПУСОВ

### Корпус типа SIP-5

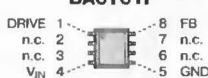
### Корпус типа SOP-8

BA6161N

BA6161F



5	GND	Общий вывод, земля
4	V <sub>IN</sub>	Входное напряжение
3	n.c.	Не используется
2	DRIVE	Выход генератора
1	FB	Вход обратной связи



## 4-КАНАЛЬНЫЙ ПРЕОБРАЗОВАТЕЛЬ НАПРЯЖЕНИЯ

## ОСОБЕННОСТИ

- Точность опорного напряжения.....  $\pm 1\%$
- ШИМ с постоянной частотой
- Раздельная установка токов выходных каскадов каждого канала
- Входное напряжение.....  $3.5...12\text{ В}$
- Максимальная частота преобразования.....  $1\text{ МГц}$
- Вход внешней синхронизации

## ПРИМЕНЕНИЕ

- Питание цепей ЛПМ ВМ

### ОБЩЕЕ ОПИСАНИЕ

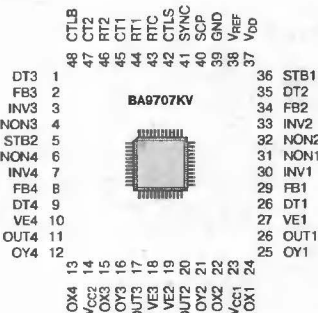
Микросхема ВА9707 представляет собой четыре импульсных стабилизатора напряжения, работающих синфазно от общего генератора пилообразного напряжения. Все каналы выполнены по одинаковой схеме, незначительно отличается 4-й канал, который имеет отдельный вывод включения.

## ТИПОНОМИНАЛЫ

Типоминал	Корпус
BA9707KV	VQFP-48

## ЦОКОЛЕВКА КОРПУСОВ

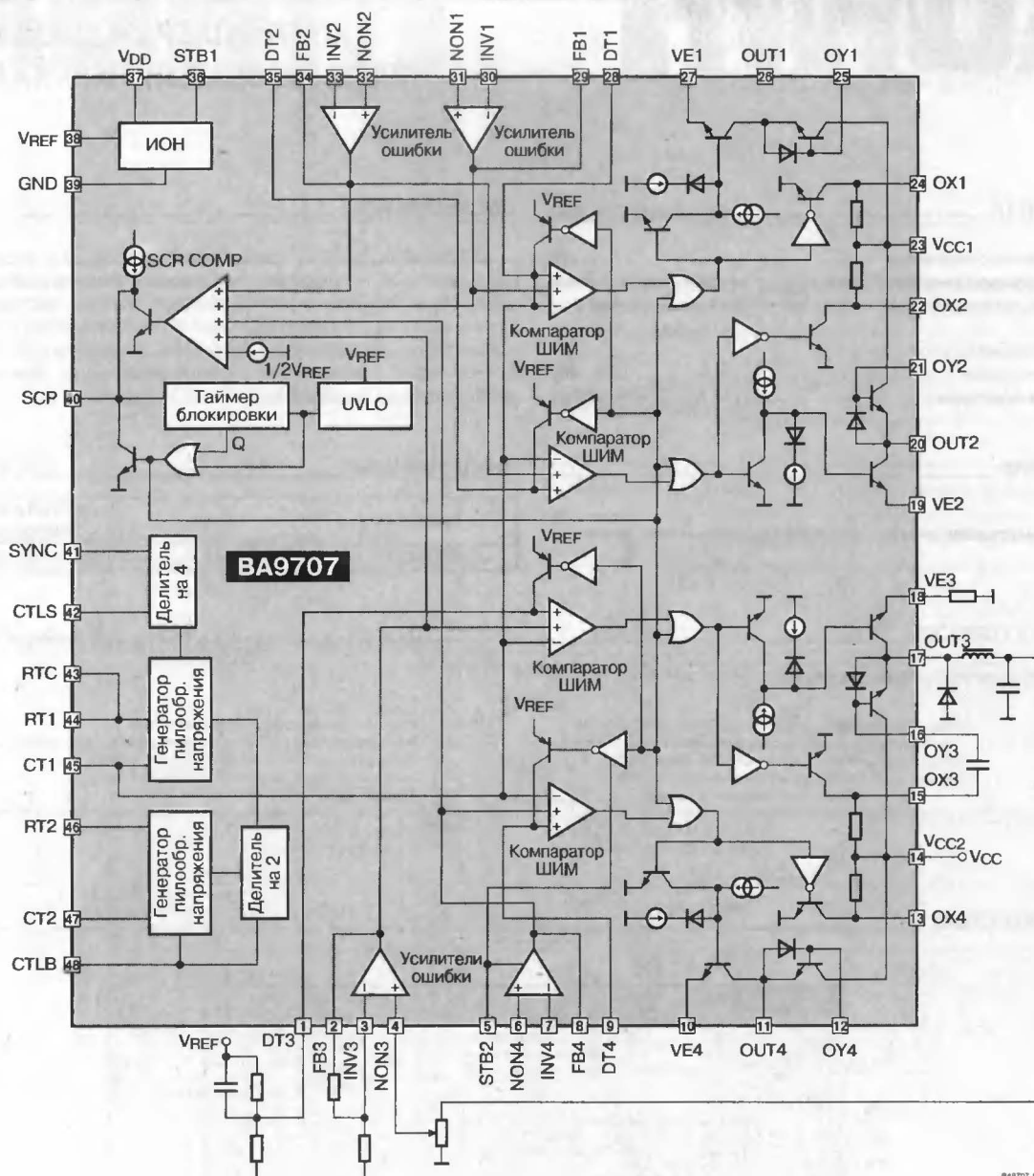
Корпус типа VQFP-48



## НАЗНАЧЕНИЕ ВЫВОДОВ

Вывод	Символ	Описание
1, 9, 28, 35	DT	Установка максимальной длительности паузы импульсы ШИМ. Для плавного запуска между этим выводом и выводом опорного напряжения подключается конденсатор плавного запуска
2, 8, 29, 34	FB	Выход усилителя ошибки
3, 7, 30, 33	INV	Инвертирующий вход усилителя ошибки
4, 6, 31, 32	NON	Неинвертирующий вход усилителя ошибки
5	STB2	Блокировка 4-го канала. Канал работает при высоком уровне напряжения, при этом вывод STB1 должен иметь низкий уровень
10, 18, 19, 27	VE	Вывод установки выходного тока: ток устанавливается резистором, подключаемым между этим выводом и землей
11, 17, 20, 26	OUT	Выход канала
12, 16, 21, 25	OY	Выводы отсеки: для выключения выходного каскада между выводами OX и OY подключается конденсатор
13, 15, 22, 24	OX	
14, 23	VCC	Вход питания выходных каскадов
36	STB1	Блокировка всех каналов. При высоком уровне напряжения на этом выводе прекращается работа всех каналов и источника опорного напряжения
37	V <sub>DD</sub>	Напряжение питания
38	V <sub>REF</sub>	Опорное напряжение
39	GND	Общий вывод, земля
40	SCP	Установка времени задержки срабатывания при перегрузке. Время устанавливается конденсатором, подключаемым между этим выводом и землей
41	SYNC	Вход внешней синхронизации треугольного напряжения. Синхронизация производится по 4-й субгармонике импульсов, подводимых к этому выводу через конденсатор
42	CTLS	Вход управления внешней синхронизации. низкий уровень напряжения блокирует внешнюю синхронизацию
43	RTC	Конденсатор источника тока генератора треугольного напряжения
44	RT1	Вывод подключения резистора установки частоты генератора треугольного напряжения
45	CT1	Вывод подключения конденсатора установки частоты генератора треугольного напряжения
46	RT2	Вывод подключения резистора, которым устанавливается частота генератора треугольного напряжения для двигателей
47	CT2	Вывод подключения конденсатора, которым устанавливается частота генератора треугольного напряжения для двигателей
48	CTLB	Вывод управления генератором треугольного напряжения для двигателей. Блокировка производится низким уровнем напряжения

## СТРУКТУРНАЯ СХЕМА И СХЕМА ВКЛЮЧЕНИЯ



На схеме показано подключение внешних компонентов только к каналу 3  
 UVLO — блокировка при пониженном напряжении питания

BA9707\_D

## КОНТРОЛЛЕР 2-КАНАЛЬНОГО ПРЕОБРАЗОВАТЕЛЯ НАПРЯЖЕНИЯ

### ОСОБЕННОСТИ

- ♦ Точность опорного напряжения  $\pm 1\%$
- ♦ Защита от короткого замыкания, блокировка при снижении напряжения питания
- ♦ Таймер-защелка возврата в рабочий режим при срабатывании блокировки и защиты
- ♦ ШИМ с постоянной частотой
- ♦ Входное напряжение  $3.6...35\text{ В}$
- ♦ Частота преобразования  $10...800\text{ кГц}$

### ПРИМЕНЕНИЕ

- ♦ Преобразователь напряжения для питания ВМ и портативных компьютеров

### ОБЩЕЕ ОПИСАНИЕ

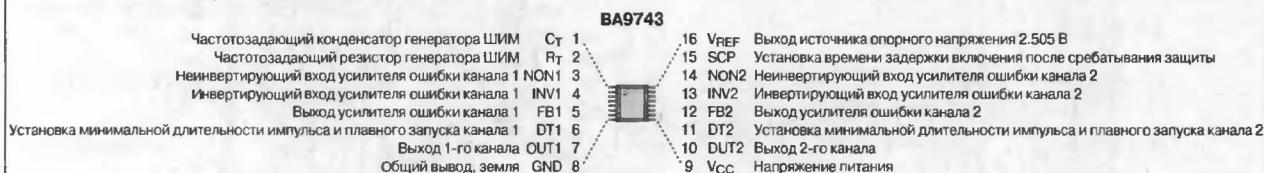
Микросхема BA9743 представляет собой два импульсных стабилизатора напряжения, работающих синфазно от общего генератора пилообразного напряжения. Каналы выполнены по одинаковой схеме и имеют на выходе  $p-p$ -транзистор с открытым коллектором, что позволяет применять данные микросхемы как контроллеры понижающих, инвертирующих и повышающих стабилизаторов напряжения.

### ТИПОНОМИНАЛЫ

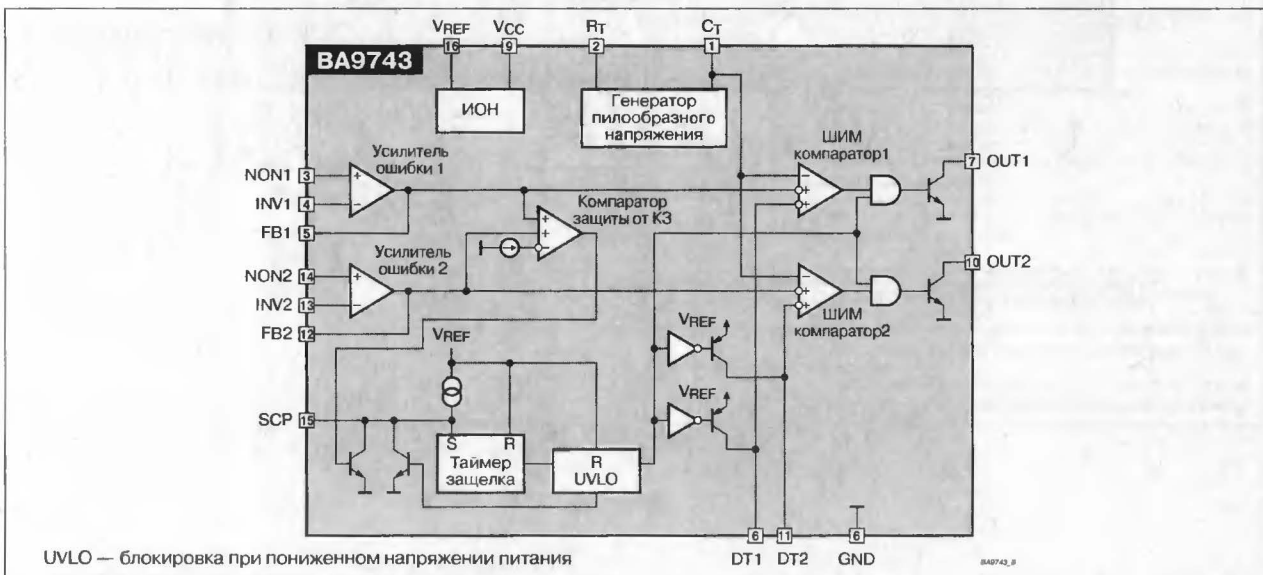
Типономинал	Корпус	Рабочий диапазон температур, °C
BA97043AVF	SSOP-B16	-40...+85

### ЦОКОЛЕВКА КОРПУСОВ

Пластмассовый корпус типа SSOP-B16



### СТРУКТУРНАЯ СХЕМА





### ПОНИЖАЮЩИЙ ИМПУЛЬСНЫЙ СТАБИЛИЗАТОР НАПЯЖЕНИЯ

#### ОСОБЕННОСТИ

- Выходное напряжение ..... 5...40 В
- Выходной ток ..... 1.5 А
- Защита от перегрева
- Таймер-защелка возврата в рабочий режим при срабатывании блокировки и защиты
- Защита от короткого замыкания, блокировка при снижении напряжения питания

#### ОБЩЕЕ ОПИСАНИЕ

Микросхема BA9771 представляет собой понижающий импульсный стабилизатор напряжения общего применения. Прибор выпускается в удобном 5-выводном корпусе.

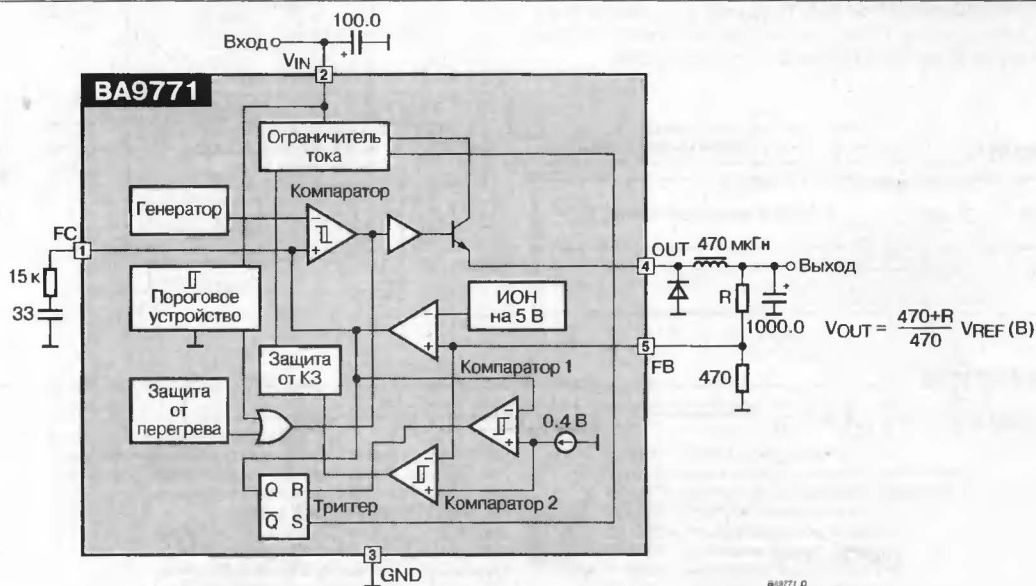
#### ТИПОНОМИНАЛЫ

#### ПРИМЕНЕНИЕ

- Преобразователь напряжения для питания принтеров
- Преобразователь напряжения для питания автомобильной радиоаппаратуры

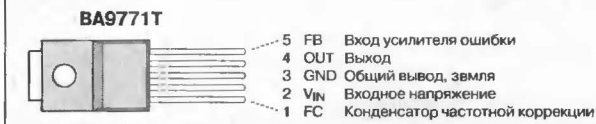
Типономинал	Корпус	Рабочий диапазон температур, °C
BA9771T	TO220FP-5	-30...+85

#### СТРУКТУРНАЯ СХЕМА И ТИПОВАЯ СХЕМА ВКЛЮЧЕНИЯ



#### ЦОКОЛЕВКА КОРПУСОВ

Корпус типа TO220FP-5 (HSIP-5)  
Корпус типа TO220FP-5(V5) (HZIP-5)



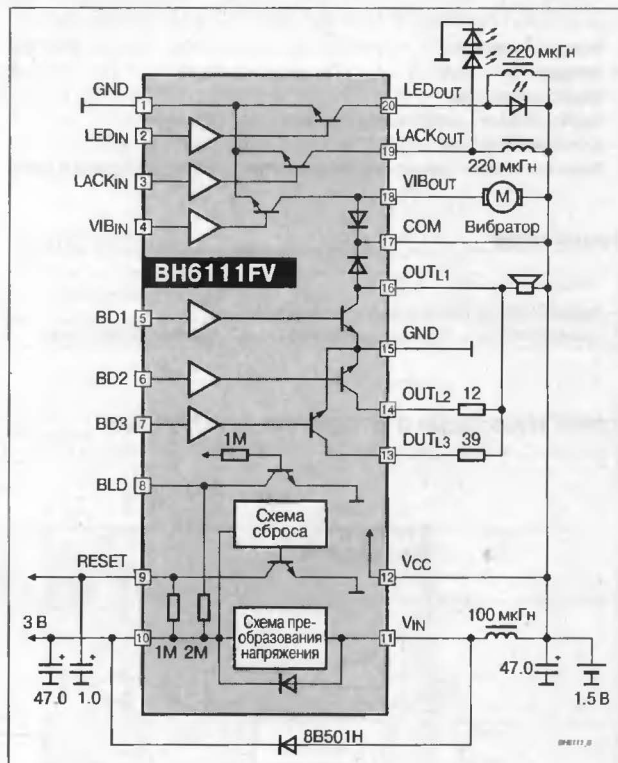
### СТРУКТУРНАЯ СХЕМА И ТИПОВАЯ СХЕМА ВКЛЮЧЕНИЯ

## ПРИМЕНЕНИЕ

## ОБЩЕЕ ОПИСАНИЕ

## ТИПОНОМИНАЛЫ

Типономинал	Корпус	Рабочий диапазон температур, °C
ВН6111FV	SSOP-B20	-15...+60



## ЦОКОЛЕВКА КОРПУСОВ

### Пластмассовый корпус типа SSOP-B20

**BH6111FV**

Общий вывод, земля	GND	1	20	LED <sub>OUT</sub>	Вывод подключения светодиода индикации
Включение светодиода индикации	LED <sub>IN</sub>	2	19	LIC <sub>OUT</sub>	Вывод подключения светодиода подсветки
Включение светодиода подсветки	LAC <sub>IN</sub>	3	18	VIB <sub>OUT</sub>	Вывод подключения вибратора
Включение вибратора	VIB <sub>IN</sub>	4	17	COM	Общий вывод диодов
1-й ключ громкоговорителя	BD1	5	16	OUT <sub>L1</sub>	1-й выход на громкоговоритель
2-й ключ громкоговорителя	BD2	6	15	GND	Общий вывод, земля
3-й ключ громкоговорителя	BD3	7	14	OUT <sub>L2</sub>	2-й выход на громкоговоритель
Индикатор разряда батареи	BLD	8	13	OUT <sub>L3</sub>	3-й выход на громкоговоритель
Сброс	RESET	9	12	V <sub>CC</sub>	Напряжение питания
Выход преобразователя напряжения	V <sub>OUT</sub>	10	11	V <sub>IN</sub>	Вход преобразователя напряжения

## ГИБРИДНЫЕ БЕСТРАНСФОРМАТОРНЫЕ АС/DC-ПРЕОБРАЗОВАТЕЛИ

### ОСОБЕННОСТИ

- Отсутствие трансформатора
- Малый вес и размеры
- Широкий диапазон входных напряжений

### ПРИМЕНЕНИЕ

- Промышленное оборудование
- Светоаые указатели
- Домашняя электроника

### МОДУЛИ С ВХОДНЫМ НАПРЯЖЕНИЕМ 160...253 В (АС) (226...358 В (DC))

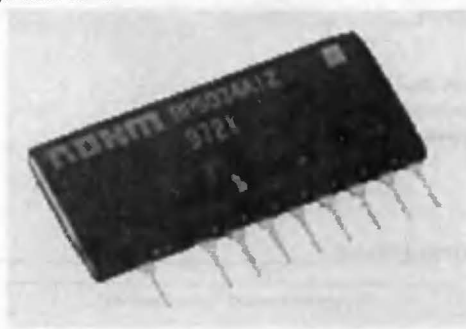
Прибор	Выходное напряжение, В	Выходной ток, мА	Корпус	Размеры, мм
BP5040	+5	100	SIP-14	42 x 20 x 9
BP5041A5	+5	100	SIP-10	33 x 19 x 11
BP5041	+12	100	SIP-14	42 x 20 x 9
BP5041A	+12	100	SIP-10	33 x 19 x 11
BP5048	+12	200	SIP-12	35 x 20 x 9
BP5041A15	+15	80	SIP-10	33 x 19 x 11
BP5046	-5	200	SIP-12	35 x 20 x 9
BP5046-5	-12	200	SIP-12	35 x 20 x 9

### МОДУЛИ С ВХОДНЫМ НАПРЯЖЕНИЕМ 80...120 В (АС) (113...170 В (DC))

Прибор	Выходное напряжение, В	Выходной ток, мА	Корпус	Размеры, мм
BP5038-5	5	30	SIP-6	18 x 16 x 9
BP5034A5	5	100	SIP-10	30 x 16 x 10
BP5063-5	5	200	SIP-10	28 x 17 x 9
BP5038	12	30	SIP-6	18 x 16 x 9
BP5034A12	12	100	SIP-10	30 x 16 x 10
BP5063	12	200	SIP-10	28 x 17 x 9
BP5039-12	12	300	SIP-12	35 x 20 x 9
BP5034A15	15	80	SIP-10	30 x 16 x 10
BP5039-15	15	200	SIP-12	35 x 20 x 9
BP5034B20	20	70	SIP-10	30 x 16 x 10
BP5034A24	24	50	SIP-10	30 x 16 x 10
BP5039A	24	200	SIP-12	35 x 20 x 9
BP5064*	12	200	SIP-10	28 x 17 x 9
BP5080	5	20	SIP10	30 x 18 x 10
	12	80		
BP5061-5	-5	350	SIP-12	35 x 20 x 9
BP5062-5	-5	500	SIP-12	35 x 22 x 9
BP5065	-12	80	SIP-9	26 x 15 x 6
BP5035	-12	200	SIP-10	28 x 17 x 9
BP5061	-12	300	SIP-12	35 x 20 x 9
BP5062	-12	500	SIP12	35 x 22 x 9

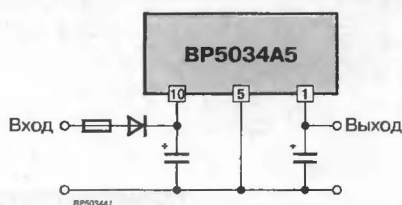
Примечание. \* BP5064 имеет выключаемый выход

Корпус типа SIP-9

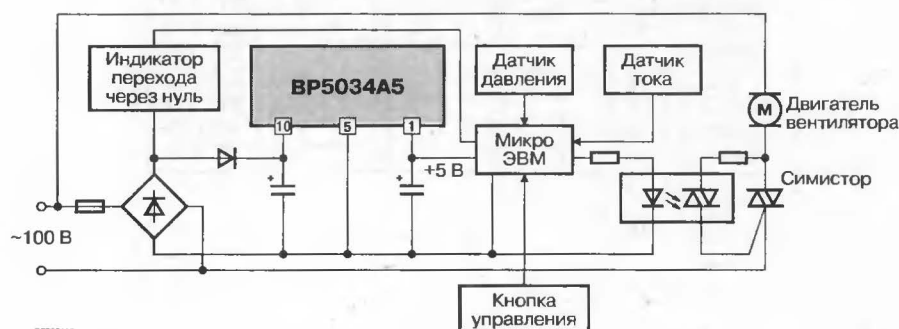


### СХЕМЫ ПРИМЕНЕНИЯ

Типовая схема применения



Источник питания схемы управления пылесосом



### ГИБРИДНЫЕ DC/DC-ПРЕОБРАЗОВАТЕЛИ С ВЫСОКИМ КПД

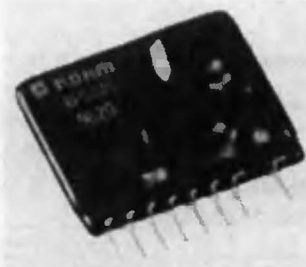
#### ОСОБЕННОСТИ

- Коэффициент полезного действия ..... 85...90%
- Ключ преобразователя напряжения установлен внутри модуля
- Широкий диапазон входных напряжений
- Малые размеры
- Универсальность

#### ПРИМЕНЕНИЕ

- Конторское оборудование
- Источники питания
- Измерительный инструмент

Корпус типа SIP-9



#### СХЕМЫ ПРИМЕНЕНИЯ

Типовая схема применения

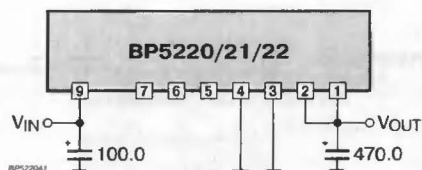
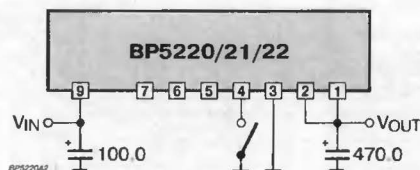


Схема применения с выключением выходного напряжения



#### ПАРАМЕТРЫ ПРЕОБРАЗОВАТЕЛЕЙ

Прибор	Входное напряжение, В	Выходное напряжение, В	Выходной ток, А	Корпус	Размеры, мм
BP5220	8...38	5	1	SIP-9	28 x 19.5 x 12
BP5220X	8...38	5	1	SIP-9L	28 x 21.5 x 12
BP5221	8...38	5	0.5	SIP-9	28 x 19.5 x 12
BP5221X	8...38	5	0.5	SIP-9L	28 x 21.5 x 12
BP5222	15...38	12	0.5	SIP-9	28 x 19.5 x 12
BP5222X	15...38	12	0.5	SIP-9L	28 x 21.5 x 12
BP51L05	8...20	-5	0.1	SIP-9	30 x 29 x 13
BP51L12	8...20	-12	0.1	SIP-9	30 x 29 x 13

#### ОСОБЕННОСТИ

- Высокая эффективность: коэффициент полезного действия BP5313 ..... 83%
- Рекомендуются для применения в персональных компьютерах с дисплеем на ЖКИ
- Корпус для печатного монтажа
- Перестраиваемое выходное напряжение
- Вход включения

#### ПРИМЕНЕНИЕ

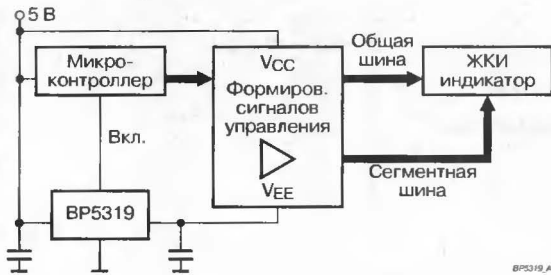
- Черно-белый дисплей факса
- Цветной дисплей компьютера и факса
- Устанавливаемый в слот источник питания (BP5310/20)

Корпус типа SIP-9



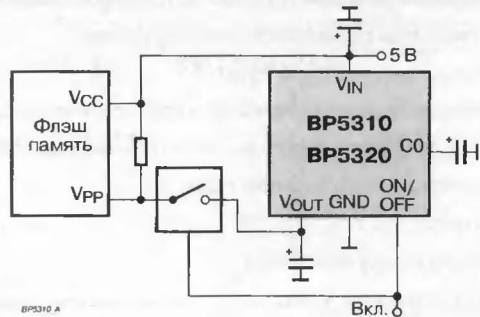
#### СХЕМЫ ВКЛЮЧЕНИЯ

Источник напряжения, управляемый микроконтроллером



BP5319\_A

Источник напряжения для программирования флэш-памяти



BP5310\_A

#### ПАРАМЕТРЫ ПРЕОБРАЗОВАТЕЛЕЙ

Прибор	Входное напряжение, В	Выходное напряжение, В	Выходной ток, мА	Корпус	Размеры, мм
BP5302	5...14	-24	30	SIP-9	26 x 15 x 6
BP5302F	5...14	-24	30	SIP-9L	26 x 15 x 6
BP5319	4.5...5.5	-24	25	SIP-9	24.5 x 15.5 x 6
BP5319X	4.5...5.5	-24	25	SIP-9L	24.5 x 15.5 x 6
BP5311	4.5...5.5	+30	25	SIP-9	26 x 15 x 6
BP5311X	4.5...5.5	+30	25	SIP-9L	26 x 15.5 x 6
BP5313	11.4...12.6	+40	60	SIP-11	30 x 12 x 6
BP5317	4.5...5.5	+30	30	SMD	31 x 9 x 4.5
BP5310	4.75...5.25	+12	120	SIP-9	26 x 16 x 6
BP5320	4.75...5.25	+12	170	SMD	26 x 16 x 6



**Микросхемы для импульсных источников питания фирмы SanKen:**

Контроллеры сетевых источников питания .....	505	
Импульсные стабилизаторы .....	505	
Комбинированные (2 прибора в корпусе) импульсные стабилизаторы .....	506	
Импульсные стабилизаторы со встроенным дросселем/трансформатором .....	506	
Многоканальные стабилизаторы .....	506	
Корпуса .....	507	
Типовые схемы включения .....	509	
<b>SI-8033/50/90/8120/50</b> .....	Мощные компактные импульсные стабилизаторы .....	511
<b>STR-F6624-76</b> .....	Сетевые стабилизаторы напряжения с полевым ключевым транзистором .....	512
<b>STR-S5703-5708/6703-6709</b> .....	Сетевые стабилизаторы напряжения с биполярным ключевым транзистором .....	513



## МИКРОСХЕМЫ ДЛЯ ИМПУЛЬСНЫХ ИСТОЧНИКОВ ПИТАНИЯ ФИРМЫ SANKEN

## КОНТРОЛЛЕРЫ СЕТЕВЫХ ИСТОЧНИКОВ ПИТАНИЯ

Прибор	Применение (тип преобразователя)	Входное напряжение, В	Максимальная выходная мощность, Вт	Ключевой транзистор		
				Напряжение, В	Максимальный ток, А	Тип
STR-S5703	Квазирезонансный обратногоходовой	110/120	140	500	6	Биполярный
STR-S5707	Квазирезонансный обратногоходовой	85...265	90	850	6	Биполярный
		220/240	140			
STR-S5708	Квазирезонансный обратногоходовой	85...265	120	850	7.5	Биполярный
		220/240	180			
STR-F6624	Квазирезонансный обратногоходовой	100/120	130	450	0.92 Вт	МОП
STR-F6626	Квазирезонансный обратногоходовой	100/120	190	450	0.58 Вт	МОП
STR-F6628	Квазирезонансный обратногоходовой	100/120	290	450	0.35 Вт	МОП
STR-F6652	Квазирезонансный обратногоходовой	85...265	86	650	2.8 Вт	МОП
STR-F6653	Квазирезонансный обратногоходовой	85...265	120	650	1.95 Вт	МОП
STR-F6654	Квазирезонансный обратногоходовой	85...265	190	650	1.15 Вт	МОП
STR-F6656	Квазирезонансный обратногоходовой	85...265	300	650	0.71 Вт	МОП
STR-F6672	Квазирезонансный обратногоходовой	200/220	50	900	7.7 Вт	МОП
STR-F6674	Квазирезонансный обратногоходовой	85...265	76	900	4.49 Вт	МОП
STR-F6676	Квазирезонансный обратногоходовой	85...265	115	900	2.81 Вт	МОП
STR-S6703	Квазирезонансный обратногоходовой	110/120	140	500	6	Биполярный
STR-S6704	Квазирезонансный обратногоходовой	110/120	100	500	5	Биполярный
		85...265	90			
STR-S6707	Квазирезонансный обратногоходовой	220/240	140	850	6	Биполярный
		85...265	120			
STR-S6708	Квазирезонансный обратногоходовой	220/240	180	850	7.5	Биполярный
		85...265	160			
STR-S6709	Квазирезонансный обратногоходовой	220/240	220	850	10	Биполярный
		85...265	160			

## ИМПУЛЬСНЫЕ СТАБИЛИЗАТОРЫ

Прибор	Входное напряжение, В	Выходной ток, А	Рабочая температура, °С	Выходное напряжение, В	КПД, %	Рабочая частота, кГц	Корпус	Особенности
ВНЕШНЕЕ ВОЗБУЖДЕНИЕ, ПОВЕРХНОСТНЫЙ МОНТАЖ								
SAI01	7...33	0...0.5	-30...+125	5.0 ±0.20	80	60	1	Защита от перегрузки по току и перегрева
SAI02	5.3...33	0...0.5	-30...+125	3.3 ±0.13	75	60		
SAI03	15...33	0...0.4	-30...+125	12.0 ±0.60	88	60		
SAI04	18...33	0...0.4	-30...+125	15.0 ±0.75	89	60		
SAI06	12...33	0...0.4	-30...+125	9.0 ±0.45	86	60		
ВНЕШНЕЕ ВОЗБУЖДЕНИЕ								
SI-8033S	5.3...28	0...3.0	-30...+125	3.3 ±0.13	79	60	2	Защита от перегрузки по току, защита от перегрева, мягкий запуск, управление выходом ВКЛ/ВЫКЛ
SI-8050S	7...40	0...3.0	-30...+125	5.0 ±0.20	84	60		
SI-8090S	12...40	0...3.0	-30...+125	9.0 ±0.45	88	60		
SI-8120S	15...40	0...3.0	-30...+125	12.0 ±0.50	90	60		
SI-8150S	18...40	0...3.0	-30...+125	15.0 ±0.75	91	60		
САМОВОЗБУЖДЕНИЕ								
STR2005	11...40	0...2.0	-20...+100	5.1 ±0.1	72	25	3	Изменяемое выходное напряжение
STR2012	18...45	0...2.0	-20...+100	12.0 ±0.2	85	25		
STR2013	19...45	0...2.0	-20...+100	13.0 ±0.2	85	25		
STR2015	21...45	0...2.0	-20...+100	15.0 ±0.2	85	25		
STR2024	30...50	0...2.0	-20...+100	24.0 ±0.3	85	25		
STR20005	8...40	0...2.0	-20...+100	5.1 ±0.1	72	30	4	

## КОМБИНИРОВАННЫЕ (2 ПРИБОРА В КОРПУСЕ) ИМПУЛЬСНЫЕ СТАБИЛИЗАТОРЫ

Прибор	Входное напряжение, В	Выходной ток, А	Рабочая температура, °C	Выходное напряжение, В	КПД, %	Рабочая частота, кГц	Корпус	Особенности
STR7001 — SI-8020	11...40	5.1 ± 0.1	-30...+125	0...6.0	72	35	3	Изменяемое выходное напряжение, защита от перегрузки по току, управление выходом ВКЛ/ВЫКЛ
			-20...+85				5	
STR7002 — SI-8021	18...50	12.0 ± 0.2	-30...+125	0...6.0	84	35	3	
			-20...+85				5	
STR7002 — SI-8022	21...50	15.0 ± 0.2	-30...+125	0...6.0	86	35	3	
			-20...+85				5	
STR7003 — SI-8023	30...50	24.0 ± 0.3	-30...+125	0...6.0	90	35	3	
			-20...+85				5	
STR7101 — SI-8020	11...40	5.1 ± 0.1	-30...+125	0...12.0	70	35	3	
			-20...+85				5	
STR7102 — SI-8021	18...50	12.0 ± 0.2	-30...+125	0...12.0	82	35	3	
			-20...+85				5	
STR7102 — SI-8022	21...50	15.0 ± 0.2	-30...+125	0...12.0	84	35	3	
			-20...+85				5	
STR7103 — SI-8023	30...50	24.0 ± 0.3	-30...+125	0...12.0	87	35	3	
			-20...+85				5	

## ИМПУЛЬСНЫЕ СТАБИЛИЗАТОРЫ СО ВСТРОЕННЫМ ДРОССЕЛЕМ/ТРАНСФОРМАТОРОМ

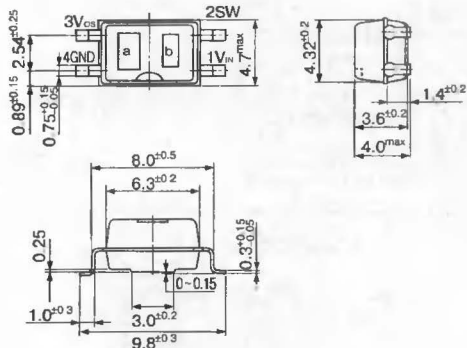
Прибор	Входное напряжение, В	Выходной ток, А	Рабочая температура, °C	Выходное напряжение, В	КПД, %	Рабочая частота, кГц	Корпус	Особенности
SI-8201L	10...40	0...0.4	-10...+65	5.0 ± 0.10	73	25 (min)	6	—
SI-8202L	11...40	0...0.35	-10...+65	6.0 ± 0.10	74	25 (min)	6	
SI-8203L	16...40	0...0.35	-10...+65	12.0 ± 0.20	79	25 (min)	6	
SI-8204L	10...40	0...0.4	-10...+65	5.2 ± 0.10	73	25 (min)	6	
SI-8221L	8...35	0...0.4	-10...+65	5.0 ± 0.15	80	25 (min)	7	
SI-8211L	15...55	0...0.3	-10...+65	5.0 ± 0.10	63	25 (min)	8	
SI-8213L	22...55	0...0.28	-10...+65	12.0 ± 0.20	78	25 (min)	8	
SI-8301L	8...40	0...1.0	-20...+85	5.1 ± 0.10	73	25 (typ)	9	
SI-8303L	8.5...40	0...1.0	-20...+85	5.4 ± 0.10	73	25 (typ)	9	
SI-8811L	12...30	0.05...0.45	-10...+70	5.0 ± 0.25	72	50 (typ)	10	Два выхода, защита от перегрузки по току
		0...0.05		-5.0 ± 0.25	72	50 (typ)	10	
SI-8911L	24...55	0.02...0.3	-10...+60	5.0 ± 0.25	65	68 (typ)	10	Защита от перегрузки по току
		0...0.1		-5.0 ± 0.25	65	68 (typ)	10	
SI-8921L	24...50	0...0.6	-10...+65	5.1 + 0.1/-0.15	72	68 (typ)	10	Защита от перегрузки по току
SI-8922L	20...50	0...0.6	-10...+65	5.1 + 0.1/-0.15	72	68 (typ)	10	
SI-8401L	7...33	0...0.5	-20...+85	5.0 ± 0.20	80	60 (typ)	7	Защита от перегрузки по току, защита от перегрева
SI-8402L	15...33	0...0.4	-20...+85	12.0 ± 0.60	88	60 (typ)	7	
SI-8403L	5.3...33	0...0.5	-20...+85	3.3 ± 0.13	75	60 (typ)	7	
SI-8405L	18...33	0...0.4	-20...+85	15.0 ± 0.75	89	60 (typ)	7	
SI-8406L	10...33	0...0.4	-20...+85	8.0 ± 0.40	85	60 (typ)	7	Защита от перегрузки по току, защита от перегрева, мягкий запуск
SI-8501L	7...33	0...1.0	-20...+85	5.0 ± 0.20	83	60 (typ)	9	
SI-8502L	15...33	0...1.0	-20...+85	12.0 ± 0.60	89	60 (typ)	9	
SI-8503L	5.3...33	0...1.0	-20...+85	3.3 ± 0.13	79	60 (typ)	9	
SI-8504L	12...33	0...1.0	-20...+85	9.0 ± 0.45	87	60 (typ)	9	
SI-8505L	18...33	0...1.0	-20...+85	15.0 ± 0.75	90	60 (typ)	9	

## МНОГОКАНАЛЬНЫЕ СТАБИЛИЗАТОРЫ

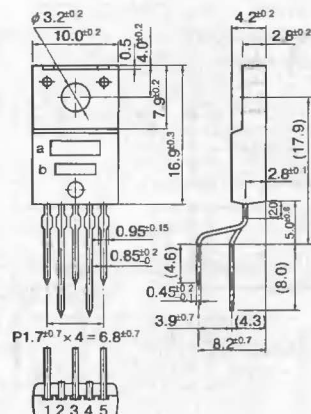
Прибор	Канал	Входное напряжение, В	Выходной ток, А	Рабочая температура, °C	Выходное напряжение, В	Минимальное падение напряжения вход-выход, В	КПД, %	Тип	Корпус	Особенности
SLA3002M	1	7.0...33	0.5	-30...+85	5.0 ± 0.25	3.0	80	Импульсный	11	Защита от перегрузки по току и перегрева
	2	17...30	1.0	-30...+85	15.7 ± 0.78	1.0	—	Линейный		Регулируемое выходное напряжение (вверх), управление выходом ВКЛ/ВЫКЛ, защита от перегрузки по току, напряжению, температуре
	3	12...33	0.4	-30...+85	9.0 ± 0.45	3.0	85	Импульсный		Защита от перегрузки по току и перегрева
SLA3004M	1	7.0...33	0.5	-30...+85	5.0 ± 0.25	3.0	80	Импульсный	11	Защита от перегрузки по току и перегрева
	3	12...33	0.4	-30...+85	9.0 ± 0.36	3.0	85			

КОРПУСА

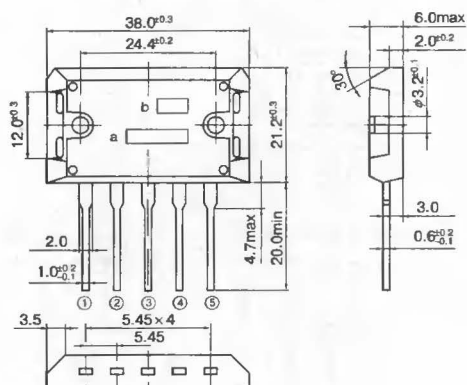
Корпус № 1



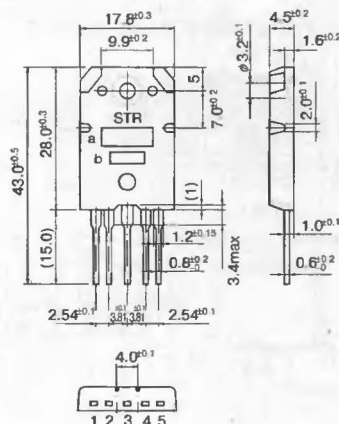
Корпус № 2



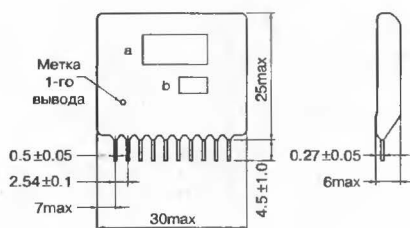
Корпус № 3



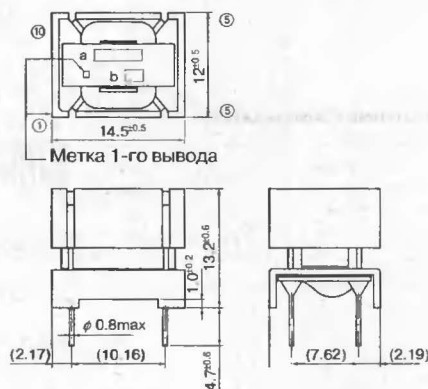
Корпус № 4



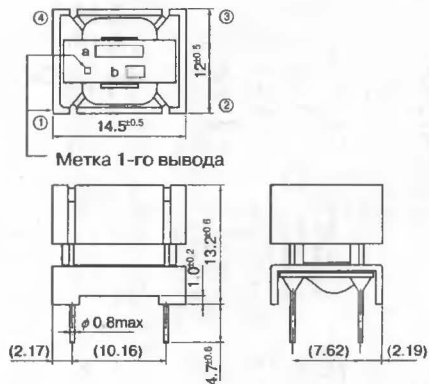
Корпус № 5



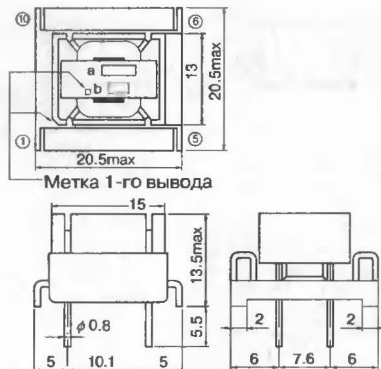
Корпус № 6



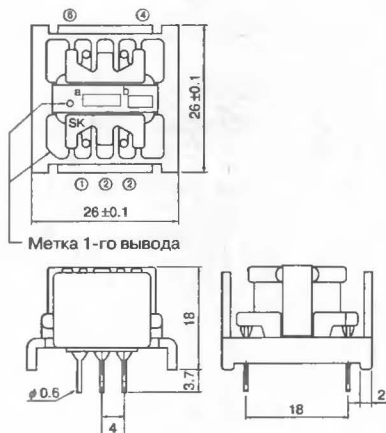
Корпус № 7



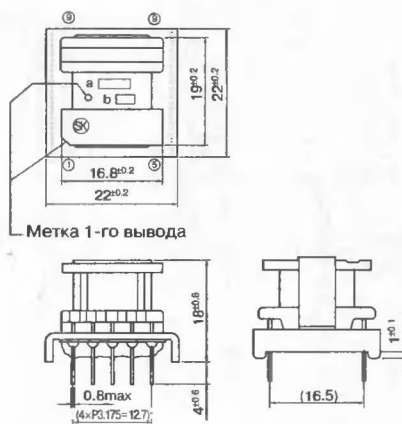
Корпус № 8



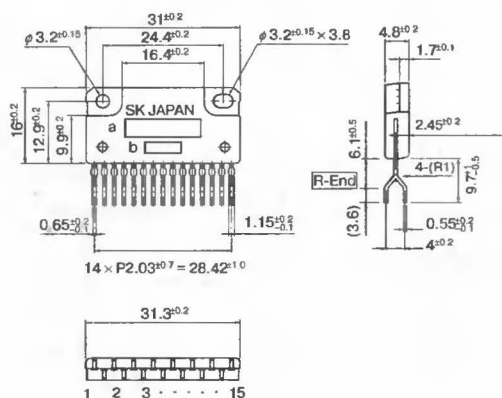
Корпус № 9



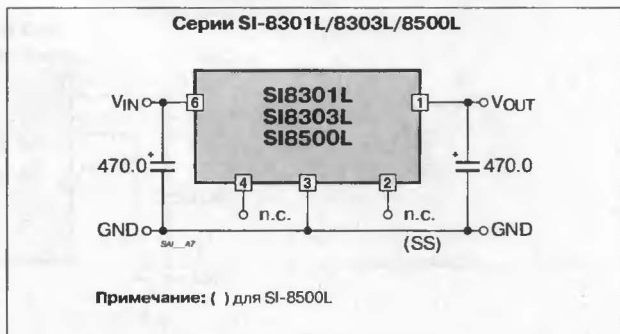
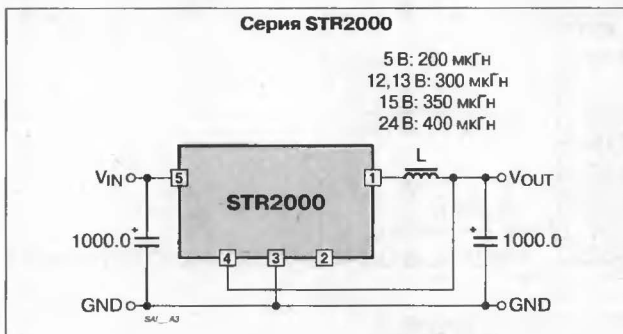
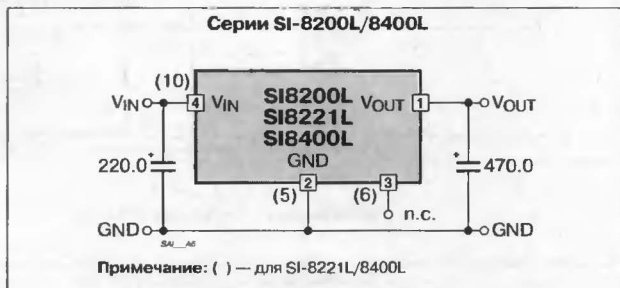
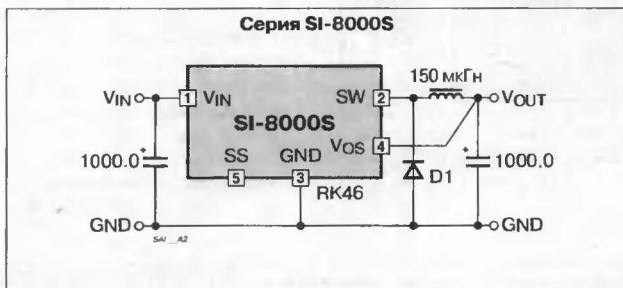
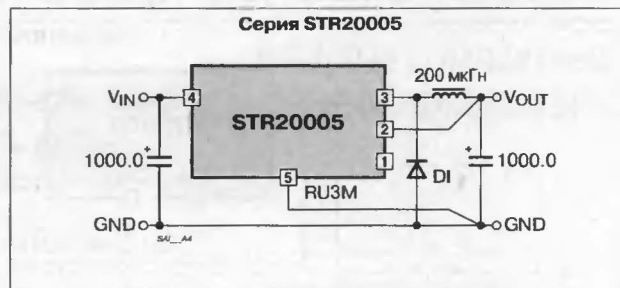
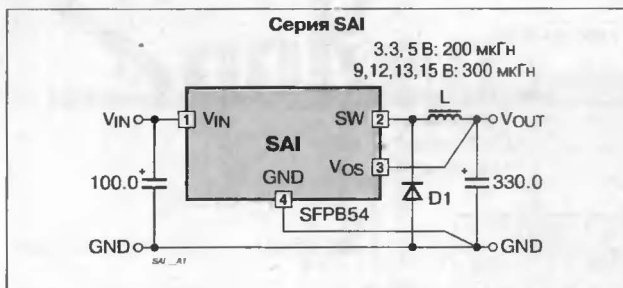
Корпус № 10



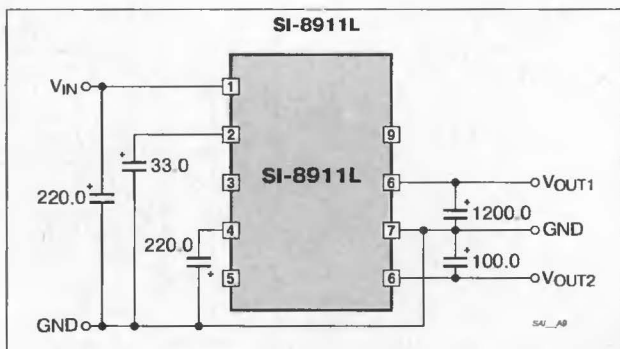
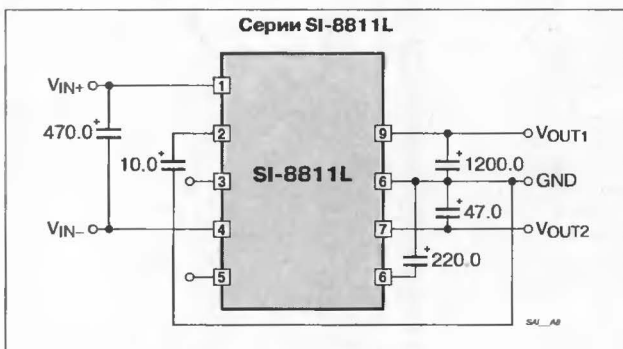
Корпус № 11

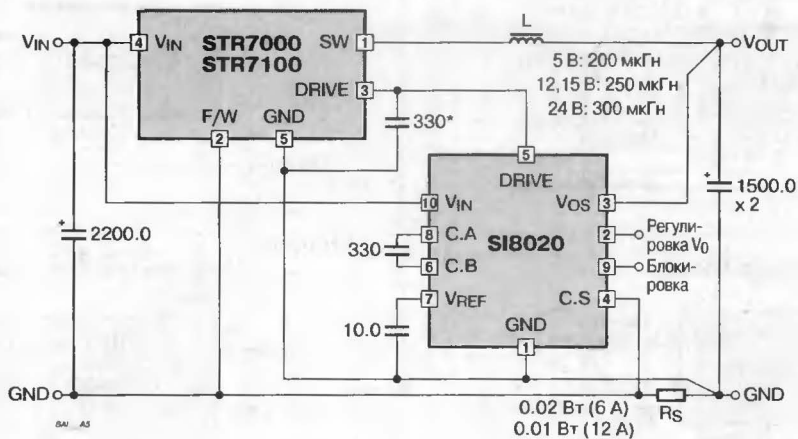


## ТИПОВЫЕ СХЕМЫ ВКЛЮЧЕНИЯ

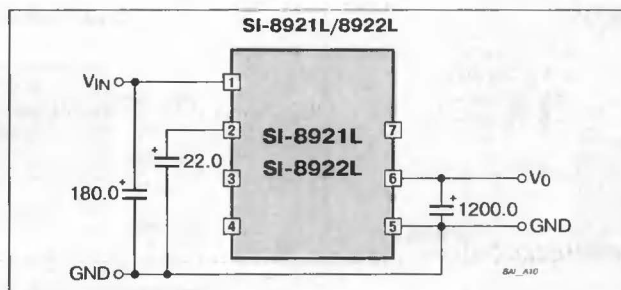


## ТИПОВЫЕ СХЕМЫ ВКЛЮЧЕНИЯ





**Примечание:** (\* — только для STR7100)





#### ОСОБЕННОСТИ

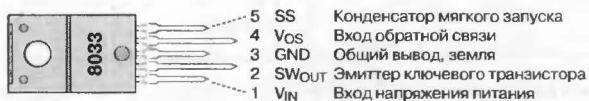
- Выходной ток ..... до 3 А
- Компактный корпус, похожий на TO-220
- Требуется только 4 внешних компонента
- Внутренний делитель обратной связи по напряжению с частотной коррекцией
- Максимальное входное напряжение ..... 43 В
- SI-8033S ..... 35 В
- Генератор ..... 60 кГц
- Встроенная защита от перегрузки по току и перегрева
- Мягкий запуск

#### ТИПОНОМИНАЛЫ

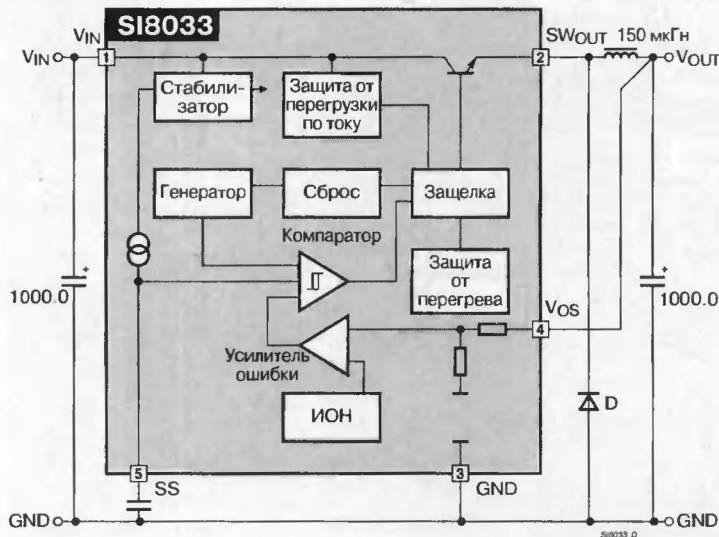
Типономинал	Параметры при $I_O = 1 \text{ A}$	
	$V_O, \text{ В}$	КПД, %
SI8033S	3.3	79
SI8050S	5.0	84
SI8090S	9.0	88
SI8120S	12.0	90
SI8150S	15.0	91

#### ЦОКОЛЕВКА КОРПУСОВ

Корпус типа TO-220-5



#### СТРУКТУРНАЯ СХЕМА И ТИПОВАЯ СХЕМА ВКЛЮЧЕНИЯ



## СЕТЕВЫЕ СТАБИЛИЗАТОРЫ НАПЯЖЕНИЯ С ПОЛЕВЫМ КЛЮЧЕВЫМ ТРАНЗИСТОРОМ

### ОСОБЕННОСТИ

- Квазирезонансный режим работы для снижения ЭМИ и повышения КПД
- Дежурный режим с малым энергопотреблением и пониженной частотой
- Обратная связь непосредственно с выхода
- Полная защита от перегрузки по току (без маскирования переднего фронта импульса тока)
- Защита от перенапряжения
- Низкий ток запуска ..... < 400 мкА
- Встроенные МОП-транзисторы с защитой от лавинного пробоя
- Внутренняя блокировка с гистерезисом при пониженном напряжении питания
- 5-выводной корпус типа SIP

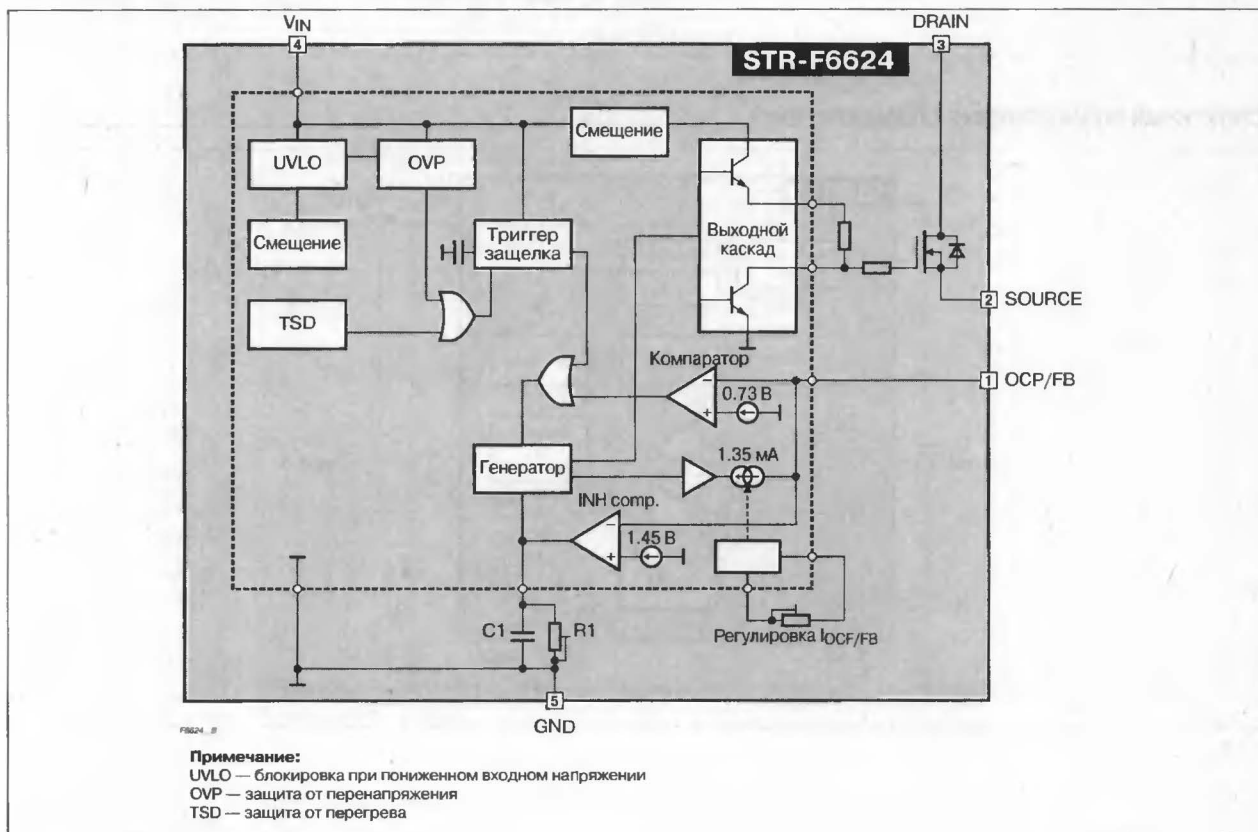
### НАЗНАЧЕНИЕ ВЫВОДОВ

Вывод	Символ	Описание
1	OCP/FB	Вход обратной связи, защита от перегрузки по току
2	SOURCE	Исток ключевого транзистора
3	DRAIN	Сток ключевого транзистора
4	V <sub>IN</sub>	Вход напряжения питания
5	GND	Общий вывод, земля

### ТИПОНОМИНАЛЫ

Типономинал	МОП-транзистор		V <sub>IN</sub> , В	P <sub>O</sub> , Вт
	V <sub>DS</sub> , (В)	r <sub>DS(on)</sub> , Ом (max)		
STR-F6624	450	0.92	100	98
			120	130
STR-F6626	450	0.58	100	145
			120	190
STR-F6624	450	0.35	100	225
			120	290
STR-F6652	650	2.8	85...265	40
			220	86
STR-F6653	650	1.95	85...265	58
			220	120
STR-F6654	650	1.15	85...265	92
			220	190
STR-F6656	650	0.71	85...265	150
			220	300
STR-F6672	900	7.7	220	50
STR-F6674	900	4.49	85...265	28
			220	76
STR-F6676	900	2.81	85...265	44
			220	115

### СТРУКТУРНАЯ СХЕМА



## СЕТЕВЫЕ СТАБИЛИЗАТОРЫ НАПРЯЖЕНИЯ С БИПОЛЯРНЫМ КЛЮЧЕВЫМ ТРАНЗИСТОРОМ

## ОСОБЕННОСТИ

- ♦ Квазирезонансный режим работы для снижения ЭМИ и повышения КПД
- ♦ Дежурный режим с малым энергопотреблением
- ♦ Обратная связь с дополнительной обмотки трансформатора (5703, 5707, 5708)
- ♦ Поцикловая защита по току
- ♦ Блокировка при перенапряжении и перегреве
- ♦ Ключевые транзисторы третьего поколения с пропорциональным управлением
- ♦ Заводская установка максимального времени открытого и закрытого состояния ключа
- ♦ Внутренняя блокировка с гистерезисом при пониженном напряжении питания
- ♦ 9-выводной корпус типа SIP с встроенным радиатором

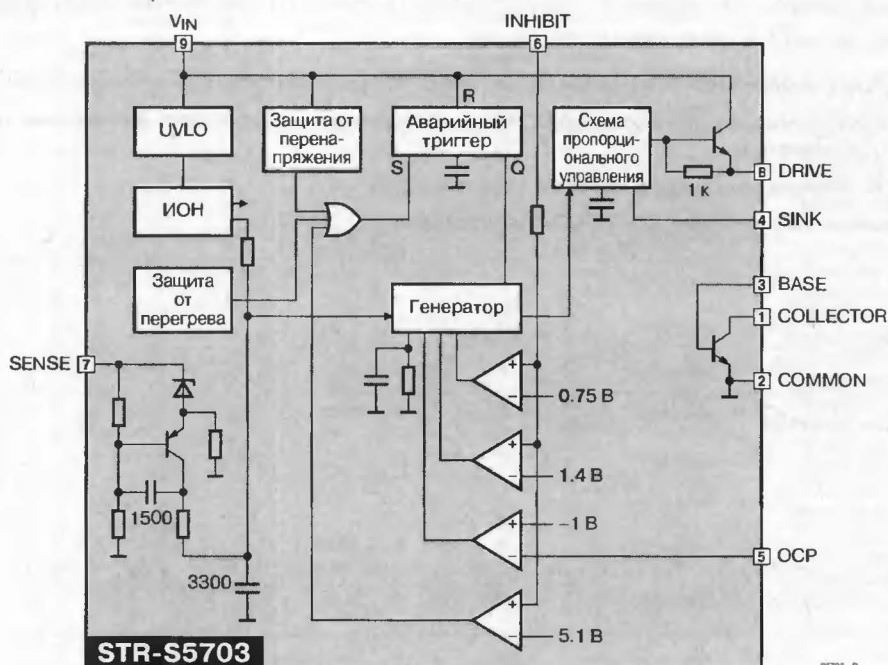
### НАЗНАЧЕНИЕ ВЫВОДОВ

Вывод	Символ	Описание
1	COLLECTOR	Коллектор ключевого транзистора
2	GND	Общий вывод, земля
3	BASE	База ключевого транзистора
4	SINK	Выход (втекающий ток) схемы управления
5	ОСР	Вход компаратора схемы защиты от перегрузки по току
6	INHIBIT	Вход блокировки генератора
7	SENSE	Вход обратной связи
8	DRIVE	Выход (вытекающий ток) схемы управления
9	$V_{IN}$	Вход напряжения питания

## ТИПОНОМИНАЛЫ

Типономинал	Выходной ток, А		Выходное напряжение, В
	Постоянный	Пиковый	
STR-S5703	6	12	500
STR-S5707	6	12	850
STR-S5708	7.5	15	850
STR-S6703	6	12	500
STR-S6704	5	10	500
STR-S6707	6	12	850
STR-S6708	7.5	15	850
STR-S6709	10	20	850

### СТРУКТУРНАЯ СХЕМА



UVLO — блокировка при пониженном входном напряжении



**Микросхемы для импульсных источников питания фирмы Semtech Corporation:**

Микросхемы для импульсных источников питания .....	515
Комбинированные (импульсный + линейный с малым падением напряжения вход-выход) стабилизаторы. ....	515
Преобразователи напряжения для батарейного питания. ....	516
<b>SC1158</b> Программируемый синхронный DC/DC-контроллер для перспективных процессоров. ....	517
<b>SC1185/1185A</b> Программируемый синхронный DC/DC-преобразователь с двумя дополнительными линейными стабилизаторами .....	518
<b>SC1628</b> DC/DC повышающий преобразователь с высоким КПД. ....	520
<b>SC1631</b> Низковольтный повышающий DC/DC-преобразователь .....	522

## МИКРОСХЕМЫ ДЛЯ ИМПУЛЬСНЫХ ИСТОЧНИКОВ ПИТАНИЯ ФИРМЫ SEMTECH CORPORATION

## МИКРОСХЕМЫ ДЛЯ ИМПУЛЬСНЫХ ИСТОЧНИКОВ ПИТАНИЯ

Прибор	Входное напряжение, В	Выходное/ опорное напряжение, В	Выходной ток, мА	Частота, кГц	Максимальный рабочий цикл, %	Применение (преобразователь)	Режим управления	Корпус	Особенности	ЦАП, бит	UVLO	OVP	Ограничение тока	PG	Дежурный режим
<b>ИСТОЧНИКИ ПИТАНИЯ С ГАЛЬВАНИЧЕСКОЙ РАЗВЯЗКОЙ</b>															
LM2575	4...40	3.3/5/12/1.23...35	1000	52	98	Пониж., повыш.		TO-220-7, TO-263-7	Защита от перегрева, дежурный режим с током 50 мкА				+		
LM2576	4...40	3.3/5/12/1.23...35	3000	52	98	Пониж., повыш.		TO-220-7, TO-263-7	Защита от перегрева, дежурный режим с током 50 мкА				+		
SC1101	0...7	-1.25 ± 1%	±500	180...220	95	Понижающий	Напряжение	SOP-8	—				+		
<b>ИСТОЧНИКИ ПИТАНИЯ БЕЗ ГАЛЬВАНИЧЕСКОЙ РАЗВЯЗКИ (КОНТРОЛЛЕРЫ ДЛЯ МАТЕРИНСКИХ ПЛАТ КОМПЬЮТЕРОВ)</b>															
SC1142	12, 5	1.3...3.5	-20...40	до 8000	75	Понижающий	Напряжение	SOP-20	Двухфазный контроллер	5	+		+		
SC1144	12, 5	1.3...3.5	-20...40	до 8000	75	Понижающий	Напряжение	SOP-24	Четырехфазный контроллер	5	+		+		
SC1150	4.2...7	2.0...3.5	±1000	180...220	95	Понижающий	Напряжение	SOP-16	—	4		+	+	+	+
SC1151	4.2...7	1.8...3.5	±1000	180...220	95	Понижающий	Напряжение	SOP-16	—	5		+	+	+	+
SC1152	4.2...7	1.8...3.5	±1000	180...220	95	Синхронный понижающий	Напряжение	SOP-20	—	5		+	+	+	+
SC1154	12	1.3...3.5	±2000 (peak)	180...220	—	Синхронный понижающий	Напряжение	SOP-28	Выбор гистерезиса, буферизованный выход ИОН	5		+	+	+	+
SC1156	4.2...15	1.8...3.5	±1000	180...220	—	Синхронный понижающий	Напряжение	SOP-20	Работа от одного источника 12 В	5		+	+	+	+
SC1157	4.5...7	1.30...2.05/1.25 ± 1.5%	±1000	125...155	95	Синхронный понижающий	Напряжение	SOP-16	—	4			+		+
SC1158	4.5...7	2.0...3.5/1.25 ± 1.5%	±1000	125...155	95	Синхронный понижающий	Напряжение	SOP-16	—	4			+		+

Примечание: UVLO — блокировка при пониженном напряжении; OVP — защита от повышенного напряжения; PG (Power good) — контроль уровня выходного напряжения

## КОМБИНИРОВАННЫЕ (ИМПУЛЬСНЫЙ + ЛИНЕЙНЫЙ С МАЛЫМ ПАДЕНИЕМ НАПРЯЖЕНИЯ ВХОД-ВЫХОД) СТАБИЛИЗАТОРЫ

Прибор	Входное напряжение, В	ЦАП, бит	Выходное (опорное напряжение), В		Выходной ток, мА	Частота, кГц	Максимальный рабочий цикл, %	Применение (преобразователь)	Режим управления	Корпус	Особенности
			Импульсный	Линейный							
SC1131	1.3...3.5	—	(1.25 ± 1%)	1.5/2.5/3.3	1500	180...220	95	Пониж.	Напряжение	TO-220-7	Защита от КЗ и перегрева
SC1132	1.3...3.5	—	(1.25 ± 1%)	1.5/2.5/3.3	3000	180...220	95	Пониж.	Напряжение	TO-220-7	Защита от КЗ и перегрева
SC1133	1.3...3.5	—	(1.25 ± 1%)	1.5/2.5/3.3	5000	180...220	95	Пониж.	Напряжение	TO-220-7	Защита от КЗ и перегрева
SC1134	1.3...3.5	—	(1.25 ± 1%)	1.5/2.5/3.3	7500	180...220	95	Пониж.	Напряжение	TO-220-7	Защита от КЗ и перегрева
SC1162	4.2...7	5	1.3...3.5	1.5	±1000	175...225	95	Синхр. пониж.	Напряжение	SOP-24	"Power good", защита от перенапряжения, дежурный режим, компаратор ограничения тока
SC1163	4.2...7	5	1.3...3.5	Per. (1.265 ± 1%)	±1000	175...225	95	Синхр. пониж.	Напряжение	SOP-24	"Power good", защита от перенапряжения, дежурный режим, компаратор ограничения тока
SC1164	4.5...7	5	1.3...3.5	1.5 + 2.5	±1000	175...225	95	Синхр. пониж.	Напряжение	SOP-24	"Power good", защита от перенапряжения, дежурный режим, компаратор ограничения тока
SC1165	4.5...7	5	1.3...3.5	2 x Per. (1.265 ± 1%)	±1000	175...225	95	Синхр. пониж.	Напряжение	SOP-24	"Power good", защита от перенапряжения, дежурный режим, компаратор ограничения тока
SC1166	4.5...7	5	1.3...3.5	1.5/per. + 2.5/per. (1.265 ± 1.5%)	±1000	125...160	95	Синхр. пониж.	Напряжение	SOP-24	"Power good", защита от перенапряжения, дежурный режим, компаратор ограничения тока
SC1172	4.2...7	5	1.3...3.5	2 x 1.5	±1000	180...220	95	Синхр. пониж.	Напряжение	SOP-24	"Power good", защита от перенапряжения, дежурный режим, компаратор ограничения тока
SC1173	4.2...7	5	1.3...3.5	2 x Per. (1.265 ± 1%)	±1000	180...220	95	Синхр. пониж.	Напряжение	SOP-24	"Power good", защита от перенапряжения, дежурный режим, компаратор ограничения тока
SC1182	4.2...7	5	1.3...3.5	1.5 + 2.5	±1000	180...220	95	Синхр. пониж.	Напряжение	SOP-24	"Power good", защита от перенапряжения, дежурный режим, компаратор ограничения тока
SC1183	4.2...7	5	1.3...3.5	2 x Per. (1.265 ± 1%)	±1000	180...220	95	Синхр. пониж.	Напряжение	SOP-24	"Power good", защита от перенапряжения, дежурный режим, компаратор ограничения тока
SC1185/A	4.5...7	5	1.3...3.5	1.5/per. + 2.5/per. (1.265 ± 1.5%)	±1000	125...160	95	Синхр. пониж.	Напряжение	SOP-24	"Power good", защита от перенапряжения, дежурный режим, компаратор ограничения тока

## ПРЕОБРАЗОВАТЕЛИ НАПЯЖЕНИЯ ДЛЯ БАТАРЕЙНОГО ПИТАНИЯ

Прибор	Входное напряжение, В	Выходное напряжение, В	Выходной ток, мА	Ток потребления, мкА		Тип преобразователя	Частота, кГц	Корпус	Особенности
				Рабочий	Дежурный режим				
ИНДУКТИВНЫЕ									
SC1578	4...24	Per.	16/11 Ом	160	20	Понижающий	90...280	SOP-8	Дежурный режим и токочувствительный компаратор
SC1628	4...24	Per.	15/10 Ом	200	20	Пониж., повыш., инверт.	90...280	SOP-8	Дежурный режим и токочувствительный компаратор
SC1630	1.8...7.0	5/Per.	-50...80	140	15	Пониж., повыш., инверт.	120	SOP-8	Дежурный режим и схема контроля разряда батареи
SC1631	1.5...7.0	3/3.3/5	800	140	15	Пониж., повыш.	120	SOP-8	Регулируемое ограничение тока, схема контроля разряда батареи
SC1633	1.8...7.0	3/3.3/5	300	140	15	Пониж., поевш.	120	SOP-8	Регулируемое ограничение тока, схема контроля разряда батареи
ИНДУКТИВНЫЕ ИНВЕРТИРУЮЩИЕ									
SC1650	4...24	Per. (до -40 В)	15/10 Ом	200	20	Инвертирующий	100...320	SOP-8	Режим пониженного энергопотребления
SC1652	2.4...7.0	Per. (до -40 В)	5/7 Ом	150	2	Инвертирующий	70...160	SOP-8	Режим пониженного энергопотребления
БЕЗЫНДУКТИВНЫЕ									
SC1660	1.5...9.0	$-V_{IN}/2V_{IN}/(V_{IN}/2 + V_{IN}/2)$	90 Ом	70	—	Инаертор, удвоитель, расщепленное (биполярное) питание	10...50	DIP-8, SOP-8	—



# ПРОГРАММИРУЕМЫЙ СИНХРОННЫЙ DC/DC-КОНТРОЛЛЕР ДЛЯ ПЕРСПЕКТИВНЫХ ПРОЦЕССОРОВ

## ОСОБЕННОСТИ

- Хорошее соотношение цена/качество
- Возможность работы в синхронном режиме
- 4-разрядный ЦАП, управляющий выходным напряжением с погрешностью 1%
- Отвечает требованиям Intel VRM8.2 для питания процессора Pentium™ II
- Точность источника опорного напряжения 1.5%

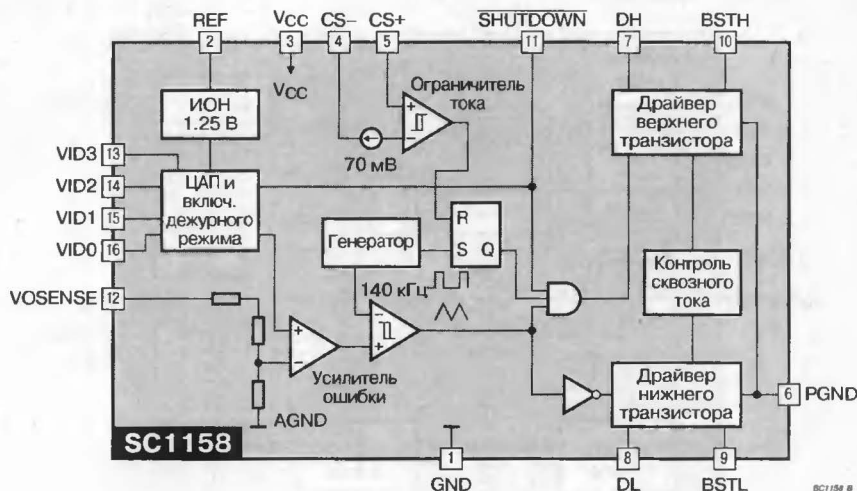
## ОБЛАСТИ ПРИМЕНЕНИЯ

- Источники питания для Pentium™ II, K6-2
- Программируемые источники напряжения
- Высокоэффективные DC/DC-преобразователи

## ОБЩЕЕ ОПИСАНИЕ

Контроллер SC1158 является недорогой схемой управления для преобразователей с управлением по напряжению, предназначенной в первую очередь для использования в источниках питания с высокими требованиями по коэффициенту полезного действия. ИС SC1158 содержит 4-разрядный ЦАП, источник опорного напряжения с температурной компенсацией, генератор треугольных импульсов, компаратор ограничителя тока, цепь защиты по току и усилитель ошибки с внутренней компенсацией. Рабочая частота составляет 140 кГц, что обеспечивает оптимальный компромисс между коэффициентом полезного действия, размерами внешних элементов и ценой.

## СТРУКТУРНАЯ СХЕМА



## ЦОКОЛЕВКА КОРПУСОВ

Пластмассовый корпус типа SOP-16NB

	SC1158	
Малосигнальная аналоговая и цифровая земля	GND 1	16 VID0
Выход опорного напряжения	REF 2	15 VID1
Вход питания схемы управления	VCC 3	14 VID2
Инвертирующий вход усилителя цепи ограничения выходного тока	CS- 4	13 VID3
Неинвертирующий вход усилителя цепи ограничения выходного тока	CS+ 5	12 VOSENSE
Силовая земля	PGND 6	11 SHUTDOWN
Выход управления верхним ключевым МОП-транзистором	DH 7	10 BSTH
Выход управления нижним ключевым МОП-транзистором	DL 8	9 BSTL

Входы программирования выходного напряжения (TTL-совместимые логические входы)

Вход цепи обратной связи

Вход блокировки

Вход питания схемы управления нижним МОП-транзистором

Вход питания схемы управления верхним МОП-транзистором

## ТИПОНОМИНАЛЫ

Типономинал	Корпус	Температурный диапазон, °C
SC1158CS	SOP-16NB (150 mil)	0...+125
SC1158CSTR	SOP-16NB (150 mil) на ленте в бобине	0...+125

## ПРОГРАММИРУЕМЫЙ СИНХРОННЫЙ DC/DC-ПРЕОБРАЗОВАТЕЛЬ С ДВУМЯ ДОПОЛНИТЕЛЬНЫМИ ЛИНЕЙНЫМИ СТАБИЛИЗАТОРАМИ

### ОСОБЕННОСТИ

- Синхронный режим работы, исключающий необходимость использования радиаторов
- КПД ключевой схемы 95%
- 5-разрядный ЦАП для программирования выходного напряжения
- Отвечает требованиям к источникам питания для Intel Pentium II
- Выходные напряжения линейных стабилизаторов 1.5 и 2.5 В с погрешностью 1%
- Источник опорного напряжения ..... 1.265 В  $\pm 1.5\%$

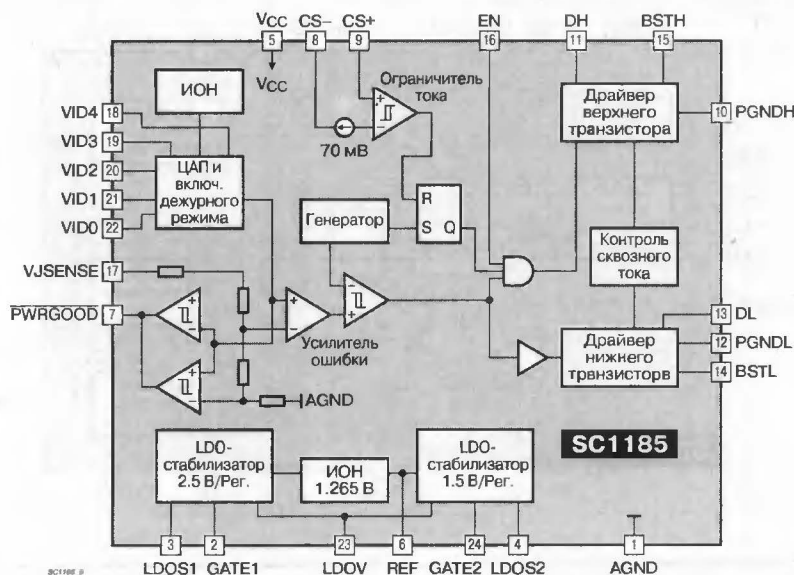
### ОБЛАСТИ ПРИМЕНЕНИЯ

- Источники питания микропроцессоров ..... 1.3...3.5 В

### ОБЩЕЕ ОПИСАНИЕ

Микросхема SC1185/1185A включает в себя синхронный импульсный преобразователь с управлением по напряжению и два линейных стабилизатора с малым падением напряжения вход-выход (LDO), что обеспечивает получение трех напряжений, необходимых для питания перспективных процессоров, таких, как Pentium II. Ключевая часть ИС SC1185 состоит из 5-разрядного ЦАП, поимпульсного ограничителя выходного тока и управляемого логическими сигналами узла обеспечения дежурного режима. Рабочая частота — 140 кГц, что обеспечивает оптимальный компромисс между размерами, КПД и ценой в указанных областях применения. Встроенный ЦАП обеспечивает возможность программирования выходного напряжения в пределах от 2.0 до 3.5 В с дискретностью 100 мВ и от 1.30 до 2.05 В с дискретностью 50 мВ без использования внешних элементов.

### СТРУКТУРНАЯ СХЕМА



### ЦОКОЛЕВКА КОРПУСОВ

Пластмассовый корпус типа SOP-24

Малосигнальная аналоговая и цифровая земля	AGND	1	24	GATE2	Управление затвором транзистора LDO2
Управление затвором транзистора LDO1	GATE1	2	23	LDOV	Дополнительное питание линейных стабилизаторов +12 В
Вывод обратной связи LDO1	LDOS1	3	22	VID0	
Вывод обратной связи LDO2	LDOS2	4	21	VID1	
Напряжение питания	VCC	5	20	VID2	Входы программирования
Выход источника опорного напряжения	REF	6	19	VID3	
Логический выход контроля выходного напряжения	PWRGOOD	7	18	VID4	
Инвертирующий вход компаратора ограничителя тока	CS-	8	17	VJSENSE	Вход цепи обратной связи ключевого преобразователя
Неинвертирующий вход компаратора ограничителя тока	CS+	9	16	EN	Разблокирование
Силовая земля верхнего ключевого транзистора	PGNDH	10	15	BSTH	Питание драйвера верхнего транзистора
Выход драйвера верхнего ключевого транзистора	DH	11	14	BSTL	Питание драйвера нижнего транзистора
Силовая земля нижнего ключевого транзистора	PGNDL	12	13	DL	Выход драйвера нижнего ключевого транзистора

\* Все логические уровни совместимы с ТТЛ с открытым коллектором:

Типономинал	Корпус	Выходное напряжение LD01/LD02, В	Температурный диапазон, °С
SC1185CSW	SOP-24	1.5/2.5	0...+125
SC1185CSWTR	SOP-24 (лента и бобина)	1.5/2.5	0...+125
SC1185ACSW	SOP-24	1.5/2.5	0...+125
SC1185ACSWTR	SOP-24 (лента и бобина)	1.5/2.5	0...+125

**Примечание:**

SC1185A отличается меньшими допусками выходного напряжения

### ОСОБЕННОСТИ

- Диапазон входных напряжений ..... 4...24 В
- Регулируемое выходное напряжение
- Собственный потребляемый ток ..... 100 мкА
- ЧИМ с пропуском импульсов обеспечивает высокий КПД ..... 95% (max)
- Рабочая частота ..... 90...250 кГц
- Энергосберегающий дежурный режим, потребляемый ток ..... 8 мкА
- Двухтактный выходной каскад

### ОБЛАСТИ ПРИМЕНЕНИЯ

- Повышающие преобразователи в переносных и портативных вычислительных и связанных устройствах

### ОБЩЕЕ ОПИСАНИЕ

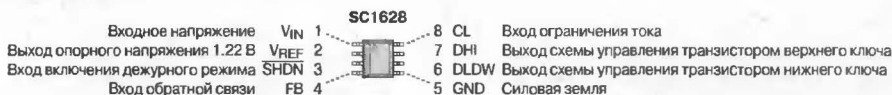
Микросхема SC1628 предназначена для управления внешним ключом в повышающих преобразователях напряжения. В типовых схемах источников питания для ЖКИ и программирования флэш-памяти КПД достигает 85...95%. Выходное напряжение устанавливается с помощью двух внешних резисторов. SC1628 идеально подходит для оборудования с батарейным питанием (компьютеры Notebook и т.д.).

### НАЗНАЧЕНИЕ ВЫВОДОВ

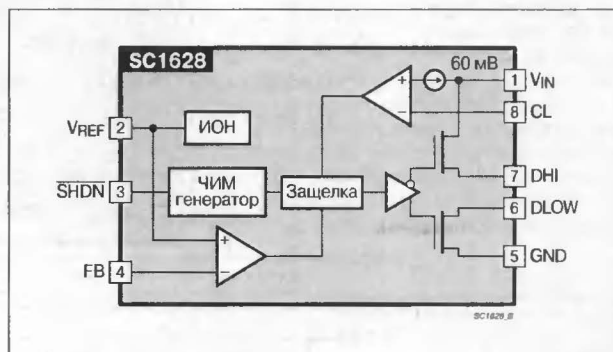
Вывод	Обозначение	Назначение
1	V <sub>IN</sub>	Входное напряжение (от 4 до 24 В)
2	V <sub>REF</sub>	Выход опорного напряжения 1.22 В. Ток нагрузки до 250 мкА. Шунтирующий конденсатор 0.047 мкФ
3	SHDN	Вход включения дежурного режима. Нормальная работа при напряжении более 1.5 В, дежурный режим — при заземлении этого входа. Вывод не должен быть свободным и на него не должно подаваться более 15 В. В дежурном режиме выводы DLOW и DHI имеют НИЗКИЙ потенциал
4	FB	Вход обратной связи
5	GND	Силовая земля
6	DLOW	Выход схемы управления транзистором нижнего ключа
7	DHI	Выход схемы управления транзистором верхнего ключа. При использовании в качестве ключа МОП-транзистора выводы DLOW и DHI соединяются между собой и с затвором ключа. При использовании в качестве ключа л-р-л-транзистора, его база соединяется с этим выводом через резистор, значение которого определяется входным напряжением и коэффициентом усиления транзистора
8	CL	Вход ограничения тока. Пороговое напряжение на 60 мВ ниже значения V <sub>IN</sub>

### ЦОКОЛЕВКА КОРПУСОВ

Пластмассовый корпус типа SOP-8



### СТРУКТУРНАЯ СХЕМА

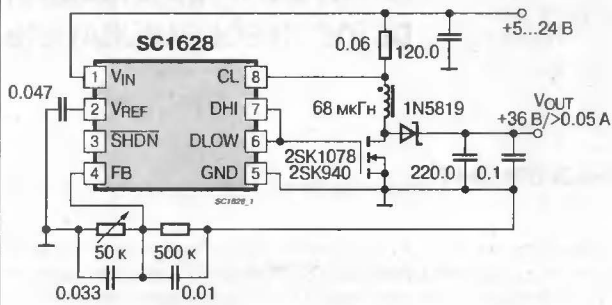


### ТИПОНОМИНАЛЫ

Типономинал	Корпус
SC1628CS	SOP-8
SC1628CSTR	SOP-8 (лента и бобина)

СХЕМЫ ВКЛЮЧЕНИЯ

Рис. 1. Источник напряжения смещения для цветных ЖКИ



Зависимость КПД от тока нагрузки

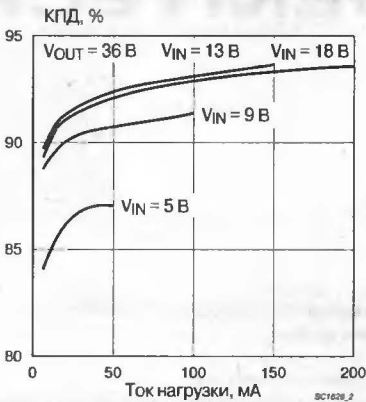
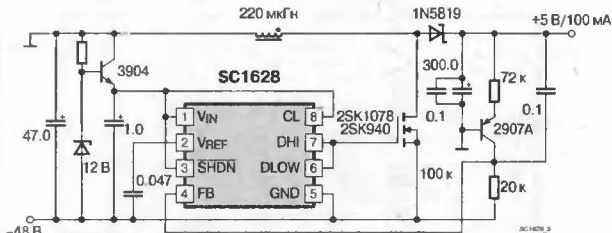


Рис. 2. Источник напряжения 5 В с питанием от линии связи -48 В



Зависимость КПД от тока нагрузки

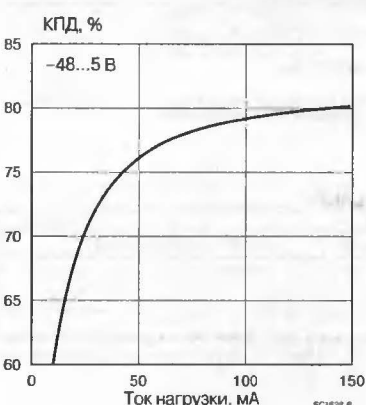
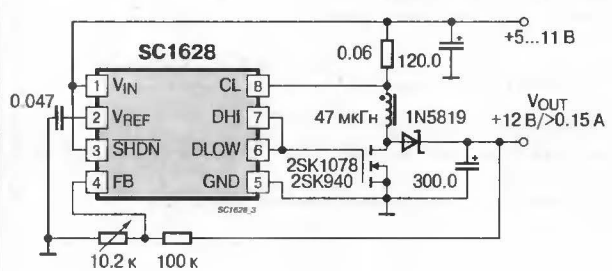
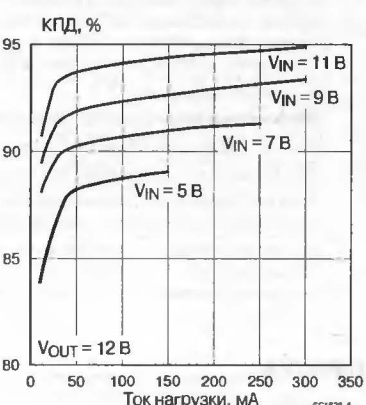


Рис. 3. Источник питания для флэш-программатора



Зависимость КПД от тока нагрузки



## НИЗКОВОЛЬТНЫЙ ПОВЫШАЮЩИЙ DC/DC-ПРЕОБРАЗОВАТЕЛЬ

### ОСОБЕННОСТИ

- ♦ КПД ..... до 90%
- ♦ Энергосберегающий дежурный режим, ток потребления ..... 7 мкА
- ♦ Встроенный ключ на 2 А
- ♦ Рабочая частота ..... 120 кГц
- ♦ Регулируемое ограничение тока ключа
- ♦ Встроенный детектор чрезмерного снижения питающего напряжения

### ОБЛАСТИ ПРИМЕНЕНИЯ

- ♦ Портативные компьютеры
- ♦ Пейджеры
- ♦ Батарейные преобразователи напряжения

### ТИПОНОМИНАЛЫ

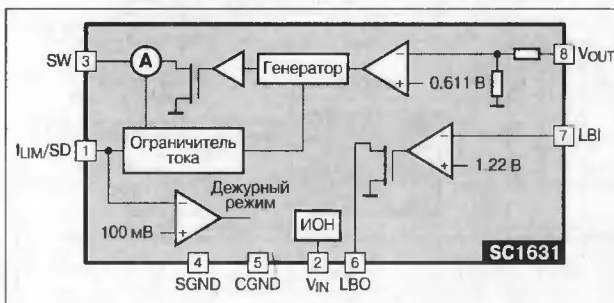
Типономинал	Выходное напряжение, В	Корпус
SC1631CS	3.3	SOP-8
SC1631-3CS	3.0	SOP-8
SC1631-5CS	5.0	SOP-8

Примечание: при поставке на ленте и бобине добавляется суффикс TR

### ОБЩЕЕ ОПИСАНИЕ

Микросхема SC1631 представляет собой высокоэффективный повышающий преобразователь с КПД свыше 87% при токе нагрузки 100 мА и входном напряжении от 2.2 до 3 В. Для программирования уровня ограничения тока используется внешний резистор. Детектор снижения питающего напряжения может быть использован в качестве линейного стабилизатора напряжения или в качестве контроллера прерывистого режима (с чередованием нормальной работы и дежурного режима), который обеспечивает чрезвычайно низкий рабочий ток. Рекомендуемое значение индуктивности — от 25 до 50 мкГн.

### СТРУКТУРНАЯ СХЕМА

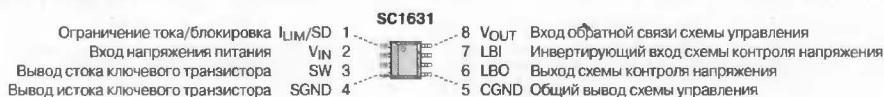


### ОПИСАНИЕ ВЫВОДОВ

Вывод	Обозначение	Описание
1	$I_{LIM}/SD$	1. При соединении с выводом $V_{IN}$ резистором вывод служит для установки уровня ограничения максимального тока ключа. Это обеспечивает защиту ИС и дросселя а также повышает КПД и снижает пульсации выходного напряжения. Вместе с тем, выходной ток ограничивается другим резистором (см. схемы применения). Если ограничение тока ключа не требуется, то вывод $I_{LIM}/SD$ должен быть соединен с выводом $V_{IN}$ . 2. Если вывод $I_{LIM}/SD$ соединен с землей, то ИС переходит в дежурный режим с потреблением тока менее 10 мкА
2	$V_{IN}$	Вход напряжения питания
3	SW	Вывод стока ключевого транзистора. Соединяется с дросселем и диодом
4	SGND	Вывод истока ключевого транзистора. Соединяется с землей
5	CGND	Общий вывод цепей управления ИС. Во избежание сбоев соединяется с землей отдельно от вывода SGND
6	LBO	Открытый сток выходного транзистора в схеме контроля питающего напряжения. Во включенном состоянии при $V_{IN} = 2$ В сопротивление канала составляет 45 Ом. Включение транзистора происходит при напряжении на выводе LBI ниже 1.22 В
7	LBI	Инвертирующий вход схемы контроля питающего напряжения. Неинвертирующий вход внутренне соединен с опорным источником 1.22 В
8	$V_{OUT}$	Вход обратной связи схемы управления

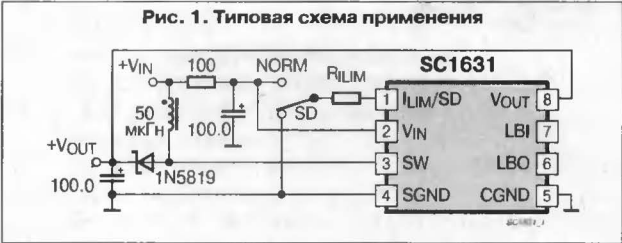
### ЦОКОЛЕВКА КОРПУСОВ

Пластмассовый корпус типа SOP-8

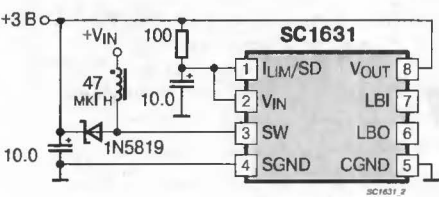




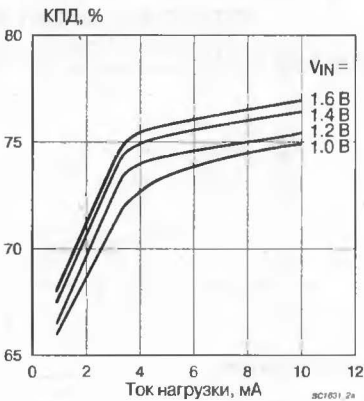
СХЕМЫ ВКЛЮЧЕНИЯ



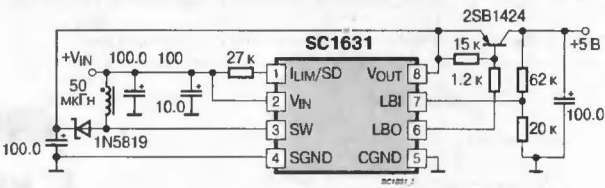
**Рис. 2. Повышающий преобразователь с питанием от одного элемента и выходным напряжением 3.0 В**



**Зависимость КПД от тока нагрузки**

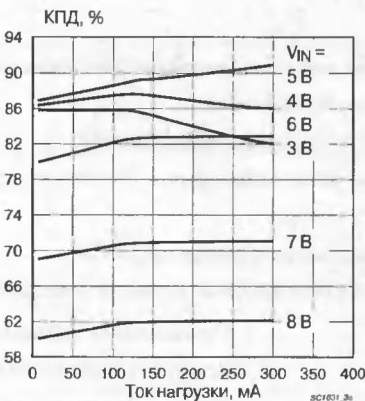


**Рис. 3. Повышающий/понижающий преобразователь напряжения с питанием от батареи из 4-х элементов**



Для тока нагрузки 50 мА R8 = 270 Ом, R1 = 220 Ом, C1 = 100 мкФ, КПД = 80%

**Зависимость КПД от тока нагрузки**





**Микросхемы для импульсных источников питания фирмы ST Microelectronics**

DC/DC-преобразователи .....	525	
Мощные импульсные стабилизаторы .....	525	
Гибридные микросхемы серии VIPower (контроллер + ключ) .....	525	
ШИМ контроллеры .....	526	
Корректоры коэффициента мощности .....	526	
Контроллеры импульсных источников питания .....	526	
<b>L4971</b> .....	Понижающий стабилизатор напряжения на ток 1.5 A .....	527
<b>L5993</b> .....	Контроллер постоянной мощности сетевого источника питания .....	528
<b>VIPer31</b> .....	Источник питания для заряда аккумуляторов .....	530
<b>VIPer100</b> .....	Схемы управления импульсным источником питания .....	531

**ЗА ДОПОЛНИТЕЛЬНОЙ ИНФОРМАЦИЕЙ И ПО ВОПРОСАМ ПОСТАВКИ КОМПОНЕНТОВ ОБРАЩАТЬСЯ:**

**PIT**

тел./факс (812) 324-63-50, (812) 324-63-51, <http://www.pit.spb.ru>

E-mail: [semicond@pit.spb.ru](mailto:semicond@pit.spb.ru)

MAXIM ERICSSON

International  
IOR Rectifier

tyco / Electronics

AMP SIEMENS РЕЛЕ



Kingbright®

## Коллекция фирмы ПетроИнТрейд

194295 С.-Петербург, ул. Ивана Фомина, 6

Тел.: (812) 324-6350, 324-6351, 324-6371, 324-6377, факс: (812) 324-6611

E-mail: semicond@pit.spb.ru, http://www.pit.spb.ru

Москва, ул. Усиевича, 24/2

Тел.: (095) 155-4994, 926-5267, тел./факс: (095) 926-5268 E-mail: pitm@redline.ru

Ижевск, Северный пер., 61, пом. 413

Тел.: (3412) 22-1442, тел./факс: (3412) 22-1742 E-mail: pit@udm.ru

Нижний Новгород, ул. Голованова, 23, оф. 213

Тел./факс: (8312) 69-3078, E-mail: pit@nts.nnov.ru

## МИКРОСХЕМЫ ДЛЯ ИМПУЛЬСНЫХ ИСТОЧНИКОВ ПИТАНИЯ ФИРМЫ ST MICROELECTRONICS

## DC/DC-ПРЕОБРАЗОВАТЕЛИ

Прибор	Выходное (опорное) напряжение, В	Выходной ток, мА	Входное напряжение, В	Ток потребления		Рабочая частота, кГц	Корпус	Особенности
				Рабочий, мА	Дежурный, мА			
MC34063A	(1.25 ±2%)	1500	3...40	4	—	100	SOP-8	—
ST662A	12 ±5%	50	4.5...5.5	0.5	10	400	DIP-8, SOP-8	Накачка заряда
ST755	-5 ±5%	200	2.7...11	3.5	100	160	DIP-8, SOP-8	Мягкий запуск, низкий шум
L4992	3.3	200	5.5...25	1.35	120	200/300	TQFP-32	Контроль пониженного и повышенного напряжения, защита от перегрева, раздельная блокировка, контроль выходного напряжения
	5.1	200						
	12 (лин.)	120						

## МОЩНЫЕ ИМПУЛЬСНЫЕ СТАБИЛИЗАТОРЫ

Прибор	Выходное напряжение, В	Входное напряжение, В	Выходной ток, А	Корпус
L296/P	5.1...40	9...50	4	HZIP-15
L4960	5.1...40	9...50	2.5	HZIP-7
L4962	5.1...40	9...50	1.5	HDIP-16
L4963	5.1...36	9...46	1.5	HDIP-18, SOP-20
L4964	5.1...28	9...36	4	HZIP-15
L4970/A	5.1...40	15...50	10	HZIP-15
L4971	3.3...40	8...55	1.5	DIP-8, SOP-16
L4972A	5.1...40	15...50	2	DIP-20, SOP-20
L4973D3.3	3.3	8...55	3.5	HDIP-18
L4973D5.1	5.1	8...55	3.5	HDIP-18
L4973V3.3	3.3	8...55	3.5	SOP-20
L4973V5.1	5.1	8...55	3.5	SOP-20
L4974A	5.1...40	15...50	3.5	DIP-20
L4975A	5.1...40	15...50	5	HZIP-15
L4976	3.3...50	8...55	1	SOP-16W
L4977A	5.1...40	15...50	7	HZIP-15
L4978	3.3...40	8...55	2	DIP-8, SOP-16W

## ГИБРИДНЫЕ МИКРОСХЕМЫ СЕРИИ VIPower (КОНТРОЛЛЕР + КЛЮЧ)

Прибор	Напряжение питания, В	Напряжение стока, В	R <sub>DS(on)</sub> , Ом	Выходной ток, А	Выходная мощность, Вт	Корпус
VIPer20	10...15	620	16	0.5	20	DIP-8, HZIP-5, HSOP-10
VIPer20A	10...15	700	18	0.5	20	DIP-8, HZIP-5, HSOP-10
VIPer20B	10...15	400	8.7	1.3	20	HZIP-5, HSOP-10
VIPer31SP	8	600	6.5	1	30	HSOP-10
VIPer50	10...15	620	5	1.5	50	HZIP-5, HSOP-10
VIPer50A	10...15	700	5.7	1.5	50	HZIP-5, HSOP-10
VIPer100	10...15	620	2.5	3	100	HZIP-5, HSOP-10
VIPer100A	10...15	700	2.8	3	100	HZIP-5, HSOP-10

За дополнительной информацией и по вопросам поставки компонентов обращаться: PIT

тел./факс (812) 324-63-50, (812) 324-63-51, http://www.pit.spb.ru

E-mail: semicond@pit.spb.ru

## ШИМ КОНТРОЛЛЕРЫ

### Управление по току

Прибор	Напряжение запуска/останова, В	Опорное напряжение, В	Выходной ток, А	Ток запуска, мА	Рабочая частота, кГц	Максимальный рабочий цикл, %	Дежурный режим Мягкий запуск	UVLO	OVP	Защита от перегрузки по току	LEB	Внешняя синхронизация	Корпус	Описание
L4990	16/10	5 ± 1.5%	1	0.45	1000	100/50	+	+		+	100 нс	+	DIP-16, SDP-16	Контроллер первичной цепи
L4990A	8.4/7.6	5 ± 1.5%	1	0.45	1000	100/50	+	+		+	100 нс	+	DIP16	Контроллер первичной цепи
L5991	15/10	5 ± 1.5%	1.5 (peak)	0.14	1000	100/50	+	+		+	100 нс	+	DIP-16, SOP-16	Контроллер первичной цепи
L5991A	8.4/7.6	5 ± 1.5%	1.5 (peak)	0.14	1000	100/50	+	+		+	100 нс	+	DIP-16	Контроллер первичной цепи
L5993	15/10	5 ± 1.5%	1.5 (peak)	0.14	1000	100/50	+	+		+	100 нс	+	DIP-16, SOP-16	Контроллер постоянной мощности
UC1842/2842/3842	16/10	5	±1.0	0.5	52	100		+		+			DIP-8, SOP-8	ШИМ-модулятор
UC1843/2843/3843	8.5/7.9	5	±1.0	0.5	52	100		+		+			DIP-8, SOP-8	ШИМ-модулятор
UC1844/2844/3844	16/10	5	±1.0	0.5	52	50		+		+			DIP-8, SOP-8	ШИМ-модулятор
UC1845/2845/3845	8.5/7.9	5	±1.0	0.5	52	50		+		+			DIP-8, SDP-8	ШИМ-модулятор

### Управление по напряжению

Прибор	Напряжение питания, В	Опорное напряжение, В	Выходной ток, А	Ток потребления, мА	Рабочая частота, кГц	Максимальный рабочий цикл, %	Дежурный режим Мягкий запуск	UVLO	OVP	Защита от перегрузки по току	LEB	Внешняя синхронизация	Корпус	Описание
L9610C/11C	6...16.5	3.5 ± 0.2	—	—	—	—							DIP-16, SOP-16	ШИМ контроллер для галогенных ламп
SG1524/2524/3524	8...40	5	0.1	10	300	45	+			+			DIP-16, SOP-16	ШИМ-модулятор, несим./двухтактный выход
SG1525A/2525A/3525A	8...35	5.1	0.5	20	120...400	49	+	+		+	+		DIP-16, SOP-16	ШИМ контроллер, двохтактный с выходной логикой ИЛИ-НЕ
SG1527A/2527A/3527A	8...35	5.1	0.5	20	120...400	49	+	+		+	+		DIP-16, SOP-16	ШИМ контроллер, двохтактный с выходной логикой ИЛИ

### КОРРЕКТОРЫ КОЭФФИЦИЕНТА МОЩНОСТИ

Прибор	Напряжение питания/порог запуска, В	Опорное напряжение, В	Выходной ток, А	Ток запуска, мА	Тотемный выход	Мягкий запуск	UVLO	OVP	Защита от перегрузки по току	Внешняя синхронизация	Корпус
L4981A	19.5 (max)	5.1 ± 2%	-2...1.5	0.5	+	+	+	+	+	+	DIP-20, SOP-20
L4981B	19.5 (max)	5.1 ± 2%	-2...1.5	0.5	+	+	+	+	+	+	DIP-20, SOP-20
L6560	11...18/14.5	2.5 ± 0.04	±0.4	0.5	+		+	+			DIP-8, SOP-8
L6560A	11...18/12	2.5 ± 0.04	±0.4	0.5	+		+	+			DIP-8, SOP-8
L6561	11...18/12	2.5 ± 1.5	±0.4	0.09	+		+	+			DIP-8, SOP-8

### КОНТРОЛЛЕРЫ ИМПУЛЬСНЫХ ИСТОЧНИКОВ ПИТАНИЯ

Прибор	Напряжение запуска/останова, В	Опорное напряжение, В	Выходной ток, А	Ток запуска, мА	Рабочая частота, кГц	Максимальный рабочий цикл, %	Дежурный режим	Мягкий запуск	UVLO	OVP	Защита от перегрузки по току	Внешняя синхронизация	Корпус
TDA4605	12/5	3	1.5 (peak)	0.8	—	—		+	+	+	+		DIP-8, SOP-8
TEA2018A	6/4.9	2.4	1.0 (peak)	1.6	30 (typ)	70			+		+	+	DIP-8
TEA2261	10.3/7.4	2.49 ± 0.15	1.2/-2	1.4	10...100	70	+	+	+	+	+		DIP-16
TEA2262	11.8/8.5	2.49 ± 0.15	±1.0	0.5	10...150	70	+	+	+	+	+		DIP-16
TEA5170	—	2 ± 5%	0.06/-0.11	—	12...250	—		+	+			+	DIP-8

Примечание:

UVLO — блокировка при пониженном напряжении;

OVP — защита от повышенного напряжения;

LEB — маскирование переднего фронта импульса тока



# L4971

## ПОНИЖАЮЩИЙ СТАБИЛИЗАТОР НАПЯЖЕНИЯ НА ТОК 1.5 А

### ОСОБЕННОСТИ

- Входное напряжение ..... 8...55 В
- Перестраиваемое выходное напряжение ..... 3.3...40 В
- Опорное напряжение ..... 3.3 В  $\pm 1\%$
- Перестраиваемая частота преобразования ..... до 500 кГц
- Поцикловое ограничение тока
- Защита от разрыва обратной связи
- Защита от перегрева
- Мягкий запуск

### ОБЩЕЕ ОПИСАНИЕ

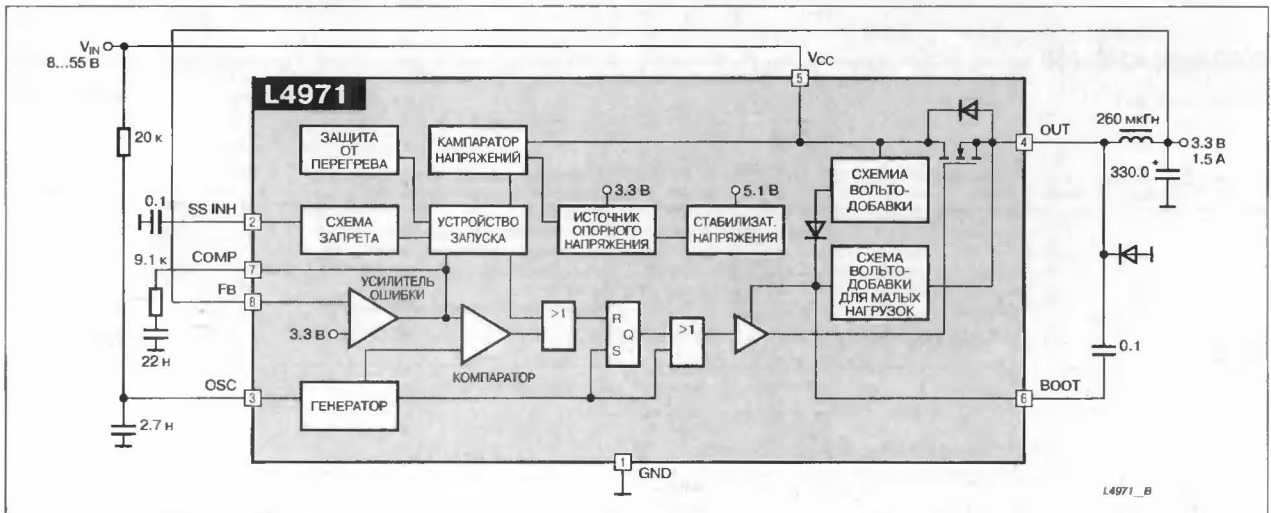
Интегральная схема L4971 выполнена по BCD-технологии и представляет собой понижающий стабилизатор напряжения с внешним ключевым ДМОП-транзистором, который имеет высокую скорость переключения и низкое сопротивление в открытом состоянии 0.25 Ом.

Стабилизатор выполнен на основе широтно-импульсного модулятора, состоящего из генератора, компаратора и RS-триггера со связующей логикой. Выходной каскад модулятора согласует выход логических схем с ДМОП-транзистором и состоит из согласующего усилителя и каскадов вольтодобавки. Накопление энергии вольтодобавки производится во внешнем конденсаторе, подключаемом к выводу BOOT. Отключение модулятора производится подачей на вход INH потенциала земли (GND). Емкость конденсатора на выводе INH задает время запуска стабилизатора. Ее величина выбирается в зависимости от индуктивности катушки L, входного напряжения и частоты преобразования. Частота преобразования определяется RC-цепочкой, подключаемой к выводу OSC.

### ТИПОНОМИНАЛЫ

Типономинал	Корпус	Рассеиваемая мощность (при 60°C), Вт
L4971	DIP-8	1
L4971D	SOP-16W	0.8

### СТРУКТУРНАЯ СХЕМА И ТИПОВАЯ СХЕМА ВКЛЮЧЕНИЯ



### ЦОКОЛЕВКА КОРПУСОВ

Пластмассовый корпус типа DIP-8

Общий вывод, земля	GND	1	8	FB	Вход усилителя ошибки
Блокировка	SS INH	2	7	COMP	Выход усилителя ошибки
RC-цепочка, задающая частоту преобразования	OSC	3	6	BOOT	Конденсатор вольтодобавки
Выход стабилизатора	OUT	4	5	V <sub>CC</sub>	Входное напряжение

Пластмассовый корпус типа SOP-16W

п.с. 1	16 п.с.
GND 2	15 п.с.
SS INH 3	14 FB
OSC 4	13 COMP
OUT 5	12 BOOT
OUT 6	11 V <sub>CC</sub>
п.с. 7	10 п.с.
п.с. 8	9 п.с.



# L5993

## КОНТРОЛЛЕР ПОСТОЯННОЙ МОЩНОСТИ СЕТЕВОГО ИСТОЧНИКА ПИТАНИЯ

### ОСОБЕННОСТИ

- ♦ ШИМ с управлением по току (ДОСТ)
- ♦ Перестраиваемая частота преобразования ..... до 1 МГц
- ♦ Малый ток покоя ..... < 140 мкА
- ♦ Постоянная выходная мощность
- ♦ Большой выходной ток управления внешним МОП-транзистором ..... 1 А
- ♦ Подавление сдвоенных импульсов
- ♦ Маскирование переднего фронта импульса тока ..... 100 нс
- ♦ Программируемый мягкий запуск
- ♦ Напряжение запуска ..... 14...16 В

### ТИПОНОМИНАЛЫ

Типономинал	Корпус
L5993	DIP-16
L5993D	SOP-16N

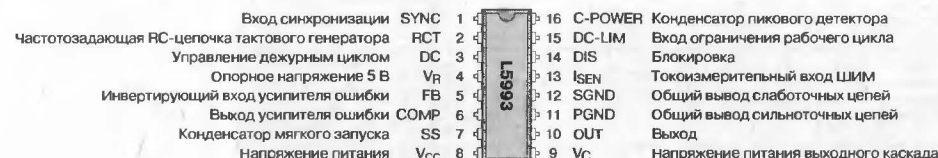
### ОБЩЕЕ ОПИСАНИЕ

Микросхема L5993 разработана для применения в сетевых источниках питания мониторов с несколькими режимами синхронизации. Схема предназначена для работы в качестве преобразователя или контроллера преобразователя напряжения с фиксированной частотой преобразования и управлением по току импульса. Ее основой является широтно-импульсный модулятор, дополненный устройством "постоянной мощности".

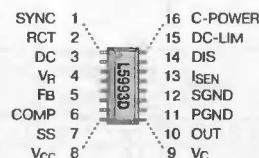
Эффект "постоянной мощности" достигается благодаря изменению порога срабатывания ШИМ-компаратора в зависимости от тока импульса. Изменение порога производится таким образом, чтобы поддерживать примерно одинаковую мощность, вырабатываемую источником, независимо от частоты преобразования. Это достигается путем ограничением напряжения на выходе усилителя ошибки величиной, которая уменьшается с ростом частоты сигнала на выводе 1 (SYNC). Требуемое для этого преобразование частоты в напряжение производится детектированием максимумов пилообразного напряжения в генераторе. Для того требуется только один внешний конденсатор, подключаемый к выводу C-POWER.

### ЦОКОЛЕВКА КОРПУСОВ

Пластмассовый корпус типа DIP-16



Пластмассовый корпус типа SOP-16N





[illegible]

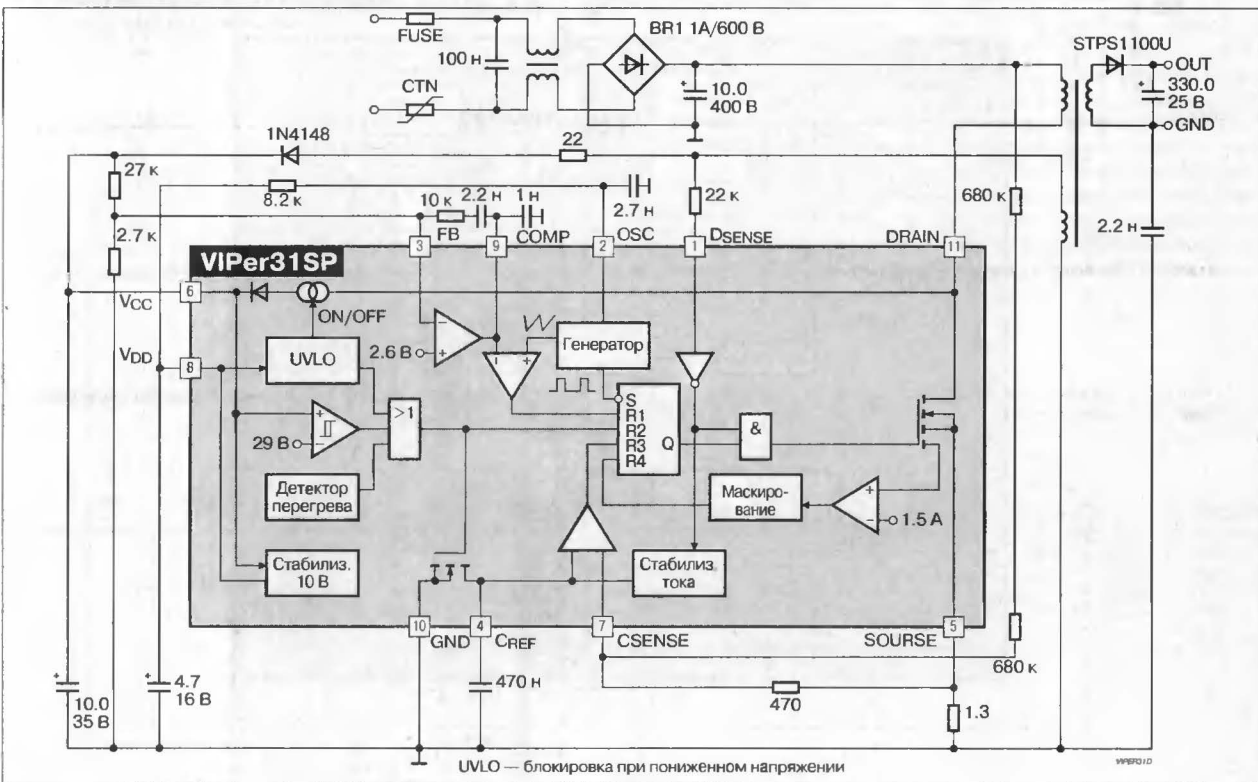
### ОСОБЕННОСТИ

- ♦ Прямоугольная характеристика, без оптопары
- ♦ ИОН с анутренней заводской подстройкой
- ♦ Фиксированная рабочая частота ..... до 150 кГц
- ♦ Дополнительный стабилизатор напряжения
- ♦ Управление мягким запуском и отключением
- ♦ Автоматический переход в пакетный режим в отсутствие нагрузки отвечает нормам "Blue Angel": общая потребляемая мощность ..... < 1 Вт
- ♦ Блокировка при пониженном напряжении с гистерезисом
- ♦ Встроенная цепь запуска
- ♦ Защита от перенапряжения
- ♦ Защита от перегрева
- ♦ Поцикловое ограничение тока
- ♦ Контроль размагнитченности накопительной индуктивности
- ♦ Сопротивление открытого канала  $R_{DS(on)}$  ..... 6.5 Ом

### ОБЩЕЕ ОПИСАНИЕ

Микросхема изготавливается по фирменной технологии VIPower, сочетающей на одном кристалле широтно-импульсный модулятор с мощным высоковольтным вертикальным МОП-транзистором (600 В/1 А). Схемы предназначены применения в зарядных устройствах аккумуляторов с постоянным током или напряжением заряда и не требуют оптоэлектронной развязки первичной и вторичной цепи. Типовая выходная мощность составляет 30 Вт при фиксированном входном напряжении и 15 Вт при широком диапазоне входных напряжений. Дополнительная особенность серии — пакетный режим работы при отсутствии нагрузки, данный дежурный режим не требует внешних компонентов.

### СТРУКТУРНАЯ СХЕМА И ТИПОВАЯ СХЕМА ВКЛЮЧЕНИЯ

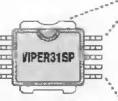


### ЦОКОЛЕВКА КОРПУСОВ

Мощный корпус типа HSOP-10 (Power SO-10)

Вход контроля размагнитченности  
RC-цепочка, задающая частоту преобразования  
Инвертирующий вход усилителя ошибки  
Опорное напряжение стабилизатора тока  
Исток выходного транзистора

DSENSE 1  
OSC 2  
FB 3  
CREF 4  
SOURSE 5



11 DRAIN Сток выходного транзистора  
10 GND Общий, земля  
9 COMP Выход усилителя ошибки/вход компаратора ШИМ  
8 VDD Выход низковольтного стабилизатора напряжения  
7 CSENSE Токоизмерительный вход  
6 VCC Напряжение питания

### ТИПОНОМИНАЛЫ

Типономинал	Корпус	$V_{DS}$ , В	$I_D$ , А	$R_{DS(on)}$ , Ом	$P_D$ , Вт	
					Фиксированное напряжение сети	Широкий диапазон сетевого напряжения
VIPer31SP	HSOP-10	600	1	6.5	30	15

MAXIM ERICSSON



International  
Rectifier

ANALOG  
DEVICES

tyco / Electronics

AMP SIEMENS РЕЛЕ



Kingbright®

## Коллекция фирмы ПетроИнТрейд

194295 С.-Петербург, ул. Ивана Фомина, 6

Тел.: (812) 324-6350, 324-6351, 324-6371, 324-6377, факс: (812) 324-6611

E-mail: semicond@pit.spb.ru, http://www.pit.spb.ru

Москва, ул. Усиевича, 24/2

Тел.: (095) 155-4994, 926-5267, тел./факс: (095) 926-5268 E-mail: pitm@redline.ru

Ижевск, Северный пер., 61, пом. 413

Тел.: (3412) 22-1442, тел./факс: (3412) 22-1742 E-mail: pit@udm.ru

Нижний Новгород, ул. Голованова, 23, оф. 213

Тел./факс: (8312) 69-3078, E-mail: pit@nts.nnov.ru



## VIPer100

### СХЕМЫ УПРАВЛЕНИЯ ИМПУЛЬСНЫМ ИСТОЧНИКОМ ПИТАНИЯ

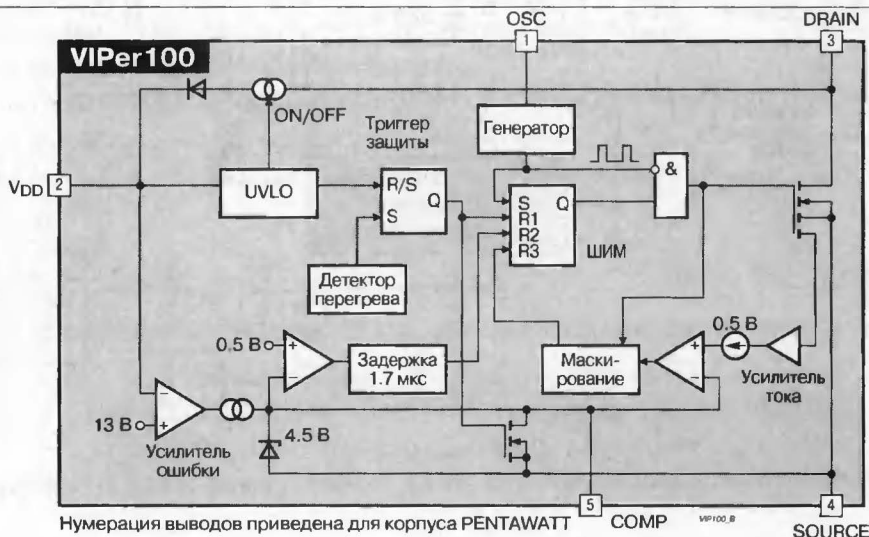
#### ОСОБЕННОСТИ

- Регулируемая рабочая частота ..... до 200 кГц
- Режим управления по току (ДОСТ)
- Управление мягким запуском и отключением
- Автоматический переход в пакетный режим в отсутствие нагрузки отвечает нормам "Blue Angel": общая потребляемая мощность ..... < 1 Вт
- Встроенный ИОН с заводской подстройкой
- Блокировка при пониженном напряжении с гистерезисом
- Встроенная цепь запуска
- Защита от перегрева
- Малый ток потребления в дежурном режиме
- Перестраиваемое ограничение тока

#### ОБЩЕЕ ОПИСАНИЕ

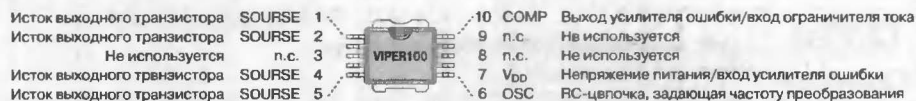
Микросхемы серии VIPer 100 изготавливаются по фирменной технологии VIPower, сочетающей на одном кристалле широтно-импульсный модулятор с мощным высоковольтным вертикальным МОП-транзистором (400, 620 или 720 В/3 или 6 А). Схемы предназначены для работы в сетевых источниках питания в широком диапазоне входных напряжений при выходной мощности до 100 Вт. Микросхемы поддерживают управление по первичной и вторичной цепи и требуют на 50% меньше внешних компонентов, чем при дискретной реализации. Дополнительная особенность серии — пакетный режим работы при отсутствии нагрузки, данный дежурный режим не требует внешних компонентов.

#### СТРУКТУРНАЯ СХЕМА

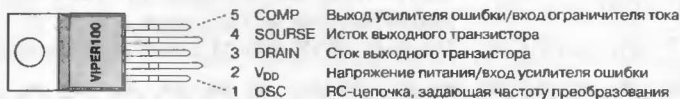


## ЦОКОЛЕВКА КОРПУСОВ

Мощный корпус типа HSOP-10 (Power SO-10)



Мощный корпус типа HZIP-5 (PENTAWATT)



## ТИПОНОМИНАЛЫ

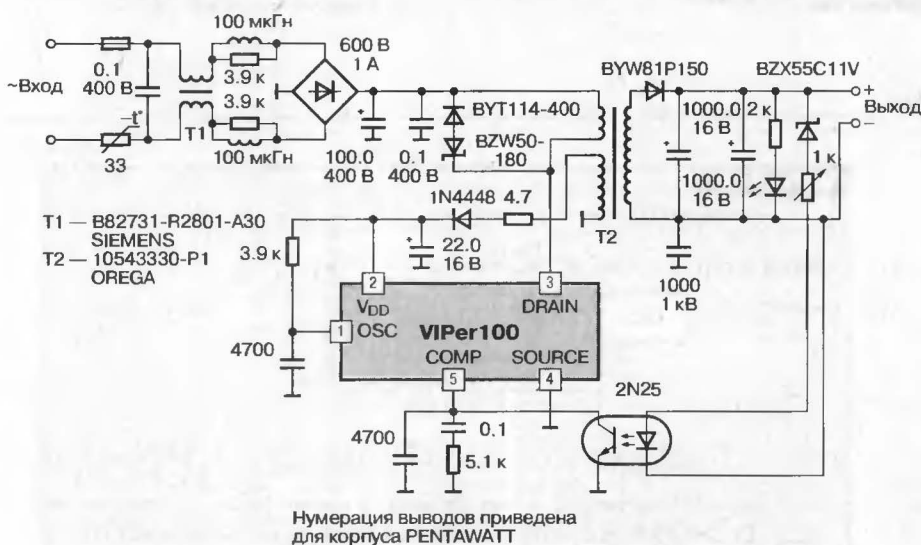
Прибор	Ключевой транзистор			Входное напряжение, В (rms)	Максимальная рабочая частота, кГц	Максимальный рабочий цикл, %	Ограничение тока	Корпус
	V <sub>DS</sub> , В	R <sub>DS</sub> , Ом	I <sub>D</sub> , А					
VIPer100	620	2.5	3	70..300	200	90	Почиковое	PENTAWATT
VIPer100SP	620	2.5	3	70..300	200	90	Почиковое	PowerSO-10
VIPer100A	700	2.8	3	70..300	200	90	Почиковое	PENTAWATT
VIPer100ASP	700	2.8	3	70..300	200	90	Почиковое	PowerSO-10
VIPer100B	400	1.1	6	70..165	200	90	Почиковое	PENTAWATT
VIPer100BSP	400	1.1	6	70..165	200	90	Почиковое	PowerSO-10

**Примечания:**

$V_{DS}$  — напряжение сток-исток,  $R_{DS}$  — сопротивление открытого канала.  $I_D$  — ток стока.

### СХЕМА ВКЛЮЧЕНИЯ

**Рис. 1. Источник питания на базе VPer100 с оптоэлектронной обратной связью**





**Микросхемы для импульсных источников питания фирмы Texas Instruments:**

Контроллеры с токовым выходом для сетевых источников питания .....	534
ШИМ-контроллеры общего применения .....	534
Контроллеры с синхронным выпрямлением для питания цифровых устройств .....	534
Маломощные конденсаторные преобразователи напряжения для портативных устройств .....	534
Маломощные индуктивные преобразователи напряжения для портативных устройств .....	534
<b>TL1454</b> Двухканальная схема управления ШИМ-преобразователями .....	535
<b>TL5001</b> Схема управления ШИМ-преобразователем .....	537
<b>TPS5602</b> Быстродействующий сдвоенный контроллер для питания ЦСП .....	538
<b>TPS6755</b> Регулируемый инвертирующий DC/DC-преобразователь .....	540
<b>TPS60110/11</b> Регулируемый маломощный DC/DC-преобразователь с накачкой заряда .....	541

**ЗА ДОПОЛНИТЕЛЬНОЙ ИНФОРМАЦИЕЙ И ПО ВОПРОСАМ ПОСТАВКИ КОМПОНЕНТОВ ОБРАЩАТЬСЯ:**

**Официальный дистрибьютор ЗАО «Scan»**  
тел. (095)796-9125, <http://www.texas.ru>, e-mail: [ti@scan.ru](mailto:ti@scan.ru)

**Компания "МЭЙ"**  
тел. (095)913-5161, факс. (095)913-5160, <http://www.may.ru>, e-mail: [info@may.ru](mailto:info@may.ru)

## МИКРОСХЕМЫ ДЛЯ ИМПУЛЬСНЫХ ИСТОЧНИКОВ ПИТАНИЯ ФИРМЫ TEXAS INSTRUMENTS

Прибор	Входное напряжение, В	Выходной ток, мА	Максимальная частота, кГц	Ток потребления/ (в дежурном режиме), мА	Блокировка при пониженном напряжении	Вход блокировки	Измерение тока в импульсе	Примечание
<b>КОНТРОЛЛЕРЫ С ТОТЕМНЫМ ВЫХОДОМ ДЛЯ СЕТЕВЫХ ИСТОЧНИКОВ ПИТАНИЯ</b>								
UC3845	30	±200	500	11/—	+		+	
UC3844	30	±200	500	11/—	+		+	
UC3843	30	±200	500	11/—	+		+	
UC3842	30	±200	500	11/—	+		+	
UC2845	30	±200	500	11/—	+		+	
UC2844	30	±200	500	11/—	+		+	
UC2843	30	±200	500	11/—	+		+	
<b>ШИМ-КОНТРОЛЛЕРЫ ОБЩЕГО ПРИМЕНЕНИЯ</b>								
TL494	7...40	200	300	7.5/6				
TL497A	4.5...12	500	50	11/6		+		Фиксированная длительность импульса
TL499A	1.1...35	500	40	1.8/—				Фиксированная длительность импульса
TL594	7...40	200	300	12.4/9	+			
TL598	7...40	±250	300	15/—	+			Тотемный выход
TL1451A	3.6...50	20	500	1.7/1.3	+			
TL1453	3.6...40	21	500	1.7/1.3	+	+		
TL1454	3.6...20	±40	2000	3.5/3.1	+			Тотемный выход
TL5001	3.6...40	20	400	1.1/1	+			
TL5001A	3.6...40	20	400	1.1/1	+			
SG3524	8...40	100	500	—/8		+		
<b>КОНТРОЛЛЕРЫ С СИНХРОННЫМ ВЫПРЯМЛЕНИЕМ ДЛЯ ПИТАНИЯ ЦИФРОВЫХ УСТРОЙСТВ</b>								
TPS5210	5, 12	2000	> 200	5/—	+	+		
TPS5602	4.5...25	1200	> 200	0.8/0.01	+	+		
TPS56100	4.5...6	5000	> 200	3/0.09	+	+		
TPS5615/18/25/36	5, 12	2000	> 200	3/—	+	+		
<b>МАЛОМОЩНЫЕ КОНДЕНСАТОРНЫЕ ПРЕОБРАЗОВАТЕЛИ НАПЯЖЕНИЯ ДЛЯ ПОРТАТИВНЫХ УСТРОЙСТВ</b>								
TPS60100	1.8...3.6	200	400	200/0.05		+		$V_{OUT} = 3.3 \text{ В}$
TPS60101	1.8...3.6	100	400	100/0.05		+		$V_{OUT} = 3.3 \text{ В}$
TPS60110	2.7...3.6	300	> 300	300/0.05		+		$V_{OUT} = 5 \text{ В}$
TPS60111	1.8...3.6	150	> 300	150/0.05		+		$V_{OUT} = 5 \text{ В}$
<b>МАЛОМОЩНЫЕ ИНДУКТИВНЫЕ ПРЕОБРАЗОВАТЕЛИ НАПЯЖЕНИЯ ДЛЯ ПОРТАТИВНЫХ УСТРОЙСТВ</b>								
TPS6734	5...12	225	170	1.2/0.003		+	+	$V_{OUT} = 12 \text{ В}$
TPS6735	4.6.2	200	160	1.9/0.010	+	+	+	Инвертор $V_{OUT} = -5 \text{ В}$
TPS6755	2.7...9	200	160	1.9/0.010		+	+	Перестраиваемый инвертор



## ДВУХКАНАЛЬНАЯ СХЕМА УПРАВЛЕНИЯ ШИМ-ПРЕОБРАЗОВАТЕЛЯМИ

### ОСОБЕННОСТИ

- Две полных схемы управления ШИМ-преобразователями
- Тотемные (квазикомплементарные) выходы
- Напряжение питания ..... 3.6...20 В
- Собственный ток потребления ..... 3.5 мА (тип)
- Регулируемый рабочий цикл ..... 0...100%
- Опорное напряжение ..... 1.25 В

### ОБЩЕЕ ОПИСАНИЕ

Каждый из каналов в ИС содержит усилитель ошибки, ШИМ-компаратор, компаратор "мертвого" времени, устанавливающий максимальное значение рабочего цикла, и выходной каскад. Генератор, источник опорного напряжения, узлы защиты от пониженного напряжения и короткого замыкания — общие для обоих каналов. Канал 1 предназначен для управления *n*-канальным МОП-транзистором в

повышающих и обратноходовых преобразователях. Канал 2 предназначен для управления *p*-канальным МОП-транзистором в понижающих и инвертирующих преобразователях. Диапазон синфазных напряжений усилителей ошибки включает потенциал земли, что позволяет использовать ИС TL1454 не только в преобразователях напряжения, но и в устройствах заряда аккумуляторов. Предусмотрен режим мягкого запуска и регулировка рабочей частоты.

### ТИПОНОМИНАЛЫ

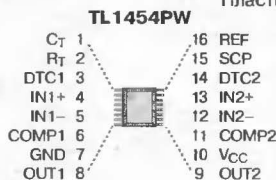
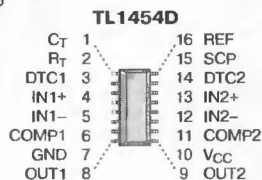
Типономинал	Температурный диапазон, °C	Корпус
TL1454CN	-20...+85	PDIP-16 (R-PDIP-T)
TL1454IN	-40...+85	
TL1454CD	-20...+85	SOP-16 (R-PDSO-G)
TL1454ID	-40...+85	
TL1454CPWLE	-20...+85	TSSOP-16 (R-PDSO-G)
TL1454Y	-20...+85	Бескорпусной

### ЦОКОЛЕВКА КОРПУСОВ

#### Пластмассовый корпус типа PDIP-16

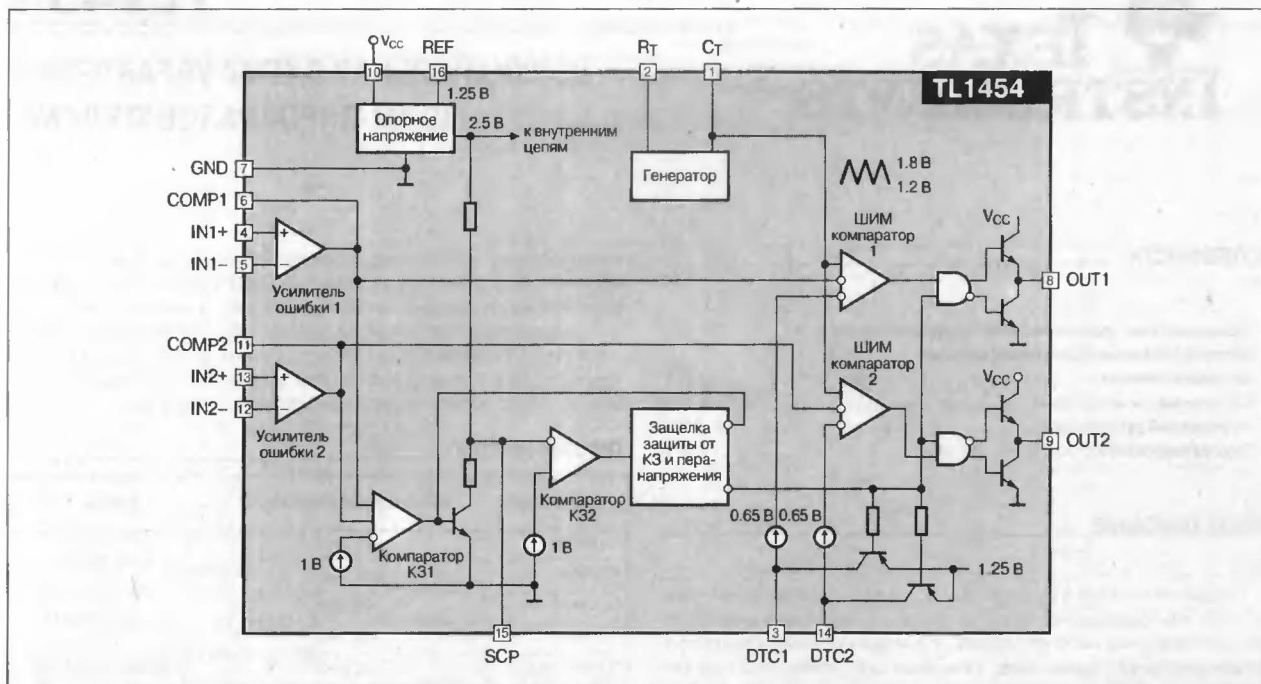
Вывод подключения времязадающего конденсатора	CT	1	16 REF	Выход источника опорного напряжения
Вывод подключения времязадающего резистора	RT	2	15 SCP	Вход второго компаратора защиты от КЗ
Установка "мертвого" времени в первом канале	DTC1	3	14 DTC2	Установка "мертвого" времени во 2-м канале
Неинвертирующий вход усилителя ошибки 1-го канала	IN1+	4	13 IN2+	Неинвертирующий вход усилителя ошибки 2-го канала
Инвертирующий вход усилителя ошибки 1-го канала	IN1-	5	12 IN2-	Инвертирующий вход усилителя ошибки 2-го канала
Выход усилителя ошибки 1-го канала	COMP1	6	11 CDMP2	Выход усилителя ошибки 2-го канала
Земля	GND	7	10 VCC	Напряжение питания
Выход 1-го канала	OUT1	8	9 OUT2	Выход 2-го канала

#### Пластмассовый корпус типа SOP-16

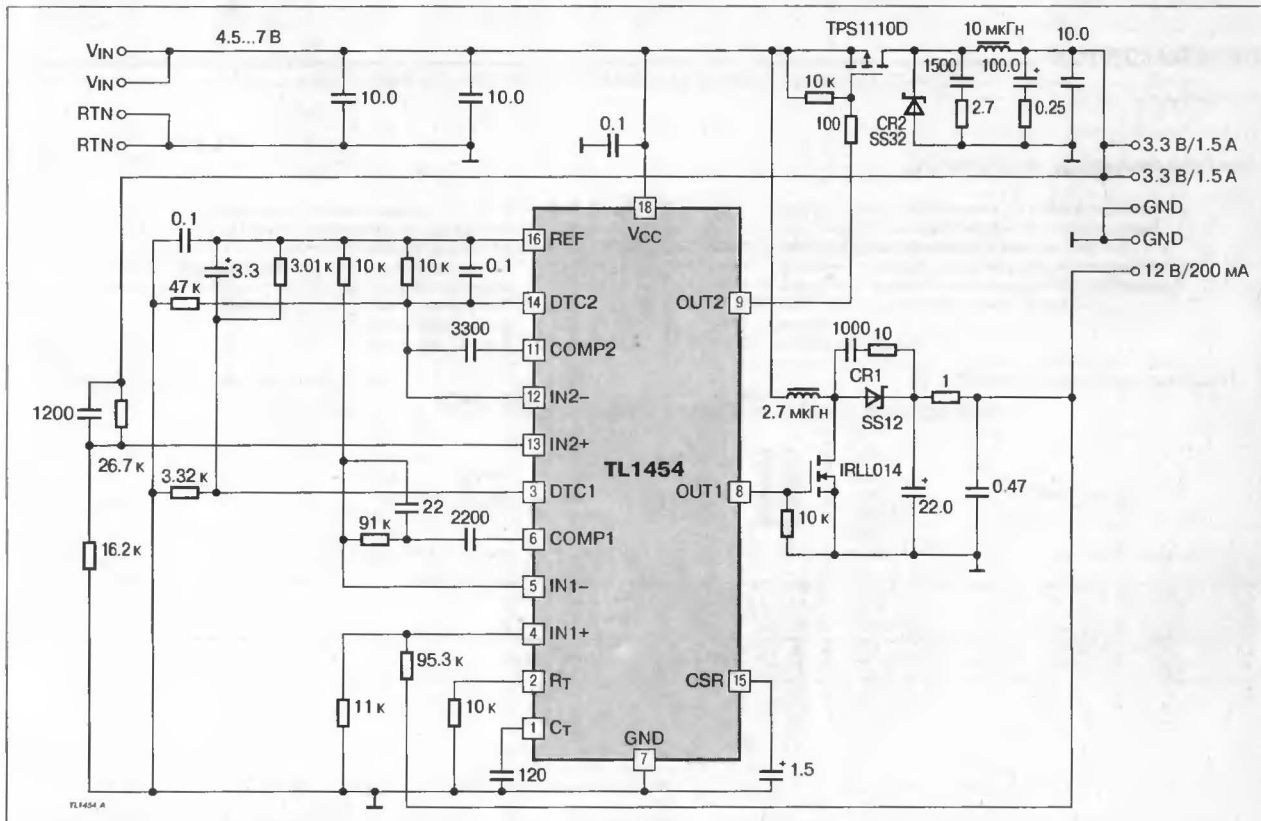


#### Пластмассовый корпус типа TSSOP-16

### СТРУКТУРНАЯ СХЕМА



### ТИПОВАЯ СХЕМА ВКЛЮЧЕНИЯ



## СХЕМА УПРАВЛЕНИЯ ШИМ-ПРЕОБРАЗОВАТЕЛЕМ

### ОСОБЕННОСТИ

- Входное напряжение ..... 3.6...40 В
- Встроенная защита от пониженного напряжения
- Встроенная защита от короткого замыкания
- Рабочая частота ..... 20...500 кГц
- Изменяемое "мертвое" время
- Погрешность опорного источника питания

TL5001 ..... ±5%  
TL5001A ..... ±3%

### ОБЩЕЕ ОПИСАНИЕ

В состав ИС TL5001/A входят усилитель ошибки, генератор, ШИМ-компаратор с входом установки "мертвого" времени, узел защиты от пониженного напряжения, узел защиты от короткого замыкания и выходной транзистор с открытым коллектором. Источник опорного напряжения в ИС TL5001 имеет погрешность 5%, в TL5001A — 3%. Синфазное напряжение усилителя ошибки может меняться от 0 до 1.5 В. На неинвертирующий вход усилителя ошибки подается опорное напряжение 1.0 В.

### ТИПОНОМИНАЛЫ

Типономинал	Корпус	Температурный диапазон, °C
TL5001CD	SOP-8	-20...+85
TL5001ACD	SOP-8	-20...+85
TL5001CP	PDIP-8	-20...+85
TL5001ACP	PDIP-8	-20...+85
TL5001ID	SOP-8	-40...+85
TL5001AID	SOP-8	-40...+85
TL5001IP, TL5001AIP	PDIP-8	-40...+85
TL5001IIP, TL5001AIP	PDIP-8	-40...+85
TL5001Y	Бескорпусной	-20...+85

### СОКЛЕТКА КОРПУСОВ

Пластмассовый корпус типа DIP-8

TL5001P

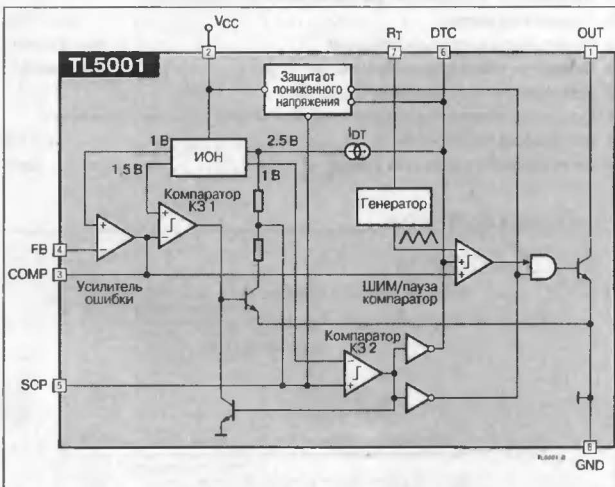
Выход (открытый коллектор)	OUT 1	8	GND Земля
Вход питания	VCC 2	7	R <sub>T</sub> Подключение времязадающего резистора
Выход усилителя ошибки	COMP 3	6	DTC Установка "мертвого" времени
Инвертирующий вход усилителя ошибки	FB 4	5	SCP Вход 2-го компаратора короткого замыкания

Пластмассовый корпус типа SOP-8

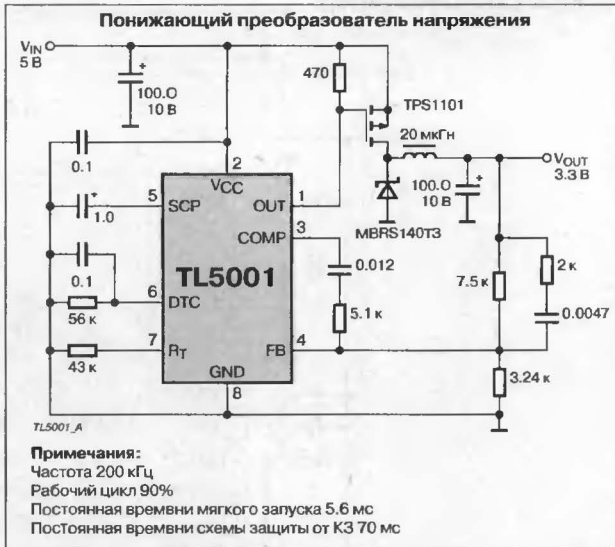
TL5001D

EN 1	8	VCC
REF 2	7	OUT
SS 3	6	GND
COMP 4	5	FB

### СТРУКТУРНАЯ СХЕМА



### СХЕМА ВКЛЮЧЕНИЯ



## БЫСТРОДЕЙСТВУЮЩИЙ СДВОЕННЫЙ КОНТРОЛЛЕР ДЛЯ ПИТАНИЯ ЦСП

### ОСОБЕННОСТИ

- ♦ Два независимых канала
- ♦ Управление с гистерезисом для повышения быстродействия
- ♦ Входное напряжение ..... 4.5...25 В
- ♦ Регулируемое выходное напряжение ..... до 1.2 В (min)
- ♦ Синхронное выпрямление обеспечивает КПД ..... свыше 95%
- ♦ Минимальное число внешних элементов
- ♦ Раздельное включение дежурного режима и защита от токовых перегрузок
- ♦ Собственный ток потребления ..... 0.8 мА
- ♦ Ток потребления в дежурном режиме ..... 1 мкА

### ОБЩЕЕ ОПИСАНИЕ

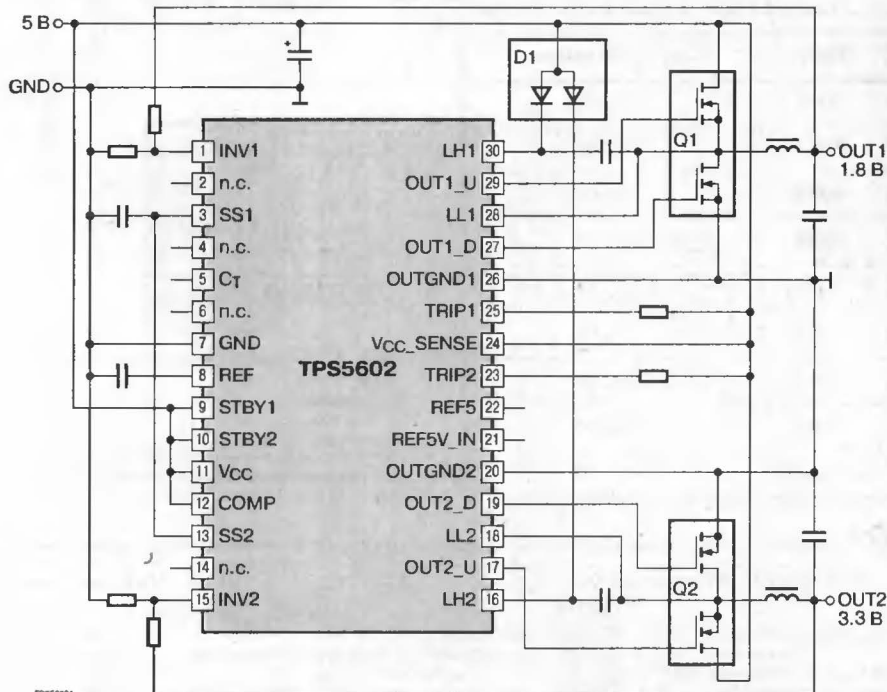
Микросхема TPS5602 представляет собой двухканальный синхронный контроллер для понижающих и повышающих преобразователей. Релейный режим управления обеспечивает возможность применения прибора в режимах с большим импульсным током потребления (например, для питания ЦСП (DSP) C6000 и C54х). Так как оба канала независимы, последовательность включения понижающего и повышающего режимов преобразования легко достигается соответствующей установкой выводов STBY.

### ЦОКОЛЕВКА КОРПУСОВ

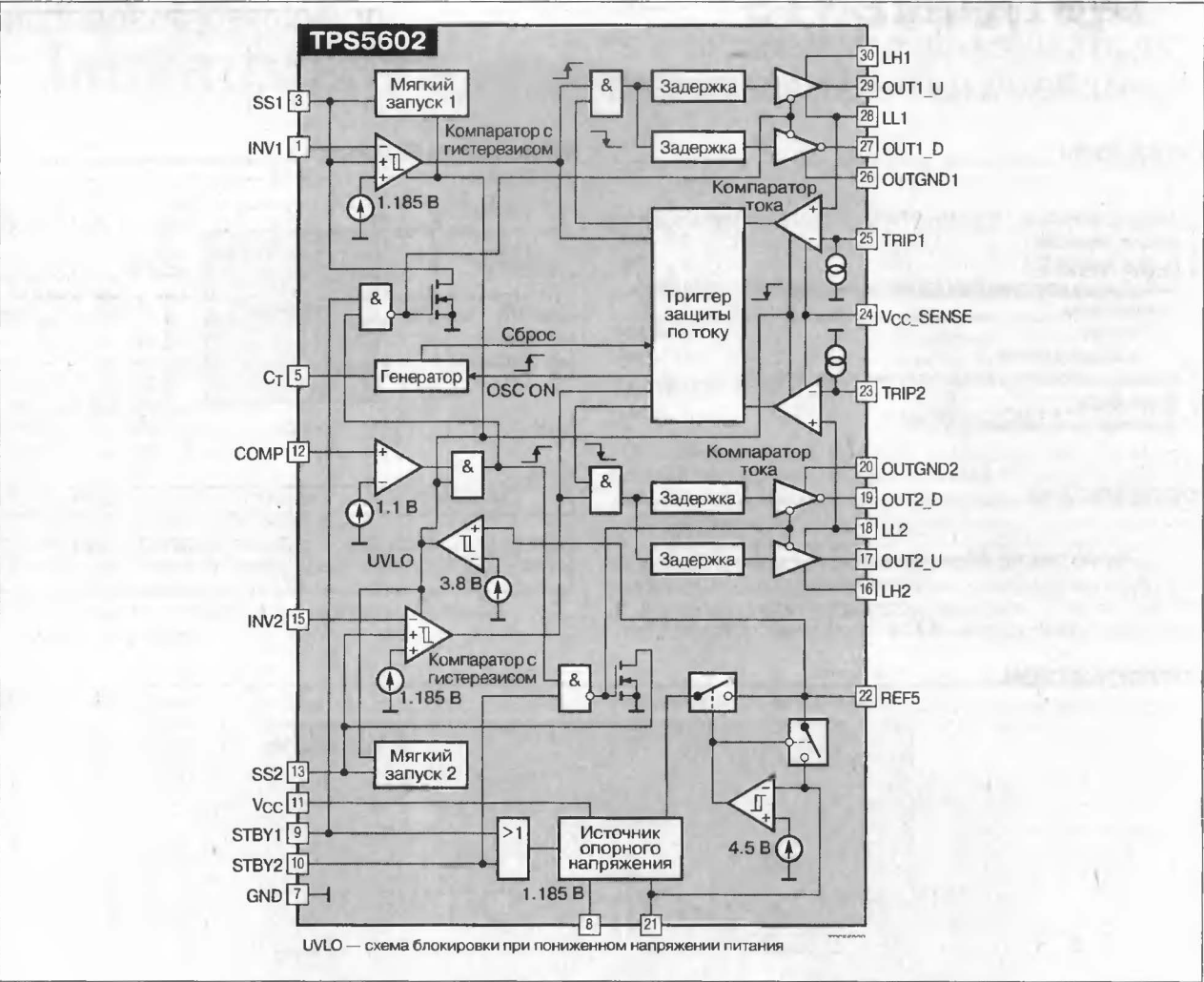
Корпус типа TSSOP-30

Инвертирующий вход компаратора ошибки канала 1	INV1	1	30	LH1	Вывод для подключения конденсатора вольтодобавки канала 1
Не используется	n.c.	2	29	OUT1_U	Вывод управления «верхним» ключевым транзистором канала 1
Вывод для подключения конденсатора мягкого запуска канала 1	SS1	3	28	LL1	Вывод управления и токовой защиты канала 1
Не используется	n.c.	4	27	OUT1_D	Вывод управления «нижним» ключевым транзистором канала 1
Времязадающий конденсатор	CT	5	26	OUTGND1	Земля выходного каскада канала 1
Не используется	n.c.	6	25	TRIP1	Вход контроля выходного тока канала 1
Земля схемы управления	GND	7	24	VCC_SENSE	Вход контроля напряжения питания
Вывод опорного напряжения 1.165 В	REF	8	23	TRIP2	Вход контроля выходного тока канала 2
Включение дежурного режима канала 1	STBY1	9	22	REF5	Вывод внутреннего источника напряжения 5 В
Включение дежурного режима канала 2	STBY2	10	21	REF5V_IN	Вход внешнего напряжения 5 В
Напряжение питания	VCC	11	20	OUTGND2	Земля выходного каскада канала 2
Вход компаратора контроля напряжения питания	COMP	12	19	OUT2_D	Вывод управления «нижним» ключевым транзистором канала 2
Вывод для подключения конденсатора мягкого запуска канала 2	SS2	13	18	LL2	Вывод управления и токовой защиты канала 2
Не используется	n.c.	14	17	OUT2_U	Вывод управления «верхним» ключевым транзистором канала 2
Инвертирующий вход компаратора ошибки канала 2	INV2	15	16	LH2	Вывод для подключения конденсатора вольтодобавки канала 2

### ТИПОВАЯ СХЕМА ПРИМЕНЕНИЯ



СТРУКТУРНАЯ СХЕМА



ТИПОНОМИНАЛЫ

Типономинал	Корпус	Температурный диапазон, °C
TPS5602IDBT	TSSOP-30	-40...+85
TPS5602IDBTR	TSSOP-30 (лента и бобина)	-40...+85

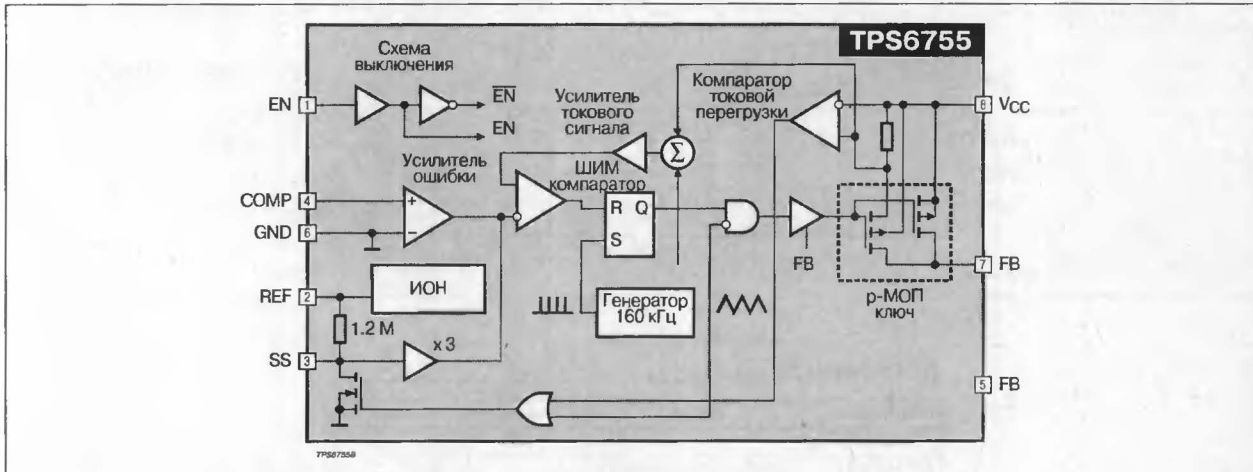
## ОСОБЕННОСТИ

- Выходная мощность до 1 Вт (при  $V_{CC} > 4.5 \text{ В}$ )
- Входное напряжение ..... 2.7...9.0 В
- Типовое значение КПД ..... 78%
- Токовый режим управления ШИМ при фиксированной рабочей частоте 160 кГц
- Ток потребления
  - рабочий ..... 1.9 мА (тип)
  - в дежурном режиме ..... 1 мкА
- Выходное напряжение ограничено на уровне  $|V_{OUT}| < 12 \text{ В} - V_{CC}$
- Мягкий запуск
- Совместимость по цоколевке с MAX755

### ОБЩЕЕ ОПИСАНИЕ

В состав ИС TPS6755 входят схема управления и ключ на р-канальном МОП-транзисторе с сопротивлением канала 0.4 Ом. Выход источника опорного напряжения допускает нагрузку до 125 мкА. В отсутствие нагрузки собственный ток потребления составляет 1.9 мА.

### СТРУКТУРНАЯ СХЕМА



## ЦОКОЛЕВКА КОРПУСОВ

Пластмассовый корпус типа DIP-8

TPS6755P

Рабочий/Дежурный режим	EN	1	8	V <sub>CC</sub>	Вход напряжения питания
Выход опорного напряжения	REF	2	7	OUT	Выход
Мягкий запуск	SS	3	6	GND	Земля
Вход компаратора ошибок	COMP	4	5	FB	Вход обратной связи

Пластмассовый корпус типа SOP-8

**TPS6755D**

EN 1 8 VCC  
REF 2 7 OUT  
SS 3 6 GND  
COMP 4 5 FB

### ТИПОНОМИНАЛЫ

Типономиналы	Корпус	Температурный диапазон, °C
TPS6755IP	PDIP-8	-40...+85
TPS6755ID	SOP-8	
TPS6755Y	Бескорпусной	



### РЕГУЛИРУЕМЫЙ МАЛОШУМЯЩИЙ DC/DC-ПРЕОБРАЗОВАТЕЛЬ С НАКАЧКОЙ ЗАРЯДА

#### ОСОБЕННОСТИ

- ♦ Выходной ток  
TPS60110 ..... 300 мА  
TPS60111 ..... 150 мА
- ♦ Амплитуда пульсаций на выходе ..... менее 10 мВ ( $V_{pp}$ )
- ♦ Не требуется дроссель
- ♦ Малое электромагнитное излучение
- ♦ Выходное напряжение .....  $5 \text{ В} \pm 4\%$
- ♦ Требуется только 4 внешних элемента
- ♦ КПД ..... до 90%
- ♦ Диапазон входных напряжений от 2.7 до 5.4 В (три NiCd, NiMH или щелочных элемента, или один литиевый)
- ♦ Потребляемый ток в отсутствии нагрузки ..... 60 мкА
- ♦ Потребляемый ток в дежурном режиме ..... 0.05 мкА
- ♦ Отключение нагрузки в дежурном режиме
- ♦ Перспективный малогабаритный корпус PowerPAD™ с улучшенными тепловыми параметрами

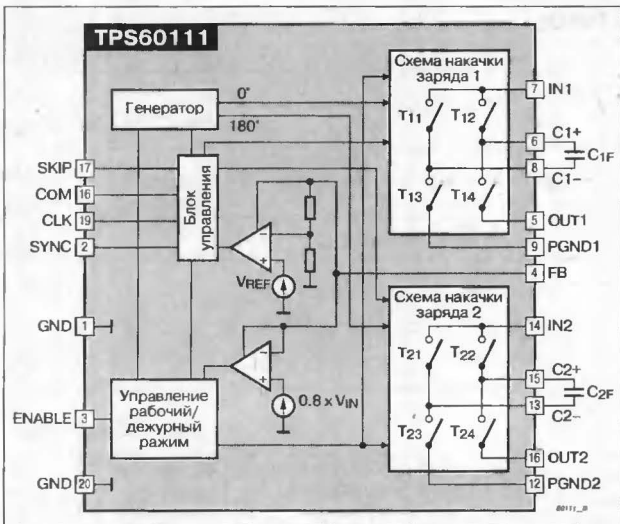
#### ОБЛАСТИ ПРИМЕНЕНИЯ

- ♦ Преобразователи напряжения в переносных приборах и вычислительной технике с питанием от батарей, в том числе литиевых

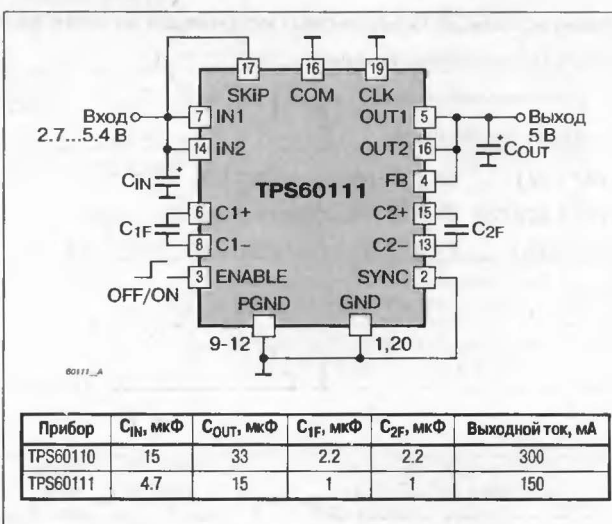
#### ОБЩЕЕ ОПИСАНИЕ

В состав ИС TPS60111 входят схема управления, генератор 300 кГц и два двухтактных выходных каскада. При входном напряжении 3 В преобразователь запускается с нагрузкой 16 Ом (TPS60111 — 33 Ом). Предусмотрено ограничение тока, потребляемого из входной цепи в пусковом режиме. Прибор работает либо в режиме с постоянной частотой для минимизации пульсаций выходного напряжения и шума, либо в режиме с пропуском импульсов при слабой нагрузке, что позволяет продлить жизнь батарей.

#### СТРУКТУРНАЯ СХЕМА



#### ТИПОВАЯ СХЕМА ВКЛЮЧЕНИЯ



#### ЦОКОЛЕВКА КОРПУСОВ

Малогабаритный корпус TSSOP-20

Аналоговая земля  
Режим Внешней/Внутренней синхронизации  
Включение дежурного режима  
Вход обратной связи  
Выход 5 В первого канала  
Положительный вывод конденсатора C1  
Вход 1-го канала  
Отрицательный вывод конденсатора C1  
Силовая земля 1  
Силовая земля 1

TPS60111

GND 1  
SYNC 2  
ENABLE 3  
FB 4  
OUT1 5  
OUT2 6  
IN1 7  
IN2 8  
PGND 9  
PGND 10

20 GND  
19 CLK  
18 COM  
17 SKIP  
16 OUT2  
15 C2+  
14 IN2  
13 C2-  
12 PGND  
11 PGND

Аналоговая земля  
Вход внешней синхронизации  
Однотактный/двухтактный режим выходных каскадов  
Вкл. режима с пропуском импульсов  
Выход 5 В второго канала  
Положительный вывод конденсатора C2  
Вход 2-го канала  
Отрицательный вывод конденсатора C2  
Силовая земля 2  
Силовая земля 2

# РЧТОКО

## Микросхемы для импульсных источников питания фирмы ТОКО:

DC/DC-преобразователи .....	543
Ключ верхнего плеча .....	543
ШИМ-контроллеры .....	543
<b>TK11821</b> DC/DC-преобразователь .....	544
<b>TK11822/23</b> DC/DC-преобразователь .....	545
<b>TK75020</b> DC/DC-преобразователь .....	546

## МИКРОСХЕМЫ ДЛЯ ИМПУЛЬСНЫХ ИСТОЧНИКОВ ПИТАНИЯ ФИРМЫ ТОКО

## DC/DC-ПРЕОБРАЗОВАТЕЛИ

Прибор	Входное напряжение, В	Выходное напряжение, В	Выходной ток		КПД			Рабочая частота, кГц (тип)	Особенности	Корпус
			мА (тип)	при $V_{IN}$ , В	% (тип)	при $V_{IN}$ , В	при $I_O$ , мА			
ПОЛОЖИТЕЛЬНОЕ ВЫХОДНОЕ НАПРЯЖЕНИЕ										
TK11806	1.1...18	9.3/12.8/16.8/24/28/32	1.8	5.0	—	—	—	—	Релаксационный генератор	SOP-8
TK11811	0.6...14	1.9/2.8	4.5	1.1	72	1.4	3	300	Встроенный выпрямительный диод	SOT23L-6
			6.8	1.4						
TK11812	0.6...14	1.5...15	4.5	1.1	72	1.4	3	300	Встроенный выпрямительный диод	SOT23L-6
			6.8	1.4						
TK11816	1.1...18	7.2/12.8	6/4.5	—	—	—	—	—	Встроенный выпрямительный диод	SOT23L-6
TK11817	1.1...18	9.3/16.8	6/4.5	—	—	—	—	—		
TK11818	1.1...18	20.4/28	4/3	—	—	—	—	—		
TK11819	1.1...18	24/32	4/3	—	—	—	—	—		
TK11821	0.9...10	10/24	0.1	—	—	—	—	4000	Низкий шум	SOT23L-6
TK11822	1.1...6	7.5	0.5	—	—	—	—	3000	Низкий шум	SOT23L-6
TK11823	1.1...6	14	0.5	—	—	—	—	3000	Низкий шум	SOT23L-6
TK65015	0.9...1.6	3	4 (max)	> 1.1	74	1.3	4	83	Низкий ток потребления, микропроцессорный сброс, блокировка при пониженном напряжении	SOT23L-6
TK65025	0.9... $V_{OUT}-1$	3	15 (max)	—	80	1.3	1	83	Низкий ток потребления, микропроцессорный сброс, блокировка при пониженном напряжении	SOT23L-6
TK651xx	0.9...1.6	2.7/3/3.3	7.6	1.1 (95 мкГн)	76	1.3	6	83	Низкий ток потребления, микропроцессорный сброс, блокировка при пониженном напряжении	SOT23L-6
			12.8	1.3 (95 мкГн)						
			15.5	1.1 (39 мкГн)						
			33.6	1.3 (39 мкГн)						
ОТРИЦАТЕЛЬНОЕ ВЫХОДНОЕ НАПРЯЖЕНИЕ										
TK11830	2.5...15	0...-15	60	—	—	—	—	—	Встроенная схема ВКЛ/ВЫКЛ, датчик перегрева	SOT23L-6
TK11835	1.8...15	Per.	50	—	70	—	30	—	Внешний ключевой транзистор, датчик перегрева	SOT23-6

## КЛЮЧ ВЕРХНЕГО ПЛЕЧА

Прибор	Входное напряжение, В	Напряжение вход-выход		Выходной ток, мА (max)	Ток потребления в состоянии ВЫКЛ, мкА	Ток утечки			Особенности	Корпус
		мВ	при $I_O$ , мА (тип)			нА	при $V_{IN}$ , В	при $V_{REV}$ , В		
TK70001	1.6...12	350	50	130 (тип)	0.1	50	0	8	Мощный p-n-p-транзистор, управление выходом ВКЛ/ВЫКЛ, 2 схемы в одном корпусе	SOT23-6
TK70002	1.6...12	350	50	110 (тип)	0.1	50	0	8	Мощный p-n-p-транзистор, управление выходом ВКЛ/ВЫКЛ, 2 схемы в одном корпусе	SOT23-6

## ШИМ-КОНТРОЛЛЕРЫ

Прибор	Ток запуска, мА (Опорное напряжение, В)	Мягкий запуск	Гистерезис блокировки при пониженном напряжении, В	Напряжение запуска, В	Поцикловое ограничение тока	Защита от перенапряжения (OVP)	Компенсация наклона "пилы"	Выходной транзистор		Управление	Максимальная частота генератора, кГц	Максимальный рабочий цикл, %	Корпус
								$V_{CE}$ , В	$I_C$ , мА (peak)				
TK83854	(7.5 ± 0.1)	+	4	16	+			35	1000	Ток	200	95	DIP-16, SOP-16
TK75001	1		4	14.5			+	16	—	Напряжение или ток	800	44	DIP-8
TK75003	1		4	14.5			+	18	—	Напряжение или ток	1600	88	DIP-8
TK75020	4 ± 0.2	+	0.3	5.6	+	+		18	~700...500	Резонанс. ZVS	—	—	SOP-14
ДРАЙВЕР МОП-ТРАНЗИСТОРА													
TK75050	—		1	11	+			14	±2000	—	—	—	DIP-8

## Примечание

ZVS — переключение при нулевом напряжении

### ОСОБЕННОСТИ

- ♦ Очень низкий шум
- ♦ Малые габариты
- ♦ Немного навесных компонентов
- ♦ Широкий диапазон напряжения питания ..... 0.9...10 В
- ♦ Генератор синусоидального напряжения
- ♦ Выбор выходного напряжения

### ПРИМЕНЕНИЕ

- ♦ Источник смещения варикапов и PIN-фотодиодов
- ♦ Мобильная контрольно-измерительная аппаратура
- ♦ Системы радиоуправления
- ♦ Подвижные радиостанции
- ♦ Телефоны для сотовой связи
- ♦ Радиотелефоны
- ♦ Приемники волоконно-оптической связи
- ♦ Локальные вычислительные сети
- ♦ Оборудование с батарейным питанием

### ОБЩЕЕ ОПИСАНИЕ

Микросхема TK11821 представляет собой маломощный DC/DC-преобразователь с низким входным напряжением. Устройство оптимизировано для питания варикапов и PIN-фотодиодов. Прибор выдает выходные напряжения 10 В (DC) и 24 В (DC) при входном напряжении от 0.9 В.

Так как встроенный генератор высокой частоты генерирует синусоидальный сигнал, TK11821 производит очень низкий интерференционный радиочастотный шум. Фильтрация проста и эффективна, так как внутренний генератор работает на частотах 6...8 МГц. Эта характерная особенность делает микросхему TK11821 идеально подходящей для применения в волоконно-оптических приемниках.

Устройство способно работать в диапазоне напряжений питания от 0.9 до 10 В.

При отключенном выводе T1 выходное напряжение равно 24 В. Когда вывод T1 соединен с GND, выходное напряжение составляет 10 В.

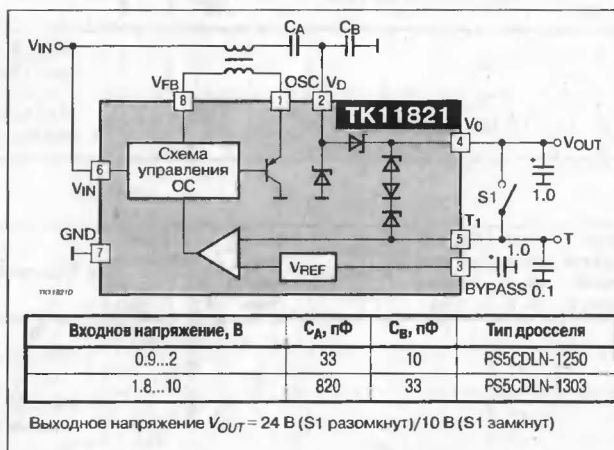
Микросхема TK11821 выпускается в 8-выводном пластмассовом корпусе для поверхностного монтажа.

### ЦОКОЛЕВКА КОРПУСОВ

Пластмассовый корпус типа SOP-8



### СТРУКТУРНАЯ СХЕМА И ТИПОВАЯ СХЕМА ВКЛЮЧЕНИЯ



### ТИПОНОМИНАЛЫ

Типономинал	Корпус
TK11821M	MFP-8 (SOP-8)

#### ОСОБЕННОСТИ

- ♦ Очень низкий шум
- ♦ Малый разброс выходного напряжения
- ♦ Небольшое число навесных компонентов
- ♦ Широкий диапазон напряжения питания
- ♦ Синусоидальный генератор
- ♦ Выбор выходного напряжения

#### ПРИМЕНЕНИЕ

- ♦ Стерефонические головные телефоны
- ♦ Пейджеры
- ♦ Мобильное беспроводное оборудование
- ♦ Электронные записные книжки
- ♦ Оборудование с батарейным питанием
- ♦ Телевизоры с экраном на жидких кристаллах

#### ТИПОНОМИНАЛЫ

Типономинал	Корпус
TK11822M	SOT-23L-6
TK11823M	SOT-23L-6

#### ОБЩЕЕ ОПИСАНИЕ

Микросхемы TK11822M и TK11823M представляют собой DC/DC-преобразователи повышающего типа, разработанные преимущественно для использования в качестве источников питания варикапов. Обе микросхемы предназначены для маломощной низковольтной работы. Для снижения шумов в АМ-диапазоне приборы используют синусоидальные колебания высокой частоты. Обе схемы выпускаются с двумя выходными напряжениями, что позволяет пользователю самому выбирать наиболее эффективное для оборудования выходное напряжение. Микросхемы содержат встроенные выпрямительные диоды и выпускаются в миниатюрных корпусах, что способствует уменьшению габаритных размеров оборудования.

#### ЦОКОЛЕВКА КОРПУСОВ

Пластмассовый корпус типа SOT23L-6

TK11822/23			
Эмиттер ключевого транзистора	EMITTER 1	6	V <sub>IN</sub> Входное напряжение
База ключевого транзистора	BASE 2	5	GND Земля
Вход выпрямителя	DA 3	4	V <sub>O</sub> Выход

#### СТРУКТУРНАЯ СХЕМА И ТИПОВАЯ СХЕМА ВКЛЮЧЕНИЯ



Дроссель фирмы ТОКО 5CDM-658BN-1085  
 TK11822 C1 = 33 пФ  
 TK11823 C1 = 68 пФ

### ОСОБЕННОСТИ

- ♦ Оптимизирован для сетевого и батарейного питания
- ♦ Внутренний детектор нулевого напряжения
- ♦ Мягкий запуск
- ♦ Поцикловое (импульс за импульсом) ограничение тока
- ♦ Защита от перегрева с мягким запуском
- ♦ Защита от перенапряжений с мягким запуском
- ♦ Низкий ток потребления в дежурном режиме
- ♦ Программируемая длительность открытого/закрытого состояния ключа
- ♦ Вход разрешения/блокирования

### ПРИМЕНЕНИЕ

- ♦ Флюоресцентные лампы с холодным катодом
- ♦ Резонансные источники питания
- ♦ Источники питания для компьютеров класса Notebook
- ♦ Источники питания для персональной электроники

### ТИПОНОМИНАЛЫ

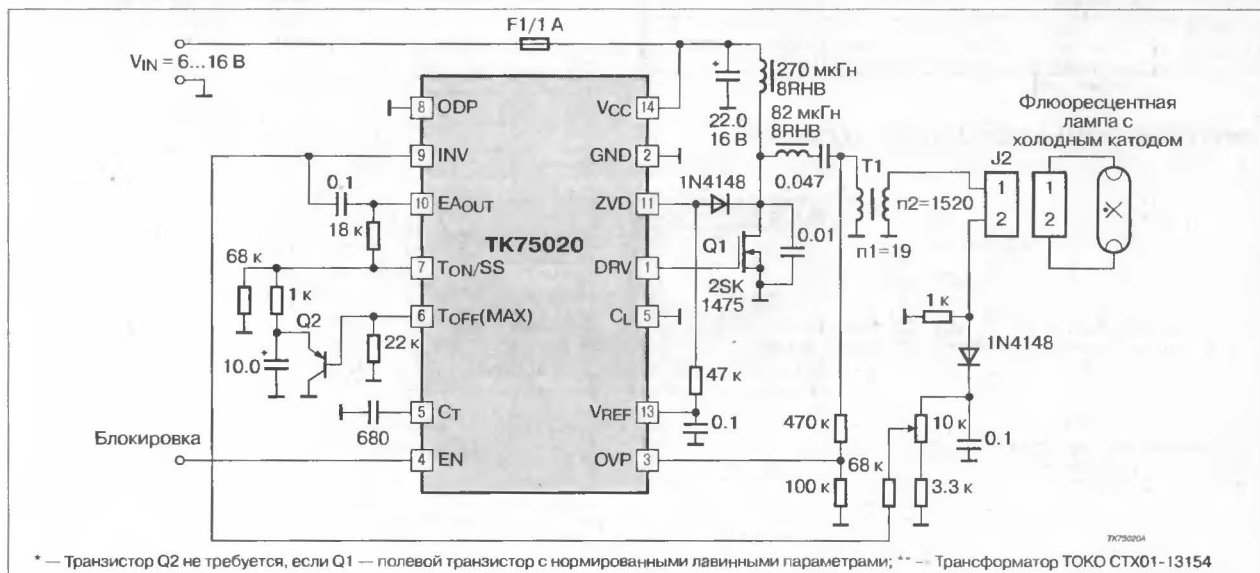
Типономинал	Корпус
TK75020TL	SOP-14 (лента и бобина)

### ОБЩЕЕ ОПИСАНИЕ

Микросхема TK75020 представляет собой недорогой высококачественный контроллер с переключением при нулевом напряжении (ZVS). Этот прибор находит применение в инверторах для флюоресцентных ламп с холодным катодом и в квазирезонансных или мультирезонансных конвертерах. Комбинация уникальной схемы управления (защищена патентом) и резонансного ZVS-преобразователя позволяет генерировать синусоидальный сигнал с низким искажением для управления флюоресцентной лампой, что приводит к продлению жизни лампы и к высокой светоотдаче. Интегральная схема содержит все необходимые блоки для таких применений, включая внешнюю регулировку параметров синхронизации (частоту,  $T_{ON} (min)$ ,  $T_{OFF} (max)$ ), ограничение по току, мягкий запуск, усилитель сигнала ошибки и источник опорного напряжения (ИОН). Тот же ИОН используется для защиты от пониженного напряжения и обеспечивает другие критические внутренние постоянные смещения. Ток питания в режиме OFF имеет минимальную величину (2 мА (typ)). Специальные меры были приняты, чтобы избежать нежелательного включения внешнего мощного МОП-транзистора при недостаточном напряжении питания и в режиме "OFF" (ключевой транзистор закрыт). Даже при отсутствии  $V_{CC}$  через вывод DRV течет (втекающий) ток не менее 20 мА, при этом напряжение на этом выводе поддерживается на уровне ниже 1 В, что позволяет предотвратить включение мощного МОП-транзистора. Внутренний детектор нулевого напряжения контролирует напряжение на МОП-транзисторе и гарантирует, что его включение произойдет только при нулевом напряжении. Уникальная тепловая защита предотвращает перегрев мощного МОП-транзистора в случае потери ZVS-режима.

Микросхема TK75020 выпускается в 14-выводном корпусе для поверхностного монтажа.

### ТИПОВАЯ СХЕМА ВКЛЮЧЕНИЯ



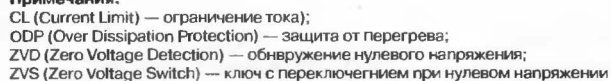
### ЦОКОЛЕВКА КОРПУСОВ

Пластмассовый корпус типа SOP-14

Пин	Функция	Пин	Функция
1	Вход управления внешним ГТ	14	VCC
2	Земля	13	VREF
3	Вход датчика перенапряжения	12	CL
4	Вход разрешения/блокировки схемы	11	ZVD
5	Частотозадающий конденсатор	10	EAOUT
6	Максимальное время закрытого ключа	9	EAUV
7	Время открытого ключа и мягкий запуск	8	ODP



## TK75020





# Unitrode Products from Texas Instruments

## Микросхемы для импульсных источников питания фирмы Unitrode:

ШИМ-контроллеры .....	549
Контроллеры с управлением по току специального назначения .....	553
Контроллеры с управлением по току для освещения .....	553
Прочие микросхемы для источников питания .....	553
Контроллеры коэффициента мощности .....	554
<b>UC1827/2827/3827</b> Двухтактный понижающий ШИМ-контроллер .....	555
<b>UC1582/2582/3582</b> Схема управления понижающим синхронным преобразователем с высоким КПД. ....	557
<b>UC1858/2858/3858</b> Корректор коэффициента мощности .....	559
<b>UC2813/3813</b> Маломощный ШИМ-контроллер с управлением по току .....	562
<b>UC3882/-1</b> Контроллер импульсного стабилизатора с 5-разрядным ЦАП и синхронным выпрямлением ..	563

## МИКРОСХЕМЫ ДЛЯ ИМПУЛЬСНЫХ ИСТОЧНИКОВ ПИТАНИЯ ФИРМЫ UNITRODE

## ШИМ-КОНТРОЛЛЕРЫ

Прибор	Контроль	Применение	Тип преобразователя	Разброс опорного напряжения, %	Пиковый выходной ток, А	Максимальная рабочая частота, МГц	Выход	Ток запуска, мА	Мягкий запуск	Блакирование защиты	Прямая связь по напряжению	Максимальный рабочий цикл, %	Отдельный генератор/вывод синхронизации
UC1524/2524/3524	Напряжение	ШИМ с фиксированной частотой, сетевое питание, DC/DC	Прямоходовой, обратногоходовой, понижающий, повышающий	4	0.1	0.3	Два независимых					50/50	+
UC1524A/2524A/3524A	Напряжение	ШИМ с фиксированной частотой, сетевое питание, DC/DC	Прямоходовой, обратногоходовой, понижающий, повышающий	1	0.2	0.5	Два независимых	4				50/50	+
UC1525A/2525A/3525A	Напряжение	ШИМ с фиксированной частотой, сетевое питание, DC/DC	Мостовой, полумостовой	1	0.4	0.5	Два тотемных		+			50/50	+
UC1525B/2525B/3525B	Напряжение	ШИМ с фиксированной частотой, сетевое питание, DC/DC	Мостовой, полумостовой	0.75	0.2	0.5	Два тотемных		+			50/50	+
UC1526/2526/3526	Напряжение	ШИМ с фиксированной частотой, сетевое питание, DC/DC	Мостовой, полумостовой	1	0.1	0.4	Два тотемных		+			50/50	+
UC1526A/2526A/3526A	Напряжение	ШИМ с фиксированной частотой, сетевое питание, DC/DC	Мостовой, полумостовой	1	0.1	0.55	Два тотемных		+			50/50	+
UC1527A/2527A/3527A	Напряжение	ШИМ с фиксированной частотой, сетевое питание, DC/DC	Мостовой, полумостовой	1	0.4	0.5	Два тотемных		+			50/50	+
UC1527B/2527B/3527B	Напряжение	ШИМ с фиксированной частотой, сетевое питание, DC/DC	Мостовой, полумостовой	0.75	0.2	0.5	Два тотемных		+			50/50	+
UC1548/2548/3548	Напряжение	Сетевое питание, DC/DC	Прямоходовой, обратногоходовой	1	2	1	Тотемный	0.5	+	+	Программируется		
UCC1570/2570/3570	Напряжение	Сетевое питание	Прямоходовой, обратногоходовой, понижающий, повышающий	1	0.5	0.5	Тотемный	0.085	+	+		100	
UCC15701/25701/35701	Напряжение	Сетевое питание	Прямоходовой, обратногоходовой, понижающий, повышающий	1	1.2	0.7	Тотемный	0.13	+	+		100	+
UC1572/2572/3572	Напряжение	Маломощный высокоэффективный стабилизатор	Отрицательное выходное напряжение, обратногоходовой	2	0.5	0.3	Тотемный					100	
UC1573/2573/3573	Напряжение	Маломощный высокоэффективный стабилизатор	Понижающий	2	0.5	0.3	Тотемный					100	
UC2578/3578	Напряжение	DC/DC	Понижающий	2	0.6 (вытекающий), 0.8 (втекающий)	0.1 (внешний генератор)	Плавающий тотемный	—	+			90	

## ШИМ-КОНТРОЛЛЕРЫ (ПРОДОЛЖЕНИЕ)

Прибор	Контроль	Применение	Тип преобразователя	Разброс опорного напряжения, %	Пиковый выходной ток, А	Максимальная рабочая частота, МГц	Выход	Ток запуска, мА	Мягкий запуск	Бланкирование защиты	Прямая связь по напряжению	Максимальный рабочий цикл, %	Отдельный генератор/вывод синхронизации
UCC1580/2580/3580	Напряжение	ШИМ с активной защелкой/сбросом	Прямоходовой, обратноходовой	1.5	1/0.5	1	Два комплементарных тотемных	0.05	+		+	Программируется	+
UCC1581/2581/3581	Напряжение	Сетевое питание (входная сторона), ШИМ для ISDN	Прямоходовой, обратноходовой	1.5	1	0.1	Тотемный	0.1	+			Программируется	+
UCC1582/2582/3582	Напряжение	Высокоэффективные DC/DC-преобразователи	Синхронный понижающий	1.5	0.5	0.5	Два комплементарных тотемных	0.015	+			100	
UCC1583/2583/3583	Напряжение	Вторичные источники питания	Понижающий	1.5	1.5 (вытекающий)/0.5 (втекающий)	0.5	Тотемный	0.1	+			95	+
UC1584/2584/3584	Напряжение	(Вторичная цепь) синхронные DC/DC-преобразователи с пост-стабилизацией	Понижающий	1	1.5	1	Тотемный		+			94	+
UCC1800/2800/3800	Ток	DC/DC и батарейное питание	Понижающий, повышающий	1.5	1	1	Тотемный	0.1	+	+		100	
UCC1801/2801/3801	Ток	DC/DC и батарейное питание	Понижающий, повышающий	1.5	1	1	Тотемный	0.1	+	+		50	
UCC1802/2802/3802	Ток	Сетевое питание	Прямоходовой, обратноходовой	1.5	1	1	Тотемный	0.1	+	+		100	
UCC1803/2803/3803	Ток	DC/DC и батарейное питание	Понижающий, повышающий	1.5	1	1	Тотемный	0.1	+	+		100	
UCC1804/2804/3804	Ток	Сетевое питание	Прямоходовой, обратноходовой	1.5	1	1	Тотемный			+	+	50	
UCC1805/2805/3805	Ток	DC/DC и батарейное питание	Прямоходовой, обратноходовой	1.5	1	1	Тотемный	0.1	+	+		50	
UCC1806/2806/3806	Ток	Двухтактный контроллер, изолированный выход	Двухтактный, мостовой, полумостовой	1	0.5	1	Два тотемных	0.1	+			50/50	
UCC1807/2807/3807	Ток	Сетевое питание, DC/DC и батарейное питание	Прямоходовой, обратноходовой, понижающий, повышающий	1.5	1	1	Тотемный	0.1	+	+		Программируется	
UCC1808/2808/3808	Ток	Сетевое питание, DC/DC	Двухтактный мостовой, полумостовой	2	0.5 (вытекающий)/1 (втекающий)	1	Два тотемных	0.1	+	+		50/50	
UCC1809/2809/3809	Ток	Сетевое питание с изоляцией, DC/DC	Прямоходовой, обратноходовой, понижающий, повышающий	5	0.4 (вытекающий)	1	Тотемный	0.1	+			90	
UCC1810/2810/3810	Ток	Двойной ШИМ преобразователь, сетевое питание, преобразователь	Прямоходовой, обратноходовой, понижающий, повышающий	1.5	1	1	Два тотемных	0.15		+		50	+
UCC2813-0/3813-0	Ток	DC/DC и батарейное питание	Понижающий, повышающий	1.5	1	1	Тотемный	0.1	+	+		100	
UCC2813-1/3813-1	Ток	DC/DC и батарейное питание	Понижающий, повышающий	1.5	1	1	Тотемный	0.1	+	+		50	
UCC1813-2/3813-2	Ток	Сетевое питание	Прямоходовой, обратноходовой	1.5	1	1	Тотемный	0.1	+	+		100	
UCC1813-3/3813-3	Ток	DC/DC и батарейное питание	Понижающий, повышающий	1.5	1	1	Тотемный	0.1	+	+		100	
UCC2813-4/3813-4	Ток	Сетевое питание	Прямоходовой, обратноходовой	1.5	1	1	Тотемный	0.1	+	+		50	
UCC2813-5/3813-5	Ток	DC/DC и батарейное питание	Прямоходовой, обратноходовой	1.5	1	1	Тотемный	0.1	+	+		50	
UC1823/2823/3823	Ток, напряжение	DC/DC	Понижающий, повышающий	1	1.5	1	Тотемный	1.1	+		+	100	+
UC1823A/2823A/3823A	Ток, напряжение	DC/DC	Понижающий, повышающий	1	2	1	Тотемный	0.1	+	+	+	Программируется	+
UC1823B/2823B/3823B	Ток, напряжение	Сетевое питание	Понижающий, повышающий	1	2	1	Тотемный	0.1	+	+	+	Программируется	+
UC1824/2824/3824	Ток, резонанс	Синхронный выпрямитель, прямоходовой преобразователь	Прямоходовой, обратноходовой	1	1.5	1	Два тотемных	1.1	+			100	+
UC1825/2825/3825	Ток, напряжение	DC/DC	Двухтактный, мостовой, полумостовой	1	1.5	1	Два тотемных	1.1	+			50/50	+
UC1825A/2825A/3825A	Ток, напряжение	DC/DC	Двухтактный, мостовой, полумостовой	1	2	1	Два тотемных	0.1	+	+	+	Программируется	+
UC1825B/2825B/3825B	Ток, напряжение	Сетевое питание, DC/DC	Двухтактный, мостовой, полумостовой	1	2	1	Два тотемных	0.1	+	+	+	Программируется	+
UCC1826/2828/3826	Ток	Вторичная цепь, режим среднего тока	Прямоходовой, обратноходовой, понижающий, повышающий	1	0.25	1	Тотемный		+			Программируется	+

## ШИМ-КОНТРОЛЛЕРЫ (ПРОДОЛЖЕНИЕ)

Прибор	Контроль	Применение	Тип преобразователя	Разброс опорного напряжения, %	Пиковый выходной ток, А	Максимальная рабочая частота, МГц	Выход	Ток запуска, мА	Мягкий запуск	Блакирование защиты	Прямая связь по напряжению	Максимальный рабочий цикл, %	Отдельный генератор/вывод синхронизации
UC1827/2827/3827	Ток, напряжение	Многовыходной или высоковольтный DC/DC	Понижающий источник тока или инверсия, двухтактный	4	1 (понижающий), 0.8 (двухтактный)	0.5	Плавающий понижающий, двухтактный	1	+		+	Программируется	+
UC1829/2829/3829	Ток, напряжение	Сетевое питание DC/DC	Понижающий, повышающий, двухтактный, полумостовой, мостовой	1	2.2	1	Два тотемных	0.2	+			50/50	+
UC1839/2839/3839	Ток	Вторичная цепь, режим среднего тока	Любой	1	10 мА для управления оптопарой	1	Драйвер оптопары						
UC1841/2841/3841	Ток, напряжение	Сетевое питание, DC/DC	Прямоходовой, обратногоходовой, понижающий, повышающий	1	1	0.5	Открытый коллектор	4.5	+		+	Программируется	
UC1842/2842/3842	Ток	Сетевое питание	Прямоходовой, обратногоходовой, понижающий, повышающий	1	1	0.5	Тотемный	1.0				100	
UC1842A/2842A/3842A	Ток	Сетевое питание	Прямоходовой, обратногоходовой, понижающий, повышающий	1	1	0.5	Тотемный	0.5				100	
UC1843/2843/3843	Ток	DC/DC	Прямоходовой, обратногоходовой, понижающий, повышающий	1	1	0.5	Тотемный	1.0				100	
UC1843A/2843A/3843A	Ток	DC/DC	Прямоходовой, обратногоходовой, понижающий, повышающий	1	1	0.5	Тотемный	0.5				100	
UC1844/2844/3844	Ток	Сетевое питание	Прямоходовой, обратногоходовой, понижающий, повышающий	1	1	0.5	Тотемный	1.0				50	
UC1844A/2844A/3844A	Ток	Сетевое питание	Прямоходовой, обратногоходовой, понижающий, повышающий	1	1	0.5	Тотемный	0.5				50	
UC1845/2845/3845	Ток	DC/DC	Прямоходовой, обратногоходовой, понижающий, повышающий	1	1	0.5	Тотемный	1.0				50	
UC1845A/2845A/3845A	Ток	DC/DC	Прямоходовой, обратногоходовой, понижающий, повышающий	1	1	0.5	Тотемный	0.5				50	
UC1846/2846/3846	Ток	Сетевое питание, DC/DC	Двухтактный, мостовой, полумостовой	1	0.5	0.5	Два тотемных		+			50/50	+
UC1847/2847/3847	Ток	Сетевое питание, DC/DC	Двухтактный, мостовой, полумостовой	1	0.5	0.5	Два тотемных		+			50/50	+
UC1848/2848/3848	Ток	Режим среднего тока, сетевое питание, DC/DC-преобразователи	Прямоходовой, обратногоходовой	1	2	1	Тотемный	0.5				Программируется	
UC1849/2849/3849	Ток	Вторичная цепь, режим среднего тока	Прямоходовой, обратногоходовой, понижающий, повышающий	1	0.25	1	Тотемный		+			Программируется	+
UC1851/2851/3851	Ток, напряжение	Программируемый контроллер входной стороны, DC/DC, сетевое питание	Прямоходовой, обратногоходовой, понижающий, повышающий	1	0.2	0.5	Тотемный	4.5	+		+	50	
UC1852/2852/3852	Резонанс	Коррекция коэффициента мощности, коммутация при нулевом токе	Повышающий	7	0.5	0.25	Один	1.0					
UC1855/2855/3855	Резонанс	Коррекция коэффициента мощности, коммутация при нулевом напряжении	Повышающий	1	1.5	0.5	Два тотемных с мягким включением	0.15	+			100	+
UC1856/2856/3856	Ток	Двухтактный контроллер, изолированный выход	Двухтактный, мостовой, полумостовой	1	1.5	1	Два тотемных		+			50/50	+
UC1860/2860/3860	Резонанс	Сетевое питание, DC/DC, коммутация при нулевом токе	Мостовой, полумостовой	1	2	2	Два тотемных с мягким включением	0.3	+			Программируется	+
UC1861/2861/3861	Резонанс	Сетевое питание, DC/DC, коммутация при нулевом напряжении	Мостовой, полумостовой	1	1	1	Два тотемных	0.15	+			50/50	
UC1862/2862/3862	Резонанс	DC/DC, коммутация при нулевом напряжении	Прямоходовой, обратногоходовой	1	1	1	Тотемный	0.15	+			100	
UC1863/2863/3863	Резонанс	DC/DC, батарейное питание, коммутация при нулевом напряжении	Мостовой, полумостовой	1	1	1	Два тотемных с мягким включением	0.15				50/50	

## ШИМ-КОНТРОЛЛЕРЫ (ПРОДОЛЖЕНИЕ)

Прибор	Контроль	Применение	Тип преобразователя	Разброс опорного напряжения, %	Пиковый выходной ток, А	Максимальная рабочая частота, МГц	Выход	Ток запуска, мА	Мягкий запуск	Бланкирование защиты	Прямая связь по напряжению	Максимальный рабочий цикл, %	Отдельный генератор/вывод синхронизации
UC1864/2864/3864	Резонанс	DC/DC, батарейное питание, коммутация по нулевому напряжению	Прямоходовой, обратногоходовой	1	1	1	Тотемный	0.15				100	
UC1865/2865/3865	Резонанс	Сетевое питание, коммутация при нулевом токе	Мостовой, полумостовой	1	1	1	Два тотемных с мягким включением	0.15				50/50	
UC1866/2866/3866	Резонанс	Сетевое питание, коммутация при нулевом токе	Прямоходовой, обратногоходовой	1	1	1	Тотемный	0.15				100	
UC1867/2867/3867	Резонанс	DC/DC, батарейное питание, коммутация при нулевом токе	Мостовой, Полумостовой	1	1	1	Два тотемных с мягким включением	0.15				50/50	
UC1868/2868/3868	Резонанс	DC/DC, батарейное питание, коммутация при нулевом токе	Прямоходовой, обратногоходовой	1	1	1	Тотемный	0.15				100	
UC1875/2875/3875	Ток, напряжение, резонанс	Переключение при нулевом напряжении, мост с фазовым сдвигом	Мостовой	1	2	1	Четыре тотемных со сдвигом фазы	0.15	+			100	+
UC1876/2876/3876	Ток, напряжение, резонанс	Переключение при нулевом напряжении, мост с фазовым сдвигом	Мостовой	1	2	1	Четыре тотемных со сдвигом фазы	0.15				100	+
UC1877/2877/3877	Ток, напряжение, резонанс	Переключение при нулевом напряжении, мост с фазовым сдвигом	Мостовой	1	2	1	Четыре тотемных со сдвигом фазы	0.15				100	+
UC1878/2878/3878	Ток, Напряжение, резонанс	Переключение при нулевом напряжении, мост с фазовым сдвигом	Мостовой	1	2	1	Четыре тотемных со сдвигом фазы	0.15				100	+
UC2879/3879	Ток, резонанс	Переключение при нулевом напряжении, мост с фазовым сдвигом	Мостовой	1	0.1	0.3	Четыре тотемных со сдвигом фазы	0.15				100	+
UCC1883/2883/3883	Ток	Входная сторона, контроллер для ISDN	Обратногоходовой	1	0.7	0.4	Один		+			50	+
UCC1884/2884/3884	Ток	Сетевое питание. DC/DC	Прямоходовой, обратногоходовой, понижающий, повышающий	2	0.5 (вытекающий)	0.7	Один	0.2	+			80	+
UCC1885/2885/3885	Ток	Вторичная цепь, для ISDN	Обратногоходовой	1		0.4	Один		+			50	+
UCC1888/2888/3888	Напряжение	Контроллер сетевого питания	Обратногоходовой	3	0.15	0.25	Тотемный	0.15		+		55	
UCC1889/2889/3889	Напряжение	Контроллер сетевого питания	Обратногоходовой	3	0.15	0.25	Тотемный	0.15		+		55	
UCC1890/2890/3890	Напряжение	Контроллер сетевого зарядного устройства	Обратногоходовой	4	0.15	0.25	Тотемный				+	—	—
UCC1895/2895/3895	Напряжение, резонанс	Переключение при нулевом напряжении, мост с фазовым сдвигом	Мостовой	1	0.1	1	Четыре тотемных со сдвигом фазы	0.15		+		100	+



## КОНТРОЛЛЕРЫ С УПРАВЛЕНИЕМ ПО ТОКУ СПЕЦИАЛЬНОГО НАЗНАЧЕНИЯ

Прибор	Применение	Тип преобразователя	Разброс опорного напряжения, %	Пиковый выходной ток, А	Максимальная рабочая частота, МГц	Выход	Мягкий запуск	Режим среднего тока	Ограничение мощности	Рабочий цикл, %	Особенности
UCC2830/3830	Питание микропроцессора	Понижающий	1	1.5	0.1/0.2/0.4	Один		+	+	95	5-битовое программирование выходного напряжения, монитор повышенного/пониженного напряжения
UC1870/2870/3870	Синхронный выпрямитель, режим среднего тока	Понижающий	2	1	0.3	Два тотемных	+	+		100	Внешний источник опорного напряжения до 1.5 В (не менее)
UC1874/2874/3874	Синхронный выпрямитель, режим среднего тока	Понижающий	2	1	0.3	Два тотемных	+	+		100	Режим пониженного энергопотребления
UCC2880/3880	Питание микропроцессора	Понижающий	1	1.5	0.1/0.2/0.4	Один		+	+	95	4-битовое программирование выходного напряжения, монитор повышенного/пониженного напряжения
UCC1881/2881/3881	Питание микропроцессора	Понижающий	1	1.5	0.1/0.2/0.4	Один		+	+	95	
UCC2882/3882	Питание микропроцессора	Синхронизированный понижающий	1	1.5	0.7	Два драйвера n-FET		+	+	95	5-битовое программирование выходного напряжения, монитор повышенного/пониженного напряжения
UC1886/2886/3886	Питание микропроцессора	Понижающий	1.5	1.5	0.4	Один		+		95	Вход для внешнего ИОН, используется с UC3910

## КОНТРОЛЛЕРЫ С УПРАВЛЕНИЕМ ПО ТОКУ ДЛЯ ОСВЕЩЕНИЯ

Прибор	Применение	Тип преобразователя	Рабочее напряжение, В	Разброс опорного напряжения, %	Управление яркостью лампы
UCC2305/3305	Контроллер постоянной мощности для HID ламп	Обратноходовой, повышающий	5...18	2	+ + + 200 +
UC1871/2871/3871	Драйвер люминесцентной лампы с источником смещения для ЖКИ с переключением по нулевому напряжению	Двухтактный	4.5...20	1.2	+ + + 1 200 +
UC1872/2872/3872	Драйвер люминесцентной лампы с переключением по нулевому напряжению	Двухтактный	4.5...20	1.2	+ + + 1 200 +

## ПРОЧИЕ МИКРОСХЕМЫ ДЛЯ ИСТОЧНИКОВ ПИТАНИЯ

Прибор	Температурный диапазон, °C	Корпус	Функциональное назначение	Применение	Особенности
UC2577	40...+85	TO-220-5, TO-263-5	Простой повышающий стабилизатор напряжения с током до 3 А	Повышающий импульсный стабилизатор для повышающего, обратноходового, и прямоходового источников	<ul style="list-style-type: none"> <li>Малое количество внешних элементов</li> <li>п-р-п выходные ключи на ток до 3 А</li> <li>токовое управление для улучшения отклика</li> <li>Версии с фиксированным и регулируемым выходом</li> </ul>
UCC1812	-55...+125	CerDIP-8	Повышающий стабилизатор на 12 В	Источник постоянного напряжения 12 В	<ul style="list-style-type: none"> <li>Фиксированный выход 12 В</li> <li>Входное напряжение 3...5 В</li> <li>Минимальное количество внешних элементов</li> </ul>
UCC2812	-40...+85	DIP-8, SO-8			
UCC3812	0...+70	DIP-8, SO-8			
UCC3831	0...+125	DIP-28	Контроллер питания концентратора универсальной последовательной шины	Питание 5 В для 4-х периферийных устройств и 3.3 В для одного USB-контроллера	<ul style="list-style-type: none"> <li>Полная USB совместимость</li> <li>Возможно отдельное питание</li> <li>Выходной ток каждого 5 В канала не более 500 мА</li> <li>Выходной ток 3.3 В канала не более 100 мА</li> <li>Входное напряжение 6...9 В</li> </ul>
UCC2930	-40...+85	CerDIP-16, DIP-16, SO-16	Преобразователь мощности для сотовых телефонов	3-канальный стабилизатор с малым падением напряжения вход-выход и отрицательным питанием	<ul style="list-style-type: none"> <li>3 положительных стабилизатора с малым падением напряжения вход-выход</li> <li>Отрицательное питание смещения MESFET</li> <li>Возможно отдельное питание логических схем</li> <li>Индикатор нормальной работы</li> <li>Дежурный режим</li> </ul>
UCC3930	0...+70	DIP-16, SO-16			
UCC3941	0...+70	CerDIP-8, DIP-8, SO-8	Синхронный повышающий преобразователь с питанием от 1 В	Высокоэффективный повышающий преобразователь 3.3, 5 В и регулируемый	<ul style="list-style-type: none"> <li>Полный запуск при 1 В</li> <li>Режим ограничения мощности</li> <li>Вспомогательный источник питания 9 В</li> <li>Блокировка выхода</li> <li>Дежурный режим</li> </ul>
UCC3954	-20...+70	DIP-8, SO-8	Преобразователь уровня от одного литиевого элемента до 3.3 В	Высокоэффективный обратноходовой преобразователь	<ul style="list-style-type: none"> <li>Фиксированное выходное напряжение 3.3 В</li> <li>Выходной ток 750 мА</li> <li>Предупреждение о разряде аккумулятора</li> <li>Отключение разряженного аккумулятора</li> <li>Дежурный режим</li> </ul>

## КОНТРОЛЛЕРЫ КОЭФФИЦИЕНТА МОЩНОСТИ

Прибор	Мягкое пере- ключение	Максималь- ная рабочая частота, кГц	Полоса про- пускания усилителя ошибки, МГц	Режим сред- него тока	Выходной ток, А	Ток запуска, мА	Порог пони- женного на- пряжения, В	Защита от перенапря- жения	Открытый вход	Прямая связь умно- жителя/де- лителя	Особенности
UC1852/ 2852/3852	Нулевой ток	Переменная	—		0.5	1	16.3/11.5			—	8 выводов
UC1853/ 2853/3853		125	1	+	1	0.25	11.5/9.5	+		+	8 выводов
UC1854/ 2854/3854		200	0.8	+	1	1.5	16/10		+	+	
UC1854A/ 2854A/3854A		200	5	+	1	0.3	16/10		+	+	
UC1854B/ 2854B/3854B		200	5	+	1	0.3	10.5/10		+	+	
UC1855A/ 2855A/3855A	Нулевой ток	500	5	+	1.5	0.15	16/10	+	+	+	Синтезатор тока
UC1855B/ 2855B/3855B	Нулевой ток	500	5	+	1.5	0.15	10.5/10	+	+	+	Синтезатор тока
UCC1857/ 2857/3857	Нулевой ток	500	5	+	1	0.06	13.8/10			+	Изолирован- ный выход
UCC1858/ 2858/3858		500	5	+	0.5	0.1	13.8/10	+	+	+	Улучшенная эффектив- ность на ма- лой нагрузке

### ОСОБЕННОСТИ

- Идеально подходит для преобразователей с несколькими выходными напряжениями и/или высоким выходным напряжением
- Рабочая частота ..... до 500 кГц
- Точное ограничение тока короткого замыкания
- Широкополосный дифференциальный усилитель контроля тока с малым смещением нуля
- Режимы работы понижающего преобразователя с управлением по среднему току, по пиковому току или с управлением по напряжению с прямой связью (feed forward)

### ОБЩЕЕ ОПИСАНИЕ

Микросхемы серии UCx827 представляют собой схемы управления для каскадных понижающих и двухтактных преобразователей. Эти преобразователи известны как конвертеры с токовым питанием (current fed) или питанием напряжением (voltage fed), что идеально подходит для применений с несколькими выходными/высоковольтными напряжениями. Рабочая частота двухтактной схемы в два раза ниже, чем понижающего преобразователя, и имеет рабочий цикл 50%. Схема управления двухтактным выходным каскадом в UCx827-1 обеспечивает временное перекрытие включенных состояний ключевых транзисторов, что обеспечивает исключение перегу-

зок по напряжению в преобразователях с питанием током. Схема управления двухтактным выходным каскадом в UCx827-2 обеспечивает временной зазор между включенными состояниями ключевых транзисторов, что обеспечивает исключение протекания сквозных токов в преобразователях с питанием напряжением.

Выходное напряжение преобразователя стабилизируется широтно-импульсным модулятором понижающего ключа. Микросхема UCx827 содержит все защитные и ШИМ-функции понижающего преобразователя. В схеме используется плавающий ключ, напряжение выходного каскада имеет сдвиг по напряжению для получения входного напряжения до 72 В (DC).

Микросхема может быть установлена в традиционный режим управления по напряжению при использовании техники прямой связи (feedforward) или в режим питания током. Использование токового питания предотвращает насыщение сердечника двухтактного трансформатора благодаря временному рассогласованию и разбросу номиналов компонентов. При контроле среднего тока возможно точное управление током дросселя питающим выходной каскад, без чрезмерной чувствительности к шумам, свойственной режиму контроля пикового тока. Петля обратной связи при контроле среднего тока может быть запараллелена с петлей обратной связи стабилизации напряжения, тогда она будет проявляться только в аварийных условиях.

К другим особенностям UCx827 относятся двунаправленная синхронизация, программируемое пользователем время перекрытия (overlap time) для UCx827-1 и время неперекрывания для UCx827-2, широкополосный токоизмерительный усилитель и схема мягкого запуска.

### ЦОКОЛЕВКА КОРПУСОВ

Пластмассовый корпус типа DIP-24  
Пластмассовый корпус типа CerDIP-24

Питание выходного каскада понижающего ШИМ-контроллера  
Вывод подключения затвора ключевого транзистора понижающего преобразователя  
Вывод подключения стока ключевого транзистора понижающего преобразователя  
Конденсатор мягкого запуска  
Пилообразное напряжение  
Вывод усилителя ошибки по току  
Вывод усилителя контроля тока  
Неинвертирующий вход усилителя контроля тока  
Инвертирующий вход усилителя контроля тока  
Вывод усилителя ошибки по напряжению  
Земля  
Неинвертирующий вход усилителя ошибки по току

V+ 1  
BUCK 2  
SRC 3  
SS 4  
RAMP 5  
CEAO 6  
CSAO 7  
CSA+ 8  
CSA- 9  
VEAO 10  
GND 11  
CEA+ 12

24 PUSH  
23 VCC  
22 PULL  
21 PGND  
20 DELAY  
19 SYNC  
18 CT  
17 RT  
16 VEA-  
15 REF  
14 VEA+  
13 CEA-

Выход на затвор ключевого транзистора  
Напряжение питания схемы управления  
Выход на затвор ключевого транзистора  
Силовая земля  
Задержка\*  
Вывод синхронизации  
Времязадающий конденсатор  
Времязадающий резистор  
Инвертирующий вход усилителя ошибки по напряжению  
Вывод опорного напряжения 5 В  
Неинвертирующий вход усилителя ошибки по напряжению  
Инвертирующий вход усилителя ошибки по току

\* — Установка интервала перекрытия (в UC3827-1) и паузы (в UC3827-2) между сигналами на выходах PUSH и PULL

Пластмассовый корпус  
типа PLCC-28

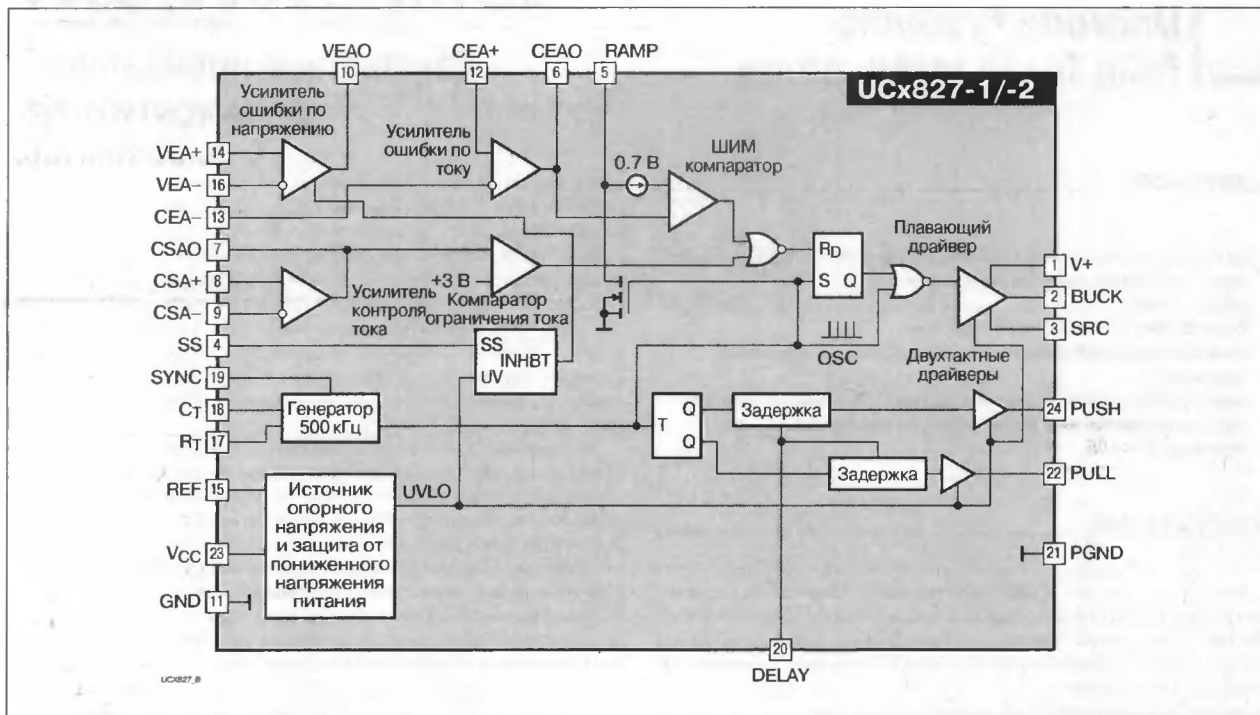
4 SRC  
3 BUCK  
2 n.c.  
1 V+  
28 PUSH  
27 VCC  
26 PULL  
25 PGND  
24 n.c.  
23 n.c.  
22 OELAY  
21 SYNC  
20 CT  
19 RT  
18 VEA-  
17 REF  
16 VEA+  
15 n.c.  
14 CEA-  
13 GND  
12 CEA+

V+ 1  
BUCK 2  
SRC 3  
SS 4  
RAMP 5  
CEAO 6  
CSAO 7  
CSA+ 8  
CSA- 9  
VEAO 10  
GND 11  
CEA+ 12

Пластмассовый корпус  
типа SOP-24

24 PUSH  
23 VCC  
22 PULL  
21 PGND  
20 OELAY  
19 SYNC  
18 CT  
17 RT  
16 VEA-  
15 REF  
14 VEA+  
13 CEA-

## СТРУКТУРНАЯ СХЕМА



## ТИПОНОМИНАЛЫ

Типономинал	Корпус	Температурный диапазон, °C
UC1827-хJ	CerDIP-24	-55...+125
UC2827-хN	DIP-24	-40...+85
UC2827-хDW	SOP-24W	-40...+85
UC2827-хQ	PLCC-28	-40...+85
UC3827-хN	DIP-24	0...+70
UC3827-хDW	SOP-24W	0...+70
UC3827-хQ	PLCC-28	0...+70

## Примечание:

UCx827-1 — Двухтактные преобразователи с токовым питанием (current fed)

UCx827-2 — Двухтактные преобразователи с питанием напряжением (voltage fed)

## СХЕМА УПРАВЛЕНИЯ ПОНИЖАЮЩИМ СИНХРОННЫМ ПРЕОБРАЗОВАТЕЛЕМ С ВЫСОКИМ КПД

### ОСОБЕННОСТИ

- Режим управления по напряжению
- Диапазон входных напряжений ..... 4.5...7 В
- Выходное напряжение ..... от 1.25 В
- Ток потребления в дежурном режиме ..... 15 мкА (тип)
- Ограничение тока короткого замыкания без потерь
- Типовое значение КПД ..... более 90%
- Диапазон значений рабочего цикла ..... от 0 до 100%

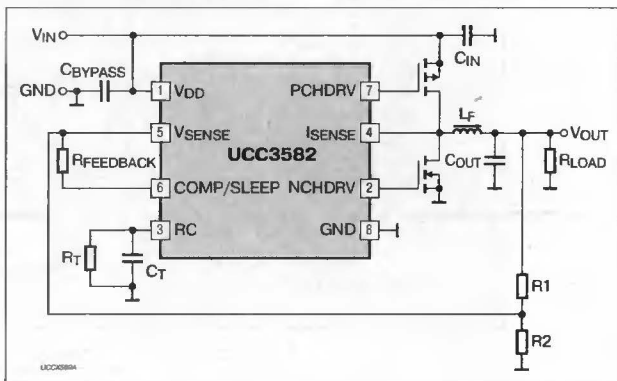
### ОБЩЕЕ ОПИСАНИЕ

Серия микросхем UCCx582 отличается использованием в качестве "верхнего" ключа  $p$ -канального МОП-транзистора, что исключает необходимость применения форсированного (повышенного) питания для управления его затвором. Падение напряжения на этом транзисторе используется для ограничения тока в режиме короткого замыкания. Предусмотрено исключение протекания сквозных токов. При 100%-ом рабочем цикле преобразователь работает как линейный стабилизатор, что способствует более полному использованию емкости батарей. Встроенная цепь мягкого запуска обеспечивает выход на номинальный уровень выходного напряжения за 5 мс с минимальным выбросом. Компаратор защиты от пониженного напряжения питания настроен на 4.5 В с гистерезисом 200 мВ.

### ТИПОНОМИНАЛЫ

Типономинал	Корпус	Температурный диапазон, °C
UCC1582J	CerDIP-8	-55...+125
UCC2582D	SOP-8	-25...+85
UCC2582N	DIP-8	-25...+85
UCC3582D	SOP-8	0...+70
UCC3582N	DIP-8	0...+70

### ТИПОВАЯ СХЕМА ПРИМЕНЕНИЯ

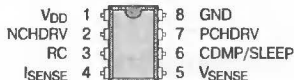


### ЦОКОЛЕВКА КОРПУСОВ

Пластмассовый корпус типа DIP-8  
Керамический корпус типа CerDIP-8

#### UCCx582

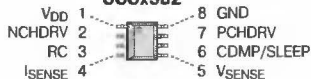
Напряжение питания  
Выход управления затвором транзистора нижнего плеча  
Частотозадающие конденсатор и резистор  
Вход компаратора ограничения тока



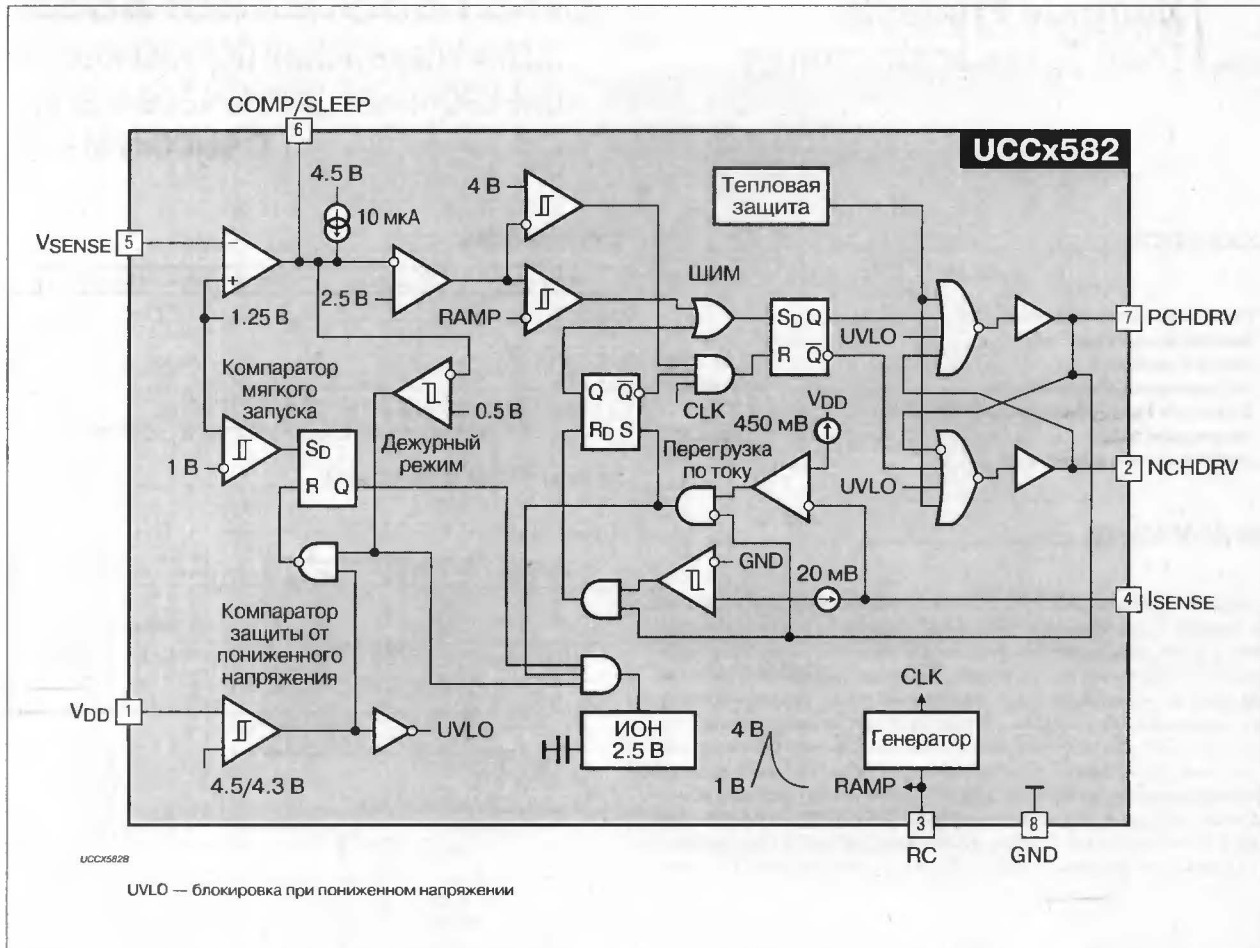
Земля  
Выход управления затвором транзистора верхнего плеча  
Выход усилителя обратной связи/Включение дежурного режима  
Выход обратной связи

Пластмассовый корпус типа SOP-8

#### UCCx582



СТРУКТУРНАЯ СХЕМА





### ОСОБЕННОСТИ

- ♦ Программируемое изменение частоты ШИМ-модулятора, повышающее КПД при малых нагрузках
- ♦ Предпусковой ток потребления ..... 100 мкА
- ♦ Возможность внешней синхронизации
- ♦ Напряжение питания ..... 12...18 В
- ♦ Точное ограничение мощности

### ОБЩЕЕ ОПИСАНИЕ

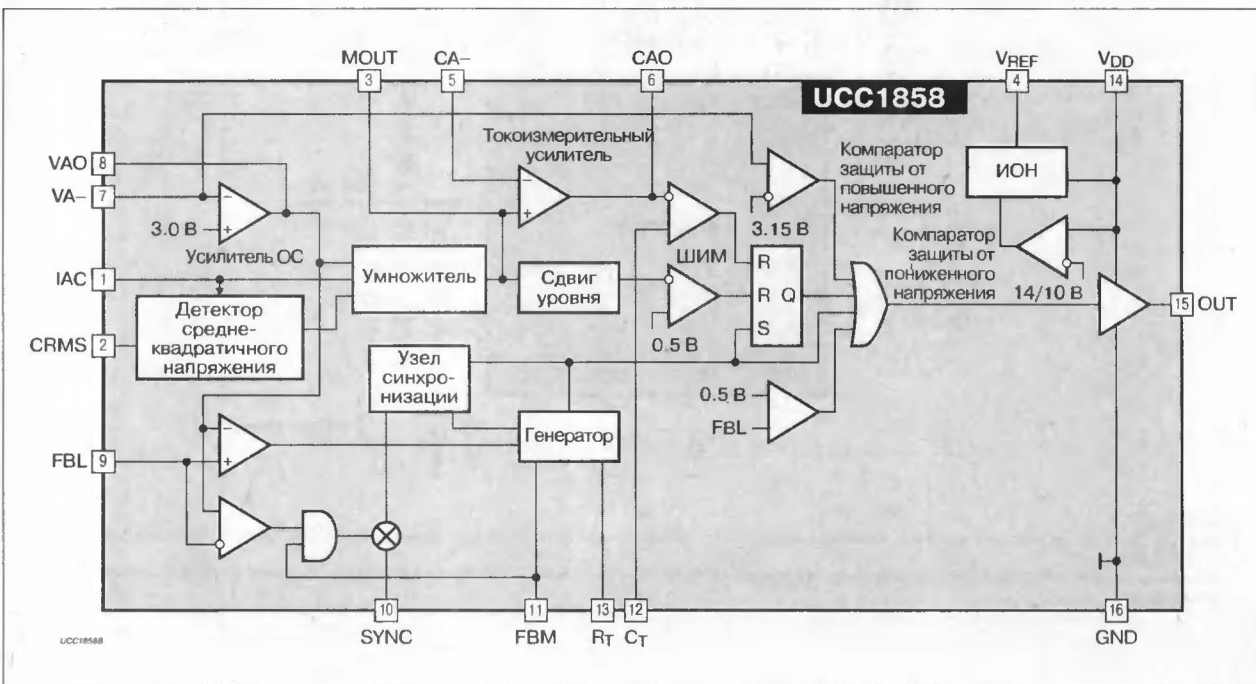
Микросхема UCCx858 обеспечивает все функции, необходимые для активных корректоров мощности. В ИС реализован режим управления по среднему току с обеспечением формы тока, повторяющей форму напряжения в сети переменного тока. В отличие от более ранних разработок, в данной ИС при снижении нагрузки рабочая частота

пропорционально снижается, а продолжительность пауз между импульсами тока увеличивается. Простота внешней синхронизации обеспечивает возможность объединять ИС UCCx858 с понижающим стабилизатором, обеспечивающим гальваническую развязку питаемых цепей от сети питания. К особенностям ИС относится наличие встроенной защиты от перегрузки по току и от чрезмерно повышенного и пониженного напряжения, а также весьма малый собственный ток потребления. Имеется возможность включения дежурного режима. Источник опорного напряжения 7.5 В обеспечивает выходной ток до 10 мА.

### ТИПОНОМИНАЛЫ

Типономинал	Корпус	Температурный диапазон, °C
UCC1858J	CerDIP-16	-55...+150
UCC2858D	SOP-16	-40...+85
UCC2858N	DIP-16	-40...+85
UCC3858D	SOP-16	0...+70
UCC3858N	DIP-16	0...+70

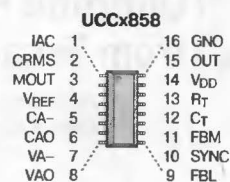
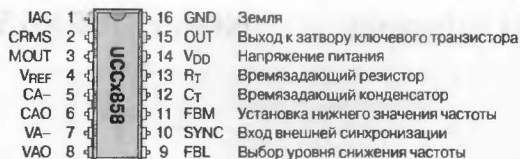
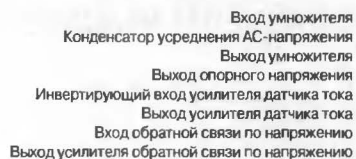
### СТРУКТУРНАЯ СХЕМА



## ЦОКОЛЕВКА КОРПУСОВ

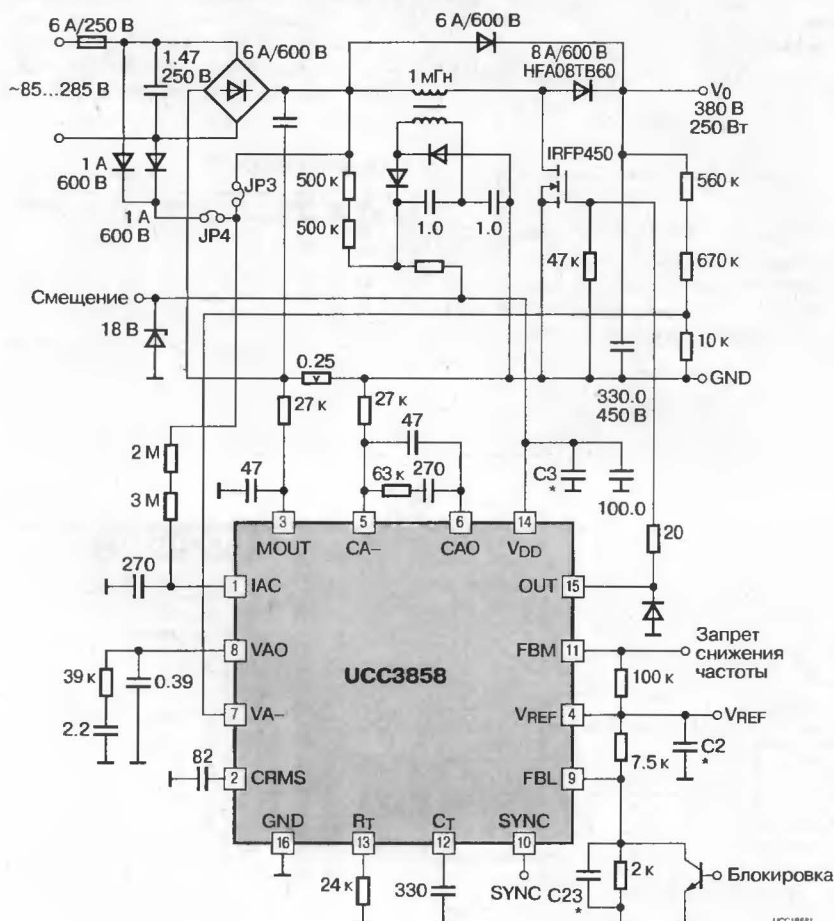
Пластмассовый корпус типа DIP-16  
Пластмассовый корпус типа CerDIP-16

### Пластмассовый корпус типа SOP-16



## СХЕМЫ ПРИМЕНЕНИЯ

**Рис. 1. Типовая схема включения**

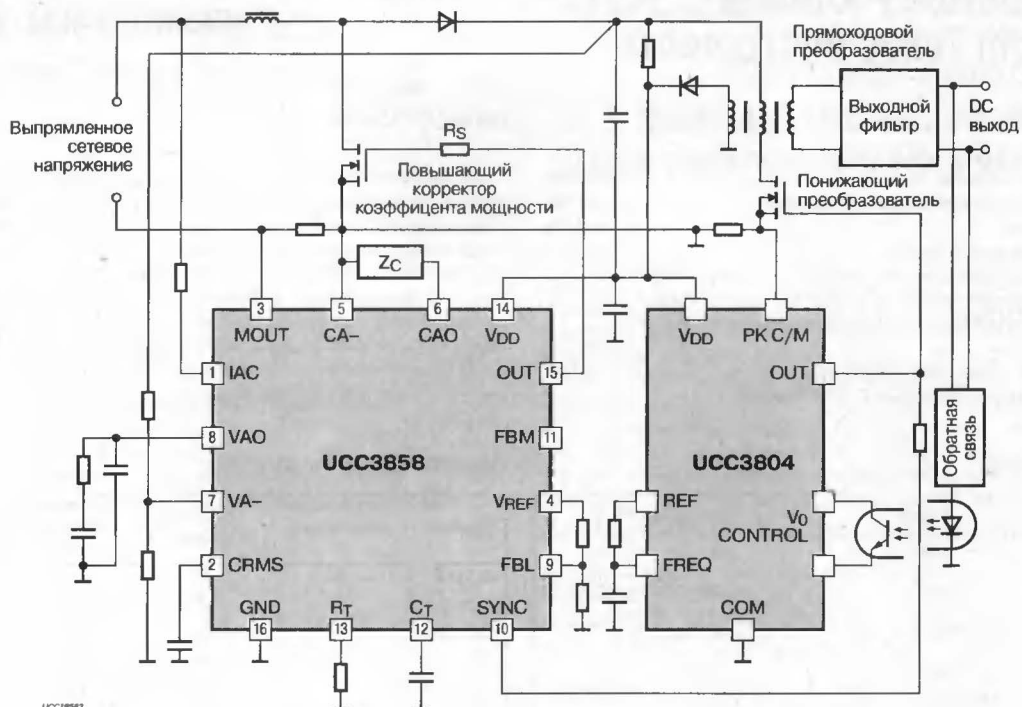


### Примечание

\* Выводы [4], [9] и [14] для хорошей помехоустойчивости должны шунтироваться на GND комбинацией кервмического (0.47 мкФ) и танталового (4.7 мкФ) конденсаторов.

\*\* Трансформатор может быть выполнен на аморфном сердечнике MP4510PFC фирмы Allied Signal: первичная обмотка 100 витков (AWG18), вторичная обмотка 5 витков.

Рис. 2. Схема применения в двухкаскадном преобразователе напряжения



UCC18582

### ОСОБЕННОСТИ

- Пусковой ток потребления ..... 100 мкА (тип)
- Собственный ток потребления в рабочем режиме ..... 500 мкА (тип)
- Рабочая частота ..... до 1 МГц
- Встроенная цепь мягкого запуска
- Встроенная цепь маскирования переднего фронта токового импульса
- Тотемный (квазикомплементарный) выходной каскад с током до 1 А
- Время распространения сигнала от входа компаратора тока до выхода выходного каскада ..... 70 нс (тип)
- Погрешность источника опорного напряжения ..... 1.5%
- Совместимость цоколевки с UCCx802, UCCx842, UCCx842A

### ОБЩЕЕ ОПИСАНИЕ

Микросхемы серии UCCx813-0/-1/-2/-3/-4/-5 предназначены для построения сетевых и DC/DC-преобразователей и отличаются от серии UCCx842 наличием встроенных цепей мягкого запуска и маскирования переднего фронта токового импульса. Температурный диапазон для UCC2813-х — от -40 до +85°C, для UCC3813-х — от 0 до +70°C. Микросхемы с суффиксами -3 и -5, имеющие более низкие значения опорного напряжения и пороговых напряжений включения и выключения, предназначены преимущественно для систем батарейного питания, в то время как микросхемы с суффиксами -2 и -4 — для систем сетевого питания.

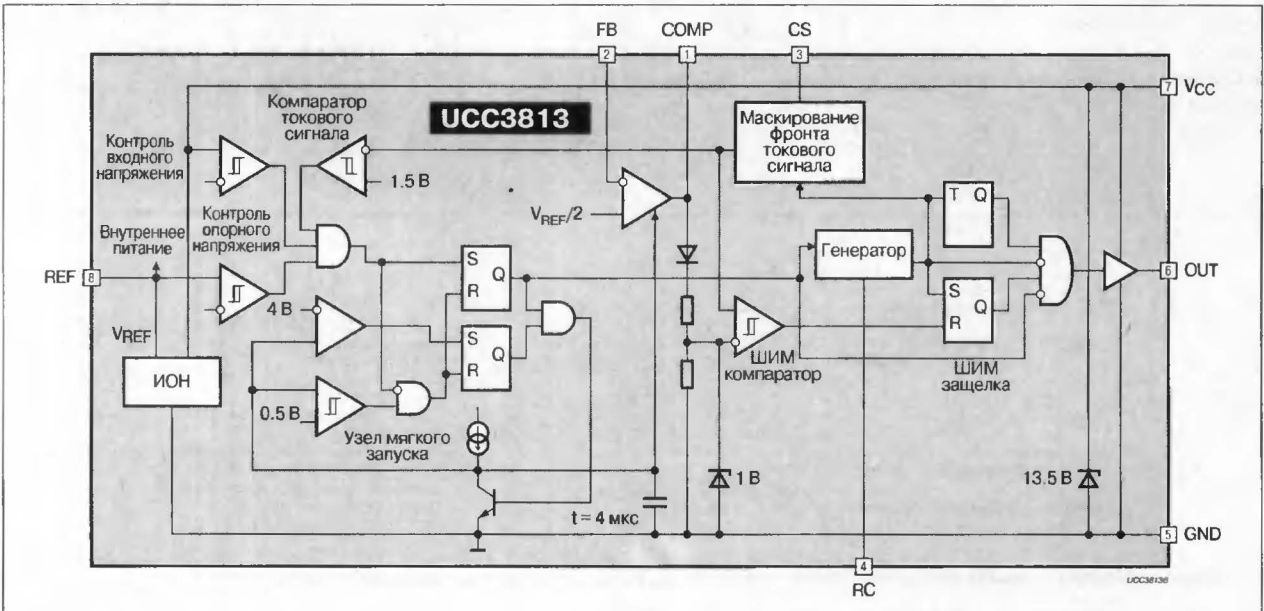
### ТИПОНОМИНАЛЫ

Типономинал	Корпус	Температурный диапазон, °C
UCC2813-xD	SOP-16	-40...+85
UCC2813-xN	DIP-16	-40...+85
UCC2813-xJ	CerDIP-16	-40...+85
UCC3813-xD	SOP-16	0...+70
UCC3813-xN	DIP-16	0...+70

### ЭЛЕКТРИЧЕСКИЕ ПАРАМЕТРЫ

Прибор	Максимальный рабочий цикл, %	Опорное напряжение, В	Пороговое напряжение включения, В	Пороговое напряжение выключения, В
UCCx813-0	100	5	7.2	6.9
UCCx813-1	50	5	9.4	7.4
UCCx813-2	100	5	12.5	8.3
UCCx813-3	100	4	4.1	3.6
UCCx813-4	50	5	12.5	8.3
UCCx813-5	50	4	4.1	3.6

### СТРУКТУРНАЯ СХЕМА



### ЦОКОВКА КОРПУСОВ

Пластмассовый корпус типа DIP-8				Пластмассовый корпус типа SOP-8			
UCCx813				UCCx813			
Выход усилителя ошибки	COMP	1	8	REF	Выход источника опорного напряжения	8	REF
Инвертирующий вход усилителя ошибки	FB	2	7	VCC	Вывод напряжения питания	7	VCC
Вход токового компаратора	CS	3	6	OUT	Выход к затвору ключевого транзистора	6	OUT
Времязадающие резистор и конденсатор	RC	4	5	GND	Земля	5	GND

# UCC2882/-1/3882/-1

## КОНТРОЛЛЕР ИМПУЛЬСНОГО СТАБИЛИЗАТОРА С 5-РАЗРЯДНЫМ ЦАП И СИНХРОННЫМ ВЫПРЯМЛЕНИЕМ

### ОСОБЕННОСТИ

- Точность выходного напряжения ..... 1%
- Входное преобразуемое напряжение ..... 5...13.2 В
- Напряжение питания ..... 10.8...13.2 В
- Токоизмерительный усилитель с малым напряжением смещения
- Максимальная частота преобразования ..... 700 кГц
- Регулируемый уровень ограничения тока
- Блокировка по снижению или превышению выходного напряжения
- Квазикомплементарные (тотемные) выходы с устанавливаемой задержкой
- Вывод разрешения работы

### ПРИМЕНЕНИЕ

- Источники питания микропроцессоров

### ОБЩЕЕ ОПИСАНИЕ

Микросхемы UCCx882/-1 представляют собой прецизионный широтно-импульсный стабилизатор напряжения, управляемый ЦАП, и предназначены для питания микропроцессоров, устанавливаемых в аппаратуру с питанием 5 и 12 В.

Они состоят из прецизионного источника опорного напряжения на 5 В, широтно-импульсного модулятора, цифро-аналогового пре-

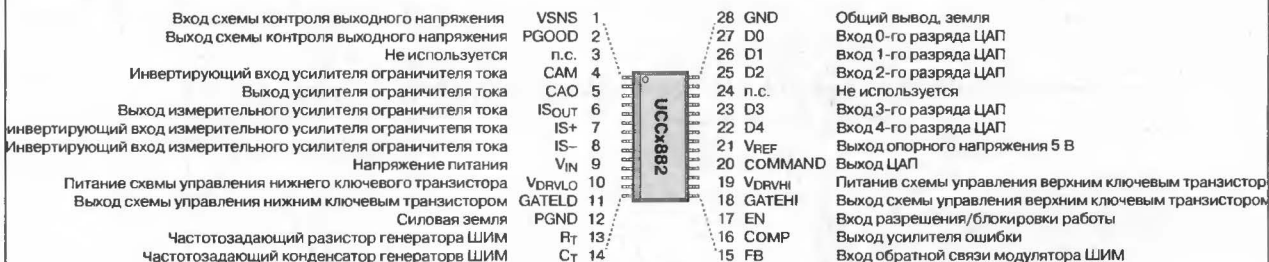
образователя, узла контроля выходного напряжения и ограничителя тока. Выходное напряжение стабилизатора перестраивается от 1.8 до 2.05 В с шагом 50 мВ и от 2.1 до 3.5 В с шагом 100 мВ. Узел контроля выходного напряжения запрещает работу стабилизатора, если выходное напряжение повысится на 25% или снизится на 7% от номинального значения. Ограничитель тока служит для защиты стабилизатора от перегрузки при коротком замыкании. В режиме короткого замыкания, когда выходное напряжение уменьшается наполовину, производится снижение уровня ограничения тока на 50%. Для выключения стабилизатора достаточно замкнуть вывод EN на землю (при этом выходное напряжение ЦАП падает ниже 1.8 В) или установить на всех входах ЦАП высокий уровень напряжения.

### ТИПОНОМИНАЛЫ

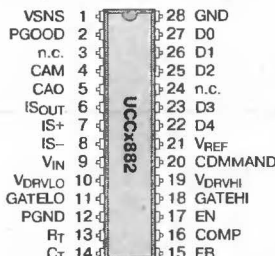
Типономинал	Корпус	Диапазон рабочих температур, °C
UCC2882P	DIP-28	-25...+85
UCC2882DW	SOP-28	-25...+85
UCC2882PW	SOP-28	-25...+85
UCC2882P-1	DIP-28	-25...+85
UCC2882DW-1	SOP-28	-25...+85
UCC3882P	DIP-28	0...+70
UCC3882DW	SOP-28	0...+70
UCC3882P-1	DIP-28	0...+70
UCC3882DW-1	SOP-28	0...+70

### ЦОКОЛЕВКА КОРПУСОВ

Пластмассовый корпус типа SOP-28



Пластмассовый корпус типа DIP-28





LACCS-000000





**Микросхемы для импульсных источников питания фирмы Vishay Siliconix:**

Высоковольтные контроллеры импульсного источника питания . . . . .	566
Контроллеры источников питания для компьютеров . . . . .	566
Микросхемы для портативных компьютеров . . . . .	566
Портативная связь . . . . .	566
Батарейное питание . . . . .	566
<b>Si9108</b> . . . . .	Высоковольтный импульсный преобразователь . . . . . 567
<b>Si9118/9119</b> . . . . .	Схема управления преобразователем с программируемым рабочим циклом . . . . . 568
<b>Si9136</b> . . . . .	Многоканальная схема управления импульсным преобразователем . . . . . 570
<b>Si9165</b> . . . . .	Высокочастотный синхронный преобразователь повышающего/понижающего типа с выходным током до 600 мА. . . . . 572

## МИКРОСХЕМЫ ДЛЯ ИМПУЛЬСНЫХ ИСТОЧНИКОВ ПИТАНИЯ ФИРМЫ VISHAY SILICONIX

### ВЫСОКОВОЛЬТНЫЕ КОНТРОЛЛЕРЫ ИМПУЛЬСНОГО ИСТОЧНИКА ПИТАНИЯ

Прибор	Корпус	Схематехника преобразователя			Входное напряжение, В	Режим управления	Максимальная частота генератора, МГц	Опорное напряжение, В	Максимальный ток потребления, мА	Выходной ток, А
		Понижающий	Обратноходовой	Прямоходовой						
Si9100	DIP-14, PLCC-20	+	+	+	10...70	ток	1	4	1	2.5
Si9102	DIP-14, PLCC-20	+	+	+	10...120	ток	1	4	1	2
Si9104	SOP-16WB	+	+	+	10...120	ток	1	4	1	2
Si9105	DIP-14, SOP-16WB, PLCC-20	+	+	+	10...120	ток	1	4	0.5	3
Si9108	DIP-14, SOP-16WB, PLCC-20	+	+	+	10...120	ток	1	4	0.5	
Si9110	DIP-14, SOP-14	+	+	+	10...120	ток	1	4	1	±0.25
Si9111	DIP-14, SOP-14	+	+	+	10...120	ток	1	4	1	±0.25
Si9112	DIP-14, SOP-14	+	+	+	10...80	ток	1	4	1	±0.25
Si9114A	DIP-14, SOP-14	+	+	+	15...200	ток	1	4	3	±0.4
Si9117	SOP-16	+	+	+	15...200	ток	1	4	4.5	
Si9118	SOP-16	+	+	+	10...200	ток	1	4	2.5	
Si9119	SOP-16	+	+	+	10...200	ток	1	4	2.5	
Si9120	SO-16, DIP-16	+	+	+	15...450	ток	1	4	1.5	±0.25

### КОНТРОЛЛЕРЫ ИСТОЧНИКОВ ПИТАНИЯ ДЛЯ КОМПЬЮТЕРОВ

Прибор	Корпус	Схематехника преобразователя					Входное напряжение, В	Режим управления	Максимальная частота генератора, МГц	Опорное напряжение, В	Максимальный ток потребления, мА	Выходной ток, А
		Понижающий	Повышающий	Обратноходовой	Прямоходовой	Распределение тока нагрузки						
Si9140	SOP-16	+					2.7...8	Напряжение	2	1.5	1	
Si9142	SOP-20	+					4.75...13.2	Напряжение	1	1.3	1.2	
Si9143	SSOP-24	+				+	4.75...13.2	Напряжение	1	1.3	1.2	
Si9145	SDP-16, TSSOP-16	+	+	+	+		2.7...8	Напряжение	2	1.5	1.4	±0.2

### МИКРОСХЕМЫ ДЛЯ ПОРТАТИВНЫХ КОМПЬЮТЕРОВ

Прибор	Корпус	Особенности	Входное напряжение, В	Режим управления	Максимальная частота генератора, кГц	Опорное напряжение, В	Максимальный ток потребления, мА
Si786	SSOP-28	Сдвоенный понижающий	5.5...30	ток	300	3.3	1.6
Si9130	SSOP-28	Сдвоенный понижающий	5.5...30	ток	300	3.3	1.6
Si9135	SSOP-28	Три выхода, SMBus	5.5...30	ток	200	3.3	1.8
Si9136	SSOP-28	Три выхода	5.5...30	ток	200	3.3	1.8

### ПОРТАТИВНАЯ СВЯЗЬ

Прибор	Корпус	Особенности	Входное напряжение, В	Режим управления	Максимальная частота генератора, МГц	Опорное напряжение, В	Максимальный ток потребления, мА
Si9160	TSSOP-16	Повышающий	2.7...7	напряжение	2	1.5	1.5
Si9161	TSSOP-16	Повышающий, небольшая нагрузка	2.7...7	напряжение	2	1.5	1.5
Si9165	TSSOP-20	Повышающий/понижающий, ШИМ/PSM	2.7...7	напряжение	2	1.3	0.75
Si9166	TSSOP-16	Повышающий/понижающий, ШИМ/PSM	2.7...7	напряжение	2	1.3	0.75
Si9167	TSSOP-20	Повышающий/понижающий, ШИМ/PSM	5...10	напряжение	2	1.3	1.35
Si9169	TSSOP-20	Повышающий/понижающий, ШИМ/PSM, 1 А	2.7...7	напряжение	2	1.3	0.75

Примечание: PSM — режим с пропуском импульсов

### БАТАРЕЙНОЕ ПИТАНИЕ

Прибор	Корпус	Особенности	Входное напряжение, В	Режим управления	Максимальная частота генератора, кГц	Опорное напряжение, В	Максимальный ток потребления, мА	Выходной ток, А
Si9150	SO-14	Понижающий	6...18	напряжение	300	2.5	3	±0.25

## ВЫСОКОВОЛЬТНЫЙ ИМПУЛЬСНЫЙ ПРЕОБРАЗОВАТЕЛЬ

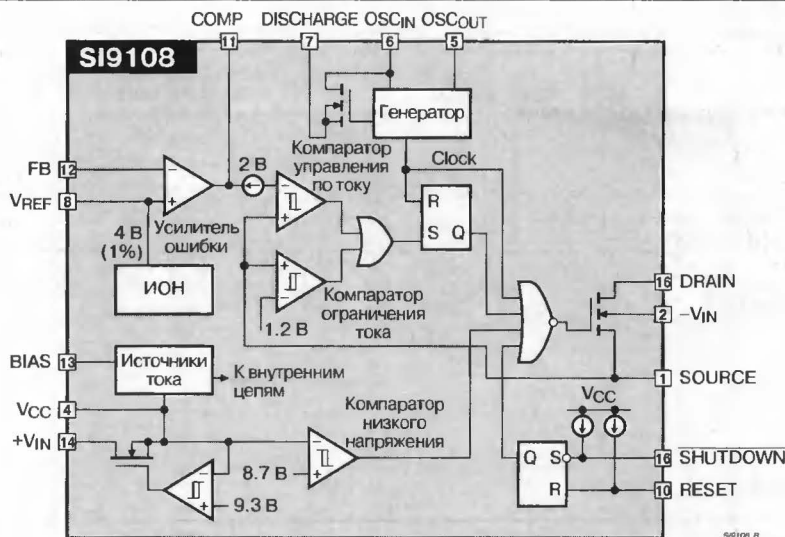
### ОСОБЕННОСТИ

- Режим управления по току
- Собственное потребление мощности ..... менее 5 мВт
- Диапазон входных напряжений ..... 10...120 В
- Встроенный ключевой МОП-транзистор ..... 200 В/250 мА
- Внутренняя цепь запуска
- Максимальный рабочий цикл ..... до 99.9%
- Отвечает требованиям ССПТ I.430
- Включение/Выключение дежурного режима

### ОБЩЕЕ ОПИСАНИЕ

Микросхема SI9108 представляет собой высоковольтный импульсный DC/DC-преобразователь, способный с минимумом внешних элементов обеспечить выходную мощность до 3 Вт. Собственный ток потребления не превышает 0.5 мА, что обеспечивает КПД 60% при выходной мощности 25 мВт (спецификация ССПТ I.430). В обратных преобразователях могут быть получены как одно, так и несколько выходных напряжений.

### СТРУКТУРНАЯ СХЕМА

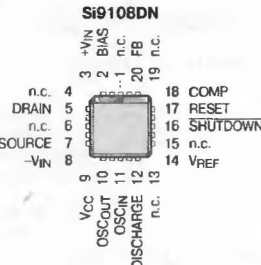
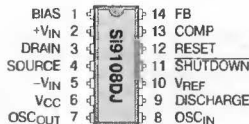
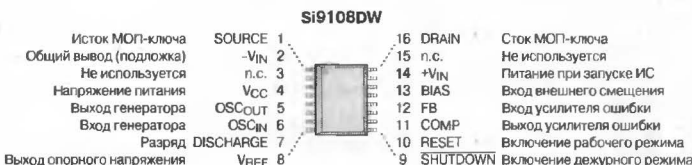


### УПАКОВКА КОРПУСОВ

Пластмассовый корпус типа SOP-16W

Пластмассовый корпус типа PDIP-14

Пластмассовый корпус типа PLCC-20



### ТИПОНОМИНАЛЫ

Типономинал	Корпус	Температурный диапазон, °C
SI9108DJ02	PDIP-14	-40...+85
SI9108DW	SOP-16W	
SI9108DN02	PLCC-20	

## СХЕМА УПРАВЛЕНИЯ ПРЕОБРАЗОВАТЕЛЕМ С ПРОГРАММИРУЕМЫМ РАБОЧИМ ЦИКЛОМ

### ОСОБЕННОСТИ

- Диапазон входных напряжений ..... 10...200 В
- Режим управления по току
- Встроенная цепь запуска
- Мягкий запуск
- Усилитель ошибки с полосой ..... до 2.7 МГц
- Выходной ток ..... 500 мА
- Малый собственный ток потребления
- Программируемое максимальное значение рабочего цикла ..... до 80%

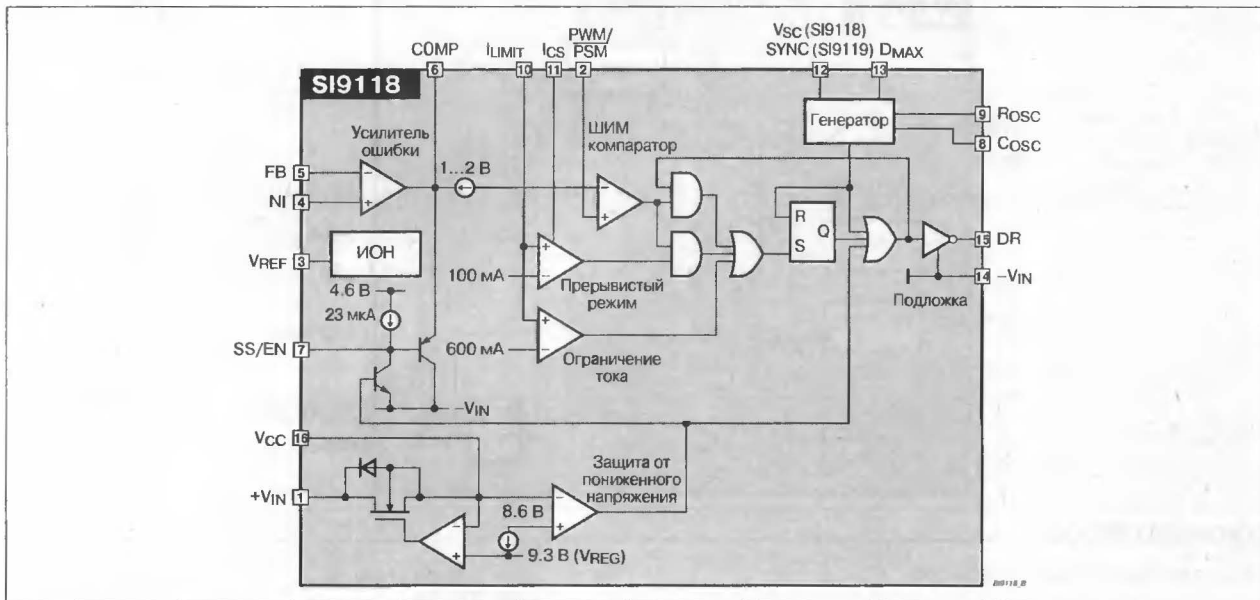
### ТИПОНОМИНАЛЫ

Типономинал	Корпус	Температурный диапазон, °C
SI9118DY	SOP-16	-40...+85
SI9119DY	SOP-16	

### ОБЩЕЕ ОПИСАНИЕ

Микросхемы SI9118/9119 предназначены для построения преобразователей повышающего и понижающего типов с рабочими частотами до 1.0 МГц. При полной нагрузке рабочая частота постоянна, а при снижении нагрузки схема управления переходит в прерывистый (с пропуском импульсов) режим, что обеспечивает высокий КПД в широком диапазоне нагрузок. Двухтактный выходной каскад снабжен защитой от сквозных токов и обеспечивает управление внешним МОП-транзистором при мощности в нагрузке до 50 Вт. Погрешность источника опорного напряжения 1.5%. В состав ИС входят узлы мягкого запуска, дежурного режима и защиты от пониженного напряжения питания.

### СТРУКТУРНАЯ СХЕМА



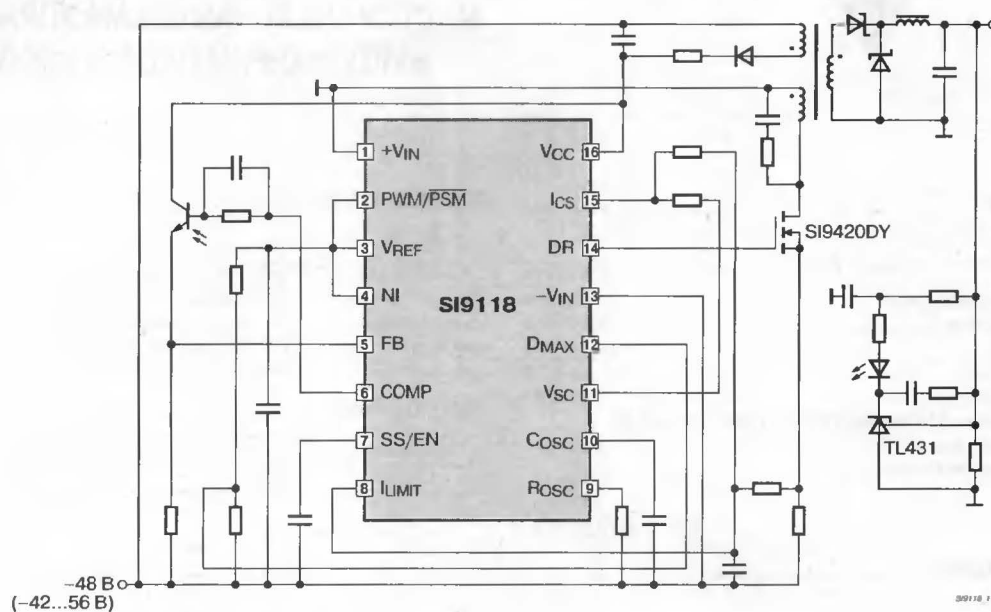
### ЦОКОЛЕВКА КОРПУСОВ

Пластмассовый корпус типа SOP-16

	SI9118	SI9119
Входное напряжение (для запуска)	+VIN 1	+VIN 1
Включение прерывистого режима	PWM/PCM 2	PWM/PCM 2
Выход опорного напряжения 4 В	VREF 3	VREF 3
Неинвертирующий вход усилителя ошибки	NI 4	NI 4
Инвертирующий вход усилителя ошибки	FB 5	FB 5
Выход усилителя ошибки	COMP 6	COMP 6
Мягкий запуск или разрешение работы	SS/EN 7	SS/EN 7
Частото задающий конденсатор	COSC 8	COSC 8
	16 VCC	16 VCC
	15 DR	15 DR
	14 -VIN	14 -VIN
	13 DMAX	13 DMAX
	12 SYNC	12 SYNC
	11 ICS	11 ICS
	10 ILIMIT	10 ILIMIT
	9 ROSC	9 ROSC

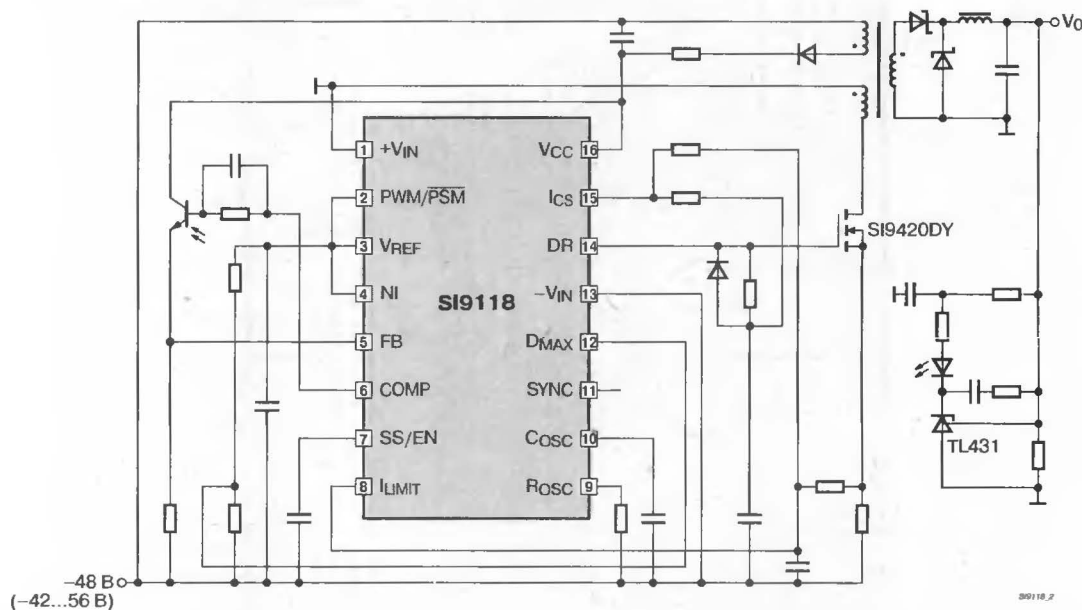
СХЕМЫ ПРИМЕНЕНИЯ

Рис. 1. Прямоходовой преобразователь на ИС Si9118



300118.1

Рис. 2. Прямоходовой преобразователь на ИС Si9119 с внешней компенсацией скорости нарастания "пилы"



300118.2



# SI9136

## МНОГОКАНАЛЬНАЯ СХЕМА УПРАВЛЕНИЯ ИМПУЛЬСНЫМ ПРЕОБРАЗОВАТЕЛЕМ

### ОСОБЕННОСТИ

- КПД ..... до 95%
- Диапазон входных напряжений ..... 5.5...30 В
- Выходные напряжения ..... 3.3, 5, 12 В
- Рабочая частота ..... 200 кГц
- Опорное напряжение ..... 3.3 В
- Линейный стабилизатор ..... 5 В/30 мА
- Прерывистый режим для обеспечения КПД при малом токе нагрузки
- Встроенный мягкий запуск
- Минимум внешних компонентов

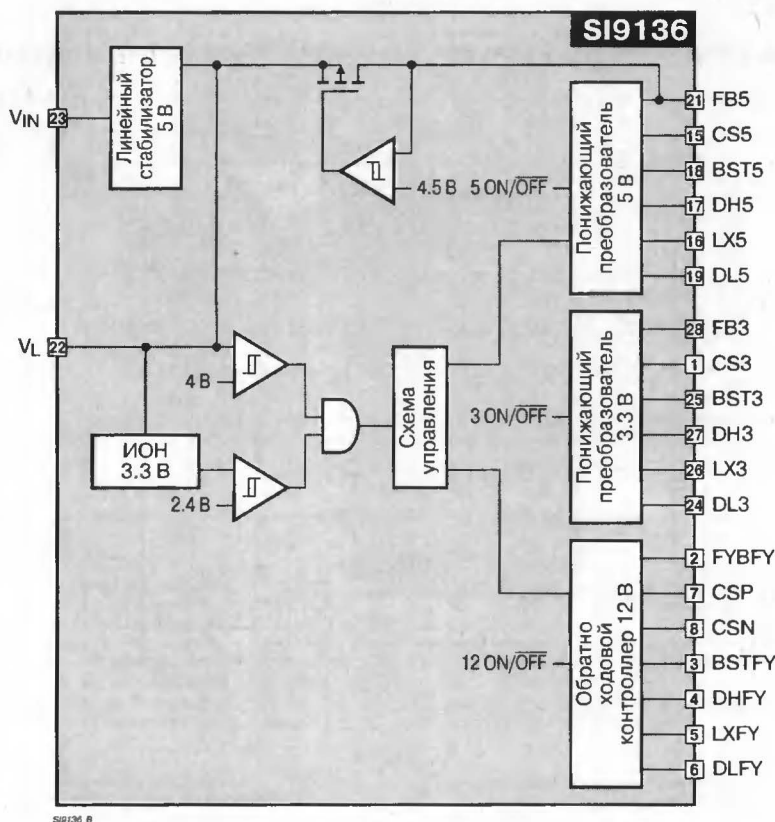
### ОБЩЕЕ ОПИСАНИЕ

Микросхема Si9136 работает в режиме управления по току и включает два синхронных понижающих преобразователя (с выходными напряжениями 3.3 и 5 В), обратноходовой повышающий/понижающий преобразователь (12 В), линейный стабилизатор с выходным напряжением 5 В и источник опорного напряжения 3.3 В.

### ТИПОНОМИНАЛЫ

Типономинал	Корпус	Температурный диапазон, °C
Si9136LG	SSOP-28	0...+90

### СТРУКТУРНАЯ СХЕМА



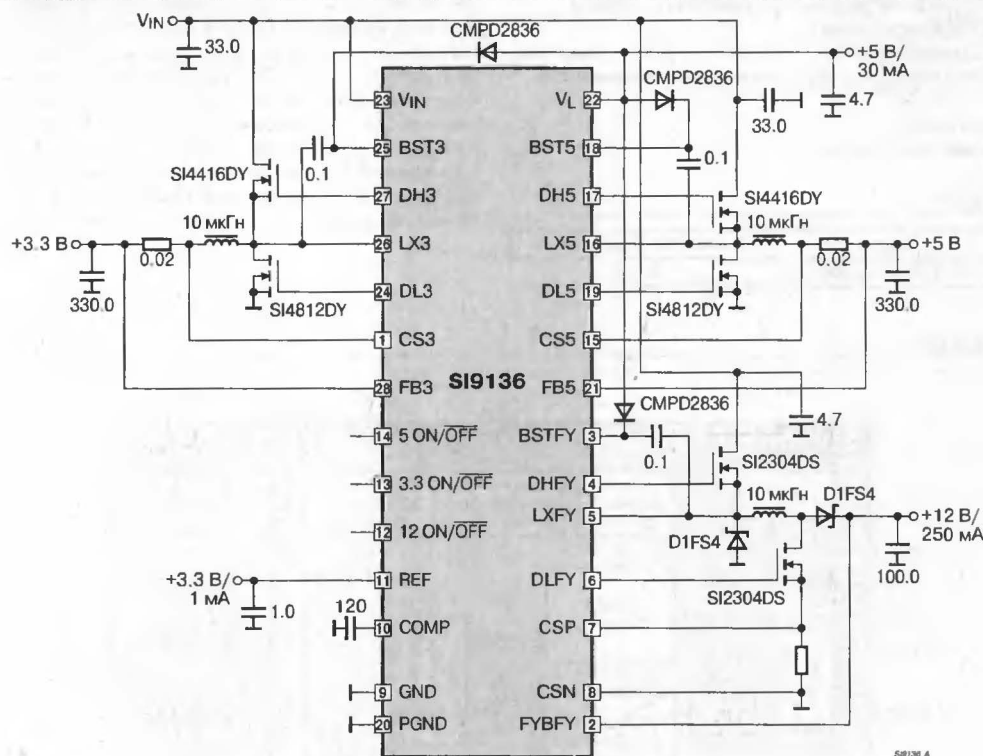


## ЦОКОЛЕВКА КОРПУСОВ

Пластмассовый корпус SSOP-28

Контроль тока канала 3.3 В	CS3 1	28 FB3	Обратная связь канала 3.3 В
Обратная связь канала 12 В	FBFY 2	27 DH3	Затвор транзистора верхнего плеча канала 3.3 В
Питание выходного каскада канала 12 В	BSTFY 3	26 LX3	Дроссель канала 3.3 В
Затвор транзистора верхнего плеча канала 12 В	DHFY 4	25 BST3	Напряжение питания выходного каскада канала 3.3 В
Дроссель канала 12 В	LXFY 5	24 DL3	Затвор транзистора нижнего плеча канала 3.3 В
Затвор транзистора нижнего плеча канала 12 В	DLFY 6	23 VIN	Входное напряжение
Положительный вход схемы контроля тока канала 12 В	CSP 7	22 VL	Вход напряжения питания логических схем 5 В
Отрицательный вход схемы контроля тока канала 12 В	CSN 8	21 FB5	Обратная связь канала 5 В
Малосигнальная земля	GND 9	20 PGND	Силовая земля
Конденсатор коррекции в канале 12 В	COMP 10	19 DL5	Затвор транзистора нижнего плеча канала 5 В
Опорное напряжение 3.3 В	REF 11	18 BST5	Питание выходного каскада канала 5 В
Вход управления ВКЛ/ВЫКЛ канала 12 В	12ON/OFF 12	17 DH5	Затвор транзистора верхнего плеча канала 5 В
Вход управления ВКЛ/ВЫКЛ 3.3 В	3.3ON/OFF 13	16 LX5	Дроссель канала 5 В
Вход управления ВКЛ/ВЫКЛ 5 В	5ON/OFF 14	15 CS5	Вход схемы контроля тока канала 5 В

## ТИПОВАЯ СХЕМА ПРИМЕНЕНИЯ





# SI9165

## ВЫСОКОЧАСТОТНЫЙ СИНХРОННЫЙ ПРЕОБРАЗОВАТЕЛЬ ПОВЫШАЮЩЕГО/ ПОНИЖАЮЩЕГО ТИПА С ВЫХОДНЫМ ТОКОМ ДО 600 мА

### ОСОБЕННОСТИ

- Режим управления по напряжению
- Диапазон входных напряжений ..... 2.7...6 В
- Режим управление:
  - при токе нагрузки до 600 мА при 3.3 В – ШИМ-управление
  - при токе нагрузки менее 200 мкА – ШИМ-управление с пропуском импульсов (прерывистый режим)
- Ток потребления в дежурном режиме ..... менее 1 мА
- Встроенная защита от пониженного напряжения питания с повторным мягким запуском
- Встроенный мягкий запуск
- Возможность внешней синхронизации

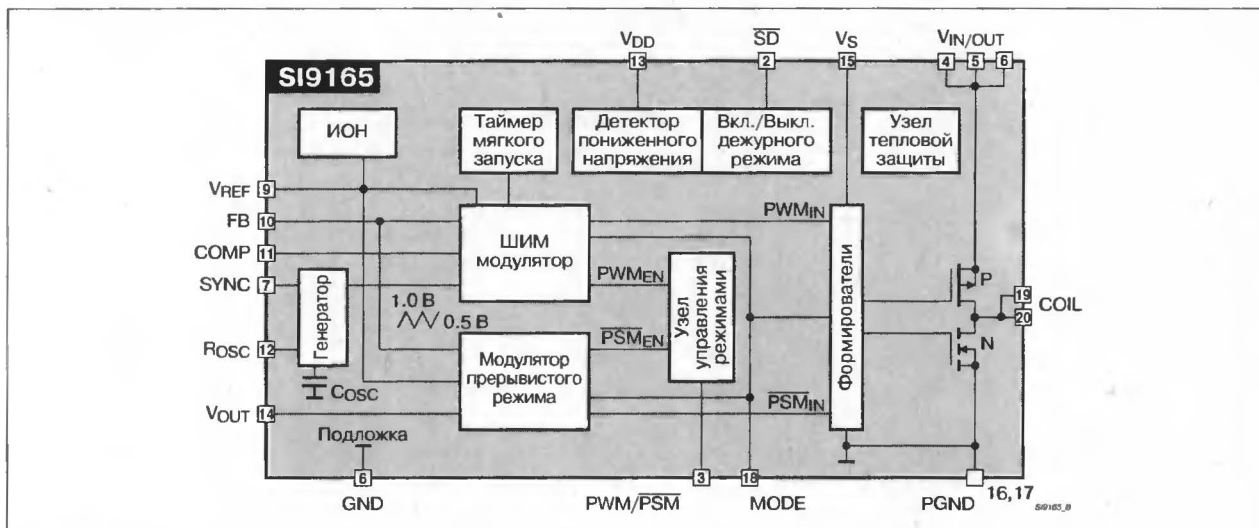
### ТИПОНОМИНАЛЫ

Типономинал	Корпус	Температурный диапазон, °C
SI9165BQ-T1	TSSOP-20 (лента и бобина)	-25...+85

### ОБЩЕЕ ОПИСАНИЕ

Микросхема Si9165 предназначена для работы в качестве повышающего или понижающего преобразователя в устройствах с питанием от одного литиевого элемента. Использование высокой (2 МГц) рабочей частоты позволяет применять в преобразователе новейшие миниатюрные дроссели (высотой 2 мм) и конденсаторы с емкостью менее 10 мкФ, которые обеспечивают амплитуду пульсаций на выходе менее 10 мВ (p-p). Использование в выходном каскаде высокочастотных МОП-транзисторов обеспечивает КПД до 95%. Поддержанию высокого КПД способствует также автоматический переход схемы управления в прерывистый режим при малом токе нагрузки. С целью более полного использования остаточного заряда питающей батареи, в понижающем преобразователе возможна реализация режима с рабочим циклом 100%. В этом случае ИС работает как линейный стабилизатор в режиме насыщения.

### СТРУКТУРНАЯ СХЕМА



### ЦОКОЛЕВКА КОРПУСОВ

Корпус типа TSSOP-20		Si9165	
Не используется	п.с. 1	20 COIL	Вывод подключения дросселя
Вход блокировки (дежурный режим)	SD 2	19 COIL	
Включение/Выключение прерывистого режима	PWM/PSM 3	18 MOOE	Режим работы (повышающий/понижающий)
Вход в режиме понижения напряжения, выход в режиме повышения	VIN/OUT 4	17 PGND	Силовая земля
	VIN/OUT 5	16 PGND	
	VIN/OUT 6	15 VS	Напряжение питания выходного каскада
Вход внешней синхронизации	SYNC 7	14 VOUT	Вход обратной связи в прерывистом режиме
Земля схемы управления	GND 8	13 VDD	Вход питания схемы управления
Источник опорного напряжения 1.3 В	VREF 9	12 ROSC	Частотозадающий резистор
Вход обратной связи	FB 10	11 COMP	Выход усилителя ошибки

СХЕМЫ ПРИМЕНЕНИЯ

Рис. 1. Повышающий преобразователь напряжения

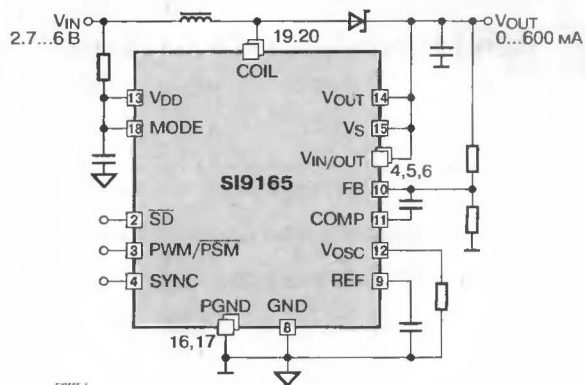
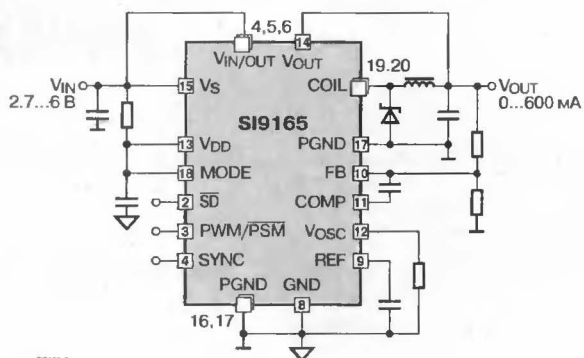


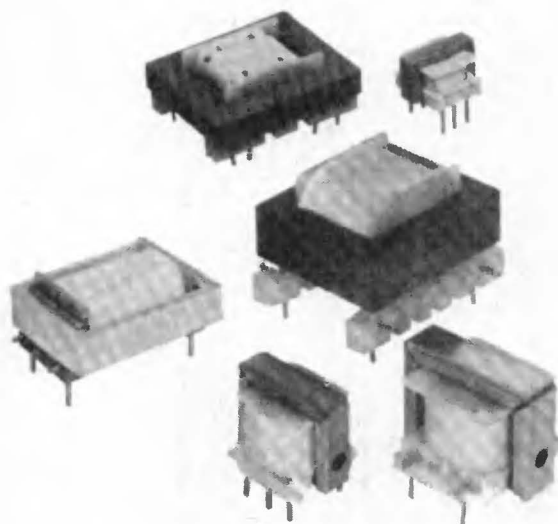
Рис. 2. Понижающий преобразователь напряжения



## ДЛЯ ЗАМЕТОК

# ПРИЛОЖЕНИЯ

Магнитные величины. Формулы и определения .....	576
Расчет мощных трансформаторов для импульсных ИП .....	583
Расчет дросселей и трансформаторов обратного хода для импульсных источников питания .....	587



# МАГНИТНЫЕ ВЕЛИЧИНЫ

## ФОРМУЛЫ И ОПРЕДЕЛЕНИЯ

### ОСНОВНЫЕ ФОРМУЛЫ И ОПРЕДЕЛЕНИЯ

В следующих равенствах и определениях используется международная система единиц — СИ (System International — рационализированная МКС — метр-килограмм-секунда). Для некоторых уравнений размерность модифицируется для удобства восприятия (например, использование миллиметров вместо метров). Расшифровка символов приведена на стр. 202.

#### Принимаемые допущения:

1. Распределение магнитной индукции  $B$  — однородно.
2. Распределение напряженности магнитного поля  $H$  — однородно.
3. Величина относительной магнитной проницаемости  $\mu_R$  — постоянна (характеристика  $B/H$  — линейна)

Выражение для индукции магнитного поля:

$$B = \mu_0 \mu_R H \quad (1)$$

Выражение магнитного потенциала из закона Ампера:

$$mmf = \int H d\ell = H \ell = N I \quad [\text{А} \cdot \text{в}] \quad (2)$$

Закон индукции Фарадея:

$$E = N \frac{d\Phi}{dt} = N A_E \frac{dB}{dt} \quad [\text{В}] \quad (3)$$

Для запасенной энергии:

Из (3):

$$E dt = N A_E dB \quad (3a)$$

Из (2):

$$I = \frac{H \ell}{N} \quad (2a)$$

подставляем,

$$W = \int E I dt = \int N A_E \frac{H \ell}{N} dB = A_E \ell_E \int H dB$$

$$W = \frac{1}{2} B H A_E \ell_E = \frac{B^2 A_E \ell_E}{2 \mu_0 \mu_R} \quad [\text{Дж}] \quad (4)$$

$$W/m^3 = \frac{B^2}{2 \mu_0 \mu_R} \quad [\text{Дж}/\text{м}^3] \quad (4a)$$

$$W = \frac{1}{2} L I^2 \quad [\text{Дж}] \quad (5)$$

Индуктивность:

Индуктивность получим приравняв (4) и (5):

$$\frac{1}{2} L I^2 = \frac{1}{2} B H A_E \ell_E$$

Подставим (2a):

$$L = B H A_E \ell_E \frac{N^2}{H^2 \ell_E^2} = \frac{B N^2 A_E}{H \ell_E}$$



$$L = \mu_0 \mu_R N^2 \frac{A_E}{\ell_E} \quad [\text{Гн}] \quad (6)$$

Потери в сердечнике на гистерезис – Закон Стейнмеца:

Примем, что величина магнитной индукции  $B_M$  симметрично изменяется в плюс и в минус относительно начального значения.

$$P_H = \eta_H \int B_M^K dv = \eta_H \int B_M^K \quad [\text{Вт/м}^3] \quad (7)$$

Для кремниевой стали:  $K = 1.6, \quad \eta_H = 80$

Для феррита марки ЗС8:  $K = 2.6, \quad \eta_H = 159$

Потери на вихревые токи в сердечнике:

для плоских пластин

$$P_E = \frac{4(f t B_M)^2}{3\rho} \quad [\text{Вт/м}^3] \quad (8)$$

где  $t$  – толщина пластины в метрах,  $\rho = 0.3...0.5 \cdot 10^{-6}$  Ом·м – удельное сопротивление трансформаторной стали.

## СОРТАМЕНТ ОБМОТОЧНЫХ ПРОВОДОВ

### РОССИЙСКАЯ СИСТЕМА

Обмоточные провода в эмаливой изоляции в бывшем СССР, а сейчас в России обозначаются следующим образом: сначала буквами указывается марка провода определяющая тип изоляции (материал, толщину, термостойкость, пробивное напряжение), а далее цифрами обозначается диаметр провода без изоляции в миллиметрах (чистый диаметр проводника), например, ПЭВ-2 0.12 или ПЭЛШО 0.08. Стандартные диаметры и параметры сортамента основных марок обмоточных проводов России приведены в Табл. 1.

Табл. 1

Диаметр по меди, [мм]	Площадь сечения меди, [мм <sup>2</sup> ]	Диаметр с изоляцией, [мм]					Погонное сопротивление, [Ом·м]
		ПЭВ-2	ПЭТВ	ПНЭТ-имид	ПСК, ПСДК	ПЭЛШО	
0.05	0.00196	0.08	—	—	—	0.14	9.169
0.06	0.00283	0.09	0.09	—	—	0.15	6.367
0.07	0.00385	0.10	0.10	—	—	0.16	4.677
0.08	0.00503	0.11	0.11	—	—	0.17	3.580
0.09	0.00636	0.12	0.12	—	—	0.18	2.829
0.10	0.00785	0.13	0.13	0.125	—	0.19	2.291
0.11	0.00950	0.14	0.14	0.135	—	0.20	1.895
0.12	0.01131	0.15	0.15	0.145	—	0.21	1.591
0.13	0.01327	0.16	0.16	0.155	—	0.22	1.356
0.14	0.01539	0.17	0.17	0.165	—	0.23	1.169
0.15	0.01767	0.19	0.19	0.180	—	0.24	1.018
0.16	0.02011	0.20	0.20	0.190	—	0.25	0.895
0.17	0.02270	0.21	0.21	0.20	—	0.26	0.793
0.18	0.02545	0.22	0.22	0.21	—	0.27	0.707
0.19	0.02835	0.23	0.22	0.22	—	0.28	0.635
0.20	0.03142	0.24	0.24	0.23	—	0.30	0.572
0.21	0.03464	0.25	0.25	0.24	—	0.31	0.520
0.23	0.04155	0.28	0.28	0.27	—	0.33	0.433
0.25	0.04909	0.30	0.30	0.29	—	0.35	0.366
0.27	0.05726	0.32	0.32	0.31	—	0.39	0.315
0.29	0.06605	0.34	0.34	0.33	—	0.41	0.296
0.31	0.07548	0.36	0.36	0.35	0.55	0.43	0.239
0.33	0.08553	0.38	0.38	0.37	0.57	0.45	0.210
0.35	0.09621	0.41	0.41	0.39	0.59	0.47	0.187
0.38	0.1134	0.44	0.44	0.42	0.62	0.50	0.152
0.41	0.1320	0.47	0.47	0.45	0.65	0.53	0.130
0.44	0.1521	0.50	0.50	0.48	0.68	0.57	0.113
0.47	0.1735	0.53	0.53	0.51	0.71	0.60	0.0993
0.49	0.1886	0.55	0.55	0.53	0.73	0.62	0.0914
0.51	0.2043	0.58	0.58	0.56	0.77	0.64	0.0840
0.53	0.2206	0.60	0.60	0.58	0.79	0.66	0.0781
0.55	0.2376	0.62	0.62	0.60	0.81	0.68	0.0725
0.57	0.2552	0.64	0.64	0.62	0.83	0.70	0.0675
0.59	0.2734	0.66	0.66	0.64	0.85	0.72	0.0630
0.62	0.3019	0.69	0.69	0.67	0.88	0.75	0.0571

Диаметр по меди, [мм]	Площадь сечения меди, [мм <sup>2</sup> ]	Диаметр с изоляцией, [мм]					Погонное сопротивление, [Ом·м]
		ПЭВ-2	ПЭТВ	ПНЭТ-имид	ПСК, ПСДК	ПЭЛШО	
0.64	0.3217	0.72	0.72	0.69	0.90	0.77	0.0538
0.67	0.3526	0.75	0.75	0.72	0.93	0.80	0.0488
0.69	0.3739	0.77	0.77	0.74	0.95	0.82	0.0461
0.72	0.4072	0.80	0.80	0.77	0.99	0.87	0.0423
0.74	0.4301	0.83	0.83	0.80	1.01	0.89	0.0400
0.77	0.4657	0.86	0.86	0.83	1.04	0.92	0.0370
0.80	0.5027	0.89	0.89	0.86	1.07	0.95	0.0342
0.83	0.5411	0.92	0.92	0.89	1.10	0.98	0.0318
0.86	0.5809	0.95	0.95	0.92	1.13	1.01	0.0297
0.90	0.6362	0.99	0.99	0.96	1.17	1.05	0.0270
0.93	0.6793	1.02	1.02	0.99	1.20	1.08	0.0253
0.96	0.7238	1.05	1.05	1.02	1.23	1.11	0.0238
1.00	0.7854	1.11	1.11	1.06	1.29	1.16	0.0219
1.04	0.8495	1.15	1.15	1.12	1.33	1.20	0.0202
1.08	0.9161	1.19	1.19	1.16	1.37	1.24	0.0188
1.12	0.9852	1.23	1.23	1.20	1.41	1.28	0.0175
1.16	1.0568	1.27	1.27	1.24	1.45	1.32	0.0163
1.20	1.1310	1.31	1.31	1.28	1.49	1.36	0.0152
1.25	1.2272	1.36	1.36	1.33	1.54	1.41	0.0140
1.30	1.3270	1.41	1.41	1.38	1.59	1.46	0.0132
1.35	1.4314	1.46	1.46	—	1.64	1.5	0.0123
1.40	1.5394	1.51	1.51	—	1.69	1.56	0.0113
1.45	1.6513	1.56	1.56	—	1.74	1.61	0.0106
1.50	1.7672	1.61	1.61	—	1.79	1.68	0.00993
1.56	1.9113	1.67	1.67	—	1.85	1.74	0.00917
1.62	2.0612	1.73	1.73	—	1.91	—	0.00850
1.68	2.217	1.79	1.79	—	1.98	—	0.00791
1.74	2.378	1.85	1.85	—	2.04	—	0.00737
1.81	2.573	1.93	1.93	—	2.11	—	0.00681
1.88	2.776	2.00	2.00	—	2.18	—	0.00631
1.95	2.987	2.07	2.07	—	2.25	—	0.00587
2.02	3.205	2.14	2.14	—	2.32	—	0.00547
2.10	3.464	2.23	2.23	—	2.40	—	0.00506
2.26	4.012	2.39	2.39	—	2.62	—	0.00437
2.44	4.676	2.57	2.57	—	2.80	—	0.00375

# АМЕРИКАНСКАЯ СИСТЕМА

В США для сортамента обмоточных проводов используется система обозначений AWG (American Wire Gauge). Увеличение числа AWG на единицу соответствует уменьшению диаметра проводника на 10.95%. Число AWG, называемое иногда "калибром", определяет диаметр проводника по формуле:

$$D_X = \frac{25.4}{\pi} 10^{-AWG/20} \quad [\text{мм}]. \quad (9)$$

Диаметр проводника с изоляцией вычисляется по формуле:

$$D_X' = D_X + 0.028 \sqrt{D_X} \quad [\text{мм}]. \quad (10)$$

Таблица 2

# AWG	Диаметр по меди, [мм]	Площадь сечения меди, [мм²]	Диаметр с изоляцией, [мм]	Площадь сечения с изоляцией, [мм²]	Погонное сопротивление, [Ом/м]		Ток при плотности тока 4.5 А/мм², [А]
					при 20°C	при 100°C	
10	2.588	5.2620	2.73	5.8572	0.0033	0.0044	23.679
11	2.305	4.1729	2.44	4.6738	0.0041	0.0055	18.778
12	2.053	3.3092	2.18	3.7309	0.0052	0.0070	14.892
13	1.828	2.6243	1.95	2.9793	0.0066	0.0088	11.809
14	1.628	2.0811	1.74	2.3800	0.0083	0.0111	9.365
15	1.450	1.6504	1.56	1.9021	0.0104	0.0140	7.427
16	1.291	1.3088	1.39	1.5207	0.0132	0.0176	5.890
17	1.150	1.0379	1.24	1.2164	0.0166	0.0222	4.671
18	1.022	0.8231	1.11	0.9735	0.0209	0.0280	3.704
19	0.912	0.6527	1.00	0.7794	0.0264	0.0353	2.937
20	0.812	0.5176	0.89	0.6244	0.0333	0.0445	2.329
21	0.723	0.4105	0.80	0.5004	0.0420	0.0561	1.847
22	0.644	0.3255	0.71	0.4013	0.0530	0.0708	1.465
23	0.573	0.2582	0.64	0.3221	0.0668	0.0892	1.162
24	0.511	0.2047	0.57	0.2586	0.0842	0.1125	0.921
25	0.455	0.1624	0.51	0.2078	0.1062	0.1419	0.731

# AWG	Диаметр по меди, [мм]	Площадь сечения меди, [мм²]	Диаметр с изоляцией, [мм]	Площадь сечения с изоляцией, [мм²]	Удельное сопротивление, [Ом/м]		Ток при плотности тока 4.5 А/мм², [А]
					при 20°C	при 100°C	
26	0.405	0.1287	0.46	0.1671	0.1339	0.1789	0.579
27	0.361	0.1021	0.41	0.1344	0.1689	0.2256	0.459
28	0.321	0.0810	0.37	0.1083	0.2129	0.2845	0.364
29	0.286	0.0642	0.33	0.0872	0.2685	0.3587	0.289
30	0.255	0.0509	0.30	0.0704	0.3386	0.4523	0.229
31	0.227	0.0404	0.27	0.0568	0.4269	0.5704	0.182
32	0.202	0.0320	0.24	0.0459	0.5384	0.7192	0.144
33	0.180	0.0254	0.22	0.0371	0.6789	0.9070	0.114
34	0.160	0.0201	0.20	0.0300	0.8560	1.1437	0.091
35	0.143	0.0160	0.18	0.0243	1.0795	1.4422	0.072
36	0.127	0.0127	0.16	0.0197	1.3612	1.8186	0.057
37	0.113	0.0100	0.14	0.0160	1.7165	2.2932	0.045
38	0.101	0.0080	0.13	0.0130	2.1644	2.8917	0.036
39	0.090	0.0063	0.12	0.0106	2.7293	3.6464	0.028
40	0.080	0.0050	0.10	0.0086	3.4417	4.5981	0.023
41	0.071	0.0040	0.09	0.0070	4.3399	5.7982	0.018

# АНГЛИЙСКАЯ СИСТЕМА

В Английской системе сортмент обмоточных проводов обозначается числом G, которое численно равно массе в фунтах, (1 фунт = 0.45359237 кг) одной английской мили (1 миля = 1609.344 м) провода и измеряется в фунтах на милю (lb/mile). В Таблице 3 приведены некоторые значения числа G и соответствующих ему диаметров обмоточных проводов (D<sub>X</sub>). Число G и диаметр проводника приблизительно связаны соотношением:

$$G \approx (5D_X)^2 \quad [\text{мм}] \quad (10)$$

Таблица 3

G, фунт/миля	4	6.5	10	20	40	50	100	160	220
D <sub>X</sub> , мм	0.40	0.51	0.63	0.90	1.27	1.42	2.01	2.54	2.98

Площадь поперечного сечения обмоточного провода:

$$A_X = \frac{\pi D_X^2}{4} \quad [\text{мм}^2]. \quad (11)$$

Погонное сопротивление провода:

$$R_X = \frac{\rho}{A_X} \quad [\text{Ом/м}], \text{ причем } A_X \text{ подставляется в мм}^2, \text{ а } \rho \text{ — в мкОм} \times \text{м}. \quad (13)$$

# Удельное сопротивление меди при температуре проводника T

$$\rho = 0.01724 (1 + 0.0042 (T - 20)) \quad [\text{мкОм} \times \text{м}] \quad (14)$$

Удельное сопротивление меди при 20°C:

$$\rho_{Cu} = 0.01724 \quad [\text{мкОм} \times \text{м}]$$

# Ограничение по плотности тока

Ток со среднеквадратической плотностью  $4.5 \text{ А/мм}^2$  ( $4.0 \text{ А/мм}^2$ ) вызывает повышение температуры трансформатора или катушки индуктивности, охлаждаемых за счет естественной конвекции, приблизительно на  $30^\circ\text{C}$  ( $25^\circ\text{C}$ ), если произведение площадей  $AP = A_W A_E$  составляет  $10^4 \text{ мм}^4$ . Для больших сердечников плотность тока, вызывающая повышение температуры трансформатора на  $30^\circ\text{C}$ , должна быть уменьшена, потому что с увеличением размеров количество теплоты, рассеиваемое поверхностью, увеличивается медленнее, чем количество теплоты, выделяемое в объеме трансформатора:

$$J(\text{max}) = 4.5 \cdot AP^{-0.125} \quad [\text{А/мм}^2]. \quad (15)$$

# Площадь обмоток

Площадь окна сердечника  $A_W$  умножается на коэффициент  $K_U$ , чтобы получить общую площадь, занимаемую всеми проводниками, и на коэффициент  $K_P$ , чтобы получить площадь первичной обмотки  $A_P$  (для первичной обмотки со средней точкой  $A_P$  уменьшается вдвое):

$$A_P = K_U K_P A_W, \quad (16)$$

$K_U$  – коэффициент использования окна показывает, какая часть площади окна является фактической площадью проводника.  $K_U$  рассчитывается исходя из толщины изоляции между обмотками, безопасного расстояния между концами обмоток, толщины изоляции провода и коэффициента заполнения (учитывается форма и расположение провода). Для бескаркасной катушки, намотанной проводом AWG #20 в высоковольтной изоляции, типовое значение  $K_U = 0.4$ . Если использовать катушку,  $K_U$  уменьшается до 0.3.

Таблица 4

Конфигурация обмоток		$K_P$	$A_{PRI}$	$A_{SEC}$
первичной	вторичной			
без средней точки	без средней точки	0.5	0.5	0.5
без средней точки	со средней точкой	0.414	0.414	0.293-0.293*
со средней точкой	со средней точкой	0.25 (Половина)	0.25-0.25*	0.25-0.25*

Примечание: \* Значения относительной площади для обмотки со средней точкой указаны для каждой половины обмотки.

Первичная/вторичная обмотка без средней точки (Прямоходовой преобразователь, обратногоходовой преобразователь, преобразователь повышающего типа).

Первичная обмотка без средней точки /вторичная обмотка со средней точкой (Мостовой преобразователь, полумостовой преобразователь).

Первичная/вторичная обмотка со средней точкой (Двухполупериодный преобразователь со средней точкой).

$K_P$  – коэффициент первичной обмотки указывает относительную площадь, занимаемую первичной обмоткой относительно общей площади всех обмоток, распределяемых так, чтобы все обмотки функционировали с той же самой среднеквадратичной плотностью тока и мощности.

$A_{PRI}$  – относительная площадь первичной обмотки.

$A_{SEC}$  – относительная площадь вторичной обмотки.

# Требования к изоляции между обмотками для схем с непосредственным питанием от сети

Требования составляются в зависимости от конкретного применения и класса (стандарта) по электробезопасности.

Информацию о международных стандартах безопасности можно получить в организации: EMACO, 7562 Trade Street, San Diego, CA 92121.

Информацию о требованиях стандартов по электробезопасности можно получить в организации: ANSI, 1430 Broadway, New York, NY.

Извлечения из стандартов по электробезопасности VDE 0806 и IEC 380 (для конторского оборудования):

Толщина диэлектрика между обмотками: 3 слоя лавсановой пленки толщиной 1 мил (0.0254 мм) (всего 6.6 мил (0.16 мм) со связующим веществом)

Безопасное расстояние между выводами первичной и вторичной обмоток — 0.23" (0.6 см)

Электростатический экран между обмотками (экран Фардея): слой медной фольги толщиной 1.4 мил (со связующим веществом 3 мил (0.076 мм))

# Потери, обусловленные поверхностным эффектом

На Рис. 1 показана величина коэффициента увеличения сопротивления  $F_R$ , равного отношению сопротивлений на постоянном и переменном токе, для близко расположенных обмоток, намотанных круглым проводом или плоской лентой. Величина  $F_R$  является функцией глубины проникновения тока под поверхность проводника  $D_{PEN}$ , толщины проводника  $h$ , коэффициента слоя меди  $F_L$  и числа слоев в секции обмотки. Когда обмотки не чередуются, вся первичная обмотка является одной секцией, также как и все вторичные обмотки. При разделении первичной обмотки на две половины, расположенные внутри и снаружи вторичных обмоток, каждая половина первичной обмотки есть секция обмотки. Точно также вторичная обмотка выполняется из двух частей, каждая поверх одной половины первичной обмотки. Это наполовину уменьшает число слоев в каждой секции и сильно уменьшает потери, вызванные поверхностным эффектом.

Для нахождения коэффициента  $F_R$  сначала вычисляют глубину проникновения тока под поверхность проводника  $D_{PEN}$  на данной частоте по формуле, приведенной ниже. Значение фактора  $Q$ , представляющего из себя отношение толщины одного слоя обмотки к глубине проникновения тока под поверхность проводника, равняется  $0.8 (d/D_{PEN})$  для плотно уложенного круглого провода или  $h/D_{PEN}$  для плоской ленты, где  $d$  – диаметр провода,  $h$  – толщина ленты.

Полученное в результате значение  $F_R$  (для синусоидального сигнала) игнорирует гармонические составляющие реального сигнала, присутствующего в импульсных источниках питания. Хотя возникающая в результате ошибка может быть довольно велика для узких импульсов, которые имеют много гармонических составляющих, наибольшие потери возникают обычно при величинах рабочего цикла больших,

чем 0.4, где величина ошибки достигает 20...30%. Когда необходима большая точность, вычислите  $F_R$  и потери для каждой из гармонических составляющих Фурье.

Глубина проникновения тока под поверхность проводника для меди при 100°C:

$$D_{PEN} = 75f^{-1/2} \text{ [см]}. \quad (17)$$

Значение  $Q$  зависит от конструктивного коэффициента слоя меди  $F_L$ , который является функцией расстояния между проводниками и формы проводников в слое. В уравнении (18),  $h(F_L)^{1/2}$  равняется 1 для медной полосы, и приблизительно 0.8 для плотно уложенного круглого провода. Для круглого провода, уложенного с произвольным интервалом,  $F_L$  может быть вычислен, используя уравнение (19).

$$Q = h(F_L)^{1/2}/D_{PEN} \quad h = 0.866 \varnothing \text{ [для круглого провода]} \quad (18)$$

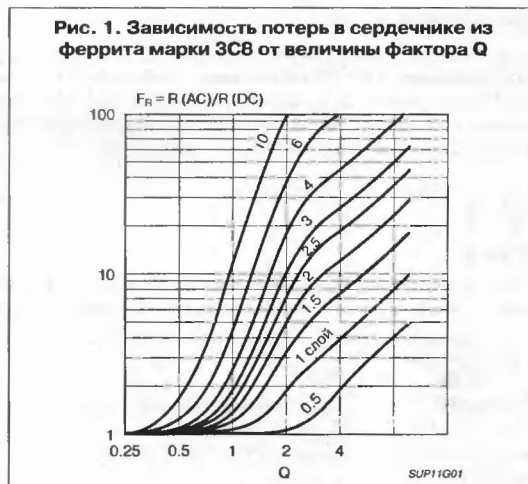
$$F_L = 0.866 [N_l/b_w], \quad (19)$$

где  $N_l$  — число витков в слое,  $b_w$  — ширина обмотки.

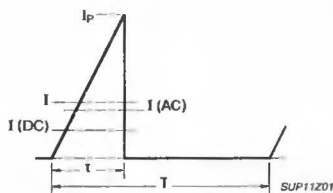
### Среднеквадратические значения токов индуктивных компонентов

Соотношения между пиковым током  $I_P$ , общим среднеквадратичным током  $I$  и его постоянной и переменной составляющими  $I_{DC}$  и  $I_{AC}$  даны ниже на типовых диаграммах токов, характерных для импульсных источников питания. Потери, обусловленные поверхностным эффектом, являются функцией сопротивления обмотки среднеквадратической составляющей переменного тока  $I_{AC}$ , в то время как низкочастотные потери — функция сопротивления обмотки на постоянном токе и общего среднеквадратичного тока  $I$ .

$$I^2 = I_{DC}^2 + I_{AC}^2 \quad d = t/T \quad (20)$$



**Рис. 2. Типовые диаграммы токов**

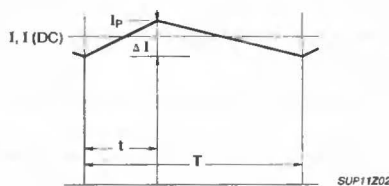


Для непродолжительного режима работы:

$$I_{DC} = I_P d/2$$

$$I_{AC} = I_P (d/3 - d^2/4)^{1/2}$$

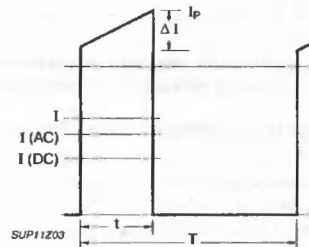
$$I = I_P (d/3)^{1/2}$$



Для продолжительного режима работы (на дросселе фильтра):

$$I \approx I_{DC} = I_P - \Delta I/2$$

$$I_{AC} = \Delta I / (12)^{1/2}$$



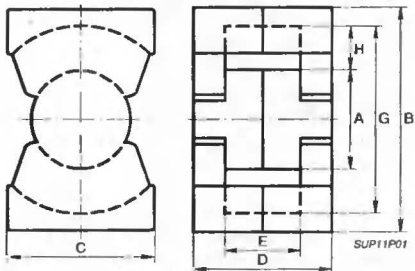
Для продолжительного режима работы (на обмотке трансформатора):

$$I_{DC} = (I_P - \Delta I/2) d$$

$$I_{AC} = (I_P - \Delta I/2) [d(1-d)]^{1/2}$$

$$I \approx (I_P - \Delta I/2) d^{1/2}$$

**Рис. 3. Габаритные размеры сердечников типа PQ**



**Рис. 4. Габаритные размеры сердечников типа EC, ETD**

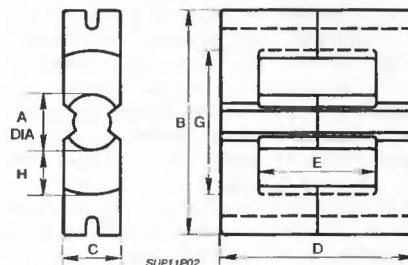


Таблица 5

#	Обозначение сердечника	Тип сердечника	AP	B	G	D	C	A	EbW	HbW	A <sub>E</sub>	I <sub>E</sub>	V <sub>E</sub>	A <sub>W</sub>	MLT	As	Rt
1	EC70	ER	17.83	7.00	4.45	6.90	1.64	1.64	4.55	1.41	2.79	14.40	40.10	6.39	9.57	142.19	7.50
2	EC70 с катушкой	ER	14.36	7.00	4.45	6.90	1.64	1.64	4.15	1.24	2.79	14.40	40.10	5.15	10.08	142.19	7.50
3	ETD49	ER	7.87	4.87	3.70	4.94	1.63	1.63	3.62	1.03	2.11	11.40	24.20	3.73	8.39	80.10	11.00
4	PQ40/40	PQ	6.40	4.00	3.70	4.00	2.80	1.52	2.92	1.09	2.01	10.20	20.50	3.18	8.20	76.80	12.00
5	EC52	ER	5.59	5.22	3.30	4.84	1.34	1.34	3.17	0.98	1.80	10.50	18.80	3.11	7.29	77.49	11.00
6	ETD44	ER	5.28	4.40	3.33	4.46	1.48	1.48	3.30	0.92	1.74	10.30	18.00	3.04	7.57	65.47	12.00
7	EC52 с катушкой	ER	4.63	5.22	3.30	4.84	1.34	1.34	3.06	0.84	1.80	10.50	18.80	2.57	7.73	77.49	11.00
8	PQ35/35	PQ	4.21	3.50	3.20	3.50	2.60	1.46	2.47	0.87	1.96	8.79	17.26	2.15	7.32	60.90	16.00
9	ETD39	ER	3.21	3.91	3.01	3.96	1.25	1.25	2.92	0.88	1.25	9.21	11.50	2.57	6.69	50.64	15.00
10	EC41	ER	2.59	4.06	2.70	3.90	1.16	1.16	2.78	0.77	1.21	8.93	10.80	2.14	6.06	50.14	16.50
11	PQ32/30	PQ	2.33	3.20	2.75	3.06	2.20	1.37	2.10	0.69	1.61	7.46	11.97	1.45	6.47	47.13	18.50
12	EC41 с катушкой	ER	1.90	4.06	2.70	3.90	1.16	1.16	2.45	0.64	1.21	8.93	10.80	1.57	6.47	50.14	16.50
13	ETD34	ER	1.83	3.42	2.63	3.46	1.08	1.08	2.42	0.18	0.97	7.86	7.64	1.89	5.81	38.53	19.00
14	EC35	ER	1.36	3.43	2.27	3.46	0.95	0.95	2.45	0.66	0.84	7.74	6.53	1.62	5.06	36.83	18.50
15	PQ32/20	PQ	1.31	3.20	2.75	2.08	2.20	1.37	1.12	0.69	1.70	5.55	9.42	0.77	6.47	36.54	22.00
16	PQ26/25	PQ	0.96	2.65	2.25	2.50	1.90	1.22	1.58	0.52	1.18	5.55	6.53	0.81	5.45	32.82	24.00
17	EC35 с катушкой	ER	0.94	3.43	2.27	3.46	0.95	0.95	2.16	0.52	0.84	7.75	6.53	1.12	5.50	36.83	18.50
18	PQ26/20	PQ	0.69	2.65	2.25	2.04	1.90	1.22	1.12	0.52	1.19	4.63	5.49	0.58	5.45	28.63	30.00
19	PQ20/20	PQ	0.39	2.05	1.80	2.04	1.40	0.90	1.40	0.45	0.62	4.54	2.79	0.63	4.24	19.82	36.00
20	PQ20/16	PQ	0.28	2.05	1.80	1.64	1.40	0.90	1.00	0.45	0.62	3.74	2.31	0.45	4.24	17.06	42.00

# Потери в ферритовых сердечниках

Потери в ферритовых сердечниках изменяются от температуры и являются функцией величины удельных потерь  $P_{C/V}$ , объема сердечника  $V_E$  и теплового сопротивления  $R_T$ . Зависимости объема сердечника и теплового сопротивления от произведения площадей  $A_W A_E$  показаны на Рис. 5 и Рис. 6. Точки на графиках – реальные величины для сердечников семейств EC, ETD, RM и PQ. Эмпирические уравнения были выведены из этих данных. Значения тепловых сопротивлений приводятся для охлаждения с помощью естественной конвекции.

$$\Delta T = R_T V_E (P_{C/V}) \quad (26)$$

Потери в ферритовых сердечниках – функция пиковых значений изменения магнитной индукции  $\Delta B$ , частоты, с которой магнитная индукция изменяется в сердечнике (для однотактной схемы  $f = f_S$ , для двухтактной  $f = f_S/2$ ).

$$P_{C/V} = \Delta B^2 4 (K_H f + K_E f^2), \quad (27)$$

где  $K_H$  – коэффициент потерь на гистерезис,  $K_E$  – коэффициент потерь на вихревые токи.  
Для типового ферритового материала:

$$K_H = 4 \times 10^{-5}; K_E = 4 \times 10^{-10}.$$

Обратите внимание на то, что на наиболее часто публикуемых графиках потерь в ферритовых сердечниках величина, обозначаемая как "магнитная индукция", обычно означает пиковую (максимальную) магнитную индукцию (1/2 размаха). Перед использованием таких кривых необходимо разделить значения  $\Delta B$  на два.

Рис. 5. Зависимость теплового сопротивления от произведения площадей  $A_W A_E$

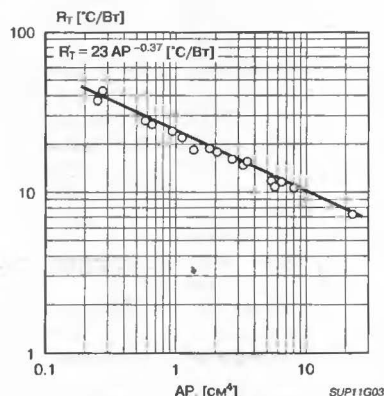
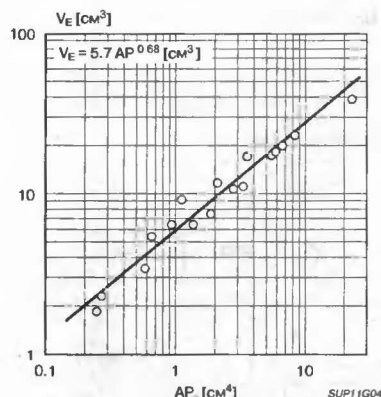


Рис. 6. Зависимость объема сердечника от произведения площадей  $A_W A_E$



ФИЗИЧЕСКИЕ ВЕЛИЧИНЫ И ЕДИНИЦЫ ИЗМЕРЕНИЯ, ИСПОЛЬЗУЕМЫЕ В СТАТЬЕ

Таблица 6

Параметр	Символ	Единицы измерения в системе СИ	
		англ.	русс.
Магнитная индукция	B	T	Тл
Напряженность магнитного поля	H	A-t/m	Ампер-виток/м
Абсолютная магнитная проницаемость	$\mu_0$	$4\pi 10^{-7}$	—
Относительная магнитная проницаемость	$\mu_R$	—	—
Эффективная площадь поперечного сечения магнитопровода	$A_E$	m <sup>2</sup>	м <sup>2</sup>
Эффективная длина пути магнитной линии	$\ell_E$	m	м
Ширина зазора	$\ell_G$	m	м
Магнитный поток ( $\int B dA$ )	$\Phi$	Wb	Вб
Магнитный потенциал ( $\int H dl$ )	mmf	A-t	Ампер-виток
Индуктивность	L	H	Гн
Коэффициент индуктивности	$A_L$	nH (на виток)	нГн
Площадь окна сердечника	$A_W$	m <sup>2</sup>	м <sup>2</sup>
Площадь поперечного сечения провода	$A_K$	m <sup>2</sup>	м <sup>2</sup>
Число витков	N	—	виток
Средняя длина витка	$\ell_T$	m	м
Плотность тока	J	A/m <sup>2</sup>	А/м <sup>2</sup>
Удельное электрическое сопротивление	$\rho$	$\Omega \times m$	Ом×м
Произведение площадей, $A_W \times A_E$	AP	m <sup>4</sup>	м <sup>4</sup>
Энергия	W	J	Дж



# РАСЧЕТ МОЩНЫХ ТРАНСФОРМАТОРОВ ДЛЯ ИМПУЛЬСНЫХ ИСТОЧНИКОВ ПИТАНИЯ

Приведенная ниже процедура расчета позволяет определить параметры трансформаторов, используемых для развязки и передачи энергии во вторичные цепи. Накопление энергии в этих трансформаторах нежелательно. Трансформаторы, используемые в обратных стабилизаторах, фактически являются связанными катушками индуктивности и служат, прежде всего, для накопления энергии. Методика расчета таких трансформаторов изложена в следующей статье. Используемые в этой статье символы, определения, формулы и справочные данные для различных сердечников и проводов определены в статье "Магнитные величины".

## ОПРЕДЕЛЕНИЕ РАЗМАХА КОЛЕБАНИЙ МАГНИТНОЙ ИНДУКЦИИ

В качестве первого шага необходимо определить размах колебаний магнитной индукции  $\Delta B$  в установившемся режиме. Трансформатор должен быть рассчитан на работу при возможно большем значении  $\Delta B$ , что позволяет иметь меньшее число витков в обмотке, увеличить номинальную мощность и уменьшить индуктивность рассеивания. На практике значение  $\Delta B$  может ограничиваться либо индукцией насыщения сердечника  $B_{SAT}$ , либо потерями в магнитопроводе.

В большинстве полумостовых, полумостовых и двухполупериодных схем со средней точкой трансформатор возбуждается симметрично. При этом значение магнитной индукции изменяется симметрично относительно нуля характеристики намагничивания, что дает возможность иметь теоретическое максимальное значение  $\Delta B$ , равное удвоенному значению  $B_{SAT}$ . В большинстве однотактных схем, используемых, например, в однотактных преобразователях, магнитная индукция колеблется полностью в пределах первого квадранта характеристики намагничивания от  $B_R$  до  $B_{SAT}$ , ограничивая теоретический максимум  $\Delta B$  до значения  $(B_{SAT} - B_R)$ . Это означает, что если  $\Delta B$  не ограничено потерями в магнитопроводе (обычно на частотах ниже 50...100 кГц), для однотактных схем требуется трансформатор больших размеров при одной и той же выходной мощности.

В питаемых напряжением схемах (которые включают все схемы понижающих стабилизаторов), в соответствии с законом Фарадея, значение  $\Delta B$  определяется произведением вольт-секунда на первичной обмотке. В установившемся режиме произведение вольт-секунда на первичной обмотке устанавливается на постоянном уровне и равно  $V_{IN}(min) \times t_{ON}(max)$  или  $V_{IN}(max) \times t_{ON}(min)$ . Размах колебаний магнитной индукции, таким образом, также постоянен.

Однако, при обычном методе управления рабочим циклом, который используется большинством микросхем для импульсных стабилизаторов, при запуске и во время резкого увеличения тока нагрузки  $V_{IN}(max)$  может иметь место одновременно с  $t_{ON}(max)$ . При этом, если принять, что  $V_{IN}(max)$  в два раза больше  $V_{IN}(min)$ ,  $\Delta B$  может достигать удвоенного значения от значения в установившемся режиме. Поэтому, чтобы сердечник не насыщался при переходных процессах, установившееся значение  $\Delta B$  должно быть в два раза меньше теоретического максимума. Однако, если же используется микросхема, позволяющая контролировать значение произведения вольт-секунда (схемы с отслеживанием возмущения входного напряжения, например UC3825), то максимальное значение произведения вольт-секунда фиксируется на уровне, немного превышающем установившийся. Это позволяет увеличить значение  $\Delta B$  и улучшает производительность трансформатора.

Значение  $B_{SAT}$  для большинства мощных ферритов типа 3C8 превышает 0.3 Тл. В двухтактных питаемых напряжением схемах  $\Delta B$  обычно ограничивается значением 0.3 Тл. При увеличении частоты до 50 кГц потери в магнитопроводе приближаются к потерям в проводах. Увеличение потерь в магнитопроводе на частотах выше 50 кГц приводит к уменьшению значения  $\Delta B$ .

В однотактных схемах без фиксации произведения вольт-секунда для сердечников с  $(B_{SAT} - B_R)$ , равным 0.2 Тл, и с учетом переходных процессов установившееся значение  $\Delta B$  ограничивается на уровне только 0.1 Тл. Потери в магнитопроводе на частоте 50 кГц будут незначительными вследствие небольшого размаха колебаний магнитной индукции. В схемах с фиксированным произведением вольт-секунда  $\Delta B$  может принимать значения до 0.2 Тл, что дает возможность значительно сократить размеры трансформатора.

В питаемых током схемах (повышающие преобразователи и управляемые током понижающие стабилизаторы на связанных катушках индуктивности) значение  $\Delta B$  определяется произведением вольт-секунда на вторичной обмотке при фиксированном выходном напряжении. Так как произведение вольт-секунда на выходе не зависит от изменений входного напряжения, то питаемые током схемы могут работать с  $\Delta B$ , близким к теоретическому максимуму (если не учитывать потери в сердечнике), без необходимости ограничения произведения вольт-секунда.

На частотах выше 50...100 кГц  $\Delta B$  обычно ограничивается потерями в магнитопроводе.

## ВЫБОР СЕРДЕЧНИКА

Вторым шагом необходимо правильно выбрать тип сердечника, который не будет насыщаться при заданном произведении вольт-секунда и обеспечит приемлемые потери в магнитопроводе и обмотках. Для этого можно использовать итерационный процесс, однако формулы (1А) и (1В) позволяют вычислить приближенное значение произведения площади сердечника  $A_P$  ( $A_P$  равняется произведению площади окна сердечника  $A_W$  и поперечного сечения магнитопровода  $A_E$ ). Формула (1А) применяется, когда  $\Delta B$  ограничено насыщением, а (1В) — когда  $\Delta B$  ограничено потерями в магнитопроводе. В сомнительных случаях вычисляются оба значения и используется наибольшее. Из таблиц справочных данных для различных сердечников, приведенных в статье "Магнитные величины", выбирается тот тип сердечника, у которого  $A_P$  превышает расчетную величину.

$$AP = A_W A_E = \left( \frac{P_{IN} \times 10^4}{K_T K_U K_P 420 \Delta B 2 f_T} \right)^{1.31} = \left( \frac{11.1 P_{IN}}{K \Delta B f_T} \right)^{1.31} [\text{см}^4] \quad (1A)$$

$$AP = A_W A_E = \left( \frac{P_{IN} \times 10^4}{120 K 2 f_T} \right)^{1.58} \times (K_{if} + K_{ef}^2)^{0.660} [\text{см}^4], \quad (1B)$$

где  $P_{IN} = P_o / \eta$  — выходная мощность / КПД;  
 $K_T = I_{N(DC)} / I_P(rms)$  — конструктивный фактор;  
 $K_U = A_W / A_E$  — коэффициент использования окна (0.40);  
 $K_P = A_P / A_W$  — коэффициент площади первичной обмотки;  
 $K = K_T K_U K_P$ ;  
 $J$  = плотность тока (420 А/см<sup>2</sup>);  
 $f_T$  = рабочая частота трансформатора  
 см. Таблицу 1 ниже и статью "Магнитные величины".

Для большинства мощных ферритов коэффициент гистерезиса  $K_H = 4 \times 10^{-5}$ , коэффициент вихревых токов  $K_E = 4 \times 10^{-10}$ .

В формулах (1А) и (1В) предполагается, что обмотки занимают 40% от площади окна, соотношение между площадями первичной и вторичной обмоток соответствует одинаковой плотности тока в обеих обмотках и что суммарные потери в магнитопроводе и обмотках приводят к перепаду температур в зоне нагрева на 30°C при естественном охлаждении.

Таблица 1. Коэффициенты

Тип преобразователя	Перв./Втор. обмотки	K	K <sub>T</sub>	K <sub>U</sub>	K <sub>P</sub>
Прямодвухфазный преобразователь	Б0/Б0	0.141	0.71	0.40	0.50
Полномостовой/полумостовой	Б0/СТ	0.165	1.0	0.10	0.41
Двухполупериодный со средней точкой	СТ/СТ	0.141	1.41	0.40	0.25

Примечание:

Б0 – обмотка без отвода, СТ – обмотка со средней точкой

## РАСЧЕТ ОБМОТОК

В приведенных ниже формулах для полумостовых схем  $V_{IN}$  равняется половине размаха входного напряжения.

Для первичной обмотки со средней точкой все значения приводятся для половины первичной обмотки.

Сначала вычисляется максимально возможное значение общих потерь в трансформаторе для выбранного типа сердечника, используя значения его теплового сопротивления  $R_T$  и максимального перепада температур в зоне нагрева  $\Delta T$ .

$$P_T = \frac{\Delta T}{R_T} \text{ [Вт]} \quad (2)$$

Если тепловое сопротивление используемого сердечника не известно, его можно рассчитать по приближенной формуле:

$$R_T = 23 \times AP^{-0.37} \text{ [°C/Вт]}. \quad (3)$$

Если значение  $AP$ , рассчитанное по формуле (1А), больше, чем рассчитанное по формуле (1В), то размах колебаний магнитной индукции ограничивается насыщением, и в качестве  $\Delta B$  принимается значение, используемое в (1А).

Если колебание магнитного потока ограничено потерями в сердечнике, то в дальнейших расчетах общие потери распределяются поровну между обмотками и сердечником ( $P_W = P_C = P_T/2$ ). Для определения значения  $\Delta B$  в этом случае необходимо вычислить максимальное разрешенное значение удельных потерь, разделив разрешенные потери в сердечнике  $P_C$  на объем сердечника  $V_E$ , после чего  $\Delta B$  находится из зависимостей удельных потерь от значения магнитной индукции. Указанное значение, как правило, является пиковым значением и должно быть удвоено для получения значения  $\Delta B$ .

Далее вычисляется минимальное число витков первичной обмотки  $N_P$ , необходимое для нормальной работы при заданном значении произведения вольт-секунда.

$$t_{ON(max)} = \frac{D(max)}{f_s} = \frac{0.5}{f_T} \text{ [с]}$$

$$N_P > \frac{V_{IN(min)} t_{ON(max)} \times 10^4}{\Delta B A_E} = \frac{5000 V_{IN(min)}}{\Delta B A_E f_T} \quad (4)$$

Коэффициент трансформации  $n$  рассчитывается для случая наименьшего напряжения на вторичной обмотке, соответствующего минимальному входному напряжению и максимальному рабочему циклу.  $V_F$  — прямое падение напряжения на диоде. Множитель 0.9 учитывает время включения и выключения транзисторного ключа:

$$n = \frac{N_P}{N_S} = \frac{0.9 (V_{IN(min)} - V_{CE(SAT)}) D}{V_O + V_{F_D}} \quad (5)$$

Затем вычисляется число витков, требуемое для получения этого минимального напряжения на вторичной обмотке, и округляется вверх до ближайшего целого числа:

$$N_S = \text{Integer}(N_P/n). \quad (6)$$

Для округленного значения числа витков вторичной обмотки вычисляется фактическое число витков первичной обмотки. Если новое значение  $N_P$  окажется значительно больше, чем минимальное, полученное из формулы (4), то может потребоваться сердечник больших размеров:

$$N_P = n N_S \quad (7)$$

Новое значение для числа витков первичной обмотки подставляется в формулу (4), которая теперь используется для нахождения фактического значения  $\Delta B$ . Полученное значение используется для нахождения соответствующей ему величины удельных потерь из графиков для удельных потерь (значение  $\Delta B$  надо разделить на 2 для получения пикового значения, используемого в большинстве кривых для удельных потерь в сердечнике). Найденное значение удельных потерь умножается на объем сердечника  $V_E$  для получения фактических потерь в сердечнике  $P_C$ .

Максимальные потери в обмотках определяются путем вычитания фактических потерь в сердечнике  $P_C$  из величины общих потерь в трансформаторе  $P_T$ . Для получения максимальных разрешенных потерь в первичной обмотке (половине для первичной обмотки со средней точкой)  $P_P$  потери в обмотках умножаются на коэффициент площади первичной обмотки  $K_P$ :

$$P_P = K_P (P_T - P_C) \text{ [Вт]}. \quad (8)$$

Далее вычисляется максимальное требуемое эффективное значение тока в первичной обмотке (половине для первичной обмотки со средней точкой) при предельной нагрузке:

$$I_P(max) = \frac{I_{IN(max)}}{K_T} = \frac{P_{IN(max)}}{V_{IN(min)} K_T} \text{ [А]}. \quad (9)$$

Это позволяет рассчитать максимальное сопротивление первичной обмотки (или половину для первичной обмотки со средней точкой):

$$R_P = \frac{P_P}{I_P(max)^2} \text{ [Ом]}. \quad (10)$$

Используя среднюю длину витка для выбранного типа сердечника и значение  $N_P$  из формулы (7), вычисляется погонное сопротивление первичной обмотки (половине для первичной обмотки со средней точкой).

$$R_P \text{ [cm]} = \frac{R_P}{N_P l_T} \quad (11)$$

Из таблицы справочных данных для проводов выбирается минимальный размер провода, обеспечивающий полученное значение погонного сопротивления и определяется площадь его поперечного сечения  $A_X$ . Общая площадь поперечного сечения  $A_P$  проводов первичной обмотки (половине для первичной обмотки со средней точкой) определяется как произведение  $A_X$  на  $N_P$ . Полученная величина сравнивается с доступной площадью окна для проводов в первичной обмотке.

$$A_P = N_P A_X \leq K_U K_P A_W. \quad (12)$$

Если  $A_p$  окажется больше доступной площади окна, то необходимо повторить процедуру, начиная с формулы (2), для сердечника больших размеров (или разрешить больший перепад температур). Если  $A_p$  окажется значительно меньше, то можно использовать сердечник меньших размеров.

Плотность тока во всех обмотках должна быть одинаковой, что соответствует однородной плотности мощности во всех обмотках и таким образом улучшает использование площади окна. Соотношение между площадью поперечного сечения провода во вторичных обмотках и ее значением  $A_k$  для первичной обмотки, определяется среднеквадратичным током в соответствующей обмотке.

Чтобы избежать больших потерь на вихревые токи и облегчить процесс наматывания, можно использовать несколько запараллеленных витков более тонкого провода с эквивалентной общей площадью поперечного сечения. Для высокочастотных вторичных обмоток рекомендуется использовать тонкую медную пластину (см. Статью "Магнитные величины").

## ОПРЕДЕЛЕНИЕ ПРОИЗВЕДЕНИЯ ПЛОЩАДЕЙ СЕРДЕЧНИКА

Постоянная составляющая входного тока импульсного стабилизатора  $I_{IN}$  вычисляется по формуле:

$$I_{IN} = \frac{P_{IN}}{V_{IN}}, \quad P_{IN} = \frac{P_O}{\eta}.$$

Максимальный среднеквадратичный ток первичной обмотки  $I_p(max)$  соответствует минимальному  $V_{IN}$ . Соотношение между среднеквадратичным током первичной обмотки и постоянной составляющей входного тока определяется конструктивным фактором  $K_T$ :

$$I_p(max) = \frac{I_{IN}(max)}{K_T} = \frac{P_{IN}(max)}{V_{IN}(min) K_T}. \quad (A1)$$

Количество витков, необходимое для заполнения всей разрешенной для первичной обмотки площади окна при заданном значении плотности тока  $J$ , зависит от коэффициента использования окна  $K_U$  и коэффициента площади первичной обмотки  $K_P$  и вычисляется по формуле:

$$N_p I_p = A_p J = K_U K_P A_W J, \quad N_p = \frac{K_U K_P A_W J}{I_p}.$$

Подставляя значение  $I_p$  из формулы (1), получаем:

$$N_p = \frac{V_{IN}(min) K_T K_U K_P A_W J}{P_{IN}(max)}, \quad A_W = \frac{N_p P_{IN}(max)}{V_{IN}(min) K_T K_U K_P J}. \quad (A2)$$

Из закона Фарадея:

$$E dt = N d\Phi$$

$$V_{IN} t_{ON} = N_p \Delta B A_E, \quad \text{где } A_E = \frac{V_{IN}(min) t_{ON}(max)}{N_p \Delta B}.$$

Для прямоходового преобразователя:

$$t_{ON}(max) = \frac{D(max)}{f_s} = \frac{0.5}{f_s} = \frac{1}{2f_T}.$$

Для мостовых, полумостовых и схем со средней точкой:

$$t_{ON}(max) = \frac{D(max)}{f_s} = \frac{1}{f_s} \approx \frac{1}{2f_T}.$$

$\Delta B$  — полный размах колебаний индукции в установившемся режиме

$$A_E = \frac{V_{IN}(min)}{N_p \Delta B 2 f_T}. \quad (A3)$$

Объединяя (2) и (3), получаем:

$$A_P = A_W A_E = \frac{P_{IN}(max)}{K_T K_U K_P J(max) \Delta B 2 f_T} [M^4] \quad (A4)$$

Для получения значения  $A_P$  в  $cm^4$ , значение для  $J$  берется в  $A/cm^2$  и результат умножается на  $10^4$ .

В случае, когда размах колебаний магнитного потока ограничивается насыщением, предполагается, что потери в магнитопроводе незначительны и все потери приходятся на обмотки. Для сердечника с произведением площадей  $1 cm^4$  максимальная плотность тока  $J(max)$ , вызывающая перепад температур на  $30^\circ C$  в зоне нагрева при естественном охлаждении, равна  $420 A/cm^2$  ( $2700 A/in^2$ ). Увеличение размера сердечника приводит к уменьшению максимальной плотности тока, так как площадь рассеивающей тепло поверхности увеличивается медленнее, чем объем, в котором происходит выделение тепла. Эмпирически:

$$J_{30} = 420 A_P^{-0.240} [A/cm^2]. \quad (A5)$$

Для вычисления  $A_P$  в случае ограничения  $\Delta B$  насыщением сердечника (A5) подставляется в (A4):

$$A_P = A_W A_E = \left( \frac{P_{IN} \times 10^4}{K_T K_U K_P 420 \Delta B 2 f_T} \right)^{1.31} [cm^4] \quad (A6)$$

В случае ограничения потерями в сердечнике необходимо начинать с формулы (A4). Снова предполагается перепад температур на  $30^\circ C$  в зоне нагрева, но потери распределяются поровну между сердечником и обмотками. Это означает, что первые  $15^\circ C$  обусловлены потерями в магнитопроводе, а другие — потерями в обмотках. Плотность тока, вызывающая повышение температуры на  $15^\circ C$ , рассчитывается по формуле:

$$J_{15} = 297 A_P^{-0.240} [A/cm^2] \quad (A7)$$

Это значение подставляется в (A4) вместо  $J(max)$ , но сначала необходимо найти значение  $\Delta B$ , при котором потери в сердечнике вызывают нагрев на  $15^\circ C$ . Удельные потери в сердечнике можно вычислить по следующей эмпирической формуле:

$$P_{CN} = \Delta B_M^{2.4} (K_H f + K_E f^2). \quad (A8)$$

Перепад температуры зависит от величины удельных потерь в магнитопроводе, объема сердечника и его теплового сопротивления и вычисляется по формуле:

$$\Delta T = 15^\circ C = R_T V_E P_{CN}. \quad (A9)$$

Тепловое сопротивление и объем сердечника имеют эмпирическую зависимость от произведения площадей  $A_P$ :

$$R_T \approx 23 A_P^{-0.37} [^\circ C/Вт] \quad (A10)$$

$$V_E = 5.7 A_P^{0.68} [cm^3]. \quad (A11)$$

Подставляя (A8), (A10) и (A11) в (A9) и решая его относительно  $\Delta B$ , находим максимальное значение  $\Delta B_M$ :

$$\Delta B_M = \frac{0.405 A_P^{-0.129}}{(K_H f + K_E f^2)^{0.417}}. \quad (A12)$$

Наконец, подставляя (A7) и (A12) в (A4) получаем требуемое значение  $A_P$  для случая ограничения  $\Delta B$  потерями в сердечнике:

$$A_P = A_W A_E = \left( \frac{P_{IN} \times 10^4}{120 K 2 f_T} \right)^{1.58} \times (K_H f + K_E f^2)^{0.660} [cm^4]. \quad (A13)$$

**ПРОПОРЦИОНАЛЬНОЕ РАСПРЕДЕЛЕНИЕ ТРАНСФОРМАТОРНЫХ ОБМОТОК:**

$I$  = среднеквадратичный ток через первичную или вторичную обмотку в однотактной схеме,

$I' = I/1.414$  — среднеквадратичный ток в одной из половин обмоток со средней точкой.

$A_W$  — общая площадь окна в сердечнике для проводов и изоляции.

$A_W K_U$  — площадь окна, используемая только проводниками. Типовое значение  $K_U = 0.35$ .

$A_W K_U K_P$  — площадь первичной обмотки (1/2 для обмотки со средней точкой).

Общая площадь поперечного сечения проводника равняется сумме площадей проводников каждой обмотки:

$$A_W K_U = A_1 + A_2 + \dots + A_N.$$

Площади проводника каждой обмотки, при которых везде будет обеспечиваться одинаковая плотность тока  $J$  (чтобы получить однородную плотность мощности), вычисляются по формулам:

$$A_N = \frac{N_N I_N}{J} \text{ (обмотка без средней точки)}$$

$$A_N = \frac{N_N I_N'}{J} = \frac{N_N I_N}{1.414 J} \text{ (половина обмотки со средней точкой)}.$$

Формулы для обмоток без средней точки (прямоугольной преобразователь):

$$N_P I_P = N_S I_S, \quad \frac{N_P I_P}{J} = \frac{N_S I_S}{J}, \quad A_P = A_S$$

$$A_W K_U = A_P + A_S = 2A_P, \quad A_P = A_S = 0.5 A_W K_U, \quad K_P = 0.5.$$

Формулы для первичной обмотки без средней точки и вторичной обмотки со средней точкой (полномостовая и полумостовая схемы):

$$N_P I_P = N_{S1} I_{S1} = N_{S2} I_{S2}$$

$$A_P = \frac{N_P I_P}{J}, \quad A_{S1} = A_{S2} = \frac{N_S I_{S1}'}{J} = \frac{N_S I_S}{1.414 J} = \frac{N_P I_P}{1.414 J} = \frac{A_P}{1.414}$$

$$A_W K_U = A_P + A_{S1} + A_{S2} = A_P + \frac{2A_P}{1.414} = A_P (1 + 1.414)$$

$$A_P = 0.414 A_W K_U, \quad A_{S1} = A_{S2} = 0.293 A_W K_U, \quad K_P = 0.414.$$

Формулы для обмоток со средней точкой:

$$N_{P1} I_{P1} = N_{P2} I_{P2} = N_{S1} I_S = N_{S2} I_S$$

$$A_{P1} = A_{P2} = \frac{N_P I_{P1}'}{J} = \frac{N_P I_P}{1.414 J}$$

$$A_{S1} = A_{S2} = \frac{N_S I_{S1}'}{J} = \frac{N_S I_S}{1.414 J} = \frac{N_P I_P}{1.414 J}$$

$$A_W K_U = 2A_P + 2A_S = 4A_P$$

$$A_{P1} = A_{P2} = A_{S1} = A_{S2} = 0.25 A_W K_U, \quad K_P = 0.25.$$

# РАСЧЕТ ДРОССЕЛЕЙ И ТРАНСФОРМАТОРОВ ОБРАТНОГО ХОДА ДЛЯ ИМПУЛЬСНЫХ ИСТОЧНИКОВ ПИТАНИЯ

Описанные процедуры применяются для расчета магнитных элементов, используемых прежде всего для накопления энергии, которыми являются катушки индуктивности, используемые для фильтрации в понижающих схемах и для накопления энергии в повышающих схемах, а также "трансформаторы обратного хода" (являющиеся фактически катушками индуктивности с несколькими обмотками), которые обеспечивают накопление и передачу энергии в нагрузку и развязку в обратных преобразователях. Расчет трансформаторов, используемых для связи и развязки в схемах понижающих и повышающих преобразователей (в которых накопление энергии нежелательно) изложен в предыдущем разделе.

Условные обозначения, определения, основные магнитные формулы и справочные данные для различных сердечников и проводов, используемые ниже, определены в разделе "Магнитные величины" и в Приложении А. Вывод некоторых формул, используемых в описываемой процедуре расчета, приведен в Приложении В. При выводе формул используется международная система единиц СИ, за исключением размерностей, которые были преобразованы из метров в сантиметры.

Все требуемые значения элементов и параметров схемы, такие как индуктивность, пиковый и среднеквадратичный токи и коэффициенты трансформации должны быть определены до начала процедуры расчета.

## ВЫБОР МАТЕРИАЛА И ФОРМЫ СЕРДЕЧНИКА

В качестве материала для сердечника наиболее часто используется феррит (см. раздел "Магнитные величины"). Порошковые молибден-пермаллоевые тороидальные сердечники имеют более высокие потери, но они часто используются в частотах ниже 100 кГц, когда размах колебаний магнитного потока невелик — в дросселях и трансформаторах обратного хода, используемых в режиме непрерывного тока. Иногда используются порошковые железные сердечники, но они имеют либо слишком низкое значение магнитной проницаемости, либо слишком большие потери для практического использования в импульсных источниках питания на частотах выше 20 кГц.

Высокие значения магнитных проницаемостей ( $\mu_r = 3000 \dots 100000$ ) основных магнитных материалов не позволяют запасать в них много энергии. Это свойство хорошо для трансформатора, но не для катушки индуктивности. Большое количество энергии, которое должно быть запасено в дросселе или трансформаторе обратного хода, фактически сосредотачивается в воздушном зазоре (или в другом немагнитном материале с  $\mu_r = 1$ ), который разрывает путь магнитных линий внутри сердечника с большой магнитной проницаемостью. В молибден-пермаллоевых и порошковых железных сердечниках энергия накапливается в немагнитном связующем веществе, удерживающем магнитные частицы вместе. Этот распределенный зазор не может быть измерен или определен непосредственно, вместо этого приводится эквивалентная магнитная проницаемость для всего сердечника с учетом немагнитного материала.

## ОПРЕДЕЛЕНИЕ ПИКОВОГО ЗНАЧЕНИЯ ИНДУКЦИИ

Вычисляемые в приведенной ниже процедуре значения индуктивности и тока относятся к первичной обмотке. Единственная обмотка обычной катушки индуктивности (дросселя) также будет называться первичной обмоткой. Требуемая величина индуктивности  $L$  и пиковое значение тока короткого замыкания через катушку индуктивности  $I_{PK}$  определяется схемой применения. Ве-

личина  $I_{PK}$  устанавливается схемой ограничения тока. Вместе обе эти величины определяют максимальное значение энергии ( $L I_{PK}^2 / 2$ ), которую катушка индуктивности должна запасать (в зазоре) без насыщения сердечника и с приемлемыми потерями в магнитопроводе и проводах.

Теперь необходимо определить максимальное пиковое значение индукции  $B (max)$ , которое соответствует пиковому току  $I_{PK}$ . Чтобы минимизировать размер зазора, необходимый для накопления требуемой энергии, катушка индуктивности должна использоваться в режиме  $B (max)$  как можно больше. Это позволяет минимизировать число витков в обмотках, потери на вихревые токи, а также размер и стоимость катушки индуктивности.

На практике значение  $B (max)$  ограничивается либо насыщением сердечника  $B_{SAT}$ , либо потерями в магнитопроводе. Потери в ферритовом сердечнике пропорциональны как частоте, так и полному размаху изменения индукции  $\Delta B$  в течение каждого цикла переключения, возведенному в степень 2.4.

В стабилизаторах, работающих в режиме непрерывного тока (дроссели в понижающих стабилизаторах и трансформаторы в обратных преобразователях), потери в сердечнике катушки индуктивности на частотах ниже 500 кГц обычно незначительны, так как отклонения магнитной индукции от постоянного рабочего уровня незначительны. В этих случаях  $B (max)$  может быть почти равным  $B_{SAT}$  с небольшим запасом. Значение  $B_{SAT}$  для большинства мощных ферритов типа 3C8 выше 0.3 Тл, поэтому значение  $B (max)$  может быть выбрано равным 0.28...0.3 Тл.

В стабилизаторах, работающих в режиме прерывистого тока, значение магнитной индукции изменяется от нуля до  $B (max)$  (остаточная намагниченность незначительна из-за наличия зазора) и максимальный размах колебаний индукции  $\Delta B_M$  равняется  $B (max)$ . В таких схемах (особенно на высоких частотах),  $\Delta B_M$  и  $B (max)$  обычно ограничиваются потерями в магнитопроводе, так что  $B (max)$  оказывается намного меньше чем  $B_{SAT}$ .

## ОПРЕДЕЛЕНИЕ РАЗМЕРА СЕРДЕЧНИКА

Используемый сердечник должен быть способен запасть требуемую пиковую энергию в небольшом зазоре без вхождения в насыщение и иметь приемлемые потери в магнитопроводе. Кроме того он должен вмещать требуемое количество витков, обеспечивающее приемлемые потери в обмотках. Для выбора сердечника можно использовать итерационный процесс, использующий метод пробных решений, однако формулы (1А) и (1В) дают возможность получить приближенное значение произведения площадей сердечника  $AP$ , требуемого для заданной схемы применения ( $AP$  равняется произведению площади окна сердечника  $A_W$  и поперечного сечения магнитопровода  $A_E$ ). Из справочных таблиц выбирается самый маленький сердечник, произведение площадей  $AP$  которого превышает расчетную величину.

Формула (1А) применяется, когда  $\Delta B$  ограничено насыщением, а (1В) — когда  $\Delta B$  ограничено потерями в магнитопроводе. В сомнительных случаях вычисляются оба значения, и используется наибольшее.

Сначала рассмотрим случай ограничения насыщением (см. Приложение А для определения условных обозначений):

$$AP = A_W A_E = \left( \frac{L I_{PK} I_{FL} \times 10^4}{420 K B (max)} \right)^{1.31} [\text{см}^4], \quad (1A)$$

где  $L$  в [Гн],  $B$  в [Тл],  $K$  — см. Табл. 1.

Формула (1А) основана на потерях в проводах при плотности тока  $J (max)$ , вызывающей перепад температур в 30°С в зоне нагрева



(в середине центрального стержня). Значение  $J(max)$  зависит от размеров сердечника и вычисляется по формуле:

$$J_{30} = 420AP^{-0.240} [A/cm^2]. \quad (2A)$$

В случае ограничения потерями в сердечнике используется формула 1B, которая также основана на перепаде температур в зоне нагрева на 30°C, но вызванного равными вкладами от потерь в проводах и от потерь в магнитопроводе.

$$AP = A_W A_E = \left( \frac{L \Delta I_M I_{FL} \times 10^4}{130K} \right)^{1.58} \times (K_H f + K_E f^2)^{0.660} [cm^4] \quad (1B)$$

Для большинства мощных ферритов коэффициент гистерезиса  $K_H = 4 \times 10^{-8}$ , коэффициент вихревого тока  $K_E = 4 \times 10^{-10}$ . В формуле (1B) предполагается, что плотность тока  $J(max)$ , вызывающая перепад температуры в 15°C в зоне нагрева, равна:

$$J_{15} = 297AP^{-0.240} [A/cm^2] \quad (2B)$$

При наличии нескольких обмоток они должны быть распределены таким образом, чтобы среднеквадратичное значение плотности тока в них было одинаково для обеспечения однородного распределения мощности в обмотках.

**Табл. 1. Значения коэффициентов K для катушек индуктивности в различных схемах стабилизаторов**

Преобразователь	$K_U$	$K_P$	$K = K_U \times K_P$
Понижающий и повышающий стабилизаторы в непрерывном режиме	0.7	1.0	0.7
Повышающий стабилизатор в режиме прерывистого тока	0.7	1.0	0.7
Трансформаторы обратного хода в непрерывном режиме	0.4	0.5	0.2
Трансформаторы обратного хода в прерывистом режиме	0.4	0.5	0.2

Указанное в **Табл. 1** значение коэффициента использования окна  $K_U = 0.4$  для трансформаторов обратного хода дано с учетом изоляции, удовлетворяющей требованиям стандарта VDE, но не включает фурнитуру и саму катушку. Для тороидальных сердечников  $K_U$  должен быть разделен на два. Коэффициент площади первичной обмотки  $K_P = 0.5$  предполагает, что площади поперечного сечения первичной и вторичной обмоток равны.

## ОПРЕДЕЛЕНИЕ ЧИСЛА ВИТКОВ N

Минимальное число витков определяется из следующих формул:

$$N(min) = \frac{L I_{PK}}{B(max) A_E} \times 10^4 \quad (3A),$$

при ограничении индукцией насыщения  $B_{SAT}$ ,

$$N(min) = \frac{L \Delta I_{PM}}{\Delta B_M A_E} \times 10^4 \quad (3B),$$

при ограничении потерями в сердечнике.

В качестве реального числа витков берется ближайшее целое число, большее чем  $N(min)$ . В трансформаторах обратного хода с несколькими обмотками число витков первичной обмотки может быть квантовано к определенному кратному значению (например, 22, 44, 66, 88 и т.д.) в зависимости от значения коэффициента трансформации. В этом случае, если  $N(min) = 36$ , то наименьшее возможное значение  $N = 44$ . Дополнительные витки, возникающие в этом случае, могут не вписаться в окно сердечника, если реальное произведение площадей сердечника недостаточно больше минимального  $AP$ , рассчитанного по формулам (1A) и (1B). Для той же самой индуктивности увеличение числа витков  $N$  также приводит к уменьшению предварительно взятого значения  $B(max)$  или  $\Delta B_M$ , что приводит к уменьшению потерь в сердечнике. Чтобы найти новое значение потерь в сердечнике, надо использовать формулу (3B) с большей величиной  $N$  и требуемым  $\Delta I_M$  для вычисления меньшей

величины  $\Delta B_M$ , после чего взять из таблицы соответствующее ему реальное значение потерь в сердечнике.

## ВЫЧИСЛЕНИЕ ВЕЛИЧИНЫ НЕМАГНИТНОГО ЗАЗОРА

Ширина зазора рассчитывается, используя классическую формулу для индуктивности:

$$\ell_G = \frac{\mu_0 \mu_R N^2 A_E}{L} \times 10^{-2} [cm], \text{ при } \mu_R = 1. \quad (4A)$$

При использовании ферритового Ш-образного или броневое сердечника с зазором только в центральном стержне может потребоваться механическая обработка до нужного размера, если отсутствует необходимый промышленный. Этой операции можно избежать, разделить половины сердечника прокладкой, толщина которой приблизительно равна половине расчетной ширины зазора. При этом половина зазора приходится на центральный стержень, а другая половина — на внешние стержни, предполагая, что суммарная площадь поперечного сечения обоих внешних стержней равняется площади центрального стержня. Однако при этом значительно увеличивается внешнее магнитное поле, являющееся источником электромагнитных помех. Требуемая величина зазора в этом случае подбирается эмпирически.

В тороидальных сердечниках зазор распределен между магнитными частицами по всему объему сердечника и недоступен для вычисления. Вместо ширины зазора в этом случае дается эквивалентная относительная магнитная проницаемость, как если бы сердечник был сделан полностью из однородного магнитного материала.  $\ell_E$  — эффективная длина магнитной линии внутри сердечника:

$$\mu_R(max) = \frac{L \ell_E}{\mu_0 N^2 A_E} \times 10^2. \quad (4B)$$

## РАСЧЕТ ОБМОТОК

Сначала вычисляется максимальное значение общей рассеиваемой мощности  $P(max)$ , которую может рассеять катушка при заданных значениях максимального перепада температур в зоне нагрева  $\Delta T$  и тепловом сопротивлении сердечника  $R_T$ . Максимальные потери в обмотках  $P_{CU}$  находятся путем вычитания полученного выше значения потерь в сердечнике  $P_C$ :

$$P_{CU} = \Delta T / R_T - P_C [Вт]. \quad (5)$$

Если тепловое сопротивление используемого сердечника не известно, оно вычисляется по приближенной формуле:

$$R_T = 23 AP^{-0.37} [^\circ C/Вт].$$

Для катушек с одной обмоткой потери в первичной обмотке  $P_P$  очевидно равняется  $P_{CU}$ , в отличие от катушек с несколькими обмотками, для которых  $P_P$  равняется  $P_W/2$ . Максимальное сопротивление первичной обмотки вычисляется через максимальный среднеквадратичный ток первичной обмотки:

$$R_P = P_P / I_{FL}^2 [Ом]. \quad (6)$$

Разделив  $R_P$  на общую длину провода первичной обмотки  $\ell$ , получаем максимальное допустимое погонное сопротивление провода первичной обмотки:

$$\frac{R_P}{\ell [cm]} = \frac{R_P}{N \ell_T}. \quad (7)$$

Из таблицы параметров проводов выбирается провод с минимальным размером и более высоким значением погонного сопротивления и находится площадь его поперечного сечения  $A_X$ .



Затем вычисляется общая площадь проводника первичной обмотки с  $N$  проводами ( $A_P$ ) и сравнивается с площадью, доступной в окне сердечника:

$$A_P = N A_X \leq K_U K_P A_W. \quad (8)$$

Если  $A_P$  окажется больше, то необходимо использовать сердечник больших размеров и процедура расчета должна быть повторена, начиная с формулы 3А или 3В (или если должен быть допущен больший перепад температур). Если  $A_P$  окажется значительно меньше, то желательно использовать сердечник меньших размеров. Для катушек с несколькими обмотками не следует использовать провод с размером, превышающим требуемый формулой (7), так как это увеличит величину индуктивности рассеивания и потери на вихревые токи.

Отношение площадей проводника первичной и вторичной обмоток выбирается равным отношению среднеквадратичных токов в этих обмотках, чтобы плотность тока была везде одинакова.

Для получения хорошей связи между обмотками, каждая обмотка должна занимать всю высоту окна, за вычетом отступов от края, предотвращающих магнитное сползание. Если витки в плотно намотанной обмотке не занимают всю высоту окна, то ее надо разрядить. Однако при этом ухудшается использование площади окна и увеличиваются потери на вихревые токи, особенно если диаметр провода приближается к удвоенной глубине проникновения. Чтобы избежать этого, предпочтительно заменить провод большого диаметра несколькими запараллеленными проводами, которые заполнят доступную площадь намного более компактно и позволят уменьшить потери на вихревые токи.

Например, предположим плотно намотанную обмотку с числом витков  $N$  провода диаметром  $D$  и занимающую только половину доступной высоты. Толщина слоя обмотки равняется  $D$ . Если эту обмотку разрядить, то связь с другими обмотками улучшится, но толщина останется та же, что приведет к удвоению занимаемого объема. Если же один провод заменить четырьмя запараллеленными с площадью поперечного сечения каждого  $A/4$ , диаметром  $D/2$  с тем же количеством витков  $N$  (плотно прижатыми друг к другу, как если бы они были один провод), то они займут точно всю высоту окна, но высота обмотки при этом будет только  $D/2$ , что уменьшит потери на вихревые токи и индуктивность рассеивания. В предельном случае для высокочастотных обмоток необходимо использовать один или два витка тонкой медной фольги.

Соотношение между общим среднеквадратичным током  $I$  в любой обмотке и его постоянной и переменной составляющими определяется следующей формулой:

$$I^2 = I_{DC}^2 + I_{AC}^2. \quad (9)$$

При расчете потерь в обмотках использовалось среднеквадратичное значение общего тока и сопротивление обмотки постоянному току. Однако, сопротивление переменному току может оказаться намного больше вследствие скин-эффекта, заставляющего переменную составляющую течь только в небольшой поверхностной части общей проводящей площади. Отношение  $R_{AC}/R_{DC}$  называется коэффициентом сопротивления и обозначается  $F_R$ . Потери на вихревые токи обусловлены только среднеквадратичным значением переменной составляющей тока  $I_{AC}$ , текущей через более высокое эффективное сопротивление переменному току.

Потери на вихревые токи в дросселях понижающих стабилизаторов обычно не вызывают проблем, так как переменная составляющая тока незначительна и составляет обычно 1/200 от постоянной составляющей. Это означает, что только при  $F_R = 200$  потери на вихревые токи сравниваются с низкочастотными потерями. В трансформаторах обратного хода, работающих в непрерывном режиме, переменная компонента магнитного потока невелика, что соответствует небольшим потерям в магнитопроводе. Однако переменная составляющая тока в каждой обмотке весьма

велика, потому что направление тока непрерывно меняется при передаче энергии от первичной обмотки к вторичным обмоткам, что вызывает существенные потери на вихревые токи.

Эффект близости вызывается переменной составляющей магнитного поля, существующей между первичной и вторичной обмотками. Это переменное поле наводит циркулирующие переменные токи внутри каждого проводника, которые в одних местах складываются с постоянной составляющей, а в других вычитаются, что очень увеличивает потери. Для борьбы с этим эффектом либо уменьшают циркулирующие токи, применяя более тонкие запараллеленные провода и тонкую медную фольгу, либо уменьшают силу магнитного поля. Последнее достигается использованием сердечника с более высоким окном, что позволяет увеличить число витков в слое и соответственно уменьшить число слоев, или чередованием обмоток, помещением одной половины витков первичной обмотки внутри вторичной обмотки, а другой — снаружи.

Самым грубым приближением в изложенной процедуре является значение теплового сопротивления  $R_T$  при естественном охлаждении, определяющее перепад температур в зоне нагрева. Значение  $R_T$  сильно зависит от формы корпуса, в котором установлен трансформатор, размера и местоположения охлаждающих вентиляционных отверстий, соотношения между горизонтальными и вертикальными размерами поверхностей установки (эффект дымохода), а также наличием принудительного охлаждения. В качестве заключительной проверки можно предложить поместить чувствительную термопару в середине центрального стержня и проверять перепад температур при условиях, близких к рабочим.

## Приложение А. ИСПОЛЬЗУЕМЫЕ ОБОЗНАЧЕНИЯ

Во всех расчетах используется система СИ, за исключением меры длины, которая заменена на [см] вместо метров. В трансформаторах обратного хода и многообмоточных катушках индуктивности, указанные обозначения относятся к параметрам первичной обмотки.

### Общие:

$I_{FL}$  общий среднеквадратичный ток первичной обмотки при предельной нагрузке

$I_{PK}$  пиковое значение тока КЗ первичной обмотки

$I_M$  максимальный размах колебаний тока первичной обмотки

$L$  индуктивность первичной обмотки [Гн]

$P(max)$  общая рассеиваемая мощность

$R_T$  тепловое сопротивление в зоне нагрева при естественной конвекции

$\Delta T$  перепад температур в зоне нагрева

$AP$  произведение площадей сердечника =  $A_W A_E$  [см<sup>4</sup>]

### Параметры обмотки:

$A_W$  полная площадь окна для обмоток в сердечнике [см<sup>2</sup>]

$A_{CU}$  суммарная площадь проводника во всех обмотках

$A_P$  площадь проводника первичной обмотки =  $N A_X$

$A_X$  площадь поперечного сечения проводника первичной обмотки

### обмотки

$J(max)$  Максимальная плотность тока [А/см<sup>2</sup>]

$K_U$  коэффициент использования окна =  $A_{CU}/A_W$

$K_P$  коэффициент первичной обмотки =  $A_P/A_{CU}$

$K$  обмоточный коэффициент =  $K_U K_P$

$l$  общая длина проводов обмотки

$l_T$  средняя длина витка (MLT) [см]

$n$  коэффициент трансформации

$N$  число витков

$P_{CU}$  потери в обмотках

### Параметры сердечника:

$A_P$  площадь проводника первичной обмотки [см<sup>2</sup>]

$A_E$  эффективная площадь центрального стержня

$B_{SAT}$  индукция насыщения [Тл]

$B(max)$  максимальное пиковое значение индукции

$\Delta B_M$  максимальный размах колебаний индукции

$K_H$	коэффициент гистерезисных потерь в сердечнике
$K_E$	коэффициент вихревых потерь в сердечнике
$\ell_G$	ширина зазора [см]
$\mu_0$	магнитная проницаемость свободного пространства = $4\pi \times 10^{-7}$ [Гн/м]
$\mu_R$	Относительная магнитная проницаемость
$P_C$	потери в магнитопроводе
$P_{C/V}$	удельные потери в магнитопроводе
$V_E$	объем сердечника

## Приложение В. ВЫВОД ФОРМУЛ

Во всех расчетах используется система СИ, за исключением меры длины, которая заменена на см вместо метров. Все используемые величины относятся к первичной обмотке.

Вся энергия, запасенная в катушке, равна магнитной энергии, запасенной в зазоре:

$$\frac{1}{2} L I^2 = \frac{1}{2} B H A_E \ell_G. \quad (B1)$$

Применяя закон Ампера и считая магнитное поле внутри зазора однородным, получаем:

$$N I = H \ell_G. \quad (B2)$$

После подстановки  $H \ell_G$  в (B1) и упрощения получаем:

$$L I = B A_E N. \quad (B3)$$

Из полученной формулы находим значение  $N$ :

$$N = \frac{L I}{B A_E} = \frac{L I_{PK}}{B(max) A_E} \quad (B3A),$$

при ограничении  $B_{SAT}$ ,

$$N = \frac{L \Delta I}{\Delta B A_E} = \frac{L \Delta I_M}{\Delta B_M A_E} \quad (B3B),$$

при ограничении потерями в сердечнике.

Значение произведения ампер-витки для первичной обмотки равняется плотности тока, умноженной на общую площадь проводника первичной обмотки:

$$N = \frac{A_W J K}{I} = \frac{A_W J(max) K}{I_{FL}}. \quad (B4)$$

Для случая ограничения насыщением приравняем  $N$  в (B3A) и (B4):

$$\frac{A_W J(max) K}{I_{FL}} = \frac{L I_{PK}}{B(max) A_E}.$$

Преобразовывая полученное выражение для произведения площадей и преобразовывая размерности в сантиметры, получаем:

$$AP = A_W A_E = \frac{L I_{PK} I_{FL} \times 10^4}{J(max) K B(max)} [\text{см}^4]. \quad (B5)$$

В случае ограничения насыщением потери в магнитопроводе не существенны и обмотки рассчитываются на работу при плотности

тока, вызывающей перепад температуры на 30°C при естественном охлаждении, и значение которого вычисляется по следующей эмпирической формуле:

$$J_{30} = 420 AP^{-0.240} [\text{А/см}^2]. \quad (B6)$$

Подставляя (B6) в (B5), получаем формулу для произведения площадей:

$$AP = A_W A_E = \left( \frac{L I_{PK} I_{FL} \times 10^4}{420 K B(max)} \right)^{1.31} [\text{см}^4]. \quad (B7)$$

В случае ограничения потерями в сердечнике надо приравнять (B3B) и (B4) и преобразовать размеры к сантиметрам:

$$AP = A_W A_E = \frac{L \Delta I_M I_{FL} \times 10^4}{J(max) K \Delta B_M} [\text{см}^4]. \quad (B8)$$

Далее предполагается, что первая часть перепада температуры в 15°C вызывается потерями в магнитопроводе, а вторая часть — потерями в обмотках. Плотность тока при этом равна:

$$J_{15} = 297 AP^{-0.240} [\text{А/см}^2]. \quad (B9)$$

В формуле (B8)  $J(max)$  заменяется на  $J_{15}$ . Но сначала надо найти значение  $\Delta B_M$ , соответствующее потерям в магнитопроводе, которые вызовут нагрев сердечника на 15°C. Удельные потери в магнитопроводе можно вычислить с помощью следующей эмпирической формулы:

$$P_{C/V} = \Delta B_M^{2.4} (K_H f + K_E f^2). \quad (B10)$$

Перепад температур зависит от величины удельных потерь в магнитопроводе, объема сердечника и теплового сопротивления по следующей формуле:

$$\Delta T = 15^\circ\text{C} = R_T V_E P_{C/V}. \quad (B11)$$

Тепловое сопротивление и объем сердечника выражается через произведение площадей следующими эмпирическими формулами:

$$R_T \approx 23 AP^{-0.37} [^\circ\text{C/Вт}] \quad (B12)$$

$$V_E \approx 5.7 AP^{0.68} [\text{см}^3]. \quad (B13)$$

Находим  $\Delta B_M$ , подставляя (B10), (B12), и (B13) в (B11):

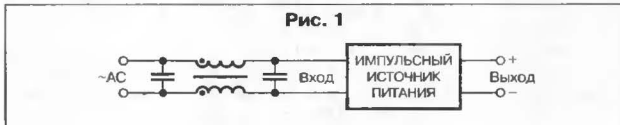
$$\Delta B_M = \frac{0.405 AP^{-0.129}}{(K_H f + K_E f^2)^{0.417}}. \quad (B14)$$

Подставляя (B9) и (B14) в (B8), получаем окончательную формулу для вычисления произведения площадей сердечника в случае ограничения потерями в магнитопроводе:

$$AP = A_W A_E = \left( \frac{L \Delta I_M I_{FL} \times 10^4}{120 K} \right)^{1.58} \times (K_H f + K_E f^2)^{0.660} [\text{см}^4]. \quad (B15)$$

## ТЕРМИНЫ И ОПРЕДЕЛЕНИЯ

**Возвратный трансформатор:** (трансформатор сетевого фильтра) трансформатор, имеющий высокий импеданс для синфазного напряжения и низкий импеданс для дифференциального напряжения (Рис. 1).



**Время восстановления:** интервал времени с момента скачкообразного воздействия до возвращения всех параметров к установленным значениям (Рис. 2).



**Время неперекрывтия:** время паузы между импульсами, открывающими транзисторы двухтактного каскада.

**Время прогрева:** интервал времени с момента включения до установления значений всех параметров, равных номинальным.

**Время удержания:** время, в течение которого выходное напряжение источника питания остается в указанных пределах при пропадании входного напряжения.

**Вторичный источник питания:** источник электрического питания, преобразующий энергию первичного источника: аккумулятора, батареи или сети.

**Входной ток аварийного режима:** входной ток источника питания или преобразователя напряжения при коротком замыкании на выходе.

**Выходное напряжение:** номинальная величина постоянного напряжения на выходных выводах источника питания.

**Выходной импеданс:** отношение изменения напряжения на нагрузке к изменению тока нагрузки.

**Выходной шум:** среднеквадратичное значение напряжения переменного тока на выходе ИС при постоянном токе нагрузки и отсутствии пульсаций входного напряжения.

**Девияция:** отклонение; обычно применяется для неслучайных отклонений от заданных или предсказанных значений.

**Дежурный режим:** режим с частичным отключением узлов прибора.

**Диапазон входного напряжения:** интервал значений входного напряжения, в пределах которого гарантируется нормальная работа прибора.

**Длительность переходных процессов** = время восстановления.

**Долговременная стабильность (временная нестабильность):** изменение выходного напряжения прибора за определенный промежуток времени (обычно 1000 ч) при заданных значениях параметров и режимов. Обычно выражается в процентах.

**Дрейф:** изменение выходного напряжения (или другого параметра) за небольшой промежуток времени, исключая время прогрева.

**Защита от короткого замыкания:** схема, предотвращающая выход из строя источника питания при коротком замыкании на выходе.

**Защита от перегрузки:** схема, предотвращающая выход из строя источника питания при возникновении перегрузки (обычно при выходе тока нагрузки за допустимые значения).

**Защита от перенапряжения:** выключение или блокировка работы при превышении напряжения питания

**Защита от пониженного напряжения:** выключение или блокировка работы при снижении напряжения питания

**Защита от сквозного тока:** защита от одновременного включения транзисторов двухтактного каскада.

**Земляная петля:** нежелательная обратная связь между двумя или более схемами через общую шину заземления.

**Инвертор:** DC/AC-преобразователь напряжения (в электротехнике), преобразователь положительного входного напряжения в отрицательное выходное напряжение.

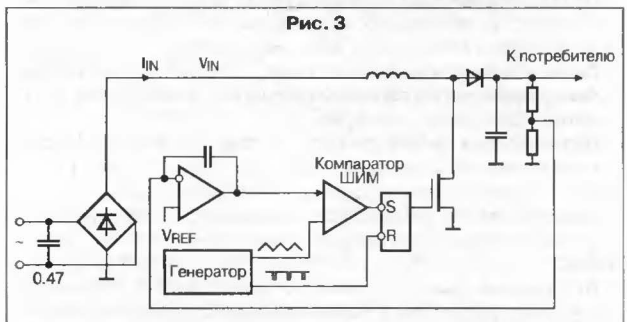
**Источник бесперебойного питания:** источник питания, который продолжает длительное время вырабатывать напряжение в отсутствие сетевого напряжения.

**Источник опорного напряжения:** структурный элемент схемы, вырабатывающий напряжение, используемое в качестве опорного уровня.

**Катушка с разделенными обмотками:** секционная катушка трансформатора, на которой первичная и вторичная обмотки располагаются бок о бок, разделенные изолирующей стенкой.

**Компенсация наклона "пилы":** коррекция скорости нарастания тока для контроллеров с токовым управлением и рабочим циклом более 50%.

**Корректор коэффициента мощности:** устройство, устанавливаемое между источником переменного напряжения и потребителем, снижающее появление в сети переменного тока реактивной мощности, вызванной данным потребителем (Рис. 3).



**Коррекция коэффициента мощности устройства:** совокупность действий, снижающих наличие в сети переменного тока реактивной мощности, вызываемой данным устройством.

**Коэффициент мощности  $K_p$  устройства:** отношение первой гармоники активной мощности к суммарной (активной и реактивной) мощности всех гармоник, потребляемых устройством.

**Коэффициент подавления нестабильности источника питания:** См. "Коэффициент подавления пульсаций".

**Коэффициент подавления пульсаций:** отношение выходного и входного напряжения пульсаций.

**Коэффициент полезного действия (КПД):** отношение мощности, отдаваемой в нагрузку, к потребляемой мощности.

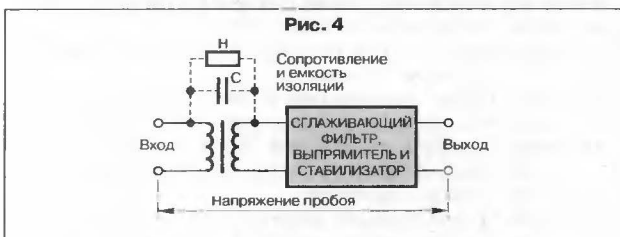
**Локальная шина питания:** стабилизированное напряжение, используемое в качестве напряжения питания оконечных стабилизаторов напряжения на местах.

**Монитор:** устройство, наблюдающее за заданной величиной, например, напряжением. Обычно монитор вырабатывает сигнал при выходе наблюдаемой величины из допустимых пределов.

**Накачка заряда:** схема на переключаемых конденсаторах, предназначенная для преобразования напряжения путем заряда конденсатора и передачи заряда в выходную цепь.

**Накопительная индуктивность:** индуктивность преобразователя напряжения, в которой запасается энергия первичного источника.

**Напряжение пробоя:** минимальное напряжение между входом и выходом или шасси источника питания (Рис. 4), при котором происходит пробой.



**Нестабильность по входному напряжению:** изменение выходного напряжения, вызванное изменением входного напряжения.

**Несимметричный выход:** выход источника напряжения или тока, одним из выводов которого является общий вывод (земля).

**Нестабильность по току нагрузки:** изменение выходного напряжения, вызванное изменением тока нагрузки.

**Номинальный выходной ток:** максимальное значение тока, отдаваемое в нагрузку, на которое рассчитан данный источник питания при указанной температуре окружающей среды.

**Ограничение пускового тока:** схема, ограничивающая пусковой ток в момент включения источника питания.

**Отраженный (обратный) ток пульсаций:** составляющая потребляемого тока, вызванная переключениями при преобразовании напряжения.

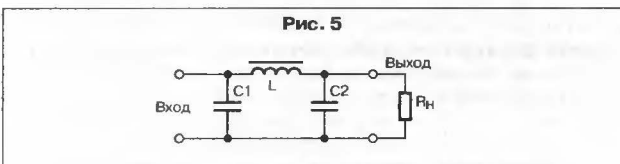
**Переключение при нулевом напряжении:** способ обеспечения безопасной области работы силового ключа, заключающийся в переключении при нулевом напряжении на ключе.

**Переключение при нулевом токе:** способ обеспечения безопасной области работы силового ключа, заключающийся в переключении при нулевом токе через ключ.

**Перекрестная нестабильность по току:** изменение напряжения на одном из выходов, вызванное изменением тока нагрузки на другом выходе (в источнике питания с несколькими выходами).

**Плавный запуск:** схема, обеспечивающая при включении источника плавное нарастание выходного напряжения до номинального значения.

**П-образный фильтр:** низкочастотный LC-фильтр третьего порядка, состоящий из двух конденсаторов и индуктивности (Рис. 5).



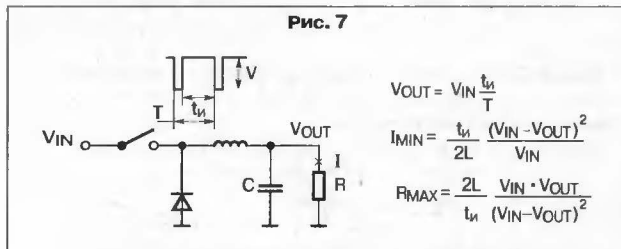
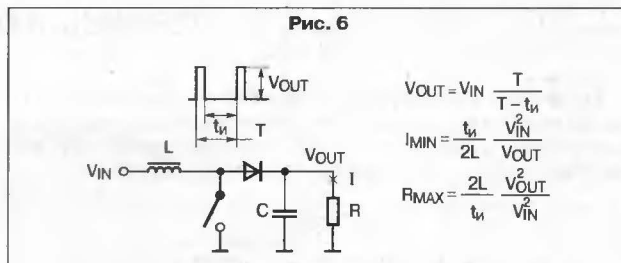
**Повышающий индуктивный преобразователь напряжения:** преобразователь напряжения с последовательным расположением катушки индуктивности и параллельным расположением ключа (Рис. 6).

**Погрешность:** допуск на отклонение значения параметра.

**Понижающий индуктивный преобразователь напряжения:** преобразователь напряжения с последовательным включением катушки индуктивности и ключа (Рис. 7).

**Прерывистый режим:** то же, что режим с пропуском импульсов.

**Пульсации:** переменная составляющая выходного напряжения, состоящая из гармоник частоты преобразования или сети.



**Пусковой ток:** максимальное значение входного тока источника питания в течение переходных процессов, протекающих во время включения.

**Рабочий диапазон температур:** диапазон температур окружающей среды (или кристалла), в пределах которого нормируются рабочие параметры прибора.

**Рабочий цикл (коэффициент заполнения импульсной последовательности):** отношение длительности импульса к периоду следования импульсов.

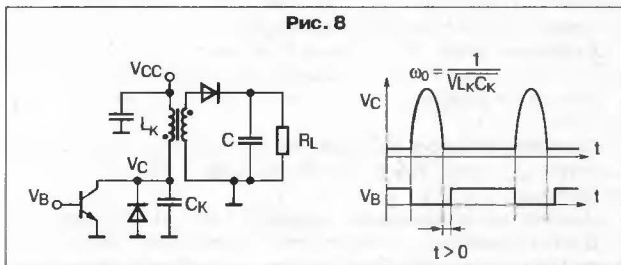
**Развязка:** гальваническая развязка между входом и выходом источника питания с помощью трансформатора. Характеризуется сопротивлением и емкостью изоляции.

**Распределенное питание:** см. "Локальная шина питания".

**Распределение тока (нагрузки):** параллельное включение нескольких стабилизаторов для увеличения выходной мощности, при этом ток нагрузки распределяется между отдельными приборами поровну.

**Режим с пропуском импульсов:** режим, в котором ШИМ-модулятор блокируется на период нескольких импульсов или на фиксированный промежуток времени, что позволяет сохранить стабильную работу схемы и снизить потребление энергии при слабой нагрузке.

**Резонансный преобразователь:** преобразователь, в котором для обеспечения безопасной работы ключа используется колебательный контур на накопительной индуктивности или трансформаторе (Рис. 8).



**Релейный преобразователь:** разновидность индуктивного понижающего преобразователя напряжения (Рис. 9).

**Сетевой источник питания:** источник питания, преобразующий энергию, потребляемую от сети.

**Силовая земля:** общий вывод силовых цепей.

**Синхронный выпрямитель:** (см. Рис. 10).

Рис. 9

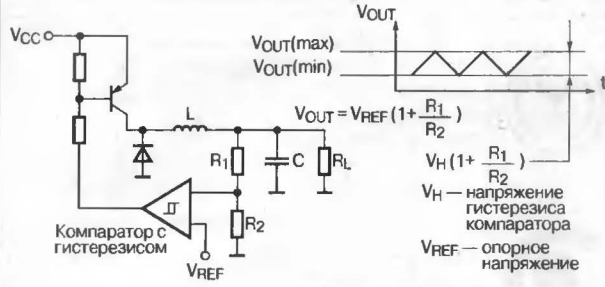
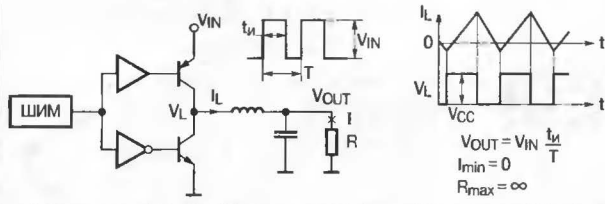


Рис. 10



**Синхронный преобразователь:** преобразователь напряжения с синхронным выпрямителем.

**Синхронный ШИМ-контроллер:** контроллер ШИМ с синхронным выпрямителем.

**Сквозность:** отношение периода следования импульсов к длительности импульса. Величина, обратная коэффициенту заполнения.

**Скип-режим:** то же, что режим с пропуском импульсов

**Схема защиты от короткого замыкания:** схема предотвращающая выход из строя источника питания при коротком замыкании на выходе.

**Температурный коэффициент напряжения (ТКН):** отношение изменения выходного напряжения к изменению температуры среды, выраженное в процентах.

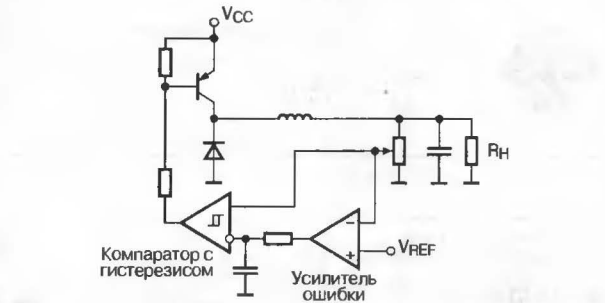
**Тепловая защита:** схема, предотвращающая выход из строя прибора при повышении температуры.

**Ток утечки:** ток, обусловленный несовершенством изоляции.

**Тотемный выход:** квазикомплементарный выходной каскад.

**Управление по току = ШИМ с переключением по току**

Рис. 11



**Управление типа V<sup>2</sup>:** Релейный преобразователь с дополнительной петлей обратной связи по напряжению (Рис. 11).

**Форсированное питание:** схема питания, когда прибор питается от преобразованного входного напряжения (а не прямо от входа): от дополнительной обмотки, выходного напряжения, конденсаторного преобразователя и т.д.

**Характеристика с обратным наклоном:** защита от перегрузки по току с участком обратного наклона нагрузочной характеристики.

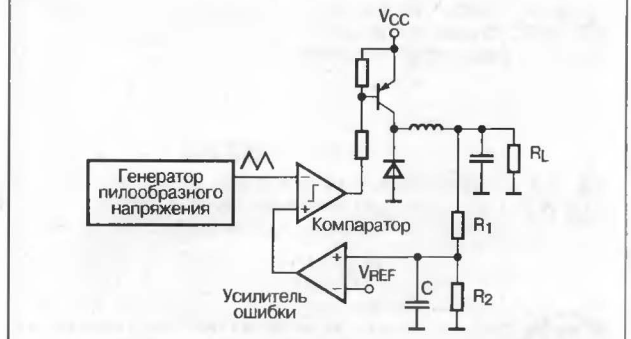
**Частота преобразования:** частота, с которой происходит переключение ключевого элемента преобразователя.

**ЧИМ:** частотно-импульсная модуляция. Вид модуляции, при котором изменяется частота импульсов, а длительность импульса (или паузы) остается постоянной.

**ШШИМ:** частотно-широтная модуляция. Вид модуляции, при которой изменяются как частота, так и длительность импульсов.

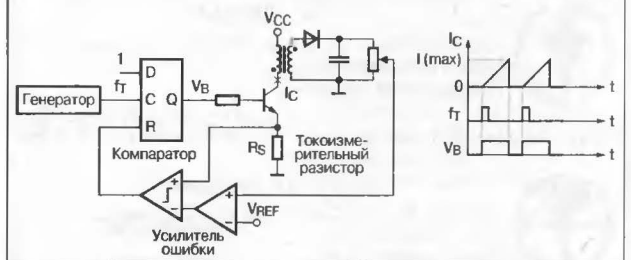
**ШИМ по среднему напряжению:** (см. Рис. 12).

Рис. 12



**ШИМ с управлением по току:** формирование длительности импульса ШИМ путем переключения при достижении заданного уровня тока (Рис. 13).

Рис. 13

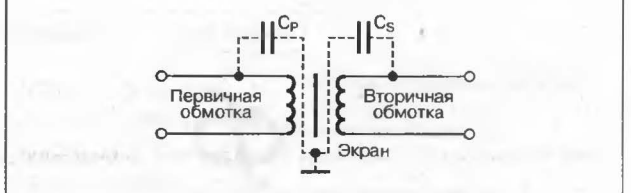


**Шина еозврата тока:** название общего вывода источника питания, через который течет ток от нагрузки.

**Широтно-импульсная модуляция (ШИМ):** изменение длительности импульса по заданному закону, при этом частота следования импульсов постоянна.

**Экран Фарадея:** электростатический экран между первичной и вторичными обмотками трансформатора. Используется для уменьшения емкостной связи между обмотками (Рис. 14).

Рис. 14.












# КОММЕРЧЕСКИЕ АДРЕСА

## ОТЕЧЕСТВЕННЫЕ ПРОИЗВОДИТЕЛИ ЭЛЕКТРОННЫХ КОМПОНЕНТОВ

Товарный знак	Название, адрес и реквизиты предприятия
	АО "АНГСТРЕМ" 103460, Россия, Москва, Зеленоград Тел.: (095) 531-49-06, 531-96-21 Факс.: (095) 531-32-70
	ГП "ВОСХОД" 248014, Россия, Калуга, Грабцевское шоссе, 60-А Тел.: (08422) 729-33 Факс: (08422) 358-70
	Фирма "ДОДЭКА" 105318, Россия, Москва, а/я 70 Тел/факс: (095) 366-24-29, 366-81-45 E-mail: books@dodeca.ru; ICMarket@dodeca.ru
	НПО "ИНТЕГРАЛ" 220064, Беларусь, Минск, пл. Казинца Тел.: (017) 277-3051 Факс: (017) 278-2031
	ОАО "КВАЗАР" 254136, Украина, Киев, ул. Северо-Сырецкая, 1 Тел.: (38044) 434-89-44 Факс: (38044) 434-88-43
	ЗАО "ГРУППА-КРЕМНИЙ" 241037, Россия, Брянск, ул. Красноармейская, 103 Тел.: (0832) 419-103 Факс: (0832) 414-214
	АООТ "завод МИКРОН" 103460, Россия, Москва, Зеленоград Тел.: (095) 535-15-09 Факс: (095) 535-62-64

Товарный знак	Название, адрес и реквизиты предприятия
	ПО "МЭЛЗ" 105023, Россия, Москва, ул. Электrozаводская, 23 Тел.: (095) 962-17-28 Факс: (095) 963-65-77
	АООТ "ПЛАНЕТА" 173004, Россия, Новгород, ул. Федоровский ручей, 2/13 Тел.: (81622) 30-275 Факс: (81622) 31-736; 33-286
	АООТ "РОДОН" 284006, Украина, Ивано-Франковск, ул. Вовчинецка, 225 Тел.: (03400) 93-220 Факс: (03400) 32-223
	НПЦ "СИТ" 241037, Россия, Брянск, ул. Красноармейская, 103 Тел.: (0834) 414-885 Факс: (0834) 414-249
	АООТ "ТОР" 140070, Россия, Московская обл., Люберецкий р-н, пгт. Томилино, Тел.: (095) 554-42-56 Факс: (095) 557-15-81
	АО Александровский завод "ЭЛЕКС" 601600, Россия, Владимирская обл., Александров, ул. Институтская, 3 Тел.: (095) 584-58-12 Факс: (09244) 244-83
	НПО "ЭЛЕКТРОНИКА" 394007, Россия, Воронеж, Ленинский просп., 119-А Тел.: (0732) 220-481 Факс: (0732) 225-993

Товарный знак	Название, адрес и реквизиты предприятия
	АО ПО "ЭЛЕКТРОНПРИБОР" 141120, Россия, Московская обл., Фрязино, пр. Заводской, 3 Тел.: (095) 526-91-02 Факс: (095) 526-92-99



ЗАРУБЕЖНЫЕ ПРОИЗВОДИТЕЛИ ЭЛЕКТРОННЫХ КОМПОНЕНТОВ

Товарный знак	Название, адрес и реквизиты предприятия
 <b>Cherry Semiconductor</b>	<b>Cherry Semiconductor Corp.</b> 2000 South County Trail, East Greenwich, Rhode Island, 02818, Тел.: 401-885-3600, Факс: 401-885-5786, E-mail: info@cherry-semi.com
 <b>FAIRCHILD</b>	<b>Fairchild Semiconductor</b> 333 Western Ave., S. Portland, Maine, 04106, Тел.: 207-775-8100
 <b>Infineon technologies</b>	<b>Infineon Technologies AG</b> (Представительство Siemens AG в России), ул. Дубининская, 98А, Москва, Россия, 113093, Тел.: (7) (095) 737-14-35, 737-14-36. Факс: (7) (095) 737-14-39
 <b>intersil</b>	<b>Intersil Corporation</b> PO Box 883, Melbourne, Florida, 32902, Тел.: (1) (888) 468-37-74 E-mail: centapp@intersil.com
 <b>LINFINITY MICROELECTRONICS</b>	<b>Linfity Microelectronics Inc.</b> 11861 Western Ave., Garden Grove, California, 92641, Тел.: 714-898-8121, Факс: 714-893-2570, E-mail: sales@linfinity.com
 <b>MAXIM MAXIM INTEGRATED PRODUCTS</b>	<b>Maxim Integrated Products</b> 120 San Gabriel Dr., Sunnyvale, California, 94086, Тел.: 408-737-7600, Факс: 408-737-7194
 <b>Micro Linear</b>	<b>Micro Linear</b> 2092 Concourse Dr., San Jose, California, 95131, Тел.: 408-433-5200, Факс: 408-432-0295, E-mail: info@ulinear.com
 <b>National Semiconductor</b>	<b>National Semiconductor Corp.</b> 2900 Semiconductor Dr., Santa Clara, California, 95051, Тел.: 408-721-5000, Факс: 800-737-7018, E-mail: support@nsc.com

Товарный знак	Название, адрес и реквизиты предприятия
 <b>ON Semiconductor</b> <small>Formerly a Division of Motorola</small>	<b>ON Semiconductor</b> 5005 East McDowell Phoenix, AZ 85008 US Тел.: (602) 244-66-00
 <b>PHILIPS</b>	<b>Philips Semiconductors, Philips Electronics North America Corporation</b> 811 East Arques Ave., PO Box 3409, Sunnyvale, California, 94088, Тел.: 800-234-7381, Факс: 408-991-2311
 <b>POWER INTEGRATIONS, INC.</b>	<b>Power Integrations Inc.</b> 477 North Mathila Ave., Sunnyvale, California, 94086, Тел.: 408-523-9200, Факс: 408-523-9365
 <b>RICOH</b>	<b>Ricoh Corporation, Electronic Devices</b> 3001 Orchard Pkwy., San Jose, California, 95134, Тел.: 408-432-8800, Факс: 408-432-8375, E-mail: ricoh@edd.usjj.ricoh.com
 <b>SEMTECH</b>	<b>Semtech Corporation</b> 652 Mitchell Rd., Newbury Park, California, 91320, Тел.: 805-498-2111, Факс: 805-498-3804, E-mail: npsmtchad@aol.com
 <b>ST Microelectronics</b>	<b>STMicroelectronics</b> 1000 E. Bell Rd., Phoenix, Arizona, 85022, Тел.: 602-867-6100
 <b>TEXAS INSTRUMENTS</b>	<b>Texas Instruments, Semiconductor Group</b> P.O. Box 655303, Dallas, Texas, 75265, Тел.: 972-644-5580
 <b>Unitrode Products from Texas Instruments</b>	<b>Unitrode Integrated Circuits Corp.</b> Вошел в состав компании <b>Texas Instruments</b>

# СПИСОК ОСНОВНЫХ СОКРАЩЕНИЙ

## СИМВОЛЬНЫЕ ОБОЗНАЧЕНИЯ

<b>I<sub>CC</sub></b>	Ток питания
<b>I<sub>ML</sub></b>	Максимальный ток нагрузки
<b>I<sub>IN</sub></b>	Входной ток
<b>I<sub>L</sub></b>	Ток нагрузки
<b>I<sub>LOAD</sub></b>	Ток нагрузки
<b>I<sub>O</sub></b>	Выходной ток
<b>I<sub>OUT</sub></b>	Выходной ток
<b>I<sub>Q</sub></b>	Ток потребления
<b>I<sub>SC</sub></b>	Ток короткого замыкания
<b>I<sub>SD</sub></b>	Ток потребления в выключенном состоянии
<b>I<sub>STANDBY</sub></b>	Ток потребления в дежурном режиме
<b>I<sub>TH</sub></b>	Пороговый ток срабатывания защиты
<b>P<sub>D</sub></b>	Рассеиваемая мощность
<b>θ<sub>CA</sub></b>	Тепловое сопротивление корпус-окружающая среда
<b>θ<sub>JA</sub></b>	Тепловое сопротивление кристалл-окружающая среда
<b>θ<sub>JC</sub></b>	Тепловое сопротивление кристалл-корпус
<b>θ<sub>SA</sub></b>	Тепловое сопротивление радиатор-окружающая среда
<b>θ<sub>SC</sub></b>	Тепловое сопротивление корпус-радиатор
<b>R<sub>L</sub></b>	Сопротивление нагрузки
<b>R<sub>LOAD</sub></b>	Сопротивление нагрузки
<b>R<sub>OUT</sub></b>	Выходное сопротивление
<b>R<sub>THJ-AMB</sub></b>	Тепловое сопротивление кристалл-среда
<b>R<sub>THJ-CASE</sub></b>	Тепловое сопротивление кристалл-корпус
<b>t<sub>FALL</sub></b>	Время спада
<b>t<sub>RISE</sub></b>	Время нарастания (фронт)
<b>T<sub>A</sub></b>	Диапазон рабочих температур
<b>T<sub>J</sub></b>	Рабочий диапазон температур кристалла
<b>T<sub>OPR</sub></b>	Диапазон рабочих температур
<b>T<sub>STG</sub></b>	Температура хранения
<b>V<sub>C</sub></b>	Напряжение управления
<b>V<sub>CC</sub></b>	Напряжение питания
<b>V<sub>DP</sub></b>	Падение напряжения вход-выход
<b>V<sub>IN</sub></b>	Входное напряжение
<b>V<sub>I-O</sub></b>	Падение напряжения вход-выход
<b>V<sub>DP</sub></b>	Минимальное рабочее напряжение
<b>V<sub>DUT</sub></b>	Выходное напряжение
<b>V<sub>REF</sub></b>	Опорное напряжение
<b>V<sub>S</sub></b>	Входное напряжение

## СОКРАЩЕНИЯ

<b>μP</b>	Микропроцессор
<b>AC/DC (converter)</b>	Преобразователь переменного напряжения в постоянное
<b>AC</b>	Переменный ток
<b>Avalanche rated FET</b>	Полевой транзистор с нормированными параметрами лавинного пробоя
<b>Average current mode</b>	Управление по среднему току
<b>Boost</b>	Повышающий индуктивный преобразователь напряжения
<b>Bootstrap</b>	Форсированное питание, вольтодобавка
<b>Buck</b>	Понижающий индуктивный преобразователь напряжения
<b>BW</b>	Полоса пропускания
<b>CE (Chip Enable)</b>	Разблокирование, включение данной схемы
<b>CeIl</b>	1) Гальванический элемент питания 2) Ячейка
<b>Charge pump</b>	Схема накачки (перемещения) заряда, например, для повышения напряжения

**COM = common**  
**Current mode**  
**Current-fed**

**DC/DC (converter)**

**DC**  
**Double pulse suppression**  
**Dropout**

**Duty Cycle**

**EMI (ElectroMagnetic Interference)**  
**ESR**

**FET (Field Effect Transistor)**  
**Fly (flyback)**  
**Fold back characteristic**  
**Fw (forward)**  
**GND**  
**JFET (Junction FET)**

**Hiccup**

**Histeretic controller**  
**IN**  
**Inductor**  
**LDO (Low DropOut)**

**LEB (Leading Edge Blanking)**

**Lockout**  
**max**  
**min**  
**MOSFET**

**nom**  
**Nonoverlapped time**

**norm**  
**Off**  
**OFF-LINE**

**OFF-TIME**  
**OLP (OverLap Protection)** Защита от сквозного тока  
**On** Включить, включено  
**ON/OFF (ON/OFF control (function))** ВКЛ/ВЫКЛ, подача команды включения/выключения  
**ON-TIME** Время открытого состояния ключа  
**OSC** Генератор  
**Out** Выход, выходное  
**OVP (Over Voltage Protection)** Защита от перенапряжения

Общий вывод  
ШИМ с управлением по току  
Запитываемый ток, с токовым питанием  
Преобразователь постоянного напряжения в постоянное  
Постоянный ток  
Подавление двоянных импульсов

Падение напряжения, проходное напряжение  
Рабочий цикл, величина, обратная скажности  
Электромагнитные помехи

ЭПС, эквивалентное последовательное сопротивление (конденсатора)  
Полевой транзистор

Обратноходовая схема преобразователя  
Характеристика с участком обратного наклона  
Прямоходовая схема преобразователя  
Земля, общий вывод  
Полевой транзистор с управляющим p-n-переходом  
Режим защиты от КЗ на выходе, при котором прерывается нормальная работа схемы и производится перезапуск, с повторяющимися циклами включения/выключения  
Релейный преобразователь  
Вход, входное  
Дроссель, трансформатор  
Малое падение напряжения вход-выход, малое проходное напряжение  
Маскирование переднего фронта импульса тока, блокировка схемы ограничения тока на время переднего фронта импульса

Блокировка, захват по частоте, фазе  
Максимальное значение величины  
Минимальное значение величины  
МОП-транзистор (структура металл-окисел-полупроводник)  
Номинальное значение величины  
Время неперекрывания, пауза между проводящими состояниями верхнего и нижнего ключевых транзисторов  
Нормальное значение величины  
Выключить, выключено  
Сетевой источник питания, преобразователь сетевого напряжения  
Время закрытого состояния ключа  
Включить, включено  
ВКЛ/ВЫКЛ, подача команды включения/выключения  
Время открытого состояния ключа  
Генератор  
Выход, выходное  
Защита от перенапряжения

<b>PARD</b>	Периодическая и случайная девиация	<b>Totem pole</b>	Тотемный выход, квазикомплементарный выходной каскад
<b>PD(N) (Power Down)</b>	Режим пониженного энергопотребления	<b>TTL</b>	ТТЛ, транзисторно-транзисторная логическая схема
<b>PFC (Power Factor Controller)</b>	Контроллер коэффицента мощности (ККМ)	<b>typ</b>	Типовое значение величины
<b>PFM (Pulse Frequency Modulation)</b>	Частотно-широтная модуляция (ЧШИМ)	<b>Uncommitted</b>	Свободный, отдельный, неподключенный
<b>PG (Power Good)</b>	Контроль выходного напряжения, сигнал "напряжение в норме"	<b>UPS</b>	Источник бесперебойного питания
<b>PGND (Power Ground)</b>	Общий вывод силовоточных цепей, силовая земля	<b>UVLO (Under Voltage LockOut)</b>	Блокировка при пониженном напряжении
<b>p-p (peak-to-peak)</b>	Пиковое значение величины	<b>UVP (Under Voltage Protection)</b>	Защита от пониженного напряжения
<b>PSK (Phase-Shift Keying)</b>	Фазовая манипуляция (ФМн)	<b>V<sup>2</sup> (V<sup>2</sup>-control)</b>	Управление типа V <sup>2</sup> , имеющее два контура обратной связи по напряжению
<b>PSM (Pulse Skip Mode)</b>	Прерывистый режим, режим с пропуском импульсов	<b>VFM (Variety Frequency Modulation)</b>	Частотно-импульсная модуляция
<b>Pulse-by-pulse</b>	Поцикловая/поимпульсная (защита от перегрузки по току)	<b>Voltage mode</b>	ШИМ с управлением по (среднему) напряжению
<b>PWM (Pulse Width Modulation)</b>	Широтно-импульсная модуляция (ШИМ)	<b>ZCS (Zero Current Switch)</b>	Ключ, переключаемый при нулевом токе
<b>RMS</b>	Среднеквадратичное значение величины	<b>ZVS (Zero Voltage Switch)</b>	Ключ, переключаемый при нулевом напряжении
<b>Reactor</b>	Элемент с реактивным (в данном случае индуктивным) сопротивлением	<b>АЦП</b>	Аналого-цифровой преобразователь
<b>REF</b>	Опорное, опорный	<b>ВАХ</b>	Вольт-амперная характеристика
<b>Resonant</b>	Резонансный (контроллер)	<b>ДОСТ</b>	Дополнительная обратная связь по току
<b>SEPIC (Single-Ended Primary Inductor Converter)</b>	Один из вариантов индуктивного преобразователя напряжения	<b>ДУ</b>	Дифференциальный усилитель
<b>Shutdown</b>	Блокировка, отключение, переход в дежурный режим	<b>ИВП</b>	Источник вторичного питания
<b>Single-Cell</b>	Батарея из одного элемента	<b>ИОН</b>	Источник опорного напряжения
<b>Single-ended output</b>	Несимметричный выход, напряжение снимается между выходом и землей	<b>ИП</b>	Источник питания
<b>Skip (mode)</b>	Прерывистый режим, режим с пропуском импульсов	<b>ИС</b>	Интегральная микросхема
<b>Sleep</b>	Дежурный режим	<b>КЗ</b>	Короткое замыкание
<b>Slope compensation</b>	Компенсация наклона "пилы" в схемах с токовым управлением при рабочем цикле свыше 50%	<b>КМОП</b>	Комплементарный МОП
<b>SMT (Surface Mount Technology)</b>	Технология монтажа на поверхность (поверхностного монтажа)	<b>КПД</b>	Кoeffициент полезного действия
<b>SS (Soft Start)</b>	Плавный запуск	<b>МПН</b>	Малое падение напряжения
<b>Stand-by</b>	Дежурный режим	<b>ОБР</b>	Область безопасной работы
<b>SVR</b>	Кoeffициент подавления пульсаций (входного напряжения)	<b>ОЗУ</b>	Оперативное запоминающее устройство
<b>Synchronous (converter)</b>	Синхронный преобразователь, преобразователь со схемой синхронного выпрямителя	<b>ОУ</b>	Операционный усилитель
<b>Synchronous PWM controller</b>	Синхронный ШИМ-контроллер	<b>ТК</b>	Температурный коэффицент
<b>Synchronous Rectifier TOPOLOGY</b>	Синхронный выпрямитель	<b>ТКН</b>	Температурный коэффицент напряжения
	Топология, тип преобразования	<b>ТТЛ</b>	Транзисторно-транзисторная логическая схема
		<b>УОС</b>	Усилитель обратной связи
		<b>ЦАП</b>	Цифро-аналоговый преобразователь
		<b>ЧИМ</b>	Частотно-импульсная модуляция
		<b>ЧШИМ</b>	Частотно-широтно-импульсная модуляция
		<b>ШИМ</b>	Широтно-импульсная модуляция
		<b>ЭПС</b>	Эквивалентное последовательное сопротивление

# ТАБЛИЦЫ АНАЛОГОВ

Прибор СНГ		Аналог	
Наименование	стр.	Наименование	стр.
142ЕП1	38	≈LM100	40
1021ХА1	173	TDA2582	—
1033ЕУ1	174	TDA4600	175
1033ЕУ2	184	TDA4605	185
1033ЕУ3	184	TDA4605-2	185
1033ЕУ4	202	ML4812	203
1033ЕУ5	184	TDA4605	185
1033ЕУ6	208	ML4819	209
1033ЕУ9	114	PWR-SMP210	115
1033ЕУ10	102	UC3842	103
1033ЕУ11	102	UC3844	103
1033ЕУ12	102	UC3843	103
1033ЕУ13	102	UC3845	103
1033ЕУ14	102	UC3842A	103
1033ЕУ15	102	UC3842	103
1033ЕУ16	102	UC3844	103
1080ЕУ1	122	TDA8380	124
1087ЕУ1	184	TDA4605-2	185
1114ЕУ1	220	≈SG1524	223
1114ЕУ3	232	≈TL494	233
1114ЕУ4	232	TL494	233
1114ЕУ5	232	TL495	233
1155ЕУ1	42	LAS6380	43
1155ЕУ2	132	L296	133
1156ЕУ1	62	μA78S40	63
1156ЕУ2	239	UC3825	240
1156ЕУ3	146	UC3823	147
1156ЕУ4	247	UC3875	248
1156ЕУ5	67	MC34063A	68
1168ЕП1	73	ICL7660	74
1182ЕМ1	24	HV-2405E	25
1184ЕУ1	153	CS-5155	154
1184ЕУ2	165	SC1101	166
1184ПН1	67	MC34063A	68
1446ПН1	79	MAX731	80
1446ПН2	87	MAX734	88
1446ПН3	90	MAX641	91
1446ПН21	97	RH5RI301B	98
1446ПН22	97	RH5RI271B	98
1446ПН23	97	RH5RI251B	98
UA01.4601	175	TDA4601	175

Аналог		Прибор СНГ	
Наименование	стр.	Наименование	стр.
μA78S40	63	1156ЕУ1	62
CS-5155	154	1184ЕУ1	153
HV-2405E	25	1182ЕМ1	24
ICL7660	74	1168ЕП1	73
L296	133	1155ЕУ2	132
LAS6380	43	1155ЕУ1	42
LM100	40	≈142ЕП1	38
MAX641	91	1446ПН3	90
MAX731	80	1446ПН1	79
MAX734	88	1446ПН2	87
MC34063A	68	1156ЕУ5	67
		1184ПН1	67
ML4812	203	1033ЕУ4	202
ML4819	209	1033ЕУ6	208
PWR-SMP210	115	1033ЕУ9	114
RH5RI251B	98	1446ПН23	97
RH5RI271B	98	1446ПН22	97
RH5RI301B	98	1446ПН21	97
SC1101	166	1184ЕУ2	165
SG1524	223	≈1114ЕУ1	220
TDA2582	—	1021ХА1	173
TDA4600	175	1033ЕУ1	174
TDA4601	175	UA01.4601	175
TDA4605	185	1033ЕУ2	184
		1033ЕУ5	184
TDA4605-2	185	1033ЕУ3	184
		1087ЕУ1	184
TDA8380	124	1080ЕУ1	122
TL494	233	≈1114ЕУ3	232
		1114ЕУ4	232
TL495	233	1114ЕУ5	232
UC3823	147	1156ЕУ3	146
UC3825	240	1156ЕУ2	239
UC3842	103	1033ЕУ10	102
		1033ЕУ15	102
UC3842A	103	1033ЕУ14	102
UC3843	103	1033ЕУ12	102
UC3844	103	1033ЕУ11	102
		1033ЕУ16	102
UC3845	103	1033ЕУ13	102
UC3875	248	1156ЕУ4	247

## Примечание

Знак ≈ означает неполное соответствие с аналогом, что подразумевает невозможность замены по выводам и по ряду параметров.



# Фирма "ДОДЭКА" п о с т а в л я е т

## ПАССИВНЫЕ КОМПОНЕНТЫ И ЭЛЕМЕНТЫ ЗАЩИТЫ



### • EPCOS\*

новое название фирмы  
**SIEMENS MATSUSHITA**

Газонаполненные разрядники напряжения, варисторы, керамические термисторы с NTC и PTC, все типы конденсаторов, ферритовые высокочастотные трансформаторы. Все компоненты отличаются непревзойденной надежностью.

**Raychem**

### • RAYCHEM\*

Самовосстанавливающиеся предохранители PolySwitch — элементы защиты от перегрузок по току и температуре и тиристорные элементы защиты от перенапряжений SiVar. Предназначены для защиты телекоммуникаций, автомобильной электроники, электродвигателей постоянного тока, аккумуляторов, источников питания.

## МОДУЛЬНЫЕ ИСТОЧНИКИ ПИТАНИЯ

**ERICSSON**

### • ERICSSON\*

Высоконадежные модульные DC/DC-преобразователи, работающие в диапазоне входных напряжений 9...75 В и с выходными напряжениями 1,8...15 В и выходными токами 0,1...60 А; интегральные схемы для телекоммуникаций; компоненты для оптоволоконной техники; СВЧ-транзисторы.



### • НПП НОМАКОН\*

Эластичные теплопроводные изоляционные подложки — эффективная замена слюды и силиконовых паст при монтаже полупроводниковых приборов на радиаторы, а также теплопроводящий диэлектрический компаунд. Нагреватели для термопластавтоматов и экструдеров.

## ОТЕЧЕСТВЕННЫЕ ЭЛЕКТРОННЫЕ КОМПОНЕНТЫ



### • НПП СИТ\*

Микросхемы для автоэлектроники и телефонии; микросхемы для управления сетевым напряжением; импульсные и линейные стабилизаторы напряжения; микросхемы для управления электродвигателями, реле,

герконами; высоковольтные схемы для устройств отображения информации.



### • ПРОТОН-ИМПУЛЬС\*

Твердотельные оптоэлектронные реле постоянного и переменного тока (1...150 А), однофазные и трехфазные (до 800 В), с нормально-замкнутыми и нормально-разомкнутыми контактами и с выходным каскадом, построенным на тиристорах или МОП-транзисторах, а также светодиодные сигнальные лампы СКЛ для систем автоматики и контроля.

## ИМПОРТНЫЕ ЭЛЕКТРОННЫЕ КОМПОНЕНТЫ



### • DALLAS SEMICONDUCTOR\*

Часы реального времени, энергонезависимая память, микросхемы сжатия речи, микросхемы для телекоммуникационных систем, микроконтроллеры, цифровые термометры и потенциометры, электронные идентификаторы, контроллеры заряда батарей, супервизоры и др.



### • BURR BROWN

Операционные усилители (инструментальные, быстродействующие, прецизионные, мощные высоковольтные, измерительные, изолирующие), АЦП с УВХ, ЦАП, передатчики и приемники для токовой петли, фотодиоды, мультиплексоры, ИОН и стабилизаторы, преобразователи "напряжение—частота".

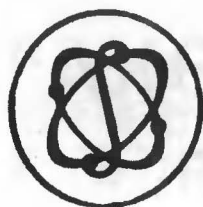
\* На поставляемые изделия имеется техническая информация и схемы применения.

Специалисты нашей фирмы помогут Вам в выборе компонентов и дадут необходимые консультации.

## ОПТОВЫЕ ПОСТАВКИ КОМПОНЕНТОВ — ПОД ЗАКАЗ

105318 Москва, а/я 70, ул. Щербаковская, 53  
Тел./факс: (095) 366-8145, 366-2429, 366-0922  
E-mail: icmarket@dodeca.ru, www.dodeca.ru





**ДЕЙТОН**

Информационные услуги ГУП ЦКБ "Дейтон" — это гарантия получения первичной и достоверной информации по всей номенклатуре интегральных микросхем (ИС) и полупроводниковых приборов (ПП), разрабатываемых и выпускаемых отечественной промышленностью и в странах СНГ.

**Государственное унитарное предприятие  
Центральное конструкторское бюро  
"ДЕЙТОН"**

103460, г. Москва, г. Зеленоград, к.100,  
тел: (095) 535-13-19, факс: (095) 534-02-77  
основано в 1968 г.

**Автоматизированная  
информационно-поисковая  
система  
"МЕРКУРИЙ-2М"**

**Бюллетени  
новых разработок ИС и ПП**

**Отраслевые каталоги  
ИС и ПП**

**Серия справочников  
по отдельным классам ИС**

**Серия справочников  
прейскурантов по ИС и ПП**

**Справочник "Изготовители  
и дистрибьюторы  
электронных компонентов"**

**Новый комплекс  
стандартов  
на интегральные  
микросхемы**

Работает в составе персональных ЭВМ типа IBM PC и содержит информацию о всех разработанных интегральных микросхемах и полупроводниковых приборах. Для каждого изделия имеются номера технических условий, адреса предприятий-разработчиков и изготовителей, электрические параметры, разводка выводов, чертежи корпусов и условные графические обозначения микросхем, состояния включения изделий в перечни МОП 44001 (части 2, 3, 4, 9). Информация в базе данных системы пополняется и корректируется непрерывно.

Представлена номенклатура разрабатываемых изделий и основные характеристики, разработчики, зарубежные аналоги. Издаются с 1969 г.

Содержит перспективные приборы, имеющие утвержденные технические условия. По каждому прибору представлены технические характеристики и завод-изготовитель. Издаются с 1968 г.

Подробные тематические справочники по микросхемам запоминающих устройств, операционным усилителям, компараторам, коммутаторам и ключам, вторичным источникам питания. Издаются с 1993 г.

Содержит номенклатуру изделий, рекомендованных к поставке в 1999–2000 гг., и их поставщиков с адресами и телефонами технических и сбытовых служб. Издаются с 1980 г.

Издается впервые. Содержит информацию о всех изготовителях представленных классов изделий электронной техники, а также о поставщиках-дистрибьюторах.

Комплекс стандартов, разработанный Министерством обороны России с участием головных предприятий промышленности, содержит:

"Микросхемы интегральные. Общие технические условия"

"Микросхемы интегральные. Обеспечение качества в процессе разработки. Требования к системе качества разработки"

"Микросхемы интегральные. Система и методы статистического контроля и регулирования технологического процесса"

"Микросхемы интегральные. Технические требования к технологическому процессу. Система и методы оперативного контроля"

"Микросхемы интегральные. Требования к элементам производства. Аттестация предприятий-изготовителей"

"Микросхемы интегральные. Типовая форма построения и изложения программы обеспечения качества разработки"

Срок внедрения стандартов – январь 2000 г. Рассылку стандартов осуществляет ГУП ЦКБ "Дейтон". Условия заказа и рассылки стандартов договорные.



Предлагаемые услуги оказываются как по договорам на информационное обслуживание, так и по отдельным запросам потребителей ИС и ПП.

Контактный телефон **534-89-71**

Каутова В.И.





# Компания «МЭЙ»

## ОПТОВЫЕ ПОСТАВКИ ЭЛЕКТРОННЫХ КОМПОНЕНТОВ

Более 30000 наименований отечественных электронных компонентов со склада

### Авторизованные поставки зарубежных электронных компонентов:

Alpha Industries • Altera • AMD • API-Portescap • Atmel • Calogic • Coiltronics • COSEL • Fairchild • Fujitsu • Harris • HP • Infineon • Isocom  
Lucas Shaevitx • Lumex • Micron • Mini-Circuits • Motorola • MX-Com • National Semiconductor • Pittman • Power Integrations • Samsung  
Schurter • Semikron • Simtek • ST • Stanford Microdevices • Tamura • Telton • Temic • Texas Instruments • Toshiba • UMS • Vishay • ZMD

### Отечественные электронные компоненты:

- ♦ Микросхемы и микросборки
- ♦ Транзисторы
- ♦ Полупроводники
- ♦ Оптоэлектронные приборы
- ♦ Силовые полупроводниковые приборы
- ♦ Резисторы
- ♦ Конденсаторы
- ♦ Электромагнитные коммутационные устройства
- ♦ Моточные изделия
- ♦ Силовая электротехника
- ♦ Изделия пьезоэлектрические
- ♦ Фильтры
- ♦ Электровакuumные приборы
- ♦ Электромеханические изделия
- ♦ Полупроводниковые коммутаторные лампы
- ♦ Датчики
- ♦ Установочные изделия
- ♦ Вентиляторы
- ♦ Изделия из ферромагнетиков
- ♦ Ферритовые вентили и циркуляры
- ♦ Измерительные приборы
- ♦ Стрелочные приборы и головки
- ♦ Гальванометры
- ♦ Усилители постоянного тока
- ♦ Преобразователи турбинные
- ♦ Счетчики

*Изготовление плат печатного монтажа – весь комплекс услуг*

### Представительства в регионах:

#### Санкт-Петербург

(812) 327-12-70

(812) 245-24-37

#### Пенза

(8412) 54-05-07

#### Челябинск

(3512) 55-22-12

#### Ижевск

(3412) 22-16-73

(3412) 22-54-09

#### Саратов

(8452) 26-65-13

#### Новосибирск

(3832) 29-71-60

#### Минск

(017) 24-96-03

#### Киев

(044) 220-93-23

#### Харьков

(0572) 45-14-07

(0572) 28-23-90

#### Львов

(0322) 63-88-39

#### Навои

(43622) 40-821

(43622) 44-566

### Розничный магазин:

Магазин "КВАРЦ"

г. Москва, ул. Буженинова, 16

(095) 964-08-38

### Зарубежные электронные компоненты:

- ♦ Микроконтроллеры
- ♦ Интерфейсные микросхемы, драйверы
- ♦ Системы сбора и обработки данных
- ♦ Микросхемы памяти (DRAM, SRAM, nvSRAM, FLASH)
- ♦ Телекоммуникационные микросхемы и модули широкого спектра применений
- ♦ Модули для построения аппаратуры связи
- ♦ Оптоэлектронные компоненты
- ♦ Полупроводниковые лазеры, модули для ВОЛС
- ♦ Модули силовой электроники
- ♦ Модульные источники питания, AC/DC, DC/DC конвертеры
- ♦ Трансформаторы индуктивности, компоненты для источников питания
- ♦ Компоненты для защиты электрических цепей
- ♦ Дискретные компоненты, регуляторы напряжения
- ♦ Датчики давления, вращения, абсолютного угла, силы, специализированные
- ♦ Разъемы, кабели, весь спектр высококачественных коммутационных компонентов
- ♦ Микросхемы программируемой логики
- ♦ Двигатели постоянного тока, шаговые, бесколлекторные; редукторы, схемы управления
- ♦ Радиаторы
- ♦ ЖК-индикаторы

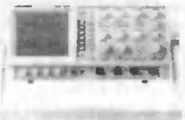
Россия, 107497, г. Москва, Щёлковское шоссе, д. 77

Тел. +7 (095) 913-5161-многоканальный, факс (095) 913-5160

e-mail: info@may.ru, отдел импорта soa@may.ru, <http://www.may.ru>

Для почтовых отправок: Россия, 105568, г. Москва, а/я 33

## ОСЦИЛЛОГРАФЫ ФАКТАКОМ



- Серия ASK-20000**
- АСК-21060 (аналоговый)**
    - 2 канала, полоса пропускания 60 МГц
  - АСК-21100 (аналоговый)**
    - 4 канала, полоса пропускания 100 МГц, курсорные измерения, функция частотомера
  - АСК-21101 (аналоговый)**
    - 3 канала, полоса пропускания 100 МГц
  - АСК-24020 (аналоговый)**
    - 2 канала, полоса пропускания 20 МГц, встроенный генератор сигналов 1 МГц
  - АСК-22020 (аналого-цифровой)**
    - 2 канала, полоса пропускания 20 МГц, частота дискретизации 20 МГц
  - АСК-22060 (аналого-цифровой)**
    - 2 канала, полоса пропускания 60 МГц

## ЦИФРОВЫЕ ЗАПОМИНАЮЩИЕ ОСЦИЛЛОГРАФЫ АСК-3101

- 2 канала
- Частота дискретизации 20 МГц/2 ГГц
- Полоса пропускания 100 МГц
- Чувствительность по вертикали 0,05...2 В/дел
- Вертикальное разрешение 8 бит
- Коэффициент развертки (20 нс...2 с)/дел
- Длина записи 8 кБ/канал
- Подключение: ISA-слот

## АСК-3001

- 2 канала
- Частота дискретизации 20 МГц
- Чувствительность по вертикали (50 мВ...5 В)/дел
- Вертикальное разрешение 8 бит
- Коэффициент развертки (50 нс...0,5 с)/дел
- Длина записи 32 кБ/канал
- Подключение: ISA-слот

## ОСЦИЛЛОГРАФЫ НОВУБУК НІТАСНІ VC-3470



- Цветной монитор 4" TFT, 160×220 точек
- 2 канала с полосой пропускания 0...150 МГц
- Частота дискретизации: до 100 МГц (реал. время), до 12,5 ГГц (сэмплинг.)
- Разрешение 8 бит
- 17 видов автоматических измерений
- Длина буфера записи 8 кБ на канал
- Чувствительность 1 мВ/дел...5 В/дел
- Горизонтальная развертка 2 нс/дел...50 с/дел
- Синхронизация: нормальная, авто, TV-V, TV-H, TV-line
- Интерфейс RS-232C, Centronics (печатя)
- Вес 2 кг, размеры 184×259×62 мм

## ОСЦИЛЛОГРАФЫ



- Серия TDS-200**
- Полоса пропускания 60 или 100 МГц
  - Число каналов 2 или 4
  - Частота дискретизации 1 ГГц
  - Интерфейсы GPIB, RS-232, Centronics
  - Память 2,5 кБ/канал
  - Вертикальное разрешение 8 бит
  - Режим курсорных измерений
  - ТВ-синхронизация
  - Сложение, вычитание осциллограмм
  - Запоминание осциллограмм и настроек

## Tektronix



- Серия TDS-300**
- Полоса пропускания 100, 300 или 500 МГц
  - Число каналов 2 или 4
  - Частота выборки 1,25, 2,5 или 5 ГГц
  - Пиковый детектор 1 нс
  - Синхронизация Edge, Pulse, Logic, Video
  - Технология DPO, 132, GPIB, VGA-out, LAN
  - Память 10000 точек/канал
  - Вертикальное разрешение 9 бит
  - Автоизмерения 21 параметра сигналов
  - Маски сигналов, режим «годеи-негодеи»
  - Встроенный дисковод 3,5", Centronics-порт
  - Интерфейс RS-232, GPIB, VGA-out, LAN
  - Питание от сети или аккумулятора

## АСК-2022 АСК-2023



- 2 канала
- Полоса пропускания 20 МГц
- Максимальная частота дискретизации 20 МГц
- Чувствительность по вертикали 5 мВ/дел...20 В/дел
- Коэффициент развертки 50 нс/дел...20 с/дел
- Курсорные измерения
- Интерфейс RS-232
- АСК-2022** — цифровой запоминающий осциллограф + частотомер
- АСК-2023** — цифровой запоминающий осциллограф + частотомер + мультиметр + логический анализатор



## РАБОЧИЕ МЕСТА

- Гибкая комплектация оборудованием и приборами в зависимости от Вашей потребности
- Удобный стол мод. АТР 9320-150 со встроенным освещением в 2 уровнях (по 2 светильника в каждом уровне), колодкой розеток с выключателями и автоматом отключения от эл. сети, гнездами для заземления (коврика, браслета и пр. оборудования), возможностью навески подвесного электроинструмента, полкой для приборов, перфорированной стенкой для навески инструмента и лотков
- Браслет и коврик для защиты от статического электричества
- Паяльная станция горячим воздухом для монтажа-демонтажа SMD-элементов
- Дымосушитель
- Дополнительный подкатной столик для размещения стойки приборов или компьютера

**Заказывайте бесплатные каталоги контрольно-измерительного и радиомонтажного оборудования**

«ЭЛИКС»: Москва, 115211, Каширское шоссе, дом 57, корпус 5

Телефоны: (095) 344-8476, 344-6707, 344-9765, 344-9766

Факс: (095) 344-9810 E-mail: eliks@dol.ru Internet: http://www.eliks.ru

Гарантия от 1 года до 3 лет

Ремонт, прокат, доставка

Описания на русском языке

РОССИЯ, Москва: ☎ (095) 107-40-09

- ☐ Прямые поставки от производителей
- ☐ Индивидуальная работа с заказчиком
- ☐ Информационная поддержка
- ☐ Любая форма оплаты



**SGS-THOMSON**  
MICROELECTRONICS

Philips Semiconductors

**SONY**



**MITSUBISHI**  
ELECTRIC

**AMA**  
TOSHIBA

**SAMSUNG**  
Electronics

**NEC Electronics Inc.**

**SIEMENS**

**СПЕЦИАЛЬНОЕ ПРЕДЛОЖЕНИЕ:**

24C01...24C16	BA5406	KA22429	PC111	TDA1554Q	TDA8303A
2SC3807	BA6247	KIA6210AH	PC120	TDA1557Q	TDA8362
2SC3979	BU2508AF/DF	KIA6283K	PCA84C640P/030	TDA2003	TDA8395P
2SC4204	BU508AF/DF	L7PAL-3RD	STR10006	TDA2004	TEA2025B
2SC4517	BU931/941...	LA4108	STR11006	TDA2005	TL494CN
2SD1555	BUT11AF/AX	LA4550	STRS6707	TDA3653B	TMP47C434N-R214
2SD1710	BUZ90	LA4555	TA7769P	TDA3654	TMP47C634AN-R584
2SD2333	HA13151	LA4597	TA8210AH	TDA4601	CDA5.5/6.5
7805...7924	KA2206B	LA7830	TA8238K	TDA4605	SFE6.5/5.5
AN7112E	KA2209	LM324N	TDA1519A	TDA4665	TPS 6.5/5.5



Комплексная поставка электронных компонентов и информационная поддержка проектов Заказчика

Консультации по цифровой обработке сигналов, проектированию и программированию устройств на базе DSP

Весь спектр инструментальных и программных средств разработки, а также специальные комплекты для начального освоения сигнальных процессоров (DSP)

Помощь в организации производства

Усилители, АЦП, ЦАП; микросхемы для систем связи, источников питания, видеотехники; датчики магнитного поля, температуры, ускорения и наклона; компараторы, синтезаторы частоты, мультиплексоры, интерфейсные микросхемы и супервизоры — весь спектр продукции ANALOG DEVICES

## Региональные представители AUTEX Ltd.

**Ижевск РАДИО-СЕРВИС**  
тел.: +7 (3412) 439-144  
факс: +7 (3412) 439-263  
E-mail: gerovsky@radio-service.ru  
http://www.radio-service.ru

**Киев ООО "СВ АЛТЕРА"**  
тел.: +38 (044) 241-67-77  
факс: +38 (044) 241-90-84  
E-mail: svaltera@svaltera.kiev.ua  
http://www.svaltera.kiev.ua

**Минск ООО "АЛЬФАСОФТ"**  
тел.: +375 17 2844-333  
факс: +375 17 2134-135  
E-mail: alfachip@open.by  
http://www.Alfachip.32.ru

**Новосибирск ООО "ЭЛЛИНЭКО"**  
тел.: +7 (3832) 226-425  
факс: +7 (3832) 226-425  
E-mail: ellain@online.sinor.ru  
http://www.sinor.ru/~ellain

**Таллин ADIMIR OU**  
тел.: +372 6654-260  
факс: +372 6397-972  
E-mail: adimir@online.ee  
http://www.online.ee/~adimir

**Харьков ХАРТРЕЙД**  
тел.: +38 057 221-61-84  
факс: +38 057 221-84-30  
E-mail: khartrade2@khartrade.com.ua  
http://www.khartrade.com.ua

**Ростов-на-Дону ООО "СИМБОЛ"**  
тел.: +7 (8632) 340-144  
факс: +7 (8632) 340-144  
E-mail: symbol@jeo.ru

**Санкт-Петербург АВТЭК СПб.**  
тел.: +7 (812) 567-72-02  
факс: +7 (812) 567-72-02  
E-mail: info@autex.spb.ru  
http://www.autex.spb.ru

**AUTEX Ltd.**

117997 Москва, ул. Профсоюзная, 65  
E-mail: info@autex.ru http://www.autex.ru

Телефон: (095) 334-7741, 334-9151 Факс: (095) 234-9991, 334-8729

## СОДЕРЖАНИЕ

Перечень приборов, помещенных в справочнике .....	3
Перечень "отечественных" микросхем для ИП. ....	10
Это полезно прочитать .....	12
Обозначение микросхем для ИП .....	13
Введение .....	14

### AC/DC-КОНВЕРТЕРЫ .....

<b>1182EM1</b> AC/DC-преобразователь .....	24
<b>HV-2405E</b> Однокристалльный источник питания .....	25
<b>1182EM2</b> AC/DC-преобразователь .....	32
<b>1182EM3</b> Мощный AC/DC-преобразователь .....	34

### DC/DC-КОНВЕРТЕРЫ .....

<b>142EP1</b> Схема для построения импульсного стабилизатора .....	38
<b>LM100/300</b> Стабилизатор напряжения .....	40
<b>1155EY1</b> Мощный импульсный стабилизатор .....	42
<b>LAS63xx</b> Мощные импульсные стабилизаторы .....	43
<b>1156EY1</b> Универсальный импульсный стабилизатор напряжения .....	62
<b>μA78S40</b> Универсальный импульсный стабилизатор .....	63
<b>1156EY5,</b> <b>1184ПН1</b> Схема управления DC/DC-преобразователем .....	67
<b>MC33063A/</b> <b>MC34063A</b> Схема управления DC/DC-преобразователем .....	68
<b>1168EP1</b> Преобразователь напряжения .....	73
<b>ICL7660</b> Интегральный конвертер напряжения .....	74
<b>1446ПН1</b> DC/DC-преобразователь .....	79
<b>MAX731/752</b> Повышающие DC/DC-преобразователи .....	80
<b>1446ПН2</b> DC/DC-преобразователь .....	87
<b>MAX734</b> DC/DC-конвертер для программирования ФЛЕШ-памяти .....	88
<b>1446ПН3</b> DC/DC-преобразователь .....	90
<b>MAX641/2/3</b> Повышающие импульсные DC/DC-конвертеры .....	91
<b>1446ПН21/</b> <b>22/23</b> Повышающий DC/DC-преобразователь с ЧИМ .....	97
<b>RH5R1xxxВ</b> Повышающий DC/DC-преобразователь с ЧИМ .....	98

### ОДНОТАКТНЫЕ ШИМ-КОНТРОЛЛЕРЫ .....

<b>1033EY10/</b> <b>11/12/13/</b> <b>14/15/16</b> <b>UC184x/</b> <b>284x/384x</b> <b>1033EY9</b> <b>PWR-SMP210</b> <b>1080EY1</b> <b>TDA8380</b> <b>1155EY2</b> <b>L296/P</b> <b>1156EY3</b> <b>UC1823/</b> <b>2823/3823</b> <b>1184EY1</b> <b>CS-5155</b> <b>1184EY2</b> <b>SC1101</b> <b>1033EY1,</b> <b>UA01.4601</b> <b>TDA4600/01</b> <b>1033EY2/3/5,</b> <b>1087EY1</b>	Однотактные ШИМ-контроллеры .....	102
	ШИМ-контроллеры с обратной связью по току .....	103
	Мощный ШИМ-контроллер .....	114
	Мощный ШИМ-контроллер .....	115
	Схема управления импульсным источником питания .....	122
	Схема управления импульсным источником питания .....	124
	Мощный импульсный стабилизатор .....	132
	Мощный импульсный стабилизатор .....	133
	Однотактный высокочастотный ШИМ-контроллер .....	146
	Высокочастотный ШИМ-контроллер .....	147
	Контроллер понижающего преобразователя с 5-разрядным ЦАП и синхронным выпрямлением .....	153
	Контроллер синхронного понижающего преобразователя с 5-разрядным ЦАП для питания ЦПУ .....	154
	Широтно-импульсная схема управления источником вторичного электропитания .....	165
	ШИМ-контроллер с управлением по напряжению .....	166

### СПЕЦИАЛИЗИРОВАННЫЕ СХЕМЫ УПРАВЛЕНИЯ ИВП .....

<b>174ГФ1</b> <b>1021XA1</b> <b>1033EY1,</b> <b>UA01.4601</b> <b>TDA4600/01</b> <b>1033EY2/3/5,</b> <b>1087EY1</b>	Набор функциональных блоков для построения ИВП .....	172
	Схема управления однотактным импульсным ИВП .....	173
	Схема управления импульсным ИВП .....	174
	Схема управления импульсным источником вторичного питания .....	175
	Схемы управления импульсным ИВП .....	184

<b>TDA4605/-2/-3</b>	Схемы управления импульсным источником вторичного питания на МОП-транзисторе	185
<b>1055EY4</b>	ЧИМ-контроллер резонансного источника питания	193
<b>1055EY5</b>	ЧИМ-контроллер резонансного источника питания	195
<b>1182ГГ3</b>	Полумостовой автогенератор ВИП	199
<b>КОРРЕКТОРЫ КОЭФФИЦИЕНТА МОЩНОСТИ</b>		201
<b>1033EY4/8</b>	Корректор коэффициента мощности	202
<b>ML4812</b>	Корректор коэффициента мощности	203
<b>1033EY6</b>	Комбинированный ШИМ-контроллер	208
<b>ML4819</b>	Комбинированный корректор коэффициента мощности	209
<b>ДВУХТАКТНЫЕ ШИМ-КОНТРОЛЛЕРЫ</b>		219
<b>1114EY1</b>	Двухтактный ШИМ-контроллер	220
<b>SG1524/2524/3524</b>	Двухтактный ШИМ-контроллер	223
<b>1114EY3/4/5</b>	Двухтактные ШИМ-контроллеры	232
<b>TL493/4/5</b>	Семейство ШИМ-контроллеров	233
<b>1156EY2</b>	Высокочастотный ШИМ-контроллер	239
<b>UC1825/2825/3825</b>	Высокочастотный ШИМ-контроллер	240
<b>1156EY4</b>	Фазосдвигающий резонансный контроллер ИВП	247
<b>UC3875/6/7/8</b>	Семейство фазосдвигающих резонансных контроллеров ИВП	248
<b>1169EY1</b>	Двухтактный ШИМ-контроллер	263
<b>ПРОЧИЕ МИКРОСХЕМЫ</b>		265
<b>1182ГГ2</b>	Полумостовой автогенератор ЭПРА	266
<b>1211EY1</b>	Двухтактный контроллер ЭПРА	269
<b>ОБЗОР ЗАРУБЕЖНЫХ МИКРОСХЕМ ДЛЯ ИМПУЛЬСНЫХ ИСТОЧНИКОВ ПИТАНИЯ</b>		273
<b>ANALOG DEVICES</b>		274
<b>Микросхемы для импульсных источников питания фирмы Analog Devices</b>		275
<b>ADP1110</b>	Микромощный повышающий/понижающий импульсный стабилизатор напряжения	276
<b>ADP1147-3.3/5</b>	Высокоэффективная схема управления импульсным понижающим стабилизатором	278
<b>ADP3000</b>	Микромощный понижающий/повышающий высокочастотный импульсный стабилизатор	280
<b>ADP3610</b>	Удвоитель напряжения на коммутируемых конденсаторах с выходным током 320 мА	282
<b>ASTEC SEMICONDUCTOR</b>		284
<b>Микросхемы для импульсных источников питания фирмы Astec Semiconductor</b>		285
<b>AS2208</b>	Контроллер широтно-импульсного преобразователя напряжения	286
<b>CHERRY SEMICONDUCTOR CORP.</b>		288
<b>Микросхемы для импульсных источников питания фирмы Cherry Semiconductor Corp.</b>		289
<b>CS-5106</b>	Многофункциональный ШИМ-контроллер с синхронным выходом и дополнительным источником питания	292
<b>CS-5171/72</b>	Повышающие стабилизаторы с рабочей частотой 250/500 кГц и током 1.5 А	295
<b>CS-51033</b>	Быстродействующий контроллер для управления р-канальным МОП-транзистором в понижающих стабилизаторах	297
<b>CS-51221</b>	ШИМ-контроллер с управлением по напряжению	299
<b>ELANTEC</b>		301
<b>Микросхемы для импульсных источников питания фирмы Elantec</b>		302
<b>EL7556C/EL7558C</b>	Регулируемый источник питания для ЦПУ	303
<b>FAIRCHILD SEMICONDUCTOR</b>		305
<b>Микросхемы для импульсных источников питания фирмы Fairchild Semiconductor</b>		306
<b>KA1/2/3xxxx</b>	Импульсные стабилизаторы семейства SPS	309
<b>KA7500B</b>	ШИМ-контроллер с управлением по напряжению	313
<b>KA7552/3</b>	ШИМ-контроллер	314
<b>FUJI ELECTRIC CO. LTD</b>		315
<b>Микросхемы для импульсных источников питания фирмы Fuji Electric Co. Ltd.</b>		316
<b>FA5304A/05A</b>	Контроллер широтно-импульсного преобразователя напряжения	317
<b>FA7611</b>	Два широтно-импульсных преобразователя напряжения	319
<b>FA7613</b>	Широтно-импульсный преобразователь напряжения	321
<b>FA7622</b>	Контроллер двух широтно-импульсных преобразователей напряжения	322
<b>FUJITSU MICROELECTRONICS</b>		324
<b>Микросхемы для импульсных источников питания фирмы Fujitsu Microelectronics</b>		325
<b>MB3759</b>	ШИМ-схема управления импульсным источником питания	326
<b>MB3769A</b>	Схема управления импульсным стабилизатором	328
<b>MB3776A</b>	Схема управления импульсным стабилизатором	331
<b>MB3785A</b>	Четырехканальная схема управления импульсным стабилизатором	332



<b>HITACHI SEMICONDUCTOR</b> .....	334	<b>MAX610/11/12</b> .....	389
Микросхемы для импульсных источников питания фирмы Hitachi Semiconductor .....	335	<b>MAX668/669</b> .....	391
<b>HA16107/08/09/11</b> Сетевые ШИМ-преобразователи .....	336	<b>MAX1678</b> .....	393
<b>HA16114/20</b> Импульсный стабилизатор для DC/DC-преобразователей .....	339	<b>MAX1703</b> .....	394
<b>IC HAUS</b> .....	341	<b>MAX1710/11</b> Быстродействующий повышающий DC/DC-преобразователь с цифровым управлением .....	395
<b>IC-WD/IC-WDS</b> Сдвоенный импульсный стабилизатор на 5 В .....	342	<b>MICREL</b> .....	397
<b>INFINEON TECHNOLOGY</b> .....	343	Микросхемы для импульсных источников питания фирмы Micrel .....	398
Микросхемы для импульсных источников питания фирмы Infineon Technology .....	344	<b>MIC2177</b> Синхронный понижающий стабилизатор на ток 2.5 А .....	399
<b>TDA16888</b> Высокопроизводительный комбинированный контроллер импульсного источника питания .....	346	<b>MIC2571</b> Серия импульсных повышающих стабилизаторов напряжения .....	401
<b>TDA16846</b> Контроллер импульсного источника питания с коррекцией коэффициента мощности .....	349	<b>MIC3832/MIC3833</b> ШИМ-контроллер с токовым питанием .....	402
<b>TDA1683x</b> Недорогой контроллер сетевого импульсного источника питания серии CoolSET™ .....	351	<b>MIC4576</b> Стабилизатор напряжения с выходным током 3 А .....	404
<b>МОП-транзисторы семейства Cool MOS™</b> .....	353	<b>MICRO LINEAR</b> .....	406
<b>IGBT-транзисторы</b> .....	354	Микросхемы для импульсных источников питания фирмы Micro Linear .....	407
<b>INTERSIL CORPORATION</b> .....	355	<b>ML4770</b> Регулируемый повышающий стабилизатор, работающий от двух элементов питания .....	409
Микросхемы для импульсных источников питания фирмы Intersil Corporation .....	356	<b>ML4803</b> Комбинированный контроллер ШИМ и коэффициента мощности .....	410
<b>HIP5020</b> Контроллер понижающего преобразователя с синхронным выпрямлением .....	359	<b>ML4822</b> Контроллер коэффициента мощности .....	412
<b>HIP6015</b> Понижающий шим-контроллер с контролем выходного напряжения .....	361	<b>ML4890</b> Повышающий стабилизатор с малыми пульсациями выходного напряжения .....	414
<b>LINEAR TECHNOLOGY CORPORATION</b> .....	363	<b>MITSUBISHI ELECTRONICS INC.</b> .....	415
Микросхемы для импульсных источников питания фирмы Linear Technology Corporation .....	364	Микросхемы для импульсных источников питания фирмы Mitsubishi Electronics Inc. ....	416
<b>LT1241</b> Быстродействующий шим-контроллер с управлением по току .....	368	<b>M62213</b> Быстродействующий ШИМ-контроллер общего применения .....	417
<b>LT1576</b> Понижающий преобразователь с выходным током до 1.5 А .....	370	<b>M62216</b> Повышающий DC/DC-преобразователь с низким входным напряжением .....	418
<b>LT1777</b> Малошумящий импульсный преобразователь напряжения .....	371	<b>M62220/21/22/90</b> DC/DC-преобразователь с фиксированным выходным напряжением .....	419
<b>LTC1515</b> Повышающий/понижающий DC/DC-преобразователь с накачкой заряда .....	373	<b>M62262</b> Преобразователь напряжения для микрофонных усилителей радиотелефонов .....	420
<b>LTC1929</b> Двухфазный синхронный понижающий преобразователь .....	374	<b>M62281</b> ШИМ-контроллер общего применения с управлением по току .....	421
<b>LINFINITY MICROELECTRONICS</b> .....	376	<b>NATIONAL SEMICONDUCTOR CORP.</b> .....	423
Микросхемы для импульсных источников питания фирмы LinFinity Microelectronics .....	377	Микросхемы для импульсных источников питания фирмы National Semiconductor Corp. ....	424
<b>LX1562/1563</b> Корректор коэффициента мощности второго поколения .....	379	<b>LM2630</b> Понижающий стабилизатор напряжения с синхронным выпрямлением .....	427
<b>LX1570/1571</b> Синхронный контроллер импульсного источника питания с фазовой модуляцией .....	381	<b>LM2641</b> Сдвоенный регулируемый понижающий контроллер импульсного источника питания .....	429
<b>LX1681/1682</b> ШИМ-контроллеры с управлением по напряжению .....	383	<b>LM2653</b> Синхронный импульсный стабилизатор на 1.5 А .....	431
<b>MAXIM INTEGRATED PRODUCTS</b> .....	385	<b>LM2678</b> Высокоэффективный понижающий стабилизатор напряжения на 5 А .....	433
Микросхемы для импульсных источников питания фирмы Maxim Integrated Products .....	386	<b>LM3352</b> Конденсаторный стабилизатор напряжения с током до 200 мА .....	435



<b>NJR CORPORATION</b> .....	436	<b>RS5RM</b>	Повышающие преобразователи напряжения с линейным стабилизатором .....	489
<b>Микросхемы для импульсных источников питания фирмы NJR Corporation</b> .....	437	<b>RV5VH1xx/2xx/3xx</b>	Схема управления DC/DC-преобразователем .....	490
<b>NJM2360A</b>	Прецизионный DC/DC-преобразователь .....	<b>ROHM ELECTRONICS</b> .....		492
<b>NJM2368/69</b>	Схема управления импульсным стабилизатором .....	<b>Микросхемы для импульсных источников питания фирмы Rohm Electronics</b> .....		493
	440	<b>BA6161</b>	Преобразователь напряжения для настройки приемника .....	495
<b>NJU7261</b>	Повышающий импульсный стабилизатор .....		4-канальный преобразователь напряжения .....	496
<b>NJU7262</b>	Повышающий импульсный стабилизатор .....	<b>BA9707</b>	Контроллер 2-канального преобразователя напряжения .....	498
	443	<b>BA9743</b>	Понижающий импульсный стабилизатор напряжения .....	499
<b>ON SEMICONDUCTOR</b> .....	444	<b>BA9771</b>	Микросхема источника питания пейджера .....	500
<b>Микросхемы для импульсных источников питания фирмы ON Semiconductor</b> .....	445	<b>BH6111</b>	Гибридные бестрансформаторные AC/DC-преобразователи .....	501
<b>MC33363/3A</b>	Высоковольтный импульсный стабилизатор напряжения .....	<b>BP50xx</b>		
	449	<b>BP51xx,</b>	Гибридные DC/DC-преобразователи с высоким КПД .....	502
<b>MC33368</b>	Высоковольтный контроллер коэффициента мощности .....	<b>BP52xx</b>	Гибридные повышающие DC/DC-преобразователи .....	503
	451	<b>BP53xx</b>		
<b>MC33463H/66H</b>	Микромощный DC/DC-конвертер .....			
<b>MC33470</b>	Программируемый DC/DC-конвертер с синхронным выпрямлением .....	<b>SANKEN</b> .....		504
	455	<b>Микросхемы для импульсных источников питания фирмы Sanken</b> .....		505
<b>MC44603/04</b>	Однотактный ШИМ/ЧИМ-контроллер .....	<b>SI-8033/50/90/8120/50</b>	Мощные компактные импульсные стабилизаторы .....	511
	457	<b>STR-F6624-76</b>	Сетевые стабилизаторы напряжения с полевым ключевым транзистором .....	512
<b>PANASONIC ELECTRONIC COMPONENTS</b> .....	460	<b>STR-S5703-5708/6703-6709</b>	Сетевые стабилизаторы напряжения с биполярным ключевым транзистором .....	513
<b>Микросхемы для импульсных источников питания фирмы Panasonic Electronic Components</b> .....	461	<b>SEMTECH CORPORATION</b> .....		514
<b>AN8013</b>	Схема управления DC/DC-преобразователем .....	<b>Микросхемы для импульсных источников питания фирмы Semtech Corporation</b> .....		515
<b>AN8021</b>	Схема управления обратноходовым AC/DC-преобразователем .....	<b>SC1158</b>	Программируемый синхронный DC/DC-контроллер для перспективных процессоров .....	517
	463	<b>SC1185/1185A</b>	Программируемый синхронный DC/DC-преобразователь с двумя дополнительными линейными стабилизаторами .....	518
<b>AN8026</b>	Схема управления AC/DC-преобразователями резонансного типа .....		DC/DC повышающий преобразователь с высоким КПД .....	520
	464	<b>SC1628</b>	Низковольтный повышающий DC/DC-преобразователь .....	522
<b>PHILIPS SEMICONDUCTORS</b> .....	465	<b>SC1631</b>		
<b>Микросхемы для импульсных источников питания фирмы Philips Semiconductors</b> .....	466	<b>ST MICROELECTRONICS</b> .....		524
<b>TDA8385</b>	Микросхема управления источником питания на автогенераторе .....	<b>Микросхемы для импульсных источников питания фирмы ST Microelectronics</b> .....		525
	467	<b>L4971</b>	Понижающий стабилизатор напряжения на ток 1.5 A .....	527
<b>TEA1204</b>	Высокоэффективный DC/DC-преобразователь .....		Контроллер постоянной мощности сетевого источника питания .....	528
<b>TEA1206</b>	Высокоэффективный DC/DC-преобразователь .....	<b>VIPer31</b>	Источник питания для заряда аккумуляторов .....	530
<b>TEA1504</b>	Схема серии GreenChipTM для управления импульсным источником питания .....	<b>VIPer100</b>	Схемы управления импульсным источником питания .....	531
	471			
<b>POWER INTEGRATIONS</b> .....	474			
<b>Микросхемы для импульсных источников питания фирмы Power Integrations</b> .....	475			
<b>SMP402</b>	Понижающий стабилизатор с выходной мощностью 1 Вт .....			
	477			
<b>TNY253/54/55</b>	Маломощные сетевые ШИМ-стабилизаторы семейства TinySwitchTM .....			
	479			
<b>TOP201-4/209/10/221-7</b>	Трёхвыводные сетевые ШИМ-стабилизаторы семейства TOPSwitch .....			
	481			
<b>TOP412/414</b>	Трёхвыводной ШИМ ключ для преобразователей постоянного напряжения .....			
	483			
<b>RICOH CORPORATION</b> .....	485			
<b>Микросхемы для импульсных источников питания фирмы Ricoh Corporation</b> .....	486			
<b>RH5RHxx1A/2B/3B</b>	Повышающие преобразователи напряжения .....			
	487			

## СОДЕРЖАНИЕ

TEXAS INSTRUMENTS.....	533	UCC2813/ 3813	Маломощный ШИМ-контроллер с управлением по току.....	562
Микросхемы для импульсных источников питания фирмы Texas Instruments.....	534	UCC2882/-1/ 3882/-1	Контроллер импульсного стабилизатора с 5-разрядным ЦАП и синхронным выпрямлением.....	563
TL1454	Двухканальная схема управления ШИМ-преобразователями.....			
TL5001	Схема управления ШИМ-преобразователем.....			
TPS5602	Быстродействующий двоянный контроллер для питания ЦСП.....			
TPS6755	Регулируемый инвертирующий DC/DC-преобразователь.....	VISHAY SILICONIX.....		565
TPS60110/11	Регулируемый маломощный DC/DC-преобразователь с накачкой заряда.....	Микросхемы для импульсных источников питания фирмы Vishay Siliconix.....		566
ТОКО.....	542	Si9108	Высоковольтный импульсный преобразователь.....	567
Микросхемы для импульсных источников питания фирмы ТОКО.....	543	Si9118/9119	Схема управления преобразователем с программируемым рабочим циклом.....	568
TK11821	DC/DC-преобразователь.....	Si9136	Многоканальная схема управления импульсным преобразователем.....	570
TK11822/23	DC/DC-преобразователь.....	Si9165	Высокочастотный синхронный преобразователь повышающего/понижающего типа с выходным током до 600 мА.....	572
TK75020	DC/DC-преобразователь.....			
UNITRODE.....	548	ПРИЛОЖЕНИЯ.....		575
Микросхемы для импульсных источников питания фирмы Unitrode.....	549	Магнитные величины. Формулы и определения.....		576
UC1827/ 2827/3827	Двухтактный понижающий ШИМ-контроллер.....	Расчет мощных трансформаторов для импульсных ИП.....		583
UCC1582/ 2582/3582	Схема управления понижающим синхронным преобразователем с высоким КПД.....	Расчет дросселей и трансформаторов обратного хода для импульсных источников питания.....		587
UCC1858/ 2858/3858	Корректор коэффициента мощности.....	Термины и определения.....		591
		Коммерческие адреса.....		594
		Список основных сокращений.....		596
		Таблица аналогов.....		598

## СПИСОК РЕКЛАМОДАТЕЛЕЙ

АВТЭКС .....	604
АМА .....	603
БУРЫЙ МЕДВЕДЬ .....	3 стр. обл.
ДОДЭКА .....	599, цв. вк.
ДЭЙТОН .....	600
ИНТЕХ .....	344
МАКРО-ТИМ .....	475
МЭЙ .....	424, 601
НОМАКОН .....	цв. вк.
ПИТ .....	525, 531
ПЛАТАН .....	2 стр. обл.
ПРОМЭЛЕКТРОНИКА .....	4 стр. обл.
ЭЛИКС .....	602
ЗАО СКАН .....	цв. вк.
ТТЕ ПРИМЭКСПО .....	цв. вк.

# СВОБОДА СОЕДИНЕНИЙ ВСЕГДА

разъёмы,  
кабели,  
микросхемы,  
транзисторы,  
светодиоды,  
индикаторы,  
конденсаторы,  
параключатели  
и многов  
другое.



«Бурый Медведь» —  
один из ведущих  
поставщиков  
МИКРОСХЕМ  
и других активных  
компонентов  
зарубежных  
производителей.  
Лучшие цены  
на продукцию Mitsubishi,  
International Rectifier и т.д.

ТД **БУРЫЙ МЕДВЕДЬ**

Москва 117049 а/я 74,

**офис:**

ул. Профсоюзная, 84/32, корп. В3

тел.: (095) 333-1010 (4 линии),

факс: (095) 333-1034

**филиал:** ул. Сретенка, 27/29, стр. 8

тел.: (095) 208-5158,

(095) 208-4998

**e-mail:** [serg@brownbear.ru](mailto:serg@brownbear.ru)

<http://www.brownbear.ru>

## Наши дилеры:

«Крис-Макро» г. Санкт-Петербург, тел.: (812) 234-80-90, факс: (812) 234-85-35

«НТП Бурый Медведь Н-Н» г. Нижний Новгород, тел./факс: (8312) 30-26-90

«Новаком» г. Екатеринбург, тел.: (3432) 56-84-66, факс: (3432) 58-08-15

«Сектор-Т» г. Новосибирск, тел.: (3832) 22-76-20, факс: (3832) 22-81-29

«Белконтмаш» г. Минск, тел./факс: (10-3752) 54-3308

«Иност» г. Казань, тел. (8432) 64-1023, факс: (8432) 64-1033



**Thomas & Betts**  
**Amphenol**

**molex**

**ICR**

**MITSUBISHI**  
**ELECTRIC**



**ПРОМЕЛЕКТРОНИКА****ПОСТАВКИ ЭЛЕКТРОННЫХ КОМПОНЕНТОВ**

# Мы стали к вам ближе

**ОТКРЫТ НОВЫЙ МАГАЗИН В МОСКВЕ**

удобное расположение (метро «Курская», сразу напротив Курского вокзала), большая торговая площадь, прекрасный офис для оптовых покупателей, потрясающий ассортимент и низкие оптовые цены — все это оставит только доброе впечатление от сделанных у нас покупок. Приглашаем Вас: **Земляной вал, 34, (95) 916-23-21**

**ОТКРЫТ ИНТЕРНЕТ-МАГАЗИН**

Мы действительно стали к вам ближе — теперь покупку можно совершить непосредственно с Вашего рабочего места. Полноценная система электронных платежей и удобный интерфейс позволят мгновенно получить счет к оплате, оплатить его, затем проконтролировать поступление денег, подборку и отправку груза. Посетите наш сайт [www.promelec.ru](http://www.promelec.ru)

**ОТКРЫТЫ НОВЫЕ ФИЛИАЛЫ**

Сеть филиалов и представительств продолжает развиваться. Теперь Вам будет намного проще, быстрее и дешевле делать покупки в нашей фирме. Если в Вашем городе еще нет наших представительств, но Вы готовы к серьезному бизнесу и имеете опыт торговли радиокомпонентами, то предлагаем позвонить нам: **(3432) 45-45-07**

**ЕКАТЕРИНБУРГ ГОЛОВНОЙ ОФИС**

20107, Екатеринбург, ул. Колмогорова, 70

e-mail: [pr@promelec.ru](mailto:pr@promelec.ru)  
 справочная служба: (3432) 45-44-88  
 факс круглосуточно: (3432) 45-33-28  
 отдел опт. торговли: (3432) 45-68-20  
 (3432) 45-45-07  
 (3432) 45-40-11  
 (3432) 45-32-02  
 отдел снабжения:  
 заимозачеты  
 по налогам  
 карттерные операции: (3432) 45-82-41  
 заказ каталога: (3432) 45-40-11

**www.promelec.ru****МОСКВА**

**С-ПЕТЕРБУРГ**  
**ЕКАТЕРИНБУРГ**  
**ВОРОНЕЖ**  
**ВОРОНЕЖ**  
**НОВОСИБИРСК**  
**НОВОСИБИРСК**  
**ОМСК**  
**ОМСК**  
**ПЕНЗА**  
**ПЕРМЬ**  
**ТОМСК**  
**ТЮМЕНЬ**  
**УФА**  
**ЧЕЛЯБИНСК**  
**ЧЕЛЯБИНСК**

(095) 281-66-01, 2-й Волконский пер., 1, м. «Цветной Бульвар», [promelec@dol.ru](mailto:promelec@dol.ru)  
 Открыт новый магазин: Земляной вал, 34, м. «Курская», 916-23-21  
 (812) 230-08-63, 233-27-02, ул. Гатчинская, 12, [promel@peterlink.ru](mailto:promel@peterlink.ru)  
 Филиал (3432) 55-30-89, ул. Красноармейская, 34-б, [alexey@r-st.sky.ru](mailto:alexey@r-st.sky.ru)  
 (0732) 77-73-72, 77-73-74, [admin@promelec.vrn.ru](mailto:admin@promelec.vrn.ru)  
 (0732) 51-27-41, 51-28-41, 56-68-40, Ленинский пр., 160, оф. 32б, [leon@comch.ru](mailto:leon@comch.ru)  
 (3832) 66-46-89, ул. Восток, 9, [planar@planar.nsk.ru](mailto:planar@planar.nsk.ru)  
 (3832) 22-76-20, 22-81-29, ул. Ленина, 12, оф. 1207, [olga@sector-t.ru](mailto:olga@sector-t.ru)  
 (3812) 69-35-07, 69-33-23, пр. Мира, 30, оф. 310, 316, [elecom@omsknet.ru](mailto:elecom@omsknet.ru)  
 (3812) 24-10-90, 24-68-65, ул. Карла Либкнехта, 26, [dah@omsktelecom.ru](mailto:dah@omsktelecom.ru)  
 (8412) 52-32-66, ул. Бакунина, 54/94, [rep@sura.com.ru](mailto:rep@sura.com.ru)  
 (3422) 34-94-49, 33-47-25, ул. Даншина, 19, оф. 68, [esc@mpm.ru](mailto:esc@mpm.ru)  
 (3822) 41-55-70, пр. Ленина, 30-а, [tcom@mail2000.ru](mailto:tcom@mail2000.ru)  
 (3452) 22-81-95, 22-96-00, ул. Песчублики, 143, [radiocom@sbt.tmn.ru](mailto:radiocom@sbt.tmn.ru)  
 (3472) 51-14-56, ул. Чернышевского, 88, [shop@ufacom.ru](mailto:shop@ufacom.ru)  
 (3512) 34-77-23, Свердловский пр., 23-а, [treck@chel.surnet.ru](mailto:treck@chel.surnet.ru)  
 (3512) 69-74-47, пр. Победы, 169, [pallad@chel.ru](mailto:pallad@chel.ru)



# ЭЛЕКТРОННЫЕ КОМПОНЕНТЫ ВАШЕГО УСПЕХА

*Всегда на складе*

в промышленных количествах широчайший ассортимент  
компонентов заводов России и ближнего зарубежья



Продукция ведущих мировых производителей:

- активные компоненты **INTERNATIONAL RECTIFIER, INFINEON (SIEMENS), MITSUBISHI, MOTOROLA, INTERSIL, ATMEL, MAXIM, ST-MICROELECTRONICS, PHILIPS, TOSHIBA, TEXAS INSTRUMENTS, ANALOG DEVICES**
- разъемы и соединители **AMP**
- пассивные компоненты **EPCOS, BOURNS, MURATA**: ферриты, трансформаторы, керамические фильтры, термисторы, варисторы, разрядники, конденсаторы, потенциометры, самовосстанавливающиеся предохранители
- широкий выбор датчиков **HONEYWELL**
- TVS, диоды, диодные мосты **DC Components**
- жидкокристаллические индикаторы **DATAVISION**
- оптоэлектронные приборы **KINGBRIGHT**
- электролитические конденсаторы **ARK**
- электромагнитные и твердотельные реле **ECE, CRYDOM, TTI**
- программаторы, эмуляторы, тестеры **LEAP**

- паяльное оборудование, радиомонтажный инструмент, газовые паяльники **HOTERY, SOLOMON**
- мультиметры, осциллографы **METEX, VELLEMAN, UNI-T**
- вентиляторы для охлаждения аппаратуры **JAMICON**
- плоский, коаксиальный, телефонный, акустический кабель **WORLDWIDE**
- акустические компоненты **SONITRON**
- корпуса для электронной аппаратуры
- радиоконструкторы **VELLEMAN**

Пассивные компоненты гарантированного качества производства Тайвань, Гонконг: реле, полипропиленовые, танталовые конденсаторы, индуктивности, резисторы, чип-компоненты, разъемы.

Бесплатный каталог и CD с технической документацией по продукции INTERSIL высылаются по заявкам предприятий.

## Поставляем весь ассортимент продукции фирмы **intersil**

- Широкий спектр операционных усилителей
- Аналого-цифровые и цифро-аналоговые преобразователи, в т.ч. общего применения, высокоскоростные, сигма-дельта, RS-232 интерфейсы и ключи
- Микросхемы для телекоммуникаций: транскодеры, кодеки, передатчики, приемники, модуляторы, SLIC
- Биполярные, полевые (MOSFET) транзисторы, IGBT, сверхбыстрые IGBT, схемы управления и драйверы для них



**ПЛАТАН**

www.platan.ru

**Головной офис:**

121351, Москва,  
ул. Ивана Франко, д. 40, стр. 2  
Тел./факс: (095) 73-75-999  
Почта: 121351, Москва, а/я 100  
E-mail: platan@aha.ru

**Офис в Санкт-Петербурге:**  
С.-Петербург, Кронверкский просп., 73  
Тел./факс: (812) 232-83-06; 232-59-87  
E-mail: platan@mail.wplus.net  
**Офис в Киеве:**  
Киев, Бульвар Лепсе, 8  
Тел./факс: (044) 483-99-75  
E-mail: chip@dip.immsp.kiev.ua

**РЕГИОНАЛЬНЫЕ ПРЕДСТАВИТЕЛИ**

Новосибирск: факс: (3832) 16-33-66  
Казань: тел./факс: (8432) 76-23-64  
Самара: тел./факс: (8462) 35-26-09  
Чебоксары: тел./факс: (8352) 62-17-61  
Томск: тел./факс: (3822) 41-55-70  
Уфа: тел./факс: (3472) 32-33-42

Все товары в розницу в магазинах

**Чип и Дип**

www.chip-dip.ru

**Центральный магазин**

• Москва, ул. Гиляровского, 39  
Тел./факс: (095) 281-99-17, 971-18-27

**Филиалы**

• Москва, ул. Ивана Франко, д. 40, стр. 2  
Тел.: (095) 417-33-55  
• С.-Петербург, Кронверкский просп., 73  
Тел.: (812) 232-83-06, 232-59-87  
E-mail: platan@mail.wplus.net  
• Ярославль, ул. Нахимсона, 12  
Тел.: (0852) 79-57-15  
E-mail: chip-dip@yarteleport.ru